



Заказчик: АО «Кольская горно-металлургическая компания»
Генеральный проектировщик: ООО «Хэтч Инжиниринг и Консалтинг»

«ПАО «ГМК «Норильский никель». АО «Кольская ГМК». Строительство комплекса «Обжиг – Выщелачивание – Электроэкстракция». 2 этап строительства. Подготовка сырья»

Раздел

Предварительные материалы «Оценка воздействия на окружающую среду»

Книга 2 (Приложения Р-Т)

Санкт-Петербург
2022 год

«ПАО «ГМК «Норильский никель». АО «Кольская ГМК». Строительство комплекса «Обжиг – Выщелачивание – Электроэкстракция». 2 этап строительства. Подготовка сырья»

Раздел

Предварительные материалы «Оценка воздействия на окружающую среду»

Книга 2 (Приложения Р-Т)

Генеральный Директор
ООО «ЭСГ «ПИР»



Кривозерцев Н.В.

Санкт-Петербург
2022 год



НОРНИКЕЛЬ

Содержание

1. ВВЕДЕНИЕ.....	7
1.1 Основные положения ОВОС, методология.....	7
1.2 Порядок и содержание работ при проведении процедуры ОВОС.....	8
Перечень принятых сокращений	6
2. ОБЩИЕ СВЕДЕНИЯ О ПРОЕКТЕ	10
2.1 Информация о заказчике	10
2.2 Информация об исполнителе.....	10
2.3 Исходные данные для разработки.....	10
2.4 Район расположения объекта	10
3. КРАТКАЯ ХАРАКТЕРИСТИКА ОБЪЕКТА.....	13
3.1 Этап строительства	15
3.2 Подключение к инженерным сетям.....	15
3.3.1. На этапе строительства	15
3.3.2. На этапе эксплуатации.....	16
4. ПРИРОДНО-КЛИМАТИЧЕСКАЯ И СОЦИАЛЬНО-ЭКОНОМИЧЕСКАЯ ХАРАКТЕРИСТИКА ТЕРРИТОРИИ	17
4.1 Климатические и метеорологические характеристики.....	17
4.2 Качество атмосферного воздуха.....	19
4.3 Инженерно-геологические условия.....	20
4.4 Гидрологические и гидрогеологические условия	20
4.5 Почва, растительный и животный мир	21
4.6 Сведения об особо охраняемой природной территории, затрагиваемой намечаемой хозяйственной деятельностью	26
4.7 Объекты историко-культурного наследия	26
4.8 Водоохранные зоны и прибрежно-защитные полосы	26
4.9 Месторождения полезных ископаемых	27
4.10 Социально-экономические условия.....	27
5. АЛЬТЕРНАТИВНЫЕ ВАРИАНТЫ РЕАЛИЗАЦИИ НАМЕЧАЕМОЙ ХОЗЯЙСТВЕННОЙ ДЕЯТЕЛЬНОСТИ.....	29
5.1 Нулевой вариант.....	29
5.2 Альтернативный вариант.....	29
6. ОЦЕНКА ВОЗДЕЙСТВИЯ ПРОЕКТИРУЕМОГО ОБЪЕКТА НА ОКРУЖАЮЩУЮ СРЕДУ	30
6.1 Оценка воздействия на атмосферный воздух	30
6.1.1. Существующее положение	30
6.1.2. Оценка воздействия на атмосферный воздух на этапе строительства	46
6.1.3. Оценка воздействия на атмосферный воздух на этапе эксплуатации.....	50
6.2 Оценка акустического воздействия.....	56
6.2.1 Существующее положение.....	56
6.2.2 Оценка акустического воздействия на этапе строительства	70
6.2.3 Оценка акустического воздействия на этапе эксплуатации	75
6.3 Оценка воздействия на поверхностные и подземные воды.....	80
6.3.1 Существующее положение	80
6.3.2 Оценка воздействия на поверхностные воды на этапе строительства	81
6.3.3 Оценка воздействия на поверхностные воды на этапе эксплуатации	86
6.4 Прогнозная оценка обращения с отходами	94
6.4.1 Существующее положение	94
6.4.2 Прогнозная оценка обращения с отходами на этапе строительства	94
6.4.3 Прогнозная оценка обращения с отходами на этапе эксплуатации	99
6.5 Оценка воздействия на почвы.....	102
6.6 Оценка воздействия на флору и фауну	103



НОРНИКЕЛЬ

6.7	Оценка воздействия на социально-экономические условия территории	103
6.8	Анализ воздействия на окружающую среду Арктической зоны	103
6.9	Оценка трансграничного воздействия намечаемой деятельности.....	103
7	ОЦЕНКА ЭКОЛОГИЧЕСКИХ РИСКОВ	104
	Оценка природных рисков территории	105
8	РЕКОМЕНДАЦИИ ПО ПРЕДОТВРАЩЕНИЮ ИЛИ МИНИМИЗАЦИИ ВЫЯВЛЕННЫХ НЕГАТИВНЫХ ВОЗДЕЙСТВИЙ НА ОКРУЖАЮЩУЮ СРЕДУ	106
8.2	Природоохранные мероприятия	106
8.2	Мероприятия по минимизации возникновения возможных аварийных ситуаций на объекте капитального строительства и последствий их воздействия на экосистему региона	109
9	ПРЕДЛОЖЕНИЯ ПО ОРГАНИЗАЦИИ ПРОИЗВОДСТВЕННОГО ЭКОЛОГИЧЕСКОГО КОНТРОЛЯ (МОНИТОРИНГА) ЗА ХАРАКТЕРОМ ИЗМЕНЕНИЯ КОМПОНЕНТОВ ЭКОСИСТЕМЫ	118
9.1.	Производственный экологический мониторинг и контроль в период строительства объекта	118
9.2	Производственный экологический мониторинг и контроль в период эксплуатации объекта	127
9.3	Производственный экологический контроль при авариях	130
	ЗАКЛЮЧЕНИЕ	131

Список приложений

Приложение А: Правоустанавливающие документы на землю.

Приложение Б: Письмо Исх. № 50/892 от 25.02.2021 ФГБУ «Мурманское УГМС». Фоновые концентрации загрязняющих веществ.

Приложение В: Письмо Исх. № 60-23/1302 от 15.03.2021 Письмо ФГБУ «Мурманское УГМС». Климатические характеристики загрязняющих веществ.

Приложение Г: Письмо Исх. № 04-027/а-2670 от 05.08.2021 от Администрации г. Мончегорска Мурманской области об отсутствии защитных лесов на участке строительства.

Приложение Д: Информационные письма об отсутствии ООПТ местного, регионального, федерального значений на территории участка строительства.

Приложение Е: Письмо Исх. № 12-04/3103-ОО от 28.07.2021 Министерства культуры МО об отсутствии объектов культурного наследия на участке строительства.

Приложение Ж: Письмо Исх. № 01-14-31/2886 от 01.06.2021 Департамента по недропользованию по Северо-Западному федеральному округу, на континентальном шельфе и в мировом океане (Севзапнедра) об отсутствии полезных ископаемых.

Приложение И: Ситуационный план АО «Кольская ГМК».

Приложение К: Расчеты выбросов загрязняющих веществ на период строительства.

Приложение Л: Параметры источников загрязнения атмосферного воздуха на период строительства.

Приложение М: Расчет рассеивания на период строительства.

Приложение Н: Расчеты выбросов загрязняющих веществ на период эксплуатации.

Приложение П: Параметры источников загрязнения атмосферного воздуха на период эксплуатации.



НОРНИКЕЛЬ



Книга 2

Приложение Р: Расчет рассеивания на период эксплуатации.

Приложение С: Шумовые характеристики источников шума на существующее положение.

Приложение Т: Расчет шума на существующее положение с учетом проектируемых объектов.

Книга 3

Приложение Т (продолжение): Расчет шума на существующее положение с учетом проектируемых объектов.

Приложение У: Ситуационная карта-схема и источниками шума на эксплуатацию.

Приложение Ф: Шумовые характеристики машин и механизмов на период строительства.

Приложение Х: Расчет шума от проектируемых на 2 этапе источников шума.

Приложение Ц: Карта-схема с ИШ и РТ на период строительства.

Приложение Ш: Расчет источников непостоянного шума на период строительства.

Приложение Щ: Копии договора водопользования и Решения о предоставлении водного объекта в пользование.

Приложение Э: Копия сведений об использовании воды за 2021 год (Форма №2-ТП (вод-хоз)).

Приложение Ю: Копия решения об утверждении нормативов образования отходов и лимитов на их размещение №10/466 от 31.10.2019г.

Приложение Я: Расчеты количества образования отходов в период проведения строительных работ.

Книга 4

Приложение АА: Лицензии на осуществляемый вид деятельности по обращению с отходами.

Приложение АБ: Расчеты количества образования отходов на период эксплуатации.

Приложение АВ: Расчет рассеивания и карты приземных концентраций на случай аварии (пролив).

Приложение АГ: Изолинии 1 ПДК, попадающие в границы расчётной площадки на случай аварии (пролив).

Приложение АД: Расчет рассеивания и карты приземных концентраций на случай аварии (возгорание).

Приложение АЕ: Изолинии 1 ПДК, попадающие в границы расчётной площадки на случай аварии (возгорание).

Приложение АЖ: Карта-схема источников загрязнения атмосферы на период строительства.

Приложение АИ: Карта-схема источников загрязнения атмосферы на период эксплуатации.



ПРИЛОЖЕНИЕ Р

УПРЗА «ЭКОЛОГ», версия 4.60
Copyright © 1990-2021 ФИРМА «ИНТЕГРАЛ»

Программа зарегистрирована на: ООО "ЭКОСТАНДАРТ "Технические решения"
 Регистрационный номер: 01013673

Предприятие: 634, Кольский ГМК

Город: 51, Мурманская область

Район: 1, г. Мончегорск

Адрес предприятия:

Разработчик:

ИНН:

ОКПО:

Отрасль:

Величина нормативной санзоны: 0 м

ВИД: 21, ОВЭ Эксплуатация 2 эт

ВР: 2, Новый вариант расчета

Расчетные константы: S=999999,99

Расчет: «Расчет рассеивания по МРР-2017» (лето)

Структура предприятия (площадки, цеха)

1 - Основное производство КГМК
1 - Рафинировочный цех
2 - Цех электролиза никеля
3 - Металлургический цех
4 - Цех энергообеспечения
5 - Полигон твердых отходов
6 - Цех материально-технического обеспечения
7 - Транспортный цех
8 - Территория предприятия
9 - АБК
10 - Контейнерная площадка
11 - Территория
12 - Участок фильтрации
13 - Склад концентрата

Параметры источников выбросов

Учет:
"%" - источник учитывается с исключением из фона;
"+" - источник учитывается без исключения из фона;
"- " - источник не учитывается и его вклад исключается из фона.
При отсутствии отметок источник не учитывается.

Типы источников:
1 - Точечный;
2 - Линейный;
3 - Неорганизованный;
4 - Совокупность точечных источников;
5 - С зависимостью массы выброса от скорости ветра;
6 - Точечный, с зонтом или выбросом горизонтально;
7 - Совокупность точечных (зонт или выброс вбок);
8 - Автомагистраль (неорганизованный линейный);
9 - Точечный, с выбросом вбок;
10 - Свеча.

Учет при расч.	№ ист.	Наименование источника	Вар.	Тип	Высота ист. (м)	Диаметр устья (м)	Объем ГВС (куб.м/с)	Скорость ГВС (м/с)	Плотность ГВС, (кг/куб.м)	Темп. ГВС (°C)	Ширина источ. (м)	Отклонение выброса, град		Коефф. рел.	Координаты			
												Угол	Направл.		X1 (м)	Y1 (м)	X2 (м)	Y2 (м)
№ пл.: 1, № цеха: 9																		
+	3010	Вентиляция 6910 B011	1	1	11	0,71	2,37	5,93	1,29	24,00	0,00	-	-	1,1	1433974,50	525113,50		
Код в-ва		Наименование вещества					Выброс, (г/с)	Выброс, (т/г)	F	Лето			Зима					
										Cm/ПДК	Xm	Um	Cm/ПДК	Xm	Um			
0155		диНатрий карбонат					0,0004160	0,001617	1	0,00	96,35	1,12	0,00	0,00	0,00			
0303		Аммиак (Азота гидрид)					0,0000349	5,000000E-07	1	0,00	96,35	1,12	0,00	0,00	0,00			
0938		1,1,1,2-Тетрафторэтан					0,0000079	0,000248	1	0,00	96,35	1,12	0,00	0,00	0,00			
0967		Пентафторэтан					0,0000874	0,002728	1	0,00	96,35	1,12	0,00	0,00	0,00			
0978		1,1,1-Трифторэтан					0,0001033	0,003224	1	0,00	96,35	1,12	0,00	0,00	0,00			
1061		Этанол (Этиловый спирт; метилкарбинол)					0,0107750	0,044178	1	0,00	96,35	1,12	0,00	0,00	0,00			
1314		Пропаналь (Пропиональдегид, метилацетальдегид)					0,0000697	0,000001	1	0,00	96,35	1,12	0,00	0,00	0,00			
1317		Ацетальдегид (Уксусный альдегид)					0,0004000	0,001640	1	0,01	96,35	1,12	0,00	0,00	0,00			
1519		Пентановая кислота					0,0002789	0,000004	1	0,00	96,35	1,12	0,00	0,00	0,00			
1555		Этановая кислота (Метанкарбоновая кислота)					0,0012500	0,005125	1	0,00	96,35	1,12	0,00	0,00	0,00			
1849		Метиламин (Аминометан; метанамин)					0,0001162	0,000002	1	0,01	96,35	1,12	0,00	0,00	0,00			
2735		Масло минеральное нефтяное					0,0005560	0,017354	1	0,00	96,35	1,12	0,00	0,00	0,00			
3721		Пыль мучная					0,0004300	0,001763	1	0,00	96,35	1,12	0,00	0,00	0,00			
№ пл.: 1, № цеха: 10																		
+	7000	Неорганизованный (Проезд погрузчика)	1	3	5				1,29		15,00	-	-	1,1	1434178,50	525215,50	1434155,50	525156,00

Код в-ва						Наименование вещества				Выброс, (г/с)	Выброс, (т/г)	F	Лето				Зима				
													См/ПДК	Xm	Um	См/ПДК	Xm	Um			
0301						Азота диоксид (Двуокись азота; пероксид азота)				0,0143333	0,053953	1	0,27	28,50	0,50	0,00	0,00	0,00			
0304						Азот (II) оксид (Азот монооксид)				0,0023292	0,008767	1	0,02	28,50	0,50	0,00	0,00	0,00			
0328						Углерод (Пигмент черный)				0,0018361	0,005888	1	0,05	28,50	0,50	0,00	0,00	0,00			
0330						Сера диоксид				0,0038870	0,013305	1	0,03	28,50	0,50	0,00	0,00	0,00			
0337						Углерода оксид (Углерод окись; углерод моноокись; угарный газ)				0,0330556	0,117051	1	0,02	28,50	0,50	0,00	0,00	0,00			
2732						Керосин (Керосин прямой перегонки; керосин дезодорированный)				0,0069630	0,026218	1	0,02	28,50	0,50	0,00	0,00	0,00			
+	7001	Неорганизованный (Проезд контейнеровозов)				1	3	5				1,29		9,55	-	-	1,1	1434178,5 0	525215,50	1434155,5 0	525156,00

Код в-ва						Наименование вещества				Выброс, (г/с)	Выброс, (т/г)	F	Лето			Зима				
													См/ПДК	Xm	Um	См/ПДК	Xm	Um		
0301						Азота диоксид (Двуокись азота; пероксид азота)				0,0005200	0,000786	1	0,01	28,50	0,50	0,00	0,00	0,00		
0304						Азот (II) оксид (Азот монооксид)				0,0000845	0,000128	1	0,00	28,50	0,50	0,00	0,00	0,00		
0328						Углерод (Пигмент черный)				0,0000750	0,000097	1	0,00	28,50	0,50	0,00	0,00	0,00		
0330						Сера диоксид				0,0001433	0,000195	1	0,00	28,50	0,50	0,00	0,00	0,00		
0337						Углерода оксид (Углерод окись; углерод моноокись; угарный газ)				0,0012000	0,001653	1	0,00	28,50	0,50	0,00	0,00	0,00		
2732						Керосин (Керосин прямой перегонки; керосин дезодорированный)				0,0001667	0,000227	1	0,00	28,50	0,50	0,00	0,00	0,00		
+	7005	Неорганизованный (Погрузка контейнеров)				1	3	5			1,29		20,69	-	-	1,1	1434178,5 0	525215,50	1434155,5 0	525156,00

Код в-ва	Наименование вещества	Выброс, (г/с)	Выброс, (т/г)	F	Лето			Зима		
					См/ПДК	Xm	Um	См/ПДК	Xm	Um
0301	Азота диоксид (Двуокись азота; пероксид азота)	0,0130398	0,009643	1	0,24	28,50	0,50	0,00	0,00	0,00
0304	Азот (II) оксид (Азот монооксид)	0,0021190	0,001567	1	0,02	28,50	0,50	0,00	0,00	0,00
0328	Углерод (Пигмент черный)	0,0008243	0,000599	1	0,02	28,50	0,50	0,00	0,00	0,00
0330	Сера диоксид	0,0024001	0,001864	1	0,02	28,50	0,50	0,00	0,00	0,00
0337	Углерода оксид (Углерод окись; углерод моноокись; угарный газ)	0,0431400	0,029460	1	0,03	28,50	0,50	0,00	0,00	0,00
2732	Керосин (Керосин прямой перегонки; керосин дезодорированный)	0,0165604	0,011628	1	0,05	28,50	0,50	0,00	0,00	0,00

№ пл.: 1, № цеха: 11																		
+	7002	Неорганизованный (Участок проезда №1)	1	3	5				1,29		2,00	-	-	1,1	1433982,5 0	525181,50	1434060,0 0	525151,00

Код в-ва						Наименование вещества				Выброс, (г/с)	Выброс, (т/г)	F	Лето				Зима		
													См/ПДК	Xm	Um	См/ПДК	Xm	Um	
0301						Азота диоксид (Двуокись азота; пероксид азота)				0,0000520	0,000118	1	0,00	28,50	0,50	0,00	0,00	0,00	
0304						Азот (II) оксид (Азот монооксид)				0,0000084	0,000019	1	0,00	28,50	0,50	0,00	0,00	0,00	
0328						Углерод (Пигмент черный)				0,0000075	0,000015	1	0,00	28,50	0,50	0,00	0,00	0,00	
0330						Сера диоксид				0,0000143	0,000029	1	0,00	28,50	0,50	0,00	0,00	0,00	
0337						Углерода оксид (Углерод окись; углерод моноокись; угарный газ)				0,0001200	0,000248	1	0,00	28,50	0,50	0,00	0,00	0,00	
2732						Керосин (Керосин прямой перегонки; керосин дезодорированный)				0,0000167	0,000034	1	0,00	28,50	0,50	0,00	0,00	0,00	
+	7003	Неорганизованный (Участок проезда №2)	1	3	5				1,29		2,00	-	-	1,1	1433975,0 0	525170,00	1433937,0 0	525069,50	

Код в-ва						Наименование вещества				Выброс, (г/с)	Выброс, (т/г)	F	Лето			Зима					
													См/ПДК	Xm	Um	См/ПДК	Xm	Um			
0301						Азота диоксид (Двуокись азота; пероксид азота)				0,0002167	0,000491	1	0,00	28,50	0,50	0,00	0,00	0,00			
0304						Азот (II) оксид (Азот монооксид)				0,0000352	0,000080	1	0,00	28,50	0,50	0,00	0,00	0,00			
0328						Углерод (Пигмент черный)				0,0000313	0,000061	1	0,00	28,50	0,50	0,00	0,00	0,00			
0330						Сера диоксид				0,0000597	0,000122	1	0,00	28,50	0,50	0,00	0,00	0,00			
0337						Углерода оксид (Углерод окись; углерод моноокись; угарный газ)				0,0005000	0,001033	1	0,00	28,50	0,50	0,00	0,00	0,00			
2732						Керосин (Керосин прямой перегонки; керосин дезодорированный)				0,0000694	0,000142	1	0,00	28,50	0,50	0,00	0,00	0,00			
+	7004	Неорганизованный (Погрузочные работы)				1	3	5				1,29		22,81	-	-	1,1	1433940,0 0	525088,00	1433949,0 0	525083,50

										Лето			Зима				
Код в-ва		Наименование вещества				Выброс, (г/с)	Выброс, (т/г)	F	См/ПДК	Xm	Um	См/ПДК	Xm	Um			
0301		Азота диоксид (Двуокись азота; пероксид азота)				0,0128136	0,008959	1	0,24	28,50	0,50	0,00	0,00	0,00			
0304		Азот (II) оксид (Азот монооксид)				0,0020822	0,001456	1	0,02	28,50	0,50	0,00	0,00	0,00			
0328		Углерод (Пигмент черный)				0,0007916	0,000523	1	0,02	28,50	0,50	0,00	0,00	0,00			
0330		Сера диоксид				0,0023378	0,001703	1	0,02	28,50	0,50	0,00	0,00	0,00			
0337		Углерода оксид (Углерод окись; углерод моноокись; угарный газ)				0,0426180	0,028083	1	0,03	28,50	0,50	0,00	0,00	0,00			
2732		Керосин (Керосин прямой перегонки; керосин дезодорированный)				0,0164879	0,011442	1	0,05	28,50	0,50	0,00	0,00	0,00			
+	7007	Неорганизованный (проезд самосвала)	1	3	5			1,29		5,19	-	-	1,1	1434002,5 0	524969,50	1434013,5 0	525066,50

Код в-ва	Наименование вещества	Выброс, (г/с)	Выброс, (т/г)	F	Лето			Зима		
					См/ПДК	Xm	Um	См/ПДК	Xm	Um

0301	Азота диоксид (Двуокись азота; пероксид азота)	0,0200000	0,009072	1	0,37	28,50	0,50	0,00	0,00	0,00
0304	Азот (II) оксид (Азот монооксид)	0,0032500	0,001474	1	0,03	28,50	0,50	0,00	0,00	0,00
0328	Углерод (Пигмент черный)	0,0027778	0,001144	1	0,07	28,50	0,50	0,00	0,00	0,00
0330	Сера диоксид	0,0053889	0,002224	1	0,04	28,50	0,50	0,00	0,00	0,00
0337	Углерода оксид (Углерод окись; углерод моноокись; угарный газ)	0,0516667	0,021338	1	0,04	28,50	0,50	0,00	0,00	0,00
2732	Керосин (Керосин прямой перегонки; керосин дезодорированный)	0,0072222	0,003026	1	0,02	28,50	0,50	0,00	0,00	0,00

№ пл.: 1, № цеха: 12

+	3011	Труба участка фильтрации	1	1	30	0,60	22,90	80,99	1,29	20,00	0,00	-	-	1,1	1434005,0 0	524913,50		
---	------	--------------------------	---	---	----	------	-------	-------	------	-------	------	---	---	-----	----------------	-----------	--	--

Код в-ва	Наименование вещества	Выброс, (г/с)	Выброс, (т/г)	F	Лето			Зима		
					См/ПДК	Xm	Um	См/ПДК	Xm	Um
0146	Медь оксид (в пересчете на медь) (Медь окись; тенорит)	0,3647778	10,453072	1	0,00	696,55	4,63	0,00	0,00	0,00
0163	Никель и его соединения	0,0225556	0,646352	1	0,00	696,55	4,63	0,00	0,00	0,00
0260	Кобальт оксид (в пересчете на кобальт)	0,0005833	0,016716	1	0,00	696,55	4,63	0,00	0,00	0,00

№ пл.: 1, № цеха: 13

+	7006	Неорганизованный (погрузчик)	1	3	5				1,29		3,16	-	-	1,1	1434002,5 0	524958,00	1433999,5 0	524949,00
---	------	------------------------------	---	---	---	--	--	--	------	--	------	---	---	-----	----------------	-----------	----------------	-----------

Код в-ва	Наименование вещества	Выброс, (г/с)	Выброс, (т/г)	F	Лето			Зима		
					См/ПДК	Xm	Um	См/ПДК	Xm	Um
0301	Азота диоксид (Двуокись азота; пероксид азота)	0,0118556	0,122195	1	0,22	28,50	0,50	0,00	0,00	0,00
0304	Азот (II) оксид (Азот монооксид)	0,0019265	0,019857	1	0,02	28,50	0,50	0,00	0,00	0,00
0328	Углерод (Пигмент черный)	0,0014491	0,013587	1	0,04	28,50	0,50	0,00	0,00	0,00
0330	Сера диоксид	0,0028734	0,026700	1	0,02	28,50	0,50	0,00	0,00	0,00
0337	Углерода оксид (Углерод окись; углерод моноокись; угарный газ)	0,0329417	0,324970	1	0,02	28,50	0,50	0,00	0,00	0,00
2732	Керосин (Керосин прямой перегонки; керосин дезодорированный)	0,0047287	0,047049	1	0,01	28,50	0,50	0,00	0,00	0,00

№ пл.	№ цех.	№ ист.	Тип	Выброс (г/с)	F	Лето			Зима		
						См/ПДК	Xм	Um	См/ПДК	Xм	Um

1	10	7000	3	0,0143333	1	0,27	28,50	0,50	0,00	0,00	0,00
1	10	7001	3	0,0005200	1	0,01	28,50	0,50	0,00	0,00	0,00
1	10	7005	3	0,0130398	1	0,24	28,50	0,50	0,00	0,00	0,00
1	11	7002	3	0,0000520	1	0,00	28,50	0,50	0,00	0,00	0,00
1	11	7003	3	0,0002167	1	0,00	28,50	0,50	0,00	0,00	0,00
1	11	7004	3	0,0128136	1	0,24	28,50	0,50	0,00	0,00	0,00
1	11	7007	3	0,0200000	1	0,37	28,50	0,50	0,00	0,00	0,00
1	13	7006	3	0,0118556	1	0,22	28,50	0,50	0,00	0,00	0,00
Итого:				0,0728310		1,35			0,00		

Вещество: 0303
Аммиак (Азота гидрид)

№ пл.	№ цех.	№ ист.	Тип	Выброс (г/с)	F	Лето			Зима		
						См/ПДК	Хм	Um	См/ПДК	Хм	Um
1	9	3010	1	0,0000349	1	0,00	96,35	1,12	0,00	0,00	0,00
Итого:				0,0000349		0,00			0,00		

Вещество: 0304
Азот (II) оксид (Азот монооксид)

№ пл.	№ цех.	№ ист.	Тип	Выброс (г/с)	F	Лето			Зима		
						См/ПДК	Хм	Um	См/ПДК	Хм	Um
1	10	7000	3	0,0023292	1	0,02	28,50	0,50	0,00	0,00	0,00
1	10	7001	3	0,0000845	1	0,00	28,50	0,50	0,00	0,00	0,00
1	10	7005	3	0,0021190	1	0,02	28,50	0,50	0,00	0,00	0,00
1	11	7002	3	0,0000084	1	0,00	28,50	0,50	0,00	0,00	0,00
1	11	7003	3	0,0000352	1	0,00	28,50	0,50	0,00	0,00	0,00
1	11	7004	3	0,0020822	1	0,02	28,50	0,50	0,00	0,00	0,00
1	11	7007	3	0,0032500	1	0,03	28,50	0,50	0,00	0,00	0,00
1	13	7006	3	0,0019265	1	0,02	28,50	0,50	0,00	0,00	0,00
Итого:				0,0118350		0,11			0,00		

Вещество: 0328
Углерод (Пигмент черный)

№ пл.	№ цех.	№ ист.	Тип	Выброс (г/с)	F	Лето			Зима		
						См/ПДК	Хм	Um	См/ПДК	Хм	Um
1	10	7000	3	0,0018361	1	0,05	28,50	0,50	0,00	0,00	0,00
1	10	7001	3	0,0000750	1	0,00	28,50	0,50	0,00	0,00	0,00
1	10	7005	3	0,0008243	1	0,02	28,50	0,50	0,00	0,00	0,00
1	11	7002	3	0,0000075	1	0,00	28,50	0,50	0,00	0,00	0,00
1	11	7003	3	0,0000313	1	0,00	28,50	0,50	0,00	0,00	0,00
1	11	7004	3	0,0007916	1	0,02	28,50	0,50	0,00	0,00	0,00
1	11	7007	3	0,0027778	1	0,07	28,50	0,50	0,00	0,00	0,00
1	13	7006	3	0,0014491	1	0,04	28,50	0,50	0,00	0,00	0,00
Итого:				0,0077927		0,19			0,00		

Вещество: 0330
Сера диоксид

№ пл.	№ цех.	№ ист.	Тип	Выброс (г/с)	F	Лето			Зима		
						См/ПДК	Xm	Um	См/ПДК	Xm	Um
1	10	7000	3	0,0038870	1	0,03	28,50	0,50	0,00	0,00	0,00
1	10	7001	3	0,0001433	1	0,00	28,50	0,50	0,00	0,00	0,00
1	10	7005	3	0,0024001	1	0,02	28,50	0,50	0,00	0,00	0,00
1	11	7002	3	0,0000143	1	0,00	28,50	0,50	0,00	0,00	0,00
1	11	7003	3	0,0000597	1	0,00	28,50	0,50	0,00	0,00	0,00
1	11	7004	3	0,0023378	1	0,02	28,50	0,50	0,00	0,00	0,00
1	11	7007	3	0,0053889	1	0,04	28,50	0,50	0,00	0,00	0,00
1	13	7006	3	0,0028734	1	0,02	28,50	0,50	0,00	0,00	0,00
Итого:				0,0171045		0,13			0,00		

Вещество: 0337
Углерода оксид (Углерод окись; углерод моноокись; угарный газ)

№ пл.	№ цех.	№ ист.	Тип	Выброс (г/с)	F	Лето			Зима		
						См/ПДК	Xm	Um	См/ПДК	Xm	Um
1	10	7000	3	0,0330556	1	0,02	28,50	0,50	0,00	0,00	0,00
1	10	7001	3	0,0012000	1	0,00	28,50	0,50	0,00	0,00	0,00
1	10	7005	3	0,0431400	1	0,03	28,50	0,50	0,00	0,00	0,00
1	11	7002	3	0,0001200	1	0,00	28,50	0,50	0,00	0,00	0,00
1	11	7003	3	0,0005000	1	0,00	28,50	0,50	0,00	0,00	0,00
1	11	7004	3	0,0426180	1	0,03	28,50	0,50	0,00	0,00	0,00
1	11	7007	3	0,0516667	1	0,04	28,50	0,50	0,00	0,00	0,00
1	13	7006	3	0,0329417	1	0,02	28,50	0,50	0,00	0,00	0,00
Итого:				0,2052420		0,15			0,00		

Вещество: 0938
1,1,1,2-Тетрафторэтан

№ пл.	№ цех.	№ ист.	Тип	Выброс (г/с)	F	Лето			Зима		
						См/ПДК	Xm	Um	См/ПДК	Xm	Um
1	9	3010	1	0,0000079	1	0,00	96,35	1,12	0,00	0,00	0,00
Итого:				0,0000079		0,00			0,00		

Вещество: 0967
Пентафторэтан

№ пл.	№ цех.	№ ист.	Тип	Выброс (г/с)	F	Лето			Зима		
						См/ПДК	Xm	Um	См/ПДК	Xm	Um
1	9	3010	1	0,0000874	1	0,00	96,35	1,12	0,00	0,00	0,00
Итого:				0,0000874		0,00			0,00		

Вещество: 0978
1,1,1-Трифторэтан

№ пл.	№ цех.	№ ист.	Тип	Выброс (г/с)	F	Лето			Зима		
						См/ПДК	Xm	Um	См/ПДК	Xm	Um
1	9	3010	1	0,0001033	1	0,00	96,35	1,12	0,00	0,00	0,00
Итого:				0,0001033		0,00			0,00		

Вещество: 1061
Этанол (Этиловый спирт; метилкарбинол)

№ пл.	№ цех.	№ ист.	Тип	Выброс (г/с)	F	Лето			Зима		
						См/ПДК	Xm	Um	См/ПДК	Xm	Um
1	9	3010	1	0,0107750	1	0,00	96,35	1,12	0,00	0,00	0,00
Итого:				0,0107750		0,00			0,00		

Вещество: 1314
Пропаналь (Пропиональдегид, метилацетальдегид)

№ пл.	№ цех.	№ ист.	Тип	Выброс (г/с)	F	Лето			Зима		
						См/ПДК	Xm	Um	См/ПДК	Xm	Um
1	9	3010	1	0,0000697	1	0,00	96,35	1,12	0,00	0,00	0,00
Итого:				0,0000697		0,00			0,00		

Вещество: 1317
Ацетальдегид (Уксусный альдегид)

№ пл.	№ цех.	№ ист.	Тип	Выброс (г/с)	F	Лето			Зима		
						См/ПДК	Xm	Um	См/ПДК	Xm	Um
1	9	3010	1	0,0004000	1	0,01	96,35	1,12	0,00	0,00	0,00
Итого:				0,0004000		0,01			0,00		

Вещество: 1519
Пентановая кислота

№ пл.	№ цех.	№ ист.	Тип	Выброс (г/с)	F	Лето			Зима		
						См/ПДК	Xm	Um	См/ПДК	Xm	Um
1	9	3010	1	0,0002789	1	0,00	96,35	1,12	0,00	0,00	0,00
Итого:				0,0002789		0,00			0,00		

Вещество: 1555
Этановая кислота (Метанкарбоновая кислота)

№ пл.	№ цех.	№ ист.	Тип	Выброс (г/с)	F	Лето			Зима		
						См/ПДК	Xm	Um	См/ПДК	Xm	Um
1	9	3010	1	0,0012500	1	0,00	96,35	1,12	0,00	0,00	0,00

Итого:	0,0012500	0,00	0,00
---------------	------------------	-------------	-------------

Вещество: 1849
Метиламин (Аминометан; метанамин)

№ пл.	№ цех.	№ ист.	Тип	Выброс (г/с)	F	Лето			Зима		
						См/ПДК	Хм	Um	См/ПДК	Хм	Um
1	9	3010	1	0,0001162	1	0,01	96,35	1,12	0,00	0,00	0,00
Итого:				0,0001162		0,01			0,00		

Вещество: 2732
Керосин (Керосин прямой перегонки; керосин дезодорированный)

№ пл.	№ цех.	№ ист.	Тип	Выброс (г/с)	F	Лето			Зима		
						См/ПДК	Хм	Um	См/ПДК	Хм	Um
1	10	7000	3	0,0069630	1	0,02	28,50	0,50	0,00	0,00	0,00
1	10	7001	3	0,0001667	1	0,00	28,50	0,50	0,00	0,00	0,00
1	10	7005	3	0,0165604	1	0,05	28,50	0,50	0,00	0,00	0,00
1	11	7002	3	0,0000167	1	0,00	28,50	0,50	0,00	0,00	0,00
1	11	7003	3	0,0000694	1	0,00	28,50	0,50	0,00	0,00	0,00
1	11	7004	3	0,0164879	1	0,05	28,50	0,50	0,00	0,00	0,00
1	11	7007	3	0,0072222	1	0,02	28,50	0,50	0,00	0,00	0,00
1	13	7006	3	0,0047287	1	0,01	28,50	0,50	0,00	0,00	0,00
Итого:				0,0522150		0,16			0,00		

Вещество: 2735
Масло минеральное нефтяное

№ пл.	№ цех.	№ ист.	Тип	Выброс (г/с)	F	Лето			Зима		
						См/ПДК	Хм	Um	См/ПДК	Хм	Um
1	9	3010	1	0,0005560	1	0,00	96,35	1,12	0,00	0,00	0,00
Итого:				0,0005560		0,00			0,00		

Вещество: 3721
Пыль мучная

№ пл.	№ цех.	№ ист.	Тип	Выброс (г/с)	F	Лето			Зима		
						См/ПДК	Хм	Um	См/ПДК	Хм	Um
1	9	3010	1	0,0004300	1	0,00	96,35	1,12	0,00	0,00	0,00
Итого:				0,0004300		0,00			0,00		

Выбросы источников по группам суммации

Типы источников:

- 1 - Точечный;
- 2 - Линейный;
- 3 - Неорганизованный;
- 4 - Совокупность точечных источников;
- 5 - С зависимостью массы выброса от скорости ветра;
- 6 - Точечный, с зонтом или выбросом горизонтально;
- 7 - Совокупность точечных (зонт или выброс вбок);
- 8 - Автомагистраль (неорганизованный линейный);
- 9 - Точечный, с выбросом в бок;
- 10 - Свеча.

Группа суммации: 6042

Серы диоксид и никель металлический

№ пл.	№ цех .	№ ист.	Тип	Код в-ва	Выброс (г/с)	F	Лето			Зима		
							См/ПДК	Xm	Um	См/ПДК	Xm	Um
1	12	3011	1	0163	0,0225556	1	0,00	696,55	4,63	0,00	0,00	0,00
1	10	7000	3	0330	0,0038870	1	0,03	28,50	0,50	0,00	0,00	0,00
1	10	7001	3	0330	0,0001433	1	0,00	28,50	0,50	0,00	0,00	0,00
1	10	7005	3	0330	0,0024001	1	0,02	28,50	0,50	0,00	0,00	0,00
1	11	7002	3	0330	0,0000143	1	0,00	28,50	0,50	0,00	0,00	0,00
1	11	7003	3	0330	0,0000597	1	0,00	28,50	0,50	0,00	0,00	0,00
1	11	7004	3	0330	0,0023378	1	0,02	28,50	0,50	0,00	0,00	0,00
1	11	7007	3	0330	0,0053889	1	0,04	28,50	0,50	0,00	0,00	0,00
1	13	7006	3	0330	0,0028734	1	0,02	28,50	0,50	0,00	0,00	0,00
Итого:					0,0396601		0,13			0,00		

Группа суммации: 6204

Азота диоксид, серы диоксид

№ пл.	№ цех .	№ ист.	Тип	Код в-ва	Выброс (г/с)	F	Лето			Зима		
							См/ПДК	Xm	Um	См/ПДК	Xm	Um
1	10	7000	3	0301	0,0143333	1	0,27	28,50	0,50	0,00	0,00	0,00
1	10	7001	3	0301	0,0005200	1	0,01	28,50	0,50	0,00	0,00	0,00
1	10	7005	3	0301	0,0130398	1	0,24	28,50	0,50	0,00	0,00	0,00
1	11	7002	3	0301	0,0000520	1	0,00	28,50	0,50	0,00	0,00	0,00
1	11	7003	3	0301	0,0002167	1	0,00	28,50	0,50	0,00	0,00	0,00
1	11	7004	3	0301	0,0128136	1	0,24	28,50	0,50	0,00	0,00	0,00
1	11	7007	3	0301	0,0200000	1	0,37	28,50	0,50	0,00	0,00	0,00
1	13	7006	3	0301	0,0118556	1	0,22	28,50	0,50	0,00	0,00	0,00
1	10	7000	3	0330	0,0038870	1	0,03	28,50	0,50	0,00	0,00	0,00
1	10	7001	3	0330	0,0001433	1	0,00	28,50	0,50	0,00	0,00	0,00
1	10	7005	3	0330	0,0024001	1	0,02	28,50	0,50	0,00	0,00	0,00
1	11	7002	3	0330	0,0000143	1	0,00	28,50	0,50	0,00	0,00	0,00
1	11	7003	3	0330	0,0000597	1	0,00	28,50	0,50	0,00	0,00	0,00
1	11	7004	3	0330	0,0023378	1	0,02	28,50	0,50	0,00	0,00	0,00
1	11	7007	3	0330	0,0053889	1	0,04	28,50	0,50	0,00	0,00	0,00
1	13	7006	3	0330	0,0028734	1	0,02	28,50	0,50	0,00	0,00	0,00

Итого:	0,0899355		0,92		0,00
---------------	------------------	--	-------------	--	-------------

Суммарное значение Ст/ПДК для группы рассчитано с учетом коэффициента неполной суммации 1,60

Посты измерения фоновых концентраций

№ поста	Наименование	Координаты (м)	
		Х	У
2		0,00	0,00

Код в-ва	Наименование вещества	Максимальная концентрация *					Средняя концентрация *
		Штиль	Север	Восток	Юг	Запад	
0301	Азота диоксид (Двуокись азота; пероксид азота)	0,050	0,040	0,030	0,040	0,040	0,000
0330	Сера диоксид	0,050	0,050	0,040	0,040	0,070	0,000

* Фоновые концентрации измеряются в мг/м3 для веществ и долях приведенной ПДК для групп суммации

Перебор метеопараметров при расчете

Набор пользователя

Перебор скоростей ветра осуществляется автоматически

Направление ветра

Начало сектора	Конец сектора	Шаг перебора ветра
0	360	1

Расчетные области

Расчетные площадки

Код	Тип	Полное описание площадки					Зона влияния (м)	Шаг (м)		Высота (м)
		Координаты середины 1-й стороны (м)		Координаты середины 2-й стороны (м)		Ширина (м)		По ширине	По длине	
		Х	У	Х	У					
2	Полное описание	1427240.00	526347.00	1441240.00	526347.00	10000.00	0.00	500.00	500.00	2.00

Расчетные точки

Код	Координаты (м)		Высота (м)	Тип точки	Комментарий
	Х	У			
1	1431879,24	529056,14	2,00	на границе С33	на границе С33
2	1434293,24	529740,59	2,00	на границе С33	на границе С33
3	1436353,76	528421,27	2,00	на границе С33	на границе С33
4	1437172,19	526875,51	2,00	на границе С33	на границе С33
5	1437817,28	524409,38	2,00	на границе С33	на границе С33
6	1436680,45	522220,35	2,00	на границе С33	на границе С33
7	1434173,54	521781,13	2,00	на границе С33	на границе С33
8	1431633,63	522009,56	2,00	на границе С33	на границе С33
9	1430285,36	524137,12	2,00	на границе С33	на границе С33
10	1430891,72	526664,55	2,00	на границе С33	на границе С33
11	1435750,50	529314,00	2,00	на границе жилой зоны	Жилой дом, ул. Имандровская, 16
12	1436403,00	528755,00	2,00	на границе жилой зоны	Жилой дом, ул. Царевского, 16
13	1437255,50	526860,50	2,00	на границе жилой зоны	Жилой дом, ул. Кондрикова, 32
14	1436338,50	528292,50	2,00	на границе охранной зоны	Учебный корпус, пр-кт Металлургов, 1
15	1436699,50	528132,50	2,00	на границе охранной зоны	ДС №29, ул Комсомольская, 6а
16	1436969,00	528128,00	2,00	на границе охранной зоны	центр развития творчества детей и юношества, ул Комсомольская, 1
17	1437319,50	528099,50	2,00	на границе охранной зоны	СОШ №14, ул. Комсомольская, 24
18	1437214,50	527335,50	2,00	на границе охранной зоны	Рекреационная зона
19	1437450,50	526785,00	2,00	на границе охранной зоны	Детский сад, ул Кондрикова 36
20	1437558,00	526658,50	2,00	на границе охранной зоны	СОШ №7, ул Кондрикова, 30
21	1437189,00	526151,00	2,00	на границе охранной зоны	Рекреационная зона
22	1437886,50	524620,00	2,00	на границе охранной зоны	Горнолыжный комплекс
23	1433870,00	524917,50	2,00	на границе производственной зоны	Р.Т. на границе промзоны (авто) из Полигон
24	1434111,73	525264,95	2,00	на границе производственной зоны	Р.Т. на границе промзоны (авто) из Полигон
25	1434154,44	525673,19	2,00	на границе производственной зоны	Р.Т. на границе промзоны (авто) из Полигон
26	1434319,09	525785,15	2,00	на границе производственной зоны	Р.Т. на границе промзоны (авто) из Полигон
27	1434375,30	525467,70	2,00	на границе производственной зоны	Р.Т. на границе промзоны (авто) из Полигон
28	1434538,73	525109,59	2,00	на границе производственной зоны	Р.Т. на границе промзоны (авто) из Полигон
29	1434463,11	524697,43	2,00	на границе производственной зоны	Р.Т. на границе промзоны (авто) из Полигон
30	1434170,63	524983,64	2,00	на границе производственной зоны	Р.Т. на границе промзоны (авто) из Полигон
31	1433991,90	525254,40	2,00	на границе жилой зоны	Управление завода
32	1433673,20	524956,00	2,00	на границе жилой зоны	АБК

Результаты расчета и вклады по веществам (расчетные точки)

Типы точек:

- 0 - расчетная точка пользователя
- 1 - точка на границе охранной зоны
- 2 - точка на границе производственной зоны
- 3 - точка на границе СЗЗ
- 4 - на границе жилой зоны
- 5 - на границе застройки
- 6 - точки квотирования

Вещество: 0146

Медь оксид (в пересчете на медь) (Медь окись; тенорит)

№	Коорд X(м)	Коорд Y(м)	Высота (м)	Концентр (д. ПДК)	Концентр. (мг/куб.м)	Напр ветр	Скор ветр	Фон		Фон до исключения		Тип точки
								доли ПДК	мг/куб.м	доли ПДК	мг/куб.м	
1	1431879,04	529056,44	2,00	-	4,008E-04	153	9,00	-	-	-	-	3
Площадка		Цех	Источник		Вклад (д. ПДК)		Вклад (мг/куб.м)		Вклад %			
1		12	3011		0,00		4,008E-04		100,0			
2	1434293,04	529740,60	2,00	-	3,770E-04	183	9,00	-	-	-	-	3
Площадка		Цех	Источник		Вклад (д. ПДК)		Вклад (мг/куб.м)		Вклад %			
1		12	3011		0,00		3,770E-04		100,0			
3	1436353,30	528421,07	2,00	-	4,648E-04	214	9,00	-	-	-	-	3
Площадка		Цех	Источник		Вклад (д. ПДК)		Вклад (мг/куб.м)		Вклад %			
1		12	3011		0,00		4,648E-04		100,0			
4	1437172,50	526875,54	2,00	-	5,559E-04	238	7,27	-	-	-	-	3
Площадка		Цех	Источник		Вклад (д. ПДК)		Вклад (мг/куб.м)		Вклад %			
1		12	3011		0,00		5,559E-04		100,0			
5	1437817,00	524409,00	2,00	-	5,301E-04	278	9,00	-	-	-	-	3
Площадка		Цех	Источник		Вклад (д. ПДК)		Вклад (мг/куб.м)		Вклад %			
1		12	3011		0,00		5,301E-04		100,0			
6	1436680,45	522220,05	2,00	-	5,412E-04	315	9,00	-	-	-	-	3
Площадка		Цех	Источник		Вклад (д. ПДК)		Вклад (мг/куб.м)		Вклад %			
1		12	3011		0,00		5,412E-04		100,0			
7	1434174,51	521781,40	2,00	-	7,055E-04	357	7,27	-	-	-	-	3
Площадка		Цех	Источник		Вклад (д. ПДК)		Вклад (мг/куб.м)		Вклад %			
1		12	3011		0,00		7,055E-04		100,0			
8	1431633,00	522009,50	2,00	-	5,508E-04	39	7,27	-	-	-	-	3
Площадка		Цех	Источник		Вклад (д. ПДК)		Вклад (мг/куб.м)		Вклад %			
1		12	3011		0,00		5,508E-04		100,0			
9	1430285,00	524137,40	2,00	-	5,405E-04	78	9,00	-	-	-	-	3
Площадка		Цех	Источник		Вклад (д. ПДК)		Вклад (мг/куб.м)		Вклад %			
1		12	3011		0,00		5,405E-04		100,0			
10	1430891,30	526664,55	2,00	-	5,899E-04	119	7,27	-	-	-	-	3
Площадка		Цех	Источник		Вклад (д. ПДК)		Вклад (мг/куб.м)		Вклад %			
1		12	3011		0,00		5,899E-04		100,0			
11	1435750,50	529314,00	2,00	-	3,900E-04	202	9,00	-	-	-	-	4
Площадка		Цех	Источник		Вклад (д. ПДК)		Вклад (мг/куб.м)		Вклад %			
1		12	3011		0,00		3,900E-04		100,0			
12	1436403,00	528755,00	2,00	-	4,185E-04	212	9,00	-	-	-	-	4
Площадка		Цех	Источник		Вклад (д. ПДК)		Вклад (мг/куб.м)		Вклад %			

Площадка	Цех	Источник	Вклад (д. ПДК)		Вклад (мг/куб.м)		Вклад %	
1	12	3011	0,00		0,002		100,0	
30	1434170 ₀₀	524983 ₀₀	2,00	-	8,898E-04	247	4,74	-
Площадка	Цех	Источник	Вклад (д. ПДК)		Вклад (мг/куб.м)		Вклад %	
1	12	3011	0,00		8,898E-04		100,0	
31	1433991 ₀₀	525254 ₀₀	2,00	-	0,002	178	4,74	-
Площадка	Цех	Источник	Вклад (д. ПДК)		Вклад (мг/куб.м)		Вклад %	
1	12	3011	0,00		0,002		100,0	
32	1433673 ₀₀	524956 ₀₀	2,00	-	0,002	97	4,74	-
Площадка	Цех	Источник	Вклад (д. ПДК)		Вклад (мг/куб.м)		Вклад %	
1	12	3011	0,00		0,002		100,0	

Вещество: 0155
диНатрий карбонат

№	Коорд Х(м)	Коорд У(м)	Высота (м)	Концентр (д. ПДК)	Концентр. (мг/куб.м)	Напр ветр а	Скор ветр а	Фон		Фон до исключения		Тип точки
								доли ПДК	мг/куб.м	доли ПДК	мг/куб.м	
31	1433991 ₀₀	525254 ₀₀	2,00	7,12Е-04	1,068Е-04	187	1,12	-	-	-	-	4
Площадка Цех				Источник	Вклад (д. ПДК)		Вклад (мг/куб.м)		Вклад %			
1			9	3010	7,12Е-04		1,068Е-04		100,0			
24	1434111 ₀₀	525264 ₀₀	2,00	5,80Е-04	8,704Е-05	222	1,59	-	-	-	-	2
Площадка Цех				Источник	Вклад (д. ПДК)		Вклад (мг/куб.м)		Вклад %			
1			9	3010	5,80Е-04		8,704Е-05		100,0			
23	1433870 ₀₀	524917 ₀₀	2,00	5,49Е-04	8,238Е-05	28	1,59	-	-	-	-	2
Площадка Цех				Источник	Вклад (д. ПДК)		Вклад (мг/куб.м)		Вклад %			
1			9	3010	5,49Е-04		8,238Е-05		100,0			
30	1434170 ₀₀	524983 ₀₀	2,00	5,26Е-04	7,893Е-05	304	1,59	-	-	-	-	2
Площадка Цех				Источник	Вклад (д. ПДК)		Вклад (мг/куб.м)		Вклад %			
1			9	3010	5,26Е-04		7,893Е-05		100,0			
32	1433673 ₀₀	524956 ₀₀	2,00	3,73Е-04	5,599Е-05	62	1,59	-	-	-	-	4
Площадка Цех				Источник	Вклад (д. ПДК)		Вклад (мг/куб.м)		Вклад %			
1			9	3010	3,73Е-04		5,599Е-05		100,0			
27	1434375 ₀₀	525467 ₀₀	2,00	2,07Е-04	3,110Е-05	229	2,25	-	-	-	-	2
Площадка Цех				Источник	Вклад (д. ПДК)		Вклад (мг/куб.м)		Вклад %			
1			9	3010	2,07Е-04		3,110Е-05		100,0			
28	1434538 ₀₀	525109 ₀₀	2,00	1,92Е-04	2,884Е-05	270	2,25	-	-	-	-	2
Площадка Цех				Источник	Вклад (д. ПДК)		Вклад (мг/куб.м)		Вклад %			
1			9	3010	1,92Е-04		2,884Е-05		100,0			
25	1434154 ₀₀	525673 ₀₀	2,00	1,81Е-04	2,719Е-05	198	2,25	-	-	-	-	2
Площадка Цех				Источник	Вклад (д. ПДК)		Вклад (мг/куб.м)		Вклад %			
1			9	3010	1,81Е-04		2,719Е-05		100,0			
29	1434463 ₀₀	524697 ₀₀	2,00	1,59Е-04	2,381Е-05	310	2,25	-	-	-	-	2
Площадка Цех				Источник	Вклад (д. ПДК)		Вклад (мг/куб.м)		Вклад %			
1			9	3010	1,59Е-04		2,381Е-05		100,0			
26	1434319 ₀₀	525785 ₀₀	2,00	1,23Е-04	1,841Е-05	207	2,25	-	-	-	-	2
Площадка Цех				Источник	Вклад (д. ПДК)		Вклад (мг/куб.м)		Вклад %			
1			9	3010	1,23Е-04		1,841Е-05		100,0			
7	1434173 ₀₀	521781 ₀₀	2,00	1,13Е-05	1,694Е-06	357	9,00	-	-	-	-	3
Площадка Цех				Источник	Вклад (д. ПДК)		Вклад (мг/куб.м)		Вклад %			

Площадка		Цех	Источник		Вклад (д. ПДК)			Вклад (мг/куб.м)		Вклад %	
1			9	3010	6,84E-06			1,026E-06		100,0	
1	1431879 ₀₄	529056 ₄₄	2,00	6,61E-06	9,921E-07	152	9,00	-	-	-	-
Площадка		Цех	Источник		Вклад (д. ПДК)			Вклад (мг/куб.м)		Вклад %	
1			9	3010	6,61E-06			9,921E-07		100,0	
17	1437319 ₀₄	528099 ₅₀	2,00	6,57E-06	9,851E-07	228	1,59	-	-	-	-
Площадка		Цех	Источник		Вклад (д. ПДК)			Вклад (мг/куб.м)		Вклад %	
1			9	3010	6,57E-06			9,851E-07		100,0	
11	1435750 ₀₄	529314 ₅₀	2,00	6,43E-06	9,646E-07	203	1,59	-	-	-	-
Площадка		Цех	Источник		Вклад (д. ПДК)			Вклад (мг/куб.м)		Вклад %	
1			9	3010	6,43E-06			9,646E-07		100,0	
2	1434293 ₀₄	529740 ₅₀	2,00	6,30E-06	9,444E-07	184	1,59	-	-	-	-
Площадка		Цех	Источник		Вклад (д. ПДК)			Вклад (мг/куб.м)		Вклад %	
1			9	3010	6,30E-06			9,444E-07		100,0	

Вещество: 0163
Никель и его соединения

№	Коорд X(м)	Коорд Y(м)	Высота (м)	Концентр (д. ПДК)	Концентр. (мг/куб.м)	Напр ветр а	Скор ветр а	Фон		Фон до исключения		Тип точки
								доли ПДК	мг/куб.м	доли ПДК	мг/куб.м	
1	1431879 ₀₄	529056 ₄₄	2,00	-	2,478E-05	153	9,00	-	-	-	-	3
Площадка Цех Источник Вклад (д. ПДК) Вклад (мг/куб.м) Вклад %												
1 12 3011 0,00 2,478E-05 100,0												
2	1434293 ₀₄	529740 ₅₀	2,00	-	2,331E-05	183	9,00	-	-	-	-	3
Площадка Цех Источник Вклад (д. ПДК) Вклад (мг/куб.м) Вклад %												
1 12 3011 0,00 2,331E-05 100,0												
3	1436353 ₀₄	528421 ₀₇	2,00	-	2,874E-05	214	9,00	-	-	-	-	3
Площадка Цех Источник Вклад (д. ПДК) Вклад (мг/куб.м) Вклад %												
1 12 3011 0,00 2,874E-05 100,0												
4	1437172 ₀₄	526875 ₅₄	2,00	-	3,437E-05	238	7,27	-	-	-	-	3
Площадка Цех Источник Вклад (д. ПДК) Вклад (мг/куб.м) Вклад %												
1 12 3011 0,00 3,437E-05 100,0												
5	1437817 ₀₈	524409 ₀₈	2,00	-	3,278E-05	278	9,00	-	-	-	-	3
Площадка Цех Источник Вклад (д. ПДК) Вклад (мг/куб.м) Вклад %												
1 12 3011 0,00 3,278E-05 100,0												
6	1436680 ₄₅	522220 ₀₅	2,00	-	3,347E-05	315	9,00	-	-	-	-	3
Площадка Цех Источник Вклад (д. ПДК) Вклад (мг/куб.м) Вклад %												
1 12 3011 0,00 3,347E-05 100,0												
7	1434173 ₅₄	521781 ₄₀	2,00	-	4,362E-05	357	7,27	-	-	-	-	3
Площадка Цех Источник Вклад (д. ПДК) Вклад (мг/куб.м) Вклад %												
1 12 3011 0,00 4,362E-05 100,0												
8	1431633 ₀₈	522009 ₅₀	2,00	-	3,406E-05	39	7,27	-	-	-	-	3
Площадка Цех Источник Вклад (д. ПДК) Вклад (мг/куб.м) Вклад %												
1 12 3011 0,00 3,406E-05 100,0												
9	1430285 ₀₆	524137 ₄₀	2,00	-	3,342E-05	78	9,00	-	-	-	-	3
Площадка Цех Источник Вклад (д. ПДК) Вклад (мг/куб.м) Вклад %												
1 12 3011 0,00 3,342E-05 100,0												
10	1430891 ₀₄	526664 ₅₅	2,00	-	3,648E-05	119	7,27	-	-	-	-	3
Площадка Цех Источник Вклад (д. ПДК) Вклад (мг/куб.м) Вклад %												

Площадка	Цех	Источник	Вклад (д. ПДК)			Вклад (мг/куб.м)			Вклад %		
1	12	3011	0,00			1,323E-04			100,0		
28	1434538	525109,	2,00	-	1,384E-04	250	4,74	-	-	-	2
Площадка	Цех	Источник	Вклад (д. ПДК)			Вклад (мг/куб.м)			Вклад %		
1	12	3011	0,00			1,384E-04			100,0		
29	1434463	524697,	2,00	-	1,390E-04	295	4,74	-	-	-	2
Площадка	Цех	Источник	Вклад (д. ПДК)			Вклад (мг/куб.м)			Вклад %		
1	12	3011	0,00			1,390E-04			100,0		
30	1434170	524983,	2,00	-	5,502E-05	247	4,74	-	-	-	2
Площадка	Цех	Источник	Вклад (д. ПДК)			Вклад (мг/куб.м)			Вклад %		
1	12	3011	0,00			5,502E-05			100,0		
31	1433991	525254,	2,00	-	1,173E-04	178	4,74	-	-	-	4
Площадка	Цех	Источник	Вклад (д. ПДК)			Вклад (мг/куб.м)			Вклад %		
1	12	3011	0,00			1,173E-04			100,0		
32	1433673	524956,	2,00	-	1,153E-04	97	4,74	-	-	-	4
Площадка	Цех	Источник	Вклад (д. ПДК)			Вклад (мг/куб.м)			Вклад %		
1	12	3011	0,00			1,153E-04			100,0		

Вещество: 0260
Кобальт оксид (в пересчете на кобальт)

№	Коорд Х(м)	Коорд У(м)	Высота (м)	Концентр (д. ПДК)	Концентр. (мг/куб.м)	Напр ветр	Скор ветр	Фон		Фон до исключения		Тип точки
								доли ПДК	мг/куб.м	доли ПДК	мг/куб.м	
1	1431879	529056,	2,00	-	6,409E-07	153	9,00	-	-	-	-	3
Площадка	Цех	Источник	Вклад (д. ПДК)			Вклад (мг/куб.м)			Вклад %			
1	12	3011	0,00			6,409E-07			100,0			
2	1434293	529740,	2,00	-	6,028E-07	183	9,00	-	-	-	-	3
Площадка	Цех	Источник	Вклад (д. ПДК)			Вклад (мг/куб.м)			Вклад %			
1	12	3011	0,00			6,028E-07			100,0			
3	1436353	528421,	2,00	-	7,433E-07	214	9,00	-	-	-	-	3
Площадка	Цех	Источник	Вклад (д. ПДК)			Вклад (мг/куб.м)			Вклад %			
1	12	3011	0,00			7,433E-07			100,0			
4	1437172	526875,	2,00	-	8,889E-07	238	7,27	-	-	-	-	3
Площадка	Цех	Источник	Вклад (д. ПДК)			Вклад (мг/куб.м)			Вклад %			
1	12	3011	0,00			8,889E-07			100,0			
5	1437817	524409,	2,00	-	8,478E-07	278	9,00	-	-	-	-	3
Площадка	Цех	Источник	Вклад (д. ПДК)			Вклад (мг/куб.м)			Вклад %			
1	12	3011	0,00			8,478E-07			100,0			
6	1436680	522220,	2,00	-	8,655E-07	315	9,00	-	-	-	-	3
Площадка	Цех	Источник	Вклад (д. ПДК)			Вклад (мг/куб.м)			Вклад %			
1	12	3011	0,00			8,655E-07			100,0			
7	1434173	521781,	2,00	-	1,128E-06	357	7,27	-	-	-	-	3
Площадка	Цех	Источник	Вклад (д. ПДК)			Вклад (мг/куб.м)			Вклад %			
1	12	3011	0,00			1,128E-06			100,0			
8	1431633	522009,	2,00	-	8,808E-07	39	7,27	-	-	-	-	3
Площадка	Цех	Источник	Вклад (д. ПДК)			Вклад (мг/куб.м)			Вклад %			
1	12	3011	0,00			8,808E-07			100,0			
9	1430285	524137,	2,00	-	8,643E-07	78	9,00	-	-	-	-	3
Площадка	Цех	Источник	Вклад (д. ПДК)			Вклад (мг/куб.м)			Вклад %			

Площадка	Цех	Источник	Вклад (д. ПДК)			Вклад (мг/куб.м)			Вклад %		
1	12	3011	0,00			3,019E-06			100,0		
27	1434375	525467,	2,00	-	3,421E-06	214	4,74	-	-	-	2
Площадка	Цех	Источник	Вклад (д. ПДК)			Вклад (мг/куб.м)			Вклад %		
1	12	3011	0,00			3,421E-06			100,0		
28	1434538	525109,	2,00	-	3,578E-06	250	4,74	-	-	-	2
Площадка	Цех	Источник	Вклад (д. ПДК)			Вклад (мг/куб.м)			Вклад %		
1	12	3011	0,00			3,578E-06			100,0		
29	1434463	524697,	2,00	-	3,595E-06	295	4,74	-	-	-	2
Площадка	Цех	Источник	Вклад (д. ПДК)			Вклад (мг/куб.м)			Вклад %		
1	12	3011	0,00			3,595E-06			100,0		
30	1434170	524983,	2,00	-	1,423E-06	247	4,74	-	-	-	2
Площадка	Цех	Источник	Вклад (д. ПДК)			Вклад (мг/куб.м)			Вклад %		
1	12	3011	0,00			1,423E-06			100,0		
31	1433991	525254,	2,00	-	3,033E-06	178	4,74	-	-	-	4
Площадка	Цех	Источник	Вклад (д. ПДК)			Вклад (мг/куб.м)			Вклад %		
1	12	3011	0,00			3,033E-06			100,0		
32	1433673	524956,	2,00	-	2,983E-06	97	4,74	-	-	-	4
Площадка	Цех	Источник	Вклад (д. ПДК)			Вклад (мг/куб.м)			Вклад %		
1	12	3011	0,00			2,983E-06			100,0		

Вещество: 0301
Азота диоксид (Двуокись азота; пероксид азота)

№	Коорд Х(м)	Коорд У(м)	Высота (м)	Концентр (д. ПДК)	Концентр. (мг/куб.м)	Напр ветр	Скор ветр	Фон		Фон до исключения		Тип точки
								доли ПДК	мг/куб.м	доли ПДК	мг/куб.м	
24	1434111	525264,	2,00	0,44	0,088	143	0,72	0,25	0,050	0,25	0,050	2
Площадка		Цех	Источник		Вклад (д. ПДК)		Вклад (мг/куб.м)		Вклад %			
1		10	7000		0,10		0,020		22,3			
1		10	7005		0,09		0,018		20,3			
1		10	7001		3,57E-03		7,141E-04		0,8			
23	1433870	524917,	2,00	0,38	0,076	62	0,72	0,25	0,050	0,25	0,050	2
Площадка		Цех	Источник		Вклад (д. ПДК)		Вклад (мг/куб.м)		Вклад %			
1		11	7007		0,07		0,013		17,3			
1		13	7006		0,05		0,009		12,1			
1		10	7000		8,13E-03		0,002		2,2			
1		10	7005		7,39E-03		0,001		2,0			
1		11	7004		8,13E-04		1,625E-04		0,2			
30	1434170	524983,	2,00	0,35	0,070	278	0,72	0,25	0,050	0,25	0,050	2
Площадка		Цех	Источник		Вклад (д. ПДК)		Вклад (мг/куб.м)		Вклад %			
1		11	7007		0,06		0,013		18,3			
1		13	7006		0,02		0,004		6,4			
1		11	7004		0,02		0,003		4,3			
1		11	7003		1,35E-04		2,700E-05		0,0			
31	1433991	525254,	2,00	0,34	0,068	184	0,72	0,25	0,050	0,25	0,050	4
Площадка		Цех	Источник		Вклад (д. ПДК)		Вклад (мг/куб.м)		Вклад %			
1		11	7007		0,04		0,008		11,5			
1		11	7004		0,04		0,007		10,4			
1		13	7006		0,02		0,003		4,7			

	1		11	7003		9,60E-04		1,920E-04		0,3		
	1		11	7002		2,10E-04		4,199E-05		0,1		
32	1433673	524956,	2,00	0,31	0,061	74	0,72	0,25	0,050	0,25	0,050	4
Площадка		Цех	Источник		Вклад (д. ПДК)		Вклад (мг/куб.м)		Вклад %			
	1		11	7007		0,02		0,004		6,7		
	1		11	7004		0,02		0,003		5,1		
	1		13	7006		8,44E-03		0,002		2,8		
	1		10	7000		6,00E-03		0,001		2,0		
	1		10	7005		5,46E-03		0,001		1,8		
27	1434375	525467,	2,00	0,30	0,060	218	1,48	0,25	0,050	0,25	0,050	2
Площадка		Цех	Источник		Вклад (д. ПДК)		Вклад (мг/куб.м)		Вклад %			
	1		10	7000		0,02		0,003		5,7		
	1		10	7005		0,02		0,003		5,2		
	1		11	7007		9,49E-03		0,002		3,1		
	1		13	7006		4,72E-03		9,439E-04		1,6		
	1		11	7004		3,88E-03		7,759E-04		1,3		
28	1434538	525109,	2,00	0,29	0,057	273	0,72	0,25	0,050	0,25	0,050	2
Площадка		Цех	Источник		Вклад (д. ПДК)		Вклад (мг/куб.м)		Вклад %			
	1		10	7000		0,01		0,002		4,0		
	1		10	7005		0,01		0,002		3,6		
	1		11	7007		7,16E-03		0,001		2,5		
	1		11	7004		5,14E-03		0,001		1,8		
	1		13	7006		2,56E-03		5,113E-04		0,9		
25	1434154	525673,	2,00	0,28	0,056	186	0,72	0,25	0,050	0,25	0,050	2
Площадка		Цех	Источник		Вклад (д. ПДК)		Вклад (мг/куб.м)		Вклад %			
	1		10	7000		7,60E-03		0,002		2,7		
	1		10	7005		6,91E-03		0,001		2,5		
	1		11	7007		6,44E-03		0,001		2,3		
	1		11	7004		3,45E-03		6,896E-04		1,2		
	1		13	7006		3,37E-03		6,739E-04		1,2		
29	1434463	524697,	2,00	0,27	0,055	311	0,72	0,25	0,050	0,25	0,050	2
Площадка		Цех	Источник		Вклад (д. ПДК)		Вклад (мг/куб.м)		Вклад %			
	1		11	7007		8,71E-03		0,002		3,2		
	1		11	7004		4,59E-03		9,173E-04		1,7		
	1		13	7006		4,58E-03		9,164E-04		1,7		
	1		10	7000		3,39E-03		6,778E-04		1,2		
	1		10	7005		3,08E-03		6,167E-04		1,1		
26	1434319	525785,	2,00	0,27	0,054	199	0,72	0,25	0,050	0,25	0,050	2
Площадка		Цех	Источник		Вклад (д. ПДК)		Вклад (мг/куб.м)		Вклад %			
	1		10	7000		5,47E-03		0,001		2,0		
	1		11	7007		5,05E-03		0,001		1,9		
	1		10	7005		4,97E-03		9,941E-04		1,8		
	1		11	7004		2,96E-03		5,921E-04		1,1		
	1		13	7006		2,73E-03		5,463E-04		1,0		
7	1434173	521781,	2,00	0,25	0,051	358	0,72	0,25	0,050	0,25	0,050	3
Площадка		Цех	Источник		Вклад (д. ПДК)		Вклад (мг/куб.м)		Вклад %			
	1		11	7007		9,63E-04		1,926E-04		0,4		
	1		10	7000		6,14E-04		1,227E-04		0,2		
	1		11	7004		5,84E-04		1,169E-04		0,2		
	1		13	7006		5,83E-04		1,166E-04		0,2		

1	10	7005	5,58E-04	1,116E-04	0,2							
21	1437189	526151,	2,00	0,25	0,051	251	0,72	0,25	0,050	0,25	0,050	1
Площадка			Цех	Источник	Вклад (д. ПДК)		Вклад (мг/куб.м)		Вклад %			
1	11	7007	8,77E-04		1,755E-04		0,3					
1	10	7000	7,05E-04		1,411E-04		0,3					
1	10	7005	6,42E-04		1,283E-04		0,3					
1	11	7004	5,48E-04		1,095E-04		0,2					
1	13	7006	5,08E-04		1,016E-04		0,2					
10	1430891	526664,	2,00	0,25	0,051	117	1,03	0,25	0,050	0,25	0,050	3
Площадка			Цех	Источник	Вклад (д. ПДК)		Вклад (мг/куб.м)		Вклад %			
1	11	7007	8,37E-04		1,673E-04		0,3					
1	10	7000	5,76E-04		1,151E-04		0,2					
1	11	7004	5,53E-04		1,105E-04		0,2					
1	10	7005	5,24E-04		1,047E-04		0,2					
1	13	7006	4,89E-04		9,772E-05		0,2					
4	1437172	526875,	2,00	0,25	0,051	240	1,03	0,25	0,050	0,25	0,050	3
Площадка			Цех	Источник	Вклад (д. ПДК)		Вклад (мг/куб.м)		Вклад %			
1	11	7007	8,02E-04		1,603E-04		0,3					
1	10	7000	6,15E-04		1,231E-04		0,2					
1	10	7005	5,60E-04		1,120E-04		0,2					
1	11	7004	5,09E-04		1,018E-04		0,2					
1	13	7006	4,68E-04		9,360E-05		0,2					
13	1437255	526860,	2,00	0,25	0,051	241	1,03	0,25	0,050	0,25	0,050	4
Площадка			Цех	Источник	Вклад (д. ПДК)		Вклад (мг/куб.м)		Вклад %			
1	11	7007	7,86E-04		1,572E-04		0,3					
1	10	7000	6,03E-04		1,206E-04		0,2					
1	10	7005	5,48E-04		1,097E-04		0,2					
1	11	7004	5,00E-04		9,997E-05		0,2					
1	13	7006	4,59E-04		9,174E-05		0,2					
19	1437450	526785,	2,00	0,25	0,051	243	1,03	0,25	0,050	0,25	0,050	1
Площадка			Цех	Источник	Вклад (д. ПДК)		Вклад (мг/куб.м)		Вклад %			
1	11	7007	7,43E-04		1,487E-04		0,3					
1	10	7000	5,76E-04		1,152E-04		0,2					
1	10	7005	5,24E-04		1,048E-04		0,2					
1	11	7004	4,67E-04		9,345E-05		0,2					
1	13	7006	4,30E-04		8,606E-05		0,2					
5	1437817	524409,	2,00	0,25	0,051	280	1,03	0,25	0,050	0,25	0,050	3
Площадка			Цех	Источник	Вклад (д. ПДК)		Вклад (мг/куб.м)		Вклад %			
1	11	7007	7,47E-04		1,494E-04		0,3					
1	10	7000	5,57E-04		1,115E-04		0,2					
1	10	7005	5,07E-04		1,014E-04		0,2					
1	11	7004	4,59E-04		9,183E-05		0,2					
1	13	7006	4,40E-04		8,808E-05		0,2					
20	1437558	526658,	2,00	0,25	0,051	246	1,03	0,25	0,050	0,25	0,050	1
Площадка			Цех	Источник	Вклад (д. ПДК)		Вклад (мг/куб.м)		Вклад %			
1	11	7007	7,24E-04		1,448E-04		0,3					
1	10	7000	5,70E-04		1,139E-04		0,2					
1	10	7005	5,18E-04		1,037E-04		0,2					
1	11	7004	4,56E-04		9,126E-05		0,2					
1	13	7006	4,19E-04		8,370E-05		0,2					

22	1437886,50	524620,00	2,00	0,25	0,051	277	1,03	0,25	0,050	0,25	0,050	1
Площадка		Цех	Источник		Вклад (д. ПДК)		Вклад (мг/куб.м)		Вклад %			
	1	11	7007		7,28E-04		1,455E-04		0,3			
	1	10	7000		5,55E-04		1,109E-04		0,2			
	1	10	7005		5,05E-04		1,009E-04		0,2			
	1	11	7004		4,49E-04		8,977E-05		0,2			
	1	13	7006		4,28E-04		8,553E-05		0,2			
9	1430285,00	524137,40	2,00	0,25	0,051	76	1,03	0,25	0,050	0,25	0,050	3
Площадка		Цех	Источник		Вклад (д. ПДК)		Вклад (мг/куб.м)		Вклад %			
	1	11	7007		7,62E-04		1,525E-04		0,3			
	1	11	7004		4,97E-04		9,939E-05		0,2			
	1	10	7000		4,86E-04		9,713E-05		0,2			
	1	13	7006		4,53E-04		9,069E-05		0,2			
	1	10	7005		4,42E-04		8,836E-05		0,2			
18	1437214,50	527335,50	2,00	0,25	0,051	235	1,03	0,25	0,050	0,25	0,050	1
Площадка		Цех	Источник		Вклад (д. ПДК)		Вклад (мг/куб.м)		Вклад %			
	1	11	7007		7,05E-04		1,409E-04		0,3			
	1	10	7000		5,65E-04		1,129E-04		0,2			
	1	10	7005		5,14E-04		1,027E-04		0,2			
	1	11	7004		4,49E-04		8,975E-05		0,2			
	1	13	7006		4,05E-04		8,106E-05		0,2			
6	1436680,45	522220,00	2,00	0,25	0,051	317	1,03	0,25	0,050	0,25	0,050	3
Площадка		Цех	Источник		Вклад (д. ПДК)		Вклад (мг/куб.м)		Вклад %			
	1	11	7007		7,43E-04		1,486E-04		0,3			
	1	10	7000		5,17E-04		1,033E-04		0,2			
	1	10	7005		4,70E-04		9,398E-05		0,2			
	1	11	7004		4,50E-04		9,008E-05		0,2			
	1	13	7006		4,50E-04		8,993E-05		0,2			
8	1431633,00	522009,50	2,00	0,25	0,051	38	1,03	0,25	0,050	0,25	0,050	3
Площадка		Цех	Источник		Вклад (д. ПДК)		Вклад (мг/куб.м)		Вклад %			
	1	11	7007		7,60E-04		1,521E-04		0,3			
	1	11	7004		4,81E-04		9,626E-05		0,2			
	1	10	7000		4,75E-04		9,505E-05		0,2			
	1	13	7006		4,60E-04		9,193E-05		0,2			
	1	10	7005		4,32E-04		8,647E-05		0,2			
14	1436338,50	528292,50	2,00	0,25	0,051	215	1,03	0,25	0,050	0,25	0,050	1
Площадка		Цех	Источник		Вклад (д. ПДК)		Вклад (мг/куб.м)		Вклад %			
	1	11	7007		6,80E-04		1,361E-04		0,3			
	1	10	7000		5,55E-04		1,109E-04		0,2			
	1	10	7005		5,05E-04		1,009E-04		0,2			
	1	11	7004		4,37E-04		8,736E-05		0,2			
	1	13	7006		3,91E-04		7,810E-05		0,2			
15	1436699,50	528132,50	2,00	0,25	0,050	221	1,03	0,25	0,050	0,25	0,050	1
Площадка		Цех	Источник		Вклад (д. ПДК)		Вклад (мг/куб.м)		Вклад %			
	1	11	7007		6,44E-04		1,287E-04		0,3			
	1	10	7000		5,28E-04		1,055E-04		0,2			
	1	10	7005		4,80E-04		9,602E-05		0,2			
	1	11	7004		4,13E-04		8,261E-05		0,2			
	1	13	7006		3,70E-04		7,396E-05		0,1			
3	1436353,70	528421,07	2,00	0,25	0,050	215	1,03	0,25	0,050	0,25	0,050	3

Площадка		Цех	Источник		Вклад (д. ПДК)			Вклад (мг/куб.м)			Вклад %	
1		11	7007		6,37E-04			1,275E-04			0,3	
1		10	7000		5,20E-04			1,041E-04			0,2	
1		10	7005		4,73E-04			9,469E-05			0,2	
1		11	7004		4,12E-04			8,241E-05			0,2	
1		13	7006		3,65E-04			7,306E-05			0,1	
16	1436969,00	528128,00	2,00	0,25	0,050	224	1,48	0,25	0,050	0,25	0,050	1
Площадка		Цех	Источник		Вклад (д. ПДК)			Вклад (мг/куб.м)			Вклад %	
1		11	7007		6,11E-04			1,222E-04			0,2	
1		10	7000		4,66E-04			9,318E-05			0,2	
1		10	7005		4,24E-04			8,477E-05			0,2	
1		11	7004		3,91E-04			7,823E-05			0,2	
1		13	7006		3,56E-04			7,129E-05			0,1	
12	1436403,00	528755,00	2,00	0,25	0,050	213	1,48	0,25	0,050	0,25	0,050	4
Площадка		Цех	Источник		Вклад (д. ПДК)			Вклад (мг/куб.м)			Вклад %	
1		11	7007		5,89E-04			1,179E-04			0,2	
1		10	7000		4,46E-04			8,924E-05			0,2	
1		10	7005		4,06E-04			8,118E-05			0,2	
1		11	7004		3,79E-04			7,574E-05			0,2	
1		13	7006		3,44E-04			6,875E-05			0,1	
17	1437319,00	528099,00	2,00	0,25	0,050	227	1,48	0,25	0,050	0,25	0,050	1
Площадка		Цех	Источник		Вклад (д. ПДК)			Вклад (мг/куб.м)			Вклад %	
1		11	7007		5,77E-04			1,155E-04			0,2	
1		10	7000		4,38E-04			8,767E-05			0,2	
1		10	7005		3,99E-04			7,976E-05			0,2	
1		11	7004		3,67E-04			7,347E-05			0,1	
1		13	7006		3,38E-04			6,758E-05			0,1	
1	1431879,00	529056,00	2,00	0,25	0,050	151	1,48	0,25	0,050	0,25	0,050	3
Площадка		Цех	Источник		Вклад (д. ПДК)			Вклад (мг/куб.м)			Вклад %	
1		11	7007		5,68E-04			1,136E-04			0,2	
1		10	7000		4,12E-04			8,240E-05			0,2	
1		10	7005		3,75E-04			7,497E-05			0,1	
1		11	7004		3,71E-04			7,412E-05			0,1	
1		13	7006		3,31E-04			6,611E-05			0,1	
11	1435750,00	529314,00	2,00	0,25	0,050	202	1,48	0,25	0,050	0,25	0,050	4
Площадка		Цех	Источник		Вклад (д. ПДК)			Вклад (мг/куб.м)			Вклад %	
1		11	7007		5,62E-04			1,123E-04			0,2	
1		10	7000		4,22E-04			8,450E-05			0,2	
1		10	7005		3,84E-04			7,687E-05			0,2	
1		11	7004		3,61E-04			7,227E-05			0,1	
1		13	7006		3,23E-04			6,453E-05			0,1	
2	1434293,00	529740,00	2,00	0,25	0,050	183	1,48	0,25	0,050	0,25	0,050	3
Площадка		Цех	Источник		Вклад (д. ПДК)			Вклад (мг/куб.м)			Вклад %	
1		11	7007		5,35E-04			1,070E-04			0,2	
1		10	7000		4,07E-04			8,139E-05			0,2	
1		10	7005		3,70E-04			7,404E-05			0,1	
1		11	7004		3,52E-04			7,033E-05			0,1	
1		13	7006		3,07E-04			6,145E-05			0,1	

Вещество: 0303
Аммиак (Азота гидрид)

№	Коорд Х(м)	Коорд У(м)	Высота (м)	Концентр (д. ПДК)	Концентр. (мг/куб.м)	Напр ветр	Скор ветр	Фон		Фон до исключения		Тип точки
								доли ПДК	мг/куб.м	доли ПДК	мг/куб.м	
31	1433991	525254	2,00	4,48E-05	8,954E-06	187	1,12	-	-	-	-	4
Площадка		Цех	Источник		Вклад (д. ПДК)		Вклад (мг/куб.м)		Вклад %			
1		9	3010		4,48E-05		8,954E-06		100,0			
24	1434111	525264	2,00	3,65E-05	7,294E-06	222	1,59	-	-	-	-	2
Площадка		Цех	Источник		Вклад (д. ПДК)		Вклад (мг/куб.м)		Вклад %			
1		9	3010		3,65E-05		7,294E-06		100,0			
23	1433870	524917	2,00	3,45E-05	6,903E-06	28	1,59	-	-	-	-	2
Площадка		Цех	Источник		Вклад (д. ПДК)		Вклад (мг/куб.м)		Вклад %			
1		9	3010		3,45E-05		6,903E-06		100,0			
30	1434170	524983	2,00	3,31E-05	6,614E-06	304	1,59	-	-	-	-	2
Площадка		Цех	Источник		Вклад (д. ПДК)		Вклад (мг/куб.м)		Вклад %			
1		9	3010		3,31E-05		6,614E-06		100,0			
32	1433673	524956	2,00	2,35E-05	4,692E-06	62	1,59	-	-	-	-	4
Площадка		Цех	Источник		Вклад (д. ПДК)		Вклад (мг/куб.м)		Вклад %			
1		9	3010		2,35E-05		4,692E-06		100,0			
27	1434375	525467	2,00	1,30E-05	2,606E-06	229	2,25	-	-	-	-	2
Площадка		Цех	Источник		Вклад (д. ПДК)		Вклад (мг/куб.м)		Вклад %			
1		9	3010		1,30E-05		2,606E-06		100,0			
28	1434538	525109	2,00	1,21E-05	2,417E-06	270	2,25	-	-	-	-	2
Площадка		Цех	Источник		Вклад (д. ПДК)		Вклад (мг/куб.м)		Вклад %			
1		9	3010		1,21E-05		2,417E-06		100,0			
25	1434154	525673	2,00	1,14E-05	2,279E-06	198	2,25	-	-	-	-	2
Площадка		Цех	Источник		Вклад (д. ПДК)		Вклад (мг/куб.м)		Вклад %			
1		9	3010		1,14E-05		2,279E-06		100,0			
29	1434463	524697	2,00	9,98E-06	1,995E-06	310	2,25	-	-	-	-	2
Площадка		Цех	Источник		Вклад (д. ПДК)		Вклад (мг/куб.м)		Вклад %			
1		9	3010		9,98E-06		1,995E-06		100,0			
26	1434319	525785	2,00	7,71E-06	1,543E-06	207	2,25	-	-	-	-	2
Площадка		Цех	Источник		Вклад (д. ПДК)		Вклад (мг/куб.м)		Вклад %			
1		9	3010		7,71E-06		1,543E-06		100,0			
7	1434173	521781	2,00	7,10E-07	1,420E-07	357	9,00	-	-	-	-	3
21	1437189	526151	2,00	6,96E-07	1,391E-07	252	9,00	-	-	-	-	1
10	1430891	526664	2,00	6,67E-07	1,334E-07	117	9,00	-	-	-	-	3
4	1437172	526875	2,00	6,00E-07	1,201E-07	241	9,00	-	-	-	-	3
13	1437255	526860	2,00	5,81E-07	1,161E-07	242	9,00	-	-	-	-	4
9	1430285	524137	2,00	5,52E-07	1,105E-07	75	9,00	-	-	-	-	3
19	1437450	526785	2,00	5,41E-07	1,082E-07	244	9,00	-	-	-	-	1
8	1431633	522009	2,00	5,34E-07	1,068E-07	37	9,00	-	-	-	-	3
20	1437558	526658	2,00	5,29E-07	1,059E-07	247	9,00	-	-	-	-	1
5	1437817	524409	2,00	5,28E-07	1,056E-07	280	9,00	-	-	-	-	3
18	1437214	527335	2,00	5,22E-07	1,044E-07	236	9,00	-	-	-	-	1
22	1437886	524620	2,00	5,20E-07	1,040E-07	277	9,00	-	-	-	-	1
6	1436680	522220	2,00	5,16E-07	1,032E-07	317	9,00	-	-	-	-	3

14	1436338	528292,	2,00	5,15E-07	1,029E-07	217	9,00	-	-	-	-	1
15	1436699	528132,	2,00	4,91E-07	9,830E-08	222	9,00	-	-	-	-	1
3	1436353	528421,	2,00	4,89E-07	9,786E-08	216	9,00	-	-	-	-	3
16	1436969	528128,	2,00	4,54E-07	9,076E-08	225	9,00	-	-	-	-	1
12	1436403	528755,	2,00	4,30E-07	8,600E-08	214	9,00	-	-	-	-	4
1	1431879	529056,	2,00	4,16E-07	8,313E-08	152	9,00	-	-	-	-	3
17	1437319	528099,	2,00	4,13E-07	8,255E-08	228	1,59	-	-	-	-	1
11	1435750	529314,	2,00	4,04E-07	8,083E-08	203	1,59	-	-	-	-	4
2	1434293	529740,	2,00	3,96E-07	7,914E-08	184	1,59	-	-	-	-	3

Вещество: 0304
Азот (II) оксид (Азот монооксид)

№	Коорд Х(м)	Коорд У(м)	Высота (м)	Концентр (д. ПДК)	Концентр. (мг/куб.м)	Напр ветр	Скор ветр	Фон		Фон до исключения		Тип точки
								доли ПДК	мг/куб.м	доли ПДК	мг/куб.м	
24	1434111	525264,	2,00	0,02	0,006	143	0,72	-	-	-	-	2

Площадка	Цех	Источник	Вклад (д. ПДК)	Вклад (мг/куб.м)	Вклад %
1	10	7000	8,00E-03	0,003	51,4
1	10	7005	7,27E-03	0,003	46,7
1	10	7001	2,90E-04	1,160E-04	1,9

23	1433870	524917,	2,00	0,01	0,004	62	0,72	-	-	-	-	2
----	---------	---------	------	------	-------	----	------	---	---	---	---	---

Площадка	Цех	Источник	Вклад (д. ПДК)	Вклад (мг/куб.м)	Вклад %
1	11	7007	5,32E-03	0,002	51,3
1	13	7006	3,70E-03	0,001	35,7
1	10	7000	6,60E-04	2,642E-04	6,4
1	10	7005	6,00E-04	2,402E-04	5,8
1	11	7004	6,60E-05	2,641E-05	0,6

30	1434170	524983,	2,00	8,31E-03	0,003	278	0,72	-	-	-	-	2
----	---------	---------	------	----------	-------	-----	------	---	---	---	---	---

Площадка	Цех	Источник	Вклад (д. ПДК)	Вклад (мг/куб.м)	Вклад %
1	11	7007	5,24E-03	0,002	63,1
1	13	7006	1,82E-03	7,289E-04	21,9
1	11	7004	1,23E-03	4,923E-04	14,8
1	11	7003	1,10E-05	4,386E-06	0,1

31	1433991	525254,	2,00	7,50E-03	0,003	184	0,72	-	-	-	-	4
----	---------	---------	------	----------	-------	-----	------	---	---	---	---	---

Площадка	Цех	Источник	Вклад (д. ПДК)	Вклад (мг/куб.м)	Вклад %
1	11	7007	3,21E-03	0,001	42,8
1	11	7004	2,89E-03	0,001	38,5
1	13	7006	1,31E-03	5,228E-04	17,4
1	11	7003	7,80E-05	3,118E-05	1,0
1	11	7002	1,70E-05	6,783E-06	0,2

32	1433673	524956,	2,00	4,59E-03	0,002	74	0,72	-	-	-	-	4
----	---------	---------	------	----------	-------	----	------	---	---	---	---	---

Площадка	Цех	Источник	Вклад (д. ПДК)	Вклад (мг/куб.м)	Вклад %
1	11	7007	1,67E-03	6,699E-04	36,5
1	11	7004	1,26E-03	5,045E-04	27,5
1	13	7006	6,86E-04	2,744E-04	14,9
1	10	7000	4,88E-04	1,952E-04	10,6
1	10	7005	4,44E-04	1,775E-04	9,7

27	1434375	525467,	2,00	4,49E-03	0,002	217	4,37	-	-	-	-	2
----	---------	---------	------	----------	-------	-----	------	---	---	---	---	---

Площадка	Цех	Источник	Вклад (д. ПДК)	Вклад (мг/куб.м)	Вклад %
----------	-----	----------	----------------	------------------	---------

1		13		7006		2,90E-05		1,158E-05		15,7			
12	1436403	528755,00	2,00	1,78E-04	7,111E-05	213	1,48	-	-	-	-	-	4
Площадка		Цех	Источник		Вклад (д. ПДК)		Вклад (мг/куб.м)		Вклад %				
1			11	7007	4,79E-05		1,915E-05		26,9				
1			10	7000	3,63E-05		1,450E-05		20,4				
1			10	7005	3,30E-05		1,319E-05		18,6				
1			11	7004	3,08E-05		1,231E-05		17,3				
1			13	7006	2,79E-05		1,117E-05		15,7				
17	1437319	528099,00	2,00	1,74E-04	6,966E-05	227	1,48	-	-	-	-	-	1
Площадка		Цех	Источник		Вклад (д. ПДК)		Вклад (мг/куб.м)		Вклад %				
1			11	7007	4,69E-05		1,877E-05		26,9				
1			10	7000	3,56E-05		1,425E-05		20,5				
1			10	7005	3,24E-05		1,296E-05		18,6				
1			11	7004	2,98E-05		1,194E-05		17,1				
1			13	7006	2,75E-05		1,098E-05		15,8				
1	1431879	529056,00	2,00	1,69E-04	6,756E-05	151	1,48	-	-	-	-	-	3
Площадка		Цех	Источник		Вклад (д. ПДК)		Вклад (мг/куб.м)		Вклад %				
1			11	7007	4,62E-05		1,846E-05		27,3				
1			10	7000	3,35E-05		1,339E-05		19,8				
1			10	7005	3,05E-05		1,218E-05		18,0				
1			11	7004	3,01E-05		1,204E-05		17,8				
1			13	7006	2,69E-05		1,074E-05		15,9				
11	1435750	529314,00	2,00	1,69E-04	6,745E-05	202	1,48	-	-	-	-	-	4
Площадка		Цех	Источник		Вклад (д. ПДК)		Вклад (мг/куб.м)		Вклад %				
1			11	7007	4,56E-05		1,825E-05		27,1				
1			10	7000	3,43E-05		1,373E-05		20,4				
1			10	7005	3,12E-05		1,249E-05		18,5				
1			11	7004	2,94E-05		1,174E-05		17,4				
1			13	7006	2,62E-05		1,049E-05		15,5				
2	1434293	529740,00	2,00	1,62E-04	6,479E-05	183	1,48	-	-	-	-	-	3
Площадка		Цех	Источник		Вклад (д. ПДК)		Вклад (мг/куб.м)		Вклад %				
1			11	7007	4,35E-05		1,739E-05		26,8				
1			10	7000	3,31E-05		1,323E-05		20,4				
1			10	7005	3,01E-05		1,203E-05		18,6				
1			11	7004	2,86E-05		1,143E-05		17,6				
1			13	7006	2,50E-05		9,985E-06		15,4				

Вещество: 0328
Углерод (Пигмент черный)

№	Коорд Х(м)	Коорд У(м)	Высота (м)	Концентр (д. ПДК)	Концентр. (мг/куб.м)	Напр ветр	Скор ветр	Фон		Фон до исключения		Тип точки
								доли ПДК	мг/куб.м	доли ПДК	мг/куб.м	
24	1434111	525264,	2,00	0,03	0,004	143	0,72	-	-	-	-	2
Площадка		Цех	Источник		Вклад (д. ПДК)		Вклад (мг/куб.м)		Вклад %			
1			10	7000	0,02		0,003		67,1			
1			10	7005	7,54E-03		0,001		30,1			
1			10	7001	6,87E-04		1,030E-04		2,7			
23	1433870	524917,	2,00	0,02	0,003	62	0,72	-	-	-	-	2
Площадка		Цех	Источник		Вклад (д. ПДК)		Вклад (мг/куб.м)		Вклад %			

14	1436338	528292,	2,00	3,69E-04	5,529E-05	215	1,03	-	-	-	-	1
Площадка		Цех	Источник		Вклад (д. ПДК)		Вклад (мг/куб.м)		Вклад %			
	1	11	7007		1,26E-04		1,890E-05		34,2			
	1	10	7000		9,47E-05		1,421E-05		25,7			
	1	13	7006		6,36E-05		9,547E-06		17,3			
	1	10	7005		4,25E-05		6,380E-06		11,5			
	1	11	7004		3,60E-05		5,397E-06		9,8			
15	1436699	528132,	2,00	3,50E-04	5,243E-05	221	1,03	-	-	-	-	1
Площадка		Цех	Источник		Вклад (д. ПДК)		Вклад (мг/куб.м)		Вклад %			
	1	11	7007		1,19E-04		1,788E-05		34,1			
	1	10	7000		9,01E-05		1,352E-05		25,8			
	1	13	7006		6,03E-05		9,041E-06		17,2			
	1	10	7005		4,05E-05		6,070E-06		11,6			
	1	11	7004		3,40E-05		5,104E-06		9,7			
3	1436353	528421,	2,00	3,46E-04	5,186E-05	214	1,03	-	-	-	-	3
Площадка		Цех	Источник		Вклад (д. ПДК)		Вклад (мг/куб.м)		Вклад %			
	1	11	7007		1,18E-04		1,770E-05		34,1			
	1	10	7000		8,91E-05		1,337E-05		25,8			
	1	13	7006		5,96E-05		8,947E-06		17,3			
	1	10	7005		4,00E-05		6,000E-06		11,6			
	1	11	7004		3,37E-05		5,053E-06		9,7			
16	1436969	528128,	2,00	3,24E-04	4,855E-05	224	1,48	-	-	-	-	1
Площадка		Цех	Источник		Вклад (д. ПДК)		Вклад (мг/куб.м)		Вклад %			
	1	11	7007		1,13E-04		1,698E-05		35,0			
	1	10	7000		7,96E-05		1,194E-05		24,6			
	1	13	7006		5,81E-05		8,714E-06		18,0			
	1	10	7005		3,57E-05		5,358E-06		11,0			
	1	11	7004		3,22E-05		4,833E-06		10,0			
12	1436403	528755,	2,00	3,11E-04	4,672E-05	212	1,48	-	-	-	-	4
Площадка		Цех	Источник		Вклад (д. ПДК)		Вклад (мг/куб.м)		Вклад %			
	1	11	7007		1,09E-04		1,635E-05		35,0			
	1	10	7000		7,65E-05		1,147E-05		24,6			
	1	13	7006		5,61E-05		8,419E-06		18,0			
	1	10	7005		3,43E-05		5,151E-06		11,0			
	1	11	7004		3,08E-05		4,626E-06		9,9			
17	1437319	528099,	2,00	3,05E-04	4,579E-05	227	1,48	-	-	-	-	1
Площадка		Цех	Источник		Вклад (д. ПДК)		Вклад (мг/куб.м)		Вклад %			
	1	11	7007		1,07E-04		1,604E-05		35,0			
	1	10	7000		7,49E-05		1,123E-05		24,5			
	1	13	7006		5,51E-05		8,260E-06		18,0			
	1	10	7005		3,36E-05		5,042E-06		11,0			
	1	11	7004		3,03E-05		4,539E-06		9,9			
1	1431879	529056,	2,00	2,96E-04	4,439E-05	151	1,48	-	-	-	-	3
Площадка		Цех	Источник		Вклад (д. ПДК)		Вклад (мг/куб.м)		Вклад %			
	1	11	7007		1,05E-04		1,578E-05		35,5			
	1	10	7000		7,04E-05		1,056E-05		23,8			
	1	13	7006		5,39E-05		8,080E-06		18,2			
	1	10	7005		3,16E-05		4,739E-06		10,7			
	1	11	7004		3,05E-05		4,579E-06		10,3			
11	1435750	529314,	2,00	2,95E-04	4,430E-05	202	1,48	-	-	-	-	4

Площадка		Цех	Источник		Вклад (д. ПДК)			Вклад (мг/куб.м)			Вклад %		
1		11	7007		1,04E-04			1,560E-05			35,2		
1		10	7000		7,22E-05			1,082E-05			24,4		
1		13	7006		5,26E-05			7,887E-06			17,8		
1		10	7005		3,24E-05			4,859E-06			11,0		
1		11	7004		2,98E-05			4,465E-06			10,1		
2	1434293	529740,	2,00	2,83E-04	4,247E-05	183	1,48	-	-	-	-	3	

Площадка	Цех	Источник	Вклад (д. ПДК)		Вклад (мг/куб.м)		Вклад %	
1	11	7007	9,91E-05		1,486E-05		35,0	
1	10	7000	6,95E-05		1,043E-05		24,5	
1	13	7006	5,01E-05		7,511E-06		17,7	
1	10	7005	3,12E-05		4,681E-06		11,0	
1	11	7004	2,90E-05		4,345E-06		10,2	

Вещество: 0330
Сера диоксид

№	Коорд X(м)	Коорд Y(м)	Высота (м)	Концентр (д. ПДК)	Концентр. (мг/куб.м)	Напр ветр а	Скор ветр а	Фон		Фон до исключения		Тип точки
								доли ПДК	мг/куб.м	доли ПДК	мг/куб.м	
30	1434170,00	524983,04	2,00	0,15	0,073	288	2,12	0,14	0,070	0,14	0,070	2

Площадка	Цех	Источник	Вклад (д. ПДК)		Вклад (мг/куб.м)		Вклад %	
1	11	7007	4,31E-03		0,002		3,0	
1	11	7004	1,54E-03		7,678E-04		1,1	
1	11	7003	1,80E-05		9,014E-06		0,0	
1	13	7006	1,36E-05		6,824E-06		0,0	

27	1434375,00	525467,70	2,00	0,14	0,072	225	2,12	0,14	0,070	0,14	0,070	2
----	------------	-----------	------	------	-------	-----	------	------	-------	------	-------	---

Площадка	Цех	Источник	Вклад (д. ПДК)		Вклад (мг/куб.м)		Вклад %	
1	10	7000	1,23E-03		6,126E-04		0,9	
1	11	7007	9,01E-04		4,506E-04		0,6	
1	10	7005	7,56E-04		3,779E-04		0,5	
1	11	7004	4,54E-04		2,269E-04		0,3	
1	13	7006	3,00E-04		1,501E-04		0,2	

28	1434538,70	525109,50	2,00	0,14	0,072	279	2,12	0,14	0,070	0,14	0,070	2
----	------------	-----------	------	------	-------	-----	------	------	-------	------	-------	---

Площадка	Цех	Источник	Вклад (д. ПДК)		Вклад (мг/куб.м)		Вклад %	
1	10	7000	1,56E-03		7,805E-04		1,1	
1	10	7005	9,64E-04		4,819E-04		0,7	
1	11	7004	2,05E-04		1,023E-04		0,1	
1	11	7007	1,52E-04		7,580E-05		0,1	
1	10	7001	5,75E-05		2,877E-05		0,0	

29	1434463,04	524697,40	2,00	0,14	0,071	303	9,00	0,14	0,070	0,14	0,070	2
----	------------	-----------	------	------	-------	-----	------	------	-------	------	-------	---

Площадка	Цех	Источник	Вклад (д. ПДК)		Вклад (мг/куб.м)		Вклад %	
1	11	7007	1,38E-03		6,894E-04		1,0	
1	13	7006	7,05E-04		3,525E-04		0,5	
1	11	7004	4,64E-04		2,321E-04		0,3	
1	11	7003	7,50E-06		3,750E-06		0,0	

24	1434111,70	525264,00	2,00	0,14	0,071	226	2,12	0,14	0,070	0,14	0,070	2
----	------------	-----------	------	------	-------	-----	------	------	-------	------	-------	---

Площадка	Цех	Источник	Вклад (д. ПДК)		Вклад (мг/куб.м)		Вклад %	
1	11	7004	1,91E-03		9,546E-04		1,3	
1	11	7007	1,18E-04		5,914E-05		0,1	

	1		11	7003		5,72E-05		2,859E-05		0,0		
	1		11	7002		1,47E-05		7,331E-06		0,0		
	1		13	7006		1,12E-05		5,601E-06		0,0		
21	1437189	526151,	2,00	0,14	0,070	250	9,00	0,14	0,070	0,14	0,070	1
Площадка		Цех	Источник		Вклад (д. ПДК)		Вклад (мг/куб.м)		Вклад %			
	1		11	7007		8,40E-05		4,199E-05		0,1		
	1		10	7000		6,22E-05		3,112E-05		0,0		
	1		13	7006		4,42E-05		2,209E-05		0,0		
	1		10	7005		3,84E-05		1,921E-05		0,0		
	1		11	7004		3,42E-05		1,711E-05		0,0		
4	1437172	526875,	2,00	0,14	0,070	241	9,00	0,14	0,070	0,14	0,070	3
Площадка		Цех	Источник		Вклад (д. ПДК)		Вклад (мг/куб.м)		Вклад %			
	1		11	7007		7,17E-05		3,587E-05		0,1		
	1		10	7000		5,88E-05		2,940E-05		0,0		
	1		10	7005		3,63E-05		1,815E-05		0,0		
	1		13	7006		3,61E-05		1,804E-05		0,0		
	1		11	7004		3,18E-05		1,592E-05		0,0		
13	1437255	526860,	2,00	0,14	0,070	240	9,00	0,14	0,070	0,14	0,070	4
Площадка		Цех	Источник		Вклад (д. ПДК)		Вклад (мг/куб.м)		Вклад %			
	1		11	7007		7,17E-05		3,587E-05		0,1		
	1		10	7000		5,52E-05		2,760E-05		0,0		
	1		13	7006		3,78E-05		1,888E-05		0,0		
	1		10	7005		3,41E-05		1,704E-05		0,0		
	1		11	7004		2,95E-05		1,475E-05		0,0		
19	1437450	526785,	2,00	0,14	0,070	242	9,00	0,14	0,070	0,14	0,070	1
Площадка		Цех	Источник		Вклад (д. ПДК)		Вклад (мг/куб.м)		Вклад %			
	1		11	7007		6,74E-05		3,370E-05		0,0		
	1		10	7000		5,06E-05		2,528E-05		0,0		
	1		13	7006		3,59E-05		1,794E-05		0,0		
	1		10	7005		3,12E-05		1,561E-05		0,0		
	1		11	7004		2,73E-05		1,367E-05		0,0		
18	1437214	527335,	2,00	0,14	0,070	234	9,00	0,14	0,070	0,14	0,070	1
Площадка		Цех	Источник		Вклад (д. ПДК)		Вклад (мг/куб.м)		Вклад %			
	1		11	7007		6,59E-05		3,293E-05		0,0		
	1		10	7000		5,16E-05		2,579E-05		0,0		
	1		13	7006		3,44E-05		1,722E-05		0,0		
	1		10	7005		3,18E-05		1,592E-05		0,0		
	1		11	7004		2,76E-05		1,378E-05		0,0		
20	1437558	526658,	2,00	0,14	0,070	244	9,00	0,14	0,070	0,14	0,070	1
Площадка		Цех	Источник		Вклад (д. ПДК)		Вклад (мг/куб.м)		Вклад %			
	1		11	7007		6,56E-05		3,279E-05		0,0		
	1		10	7000		4,79E-05		2,397E-05		0,0		
	1		13	7006		3,53E-05		1,763E-05		0,0		
	1		10	7005		2,96E-05		1,480E-05		0,0		
	1		11	7004		2,62E-05		1,312E-05		0,0		
5	1437817	524409,	2,00	0,14	0,070	280	2,12	0,14	0,070	0,14	0,070	3
Площадка		Цех	Источник		Вклад (д. ПДК)		Вклад (мг/куб.м)		Вклад %			
	1		11	7007		6,71E-05		3,353E-05		0,0		
	1		10	7000		4,93E-05		2,465E-05		0,0		
	1		13	7006		3,52E-05		1,761E-05		0,0		

	1		10		7005		3,04E-05		1,522E-05		0,0		
	1		11		7004		2,86E-05		1,432E-05		0,0		
22	1437886	524620,00	2,00	0,14	0,070	277	2,12	0,14	0,070	0,14	0,070	1	
Площадка		Цех	Источник		Вклад (д. ПДК)		Вклад (мг/куб.м)		Вклад %				
	1		11		7007		6,61E-05		3,303E-05		0,0		
	1		10		7000		4,92E-05		2,462E-05		0,0		
	1		13		7006		3,46E-05		1,728E-05		0,0		
	1		10		7005		3,04E-05		1,520E-05		0,0		
	1		11		7004		2,83E-05		1,416E-05		0,0		
16	1436969	528128,00	2,00	0,14	0,070	225	2,12	0,14	0,070	0,14	0,070	1	
Площадка		Цех	Источник		Вклад (д. ПДК)		Вклад (мг/куб.м)		Вклад %				
	1		11		7007		5,89E-05		2,947E-05		0,0		
	1		10		7000		4,53E-05		2,265E-05		0,0		
	1		13		7006		3,07E-05		1,533E-05		0,0		
	1		10		7005		2,80E-05		1,398E-05		0,0		
	1		11		7004		2,59E-05		1,296E-05		0,0		
6	1436680	522220,00	2,00	0,14	0,070	313	2,12	0,14	0,070	0,14	0,070	3	
Площадка		Цех	Источник		Вклад (д. ПДК)		Вклад (мг/куб.м)		Вклад %				
	1		11		7007		6,27E-05		3,137E-05		0,0		
	1		10		7000		3,62E-05		1,811E-05		0,0		
	1		13		7006		3,48E-05		1,742E-05		0,0		
	1		11		7004		2,65E-05		1,324E-05		0,0		
	1		10		7005		2,24E-05		1,119E-05		0,0		
15	1436699	528132,00	2,00	0,14	0,070	225	2,12	0,14	0,070	0,14	0,070	1	
Площадка		Цех	Источник		Вклад (д. ПДК)		Вклад (мг/куб.м)		Вклад %				
	1		11		7007		5,61E-05		2,806E-05		0,0		
	1		10		7000		4,29E-05		2,145E-05		0,0		
	1		13		7006		2,87E-05		1,433E-05		0,0		
	1		10		7005		2,65E-05		1,324E-05		0,0		
	1		11		7004		2,59E-05		1,293E-05		0,0		
17	1437319	528099,00	2,00	0,14	0,070	227	2,12	0,14	0,070	0,14	0,070	1	
Площадка		Цех	Источник		Вклад (д. ПДК)		Вклад (мг/куб.м)		Вклад %				
	1		11		7007		5,63E-05		2,813E-05		0,0		
	1		10		7000		4,30E-05		2,152E-05		0,0		
	1		13		7006		2,96E-05		1,479E-05		0,0		
	1		10		7005		2,66E-05		1,329E-05		0,0		
	1		11		7004		2,42E-05		1,208E-05		0,0		
14	1436338	528292,00	2,00	0,14	0,070	225	2,12	0,14	0,070	0,14	0,070	1	
Площадка		Цех	Источник		Вклад (д. ПДК)		Вклад (мг/куб.м)		Вклад %				
	1		11		7007		3,58E-05		1,791E-05		0,0		
	1		10		7000		2,60E-05		1,298E-05		0,0		
	1		11		7004		1,82E-05		9,081E-06		0,0		
	1		13		7006		1,77E-05		8,874E-06		0,0		
	1		10		7005		1,60E-05		8,016E-06		0,0		
3	1436353	528421,00	2,00	0,14	0,070	225	2,12	0,14	0,070	0,14	0,070	3	
Площадка		Цех	Источник		Вклад (д. ПДК)		Вклад (мг/куб.м)		Вклад %				
	1		11		7007		3,10E-05		1,549E-05		0,0		
	1		10		7000		2,22E-05		1,108E-05		0,0		
	1		11		7004		1,59E-05		7,941E-06		0,0		
	1		13		7006		1,53E-05		7,661E-06		0,0		

12	1436403	528755,00	2,00	0,14	0,070	225	2,12	0,14	0,070	0,14	0,070	4
Площадка		Цех	Источник		Вклад (д. ПДК)			Вклад (мг/куб.м)		Вклад %		
1		11	7007		2,13E-05			1,067E-05		0,0		
1		10	7000		1,48E-05			7,395E-06		0,0		
1		11	7004		1,12E-05			5,592E-06		0,0		
1		13	7006		1,05E-05			5,271E-06		0,0		
1		10	7005		9,13E-06			4,566E-06		0,0		
26	1434319	525785,00	2,00	0,14	0,070	225	2,12	0,14	0,070	0,14	0,070	2
Площадка		Цех	Источник		Вклад (д. ПДК)			Вклад (мг/куб.м)		Вклад %		
1		11	7004		4,16E-05			2,082E-05		0,0		
1		11	7007		1,52E-05			7,608E-06		0,0		
1		13	7006		4,75E-06			2,376E-06		0,0		
1		11	7003		1,28E-06			6,404E-07		0,0		
31	1433991	525254,00	2,00	0,14	0,070	225	2,12	0,14	0,070	0,14	0,070	4
Площадка		Цех	Источник		Вклад (д. ПДК)			Вклад (мг/куб.м)		Вклад %		
1		11	7004		6,58E-06			3,290E-06		0,0		
25	1434154	525673,00	2,00	0,14	0,070	225	2,12	0,14	0,070	0,14	0,070	2
Площадка		Цех	Источник		Вклад (д. ПДК)			Вклад (мг/куб.м)		Вклад %		
1		11	7004		4,72E-06			2,359E-06		0,0		
11	1435750	529314,00	2,00	0,14	0,070	225	2,12	0,14	0,070	0,14	0,070	4
Площадка		Цех	Источник		Вклад (д. ПДК)			Вклад (мг/куб.м)		Вклад %		
1		11	7007		1,38E-06			6,894E-07		0,0		
2	1434293	529740,00	2,00	0,14	0,070	-	-	0,14	0,070	0,14	0,070	3
7	1434173	521781,00	2,00	0,14	0,070	-	-	0,14	0,070	0,14	0,070	3
1	1431879	529056,00	2,00	0,14	0,070	-	-	0,14	0,070	0,14	0,070	3
8	1431633	522009,00	2,00	0,14	0,070	-	-	0,14	0,070	0,14	0,070	3
9	1430285	524137,00	2,00	0,14	0,070	-	-	0,14	0,070	0,14	0,070	3
10	1430891	526664,00	2,00	0,14	0,070	-	-	0,14	0,070	0,14	0,070	3
23	1433870	524917,00	2,00	0,14	0,070	-	-	0,14	0,070	0,14	0,070	2
32	1433673	524956,00	2,00	0,14	0,070	-	-	0,14	0,070	0,14	0,070	4

Вещество: 0337
Углерода оксид (Углерод окись; углерод моноокись; угарный газ)

№	Коорд Х(м)	Коорд Y(м)	Высота (м)	Концентр (д. ПДК)	Концентр. (мг/куб.м)	Напр ветр	Скор ветр	Фон		Фон до исключения		Тип точки
								доли ПДК	мг/куб.м	доли ПДК	мг/куб.м	
24	1434111	525264,00	2,00	0,02	0,106	143	0,72	-	-	-	-	2
Площадка		Цех	Источник		Вклад (д. ПДК)			Вклад (мг/куб.м)		Вклад %		
1		10	7005		0,01			0,059		55,7		
1		10	7000		9,08E-03			0,045		42,7		
1		10	7001		3,30E-04			0,002		1,6		
23	1433870	524917,00	2,00	0,01	0,068	62	0,72	-	-	-	-	2
Площадка		Цех	Источник		Вклад (д. ПДК)			Вклад (мг/куб.м)		Вклад %		
1		11	7007		6,76E-03			0,034		49,4		
1		13	7006		5,06E-03			0,025		37,0		
1		10	7005		9,78E-04			0,005		7,1		
1		10	7000		7,50E-04			0,004		5,5		
1		11	7004		1,08E-04			5,405E-04		0,8		

30	1434170	524983,	2,00	0,01	0,056	279	0,72	-	-	-	-	2
	Площадка	Цех		Источник	Вклад (д. ПДК)		Вклад (мг/куб.м)		Вклад %			
	1	11		7007	6,73E-03		0,034		60,1			
	1	13		7006	2,29E-03		0,011		20,5			
	1	11		7004	2,16E-03		0,011		19,3			
	1	11		7003	1,36E-05		6,824E-05		0,1			
31	1433991	525254,	2,00	0,01	0,054	186	0,72	-	-	-	-	4
	Площадка	Цех		Источник	Вклад (д. ПДК)		Вклад (мг/куб.м)		Вклад %			
	1	11		7004	5,16E-03		0,026		47,9			
	1	11		7007	3,79E-03		0,019		35,2			
	1	13		7006	1,70E-03		0,008		15,8			
	1	11		7003	9,55E-05		4,775E-04		0,9			
	1	11		7002	1,75E-05		8,731E-05		0,2			
32	1433673	524956,	2,00	6,46E-03	0,032	73	0,72	-	-	-	-	4
	Площадка	Цех		Источник	Вклад (д. ПДК)		Вклад (мг/куб.м)		Вклад %			
	1	11		7004	2,14E-03		0,011		33,2			
	1	11		7007	2,08E-03		0,010		32,2			
	1	13		7006	8,72E-04		0,004		13,5			
	1	10		7005	7,47E-04		0,004		11,6			
	1	10		7000	5,73E-04		0,003		8,9			
27	1434375	525467,	2,00	6,07E-03	0,030	217	4,37	-	-	-	-	2
	Площадка	Цех		Источник	Вклад (д. ПДК)		Вклад (мг/куб.м)		Вклад %			
	1	10		7005	2,21E-03		0,011		36,4			
	1	10		7000	1,70E-03		0,009		28,0			
	1	11		7007	1,21E-03		0,006		19,9			
	1	13		7006	7,00E-04		0,004		11,5			
	1	11		7004	1,87E-04		9,345E-04		3,1			
28	1434538	525109,	2,00	4,18E-03	0,021	273	0,72	-	-	-	-	2
	Площадка	Цех		Источник	Вклад (д. ПДК)		Вклад (мг/куб.м)		Вклад %			
	1	10		7005	1,37E-03		0,007		32,8			
	1	10		7000	1,05E-03		0,005		25,1			
	1	11		7007	7,40E-04		0,004		17,7			
	1	11		7004	6,84E-04		0,003		16,4			
	1	13		7006	2,84E-04		0,001		6,8			
25	1434154	525673,	2,00	3,15E-03	0,016	187	0,72	-	-	-	-	2
	Площадка	Цех		Источник	Вклад (д. ПДК)		Вклад (мг/куб.м)		Вклад %			
	1	10		7005	8,86E-04		0,004		28,1			
	1	11		7007	6,82E-04		0,003		21,7			
	1	10		7000	6,79E-04		0,003		21,6			
	1	11		7004	4,85E-04		0,002		15,4			
	1	13		7006	3,83E-04		0,002		12,2			
29	1434463	524697,	2,00	3,02E-03	0,015	304	9,00	-	-	-	-	2
	Площадка	Цех		Источник	Вклад (д. ПДК)		Вклад (мг/куб.м)		Вклад %			
	1	11		7007	1,37E-03		0,007		45,5			
	1	11		7004	9,35E-04		0,005		30,9			
	1	13		7006	7,05E-04		0,004		23,3			
	1	11		7003	7,35E-06		3,673E-05		0,2			
26	1434319	525785,	2,00	2,99E-03	0,015	198	9,00	-	-	-	-	2
	Площадка	Цех		Источник	Вклад (д. ПДК)		Вклад (мг/куб.м)		Вклад %			
	1	10		7005	9,13E-04		0,005		30,5			

	1		11	7004		6,11E-05		3,054E-04		19,8		
	1		10	7000		5,14E-05		2,571E-04		16,7		
	1		13	7006		4,89E-05		2,447E-04		15,9		
20	1437558	526658,	2,00	3,06E-04	0,002	246	1,03	-	-	-	-	1
Площадка		Цех	Источник		Вклад (д. ПДК)		Вклад (мг/куб.м)		Вклад %			
	1		11	7007		7,48E-05		3,741E-04		24,5		
	1		10	7005		6,86E-05		3,429E-04		22,4		
	1		11	7004		6,07E-05		3,035E-04		19,8		
	1		10	7000		5,26E-05		2,628E-04		17,2		
	1		13	7006		4,65E-05		2,326E-04		15,2		
22	1437886	524620,	2,00	3,03E-04	0,002	277	1,03	-	-	-	-	1
Площадка		Цех	Источник		Вклад (д. ПДК)		Вклад (мг/куб.м)		Вклад %			
	1		11	7007		7,52E-05		3,760E-04		24,8		
	1		10	7005		6,68E-05		3,339E-04		22,0		
	1		11	7004		5,97E-05		2,986E-04		19,7		
	1		10	7000		5,12E-05		2,558E-04		16,9		
	1		13	7006		4,75E-05		2,377E-04		15,7		
9	1430285	524137,	2,00	3,01E-04	0,002	76	1,03	-	-	-	-	3
Площадка		Цех	Источник		Вклад (д. ПДК)		Вклад (мг/куб.м)		Вклад %			
	1		11	7007		7,88E-05		3,938E-04		26,2		
	1		11	7004		6,61E-05		3,306E-04		22,0		
	1		10	7005		5,85E-05		2,923E-04		19,4		
	1		13	7006		5,04E-05		2,520E-04		16,7		
	1		10	7000		4,48E-05		2,240E-04		14,9		
18	1437214	527335,	2,00	3,00E-04	0,002	235	1,03	-	-	-	-	1
Площадка		Цех	Источник		Вклад (д. ПДК)		Вклад (мг/куб.м)		Вклад %			
	1		11	7007		7,28E-05		3,641E-04		24,2		
	1		10	7005		6,80E-05		3,399E-04		22,6		
	1		11	7004		5,97E-05		2,985E-04		19,9		
	1		10	7000		5,21E-05		2,604E-04		17,3		
	1		13	7006		4,50E-05		2,252E-04		15,0		
6	1436680	522220,	2,00	2,99E-04	0,001	317	1,03	-	-	-	-	3
Площадка		Цех	Источник		Вклад (д. ПДК)		Вклад (мг/куб.м)		Вклад %			
	1		11	7007		7,68E-05		3,838E-04		25,7		
	1		10	7005		6,22E-05		3,109E-04		20,8		
	1		11	7004		5,99E-05		2,996E-04		20,0		
	1		13	7006		5,00E-05		2,499E-04		16,7		
	1		10	7000		4,76E-05		2,382E-04		15,9		
8	1431633	522009,	2,00	2,97E-04	0,001	38	1,03	-	-	-	-	3
Площадка		Цех	Источник		Вклад (д. ПДК)		Вклад (мг/куб.м)		Вклад %			
	1		11	7007		7,86E-05		3,929E-04		26,4		
	1		11	7004		6,40E-05		3,202E-04		21,5		
	1		10	7005		5,72E-05		2,861E-04		19,2		
	1		13	7006		5,11E-05		2,554E-04		17,2		
	1		10	7000		4,38E-05		2,192E-04		14,7		
14	1436338	528292,	2,00	2,92E-04	0,001	215	1,03	-	-	-	-	1
Площадка		Цех	Источник		Вклад (д. ПДК)		Вклад (мг/куб.м)		Вклад %			
	1		11	7007		7,03E-05		3,515E-04		24,0		
	1		10	7005		6,68E-05		3,339E-04		22,8		
	1		11	7004		5,81E-05		2,906E-04		19,9		

1			13		7006		3,59E-05			1,793E-04			15,3	
2	1434293	529740,56	2,00	2,25E-04	0,001	183	1,48	-	-	-	-	-	-	3
Площадка		Цех	Источник		Вклад (д. ПДК)			Вклад (мг/куб.м)			Вклад %			
1			11	7007	5,53E-05			2,765E-04			24,6			
1			10	7005	4,90E-05			2,450E-04			21,8			
1			11	7004	4,68E-05			2,339E-04			20,8			
1			10	7000	3,75E-05			1,877E-04			16,7			
1			13	7006	3,41E-05			1,707E-04			15,2			

Вещество: 0938
1,1,1,2-Тетрафторэтан

№	Коорд X(м)	Коорд Y(м)	Высота (м)	Концентр (д. ПДК)	Концентр. (мг/куб.м)	Напр ветр	Скор ветр	Фон		Фон до исключения		Тип точки
								доли ПДК	мг/куб.м	доли ПДК	мг/куб.м	
31	1433991	525254,	2,00	8,16E-07	2,041E-06	187	1,12	-	-	-	-	4
24	1434111	525264,	2,00	6,65E-07	1,662E-06	222	1,59	-	-	-	-	2
23	1433870	524917,	2,00	6,29E-07	1,573E-06	28	1,59	-	-	-	-	2
30	1434170	524983,	2,00	6,03E-07	1,508E-06	304	1,59	-	-	-	-	2
32	1433673	524956,	2,00	4,28E-07	1,070E-06	62	1,59	-	-	-	-	4
27	1434375	525467,	2,00	2,38E-07	5,940E-07	229	2,25	-	-	-	-	2
28	1434538	525109,	2,00	2,20E-07	5,509E-07	270	2,25	-	-	-	-	2
25	1434154	525673,	2,00	2,08E-07	5,194E-07	198	2,25	-	-	-	-	2
29	1434463	524697,	2,00	1,82E-07	4,548E-07	310	2,25	-	-	-	-	2
26	1434319	525785,	2,00	1,41E-07	3,517E-07	207	2,25	-	-	-	-	2
7	1434173	521781,	2,00	1,29E-08	3,236E-08	357	9,00	-	-	-	-	3
21	1437189	526151,	2,00	1,27E-08	3,172E-08	252	9,00	-	-	-	-	1
10	1430891	526664,	2,00	1,22E-08	3,041E-08	117	9,00	-	-	-	-	3
4	1437172	526875,	2,00	1,09E-08	2,736E-08	241	9,00	-	-	-	-	3
13	1437255	526860,	2,00	1,06E-08	2,646E-08	242	9,00	-	-	-	-	4
9	1430285	524137,	2,00	1,01E-08	2,519E-08	75	9,00	-	-	-	-	3
19	1437450	526785,	2,00	9,87E-09	2,467E-08	-	-	-	-	-	-	1
8	1431633	522009,	2,00	9,74E-09	2,434E-08	-	-	-	-	-	-	3
20	1437558	526658,	2,00	9,65E-09	2,414E-08	-	-	-	-	-	-	1
5	1437817	524409,	2,00	9,63E-09	2,407E-08	-	-	-	-	-	-	3
18	1437214	527335,	2,00	9,52E-09	2,381E-08	-	-	-	-	-	-	1
22	1437886	524620,	2,00	9,48E-09	2,370E-08	-	-	-	-	-	-	1
6	1436680	522220,	2,00	9,40E-09	2,351E-08	-	-	-	-	-	-	3
14	1436338	528292,	2,00	9,39E-09	2,346E-08	-	-	-	-	-	-	1
15	1436699	528132,	2,00	8,96E-09	2,241E-08	-	-	-	-	-	-	1
3	1436353	528421,	2,00	8,92E-09	2,231E-08	-	-	-	-	-	-	3
16	1436969	528128,	2,00	8,27E-09	2,069E-08	-	-	-	-	-	-	1
12	1436403	528755,	2,00	7,84E-09	1,960E-08	-	-	-	-	-	-	4
1	1431879	529056,	2,00	7,58E-09	1,895E-08	-	-	-	-	-	-	3
17	1437319	528099,	2,00	7,53E-09	1,881E-08	-	-	-	-	-	-	1
11	1435750	529314,	2,00	7,37E-09	1,842E-08	-	-	-	-	-	-	4
2	1434293	529740,	2,00	7,22E-09	1,804E-08	-	-	-	-	-	-	3

Вещество: 0967
Пентафторэтан

№	Коорд Х(м)	Коорд У(м)	Высота (м)	Концентр (д. ПДК)	Концентр. (мг/куб.м)	Напр ветр	Скор ветр	Фон		Фон до исключения		Тип точки
								доли ПДК	мг/куб.м	доли ПДК	мг/куб.м	
31	1433991	525254,	2,00	2,24E-07	2,245E-05	187	1,12	-	-	-	-	4
24	1434111	525264,	2,00	1,83E-07	1,829E-05	222	1,59	-	-	-	-	2
23	1433870	524917,	2,00	1,73E-07	1,731E-05	28	1,59	-	-	-	-	2
30	1434170	524983,	2,00	1,66E-07	1,658E-05	304	1,59	-	-	-	-	2
32	1433673	524956,	2,00	1,18E-07	1,176E-05	62	1,59	-	-	-	-	4
27	1434375	525467,	2,00	6,53E-08	6,534E-06	229	2,25	-	-	-	-	2
28	1434538	525109,	2,00	6,06E-08	6,060E-06	270	2,25	-	-	-	-	2
25	1434154	525673,	2,00	5,71E-08	5,713E-06	198	2,25	-	-	-	-	2
29	1434463	524697,	2,00	5,00E-08	5,003E-06	310	2,25	-	-	-	-	2
26	1434319	525785,	2,00	3,87E-08	3,868E-06	207	2,25	-	-	-	-	2
7	1434173	521781,	2,00	3,56E-09	3,559E-07	-	-	-	-	-	-	3
21	1437189	526151,	2,00	3,49E-09	3,489E-07	-	-	-	-	-	-	1
10	1430891	526664,	2,00	3,35E-09	3,346E-07	-	-	-	-	-	-	3
4	1437172	526875,	2,00	3,01E-09	3,010E-07	-	-	-	-	-	-	3
13	1437255	526860,	2,00	2,91E-09	2,911E-07	-	-	-	-	-	-	4
9	1430285	524137,	2,00	2,77E-09	2,770E-07	-	-	-	-	-	-	3
19	1437450	526785,	2,00	2,71E-09	2,713E-07	-	-	-	-	-	-	1
8	1431633	522009,	2,00	2,68E-09	2,678E-07	-	-	-	-	-	-	3
20	1437558	526658,	2,00	2,65E-09	2,655E-07	-	-	-	-	-	-	1
5	1437817	524409,	2,00	2,65E-09	2,648E-07	-	-	-	-	-	-	3
18	1437214	527335,	2,00	2,62E-09	2,619E-07	-	-	-	-	-	-	1
22	1437886	524620,	2,00	2,61E-09	2,607E-07	-	-	-	-	-	-	1
6	1436680	522220,	2,00	2,59E-09	2,586E-07	-	-	-	-	-	-	3
14	1436338	528292,	2,00	2,58E-09	2,581E-07	-	-	-	-	-	-	1
15	1436699	528132,	2,00	2,46E-09	2,465E-07	-	-	-	-	-	-	1
3	1436353	528421,	2,00	2,45E-09	2,454E-07	-	-	-	-	-	-	3
16	1436969	528128,	2,00	2,28E-09	2,275E-07	-	-	-	-	-	-	1
12	1436403	528755,	2,00	2,16E-09	2,156E-07	-	-	-	-	-	-	4
1	1431879	529056,	2,00	2,08E-09	2,084E-07	-	-	-	-	-	-	3
17	1437319	528099,	2,00	2,07E-09	2,070E-07	-	-	-	-	-	-	1
11	1435750	529314,	2,00	2,03E-09	2,027E-07	-	-	-	-	-	-	4
2	1434293	529740,	2,00	1,98E-09	1,984E-07	-	-	-	-	-	-	3

Вещество: 0978
1,1,1-Трифторэтан

№	Коорд Х(м)	Коорд У(м)	Высота (м)	Концентр (д. ПДК)	Концентр. (мг/куб.м)	Напр ветр	Скор ветр	Фон		Фон до исключения		Тип точки
								доли ПДК	мг/куб.м	доли ПДК	мг/куб.м	
31	1433991	525254,	2,00	1,77E-06	2,653E-05	187	1,12	-	-	-	-	4
Площадка		Цех	Источник		Вклад (д. ПДК)		Вклад (мг/куб.м)		Вклад %			
1		9	3010		1,77E-06		2,653E-05		100,0			
24	1434111	525264,	2,00	1,44E-06	2,161E-05	222	1,59	-	-	-	-	2

Площадка	Цех	Источник	Вклад (д. ПДК)				Вклад (мг/куб.м)		Вклад %	
1	9	3010	1,44E-06				2,161E-05		100,0	
23	1433870	524917,	2,00	1,36E-06	2,045E-05	28	1,59	-	-	2
Площадка	Цех	Источник	Вклад (д. ПДК)				Вклад (мг/куб.м)		Вклад %	
1	9	3010	1,36E-06				2,045E-05		100,0	
30	1434170	524983,	2,00	1,31E-06	1,960E-05	304	1,59	-	-	2
Площадка	Цех	Источник	Вклад (д. ПДК)				Вклад (мг/куб.м)		Вклад %	
1	9	3010	1,31E-06				1,960E-05		100,0	
32	1433673	524956,	2,00	9,27E-07	1,390E-05	62	1,59	-	-	4
27	1434375	525467,	2,00	5,15E-07	7,721E-06	229	2,25	-	-	2
28	1434538	525109,	2,00	4,77E-07	7,162E-06	270	2,25	-	-	2
25	1434154	525673,	2,00	4,50E-07	6,752E-06	198	2,25	-	-	2
29	1434463	524697,	2,00	3,94E-07	5,913E-06	310	2,25	-	-	2
26	1434319	525785,	2,00	3,05E-07	4,572E-06	207	2,25	-	-	2
7	1434173	521781,	2,00	2,80E-08	4,206E-07	357	9,00	-	-	3
21	1437189	526151,	2,00	2,75E-08	4,123E-07	252	9,00	-	-	1
10	1430891	526664,	2,00	2,64E-08	3,954E-07	117	9,00	-	-	3
4	1437172	526875,	2,00	2,37E-08	3,557E-07	241	9,00	-	-	3
13	1437255	526860,	2,00	2,29E-08	3,440E-07	242	9,00	-	-	4
9	1430285	524137,	2,00	2,18E-08	3,274E-07	75	9,00	-	-	3
19	1437450	526785,	2,00	2,14E-08	3,207E-07	244	9,00	-	-	1
8	1431633	522009,	2,00	2,11E-08	3,165E-07	37	9,00	-	-	3
20	1437558	526658,	2,00	2,09E-08	3,138E-07	247	9,00	-	-	1
5	1437817	524409,	2,00	2,09E-08	3,129E-07	280	9,00	-	-	3
18	1437214	527335,	2,00	2,06E-08	3,095E-07	236	9,00	-	-	1
22	1437886	524620,	2,00	2,05E-08	3,081E-07	277	9,00	-	-	1
6	1436680	522220,	2,00	2,04E-08	3,056E-07	317	9,00	-	-	3
14	1436338	528292,	2,00	2,03E-08	3,050E-07	217	9,00	-	-	1
15	1436699	528132,	2,00	1,94E-08	2,913E-07	222	9,00	-	-	1
3	1436353	528421,	2,00	1,93E-08	2,900E-07	216	9,00	-	-	3
16	1436969	528128,	2,00	1,79E-08	2,689E-07	225	9,00	-	-	1
12	1436403	528755,	2,00	1,70E-08	2,548E-07	214	9,00	-	-	4
1	1431879	529056,	2,00	1,64E-08	2,463E-07	152	9,00	-	-	3
17	1437319	528099,	2,00	1,63E-08	2,446E-07	228	1,59	-	-	1
11	1435750	529314,	2,00	1,60E-08	2,395E-07	203	1,59	-	-	4
2	1434293	529740,	2,00	1,56E-08	2,345E-07	184	1,59	-	-	3

Вещество: 1061
Этанол (Этиловый спирт; метилкарбинол)

№	Коорд Х(м)	Коорд У(м)	Высота (м)	Концентр (д. ПДК)	Концентр. (мг/куб.м)	Напр ветр	Скор ветр	Фон		Фон до исключения		Тип точки
								доли ПДК	мг/куб.м	доли ПДК	мг/куб.м	
31	1433991	525254,	2,00	5,53E-04	0,003	187	1,12	-	-	-	-	4
Площадка		Цех		Источник	Вклад (д. ПДК)		Вклад (мг/куб.м)		Вклад %			
1		9		3010	5,53E-04		0,003		100,0			
24	1434111	525264,	2,00	4,51E-04	0,002	222	1,59	-	-	-	-	2
Площадка		Цех		Источник	Вклад (д. ПДК)		Вклад (мг/куб.м)		Вклад %			
1		9		3010	4,51E-04		0,002		100,0			
23	1433870	524917,	2,00	4,27E-04	0,002	28	1,59	-	-	-	-	2

Площадка		Цех	Источник		Вклад (д. ПДК)			Вклад (мг/куб.м)		Вклад %	
1		9	3010		4,27E-04			0,002		100,0	
30	1434170	524983,	2,00	4,09E-04	0,002	304	1,59	-	-	-	2
Площадка		Цех	Источник		Вклад (д. ПДК)			Вклад (мг/куб.м)		Вклад %	
1		9	3010		4,09E-04			0,002		100,0	
32	1433673	524956,	2,00	2,90E-04	0,001	62	1,59	-	-	-	4
Площадка		Цех	Источник		Вклад (д. ПДК)			Вклад (мг/куб.м)		Вклад %	
1		9	3010		2,90E-04			0,001		100,0	
27	1434375	525467,	2,00	1,61E-04	8,055E-04	229	2,25	-	-	-	2
Площадка		Цех	Источник		Вклад (д. ПДК)			Вклад (мг/куб.м)		Вклад %	
1		9	3010		1,61E-04			8,055E-04		100,0	
28	1434538	525109,	2,00	1,49E-04	7,471E-04	270	2,25	-	-	-	2
Площадка		Цех	Источник		Вклад (д. ПДК)			Вклад (мг/куб.м)		Вклад %	
1		9	3010		1,49E-04			7,471E-04		100,0	
25	1434154	525673,	2,00	1,41E-04	7,043E-04	198	2,25	-	-	-	2
Площадка		Цех	Источник		Вклад (д. ПДК)			Вклад (мг/куб.м)		Вклад %	
1		9	3010		1,41E-04			7,043E-04		100,0	
29	1434463	524697,	2,00	1,23E-04	6,168E-04	310	2,25	-	-	-	2
Площадка		Цех	Источник		Вклад (д. ПДК)			Вклад (мг/куб.м)		Вклад %	
1		9	3010		1,23E-04			6,168E-04		100,0	
26	1434319	525785,	2,00	9,54E-05	4,769E-04	207	2,25	-	-	-	2
Площадка		Цех	Источник		Вклад (д. ПДК)			Вклад (мг/куб.м)		Вклад %	
1		9	3010		9,54E-05			4,769E-04		100,0	
7	1434173	521781,	2,00	8,78E-06	4,388E-05	357	9,00	-	-	-	3
Площадка		Цех	Источник		Вклад (д. ПДК)			Вклад (мг/куб.м)		Вклад %	
1		9	3010		8,78E-06			4,388E-05		100,0	
21	1437189	526151,	2,00	8,60E-06	4,301E-05	252	9,00	-	-	-	1
Площадка		Цех	Источник		Вклад (д. ПДК)			Вклад (мг/куб.м)		Вклад %	
1		9	3010		8,60E-06			4,301E-05		100,0	
10	1430891	526664,	2,00	8,25E-06	4,124E-05	117	9,00	-	-	-	3
Площадка		Цех	Источник		Вклад (д. ПДК)			Вклад (мг/куб.м)		Вклад %	
1		9	3010		8,25E-06			4,124E-05		100,0	
4	1437172	526875,	2,00	7,42E-06	3,711E-05	241	9,00	-	-	-	3
Площадка		Цех	Источник		Вклад (д. ПДК)			Вклад (мг/куб.м)		Вклад %	
1		9	3010		7,42E-06			3,711E-05		100,0	
13	1437255	526860,	2,00	7,18E-06	3,589E-05	242	9,00	-	-	-	4
Площадка		Цех	Источник		Вклад (д. ПДК)			Вклад (мг/куб.м)		Вклад %	
1		9	3010		7,18E-06			3,589E-05		100,0	
9	1430285	524137,	2,00	6,83E-06	3,415E-05	75	9,00	-	-	-	3
Площадка		Цех	Источник		Вклад (д. ПДК)			Вклад (мг/куб.м)		Вклад %	
1		9	3010		6,83E-06			3,415E-05		100,0	
19	1437450	526785,	2,00	6,69E-06	3,345E-05	244	9,00	-	-	-	1
Площадка		Цех	Источник		Вклад (д. ПДК)			Вклад (мг/куб.м)		Вклад %	
1		9	3010		6,69E-06			3,345E-05		100,0	
8	1431633	522009,	2,00	6,60E-06	3,301E-05	37	9,00	-	-	-	3
Площадка		Цех	Источник		Вклад (д. ПДК)			Вклад (мг/куб.м)		Вклад %	
1		9	3010		6,60E-06			3,301E-05		100,0	
20	1437558	526658,	2,00	6,55E-06	3,273E-05	247	9,00	-	-	-	1
Площадка		Цех	Источник		Вклад (д. ПДК)			Вклад (мг/куб.м)		Вклад %	
1		9	3010		6,55E-06			3,273E-05		100,0	

5	1437817	524409,	2,00	6,53E-06	3,264E-05	280	9,00	-	-	-	-	3
Площадка		Цех	Источник		Вклад (д. ПДК)		Вклад (мг/куб.м)		Вклад %			
1		9	3010		6,53E-06		3,264E-05		100,0			
18	1437214	527335,	2,00	6,46E-06	3,228E-05	236	9,00	-	-	-	-	1
Площадка		Цех	Источник		Вклад (д. ПДК)		Вклад (мг/куб.м)		Вклад %			
1		9	3010		6,46E-06		3,228E-05		100,0			
22	1437886	524620,	2,00	6,43E-06	3,214E-05	277	9,00	-	-	-	-	1
Площадка		Цех	Источник		Вклад (д. ПДК)		Вклад (мг/куб.м)		Вклад %			
1		9	3010		6,43E-06		3,214E-05		100,0			
6	1436680	522220,	2,00	6,38E-06	3,188E-05	317	9,00	-	-	-	-	3
Площадка		Цех	Источник		Вклад (д. ПДК)		Вклад (мг/куб.м)		Вклад %			
1		9	3010		6,38E-06		3,188E-05		100,0			
14	1436338	528292,	2,00	6,36E-06	3,182E-05	217	9,00	-	-	-	-	1
Площадка		Цех	Источник		Вклад (д. ПДК)		Вклад (мг/куб.м)		Вклад %			
1		9	3010		6,36E-06		3,182E-05		100,0			
15	1436699	528132,	2,00	6,08E-06	3,038E-05	222	9,00	-	-	-	-	1
Площадка		Цех	Источник		Вклад (д. ПДК)		Вклад (мг/куб.м)		Вклад %			
1		9	3010		6,08E-06		3,038E-05		100,0			
3	1436353	528421,	2,00	6,05E-06	3,025E-05	216	9,00	-	-	-	-	3
Площадка		Цех	Источник		Вклад (д. ПДК)		Вклад (мг/куб.м)		Вклад %			
1		9	3010		6,05E-06		3,025E-05		100,0			
16	1436969	528128,	2,00	5,61E-06	2,805E-05	225	9,00	-	-	-	-	1
Площадка		Цех	Источник		Вклад (д. ПДК)		Вклад (мг/куб.м)		Вклад %			
1		9	3010		5,61E-06		2,805E-05		100,0			
12	1436403	528755,	2,00	5,32E-06	2,658E-05	214	9,00	-	-	-	-	4
Площадка		Цех	Источник		Вклад (д. ПДК)		Вклад (мг/куб.м)		Вклад %			
1		9	3010		5,32E-06		2,658E-05		100,0			
1	1431879	529056,	2,00	5,14E-06	2,570E-05	152	9,00	-	-	-	-	3
Площадка		Цех	Источник		Вклад (д. ПДК)		Вклад (мг/куб.м)		Вклад %			
1		9	3010		5,14E-06		2,570E-05		100,0			
17	1437319	528099,	2,00	5,10E-06	2,551E-05	228	1,59	-	-	-	-	1
Площадка		Цех	Источник		Вклад (д. ПДК)		Вклад (мг/куб.м)		Вклад %			
1		9	3010		5,10E-06		2,551E-05		100,0			
11	1435750	529314,	2,00	5,00E-06	2,498E-05	203	1,59	-	-	-	-	4
Площадка		Цех	Источник		Вклад (д. ПДК)		Вклад (мг/куб.м)		Вклад %			
1		9	3010		5,00E-06		2,498E-05		100,0			
2	1434293	529740,	2,00	4,89E-06	2,446E-05	184	1,59	-	-	-	-	3
Площадка		Цех	Источник		Вклад (д. ПДК)		Вклад (мг/куб.м)		Вклад %			
1		9	3010		4,89E-06		2,446E-05		100,0			

Вещество: 1314
Пропаналь (Пропиональдегид, метилацетальдегид)

№	Коорд X(м)	Коорд Y(м)	Высота (м)	Концентр (д. ПДК)	Концентр. (мг/куб.м)	Напр ветр а	Скор ветр а	Фон		Фон до исключения		Тип точки
								доли ПДК	мг/куб.м	доли ПДК	мг/куб.м	
31	1433991	525254,	2,00	1,79E-03	1,791E-05	187	1,12	-	-	-	-	4
Площадка		Цех	Источник		Вклад (д. ПДК)		Вклад (мг/куб.м)		Вклад %			
1		9	3010		1,79E-03		1,791E-05		100,0			
24	1434111	525264,	2,00	1,46E-03	1,459E-05	222	1,59	-	-	-	-	2

Площадка		Цех	Источник		Вклад (д. ПДК)			Вклад (мг/куб.м)		Вклад %	
1		9	3010		1,46E-03			1,459E-05		100,0	
23	1433870	524917,	2,00	1,38E-03	1,381E-05	28	1,59	-	-	-	2
Площадка		Цех	Источник		Вклад (д. ПДК)			Вклад (мг/куб.м)		Вклад %	
1		9	3010		1,38E-03			1,381E-05		100,0	
30	1434170	524983,	2,00	1,32E-03	1,323E-05	304	1,59	-	-	-	2
Площадка		Цех	Источник		Вклад (д. ПДК)			Вклад (мг/куб.м)		Вклад %	
1		9	3010		1,32E-03			1,323E-05		100,0	
32	1433673	524956,	2,00	9,38E-04	9,384E-06	62	1,59	-	-	-	4
Площадка		Цех	Источник		Вклад (д. ПДК)			Вклад (мг/куб.м)		Вклад %	
1		9	3010		9,38E-04			9,384E-06		100,0	
27	1434375	525467,	2,00	5,21E-04	5,212E-06	229	2,25	-	-	-	2
Площадка		Цех	Источник		Вклад (д. ПДК)			Вклад (мг/куб.м)		Вклад %	
1		9	3010		5,21E-04			5,212E-06		100,0	
28	1434538	525109,	2,00	4,83E-04	4,834E-06	270	2,25	-	-	-	2
Площадка		Цех	Источник		Вклад (д. ПДК)			Вклад (мг/куб.м)		Вклад %	
1		9	3010		4,83E-04			4,834E-06		100,0	
25	1434154	525673,	2,00	4,56E-04	4,557E-06	198	2,25	-	-	-	2
Площадка		Цех	Источник		Вклад (д. ПДК)			Вклад (мг/куб.м)		Вклад %	
1		9	3010		4,56E-04			4,557E-06		100,0	
29	1434463	524697,	2,00	3,99E-04	3,991E-06	310	2,25	-	-	-	2
Площадка		Цех	Источник		Вклад (д. ПДК)			Вклад (мг/куб.м)		Вклад %	
1		9	3010		3,99E-04			3,991E-06		100,0	
26	1434319	525785,	2,00	3,09E-04	3,086E-06	207	2,25	-	-	-	2
Площадка		Цех	Источник		Вклад (д. ПДК)			Вклад (мг/куб.м)		Вклад %	
1		9	3010		3,09E-04			3,086E-06		100,0	
7	1434173	521781,	2,00	2,84E-05	2,839E-07	357	9,00	-	-	-	3
Площадка		Цех	Источник		Вклад (д. ПДК)			Вклад (мг/куб.м)		Вклад %	
1		9	3010		2,84E-05			2,839E-07		100,0	
21	1437189	526151,	2,00	2,78E-05	2,783E-07	252	9,00	-	-	-	1
Площадка		Цех	Источник		Вклад (д. ПДК)			Вклад (мг/куб.м)		Вклад %	
1		9	3010		2,78E-05			2,783E-07		100,0	
10	1430891	526664,	2,00	2,67E-05	2,669E-07	117	9,00	-	-	-	3
Площадка		Цех	Источник		Вклад (д. ПДК)			Вклад (мг/куб.м)		Вклад %	
1		9	3010		2,67E-05			2,669E-07		100,0	
4	1437172	526875,	2,00	2,40E-05	2,401E-07	241	9,00	-	-	-	3
Площадка		Цех	Источник		Вклад (д. ПДК)			Вклад (мг/куб.м)		Вклад %	
1		9	3010		2,40E-05			2,401E-07		100,0	
13	1437255	526860,	2,00	2,32E-05	2,322E-07	242	9,00	-	-	-	4
Площадка		Цех	Источник		Вклад (д. ПДК)			Вклад (мг/куб.м)		Вклад %	
1		9	3010		2,32E-05			2,322E-07		100,0	
9	1430285	524137,	2,00	2,21E-05	2,210E-07	75	9,00	-	-	-	3
Площадка		Цех	Источник		Вклад (д. ПДК)			Вклад (мг/куб.м)		Вклад %	
1		9	3010		2,21E-05			2,210E-07		100,0	
19	1437450	526785,	2,00	2,16E-05	2,164E-07	244	9,00	-	-	-	1
Площадка		Цех	Источник		Вклад (д. ПДК)			Вклад (мг/куб.м)		Вклад %	
1		9	3010		2,16E-05			2,164E-07		100,0	
8	1431633	522009,	2,00	2,14E-05	2,136E-07	37	9,00	-	-	-	3
Площадка		Цех	Источник		Вклад (д. ПДК)			Вклад (мг/куб.м)		Вклад %	
1		9	3010		2,14E-05			2,136E-07		100,0	

20	1437558,00	526658,50	2,00	2,12E-05	2,118E-07	247	9,00	-	-	-	-	1
Площадка		Цех	Источник		Вклад (д. ПДК)		Вклад (мг/куб.м)		Вклад %			
1		9	3010		2,12E-05		2,118E-07		100,0			
5	1437817,00	524409,00	2,00	2,11E-05	2,112E-07	280	9,00	-	-	-	-	3
Площадка		Цех	Источник		Вклад (д. ПДК)		Вклад (мг/куб.м)		Вклад %			
1		9	3010		2,11E-05		2,112E-07		100,0			
18	1437214,50	527335,50	2,00	2,09E-05	2,089E-07	236	9,00	-	-	-	-	1
Площадка		Цех	Источник		Вклад (д. ПДК)		Вклад (мг/куб.м)		Вклад %			
1		9	3010		2,09E-05		2,089E-07		100,0			
22	1437886,50	524620,00	2,00	2,08E-05	2,080E-07	277	9,00	-	-	-	-	1
Площадка		Цех	Источник		Вклад (д. ПДК)		Вклад (мг/куб.м)		Вклад %			
1		9	3010		2,08E-05		2,080E-07		100,0			
6	1436680,45	522220,00	2,00	2,06E-05	2,063E-07	317	9,00	-	-	-	-	3
Площадка		Цех	Источник		Вклад (д. ПДК)		Вклад (мг/куб.м)		Вклад %			
1		9	3010		2,06E-05		2,063E-07		100,0			
14	1436338,50	528292,50	2,00	2,06E-05	2,059E-07	217	9,00	-	-	-	-	1
Площадка		Цех	Источник		Вклад (д. ПДК)		Вклад (мг/куб.м)		Вклад %			
1		9	3010		2,06E-05		2,059E-07		100,0			
15	1436699,50	528132,50	2,00	1,97E-05	1,966E-07	222	9,00	-	-	-	-	1
Площадка		Цех	Источник		Вклад (д. ПДК)		Вклад (мг/куб.м)		Вклад %			
1		9	3010		1,97E-05		1,966E-07		100,0			
3	1436353,50	528421,00	2,00	1,96E-05	1,957E-07	216	9,00	-	-	-	-	3
Площадка		Цех	Источник		Вклад (д. ПДК)		Вклад (мг/куб.м)		Вклад %			
1		9	3010		1,96E-05		1,957E-07		100,0			
16	1436969,00	528128,00	2,00	1,82E-05	1,815E-07	225	9,00	-	-	-	-	1
Площадка		Цех	Источник		Вклад (д. ПДК)		Вклад (мг/куб.м)		Вклад %			
1		9	3010		1,82E-05		1,815E-07		100,0			
12	1436403,00	528755,00	2,00	1,72E-05	1,720E-07	214	9,00	-	-	-	-	4
Площадка		Цех	Источник		Вклад (д. ПДК)		Вклад (мг/куб.м)		Вклад %			
1		9	3010		1,72E-05		1,720E-07		100,0			
1	1431879,04	529056,44	2,00	1,66E-05	1,663E-07	152	9,00	-	-	-	-	3
Площадка		Цех	Источник		Вклад (д. ПДК)		Вклад (мг/куб.м)		Вклад %			
1		9	3010		1,66E-05		1,663E-07		100,0			
17	1437319,50	528099,50	2,00	1,65E-05	1,651E-07	228	1,59	-	-	-	-	1
Площадка		Цех	Источник		Вклад (д. ПДК)		Вклад (мг/куб.м)		Вклад %			
1		9	3010		1,65E-05		1,651E-07		100,0			
11	1435750,50	529314,00	2,00	1,62E-05	1,617E-07	203	1,59	-	-	-	-	4
Площадка		Цех	Источник		Вклад (д. ПДК)		Вклад (мг/куб.м)		Вклад %			
1		9	3010		1,62E-05		1,617E-07		100,0			
2	1434293,04	529740,50	2,00	1,58E-05	1,583E-07	184	1,59	-	-	-	-	3
Площадка		Цех	Источник		Вклад (д. ПДК)		Вклад (мг/куб.м)		Вклад %			
1		9	3010		1,58E-05		1,583E-07		100,0			

Вещество: 1317
Ацетальдегид (Уксусный альдегид)

№	Коорд Х(м)	Коорд У(м)	Высота (м)	Концентр (д. ПДК)	Концентр. (мг/куб.м)	Напр ветр	Скор ветр	Фон		Фон до исключения		Тип точки
								доли ПДК	мг/куб.м	доли ПДК	мг/куб.м	
31	1433991,00	525254,40	2,00	0,01	1,027E-04	187	1,12	-	-	-	-	4

Площадка		Цех	Источник		Вклад (д. ПДК)			Вклад (мг/куб.м)		Вклад %	
1		9	3010		0,01			1,027E-04		100,0	
24	1434111	525264,50	2,00	8,37E-03	8,369E-05	222	1,59	-	-	-	2
Площадка		Цех	Источник		Вклад (д. ПДК)			Вклад (мг/куб.м)		Вклад %	
1		9	3010		8,37E-03			8,369E-05		100,0	
23	1433870	524917,50	2,00	7,92E-03	7,921E-05	28	1,59	-	-	-	2
Площадка		Цех	Источник		Вклад (д. ПДК)			Вклад (мг/куб.м)		Вклад %	
1		9	3010		7,92E-03			7,921E-05		100,0	
30	1434170	524983,50	2,00	7,59E-03	7,589E-05	304	1,59	-	-	-	2
Площадка		Цех	Источник		Вклад (д. ПДК)			Вклад (мг/куб.м)		Вклад %	
1		9	3010		7,59E-03			7,589E-05		100,0	
32	1433673	524956,50	2,00	5,38E-03	5,384E-05	62	1,59	-	-	-	4
Площадка		Цех	Источник		Вклад (д. ПДК)			Вклад (мг/куб.м)		Вклад %	
1		9	3010		5,38E-03			5,384E-05		100,0	
27	1434375	525467,50	2,00	2,99E-03	2,990E-05	229	2,25	-	-	-	2
Площадка		Цех	Источник		Вклад (д. ПДК)			Вклад (мг/куб.м)		Вклад %	
1		9	3010		2,99E-03			2,990E-05		100,0	
28	1434538	525109,50	2,00	2,77E-03	2,773E-05	270	2,25	-	-	-	2
Площадка		Цех	Источник		Вклад (д. ПДК)			Вклад (мг/куб.м)		Вклад %	
1		9	3010		2,77E-03			2,773E-05		100,0	
25	1434154	525673,40	2,00	2,61E-03	2,615E-05	198	2,25	-	-	-	2
Площадка		Цех	Источник		Вклад (д. ПДК)			Вклад (мг/куб.м)		Вклад %	
1		9	3010		2,61E-03			2,615E-05		100,0	
29	1434463	524697,40	2,00	2,29E-03	2,290E-05	310	2,25	-	-	-	2
Площадка		Цех	Источник		Вклад (д. ПДК)			Вклад (мг/куб.м)		Вклад %	
1		9	3010		2,29E-03			2,290E-05		100,0	
26	1434319	525785,45	2,00	1,77E-03	1,770E-05	207	2,25	-	-	-	2
Площадка		Цех	Источник		Вклад (д. ПДК)			Вклад (мг/куб.м)		Вклад %	
1		9	3010		1,77E-03			1,770E-05		100,0	
7	1434173	521781,40	2,00	1,63E-04	1,629E-06	357	9,00	-	-	-	3
Площадка		Цех	Источник		Вклад (д. ПДК)			Вклад (мг/куб.м)		Вклад %	
1		9	3010		1,63E-04			1,629E-06		100,0	
21	1437189	526151,00	2,00	1,60E-04	1,597E-06	252	9,00	-	-	-	1
Площадка		Цех	Источник		Вклад (д. ПДК)			Вклад (мг/куб.м)		Вклад %	
1		9	3010		1,60E-04			1,597E-06		100,0	
10	1430891	526664,55	2,00	1,53E-04	1,531E-06	117	9,00	-	-	-	3
Площадка		Цех	Источник		Вклад (д. ПДК)			Вклад (мг/куб.м)		Вклад %	
1		9	3010		1,53E-04			1,531E-06		100,0	
4	1437172	526875,40	2,00	1,38E-04	1,378E-06	241	9,00	-	-	-	3
Площадка		Цех	Источник		Вклад (д. ПДК)			Вклад (мг/куб.м)		Вклад %	
1		9	3010		1,38E-04			1,378E-06		100,0	
13	1437255	526860,50	2,00	1,33E-04	1,332E-06	242	9,00	-	-	-	4
Площадка		Цех	Источник		Вклад (д. ПДК)			Вклад (мг/куб.м)		Вклад %	
1		9	3010		1,33E-04			1,332E-06		100,0	
9	1430285	524137,40	2,00	1,27E-04	1,268E-06	75	9,00	-	-	-	3
Площадка		Цех	Источник		Вклад (д. ПДК)			Вклад (мг/куб.м)		Вклад %	
1		9	3010		1,27E-04			1,268E-06		100,0	
19	1437450	526785,00	2,00	1,24E-04	1,242E-06	244	9,00	-	-	-	1
Площадка		Цех	Источник		Вклад (д. ПДК)			Вклад (мг/куб.м)		Вклад %	
1		9	3010		1,24E-04			1,242E-06		100,0	

8	1431633,00	522009,50	2,00	1,23E-04	1,225E-06	37	9,00	-	-	-	-	3
Площадка			Цех	Источник	Вклад (д. ПДК)		Вклад (мг/куб.м)		Вклад %			
1			9	3010	1,23E-04		1,225E-06		100,0			
20	1437558,00	526658,50	2,00	1,22E-04	1,215E-06	247	9,00	-	-	-	-	1
Площадка			Цех	Источник	Вклад (д. ПДК)		Вклад (мг/куб.м)		Вклад %			
1			9	3010	1,22E-04		1,215E-06		100,0			
5	1437817,00	524409,00	2,00	1,21E-04	1,212E-06	280	9,00	-	-	-	-	3
Площадка			Цех	Источник	Вклад (д. ПДК)		Вклад (мг/куб.м)		Вклад %			
1			9	3010	1,21E-04		1,212E-06		100,0			
18	1437214,50	527335,50	2,00	1,20E-04	1,198E-06	236	9,00	-	-	-	-	1
Площадка			Цех	Источник	Вклад (д. ПДК)		Вклад (мг/куб.м)		Вклад %			
1			9	3010	1,20E-04		1,198E-06		100,0			
22	1437886,50	524620,00	2,00	1,19E-04	1,193E-06	277	9,00	-	-	-	-	1
Площадка			Цех	Источник	Вклад (д. ПДК)		Вклад (мг/куб.м)		Вклад %			
1			9	3010	1,19E-04		1,193E-06		100,0			
6	1436680,45	522220,00	2,00	1,18E-04	1,184E-06	317	9,00	-	-	-	-	3
Площадка			Цех	Источник	Вклад (д. ПДК)		Вклад (мг/куб.м)		Вклад %			
1			9	3010	1,18E-04		1,184E-06		100,0			
14	1436338,50	528292,50	2,00	1,18E-04	1,181E-06	217	9,00	-	-	-	-	1
Площадка			Цех	Источник	Вклад (д. ПДК)		Вклад (мг/куб.м)		Вклад %			
1			9	3010	1,18E-04		1,181E-06		100,0			
15	1436699,50	528132,50	2,00	1,13E-04	1,128E-06	222	9,00	-	-	-	-	1
Площадка			Цех	Источник	Вклад (д. ПДК)		Вклад (мг/куб.м)		Вклад %			
1			9	3010	1,13E-04		1,128E-06		100,0			
3	1436353,30	528421,00	2,00	1,12E-04	1,123E-06	216	9,00	-	-	-	-	3
Площадка			Цех	Источник	Вклад (д. ПДК)		Вклад (мг/куб.м)		Вклад %			
1			9	3010	1,12E-04		1,123E-06		100,0			
16	1436969,00	528128,00	2,00	1,04E-04	1,041E-06	225	9,00	-	-	-	-	1
Площадка			Цех	Источник	Вклад (д. ПДК)		Вклад (мг/куб.м)		Вклад %			
1			9	3010	1,04E-04		1,041E-06		100,0			
12	1436403,00	528755,00	2,00	9,87E-05	9,868E-07	214	9,00	-	-	-	-	4
Площадка			Цех	Источник	Вклад (д. ПДК)		Вклад (мг/куб.м)		Вклад %			
1			9	3010	9,87E-05		9,868E-07		100,0			
1	1431879,04	529056,44	2,00	9,54E-05	9,539E-07	152	9,00	-	-	-	-	3
Площадка			Цех	Источник	Вклад (д. ПДК)		Вклад (мг/куб.м)		Вклад %			
1			9	3010	9,54E-05		9,539E-07		100,0			
17	1437319,50	528099,50	2,00	9,47E-05	9,472E-07	228	1,59	-	-	-	-	1
Площадка			Цех	Источник	Вклад (д. ПДК)		Вклад (мг/куб.м)		Вклад %			
1			9	3010	9,47E-05		9,472E-07		100,0			
11	1435750,50	529314,00	2,00	9,27E-05	9,275E-07	203	1,59	-	-	-	-	4
Площадка			Цех	Источник	Вклад (д. ПДК)		Вклад (мг/куб.м)		Вклад %			
1			9	3010	9,27E-05		9,275E-07		100,0			
2	1434293,04	529740,50	2,00	9,08E-05	9,081E-07	184	1,59	-	-	-	-	3
Площадка			Цех	Источник	Вклад (д. ПДК)		Вклад (мг/куб.м)		Вклад %			
1			9	3010	9,08E-05		9,081E-07		100,0			

Вещество: 1519
Пентановая кислота

№	Коорд Х(м)	Коорд У(м)	Высота (м)	Концентр (д. ПДК)	Концентр. (мг/куб.м)	Напр ветр	Скор ветр	Фон		Фон до исключения		Тип точки
								доли ПДК	мг/куб.м	доли ПДК	мг/куб.м	
31	1433991	525254,	2,00	2,39Е-03	7,163Е-05	187	1,12	-	-	-	-	4
Площадка		Цех	Источник		Вклад (д. ПДК)		Вклад (мг/куб.м)		Вклад %			
1		9	3010		2,39Е-03		7,163Е-05		100,0			
24	1434111	525264,	2,00	1,94Е-03	5,835Е-05	222	1,59	-	-	-	-	2
Площадка		Цех	Источник		Вклад (д. ПДК)		Вклад (мг/куб.м)		Вклад %			
1		9	3010		1,94Е-03		5,835Е-05		100,0			
23	1433870	524917,	2,00	1,84Е-03	5,522Е-05	28	1,59	-	-	-	-	2
Площадка		Цех	Источник		Вклад (д. ПДК)		Вклад (мг/куб.м)		Вклад %			
1		9	3010		1,84Е-03		5,522Е-05		100,0			
30	1434170	524983,	2,00	1,76Е-03	5,291Е-05	304	1,59	-	-	-	-	2
Площадка		Цех	Источник		Вклад (д. ПДК)		Вклад (мг/куб.м)		Вклад %			
1		9	3010		1,76Е-03		5,291Е-05		100,0			
32	1433673	524956,	2,00	1,25Е-03	3,754Е-05	62	1,59	-	-	-	-	4
Площадка		Цех	Источник		Вклад (д. ПДК)		Вклад (мг/куб.м)		Вклад %			
1		9	3010		1,25Е-03		3,754Е-05		100,0			
27	1434375	525467,	2,00	6,95Е-04	2,085Е-05	229	2,25	-	-	-	-	2
Площадка		Цех	Источник		Вклад (д. ПДК)		Вклад (мг/куб.м)		Вклад %			
1		9	3010		6,95Е-04		2,085Е-05		100,0			
28	1434538	525109,	2,00	6,45Е-04	1,934Е-05	270	2,25	-	-	-	-	2
Площадка		Цех	Источник		Вклад (д. ПДК)		Вклад (мг/куб.м)		Вклад %			
1		9	3010		6,45Е-04		1,934Е-05		100,0			
25	1434154	525673,	2,00	6,08Е-04	1,823Е-05	198	2,25	-	-	-	-	2
Площадка		Цех	Источник		Вклад (д. ПДК)		Вклад (мг/куб.м)		Вклад %			
1		9	3010		6,08Е-04		1,823Е-05		100,0			
29	1434463	524697,	2,00	5,32Е-04	1,596Е-05	310	2,25	-	-	-	-	2
Площадка		Цех	Источник		Вклад (д. ПДК)		Вклад (мг/куб.м)		Вклад %			
1		9	3010		5,32Е-04		1,596Е-05		100,0			
26	1434319	525785,	2,00	4,11Е-04	1,234Е-05	207	2,25	-	-	-	-	2
Площадка		Цех	Источник		Вклад (д. ПДК)		Вклад (мг/куб.м)		Вклад %			
1		9	3010		4,11Е-04		1,234Е-05		100,0			
7	1434173	521781,	2,00	3,79Е-05	1,136Е-06	357	9,00	-	-	-	-	3
Площадка		Цех	Источник		Вклад (д. ПДК)		Вклад (мг/куб.м)		Вклад %			
1		9	3010		3,79Е-05		1,136Е-06		100,0			
21	1437189	526151,	2,00	3,71Е-05	1,113Е-06	252	9,00	-	-	-	-	1
Площадка		Цех	Источник		Вклад (д. ПДК)		Вклад (мг/куб.м)		Вклад %			
1		9	3010		3,71Е-05		1,113Е-06		100,0			
10	1430891	526664,	2,00	3,56Е-05	1,067Е-06	117	9,00	-	-	-	-	3
Площадка		Цех	Источник		Вклад (д. ПДК)		Вклад (мг/куб.м)		Вклад %			
1		9	3010		3,56Е-05		1,067Е-06		100,0			
4	1437172	526875,	2,00	3,20Е-05	9,604Е-07	241	9,00	-	-	-	-	3
Площадка		Цех	Источник		Вклад (д. ПДК)		Вклад (мг/куб.м)		Вклад %			
1		9	3010		3,20Е-05		9,604Е-07		100,0			
13	1437255	526860,	2,00	3,10Е-05	9,289Е-07	242	9,00	-	-	-	-	4

Площадка	Цех	Источник	Вклад (д. ПДК)			Вклад (мг/куб.м)			Вклад %		
1	9	3010	3,10E-05			9,289E-07			100,0		
9	1430285	524137	2,00	2,95E-05	8,840E-07	75	9,00	-	-	-	3
Площадка	Цех	Источник	Вклад (д. ПДК)			Вклад (мг/куб.м)			Вклад %		
1	9	3010	2,95E-05			8,840E-07			100,0		
19	1437450	526785	2,00	2,89E-05	8,657E-07	244	9,00	-	-	-	1
Площадка	Цех	Источник	Вклад (д. ПДК)			Вклад (мг/куб.м)			Вклад %		
1	9	3010	2,89E-05			8,657E-07			100,0		
8	1431633	522009	2,00	2,85E-05	8,544E-07	37	9,00	-	-	-	3
Площадка	Цех	Источник	Вклад (д. ПДК)			Вклад (мг/куб.м)			Вклад %		
1	9	3010	2,85E-05			8,544E-07			100,0		
20	1437558	526658	2,00	2,82E-05	8,471E-07	247	9,00	-	-	-	1
Площадка	Цех	Источник	Вклад (д. ПДК)			Вклад (мг/куб.м)			Вклад %		
1	9	3010	2,82E-05			8,471E-07			100,0		
5	1437817	524409	2,00	2,82E-05	8,449E-07	280	9,00	-	-	-	3
Площадка	Цех	Источник	Вклад (д. ПДК)			Вклад (мг/куб.м)			Вклад %		
1	9	3010	2,82E-05			8,449E-07			100,0		
18	1437214	527335	2,00	2,79E-05	8,355E-07	236	9,00	-	-	-	1
Площадка	Цех	Источник	Вклад (д. ПДК)			Вклад (мг/куб.м)			Вклад %		
1	9	3010	2,79E-05			8,355E-07			100,0		
22	1437886	524620	2,00	2,77E-05	8,319E-07	277	9,00	-	-	-	1
Площадка	Цех	Источник	Вклад (д. ПДК)			Вклад (мг/куб.м)			Вклад %		
1	9	3010	2,77E-05			8,319E-07			100,0		
6	1436680	522220	2,00	2,75E-05	8,252E-07	317	9,00	-	-	-	3
Площадка	Цех	Источник	Вклад (д. ПДК)			Вклад (мг/куб.м)			Вклад %		
1	9	3010	2,75E-05			8,252E-07			100,0		
14	1436338	528292	2,00	2,75E-05	8,236E-07	217	9,00	-	-	-	1
Площадка	Цех	Источник	Вклад (д. ПДК)			Вклад (мг/куб.м)			Вклад %		
1	9	3010	2,75E-05			8,236E-07			100,0		
15	1436699	528132	2,00	2,62E-05	7,864E-07	222	9,00	-	-	-	1
Площадка	Цех	Источник	Вклад (д. ПДК)			Вклад (мг/куб.м)			Вклад %		
1	9	3010	2,62E-05			7,864E-07			100,0		
3	1436353	528421	2,00	2,61E-05	7,829E-07	216	9,00	-	-	-	3
Площадка	Цех	Источник	Вклад (д. ПДК)			Вклад (мг/куб.м)			Вклад %		
1	9	3010	2,61E-05			7,829E-07			100,0		
16	1436969	528128	2,00	2,42E-05	7,261E-07	225	9,00	-	-	-	1
Площадка	Цех	Источник	Вклад (д. ПДК)			Вклад (мг/куб.м)			Вклад %		
1	9	3010	2,42E-05			7,261E-07			100,0		
12	1436403	528755	2,00	2,29E-05	6,880E-07	214	9,00	-	-	-	4
Площадка	Цех	Источник	Вклад (д. ПДК)			Вклад (мг/куб.м)			Вклад %		
1	9	3010	2,29E-05			6,880E-07			100,0		
1	1431879	529056	2,00	2,22E-05	6,651E-07	152	9,00	-	-	-	3
Площадка	Цех	Источник	Вклад (д. ПДК)			Вклад (мг/куб.м)			Вклад %		
1	9	3010	2,22E-05			6,651E-07			100,0		
17	1437319	528099	2,00	2,20E-05	6,604E-07	228	1,59	-	-	-	1
Площадка	Цех	Источник	Вклад (д. ПДК)			Вклад (мг/куб.м)			Вклад %		
1	9	3010	2,20E-05			6,604E-07			100,0		
11	1435750	529314	2,00	2,16E-05	6,466E-07	203	1,59	-	-	-	4
Площадка	Цех	Источник	Вклад (д. ПДК)			Вклад (мг/куб.м)			Вклад %		
1	9	3010	2,16E-05			6,466E-07			100,0		

2	1434293,04	529740,50	2,00	2,11E-05	6,331E-07	184	1,59	-	-	-	-	3
Площадка		Цех	Источник		Вклад (д. ПДК)		Вклад (мг/куб.м)		Вклад %			
1		9	3010		2,11E-05		6,331E-07		100,0			

Вещество: 1555
Этановая кислота (Метанкарбоновая кислота)

№	Коорд Х(м)	Коорд У(м)	Высота (м)	Концентр (д. ПДК)	Концентр. (мг/куб.м)	Напр ветр а	Скор ветр а	Фон		Фон до исключения		Тип точки
								доли ПДК	мг/куб.м	доли ПДК	мг/куб.м	
31	1433991,00	525254,40	2,00	1,61E-03	3,211E-04	187	1,12	-	-	-	-	4
Площадка		Цех	Источник		Вклад (д. ПДК)		Вклад (мг/куб.м)		Вклад %			
1		9	3010		1,61E-03		3,211E-04		100,0			
24	1434111,70	525264,05	2,00	1,31E-03	2,615E-04	222	1,59	-	-	-	-	2
Площадка		Цех	Источник		Вклад (д. ПДК)		Вклад (мг/куб.м)		Вклад %			
1		9	3010		1,31E-03		2,615E-04		100,0			
23	1433870,00	524917,50	2,00	1,24E-03	2,475E-04	28	1,59	-	-	-	-	2
Площадка		Цех	Источник		Вклад (д. ПДК)		Вклад (мг/куб.м)		Вклад %			
1		9	3010		1,24E-03		2,475E-04		100,0			
30	1434170,00	524983,04	2,00	1,19E-03	2,372E-04	304	1,59	-	-	-	-	2
Площадка		Цех	Источник		Вклад (д. ПДК)		Вклад (мг/куб.м)		Вклад %			
1		9	3010		1,19E-03		2,372E-04		100,0			
32	1433673,00	524956,00	2,00	8,41E-04	1,683E-04	62	1,59	-	-	-	-	4
Площадка		Цех	Источник		Вклад (д. ПДК)		Вклад (мг/куб.м)		Вклад %			
1		9	3010		8,41E-04		1,683E-04		100,0			
27	1434375,00	525467,70	2,00	4,67E-04	9,344E-05	229	2,25	-	-	-	-	2
Площадка		Цех	Источник		Вклад (д. ПДК)		Вклад (мг/куб.м)		Вклад %			
1		9	3010		4,67E-04		9,344E-05		100,0			
28	1434538,70	525109,50	2,00	4,33E-04	8,667E-05	270	2,25	-	-	-	-	2
Площадка		Цех	Источник		Вклад (д. ПДК)		Вклад (мг/куб.м)		Вклад %			
1		9	3010		4,33E-04		8,667E-05		100,0			
25	1434154,40	525673,40	2,00	4,09E-04	8,171E-05	198	2,25	-	-	-	-	2
Площадка		Цех	Источник		Вклад (д. ПДК)		Вклад (мг/куб.м)		Вклад %			
1		9	3010		4,09E-04		8,171E-05		100,0			
29	1434463,44	524697,40	2,00	3,58E-04	7,155E-05	310	2,25	-	-	-	-	2
Площадка		Цех	Источник		Вклад (д. ПДК)		Вклад (мг/куб.м)		Вклад %			
1		9	3010		3,58E-04		7,155E-05		100,0			
26	1434319,00	525785,40	2,00	2,77E-04	5,532E-05	207	2,25	-	-	-	-	2
Площадка		Цех	Источник		Вклад (д. ПДК)		Вклад (мг/куб.м)		Вклад %			
1		9	3010		2,77E-04		5,532E-05		100,0			
7	1434173,54	521781,40	2,00	2,55E-05	5,090E-06	357	9,00	-	-	-	-	3
Площадка		Цех	Источник		Вклад (д. ПДК)		Вклад (мг/куб.м)		Вклад %			
1		9	3010		2,55E-05		5,090E-06		100,0			
21	1437189,00	526151,00	2,00	2,49E-05	4,989E-06	252	9,00	-	-	-	-	1
Площадка		Цех	Источник		Вклад (д. ПДК)		Вклад (мг/куб.м)		Вклад %			
1		9	3010		2,49E-05		4,989E-06		100,0			
10	1430891,70	526664,55	2,00	2,39E-05	4,785E-06	117	9,00	-	-	-	-	3
Площадка		Цех	Источник		Вклад (д. ПДК)		Вклад (мг/куб.м)		Вклад %			
1		9	3010		2,39E-05		4,785E-06		100,0			
4	1437172,40	526875,54	2,00	2,15E-05	4,305E-06	241	9,00	-	-	-	-	3

Площадка		Цех	Источник		Вклад (д. ПДК)			Вклад (мг/куб.м)		Вклад %	
1		9	3010		2,15E-05			4,305E-06		100,0	
13	1437255,50	526860,50	2,00	2,08E-05	4,163E-06	242	9,00	-	-	-	4
Площадка		Цех	Источник		Вклад (д. ПДК)			Вклад (мг/куб.м)		Вклад %	
1		9	3010		2,08E-05			4,163E-06		100,0	
9	1430285,00	524137,40	2,00	1,98E-05	3,962E-06	75	9,00	-	-	-	3
Площадка		Цех	Источник		Вклад (д. ПДК)			Вклад (мг/куб.м)		Вклад %	
1		9	3010		1,98E-05			3,962E-06		100,0	
19	1437450,00	526785,00	2,00	1,94E-05	3,880E-06	244	9,00	-	-	-	1
Площадка		Цех	Источник		Вклад (д. ПДК)			Вклад (мг/куб.м)		Вклад %	
1		9	3010		1,94E-05			3,880E-06		100,0	
8	1431633,00	522009,00	2,00	1,91E-05	3,830E-06	37	9,00	-	-	-	3
Площадка		Цех	Источник		Вклад (д. ПДК)			Вклад (мг/куб.м)		Вклад %	
1		9	3010		1,91E-05			3,830E-06		100,0	
20	1437558,00	526658,00	2,00	1,90E-05	3,797E-06	247	9,00	-	-	-	1
Площадка		Цех	Источник		Вклад (д. ПДК)			Вклад (мг/куб.м)		Вклад %	
1		9	3010		1,90E-05			3,797E-06		100,0	
5	1437817,00	524409,00	2,00	1,89E-05	3,787E-06	280	9,00	-	-	-	3
Площадка		Цех	Источник		Вклад (д. ПДК)			Вклад (мг/куб.м)		Вклад %	
1		9	3010		1,89E-05			3,787E-06		100,0	
18	1437214,00	527335,00	2,00	1,87E-05	3,745E-06	236	9,00	-	-	-	1
Площадка		Цех	Источник		Вклад (д. ПДК)			Вклад (мг/куб.м)		Вклад %	
1		9	3010		1,87E-05			3,745E-06		100,0	
22	1437886,00	524620,00	2,00	1,86E-05	3,729E-06	277	9,00	-	-	-	1
Площадка		Цех	Источник		Вклад (д. ПДК)			Вклад (мг/куб.м)		Вклад %	
1		9	3010		1,86E-05			3,729E-06		100,0	
6	1436680,00	522220,00	2,00	1,85E-05	3,699E-06	317	9,00	-	-	-	3
Площадка		Цех	Источник		Вклад (д. ПДК)			Вклад (мг/куб.м)		Вклад %	
1		9	3010		1,85E-05			3,699E-06		100,0	
14	1436338,00	528292,00	2,00	1,85E-05	3,691E-06	217	9,00	-	-	-	1
Площадка		Цех	Источник		Вклад (д. ПДК)			Вклад (мг/куб.м)		Вклад %	
1		9	3010		1,85E-05			3,691E-06		100,0	
15	1436699,00	528132,00	2,00	1,76E-05	3,525E-06	222	9,00	-	-	-	1
Площадка		Цех	Источник		Вклад (д. ПДК)			Вклад (мг/куб.м)		Вклад %	
1		9	3010		1,76E-05			3,525E-06		100,0	
3	1436353,00	528421,00	2,00	1,75E-05	3,509E-06	216	9,00	-	-	-	3
Площадка		Цех	Источник		Вклад (д. ПДК)			Вклад (мг/куб.м)		Вклад %	
1		9	3010		1,75E-05			3,509E-06		100,0	
16	1436969,00	528128,00	2,00	1,63E-05	3,254E-06	225	9,00	-	-	-	1
Площадка		Цех	Источник		Вклад (д. ПДК)			Вклад (мг/куб.м)		Вклад %	
1		9	3010		1,63E-05			3,254E-06		100,0	
12	1436403,00	528755,00	2,00	1,54E-05	3,084E-06	214	9,00	-	-	-	4
Площадка		Цех	Источник		Вклад (д. ПДК)			Вклад (мг/куб.м)		Вклад %	
1		9	3010		1,54E-05			3,084E-06		100,0	
1	1431879,00	529056,00	2,00	1,49E-05	2,981E-06	152	9,00	-	-	-	3
Площадка		Цех	Источник		Вклад (д. ПДК)			Вклад (мг/куб.м)		Вклад %	
1		9	3010		1,49E-05			2,981E-06		100,0	
17	1437319,00	528099,00	2,00	1,48E-05	2,960E-06	228	1,59	-	-	-	1
Площадка		Цех	Источник		Вклад (д. ПДК)			Вклад (мг/куб.м)		Вклад %	
1		9	3010		1,48E-05			2,960E-06		100,0	

11	1435750 ₅₀	529314 ₀₀	2,00	1,45E-05	2,898E-06	203	1,59	-	-	-	-	4
Площадка		Цех	Источник		Вклад (д. ПДК)		Вклад (мг/куб.м)		Вклад %			
1		9	3010		1,45E-05		2,898E-06		100,0			

2	1434293 ₀₄	529740 ₅₀	2,00	1,42E-05	2,838E-06	184	1,59	-	-	-	-	3
Площадка		Цех	Источник		Вклад (д. ПДК)		Вклад (мг/куб.м)		Вклад %			
1		9	3010		1,42E-05		2,838E-06		100,0			

Вещество: 1849
Метиламин (Аминометан; метанамин)

№	Коорд Х(м)	Коорд У(м)	Высота (м)	Концентр (д. ПДК)	Концентр. (мг/куб.м)	Напр ветр	Скор ветр	Фон		Фон до исключения		Тип точки
								доли ПДК	мг/куб.м	доли ПДК	мг/куб.м	
31	1433991	525254,	2,00	7,46E-03	2,985E-05	187	1,12	-	-	-	-	4
Площадка		Цех	Источник		Вклад (д. ПДК)		Вклад (мг/куб.м)		Вклад %			
1		9	3010		7,46E-03		2,985E-05		100,0			
24	1434111	525264,	2,00	6,08E-03	2,431E-05	222	1,59	-	-	-	-	2
Площадка		Цех	Источник		Вклад (д. ПДК)		Вклад (мг/куб.м)		Вклад %			
1		9	3010		6,08E-03		2,431E-05		100,0			
23	1433870	524917,	2,00	5,75E-03	2,301E-05	28	1,59	-	-	-	-	2
Площадка		Цех	Источник		Вклад (д. ПДК)		Вклад (мг/куб.м)		Вклад %			
1		9	3010		5,75E-03		2,301E-05		100,0			
30	1434170	524983,	2,00	5,51E-03	2,205E-05	304	1,59	-	-	-	-	2
Площадка		Цех	Источник		Вклад (д. ПДК)		Вклад (мг/куб.м)		Вклад %			
1		9	3010		5,51E-03		2,205E-05		100,0			
32	1433673	524956,	2,00	3,91E-03	1,564E-05	62	1,59	-	-	-	-	4
Площадка		Цех	Источник		Вклад (д. ПДК)		Вклад (мг/куб.м)		Вклад %			
1		9	3010		3,91E-03		1,564E-05		100,0			
27	1434375	525467,	2,00	2,17E-03	8,686E-06	229	2,25	-	-	-	-	2
Площадка		Цех	Источник		Вклад (д. ПДК)		Вклад (мг/куб.м)		Вклад %			
1		9	3010		2,17E-03		8,686E-06		100,0			
28	1434538	525109,	2,00	2,01E-03	8,057E-06	270	2,25	-	-	-	-	2
Площадка		Цех	Источник		Вклад (д. ПДК)		Вклад (мг/куб.м)		Вклад %			
1		9	3010		2,01E-03		8,057E-06		100,0			
25	1434154	525673,	2,00	1,90E-03	7,596E-06	198	2,25	-	-	-	-	2
Площадка		Цех	Источник		Вклад (д. ПДК)		Вклад (мг/куб.м)		Вклад %			
1		9	3010		1,90E-03		7,596E-06		100,0			
29	1434463	524697,	2,00	1,66E-03	6,652E-06	310	2,25	-	-	-	-	2
Площадка		Цех	Источник		Вклад (д. ПДК)		Вклад (мг/куб.м)		Вклад %			
1		9	3010		1,66E-03		6,652E-06		100,0			
26	1434319	525785,	2,00	1,29E-03	5,143E-06	207	2,25	-	-	-	-	2
Площадка		Цех	Источник		Вклад (д. ПДК)		Вклад (мг/куб.м)		Вклад %			
1		9	3010		1,29E-03		5,143E-06		100,0			
7	1434173	521781,	2,00	1,18E-04	4,732E-07	357	9,00	-	-	-	-	3
Площадка		Цех	Источник		Вклад (д. ПДК)		Вклад (мг/куб.м)		Вклад %			
1		9	3010		1,18E-04		4,732E-07		100,0			
21	1437189	526151,	2,00	1,16E-04	4,638E-07	252	9,00	-	-	-	-	1
Площадка		Цех	Источник		Вклад (д. ПДК)		Вклад (мг/куб.м)		Вклад %			
1		9	3010		1,16E-04		4,638E-07		100,0			
10	1430891	526664,	2,00	1,11E-04	4,448E-07	117	9,00	-	-	-	-	3

Площадка		Цех	Источник		Вклад (д. ПДК)			Вклад (мг/куб.м)			Вклад %	
1		9	3010		1,11E-04			4,448E-07			100,0	
4	1437172,50	526875,50	2,00	1,00E-04	4,002E-07	241	9,00	-	-	-	-	3
Площадка		Цех	Источник		Вклад (д. ПДК)			Вклад (мг/куб.м)			Вклад %	
1		9	3010		1,00E-04			4,002E-07			100,0	
13	1437255,50	526860,50	2,00	9,68E-05	3,870E-07	242	9,00	-	-	-	-	4
Площадка		Цех	Источник		Вклад (д. ПДК)			Вклад (мг/куб.м)			Вклад %	
1		9	3010		9,68E-05			3,870E-07			100,0	
9	1430285,50	524137,50	2,00	9,21E-05	3,683E-07	75	9,00	-	-	-	-	3
Площадка		Цех	Источник		Вклад (д. ПДК)			Вклад (мг/куб.м)			Вклад %	
1		9	3010		9,21E-05			3,683E-07			100,0	
19	1437450,50	526785,50	2,00	9,02E-05	3,607E-07	244	9,00	-	-	-	-	1
Площадка		Цех	Источник		Вклад (д. ПДК)			Вклад (мг/куб.м)			Вклад %	
1		9	3010		9,02E-05			3,607E-07			100,0	
8	1431633,50	522009,50	2,00	8,90E-05	3,560E-07	37	9,00	-	-	-	-	3
Площадка		Цех	Источник		Вклад (д. ПДК)			Вклад (мг/куб.м)			Вклад %	
1		9	3010		8,90E-05			3,560E-07			100,0	
20	1437558,50	526658,50	2,00	8,82E-05	3,530E-07	247	9,00	-	-	-	-	1
Площадка		Цех	Источник		Вклад (д. ПДК)			Вклад (мг/куб.м)			Вклад %	
1		9	3010		8,82E-05			3,530E-07			100,0	
5	1437817,50	524409,50	2,00	8,80E-05	3,520E-07	280	9,00	-	-	-	-	3
Площадка		Цех	Источник		Вклад (д. ПДК)			Вклад (мг/куб.м)			Вклад %	
1		9	3010		8,80E-05			3,520E-07			100,0	
18	1437214,50	527335,50	2,00	8,70E-05	3,481E-07	236	9,00	-	-	-	-	1
Площадка		Цех	Источник		Вклад (д. ПДК)			Вклад (мг/куб.м)			Вклад %	
1		9	3010		8,70E-05			3,481E-07			100,0	
22	1437886,50	524620,50	2,00	8,67E-05	3,466E-07	277	9,00	-	-	-	-	1
Площадка		Цех	Источник		Вклад (д. ПДК)			Вклад (мг/куб.м)			Вклад %	
1		9	3010		8,67E-05			3,466E-07			100,0	
6	1436680,50	522220,50	2,00	8,60E-05	3,438E-07	317	9,00	-	-	-	-	3
Площадка		Цех	Источник		Вклад (д. ПДК)			Вклад (мг/куб.м)			Вклад %	
1		9	3010		8,60E-05			3,438E-07			100,0	
14	1436338,50	528292,50	2,00	8,58E-05	3,432E-07	217	9,00	-	-	-	-	1
Площадка		Цех	Источник		Вклад (д. ПДК)			Вклад (мг/куб.м)			Вклад %	
1		9	3010		8,58E-05			3,432E-07			100,0	
15	1436699,50	528132,50	2,00	8,19E-05	3,277E-07	222	9,00	-	-	-	-	1
Площадка		Цех	Источник		Вклад (д. ПДК)			Вклад (мг/куб.м)			Вклад %	
1		9	3010		8,19E-05			3,277E-07			100,0	
3	1436353,50	528421,50	2,00	8,16E-05	3,262E-07	216	9,00	-	-	-	-	3
Площадка		Цех	Источник		Вклад (д. ПДК)			Вклад (мг/куб.м)			Вклад %	
1		9	3010		8,16E-05			3,262E-07			100,0	
16	1436969,50	528128,50	2,00	7,56E-05	3,025E-07	225	9,00	-	-	-	-	1
Площадка		Цех	Источник		Вклад (д. ПДК)			Вклад (мг/куб.м)			Вклад %	
1		9	3010		7,56E-05			3,025E-07			100,0	
12	1436403,50	528755,50	2,00	7,17E-05	2,867E-07	214	9,00	-	-	-	-	4
Площадка		Цех	Источник		Вклад (д. ПДК)			Вклад (мг/куб.м)			Вклад %	
1		9	3010		7,17E-05			2,867E-07			100,0	
1	1431879,50	529056,50	2,00	6,93E-05	2,771E-07	152	9,00	-	-	-	-	3
Площадка		Цех	Источник		Вклад (д. ПДК)			Вклад (мг/куб.м)			Вклад %	
1		9	3010		6,93E-05			2,771E-07			100,0	

17	1437319,50	528099,50	2,00	6,88E-05	2,752E-07	228	1,59	-	-	-	-	1
Площадка		Цех	Источник		Вклад (д. ПДК)		Вклад (мг/куб.м)		Вклад %			
	1		9	3010	6,88E-05			2,752E-07		100,0		
11	1435750,50	529314,00	2,00	6,74E-05	2,694E-07	203	1,59	-	-	-	-	4
Площадка		Цех	Источник		Вклад (д. ПДК)		Вклад (мг/куб.м)		Вклад %			
	1		9	3010	6,74E-05			2,694E-07		100,0		
2	1434293,04	529740,50	2,00	6,60E-05	2,638E-07	184	1,59	-	-	-	-	3
Площадка		Цех	Источник		Вклад (д. ПДК)		Вклад (мг/куб.м)		Вклад %			
	1		9	3010	6,60E-05			2,638E-07		100,0		

Вещество: 2732
Керосин (Керосин прямой перегонки; керосин дезодорированный)

№	Коорд Х(м)	Коорд У(м)	Высота (м)	Концентр (д. ПДК)	Концентр. (мг/куб.м)	Напр ветр 2	Скор ветр 2	Фон		Фон до исключения		Тип точки
								доли ПДК	мг/куб.м	доли ПДК	мг/куб.м	
24	1434111,50	525264,00	2,00	0,03	0,033	143	0,72	-	-	-	-	2
Площадка		Цех	Источник		Вклад (д. ПДК)		Вклад (мг/куб.м)		Вклад %			
	1		10	7005			0,02		0,023		69,9	
	1		10	7000			7,97E-03		0,010		29,4	
	1		10	7001			1,91E-04		2,289E-04		0,7	
31	1433991,00	525254,00	2,00	0,01	0,015	192	0,72	-	-	-	-	4
Площадка		Цех	Источник		Вклад (д. ПДК)		Вклад (мг/куб.м)		Вклад %			
	1		11	7004			9,76E-03		0,012		80,0	
	1		11	7007			1,59E-03		0,002		13,0	
	1		13	7006			7,83E-04		9,391E-04		6,4	
	1		11	7003			6,25E-05		7,503E-05		0,5	
	1		11	7002			6,90E-06		8,279E-06		0,1	
30	1434170,00	524983,00	2,00	0,01	0,014	359	1,03	-	-	-	-	2
Площадка		Цех	Источник		Вклад (д. ПДК)		Вклад (мг/куб.м)		Вклад %			
	1		10	7005			8,23E-03		0,010		69,8	
	1		10	7000			3,47E-03		0,004		29,5	
	1		10	7001			8,34E-05		1,000E-04		0,7	
23	1433870,00	524917,50	2,00	0,01	0,014	33	0,72	-	-	-	-	2
Площадка		Цех	Источник		Вклад (д. ПДК)		Вклад (мг/куб.м)		Вклад %			
	1		11	7004			7,87E-03		0,009		67,3	
	1		11	7007			1,63E-03		0,002		14,0	
	1		10	7005			1,49E-03		0,002		12,8	
	1		10	7000			6,27E-04		7,520E-04		5,4	
	1		13	7006			2,55E-05		3,059E-05		0,2	
32	1433673,00	524956,00	2,00	7,25E-03	0,009	67	1,03	-	-	-	-	4
Площадка		Цех	Источник		Вклад (д. ПДК)		Вклад (мг/куб.м)		Вклад %			
	1		11	7004			4,15E-03		0,005		57,2	
	1		10	7005			1,40E-03		0,002		19,4	
	1		11	7007			9,02E-04		0,001		12,5	
	1		10	7000			5,90E-04		7,082E-04		8,1	
	1		13	7006			1,75E-04		2,100E-04		2,4	
27	1434375,00	525467,50	2,00	6,56E-03	0,008	218	3,04	-	-	-	-	2
Площадка		Цех	Источник		Вклад (д. ПДК)		Вклад (мг/куб.м)		Вклад %			
	1		10	7005			3,46E-03		0,004		52,7	

	1		11	7007		5,00E-05		5,994E-05		13,8		
	1		10	7000		4,72E-05		5,666E-05		13,1		
	1		13	7006		3,20E-05		3,844E-05		8,9		
4	1437172	526875,	2,00	3,59E-04	4,304E-04	240	1,03	-	-	-	-	3
Площадка		Цех	Источник		Вклад (д. ПДК)		Вклад (мг/куб.м)		Вклад %			
	1		10	7005		1,18E-04		1,422E-04		33,0		
	1		11	7004		1,09E-04		1,310E-04		30,4		
	1		10	7000		4,98E-05		5,978E-05		13,9		
	1		11	7007		4,82E-05		5,789E-05		13,5		
	1		13	7006		3,11E-05		3,733E-05		8,7		
13	1437255	526860,	2,00	3,52E-04	4,219E-04	241	1,03	-	-	-	-	4
Площадка		Цех	Источник		Вклад (д. ПДК)		Вклад (мг/куб.м)		Вклад %			
	1		10	7005		1,16E-04		1,393E-04		33,0		
	1		11	7004		1,07E-04		1,286E-04		30,5		
	1		10	7000		4,88E-05		5,857E-05		13,9		
	1		11	7007		4,73E-05		5,676E-05		13,5		
	1		13	7006		3,05E-05		3,659E-05		8,7		
19	1437450	526785,	2,00	3,33E-04	3,999E-04	244	1,03	-	-	-	-	1
Площадка		Цех	Источник		Вклад (д. ПДК)		Вклад (мг/куб.м)		Вклад %			
	1		10	7005		1,11E-04		1,335E-04		33,4		
	1		11	7004		1,01E-04		1,207E-04		30,2		
	1		10	7000		4,68E-05		5,615E-05		14,0		
	1		11	7007		4,46E-05		5,349E-05		13,4		
	1		13	7006		2,84E-05		3,405E-05		8,5		
5	1437817	524409,	2,00	3,27E-04	3,925E-04	281	1,03	-	-	-	-	3
Площадка		Цех	Источник		Вклад (д. ПДК)		Вклад (мг/куб.м)		Вклад %			
	1		10	7005		1,08E-04		1,300E-04		33,1		
	1		11	7004		9,81E-05		1,178E-04		30,0		
	1		10	7000		4,55E-05		5,465E-05		13,9		
	1		11	7007		4,46E-05		5,352E-05		13,6		
	1		13	7006		2,89E-05		3,467E-05		8,8		
20	1437558	526658,	2,00	3,27E-04	3,920E-04	246	1,03	-	-	-	-	1
Площадка		Цех	Источник		Вклад (д. ПДК)		Вклад (мг/куб.м)		Вклад %			
	1		10	7005		1,10E-04		1,316E-04		33,6		
	1		11	7004		9,79E-05		1,174E-04		30,0		
	1		10	7000		4,61E-05		5,535E-05		14,1		
	1		11	7007		4,36E-05		5,229E-05		13,3		
	1		13	7006		2,78E-05		3,339E-05		8,5		
22	1437886	524620,	2,00	3,22E-04	3,861E-04	277	1,03	-	-	-	-	1
Площадка		Цех	Источник		Вклад (д. ПДК)		Вклад (мг/куб.м)		Вклад %			
	1		10	7005		1,07E-04		1,282E-04		33,2		
	1		11	7004		9,63E-05		1,155E-04		29,9		
	1		10	7000		4,49E-05		5,389E-05		14,0		
	1		11	7007		4,38E-05		5,255E-05		13,6		
	1		13	7006		2,84E-05		3,411E-05		8,8		
18	1437214	527335,	2,00	3,22E-04	3,860E-04	235	1,03	-	-	-	-	1
Площадка		Цех	Источник		Вклад (д. ПДК)		Вклад (мг/куб.м)		Вклад %			
	1		10	7005		1,09E-04		1,305E-04		33,8		
	1		11	7004		9,62E-05		1,155E-04		29,9		
	1		10	7000		4,57E-05		5,486E-05		14,2		

		1	13		7006	2,37E-05		2,844E-05		8,7			
12	1436403	528755,00	2,00	2,63E-04	3,155E-04	213	1,48	-	-	-	-	-	4
Площадка		Цех	Источник		Вклад (д. ПДК)		Вклад (мг/куб.м)		Вклад %				
1			10	7005	8,59E-05		1,031E-04		32,7				
1			11	7004	8,12E-05		9,746E-05		30,9				
1			10	7000	3,61E-05		4,335E-05		13,7				
1			11	7007	3,55E-05		4,256E-05		13,5				
1			13	7006	2,29E-05		2,742E-05		8,7				
17	1437319	528099,00	2,00	2,57E-04	3,086E-04	227	1,48	-	-	-	-	-	1
Площадка		Цех	Источник		Вклад (д. ПДК)		Вклад (мг/куб.м)		Вклад %				
1			10	7005	8,44E-05		1,013E-04		32,8				
1			11	7004	7,88E-05		9,454E-05		30,6				
1			10	7000	3,55E-05		4,259E-05		13,8				
1			11	7007	3,48E-05		4,170E-05		13,5				
1			13	7006	2,25E-05		2,695E-05		8,7				
1	1431879	529056,00	2,00	2,50E-04	2,995E-04	151	1,48	-	-	-	-	-	3
Площадка		Цех	Источник		Вклад (д. ПДК)		Вклад (мг/куб.м)		Вклад %				
1			11	7004	7,95E-05		9,537E-05		31,8				
1			10	7005	7,93E-05		9,521E-05		31,8				
1			11	7007	3,42E-05		4,103E-05		13,7				
1			10	7000	3,34E-05		4,003E-05		13,4				
1			13	7006	2,20E-05		2,637E-05		8,8				
11	1435750	529314,00	2,00	2,50E-04	2,994E-04	202	1,48	-	-	-	-	-	4
Площадка		Цех	Источник		Вклад (д. ПДК)		Вклад (мг/куб.м)		Вклад %				
1			10	7005	8,14E-05		9,762E-05		32,6				
1			11	7004	7,75E-05		9,299E-05		31,1				
1			10	7000	3,42E-05		4,105E-05		13,7				
1			11	7007	3,38E-05		4,056E-05		13,5				
1			13	7006	2,14E-05		2,574E-05		8,6				
2	1434293	529740,00	2,00	2,41E-04	2,887E-04	183	1,48	-	-	-	-	-	3
Площадка		Цех	Источник		Вклад (д. ПДК)		Вклад (мг/куб.м)		Вклад %				
1			10	7005	7,84E-05		9,403E-05		32,6				
1			11	7004	7,54E-05		9,050E-05		31,4				
1			10	7000	3,29E-05		3,954E-05		13,7				
1			11	7007	3,22E-05		3,865E-05		13,4				
1			13	7006	2,04E-05		2,451E-05		8,5				

Вещество: 2735
Масло минеральное нефтяное

№	Коорд Х(м)	Коорд У(м)	Высота (м)	Концентр (д. ПДК)	Концентр. (мг/куб.м)	Напр ветр	Скор ветр	Фон		Фон до исключения		Тип точки
								доли ПДК	мг/куб.м	доли ПДК	мг/куб.м	
31	1433991	525254,	2,00	2,86E-03	1,428E-04	187	1,12	-	-	-	-	4
Площадка		Цех		Источник	Вклад (д. ПДК)		Вклад (мг/куб.м)		Вклад %			
1			9	3010	2,86E-03		1,428E-04		100,0			
24	1434111	525264,	2,00	2,33E-03	1,163E-04	222	1,59	-	-	-	-	2
Площадка		Цех		Источник	Вклад (д. ПДК)		Вклад (мг/куб.м)		Вклад %			
1			9	3010	2,33E-03		1,163E-04		100,0			
23	1433870	524917,	2,00	2,20E-03	1,101E-04	28	1,59	-	-	-	-	2

Площадка		Цех	Источник		Вклад (д. ПДК)			Вклад (мг/куб.м)		Вклад %	
1		9	3010		2,20E-03			1,101E-04		100,0	
30	1434170	524983,	2,00	2,11E-03	1,055E-04	304	1,59	-	-	-	2
Площадка		Цех	Источник		Вклад (д. ПДК)			Вклад (мг/куб.м)		Вклад %	
1		9	3010		2,11E-03			1,055E-04		100,0	
32	1433673	524956,	2,00	1,50E-03	7,484E-05	62	1,59	-	-	-	4
Площадка		Цех	Источник		Вклад (д. ПДК)			Вклад (мг/куб.м)		Вклад %	
1		9	3010		1,50E-03			7,484E-05		100,0	
27	1434375	525467,	2,00	8,31E-04	4,156E-05	229	2,25	-	-	-	2
Площадка		Цех	Источник		Вклад (д. ПДК)			Вклад (мг/куб.м)		Вклад %	
1		9	3010		8,31E-04			4,156E-05		100,0	
28	1434538	525109,	2,00	7,71E-04	3,855E-05	270	2,25	-	-	-	2
Площадка		Цех	Источник		Вклад (д. ПДК)			Вклад (мг/куб.м)		Вклад %	
1		9	3010		7,71E-04			3,855E-05		100,0	
25	1434154	525673,	2,00	7,27E-04	3,634E-05	198	2,25	-	-	-	2
Площадка		Цех	Источник		Вклад (д. ПДК)			Вклад (мг/куб.м)		Вклад %	
1		9	3010		7,27E-04			3,634E-05		100,0	
29	1434463	524697,	2,00	6,37E-04	3,183E-05	310	2,25	-	-	-	2
Площадка		Цех	Источник		Вклад (д. ПДК)			Вклад (мг/куб.м)		Вклад %	
1		9	3010		6,37E-04			3,183E-05		100,0	
26	1434319	525785,	2,00	4,92E-04	2,461E-05	207	2,25	-	-	-	2
Площадка		Цех	Источник		Вклад (д. ПДК)			Вклад (мг/куб.м)		Вклад %	
1		9	3010		4,92E-04			2,461E-05		100,0	
7	1434173	521781,	2,00	4,53E-05	2,264E-06	357	9,00	-	-	-	3
Площадка		Цех	Источник		Вклад (д. ПДК)			Вклад (мг/куб.м)		Вклад %	
1		9	3010		4,53E-05			2,264E-06		100,0	
21	1437189	526151,	2,00	4,44E-05	2,219E-06	252	9,00	-	-	-	1
Площадка		Цех	Источник		Вклад (д. ПДК)			Вклад (мг/куб.м)		Вклад %	
1		9	3010		4,44E-05			2,219E-06		100,0	
10	1430891	526664,	2,00	4,26E-05	2,128E-06	117	9,00	-	-	-	3
Площадка		Цех	Источник		Вклад (д. ПДК)			Вклад (мг/куб.м)		Вклад %	
1		9	3010		4,26E-05			2,128E-06		100,0	
4	1437172	526875,	2,00	3,83E-05	1,915E-06	241	9,00	-	-	-	3
Площадка		Цех	Источник		Вклад (д. ПДК)			Вклад (мг/куб.м)		Вклад %	
1		9	3010		3,83E-05			1,915E-06		100,0	
13	1437255	526860,	2,00	3,70E-05	1,852E-06	242	9,00	-	-	-	4
Площадка		Цех	Источник		Вклад (д. ПДК)			Вклад (мг/куб.м)		Вклад %	
1		9	3010		3,70E-05			1,852E-06		100,0	
9	1430285	524137,	2,00	3,52E-05	1,762E-06	75	9,00	-	-	-	3
Площадка		Цех	Источник		Вклад (д. ПДК)			Вклад (мг/куб.м)		Вклад %	
1		9	3010		3,52E-05			1,762E-06		100,0	
19	1437450	526785,	2,00	3,45E-05	1,726E-06	244	9,00	-	-	-	1
Площадка		Цех	Источник		Вклад (д. ПДК)			Вклад (мг/куб.м)		Вклад %	
1		9	3010		3,45E-05			1,726E-06		100,0	
8	1431633	522009,	2,00	3,41E-05	1,703E-06	37	9,00	-	-	-	3
Площадка		Цех	Источник		Вклад (д. ПДК)			Вклад (мг/куб.м)		Вклад %	
1		9	3010		3,41E-05			1,703E-06		100,0	
20	1437558	526658,	2,00	3,38E-05	1,689E-06	247	9,00	-	-	-	1
Площадка		Цех	Источник		Вклад (д. ПДК)			Вклад (мг/куб.м)		Вклад %	
1		9	3010		3,38E-05			1,689E-06		100,0	

5	1437817,00	524409,00	2,00	3,37E-05	1,684E-06	280	9,00	-	-	-	-	3
Площадка		Цех	Источник		Вклад (д. ПДК)		Вклад (мг/куб.м)		Вклад %			
1		9	3010		3,37E-05		1,684E-06		100,0			
18	1437214,50	527335,50	2,00	3,33E-05	1,666E-06	236	9,00	-	-	-	-	1
Площадка		Цех	Источник		Вклад (д. ПДК)		Вклад (мг/куб.м)		Вклад %			
1		9	3010		3,33E-05		1,666E-06		100,0			
22	1437886,00	524620,00	2,00	3,32E-05	1,659E-06	277	9,00	-	-	-	-	1
Площадка		Цех	Источник		Вклад (д. ПДК)		Вклад (мг/куб.м)		Вклад %			
1		9	3010		3,32E-05		1,659E-06		100,0			
6	1436680,45	522220,00	2,00	3,29E-05	1,645E-06	317	9,00	-	-	-	-	3
Площадка		Цех	Источник		Вклад (д. ПДК)		Вклад (мг/куб.м)		Вклад %			
1		9	3010		3,29E-05		1,645E-06		100,0			
14	1436338,50	528292,50	2,00	3,28E-05	1,642E-06	217	9,00	-	-	-	-	1
Площадка		Цех	Источник		Вклад (д. ПДК)		Вклад (мг/куб.м)		Вклад %			
1		9	3010		3,28E-05		1,642E-06		100,0			
15	1436699,50	528132,50	2,00	3,14E-05	1,568E-06	222	9,00	-	-	-	-	1
Площадка		Цех	Источник		Вклад (д. ПДК)		Вклад (мг/куб.м)		Вклад %			
1		9	3010		3,14E-05		1,568E-06		100,0			
3	1436353,00	528421,00	2,00	3,12E-05	1,561E-06	216	9,00	-	-	-	-	3
Площадка		Цех	Источник		Вклад (д. ПДК)		Вклад (мг/куб.м)		Вклад %			
1		9	3010		3,12E-05		1,561E-06		100,0			
16	1436969,00	528128,00	2,00	2,90E-05	1,448E-06	225	9,00	-	-	-	-	1
Площадка		Цех	Источник		Вклад (д. ПДК)		Вклад (мг/куб.м)		Вклад %			
1		9	3010		2,90E-05		1,448E-06		100,0			
12	1436403,00	528755,00	2,00	2,74E-05	1,372E-06	214	9,00	-	-	-	-	4
Площадка		Цех	Источник		Вклад (д. ПДК)		Вклад (мг/куб.м)		Вклад %			
1		9	3010		2,74E-05		1,372E-06		100,0			
1	1431879,00	529056,00	2,00	2,65E-05	1,326E-06	152	9,00	-	-	-	-	3
Площадка		Цех	Источник		Вклад (д. ПДК)		Вклад (мг/куб.м)		Вклад %			
1		9	3010		2,65E-05		1,326E-06		100,0			
17	1437319,50	528099,50	2,00	2,63E-05	1,317E-06	228	1,59	-	-	-	-	1
Площадка		Цех	Источник		Вклад (д. ПДК)		Вклад (мг/куб.м)		Вклад %			
1		9	3010		2,63E-05		1,317E-06		100,0			
11	1435750,50	529314,00	2,00	2,58E-05	1,289E-06	203	1,59	-	-	-	-	4
Площадка		Цех	Источник		Вклад (д. ПДК)		Вклад (мг/куб.м)		Вклад %			
1		9	3010		2,58E-05		1,289E-06		100,0			
2	1434293,00	529740,50	2,00	2,52E-05	1,262E-06	184	1,59	-	-	-	-	3
Площадка		Цех	Источник		Вклад (д. ПДК)		Вклад (мг/куб.м)		Вклад %			
1		9	3010		2,52E-05		1,262E-06		100,0			

Вещество: 3721
Пыль му́чная

№	Коорд Х(м)	Коорд У(м)	Высота (м)	Концентр (д. ПДК)	Концентр. (мг/куб.м)	Напр ветра	Скор ветра	Фон		Фон до исключения		Тип точки
								доли ПДК	мг/куб.м	доли ПДК	мг/куб.м	
31	1433991,00	525254,00	2,00	1,10E-04	1,104E-04	187	1,12	-	-	-	-	4
Площадка		Цех	Источник		Вклад (д. ПДК)		Вклад (мг/куб.м)		Вклад %			
1		9	3010		1,10E-04		1,104E-04		100,0			
24	1434111,00	525264,00	2,00	9,00E-05	8,997E-05	222	1,59	-	-	-	-	2

Площадка		Цех	Источник		Вклад (д. ПДК)			Вклад (мг/куб.м)		Вклад %	
1		9	3010		9,00E-05			8,997E-05		100,0	
23	1433870	524917,	2,00	8,51E-05	8,515E-05	28	1,59	-	-	-	2
Площадка		Цех	Источник		Вклад (д. ПДК)			Вклад (мг/куб.м)		Вклад %	
1		9	3010		8,51E-05			8,515E-05		100,0	
30	1434170	524983,	2,00	8,16E-05	8,158E-05	304	1,59	-	-	-	2
Площадка		Цех	Источник		Вклад (д. ПДК)			Вклад (мг/куб.м)		Вклад %	
1		9	3010		8,16E-05			8,158E-05		100,0	
32	1433673	524956,	2,00	5,79E-05	5,788E-05	62	1,59	-	-	-	4
Площадка		Цех	Источник		Вклад (д. ПДК)			Вклад (мг/куб.м)		Вклад %	
1		9	3010		5,79E-05			5,788E-05		100,0	
27	1434375	525467,	2,00	3,21E-05	3,214E-05	229	2,25	-	-	-	2
Площадка		Цех	Источник		Вклад (д. ПДК)			Вклад (мг/куб.м)		Вклад %	
1		9	3010		3,21E-05			3,214E-05		100,0	
28	1434538	525109,	2,00	2,98E-05	2,981E-05	270	2,25	-	-	-	2
Площадка		Цех	Источник		Вклад (д. ПДК)			Вклад (мг/куб.м)		Вклад %	
1		9	3010		2,98E-05			2,981E-05		100,0	
25	1434154	525673,	2,00	2,81E-05	2,811E-05	198	2,25	-	-	-	2
Площадка		Цех	Источник		Вклад (д. ПДК)			Вклад (мг/куб.м)		Вклад %	
1		9	3010		2,81E-05			2,811E-05		100,0	
29	1434463	524697,	2,00	2,46E-05	2,461E-05	310	2,25	-	-	-	2
Площадка		Цех	Источник		Вклад (д. ПДК)			Вклад (мг/куб.м)		Вклад %	
1		9	3010		2,46E-05			2,461E-05		100,0	
26	1434319	525785,	2,00	1,90E-05	1,903E-05	207	2,25	-	-	-	2
Площадка		Цех	Источник		Вклад (д. ПДК)			Вклад (мг/куб.м)		Вклад %	
1		9	3010		1,90E-05			1,903E-05		100,0	
7	1434173	521781,	2,00	1,75E-06	1,751E-06	357	9,00	-	-	-	3
Площадка		Цех	Источник		Вклад (д. ПДК)			Вклад (мг/куб.м)		Вклад %	
1		9	3010		1,75E-06			1,751E-06		100,0	
21	1437189	526151,	2,00	1,72E-06	1,716E-06	252	9,00	-	-	-	1
Площадка		Цех	Источник		Вклад (д. ПДК)			Вклад (мг/куб.м)		Вклад %	
1		9	3010		1,72E-06			1,716E-06		100,0	
10	1430891	526664,	2,00	1,65E-06	1,646E-06	117	9,00	-	-	-	3
Площадка		Цех	Источник		Вклад (д. ПДК)			Вклад (мг/куб.м)		Вклад %	
1		9	3010		1,65E-06			1,646E-06		100,0	
4	1437172	526875,	2,00	1,48E-06	1,481E-06	241	9,00	-	-	-	3
Площадка		Цех	Источник		Вклад (д. ПДК)			Вклад (мг/куб.м)		Вклад %	
1		9	3010		1,48E-06			1,481E-06		100,0	
13	1437255	526860,	2,00	1,43E-06	1,432E-06	242	9,00	-	-	-	4
Площадка		Цех	Источник		Вклад (д. ПДК)			Вклад (мг/куб.м)		Вклад %	
1		9	3010		1,43E-06			1,432E-06		100,0	
9	1430285	524137,	2,00	1,36E-06	1,363E-06	75	9,00	-	-	-	3
Площадка		Цех	Источник		Вклад (д. ПДК)			Вклад (мг/куб.м)		Вклад %	
1		9	3010		1,36E-06			1,363E-06		100,0	
19	1437450	526785,	2,00	1,33E-06	1,335E-06	244	9,00	-	-	-	1
Площадка		Цех	Источник		Вклад (д. ПДК)			Вклад (мг/куб.м)		Вклад %	
1		9	3010		1,33E-06			1,335E-06		100,0	
8	1431633	522009,	2,00	1,32E-06	1,317E-06	37	9,00	-	-	-	3
Площадка		Цех	Источник		Вклад (д. ПДК)			Вклад (мг/куб.м)		Вклад %	
1		9	3010		1,32E-06			1,317E-06		100,0	

20	1437558,00	526658,50	2,00	1,31E-06	1,306E-06	247	9,00	-	-	-	-	1
Площадка		Цех	Источник		Вклад (д. ПДК)		Вклад (мг/куб.м)		Вклад %			
1		9	3010		1,31E-06		1,306E-06		100,0			
5	1437817,00	524409,00	2,00	1,30E-06	1,303E-06	280	9,00	-	-	-	-	3
Площадка		Цех	Источник		Вклад (д. ПДК)		Вклад (мг/куб.м)		Вклад %			
1		9	3010		1,30E-06		1,303E-06		100,0			
18	1437214,50	527335,50	2,00	1,29E-06	1,288E-06	236	9,00	-	-	-	-	1
Площадка		Цех	Источник		Вклад (д. ПДК)		Вклад (мг/куб.м)		Вклад %			
1		9	3010		1,29E-06		1,288E-06		100,0			
22	1437886,50	524620,00	2,00	1,28E-06	1,283E-06	277	9,00	-	-	-	-	1
Площадка		Цех	Источник		Вклад (д. ПДК)		Вклад (мг/куб.м)		Вклад %			
1		9	3010		1,28E-06		1,283E-06		100,0			
6	1436680,45	522220,00	2,00	1,27E-06	1,272E-06	317	9,00	-	-	-	-	3
Площадка		Цех	Источник		Вклад (д. ПДК)		Вклад (мг/куб.м)		Вклад %			
1		9	3010		1,27E-06		1,272E-06		100,0			
14	1436338,50	528292,50	2,00	1,27E-06	1,270E-06	217	9,00	-	-	-	-	1
Площадка		Цех	Источник		Вклад (д. ПДК)		Вклад (мг/куб.м)		Вклад %			
1		9	3010		1,27E-06		1,270E-06		100,0			
15	1436699,50	528132,50	2,00	1,21E-06	1,213E-06	222	9,00	-	-	-	-	1
Площадка		Цех	Источник		Вклад (д. ПДК)		Вклад (мг/куб.м)		Вклад %			
1		9	3010		1,21E-06		1,213E-06		100,0			
3	1436353,50	528421,00	2,00	1,21E-06	1,207E-06	216	9,00	-	-	-	-	3
Площадка		Цех	Источник		Вклад (д. ПДК)		Вклад (мг/куб.м)		Вклад %			
1		9	3010		1,21E-06		1,207E-06		100,0			
16	1436969,00	528128,00	2,00	1,12E-06	1,119E-06	225	9,00	-	-	-	-	1
Площадка		Цех	Источник		Вклад (д. ПДК)		Вклад (мг/куб.м)		Вклад %			
1		9	3010		1,12E-06		1,119E-06		100,0			
12	1436403,00	528755,00	2,00	1,06E-06	1,061E-06	214	9,00	-	-	-	-	4
Площадка		Цех	Источник		Вклад (д. ПДК)		Вклад (мг/куб.м)		Вклад %			
1		9	3010		1,06E-06		1,061E-06		100,0			
1	1431879,04	529056,44	2,00	1,03E-06	1,025E-06	152	9,00	-	-	-	-	3
Площадка		Цех	Источник		Вклад (д. ПДК)		Вклад (мг/куб.м)		Вклад %			
1		9	3010		1,03E-06		1,025E-06		100,0			
17	1437319,50	528099,50	2,00	1,02E-06	1,018E-06	228	1,59	-	-	-	-	1
Площадка		Цех	Источник		Вклад (д. ПДК)		Вклад (мг/куб.м)		Вклад %			
1		9	3010		1,02E-06		1,018E-06		100,0			
11	1435750,50	529314,00	2,00	9,97E-07	9,970E-07	203	1,59	-	-	-	-	4
2	1434293,04	529740,50	2,00	9,76E-07	9,762E-07	184	1,59	-	-	-	-	3

Вещество: 6042
Серы диоксид и никель металлический

№	Коорд Х(м)	Коорд У(м)	Высота (м)	Концентр (д. ПДК)	Концентр. (мг/куб.м)	Напр ветр	Скор ветр	Фон		Фон до исключения		Тип точки
								доли ПДК	мг/куб.м	доли ПДК	мг/куб.м	
29	1434463,44	524697,40	2,00	0,28	-	295	4,74	-	-	-	-	2
Площадка		Цех	Источник		Вклад (д. ПДК)		Вклад (мг/куб.м)		Вклад %			
1		12	3011		0,28		0,000		99,6			
1		13	7006		6,78E-04		0,000		0,2			
1		11	7007		4,01E-04		0,000		0,1			

7	1434173,54	521781,43	2,00	0,09	-	357	7,27	-	-	-	-	3
Площадка		Цех	Источник	Вклад (д. ПДК)		Вклад (мг/куб.м)		Вклад %				
1		12	3011	0,09		0,000		99,7				
1		11	7007	8,34E-05		0,000		0,1				
1		10	7000	4,93E-05		0,000		0,1				
1		13	7006	4,59E-05		0,000		0,1				
1		11	7004	3,45E-05		0,000		0,0				
21	1437189,00	526151,00	2,00	0,08	-	249	7,27	-	-	-	-	1
Площадка		Цех	Источник	Вклад (д. ПДК)		Вклад (мг/куб.м)		Вклад %				
1		12	3011	0,08		0,000		99,7				
1		11	7007	7,60E-05		0,000		0,1				
1		10	7000	5,28E-05		0,000		0,1				
1		13	7006	4,12E-05		0,000		0,1				
1		10	7005	3,26E-05		0,000		0,0				
10	1430891,50	526664,50	2,00	0,07	-	119	7,27	-	-	-	-	3
Площадка		Цех	Источник	Вклад (д. ПДК)		Вклад (мг/куб.м)		Вклад %				
1		12	3011	0,07		0,000		99,7				
1		11	7007	7,20E-05		0,000		0,1				
1		13	7006	3,88E-05		0,000		0,1				
1		10	7000	3,69E-05		0,000		0,1				
1		11	7004	3,18E-05		0,000		0,0				
23	1433870,00	524917,50	2,00	0,07	-	92	4,74	-	-	-	-	2
Площадка		Цех	Источник	Вклад (д. ПДК)		Вклад (мг/куб.м)		Вклад %				
1		12	3011	0,07		0,000		100,0				
1		13	7006	3,51E-05		0,000		0,0				
4	1437172,40	526875,54	2,00	0,07	-	238	7,27	-	-	-	-	3
Площадка		Цех	Источник	Вклад (д. ПДК)		Вклад (мг/куб.м)		Вклад %				
1		12	3011	0,07		0,000		99,7				
1		11	7007	6,67E-05		0,000		0,1				
1		10	7000	4,93E-05		0,000		0,1				
1		13	7006	3,61E-05		0,000		0,1				
1		10	7005	3,05E-05		0,000		0,0				
8	1431633,00	522009,50	2,00	0,07	-	39	7,27	-	-	-	-	3
Площадка		Цех	Источник	Вклад (д. ПДК)		Вклад (мг/куб.м)		Вклад %				
1		12	3011	0,07		0,000		99,7				
1		11	7007	6,47E-05		0,000		0,1				
1		10	7000	4,31E-05		0,000		0,1				
1		13	7006	3,55E-05		0,000		0,1				
1		10	7005	2,66E-05		0,000		0,0				
13	1437255,50	526860,50	2,00	0,07	-	239	9,00	-	-	-	-	4
Площадка		Цех	Источник	Вклад (д. ПДК)		Вклад (мг/куб.м)		Вклад %				
1		12	3011	0,07		0,000		99,7				
1		11	7007	6,98E-05		0,000		0,1				
1		10	7000	5,19E-05		0,000		0,1				
1		13	7006	3,76E-05		0,000		0,1				
1		10	7005	3,21E-05		0,000		0,0				
6	1436680,45	522220,00	2,00	0,07	-	315	9,00	-	-	-	-	3
Площадка		Цех	Источник	Вклад (д. ПДК)		Вклад (мг/куб.м)		Вклад %				
1		12	3011	0,07		0,000		99,7				
1		11	7007	6,64E-05		0,000		0,1				

	1		13	7006		3,68E-05		0,000		0,1		
	1		10	7000		3,49E-05		0,000		0,1		
	1		11	7004		2,78E-05		0,000		0,0		
9	1430285	524137,	2,00	0,07	-	78	9,00	-	-	-	-	3
Площадка		Цех	Источник		Вклад (д. ПДК)		Вклад (мг/куб.м)		Вклад %			
	1		12	3011		0,07		0,000		99,7		
	1		11	7007		6,75E-05		0,000		0,1		
	1		10	7000		4,01E-05		0,000		0,1		
	1		13	7006		3,73E-05		0,000		0,1		
	1		11	7004		2,79E-05		0,000		0,0		
5	1437817	524409,	2,00	0,07	-	278	9,00	-	-	-	-	3
Площадка		Цех	Источник		Вклад (д. ПДК)		Вклад (мг/куб.м)		Вклад %			
	1		12	3011		0,07		0,000		99,7		
	1		11	7007		6,72E-05		0,000		0,1		
	1		10	7000		4,08E-05		0,000		0,1		
	1		13	7006		3,66E-05		0,000		0,1		
	1		11	7004		2,74E-05		0,000		0,0		
22	1437886	524620,	2,00	0,06	-	274	9,00	-	-	-	-	1
Площадка		Цех	Источник		Вклад (д. ПДК)		Вклад (мг/куб.м)		Вклад %			
	1		12	3011		0,06		0,000		99,7		
	1		11	7007		6,39E-05		0,000		0,1		
	1		10	7000		3,71E-05		0,000		0,1		
	1		13	7006		3,55E-05		0,000		0,1		
	1		11	7004		2,54E-05		0,000		0,0		
19	1437450	526785,	2,00	0,06	-	241	9,00	-	-	-	-	1
Площадка		Цех	Источник		Вклад (д. ПДК)		Вклад (мг/куб.м)		Вклад %			
	1		12	3011		0,06		0,000		99,7		
	1		11	7007		6,48E-05		0,000		0,1		
	1		10	7000		4,69E-05		0,000		0,1		
	1		13	7006		3,53E-05		0,000		0,1		
	1		10	7005		2,89E-05		0,000		0,0		
20	1437558	526658,	2,00	0,06	-	244	9,00	-	-	-	-	1
Площадка		Цех	Источник		Вклад (д. ПДК)		Вклад (мг/куб.м)		Вклад %			
	1		12	3011		0,06		0,000		99,7		
	1		11	7007		6,56E-05		0,000		0,1		
	1		10	7000		4,79E-05		0,000		0,1		
	1		13	7006		3,53E-05		0,000		0,1		
	1		10	7005		2,96E-05		0,000		0,0		
18	1437214	527335,	2,00	0,06	-	233	9,00	-	-	-	-	1
Площадка		Цех	Источник		Вклад (д. ПДК)		Вклад (мг/куб.м)		Вклад %			
	1		12	3011		0,06		0,000		99,7		
	1		11	7007		6,46E-05		0,000		0,1		
	1		10	7000		4,96E-05		0,000		0,1		
	1		13	7006		3,45E-05		0,000		0,1		
	1		10	7005		3,06E-05		0,000		0,0		
14	1436338	528292,	2,00	0,06	-	215	9,00	-	-	-	-	1
Площадка		Цех	Источник		Вклад (д. ПДК)		Вклад (мг/куб.м)		Вклад %			
	1		12	3011		0,06		0,000		99,7		
	1		11	7007		6,42E-05		0,000		0,1		
	1		10	7000		5,08E-05		0,000		0,1		

	1		13	7006		3,36E-05		0,000		0,1		
	1		10	7005		3,14E-05		0,000		0,1		
15	1436699	528132,50	2,00	0,06	-	220	9,00	-	-	-	-	1
Площадка		Цех	Источник		Вклад (д. ПДК)		Вклад (мг/куб.м)		Вклад %			
	1		12	3011		0,06		0,000		99,7		
	1		11	7007		6,15E-05		0,000		0,1		
	1		10	7000		4,86E-05		0,000		0,1		
	1		13	7006		3,25E-05		0,000		0,1		
	1		10	7005		3,00E-05		0,000		0,1		
3	1436353	528421,07	2,00	0,06	-	214	9,00	-	-	-	-	3
Площадка		Цех	Источник		Вклад (д. ПДК)		Вклад (мг/куб.м)		Вклад %			
	1		12	3011		0,06		0,000		99,7		
	1		11	7007		6,15E-05		0,000		0,1		
	1		10	7000		4,85E-05		0,000		0,1		
	1		13	7006		3,23E-05		0,000		0,1		
	1		10	7005		3,00E-05		0,000		0,1		
16	1436969	528128,00	2,00	0,05	-	223	9,00	-	-	-	-	1
Площадка		Цех	Источник		Вклад (д. ПДК)		Вклад (мг/куб.м)		Вклад %			
	1		12	3011		0,05		0,000		99,7		
	1		11	7007		5,81E-05		0,000		0,1		
	1		10	7000		4,55E-05		0,000		0,1		
	1		13	7006		3,06E-05		0,000		0,1		
	1		10	7005		2,81E-05		0,000		0,1		
12	1436403	528755,00	2,00	0,05	-	212	9,00	-	-	-	-	4
Площадка		Цех	Источник		Вклад (д. ПДК)		Вклад (мг/куб.м)		Вклад %			
	1		12	3011		0,05		0,000		99,7		
	1		11	7007		5,53E-05		0,000		0,1		
	1		10	7000		4,33E-05		0,000		0,1		
	1		13	7006		2,91E-05		0,000		0,1		
	1		10	7005		2,68E-05		0,000		0,1		
17	1437319	528099,50	2,00	0,05	-	226	9,00	-	-	-	-	1
Площадка		Цех	Источник		Вклад (д. ПДК)		Вклад (мг/куб.м)		Вклад %			
	1		12	3011		0,05		0,000		99,7		
	1		11	7007		5,32E-05		0,000		0,1		
	1		10	7000		4,12E-05		0,000		0,1		
	1		13	7006		2,83E-05		0,000		0,1		
	1		10	7005		2,54E-05		0,000		0,1		
1	1431879	529056,44	2,00	0,05	-	153	9,00	-	-	-	-	3
Площадка		Цех	Источник		Вклад (д. ПДК)		Вклад (мг/куб.м)		Вклад %			
	1		12	3011		0,05		0,000		99,7		
	1		11	7007		5,29E-05		0,000		0,1		
	1		10	7000		3,24E-05		0,000		0,1		
	1		13	7006		2,80E-05		0,000		0,1		
	1		11	7004		2,38E-05		0,000		0,0		
11	1435750	529314,00	2,00	0,05	-	202	9,00	-	-	-	-	4
Площадка		Цех	Источник		Вклад (д. ПДК)		Вклад (мг/куб.м)		Вклад %			
	1		12	3011		0,05		0,000		99,7		
	1		11	7007		5,22E-05		0,000		0,1		
	1		10	7000		3,97E-05		0,000		0,1		
	1		13	7006		2,73E-05		0,000		0,1		

	1		13	7006		3,11E-04		0,000	0,1				
	1		10	7005		2,96E-04		0,000	0,1				
18	1437214	527335,	2,00	0,22	-	235	1,03	0,22	-	0,22	-	1	
Площадка		Цех	Источник		Вклад (д. ПДК)		Вклад (мг/куб.м)		Вклад %				
	1		11	7007		4,88E-04		0,000	0,2				
	1		10	7000		3,91E-04		0,000	0,2				
	1		10	7005		3,45E-04		0,000	0,2				
	1		11	7004		3,01E-04		0,000	0,1				
	1		13	7006		2,78E-04		0,000	0,1				
6	1436680	522220,	2,00	0,22	-	317	1,03	0,22	-	0,22	-	3	
Площадка		Цех	Источник		Вклад (д. ПДК)		Вклад (мг/куб.м)		Вклад %				
	1		11	7007		5,14E-04		0,000	0,2				
	1		10	7000		3,58E-04		0,000	0,2				
	1		10	7005		3,15E-04		0,000	0,1				
	1		13	7006		3,08E-04		0,000	0,1				
	1		11	7004		3,02E-04		0,000	0,1				
8	1431633	522009,	2,00	0,22	-	38	1,03	0,22	-	0,22	-	3	
Площадка		Цех	Источник		Вклад (д. ПДК)		Вклад (мг/куб.м)		Вклад %				
	1		11	7007		5,26E-04		0,000	0,2				
	1		10	7000		3,29E-04		0,000	0,1				
	1		11	7004		3,23E-04		0,000	0,1				
	1		13	7006		3,15E-04		0,000	0,1				
	1		10	7005		2,90E-04		0,000	0,1				
14	1436338	528292,	2,00	0,22	-	215	1,03	0,22	-	0,22	-	1	
Площадка		Цех	Источник		Вклад (д. ПДК)		Вклад (мг/куб.м)		Вклад %				
	1		11	7007		4,71E-04		0,000	0,2				
	1		10	7000		3,84E-04		0,000	0,2				
	1		10	7005		3,39E-04		0,000	0,2				
	1		11	7004		2,93E-04		0,000	0,1				
	1		13	7006		2,68E-04		0,000	0,1				
15	1436699	528132,	2,00	0,22	-	221	1,03	0,22	-	0,22	-	1	
Площадка		Цех	Источник		Вклад (д. ПДК)		Вклад (мг/куб.м)		Вклад %				
	1		11	7007		4,46E-04		0,000	0,2				
	1		10	7000		3,66E-04		0,000	0,2				
	1		10	7005		3,22E-04		0,000	0,1				
	1		11	7004		2,77E-04		0,000	0,1				
	1		13	7006		2,54E-04		0,000	0,1				
3	1436353	528421,	2,00	0,22	-	215	1,03	0,22	-	0,22	-	3	
Площадка		Цех	Источник		Вклад (д. ПДК)		Вклад (мг/куб.м)		Вклад %				
	1		11	7007		4,41E-04		0,000	0,2				
	1		10	7000		3,61E-04		0,000	0,2				
	1		10	7005		3,18E-04		0,000	0,1				
	1		11	7004		2,76E-04		0,000	0,1				
	1		13	7006		2,50E-04		0,000	0,1				
16	1436969	528128,	2,00	0,22	-	224	1,48	0,22	-	0,22	-	1	
Площадка		Цех	Источник		Вклад (д. ПДК)		Вклад (мг/куб.м)		Вклад %				
	1		11	7007		4,23E-04		0,000	0,2				
	1		10	7000		3,23E-04		0,000	0,1				
	1		10	7005		2,84E-04		0,000	0,1				
	1		11	7004		2,62E-04		0,000	0,1				

12	1436403	528755,00	2,00	0,22	-	213	1,48	0,22	-	0,22	-	4
Площадка	Цех	Источник	Вклад (д. ПДК)	Вклад (мг/куб.м)	Вклад %							
1	11	7007	4,08E-04	0,000	0,2							
1	10	7000	3,09E-04	0,000	0,1							
1	10	7005	2,72E-04	0,000	0,1							
1	11	7004	2,54E-04	0,000	0,1							
1	13	7006	2,36E-04	0,000	0,1							
17	1437319	528099,00	2,00	0,22	-	227	1,48	0,22	-	0,22	-	1
Площадка	Цех	Источник	Вклад (д. ПДК)	Вклад (мг/куб.м)	Вклад %							
1	11	7007	4,00E-04	0,000	0,2							
1	10	7000	3,04E-04	0,000	0,1							
1	10	7005	2,68E-04	0,000	0,1							
1	11	7004	2,46E-04	0,000	0,1							
1	13	7006	2,32E-04	0,000	0,1							
1	1431879	529056,00	2,00	0,22	-	151	1,48	0,22	-	0,22	-	3
Площадка	Цех	Источник	Вклад (д. ПДК)	Вклад (мг/куб.м)	Вклад %							
1	11	7007	3,93E-04	0,000	0,2							
1	10	7000	2,85E-04	0,000	0,1							
1	10	7005	2,52E-04	0,000	0,1							
1	11	7004	2,49E-04	0,000	0,1							
1	13	7006	2,27E-04	0,000	0,1							
11	1435750	529314,00	2,00	0,22	-	202	1,48	0,22	-	0,22	-	4
Площадка	Цех	Источник	Вклад (д. ПДК)	Вклад (мг/куб.м)	Вклад %							
1	11	7007	3,89E-04	0,000	0,2							
1	10	7000	2,93E-04	0,000	0,1							
1	10	7005	2,58E-04	0,000	0,1							
1	11	7004	2,42E-04	0,000	0,1							
1	13	7006	2,21E-04	0,000	0,1							
2	1434293	529740,00	2,00	0,22	-	183	1,48	0,22	-	0,22	-	3
Площадка	Цех	Источник	Вклад (д. ПДК)	Вклад (мг/куб.м)	Вклад %							
1	11	7007	3,70E-04	0,000	0,2							
1	10	7000	2,82E-04	0,000	0,1							
1	10	7005	2,48E-04	0,000	0,1							
1	11	7004	2,36E-04	0,000	0,1							
1	13	7006	2,11E-04	0,000	0,1							

Условные обозначения



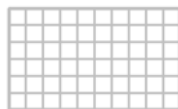
Промышленные зоны



Санитарно-защитные зоны



Расчетные точки



Расчетные площадки

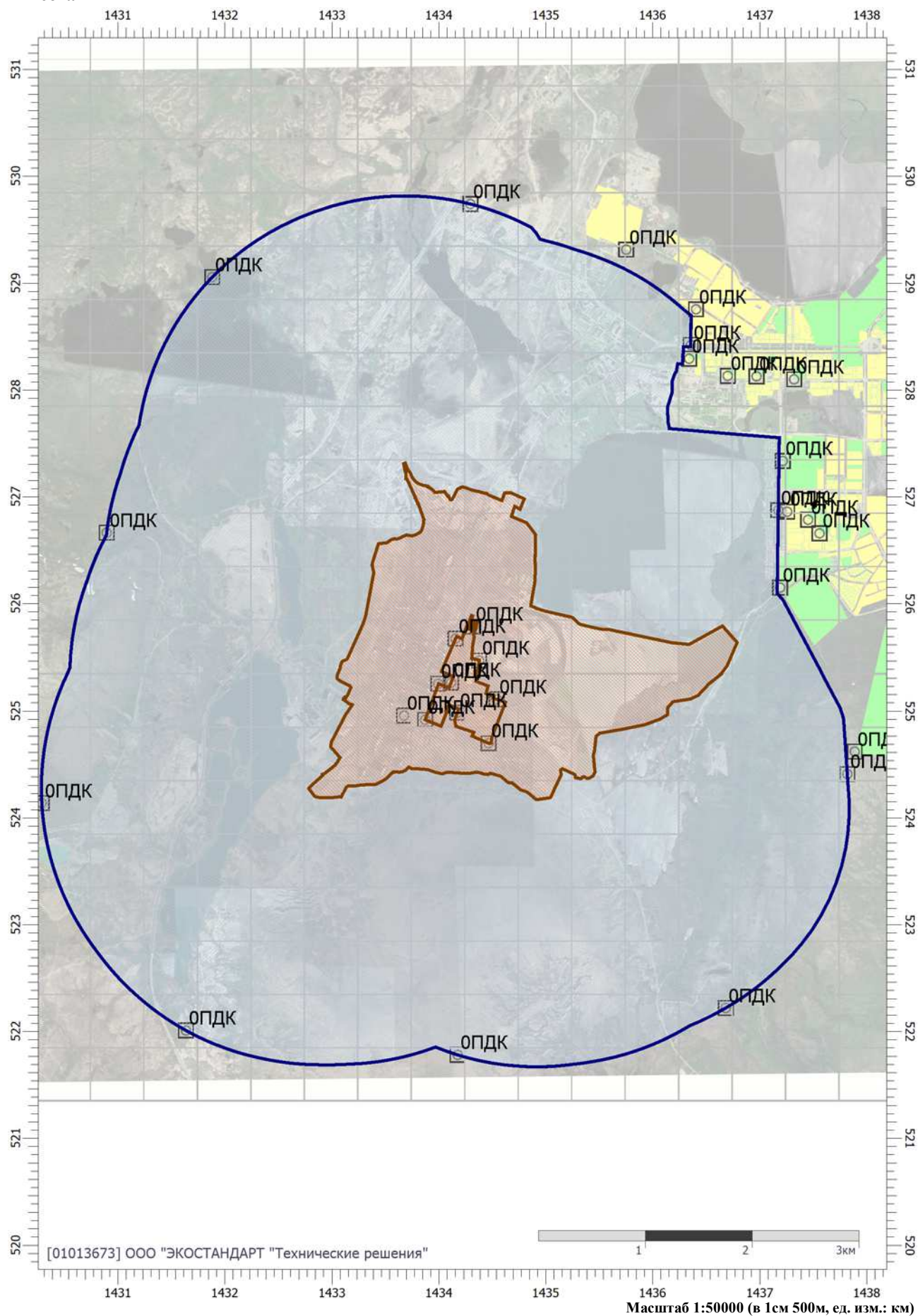
Отчет

Тип расчета: Расчеты по веществам

Код расчета: 0155 (диНатрий карбонат)

Параметр: Концентрация вредного вещества (в долях ПДК)

Высота 2м



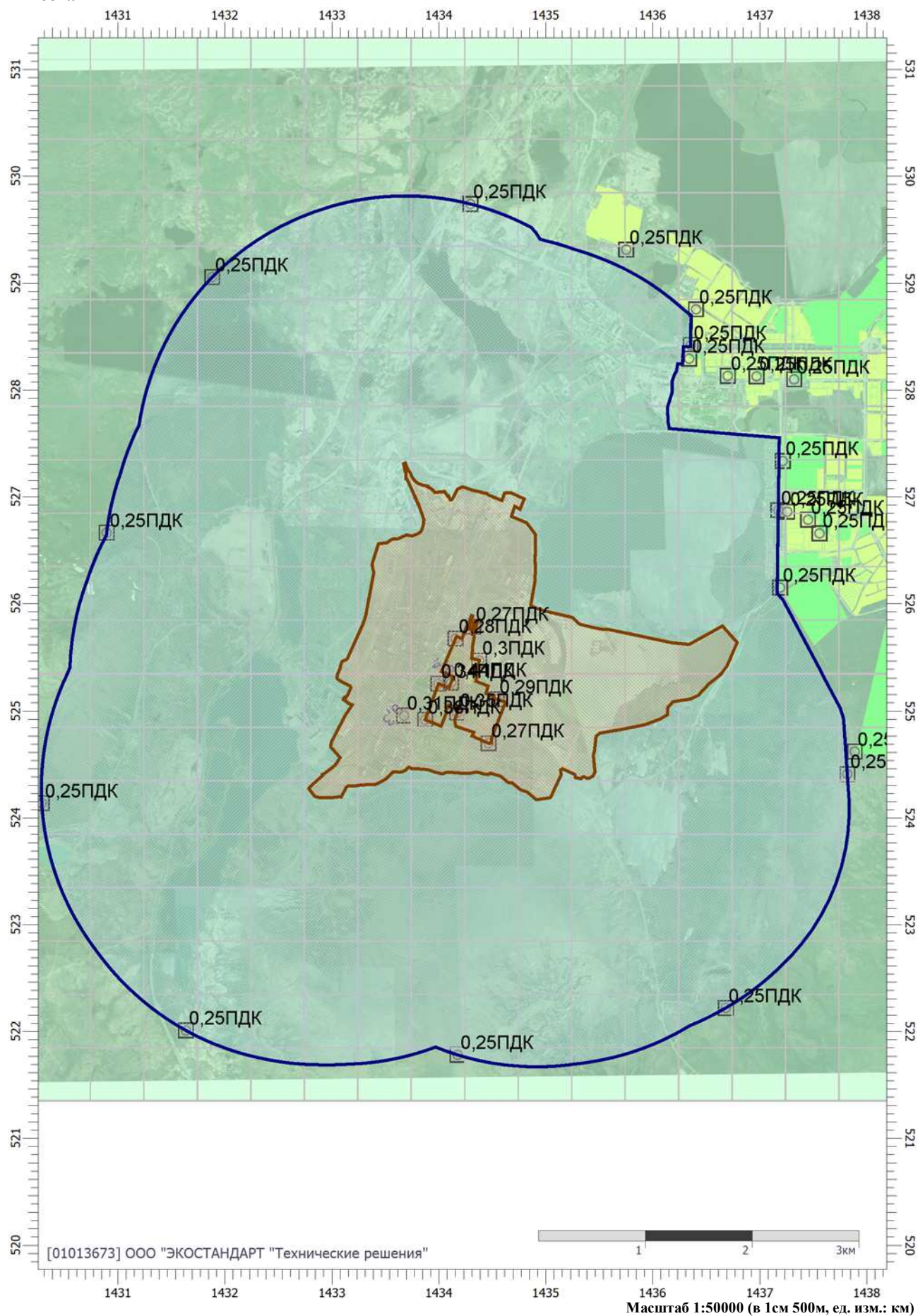
Отчет

Тип расчета: Расчеты по веществам

Код расчета: 0301 (Азота диоксид (Двуокись азота; пероксид азота))

Параметр: Концентрация вредного вещества (в долях ПДК)

Высота 2м



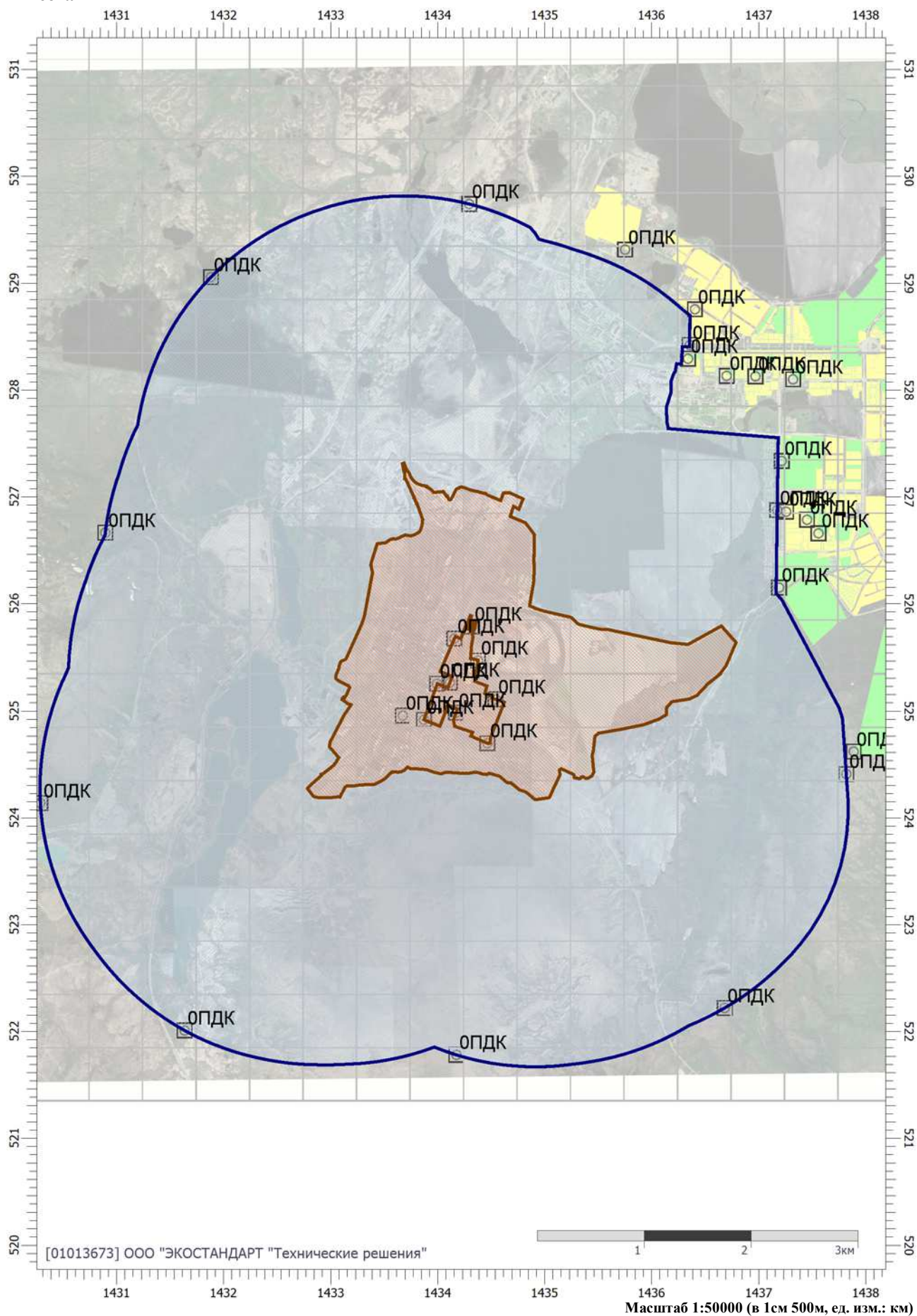
Отчет

Тип расчета: Расчеты по веществам

Код расчета: 0303 (Аммиак (Азота гидрид))

Параметр: Концентрация вредного вещества (в долях ПДК)

Высота 2м



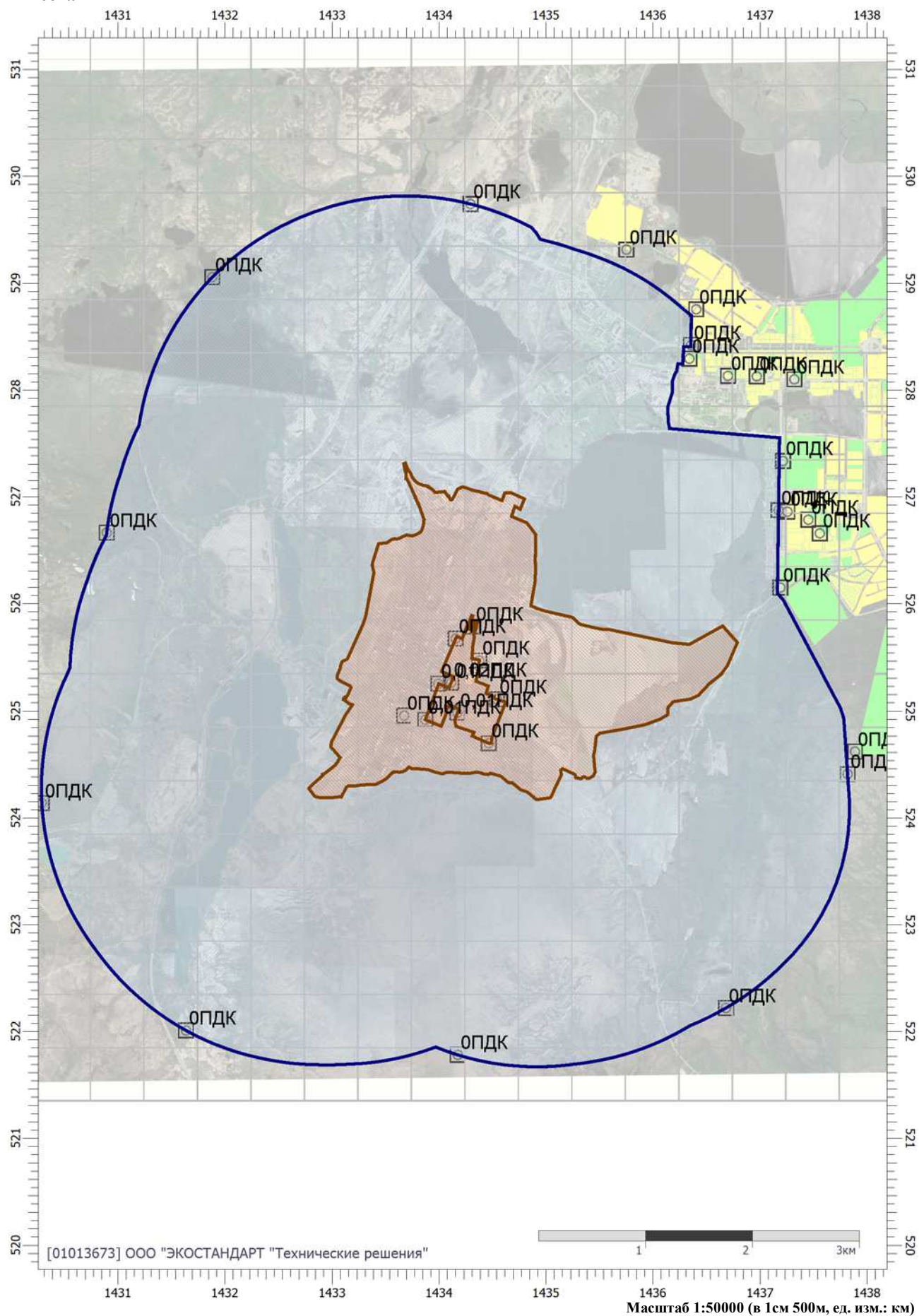
Отчет

Тип расчета: Расчеты по веществам

Код расчета: 0304 (Азот (II) оксид (Азот монооксид))

Параметр: Концентрация вредного вещества (в долях ПДК)

Высота 2м



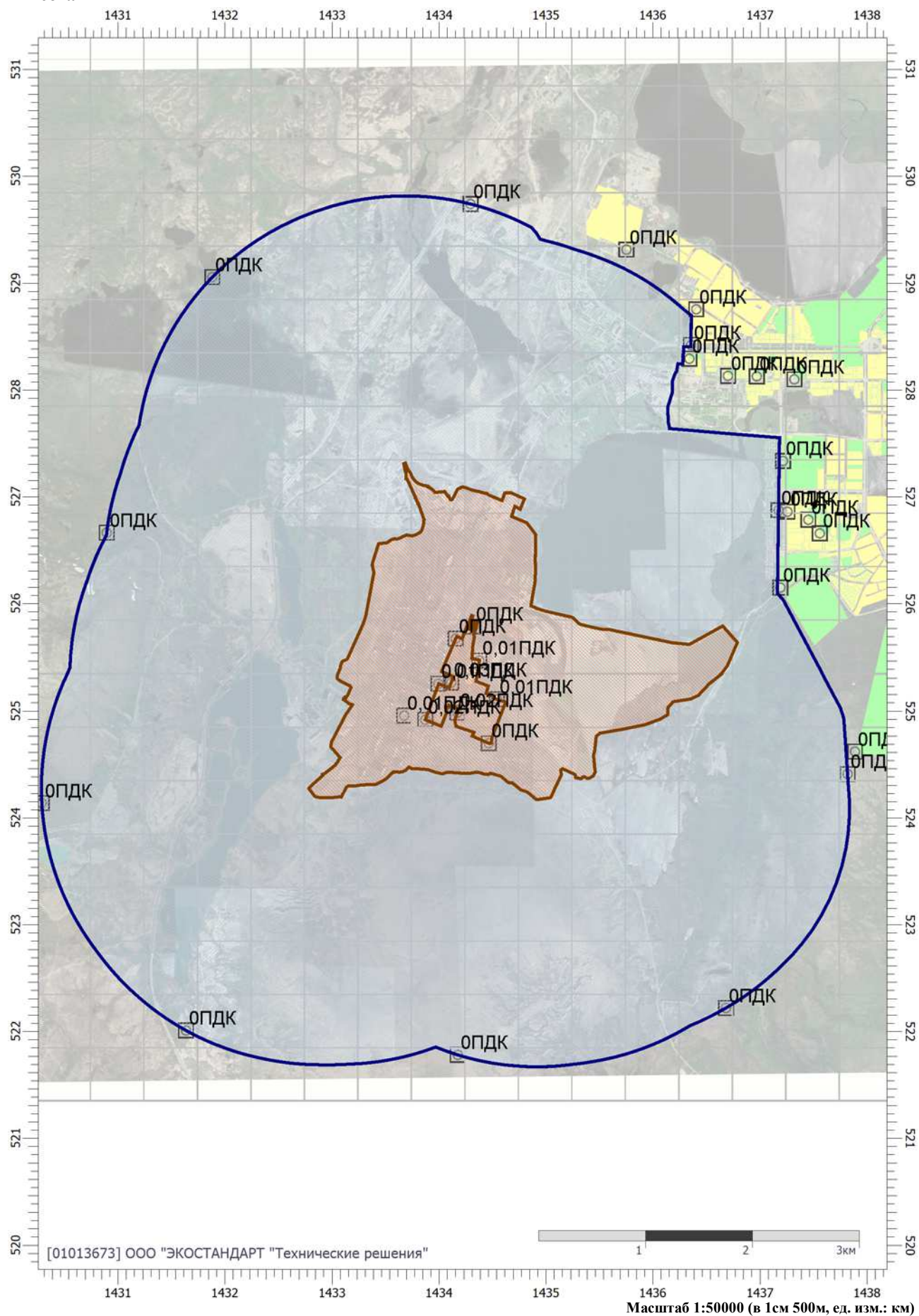
Отчет

Тип расчета: Расчеты по веществам

Код расчета: 0328 (Углерод (Пигмент черный))

Параметр: Концентрация вредного вещества (в долях ПДК)

Высота 2м



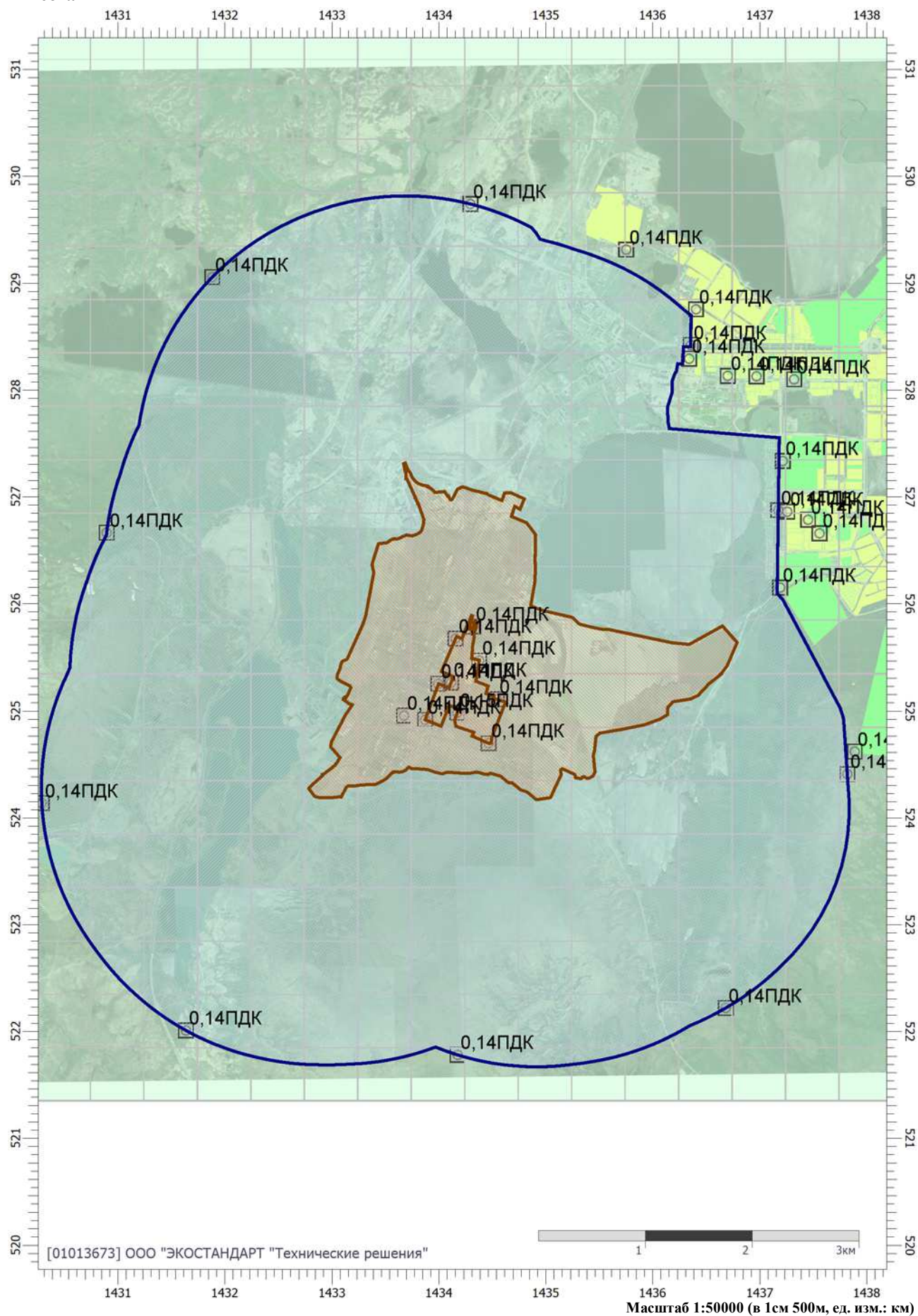
Отчет

Тип расчета: Расчеты по веществам

Код расчета: 0330 (Сера диоксид)

Параметр: Концентрация вредного вещества (в долях ПДК)

Высота 2м



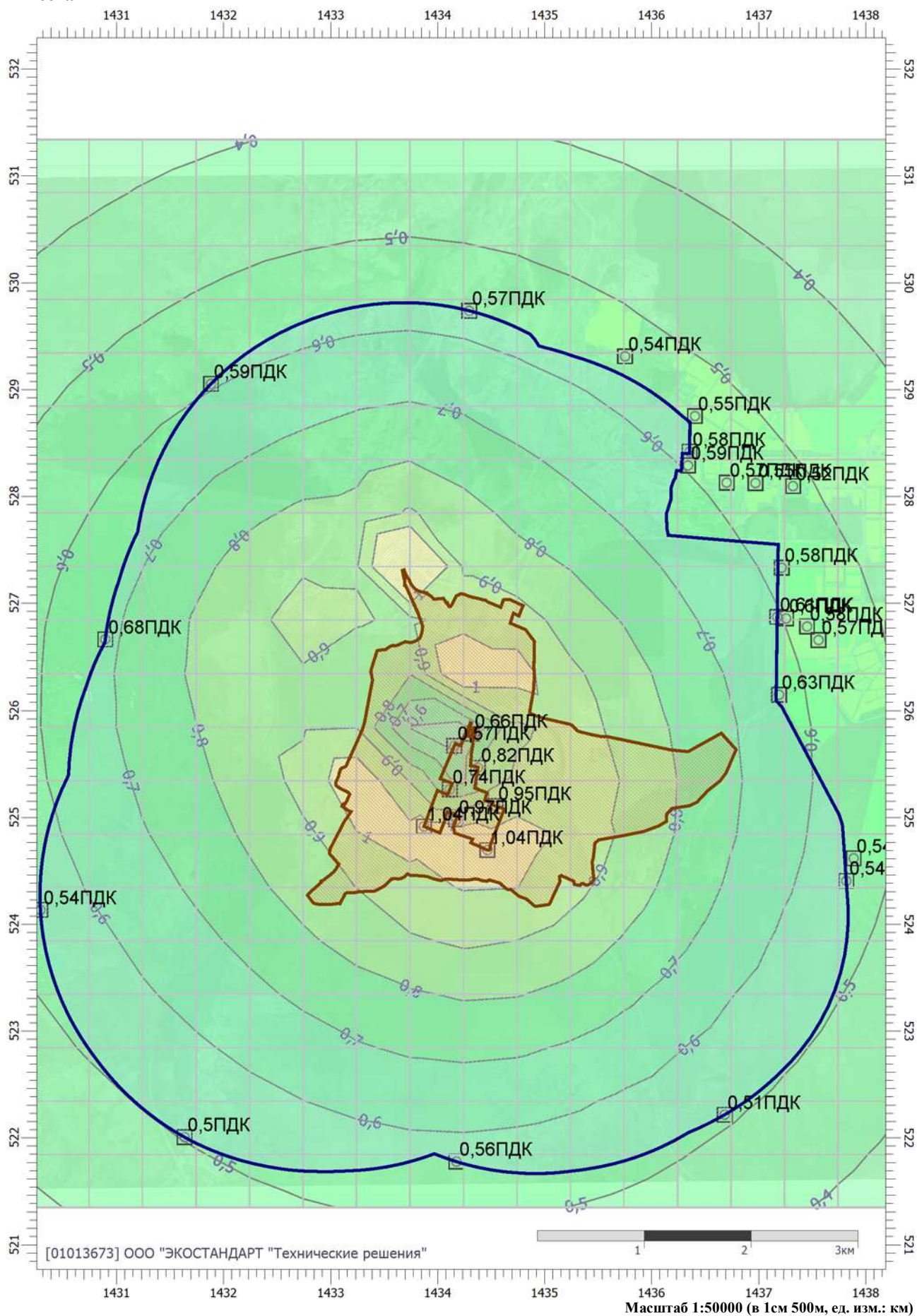
Отчет

Тип расчета: Расчеты по веществам

Код расчета: 0330 (Сера диоксид)

Параметр: Концентрация вредного вещества (в долях ПДК)

Высота 2м



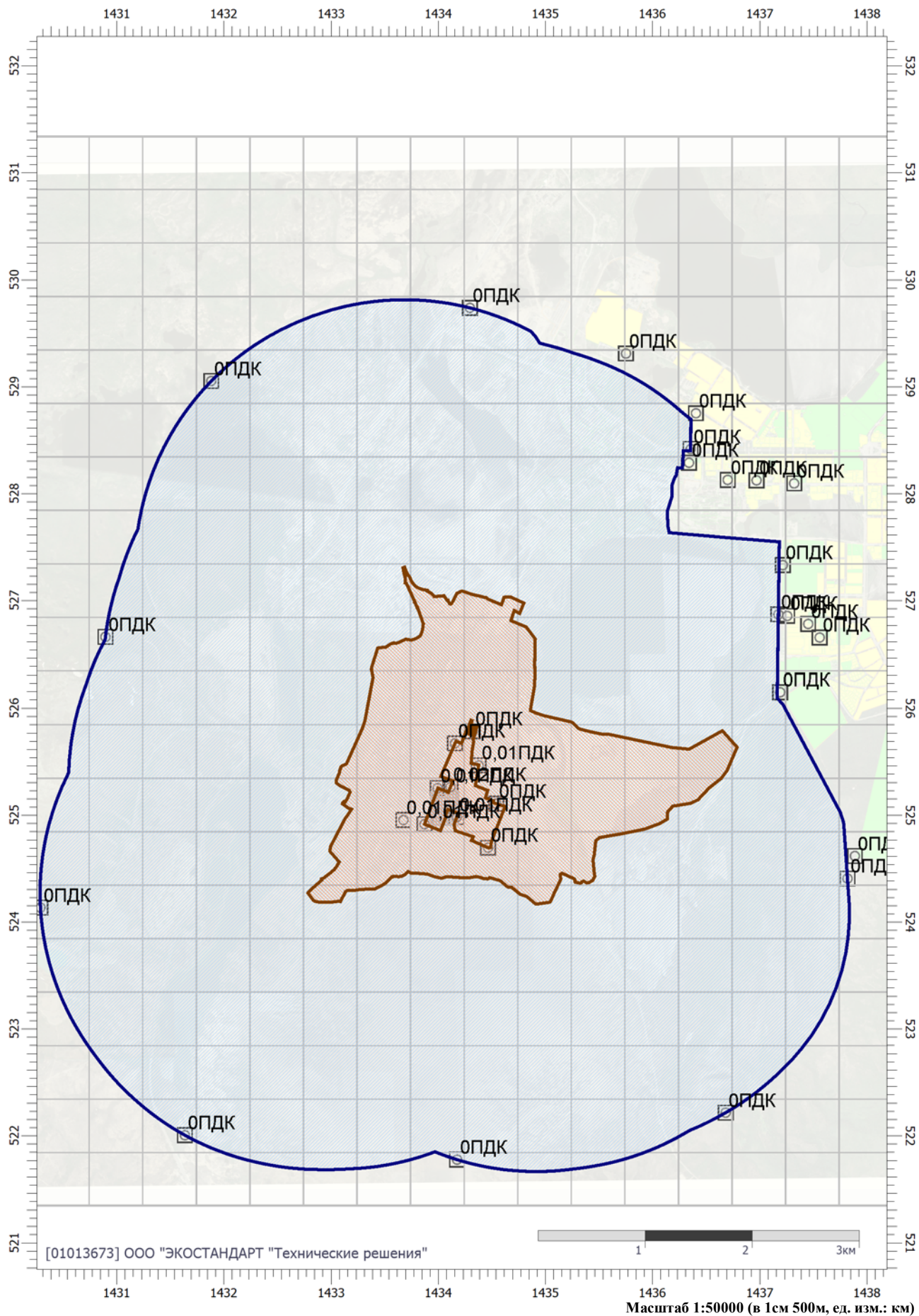
Отчет

Тип расчета: Расчеты по веществам

Код расчета: 0330 (Сера диоксид)

Параметр: Концентрация вредного вещества (в долях ПДК)

Высота 2м



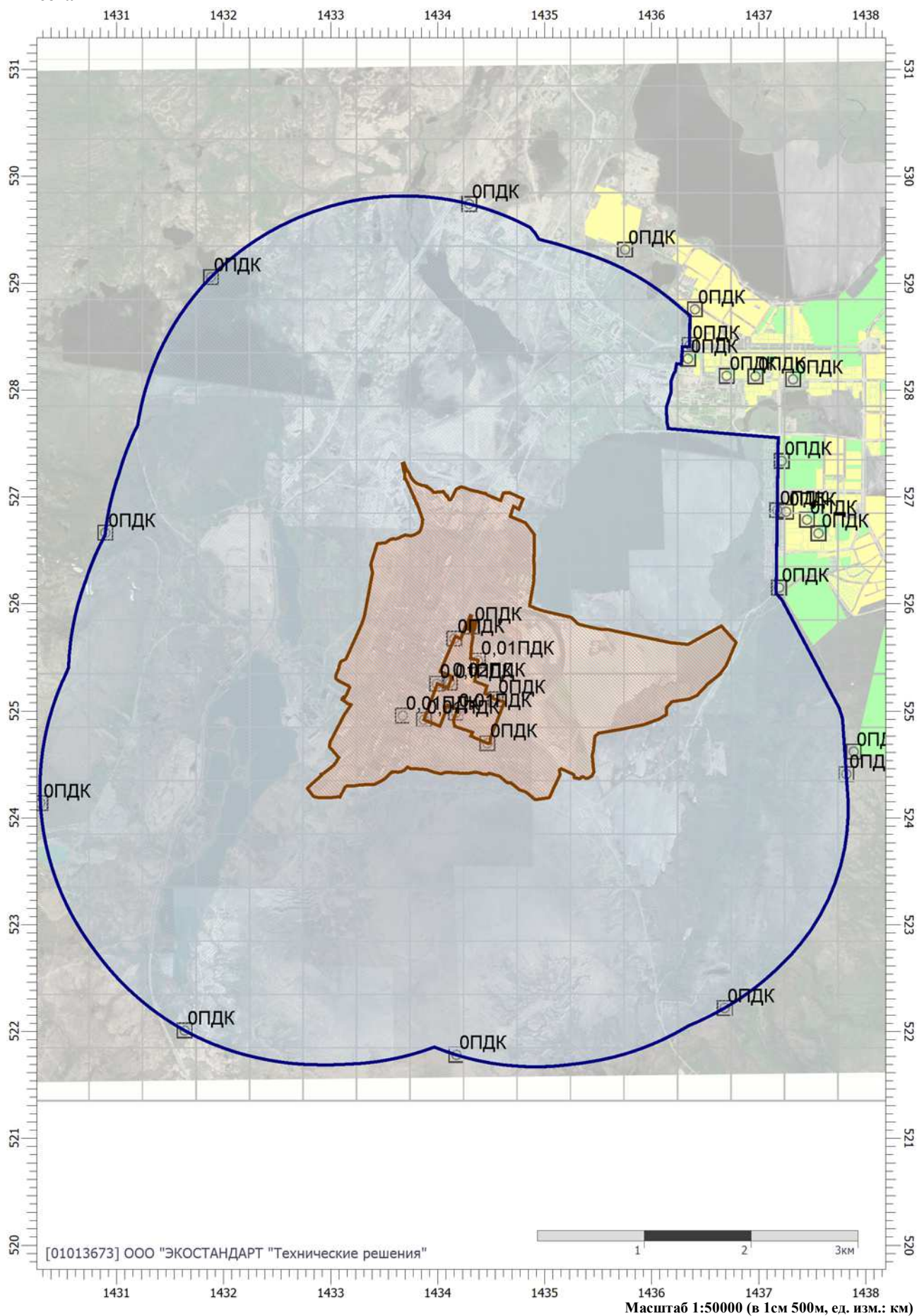
Отчет

Тип расчета: Расчеты по веществам

Код расчета: 0337 (Углерода оксид (Углерод окись; углерод моноокись; угарный газ))

Параметр: Концентрация вредного вещества (в долях ПДК)

Высота 2м



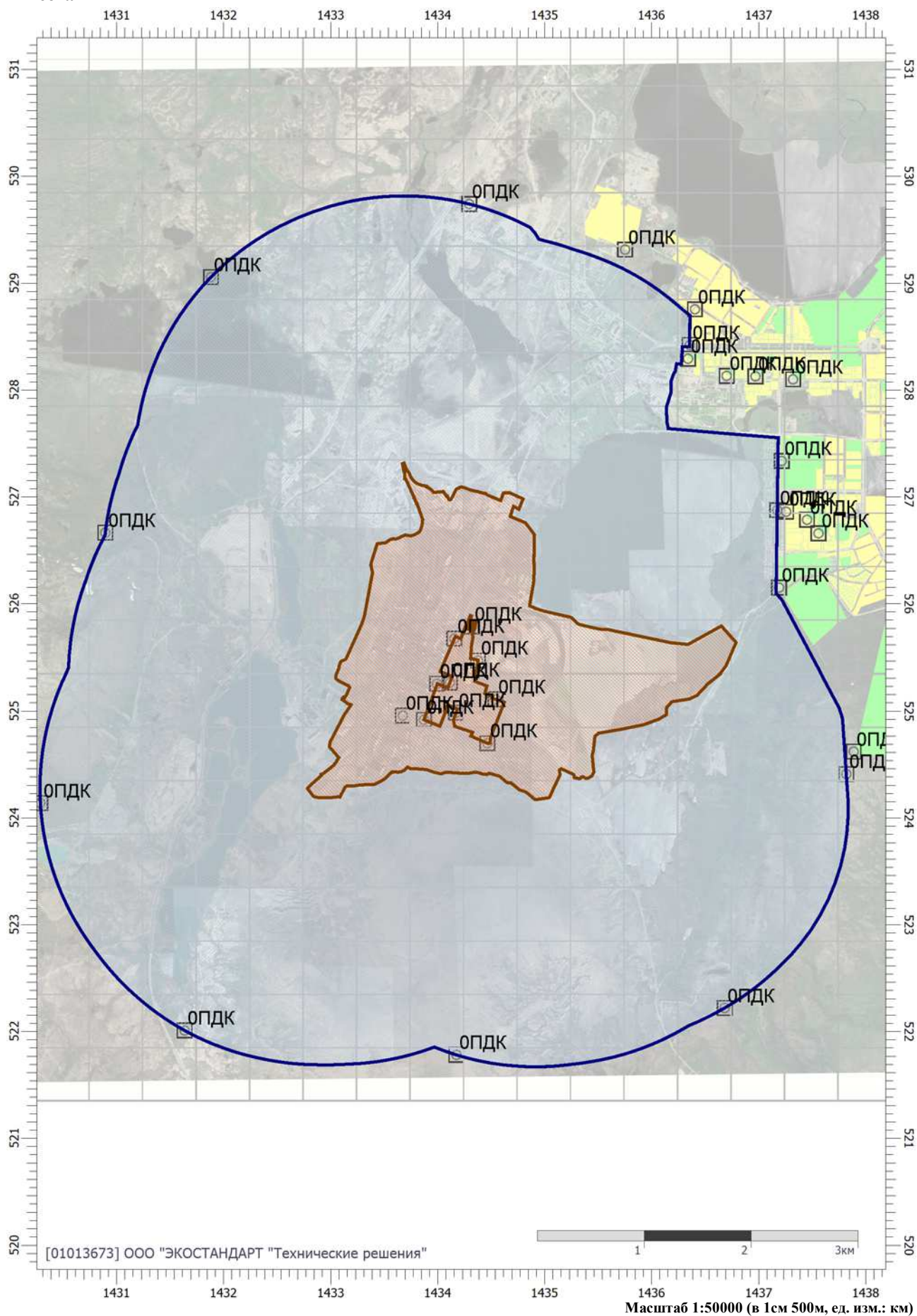
Отчет

Тип расчета: Расчеты по веществам

Код расчета: 0938 (1,1,1,2-Тетрафторэтан)

Параметр: Концентрация вредного вещества (в долях ПДК)

Высота 2м



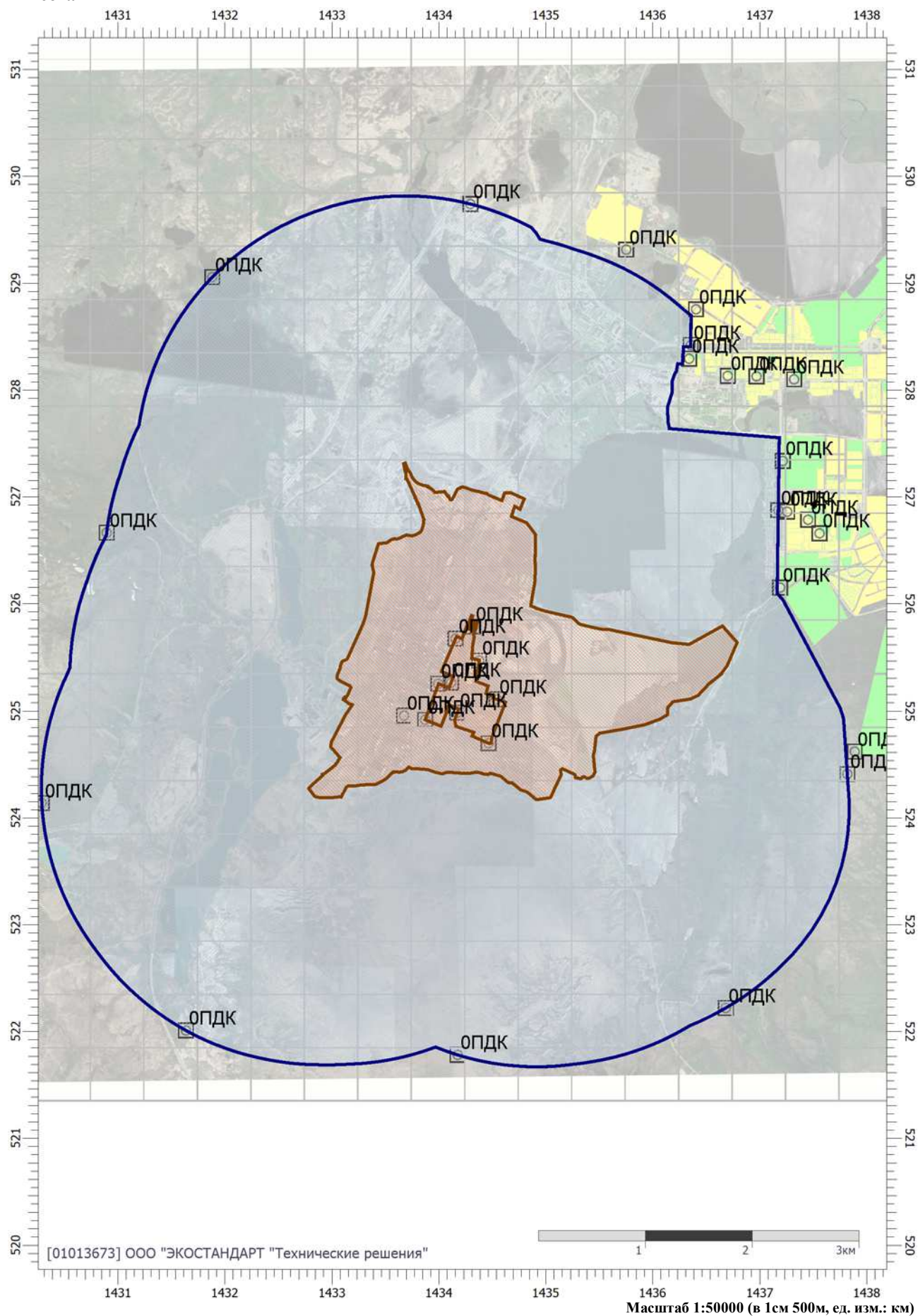
Отчет

Тип расчета: Расчеты по веществам

Код расчета: 0967 (Пентафторэтан)

Параметр: Концентрация вредного вещества (в долях ПДК)

Высота 2м



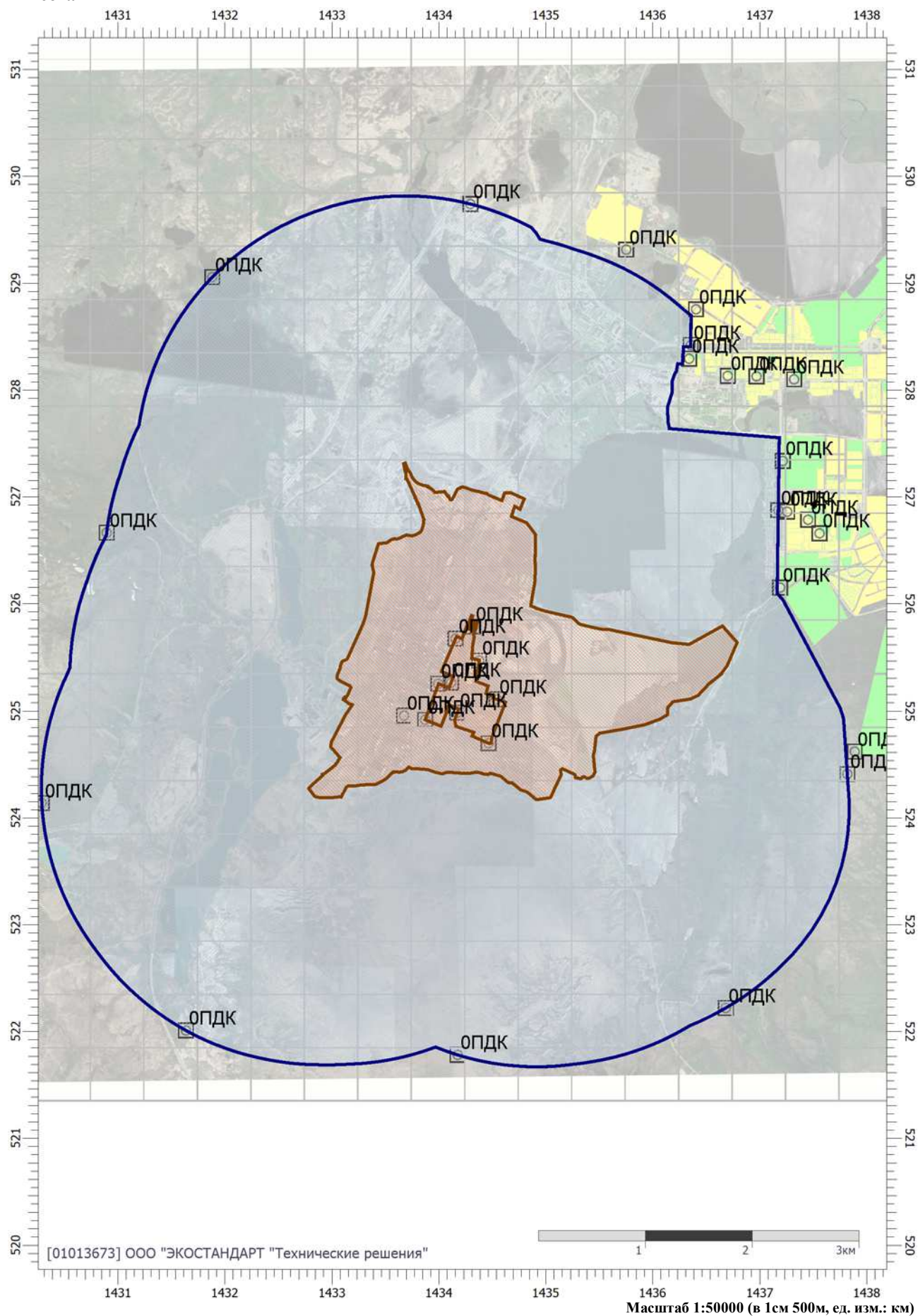
Отчет

Тип расчета: Расчеты по веществам

Код расчета: 0978 (1,1,1-Трифторэтан)

Параметр: Концентрация вредного вещества (в долях ПДК)

Высота 2м



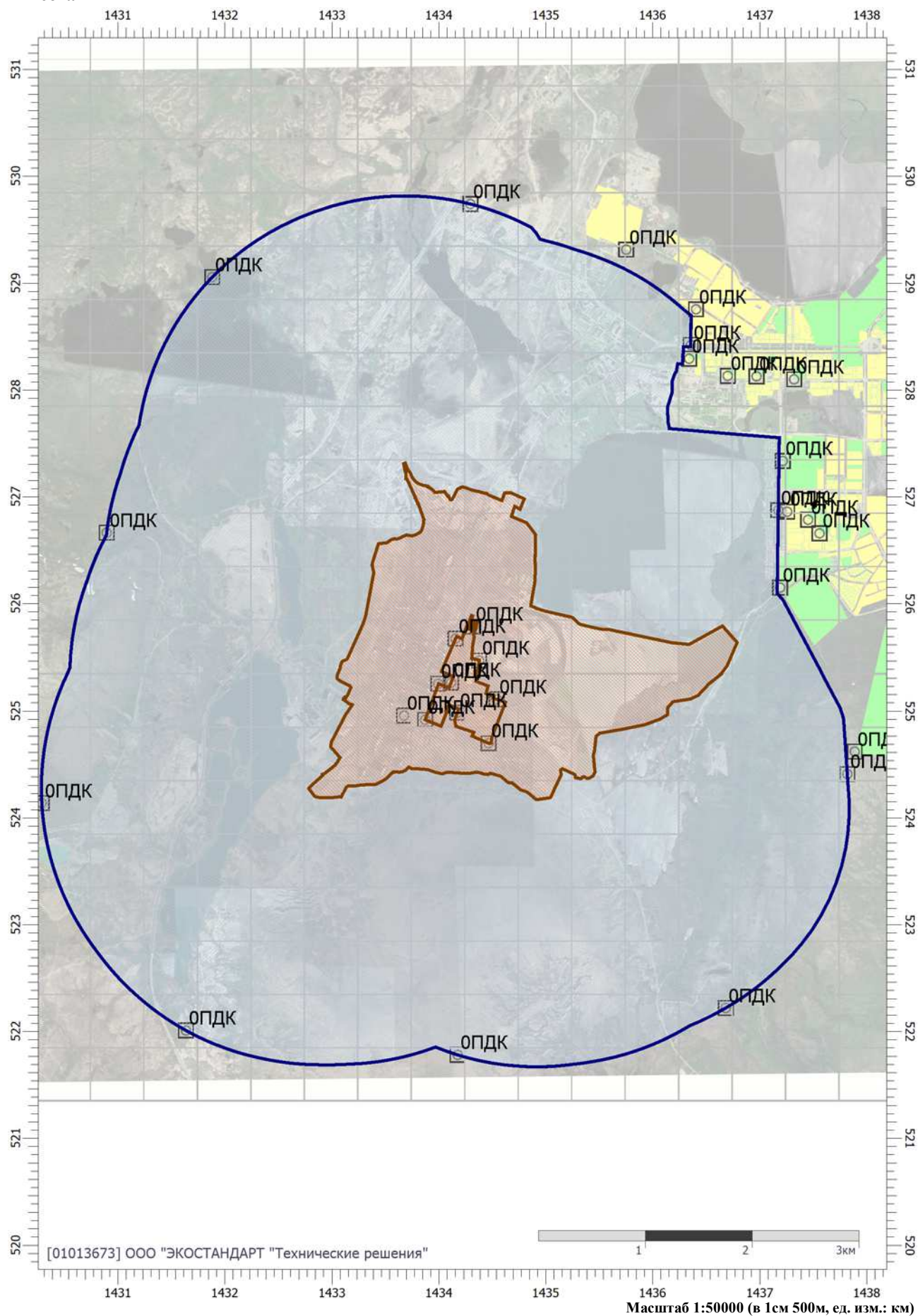
Отчет

Тип расчета: Расчеты по веществам

Код расчета: 1061 (Этанол (Этиловый спирт; метилкарбинол))

Параметр: Концентрация вредного вещества (в долях ПДК)

Высота 2м



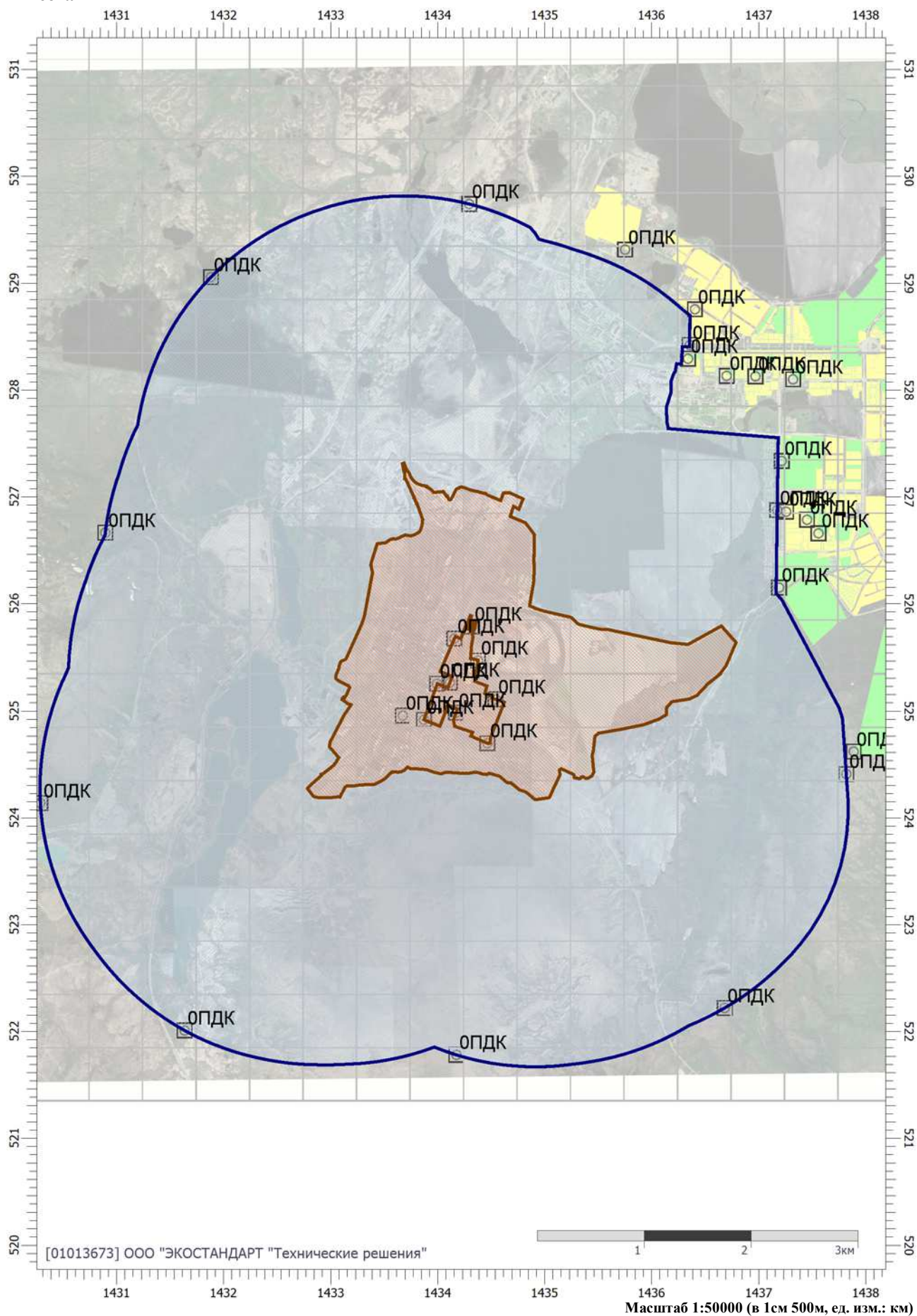
Отчет

Тип расчета: Расчеты по веществам

Код расчета: 1314 (Пропаналь (Пропиональдегид, метилацетальдегид))

Параметр: Концентрация вредного вещества (в долях ПДК)

Высота 2м



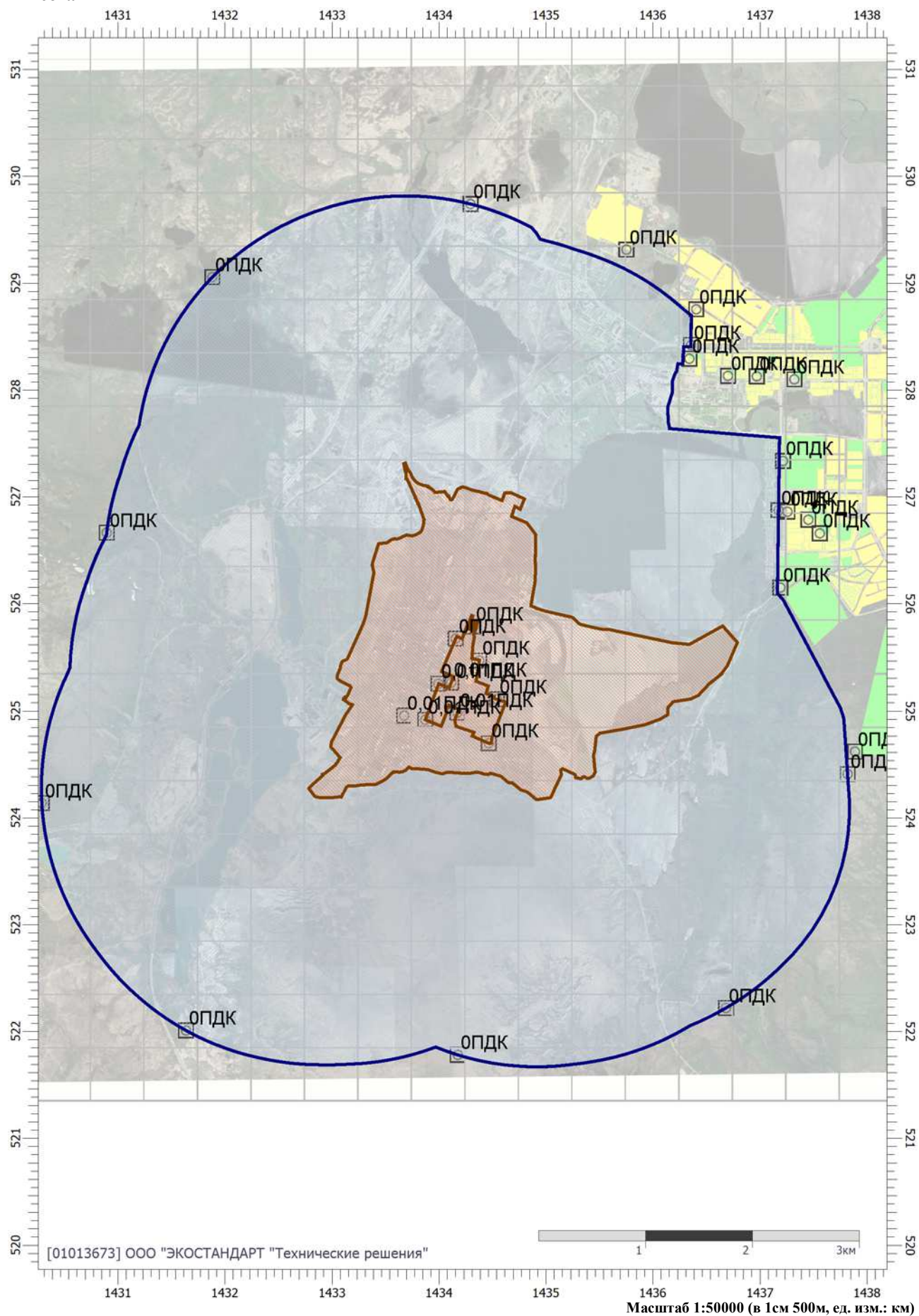
Отчет

Тип расчета: Расчеты по веществам

Код расчета: 1317 (Ацетальдегид (Уксусный альдегид))

Параметр: Концентрация вредного вещества (в долях ПДК)

Высота 2м



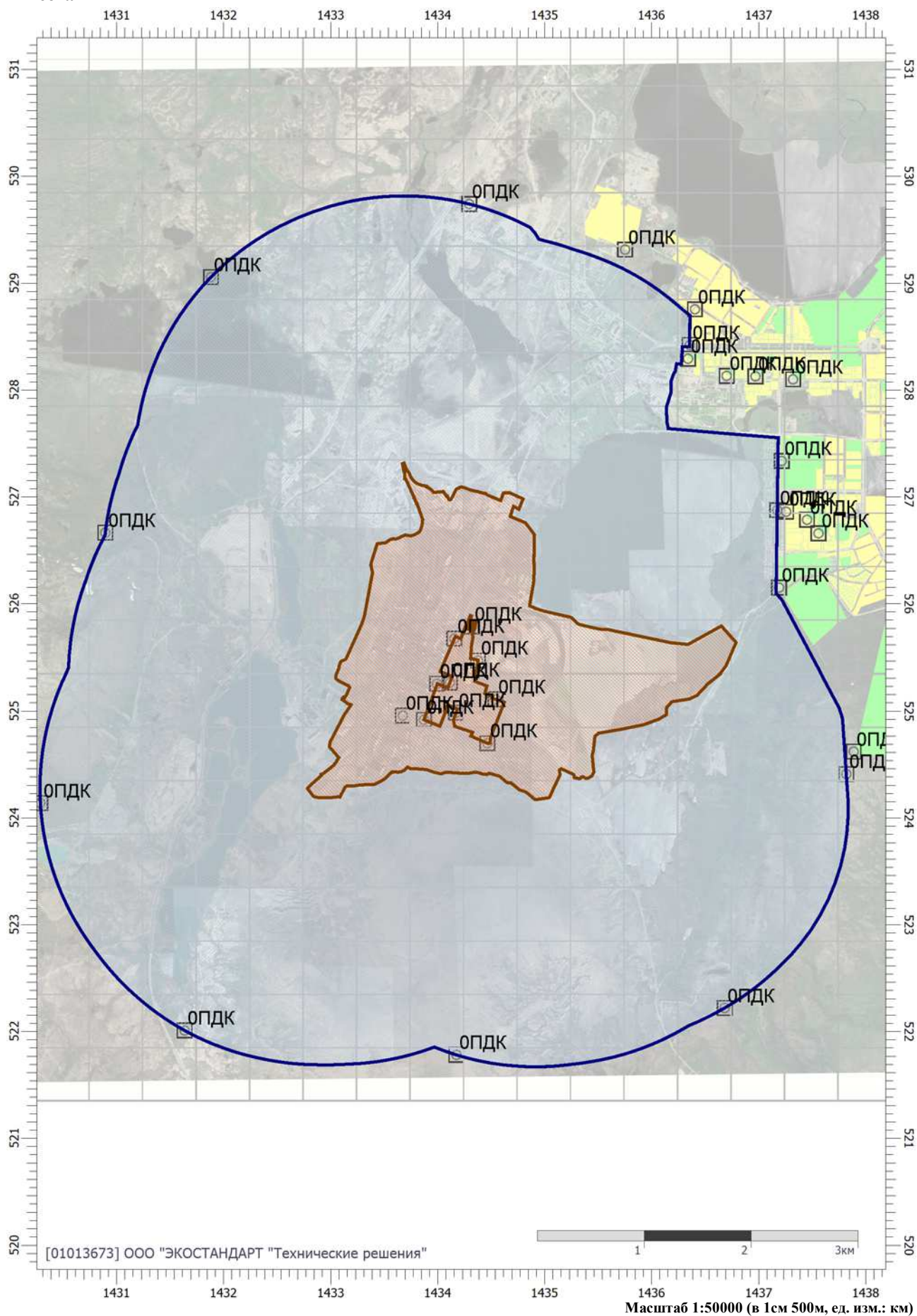
Отчет

Тип расчета: Расчеты по веществам

Код расчета: 1519 (Пентановая кислота)

Параметр: Концентрация вредного вещества (в долях ПДК)

Высота 2м



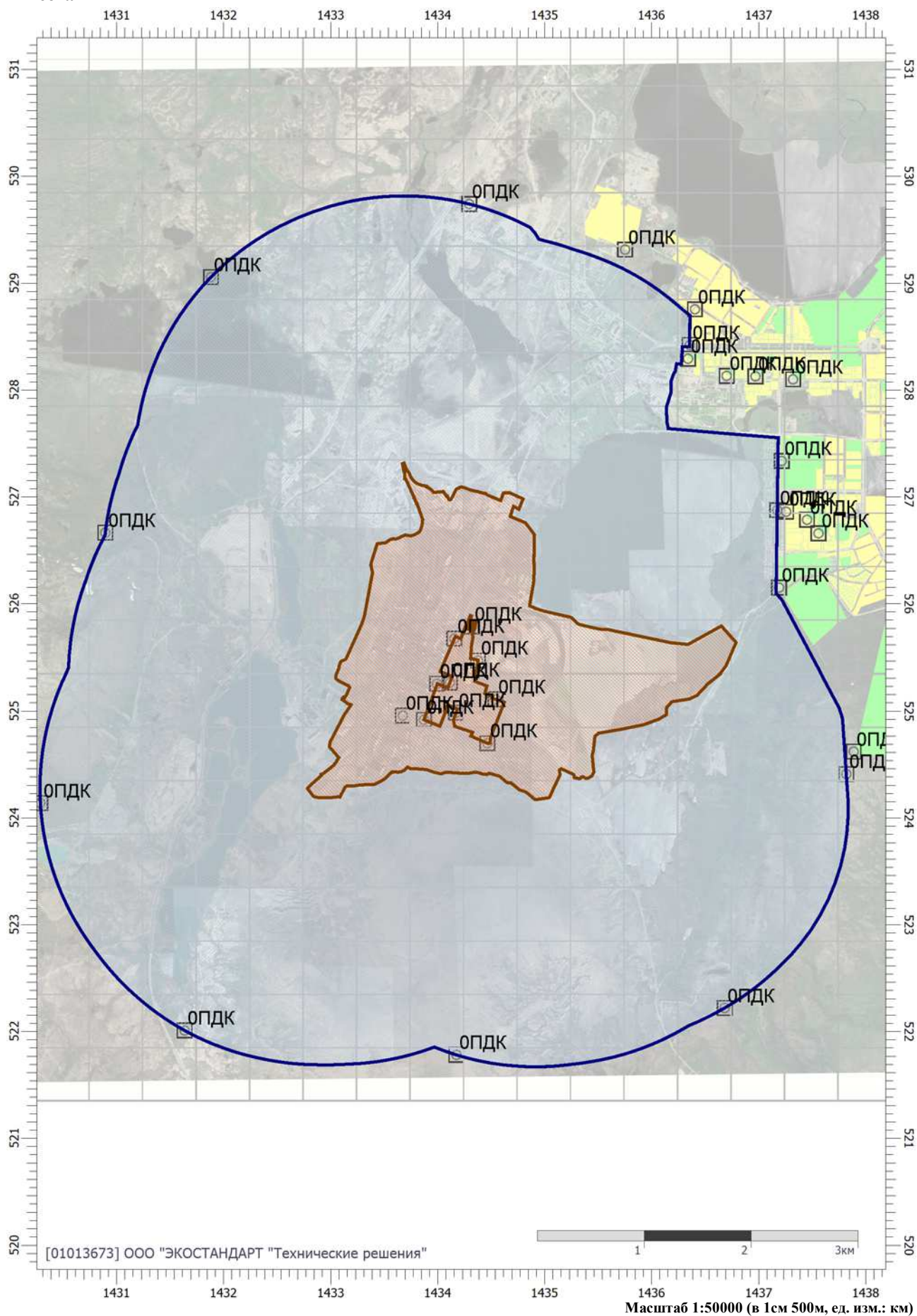
Отчет

Тип расчета: Расчеты по веществам

Код расчета: 1555 (Этановая кислота (Метанкарбоновая кислота))

Параметр: Концентрация вредного вещества (в долях ПДК)

Высота 2м



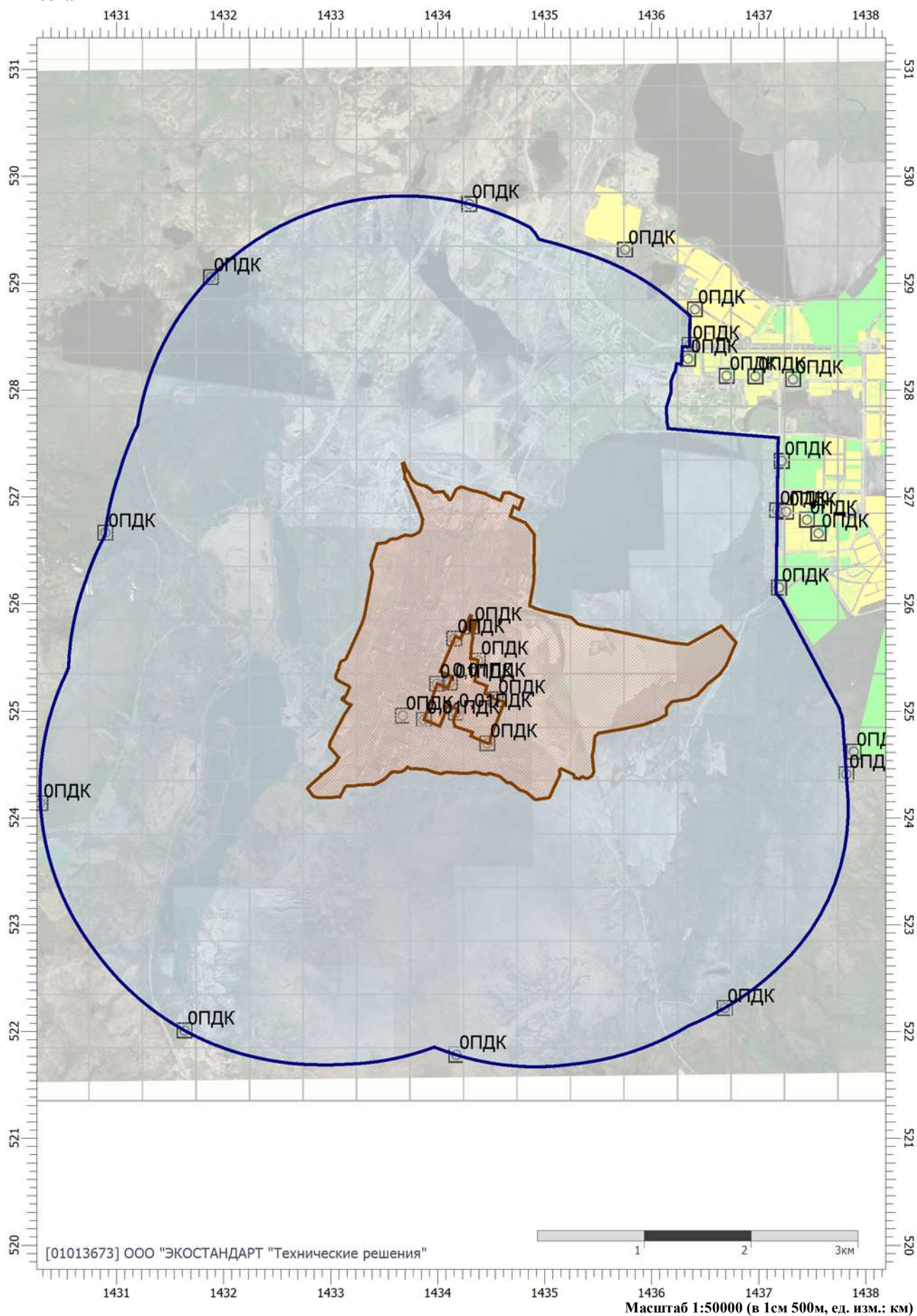
Отчет

Тип расчета: Расчеты по веществам

Код расчета: 1849 (Метиламин (Аминометан; метанамин))

Параметр: Концентрация вредного вещества (в долях ПДК)

Высота 2м



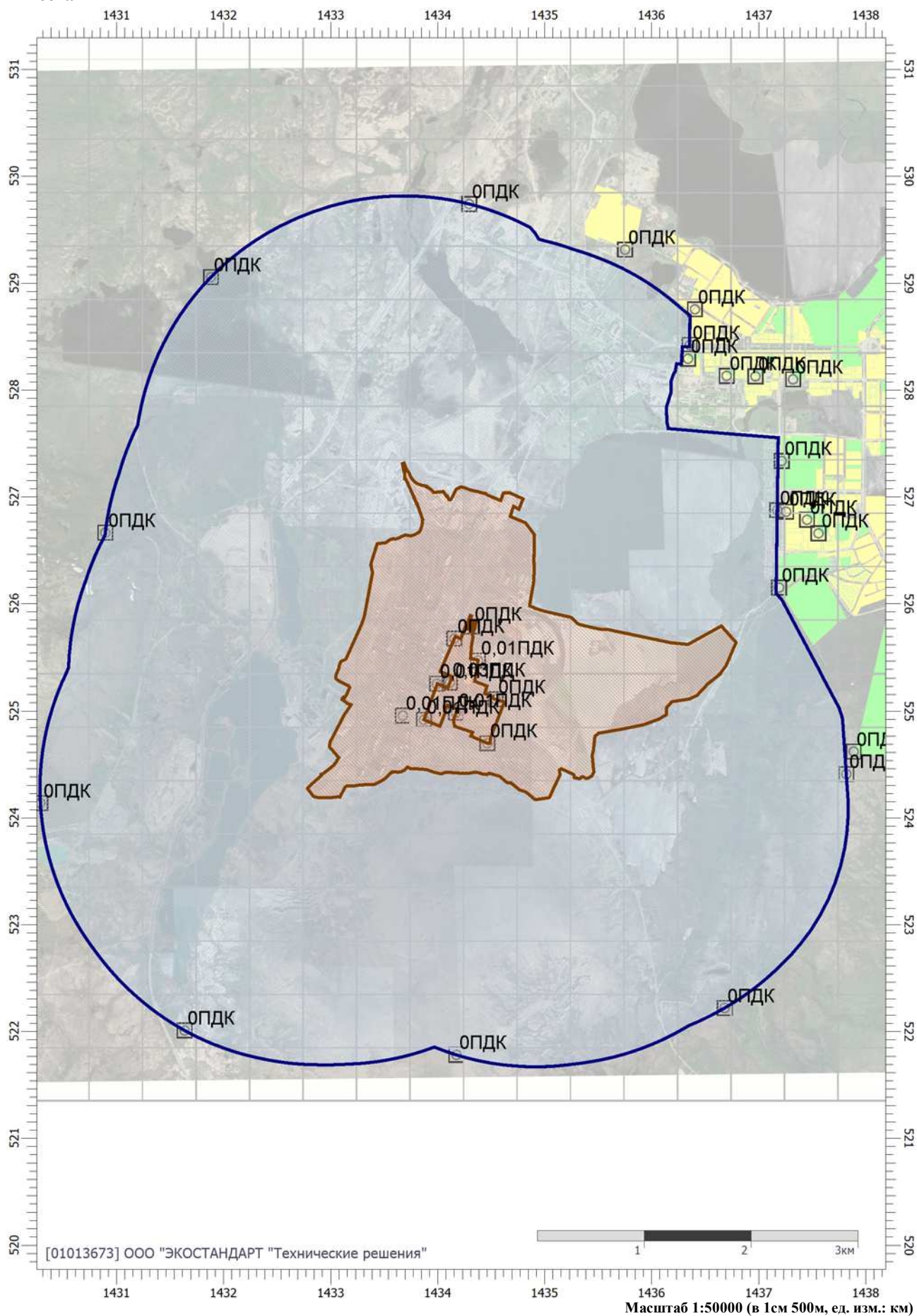
Отчет

Тип расчета: Расчеты по веществам

Код расчета: 2732 (Керосин (Керосин прямой перегонки; керосин дезодорированный))

Параметр: Концентрация вредного вещества (в долях ПДК)

Высота 2м



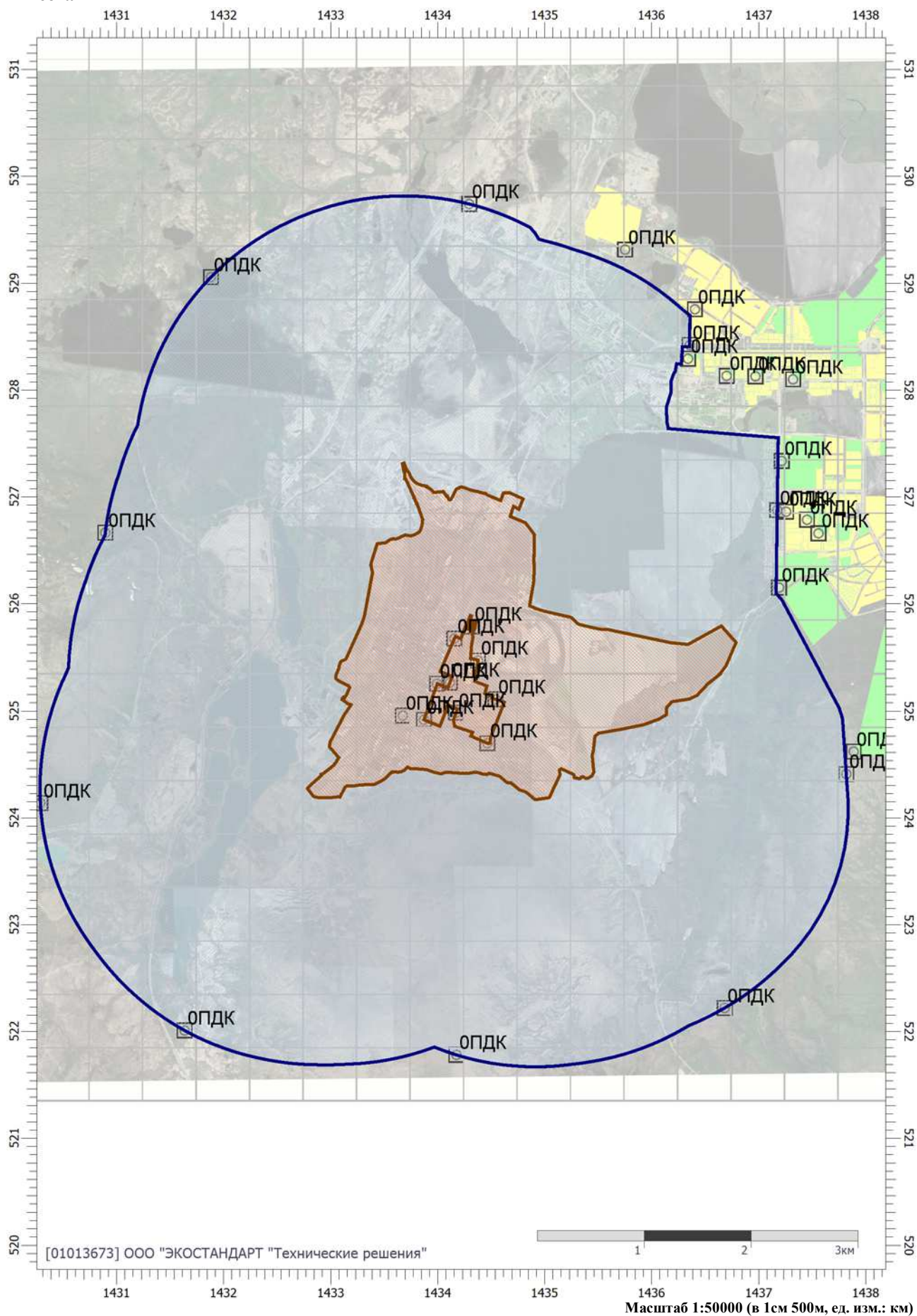
Отчет

Тип расчета: Расчеты по веществам

Код расчета: 2735 (Масло минеральное нефтяное)

Параметр: Концентрация вредного вещества (в долях ПДК)

Высота 2м



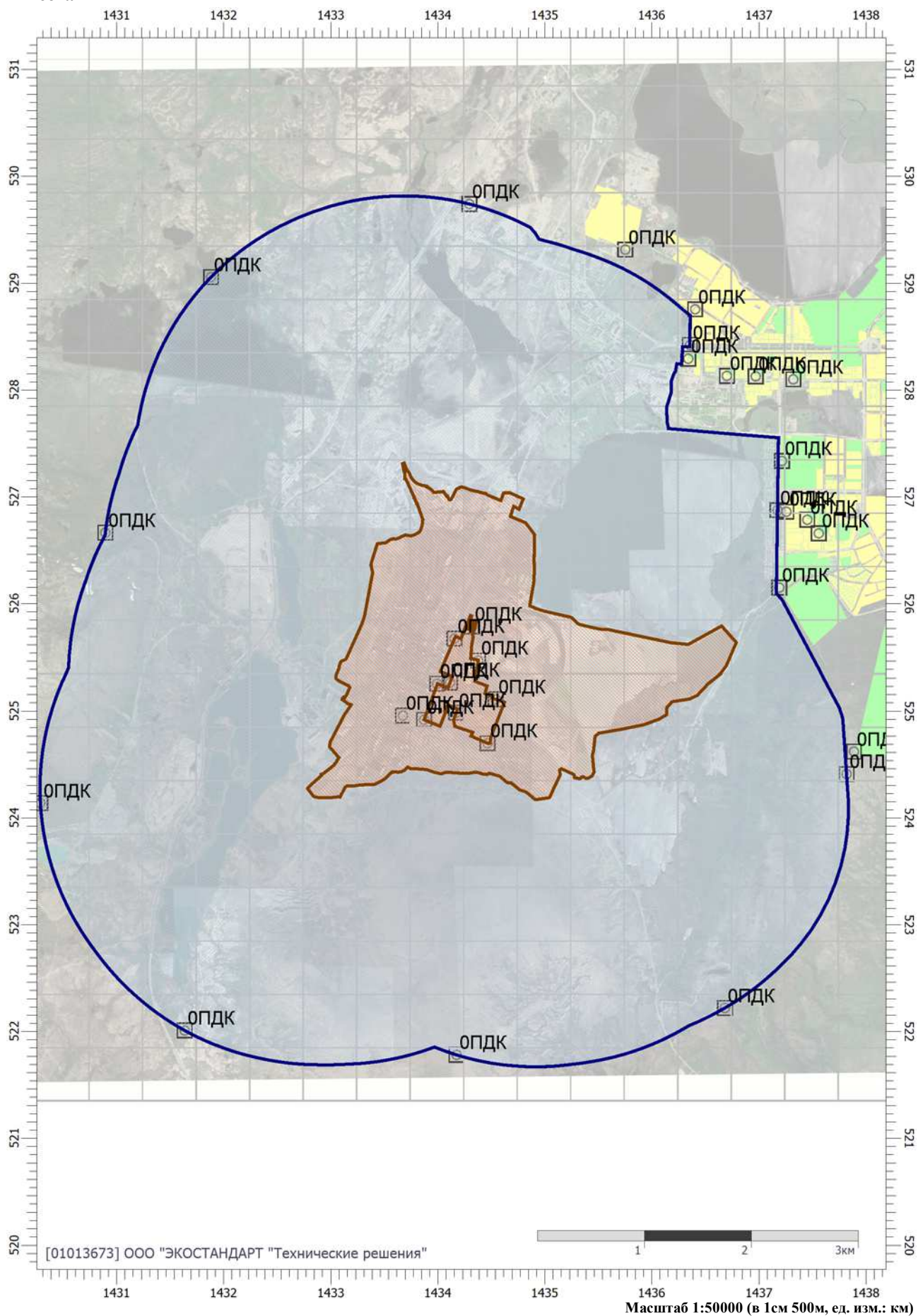
Отчет

Тип расчета: Расчеты по веществам

Код расчета: 3721 (Пыль мучная)

Параметр: Концентрация вредного вещества (в долях ПДК)

Высота 2м



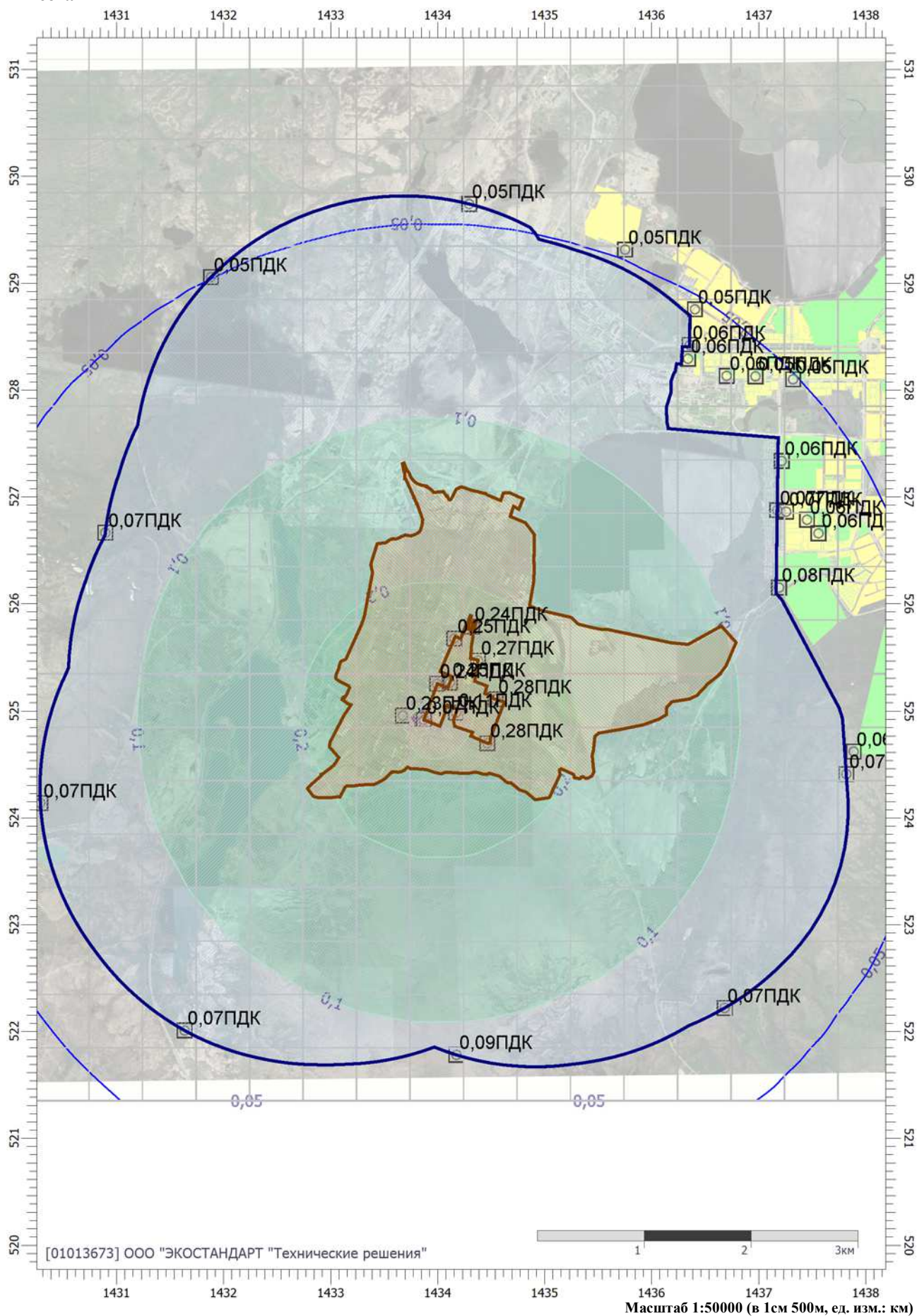
Отчет

Тип расчета: Расчеты по веществам

Код расчета: 6042 (Серы диоксид и никель металлический)

Параметр: Концентрация вредного вещества (в долях ПДК)

Высота 2м



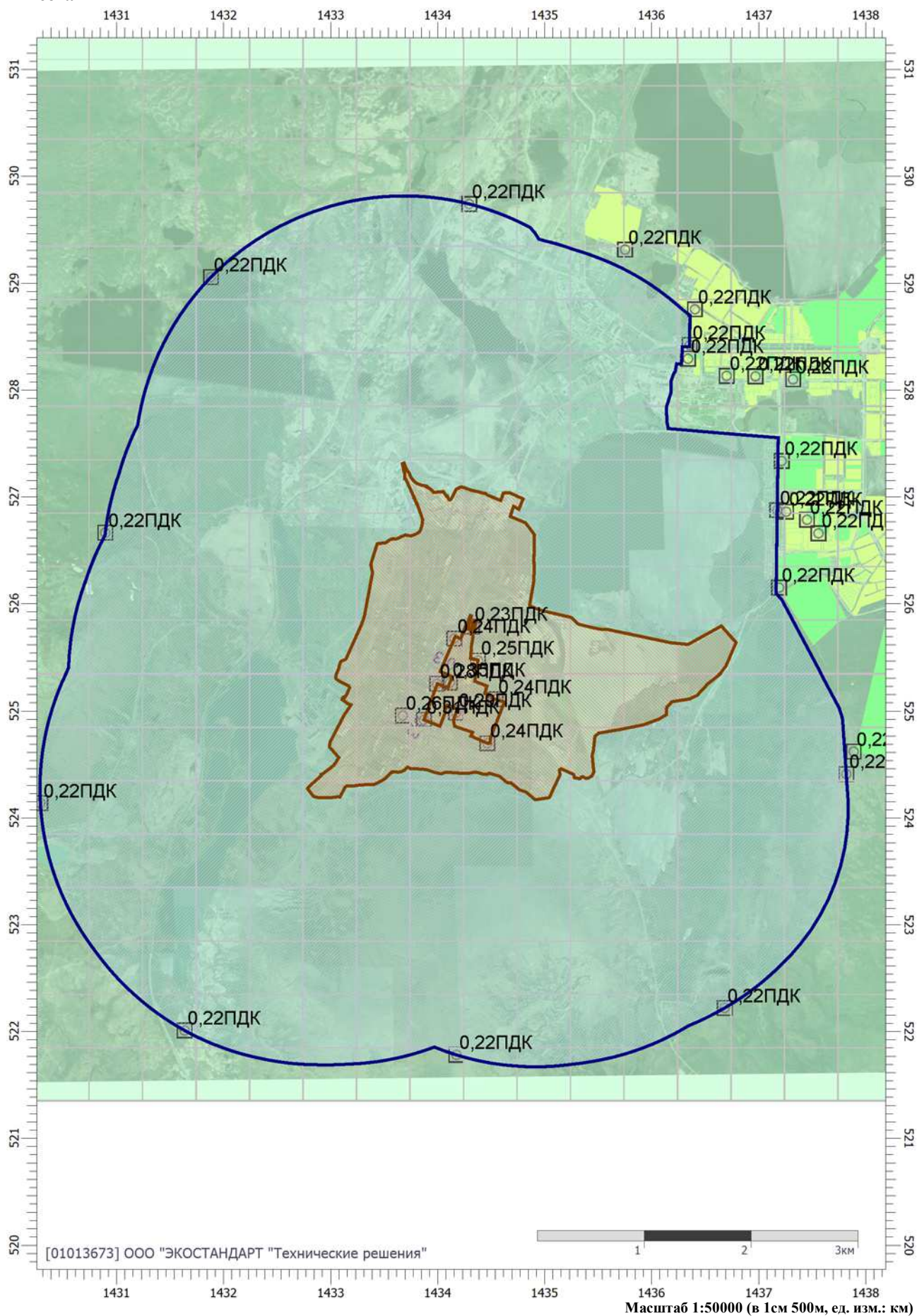
Отчет

Тип расчета: Расчеты по веществам

Код расчета: 6204 (Азота диоксид, серы диоксид)

Параметр: Концентрация вредного вещества (в долях ПДК)

Высота 2м



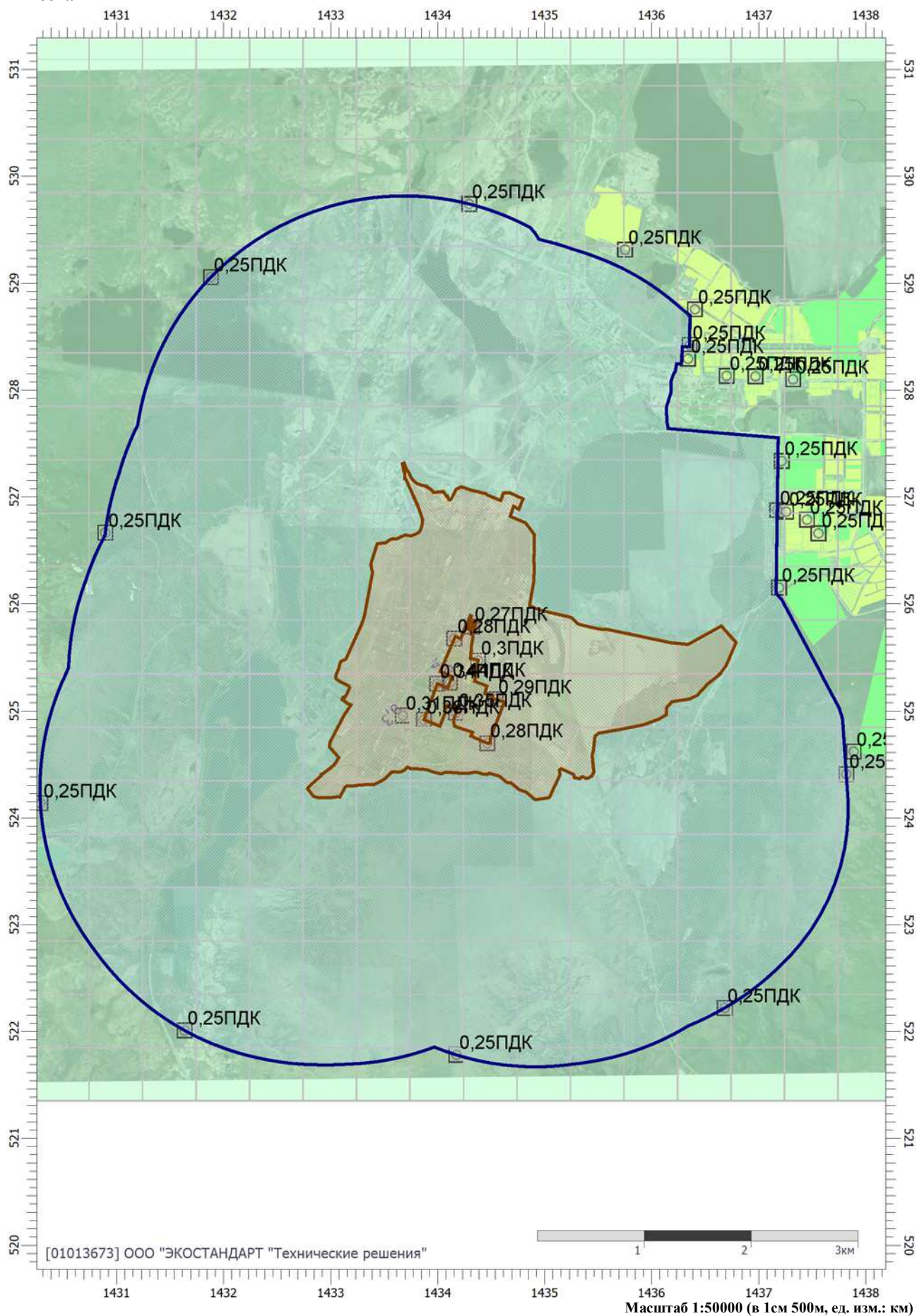
Отчет

Тип расчета: Расчеты по веществам

Код расчета: Все вещества (Объединённый результат)

Параметр: Концентрация вредного вещества (в долях ПДК)

Высота 2м



УПРЗА «ЭКОЛОГ», версия 4.60
Copyright © 1990-2021 ФИРМА «ИНТЕГРАЛ»

Программа зарегистрирована на: ООО "ЭКОСТАНДАРТ "Технические решения"
Регистрационный номер: 01013673

Предприятие: 634, Кольский ГМК

Город: 51, Мурманская область

Район: 1, г. Мончегорск

Адрес предприятия:

Разработчик:

ИНН:

ОКПО:

Отрасль:

Величина нормативной санзоны: 0 м

ВИД: 21, ОВЭ Эксплуатация 2 эт

ВР: 2, Новый вариант расчета

Расчетные константы: S=999999,99

Расчет: «Расчет среднесуточных концентраций»

Выбросы источников по веществам

Типы источников:

- 1 - Точечный;
- 2 - Линейный;
- 3 - Неорганизованный;
- 4 - Совокупность точечных источников;
- 5 - С зависимостью массы выброса от скорости ветра;
- 6 - Точечный, с зонтом или выбросом горизонтально;
- 7 - Совокупность точечных (зонт или выброс вбок);
- 8 - Автомагистраль (неорганизованный линейный);
- 9 - Точечный, с выбросом в бок;
- 10 - Свеча.

Вещество: 0146

Медь оксид (в пересчете на медь) (Медь окись; тенорит)

№ пл.	№ цех.	№ ист.	Тип	F	Макс. выброс (г/с)	Валовый выброс (т/г)	Средний выброс (г/с)	Выброс, использованный для расчета средних концентраций (г/с)
1	12	3011	1	1	0,36477778	10,453072	0,0000000	0,3314647
Итого:					0,3647777778	10,453072	0	0,331464738711314

Вещество: 0155

диНатрий карбонат

№ пл.	№ цех.	№ ист.	Тип	F	Макс. выброс (г/с)	Валовый выброс (т/г)	Средний выброс (г/с)	Выброс, использованный для расчета средних концентраций (г/с)
1	9	3010	1	1	0,0004160	0,001617	0,0000000	0,0000513
Итого:					0,000416	0,001617408	0	5,12876712328767E-005

Вещество: 0163

Никель и его соединения

№ пл.	№ цех.	№ ист.	Тип	F	Макс. выброс (г/с)	Валовый выброс (т/г)	Средний выброс (г/с)	Выброс, использованный для расчета средних концентраций (г/с)
1	12	3011	1	1	0,0225556	0,646352	0,0000000	0,0204957
Итого:					0,02255555556	0,646352	0	0,0204956874682902

Вещество: 0260

Кобальт оксид (в пересчете на кобальт)

№ пл.	№ цех.	№ ист.	Тип	F	Макс. выброс (г/с)	Валовый выброс (т/г)	Средний выброс (г/с)	Выброс, использованный для расчета средних концентраций (г/с)
1	12	3011	1	1	0,0005833	0,016716	0,0000000	0,0005301
Итого:					0,00058333333	0,016716	0	0,000530060882800609

Вещество: 0301

Азота диоксид (Двуокись азота; пероксид азота)

№ пл.	№ цех.	№ ист.	Тип	F	Макс. выброс (г/с)	Валовый выброс (т/г)	Средний выброс (г/с)	Выброс, использованный для расчета средних концентраций (г/с)
1	10	7000	3	1	0,0143333	0,053953	0,0000000	0,0017108
1	10	7001	3	1	0,0005200	0,000786	0,0000000	0,0000249
1	10	7005	3	1	0,0130398	0,009643	0,0000000	0,0003058
1	11	7002	3	1	0,0000520	0,000118	0,0000000	0,0000037
1	11	7003	3	1	0,0002167	0,000491	0,0000000	0,0000156

1	11	7004	3	1	0,0128136	0,008959	0,0000000	0,0002841
1	11	7007	3	1	0,0200000	0,009072	0,0000000	0,0002877
1	13	7006	3	1	0,0118556	0,122195	0,0000000	0,0038748
Итого:					0,072831	0,205217	0	0,00650738838153222

Вещество: 0303
Аммиак (Азота гидрид)

№ пл.	№ цех.	№ ист.	Тип	F	Макс. выброс (г/с)	Валовый выброс (т/г)	Средний выброс (г/с)	Выброс, использованный для расчета средних концентраций (г/с)
1	9	3010	1	1	0,0000349	5,000000E-07	0,0000000	1,5854896E-08
Итого:					3,486E-005	5E-007	0	1,58548959918823E-008

Вещество: 0304
Азот (II) оксид (Азот монооксид)

№ пл.	№ цех.	№ ист.	Тип	F	Макс. выброс (г/с)	Валовый выброс (т/г)	Средний выброс (г/с)	Выброс, использованный для расчета средних концентраций (г/с)
1	10	7000	3	1	0,0023292	0,008767	0,0000000	0,0002780
1	10	7001	3	1	0,0000845	0,000128	0,0000000	0,0000041
1	10	7005	3	1	0,0021190	0,001567	0,0000000	0,0000497
1	11	7002	3	1	0,0000084	0,000019	0,0000000	0,0000006
1	11	7003	3	1	0,0000352	0,000080	0,0000000	0,0000025
1	11	7004	3	1	0,0020822	0,001456	0,0000000	0,0000462
1	11	7007	3	1	0,0032500	0,001474	0,0000000	0,0000467
1	13	7006	3	1	0,0019265	0,019857	0,0000000	0,0006297
Итого:					0,011835	0,033348	0	0,00105745814307458

Вещество: 0328
Углерод (Пигмент черный)

№ пл.	№ цех.	№ ист.	Тип	F	Макс. выброс (г/с)	Валовый выброс (т/г)	Средний выброс (г/с)	Выброс, использованный для расчета средних концентраций (г/с)
1	10	7000	3	1	0,0018361	0,005888	0,0000000	0,0001867
1	10	7001	3	1	0,0000750	0,000097	0,0000000	0,0000031
1	10	7005	3	1	0,0008243	0,000599	0,0000000	0,0000190
1	11	7002	3	1	0,0000075	0,000015	0,0000000	0,0000005
1	11	7003	3	1	0,0000313	0,000061	0,0000000	0,0000019
1	11	7004	3	1	0,0007916	0,000523	0,0000000	0,0000166
1	11	7007	3	1	0,0027778	0,001144	0,0000000	0,0000363
1	13	7006	3	1	0,0014491	0,013587	0,0000000	0,0004308
Итого:					0,0077927	0,021914	0	0,000694888381532217

Вещество: 0330
Сера диоксид

№ пл.	№ цех.	№ ист.	Тип	F	Макс. выброс (г/с)	Валовый выброс (т/г)	Средний выброс (г/с)	Выброс, использованный для расчета средних концентраций (г/с)
1	10	7000	3	1	0,0038870	0,013305	0,0000000	0,0004219
1	10	7001	3	1	0,0001433	0,000195	0,0000000	0,0000062
1	10	7005	3	1	0,0024001	0,001864	0,0000000	0,0000591
1	11	7002	3	1	0,0000143	0,000029	0,0000000	0,0000009

1	11	7003	3	1	0,0000597	0,000122	0,0000000	0,0000039
1	11	7004	3	1	0,0023378	0,001703	0,0000000	0,0000540
1	11	7007	3	1	0,0053889	0,002224	0,0000000	0,0000705
1	13	7006	3	1	0,0028734	0,026700	0,0000000	0,0008467
Итого:					0,0171045	0,046142	0	0,00146315322171487

Вещество: 0337**Углерода оксид (Углерод окись; углерод моноокись; угарный газ)**

№ пл.	№ цех.	№ ист.	Тип	F	Макс. выброс (г/с)	Валовый выброс (т/г)	Средний выброс (г/с)	Выброс, использованный для расчета средних концентраций (г/с)
1	10	7000	3	1	0,0330556	0,117051	0,0000000	0,0037117
1	10	7001	3	1	0,0012000	0,001653	0,0000000	0,0000524
1	10	7005	3	1	0,0431400	0,029460	0,0000000	0,0009342
1	11	7002	3	1	0,0001200	0,000248	0,0000000	0,0000079
1	11	7003	3	1	0,0005000	0,001033	0,0000000	0,0000328
1	11	7004	3	1	0,0426180	0,028083	0,0000000	0,0008905
1	11	7007	3	1	0,0516667	0,021338	0,0000000	0,0006766
1	13	7006	3	1	0,0329417	0,324970	0,0000000	0,0103047
Итого:					0,205242	0,523836	0	0,0166107305936073

Вещество: 0938**1,1,1,2-Тетрафторэтан**

№ пл.	№ цех.	№ ист.	Тип	F	Макс. выброс (г/с)	Валовый выброс (т/г)	Средний выброс (г/с)	Выброс, использованный для расчета средних концентраций (г/с)
1	9	3010	1	1	0,0000079	0,000248	0,0000000	0,0000079
Итого:					7,9456619249E-006	0,000248	0	7,86402841197362E-006

Вещество: 0967**Пентафторэтан**

№ пл.	№ цех.	№ ист.	Тип	F	Макс. выброс (г/с)	Валовый выброс (т/г)	Средний выброс (г/с)	Выброс, использованный для расчета средних концентраций (г/с)
1	9	3010	1	1	0,0000874	0,002728	0,0000000	0,0000865
Итого:					8,74023E-005	0,002728	0	8,65043125317098E-005

Вещество: 0978**1,1,1-Трифторэтан**

№ пл.	№ цех.	№ ист.	Тип	F	Макс. выброс (г/с)	Валовый выброс (т/г)	Средний выброс (г/с)	Выброс, использованный для расчета средних концентраций (г/с)
1	9	3010	1	1	0,0001033	0,003224	0,0000000	0,0001022
Итого:					0,0001032936	0,003224	0	0,000102232369355657

Вещество: 1061**Этанол (Этиловый спирт; метилкарбинол)**

№ пл.	№ цех.	№ ист.	Тип	F	Макс. выброс (г/с)	Валовый выброс (т/г)	Средний выброс (г/с)	Выброс, использованный для расчета средних концентраций (г/с)
1	9	3010	1	1	0,0107750	0,044178	0,0000000	0,0014009
Итого:					0,010775	0,0441775	0	0,00140085933536276

Вещество: 1314
Пропаналь (Пропиональдегид, метилацетальдегид)

№ пл.	№ цех.	№ ист.	Тип	F	Макс. выброс (г/с)	Валовый выброс (т/г)	Средний выброс (г/с)	Выброс, использованный для расчета средних концентраций (г/с)
1	9	3010	1	1	0,0000697	0,000001	0,0000000	3,4880771E-08
Итого:					6,972E-005	1,1E-006	0	3,4880771182141E-008

Вещество: 1317
Ацетальдегид (Уксусный альдегид)

№ пл.	№ цех.	№ ист.	Тип	F	Макс. выброс (г/с)	Валовый выброс (т/г)	Средний выброс (г/с)	Выброс, использованный для расчета средних концентраций (г/с)
1	9	3010	1	1	0,0004000	0,001640	0,0000000	0,0000520
Итого:					0,0004	0,00164	0	5,20040588533739E-005

Вещество: 1519
Пентановая кислота

№ пл.	№ цех.	№ ист.	Тип	F	Макс. выброс (г/с)	Валовый выброс (т/г)	Средний выброс (г/с)	Выброс, использованный для расчета средних концентраций (г/с)
1	9	3010	1	1	0,0002789	0,000004	0,0000000	0,0000001
Итого:					0,00027888	4,3E-006	0	1,36352105530188E-007

Вещество: 1555
Этановая кислота (Метанкарбоновая кислота)

№ пл.	№ цех.	№ ист.	Тип	F	Макс. выброс (г/с)	Валовый выброс (т/г)	Средний выброс (г/с)	Выброс, использованный для расчета средних концентраций (г/с)
1	9	3010	1	1	0,0012500	0,005125	0,0000000	0,0001625
Итого:					0,00125	0,005125	0	0,000162512683916794

Вещество: 1849
Метиламин (Аминометан; метанамин)

№ пл.	№ цех.	№ ист.	Тип	F	Макс. выброс (г/с)	Валовый выброс (т/г)	Средний выброс (г/с)	Выброс, использованный для расчета средних концентраций (г/с)
1	9	3010	1	1	0,0001162	0,000002	0,0000000	5,3906646E-08
Итого:					0,0001162	1,7E-006	0	5,39066463723998E-008

Вещество: 2732
Керосин (Керосин прямой перегонки; керосин дезодорированный)

№ пл.	№ цех.	№ ист.	Тип	F	Макс. выброс (г/с)	Валовый выброс (т/г)	Средний выброс (г/с)	Выброс, использованный для расчета средних концентраций (г/с)
1	10	7000	3	1	0,0069630	0,026218	0,0000000	0,0008314
1	10	7001	3	1	0,0001667	0,000227	0,0000000	0,0000072
1	10	7005	3	1	0,0165604	0,011628	0,0000000	0,0003687
1	11	7002	3	1	0,0000167	0,000034	0,0000000	0,0000011
1	11	7003	3	1	0,0000694	0,000142	0,0000000	0,0000045
1	11	7004	3	1	0,0164879	0,011442	0,0000000	0,0003628

1	11	7007	3	1	0,0072222	0,003026	0,0000000	0,0000960
1	13	7006	3	1	0,0047287	0,047049	0,0000000	0,0014919
Итого:					0,052215	0,099766	0	0,00316355910705226

Вещество: 2735
Масло минеральное нефтяное

№ пл.	№ цех.	№ ист.	Тип	F	Макс. выброс (г/с)	Валовый выброс (т/г)	Средний выброс (г/с)	Выброс, использованный для расчета средних концентраций (г/с)
1	9	3010	1	1	0,0005560	0,017354	0,0000000	0,0005503
Итого:					0,000556	0,0173539	0	0,000550288559107052

Вещество: 3721
Пыль мучная

№ пл.	№ цех.	№ ист.	Тип	F	Макс. выброс (г/с)	Валовый выброс (т/г)	Средний выброс (г/с)	Выброс, использованный для расчета средних концентраций (г/с)
1	9	3010	1	1	0,0004300	0,001763	0,0000000	0,0000559
Итого:					0,00043	0,001763	0	5,5904363267377E-005

Результаты расчета по веществам (расчетные точки)

Типы точек:

- 0 - расчетная точка пользователя
- 1 - точка на границе охранной зоны
- 2 - точка на границе производственной зоны
- 3 - точка на границе СЗЗ
- 4 - на границе жилой зоны
- 5 - на границе застройки
- 6 - точки квотирования

Вещество: 0146

Медь оксид (в пересчете на медь) (Медь окись; тенорит)

№	Коорд Х(м)	Коорд Y(м)	Высота (м)	Концентр (д. ПДК)	Концентр. (мг/куб.м)	Напр ветр а	Скор ветр а	Фон		Фон до исключения		Тип точки
								доли ПДК	мг/куб.м	доли ПДК	мг/куб.м	
25	1434154	525673	2,00	0,27	5,442E-04	-	-	-	-	-	-	2
26	1434319	525785	2,00	0,25	4,961E-04	-	-	-	-	-	-	2
27	1434375	525467	2,00	0,21	4,108E-04	-	-	-	-	-	-	2
24	1434111	525264	2,00	0,19	3,873E-04	-	-	-	-	-	-	2
31	1433991	525254	2,00	0,19	3,770E-04	-	-	-	-	-	-	4
29	1434463	524697	2,00	0,17	3,406E-04	-	-	-	-	-	-	2
28	1434538	525109	2,00	0,12	2,438E-04	-	-	-	-	-	-	2
7	1434173	521781	2,00	0,10	2,056E-04	-	-	-	-	-	-	3
32	1433673	524956	2,00	0,09	1,797E-04	-	-	-	-	-	-	4
6	1436680	522220	2,00	0,08	1,501E-04	-	-	-	-	-	-	3
2	1434293	529740	2,00	0,07	1,491E-04	-	-	-	-	-	-	3
11	1435750	529314	2,00	0,07	1,368E-04	-	-	-	-	-	-	4
14	1436338	528292	2,00	0,07	1,332E-04	-	-	-	-	-	-	1
3	1436353	528421	2,00	0,07	1,306E-04	-	-	-	-	-	-	3
12	1436403	528755	2,00	0,06	1,234E-04	-	-	-	-	-	-	4
15	1436699	528132	2,00	0,06	1,180E-04	-	-	-	-	-	-	1
8	1431633	522009	2,00	0,06	1,148E-04	-	-	-	-	-	-	3
1	1431879	529056	2,00	0,06	1,147E-04	-	-	-	-	-	-	3
5	1437817	524409	2,00	0,05	1,075E-04	-	-	-	-	-	-	3
9	1430285	524137	2,00	0,05	1,066E-04	-	-	-	-	-	-	3
16	1436969	528128	2,00	0,05	1,064E-04	-	-	-	-	-	-	1
22	1437886	524620	2,00	0,05	1,028E-04	-	-	-	-	-	-	1
21	1437189	526151	2,00	0,05	1,017E-04	-	-	-	-	-	-	1
4	1437172	526875	2,00	0,05	9,804E-05	-	-	-	-	-	-	3
18	1437214	527335	2,00	0,05	9,736E-05	-	-	-	-	-	-	1
13	1437255	526860	2,00	0,05	9,498E-05	-	-	-	-	-	-	4
17	1437319	528099	2,00	0,05	9,364E-05	-	-	-	-	-	-	1
19	1437450	526785	2,00	0,04	8,862E-05	-	-	-	-	-	-	1
20	1437558	526658	2,00	0,04	8,625E-05	-	-	-	-	-	-	1
30	1434170	524983	2,00	0,03	5,648E-05	-	-	-	-	-	-	2
10	1430891	526664	2,00	0,03	5,083E-05	-	-	-	-	-	-	3
23	1433870	524917	2,00	0,02	3,276E-05	-	-	-	-	-	-	2

Вещество: 0155
диНатрий карбонат

№	Коорд Х(м)	Коорд У(м)	Высота (м)	Концентр (д. ПДК)	Концентр. (мг/куб.м)	Напр ветр	Скор ветр	Фон		Фон до исключения		Тип точки
								доли ПДК	мг/куб.м	доли ПДК	мг/куб.м	
9	1430285	524137,	2,00	-	1,581E-07	-	-	-	-	-	-	3
10	1430891	526664,	2,00	-	9,416E-08	-	-	-	-	-	-	3
8	1431633	522009,	2,00	-	1,677E-07	-	-	-	-	-	-	3
1	1431879	529056,	2,00	-	1,662E-07	-	-	-	-	-	-	3
32	1433673	524956,	2,00	-	4,105E-06	-	-	-	-	-	-	4
23	1433870	524917,	2,00	-	7,122E-06	-	-	-	-	-	-	2
31	1433991	525254,	2,00	-	1,223E-05	-	-	-	-	-	-	4
24	1434111	525264,	2,00	-	7,217E-06	-	-	-	-	-	-	2
25	1434154	525673,	2,00	-	4,245E-06	-	-	-	-	-	-	2
30	1434170	524983,	2,00	-	7,445E-06	-	-	-	-	-	-	2
7	1434173	521781,	2,00	-	3,072E-07	-	-	-	-	-	-	3
2	1434293	529740,	2,00	-	2,201E-07	-	-	-	-	-	-	3
26	1434319	525785,	2,00	-	2,675E-06	-	-	-	-	-	-	2
27	1434375	525467,	2,00	-	2,867E-06	-	-	-	-	-	-	2
29	1434463	524697,	2,00	-	2,949E-06	-	-	-	-	-	-	2
28	1434538	525109,	2,00	-	2,425E-06	-	-	-	-	-	-	2
11	1435750	529314,	2,00	-	1,972E-07	-	-	-	-	-	-	4
14	1436338	528292,	2,00	-	1,976E-07	-	-	-	-	-	-	1
3	1436353	528421,	2,00	-	1,918E-07	-	-	-	-	-	-	3
12	1436403	528755,	2,00	-	1,763E-07	-	-	-	-	-	-	4
6	1436680	522220,	2,00	-	2,120E-07	-	-	-	-	-	-	3
15	1436699	528132,	2,00	-	1,713E-07	-	-	-	-	-	-	1
16	1436969	528128,	2,00	-	1,514E-07	-	-	-	-	-	-	1
4	1437172	526875,	2,00	-	1,484E-07	-	-	-	-	-	-	3
21	1437189	526151,	2,00	-	1,652E-07	-	-	-	-	-	-	1
18	1437214	527335,	2,00	-	1,412E-07	-	-	-	-	-	-	1
13	1437255	526860,	2,00	-	1,428E-07	-	-	-	-	-	-	4
17	1437319	528099,	2,00	-	1,299E-07	-	-	-	-	-	-	1
19	1437450	526785,	2,00	-	1,321E-07	-	-	-	-	-	-	1
20	1437558	526658,	2,00	-	1,286E-07	-	-	-	-	-	-	1
5	1437817	524409,	2,00	-	1,611E-07	-	-	-	-	-	-	3
22	1437886	524620,	2,00	-	1,538E-07	-	-	-	-	-	-	1

Вещество: 0163
Никель и его соединения

№	Коорд Х(м)	Коорд У(м)	Высота (м)	Концентр (д. ПДК)	Концентр. (мг/куб.м)	Напр ветр	Скор ветр	Фон		Фон до исключения		Тип точки
								доли ПДК	мг/куб.м	доли ПДК	мг/куб.м	
25	1434154	525673,	2,00	0,03	3,365E-05	-	-	-	-	-	-	2
26	1434319	525785,	2,00	0,03	3,068E-05	-	-	-	-	-	-	2
27	1434375	525467,	2,00	0,03	2,540E-05	-	-	-	-	-	-	2
24	1434111	525264,	2,00	0,02	2,395E-05	-	-	-	-	-	-	2
31	1433991	525254,	2,00	0,02	2,331E-05	-	-	-	-	-	-	4
29	1434463	524697,	2,00	0,02	2,106E-05	-	-	-	-	-	-	2

28	1434538	525109,	2,00	0,02	1,508E-05	-	-	-	-	-	-	2
7	1434173	521781,	2,00	0,01	1,272E-05	-	-	-	-	-	-	3
32	1433673	524956,	2,00	0,01	1,111E-05	-	-	-	-	-	-	4
6	1436680	522220,	2,00	9,28E-03	9,283E-06	-	-	-	-	-	-	3
2	1434293	529740,	2,00	9,22E-03	9,219E-06	-	-	-	-	-	-	3
11	1435750	529314,	2,00	8,46E-03	8,457E-06	-	-	-	-	-	-	4
14	1436338	528292,	2,00	8,24E-03	8,235E-06	-	-	-	-	-	-	1
3	1436353	528421,	2,00	8,08E-03	8,078E-06	-	-	-	-	-	-	3
12	1436403	528755,	2,00	7,63E-03	7,628E-06	-	-	-	-	-	-	4
15	1436699	528132,	2,00	7,30E-03	7,298E-06	-	-	-	-	-	-	1
8	1431633	522009,	2,00	7,10E-03	7,096E-06	-	-	-	-	-	-	3
1	1431879	529056,	2,00	7,09E-03	7,093E-06	-	-	-	-	-	-	3
5	1437817	524409,	2,00	6,65E-03	6,649E-06	-	-	-	-	-	-	3
9	1430285	524137,	2,00	6,59E-03	6,594E-06	-	-	-	-	-	-	3
16	1436969	528128,	2,00	6,58E-03	6,578E-06	-	-	-	-	-	-	1
22	1437886	524620,	2,00	6,36E-03	6,356E-06	-	-	-	-	-	-	1
21	1437189	526151,	2,00	6,29E-03	6,288E-06	-	-	-	-	-	-	1
4	1437172	526875,	2,00	6,06E-03	6,062E-06	-	-	-	-	-	-	3
18	1437214	527335,	2,00	6,02E-03	6,020E-06	-	-	-	-	-	-	1
13	1437255	526860,	2,00	5,87E-03	5,873E-06	-	-	-	-	-	-	4
17	1437319	528099,	2,00	5,79E-03	5,790E-06	-	-	-	-	-	-	1
19	1437450	526785,	2,00	5,48E-03	5,480E-06	-	-	-	-	-	-	1
20	1437558	526658,	2,00	5,33E-03	5,333E-06	-	-	-	-	-	-	1
30	1434170	524983,	2,00	3,49E-03	3,492E-06	-	-	-	-	-	-	2
10	1430891	526664,	2,00	3,14E-03	3,143E-06	-	-	-	-	-	-	3
23	1433870	524917,	2,00	2,03E-03	2,026E-06	-	-	-	-	-	-	2

Вещество: 0260
Кобальт оксид (в пересчете на кобальт)

№	Коорд X(м)	Коорд Y(м)	Высота (м)	Концентр (д. ПДК)	Концентр. (мг/куб.м)	Напр ветр а	Скор ветр а	Фон		Фон до исключения		Тип точки
								доли ПДК	мг/куб.м	доли ПДК	мг/куб.м	
9	1430285	524137,	2,00	-	1,705E-07	-	-	-	-	-	-	3
10	1430891	526664,	2,00	-	8,128E-08	-	-	-	-	-	-	3
8	1431633	522009,	2,00	-	1,835E-07	-	-	-	-	-	-	3
1	1431879	529056,	2,00	-	1,834E-07	-	-	-	-	-	-	3
32	1433673	524956,	2,00	-	2,873E-07	-	-	-	-	-	-	4
23	1433870	524917,	2,00	-	5,239E-08	-	-	-	-	-	-	2
31	1433991	525254,	2,00	-	6,029E-07	-	-	-	-	-	-	4
24	1434111	525264,	2,00	-	6,194E-07	-	-	-	-	-	-	2
25	1434154	525673,	2,00	-	8,703E-07	-	-	-	-	-	-	2
30	1434170	524983,	2,00	-	9,032E-08	-	-	-	-	-	-	2
7	1434173	521781,	2,00	-	3,288E-07	-	-	-	-	-	-	3
2	1434293	529740,	2,00	-	2,384E-07	-	-	-	-	-	-	3
26	1434319	525785,	2,00	-	7,933E-07	-	-	-	-	-	-	2
27	1434375	525467,	2,00	-	6,569E-07	-	-	-	-	-	-	2
29	1434463	524697,	2,00	-	5,446E-07	-	-	-	-	-	-	2
28	1434538	525109,	2,00	-	3,899E-07	-	-	-	-	-	-	2
11	1435750	529314,	2,00	-	2,187E-07	-	-	-	-	-	-	4
14	1436338	528292,	2,00	-	2,130E-07	-	-	-	-	-	-	1

3	1436353	528421,	2,00	-	2,089E-07	-	-	-	-	-	-	3
12	1436403	528755,	2,00	-	1,973E-07	-	-	-	-	-	-	4
6	1436680	522220,	2,00	-	2,401E-07	-	-	-	-	-	-	3
15	1436699	528132,	2,00	-	1,888E-07	-	-	-	-	-	-	1
16	1436969	528128,	2,00	-	1,701E-07	-	-	-	-	-	-	1
4	1437172	526875,	2,00	-	1,568E-07	-	-	-	-	-	-	3
21	1437189	526151,	2,00	-	1,626E-07	-	-	-	-	-	-	1
18	1437214	527335,	2,00	-	1,557E-07	-	-	-	-	-	-	1
13	1437255	526860,	2,00	-	1,519E-07	-	-	-	-	-	-	4
17	1437319	528099,	2,00	-	1,497E-07	-	-	-	-	-	-	1
19	1437450	526785,	2,00	-	1,417E-07	-	-	-	-	-	-	1
20	1437558	526658,	2,00	-	1,379E-07	-	-	-	-	-	-	1
5	1437817	524409,	2,00	-	1,720E-07	-	-	-	-	-	-	3
22	1437886	524620,	2,00	-	1,644E-07	-	-	-	-	-	-	1

Вещество: 0301
Азота диоксид (Двуокись азота; пероксид азота)

№	Коорд Х(м)	Коорд У(м)	Высота (м)	Концентр (д. ПДК)	Концентр. (мг/куб.м)	Напр ветр	Скор ветр	Фон		Фон до исключения		Тип точки
								доли ПДК	мг/куб.м	доли ПДК	мг/куб.м	
24	1434111	525264,	2,00	0,09	0,009	-	-	-	-	-	-	2
31	1433991	525254,	2,00	0,08	0,008	-	-	-	-	-	-	4
30	1434170	524983,	2,00	0,07	0,007	-	-	-	-	-	-	2
23	1433870	524917,	2,00	0,06	0,006	-	-	-	-	-	-	2
25	1434154	525673,	2,00	0,05	0,005	-	-	-	-	-	-	2
27	1434375	525467,	2,00	0,04	0,004	-	-	-	-	-	-	2
26	1434319	525785,	2,00	0,04	0,004	-	-	-	-	-	-	2
29	1434463	524697,	2,00	0,04	0,004	-	-	-	-	-	-	2
32	1433673	524956,	2,00	0,04	0,004	-	-	-	-	-	-	4
28	1434538	525109,	2,00	0,03	0,003	-	-	-	-	-	-	2
7	1434173	521781,	2,00	0,01	0,001	-	-	-	-	-	-	3
2	1434293	529740,	2,00	0,01	0,001	-	-	-	-	-	-	3
11	1435750	529314,	2,00	0,01	0,001	-	-	-	-	-	-	4
6	1436680	522220,	2,00	9,98E-03	9,979E-04	-	-	-	-	-	-	3
14	1436338	528292,	2,00	9,35E-03	9,351E-04	-	-	-	-	-	-	1
3	1436353	528421,	2,00	9,29E-03	9,293E-04	-	-	-	-	-	-	3
12	1436403	528755,	2,00	9,10E-03	9,101E-04	-	-	-	-	-	-	4
15	1436699	528132,	2,00	8,33E-03	8,327E-04	-	-	-	-	-	-	1
1	1431879	529056,	2,00	8,32E-03	8,320E-04	-	-	-	-	-	-	3
16	1436969	528128,	2,00	7,65E-03	7,652E-04	-	-	-	-	-	-	1
8	1431633	522009,	2,00	7,49E-03	7,485E-04	-	-	-	-	-	-	3
5	1437817	524409,	2,00	7,41E-03	7,410E-04	-	-	-	-	-	-	3
22	1437886	524620,	2,00	7,12E-03	7,117E-04	-	-	-	-	-	-	1
9	1430285	524137,	2,00	7,00E-03	7,001E-04	-	-	-	-	-	-	3
17	1437319	528099,	2,00	6,89E-03	6,888E-04	-	-	-	-	-	-	1
18	1437214	527335,	2,00	6,68E-03	6,679E-04	-	-	-	-	-	-	1
21	1437189	526151,	2,00	6,63E-03	6,626E-04	-	-	-	-	-	-	1
4	1437172	526875,	2,00	6,51E-03	6,511E-04	-	-	-	-	-	-	3
13	1437255	526860,	2,00	6,36E-03	6,363E-04	-	-	-	-	-	-	4
19	1437450	526785,	2,00	6,06E-03	6,056E-04	-	-	-	-	-	-	1

20	1437558, 30	526658, 50	2,00	5,93E-03	5,930E-04	-	-	-	-	-	-	1
10	1430891, 30	526664, 50	2,00	3,71E-03	3,706E-04	-	-	-	-	-	-	3

**Вещество: 0303
Аммиак (Азота гидрид)**

№	Коорд X(м)	Коорд Y(м)	Высота (м)	Концентр (д. ПДК)	Концентр. (мг/куб.м)	Напр ветр а	Скор ветр а	Фон		Фон до исключения		Тип точки
								доли ПДК	мг/куб.м	доли ПДК	мг/куб.м	
31	1433991	525254, 40	2,00	1,09E-06	1,090E-07	-	-	-	-	-	-	4
30	1434170	524983, 40	2,00	6,64E-07	6,636E-08	-	-	-	-	-	-	2
24	1434111	525264, 30	2,00	6,43E-07	6,432E-08	-	-	-	-	-	-	2
23	1433870	524917, 30	2,00	6,35E-07	6,348E-08	-	-	-	-	-	-	2
25	1434154	525673, 40	2,00	3,78E-07	3,783E-08	-	-	-	-	-	-	2
32	1433673	524956, 30	2,00	3,66E-07	3,659E-08	-	-	-	-	-	-	4
29	1434463	524697, 40	2,00	2,63E-07	2,628E-08	-	-	-	-	-	-	2
27	1434375	525467, 30	2,00	2,56E-07	2,555E-08	-	-	-	-	-	-	2
26	1434319	525785, 40	2,00	2,38E-07	2,384E-08	-	-	-	-	-	-	2
28	1434538	525109, 30	2,00	2,16E-07	2,161E-08	-	-	-	-	-	-	2
7	1434173	521781, 40	2,00	2,74E-08	2,738E-09	-	-	-	-	-	-	3
2	1434293	529740, 50	2,00	1,96E-08	1,962E-09	-	-	-	-	-	-	3
6	1436680	522220, 40	2,00	1,89E-08	1,889E-09	-	-	-	-	-	-	3
14	1436338	528292, 50	2,00	1,76E-08	1,761E-09	-	-	-	-	-	-	1
11	1435750	529314, 30	2,00	1,76E-08	1,758E-09	-	-	-	-	-	-	4
3	1436353	528421, 30	2,00	1,71E-08	1,709E-09	-	-	-	-	-	-	3
12	1436403	528755, 30	2,00	1,57E-08	1,571E-09	-	-	-	-	-	-	4
15	1436699	528132, 30	2,00	1,53E-08	1,527E-09	-	-	-	-	-	-	1
8	1431633	522009, 50	2,00	1,49E-08	1,494E-09	-	-	-	-	-	-	3
1	1431879	529056, 40	2,00	1,48E-08	1,481E-09	-	-	-	-	-	-	3
21	1437189	526151, 30	2,00	1,47E-08	1,473E-09	-	-	-	-	-	-	1
5	1437817	524409, 30	2,00	1,44E-08	1,436E-09	-	-	-	-	-	-	3
9	1430285	524137, 30	2,00	1,41E-08	1,409E-09	-	-	-	-	-	-	3
22	1437886	524620, 30	2,00	1,37E-08	1,370E-09	-	-	-	-	-	-	1
16	1436969	528128, 30	2,00	1,35E-08	1,349E-09	-	-	-	-	-	-	1
4	1437172	526875, 40	2,00	1,32E-08	1,323E-09	-	-	-	-	-	-	3
13	1437255	526860, 50	2,00	1,27E-08	1,273E-09	-	-	-	-	-	-	4
18	1437214	527335, 50	2,00	1,26E-08	1,259E-09	-	-	-	-	-	-	1
19	1437450	526785, 30	2,00	1,18E-08	1,177E-09	-	-	-	-	-	-	1
17	1437319	528099, 50	2,00	1,16E-08	1,158E-09	-	-	-	-	-	-	1
20	1437558	526658, 30	2,00	1,15E-08	1,146E-09	-	-	-	-	-	-	1
10	1430891	526664, 30	2,00	8,39E-09	8,392E-10	-	-	-	-	-	-	3

**Вещество: 0304
Азот (II) оксид (Азот монооксид)**

№	Коорд X(м)	Коорд Y(м)	Высота (м)	Концентр (д. ПДК)	Концентр. (мг/куб.м)	Напр ветр а	Скор ветр а	Фон		Фон до исключения		Тип точки
								доли ПДК	мг/куб.м	доли ПДК	мг/куб.м	
9	1430285	524137, 30	2,00	-	7,416E-06	-	-	-	-	-	-	3
10	1430891	526664, 30	2,00	-	4,216E-06	-	-	-	-	-	-	3
8	1431633	522009, 30	2,00	-	7,873E-06	-	-	-	-	-	-	3
1	1431879	529056, 40	2,00	-	7,599E-06	-	-	-	-	-	-	3

32	1433673	524956,	2,00	-	2,166E-04	-	-	-	-	-	-	4
23	1433870	524917,	2,00	-	5,301E-04	-	-	-	-	-	-	2
31	1433991	525254,	2,00	-	5,748E-04	-	-	-	-	-	-	4
24	1434111	525264,	2,00	-	8,822E-04	-	-	-	-	-	-	2
25	1434154	525673,	2,00	-	2,017E-04	-	-	-	-	-	-	2
30	1434170	524983,	2,00	-	5,256E-04	-	-	-	-	-	-	2
7	1434173	521781,	2,00	-	1,488E-05	-	-	-	-	-	-	3
2	1434293	529740,	2,00	-	1,020E-05	-	-	-	-	-	-	3
26	1434319	525785,	2,00	-	1,622E-04	-	-	-	-	-	-	2
27	1434375	525467,	2,00	-	2,470E-04	-	-	-	-	-	-	2
29	1434463	524697,	2,00	-	1,539E-04	-	-	-	-	-	-	2
28	1434538	525109,	2,00	-	1,441E-04	-	-	-	-	-	-	2
11	1435750	529314,	2,00	-	9,485E-06	-	-	-	-	-	-	4
14	1436338	528292,	2,00	-	9,748E-06	-	-	-	-	-	-	1
3	1436353	528421,	2,00	-	9,327E-06	-	-	-	-	-	-	3
12	1436403	528755,	2,00	-	8,570E-06	-	-	-	-	-	-	4
6	1436680	522220,	2,00	-	1,055E-05	-	-	-	-	-	-	3
15	1436699	528132,	2,00	-	8,411E-06	-	-	-	-	-	-	1
16	1436969	528128,	2,00	-	7,372E-06	-	-	-	-	-	-	1
4	1437172	526875,	2,00	-	7,376E-06	-	-	-	-	-	-	3
21	1437189	526151,	2,00	-	7,987E-06	-	-	-	-	-	-	1
18	1437214	527335,	2,00	-	7,074E-06	-	-	-	-	-	-	1
13	1437255	526860,	2,00	-	7,124E-06	-	-	-	-	-	-	4
17	1437319	528099,	2,00	-	6,406E-06	-	-	-	-	-	-	1
19	1437450	526785,	2,00	-	6,563E-06	-	-	-	-	-	-	1
20	1437558	526658,	2,00	-	6,350E-06	-	-	-	-	-	-	1
5	1437817	524409,	2,00	-	7,976E-06	-	-	-	-	-	-	3
22	1437886	524620,	2,00	-	7,581E-06	-	-	-	-	-	-	1

Вещество: 0328
Углерод (Пигмент черный)

№	Коорд X(м)	Коорд Y(м)	Высота (м)	Концентр (д. ПДК)	Концентр. (мг/куб.м)	Напр ветр	Скор ветр	Фон		Фон до исключения		Тип точки
								доли ПДК	мг/куб.м	доли ПДК	мг/куб.м	
24	1434111	525264,	2,00	0,01	5,522E-04	-	-	-	-	-	-	2
23	1433870	524917,	2,00	7,74E-03	3,872E-04	-	-	-	-	-	-	2
31	1433991	525254,	2,00	7,63E-03	3,816E-04	-	-	-	-	-	-	4
30	1434170	524983,	2,00	7,52E-03	3,758E-04	-	-	-	-	-	-	2
27	1434375	525467,	2,00	3,28E-03	1,642E-04	-	-	-	-	-	-	2
32	1433673	524956,	2,00	2,88E-03	1,440E-04	-	-	-	-	-	-	4
25	1434154	525673,	2,00	2,63E-03	1,314E-04	-	-	-	-	-	-	2
26	1434319	525785,	2,00	2,17E-03	1,085E-04	-	-	-	-	-	-	2
29	1434463	524697,	2,00	2,11E-03	1,055E-04	-	-	-	-	-	-	2
28	1434538	525109,	2,00	1,84E-03	9,198E-05	-	-	-	-	-	-	2
7	1434173	521781,	2,00	1,97E-04	9,853E-06	-	-	-	-	-	-	3
6	1436680	522220,	2,00	1,39E-04	6,963E-06	-	-	-	-	-	-	3
2	1434293	529740,	2,00	1,34E-04	6,690E-06	-	-	-	-	-	-	3
14	1436338	528292,	2,00	1,28E-04	6,391E-06	-	-	-	-	-	-	1
11	1435750	529314,	2,00	1,25E-04	6,227E-06	-	-	-	-	-	-	4
3	1436353	528421,	2,00	1,22E-04	6,115E-06	-	-	-	-	-	-	3

12	1436403	528755,	2,00	1,13E-04	5,628E-06	-	-	-	-	-	-	4
15	1436699	528132,	2,00	1,10E-04	5,516E-06	-	-	-	-	-	-	1
5	1437817	524409,	2,00	1,05E-04	5,248E-06	-	-	-	-	-	-	3
21	1437189	526151,	2,00	1,05E-04	5,243E-06	-	-	-	-	-	-	1
8	1431633	522009,	2,00	1,04E-04	5,200E-06	-	-	-	-	-	-	3
1	1431879	529056,	2,00	9,99E-05	4,995E-06	-	-	-	-	-	-	3
22	1437886	524620,	2,00	9,97E-05	4,985E-06	-	-	-	-	-	-	1
9	1430285	524137,	2,00	9,78E-05	4,889E-06	-	-	-	-	-	-	3
4	1437172	526875,	2,00	9,69E-05	4,847E-06	-	-	-	-	-	-	3
16	1436969	528128,	2,00	9,69E-05	4,843E-06	-	-	-	-	-	-	1
13	1437255	526860,	2,00	9,36E-05	4,681E-06	-	-	-	-	-	-	4
18	1437214	527335,	2,00	9,29E-05	4,645E-06	-	-	-	-	-	-	1
19	1437450	526785,	2,00	8,63E-05	4,313E-06	-	-	-	-	-	-	1
17	1437319	528099,	2,00	8,42E-05	4,211E-06	-	-	-	-	-	-	1
20	1437558	526658,	2,00	8,34E-05	4,170E-06	-	-	-	-	-	-	1
10	1430891	526664,	2,00	5,52E-05	2,759E-06	-	-	-	-	-	-	3

Вещество: 0330
Сера диоксид

№	Коорд X(м)	Коорд Y(м)	Высота (м)	Концентр (д. ПДК)	Концентр. (мг/куб.м)	Напр ветр а	Скор ветр а	Фон		Фон до исключения		Тип точки
								доли ПДК	мг/куб.м	доли ПДК	мг/куб.м	
9	1430285	524137,	2,00	-	4,682E-04	-	-	-	-	-	-	3
10	1430891	526664,	2,00	-	2,489E-04	-	-	-	-	-	-	3
8	1431633	522009,	2,00	-	5,006E-04	-	-	-	-	-	-	3
1	1431879	529056,	2,00	-	5,570E-04	-	-	-	-	-	-	3
32	1433673	524956,	2,00	-	0,002	-	-	-	-	-	-	4
23	1433870	524917,	2,00	-	0,003	-	-	-	-	-	-	2
31	1433991	525254,	2,00	-	0,004	-	-	-	-	-	-	4
24	1434111	525264,	2,00	-	0,004	-	-	-	-	-	-	2
25	1434154	525673,	2,00	-	0,003	-	-	-	-	-	-	2
30	1434170	524983,	2,00	-	0,004	-	-	-	-	-	-	2
7	1434173	521781,	2,00	-	8,217E-04	-	-	-	-	-	-	3
2	1434293	529740,	2,00	-	7,684E-04	-	-	-	-	-	-	3
26	1434319	525785,	2,00	-	0,003	-	-	-	-	-	-	2
27	1434375	525467,	2,00	-	0,003	-	-	-	-	-	-	2
29	1434463	524697,	2,00	-	0,002	-	-	-	-	-	-	2
28	1434538	525109,	2,00	-	0,002	-	-	-	-	-	-	2
11	1435750	529314,	2,00	-	6,976E-04	-	-	-	-	-	-	4
14	1436338	528292,	2,00	-	6,271E-04	-	-	-	-	-	-	1
3	1436353	528421,	2,00	-	6,234E-04	-	-	-	-	-	-	3
12	1436403	528755,	2,00	-	6,108E-04	-	-	-	-	-	-	4
6	1436680	522220,	2,00	-	6,687E-04	-	-	-	-	-	-	3
15	1436699	528132,	2,00	-	5,587E-04	-	-	-	-	-	-	1
16	1436969	528128,	2,00	-	5,136E-04	-	-	-	-	-	-	1
4	1437172	526875,	2,00	-	4,363E-04	-	-	-	-	-	-	3
21	1437189	526151,	2,00	-	4,439E-04	-	-	-	-	-	-	1
18	1437214	527335,	2,00	-	4,478E-04	-	-	-	-	-	-	1
13	1437255	526860,	2,00	-	4,264E-04	-	-	-	-	-	-	4
17	1437319	528099,	2,00	-	4,623E-04	-	-	-	-	-	-	1

19	1437450	526785,	2,00	-	4,060E-04	-	-	-	-	-	-	1
20	1437558	526658,	2,00	-	3,976E-04	-	-	-	-	-	-	1
5	1437817	524409,	2,00	-	4,970E-04	-	-	-	-	-	-	3
22	1437886	524620,	2,00	-	4,774E-04	-	-	-	-	-	-	1

Вещество: 0337
Углерода оксид (Углерод окись; углерод моноокись; угарный газ)

№	Коорд X(м)	Коорд Y(м)	Высота (м)	Концентр (д. ПДК)	Концентр. (мг/куб.м)	Напр ветр а	Скор ветр а	Фон		Фон до исключения		Тип точки
								доли ПДК	мг/куб.м	доли ПДК	мг/куб.м	
24	1434111	525264,	2,00	4,83E-03	0,014	-	-	-	-	-	-	2
31	1433991	525254,	2,00	3,31E-03	0,010	-	-	-	-	-	-	4
23	1433870	524917,	2,00	2,90E-03	0,009	-	-	-	-	-	-	2
30	1434170	524983,	2,00	2,82E-03	0,008	-	-	-	-	-	-	2
27	1434375	525467,	2,00	1,33E-03	0,004	-	-	-	-	-	-	2
32	1433673	524956,	2,00	1,22E-03	0,004	-	-	-	-	-	-	4
25	1434154	525673,	2,00	1,11E-03	0,003	-	-	-	-	-	-	2
26	1434319	525785,	2,00	8,79E-04	0,003	-	-	-	-	-	-	2
29	1434463	524697,	2,00	8,52E-04	0,003	-	-	-	-	-	-	2
28	1434538	525109,	2,00	7,87E-04	0,002	-	-	-	-	-	-	2
7	1434173	521781,	2,00	8,28E-05	2,483E-04	-	-	-	-	-	-	3
6	1436680	522220,	2,00	5,85E-05	1,756E-04	-	-	-	-	-	-	3
2	1434293	529740,	2,00	5,66E-05	1,699E-04	-	-	-	-	-	-	3
14	1436338	528292,	2,00	5,40E-05	1,621E-04	-	-	-	-	-	-	1
11	1435750	529314,	2,00	5,26E-05	1,578E-04	-	-	-	-	-	-	4
3	1436353	528421,	2,00	5,17E-05	1,551E-04	-	-	-	-	-	-	3
12	1436403	528755,	2,00	4,75E-05	1,426E-04	-	-	-	-	-	-	4
15	1436699	528132,	2,00	4,66E-05	1,399E-04	-	-	-	-	-	-	1
21	1437189	526151,	2,00	4,43E-05	1,328E-04	-	-	-	-	-	-	1
5	1437817	524409,	2,00	4,42E-05	1,326E-04	-	-	-	-	-	-	3
8	1431633	522009,	2,00	4,38E-05	1,315E-04	-	-	-	-	-	-	3
1	1431879	529056,	2,00	4,23E-05	1,270E-04	-	-	-	-	-	-	3
22	1437886	524620,	2,00	4,20E-05	1,260E-04	-	-	-	-	-	-	1
9	1430285	524137,	2,00	4,13E-05	1,239E-04	-	-	-	-	-	-	3
4	1437172	526875,	2,00	4,09E-05	1,228E-04	-	-	-	-	-	-	3
16	1436969	528128,	2,00	4,09E-05	1,227E-04	-	-	-	-	-	-	1
13	1437255	526860,	2,00	3,95E-05	1,186E-04	-	-	-	-	-	-	4
18	1437214	527335,	2,00	3,92E-05	1,177E-04	-	-	-	-	-	-	1
19	1437450	526785,	2,00	3,64E-05	1,092E-04	-	-	-	-	-	-	1
17	1437319	528099,	2,00	3,55E-05	1,066E-04	-	-	-	-	-	-	1
20	1437558	526658,	2,00	3,52E-05	1,056E-04	-	-	-	-	-	-	1
10	1430891	526664,	2,00	2,33E-05	6,985E-05	-	-	-	-	-	-	3

Вещество: 0938
1,1,1,2-Тетрафторэтан

№	Коорд X(м)	Коорд Y(м)	Высота (м)	Концентр (д. ПДК)	Концентр. (мг/куб.м)	Напр ветр а	Скор ветр а	Фон		Фон до исключения		Тип точки
								доли ПДК	мг/куб.м	доли ПДК	мг/куб.м	
9	1430285	524137,	2,00	-	6,949E-09	-	-	-	-	-	-	3
10	1430891	526664,	2,00	-	4,138E-09	-	-	-	-	-	-	3

8	1431633	522009,	2,00	-	7,367E-09	-	-	-	-	-	-	3
1	1431879	529056,	2,00	-	7,303E-09	-	-	-	-	-	-	3
32	1433673	524956,	2,00	-	1,804E-07	-	-	-	-	-	-	4
23	1433870	524917,	2,00	-	3,130E-07	-	-	-	-	-	-	2
31	1433991	525254,	2,00	-	5,375E-07	-	-	-	-	-	-	4
24	1434111	525264,	2,00	-	3,171E-07	-	-	-	-	-	-	2
25	1434154	525673,	2,00	-	1,865E-07	-	-	-	-	-	-	2
30	1434170	524983,	2,00	-	3,272E-07	-	-	-	-	-	-	2
7	1434173	521781,	2,00	-	1,350E-08	-	-	-	-	-	-	3
2	1434293	529740,	2,00	-	9,673E-09	-	-	-	-	-	-	3
26	1434319	525785,	2,00	-	1,175E-07	-	-	-	-	-	-	2
27	1434375	525467,	2,00	-	1,260E-07	-	-	-	-	-	-	2
29	1434463	524697,	2,00	-	1,296E-07	-	-	-	-	-	-	2
28	1434538	525109,	2,00	-	1,066E-07	-	-	-	-	-	-	2
11	1435750	529314,	2,00	-	8,665E-09	-	-	-	-	-	-	4
14	1436338	528292,	2,00	-	8,682E-09	-	-	-	-	-	-	1
3	1436353	528421,	2,00	-	8,427E-09	-	-	-	-	-	-	3
12	1436403	528755,	2,00	-	7,746E-09	-	-	-	-	-	-	4
6	1436680	522220,	2,00	-	9,316E-09	-	-	-	-	-	-	3
15	1436699	528132,	2,00	-	7,527E-09	-	-	-	-	-	-	1
16	1436969	528128,	2,00	-	6,651E-09	-	-	-	-	-	-	1
4	1437172	526875,	2,00	-	6,521E-09	-	-	-	-	-	-	3
21	1437189	526151,	2,00	-	7,260E-09	-	-	-	-	-	-	1
18	1437214	527335,	2,00	-	6,206E-09	-	-	-	-	-	-	1
13	1437255	526860,	2,00	-	6,276E-09	-	-	-	-	-	-	4
17	1437319	528099,	2,00	-	5,709E-09	-	-	-	-	-	-	1
19	1437450	526785,	2,00	-	5,803E-09	-	-	-	-	-	-	1
20	1437558	526658,	2,00	-	5,651E-09	-	-	-	-	-	-	1
5	1437817	524409,	2,00	-	7,078E-09	-	-	-	-	-	-	3
22	1437886	524620,	2,00	-	6,757E-09	-	-	-	-	-	-	1

Вещество: 0967
Пентафторэтан

№	Коорд Х(м)	Коорд У(м)	Высота (м)	Концентр (д. ПДК)	Концентр. (мг/куб.м)	Напр ветр	Скор ветр	Фон		Фон до исключения		Тип точки
								доли ПДК	мг/куб.м	доли ПДК	мг/куб.м	
9	1430285	524137,	2,00	-	7,644E-08	-	-	-	-	-	-	3
10	1430891	526664,	2,00	-	4,551E-08	-	-	-	-	-	-	3
8	1431633	522009,	2,00	-	8,104E-08	-	-	-	-	-	-	3
1	1431879	529056,	2,00	-	8,034E-08	-	-	-	-	-	-	3
32	1433673	524956,	2,00	-	1,984E-06	-	-	-	-	-	-	4
23	1433870	524917,	2,00	-	3,443E-06	-	-	-	-	-	-	2
31	1433991	525254,	2,00	-	5,912E-06	-	-	-	-	-	-	4
24	1434111	525264,	2,00	-	3,488E-06	-	-	-	-	-	-	2
25	1434154	525673,	2,00	-	2,052E-06	-	-	-	-	-	-	2
30	1434170	524983,	2,00	-	3,599E-06	-	-	-	-	-	-	2
7	1434173	521781,	2,00	-	1,485E-07	-	-	-	-	-	-	3
2	1434293	529740,	2,00	-	1,064E-07	-	-	-	-	-	-	3
26	1434319	525785,	2,00	-	1,293E-06	-	-	-	-	-	-	2
27	1434375	525467,	2,00	-	1,386E-06	-	-	-	-	-	-	2

29	1434463	524697,	2,00	-	1,425E-06	-	-	-	-	-	-	2
28	1434538	525109,	2,00	-	1,172E-06	-	-	-	-	-	-	2
11	1435750	529314,	2,00	-	9,532E-08	-	-	-	-	-	-	4
14	1436338	528292,	2,00	-	9,550E-08	-	-	-	-	-	-	1
3	1436353	528421,	2,00	-	9,270E-08	-	-	-	-	-	-	3
12	1436403	528755,	2,00	-	8,521E-08	-	-	-	-	-	-	4
6	1436680	522220,	2,00	-	1,025E-07	-	-	-	-	-	-	3
15	1436699	528132,	2,00	-	8,280E-08	-	-	-	-	-	-	1
16	1436969	528128,	2,00	-	7,316E-08	-	-	-	-	-	-	1
4	1437172	526875,	2,00	-	7,173E-08	-	-	-	-	-	-	3
21	1437189	526151,	2,00	-	7,986E-08	-	-	-	-	-	-	1
18	1437214	527335,	2,00	-	6,826E-08	-	-	-	-	-	-	1
13	1437255	526860,	2,00	-	6,903E-08	-	-	-	-	-	-	4
17	1437319	528099,	2,00	-	6,280E-08	-	-	-	-	-	-	1
19	1437450	526785,	2,00	-	6,383E-08	-	-	-	-	-	-	1
20	1437558	526658,	2,00	-	6,217E-08	-	-	-	-	-	-	1
5	1437817	524409,	2,00	-	7,786E-08	-	-	-	-	-	-	3
22	1437886	524620,	2,00	-	7,432E-08	-	-	-	-	-	-	1

Вещество: 0978
1,1,1-Трифторэтан

№	Коорд Х(м)	Коорд У(м)	Высота (м)	Концентр (д. ПДК)	Концентр. (мг/куб.м)	Напр ветр	Скор ветр	Фон		Фон до исключения		Тип точки
								доли ПДК	мг/куб.м	доли ПДК	мг/куб.м	
9	1430285	524137,	2,00	-	9,034E-08	-	-	-	-	-	-	3
10	1430891	526664,	2,00	-	5,379E-08	-	-	-	-	-	-	3
8	1431633	522009,	2,00	-	9,577E-08	-	-	-	-	-	-	3
1	1431879	529056,	2,00	-	9,494E-08	-	-	-	-	-	-	3
32	1433673	524956,	2,00	-	2,345E-06	-	-	-	-	-	-	4
23	1433870	524917,	2,00	-	4,068E-06	-	-	-	-	-	-	2
31	1433991	525254,	2,00	-	6,987E-06	-	-	-	-	-	-	4
24	1434111	525264,	2,00	-	4,123E-06	-	-	-	-	-	-	2
25	1434154	525673,	2,00	-	2,425E-06	-	-	-	-	-	-	2
30	1434170	524983,	2,00	-	4,253E-06	-	-	-	-	-	-	2
7	1434173	521781,	2,00	-	1,755E-07	-	-	-	-	-	-	3
2	1434293	529740,	2,00	-	1,258E-07	-	-	-	-	-	-	3
26	1434319	525785,	2,00	-	1,528E-06	-	-	-	-	-	-	2
27	1434375	525467,	2,00	-	1,638E-06	-	-	-	-	-	-	2
29	1434463	524697,	2,00	-	1,684E-06	-	-	-	-	-	-	2
28	1434538	525109,	2,00	-	1,385E-06	-	-	-	-	-	-	2
11	1435750	529314,	2,00	-	1,126E-07	-	-	-	-	-	-	4
14	1436338	528292,	2,00	-	1,129E-07	-	-	-	-	-	-	1
3	1436353	528421,	2,00	-	1,096E-07	-	-	-	-	-	-	3
12	1436403	528755,	2,00	-	1,007E-07	-	-	-	-	-	-	4
6	1436680	522220,	2,00	-	1,211E-07	-	-	-	-	-	-	3
15	1436699	528132,	2,00	-	9,786E-08	-	-	-	-	-	-	1
16	1436969	528128,	2,00	-	8,646E-08	-	-	-	-	-	-	1
4	1437172	526875,	2,00	-	8,477E-08	-	-	-	-	-	-	3
21	1437189	526151,	2,00	-	9,438E-08	-	-	-	-	-	-	1
18	1437214	527335,	2,00	-	8,067E-08	-	-	-	-	-	-	1

13	1437255	526860,	2,00	-	8,159E-08	-	-	-	-	-	-	4
17	1437319	528099,	2,00	-	7,422E-08	-	-	-	-	-	-	1
19	1437450	526785,	2,00	-	7,544E-08	-	-	-	-	-	-	1
20	1437558	526658,	2,00	-	7,347E-08	-	-	-	-	-	-	1
5	1437817	524409,	2,00	-	9,201E-08	-	-	-	-	-	-	3
22	1437886	524620,	2,00	-	8,783E-08	-	-	-	-	-	-	1

Вещество: 1061
Этанол (Этиловый спирт; метилкарбинол)

№	Коорд X(м)	Коорд Y(м)	Высота (м)	Концентр (д. ПДК)	Концентр. (мг/куб.м)	Напр ветр а	Скор ветр а	Фон		Фон до исключения		Тип точки
								доли ПДК	мг/куб.м	доли ПДК	мг/куб.м	
9	1430285	524137,	2,00	-	4,184E-06	-	-	-	-	-	-	3
10	1430891	526664,	2,00	-	2,491E-06	-	-	-	-	-	-	3
8	1431633	522009,	2,00	-	4,436E-06	-	-	-	-	-	-	3
1	1431879	529056,	2,00	-	4,397E-06	-	-	-	-	-	-	3
32	1433673	524956,	2,00	-	1,086E-04	-	-	-	-	-	-	4
23	1433870	524917,	2,00	-	1,884E-04	-	-	-	-	-	-	2
31	1433991	525254,	2,00	-	3,236E-04	-	-	-	-	-	-	4
24	1434111	525264,	2,00	-	1,909E-04	-	-	-	-	-	-	2
25	1434154	525673,	2,00	-	1,123E-04	-	-	-	-	-	-	2
30	1434170	524983,	2,00	-	1,970E-04	-	-	-	-	-	-	2
7	1434173	521781,	2,00	-	8,129E-06	-	-	-	-	-	-	3
2	1434293	529740,	2,00	-	5,824E-06	-	-	-	-	-	-	3
26	1434319	525785,	2,00	-	7,077E-05	-	-	-	-	-	-	2
27	1434375	525467,	2,00	-	7,586E-05	-	-	-	-	-	-	2
29	1434463	524697,	2,00	-	7,801E-05	-	-	-	-	-	-	2
28	1434538	525109,	2,00	-	6,416E-05	-	-	-	-	-	-	2
11	1435750	529314,	2,00	-	5,217E-06	-	-	-	-	-	-	4
14	1436338	528292,	2,00	-	5,227E-06	-	-	-	-	-	-	1
3	1436353	528421,	2,00	-	5,074E-06	-	-	-	-	-	-	3
12	1436403	528755,	2,00	-	4,664E-06	-	-	-	-	-	-	4
6	1436680	522220,	2,00	-	5,609E-06	-	-	-	-	-	-	3
15	1436699	528132,	2,00	-	4,532E-06	-	-	-	-	-	-	1
16	1436969	528128,	2,00	-	4,004E-06	-	-	-	-	-	-	1
4	1437172	526875,	2,00	-	3,926E-06	-	-	-	-	-	-	3
21	1437189	526151,	2,00	-	4,371E-06	-	-	-	-	-	-	1
18	1437214	527335,	2,00	-	3,736E-06	-	-	-	-	-	-	1
13	1437255	526860,	2,00	-	3,779E-06	-	-	-	-	-	-	4
17	1437319	528099,	2,00	-	3,438E-06	-	-	-	-	-	-	1
19	1437450	526785,	2,00	-	3,494E-06	-	-	-	-	-	-	1
20	1437558	526658,	2,00	-	3,403E-06	-	-	-	-	-	-	1
5	1437817	524409,	2,00	-	4,262E-06	-	-	-	-	-	-	3
22	1437886	524620,	2,00	-	4,068E-06	-	-	-	-	-	-	1

Вещество: 1314
Пропаналь (Пропиональдегид, метилацетальдегид)

№	Коорд X(м)	Коорд Y(м)	Высота (м)	Концентр (д. ПДК)	Концентр. (мг/куб.м)	Напр ветр а	Скор ветр а	Фон		Фон до исключения		Тип точки
								доли ПДК	мг/куб.м	доли ПДК	мг/куб.м	

9	1430285	524137,	2,00	-	2,929E-09	-	-	-	-	-	-	3
10	1430891	526664,	2,00	-	1,744E-09	-	-	-	-	-	-	3
8	1431633	522009,	2,00	-	3,105E-09	-	-	-	-	-	-	3
1	1431879	529056,	2,00	-	3,078E-09	-	-	-	-	-	-	3
32	1433673	524956,	2,00	-	7,602E-08	-	-	-	-	-	-	4
23	1433870	524917,	2,00	-	1,319E-07	-	-	-	-	-	-	2
31	1433991	525254,	2,00	-	2,265E-07	-	-	-	-	-	-	4
24	1434111	525264,	2,00	-	1,336E-07	-	-	-	-	-	-	2
25	1434154	525673,	2,00	-	7,861E-08	-	-	-	-	-	-	2
30	1434170	524983,	2,00	-	1,379E-07	-	-	-	-	-	-	2
7	1434173	521781,	2,00	-	5,689E-09	-	-	-	-	-	-	3
2	1434293	529740,	2,00	-	4,076E-09	-	-	-	-	-	-	3
26	1434319	525785,	2,00	-	4,953E-08	-	-	-	-	-	-	2
27	1434375	525467,	2,00	-	5,309E-08	-	-	-	-	-	-	2
29	1434463	524697,	2,00	-	5,460E-08	-	-	-	-	-	-	2
28	1434538	525109,	2,00	-	4,491E-08	-	-	-	-	-	-	2
11	1435750	529314,	2,00	-	3,652E-09	-	-	-	-	-	-	4
14	1436338	528292,	2,00	-	3,659E-09	-	-	-	-	-	-	1
3	1436353	528421,	2,00	-	3,551E-09	-	-	-	-	-	-	3
12	1436403	528755,	2,00	-	3,264E-09	-	-	-	-	-	-	4
6	1436680	522220,	2,00	-	3,926E-09	-	-	-	-	-	-	3
15	1436699	528132,	2,00	-	3,172E-09	-	-	-	-	-	-	1
16	1436969	528128,	2,00	-	2,803E-09	-	-	-	-	-	-	1
4	1437172	526875,	2,00	-	2,748E-09	-	-	-	-	-	-	3
21	1437189	526151,	2,00	-	3,059E-09	-	-	-	-	-	-	1
18	1437214	527335,	2,00	-	2,615E-09	-	-	-	-	-	-	1
13	1437255	526860,	2,00	-	2,645E-09	-	-	-	-	-	-	4
17	1437319	528099,	2,00	-	2,406E-09	-	-	-	-	-	-	1
19	1437450	526785,	2,00	-	2,445E-09	-	-	-	-	-	-	1
20	1437558	526658,	2,00	-	2,382E-09	-	-	-	-	-	-	1
5	1437817	524409,	2,00	-	2,983E-09	-	-	-	-	-	-	3
22	1437886	524620,	2,00	-	2,847E-09	-	-	-	-	-	-	1

Вещество: 1317
Ацетальдегид (Уксусный альдегид)

№	Коорд Х(м)	Коорд Y(м)	Высота (м)	Концентр (д. ПДК)	Концентр. (мг/куб.м)	Напр ветр а	Скор ветр а	Фон		Фон до исключения		Тип точки
								доли ПДК	мг/куб.м	доли ПДК	мг/куб.м	
9	1430285	524137,	2,00	-	1,553E-07	-	-	-	-	-	-	3
10	1430891	526664,	2,00	-	9,248E-08	-	-	-	-	-	-	3
8	1431633	522009,	2,00	-	1,647E-07	-	-	-	-	-	-	3
1	1431879	529056,	2,00	-	1,632E-07	-	-	-	-	-	-	3
32	1433673	524956,	2,00	-	4,032E-06	-	-	-	-	-	-	4
23	1433870	524917,	2,00	-	6,995E-06	-	-	-	-	-	-	2
31	1433991	525254,	2,00	-	1,201E-05	-	-	-	-	-	-	4
24	1434111	525264,	2,00	-	7,089E-06	-	-	-	-	-	-	2
25	1434154	525673,	2,00	-	4,169E-06	-	-	-	-	-	-	2
30	1434170	524983,	2,00	-	7,312E-06	-	-	-	-	-	-	2
7	1434173	521781,	2,00	-	3,018E-07	-	-	-	-	-	-	3
2	1434293	529740,	2,00	-	2,162E-07	-	-	-	-	-	-	3

26	1434319	525785,	2,00	-	2,627E-06	-	-	-	-	-	-	2
27	1434375	525467,	2,00	-	2,816E-06	-	-	-	-	-	-	2
29	1434463	524697,	2,00	-	2,896E-06	-	-	-	-	-	-	2
28	1434538	525109,	2,00	-	2,382E-06	-	-	-	-	-	-	2
11	1435750	529314,	2,00	-	1,937E-07	-	-	-	-	-	-	4
14	1436338	528292,	2,00	-	1,941E-07	-	-	-	-	-	-	1
3	1436353	528421,	2,00	-	1,884E-07	-	-	-	-	-	-	3
12	1436403	528755,	2,00	-	1,731E-07	-	-	-	-	-	-	4
6	1436680	522220,	2,00	-	2,082E-07	-	-	-	-	-	-	3
15	1436699	528132,	2,00	-	1,683E-07	-	-	-	-	-	-	1
16	1436969	528128,	2,00	-	1,487E-07	-	-	-	-	-	-	1
4	1437172	526875,	2,00	-	1,458E-07	-	-	-	-	-	-	3
21	1437189	526151,	2,00	-	1,623E-07	-	-	-	-	-	-	1
18	1437214	527335,	2,00	-	1,387E-07	-	-	-	-	-	-	1
13	1437255	526860,	2,00	-	1,403E-07	-	-	-	-	-	-	4
17	1437319	528099,	2,00	-	1,276E-07	-	-	-	-	-	-	1
19	1437450	526785,	2,00	-	1,297E-07	-	-	-	-	-	-	1
20	1437558	526658,	2,00	-	1,263E-07	-	-	-	-	-	-	1
5	1437817	524409,	2,00	-	1,582E-07	-	-	-	-	-	-	3
22	1437886	524620,	2,00	-	1,510E-07	-	-	-	-	-	-	1

Вещество: 1519
Пентановая кислота

№	Коорд Х(м)	Коорд У(м)	Высота (м)	Концентр (д. ПДК)	Концентр. (мг/куб.м)	Напр ветр а	Скор ветр а	Фон		Фон до исключения		Тип точки
								доли ПДК	мг/куб.м	доли ПДК	мг/куб.м	
9	1430285	524137,	2,00	-	1,161E-08	-	-	-	-	-	-	3
10	1430891	526664,	2,00	-	6,911E-09	-	-	-	-	-	-	3
8	1431633	522009,	2,00	-	1,230E-08	-	-	-	-	-	-	3
1	1431879	529056,	2,00	-	1,220E-08	-	-	-	-	-	-	3
32	1433673	524956,	2,00	-	3,013E-07	-	-	-	-	-	-	4
23	1433870	524917,	2,00	-	5,227E-07	-	-	-	-	-	-	2
31	1433991	525254,	2,00	-	8,977E-07	-	-	-	-	-	-	4
24	1434111	525264,	2,00	-	5,297E-07	-	-	-	-	-	-	2
25	1434154	525673,	2,00	-	3,115E-07	-	-	-	-	-	-	2
30	1434170	524983,	2,00	-	5,464E-07	-	-	-	-	-	-	2
7	1434173	521781,	2,00	-	2,255E-08	-	-	-	-	-	-	3
2	1434293	529740,	2,00	-	1,616E-08	-	-	-	-	-	-	3
26	1434319	525785,	2,00	-	1,963E-07	-	-	-	-	-	-	2
27	1434375	525467,	2,00	-	2,104E-07	-	-	-	-	-	-	2
29	1434463	524697,	2,00	-	2,164E-07	-	-	-	-	-	-	2
28	1434538	525109,	2,00	-	1,780E-07	-	-	-	-	-	-	2
11	1435750	529314,	2,00	-	1,447E-08	-	-	-	-	-	-	4
14	1436338	528292,	2,00	-	1,450E-08	-	-	-	-	-	-	1
3	1436353	528421,	2,00	-	1,408E-08	-	-	-	-	-	-	3
12	1436403	528755,	2,00	-	1,294E-08	-	-	-	-	-	-	4
6	1436680	522220,	2,00	-	1,556E-08	-	-	-	-	-	-	3
15	1436699	528132,	2,00	-	1,257E-08	-	-	-	-	-	-	1
16	1436969	528128,	2,00	-	1,111E-08	-	-	-	-	-	-	1
4	1437172	526875,	2,00	-	1,089E-08	-	-	-	-	-	-	3

21	1437189	526151,	2,00	-	1,213E-08	-	-	-	-	-	-	1
18	1437214	527335,	2,00	-	1,036E-08	-	-	-	-	-	-	1
13	1437255	526860,	2,00	-	1,048E-08	-	-	-	-	-	-	4
17	1437319	528099,	2,00	-	9,536E-09	-	-	-	-	-	-	1
19	1437450	526785,	2,00	-	9,692E-09	-	-	-	-	-	-	1
20	1437558	526658,	2,00	-	9,439E-09	-	-	-	-	-	-	1
5	1437817	524409,	2,00	-	1,182E-08	-	-	-	-	-	-	3
22	1437886	524620,	2,00	-	1,128E-08	-	-	-	-	-	-	1

Вещество: 1555
Этановая кислота (Метанкарбоновая кислота)

№	Коорд Х(м)	Коорд У(м)	Высота (м)	Концентр (д. ПДК)	Концентр. (мг/куб.м)	Напр ветр	Скор ветр	Фон		Фон до исключения		Тип точки
								доли ПДК	мг/куб.м	доли ПДК	мг/куб.м	
9	1430285	524137,	2,00	-	4,854E-07	-	-	-	-	-	-	3
10	1430891	526664,	2,00	-	2,890E-07	-	-	-	-	-	-	3
8	1431633	522009,	2,00	-	5,146E-07	-	-	-	-	-	-	3
1	1431879	529056,	2,00	-	5,101E-07	-	-	-	-	-	-	3
32	1433673	524956,	2,00	-	1,260E-05	-	-	-	-	-	-	4
23	1433870	524917,	2,00	-	2,186E-05	-	-	-	-	-	-	2
31	1433991	525254,	2,00	-	3,754E-05	-	-	-	-	-	-	4
24	1434111	525264,	2,00	-	2,215E-05	-	-	-	-	-	-	2
25	1434154	525673,	2,00	-	1,303E-05	-	-	-	-	-	-	2
30	1434170	524983,	2,00	-	2,285E-05	-	-	-	-	-	-	2
7	1434173	521781,	2,00	-	9,430E-07	-	-	-	-	-	-	3
2	1434293	529740,	2,00	-	6,757E-07	-	-	-	-	-	-	3
26	1434319	525785,	2,00	-	8,210E-06	-	-	-	-	-	-	2
27	1434375	525467,	2,00	-	8,800E-06	-	-	-	-	-	-	2
29	1434463	524697,	2,00	-	9,050E-06	-	-	-	-	-	-	2
28	1434538	525109,	2,00	-	7,444E-06	-	-	-	-	-	-	2
11	1435750	529314,	2,00	-	6,053E-07	-	-	-	-	-	-	4
14	1436338	528292,	2,00	-	6,064E-07	-	-	-	-	-	-	1
3	1436353	528421,	2,00	-	5,886E-07	-	-	-	-	-	-	3
12	1436403	528755,	2,00	-	5,411E-07	-	-	-	-	-	-	4
6	1436680	522220,	2,00	-	6,507E-07	-	-	-	-	-	-	3
15	1436699	528132,	2,00	-	5,258E-07	-	-	-	-	-	-	1
16	1436969	528128,	2,00	-	4,645E-07	-	-	-	-	-	-	1
4	1437172	526875,	2,00	-	4,555E-07	-	-	-	-	-	-	3
21	1437189	526151,	2,00	-	5,071E-07	-	-	-	-	-	-	1
18	1437214	527335,	2,00	-	4,335E-07	-	-	-	-	-	-	1
13	1437255	526860,	2,00	-	4,384E-07	-	-	-	-	-	-	4
17	1437319	528099,	2,00	-	3,988E-07	-	-	-	-	-	-	1
19	1437450	526785,	2,00	-	4,053E-07	-	-	-	-	-	-	1
20	1437558	526658,	2,00	-	3,947E-07	-	-	-	-	-	-	1
5	1437817	524409,	2,00	-	4,944E-07	-	-	-	-	-	-	3
22	1437886	524620,	2,00	-	4,719E-07	-	-	-	-	-	-	1

Вещество: 1849
Метиламин (Аминометан; метанамин)

№	Коорд Х(м)	Коорд У(м)	Высота (м)	Концентр (д. ПДК)	Концентр. (мг/куб.м)	Напр ветр	Скор ветр	Фон		Фон до исключения		Тип точки
								доли ПДК	мг/куб.м	доли ПДК	мг/куб.м	
9	1430285	524137,	2,00	-	4,736E-09	-	-	-	-	-	-	3
10	1430891	526664,	2,00	-	2,820E-09	-	-	-	-	-	-	3
8	1431633	522009,	2,00	-	5,020E-09	-	-	-	-	-	-	3
1	1431879	529056,	2,00	-	4,977E-09	-	-	-	-	-	-	3
32	1433673	524956,	2,00	-	1,229E-07	-	-	-	-	-	-	4
23	1433870	524917,	2,00	-	2,133E-07	-	-	-	-	-	-	2
31	1433991	525254,	2,00	-	3,663E-07	-	-	-	-	-	-	4
24	1434111	525264,	2,00	-	2,161E-07	-	-	-	-	-	-	2
25	1434154	525673,	2,00	-	1,271E-07	-	-	-	-	-	-	2
30	1434170	524983,	2,00	-	2,229E-07	-	-	-	-	-	-	2
7	1434173	521781,	2,00	-	9,200E-09	-	-	-	-	-	-	3
2	1434293	529740,	2,00	-	6,592E-09	-	-	-	-	-	-	3
26	1434319	525785,	2,00	-	8,010E-08	-	-	-	-	-	-	2
27	1434375	525467,	2,00	-	8,585E-08	-	-	-	-	-	-	2
29	1434463	524697,	2,00	-	8,829E-08	-	-	-	-	-	-	2
28	1434538	525109,	2,00	-	7,262E-08	-	-	-	-	-	-	2
11	1435750	529314,	2,00	-	5,905E-09	-	-	-	-	-	-	4
14	1436338	528292,	2,00	-	5,916E-09	-	-	-	-	-	-	1
3	1436353	528421,	2,00	-	5,743E-09	-	-	-	-	-	-	3
12	1436403	528755,	2,00	-	5,279E-09	-	-	-	-	-	-	4
6	1436680	522220,	2,00	-	6,348E-09	-	-	-	-	-	-	3
15	1436699	528132,	2,00	-	5,130E-09	-	-	-	-	-	-	1
16	1436969	528128,	2,00	-	4,532E-09	-	-	-	-	-	-	1
4	1437172	526875,	2,00	-	4,444E-09	-	-	-	-	-	-	3
21	1437189	526151,	2,00	-	4,947E-09	-	-	-	-	-	-	1
18	1437214	527335,	2,00	-	4,229E-09	-	-	-	-	-	-	1
13	1437255	526860,	2,00	-	4,277E-09	-	-	-	-	-	-	4
17	1437319	528099,	2,00	-	3,891E-09	-	-	-	-	-	-	1
19	1437450	526785,	2,00	-	3,954E-09	-	-	-	-	-	-	1
20	1437558	526658,	2,00	-	3,851E-09	-	-	-	-	-	-	1
5	1437817	524409,	2,00	-	4,823E-09	-	-	-	-	-	-	3
22	1437886	524620,	2,00	-	4,604E-09	-	-	-	-	-	-	1

Вещество: 2732
Керосин (Керосин прямой перегонки; керосин дезодорированный)

№	Коорд Х(м)	Коорд У(м)	Высота (м)	Концентр (д. ПДК)	Концентр. (мг/куб.м)	Напр ветр	Скор ветр	Фон		Фон до исключения		Тип точки
								доли ПДК	мг/куб.м	доли ПДК	мг/куб.м	
9	1430285	524137,	2,00	-	2,783E-05	-	-	-	-	-	-	3
10	1430891	526664,	2,00	-	1,630E-05	-	-	-	-	-	-	3
8	1431633	522009,	2,00	-	2,943E-05	-	-	-	-	-	-	3
1	1431879	529056,	2,00	-	2,870E-05	-	-	-	-	-	-	3
32	1433673	524956,	2,00	-	8,395E-04	-	-	-	-	-	-	4
23	1433870	524917,	2,00	-	0,002	-	-	-	-	-	-	2

31	1433991	525254,	2,00	-	0,002	-	-	-	-	-	-	4
24	1434111	525264,	2,00	-	0,004	-	-	-	-	-	-	2
25	1434154	525673,	2,00	-	7,908E-04	-	-	-	-	-	-	2
30	1434170	524983,	2,00	-	0,002	-	-	-	-	-	-	2
7	1434173	521781,	2,00	-	5,531E-05	-	-	-	-	-	-	3
2	1434293	529740,	2,00	-	3,891E-05	-	-	-	-	-	-	3
26	1434319	525785,	2,00	-	6,110E-04	-	-	-	-	-	-	2
27	1434375	525467,	2,00	-	9,473E-04	-	-	-	-	-	-	2
29	1434463	524697,	2,00	-	5,418E-04	-	-	-	-	-	-	2
28	1434538	525109,	2,00	-	6,023E-04	-	-	-	-	-	-	2
11	1435750	529314,	2,00	-	3,609E-05	-	-	-	-	-	-	4
14	1436338	528292,	2,00	-	3,717E-05	-	-	-	-	-	-	1
3	1436353	528421,	2,00	-	3,559E-05	-	-	-	-	-	-	3
12	1436403	528755,	2,00	-	3,256E-05	-	-	-	-	-	-	4
6	1436680	522220,	2,00	-	3,957E-05	-	-	-	-	-	-	3
15	1436699	528132,	2,00	-	3,205E-05	-	-	-	-	-	-	1
16	1436969	528128,	2,00	-	2,796E-05	-	-	-	-	-	-	1
4	1437172	526875,	2,00	-	2,796E-05	-	-	-	-	-	-	3
21	1437189	526151,	2,00	-	3,042E-05	-	-	-	-	-	-	1
18	1437214	527335,	2,00	-	2,687E-05	-	-	-	-	-	-	1
13	1437255	526860,	2,00	-	2,701E-05	-	-	-	-	-	-	4
17	1437319	528099,	2,00	-	2,427E-05	-	-	-	-	-	-	1
19	1437450	526785,	2,00	-	2,492E-05	-	-	-	-	-	-	1
20	1437558	526658,	2,00	-	2,413E-05	-	-	-	-	-	-	1
5	1437817	524409,	2,00	-	3,024E-05	-	-	-	-	-	-	3
22	1437886	524620,	2,00	-	2,876E-05	-	-	-	-	-	-	1

Вещество: 2735
Масло минеральное нефтяное

№	Коорд Х(м)	Коорд У(м)	Высота (м)	Концентр (д. ПДК)	Концентр. (мг/куб.м)	Напр ветр а	Скор ветр а	Фон		Фон до исключения		Тип точки
								доли ПДК	мг/куб.м	доли ПДК	мг/куб.м	
9	1430285	524137,	2,00	-	4,863E-07	-	-	-	-	-	-	3
10	1430891	526664,	2,00	-	2,895E-07	-	-	-	-	-	-	3
8	1431633	522009,	2,00	-	5,155E-07	-	-	-	-	-	-	3
1	1431879	529056,	2,00	-	5,110E-07	-	-	-	-	-	-	3
32	1433673	524956,	2,00	-	1,262E-05	-	-	-	-	-	-	4
23	1433870	524917,	2,00	-	2,190E-05	-	-	-	-	-	-	2
31	1433991	525254,	2,00	-	3,761E-05	-	-	-	-	-	-	4
24	1434111	525264,	2,00	-	2,219E-05	-	-	-	-	-	-	2
25	1434154	525673,	2,00	-	1,305E-05	-	-	-	-	-	-	2
30	1434170	524983,	2,00	-	2,289E-05	-	-	-	-	-	-	2
7	1434173	521781,	2,00	-	9,447E-07	-	-	-	-	-	-	3
2	1434293	529740,	2,00	-	6,769E-07	-	-	-	-	-	-	3
26	1434319	525785,	2,00	-	8,225E-06	-	-	-	-	-	-	2
27	1434375	525467,	2,00	-	8,816E-06	-	-	-	-	-	-	2
29	1434463	524697,	2,00	-	9,066E-06	-	-	-	-	-	-	2
28	1434538	525109,	2,00	-	7,457E-06	-	-	-	-	-	-	2
11	1435750	529314,	2,00	-	6,063E-07	-	-	-	-	-	-	4
14	1436338	528292,	2,00	-	6,075E-07	-	-	-	-	-	-	1

3	1436353	528421,	2,00	-	5,897E-07	-	-	-	-	-	-	3
12	1436403	528755,	2,00	-	5,420E-07	-	-	-	-	-	-	4
6	1436680	522220,	2,00	-	6,519E-07	-	-	-	-	-	-	3
15	1436699	528132,	2,00	-	5,267E-07	-	-	-	-	-	-	1
16	1436969	528128,	2,00	-	4,654E-07	-	-	-	-	-	-	1
4	1437172	526875,	2,00	-	4,563E-07	-	-	-	-	-	-	3
21	1437189	526151,	2,00	-	5,080E-07	-	-	-	-	-	-	1
18	1437214	527335,	2,00	-	4,342E-07	-	-	-	-	-	-	1
13	1437255	526860,	2,00	-	4,391E-07	-	-	-	-	-	-	4
17	1437319	528099,	2,00	-	3,995E-07	-	-	-	-	-	-	1
19	1437450	526785,	2,00	-	4,061E-07	-	-	-	-	-	-	1
20	1437558	526658,	2,00	-	3,955E-07	-	-	-	-	-	-	1
5	1437817	524409,	2,00	-	4,953E-07	-	-	-	-	-	-	3
22	1437886	524620,	2,00	-	4,728E-07	-	-	-	-	-	-	1

Вещество: 3721
Пыль мучная

№	Коорд X(м)	Коорд Y(м)	Высота (м)	Концентр (д. ПДК)	Концентр. (мг/куб.м)	Напр ветр	Скор ветр	Фон		Фон до исключения		Тип точки
								доли ПДК	мг/куб.м	доли ПДК	мг/куб.м	
9	1430285	524137,	2,00	-	1,670E-07	-	-	-	-	-	-	3
10	1430891	526664,	2,00	-	9,942E-08	-	-	-	-	-	-	3
8	1431633	522009,	2,00	-	1,770E-07	-	-	-	-	-	-	3
1	1431879	529056,	2,00	-	1,755E-07	-	-	-	-	-	-	3
32	1433673	524956,	2,00	-	4,334E-06	-	-	-	-	-	-	4
23	1433870	524917,	2,00	-	7,520E-06	-	-	-	-	-	-	2
31	1433991	525254,	2,00	-	1,291E-05	-	-	-	-	-	-	4
24	1434111	525264,	2,00	-	7,620E-06	-	-	-	-	-	-	2
25	1434154	525673,	2,00	-	4,482E-06	-	-	-	-	-	-	2
30	1434170	524983,	2,00	-	7,861E-06	-	-	-	-	-	-	2
7	1434173	521781,	2,00	-	3,244E-07	-	-	-	-	-	-	3
2	1434293	529740,	2,00	-	2,324E-07	-	-	-	-	-	-	3
26	1434319	525785,	2,00	-	2,824E-06	-	-	-	-	-	-	2
27	1434375	525467,	2,00	-	3,027E-06	-	-	-	-	-	-	2
29	1434463	524697,	2,00	-	3,113E-06	-	-	-	-	-	-	2
28	1434538	525109,	2,00	-	2,561E-06	-	-	-	-	-	-	2
11	1435750	529314,	2,00	-	2,082E-07	-	-	-	-	-	-	4
14	1436338	528292,	2,00	-	2,086E-07	-	-	-	-	-	-	1
3	1436353	528421,	2,00	-	2,025E-07	-	-	-	-	-	-	3
12	1436403	528755,	2,00	-	1,861E-07	-	-	-	-	-	-	4
6	1436680	522220,	2,00	-	2,238E-07	-	-	-	-	-	-	3
15	1436699	528132,	2,00	-	1,809E-07	-	-	-	-	-	-	1
16	1436969	528128,	2,00	-	1,598E-07	-	-	-	-	-	-	1
4	1437172	526875,	2,00	-	1,567E-07	-	-	-	-	-	-	3
21	1437189	526151,	2,00	-	1,744E-07	-	-	-	-	-	-	1
18	1437214	527335,	2,00	-	1,491E-07	-	-	-	-	-	-	1
13	1437255	526860,	2,00	-	1,508E-07	-	-	-	-	-	-	4
17	1437319	528099,	2,00	-	1,372E-07	-	-	-	-	-	-	1
19	1437450	526785,	2,00	-	1,394E-07	-	-	-	-	-	-	1
20	1437558	526658,	2,00	-	1,358E-07	-	-	-	-	-	-	1

5	1437817	524409,	2,00	-	1,701E-07	-	-	-	-	-	-	3
22	1437886	524620,	2,00	-	1,623E-07	-	-	-	-	-	-	1

Условные обозначения



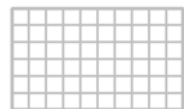
Промышленные зоны



Санитарно-защитные зоны



Расчетные точки



Расчетные площадки

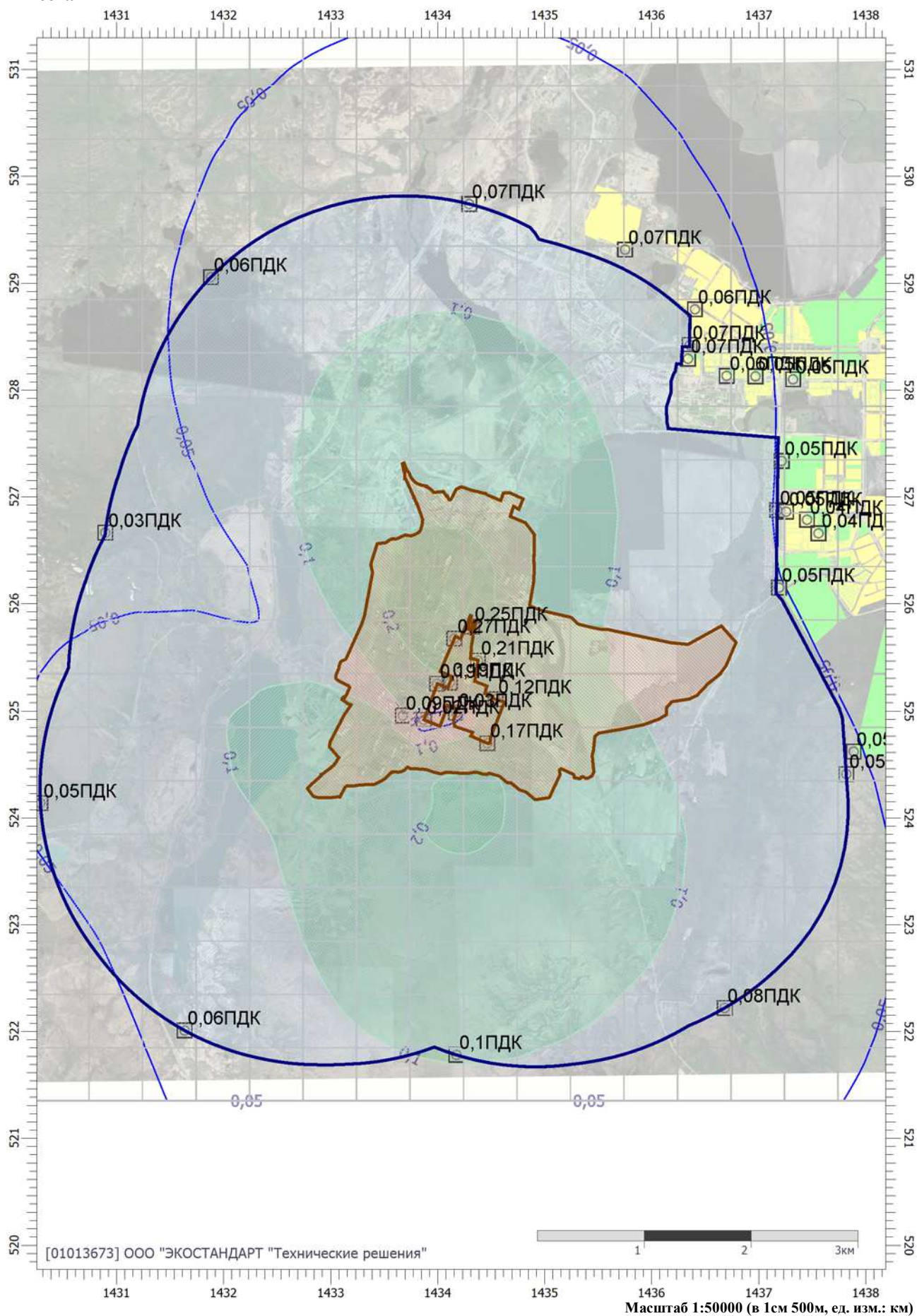
Отчет

Тип расчета: Расчеты по веществам

Код расчета: 0146 (Медь оксид (в пересчете на медь) (Медь окись; тенорит))

Параметр: Концентрация вредного вещества (в долях ПДК)

Высота 2м



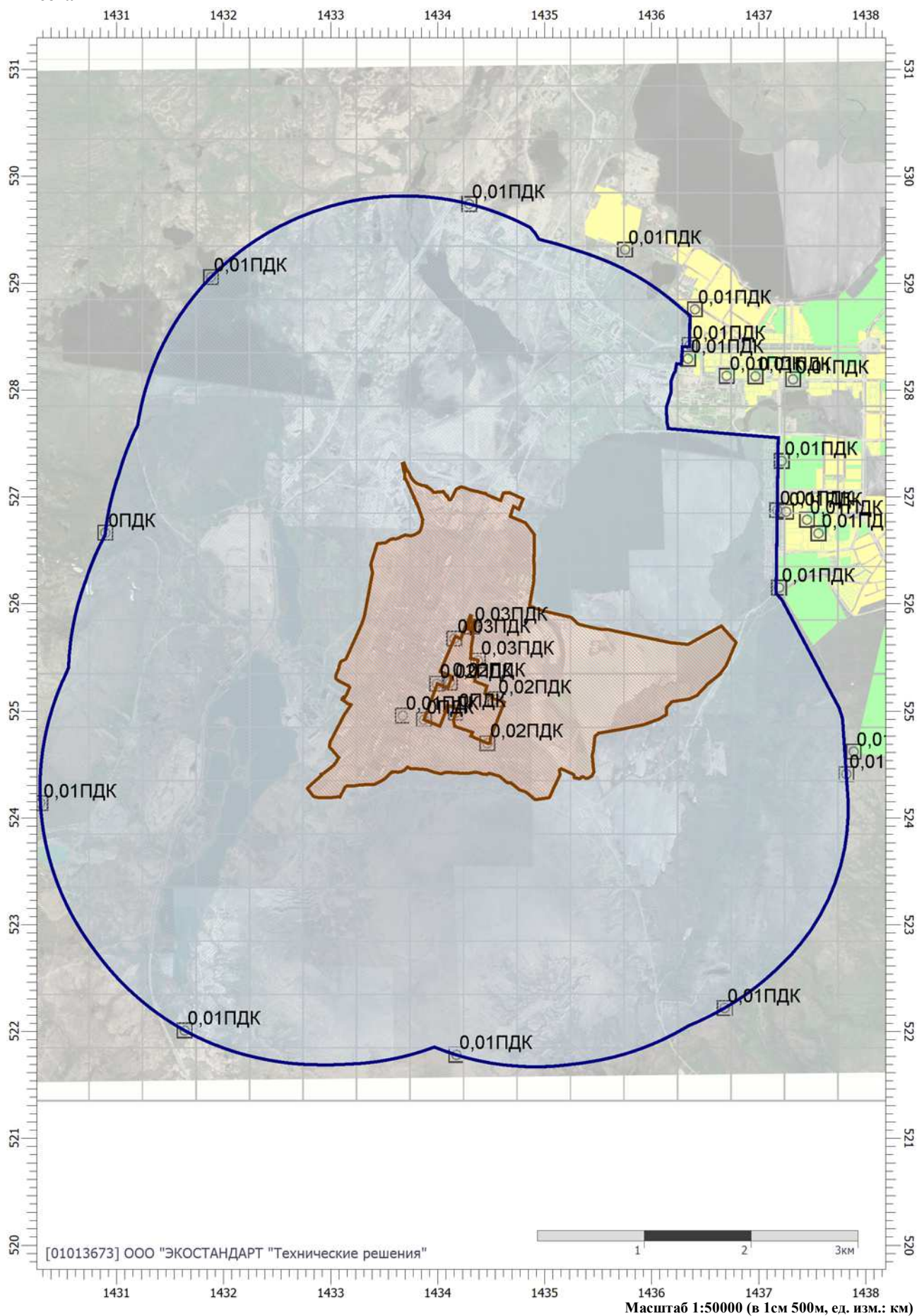
Отчет

Тип расчета: Расчеты по веществам

Код расчета: 0163 (Никель и его соединения)

Параметр: Концентрация вредного вещества (в долях ПДК)

Высота 2м



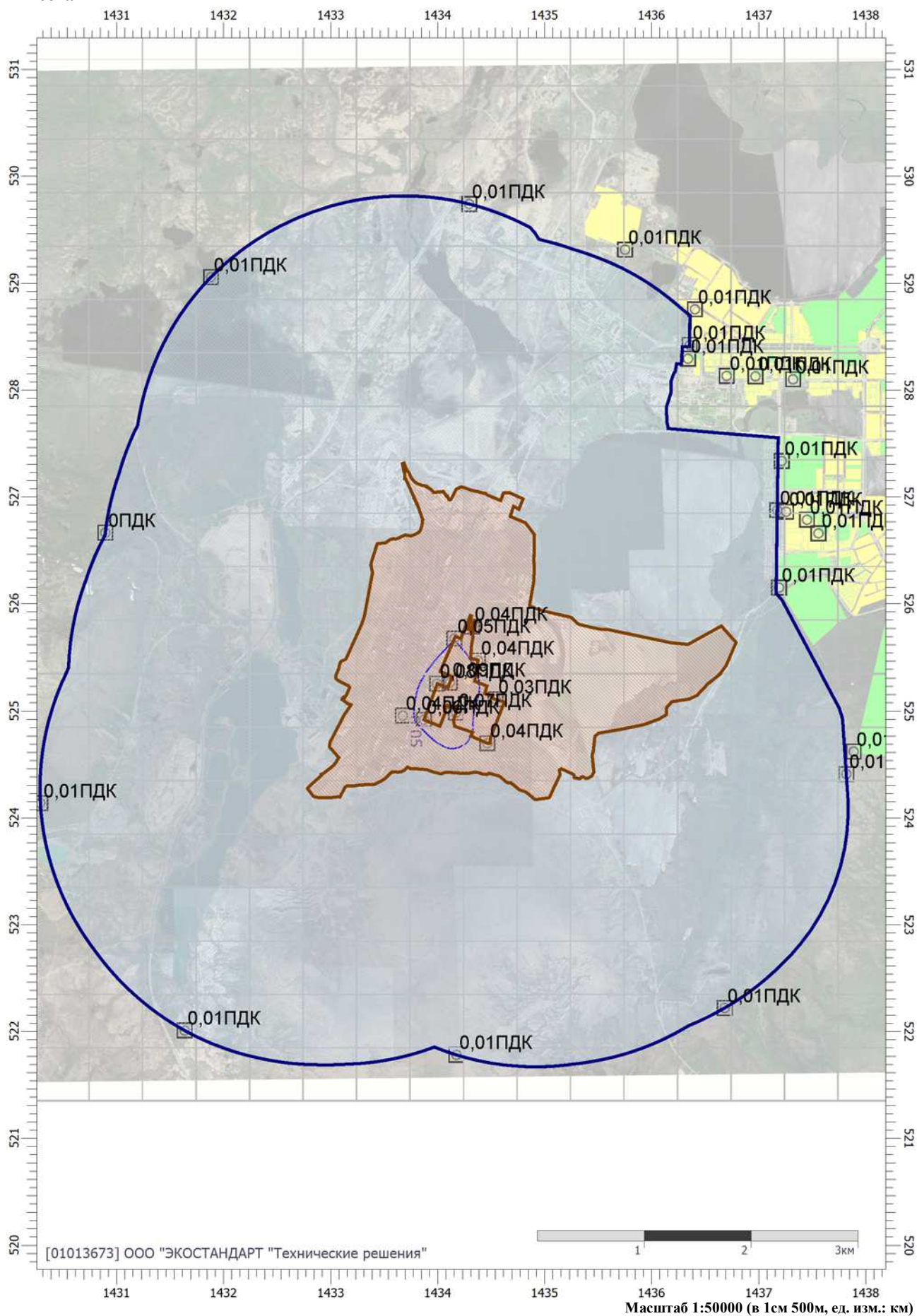
Отчет

Тип расчета: Расчеты по веществам

Код расчета: 0301 (Азота диоксид (Двуокись азота; пероксид азота))

Параметр: Концентрация вредного вещества (в долях ПДК)

Высота 2м



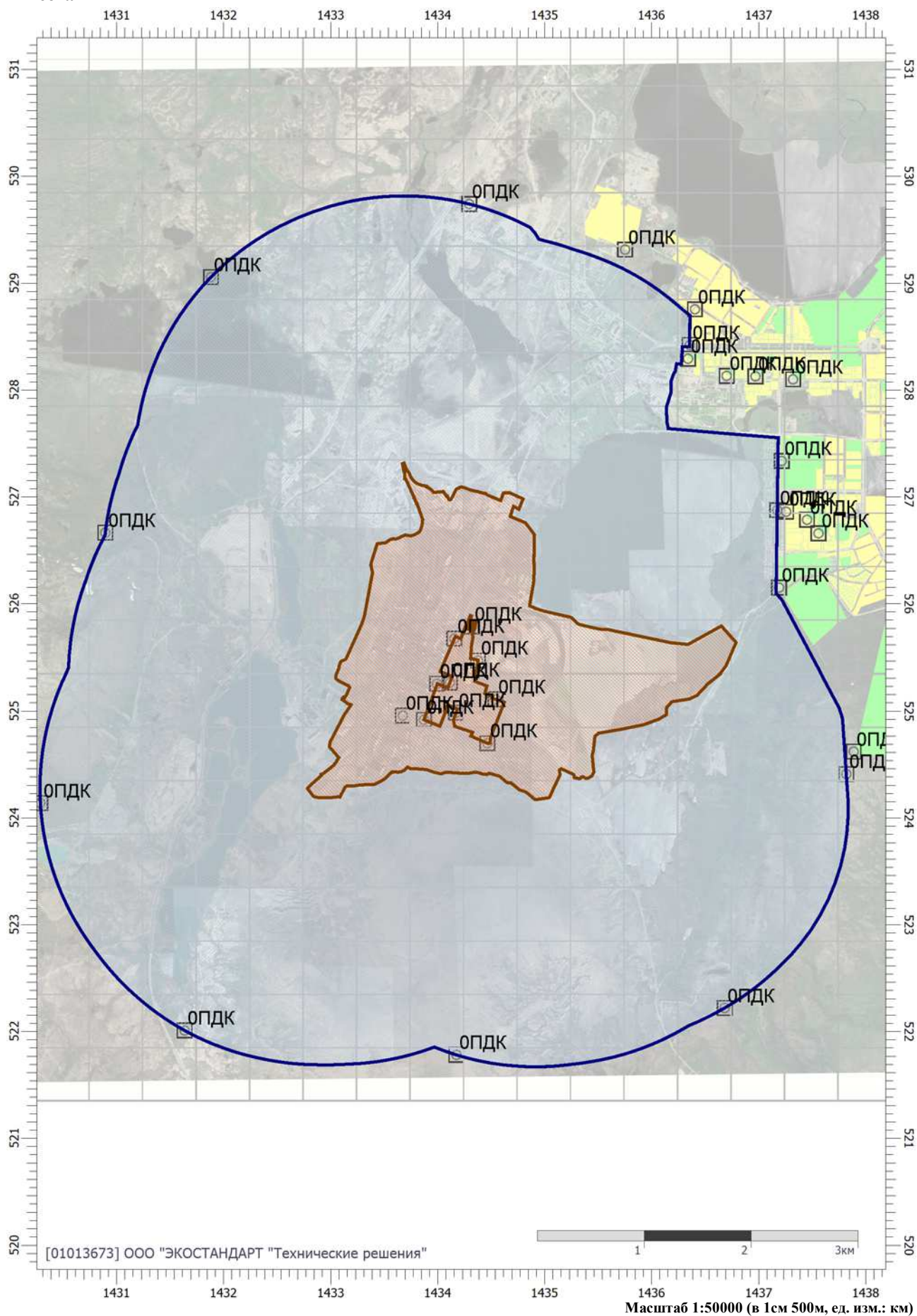
Отчет

Тип расчета: Расчеты по веществам

Код расчета: 0303 (Аммиак (Азота гидрид))

Параметр: Концентрация вредного вещества (в долях ПДК)

Высота 2м



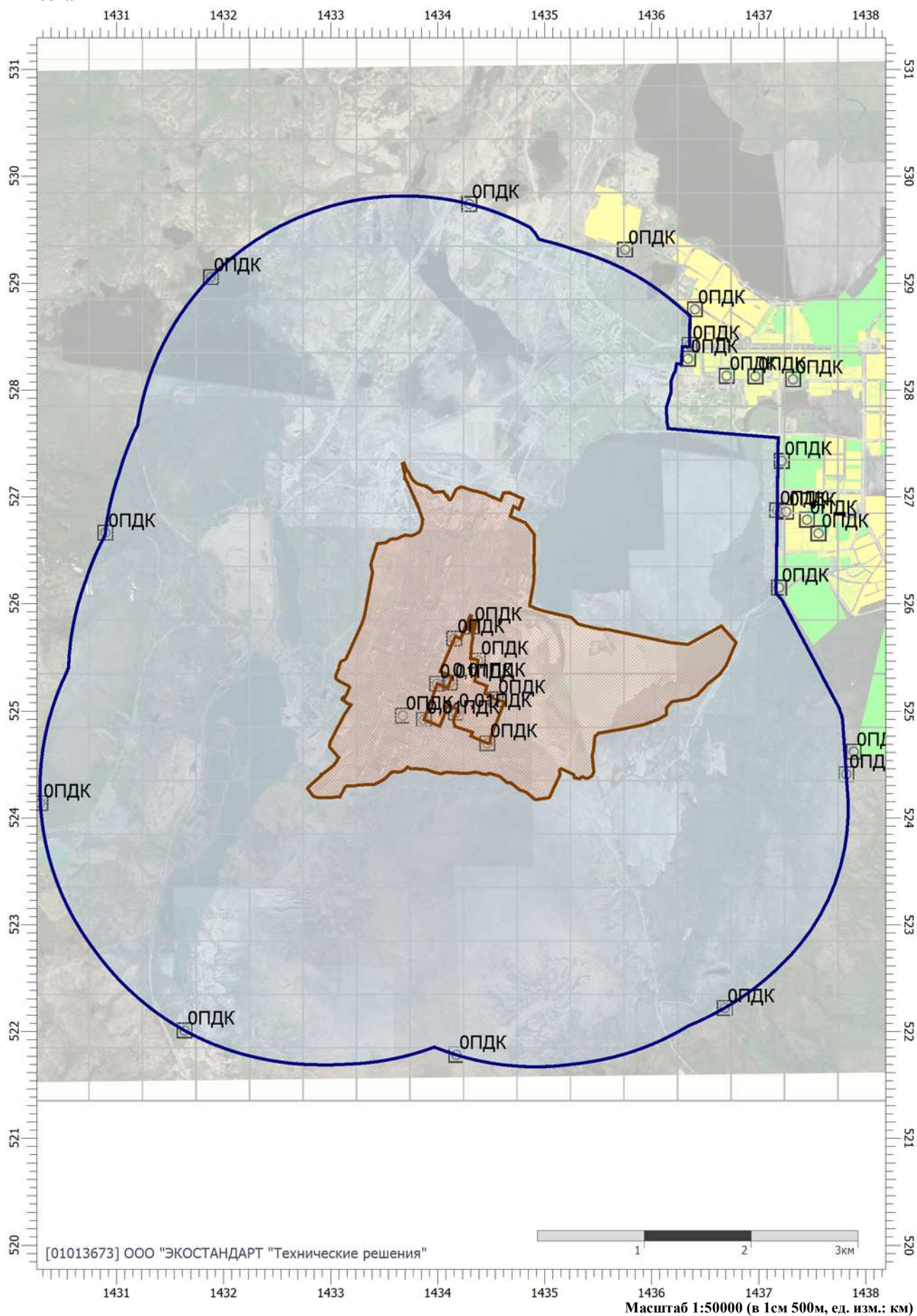
Отчет

Тип расчета: Расчеты по веществам

Код расчета: 0328 (Углерод (Пигмент черный))

Параметр: Концентрация вредного вещества (в долях ПДК)

Высота 2м



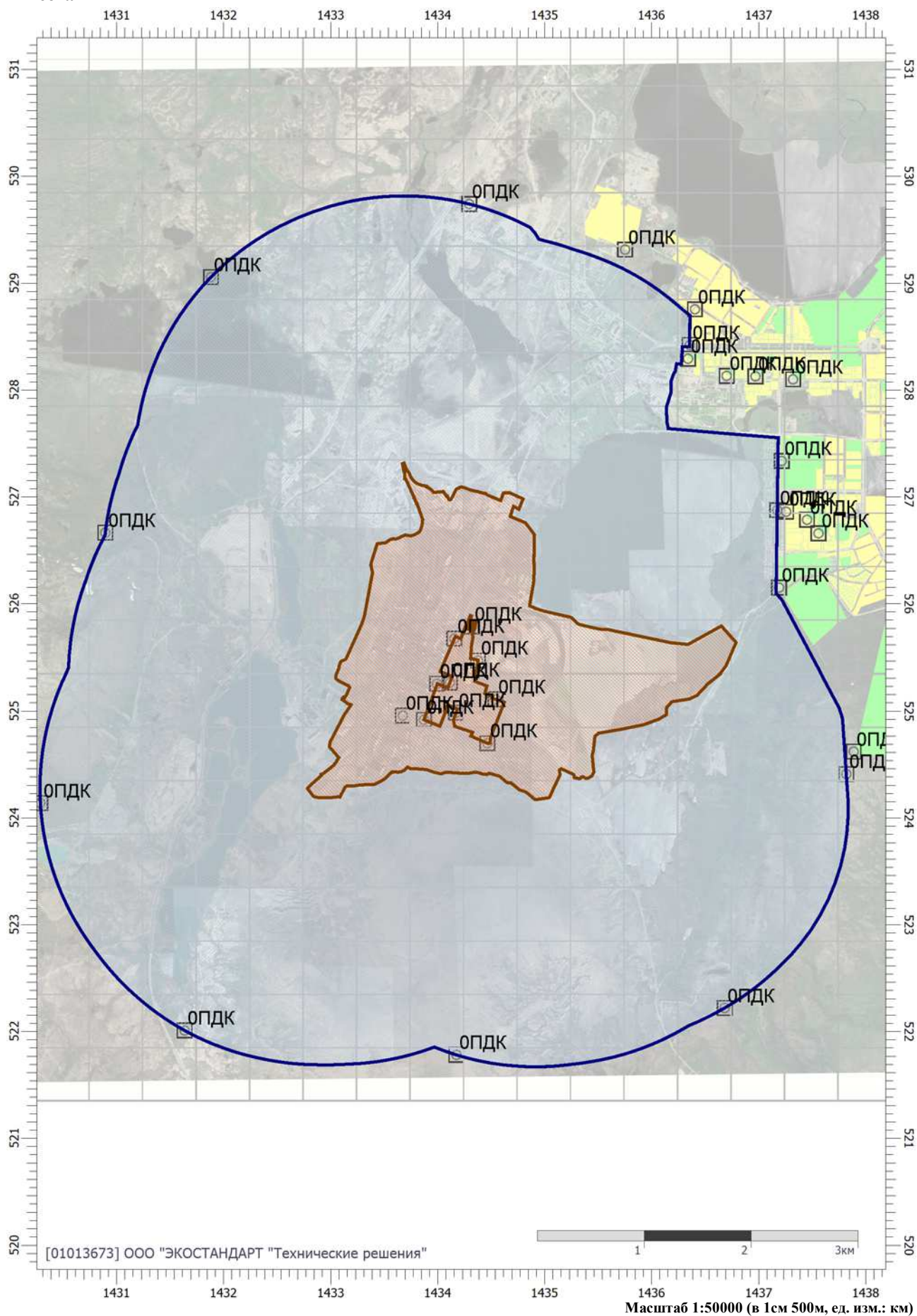
Отчет

Тип расчета: Расчеты по веществам

Код расчета: 0337 (Углерода оксид (Углерод окись; углерод моноокись; угарный газ))

Параметр: Концентрация вредного вещества (в долях ПДК)

Высота 2м



Масштаб 1:50000 (в 1см 500м, ед. изм.: км)



ПРИЛОЖЕНИЕ С

1	2	3	4	5	6	7	8	9	10	11	12	13			
ИШ-4. Проезд грузового автотранспорта (доставка канцелярии, мебели, почты и прочего) [протяжённость источника - 226.2 м]															
Описание источника: Проезд грузового автотранспорта (доставка канцелярии, мебели, почты и прочего)															
Режим работы источника:			непостоянный												
Продолжительность работы в дневной период (7.00-23.00):			16 час												
Продолжительность работы в ночной период (23.00-7.00):			0 час												
Тип источника шума:			автодорога												
Название:			Ширина = 3 м			Кол-во полос = 1			Ширина разд. полосы = 0 м						
Пространственный угол излучения, рад.		$\Omega = 12.57$	исходные данные												
Вид дорожного покрытия			исходные данные		асфальтобетон										
Интенсивность движения N, ед./ч			исходные данные		днём = 1		ночью = 0								
Скорость потока, км/ч			исходные данные		15										
% грузового транспорта в потоке			исходные данные		100										
Расчетная интенсивность движения в дневное время Nd, авт./час			ф-ла (3) [19]		1										
Расчетная интенсивность движения в ночное время Nn, авт./час			ф-ла (4) [19]		0										
Прогнозируемый эквивалентный уровень звука на расстоянии 7.5 м $L_{A_{Tnp7.5}}$, дБА			ф-ла (7) [19]		Днём: 42.3		Ночью: 0								
Поправка на вид дорожного покрытия $\Delta L_{A_{пок}}$, дБА			Табл. 6.5 [19]		0										
Поправка на ширину разделительной полосы $\Delta L_{A_{рп}}$, дБА			Табл. 6.6 [19]		0										
Поправка на пересечение дорог, дБА			исходные данные		0										
* поправка на продольный уклон дорожного полотна учитывается непосредственно при расчёте каждого из точечных эквивалентных источников															
Эквивалентный уровень шума на расстоянии 7.5 м: L_{Tnp} , дБА			ф-ла (1) [19]		Днём - 42.3		Ночью - 0.0								
Максимальный уровень шума на расстоянии 7.5 м: L_{Tnp_max} , дБА			ф-ла (6) [19]		Днём - 63.3		Ночью - 0.0								
Шкала перевода эквивалентного уровня в октавные УЗД, дБ		$L_{корр_авт.}$	табл. 6.8 [19]		0	8,4	2	-1	-3,8	-3,7	-7,4	-12,3	-20,3		
Октавные уровни звукового давления на расстоянии 7.5 м днём: L, дБ			$L_{Tnp} + L_{корр_авт.}$		0	50,7	44,3	41,3	38,5	38,6	34,9	30	22	42,3	63,3
Октавные уровни звукового давления на расстоянии 7.5 м ночью: L, дБ			$L_{Tnp} + L_{корр_авт.}$		0	0	0	0	0	0	0	0	0	0	0
Октавные уровни удельной (на 1 м) звуковой мощности источника днём: L_w , дБ		$R_o = 7.5$ м $l = 226.24$ м	$L_w = L + 10lg(R_o) + 8 - 10lg(2arctg(l/2R_o))$		0	62,6	56,2	53,2	50,4	50,5	46,8	41,9	33,9		
Октавные уровни звуковой мощности максимального звука источника днём: L_{wmax} , дБ		$R_o = 7.5$ м	$L_{wmax} = L_{max} + 20lg(R_o) + 8$		0	97,2	90,8	87,8	85	85,1	81,4	76,5	68,5		
Октавные уровни удельной (на 1 м) звуковой мощности источника ночью: L_w , дБ		$R_o = 7.5$ м $l = 226.24$ м	$L_w = L + 10lg(R_o) + 8 - 10lg(2arctg(l/2R_o))$		0	0	0	0	0	0	0	0	0		
Октавные уровни звуковой мощности максимального звука источника ночью: L_{wmax} , дБ		$R_o = 7.5$ м	$L_{wmax} = L_{max} + 20lg(R_o) + 8$		0	0	0	0	0	0	0	0	0		
Поправка на время работы источника днём ΔT_d , дБ		$\tau = 16$ ч время работы	$10lg(\tau/16)$		0										
Поправка на время работы источника ночью ΔT_n , дБ		$\tau = 0$ ч время работы	$10lg(\tau/8)$		источник не работает в ночное время										
Эквивалентные уровни удельной (на 1м) звуковой мощности источника днём, L_w , дБ			$L_w + \Delta T_d$		0	62,6	56,2	53,2	50,4	50,5	46,8	41,9	33,9		
Эквивалентные уровни удельной (на 1м) звуковой мощности источника ночью, L_w , дБ			$L_w + \Delta T_n$		0	0	0	0	0	0	0	0	0		
ИШ-5. Проведение погрузо-разгрузочных работ [координаты на плане (x,y,z), м = (7013.4,4571.2,1.0)]															
Описание источника: Проведение погрузо-разгрузочных работ															
Режим работы источника:			непостоянный												
Продолжительность работы в дневной период (7.00-23.00):			1 час												
Продолжительность работы в ночной период (23.00-7.00):			0 час												
Тип источника шума:			точечный												
Категория источника шума:			Источники шума на прилегающей территории												
Название:			Разгрузка товаров и погрузка тары с переносом												
Примечание:															
Пространственный угол излучения, рад.		$\Omega = 12.57$	исходные данные												
Уровни звукового давления L на опорном расстоянии d, дБ		d = 7.5 м	[22]		0	67	65	60	58	55	50	46	38		

1	2	3	4	5	6	7	8	9	10	11	12	13
Габариты источника шума, м	исходные данные	длина (l_1) = 0.00			ширина (l_2) = 0.00			высота (l_3) = 0.00				
Октавные уровни звуковой мощности источника L_w , дБ	$L_w = L + 20\lg(d) + 10\lg(\Omega)$	0	95,5	93,5	88,5	86,5	83,5	78,5	74,5	66,5		
Поправка на время работы источника днём ΔT_d , дБ	$\tau = 1$ ч время работы	10 $\lg(\tau/16)$										
Поправка на время работы источника ночью ΔT_n , дБ	$\tau = 0$ ч время работы	10 $\lg(\tau/8)$										
Эквивалентные уровни звуковой мощности источника днём, L_w , дБ	$L_w + \Delta T_d$	0	83,5	81,5	76,5	74,5	71,5	66,5	62,5	54,5		
Эквивалентные уровни звуковой мощности источника ночью, L_w , дБ	$L_w + \Delta T_n$	0	0	0	0	0	0	0	0	0		

ИШ-6. Проезд мусоровоза к мусороуборочной площадке [протяжённость источника - 226.2 м]

Описание источника: Проезд мусоровоза к мусороуборочной площадке

Режим работы источника:				непостоянный									
Продолжительность работы в дневной период (7.00-23.00):				16 час									
Продолжительность работы в ночной период (23.00-7.00):				0 час									
Тип источника шума:				автодорога									
Название:				Ширина = 3 м			Кол-во полос = 1			Ширина разд. полосы = 0 м			
Пространственный угол излучения, рад.		$\Omega = 12.57$	исходные данные										
Вид дорожного покрытия			исходные данные	асфальтобетон									
Интенсивность движения N, ед./ч			исходные данные	днём = 1		ночью = 0							
Скорость потока, км/ч			исходные данные	15									
% грузового транспорта в потоке			исходные данные	100									
Расчетная интенсивность движения в дневное время Nd, авт./час			ф-ла (3) [19]	1									
Расчетная интенсивность движения в ночное время Nn, авт./час			ф-ла (4) [19]	0									
Прогнозируемый эквивалентный уровень звука на расстоянии 7.5 м L _{Артп7,5} дБА			ф-ла (7) [19]	Днём: 42.3			Ночью: 0						
Поправка на вид дорожного покрытия ΔL _{Апокр} дБА			Табл. 6.5 [19]	0									
Поправка на ширину разделительной полосы ΔL _{Арп} дБА			Табл. 6.6 [19]	0									
Поправка на пересечение дорог, дБА			исходные данные	0									
* поправка на продольный уклон дорожного полотна учитывается непосредственно при расчёте каждого из точечных эквивалентных источников													

Эквивалентный уровень шума на расстоянии 7.5 м: L_{Tnp} , дБА		ф-ла (1) [19]	Днём - 42.3			Ночью - 0.0						
Максимальный уровень шума на расстоянии 7.5 м: L_{Tnp_max} , дБА		ф-ла (6) [19]	Днём - 63.3			Ночью - 0.0						
Шкала перевода эквивалентного уровня в октавные УЗД, дБ	$\Delta_{корр_авт.}$	табл. 6.8 [19]	0	8,4	2	-1	-3,8	-3,7	-7,4	-12,3	-20,3	
Октавные уровни звукового давления на расстоянии 7.5 м днём: L , дБ		$L_{Tnp} + \Delta_{корр_авт.}$	0	50,7	44,3	41,3	38,5	38,6	34,9	30	22	42,3
Октавные уровни звукового давления на расстоянии 7.5 м ночью: L , дБ		$L_{Tnp} + \Delta_{корр_авт.}$	0	0	0	0	0	0	0	0	0	0
Октавные уровни удельной (на 1 м) звуковой мощности источника днём: L_w , дБ	$R_0 = 7.5$ м $l = 226.24$ м	$L_w = L + 10\lg(R_0) + 8 - 10\lg(2\arctg(l/2R_0))$	0	62,6	56,2	53,2	50,4	50,5	46,8	41,9	33,9	
Октавные уровни звуковой мощности максимального звука источника днём: L_{wmax} , дБ	$R_0 = 7.5$ м	$L_{wmax} = L_{max} + 20\lg(R_0) + 8$	0	97,2	90,8	87,8	85	85,1	81,4	76,5	68,5	
Октавные уровни удельной (на 1 м) звуковой мощности источника ночью: L_w , дБ	$R_0 = 7.5$ м $l = 226.24$ м	$L_w = L + 10\lg(R_0) + 8 - 10\lg(2\arctg(l/2R_0))$	0	0	0	0	0	0	0	0	0	
Октавные уровни звуковой мощности максимального звука источника ночью: L_{wmax} , дБ	$R_0 = 7.5$ м	$L_{wmax} = L_{max} + 20\lg(R_0) + 8$	0	0	0	0	0	0	0	0	0	
Поправка на время работы источника днём ΔT_d , дБ	$\tau = 16$ ч время работы	10 $\lg(\tau/16)$	0									
Поправка на время работы источника ночью ΔT_n , дБ	$\tau = 0$ ч время работы	10 $\lg(\tau/8)$	источник не работает в ночное время									
Эквивалентные уровни удельной (на 1м) звуковой мощности источника днём, L_w , дБ		$L_w + \Delta T_d$	0	62,6	56,2	53,2	50,4	50,5	46,8	41,9	33,9	
Эквивалентные уровни удельной (на 1м) звуковой мощности источника ночью, L_w , дБ		$L_w + \Delta T_n$	0	0	0	0	0	0	0	0	0	

ИШ-7. Проведение мусороуборочных работ [координаты на плане (x,y,z), м = (7012.1,4574.1,1.0)]

Описание источника: Проведение мусороуборочных работ

Режим работы источника:	непостоянный
-------------------------	--------------

1			2		3	4	5	6	7	8	9	10	11	12	13
Продолжительность работы в дневной период (7.00-23.00):					1 час										
Продолжительность работы в ночной период (23.00-7.00):					0 час										
Тип источника шума:					точечный										
Категория источника шума:					Источники шума на прилегающей территории										
Название:					Мусороуборочные операции										
Примечание:															
Пространственный угол излучения, рад.			$\Omega = 12.57$	исходные данные											
Уровни звукового давления L на опорном расстоянии d, дБ			d = 7.5 м	[22]	0	84	79	76	72	70	66	65	57		
Габариты источника шума, м			исходные данные	длина (l ₁) = 0.00	ширина (l ₂) = 0.00			высота (l ₃) = 0.00							
Октавные уровни звуковой мощности источника Lw, дБ			$L_w = L + 20\lg(d) + 10\lg(\Omega)$	0	112,5	107,5	104,5	100,5	98,5	94,5	93,5	85,5			
Поправка на время работы источника днём ΔTd, дБ			$\tau = 1$ ч время работы	10Lg(τ/16)	-12										
Поправка на время работы источника ночью ΔTн, дБ			$\tau = 0$ ч время работы	10Lg(τ/8)	источник не работает в ночное время										
Эквивалентные уровни звуковой мощности источника днём, Lw, дБ			Lw + ΔTd	0	100,5	95,5	92,5	88,5	86,5	82,5	81,5	73,5			
Эквивалентные уровни звуковой мощности источника ночью, Lw, дБ			Lw + ΔTн	0	0	0	0	0	0	0	0	0			

ИШ-8. Проезд грузового автотранспорта (вывоз контейнеров с контейнерной площадки) [протяжённость источника - 523.8 м]

Описание источника: Проезд грузового автотранспорта (вывоз контейнеров с контейнерной площадки)

Режим работы источника:					непостоянный										
Продолжительность работы в дневной период (7.00-23.00):					16 час										
Продолжительность работы в ночной период (23.00-7.00):					8 час										
Тип источника шума:					автодорога										
Название:					Ширина = 3 м			Кол-во полос = 1			Ширина разд. полосы = 0 м				
Пространственный угол излучения, рад.			$\Omega = 12.57$	исходные данные											
Вид дорожного покрытия			исходные данные		асфальтобетон										
Интенсивность движения N, ед./ч			исходные данные		днём = 1		ночью = 1								
Скорость потока, км/ч			исходные данные		15										
% грузового транспорта в потоке			исходные данные		100										
Расчетная интенсивность движения в дневное время Nd, авт./час			ф-ла (3) [19]		1										
Расчетная интенсивность движения в ночное время Nн, авт./час			ф-ла (4) [19]		1										
Прогнозируемый эквивалентный уровень звука на расстоянии 7.5 м L _{Агрп7.5} , дБА			ф-ла (7) [19]		Днём: 42.3			Ночью: 42.3							
Поправка на вид дорожного покрытия ΔL _{Апокр} , дБА			Табл. 6.5 [19]		0										
Поправка на ширину разделительной полосы ΔL _{Арпл} , дБА			Табл. 6.6 [19]		0										
Поправка на пересечение дорог, дБА			исходные данные		0										
* поправка на продольный уклон дорожного полотна учитывается непосредственно при расчёте каждого из точечных эквивалентных источников															
Эквивалентный уровень шума на расстоянии 7.5 м: L _{тгрп} , дБА			ф-ла (1) [19]		Днём - 42.3			Ночью - 42.3							
Максимальный уровень шума на расстоянии 7.5 м: L _{тгрп_макс} , дБА			ф-ла (6) [19]		Днём - 63.3			Ночью - 63.3							
Шкала перевода эквивалентного уровня в октавные УЗД, дБ			Δ _{корр_авт.}	табл. 6.8 [19]	0	8,4	2	-1	-3,8	-3,7	-7,4	-12,3	-20,3		
Октавные уровни звукового давления на расстоянии 7.5 м днём: L, дБ			L _{тгрп} +Δ _{корр_авт.}		0	50,7	44,3	41,3	38,5	38,6	34,9	30	22	42,3	63,3
Октавные уровни звукового давления на расстоянии 7.5 м ночью: L, дБ			L _{тгрп} +Δ _{корр_авт.}		0	50,7	44,3	41,3	38,5	38,6	34,9	30	22	42,3	63,3
Октавные уровни удельной (на 1 м) звуковой мощности источника днём: Lw, дБ			Ro = 7.5 м l = 523.81 м	$L_w = L + 10\lg(Ro) + 8 - 10\lg(2\arctg(l/2Ro))$	0	62,5	56,1	53,1	50,3	50,4	46,7	41,8	33,8		
Октавные уровни звуковой мощности максимального звука источника днём: Lw _{max} , дБ			Ro = 7.5 м	$L_{wmax} = L_{max} + 20\lg(Ro) + 8$	0	97,2	90,8	87,8	85	85,1	81,4	76,5	68,5		
Октавные уровни удельной (на 1 м) звуковой мощности источника ночью: Lw, дБ			Ro = 7.5 м l = 523.81 м	$L_w = L + 10\lg(Ro) + 8 - 10\lg(2\arctg(l/2Ro))$	0	62,5	56,1	53,1	50,3	50,4	46,7	41,8	33,8		
Октавные уровни звуковой мощности максимального звука источника ночью: Lw _{max} , дБ			Ro = 7.5 м	$L_{wmax} = L_{max} + 20\lg(Ro) + 8$	0	97,2	90,8	87,8	85	85,1	81,4	76,5	68,5		
Поправка на время работы источника днём ΔTd, дБ			$\tau = 16$ ч время работы	10Lg(τ/16)	0										
Поправка на время работы источника ночью ΔTн, дБ			$\tau = 8$ ч время работы	10Lg(τ/8)	0										

1	2	3	4	5	6	7	8	9	10	11	12	13	
Эквивалентные уровни удельной (на 1м ²) звуковой мощности источника днём, Lw, дБ	Lw + ΔTd	0	65,7	63,7	58,7	56,7	53,7	48,7	44,7	36,7			
Эквивалентные уровни удельной (на 1м ²) звуковой мощности источника ночью, Lw, дБ	Lw + ΔTн	0	65,7	63,7	58,7	56,7	53,7	48,7	44,7	36,7			
ИШ-11. Шум от трансформаторов АБК [площадь источника - 12.0 м2]													
Описание источника: Шум от трансформаторов АБК													
Режим работы источника:		постоянный											
Продолжительность работы в дневной период (7.00-23.00):		16 час											
Продолжительность работы в ночной период (23.00-7.00):		8 час											
Тип источника шума:		площадной											
Категория источника шума:													
Вид агрегата/работ:													
Описание агрегата/работ:													
Пространственный угол излучения, рад.	Ω = 3.14	исходные данные											
Октавные уровни удельной (на 1м ²) звуковой мощности источника Lw, дБ		исходные данные	0	56	54	58	58	41	30	26	18		
ИШ-12. ПО1.1 [координаты на плане (x,y,z), м = (7030.8,4659.1,3.0)]													
Описание источника: Приточная установка WNK 250/1													
Режим работы источника:		постоянный											
Продолжительность работы в дневной период (7.00-23.00):		16 час											
Продолжительность работы в ночной период (23.00-7.00):		8 час											
Тип источника шума:		вентиляционная система											
Вентустановка:													
Тип вентсистемы:		приточная											
Пространственный угол излучения, рад.	Ω = 12.57	исходные данные											
Октавные уровни звуковой мощности вентилятора, излучаемой корпусом, Lwвв, дБ		паспортные данные	= 0 (вентилятор в венткамере)										
Октавные уровни звуковой мощности вентилятора, LwA, дБА	на входе	исходные данные	0	0	56	61	65	64	63	60	53		
Октавные уровни звуковой мощности вентилятора без коррекции A, Lw, дБ	на входе	LwA - Акорр.	0	0	72,1	69,6	68,2	64	61,8	59	54,1		
Суммарный (по энергии) уровень звуковой мощности вентсистемы, Lw, дБ		Эн.сум(Lwnp , Lwвв)	0	0	72,1	69,6	68,2	64	61,8	59	54,1		
ИШ-13. ПО2 [координаты на плане (x,y,z), м = (7056.1,4651.9,3.0)]													
Описание источника: Приточная установка WNK 315/1													
Режим работы источника:		постоянный											
Продолжительность работы в дневной период (7.00-23.00):		16 час											
Продолжительность работы в ночной период (23.00-7.00):		8 час											
Тип источника шума:		вентиляционная система											
Вентустановка:													
Тип вентсистемы:		приточная											
Пространственный угол излучения, рад.	Ω = 12.57	исходные данные											
Октавные уровни звуковой мощности вентилятора, излучаемой корпусом, Lwвв, дБ		паспортные данные	= 0 (вентилятор в венткамере)										
Октавные уровни звуковой мощности вентилятора, LwA, дБА	на входе	исходные данные	0	0	54	58	63	63	67	59	57		
Октавные уровни звуковой мощности вентилятора без коррекции A, Lw, дБ	на входе	LwA - Акорр.	0	0	70,1	66,6	66,2	63	65,8	58	58,1		
Суммарный (по энергии) уровень звуковой мощности вентсистемы, Lw, дБ		Эн.сум(Lwnp , Lwвв)	0	0	70,1	66,6	66,2	63	65,8	58	58,1		
ИШ-17. ПО6 [координаты на плане (x,y,z), м = (7021.7,4634.1,4.5)]													
Описание источника: Приточная установка WNP 50-30/25.2D													
Режим работы источника:		постоянный											
Продолжительность работы в дневной период (7.00-23.00):		16 час											
Продолжительность работы в ночной период (23.00-7.00):		8 час											
Тип источника шума:		вентиляционная система											
Вентустановка:													

1			2	3	4	5	6	7	8	9	10	11	12	13
Тип вентсистемы:				приточная										
Пространственный угол излучения, рад.	$\Omega = 12.57$	исходные данные												
Октавные уровни звуковой мощности вентилятора, излучаемой корпусом, L_{wv} , дБ		паспортные данные	= 0 (вентилятор в венткамере)											
Октавные уровни звуковой мощности вентилятора, L_{wA} , дБА	на входе	исходные данные	0	44,1	56,1	64,6	68,8	73,2	73,3	69,1	63			
Октавные уровни звуковой мощности вентилятора без коррекции A, L_w , дБ	на входе	L_{wA} - Акорр.	0	70,3	72,2	73,2	72	73,2	72,1	68,1	64,1			
Суммарный (по энергии) уровень звуковой мощности вентсистемы, L_w , дБ			Эн.сум(L_{wnp} , L_{wv})	0	70,3	72,2	73,2	72	73,2	72,1	68,1	64,1		
ИШ-18. ПО7 [координаты на плане (x,y,z), м = (7021.5,4633.8,3.0)]														
Описание источника: Приточная установка WNK 250/1														
Режим работы источника:			постоянный											
Продолжительность работы в дневной период (7.00-23.00):			16 час											
Продолжительность работы в ночной период (23.00-7.00):			8 час											
Тип источника шума:			вентиляционная система											
Вентустановка:														
Тип вентсистемы:			приточная											
Пространственный угол излучения, рад.	$\Omega = 12.57$	исходные данные												
Октавные уровни звуковой мощности вентилятора, излучаемой корпусом, L_{wv} , дБ		паспортные данные	= 0 (вентилятор в венткамере)											
Октавные уровни звуковой мощности вентилятора, L_{wA} , дБА	на входе	исходные данные	0	0	56	61	65	64	63	60	53			
Октавные уровни звуковой мощности вентилятора без коррекции A, L_w , дБ	на входе	L_{wA} - Акорр.	0	0	72,1	69,6	68,2	64	61,8	59	54,1			
Суммарный (по энергии) уровень звуковой мощности вентсистемы, L_w , дБ			Эн.сум(L_{wnp} , L_{wv})	0	0	72,1	69,6	68,2	64	61,8	59	54,1		
ИШ-19. ПО8 [координаты на плане (x,y,z), м = (7054.1,4653.5,4.5)]														
Описание источника: Приточная установка WNP 50-30/22.2D														
Режим работы источника:			постоянный											
Продолжительность работы в дневной период (7.00-23.00):			16 час											
Продолжительность работы в ночной период (23.00-7.00):			8 час											
Тип источника шума:			вентиляционная система											
Вентустановка:														
Тип вентсистемы:			приточная											
Пространственный угол излучения, рад.	$\Omega = 12.57$	исходные данные												
Октавные уровни звуковой мощности вентилятора, излучаемой корпусом, L_{wv} , дБ		паспортные данные	= 0 (вентилятор в венткамере)											
Октавные уровни звуковой мощности вентилятора, L_{wA} , дБА	на входе	исходные данные	0	43,4	55,3	58,7	66,3	64,4	66,3	64,1	59,1			
Октавные уровни звуковой мощности вентилятора без коррекции A, L_w , дБ	на входе	L_{wA} - Акорр.	0	69,6	71,4	67,3	69,5	64,4	65,1	63,1	60,2			
Суммарный (по энергии) уровень звуковой мощности вентсистемы, L_w , дБ			Эн.сум(L_{wnp} , L_{wv})	0	69,6	71,4	67,3	69,5	64,4	65,1	63,1	60,2		
ИШ-20. В01.1 [координаты на плане (x,y,z), м = (7030.0,4656.3,3.0)]														
Описание источника: Вытяжная установка WNK 200/1														
Режим работы источника:			постоянный											
Продолжительность работы в дневной период (7.00-23.00):			16 час											
Продолжительность работы в ночной период (23.00-7.00):			8 час											
Тип источника шума:			вентиляционная система											
Вентустановка:														
Тип вентсистемы:			вытяжная											
Пространственный угол излучения, рад.	$\Omega = 6.28$	исходные данные												
Октавные уровни звуковой мощности вентилятора, излучаемой корпусом, L_{wv} , дБ		паспортные данные	= 0 (вентилятор в венткамере)											
Октавные уровни звуковой мощности вентилятора, L_{wA} , дБА	на выходе	исходные данные	0	0	57	62	65	61	57	55	47			
Октавные уровни звуковой мощности вентилятора без коррекции A, L_w , дБ	на выходе	L_{wA} - Акорр.	0	0	73,1	70,6	68,2	61	55,8	54	48,1			

1	2	3	4	5	6	7	8	9	10	11	12	13
Описание источника: Прецизионный кондиционер Stulz CCD 151 A / GCHC RD 050												
Режим работы источника:		постоянный										
Продолжительность работы в дневной период (7.00-23.00):		16 час										
Продолжительность работы в ночной период (23.00-7.00):		8 час										
Тип источника шума:		точечный										
Категория источника шума:												
Вид агрегата/работ:												
Описание агрегата/работ:												
Пространственный угол излучения, рад.	$\Omega = 12.57$	исходные данные										
Уровень звука L_a на опорном расстоянии d , дБА	$d = 1 \text{ м}$	исходные данные									60,1	
Габариты источника шума, м		исходные данные	длина (l_1) = 0.00			ширина (l_2) = 0.00			высота (l_3) = 0.00			
Уровни звуковой мощности источника L_{wA} , дБА	$L_{wA} = L_a + 20\lg(d) + 10\lg(\Omega)$										71,1	
Спектральные поправки $K(\Delta_{LA})$ для разложения общего уровня звуковой мощности в спектр по октавным полосам, дБ	[5]	-999	7,1	5,5	1,8	-2,4	-6,4	-10,6	-14	-17,1		
Октавные уровни звуковой мощности источника L_w , дБ	$L_w = L_{wA} + K(\Delta_{LA})$	0	78,2	76,6	72,9	68,7	64,7	60,5	57,1	54		
ИШ-38. В17 [координаты на плане (x,y,z), м = (7051.9,4646.2,10.3)]												
Описание источника: Вытяжная установка WNK 160/1												
Режим работы источника:		постоянный										
Продолжительность работы в дневной период (7.00-23.00):		16 час										
Продолжительность работы в ночной период (23.00-7.00):		8 час										
Тип источника шума:		вентиляционная система										
Вентустановка:												
Тип вентсистемы:		вытяжная										
Пространственный угол излучения, рад.	$\Omega = 6.28$	исходные данные										
Октавные уровни звуковой мощности вентилятора, излучаемой корпусом, L_{wB} , дБ		паспортные данные	= 0 (вентилятор в венткамере)									
Октавные уровни звуковой мощности вентилятора, L_{wA} , дБА	на выходе	исходные данные	0	0	53	62	66	66	57	58	42	
Октавные уровни звуковой мощности вентилятора без коррекции A , L_w , дБ	на выходе	$L_{wA} - A_{корр.}$	0	0	69,1	70,6	69,2	66	55,8	57	43,1	
Суммарный (по энергии) уровень звуковой мощности вентсистемы, L_w , дБ	Эн.сум(L_{wnp} , L_{wB})	0	0	69,1	70,6	69,2	66	55,8	57	43,1		
ИШ-39. К02 [координаты на плане (x,y,z), м = (7028.0,4651.0,3.0)]												
Описание источника: Наружный блок кондиционирования MU-GF35VA-E1												
Режим работы источника:		постоянный										
Продолжительность работы в дневной период (7.00-23.00):		16 час										
Продолжительность работы в ночной период (23.00-7.00):		8 час										
Тип источника шума:		точечный										
Категория источника шума:												
Вид агрегата/работ:												
Описание агрегата/работ:												
Пространственный угол излучения, рад.	$\Omega = 12.57$	исходные данные										
Уровень звука L_a на опорном расстоянии d , дБА	$d = 3 \text{ м}$	исходные данные									49	
Габариты источника шума, м		исходные данные	длина (l_1) = 0.00			ширина (l_2) = 0.00			высота (l_3) = 0.00			
Уровни звуковой мощности источника L_{wA} , дБА	$L_{wA} = L_a + 20\lg(d) + 10\lg(\Omega)$										69,5	
Спектральные поправки $K(\Delta_{LA})$ для разложения общего уровня звуковой мощности в спектр по октавным полосам, дБ	[5]	-999	7,1	5,5	1,8	-2,4	-6,4	-10,6	-14	-17,1		
Октавные уровни звуковой мощности источника L_w , дБ	$L_w = L_{wA} + K(\Delta_{LA})$	0	76,6	75	71,3	67,1	63,1	58,9	55,5	52,4		
ИШ-40. К03 [координаты на плане (x,y,z), м = (7027.9,4650.6,3.0)]												
Описание источника: Наружный блок кондиционирования MU-GF35VA-E1												
Режим работы источника:		постоянный										

1		2	3	4	5	6	7	8	9	10	11	12	13		
Уровни звукового давления L на опорном расстоянии d, дБ		d = 10 м	исходные данные		0	59,9	61,5	72,3	80,7	81,7	77,4	77	76,5		
Габариты источника шума, м		исходные данные	длина (l ₁) = 0.00			ширина (l ₂) = 0.00			высота (l ₃) = 0.00						
Октавные уровни звуковой мощности источника L _w , дБ		L _w = L + 20lg(d) + 10lg(Ω)	0	87,9	89,5	100,3	108,7	109,7	105,4	105	104,5				
ИШ-4. Дверь коллекторной ТЭЦ [координаты на плане (x,y,z), м = (6642.1,5219.4,2.0)]															
Описание источника: Шум проникающий через дверь коллекторной ТЭЦ															
Режим работы источника:			постоянный												
Продолжительность работы в дневной период (7.00-23.00):			16 час												
Продолжительность работы в ночной период (23.00-7.00):			8 час												
Тип источника шума:			точечный												
Категория источника шума:															
Вид агрегата/работ:															
Описание агрегата/работ:															
Пространственный угол излучения, рад.		Ω = 6.28	исходные данные												
Уровни звукового давления L на опорном расстоянии d, дБ		d = 2 м	исходные данные		0	62,9	61,9	57,6	66,4	73,8	78	76,3	72,2		
Габариты источника шума, м		исходные данные	длина (l ₁) = 0.00			ширина (l ₂) = 0.00			высота (l ₃) = 0.00						
Октавные уровни звуковой мощности источника L _w , дБ		L _w = L + 20lg(d) + 10lg(Ω)	0	76,9	75,9	71,6	80,4	87,8	92	90,3	86,2				
ИШ-5. Фасад ТЭЦ, паропроводы [координаты на плане (x,y,z), м = (6671.0,5239.9,2.0)]															
Описание источника: Шум от системы паропроводов у восточного фасада здания ТЭЦ															
Режим работы источника:			постоянный												
Продолжительность работы в дневной период (7.00-23.00):			16 час												
Продолжительность работы в ночной период (23.00-7.00):			8 час												
Тип источника шума:			точечный												
Категория источника шума:															
Вид агрегата/работ:															
Описание агрегата/работ:															
Пространственный угол излучения, рад.		Ω = 6.28	исходные данные												
Уровни звукового давления L на опорном расстоянии d, дБ		d = 3 м	исходные данные		0	63,8	60,6	60,3	62,2	69,3	76,6	76,9	72,9		
Габариты источника шума, м		исходные данные	длина (l ₁) = 0.00			ширина (l ₂) = 0.00			высота (l ₃) = 0.00						
Октавные уровни звуковой мощности источника L _w , дБ		L _w = L + 20lg(d) + 10lg(Ω)	0	81,3	78,1	77,8	79,7	86,8	94,1	94,4	90,4				
ИШ-6. Ворота бойлерной котельной [координаты на плане (x,y,z), м = (6668.0,5232.6,2.0)]															
Описание источника: Шум проникающий через открытый дверной проём помещения бойлерной															
Режим работы источника:			постоянный												
Продолжительность работы в дневной период (7.00-23.00):			16 час												
Продолжительность работы в ночной период (23.00-7.00):			8 час												
Тип источника шума:			точечный												
Категория источника шума:															
Вид агрегата/работ:															
Описание агрегата/работ:															
Пространственный угол излучения, рад.		Ω = 6.28	исходные данные												
Уровни звукового давления L на опорном расстоянии d, дБ		d = 1 м	исходные данные		0	66,2	64,8	64,8	62,2	67,9	69,4	68,5	61,3		
Габариты источника шума, м		исходные данные	длина (l ₁) = 0.00			ширина (l ₂) = 0.00			высота (l ₃) = 0.00						
Октавные уровни звуковой мощности источника L _w , дБ		L _w = L + 20lg(d) + 10lg(Ω)	0	74,2	72,8	72,8	70,2	75,9	77,4	76,5	69,3				
ИШ-7. Ворота котельной [координаты на плане (x,y,z), м = (6687.0,5285.9,2.0)]															
Описание источника: Шум проникающий через открытый проём ворот помещения котельной (восточный фасад)															
Режим работы источника:			постоянный												

1			2		3	4	5	6	7	8	9	10	11	12	13
Продолжительность работы в дневной период (7.00-23.00):					16 час										
Продолжительность работы в ночной период (23.00-7.00):					8 час										
Тип источника шума:					точечный										
Категория источника шума:															
Вид агрегата/работ:															
Описание агрегата/работ:															
Пространственный угол излучения, рад.	$\Omega = 6.28$	исходные данные													
Уровни звукового давления L на опорном расстоянии d, дБ	d = 2 м	исходные данные	0	69,9	68,5	65,2	68,3	67,9	71	70,9	70,4				
Габариты источника шума, м		исходные данные	длина (l ₁) = 0.00			ширина (l ₂) = 0.00			высота (l ₃) = 0.00						
Октавные уровни звуковой мощности источника L _w , дБ		L _w = L + 20lg(d) + 10lg(Ω)	0	83,9	82,5	79,2	82,3	81,9	85	84,9	84,4				
ИШ-8. Оконный проём котельной [координаты на плане (x,y,z), м = (6699.7,5322.1,2.0)]															
Описание источника: Шум проникающий через открытый оконный проём котельной (восточный фасад)															
Режим работы источника:			постоянный												
Продолжительность работы в дневной период (7.00-23.00):			16 час												
Продолжительность работы в ночной период (23.00-7.00):			8 час												
Тип источника шума:			точечный												
Категория источника шума:															
Вид агрегата/работ:															
Описание агрегата/работ:															
Пространственный угол излучения, рад.	$\Omega = 6.28$	исходные данные													
Уровни звукового давления L на опорном расстоянии d, дБ	d = 2 м	исходные данные	0	76,3	74,3	69,8	70,1	64,9	66,4	67,3	66,9				
Габариты источника шума, м		исходные данные	длина (l ₁) = 0.00			ширина (l ₂) = 0.00			высота (l ₃) = 0.00						
Октавные уровни звуковой мощности источника L _w , дБ		L _w = L + 20lg(d) + 10lg(Ω)	0	90,3	88,3	83,8	84,1	78,9	80,4	81,3	80,9				
ИШ-9. Фасад ТЭЦ [координаты на плане (x,y,z), м = (6689.0,5350.6,2.0)]															
Описание источника: Шум проникающий через фасад здания ТЭЦ															
Режим работы источника:			постоянный												
Продолжительность работы в дневной период (7.00-23.00):			16 час												
Продолжительность работы в ночной период (23.00-7.00):			8 час												
Тип источника шума:			точечный												
Категория источника шума:															
Вид агрегата/работ:															
Описание агрегата/работ:															
Пространственный угол излучения, рад.	$\Omega = 6.28$	исходные данные													
Уровни звукового давления L на опорном расстоянии d, дБ	d = 4 м	исходные данные	0	66,7	65,3	65,2	61,3	64,9	67,4	65,5	57,6				
Габариты источника шума, м		исходные данные	длина (l ₁) = 0.00			ширина (l ₂) = 0.00			высота (l ₃) = 0.00						
Октавные уровни звуковой мощности источника L _w , дБ		L _w = L + 20lg(d) + 10lg(Ω)	0	86,7	85,3	85,2	81,3	84,9	87,4	85,5	77,6				
ИШ-10. Оконный проём котельной [координаты на плане (x,y,z), м = (6648.5,5309.7,2.0)]															
Описание источника: Шум проникающий через открытый оконный проём котельной (западный фасад)															
Режим работы источника:			постоянный												
Продолжительность работы в дневной период (7.00-23.00):			16 час												
Продолжительность работы в ночной период (23.00-7.00):			8 час												
Тип источника шума:			точечный												
Категория источника шума:															
Вид агрегата/работ:															
Описание агрегата/работ:															
Пространственный угол излучения, рад.	$\Omega = 6.28$	исходные данные													
Уровни звукового давления L на опорном расстоянии d, дБ	d = 1 м	исходные данные	0	65,1	65	65,4	64,7	66,7	72,2	69,8	65,4				
Габариты источника шума, м		исходные данные	длина (l ₁) = 0.00			ширина (l ₂) = 0.00			высота (l ₃) = 0.00						

1		2	3	4	5	6	7	8	9	10	11	12	13
Уровень звука L_a на опорном расстоянии d , дБА	$d = 3 \text{ м}$	исходные данные										82,8	
Габариты источника шума, м		исходные данные	длина (l_1) = 0.00			ширина (l_2) = 0.00			высота (l_3) = 0.00				
Уровни звуковой мощности источника L_{wA} , дБА		$L_{wA} = L_a + 20\lg(d) + 10\lg(\Omega)$										100,3	
Спектральные поправки $K(\Delta_{LA})$ для разложения общего уровня звуковой мощности в спектр по октавным полосам, дБ		[5]	-999	9,9	9	2,5	-3	-7,3	-11,6	-16,4	-20,7		
Октавные уровни звуковой мощности источника L_w , дБ		$L_w = L_{wA} + K(\Delta_{LA})$	0	110,2	109,3	102,8	97,3	93	88,7	83,9	79,6		

ИШ-28. Шум от 3-х секционной градирни [координаты на плане (x,y,z), м = (6187.4,4858.1,12.5)]

Режим работы источника:			постоянный										
Продолжительность работы в дневной период (7.00-23.00):			16 час										
Продолжительность работы в ночной период (23.00-7.00):			8 час										
Тип источника шума:			точечный										
Категория источника шума:			Источники шума на прилегающей территории										
Название:													
Примечание:													
Пространственный угол излучения, рад.	$\Omega = 6.28$	исходные данные											
Уровень звука L_a на опорном расстоянии d , дБА	$d = 2 \text{ м}$	исходные данные										79	
Габариты источника шума, м		исходные данные	длина (l_1) = 0.00			ширина (l_2) = 0.00			высота (l_3) = 0.00				
Уровни звуковой мощности источника L_{wA} , дБА		$L_{wA} = L_a + 20\lg(d) + 10\lg(\Omega)$										93	
Спектральные поправки $K(\Delta_{LA})$ для разложения общего уровня звуковой мощности в спектр по октавным полосам, дБ		[5]	-999	9,9	9	2,5	-3	-7,3	-11,6	-16,4	-20,7		
Октавные уровни звуковой мощности источника L_w , дБ		$L_w = L_{wA} + K(\Delta_{LA})$	0	102,9	102	95,5	90	85,7	81,4	76,6	72,3		

ИШ-29. Шум проникающий через окна насосной градирни [координаты на плане (x,y,z), м = (6210.7,4793.2,2.0)]

Режим работы источника:			постоянный										
Продолжительность работы в дневной период (7.00-23.00):			16 час										
Продолжительность работы в ночной период (23.00-7.00):			8 час										
Тип источника шума:			точечный										
Категория источника шума:			Источники шума на прилегающей территории										
Название:													
Примечание:													
Пространственный угол излучения, рад.	$\Omega = 6.28$	исходные данные											
Уровень звука L_a на опорном расстоянии d , дБА	$d = 2 \text{ м}$	исходные данные										79	
Габариты источника шума, м		исходные данные	длина (l_1) = 0.00			ширина (l_2) = 0.00			высота (l_3) = 0.00				
Уровни звуковой мощности источника L_{wA} , дБА		$L_{wA} = L_a + 20\lg(d) + 10\lg(\Omega)$										93	
Спектральные поправки $K(\Delta_{LA})$ для разложения общего уровня звуковой мощности в спектр по октавным полосам, дБ		[5]	-999	9,9	9	2,5	-3	-7,3	-11,6	-16,4	-20,7		
Октавные уровни звуковой мощности источника L_w , дБ		$L_w = L_{wA} + K(\Delta_{LA})$	0	102,9	102	95,5	90	85,7	81,4	76,6	72,3		

ИШ-33. Шум проникающий через ворота [координаты на плане (x,y,z), м = (7719.5,5445.0,2.0)]

Режим работы источника:			постоянный										
Продолжительность работы в дневной период (7.00-23.00):			16 час										
Продолжительность работы в ночной период (23.00-7.00):			8 час										
Тип источника шума:			точечный										
Категория источника шума:			Источники шума на прилегающей территории										
Название:													
Примечание:													
Пространственный угол излучения, рад.	$\Omega = 6.28$	исходные данные											
Уровень звука L_a на опорном расстоянии d , дБА	$d = 3 \text{ м}$	исходные данные										75,9	
Габариты источника шума, м		исходные данные	длина (l_1) = 0.00			ширина (l_2) = 0.00			высота (l_3) = 0.00				
Уровни звуковой мощности источника L_{wA} , дБА		$L_{wA} = L_a + 20\lg(d) + 10\lg(\Omega)$										93,4	
Спектральные поправки $K(\Delta_{LA})$ для разложения общего уровня звуковой мощности в спектр по октавным полосам, дБ		[5]	-999	9,9	9	2,5	-3	-7,3	-11,6	-16,4	-20,7		

1			2		3	4	5	6	7	8	9	10	11	12	13
Уровни звукового давления L на опорном расстоянии d, дБ		d = 4 м	исходные данные	0	74	75,3	75,2	78,7	83,4	82	80	75,9			
Габариты источника шума, м			исходные данные	длина (l ₁) = 0.00			ширина (l ₂) = 0.00			высота (l ₃) = 0.00					
Октавные уровни звуковой мощности источника L _w , дБ			L _w = L + 20lg(d) + 10lg(Ω)	0	94	95,3	95,2	98,7	103,4	102	100	95,9			
ИШ-43. Вытяжка линии резки нержавеющей стали [координаты на плане (x,y,z), м = (7028.4,6379.9,2.0)]															
Режим работы источника:			постоянный												
Продолжительность работы в дневной период (7.00-23.00):			16 час												
Продолжительность работы в ночной период (23.00-7.00):			8 час												
Тип источника шума:			точечный												
Категория источника шума:			Источники шума на прилегающей территории												
Название:															
Примечание:															
Пространственный угол излучения, рад.		Ω = 6.28	исходные данные												
Уровни звукового давления L на опорном расстоянии d, дБ		d = 1 м	исходные данные	0	77,4	81,5	78,6	75,1	73,2	67,1	57,8	50,2			
Габариты источника шума, м			исходные данные	длина (l ₁) = 0.00			ширина (l ₂) = 0.00			высота (l ₃) = 0.00					
Октавные уровни звуковой мощности источника L _w , дБ			L _w = L + 20lg(d) + 10lg(Ω)	0	85,4	89,5	86,6	83,1	81,2	75,1	65,8	58,2			
ИШ-44. Сеть циклонов пескоструйного участка [координаты на плане (x,y,z), м = (6994.0,6403.0,6.0)]															
Режим работы источника:			постоянный												
Продолжительность работы в дневной период (7.00-23.00):			16 час												
Продолжительность работы в ночной период (23.00-7.00):			8 час												
Тип источника шума:			точечный												
Категория источника шума:			Источники шума на прилегающей территории												
Название:															
Примечание:															
Пространственный угол излучения, рад.		Ω = 6.28	исходные данные												
Уровни звукового давления L на опорном расстоянии d, дБ		d = 5 м	исходные данные	0	80,6	90,6	80,7	77,5	79	70,9	64,7	56,2			
Габариты источника шума, м			исходные данные	длина (l ₁) = 0.00			ширина (l ₂) = 0.00			высота (l ₃) = 0.00					
Октавные уровни звуковой мощности источника L _w , дБ			L _w = L + 20lg(d) + 10lg(Ω)	0	102,6	112,6	102,7	99,5	101	92,9	86,7	78,2			
ИШ-45. Приток здания химводоподготовки [координаты на плане (x,y,z), м = (6526.3,5253.1,11.0)]															
Режим работы источника:			непостоянный												
Продолжительность работы в дневной период (7.00-23.00):			16 час												
Продолжительность работы в ночной период (23.00-7.00):			0 час												
Тип источника шума:			вентиляционная система												
Вентустановка:			Ц4-70 №4												
Тип вентсистемы:			приточная												
Пространственный угол излучения, рад.		Ω = 6.28	исходные данные												
Октавные уровни звуковой мощности вентилятора, излучаемой корпусом, L _{wb} , дБ			паспортные данные	= 0 (вентилятор в венткамере)											
Октавные уровни звуковой мощности вентилятора, L _w , дБ		на входе	исходные данные	0	68,5	73	71	69,5	62,5	53,5	48	44			
Снижение уровня звуковой мощности в воздуховоде, ΔL _{wb} , дБ	сечение, мм	0	табл. 7.1 [17]	0	24	24	18	12	12	12	12	12			
	длина, м	40													
Снижение уровня звуковой мощности при отражении от открытого конца воздуховода, ΔL _k , дБ	диаметр или корень из площади, мм	280	табл. 7.5 [17]	0	12	8	3	1	0	0	0	0			
Суммарное снижение звуковой мощности, ΔL _{wсети} , дБ			ф-ла (15) [17]	0	36	32	21	13	12	12	12	12			
Октавные уровни звуковой мощности шума, прошедшего через воздуховод, L _{wпр} , дБ			L _{wпр} = L _w - ΔL _{wсети}	0	32,5	41	50	56,5	50,5	41,5	36	32			
Суммарный (по энергии) уровень звуковой мощности вентсистемы, L _w , дБ			Эн.сум(L _{wпр} , L _{wb})	0	32,5	41	50	56,5	50,5	41,5	36	32			
Поправка на время работы источника днём ΔT _д , дБ		τ = 16 ч время работы	10lg(τ/16)	0											
Поправка на время работы источника ночью ΔT _н , дБ		τ = 0 ч время работы	10lg(τ/8)	источник не работает в ночное время											
Эквивалентные уровни звуковой мощности источника днём, L _w , дБ			L _w + ΔT _д	0	32,5	41	50	56,5	50,5	41,5	36	32			

1			2		3	4	5	6	7	8	9	10	11	12	13	
Продолжительность работы в ночной период (23.00-7.00):					0 час											
Тип источника шума:					вентиляционная система											
Вентустановка:					ВЦ 4-70-6,3 975 об/мин											
Тип вентсистемы:					приточная											
Пространственный угол излучения, рад.		$\Omega = 6.28$	исходные данные													
Октавные уровни звуковой мощности вентилятора, излучаемой корпусом, L_{wv} , дБ			паспортные данные		= 0 (вентилятор в венткамере)											
Октавные уровни звуковой мощности вентилятора, L_w , дБ			на входе		исходные данные		0	92	93	97	99	95	90	85	77	
Снижение уровня звуковой мощности в воздуховоде, ΔL_{wv} , дБ	сечение, мм	0	табл. 7.1 [17]	0	6	6	4,5	3	3	3	3	3	3			
	длина, м	10														
Снижение уровня звуковой мощности при отражении от открытого конца воздуховода, ΔL_k , дБ	диаметр или корень из площади, мм	441	табл. 7.5 [17]	0	8	5	1	0	0	0	0	0	0			
Суммарное снижение звуковой мощности, $\Delta L_{w\text{сети}}$, дБ			Ф-ла (15) [17]		0	14	11	5,5	3	3	3	3	3			
Октавные уровни звуковой мощности шума, прошедшего через воздуховод, L_{wnp} , дБ			$L_{wnp} = L_w - \Delta L_{w\text{сети}}$		0	78	82	91,5	96	92	87	82	74			
Суммарный (по энергии) уровень звуковой мощности вентсистемы, L_w , дБ			Эн.сум(L_{wnp} , L_{wv})		0	78	82	91,5	96	92	87	82	74			
Поправка на время работы источника днём ΔT_d , дБ		$\tau = 16$ ч время работы	$10L_g(\tau/16)$		0											
Поправка на время работы источника ночью ΔT_n , дБ		$\tau = 0$ ч время работы	$10L_g(\tau/8)$		источник не работает в ночное время											
Эквивалентные уровни звуковой мощности источника днём, L_w , дБ			$L_w + \Delta T_d$		0	78	82	91,5	96	92	87	82	74			
Эквивалентные уровни звуковой мощности источника ночью, L_w , дБ			$L_w + \Delta T_n$		0	0	0	0	0	0	0	0	0			
ИШ-50. П2 ТЭЦ и котельная, спортивно-оздоровительный комплекс [координаты на плане (x,y,z), м = (6642.6,5250.4,10.0)]																
Режим работы источника:					непостоянный											
Продолжительность работы в дневной период (7.00-23.00):					16 час											
Продолжительность работы в ночной период (23.00-7.00):					0 час											
Тип источника шума:					вентиляционная система											
Вентустановка:					ВО-06-300 № 5											
Тип вентсистемы:					приточная											
Пространственный угол излучения, рад.		$\Omega = 12.57$	исходные данные													
Октавные уровни звуковой мощности вентилятора, излучаемой корпусом, L_{wv} , дБ			паспортные данные		= 0 (вентилятор в венткамере)											
Октавные уровни звуковой мощности вентилятора, L_w , дБ			на входе		исходные данные		0	84	85	85	84	81	75	67	60	
Суммарный (по энергии) уровень звуковой мощности вентсистемы, L_w , дБ			Эн.сум(L_{wnp} , L_{wv})		0	84	85	85	84	81	75	67	60			
Поправка на время работы источника днём ΔT_d , дБ		$\tau = 16$ ч время работы	$10L_g(\tau/16)$		0											
Поправка на время работы источника ночью ΔT_n , дБ		$\tau = 0$ ч время работы	$10L_g(\tau/8)$		источник не работает в ночное время											
Эквивалентные уровни звуковой мощности источника днём, L_w , дБ			$L_w + \Delta T_d$		0	84	85	85	84	81	75	67	60			
Эквивалентные уровни звуковой мощности источника ночью, L_w , дБ			$L_w + \Delta T_n$		0	0	0	0	0	0	0	0	0			
ИШ-51. В1 зданий ТЭЦ и котельной [координаты на плане (x,y,z), м = (6628.9,5213.3,31.0)]																
Режим работы источника:					постоянный											
Продолжительность работы в дневной период (7.00-23.00):					16 час											
Продолжительность работы в ночной период (23.00-7.00):					0 час											
Тип источника шума:					вентиляционная система											
Вентустановка:					ВЦ 4-70-3,15 1350 об/мин											
Тип вентсистемы:					вытяжная											
Пространственный угол излучения, рад.		$\Omega = 12.56$	исходные данные													
Октавные уровни звуковой мощности вентилятора, излучаемой корпусом, L_{wv} , дБ			паспортные данные		= 0 (вентилятор в венткамере)											
Октавные уровни звуковой мощности вентилятора, L_w , дБ			на выходе		исходные данные		0	68	68	76	69	67	65	57	48	
Снижение уровня звуковой мощности в воздуховоде, ΔL_{wv} , дБ	сечение, мм	0	табл. 7.1 [17]	0	12	12	9	6	6	6	6	6	6			
	длина, м	20														
Снижение уровня звуковой мощности при отражении от открытого конца воздуховода, ΔL_k , дБ	диаметр или корень из площади, мм	224	табл. 7.5 [17]	0	14	9	5	1	0	0	0	0				

[illegible]

1			2	3	4	5	6	7	8	9	10	11	12	13	
Снижение уровня звуковой мощности при отражении от открытого конца воздуховода, ΔLк, дБ	диаметр или корень из площади, мм	441	табл. 7.5 [17]	0	8	5	1	0	0	0	0	0			
			Суммарное снижение звуковой мощности, ΔLwсети, дБ	ф-ла (15) [17]	0	26	23	14,5	9	9	9	9	9		
			Октавные уровни звуковой мощности шума, прошедшего через воздуховод, Lwпp, дБ	Lwпp = Lw - ΔLwсети	0	52	55	71,5	70	68	61	58	49		
			Суммарный (по энергии) уровень звуковой мощности вентсистемы, Lw, дБ	Эн.сум(Lwпp , Lwвв)	0	52	55	71,5	70	68	61	58	49		

ИШ-56. П1 водогрейной котельной [координаты на плане (х,у,z), м = (6696.7,5429.4,13.0)]

Режим работы источника:			постоянный											
Продолжительность работы в дневной период (7.00-23.00):			16 час											
Продолжительность работы в ночной период (23.00-7.00):			8 час											
Тип источника шума:			вентиляционная система											
Вентустановка:			ВЦ 4-70-6,3 975 об/мин											
Тип вентсистемы:			приточная											
Пространственный угол излучения, рад.	$\Omega = 6.28$	исходные данные												
Октавные уровни звуковой мощности вентилятора, излучаемой корпусом, $L_{wвв}$, дБ		паспортные данные	= 0 (вентилятор в венткамере)											
Октавные уровни звуковой мощности вентилятора, L_w , дБ		на входе	исходные данные	0	78	78	86	79	77	70	67	58		
Снижение уровня звуковой мощности в воздуховоде, $\Delta L_{вв}$, дБ	сечение, мм	0	табл. 7.1 [17]	0	18	18	13,5	9	9	9	9	9		
	длина, м	30												
Снижение уровня звуковой мощности при отражении от открытого конца воздуховода, ΔL_k , дБ	диаметр или корень из площади, мм	441	табл. 7.5 [17]	0	8	5	1	0	0	0	0	0		
Суммарное снижение звуковой мощности, $\Delta L_{wсети}$, дБ			ф-ла (15) [17]	0	26	23	14,5	9	9	9	9	9		
Октавные уровни звуковой мощности шума, прошедшего через воздуховод, $L_{wпр}$, дБ			$L_{wпр} = L_w - \Delta L_{wсети}$	0	52	55	71,5	70	68	61	58	49		
Суммарный (по энергии) уровень звуковой мощности вентсистемы, L_w , дБ			Эн.сум($L_{wпр}$, $L_{wвв}$)	0	52	55	71,5	70	68	61	58	49		

ИШ-57. В1 водогрейной котельной [координаты на плане (х,у,z), м = (6700.2,5437.8,1.0)]

Режим работы источника:			постоянный												
Продолжительность работы в дневной период (7.00-23.00):			16 час												
Продолжительность работы в ночной период (23.00-7.00):			8 час												
Тип источника шума:			вентиляционная система												
Вентустановка:			ВЦ 4-70-6,3 975 об/мин												
Тип вентсистемы:			вытяжная												
Пространственный угол излучения, рад.		$\Omega = 6.28$	исходные данные												
Октавные уровни звуковой мощности вентилятора, излучаемой корпусом, $L_{wвв}$, дБ			паспортные данные	= 0 (вентилятор в венткамере)											
Октавные уровни звуковой мощности вентилятора, L_w , дБ		на выходе	исходные данные	0	73	73	81	71	72	70	62	53			
Снижение уровня звуковой мощности в воздуховоде, $\Delta L_{вв}$, дБ	сечение, мм	0	табл. 7.1 [17]	0	18	18	13,5	9	9	9	9	9			
	длина, м	30													
Снижение уровня звуковой мощности при отражении от открытого конца воздуховода, ΔL_k , дБ		диаметр или корень из площади, мм	355	табл. 7.5 [17]	0	11	6	2	0	0	0	0			
Суммарное снижение звуковой мощности, $\Delta L_{wсети}$, дБ			ф-ла (15) [17]	0	29	24	15,5	9	9	9	9	9			
Октавные уровни звуковой мощности шума, прошедшего через воздуховод, $L_{wпр}$, дБ			$L_{wпр} = L_w - \Delta L_{wсети}$	0	44	49	65,5	62	63	61	53	44			
Суммарный (по энергии) уровень звуковой мощности вентсистемы, L_w , дБ			Эн.сум($L_{wпр}$, $L_{wвв}$)	0	44	49	65,5	62	63	61	53	44			

ИШ-58. П1 мазутонасосной №1 [координаты на плане (х,у,z), м = (6661.9,5809.2,12.0)]

Режим работы источника:			постоянный											
Продолжительность работы в дневной период (7.00-23.00):			16 час											
Продолжительность работы в ночной период (23.00-7.00):			8 час											
Тип источника шума:			вентиляционная система											
Вентустановка:			ВЦ 4-70-6,3 975 об/мин											
Тип вентсистемы:			приточная											
Пространственный угол излучения, рад.	$\Omega = 6.28$	исходные данные												
Октавные уровни звуковой мощности вентилятора, излучаемой корпусом, $L_{wвв}$, дБ		паспортные данные	= 0 (вентилятор в венткамере)											
Октавные уровни звуковой мощности вентилятора, L_w , дБ		на входе	исходные данные	0	78	78	86	79	77	70	67	58		

1			2	3	4	5	6	7	8	9	10	11	12	13			
Снижение уровня звуковой мощности при отражении от открытого конца воздуховода, ΔL_k , дБ	диаметр или корень из площади, мм	441	табл. 7.5 [17]	0	8	5	1	0	0	0	0	0					
			Суммарное снижение звуковой мощности, $\Delta L_{w\text{сети}}$, дБ			ф-ла (15) [17]	0	12,8	9,8	4,6	2,4	2,4	2,4	2,4			
			Октавные уровни звуковой мощности шума, прошедшего через воздуховод, L_{wpr} , дБ			$L_{wpr} = L_w - \Delta L_{w\text{сети}}$	0	68,2	71,2	84,4	79,6	77,6	70,6	67,6	58,6		
			Суммарный (по энергии) уровень звуковой мощности вентсистемы, L_w , дБ			Эн.сум(L_{wpr} , $L_{wвв}$)	0	68,2	71,2	84,4	79,6	77,6	70,6	67,6	58,6		

ИШ-62. П1 мазутонасосной №4 [координаты на плане (x,y,z), м = (6526.7,5331.7,7.7)]

Режим работы источника:			постоянный												
Продолжительность работы в дневной период (7.00-23.00):			16 час												
Продолжительность работы в ночной период (23.00-7.00):			8 час												
Тип источника шума:			вентиляционная система												
Вентустановка:			ВЦ 4-70-10 980 об/мин												
Тип вентсистемы:			приточная												
Пространственный угол излучения, рад.		$\Omega = 6.28$	исходные данные												
Октавные уровни звуковой мощности вентилятора, излучаемой корпусом, $L_{wвв}$, дБ			паспортные данные	= 0 (вентилятор в венткамере)											
Октавные уровни звуковой мощности вентилятора, L_w , дБ		на входе	исходные данные	0	92	92	97	93	91	88	83	76			
Снижение уровня звуковой мощности в воздуховоде, $\Delta L_{wв}$, дБ	сечение, мм	0	табл. 7.1 [17]	0	6	6	4,5	3	3	3	3	3			
	длина, м	10													
Снижение уровня звуковой мощности при отражении от открытого конца воздуховода, ΔL_k , дБ		диаметр или корень из площади, мм	875	табл. 7.5 [17]	0	5	2	0	0	0	0	0			
Суммарное снижение звуковой мощности, $\Delta L_{wсети}$, дБ			ф-ла (15) [17]	0	11	8	4,5	3	3	3	3	3			
Октавные уровни звуковой мощности шума, прошедшего через воздуховод, $L_{wпр}$, дБ			$L_{wпр} = L_w - \Delta L_{wсети}$	0	81	84	92,5	90	88	85	80	73			
Суммарный (по энергии) уровень звуковой мощности вентсистемы, L_w , дБ			Эн.сум($L_{wпр}$, $L_{wвв}$)	0	81	84	92,5	90	88	85	80	73			

ИШ-63. ПЗ мазутонасосной №4 [координаты на плане (x,y,z), м = (6530.0,5340.0,7.7)]

Режим работы источника:			постоянный												
Продолжительность работы в дневной период (7.00-23.00):			16 час												
Продолжительность работы в ночной период (23.00-7.00):			8 час												
Тип источника шума:			вентиляционная система												
Вентустановка:			Россия ВР-300-45-4(1430об/мин)												
Тип вентсистемы:			приточная												
Пространственный угол излучения, рад.		$\Omega = 6.28$	исходные данные												
Октавные уровни звуковой мощности вентилятора, излучаемой корпусом, $L_{wвв}$, дБ			паспортные данные	= 0 (вентилятор в венткамере)											
Октавные уровни звуковой мощности вентилятора, L_w , дБ		на входе	исходные данные	0	87	89	90	89	91	88	85	72			
Снижение уровня звуковой мощности в воздуховоде, $\Delta L_{wв}$, дБ	сечение, мм	0	табл. 7.1 [17]	0	4,8	4,8	3,6	2,4	2,4	2,4	2,4	2,4			
	длина, м	8													
Снижение уровня звуковой мощности при отражении от открытого конца воздуховода, ΔL_k , дБ		диаметр или корень из площади, мм	280	табл. 7.5 [17]	0	12	8	3	1	0	0	0			
Суммарное снижение звуковой мощности, $\Delta L_{wсети}$, дБ			ф-ла (15) [17]	0	16,8	12,8	6,6	3,4	2,4	2,4	2,4	2,4			
Октавные уровни звуковой мощности шума, прошедшего через воздуховод, $L_{wпр}$, дБ			$L_{wпр} = L_w - \Delta L_{wсети}$	0	70,2	76,2	83,4	85,6	88,6	85,6	82,6	69,6			
Суммарный (по энергии) уровень звуковой мощности вентсистемы, L_w , дБ			Эн.сум($L_{wпр}$, $L_{wвв}$)	0	70,2	76,2	83,4	85,6	88,6	85,6	82,6	69,6			

ИШ-64. В1 мазутонасосной №4 [координаты на плане (x,y,z), м = (6526.0,5330.1,7.7)]

Режим работы источника:			постоянный											
Продолжительность работы в дневной период (7.00-23.00):			16 час											
Продолжительность работы в ночной период (23.00-7.00):			8 час											
Тип источника шума:			вентиляционная система											
Вентустановка:			ВЦ 4-70-10 980 об/мин											
Тип вентсистемы:			вытяжная											
Пространственный угол излучения, рад.	$\Omega = 6.28$	исходные данные												
Октавные уровни звуковой мощности вентилятора, излучаемой корпусом, $L_{wвв}$, дБ		паспортные данные	= 0 (вентилятор в венткамере)											
Октавные уровни звуковой мощности вентилятора, L_w , дБ		на выходе	исходные данные	0	95	95	100	96	94	91	86	79		

1			2	3	4	5	6	7	8	9	10	11	12	13
Октавные уровни звуковой мощности вентилятора, L_w , дБ		на входе	исходные данные	0	64	64	72	65	65	60	52	42		
Снижение уровня звуковой мощности в воздуховоде, ΔL_{wv} , дБ	сечение, мм	0	табл. 7.1 [17]	0	3	3	2,2	1,5	1,5	1,5	1,5	1,5		
	длина, м	5												
Снижение уровня звуковой мощности при отражении от открытого конца воздуховода, ΔL_k , дБ		диаметр или корень из площади, мм	табл. 7.5 [17]	0	14	10	6	2	0	0	0	0		
Суммарное снижение звуковой мощности, $\Delta L_{w\text{сети}}$, дБ			ф-ла (15) [17]	0	17	13	8,2	3,5	1,5	1,5	1,5	1,5		
Октавные уровни звуковой мощности шума, прошедшего через воздуховод, L_{wpr} , дБ			$L_{wpr} = L_w - \Delta L_{w\text{сети}}$	0	47	51	63,8	61,5	63,5	58,5	50,5	40,5		
Суммарный (по энергии) уровень звуковой мощности вентсистемы, L_w , дБ			Эн.сум(L_{wpr} , L_{wvv})	0	47	51	63,8	61,5	63,5	58,5	50,5	40,5		

ИШ-68. П9 КВО прямом блока КА-15 [координаты на плане (x,y,z), м = (6811.0,4704.6,12.8)]

Режим работы источника:				постоянный											
Продолжительность работы в дневной период (7.00-23.00):				16 час											
Продолжительность работы в ночной период (23.00-7.00):				8 час											
Тип источника шума:				вентиляционная система											
Вентустановка:				ВЦ 4-70-4 880 об/мин											
Тип вентсистемы:				приточная											
Пространственный угол излучения, рад.		$\Omega = 6.28$	исходные данные												
Октавные уровни звуковой мощности вентилятора, излучаемой корпусом, L_{wvv} , дБ			паспортные данные	= 0 (вентилятор в венткамере)											
Октавные уровни звуковой мощности вентилятора, L_w , дБ		на входе	исходные данные	0	64	64	72	65	65	60	52	42			
Снижение уровня звуковой мощности в воздуховоде, ΔL_{wv} , дБ	сечение, мм	0	табл. 7.1 [17]	0	3	3	2,2	1,5	1,5	1,5	1,5	1,5			
	длина, м	5													
Снижение уровня звуковой мощности при отражении от открытого конца воздуховода, ΔL_k , дБ	диаметр или корень из площади, мм	200	табл. 7.5 [17]	0	14	10	6	2	0	0	0	0			
Суммарное снижение звуковой мощности, $\Delta L_{w\text{сети}}$, дБ			ф-ла (15) [17]	0	17	13	8,2	3,5	1,5	1,5	1,5	1,5			
Октавные уровни звуковой мощности шума, прошедшего через воздуховод, L_{wpr} , дБ			$L_{wpr} = L_w - \Delta L_{w\text{сети}}$	0	47	51	63,8	61,5	63,5	58,5	50,5	40,5			
Суммарный (по энергии) уровень звуковой мощности вентсистемы, L_w , дБ			Эн.сум(L_{wpr} , L_{wvv})	0	47	51	63,8	61,5	63,5	58,5	50,5	40,5			

ИШ-69. П 11 склад КВО [координаты на плане (x,y,z), м = (6923.8,4693.9,12.0)]

Режим работы источника:			постоянный											
Продолжительность работы в дневной период (7.00-23.00):			16 час											
Продолжительность работы в ночной период (23.00-7.00):			8 час											
Тип источника шума:			вентиляционная система											
Вентустановка:			Россия ВР-300-45-2,5(1350об/мин)											
Тип вентсистемы:			приточная											
Пространственный угол излучения, рад.	$\Omega = 6.28$	исходные данные												
Октавные уровни звуковой мощности вентилятора, излучаемой корпусом, Lwвв, дБ		паспортные данные	= 0 (вентилятор в венткамере)											
Октавные уровни звуковой мощности вентилятора, Lw, дБ	на входе	исходные данные	0	73	73	74	75	76	71	69	67			
Суммарный (по энергии) уровень звуковой мощности вентсистемы, Lw, дБ		Эн.сум(Lwnр , Lwвв)	0	73	73	74	75	76	71	69	67			

ИШ-70. В24 сварочной мастерской [координаты на плане (x,y,z), м = (6789.0,4724.0,26.5)]

Режим работы источника:				непостоянный											
Продолжительность работы в дневной период (7.00-23.00):				16 час											
Продолжительность работы в ночной период (23.00-7.00):				0 час											
Тип источника шума:				вентиляционная система											
Вентустановка:															
Тип вентсистемы:				вытяжная											
Пространственный угол излучения, рад.		$\Omega = 6.28$	исходные данные												
Октавные уровни звуковой мощности вентилятора, излучаемой корпусом, L_{wvv} , дБ			паспортные данные	= 0 (вентилятор в венткамере)											
Октавные уровни звуковой мощности вентилятора, L_w , дБ		на выходе	исходные данные	0	61	61	69	62	60	58	50	41			
Снижение уровня звуковой мощности в воздуховоде, ΔL_{wv} , дБ	сечение, мм	0	табл. 7.1 [17]	0	3	3	2,2	1,5	1,5	1,5	1,5	1,5			
	длина, м	5													
Снижение уровня звуковой мощности при отражении от открытого конца воздуховода, ΔL_k , дБ	диаметр или корень из площади, мм	200	табл. 7.5 [17]	0	14	10	6	2	0	0	0	0			

1		2	3	4	5	6	7	8	9	10	11	12	13
Октавные уровни звуковой мощности вентилятора, излучаемой корпусом, L_{wB} , дБ		паспортные данные	= 0 (вентилятор в венткамере)										
Октавные уровни звуковой мощности вентилятора, L_w , дБ	на выходе	исходные данные	0	42	45	65	59,5	55,5	55,5	49,5	40,5		
Суммарный (по энергии) уровень звуковой мощности вентсистемы, L_w , дБ		Эн.сум(L_{wnp} , L_{wB})	0	42	45	65	59,5	55,5	55,5	49,5	40,5		
ИШ-86. ВЗ-1 баллононаполнительная станция [координаты на плане (x,y,z), м = (6927.0,4250.1,1.0)]													
Режим работы источника:		постоянный											
Продолжительность работы в дневной период (7.00-23.00):		16 час											
Продолжительность работы в ночной период (23.00-7.00):		0 час											
Тип источника шума:		вентиляционная система											
Вентустановка:		ВЦ 4-76№8											
Тип вентсистемы:		вытяжная											
Пространственный угол излучения, рад.	$\Omega = 6.28$	исходные данные											
Октавные уровни звуковой мощности вентилятора, излучаемой корпусом, L_{wB} , дБ		паспортные данные	= 0 (вентилятор в венткамере)										
Октавные уровни звуковой мощности вентилятора, L_w , дБ	на выходе	исходные данные	0	85	85	93	88	82	79	74	72		
Суммарный (по энергии) уровень звуковой мощности вентсистемы, L_w , дБ		Эн.сум(L_{wnp} , L_{wB})	0	85	85	93	88	82	79	74	72		
ИШ-87. ВЗ-2 баллононаполнительной станции [координаты на плане (x,y,z), м = (6938.7,4254.3,7.8)]													
Режим работы источника:		постоянный											
Продолжительность работы в дневной период (7.00-23.00):		16 час											
Продолжительность работы в ночной период (23.00-7.00):		0 час											
Тип источника шума:		вентиляционная система											
Вентустановка:		ВЦ 4-76№8											
Тип вентсистемы:		вытяжная											
Пространственный угол излучения, рад.	$\Omega = 6.28$	исходные данные											
Октавные уровни звуковой мощности вентилятора, излучаемой корпусом, L_{wB} , дБ		паспортные данные	= 0 (вентилятор в венткамере)										
Октавные уровни звуковой мощности вентилятора, L_w , дБ	на выходе	исходные данные	0	85	85	93	88	82	79	74	72		
Суммарный (по энергии) уровень звуковой мощности вентсистемы, L_w , дБ		Эн.сум(L_{wnp} , L_{wB})	0	85	85	93	88	82	79	74	72		
ИШ-88. ВЗ-3 баллононаполнительная станция [координаты на плане (x,y,z), м = (6916.2,4222.0,7.8)]													
Режим работы источника:		постоянный											
Продолжительность работы в дневной период (7.00-23.00):		16 час											
Продолжительность работы в ночной период (23.00-7.00):		0 час											
Тип источника шума:		вентиляционная система											
Вентустановка:		ВЦ 4-76№8											
Тип вентсистемы:		вытяжная											
Пространственный угол излучения, рад.	$\Omega = 6.28$	исходные данные											
Октавные уровни звуковой мощности вентилятора, излучаемой корпусом, L_{wB} , дБ		паспортные данные	= 0 (вентилятор в венткамере)										
Октавные уровни звуковой мощности вентилятора, L_w , дБ	на выходе	исходные данные	0	85	85	93	88	82	79	74	72		
Суммарный (по энергии) уровень звуковой мощности вентсистемы, L_w , дБ		Эн.сум(L_{wnp} , L_{wB})	0	85	85	93	88	82	79	74	72		
ИШ-96. П1 ВДС№2 [координаты на плане (x,y,z), м = (6538.1,4381.4,14.5)]													
Режим работы источника:		постоянный											
Продолжительность работы в дневной период (7.00-23.00):		16 час											
Продолжительность работы в ночной период (23.00-7.00):		8 час											
Тип источника шума:		вентиляционная система											
Вентустановка:		ВЦ 4-70-10											
Тип вентсистемы:		приточная											
Пространственный угол излучения, рад.	$\Omega = 6.28$	исходные данные											
Октавные уровни звуковой мощности вентилятора, излучаемой корпусом, L_{wB} , дБ		паспортные данные	= 0 (вентилятор в венткамере)										
Октавные уровни звуковой мощности вентилятора, L_w , дБ	на входе	исходные данные	0	71	75	75,5	74	67	60	51	40		
Суммарный (по энергии) уровень звуковой мощности вентсистемы, L_w , дБ		Эн.сум(L_{wnp} , L_{wB})	0	71	75	75,5	74	67	60	51	40		

1	2	3	4	5	6	7	8	9	10	11	12	13
ИШ-97. П2 ВДС№2 [координаты на плане (x,y,z), м = (6528.6,4358.2,14.5)]												
Режим работы источника:			постоянный									
Продолжительность работы в дневной период (7.00-23.00):			16 час									
Продолжительность работы в ночной период (23.00-7.00):			8 час									
Тип источника шума:			вентиляционная система									
Вентустановка:			ВЦ 4-70-5									
Тип вентсистемы:			приточная									
Пространственный угол излучения, рад.	$\Omega = 6.28$	исходные данные										
Октавные уровни звуковой мощности вентилятора, излучаемой корпусом, L_{wv} , дБ		паспортные данные	= 0 (вентилятор в венткамере)									
Октавные уровни звуковой мощности вентилятора, L_w , дБ	на входе	исходные данные	0	50	54	66,5	57	54	50	40	29	
Суммарный (по энергии) уровень звуковой мощности вентсистемы, L_w , дБ		Эн.сум(L_{wnp} , L_{wv})	0	50	54	66,5	57	54	50	40	29	
ИШ-98. П3 ВДС№2 [координаты на плане (x,y,z), м = (6527.6,4354.6,14.5)]												
Режим работы источника:			постоянный									
Продолжительность работы в дневной период (7.00-23.00):			16 час									
Продолжительность работы в ночной период (23.00-7.00):			8 час									
Тип источника шума:			вентиляционная система									
Вентустановка:			ВЦ 4-70-5									
Тип вентсистемы:			приточная									
Пространственный угол излучения, рад.	$\Omega = 6.28$	исходные данные										
Октавные уровни звуковой мощности вентилятора, излучаемой корпусом, L_{wv} , дБ		паспортные данные	= 0 (вентилятор в венткамере)									
Октавные уровни звуковой мощности вентилятора, L_w , дБ	на входе	исходные данные	0	50	54	66,5	57	54	50	40	29	
Суммарный (по энергии) уровень звуковой мощности вентсистемы, L_w , дБ		Эн.сум(L_{wnp} , L_{wv})	0	50	54	66,5	57	54	50	40	29	
ИШ-99. П4 ВДС№2 [координаты на плане (x,y,z), м = (6539.5,4385.6,14.5)]												
Режим работы источника:			постоянный									
Продолжительность работы в дневной период (7.00-23.00):			16 час									
Продолжительность работы в ночной период (23.00-7.00):			8 час									
Тип источника шума:			вентиляционная система									
Вентустановка:			ВЦ 4-70-6,3									
Тип вентсистемы:			приточная									
Пространственный угол излучения, рад.	$\Omega = 6.28$	исходные данные										
Октавные уровни звуковой мощности вентилятора, излучаемой корпусом, L_{wv} , дБ		паспортные данные	= 0 (вентилятор в венткамере)									
Октавные уровни звуковой мощности вентилятора, L_w , дБ	на входе	исходные данные	0	58	62	74,5	68	62	53	48	37	
Суммарный (по энергии) уровень звуковой мощности вентсистемы, L_w , дБ		Эн.сум(L_{wnp} , L_{wv})	0	58	62	74,5	68	62	53	48	37	
ИШ-100. П5 ВДС№2 [координаты на плане (x,y,z), м = (6536.6,4377.5,14.5)]												
Режим работы источника:			постоянный									
Продолжительность работы в дневной период (7.00-23.00):			16 час									
Продолжительность работы в ночной период (23.00-7.00):			8 час									
Тип источника шума:			вентиляционная система									
Вентустановка:			ВЦ4-70-5									
Тип вентсистемы:			приточная									
Пространственный угол излучения, рад.	$\Omega = 6.28$	исходные данные										
Октавные уровни звуковой мощности вентилятора, излучаемой корпусом, L_{wv} , дБ		паспортные данные	= 0 (вентилятор в венткамере)									
Октавные уровни звуковой мощности вентилятора, L_w , дБ	на входе	исходные данные	0	50	54	66,5	57	54	50	40	29	
Суммарный (по энергии) уровень звуковой мощности вентсистемы, L_w , дБ		Эн.сум(L_{wnp} , L_{wv})	0	50	54	66,5	57	54	50	40	29	
ИШ-101. П1 лаб.корпуса [координаты на плане (x,y,z), м = (6932.2,4395.8,8.3)]												
Режим работы источника:			постоянный									
Продолжительность работы в дневной период (7.00-23.00):			16 час									
Продолжительность работы в ночной период (23.00-7.00):			8 час									
Тип источника шума:			вентиляционная система									

1		2	3	4	5	6	7	8	9	10	11	12	13
Пространственный угол излучения, рад.		$\Omega = 6.28$	исходные данные										
Октавные уровни звуковой мощности вентилятора, излучаемой корпусом, L_{wv} , дБ			паспортные данные	= 0 (вентилятор в венткамере)									
Октавные уровни звуковой мощности вентилятора, L_w , дБ		на входе	исходные данные	0	69	77	88	91	92	87	80	68	
Суммарный (по энергии) уровень звуковой мощности вентсистемы, L_w , дБ			Эн.сум(L_{wnp} , L_{wv})	0	69	77	88	91	92	87	80	68	
ИШ-117. П1 РП8 [координаты на плане (x,y,z), м = (6739.2,5193.2,3.6)]													
Режим работы источника:			постоянный										
Продолжительность работы в дневной период (7.00-23.00):			16 час										
Продолжительность работы в ночной период (23.00-7.00):			8 час										
Тип источника шума:			вентиляционная система										
Вентустановка:			ВЦ 4-70-3,15										
Тип вентсистемы:			приточная										
Пространственный угол излучения, рад.		$\Omega = 6.28$	исходные данные										
Октавные уровни звуковой мощности вентилятора, излучаемой корпусом, L_{wv} , дБ			паспортные данные	= 0 (вентилятор в венткамере)									
Октавные уровни звуковой мощности вентилятора, L_w , дБ		на входе	исходные данные	0	71	71,1	79,2	72,5	70,7	68,7	60,7	51,7	
Суммарный (по энергии) уровень звуковой мощности вентсистемы, L_w , дБ			Эн.сум(L_{wnp} , L_{wv})	0	71	71,1	79,2	72,5	70,7	68,7	60,7	51,7	
ИШ-118. П1 АБК ЦСП [координаты на плане (x,y,z), м = (6524.3,4618.0,12.0)]													
Режим работы источника:			постоянный										
Продолжительность работы в дневной период (7.00-23.00):			16 час										
Продолжительность работы в ночной период (23.00-7.00):			8 час										
Тип источника шума:			вентиляционная система										
Вентустановка:			ВЦ4-70-5										
Тип вентсистемы:			приточная										
Пространственный угол излучения, рад.		$\Omega = 6.28$	исходные данные										
Октавные уровни звуковой мощности вентилятора, излучаемой корпусом, L_{wv} , дБ			паспортные данные	= 0 (вентилятор в венткамере)									
Октавные уровни звуковой мощности вентилятора, L_w , дБ		на входе	исходные данные	0	53	57	69,8	64,5	67,5	65,5	57,5	48,5	
Суммарный (по энергии) уровень звуковой мощности вентсистемы, L_w , дБ			Эн.сум(L_{wnp} , L_{wv})	0	53	57	69,8	64,5	67,5	65,5	57,5	48,5	
ИШ-119. П8 АБК А и Э УРЭ [координаты на плане (x,y,z), м = (6990.8,4322.2,12.7)]													
Режим работы источника:			постоянный										
Продолжительность работы в дневной период (7.00-23.00):			16 час										
Продолжительность работы в ночной период (23.00-7.00):			8 час										
Тип источника шума:			вентиляционная система										
Вентустановка:			ВЦ4-70-5										
Тип вентсистемы:			приточная										
Пространственный угол излучения, рад.		$\Omega = 6.28$	исходные данные										
Октавные уровни звуковой мощности вентилятора, излучаемой корпусом, L_{wv} , дБ			паспортные данные	= 0 (вентилятор в венткамере)									
Октавные уровни звуковой мощности вентилятора, L_w , дБ		на входе	исходные данные	0	53	57	69,8	64,5	67,5	65,5	57,5	48,5	
Суммарный (по энергии) уровень звуковой мощности вентсистемы, L_w , дБ			Эн.сум(L_{wnp} , L_{wv})	0	53	57	69,8	64,5	67,5	65,5	57,5	48,5	
ИШ-120. П2 РП8 [координаты на плане (x,y,z), м = (6742.4,5208.7,3.6)]													
Режим работы источника:			постоянный										
Продолжительность работы в дневной период (7.00-23.00):			16 час										
Продолжительность работы в ночной период (23.00-7.00):			8 час										
Тип источника шума:			вентиляционная система										
Вентустановка:			ВЦ 4-70-3,15										
Тип вентсистемы:			приточная										
Пространственный угол излучения, рад.		$\Omega = 6.28$	исходные данные										
Октавные уровни звуковой мощности вентилятора, излучаемой корпусом, L_{wv} , дБ			паспортные данные	= 0 (вентилятор в венткамере)									
Октавные уровни звуковой мощности вентилятора, L_w , дБ		на входе	исходные данные	0	71	71,1	79,2	72,5	70,7	68,7	60,7	51,7	

1		2	3	4	5	6	7	8	9	10	11	12	13
Октавные уровни звуковой мощности вентилятора, излучаемой корпусом, L_{wv} , дБ		паспортные данные	= 0 (вентилятор в венткамере)										
Октавные уровни звуковой мощности вентилятора, L_w , дБ	на выходе	исходные данные	0	56,1	58,5	66,5	59,7	59	59	51	40		
Суммарный (по энергии) уровень звуковой мощности вентсистемы, L_w , дБ		Эн.сум(L_{wnp} , L_{wv})	0	56,1	58,5	66,5	59,7	59	59	51	40		
ИШ-131. В7 электроремонт, столарная мастерская [координаты на плане (x,y,z), м = (6989.1,4340.9,12.8)]													
Режим работы источника:		постоянный											
Продолжительность работы в дневной период (7.00-23.00):		16 час											
Продолжительность работы в ночной период (23.00-7.00):		0 час											
Тип источника шума:		вентиляционная система											
Вентустановка:		ЦП 7-40-5											
Тип вентсистемы:		вытяжная											
Пространственный угол излучения, рад.	$\Omega = 6.28$	исходные данные											
Октавные уровни звуковой мощности вентилятора, излучаемой корпусом, L_{wv} , дБ		паспортные данные	= 0 (вентилятор в венткамере)										
Октавные уровни звуковой мощности вентилятора, L_w , дБ	на выходе	исходные данные	0	78,4	83	87	86,5	85	86	80	71		
Суммарный (по энергии) уровень звуковой мощности вентсистемы, L_w , дБ		Эн.сум(L_{wnp} , L_{wv})	0	78,4	83	87	86,5	85	86	80	71		
ИШ-132. В13 электроремонт, пом. отмачивания эл.двигателей [координаты на плане (x,y,z), м = (6991.9,4339.9,12.8)]													
Режим работы источника:		постоянный											
Продолжительность работы в дневной период (7.00-23.00):		16 час											
Продолжительность работы в ночной период (23.00-7.00):		0 час											
Тип источника шума:		вентиляционная система											
Вентустановка:		ВЦ 4-70-3,15											
Тип вентсистемы:		вытяжная											
Пространственный угол излучения, рад.	$\Omega = 6.28$	исходные данные											
Октавные уровни звуковой мощности вентилятора, излучаемой корпусом, L_{wv} , дБ		паспортные данные	= 0 (вентилятор в венткамере)										
Октавные уровни звуковой мощности вентилятора, L_w , дБ	на выходе	исходные данные	0	53	57	67,5	60,5	57	57	51	42		
Суммарный (по энергии) уровень звуковой мощности вентсистемы, L_w , дБ		Эн.сум(L_{wnp} , L_{wv})	0	53	57	67,5	60,5	57	57	51	42		
ИШ-133. В15 электроремонт, камера обеспыливания [координаты на плане (x,y,z), м = (6988.8,4339.3,12.8)]													
Режим работы источника:		постоянный											
Продолжительность работы в дневной период (7.00-23.00):		16 час											
Продолжительность работы в ночной период (23.00-7.00):		0 час											
Тип источника шума:		вентиляционная система											
Вентустановка:		ЦП 7-40-6											
Тип вентсистемы:		вытяжная											
Пространственный угол излучения, рад.	$\Omega = 6.28$	исходные данные											
Октавные уровни звуковой мощности вентилятора, излучаемой корпусом, L_{wv} , дБ		паспортные данные	= 0 (вентилятор в венткамере)										
Октавные уровни звуковой мощности вентилятора, L_w , дБ	на выходе	исходные данные	0	87,4	91,8	93,8	87	81	78	70	61		
Суммарный (по энергии) уровень звуковой мощности вентсистемы, L_w , дБ		Эн.сум(L_{wnp} , L_{wv})	0	87,4	91,8	93,8	87	81	78	70	61		
ИШ-134. электроремонт, пом. разборки и мойки эл.двиг [координаты на плане (x,y,z), м = (6961.7,4340.9,12.8)]													
Режим работы источника:		постоянный											
Продолжительность работы в дневной период (7.00-23.00):		16 час											
Продолжительность работы в ночной период (23.00-7.00):		0 час											
Тип источника шума:		вентиляционная система											
Вентустановка:		Ц4-76											
Тип вентсистемы:		вытяжная											
Пространственный угол излучения, рад.	$\Omega = 6.28$	исходные данные											
Октавные уровни звуковой мощности вентилятора, излучаемой корпусом, L_{wv} , дБ		паспортные данные	= 0 (вентилятор в венткамере)										
Октавные уровни звуковой мощности вентилятора, L_w , дБ	на выходе	исходные данные	0	79	84	90	91	80	74	67	57		
Суммарный (по энергии) уровень звуковой мощности вентсистемы, L_w , дБ		Эн.сум(L_{wnp} , L_{wv})	0	79	84	90	91	80	74	67	57		

1			2		3	4	5	6	7	8	9	10	11	12	13	
Вентустановка:					ВКР-6											
Тип вентсистемы:					вытяжная											
Пространственный угол излучения, рад.		$\Omega = 6.28$	исходные данные													
Октавные уровни звуковой мощности вентилятора, излучаемой корпусом, Lwвв, дБ			паспортные данные		= 0 (вентилятор в венткамере)											
Октавные уровни звуковой мощности вентилятора, Lw, дБ		на выходе	исходные данные		0	76	83	87	92	87	80	72	64			
Суммарный (по энергии) уровень звуковой мощности вентсистемы, Lw, дБ			Эн.сум(Lwnp , Lwвв)		0	76	83	87	92	87	80	72	64			
ИШ-140. гидрометаллургическое отд.ЦЭН [координаты на плане (x,y,z), м = (6454.3,4214.9,18.2)]																
Режим работы источника:					постоянный											
Продолжительность работы в дневной период (7.00-23.00):					16 час											
Продолжительность работы в ночной период (23.00-7.00):					0 час											
Тип источника шума:					вентиляционная система											
Вентустановка:					ВД-15											
Тип вентсистемы:					вытяжная											
Пространственный угол излучения, рад.		$\Omega = 6.28$	исходные данные													
Октавные уровни звуковой мощности вентилятора, излучаемой корпусом, Lwвв, дБ			паспортные данные		= 0 (вентилятор в венткамере)											
Октавные уровни звуковой мощности вентилятора, Lw, дБ		на выходе	исходные данные		0	91	86	92,5	100,2	100,2	98,2	95,2	91,2			
Суммарный (по энергии) уровень звуковой мощности вентсистемы, Lw, дБ			Эн.сум(Lwnp , Lwвв)		0	91	86	92,5	100,2	100,2	98,2	95,2	91,2			
ИШ-141. Окно ГМО-2 [координаты на плане (x,y,z), м = (6940.5,5144.4,8.0)]																
Режим работы источника:					постоянный											
Продолжительность работы в дневной период (7.00-23.00):					16 час											
Продолжительность работы в ночной период (23.00-7.00):					8 час											
Тип источника шума:					точечный											
Категория источника шума:					Источники шума на прилегающей территории											
Название:																
Примечание:																
Пространственный угол излучения, рад.		$\Omega = 6.28$	исходные данные													
Октавные уровни звуковой мощности источника Lw, дБ			исходные данные		0	99,8	101,9	91,8	80,3	68,5	58,5	49,6	46,1			
ИШ-142. Ворота ГМО-2 [координаты на плане (x,y,z), м = (6935.8,5133.0,2.0)]																
Режим работы источника:					постоянный											
Продолжительность работы в дневной период (7.00-23.00):					16 час											
Продолжительность работы в ночной период (23.00-7.00):					8 час											
Тип источника шума:					точечный											
Категория источника шума:					Источники шума на прилегающей территории											
Название:																
Примечание:																
Пространственный угол излучения, рад.		$\Omega = 6.28$	исходные данные													
Октавные уровни звуковой мощности источника Lw, дБ			исходные данные		0	84,2	78,1	67,3	55,2	46,9	36,9	28	26,5			
ИШ-143. Ворота мастерских слесарей [координаты на плане (x,y,z), м = (6810.6,5202.4,2.0)]																
Режим работы источника:					постоянный											
Продолжительность работы в дневной период (7.00-23.00):					16 час											
Продолжительность работы в ночной период (23.00-7.00):					8 час											
Тип источника шума:					точечный											
Категория источника шума:					Источники шума на прилегающей территории											
Название:																
Примечание:																
Пространственный угол излучения, рад.		$\Omega = 6.28$	исходные данные													
Октавные уровни звуковой мощности источника Lw, дБ			исходные данные		0	60,1	53,2	47,2	42,4	39,4	33,3	28,3	26,4			
ИШ-144. Окно ГМО-2 [координаты на плане (x,y,z), м = (6898.6,5168.0,15.0)]																
Режим работы источника:					постоянный											
Продолжительность работы в дневной период (7.00-23.00):					16 час											
Продолжительность работы в ночной период (23.00-7.00):					8 час											

1	2	3	4	5	6	7	8	9	10	11	12	13
Тип источника шума:		точечный										
Категория источника шума:		Источники шума на прилегающей территории										
Название:												
Примечание:												
Пространственный угол излучения, рад.	$\Omega = 6.28$	исходные данные										
Октавные уровни звуковой мощности источника L_w , дБ		исходные данные	0	68,1	70,5	65,4	59,8	53,4	47,2	41,3	39,4	
ИШ-145. Окно ГМО-2 [координаты на плане (x,y,z), м = (6900.7,5173.0,20.0)]												
Режим работы источника:		постоянный										
Продолжительность работы в дневной период (7.00-23.00):		16 час										
Продолжительность работы в ночной период (23.00-7.00):		8 час										
Тип источника шума:		точечный										
Категория источника шума:		Источники шума на прилегающей территории										
Название:												
Примечание:												
Пространственный угол излучения, рад.	$\Omega = 6.28$	исходные данные										
Октавные уровни звуковой мощности источника L_w , дБ		исходные данные	0	88,4	89,2	90,3	72,4	63,5	59,9	58,6	60,3	
ИШ-146. Окно электролизного отделения [координаты на плане (x,y,z), м = (6973.6,5227.2,10.0)]												
Режим работы источника:		постоянный										
Продолжительность работы в дневной период (7.00-23.00):		16 час										
Продолжительность работы в ночной период (23.00-7.00):		8 час										
Тип источника шума:		точечный										
Категория источника шума:		Источники шума на прилегающей территории										
Название:												
Примечание:												
Пространственный угол излучения, рад.	$\Omega = 6.28$	исходные данные										
Октавные уровни звуковой мощности источника L_w , дБ		исходные данные	0	84,2	92,3	82,2	70,7	58,9	48,9	40	36,5	
ИШ-147. Окно ЭО, помещение электролиза ванн [координаты на плане (x,y,z), м = (7003.5,5302.7,10.0)]												
Режим работы источника:		постоянный										
Продолжительность работы в дневной период (7.00-23.00):		16 час										
Продолжительность работы в ночной период (23.00-7.00):		8 час										
Тип источника шума:		точечный										
Категория источника шума:		Источники шума на прилегающей территории										
Название:												
Примечание:												
Пространственный угол излучения, рад.	$\Omega = 6.28$	исходные данные										
Октавные уровни звуковой мощности источника L_w , дБ		исходные данные	0	78,3	76,2	64,5	52,3	40,3	31,6	25,2	25,6	
ИШ-148. Окно ЭО, пробоотборочная [координаты на плане (x,y,z), м = (7000.1,5420.1,10.0)]												
Режим работы источника:		постоянный										
Продолжительность работы в дневной период (7.00-23.00):		16 час										
Продолжительность работы в ночной период (23.00-7.00):		8 час										
Тип источника шума:		точечный										
Категория источника шума:		Источники шума на прилегающей территории										
Название:												
Примечание:												
Пространственный угол излучения, рад.	$\Omega = 6.28$	исходные данные										
Октавные уровни звуковой мощности источника L_w , дБ		исходные данные	0	78	80,4	75,3	69,7	63,3	57,1	51,2	49,3	
ИШ-149. Ворота ЭО, помещение резки никеля [координаты на плане (x,y,z), м = (7044.3,5460.4,2.0)]												
Режим работы источника:		постоянный										
Продолжительность работы в дневной период (7.00-23.00):		16 час										
Продолжительность работы в ночной период (23.00-7.00):		8 час										
Тип источника шума:		точечный										
Категория источника шума:		Источники шума на прилегающей территории										
Название:												
Примечание:												

1		2	3	4	5	6	7	8	9	10	11	12	13
Пространственный угол излучения, рад.		$\Omega = 6.28$	исходные данные										
Октавные уровни звуковой мощности источника L_w , дБ		исходные данные	0	81,8	80,2	78,6	76,5	73,6	67,4	60	53,6		
ИШ-151. ЖР ЭО, помещение резки никеля [координаты на плане (x,y,z), m = {7013.9,5454.0,8.0}]													
Режим работы источника:			постоянный										
Продолжительность работы в дневной период (7.00-23.00):			16 час										
Продолжительность работы в ночной период (23.00-7.00):			8 час										
Тип источника шума:			точечный										
Категория источника шума:			Источники шума на прилегающей территории										
Название:													
Примечание:													
Пространственный угол излучения, рад.		$\Omega = 6.28$	исходные данные										
Октавные уровни звуковой мощности источника L_w , дБ		исходные данные	0	86,3	89,2	92,1	94,5	96,1	94,4	91,5	86,1		
ИШ-152. Окно ЭО, помещение резки никеля [координаты на плане (x,y,z), m = {7051.4,5457.7,10.0}]													
Режим работы источника:			постоянный										
Продолжительность работы в дневной период (7.00-23.00):			16 час										
Продолжительность работы в ночной период (23.00-7.00):			8 час										
Тип источника шума:			точечный										
Категория источника шума:			Источники шума на прилегающей территории										
Название:													
Примечание:													
Пространственный угол излучения, рад.		$\Omega = 6.28$	исходные данные										
Октавные уровни звуковой мощности источника L_w , дБ		исходные данные	0	88,2	90,6	85,5	79,9	73,5	67,3	61,4	59,5		
ИШ-153. Окно расходный склад хлора [координаты на плане (x,y,z), m = {5967.3,3793.2,3.0}]													
Режим работы источника:			постоянный										
Продолжительность работы в дневной период (7.00-23.00):			16 час										
Продолжительность работы в ночной период (23.00-7.00):			8 час										
Тип источника шума:			точечный										
Категория источника шума:			Источники шума на прилегающей территории										
Название:													
Примечание:													
Пространственный угол излучения, рад.		$\Omega = 6.28$	исходные данные										
Октавные уровни звуковой мощности источника L_w , дБ		исходные данные	0	91,2	89,1	77,4	65,2	53,2	44,5	38,1	38,5		
ИШ-154. Ворота РСХ [координаты на плане (x,y,z), m = {5961.4,3809.6,2.0}]													
Режим работы источника:			постоянный										
Продолжительность работы в дневной период (7.00-23.00):			16 час										
Продолжительность работы в ночной период (23.00-7.00):			8 час										
Тип источника шума:			точечный										
Категория источника шума:			Источники шума на прилегающей территории										
Название:													
Примечание:													
Пространственный угол излучения, рад.		$\Omega = 6.28$	исходные данные										
Октавные уровни звуковой мощности источника L_w , дБ		исходные данные	0	81,4	75,8	68,1	58,9	53,9	50,7	47,3	43,2		
ИШ-155. Окно компрессорной [координаты на плане (x,y,z), m = {6806.3,5329.3,5.0}]													
Режим работы источника:			постоянный										
Продолжительность работы в дневной период (7.00-23.00):			16 час										
Продолжительность работы в ночной период (23.00-7.00):			8 час										
Тип источника шума:			точечный										
Категория источника шума:			Источники шума на прилегающей территории										
Название:													
Примечание:													
Пространственный угол излучения, рад.		$\Omega = 6.28$	исходные данные										
Октавные уровни звуковой мощности источника L_w , дБ		исходные данные	0	94,2	92,1	80,4	68,2	56,2	47,5	41,1	41,5		

1	2	3	4	5	6	7	8	9	10	11	12	13
Продолжительность работы в ночной период (23.00-7.00):		8 час										
Тип источника шума:		точечный										
Категория источника шума:		Источники шума на прилегающей территории										
Название:												
Примечание:												
Пространственный угол излучения, рад.	$\Omega = 6.28$	исходные данные										
Октавные уровни звуковой мощности источника L_w , дБ		0	96,6	98,7	88,6	77,1	65,3	55,3	46,4	42,9		
ИШ-162. Окно ГМО, концентратный передел [координаты на плане (x,y,z), м = (6725.9,4164.5,18.0)]												
Режим работы источника:		постоянный										
Продолжительность работы в дневной период (7.00-23.00):		16 час										
Продолжительность работы в ночной период (23.00-7.00):		8 час										
Тип источника шума:		точечный										
Категория источника шума:		Источники шума на прилегающей территории										
Название:												
Примечание:												
Пространственный угол излучения, рад.	$\Omega = 6.28$	исходные данные										
Октавные уровни звуковой мощности источника L_w , дБ		0	96,6	98,7	88,6	77,1	65,3	55,3	46,4	42,9		
ИШ-163. Окно ГМО карбонатный передел [координаты на плане (x,y,z), м = (6657.6,4136.6,18.0)]												
Режим работы источника:		постоянный										
Продолжительность работы в дневной период (7.00-23.00):		16 час										
Продолжительность работы в ночной период (23.00-7.00):		8 час										
Тип источника шума:		точечный										
Категория источника шума:		Источники шума на прилегающей территории										
Название:												
Примечание:												
Пространственный угол излучения, рад.	$\Omega = 6.28$	исходные данные										
Октавные уровни звуковой мощности источника L_w , дБ		0	91,6	93,7	83,6	72,1	60,3	50,3	41,4	37,9		
ИШ-164. Окно ГМО, мастерская слесарей [координаты на плане (x,y,z), м = (6629.6,4064.0,3.0)]												
Режим работы источника:		постоянный										
Продолжительность работы в дневной период (7.00-23.00):		16 час										
Продолжительность работы в ночной период (23.00-7.00):		8 час										
Тип источника шума:		точечный										
Категория источника шума:		Источники шума на прилегающей территории										
Название:												
Примечание:												
Пространственный угол излучения, рад.	$\Omega = 6.28$	исходные данные										
Октавные уровни звуковой мощности источника L_w , дБ		0	86,6	89	84,3	77,7	72	65,7	59,1	58,1		
ИШ-165. Окно ГМО район под свечевыми фильтрами [координаты на плане (x,y,z), м = (6653.2,4125.5,18.0)]												
Режим работы источника:		постоянный										
Продолжительность работы в дневной период (7.00-23.00):		16 час										
Продолжительность работы в ночной период (23.00-7.00):		8 час										
Тип источника шума:		точечный										
Категория источника шума:		Источники шума на прилегающей территории										
Название:												
Примечание:												
Пространственный угол излучения, рад.	$\Omega = 6.28$	исходные данные										
Октавные уровни звуковой мощности источника L_w , дБ		0	84,2	82,1	70,4	58,2	46,2	37,5	31,1	31,5		
ИШ-166. Окно ГМО район репульпаторов [координаты на плане (x,y,z), м = (6651.3,4120.1,18.0)]												
Режим работы источника:		постоянный										
Продолжительность работы в дневной период (7.00-23.00):		16 час										
Продолжительность работы в ночной период (23.00-7.00):		8 час										
Тип источника шума:		точечный										
Категория источника шума:		Источники шума на прилегающей территории										
Название:												

1	2	3	4	5	6	7	8	9	10	11	12	13
Примечание:												
Пространственный угол излучения, рад.	$\Omega = 6.28$	исходные данные										
Октавные уровни звуковой мощности источника L_w , дБ		исходные данные	0	71,4	73,8	68,7	63,1	56,7	50,5	44,6	42,7	
ИШ-167. Окно ГМО проход у пачуков [координаты на плане (x,y,z), м = (6645.9,4106.8,18.0)]												
Режим работы источника:		постоянный										
Продолжительность работы в дневной период (7.00-23.00):		16 час										
Продолжительность работы в ночной период (23.00-7.00):		8 час										
Тип источника шума:		точечный										
Категория источника шума:		Источники шума на прилегающей территории										
Название:												
Примечание:												
Пространственный угол излучения, рад.	$\Omega = 6.28$	исходные данные										
Октавные уровни звуковой мощности источника L_w , дБ		исходные данные	0	82,5	84,6	74,5	63	51,2	41,2	32,3	28,8	
ИШ-168. ЦПУ, машинный зал [координаты на плане (x,y,z), м = (6476.4,4140.7,18.0)]												
Режим работы источника:		постоянный										
Продолжительность работы в дневной период (7.00-23.00):		16 час										
Продолжительность работы в ночной период (23.00-7.00):		8 час										
Тип источника шума:		точечный										
Категория источника шума:		Источники шума на прилегающей территории										
Название:												
Примечание:												
Пространственный угол излучения, рад.	$\Omega = 6.28$	исходные данные										
Октавные уровни звуковой мощности источника L_w , дБ		исходные данные	0	82,1	83,2	75,7	66,2	55,9	47,6	39,4	37,6	
ИШ-169. Ворота ЦПУ, машинный зал [координаты на плане (x,y,z), м = (6479.4,4148.8,3.0)]												
Режим работы источника:		постоянный										
Продолжительность работы в дневной период (7.00-23.00):		16 час										
Продолжительность работы в ночной период (23.00-7.00):		8 час										
Тип источника шума:		точечный										
Категория источника шума:		Источники шума на прилегающей территории										
Название:												
Примечание:												
Пространственный угол излучения, рад.	$\Omega = 6.28$	исходные данные										
Октавные уровни звуковой мощности источника L_w , дБ		исходные данные	0	84,3	77,2	69	58,9	52,1	43,8	35,6	35,8	
ИШ-170. ЖР ЦПУ, калориферный зал [координаты на плане (x,y,z), м = (6482.6,4157.2,5.0)]												
Режим работы источника:		постоянный										
Продолжительность работы в дневной период (7.00-23.00):		16 час										
Продолжительность работы в ночной период (23.00-7.00):		8 час										
Тип источника шума:		точечный										
Категория источника шума:		Источники шума на прилегающей территории										
Название:												
Примечание:												
Пространственный угол излучения, рад.	$\Omega = 6.28$	исходные данные										
Октавные уровни звуковой мощности источника L_w , дБ		исходные данные	0	86,8	88,4	88,9	87,4	85,1	81,3	76,1	70,8	
ИШ-171. Окно ЦПУ. Слесарная мастерская [координаты на плане (x,y,z), м = (6474.9,4137.3,3.0)]												
Режим работы источника:		непостоянный										
Продолжительность работы в дневной период (7.00-23.00):		16 час										
Продолжительность работы в ночной период (23.00-7.00):		0 час										
Тип источника шума:		точечный										
Категория источника шума:		Источники шума на прилегающей территории										
Название:												
Примечание:												
Пространственный угол излучения, рад.	$\Omega = 6.28$	исходные данные										
Октавные уровни звуковой мощности источника L_w , дБ		исходные данные	0	71,2	73,6	68,5	62,9	56,5	50,3	44,4	42,5	

1		2	3	4	5	6	7	8	9	10	11	12	13
Поправка на время работы источника днём ΔТд, дБ		τ = 16 ч время работы	10Lg(τ/16)	0									
Поправка на время работы источника ночью ΔТн, дБ		τ = 0 ч время работы	10Lg(τ/8)	источник не работает в ночное время									
Эквивалентные уровни звуковой мощности источника днём, Lw, дБ			Lw + ΔТд	0	71,2	73,6	68,5	62,9	56,5	50,3	44,4	42,5	
Эквивалентные уровни звуковой мощности источника ночью, Lw, дБ			Lw + ΔТн	0	0	0	0	0	0	0	0	0	
ИШ-172. Ворота участка дробления [координаты на плане (х,у,z), м = (6590.4,4984.0,2.0)]													
Режим работы источника:			постоянный										
Продолжительность работы в дневной период (7.00-23.00):			16 час										
Продолжительность работы в ночной период (23.00-7.00):			0 час										
Тип источника шума:			точечный										
Категория источника шума:			Источники шума на прилегающей территории										
Название:													
Примечание:													
Пространственный угол излучения, рад.		Ω = 6.28	исходные данные										
Октавные уровни звуковой мощности источника Lw, дБ			исходные данные	0	77,9	75,1	72,2	68,6	68,2	66,5	55,7	43,9	
ИШ-173. Окно участка дробления [координаты на плане (х,у,z), м = (6606.4,4950.8,6.0)]													
Режим работы источника:			постоянный										
Продолжительность работы в дневной период (7.00-23.00):			16 час										
Продолжительность работы в ночной период (23.00-7.00):			0 час										
Тип источника шума:			точечный										
Категория источника шума:			Источники шума на прилегающей территории										
Название:													
Примечание:													
Пространственный угол излучения, рад.		Ω = 6.28	исходные данные										
Октавные уровни звуковой мощности источника Lw, дБ			исходные данные	0	92,9	94,1	87,7	81,1	73,7	66,5	59,7	59,4	
ИШ-174. Окно обжигового отделения [координаты на плане (х,у,z), м = (6809.8,5032.4,8.0)]													
Режим работы источника:			постоянный										
Продолжительность работы в дневной период (7.00-23.00):			16 час										
Продолжительность работы в ночной период (23.00-7.00):			0 час										
Тип источника шума:			точечный										
Категория источника шума:			Источники шума на прилегающей территории										
Название:													
Примечание:													
Пространственный угол излучения, рад.		Ω = 6.28	исходные данные										
Октавные уровни звуковой мощности источника Lw, дБ			исходные данные	0	91,7	89,6	77,9	65,7	53,7	45	38,6	39	
ИШ-175. Окно обжигового отделения [координаты на плане (х,у,z), м = (6804.7,5073.7,10.0)]													
Режим работы источника:			постоянный										
Продолжительность работы в дневной период (7.00-23.00):			16 час										
Продолжительность работы в ночной период (23.00-7.00):			0 час										
Тип источника шума:			точечный										
Категория источника шума:			Источники шума на прилегающей территории										
Название:													
Примечание:													
Пространственный угол излучения, рад.		Ω = 6.28	исходные данные										
Октавные уровни звуковой мощности источника Lw, дБ			исходные данные	0	98	95,9	84,2	72	60	51,3	44,9	45,3	
ИШ-176. Окно отделения пылеулавливания [координаты на плане (х,у,z), м = (6698.1,4341.5,25.0)]													
Режим работы источника:			постоянный										
Продолжительность работы в дневной период (7.00-23.00):			16 час										
Продолжительность работы в ночной период (23.00-7.00):			0 час										
Тип источника шума:			точечный										
Категория источника шума:			Источники шума на прилегающей территории										
Название:													
Примечание:													

1		2	3	4	5	6	7	8	9	10	11	12	13
Пространственный угол излучения, рад.		$\Omega = 6.28$	исходные данные										
Октавные уровни звуковой мощности источника L_w , дБ		исходные данные	0	98,2	96,8	82,3	68,8	56,5	47,7	39,9	39,1		
ИШ-177. Двери промывного отделения [координаты на плане (x,y,z), м = (7020.3,4939.0,2.0)]													
Режим работы источника:			постоянный										
Продолжительность работы в дневной период (7.00-23.00):			16 час										
Продолжительность работы в ночной период (23.00-7.00):			0 час										
Тип источника шума:			точечный										
Категория источника шума:			Источники шума на прилегающей территории										
Название:													
Примечание:													
Пространственный угол излучения, рад.		$\Omega = 6.28$	исходные данные										
Октавные уровни звуковой мощности источника L_w , дБ		исходные данные	0	80	78,1	71,5	63	58,2	53,7	40,8	25,7		
ИШ-178. Двери сушильно-абсорбционного отделения [координаты на плане (x,y,z), м = (7091.5,4980.6,2.0)]													
Режим работы источника:			постоянный										
Продолжительность работы в дневной период (7.00-23.00):			16 час										
Продолжительность работы в ночной период (23.00-7.00):			0 час										
Тип источника шума:			точечный										
Категория источника шума:			Источники шума на прилегающей территории										
Название:													
Примечание:													
Пространственный угол излучения, рад.		$\Omega = 6.28$	исходные данные										
Октавные уровни звуковой мощности источника L_w , дБ		исходные данные	0	73,5	71,6	65	56,5	51,7	47,2	34,3	19,2		
ИШ-179. Окна сушильно-абсорбционного отделения [координаты на плане (x,y,z), м = (7003.8,5061.2,10.0)]													
Режим работы источника:			постоянный										
Продолжительность работы в дневной период (7.00-23.00):			16 час										
Продолжительность работы в ночной период (23.00-7.00):			0 час										
Тип источника шума:			точечный										
Категория источника шума:			Источники шума на прилегающей территории										
Название:													
Примечание:													
Пространственный угол излучения, рад.		$\Omega = 6.28$	исходные данные										
Октавные уровни звуковой мощности источника L_w , дБ		исходные данные	0	75,3	72,9	65,8	56,3	46,5	38	30,1	32		
ИШ-180. Окно компрессорного отделения [координаты на плане (x,y,z), м = (7057.9,5091.2,10.0)]													
Режим работы источника:			постоянный										
Продолжительность работы в дневной период (7.00-23.00):			16 час										
Продолжительность работы в ночной период (23.00-7.00):			0 час										
Тип источника шума:			точечный										
Категория источника шума:			Источники шума на прилегающей территории										
Название:													
Примечание:													
Пространственный угол излучения, рад.		$\Omega = 6.28$	исходные данные										
Октавные уровни звуковой мощности источника L_w , дБ		исходные данные	0	105,5	103,4	91,7	79,5	67,5	58,8	52,4	52,8		
ИШ-181. Двери компрессорного отделения [координаты на плане (x,y,z), м = (7101.1,5049.2,2.0)]													
Режим работы источника:			постоянный										
Продолжительность работы в дневной период (7.00-23.00):			16 час										
Продолжительность работы в ночной период (23.00-7.00):			0 час										
Тип источника шума:			точечный										
Категория источника шума:			Источники шума на прилегающей территории										
Название:													
Примечание:													
Пространственный угол излучения, рад.		$\Omega = 6.28$	исходные данные										
Октавные уровни звуковой мощности источника L_w , дБ		исходные данные	0	91	84,9	76,7	67,5	62,5	59,3	48,9	37,8		

1	2	3	4	5	6	7	8	9	10	11	12	13	
Продолжительность работы в ночной период (23.00-7.00):		0 час											
Тип источника шума:		точечный											
Категория источника шума:		Источники шума на прилегающей территории											
Название:													
Примечание:													
Пространственный угол излучения, рад.	$\Omega = 6.28$	исходные данные											
Октавные уровни звуковой мощности источника L_w , дБ		исходные данные											
		0	75,6	71,2	64,6	55,4	50,7	46,3	33,6	19,6			
ИШ-199. Окно отделения газочистки [координаты на плане (x,y,z), м = (7165.1,5301.3,2.0)]													
Режим работы источника:		постоянный											
Продолжительность работы в дневной период (7.00-23.00):		16 час											
Продолжительность работы в ночной период (23.00-7.00):		0 час											
Тип источника шума:		точечный											
Категория источника шума:		Источники шума на прилегающей территории											
Название:													
Примечание:													
Пространственный угол излучения, рад.	$\Omega = 6.28$	исходные данные											
Октавные уровни звуковой мощности источника L_w , дБ		исходные данные											
		0	76,6	78,7	68,6	57,1	45,3	35,3	26,4	22,8			
ИШ-200. Проезд поездов по ж/д путям [протяжённость источника - 1395.6 м]													
Режим работы источника:		непостоянный											
Продолжительность работы в дневной период (7.00-23.00):		16 час											
Продолжительность работы в ночной период (23.00-7.00):		8 час											
Тип источника шума:		железная дорога											
Название:		Ширина = 5 м			Кол-во полос = 2			Ширина разд. полосы = 0 м					
Пространственный угол излучения, рад.	$\Omega = 6.28$	исходные данные											
Эквивалентный уровень шума на расстоянии 25 м: $L_{трп}$, дБА		Днём - 48.3			Ночью - 48.3								
Максимальный уровень шума на расстоянии 25 м: $L_{трп_макс}$, дБА		Днём - 58.1			Ночью - 58.1								
Шкала перевода эквивалентного уровня в октавные УЗД, дБ	$\Delta_{корр.}$	[11]	0	0	2	-1	-4	-4	-7	-13	0		
Октавные уровни звукового давления на расстоянии 25 м днём: $L_{трп}$, дБ		$L_{трп}-\Delta_{корр.}$	0	0	50,3	47,3	44,3	44,3	41,3	35,3	0	48,3	58,1
Октавные уровни звукового давления на расстоянии 25 м ночью: $L_{трп}$, дБ		$L_{трп}-\Delta_{корр.}$	0	0	50,3	47,3	44,3	44,3	41,3	35,3	0	48,3	58,1
Удельные (на 1м) октавные уровни звуковой мощности источника днём: L_w , дБ	$R_o = 25 \text{ м}$ $l = 1395.55 \text{ м}$	$L_w = L + 10\lg(R_o) + 8 - 10\lg(2\arctg(l/2R_o))$	0	0	67,4	64,4	61,4	61,4	58,4	52,4	0		
Октавные уровни звуковой мощности максимального звука источника днём: L_{wmax} , дБ	$R_o = 25 \text{ м}$	$L_{wmax} = L_{max} + 20\lg(R_o) + 8$	0	0	96,1	93,1	90,1	90,1	87,1	81,1	0		
Удельные (на 1м) октавные уровни звуковой мощности источника ночью: L_w , дБ	$R_o = 25 \text{ м}$ $l = 1395.55 \text{ м}$	$L_w = L + 10\lg(R_o) + 8 - 10\lg(2\arctg(l/2R_o))$	0	0	67,4	64,4	61,4	61,4	58,4	52,4	0		
Октавные уровни звуковой мощности максимального звука источника ночью: L_{wmax} , дБ	$R_o = 25 \text{ м}$	$L_{wmax} = L_{max} + 20\lg(R_o) + 8$	0	0	96,1	93,1	90,1	90,1	87,1	81,1	0		
Поправка на время работы источника днём ΔT_d , дБ	$\tau = 16 \text{ ч}$ время работы	$10\lg(\tau/16)$	0										
Поправка на время работы источника ночью ΔT_n , дБ	$\tau = 8 \text{ ч}$ время работы	$10\lg(\tau/8)$	0										
Эквивалентные уровни удельной (на 1м) звуковой мощности источника днём, L_w , дБ		$L_w + \Delta T_d$	0	0	67,4	64,4	61,4	61,4	58,4	52,4	0		
Эквивалентные уровни удельной (на 1м) звуковой мощности источника ночью, L_w , дБ		$L_w + \Delta T_n$	0	0	67,4	64,4	61,4	61,4	58,4	52,4	0		
ИШ-201. Проезд поездов по ж/д путям [протяжённость источника - 1563.7 м]													
Режим работы источника:		непостоянный											
Продолжительность работы в дневной период (7.00-23.00):		16 час											
Продолжительность работы в ночной период (23.00-7.00):		8 час											
Тип источника шума:		железная дорога											
Название:		Ширина = 5 м			Кол-во полос = 2			Ширина разд. полосы = 0 м					
Пространственный угол излучения, рад.	$\Omega = 6.28$	исходные данные											
Эквивалентный уровень шума на расстоянии 25 м: $L_{трп}$, дБА		Днём - 46.2			Ночью - 46.2								

1	2	3	4	5	6	7	8	9	10	11	12	13	
ИШ-207. Вытяжка (Имандра) [координаты на плане (х,у,z), м = (6715.9,4128.0,11.8)]													
Режим работы источника:			непостоянный										
Продолжительность работы в дневной период (7.00-23.00):			16 час										
Продолжительность работы в ночной период (23.00-7.00):			0 час										
Тип источника шума:			вентиляционная система										
Вентустановка:			Россия ВР100-45-8-01(1810об/мин)										
Тип вентсистемы:			вытяжная										
Пространственный угол излучения, рад.	Ω = 6.28	исходные данные											
Октавные уровни звуковой мощности вентилятора, излучаемой корпусом, Lwвв, дБ		паспортные данные	= 0 (вентилятор в венткамере)										
Октавные уровни звуковой мощности вентилятора, Lw, дБ	на выходе	исходные данные	0	97	104	112	111,5	107,5	105,5	98,5	91,5		
Суммарный (по энергии) уровень звуковой мощности вентсистемы, Lw, дБ		Эн.сум(Lwnp , Lwвв)	0	97	104	112	111,5	107,5	105,5	98,5	91,5		
Поправка на время работы источника днём ΔTd, дБ	τ = 16 ч время работы	10Lg(τ/16)	0										
Поправка на время работы источника ночью ΔTн, дБ	τ = 0 ч время работы	10Lg(τ/8)	источник не работает в ночное время										
Эквивалентные уровни звуковой мощности источника днём, Lw, дБ		Lw + ΔTd	0	97	104	112	111,5	107,5	105,5	98,5	91,5		
Эквивалентные уровни звуковой мощности источника ночью, Lw, дБ		Lw + ΔTн	0	0	0	0	0	0	0	0	0		
ИШ-208. Вытяжка (Имандра) [координаты на плане (х,у,z), м = (6744.4,4122.5,11.8)]													
Режим работы источника:			непостоянный										
Продолжительность работы в дневной период (7.00-23.00):			16 час										
Продолжительность работы в ночной период (23.00-7.00):			0 час										
Тип источника шума:			вентиляционная система										
Вентустановка:			Россия ВР100-45-8-01(1810об/мин)										
Тип вентсистемы:			вытяжная										
Пространственный угол излучения, рад.	Ω = 6.28	исходные данные											
Октавные уровни звуковой мощности вентилятора, излучаемой корпусом, Lwвв, дБ		паспортные данные	= 0 (вентилятор в венткамере)										
Октавные уровни звуковой мощности вентилятора, Lw, дБ	на выходе	исходные данные	0	97	104	112	111,5	107,5	105,5	98,5	91,5		
Суммарный (по энергии) уровень звуковой мощности вентсистемы, Lw, дБ		Эн.сум(Lwnp , Lwвв)	0	97	104	112	111,5	107,5	105,5	98,5	91,5		
Поправка на время работы источника днём ΔTd, дБ	τ = 16 ч время работы	10Lg(τ/16)	0										
Поправка на время работы источника ночью ΔTн, дБ	τ = 0 ч время работы	10Lg(τ/8)	источник не работает в ночное время										
Эквивалентные уровни звуковой мощности источника днём, Lw, дБ		Lw + ΔTd	0	97	104	112	111,5	107,5	105,5	98,5	91,5		
Эквивалентные уровни звуковой мощности источника ночью, Lw, дБ		Lw + ΔTн	0	0	0	0	0	0	0	0	0		
ИШ-209. Вытяжка (Имандра) [координаты на плане (х,у,z), м = (6765.9,4112.5,11.8)]													
Режим работы источника:			непостоянный										
Продолжительность работы в дневной период (7.00-23.00):			16 час										
Продолжительность работы в ночной период (23.00-7.00):			0 час										
Тип источника шума:			вентиляционная система										
Вентустановка:			Россия ВР100-45-8-01(1810об/мин)										
Тип вентсистемы:			вытяжная										
Пространственный угол излучения, рад.	Ω = 6.28	исходные данные											
Октавные уровни звуковой мощности вентилятора, излучаемой корпусом, Lwвв, дБ		паспортные данные	= 0 (вентилятор в венткамере)										
Октавные уровни звуковой мощности вентилятора, Lw, дБ	на выходе	исходные данные	0	97	104	112	111,5	107,5	105,5	98,5	91,5		
Суммарный (по энергии) уровень звуковой мощности вентсистемы, Lw, дБ		Эн.сум(Lwnp , Lwвв)	0	97	104	112	111,5	107,5	105,5	98,5	91,5		
Поправка на время работы источника днём ΔTd, дБ	τ = 16 ч время работы	10Lg(τ/16)	0										
Поправка на время работы источника ночью ΔTн, дБ	τ = 0 ч время работы	10Lg(τ/8)	источник не работает в ночное время										
Эквивалентные уровни звуковой мощности источника днём, Lw, дБ		Lw + ΔTd	0	97	104	112	111,5	107,5	105,5	98,5	91,5		
Эквивалентные уровни звуковой мощности источника ночью, Lw, дБ		Lw + ΔTн	0	0	0	0	0	0	0	0	0		

1	2	3	4	5	6	7	8	9	10	11	12	13
ИШ-211. Ворота ВДС №2 [координаты на плане (x,y,z), м = (6532.0,4366.1,2.0)]												
Режим работы источника:			постоянный									
Продолжительность работы в дневной период (7.00-23.00):			16 час									
Продолжительность работы в ночной период (23.00-7.00):			0 час									
Тип источника шума:			точечный									
Категория источника шума:			Источники шума на прилегающей территории									
Название:												
Примечание:												
Пространственный угол излучения, рад.	Ω = 6.28	исходные данные										
Октавные уровни звуковой мощности источника Lw, дБ		исходные данные	0	97,1	86,8	74,4	61,6	53,1	44,4	38	40,4	
ИШ-212. Ворота баллононаполнительной [координаты на плане (x,y,z), м = (6928.9,4202.6,2.0)]												
Режим работы источника:			постоянный									
Продолжительность работы в дневной период (7.00-23.00):			16 час									
Продолжительность работы в ночной период (23.00-7.00):			0 час									
Тип источника шума:			точечный									
Категория источника шума:			Источники шума на прилегающей территории									
Название:												
Примечание:												
Пространственный угол излучения, рад.	Ω = 6.28	исходные данные										
Октавные уровни звуковой мощности источника Lw, дБ		исходные данные	0	86,1	75,8	63,4	50,6	42,1	44,4	38	40,4	
ИШ-214. Ворота машинного зала очистных [координаты на плане (x,y,z), м = (7756.3,5645.2,2.0)]												
Режим работы источника:			постоянный									
Продолжительность работы в дневной период (7.00-23.00):			16 час									
Продолжительность работы в ночной период (23.00-7.00):			0 час									
Тип источника шума:			точечный									
Категория источника шума:			Источники шума на прилегающей территории									
Название:												
Примечание:												
Пространственный угол излучения, рад.	Ω = 6.28	исходные данные										
Октавные уровни звуковой мощности источника Lw, дБ		исходные данные	0	68	61,9	51,1	39	30,7	20,7	11,8	10,2	
ИШ-215. Ворота насосной очистных [координаты на плане (x,y,z), м = (7765.0,5665.6,2.0)]												
Режим работы источника:			постоянный									
Продолжительность работы в дневной период (7.00-23.00):			16 час									
Продолжительность работы в ночной период (23.00-7.00):			0 час									
Тип источника шума:			точечный									
Категория источника шума:			Источники шума на прилегающей территории									
Название:												
Примечание:												
Пространственный угол излучения, рад.	Ω = 6.28	исходные данные										
Октавные уровни звуковой мощности источника Lw, дБ		исходные данные	0	74,3	68,2	57,2	45,3	37	27	18,1	16,5	
ИШ-216. Ворота насосной 3 подъёма [координаты на плане (x,y,z), м = (7077.6,5102.3,2.0)]												
Режим работы источника:			постоянный									
Продолжительность работы в дневной период (7.00-23.00):			16 час									
Продолжительность работы в ночной период (23.00-7.00):			0 час									
Тип источника шума:			точечный									
Категория источника шума:			Источники шума на прилегающей территории									
Название:												
Примечание:												
Пространственный угол излучения, рад.	Ω = 6.28	исходные данные										
Октавные уровни звуковой мощности источника Lw, дБ		исходные данные	0	70,3	64,2	53,4	41,3	33	23	14,1	12,5	
ИШ-217. Ворота насосной оборотного водоснабжения №3 [координаты на плане (x,y,z), м = (7080.4,5109.7,2.0)]												
Режим работы источника:			постоянный									
Продолжительность работы в дневной период (7.00-23.00):			16 час									

1		2	3	4	5	6	7	8	9	10	11	12	13
Примечание:													
Пространственный угол излучения, рад.	$\Omega = 6.28$	исходные данные											
Октавные уровни звуковой мощности источника L_w , дБ		исходные данные	0	54,9	53,3	51,7	49,6	44,9	30	33,1	20,2		
ИШ-1п. В1 экстракционное отделение (ЭО) [координаты на плане (x,y,z), м = (6729.7,4169.0,22.0)]													
Режим работы источника:			постоянный										
Продолжительность работы в дневной период (7.00-23.00):			16 час										
Продолжительность работы в ночной период (23.00-7.00):			8 час										
Тип источника шума:			вентиляционная система										
Вентустановка:			Веа ВРАН9-11,2										
Тип вентсистемы:			вытяжная										
Пространственный угол излучения, рад.	$\Omega = 6.28$	исходные данные											
Октавные уровни звуковой мощности вентилятора, излучаемой корпусом, L_{wv} , дБ		паспортные данные	= 0 (вентилятор в венткамере)										
Октавные уровни звуковой мощности вентилятора, L_w , дБ	на выходе	исходные данные	0	94	104	99	97	96	94	89	82		
Суммарный (по энергии) уровень звуковой мощности вентсистемы, L_w , дБ			Эн.сум(L_{wnp} , L_{wv})	0	94	104	99	97	96	94	89	82	
ИШ-2п. В2 ЭО [координаты на плане (x,y,z), м = (6728.5,4169.4,22.0)]													
Режим работы источника:			постоянный										
Продолжительность работы в дневной период (7.00-23.00):			16 час										
Продолжительность работы в ночной период (23.00-7.00):			8 час										
Тип источника шума:			вентиляционная система										
Вентустановка:			Веа ВРАН 9-12,5										
Тип вентсистемы:			вытяжная										
Пространственный угол излучения, рад.	$\Omega = 6.28$	исходные данные											
Октавные уровни звуковой мощности вентилятора, излучаемой корпусом, L_{wv} , дБ		паспортные данные	= 0 (вентилятор в венткамере)										
Октавные уровни звуковой мощности вентилятора, L_w , дБ	на выходе	исходные данные	0	98	109	104	101	99	96	93	84		
Суммарный (по энергии) уровень звуковой мощности вентсистемы, L_w , дБ			Эн.сум(L_{wnp} , L_{wv})	0	98	109	104	101	99	96	93	84	
ИШ-3п. В3 ЭО [координаты на плане (x,y,z), м = (6731.2,4168.6,22.0)]													
Режим работы источника:			постоянный										
Продолжительность работы в дневной период (7.00-23.00):			16 час										
Продолжительность работы в ночной период (23.00-7.00):			8 час										
Тип источника шума:			вентиляционная система										
Вентустановка:			Инновент ВКР-ИННОВЕНТ-6,3-6-1										
Тип вентсистемы:			вытяжная										
Пространственный угол излучения, рад.	$\Omega = 6.28$	исходные данные											
Октавные уровни звуковой мощности вентилятора, излучаемой корпусом, L_{wv} , дБ		паспортные данные	= 0 (вентилятор в венткамере)										
Октавные уровни звуковой мощности вентилятора, L_w , дБ	на выходе	исходные данные	0	0	79,5	85	81	76	73	65	58		
Суммарный (по энергии) уровень звуковой мощности вентсистемы, L_w , дБ			Эн.сум(L_{wnp} , L_{wv})	0	0	79,5	85	81	76	73	65	58	
ИШ-4п. В4 ЭО [координаты на плане (x,y,z), м = (6705.6,4184.0,22.5)]													
Режим работы источника:			постоянный										
Продолжительность работы в дневной период (7.00-23.00):			16 час										
Продолжительность работы в ночной период (23.00-7.00):			8 час										
Тип источника шума:			вентиляционная система										
Вентустановка:			Инновент ВКР-ИННОВЕНТ-6,3-6-1										
Тип вентсистемы:			вытяжная										
Пространственный угол излучения, рад.	$\Omega = 6.28$	исходные данные											
Октавные уровни звуковой мощности вентилятора, излучаемой корпусом, L_{wv} , дБ		паспортные данные	= 0 (вентилятор в венткамере)										
Октавные уровни звуковой мощности вентилятора, L_w , дБ	на выходе	исходные данные	0	0	79,5	85	81	76	73	65	58		
Суммарный (по энергии) уровень звуковой мощности вентсистемы, L_w , дБ			Эн.сум(L_{wnp} , L_{wv})	0	0	79,5	85	81	76	73	65	58	

1	2	3	4	5	6	7	8	9	10	11	12	13
Категория источника шума:		Кондиционеры										
Фирма:												
Марка блока:												
Пространственный угол излучения, рад.	$\Omega = 6.28$	исходные данные										
Уровень звука L_a на опорном расстоянии d , дБА	$d = 5 \text{ м}$	исходные данные									72	
Габариты источника шума, м	исходные данные	длина (l_1) = 0.00			ширина (l_2) = 0.00			высота (l_3) = 0.00				
Уровни звуковой мощности источника L_{WA} , дБА	$L_{WA} = L_a + 20\lg(d) + 10\lg(\Omega)$										94	
Спектральные поправки $K(\Delta_{LA})$ для разложения общего уровня звуковой мощности в спектр по октавным полосам, дБ	[5]	-999	-4,1	-3,3	-2,6	-2,8	-4,3	-7,9	-12,4	-17,1		
Октавные уровни звуковой мощности источника L_w , дБ	$L_w = L_{WA} + K(\Delta_{LA})$	0	89,9	90,7	91,4	91,2	89,7	86,1	81,6	76,9		

ИШ-10п. Воздушная завеса [координаты на плане (x,y,z), м = (6774.0,4180.8,22.5)]

Режим работы источника:		постоянный										
Продолжительность работы в дневной период (7.00-23.00):		16 час										
Продолжительность работы в ночной период (23.00-7.00):		8 час										
Тип источника шума:		точечный										
Категория источника шума:		Кондиционеры										
Фирма:												
Марка блока:												
Пространственный угол излучения, рад.	$\Omega = 6.28$	исходные данные										
Уровень звука L_a на опорном расстоянии d , дБА	$d = 5 \text{ м}$	исходные данные									72	
Габариты источника шума, м	исходные данные	длина (l_1) = 0.00			ширина (l_2) = 0.00			высота (l_3) = 0.00				
Уровни звуковой мощности источника L_{WA} , дБА	$L_{WA} = L_a + 20\lg(d) + 10\lg(\Omega)$										94	
Спектральные поправки $K(\Delta_{LA})$ для разложения общего уровня звуковой мощности в спектр по октавным полосам, дБ	[5]	-999	-4,1	-3,3	-2,6	-2,8	-4,3	-7,9	-12,4	-17,1		
Октавные уровни звуковой мощности источника L_w , дБ	$L_w = L_{WA} + K(\Delta_{LA})$	0	89,9	90,7	91,4	91,2	89,7	86,1	81,6	76,9		

ИШ-11п. Воздушная завеса [координаты на плане (x,y,z), м = (6767.8,4163.6,22.5)]

Режим работы источника:		постоянный										
Продолжительность работы в дневной период (7.00-23.00):		16 час										
Продолжительность работы в ночной период (23.00-7.00):		8 час										
Тип источника шума:		точечный										
Категория источника шума:		Кондиционеры										
Фирма:												
Марка блока:												
Пространственный угол излучения, рад.	$\Omega = 6.28$	исходные данные										
Уровень звука L_a на опорном расстоянии d , дБА	$d = 5 \text{ м}$	исходные данные									72	
Габариты источника шума, м	исходные данные	длина (l_1) = 0.00			ширина (l_2) = 0.00			высота (l_3) = 0.00				
Уровни звуковой мощности источника L_{WA} , дБА	$L_{WA} = L_a + 20\lg(d) + 10\lg(\Omega)$										94	
Спектральные поправки $K(\Delta_{LA})$ для разложения общего уровня звуковой мощности в спектр по октавным полосам, дБ	[5]	-999	-4,1	-3,3	-2,6	-2,8	-4,3	-7,9	-12,4	-17,1		
Октавные уровни звуковой мощности источника L_w , дБ	$L_w = L_{WA} + K(\Delta_{LA})$	0	89,9	90,7	91,4	91,2	89,7	86,1	81,6	76,9		

ИШ-12п. Воздушная завеса [координаты на плане (x,y,z), м = (6765.2,4156.7,22.5)]

Режим работы источника:		постоянный										
Продолжительность работы в дневной период (7.00-23.00):		16 час										
Продолжительность работы в ночной период (23.00-7.00):		8 час										
Тип источника шума:		точечный										
Категория источника шума:		Кондиционеры										
Фирма:												
Марка блока:												
Пространственный угол излучения, рад.	$\Omega = 6.28$	исходные данные										
Уровень звука L_a на опорном расстоянии d , дБА	$d = 5 \text{ м}$	исходные данные									72	
Габариты источника шума, м	исходные данные	длина (l_1) = 0.00			ширина (l_2) = 0.00			высота (l_3) = 0.00				

1	2	3	4	5	6	7	8	9	10	11	12	13
Уровни звуковой мощности источника L_{wA} , дБА	$L_{wA} = L_a + 20\lg(d) + 10\lg(\Omega)$										94	
Спектральные поправки $K(\Delta_{LA})$ для разложения общего уровня звуковой мощности в спектр по октавным полосам, дБ	[5]	-999	-4,1	-3,3	-2,6	-2,8	-4,3	-7,9	-12,4	-17,1		
Октавные уровни звуковой мощности источника L_w , дБ	$L_w = L_{wA} + K(\Delta_{LA})$	0	89,9	90,7	91,4	91,2	89,7	86,1	81,6	76,9		
ИШ-13п. В3 электролизный участок (ЭУ) [координаты на плане (x,y,z), м = (6569.7,4132.2,18.9)]												
Режим работы источника:		постоянный										
Продолжительность работы в дневной период (7.00-23.00):		16 час										
Продолжительность работы в ночной период (23.00-7.00):		8 час										
Тип источника шума:		вентиляционная система										
Вентустановка:		Вега ВРАН6-10										
Тип вентсистемы:		вытяжная										
Пространственный угол излучения, рад.	$\Omega = 6.28$	исходные данные										
Октавные уровни звуковой мощности вентилятора, излучаемой корпусом, L_{wB} , дБ		паспортные данные	= 0 (вентилятор в венткамере)									
Октавные уровни звуковой мощности вентилятора, L_w , дБ	на выходе	исходные данные	0	84	87	98	92	91	87	86	75	
Суммарный (по энергии) уровень звуковой мощности вентсистемы, L_w , дБ		Эн.сум(L_{wnp} , L_{wB})	0	84	87	98	92	91	87	86	75	
ИШ-14п. В4 [координаты на плане (x,y,z), м = (6574.5,4153.5,18.9)]												
Режим работы источника:		постоянный										
Продолжительность работы в дневной период (7.00-23.00):		16 час										
Продолжительность работы в ночной период (23.00-7.00):		8 час										
Тип источника шума:		вентиляционная система										
Вентустановка:		Вега ВРАН9-3.15										
Тип вентсистемы:		вытяжная										
Пространственный угол излучения, рад.	$\Omega = 6.28$	исходные данные										
Октавные уровни звуковой мощности вентилятора, излучаемой корпусом, L_{wB} , дБ		паспортные данные	= 0 (вентилятор в венткамере)									
Октавные уровни звуковой мощности вентилятора, L_w , дБ	на выходе	исходные данные	0	59	62	73	75	66	64	60	50	
Суммарный (по энергии) уровень звуковой мощности вентсистемы, L_w , дБ		Эн.сум(L_{wnp} , L_{wB})	0	59	62	73	75	66	64	60	50	
ИШ-15п. В15 [координаты на плане (x,y,z), м = (6578.5,4156.6,18.9)]												
Режим работы источника:		постоянный										
Продолжительность работы в дневной период (7.00-23.00):		16 час										
Продолжительность работы в ночной период (23.00-7.00):		8 час										
Тип источника шума:		вентиляционная система										
Вентустановка:		Вега ВРАН6-5.6										
Тип вентсистемы:		вытяжная										
Пространственный угол излучения, рад.	$\Omega = 6.28$	исходные данные										
Октавные уровни звуковой мощности вентилятора, излучаемой корпусом, L_{wB} , дБ		паспортные данные	= 0 (вентилятор в венткамере)									
Октавные уровни звуковой мощности вентилятора, L_w , дБ	на выходе	исходные данные	0	76	84	77	75	74	71	66	60	
Суммарный (по энергии) уровень звуковой мощности вентсистемы, L_w , дБ		Эн.сум(L_{wnp} , L_{wB})	0	76	84	77	75	74	71	66	60	
ИШ-16п. В6 [координаты на плане (x,y,z), м = (6544.7,4162.3,22.5)]												
Режим работы источника:		постоянный										
Продолжительность работы в дневной период (7.00-23.00):		16 час										
Продолжительность работы в ночной период (23.00-7.00):		8 час										
Тип источника шума:		вентиляционная система										
Вентустановка:		Вега ВРАН6-6.3										
Тип вентсистемы:		вытяжная										
Пространственный угол излучения, рад.	$\Omega = 6.28$	исходные данные										
Октавные уровни звуковой мощности вентилятора, излучаемой корпусом, L_{wB} , дБ		паспортные данные	= 0 (вентилятор в венткамере)									
Октавные уровни звуковой мощности вентилятора, L_w , дБ	на выходе	исходные данные	0	78	87	80	78	76	74	71	62	
Суммарный (по энергии) уровень звуковой мощности вентсистемы, L_w , дБ		Эн.сум(L_{wnp} , L_{wB})	0	78	87	80	78	76	74	71	62	

1			2			3	4	5	6	7	8	9	10	11	12	13	
ИШ-17п. В7 [координаты на плане (x,y,z), м = (6529.0,4123.1,22.5)]																	
Режим работы источника:						постоянный											
Продолжительность работы в дневной период (7.00-23.00):						16 час											
Продолжительность работы в ночной период (23.00-7.00):						8 час											
Тип источника шума:						вентиляционная система											
Вентустановка:						Инновент Унивент-5-4-1-02											
Тип вентсистемы:						вытяжная											
Пространственный угол излучения, рад.			Ω = 6.28	исходные данные													
Октавные уровни звуковой мощности вентилятора, излучаемой корпусом, Lwвв, дБ				паспортные данные		= 0 (вентилятор в венткамере)											
Октавные уровни звуковой мощности вентилятора, Lw, дБ			на выходе	исходные данные		0	0	76,2	85,2	82,6	80,4	77,9	69,4	62,9			
Суммарный (по энергии) уровень звуковой мощности вентсистемы, Lw, дБ				Эн.сум(Lwnp , Lwвв)		0	0	76,2	85,2	82,6	80,4	77,9	69,4	62,9			
ИШ-18п. В8 [координаты на плане (x,y,z), м = (6536.2,4142.0,22.5)]																	
Режим работы источника:						постоянный											
Продолжительность работы в дневной период (7.00-23.00):						16 час											
Продолжительность работы в ночной период (23.00-7.00):						8 час											
Тип источника шума:						вентиляционная система											
Вентустановка:						Инновент Унивент-5-4-1-02											
Тип вентсистемы:						вытяжная											
Пространственный угол излучения, рад.			Ω = 6.28	исходные данные													
Октавные уровни звуковой мощности вентилятора, излучаемой корпусом, Lwвв, дБ				паспортные данные		= 0 (вентилятор в венткамере)											
Октавные уровни звуковой мощности вентилятора, Lw, дБ			на выходе	исходные данные		0	0	82	87	84	82,5	80	71,5	65			
Суммарный (по энергии) уровень звуковой мощности вентсистемы, Lw, дБ				Эн.сум(Lwnp , Lwвв)		0	0	82	87	84	82,5	80	71,5	65			
ИШ-19п. В9 [координаты на плане (x,y,z), м = (6600.5,4203.1,18.9)]																	
Режим работы источника:						постоянный											
Продолжительность работы в дневной период (7.00-23.00):						16 час											
Продолжительность работы в ночной период (23.00-7.00):						8 час											
Тип источника шума:						вентиляционная система											
Вентустановка:						Веа ВРАН9-3.15											
Тип вентсистемы:						вытяжная											
Пространственный угол излучения, рад.			Ω = 6.28	исходные данные													
Октавные уровни звуковой мощности вентилятора, излучаемой корпусом, Lwвв, дБ				паспортные данные		= 0 (вентилятор в венткамере)											
Октавные уровни звуковой мощности вентилятора, Lw, дБ			на выходе	исходные данные		0	59	62	73	75	66	64	60	50			
Суммарный (по энергии) уровень звуковой мощности вентсистемы, Lw, дБ				Эн.сум(Lwnp , Lwвв)		0	59	62	73	75	66	64	60	50			
ИШ-20п. В10 [координаты на плане (x,y,z), м = (6584.7,4194.5,18.9)]																	
Режим работы источника:						постоянный											
Продолжительность работы в дневной период (7.00-23.00):						16 час											
Продолжительность работы в ночной период (23.00-7.00):						8 час											
Тип источника шума:						вентиляционная система											
Вентустановка:						Веа ВРАН9-3.15											
Тип вентсистемы:						вытяжная											
Пространственный угол излучения, рад.			Ω = 6.28	исходные данные													
Октавные уровни звуковой мощности вентилятора, излучаемой корпусом, Lwвв, дБ				паспортные данные		= 0 (вентилятор в венткамере)											
Октавные уровни звуковой мощности вентилятора, Lw, дБ			на выходе	исходные данные		0	59	62	73	75	66	64	60	50			
Суммарный (по энергии) уровень звуковой мощности вентсистемы, Lw, дБ				Эн.сум(Lwnp , Lwвв)		0	59	62	73	75	66	64	60	50			
ИШ-21п В11 [координаты на плане (x,y,z), м = (6584.2,4112.2,18.9)]																	
Режим работы источника:						постоянный											
Продолжительность работы в дневной период (7.00-23.00):						16 час											
Продолжительность работы в ночной период (23.00-7.00):						8 час											
Тип источника шума:						вентиляционная система											

1			2			3	4	5	6	7	8	9	10	11	12	13
Вентустановка:			Веза ВКРС-5													
Тип вентсистемы:			вытяжная													
Пространственный угол излучения, рад.	$\Omega = 6.28$	исходные данные														
Октавные уровни звуковой мощности вентилятора, излучаемой корпусом, Lwвв, дБ		паспортные данные	= 0 (вентилятор в венткамере)													
Октавные уровни звуковой мощности вентилятора, Lw, дБ	на выходе	исходные данные	0	81	82	87	87	86	81	76	71					
Суммарный (по энергии) уровень звуковой мощности вентсистемы, Lw, дБ		Эн.сум(Lwnр , Lwвв)	0	81	82	87	87	86	81	76	71					
ИШ-22п. В12 [координаты на плане (x,y,z), м = (6586.3,4111.7,18.9)]																
Режим работы источника:		постоянный														
Продолжительность работы в дневной период (7.00-23.00):		16 час														
Продолжительность работы в ночной период (23.00-7.00):		8 час														
Тип источника шума:		вентиляционная система														
Вентустановка:		Веза ВКРС-5														
Тип вентсистемы:		вытяжная														
Пространственный угол излучения, рад.	$\Omega = 6.28$	исходные данные														
Октавные уровни звуковой мощности вентилятора, излучаемой корпусом, Lwвв, дБ		паспортные данные	= 0 (вентилятор в венткамере)													
Октавные уровни звуковой мощности вентилятора, Lw, дБ	на выходе	исходные данные	0	81	82	87	87	86	81	76	71					
Суммарный (по энергии) уровень звуковой мощности вентсистемы, Lw, дБ		Эн.сум(Lwnр , Lwвв)	0	81	82	87	87	86	81	76	71					
ИШ-23п. В13 [координаты на плане (x,y,z), м = (6583.1,4110.4,18.9)]																
Режим работы источника:		постоянный														
Продолжительность работы в дневной период (7.00-23.00):		16 час														
Продолжительность работы в ночной период (23.00-7.00):		8 час														
Тип источника шума:		вентиляционная система														
Вентустановка:		Веза ВКРС-5														
Тип вентсистемы:		вытяжная														
Пространственный угол излучения, рад.	$\Omega = 6.28$	исходные данные														
Октавные уровни звуковой мощности вентилятора, излучаемой корпусом, Lwвв, дБ		паспортные данные	= 0 (вентилятор в венткамере)													
Октавные уровни звуковой мощности вентилятора, Lw, дБ	на выходе	исходные данные	0	81	82	87	87	86	81	76	71					
Суммарный (по энергии) уровень звуковой мощности вентсистемы, Lw, дБ		Эн.сум(Lwnр , Lwвв)	0	81	82	87	87	86	81	76	71					
ИШ-24п. В14 [координаты на плане (x,y,z), м = (6585.5,4109.9,18.9)]																
Режим работы источника:		постоянный														
Продолжительность работы в дневной период (7.00-23.00):		16 час														
Продолжительность работы в ночной период (23.00-7.00):		8 час														
Тип источника шума:		вентиляционная система														
Вентустановка:		Веза ВКРС-5														
Тип вентсистемы:		вытяжная														
Пространственный угол излучения, рад.	$\Omega = 6.28$	исходные данные														
Октавные уровни звуковой мощности вентилятора, излучаемой корпусом, Lwвв, дБ		паспортные данные	= 0 (вентилятор в венткамере)													
Октавные уровни звуковой мощности вентилятора, Lw, дБ	на выходе	исходные данные	0	81	82	87	87	86	81	76	71					
Суммарный (по энергии) уровень звуковой мощности вентсистемы, Lw, дБ		Эн.сум(Lwnр , Lwвв)	0	81	82	87	87	86	81	76	71					
ИШ-25п. В15 [координаты на плане (x,y,z), м = (6658.2,4184.6,18.9)]																
Режим работы источника:		постоянный														
Продолжительность работы в дневной период (7.00-23.00):		16 час														
Продолжительность работы в ночной период (23.00-7.00):		8 час														
Тип источника шума:		вентиляционная система														
Вентустановка:		Rosenberg EPND355-4														
Тип вентсистемы:		вытяжная														
Пространственный угол излучения, рад.	$\Omega = 6.28$	исходные данные														
Октавные уровни звуковой мощности вентилятора, излучаемой корпусом, Lwвв, дБ		паспортные данные	= 0 (вентилятор в венткамере)													

1			2		3	4	5	6	7	8	9	10	11	12	13		
Октавные уровни звуковой мощности вентилятора, Lw, дБ			на выходе		исходные данные		0	95,2	85,3	78,1	68,9	59,1	53,7	50,5	49,5		
Суммарный (по энергии) уровень звуковой мощности вентсистемы, Lw, дБ			Эн.сум(Lwnp , Lwvv)		0	95,2	85,3	78,1	68,9	59,1	53,7	50,5	49,5				
ИШ-26п. В16 [координаты на плане (x,y,z), м = (6664.9,4178.1,18.9)]																	
Режим работы источника:						постоянный											
Продолжительность работы в дневной период (7.00-23.00):						16 час											
Продолжительность работы в ночной период (23.00-7.00):						8 час											
Тип источника шума:						вентиляционная система											
Вентустановка:						Инновент Унивент-5-4-1-02											
Тип вентсистемы:						вытяжная											
Пространственный угол излучения, рад.			Ω = 6.28		исходные данные												
Октавные уровни звуковой мощности вентилятора, излучаемой корпусом, Lwvv, дБ			паспортные данные		= 0 (вентилятор в венткамере)												
Октавные уровни звуковой мощности вентилятора, Lw, дБ			на выходе		исходные данные		0	0	82	87	84	82,5	80	71,5	65		
Суммарный (по энергии) уровень звуковой мощности вентсистемы, Lw, дБ			Эн.сум(Lwnp , Lwvv)		0	0	82	87	84	82,5	80	71,5	65				
ИШ-28п. Воздушная завеса [координаты на плане (x,y,z), м = (6544.1,4161.1,18.9)]																	
Режим работы источника:						постоянный											
Продолжительность работы в дневной период (7.00-23.00):						16 час											
Продолжительность работы в ночной период (23.00-7.00):						8 час											
Тип источника шума:						точечный											
Категория источника шума:						Кондиционеры											
Фирма:																	
Марка блока:																	
Пространственный угол излучения, рад.			Ω = 6.28		исходные данные												
Уровень звука La на опорном расстоянии d, дБА			d = 5 м		исходные данные											72	
Габариты источника шума, м					исходные данные		длина (l1) = 0.00			ширина (l2) = 0.00			высота (l3) = 0.00				
Уровни звуковой мощности источника LwA, дБА			LwA = La + 20lg(d) + 10lg(Ω)													94	
Спектральные поправки K(ΔLA) для разложения общего уровня звуковой мощности в спектр по октавным полосам, дБ			[5]		-999	-4,1	-3,3	-2,6	-2,8	-4,3	-7,9	-12,4	-17,1				
Октавные уровни звуковой мощности источника Lw, дБ			Lw = LwA + K(ΔLA)		0	89,9	90,7	91,4	91,2	89,7	86,1	81,6	76,9				
ИШ-29п. Воздушная завеса [координаты на плане (x,y,z), м = (6541.3,4153.7,18.9)]																	
Режим работы источника:						постоянный											
Продолжительность работы в дневной период (7.00-23.00):						16 час											
Продолжительность работы в ночной период (23.00-7.00):						8 час											
Тип источника шума:						точечный											
Категория источника шума:						Кондиционеры											
Фирма:																	
Марка блока:																	
Пространственный угол излучения, рад.			Ω = 6.28		исходные данные												
Уровень звука La на опорном расстоянии d, дБА			d = 5 м		исходные данные											72	
Габариты источника шума, м					исходные данные		длина (l1) = 0.00			ширина (l2) = 0.00			высота (l3) = 0.00				
Уровни звуковой мощности источника LwA, дБА			LwA = La + 20lg(d) + 10lg(Ω)													94	
Спектральные поправки K(ΔLA) для разложения общего уровня звуковой мощности в спектр по октавным полосам, дБ			[5]		-999	-4,1	-3,3	-2,6	-2,8	-4,3	-7,9	-12,4	-17,1				
Октавные уровни звуковой мощности источника Lw, дБ			Lw = LwA + K(ΔLA)		0	89,9	90,7	91,4	91,2	89,7	86,1	81,6	76,9				
ИШ-30п. В1 Насосной № 1 [координаты на плане (x,y,z), м = (6844.5,4280.5,39.4)]																	
Режим работы источника:						постоянный											
Продолжительность работы в дневной период (7.00-23.00):						16 час											
Продолжительность работы в ночной период (23.00-7.00):						8 час											
Тип источника шума:						вентиляционная система											
Вентустановка:						Rosenberg EPND355-4											
Тип вентсистемы:						вытяжная											

1		2	3	4	5	6	7	8	9	10	11	12	13
Пространственный угол излучения, рад.		$\Omega = 6.28$	исходные данные										
Октавные уровни звуковой мощности вентилятора, излучаемой корпусом, L_{wv} , дБ		паспортные данные	= 0 (вентилятор в венткамере)										
Октавные уровни звуковой мощности вентилятора, L_w , дБ		на выходе	исходные данные	0	97,7	89,7	82,5	75,4	67,7	62,3	59,1	58,1	
Суммарный (по энергии) уровень звуковой мощности вентсистемы, L_w , дБ		Эн.сум(L_{wnp} , L_{wv})	0	97,7	89,7	82,5	75,4	67,7	62,3	59,1	58,1		
ИШ-31п. В2 насосная №1 [координаты на плане (x,y,z), м = (6834.8,4276.0,32.0)]													
Режим работы источника:			постоянный										
Продолжительность работы в дневной период (7.00-23.00):			16 час										
Продолжительность работы в ночной период (23.00-7.00):			8 час										
Тип источника шума:			вентиляционная система										
Вентустановка:			SystemAir K / KV 160 M										
Тип вентсистемы:			вытяжная										
Пространственный угол излучения, рад.		$\Omega = 6.28$	исходные данные										
Октавные уровни звуковой мощности вентилятора, излучаемой корпусом, L_{wv} , дБ		паспортные данные	= 0 (вентилятор в венткамере)										
Октавные уровни звуковой мощности вентилятора, L_w , дБ		на выходе	исходные данные	0	83,2	72,1	71,6	65,2	59	54,8	51	42,1	
Суммарный (по энергии) уровень звуковой мощности вентсистемы, L_w , дБ		Эн.сум(L_{wnp} , L_{wv})	0	83,2	72,1	71,6	65,2	59	54,8	51	42,1		
ИШ-32п. В3 насосная № 1 [координаты на плане (x,y,z), м = (6844.3,4279.2,39.4)]													
Режим работы источника:			постоянный										
Продолжительность работы в дневной период (7.00-23.00):			16 час										
Продолжительность работы в ночной период (23.00-7.00):			8 час										
Тип источника шума:			вентиляционная система										
Вентустановка:			Rosenberg EPND355 6000м3/час										
Тип вентсистемы:			вытяжная										
Пространственный угол излучения, рад.		$\Omega = 6.28$	исходные данные										
Октавные уровни звуковой мощности вентилятора, излучаемой корпусом, L_{wv} , дБ		паспортные данные	= 0 (вентилятор в венткамере)										
Октавные уровни звуковой мощности вентилятора, L_w , дБ		на выходе	исходные данные	0	114,7	107,7	99,5	91,4	83,7	78,3	75,1	74,1	
Суммарный (по энергии) уровень звуковой мощности вентсистемы, L_w , дБ		Эн.сум(L_{wnp} , L_{wv})	0	114,7	107,7	99,5	91,4	83,7	78,3	75,1	74,1		
ИШ-33п. П1 насосная № 1 [координаты на плане (x,y,z), м = (6845.4,4279.4,32.0)]													
Режим работы источника:			постоянный										
Продолжительность работы в дневной период (7.00-23.00):			16 час										
Продолжительность работы в ночной период (23.00-7.00):			8 час										
Тип источника шума:			вентиляционная система										
Вентустановка:			Airmate-4000-C1										
Тип вентсистемы:			приточная										
Пространственный угол излучения, рад.		$\Omega = 6.28$	исходные данные										
Октавные уровни звуковой мощности вентилятора, излучаемой корпусом, L_{wv} , дБ		паспортные данные	= 0 (вентилятор в венткамере)										
Октавные уровни звуковой мощности вентилятора, L_w , дБ		на входе	исходные данные	0	63	74	59	59	57	54	49	46	
Суммарный (по энергии) уровень звуковой мощности вентсистемы, L_w , дБ		Эн.сум(L_{wnp} , L_{wv})	0	63	74	59	59	57	54	49	46		
ИШ-34п. В1 Насосной № 2 [координаты на плане (x,y,z), м = (6799.0,4164.1,7.5)]													
Режим работы источника:			постоянный										
Продолжительность работы в дневной период (7.00-23.00):			16 час										
Продолжительность работы в ночной период (23.00-7.00):			8 час										
Тип источника шума:			вентиляционная система										
Вентустановка:			Rosenberg EPND355-4										
Тип вентсистемы:			вытяжная										
Пространственный угол излучения, рад.		$\Omega = 6.28$	исходные данные										
Октавные уровни звуковой мощности вентилятора, излучаемой корпусом, L_{wv} , дБ		паспортные данные	= 0 (вентилятор в венткамере)										
Октавные уровни звуковой мощности вентилятора, L_w , дБ		на выходе	исходные данные	0	97,7	89,7	82,5	75,4	67,7	62,3	59,1	58,1	

1			2		3	4	5	6	7	8	9	10	11	12	13		
Октавные уровни звуковой мощности вентилятора, Lw, дБ			на выходе		исходные данные		0	62	67	74	84	77	75	73	65		
Суммарный (по энергии) уровень звуковой мощности вентсистемы, Lw, дБ						Эн.сум(Lwnp , Lwвв)		0	62	67	74	84	77	75	73	65	
ИШ-47п. В6 КВИС [координаты на плане (x,y,z), м = (6700.6,4684.1,7.7)]																	
Режим работы источника:						постоянный											
Продолжительность работы в дневной период (7.00-23.00):						16 час											
Продолжительность работы в ночной период (23.00-7.00):						8 час											
Тип источника шума:						вентиляционная система											
Вентустановка:						ВР 80-75-2.5											
Тип вентсистемы:						вытяжная											
Пространственный угол излучения, рад.			Ω = 6.28		исходные данные												
Октавные уровни звуковой мощности вентилятора, излучаемой корпусом, Lwвв, дБ					паспортные данные		= 0 (вентилятор в венткамере)										
Октавные уровни звуковой мощности вентилятора, Lw, дБ			на выходе		исходные данные		0	62	67	74	84	77	75	73	65		
Суммарный (по энергии) уровень звуковой мощности вентсистемы, Lw, дБ						Эн.сум(Lwnp , Lwвв)		0	62	67	74	84	77	75	73	65	
ИШ-48п. В7 КВИС [координаты на плане (x,y,z), м = (6738.7,4660.8,5.7)]																	
Режим работы источника:						постоянный											
Продолжительность работы в дневной период (7.00-23.00):						16 час											
Продолжительность работы в ночной период (23.00-7.00):						8 час											
Тип источника шума:						вентиляционная система											
Вентустановка:						ВО 12-330-4 1500 об/мин											
Тип вентсистемы:						вытяжная											
Пространственный угол излучения, рад.			Ω = 6.28		исходные данные												
Октавные уровни звуковой мощности вентилятора, излучаемой корпусом, Lwвв, дБ					паспортные данные		= 0 (вентилятор в венткамере)										
Октавные уровни звуковой мощности вентилятора, Lw, дБ			на выходе		исходные данные		0	77,8	84,8	82,8	82,8	78,8	72,8	65,8	59,8		
Суммарный (по энергии) уровень звуковой мощности вентсистемы, Lw, дБ						Эн.сум(Lwnp , Lwвв)		0	77,8	84,8	82,8	82,8	78,8	72,8	65,8	59,8	
ИШ-49п. В8 КВИС [координаты на плане (x,y,z), м = (6739.7,4663.9,5.7)]																	
Режим работы источника:						постоянный											
Продолжительность работы в дневной период (7.00-23.00):						16 час											
Продолжительность работы в ночной период (23.00-7.00):						8 час											
Тип источника шума:						вентиляционная система											
Вентустановка:						ВО 12-330-4 1500 об/мин											
Тип вентсистемы:						вытяжная											
Пространственный угол излучения, рад.			Ω = 6.28		исходные данные												
Октавные уровни звуковой мощности вентилятора, излучаемой корпусом, Lwвв, дБ					паспортные данные		= 0 (вентилятор в венткамере)										
Октавные уровни звуковой мощности вентилятора, Lw, дБ			на выходе		исходные данные		0	77,8	84,8	82,8	82,8	78,8	72,8	65,8	59,8		
Суммарный (по энергии) уровень звуковой мощности вентсистемы, Lw, дБ						Эн.сум(Lwnp , Lwвв)		0	77,8	84,8	82,8	82,8	78,8	72,8	65,8	59,8	
ИШ-50п. В9 КВИС [координаты на плане (x,y,z), м = (6733.6,4663.9,10.0)]																	
Режим работы источника:						постоянный											
Продолжительность работы в дневной период (7.00-23.00):						16 час											
Продолжительность работы в ночной период (23.00-7.00):						8 час											
Тип источника шума:						вентиляционная система											
Вентустановка:						VRS 60-35/31.4											
Тип вентсистемы:						вытяжная											
Пространственный угол излучения, рад.			Ω = 6.28		исходные данные												
Октавные уровни звуковой мощности вентилятора, излучаемой корпусом, Lwвв, дБ					паспортные данные		= 0 (вентилятор в венткамере)										
Октавные уровни звуковой мощности вентилятора, Lw, дБ			на выходе		исходные данные		0	49,6	68,2	64,5	59,5	72,4	69,2	69,7	64,6		
Суммарный (по энергии) уровень звуковой мощности вентсистемы, Lw, дБ						Эн.сум(Lwnp , Lwвв)		0	49,6	68,2	64,5	59,5	72,4	69,2	69,7	64,6	
ИШ-51п. В10 КВИС [координаты на плане (x,y,z), м = (6712.0,4670.2,10.0)]																	

1			2		3	4	5	6	7	8	9	10	11	12	13	
Режим работы источника:					постоянный											
Продолжительность работы в дневной период (7.00-23.00):					16 час											
Продолжительность работы в ночной период (23.00-7.00):					8 час											
Тип источника шума:					вентиляционная система											
Вентустановка:					VRS 60-30/28.4											
Тип вентсистемы:					вытяжная											
Пространственный угол излучения, рад.		$\Omega = 6.28$	исходные данные													
Октавные уровни звуковой мощности вентилятора, излучаемой корпусом, Lwвв, дБ			паспортные данные		= 0 (вентилятор в венткамере)											
Октавные уровни звуковой мощности вентилятора, Lw, дБ		на выходе	исходные данные		0	49,7	68,3	63,1	68,6	72,5	69,3	69,8	64,7			
Суммарный (по энергии) уровень звуковой мощности вентсистемы, Lw, дБ			Эн.сум(Lwnp , Lwвв)		0	49,7	68,3	63,1	68,6	72,5	69,3	69,8	64,7			
ИШ-52п. В11 КВИС [координаты на плане (x,y,z), м = (6704.9,4673.6,10.0)]																
Режим работы источника:					постоянный											
Продолжительность работы в дневной период (7.00-23.00):					16 час											
Продолжительность работы в ночной период (23.00-7.00):					8 час											
Тип источника шума:					вентиляционная система											
Вентустановка:					ВО 12-330-6,3 при 1500 об/мин											
Тип вентсистемы:					вытяжная											
Пространственный угол излучения, рад.		$\Omega = 6.28$	исходные данные													
Октавные уровни звуковой мощности вентилятора, излучаемой корпусом, Lwвв, дБ			паспортные данные		= 0 (вентилятор в венткамере)											
Октавные уровни звуковой мощности вентилятора, Lw, дБ		на выходе	исходные данные		0	91,5	92	94	94	90	84	77	70			
Суммарный (по энергии) уровень звуковой мощности вентсистемы, Lw, дБ			Эн.сум(Lwnp , Lwвв)		0	91,5	92	94	94	90	84	77	70			
ИШ-53п. В12 КВИС [координаты на плане (x,y,z), м = (6706.8,4678.3,10.0)]																
Режим работы источника:					постоянный											
Продолжительность работы в дневной период (7.00-23.00):					16 час											
Продолжительность работы в ночной период (23.00-7.00):					8 час											
Тип источника шума:					вентиляционная система											
Вентустановка:					ВО 12-330-6,3 при 1500 об/мин											
Тип вентсистемы:					вытяжная											
Пространственный угол излучения, рад.		$\Omega = 6.28$	исходные данные													
Октавные уровни звуковой мощности вентилятора, излучаемой корпусом, Lwвв, дБ			паспортные данные		= 0 (вентилятор в венткамере)											
Октавные уровни звуковой мощности вентилятора, Lw, дБ		на выходе	исходные данные		0	91,5	92	94	94	90	84	77	70			
Суммарный (по энергии) уровень звуковой мощности вентсистемы, Lw, дБ			Эн.сум(Lwnp , Lwвв)		0	91,5	92	94	94	90	84	77	70			
ИШ-54п. В13 КВИС [координаты на плане (x,y,z), м = (6709.8,4676.1,10.0)]																
Режим работы источника:					постоянный											
Продолжительность работы в дневной период (7.00-23.00):					16 час											
Продолжительность работы в ночной период (23.00-7.00):					8 час											
Тип источника шума:					вентиляционная система											
Вентустановка:					ВО 12-330-4											
Тип вентсистемы:					вытяжная											
Пространственный угол излучения, рад.		$\Omega = 6.28$	исходные данные													
Октавные уровни звуковой мощности вентилятора, излучаемой корпусом, Lwвв, дБ			паспортные данные		= 0 (вентилятор в венткамере)											
Октавные уровни звуковой мощности вентилятора, Lw, дБ		на выходе	исходные данные		0	73	80	78	78	74	68	61	55			
Суммарный (по энергии) уровень звуковой мощности вентсистемы, Lw, дБ			Эн.сум(Lwnp , Lwвв)		0	73	80	78	78	74	68	61	55			
ИШ-55п. В14 КВИС [координаты на плане (x,y,z), м = (6708.3,4673.4,10.0)]																
Режим работы источника:					постоянный											
Продолжительность работы в дневной период (7.00-23.00):					16 час											
Продолжительность работы в ночной период (23.00-7.00):					8 час											
Тип источника шума:					вентиляционная система											
Вентустановка:					ВО 12-330-4											
Тип вентсистемы:					вытяжная											

1		2	3	4	5	6	7	8	9	10	11	12	13
Пространственный угол излучения, рад.		$\Omega = 6.28$	исходные данные										
Октавные уровни звуковой мощности вентилятора, излучаемой корпусом, L_{wv} , дБ			паспортные данные	= 0 (вентилятор в венткамере)									
Октавные уровни звуковой мощности вентилятора, L_w , дБ		на выходе	исходные данные	0	73	80	78	78	74	68	61	55	
Суммарный (по энергии) уровень звуковой мощности вентсистемы, L_w , дБ			Эн.сум(L_{wnp} , L_{wv})	0	73	80	78	78	74	68	61	55	
ИШ-56п. В15 КВИС [координаты на плане (x,y,z), м = (6718.8,4681.7,1.0)]													
Режим работы источника:			постоянный										
Продолжительность работы в дневной период (7.00-23.00):			16 час										
Продолжительность работы в ночной период (23.00-7.00):			8 час										
Тип источника шума:			вентиляционная система										
Вентустановка:			ВО 12-330-4										
Тип вентсистемы:			вытяжная										
Пространственный угол излучения, рад.		$\Omega = 6.28$	исходные данные										
Октавные уровни звуковой мощности вентилятора, излучаемой корпусом, L_{wv} , дБ			паспортные данные	= 0 (вентилятор в венткамере)									
Октавные уровни звуковой мощности вентилятора, L_w , дБ		на выходе	исходные данные	0	73	80	78	78	74	68	61	55	
Суммарный (по энергии) уровень звуковой мощности вентсистемы, L_w , дБ			Эн.сум(L_{wnp} , L_{wv})	0	73	80	78	78	74	68	61	55	
ИШ-57п. В16 КВИС [координаты на плане (x,y,z), м = (6705.1,4668.2,10.0)]													
Режим работы источника:			постоянный										
Продолжительность работы в дневной период (7.00-23.00):			16 час										
Продолжительность работы в ночной период (23.00-7.00):			8 час										
Тип источника шума:			вентиляционная система										
Вентустановка:			ВО 12-330-4										
Тип вентсистемы:			вытяжная										
Пространственный угол излучения, рад.		$\Omega = 6.28$	исходные данные										
Октавные уровни звуковой мощности вентилятора, излучаемой корпусом, L_{wv} , дБ			паспортные данные	= 0 (вентилятор в венткамере)									
Октавные уровни звуковой мощности вентилятора, L_w , дБ		на выходе	исходные данные	0	73	80	78	78	74	68	61	55	
Суммарный (по энергии) уровень звуковой мощности вентсистемы, L_w , дБ			Эн.сум(L_{wnp} , L_{wv})	0	73	80	78	78	74	68	61	55	
ИШ-58п. В17 КВИС [координаты на плане (x,y,z), м = (6702.2,4669.3,10.0)]													
Режим работы источника:			постоянный										
Продолжительность работы в дневной период (7.00-23.00):			16 час										
Продолжительность работы в ночной период (23.00-7.00):			8 час										
Тип источника шума:			вентиляционная система										
Вентустановка:			CAS 971-2T-40										
Тип вентсистемы:			вытяжная										
Пространственный угол излучения, рад.		$\Omega = 6.28$	исходные данные										
Октавные уровни звуковой мощности вентилятора, излучаемой корпусом, L_{wv} , дБ			паспортные данные	= 0 (вентилятор в венткамере)									
Октавные уровни звуковой мощности вентилятора, L_w , дБ		на выходе	исходные данные	0	94,2	99,1	105,6	105,2	102	97,8	94	89,1	
Суммарный (по энергии) уровень звуковой мощности вентсистемы, L_w , дБ			Эн.сум(L_{wnp} , L_{wv})	0	94,2	99,1	105,6	105,2	102	97,8	94	89,1	
ИШ-59п. В18 КВИС [координаты на плане (x,y,z), м = (6698.4,4681.9,7.7)]													
Режим работы источника:			постоянный										
Продолжительность работы в дневной период (7.00-23.00):			16 час										
Продолжительность работы в ночной период (23.00-7.00):			8 час										
Тип источника шума:			вентиляционная система										
Вентустановка:			CAS 971-2T-40										
Тип вентсистемы:			вытяжная										
Пространственный угол излучения, рад.		$\Omega = 6.28$	исходные данные										
Октавные уровни звуковой мощности вентилятора, излучаемой корпусом, L_{wv} , дБ			паспортные данные	= 0 (вентилятор в венткамере)									
Октавные уровни звуковой мощности вентилятора, L_w , дБ		на выходе	исходные данные	0	94,2	99,1	105,6	105,2	102	97,8	94	89,1	

1				2	3	4	5	6	7	8	9	10	11	12	13
Суммарный (по энергии) уровень звуковой мощности вентсистемы, Lw, дБ				Эн.сум(Lwnp , Lwvv)	0	94,2	99,1	105,6	105,2	102	97,8	94	89,1		
ИШ-60п. Ворота ГМУ-1 [протяжённость источника - 5.4 м]															
Режим работы источника:				непостоянный											
Продолжительность работы в дневной период (7.00-23.00):				16 час											
Продолжительность работы в ночной период (23.00-7.00):				8 час											
Тип источника шума:				автодорога											
Название:					Ширина = 1 м			Кол-во полос = 1			Ширина разд. полосы = 0 м				
Пространственный угол излучения, рад.			Ω = 6.28	исходные данные											
Эквивалентный уровень шума на расстоянии 1 м: Lтpп, дБА				исходные данные	Днём - 97.4			Ночью - 97.4							
Максимальный уровень шума на расстоянии 1 м: Lтpп_макс, дБА				исходные данные	Днём - 108.3			Ночью - 108.3							
Шкала перевода эквивалентного уровня в октавные УЗД, дБ			Δкopp.	[11]	0	0	2	-1	-4	-4	-7	-13	0		
Октавные уровни звукового давления на расстоянии 1 м днём: Lтpп, дБ				Lтpп-Дкopp.	0	0	99,4	96,4	93,4	93,4	90,4	84,4	0	97,4	108,3
Октавные уровни звукового давления на расстоянии 1 м ночью: Lтpп, дБ				Lтpп-Дкopp.	0	0	99,4	96,4	93,4	93,4	90,4	84,4	0	97,4	108,3
Удельные (на 1м) октавные уровни звуковой мощности источника днём: Lw, дБ			Ro = 1 м l = 5.44 м	Lw = L + 10lg(Ro) + 8 - 10lg(2arctg(l/2Ro))	0	0	103,5	100,5	97,5	97,5	94,5	88,5	0		
Октавные уровни звуковой мощности максимального звука источника днём: Lwmax, дБ			Ro = 1 м	Lwmax = Lmax + 20lg(Ro) + 8	0	0	118,3	115,3	112,3	112,3	109,3	103,3	0		
Удельные (на 1м) октавные уровни звуковой мощности источника ночью: Lw, дБ			Ro = 1 м l = 5.44 м	Lw = L + 10lg(Ro) + 8 - 10lg(2arctg(l/2Ro))	0	0	103,5	100,5	97,5	97,5	94,5	88,5	0		
Октавные уровни звуковой мощности максимального звука источника ночью: Lwmax, дБ			Ro = 1 м	Lwmax = Lmax + 20lg(Ro) + 8	0	0	118,3	115,3	112,3	112,3	109,3	103,3	0		
Поправка на время работы источника днём ΔТд, дБ			τ = 16 ч время работы	10Lg(τ/16)	0										
Поправка на время работы источника ночью ΔТн, дБ			τ = 8 ч время работы	10Lg(τ/8)	0										
Эквивалентные уровни удельной (на 1м) звуковой мощности источника днём, Lw, дБ				Lw + ΔТд	0	0	103,5	100,5	97,5	97,5	94,5	88,5	0		
Эквивалентные уровни удельной (на 1м) звуковой мощности источника ночью, Lw, дБ				Lw + ΔТн	0	0	103,5	100,5	97,5	97,5	94,5	88,5	0		
ИШ-61п. Дефлектор1 ГМУ-1 [протяжённость источника - 3.0 м]															
Режим работы источника:				непостоянный											
Продолжительность работы в дневной период (7.00-23.00):				16 час											
Продолжительность работы в ночной период (23.00-7.00):				8 час											
Тип источника шума:				автодорога											
Название:					Ширина = 0.2 м			Кол-во полос = 1			Ширина разд. полосы = 0 м				
Пространственный угол излучения, рад.			Ω = 6.28	исходные данные											
Эквивалентный уровень шума на расстоянии 1 м: Lтpп, дБА				исходные данные	Днём - 87.2			Ночью - 87.2							
Максимальный уровень шума на расстоянии 1 м: Lтpп_макс, дБА				исходные данные	Днём - 98.1			Ночью - 98.1							
Шкала перевода эквивалентного уровня в октавные УЗД, дБ			Δкopp.	[11]	0	0	2	-1	-4	-4	-7	-13	0		
Октавные уровни звукового давления на расстоянии 1 м днём: Lтpп, дБ				Lтpп-Дкopp.	0	0	89,2	86,2	83,2	83,2	80,2	74,2	0	87,2	98,1
Октавные уровни звукового давления на расстоянии 1 м ночью: Lтpп, дБ				Lтpп-Дкopp.	0	0	89,2	86,2	83,2	83,2	80,2	74,2	0	87,2	98,1
Удельные (на 1м) октавные уровни звуковой мощности источника днём: Lw, дБ			Ro = 1 м l = 2.98 м	Lw = L + 10lg(Ro) + 8 - 10lg(2arctg(l/2Ro))	0	0	94,3	91,3	88,3	88,3	85,3	79,3	0		
Октавные уровни звуковой мощности максимального звука источника днём: Lwmax, дБ			Ro = 1 м	Lwmax = Lmax + 20lg(Ro) + 8	0	0	108,1	105,1	102,1	102,1	99,1	93,1	0		
Удельные (на 1м) октавные уровни звуковой мощности источника ночью: Lw, дБ			Ro = 1 м l = 2.98 м	Lw = L + 10lg(Ro) + 8 - 10lg(2arctg(l/2Ro))	0	0	94,3	91,3	88,3	88,3	85,3	79,3	0		
Октавные уровни звуковой мощности максимального звука источника ночью: Lwmax, дБ			Ro = 1 м	Lwmax = Lmax + 20lg(Ro) + 8	0	0	108,1	105,1	102,1	102,1	99,1	93,1	0		

1				2		3	4	5	6	7	8	9	10	11	12	13
Поправка на время работы источника днём ΔTd, дБ		τ = 16 ч время работы	10Lg(τ/16)		0											
Поправка на время работы источника ночью ΔTн, дБ		τ = 8 ч время работы	10Lg(τ/8)		0											
Эквивалентные уровни удельной (на 1м) звуковой мощности источника днём, Lw, дБ			Lw + ΔTd		0	0	94,3	91,3	88,3	88,3	85,3	79,3	0			
Эквивалентные уровни удельной (на 1м) звуковой мощности источника ночью, Lw, дБ			Lw + ΔTн		0	0	94,3	91,3	88,3	88,3	85,3	79,3	0			
ИШ-62 п. Дефлектор ГМУ-1 [протяжённость источника - 3.0 м]																
Режим работы источника:					непостоянный											
Продолжительность работы в дневной период (7.00-23.00):					16 час											
Продолжительность работы в ночной период (23.00-7.00):					8 час											
Тип источника шума:					автодорога											
Название:					Ширина = 0.2 м			Кол-во полос = 1			Ширина разд. полосы = 0 м					
Пространственный угол излучения, рад.		Ω = 6.28	исходные данные													
Эквивалентный уровень шума на расстоянии 1 м: Lтp, дБА			исходные данные		Днём - 87.2			Ночью - 87.2								
Максимальный уровень шума на расстоянии 1 м: Lтp_макс, дБА			исходные данные		Днём - 98.1			Ночью - 98.1								
Шкала перевода эквивалентного уровня в октавные УЗД, дБ		Δкoрp.	[11]		0	0	2	-1	-4	-4	-7	-13	0			
Октавные уровни звукового давления на расстоянии 1 м днём: Lтp, дБ			Lтpн-Дкoрp.		0	0	89,2	86,2	83,2	83,2	80,2	74,2	0	87,2	98,1	
Октавные уровни звукового давления на расстоянии 1 м ночью: Lтp, дБ			Lтpн-Дкoрp.		0	0	89,2	86,2	83,2	83,2	80,2	74,2	0	87,2	98,1	
Удельные (на 1м) октавные уровни звуковой мощности источника днём: Lw, дБ		Ro = 1 м l = 2.98 м	Lw = L + 10lg(Ro) + 8 - 10lg(2arctg(l/2Ro))		0	0	94,3	91,3	88,3	88,3	85,3	79,3	0			
Октавные уровни звуковой мощности максимального звука источника днём: Lwmax, дБ		Ro = 1 м	Lwmax = Lmax + 20lg(Ro) + 8		0	0	108,1	105,1	102,1	102,1	99,1	93,1	0			
Удельные (на 1м) октавные уровни звуковой мощности источника ночью: Lw, дБ		Ro = 1 м l = 2.98 м	Lw = L + 10lg(Ro) + 8 - 10lg(2arctg(l/2Ro))		0	0	94,3	91,3	88,3	88,3	85,3	79,3	0			
Октавные уровни звуковой мощности максимального звука источника ночью: Lwmax, дБ		Ro = 1 м	Lwmax = Lmax + 20lg(Ro) + 8		0	0	108,1	105,1	102,1	102,1	99,1	93,1	0			
Поправка на время работы источника днём ΔTd, дБ		τ = 16 ч время работы	10Lg(τ/16)		0											
Поправка на время работы источника ночью ΔTн, дБ		τ = 8 ч время работы	10Lg(τ/8)		0											
Эквивалентные уровни удельной (на 1м) звуковой мощности источника днём, Lw, дБ			Lw + ΔTd		0	0	94,3	91,3	88,3	88,3	85,3	79,3	0			
Эквивалентные уровни удельной (на 1м) звуковой мощности источника ночью, Lw, дБ			Lw + ΔTн		0	0	94,3	91,3	88,3	88,3	85,3	79,3	0			
ИШ-63 п. Дефлектор ГМУ-1 [протяжённость источника - 3.0 м]																
Режим работы источника:					непостоянный											
Продолжительность работы в дневной период (7.00-23.00):					16 час											
Продолжительность работы в ночной период (23.00-7.00):					8 час											
Тип источника шума:					автодорога											
Название:					Ширина = 0.2 м			Кол-во полос = 1			Ширина разд. полосы = 0 м					
Пространственный угол излучения, рад.		Ω = 6.28	исходные данные													
Эквивалентный уровень шума на расстоянии 1 м: Lтp, дБА			исходные данные		Днём - 87.2			Ночью - 87.2								
Максимальный уровень шума на расстоянии 1 м: Lтp_макс, дБА			исходные данные		Днём - 98.1			Ночью - 98.1								
Шкала перевода эквивалентного уровня в октавные УЗД, дБ		Δкoрp.	[11]		0	0	2	-1	-4	-4	-7	-13	0			
Октавные уровни звукового давления на расстоянии 1 м днём: Lтp, дБ			Lтpн-Дкoрp.		0	0	89,2	86,2	83,2	83,2	80,2	74,2	0	87,2	98,1	
Октавные уровни звукового давления на расстоянии 1 м ночью: Lтp, дБ			Lтpн-Дкoрp.		0	0	89,2	86,2	83,2	83,2	80,2	74,2	0	87,2	98,1	
Удельные (на 1м) октавные уровни звуковой мощности источника днём: Lw, дБ		Ro = 1 м l = 2.98 м	Lw = L + 10lg(Ro) + 8 - 10lg(2arctg(l/2Ro))		0	0	94,3	91,3	88,3	88,3	85,3	79,3	0			
Октавные уровни звуковой мощности максимального звука источника днём: Lwmax, дБ		Ro = 1 м	Lwmax = Lmax + 20lg(Ro) + 8		0	0	108,1	105,1	102,1	102,1	99,1	93,1	0			

1		2	3	4	5	6	7	8	9	10	11	12	13
Поправка на время работы источника ночью ΔТн, дБ		τ = 8 ч время работы	10Lg(τ/8)	0									
Эквивалентные уровни удельной (на 1м) звуковой мощности источника днём, Lw, дБ			Lw + ΔТд	0	0	57,8	54,8	51,8	51,8	48,8	42,8	0	
Эквивалентные уровни удельной (на 1м) звуковой мощности источника ночью, Lw, дБ			Lw + ΔТн	0	0	57,8	54,8	51,8	51,8	48,8	42,8	0	
ИШ-4рц. Работа ричстакера [протяжённость источника - 150.5 м]													
Режим работы источника:			непостоянный										
Продолжительность работы в дневной период (7.00-23.00):			16 час										
Продолжительность работы в ночной период (23.00-7.00):			8 час										
Тип источника шума:			автодорога										
Название:				Ширина = 3 м			Кол-во полос = 1			Ширина разд. полосы = 0 м			
Пространственный угол излучения, рад.		Ω = 12.57	исходные данные										
Эквивалентный уровень шума на расстоянии 7.5 м: Lтpп, дБА			исходные данные	Днём - 74.0			Ночью - 74.0						
Максимальный уровень шума на расстоянии 7.5 м: Lтpп_макс, дБА			исходные данные	Днём - 77.0			Ночью - 77.0						
Шкала перевода эквивалентного уровня в октавные УЗД, дБ		Δкорр.	[11]	0	0	2	-1	-4	-4	-7	-13	0	
Октавные уровни звукового давления на расстоянии 7.5 м днём: Lтpп, дБ			Lтpп-Дкорр.	0	0	76	73	70	70	67	61	0	74 77
Октавные уровни звукового давления на расстоянии 7.5 м ночью: Lтpп, дБ			Lтpп-Дкорр.	0	0	76	73	70	70	67	61	0	74 77
Удельные (на 1м) октавные уровни звуковой мощности источника днём: Lw, дБ		Ro = 7.5 м l = 150.51 м	Lw = L + 10lg(Ro) + 8 - 10lg(2arctg(l/2Ro))	0	0	88,1	85,1	82,1	82,1	79,1	73,1	0	
Октавные уровни звуковой мощности максимального звука источника днём: Lwmax, дБ		Ro = 7.5 м	Lwmax = Lmax + 20lg(Ro) + 8	0	0	104,5	101,5	98,5	98,5	95,5	89,5	0	
Удельные (на 1м) октавные уровни звуковой мощности источника ночью: Lw, дБ		Ro = 7.5 м l = 150.51 м	Lw = L + 10lg(Ro) + 8 - 10lg(2arctg(l/2Ro))	0	0	88,1	85,1	82,1	82,1	79,1	73,1	0	
Октавные уровни звуковой мощности максимального звука источника ночью: Lwmax, дБ		Ro = 7.5 м	Lwmax = Lmax + 20lg(Ro) + 8	0	0	104,5	101,5	98,5	98,5	95,5	89,5	0	
Поправка на время работы источника днём ΔТд, дБ		τ = 16 ч время работы	10Lg(τ/16)	0									
Поправка на время работы источника ночью ΔТн, дБ		τ = 8 ч время работы	10Lg(τ/8)	0									
Эквивалентные уровни удельной (на 1м) звуковой мощности источника днём, Lw, дБ			Lw + ΔТд	0	0	88,1	85,1	82,1	82,1	79,1	73,1	0	
Эквивалентные уровни удельной (на 1м) звуковой мощности источника ночью, Lw, дБ			Lw + ΔТн	0	0	88,1	85,1	82,1	82,1	79,1	73,1	0	
ИШ-5рц. П1(РСО) [координаты на плане (х,у,z), м = (6506.0,5127.7,4.0)]													
Режим работы источника:			постоянный										
Продолжительность работы в дневной период (7.00-23.00):			16 час										
Продолжительность работы в ночной период (23.00-7.00):			8 час										
Тип источника шума:			точечный										
Категория источника шума:			Источники шума на прилегающей территории										
Название:													
Примечание:													
Пространственный угол излучения, рад.		Ω = 6.28	исходные данные										
Октавные уровни звуковой мощности источника Lw, дБ			исходные данные	0	50	52	38	27	27	27	27	27	
ИШ-6рц. В1 (РСО) [координаты на плане (х,у,z), м = (6545.2,5105.2,18.5)]													
Режим работы источника:			постоянный										
Продолжительность работы в дневной период (7.00-23.00):			16 час										
Продолжительность работы в ночной период (23.00-7.00):			8 час										
Тип источника шума:			точечный										
Категория источника шума:			Источники шума на прилегающей территории										
Название:													
Примечание:													
Пространственный угол излучения, рад.		Ω = 6.28	исходные данные										
Октавные уровни звуковой мощности источника Lw, дБ			исходные данные	0	74	72	65	58	53	51	54	55	

1	2	3	4	5	6	7	8	9	10	11	12	13
ИШ-7рц. П2(РСО) [координаты на плане (x,y,z), м = (6500.4,5048.3,4.0)]												
Режим работы источника:			постоянный									
Продолжительность работы в дневной период (7.00-23.00):			16 час									
Продолжительность работы в ночной период (23.00-7.00):			8 час									
Тип источника шума:			точечный									
Категория источника шума:												
Вид агрегата/работ:												
Описание агрегата/работ:												
Пространственный угол излучения, рад.	$\Omega = 6.28$	исходные данные										
Октавные уровни звуковой мощности источника L_w , дБ	исходные данные	0	71	67	65	52	45	56	50	50		
ИШ-8рц. В2(РСО) [координаты на плане (x,y,z), м = (6563.8,5095.7,13.5)]												
Режим работы источника:			постоянный									
Продолжительность работы в дневной период (7.00-23.00):			16 час									
Продолжительность работы в ночной период (23.00-7.00):			8 час									
Тип источника шума:			точечный									
Категория источника шума:												
Вид агрегата/работ:												
Описание агрегата/работ:												
Пространственный угол излучения, рад.	$\Omega = 6.28$	исходные данные										
Октавные уровни звуковой мощности источника L_w , дБ	исходные данные	0	74	72	63	57	47	41	48	46		
ИШ-9рц. МО1(РСО) [координаты на плане (x,y,z), м = (6530.2,5084.4,18.5)]												
Режим работы источника:			постоянный									
Продолжительность работы в дневной период (7.00-23.00):			16 час									
Продолжительность работы в ночной период (23.00-7.00):			8 час									
Тип источника шума:			точечный									
Категория источника шума:												
Вид агрегата/работ:												
Описание агрегата/работ:												
Пространственный угол излучения, рад.	$\Omega = 6.28$	исходные данные										
Октавные уровни звуковой мощности источника L_w , дБ	исходные данные	0	68	78	72	73	74	70	70	64		
ИШ-10рц. Проезд г/а [протяжённость источника - 117.8 м]												
Режим работы источника:			непостоянный									
Продолжительность работы в дневной период (7.00-23.00):			16 час									
Продолжительность работы в ночной период (23.00-7.00):			8 час									
Тип источника шума:			автодорога									
Название:			Ширина = 3 м			Кол-во полос = 1			Ширина разд. полосы = 0 м			
Пространственный угол излучения, рад.	$\Omega = 12.57$	исходные данные										
Вид дорожного покрытия	исходные данные	шероховатая поверхностная обработка										
Суточная интенсивность движения автотранспорта $N_{сут}$, авт./сутки	исходные данные	2										
Скорость потока, км/ч	исходные данные	40										
% грузового транспорта в потоке	исходные данные	100										
Расчетная интенсивность движения в дневное время N_d , авт./час	ф-ла (3) [19]	0,2										
Расчетная интенсивность движения в ночное время N_n , авт./час	ф-ла (4) [19]	0,1										
Расчетный эквивалентный уровень звука на расстоянии 7.5 м для стандартных условий $L_{A_{грп7.5}}$, дБА	ф-ла (2) [19]	Днём: 42.8			Ночью: 40.3							
Поправка на долю грузового транспорта в потоке $\Delta L_{A_{груз}}$, дБА	Табл. 6.2 [19]	3										
Поправка на отличие фактической скорости потока $\Delta L_{A_{ск}}$, дБА	Табл. 6.3 [19]	-2,5										
Поправка на вид дорожного покрытия $\Delta L_{A_{пок}}$, дБА	Табл. 6.5 [19]	0										
Поправка на ширину разделительной полосы $\Delta L_{A_{рп}}$, дБА	Табл. 6.6 [19]	0										
Поправка на пересечение дорог, дБА	исходные данные	0										
* поправка на продольный уклон дорожного полотна учитывается непосредственно при расчёте каждого из точечных эквивалентных источников												
Эквивалентный уровень шума на расстоянии 7.5 м: $L_{тп}$, дБА	ф-ла (1) [19]	Днём - 43.3			Ночью - 40.8							
Максимальный уровень шума на расстоянии 7.5 м: $L_{тп_макс}$, дБА	ф-ла (6) [19]	Днём - 76.9			Ночью - 76.9							
Шкала перевода эквивалентного уровня в октавные УЗД, дБ	$\Delta_{корр_авт.}$	табл. 6.8 [19]	0	8,4	2	-1	-3,8	-3,7	-7,4	-12,3	-20,3	

1			2		3	4	5	6	7	8	9	10	11	12	13
Октавные уровни звукового давления на расстоянии 7.5 м днём: L, дБ			L _{тpп} +Δ _{кopp_авт.}		0	51,7	45,3	42,3	39,5	39,6	35,9	31	23	43,3	76,9
Октавные уровни звукового давления на расстоянии 7.5 м ночью: L, дБ			L _{тpп} +Δ _{кopp_авт.}		0	49,2	42,8	39,8	37	37,1	33,4	28,5	20,5	40,8	76,9
Октавные уровни удельной (на 1 м) звуковой мощности источника днём: L _w , дБ	R _o = 7.5 м l = 117.8 м		L _w = L + 10lg(R _o) + 8 - 10lg(2arctg(l/2R _o))		0	63,8	57,4	54,4	51,6	51,7	48	43,1	35,1		
Октавные уровни звуковой мощности максимального звука источника днём: L _{wmax} , дБ	R _o = 7.5 м		L _{wmax} = L _{max} + 20lg(R _o) + 8		0	110,8	104,4	101,4	98,6	98,7	95	90,1	82,1		
Октавные уровни удельной (на 1 м) звуковой мощности источника ночью: L _w , дБ	R _o = 7.5 м l = 117.8 м		L _w = L + 10lg(R _o) + 8 - 10lg(2arctg(l/2R _o))		0	61,3	54,9	51,9	49,1	49,2	45,5	40,6	32,6		
Октавные уровни звуковой мощности максимального звука источника ночью: L _{wmax} , дБ	R _o = 7.5 м		L _{wmax} = L _{max} + 20lg(R _o) + 8		0	110,8	104,4	101,4	98,6	98,7	95	90,1	82,1		
Поправка на время работы источника днём ΔT _д , дБ	τ = 16 ч время работы		10lg(τ/16)		0										
Поправка на время работы источника ночью ΔT _н , дБ	τ = 8 ч время работы		10lg(τ/8)		0										
Эквивалентные уровни удельной (на 1м) звуковой мощности источника днём, L _w , дБ			L _w + ΔT _д		0	63,8	57,4	54,4	51,6	51,7	48	43,1	35,1		
Эквивалентные уровни удельной (на 1м) звуковой мощности источника ночью, L _w , дБ			L _w + ΔT _н		0	61,3	54,9	51,9	49,1	49,2	45,5	40,6	32,6		
ИШ-11рц. ТП [координаты на плане (x,y,z), м = (6529.8,5050.1,1.0)]															
Режим работы источника:			постоянный												
Продолжительность работы в дневной период (7.00-23.00):			16 час												
Продолжительность работы в ночной период (23.00-7.00):			8 час												
Тип источника шума:			точечный												
Категория источника шума:															
Вид агрегата/работ:															
Описание агрегата/работ:															
Пространственный угол излучения, рад.	Ω = 6.28		исходные данные												
Уровень звуковой мощности источника L _{WA} , дБА			исходные данные											61	
Спектральные поправки K(Δ _{LA}) для разложения общего уровня звуковой мощности в спектр по октавным полосам, дБ			[5]		-999	7,1	5,5	1,8	-2,4	-6,4	-10,6	-14	-17,1		
Октавные уровни звуковой мощности источника L _w , дБ			L _w = L _{WA} + K(Δ _{LA})		0	68,1	66,5	62,8	58,6	54,6	50,4	47	43,9		
ИШ-12рц. ТП [координаты на плане (x,y,z), м = (6527.8,5045.9,1.0)]															
Режим работы источника:			постоянный												
Продолжительность работы в дневной период (7.00-23.00):			16 час												
Продолжительность работы в ночной период (23.00-7.00):			8 час												
Тип источника шума:			точечный												
Категория источника шума:															
Вид агрегата/работ:															
Описание агрегата/работ:															
Пространственный угол излучения, рад.	Ω = 6.28		исходные данные												
Уровень звуковой мощности источника L _{WA} , дБА			исходные данные											61	
Спектральные поправки K(Δ _{LA}) для разложения общего уровня звуковой мощности в спектр по октавным полосам, дБ			[5]		-999	7,1	5,5	1,8	-2,4	-6,4	-10,6	-14	-17,1		
Октавные уровни звуковой мощности источника L _w , дБ			L _w = L _{WA} + K(Δ _{LA})		0	68,1	66,5	62,8	58,6	54,6	50,4	47	43,9		
ИШ-13рц. Работа ричстакера на пл ЦМТО [протяжённость источника - 91.8 м]															
Режим работы источника:			непостоянный												
Продолжительность работы в дневной период (7.00-23.00):			16 час												
Продолжительность работы в ночной период (23.00-7.00):			8 час												
Тип источника шума:			автодорога												
Название:					Ширина = 6 м			Кол-во полос = 1			Ширина разд. полосы = 0 м				
Пространственный угол излучения, рад.	Ω = 12.57		исходные данные												
Эквивалентный уровень шума на расстоянии 7.5 м: L _{тpп} , дБА			исходные данные		Днём - 74.0			Ночью - 74.0							
Максимальный уровень шума на расстоянии 7.5 м: L _{тpп_макс} , дБА			исходные данные		Днём - 77.0			Ночью - 77.0							

1				2		3	4	5	6	7	8	9	10	11	12	13	
Шкала перевода эквивалентного уровня в октавные УЗД, дБ			Δкorr.	[11]		0	0	2	-1	-4	-4	-7	-13	0			
Октавные уровни звукового давления на расстоянии 7.5 м днём: Lтpп, дБ				Lтpп-Дкorr.		0	0	76	73	70	70	67	61	0	74	77	
Октавные уровни звукового давления на расстоянии 7.5 м ночью: Lтpп, дБ				Lтpп-Дкorr.		0	0	76	73	70	70	67	61	0	74	77	
Удельные (на 1м) октавные уровни звуковой мощности источника днём: Lw, дБ			Ro = 7.5 м l = 91.79 м	Lw = L + 10lg(Ro) + 8 - 10lg(2arctg(l/2Ro))		0	0	88,3	85,3	82,3	82,3	79,3	73,3	0			
Октавные уровни звуковой мощности максимального звука источника днём: Lwmax, дБ			Ro = 7.5 м	Lwmax = Lmax + 20lg(Ro) + 8		0	0	104,5	101,5	98,5	98,5	95,5	89,5	0			
Удельные (на 1м) октавные уровни звуковой мощности источника ночью: Lw, дБ			Ro = 7.5 м l = 91.79 м	Lw = L + 10lg(Ro) + 8 - 10lg(2arctg(l/2Ro))		0	0	88,3	85,3	82,3	82,3	79,3	73,3	0			
Октавные уровни звуковой мощности максимального звука источника ночью: Lwmax, дБ			Ro = 7.5 м	Lwmax = Lmax + 20lg(Ro) + 8		0	0	104,5	101,5	98,5	98,5	95,5	89,5	0			
Поправка на время работы источника днём ΔТд, дБ			τ = 16 ч время работы	10Lg(τ/16)		0											
Поправка на время работы источника ночью ΔТн, дБ			τ = 8 ч время работы	10Lg(τ/8)		0											
Эквивалентные уровни удельной (на 1м) звуковой мощности источника днём, Lw, дБ				Lw + ΔТд		0	0	88,3	85,3	82,3	82,3	79,3	73,3	0			
Эквивалентные уровни удельной (на 1м) звуковой мощности источника ночью, Lw, дБ				Lw + ΔТн		0	0	88,3	85,3	82,3	82,3	79,3	73,3	0			
ИШ-14рц. Проезд г/а [протяжённость источника - 1579.5 м]																	
Режим работы источника:						непостоянный											
Продолжительность работы в дневной период (7.00-23.00):						16 час											
Продолжительность работы в ночной период (23.00-7.00):						8 час											
Тип источника шума:						автодорога											
Название:						Ширина = 3 м			Кол-во полос = 1			Ширина разд. полосы = 0 м					
Пространственный угол излучения, рад.			Ω = 12.57	исходные данные													
Вид дорожного покрытия				исходные данные		шероховатая поверхностная обработка											
Суточная интенсивность движения автотранспорта Nсут, авт./сутки				исходные данные		2											
Скорость потока, км/ч				исходные данные		40											
% грузового транспорта в потоке				исходные данные		100											
Расчетная интенсивность движения в дневное время Nd, авт./час				Ф-ла (3) [19]		0,2											
Расчетная интенсивность движения в ночное время Nн, авт./час				Ф-ла (4) [19]		0,1											
Расчетный эквивалентный уровень звука на расстоянии 7.5 м для стандартных условий LАтpп7.5, дБА				Ф-ла (2) [19]		Днём: 42.8			Ночью: 40.3								
Поправка на долю грузового транспорта в потоке ΔLАгрзв, дБА				Табл. 6.2 [19]		3											
Поправка на отличие фактической скорости потока ΔLАскр, дБА				Табл. 6.3 [19]		-2,5											
Поправка на вид дорожного покрытия ΔLАпок, дБА				Табл. 6.5 [19]		0											
Поправка на ширину разделительной полосы ΔLАрп, дБА				Табл. 6.6 [19]		0											
Поправка на пересечение дорог, дБА				исходные данные		0											
* поправка на продольный уклон дорожного полотна учитывается непосредственно при расчёте каждого из точечных эквивалентных источников																	
Эквивалентный уровень шума на расстоянии 7.5 м: Lтpп, дБА				Ф-ла (1) [19]		Днём - 43.3			Ночью - 40.8								
Максимальный уровень шума на расстоянии 7.5 м: Lтpп_макс, дБА				Ф-ла (6) [19]		Днём - 76.9			Ночью - 76.9								
Шкала перевода эквивалентного уровня в октавные УЗД, дБ			Δкorr_авт.	табл. 6.8 [19]		0	8,4	2	-1	-3,8	-3,7	-7,4	-12,3	-20,3			
Октавные уровни звукового давления на расстоянии 7.5 м днём: L, дБ				Lтpп+Δкorr_авт.		0	51,7	45,3	42,3	39,5	39,6	35,9	31	23	43,3	76,9	
Октавные уровни звукового давления на расстоянии 7.5 м ночью: L, дБ				Lтpп+Δкorr_авт.		0	49,2	42,8	39,8	37	37,1	33,4	28,5	20,5	40,8	76,9	
Октавные уровни удельной (на 1 м) звуковой мощности источника днём: Lw, дБ			Ro = 7.5 м l = 1579.5 м	Lw = L + 10lg(Ro) + 8 - 10lg(2arctg(l/2Ro))		0	63,5	57,1	54,1	51,3	51,4	47,7	42,8	34,8			
Октавные уровни звуковой мощности максимального звука источника днём: Lwmax, дБ			Ro = 7.5 м	Lwmax = Lmax + 20lg(Ro) + 8		0	110,8	104,4	101,4	98,6	98,7	95	90,1	82,1			
Октавные уровни удельной (на 1 м) звуковой мощности источника ночью: Lw, дБ			Ro = 7.5 м l = 1579.5 м	Lw = L + 10lg(Ro) + 8 - 10lg(2arctg(l/2Ro))		0	61	54,6	51,6	48,8	48,9	45,2	40,3	32,3			
Октавные уровни звуковой мощности максимального звука источника ночью: Lwmax, дБ			Ro = 7.5 м	Lwmax = Lmax + 20lg(Ro) + 8		0	110,8	104,4	101,4	98,6	98,7	95	90,1	82,1			
Поправка на время работы источника днём ΔТд, дБ			τ = 16 ч время работы	10Lg(τ/16)		0											

[illegible]

1	2	3	4	5	6	7	8	9	10	11	12	13
Режим работы источника:		постоянный										
Продолжительность работы в дневной период (7.00-23.00):		16 час										
Продолжительность работы в ночной период (23.00-7.00):		8 час										
Тип источника шума:		точечный										
Категория источника шума:		Источники шума на прилегающей территории										
Название:												
Примечание:												
Пространственный угол излучения, рад.	$\Omega = 6.28$	исходные данные										
Октавные уровни звуковой мощности источника L_w , дБ		исходные данные	0	79	78	86	80	79	74	76	71	
ИШ-15хму [координаты на плане (х,у,z), м = (7194.3,5372.5,8.0)]												
Режим работы источника:		постоянный										
Продолжительность работы в дневной период (7.00-23.00):		16 час										
Продолжительность работы в ночной период (23.00-7.00):		8 час										
Тип источника шума:		точечный										
Категория источника шума:		Источники шума на прилегающей территории										
Название:												
Примечание:												
Пространственный угол излучения, рад.	$\Omega = 6.28$	исходные данные										
Октавные уровни звуковой мощности источника L_w , дБ		исходные данные	0	91	94	85	77	74	69	64	63	
ИШ-16хму. Участок измельчения ПНТП [координаты на плане (х,у,z), м = (7214.4,5383.7,8.0)]												
Режим работы источника:		постоянный										
Продолжительность работы в дневной период (7.00-23.00):		16 час										
Продолжительность работы в ночной период (23.00-7.00):		8 час										
Тип источника шума:		точечный										
Категория источника шума:												
Вид агрегата/работ:												
Описание агрегата/работ:												
Пространственный угол излучения, рад.	$\Omega = 6.28$	исходные данные										
Октавные уровни звуковой мощности источника L_w , дБ		исходные данные	0	86	84	72	63	55	49	44	41	
ИШ-17хму. Участок дробления и измельчения сплава [координаты на плане (х,у,z), м = (7220.9,5358.3,8.0)]												
Режим работы источника:		постоянный										
Продолжительность работы в дневной период (7.00-23.00):		16 час										
Продолжительность работы в ночной период (23.00-7.00):		8 час										
Тип источника шума:		точечный										
Категория источника шума:												
Вид агрегата/работ:												
Описание агрегата/работ:												
Пространственный угол излучения, рад.	$\Omega = 6.28$	исходные данные										
Октавные уровни звуковой мощности источника L_w , дБ		исходные данные	0	86	84	72	63	55	50	47	40	
ИШ-18хму [координаты на плане (х,у,z), м = (7206.3,5323.2,8.0)]												
Режим работы источника:		постоянный										
Продолжительность работы в дневной период (7.00-23.00):		16 час										
Продолжительность работы в ночной период (23.00-7.00):		8 час										
Тип источника шума:		точечный										
Категория источника шума:												
Вид агрегата/работ:												
Описание агрегата/работ:												
Пространственный угол излучения, рад.	$\Omega = 6.28$	исходные данные										
Октавные уровни звуковой мощности источника L_w , дБ		исходные данные	0	87	80	66	57	53	48	46	43	
ИШ-19хму. Механическая мастерская [координаты на плане (х,у,z), м = (7191.1,5286.3,8.0)]												
Режим работы источника:		постоянный										
Продолжительность работы в дневной период (7.00-23.00):		16 час										
Продолжительность работы в ночной период (23.00-7.00):		8 час										
Тип источника шума:		точечный										

1	2	3	4	5	6	7	8	9	10	11	12	13
Категория источника шума:												
Вид агрегата/работ:												
Описание агрегата/работ:												
Пространственный угол излучения, рад.	$\Omega = 6.28$	исходные данные										
Октавные уровни звуковой мощности источника L_w , дБ		исходные данные	0	87	80	66	57	53	48	46	43	
ИШ-20хму. Помещение ОТК [координаты на плане (x,y,z), м = (7164.1,5260.6,8.0)]												
Режим работы источника:		постоянный										
Продолжительность работы в дневной период (7.00-23.00):		16 час										
Продолжительность работы в ночной период (23.00-7.00):		8 час										
Тип источника шума:		точечный										
Категория источника шума:												
Вид агрегата/работ:												
Описание агрегата/работ:												
Пространственный угол излучения, рад.	$\Omega = 6.28$	исходные данные										
Октавные уровни звуковой мощности источника L_w , дБ		исходные данные	0	67	69	91	50	45	42	39	35	
ИШв9. ЦЭН.ОЭН-2 П5 [координаты на плане (x,y,z), м = (6714.2,4178.3,22.5)]												
Режим работы источника:		постоянный										
Продолжительность работы в дневной период (7.00-23.00):		16 час										
Продолжительность работы в ночной период (23.00-7.00):		8 час										
Тип источника шума:		точечный										
Категория источника шума:												
Вид агрегата/работ:												
Описание агрегата/работ:												
Пространственный угол излучения, рад.	$\Omega = 6.28$	исходные данные										
Октавные уровни звуковой мощности источника L_w , дБ		исходные данные	0	90	85	85	88	86	84	78	70	
ИШв-10. ЦЭН.ОЭН-2 П7 [координаты на плане (x,y,z), м = (6712.6,4181.3,22.5)]												
Режим работы источника:		постоянный										
Продолжительность работы в дневной период (7.00-23.00):		16 час										
Продолжительность работы в ночной период (23.00-7.00):		8 час										
Тип источника шума:		точечный										
Категория источника шума:												
Вид агрегата/работ:												
Описание агрегата/работ:												
Пространственный угол излучения, рад.	$\Omega = 6.28$	исходные данные										
Октавные уровни звуковой мощности источника L_w , дБ		исходные данные	0	90	85	85	88	86	84	78	70	
ИШв-11. ЦПУ П1 [координаты на плане (x,y,z), м = (6485.5,4164.7,19.2)]												
Режим работы источника:		постоянный										
Продолжительность работы в дневной период (7.00-23.00):		16 час										
Продолжительность работы в ночной период (23.00-7.00):		8 час										
Тип источника шума:		точечный										
Категория источника шума:												
Вид агрегата/работ:												
Описание агрегата/работ:												
Пространственный угол излучения, рад.	$\Omega = 6.28$	исходные данные										
Октавные уровни звуковой мощности источника L_w , дБ		исходные данные	0	103	98	98	101	99	97	91	83	
ИШв-12. ЦПУ П2 [координаты на плане (x,y,z), м = (6488.4,4172.1,19.2)]												
Режим работы источника:		постоянный										
Продолжительность работы в дневной период (7.00-23.00):		16 час										
Продолжительность работы в ночной период (23.00-7.00):		8 час										
Тип источника шума:		точечный										
Категория источника шума:												
Вид агрегата/работ:												
Описание агрегата/работ:												

1		2	3	4	5	6	7	8	9	10	11	12	13
Пространственный угол излучения, рад.		$\Omega = 6.28$	исходные данные										
Октавные уровни звуковой мощности источника L_w , дБ		исходные данные											
0		101 96 96 99 97 95 89 81											

ИШв-13. ЦПУ ПЗ [координаты на плане (x,y,z), м = (6491.7,4179.9,19.2)]

Режим работы источника:		постоянный											
Продолжительность работы в дневной период (7.00-23.00):		16 час											
Продолжительность работы в ночной период (23.00-7.00):		8 час											
Тип источника шума:		точечный											
Категория источника шума:													
Вид агрегата/работ:													
Описание агрегата/работ:													
Пространственный угол излучения, рад.		$\Omega = 6.28$	исходные данные										
0		103 98 98 101 99 97 91 83											

ИШв-14. ЦПУ П6 [координаты на плане (x,y,z), м = (6494.0,4186.5,19.2)]

Режим работы источника:		постоянный											
Продолжительность работы в дневной период (7.00-23.00):		16 час											
Продолжительность работы в ночной период (23.00-7.00):		8 час											
Тип источника шума:		точечный											
Категория источника шума:													
Вид агрегата/работ:													
Описание агрегата/работ:													
Пространственный угол излучения, рад.		$\Omega = 6.28$	исходные данные										
0		103 98 98 101 99 97 91 83											

ИШв-15. ЦПУ П8 [координаты на плане (x,y,z), м = (6497.4,4194.9,19.2)]

Режим работы источника:		постоянный											
Продолжительность работы в дневной период (7.00-23.00):		16 час											
Продолжительность работы в ночной период (23.00-7.00):		8 час											
Тип источника шума:		точечный											
Категория источника шума:		Источники шума на прилегающей территории											
Название:													
Примечание:													
Пространственный угол излучения, рад.		$\Omega = 6.28$	исходные данные										
0		103 98 98 101 99 97 91 83											

ИШв-16. ЦВК В1 [координаты на плане (x,y,z), м = (6559.7,4130.1,18.9)]

Режим работы источника:		постоянный											
Продолжительность работы в дневной период (7.00-23.00):		16 час											
Продолжительность работы в ночной период (23.00-7.00):		8 час											
Тип источника шума:		точечный											
Категория источника шума:													
Вид агрегата/работ:													
Описание агрегата/работ:													
Пространственный угол излучения, рад.		$\Omega = 6.28$	исходные данные										
0		99 99 99 94 92 89 86 82											

ИШв-17. ЦВК В2 [координаты на плане (x,y,z), м = (6559.9,4122.7,18.9)]

Режим работы источника:		постоянный											
Продолжительность работы в дневной период (7.00-23.00):		16 час											
Продолжительность работы в ночной период (23.00-7.00):		8 час											
Тип источника шума:		точечный											
Категория источника шума:													
Вид агрегата/работ:													
Описание агрегата/работ:													
Пространственный угол излучения, рад.		$\Omega = 6.28$	исходные данные										
0		99 99 99 94 92 89 86 82											

1	2	3	4	5	6	7	8	9	10	11	12	13
ИШв-18. ЦВК ВЗ [координаты на плане (x,y,z), м = (6559.6,4119.7,18.9)]												
Режим работы источника:		постоянный										
Продолжительность работы в дневной период (7.00-23.00):		16 час										
Продолжительность работы в ночной период (23.00-7.00):		8 час										
Тип источника шума:		точечный										
Категория источника шума:												
Вид агрегата/работ:												
Описание агрегата/работ:												
Пространственный угол излучения, рад.	$\Omega = 6.28$	исходные данные										
Октавные уровни звуковой мощности источника L_w , дБ		исходные данные	0	99	99	99	94	92	89	86	82	
ИШв-19. ГМО2 П5 [координаты на плане (x,y,z), м = (7030.6,5457.6,20.6)]												
Режим работы источника:		постоянный										
Продолжительность работы в дневной период (7.00-23.00):		16 час										
Продолжительность работы в ночной период (23.00-7.00):		8 час										
Тип источника шума:		точечный										
Категория источника шума:												
Вид агрегата/работ:												
Описание агрегата/работ:												
Пространственный угол излучения, рад.	$\Omega = 6.28$	исходные данные										
Октавные уровни звуковой мощности источника L_w , дБ		исходные данные	0	93	88	88	91	89	87	81	73	
ИШв-20. ГМО2 П7 [координаты на плане (x,y,z), м = (7033.8,5453.7,20.6)]												
Режим работы источника:		постоянный										
Продолжительность работы в дневной период (7.00-23.00):		16 час										
Продолжительность работы в ночной период (23.00-7.00):		8 час										
Тип источника шума:		точечный										
Категория источника шума:		Источники шума на прилегающей территории										
Название:												
Примечание:												
Пространственный угол излучения, рад.	$\Omega = 6.28$	исходные данные										
Октавные уровни звуковой мощности источника L_w , дБ		исходные данные	0	93	88	88	91	89	87	81	73	
ИШв -21. ГМО2 В1 [координаты на плане (x,y,z), м = (7021.6,5463.4,20.6)]												
Режим работы источника:		постоянный										
Продолжительность работы в дневной период (7.00-23.00):		16 час										
Продолжительность работы в ночной период (23.00-7.00):		8 час										
Тип источника шума:		точечный										
Категория источника шума:		Источники шума на прилегающей территории										
Название:												
Примечание:												
Пространственный угол излучения, рад.	$\Omega = 6.28$	исходные данные										
Октавные уровни звуковой мощности источника L_w , дБ		исходные данные	0	100	101	95	94	93	91	87	82	
ИШв-22. ГМО2 В2 [координаты на плане (x,y,z), м = (7034.1,5452.9,20.6)]												
Режим работы источника:		постоянный										
Продолжительность работы в дневной период (7.00-23.00):		16 час										
Продолжительность работы в ночной период (23.00-7.00):		8 час										
Тип источника шума:		точечный										
Категория источника шума:		Источники шума на прилегающей территории										
Название:												
Примечание:												
Пространственный угол излучения, рад.	$\Omega = 6.28$	исходные данные										
Октавные уровни звуковой мощности источника L_w , дБ		исходные данные	0	95	106	100	94	93	91	86	79	
ИШв-23. ГМО2 В4 [координаты на плане (x,y,z), м = (7035.4,5445.4,20.6)]												
Режим работы источника:		постоянный										
Продолжительность работы в дневной период (7.00-23.00):		16 час										

1	2	3	4	5	6	7	8	9	10	11	12	13
Продолжительность работы в ночной период (23.00-7.00):		8 час										
Тип источника шума:		точечный										
Категория источника шума:		Источники шума на прилегающей территории										
Название:												
Примечание:												
Пространственный угол излучения, рад.	$\Omega = 6.28$	исходные данные										
Октавные уровни звуковой мощности источника L_w , дБ		исходные данные	0	73	81	78	74	70	66	61	66	
ИШв-24. ГМО2 В5 [координаты на плане (x,y,z), м = (7035.8,5444.3,20.6)]												
Режим работы источника:		постоянный										
Продолжительность работы в дневной период (7.00-23.00):		16 час										
Продолжительность работы в ночной период (23.00-7.00):		8 час										
Тип источника шума:		точечный										
Категория источника шума:		Источники шума на прилегающей территории										
Название:												
Примечание:												
Пространственный угол излучения, рад.	$\Omega = 6.28$	исходные данные										
Октавные уровни звуковой мощности источника L_w , дБ		исходные данные	0	73	81	78	74	70	66	61	66	
ИШв-25. ГМО2 В6 [координаты на плане (x,y,z), м = (7035.1,5444.5,20.6)]												
Режим работы источника:		постоянный										
Продолжительность работы в дневной период (7.00-23.00):		16 час										
Продолжительность работы в ночной период (23.00-7.00):		8 час										
Тип источника шума:		точечный										
Категория источника шума:		Источники шума на прилегающей территории										
Название:												
Примечание:												
Пространственный угол излучения, рад.	$\Omega = 6.28$	исходные данные										
Октавные уровни звуковой мощности источника L_w , дБ		исходные данные	0	73	81	78	74	70	66	61	66	
ИШв-26. П2 [координаты на плане (x,y,z), м = (6517.9,4121.4,35.0)]												
Режим работы источника:		постоянный										
Продолжительность работы в дневной период (7.00-23.00):		16 час										
Продолжительность работы в ночной период (23.00-7.00):		8 час										
Тип источника шума:		точечный										
Категория источника шума:												
Вид агрегата/работ:												
Описание агрегата/работ:												
Пространственный угол излучения, рад.	$\Omega = 6.28$	исходные данные										
Октавные уровни звуковой мощности источника L_w , дБ		исходные данные	0	98	93	93	96	94	92	86	78	
ИШв -27. В1-В3 [координаты на плане (x,y,z), м = (6525.8,4125.2,35.0)]												
Режим работы источника:		постоянный										
Продолжительность работы в дневной период (7.00-23.00):		16 час										
Продолжительность работы в ночной период (23.00-7.00):		8 час										
Тип источника шума:		точечный										
Категория источника шума:												
Вид агрегата/работ:												
Описание агрегата/работ:												
Пространственный угол излучения, рад.	$\Omega = 6.28$	исходные данные										
Октавные уровни звуковой мощности источника L_w , дБ		исходные данные	0	97	100	102	98	97	94	91	87	
ИШв-28. П2 [координаты на плане (x,y,z), м = (6592.8,4237.8,22.5)]												
Режим работы источника:		постоянный										
Продолжительность работы в дневной период (7.00-23.00):		16 час										
Продолжительность работы в ночной период (23.00-7.00):		8 час										
Тип источника шума:		точечный										
Категория источника шума:												
Вид агрегата/работ:												

1		2	3	4	5	6	7	8	9	10	11	12	13
Описание агрегата/работ:													
Пространственный угол излучения, рад.	$\Omega = 6.28$	исходные данные											
Октавные уровни звуковой мощности источника L_w , дБ		исходные данные	0	93	88	88	91	89	87	81	73		
ИШв-29. В1-В2,В8 [координаты на плане (x,y,z), м = (6615.9,4224.2,22.5)]													
Режим работы источника:		постоянный											
Продолжительность работы в дневной период (7.00-23.00):		16 час											
Продолжительность работы в ночной период (23.00-7.00):		8 час											
Тип источника шума:		точечный											
Категория источника шума:													
Вид агрегата/работ:													
Описание агрегата/работ:													
Пространственный угол излучения, рад.	$\Omega = 6.28$	исходные данные											
Октавные уровни звуковой мощности источника L_w , дБ		исходные данные	0	80	95	98	87	86	84	80	67		
ИШ-24 ОПУ. В13 [координаты на плане (x,y,z), м = (6960.6,5054.7,14.3)]													
Режим работы источника:		постоянный											
Продолжительность работы в дневной период (7.00-23.00):		16 час											
Продолжительность работы в ночной период (23.00-7.00):		8 час											
Тип источника шума:		точечный											
Категория источника шума:													
Вид агрегата/работ:													
Описание агрегата/работ:													
Пространственный угол излучения, рад.	$\Omega = 6.28$	исходные данные											
Октавные уровни звуковой мощности источника L_w , дБ		исходные данные	61	64	73	73	71	71	68	62	0		
ИШв-30. П1 [координаты на плане (x,y,z), м = (6591.6,4231.2,22.5)]													
Режим работы источника:		постоянный											
Продолжительность работы в дневной период (7.00-23.00):		16 час											
Продолжительность работы в ночной период (23.00-7.00):		8 час											
Тип источника шума:		точечный											
Категория источника шума:													
Вид агрегата/работ:													
Описание агрегата/работ:													
Пространственный угол излучения, рад.	$\Omega = 6.28$	исходные данные											
Октавные уровни звуковой мощности источника L_w , дБ		исходные данные	0	92	87	87	90	88	86	80	72		
ИШв-30. В3-В6 [координаты на плане (x,y,z), м = (6591.1,4231.8,22.5)]													
Режим работы источника:		постоянный											
Продолжительность работы в дневной период (7.00-23.00):		16 час											
Продолжительность работы в ночной период (23.00-7.00):		8 час											
Тип источника шума:		точечный											
Категория источника шума:													
Вид агрегата/работ:													
Описание агрегата/работ:													
Пространственный угол излучения, рад.	$\Omega = 6.28$	исходные данные											
Октавные уровни звуковой мощности источника L_w , дБ		исходные данные	0	65	76	78	69	67	65	61	48		
ИШв-32. П1 [координаты на плане (x,y,z), м = (6537.6,4144.3,35.0)]													
Режим работы источника:		постоянный											
Продолжительность работы в дневной период (7.00-23.00):		16 час											
Продолжительность работы в ночной период (23.00-7.00):		8 час											
Тип источника шума:		точечный											
Категория источника шума:													
Вид агрегата/работ:													
Описание агрегата/работ:													
Пространственный угол излучения, рад.	$\Omega = 6.28$	исходные данные											
Октавные уровни звуковой мощности источника L_w , дБ		исходные данные	0	66	75	66	64	57	53	47	43		

1			2		3	4	5	6	7	8	9	10	11	12	13	
ИШ-1 ОПУ. Пом. электрофильтров [площадь источника - 123.5 м2]																
Режим работы источника:					непостоянный											
Продолжительность работы в дневной период (7.00-23.00):					16 час											
Продолжительность работы в ночной период (23.00-7.00):					8 час											
Тип источника шума:					площадной											
Категория источника шума:																
Вид агрегата/работ:																
Описание агрегата/работ:																
Пространственный угол излучения, рад.			Ω = 6.28	исходные данные												
Октавные уровни удельной (на 1м ²) звуковой мощности источника Lw, дБ				исходные данные	116,1	119,1	105,1	97,7	84,7	80,9	79,4	69,3	99,3			
Поправка на время работы источника днём ΔTd, дБ			τ = 16 ч время работы	10Lg(τ/16)	0											
Поправка на время работы источника ночью ΔTn, дБ			τ = 8 ч время работы	10Lg(τ/8)	0											
Эквивалентные уровни удельной (на 1м ²) звуковой мощности источника днём, Lw, дБ				Lw + ΔTd	116,1	119,1	105,1	97,7	84,7	80,9	79,4	69,3	99,3			
Эквивалентные уровни удельной (на 1м ²) звуковой мощности источника ночью, Lw, дБ				Lw + ΔTn	116,1	119,1	105,1	97,7	84,7	80,9	79,4	69,3	99,3			
ИШ-2 ОПУ. Пом. мастерской [площадь источника - 19.9 м2]																
Режим работы источника:					постоянный											
Продолжительность работы в дневной период (7.00-23.00):					16 час											
Продолжительность работы в ночной период (23.00-7.00):					8 час											
Тип источника шума:					площадной											
Категория источника шума:																
Вид агрегата/работ:																
Описание агрегата/работ:																
Пространственный угол излучения, рад.			Ω = 6.28	исходные данные												
Октавные уровни удельной (на 1м ²) звуковой мощности источника Lw, дБ				исходные данные	97,3	97,3	71,5	61,7	49,9	45,8	44,1	39,2	66,9			
ИШ-3 ОПУ. Пом. мастеской [площадь источника - 24.8 м2]																
Режим работы источника:					постоянный											
Продолжительность работы в дневной период (7.00-23.00):					16 час											
Продолжительность работы в ночной период (23.00-7.00):					8 час											
Тип источника шума:					площадной											
Категория источника шума:																
Вид агрегата/работ:																
Описание агрегата/работ:																
Пространственный угол излучения, рад.			Ω = 6.28	исходные данные												
Октавные уровни удельной (на 1м ²) звуковой мощности источника Lw, дБ				исходные данные	103,9	106,9	92,9	58,6	72,5	68,8	64,6	56,6	99,2			
ИШ-4 ОПУ. Пом. дымососа [площадь источника - 229.6 м2]																
Режим работы источника:					постоянный											
Продолжительность работы в дневной период (7.00-23.00):					16 час											
Продолжительность работы в ночной период (23.00-7.00):					8 час											
Тип источника шума:					площадной											
Категория источника шума:																
Вид агрегата/работ:																
Описание агрегата/работ:																
Пространственный угол излучения, рад.			Ω = 6.28	исходные данные												
Октавные уровни удельной (на 1м ²) звуковой мощности источника Lw, дБ				исходные данные	73,7	76,7	62,7	55,2	42,2	38,5	37	26,9	56,9			
ИШ-6 ОПУ. П1 пом. ЭФ [координаты на плане (x,y,z), м = (6933.8,5090.3,9.6)]																
Режим работы источника:					постоянный											
Продолжительность работы в дневной период (7.00-23.00):					16 час											
Продолжительность работы в ночной период (23.00-7.00):					8 час											
Тип источника шума:					точечный											
Категория источника шума:																
Вид агрегата/работ:																
Описание агрегата/работ:																

1		2	3	4	5	6	7	8	9	10	11	12	13
Пространственный угол излучения, рад.		$\Omega = 6.28$	исходные данные										
Октавные уровни звуковой мощности источника L_w , дБ		исходные данные	76,4	78,5	87,5	87,7	86	86	83	77	76		
ИШ-7 ОПУ. П2 пом. ЭФ [координаты на плане (x,y,z), м = (6935.3,5093.3,9.6)]													
Режим работы источника:			постоянный										
Продолжительность работы в дневной период (7.00-23.00):			16 час										
Продолжительность работы в ночной период (23.00-7.00):			8 час										
Тип источника шума:			точечный										
Категория источника шума:													
Вид агрегата/работ:													
Описание агрегата/работ:													
Пространственный угол излучения, рад.		$\Omega = 6.28$	исходные данные										
Октавные уровни звуковой мощности источника L_w , дБ		исходные данные	76,4	78,5	87,5	87,7	86	86	83	77	76		
ИШ-8 ОПУ. ПЗ КТП [координаты на плане (x,y,z), м = (6935.7,5096.2,9.6)]													
Режим работы источника:			постоянный										
Продолжительность работы в дневной период (7.00-23.00):			16 час										
Продолжительность работы в ночной период (23.00-7.00):			8 час										
Тип источника шума:			точечный										
Категория источника шума:													
Вид агрегата/работ:													
Описание агрегата/работ:													
Пространственный угол излучения, рад.		$\Omega = 6.28$	исходные данные										
Октавные уровни звуковой мощности источника L_w , дБ		исходные данные	79,4	72,2	79,2	87,5	85,8	82,8	82,8	73,8	72,8		
ИШ-9 ОПУ. Преобр. станция [координаты на плане (x,y,z), м = (6925.7,5071.2,11.2)]													
Режим работы источника:			постоянный										
Продолжительность работы в дневной период (7.00-23.00):			16 час										
Продолжительность работы в ночной период (23.00-7.00):			8 час										
Тип источника шума:			точечный										
Категория источника шума:													
Вид агрегата/работ:													
Описание агрегата/работ:													
Пространственный угол излучения, рад.		$\Omega = 6.28$	исходные данные										
Октавные уровни звуковой мощности источника L_w , дБ		исходные данные	79,4	72,4	79,4	87,6	85,9	82,9	79,9	73,9	72,9		
ИШ-10 ОПУ. П5 ЭФ [координаты на плане (x,y,z), м = (6926.5,5070.9,11.2)]													
Режим работы источника:			постоянный										
Продолжительность работы в дневной период (7.00-23.00):			16 час										
Продолжительность работы в ночной период (23.00-7.00):			8 час										
Тип источника шума:			точечный										
Категория источника шума:													
Вид агрегата/работ:													
Описание агрегата/работ:													
Пространственный угол излучения, рад.		$\Omega = 6.28$	исходные данные										
Октавные уровни звуковой мощности источника L_w , дБ		исходные данные	73,3	75,3	84,3	84,5	82,8	82,8	79,8	73,8	72,8		
ИШ-11 ОПУ. П6 ПСУ2 [координаты на плане (x,y,z), м = (6936.9,5100.3,7.2)]													
Режим работы источника:			постоянный										
Продолжительность работы в дневной период (7.00-23.00):			16 час										
Продолжительность работы в ночной период (23.00-7.00):			8 час										
Тип источника шума:			точечный										
Категория источника шума:													
Вид агрегата/работ:													
Описание агрегата/работ:													
Пространственный угол излучения, рад.		$\Omega = 6.28$	исходные данные										
Октавные уровни звуковой мощности источника L_w , дБ		исходные данные	63,3	66	75	75,1	73,2	73,2	70,2	64,2	63,1		

1			2			3	4	5	6	7	8	9	10	11	12	13
Продолжительность работы в ночной период (23.00-7.00):			8 час													
Тип источника шума:			точечный													
Категория источника шума:																
Вид агрегата/работ:																
Описание агрегата/работ:																
Пространственный угол излучения, рад.		$\Omega = 6.28$	исходные данные													
Октавные уровни звуковой мощности источника Lw, дБ		исходные данные		63	66	75	75	73	73	70	64	63				
ИШ-19 ОПУ. В8 ЭФ [координаты на плане (x,y,z), м = (6960.6,5069.0,16.4)]																
Режим работы источника:			постоянный													
Продолжительность работы в дневной период (7.00-23.00):			16 час													
Продолжительность работы в ночной период (23.00-7.00):			8 час													
Тип источника шума:			точечный													
Категория источника шума:																
Вид агрегата/работ:																
Описание агрегата/работ:																
Пространственный угол излучения, рад.		$\Omega = 6.28$	исходные данные													
Октавные уровни звуковой мощности источника Lw, дБ		исходные данные		63	66	75	75	73	73	70	64	63				
ИШ-20 ОПУ. В9 пом ЭФ [координаты на плане (x,y,z), м = (6964.3,5077.9,16.4)]																
Режим работы источника:			постоянный													
Продолжительность работы в дневной период (7.00-23.00):			16 час													
Продолжительность работы в ночной период (23.00-7.00):			8 час													
Тип источника шума:			точечный													
Категория источника шума:																
Вид агрегата/работ:																
Описание агрегата/работ:																
Пространственный угол излучения, рад.		$\Omega = 6.28$	исходные данные													
Октавные уровни звуковой мощности источника Lw, дБ		исходные данные		63	66	75	75	73	73	70	64	63				
ИШ-21 ОПУ. В10 пом ЭФ [координаты на плане (x,y,z), м = (6967.9,5087.6,16.4)]																
Режим работы источника:			постоянный													
Продолжительность работы в дневной период (7.00-23.00):			16 час													
Продолжительность работы в ночной период (23.00-7.00):			8 час													
Тип источника шума:			точечный													
Категория источника шума:																
Вид агрегата/работ:																
Описание агрегата/работ:																
Пространственный угол излучения, рад.		$\Omega = 6.28$	исходные данные													
Октавные уровни звуковой мощности источника Lw, дБ		исходные данные		63	66	75	75	73	73	70	64	63				
ИШ-22 ОПУ. В11 [координаты на плане (x,y,z), м = (6972.5,5085.8,14.3)]																
Режим работы источника:			постоянный													
Продолжительность работы в дневной период (7.00-23.00):			16 час													
Продолжительность работы в ночной период (23.00-7.00):			8 час													
Тип источника шума:			точечный													
Категория источника шума:																
Вид агрегата/работ:																
Описание агрегата/работ:																
Пространственный угол излучения, рад.		$\Omega = 6.28$	исходные данные													
Октавные уровни звуковой мощности источника Lw, дБ		исходные данные		61	64	73	73	71	71	68	62	0				
ИШ-23 ОПУ. В12 [координаты на плане (x,y,z), м = (6969.7,5076.6,14.3)]																
Режим работы источника:			постоянный													
Продолжительность работы в дневной период (7.00-23.00):			16 час													
Продолжительность работы в ночной период (23.00-7.00):			8 час													
Тип источника шума:			точечный													
Категория источника шума:																
Вид агрегата/работ:																

1		2	3	4	5	6	7	8	9	10	11	12	13
Описание агрегата/работ:													
Пространственный угол излучения, рад.	$\Omega = 6.28$	исходные данные											
Октавные уровни звуковой мощности источника L_w , дБ		исходные данные	61	64	73	73	71	71	68	62	0		

Исходные данные и определение уровней звуковой мощности источников шума													
Наименование величин и их описание	Ссылка	Уровни звукового давления, дБ, в октавных полосах, со среднегеометрическими частотами, Гц										L _a , дБА	L _{макс} , дБА
		31,5	63	125	250	500	1000	2000	4000	8000			
1	2	3	4	5	6	7	8	9	10	11		12	13
ИШ-385 В02 [координаты на плане (x,y,z), м = (6983.7,4457.3,12.1)]													
Режим работы источника:		постоянный											
Продолжительность работы в дневной период (7.00-23.00):		16 час											
Продолжительность работы в ночной период (23.00-7.00):		8 час											
Тип источника шума:		вентиляционная система											
Вентустановка:		KORF, WRW 90-50/45.6D (P=580Па)											
Тип вентсистемы:		вытяжная											
Пространственный угол излучения, рад.	$\Omega = 6.28$	исходные данные											
Октавные уровни звуковой мощности вентилятора, излучаемой корпусом, L _{wвв} , дБ		[24]	0	66	68,7	57,6	52,2	50,7	48,6	46,6	44,7		
Октавные уровни звуковой мощности вентилятора, L _w , дБ	на выходе	[24]	0	75,9	87,8	77,6	76,5	75,4	73	71,8	63,4		
Суммарный (по энергии) уровень звуковой мощности вентсистемы, L _w , дБ		Эн.сум(L _{wпp} , L _{wвв})	0	76,3	87,9	77,6	76,5	75,4	73	71,8	63,5		
ИШ-386 В02а [координаты на плане (x,y,z), м = (6985.2,4460.5,12.1)]													
Режим работы источника:		постоянный											
Продолжительность работы в дневной период (7.00-23.00):		16 час											
Продолжительность работы в ночной период (23.00-7.00):		8 час											
Тип источника шума:		вентиляционная система											
Вентустановка:		KORF, WRW 90-50/45.6D (P=580Па)											
Тип вентсистемы:		вытяжная											
Пространственный угол излучения, рад.	$\Omega = 6.28$	исходные данные											
Октавные уровни звуковой мощности вентилятора, излучаемой корпусом, L _{wвв} , дБ		[24]	0	66	68,7	57,6	52,2	50,7	48,6	46,6	44,7		

1		2	3	4	5	6	7	8	9	10	11	12	13
Октавные уровни звуковой мощности вентилятора, Lw, дБ	на выходе	[24]	0	75,9	87,8	77,6	76,5	75,4	73	71,8	63,4		
Суммарный (по энергии) уровень звуковой мощности вентсистемы, Lw, дБ		Эн.сум(Lwnp , Lwvv)	0	76,3	87,9	77,6	76,5	75,4	73	71,8	63,5		
ИШ-388 П01а [координаты на плане (x,y,z), м = (6966.8,4464.4,1.0)]													
Режим работы источника:						постоянный							
Продолжительность работы в дневной период (7.00-23.00):						16 час							
Продолжительность работы в ночной период (23.00-7.00):						8 час							
Тип источника шума:						вентиляционная система							
Вентустановка:													
Тип вентсистемы:						приточная							
Пространственный угол излучения, рад.	$\Omega = 12.56$	исходные данные											
Октавные уровни звуковой мощности вентилятора, излучаемой корпусом, Lwvv, дБ		[24]	0	0	40,2	39,2	41,2	47,2	46,2	46,2	48,2		
Октавные уровни звуковой мощности вентилятора, Lw, дБ	на входе	[24]	0	0	57	62	65	61	57	55	47		
Суммарный (по энергии) уровень звуковой мощности вентсистемы, Lw, дБ		Эн.сум(Lwnp , Lwvv)	0	0	57,1	62	65	61,2	57,3	55,5	50,7		
ИШ-387 П01 [координаты на плане (x,y,z), м = (6967.1,4465.3,12.1)]													
Режим работы источника:						постоянный							
Продолжительность работы в дневной период (7.00-23.00):						16 час							
Продолжительность работы в ночной период (23.00-7.00):						8 час							
Тип источника шума:						вентиляционная система							
Вентустановка:						0							
Тип вентсистемы:						приточная							
Пространственный угол излучения, рад.	$\Omega = 12.56$	исходные данные											
Октавные уровни звуковой мощности вентилятора, излучаемой корпусом, Lwvv, дБ		[24]	0	0	40,2	39,2	41,2	55,7	46,2	46,2	38,2		
Октавные уровни звуковой мощности вентилятора, Lw, дБ	на входе	[24]	0	0	57	62	65	61	57	55	47		

[illegible]

[illegible]

1	2	3	4	5	6	7	8	9	10	11	12	13
Октавные уровни звуковой мощности источника Lw, дБ	исходные данные	0	69	66	63	53	63	19	25	17		
ИШ-396 Ворота участка сгущения [координаты на плане (x,y,z), м = (6953.5,4446.8,15.3)]												
Режим работы источника:		постоянный										
Продолжительность работы в дневной период (7.00-23.00):		16 час										
Продолжительность работы в ночной период (23.00-7.00):		8 час										
Тип источника шума:		внешние источники шума										
Категория источника шума:		Источники шума на прилегающей территории										
Название:												
Примечание:												
Пространственный угол излучения, рад.	Ω = 6.28	исходные данные										
Октавные уровни звуковой мощности источника Lw, дБ	исходные данные	0	69	66	63	53	36	19	25	17		
ИШ-397 Ворота участка сгущения [координаты на плане (x,y,z), м = (6980.7,4434.9,1.0)]												
Режим работы источника:		постоянный										
Продолжительность работы в дневной период (7.00-23.00):		16 час										
Продолжительность работы в ночной период (23.00-7.00):		8 час										
Тип источника шума:		внешние источники шума										
Категория источника шума:												
Вид агрегата/работ:												
Описание агрегата/работ:												
Пространственный угол излучения, рад.	Ω = 6.28	исходные данные										
Октавные уровни звуковой мощности источника Lw, дБ	исходные данные	0	69	66	63	53	36	19	25	17		
ИШ-398 Проезд автосамосвала [протяжённость источника - 395.9 м]												
Описание источника: Отправка продукции (концентрата) со склада 1180												
Режим работы источника:		непостоянный										

1				2		3	4	5	6	7	8	9	10	11	12	13	
Продолжительность работы в дневной период (7.00-23.00):						16 час											
Продолжительность работы в ночной период (23.00-7.00):						8 час											
Тип источника шума:						автодорога											
Название:						Ширина = 3 м			Кол-во полос = 1			Ширина разд. полосы = 0 м					
Пространственный угол излучения, рад.			$\Omega = 12.57$		исходные данные												
Вид дорожного покрытия					исходные данные		асфальтобетон										
Суточная интенсивность движения автотранспорта Nсут, авт./сутки					исходные данные		48										
Скорость потока, км/ч					исходные данные		15										
% грузового транспорта в потоке					исходные данные		100										
Расчетная интенсивность движения в дневное время Nd, авт./час					ф-ла (3) [19]		3,6										
Расчетная интенсивность движения в ночное время Nн, авт./час					ф-ла (4) [19]		1,9										
Расчетный эквивалентный уровень звука на расстоянии 7.5 м для стандартных условий LАтрп7.5, дБА					ф-ла (2) [19]		Днём: 54.9			Ночью: 52.4							
Поправка на долю грузового транспорта в потоке ΔLАгруз, дБА					Табл. 6.2 [19]		3										
Поправка на отличие фактической скорости потока ΔLАск, дБА					Табл. 6.3 [19]		-6,5										
Поправка на вид дорожного покрытия ΔLАпок, дБА					Табл. 6.5 [19]		0										
Поправка на ширину разделительной полосы ΔLАрп, дБА					Табл. 6.6 [19]		0										
Поправка на пересечение дорог, дБА					исходные данные		0										
* поправка на продольный уклон дорожного полотна учитывается непосредственно при расчёте каждого из точечных эквивалентных источников																	
Эквивалентный уровень шума на расстоянии 7.5 м: Lтрп, дБА					ф-ла (1) [19]		Днём - 51.4			Ночью - 48.9							
Максимальный уровень шума на расстоянии 7.5 м: Lтрп_макс, дБА					ф-ла (6) [19]		Днём - 63.3			Ночью - 63.3							
Шкала перевода эквивалентного уровня в октавные УЗД, дБ			Δкорр_авт.		табл. 6.8 [19]		0	8,4	2	-1	-3,8	-3,7	-7,4	-12,3	-20,3		
Октавные уровни звукового давления на расстоянии 7.5 м днём: L, дБ					Lтрп+Δкорр_авт.		0	59,8	53,4	50,4	47,6	47,7	44	39,1	31,1	51,4	63,3
Октавные уровни звукового давления на расстоянии 7.5 м ночью: L, дБ					Lтрп+Δкорр_авт.		0	57,3	50,9	47,9	45,1	45,2	41,5	36,6	28,6	48,9	63,3
Октавные уровни удельной (на 1 м) звуковой мощности источника днём: Lw, дБ			Ro = 7.5 м l = 395.95 м		Lw = L + 10lg(Ro) + 8 - 10lg(2arctg(l/2Ro))		0	71,7	65,3	62,3	59,5	59,6	55,9	51	43		

1		2	3	4	5	6	7	8	9	10	11	12	13
Октавные уровни звуковой мощности максимального звука источника днём: L_{wmax} , дБ	$R_o = 7.5$ м	$L_{wmax} = L_{max} + 20lg(R_o) + 8$	0	97,2	90,8	87,8	85	85,1	81,4	76,5	68,5		
Октавные уровни удельной (на 1 м) звуковой мощности источника ночью: L_w , дБ	$R_o = 7.5$ м $l = 395.95$ м	$L_w = L + 10lg(R_o) + 8 - 10lg(2arctg(l/2R_o))$	0	69,2	62,8	59,8	57	57,1	53,4	48,5	40,5		
Октавные уровни звуковой мощности максимального звука источника ночью: L_{wmax} , дБ	$R_o = 7.5$ м	$L_{wmax} = L_{max} + 20lg(R_o) + 8$	0	97,2	90,8	87,8	85	85,1	81,4	76,5	68,5		
Поправка на время работы источника днём ΔT_d , дБ	$\tau = 16$ ч время работы	$10lg(\tau/16)$	0										
Поправка на время работы источника ночью ΔT_n , дБ	$\tau = 8$ ч время работы	$10lg(\tau/8)$	0										
Эквивалентные уровни удельной (на 1м) звуковой мощности источника днём, L_w , дБ		$L_w + \Delta T_d$	0	71,7	65,3	62,3	59,5	59,6	55,9	51	43		
Эквивалентные уровни удельной (на 1м) звуковой мощности источника ночью, L_w , дБ		$L_w + \Delta T_n$	0	69,2	62,8	59,8	57	57,1	53,4	48,5	40,5		
ИШ-399 трансформаторная подстанция 7820 [координаты на плане (x,y,z), м = (7071.5,4406.6,1.0)]													
Режим работы источника:			постоянный										
Продолжительность работы в дневной период (7.00-23.00):			16 час										
Продолжительность работы в ночной период (23.00-7.00):			8 час										
Тип источника шума:			внешние источники шума										
Категория источника шума:			Источники шума на прилегающей территории										
Название:													
Примечание:													
Пространственный угол излучения, рад.	$\Omega = 6.28$	исходные данные											
Октавные уровни звуковой мощности источника L_w , дБ		исходные данные	0	65	63	64	47	15	0	0	0		

5.2 Технические характеристики

CCD/U ... A

Тип - с вентилятором «вкл.-выключено»		41	61	81	121	171	201
DХ-холодопроизводительность (полная) 24 °C/отн. вл. 50 % R407C (летняя)	кВт	5,1 4,8	6,8 6,2	9,2 8,3	12,5 10,6	18,2 17,3	23,1 21,3
Расход воздуха	м³/ч	2000	2000	2000	2820	6000	7000
Уровень фильтра воздуха		G4	G4	G4	G4	G4	G4
Уровень звукового давл. - нисходящий	дБА	51,4	51,4	51,4	52,4	58,1	60,4
Уровень звукового давл. - восходящий	дБА	51,4	51,4	51,4	51,7	58,1	60,4
Вес	кг	180	185	190	200	220	230
Типоразмер		1				2	
Электроподогрев (дополн. устройство)							
Теплопроизводительность	кВт	2			4	2 x 6	
Паровой увлажнитель (дополн. устройство)							
Производительность	кг/ч	2,0				4,0	

CCD/U ... A/G

Тип - с вентилятором ЕС		51	71	91	131	151	181	221	251
DХ-холодопроизводительность (полная) 24 °С/отн. вл. 50 % R407C (летняя)	кВт	6,4 6,4	7,5 7,5	9,6 8,3	12,1 11,1	13,8 11,9	18,1 18,1	21,9 21,9	26,0 24,1
Заряд хладагента R407C (G)	кг	2,4	2,4	2,4	2,6	3,0	3,2	3,4	3,6
Расход воды G	м³/час	0,8	1,0	1,2	1,5	1,8	2,2	2,7	3,2
Перепад давлений конденсатора, G		< 1	1	1	2	2	19	28	38
Размер клапана (3-ходового) (дополн. устр.)		1/2	1/2	1/2	3/4	3/4	1	1	1
Перепад давлений клапана	кПа	9	12	19	8	11	6	10	12
Расход воздуха	м³/час	2500	2500	2500	3500	3600	7000	7000	8000
Уровень фильтра воздуха		G4	G4	G4	G4	G4	G4	G4	G4
С нисходящим потоком									
Уровень звукового давления	дБА	49,3	49,3	49,3	57,1	57,7	57,7	57,7	60,2
Вес - A	кг	136	138	141	141	151	276	279	282
Вес - G	кг	145	147	150	150	160	283	286	289
С восходящим потоком									
Уровень звукового давления	дБА	52,0	52,0	52,0	59,5	60,1	59,4	59,4	62,5
Вес - A	кг	147	149	152	152	163	297	300	303
Вес - G	кг	156	158	161	161	172	304	307	310
Типоразмер шкафа		1				2			

* Относительно электрических характеристик (Мощность, потребл. вентиляторами и компрессорами) см. лист электрических характеристик

Кондиционер серии
MS-GF VA
настенный внутренний блок

только охлаждение: 2,3–8,0 кВт

Описание прибора

- Уникальная функция I FEEL, основанная на принципах нечеткой логики, позволяет автоматически определить наиболее комфортную температуру для каждого пользователя. Большая производительность по воздуху и широкий угол подачи воздушной струи гарантируют равномерное охлаждение и обогрев даже для помещений сложной формы.
- Полноразмерный антиоксидантный фильтр снижает концентрацию свободных радикалов в воздухе и замедляет процессы старения. Антиоксидантный фильтр эффективно уничтожает болезнетворные вирусы и бактерии.
- Корпус моделей серии GF изготовлен из высококачественной пластмассы, имеющей гладкую полированную поверхность.
- Низкий уровень шума — от 25 дБ(А).
- Достигнута высокая энергоэффективность EER=3,24 в классе систем без инверторного привода.
- Значительные возможности по длине магистрали хладагента и перепаду высот.



наружный блок



внутренний блок



Сплит-система с настенным внутренним блоком (только охлаждение)								
Внутренний блок (ВБ)			MS-GF20VA	MS-GF25VA	MS-GF35VA	MS-GF50VA	MS-GF60VA	MS-GF80VA
Наружный блок (НБ)			MU-GF20VA	MU-GF25VA	MU-GF35VA	MU-GF50VA	MU-GF60VA	MU-GF80VA
Напряжение электропитания (В, ф, Гц)			220–240 В, 1 фаза, 50 Гц					
Охлаждение	производительность	кВт	2,3	2,5	3,45	4,85	6,4	8,0
	потребляемая мощность	кВт	0,710	0,775	1,12	1,48	2,17	2,78
	энергоэффективность EER		3,24	3,23	3,08	3,28	2,95	2,78
	уровень звукового давления ВБ	дБ(А)	25 - 31 - 36 - 40	25 - 31 - 36 - 40	26 - 33 - 40 - 44	34 - 38 - 42 - 45	37 - 41 - 45 - 48	37 - 42 - 47 - 50
	уровень звукового давления НБ	дБ(А)	47	47	49	52	54	55
	расход воздуха ВБ	м³/ч	246-558	246-558	288-624	642-1086	714-1086	882-1206
Максимальный рабочий ток		А	5,7	5,6	8,3	12,0	16,0	20,5
Пусковой ток		А	14,5	19,0	27,0	33,5	57,0	79,5
Диаметр труб: жидкость		мм (дюйм)	6,35 (1/4)			6,35 (1/4)	6,35 (1/4)	9,52 (3/8)
Диаметр труб: газ		мм (дюйм)	9,52 (3/8)			12,7 (1/2)	15,88 (5/8)	15,88 (5/8)
Фреоновый провод между блоками	длина	м	20	20	25	30	30	30
	перепад высот	м	10	10	10	10	10	15
Гарантированный диапазон наружных температур		охлаждение	+21 ~ +46°C по сухому термометру					
Завод (страна)			MITSUBISHI ELECTRIC CONSUMER PRODUCTS (THAILAND) CO., LTD (Таиланд)					
Внутренний блок	потребляемая мощность	Вт	35	35	43	39	39	51
	габариты: ШхДхВ	мм	798×232×295			1100×238×325		
	диаметр дренажа	мм	16	16	16	16	16	16
	вес	кг	9	9	9	16	16	16
Наружный блок	габариты: ШхДхВ	мм	718×255×525			800×285×550	840×330×880	
	вес	кг	25	25	34	38	57	72

- Примечания:**
1. В случае использования оборудования данной серии в технологических или производственных помещениях срок гарантии на него может быть сокращён по усмотрению поставщика.
 2. Интервал между регламентными техническими работами определяется условиями и интенсивностью эксплуатации.

Опции (аксессуары)

	Наименование	Описание
1	MAC-2320FT	Электростатический антиаллергенный энзимный фильтр (срок службы около 1 года) для моделей MS-GF20/25/35VA
2	MAC-2310FT	Электростатический антиаллергенный энзимный фильтр (срок службы около 1 года) для моделей MS-GF50/GF60/GF80VA
3	MAC-889SG	Решетка наружного блока для изменения направления выброса воздуха для моделей MU-GF20/25/35/50

Ротация и резервирование

Описание системы ротации и резервирования кондиционеров

Система предназначена для обеспечения ротации и резервирования в комплексе из нескольких кондиционеров (сплит-систем), использующих ИК-пульта управления. Система состоит из базового блока и исполнительных блоков (по одному на каждый кондиционер). Комплекс может включать до 15 кондиционеров, объединенных в две или три группы.

Исполнительные устройства посредством ИК-излучателей осуществляют включение и выключение кондиционеров по команде базового блока. Команды передаются по радиоканалу на расстояние до 50 м. Могут быть реализованы различные варианты ротации и резервирования групп кондиционеров.

Все настройки выполняются с помощью интерактивного меню базового блока.

Особенности системы:

- Не требуется прокладка сигнальных линий между кондиционерами.
- Гибкий выбор холодопроизводительности системы за счет использования до 15 кондиционеров без ограничения их мощности.
- Возможна реализация различных схем ротации и резервирования.
- Высокая надежность, обусловленная отсутствием силовых коммутирующих устройств и необходимости использования функции «рестарт» кондиционеров.
- Простая настройка системы и наглядная информации о её работе.
- Возможно масштабирование системы с минимальными затратами.
- Возможно вынесения базового блока управления в смежное помещение.

Параметры		БУРР-1	БИС-1
Напряжение питания	В	220±20%	220±20%
Максимальная потребляемая мощность (Вт)	Вт	1,5	0,6
Диапазон рабочих температур	°C	-20 ~ +70	-20 ~ +70
Диапазон измеряемых температур	°C	-55 ~ +125	-55 ~ +125
Дальность радиосвязи (прямая видимость)	м	50	50
Габаритные размеры	мм	140×88×62	105×65×30
Масса прибора	г	320	170
Режим работы		непрерывный	непрерывный



БУРР-1



БИС-1

Зонд ИК-излучателя

Работа в режиме охлаждения при -30°C

Описание низкотемпературного комплекта

Низкотемпературный комплект предназначен для обеспечения работоспособности систем кондиционирования воздуха в режиме охлаждения при температуре окружающей среды до -30°C. Комплект состоит из регулятора частоты вращения вентилятора и трех саморегулирующихся электрических нагревателей: для картера компрессора, для дросселирующего элемента и для дренажного шланга.

Компоненты для низкотемпературной эксплуатации сертифицированы.

Полный комплект документации по результатам испытаний систем в климатической камере можно получить у дистрибьюторов.

Компании-дистрибьюторы осуществляют установку низкотемпературных комплектов в наружные блоки MU-GF VA производства Mitsubishi Electric по предварительному заказу.



Сплит-система с настенным внутренним блоком	только охлаждение: 2,5 ~ 8,0 кВт				
Внутренний блок	MS-GF25VA	MS-GF35VA	MS-GF50VA	MS-GF60VA	MS-GF80VA
Наружный блок	MU-GF25VA	MU-GF35VA	MU-GF50VA	MU-GF60VA	MU-GF80VA
Регулятор давления конденсации	РДК-8.4			РДК-9.9	



Нагреватель картера компрессора



Нагреватель капиллярной трубки



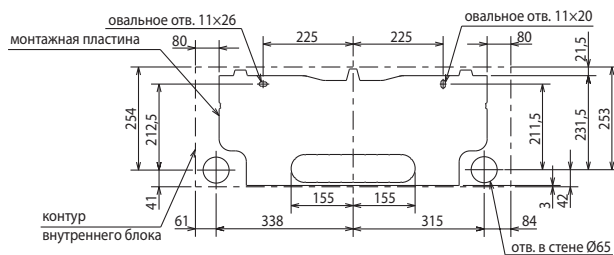
Нагреватель дренажного шланга



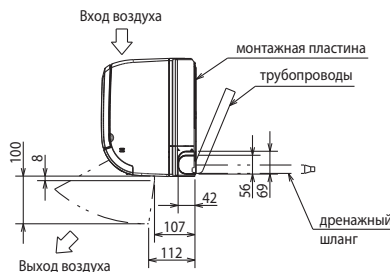
РДК-8.4/9.9

Регулятор давления конденсации

MS-GF20VA
MS-GF25VA
MS-GF35VA

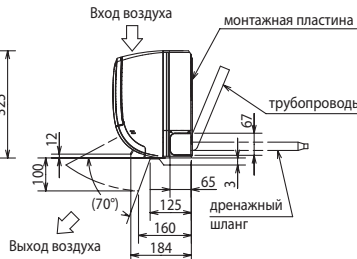
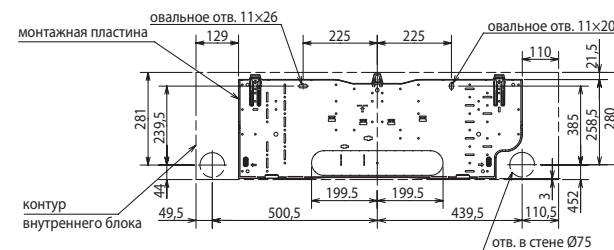


Ед. изм.: мм



Фреono-провод	Изоляция	Ø35 (наружный диаметр)
	Жидкость	MS-GF20/25/35VA: Ø7 - 0,5 м (вальцовка Ø6,35)
	Газ	MS-GF20/25/35VA: Ø9,52 - 0,43 м (вальцовка Ø9,52)
Дренажный шланг		Наружный диаметр изоляции Ø28, наружный диаметр штигера Ø16

MS-GF50VA
MS-GF60VA
MS-GF80VA



Огне- провод	Изоляция	Ø50 (наружный диаметр)
	Жидкость	MS-GF50/60/80VA: Ø9,52 - 0,5 м (вальцовка Ø6,35)
	Газ	MS-GF50VA: Ø12 - 0,43 м (вальцовка Ø12,7) MS-GF60/80VA: Ø12 - 0,43 м (вальцовка Ø15,88)
Дренажный шланг		Наружный диаметр изоляции Ø28, наружный диаметр штуцера Ø16

Схема соединений внутреннего и наружного блоков

внутренний блок

ИК-приемник

пульт ДУ
в комплекте

4 x 1,5 мм²

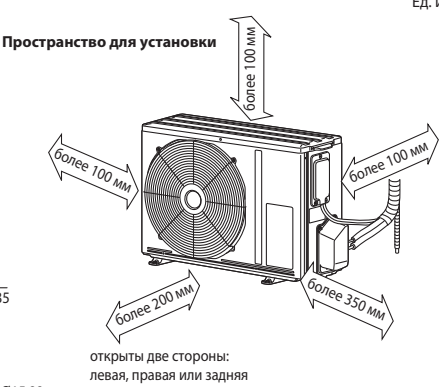
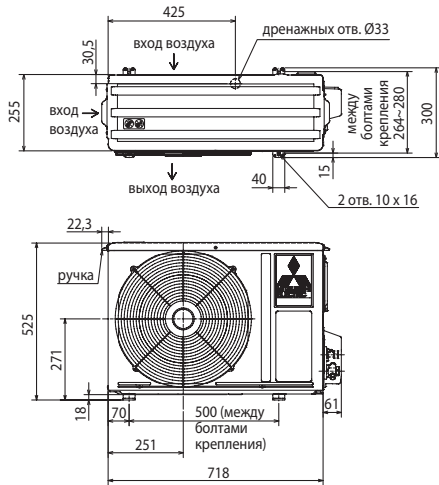
наружный блок

кабель питания
(автоматический выключатель)

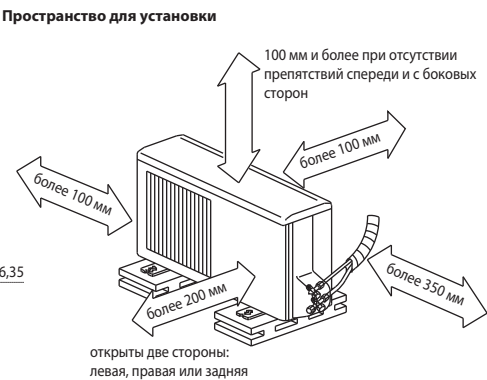
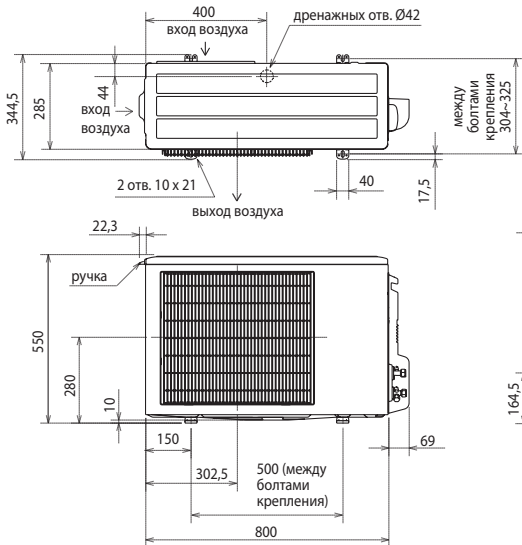
MU-GF20/25/35VA: 3 x 2,5 мм² (10 A)
 MU-GF50VA: 3 x 2,5 мм² (16 A)
 MU-GF60VA: 3 x 2,5 мм² (20 A)
 MU-GF80VA: 3 x 4 мм² (25 A)

Размеры наружных блоков

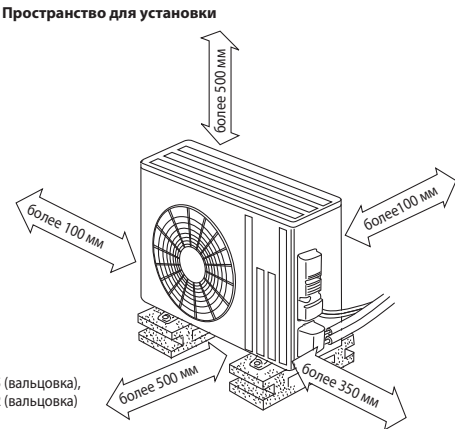
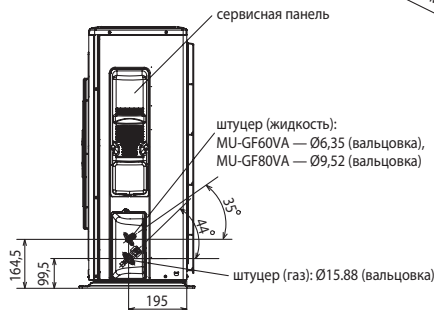
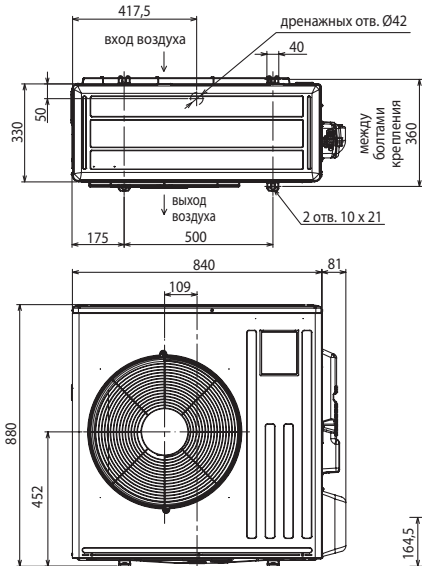
НАРУЖНЫЕ БЛОКИ:
MU-GF20VA
MU-GF25VA
MU-GF35VA



НАРУЖНЫЙ БЛОК:
MU-GF50VA



НАРУЖНЫЕ БЛОКИ:
MU-GF60VA
MU-GF80VA



Регулирование количества хладагента (R410A)

Наружный прибор заправлен достаточным количеством хладагента при длине магистрали хладагента до 7,5 м. Если длина трубы превышает 7,5 м, то необходима дополнительная заправка хладагента (R410A).

Длина трубы	До 7,5 м	Дозаправка не требуется
	Свыше 7,5 м	Требуется дозаправка (см. таблицу ниже)
Количество хладагента, которое необходимо добавить в систему	MU-GF20/25/35VA	20 г/м × (длина трубы хладагента (м) - 7,5)
	MU-GF50VA	20 г/м × (длина трубы хладагента (м) - 7,5)
	MU-GF60VA	
	MU-GF80VA	

ОБОРУДОВАНИЕ ДЛЯ КРУГЛЫХ КАНАЛОВ

Вентилятор WNK 100/1



- Прочный лёгкий пластиковый корпус, имеющий эстетичный внешний вид, не подвергающийся коррозии, а также более эффективно снижающий шум по сравнению с традиционным стальным корпусом.
- Однофазные асинхронные двигатели с внешним ротором и назад загнутыми лопатками.
- Надёжная защита от перегрева электродвигателя вентилятора при помощи встроенных термоконтактов с автоматическим перезапуском.
- Регулирование оборотов изменением подаваемого напряжения.
- Рабочий диапазон температуры воздуха: от -40 до $+40$ °C.

- Монтаж в любом положении с помощью быстросъёмных хомутов и кронштейнов для потолочного или стенового крепления.

- **Основные технические данные:**

Число оборотов двигателя: 2450 мин⁻¹.

Напряжение: 220 В.

Максимальная мощность: 60 Вт.

Максимальный ток: 0,27 А.

Класс изоляции: IP 44.

Вентилятор WNK 125/1



- Прочный лёгкий пластиковый корпус, имеющий эстетичный внешний вид, не подвергающийся коррозии, а также более эффективно снижающий шум по сравнению с традиционным стальным корпусом.
- Однофазные асинхронные двигатели с внешним ротором и назад загнутыми лопатками.
- Надёжная защита от перегрева электродвигателя вентилятора при помощи встроенных термоконтактов с автоматическим перезапуском.
- Регулирование оборотов изменением подаваемого напряжения.
- Рабочий диапазон температуры воздуха: от -40 до $+40$ °C.

- Монтаж в любом положении с помощью быстросъёмных хомутов и кронштейнов для потолочного или стенового крепления.

- **Основные технические данные:**

Число оборотов двигателя: 2450 мин⁻¹.

Напряжение: 220 В.

Максимальная мощность: 71 Вт.

Максимальный ток: 0,33 А.

Класс изоляции: IP 44.

Вентилятор WNK 160/1



- Прочный лёгкий пластиковый корпус, имеющий эстетичный внешний вид, не подвергающийся коррозии, а также более эффективно снижающий шум по сравнению с традиционным стальным корпусом.
- Однофазные асинхронные двигатели с внешним ротором и назад загнутыми лопатками.
- Надёжная защита от перегрева электродвигателя вентилятора при помощи встроенных термоконтактов с автоматическим перезапуском.
- Регулирование оборотов изменением подаваемого напряжения.
- Рабочий диапазон температуры воздуха: от -40 до $+40$ °C.

- Монтаж в любом положении с помощью быстросъёмных хомутов и кронштейнов для потолочного или стенового крепления.

- **Основные технические данные:**

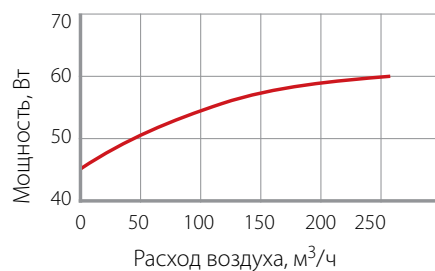
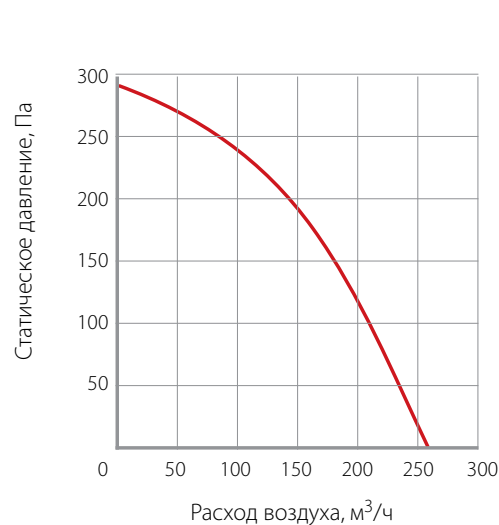
Число оборотов двигателя: 2550 мин⁻¹.

Напряжение: 220 В.

Максимальная мощность: 105 Вт.

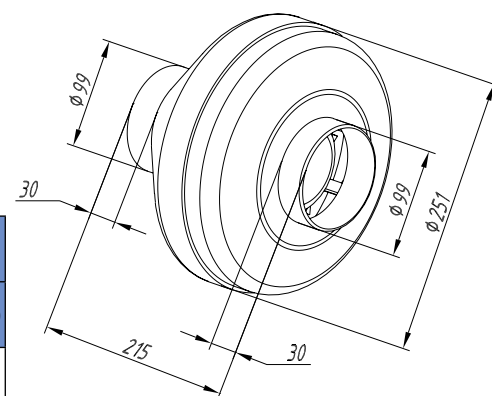
Максимальный ток: 0,48 А.

Класс изоляции: IP 44.

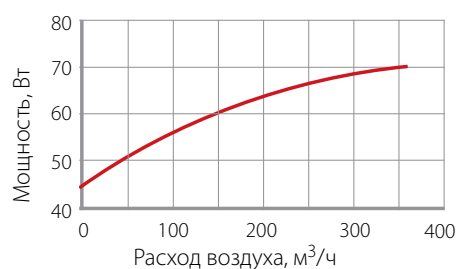
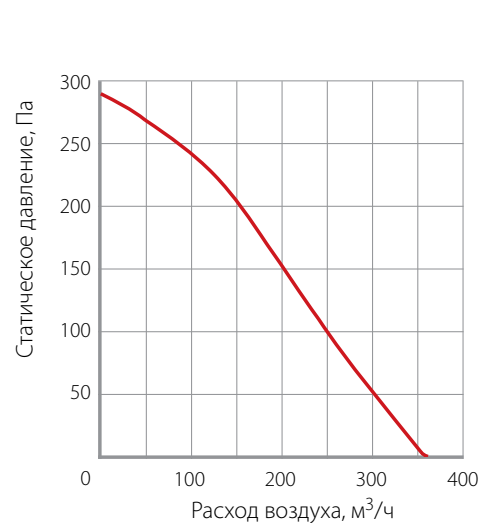


Режим работы	Уровень звука [L _{pa} , дБА]	Уровень звуковой мощности [L _{pa} i, дБА] в октавных полосах частот [Гц]							
		63	125	250	500	1000	2000	4000	8000
Шум на нагнетании	67	50,0	54,0	61,0	62,0	62,0	56,0	50,0	35,0
Шум через корпус	47	28,0	32,0	36,0	36,0	42,0	40,0	41,0	34,0

Условия испытаний: P_п=200 Па

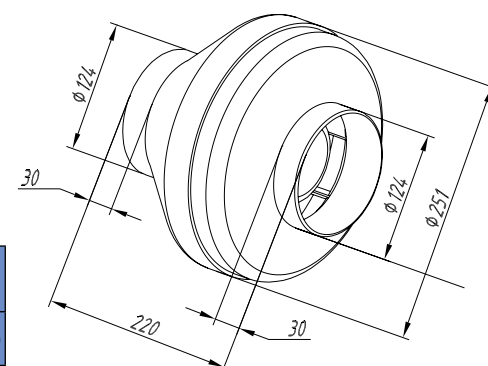


Масса: 2,6 кг
Все размеры даны в мм

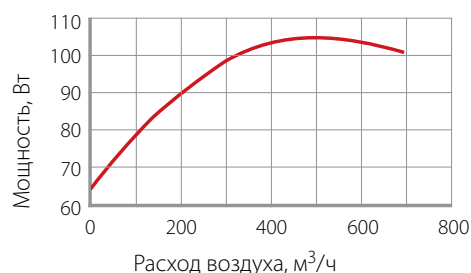
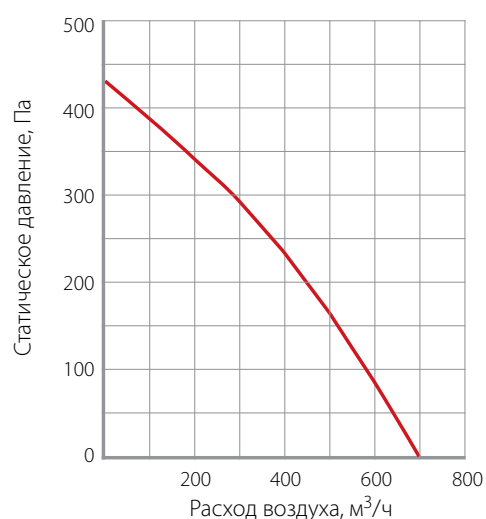


Режим работы	Уровень звука [L _{pa} , дБА]	Уровень звуковой мощности [L _{pa} i, дБА] в октавных полосах частот [Гц]							
		63	125	250	500	1000	2000	4000	8000
Шум на нагнетании	68	48,0	53,0	59,0	64,0	62,0	60,0	53,0	37,0
Шум через корпус	47	30,0	33,0	36,0	36,0	41,0	40,0	42,0	35,0

Условия испытаний: P_п=180 Па

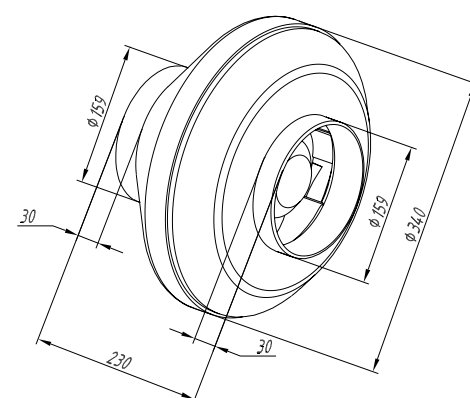


Масса: 2,65 кг
Все размеры даны в мм



Режим работы	Уровень звука [L _{pa} , дБА]	Уровень звуковой мощности [L _{pa} i, дБА] в октавных полосах частот [Гц]							
		63	125	250	500	1000	2000	4000	8000
Шум на нагнетании	70	44,0	53,0	62,0	66,0	66,0	57,0	58,0	42,0
Шум через корпус	54	32,0	35,5	39,5	43,5	49,5	46,5	47,5	34,5

Условия испытаний: P_п=310 Па



Масса: 4,0 кг
Все размеры даны в мм

ОБОРУДОВАНИЕ ДЛЯ КРУГЛЫХ КАНАЛОВ

Вентилятор WNK 200/1



- Прочный лёгкий пластиковый корпус, имеющий эстетичный внешний вид, не подвергающийся коррозии, а также более эффективно снижающий шум по сравнению с традиционным стальным корпусом.
- Однофазные асинхронные двигатели с внешним ротором и назад загнутыми лопатками.
- Надёжная защита от перегрева электродвигателя вентилятора при помощи встроенных термоконтактов с автоматическим перезапуском.
- Регулирование оборотов изменением подаваемого напряжения.
- Рабочий диапазон температуры воздуха: от -40 до $+40$ °C.
- Монтаж в любом положении с помощью быстросъёмных хомутов и кронштейнов для потолочного или стенового крепления.
- **Основные технические данные:**
Число оборотов двигателя: 2600 мин^{-1} .
Напряжение: 220 В.
Максимальная мощность: 157 Вт.
Максимальный ток: 0,72 А.
Класс изоляции: IP 44.

Вентилятор WNK 250/1

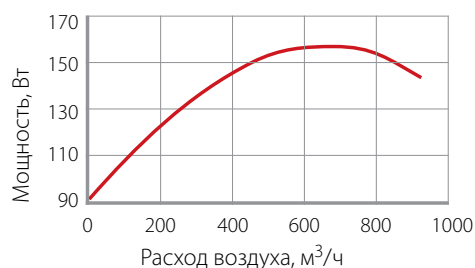
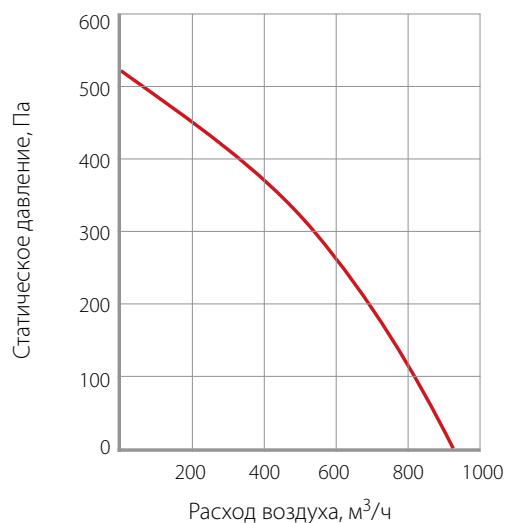


- Прочный лёгкий пластиковый корпус, имеющий эстетичный внешний вид, не подвергающийся коррозии, а также более эффективно снижающий шум по сравнению с традиционным стальным корпусом.
- Однофазные асинхронные двигатели с внешним ротором и назад загнутыми лопатками.
- Надёжная защита от перегрева электродвигателя вентилятора при помощи встроенных термоконтактов с автоматическим перезапуском.
- Регулирование оборотов изменением подаваемого напряжения.
- Рабочий диапазон температуры воздуха: от -40 до $+40$ °C.
- Монтаж в любом положении с помощью быстросъёмных хомутов и кронштейнов для потолочного или стенового крепления.
- **Основные технические данные:**
Число оборотов двигателя: $2\,500 \text{ мин}^{-1}$.
Напряжение: 220 В.
Максимальная мощность: 230 Вт.
Максимальный ток: 1,05 А.
Класс изоляции: IP 44.

Вентилятор WNK 315/1

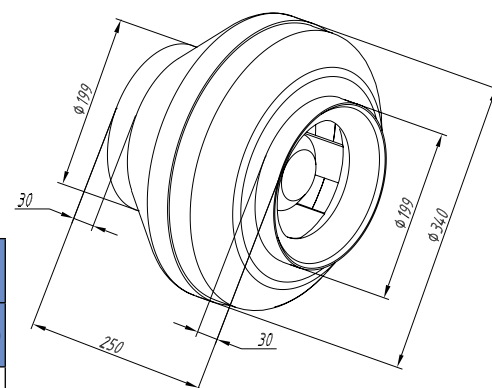


- Прочный лёгкий пластиковый корпус, имеющий эстетичный внешний вид, не подвергающийся коррозии, а также более эффективно снижающий шум по сравнению с традиционным стальным корпусом.
- Однофазные асинхронные двигатели с внешним ротором и назад загнутыми лопатками.
- Надёжная защита от перегрева электродвигателя вентилятора при помощи встроенных термоконтактов с автоматическим перезапуском.
- Регулирование оборотов изменением подаваемого напряжения.
- Рабочий диапазон температуры воздуха: от -40 до $+40$ °C.
- Монтаж в любом положении с помощью быстросъёмных хомутов и кронштейнов для потолочного или стенового крепления.
- **Основные технические данные:**
Число оборотов двигателя: 2500 мин^{-1} .
Напряжение: 220 В.
Максимальная мощность: 295 Вт.
Максимальный ток: 1,34 А.
Класс изоляции: IP 44.

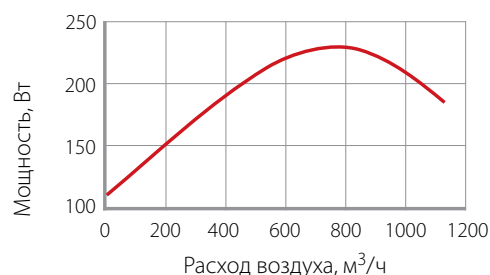
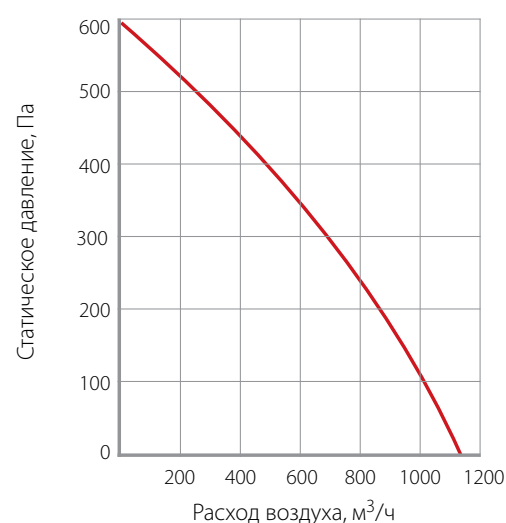


Режим работы	Уровень звука [L _{pa} , дБА]	Уровень звуковой мощности [L _{pa} i, дБА] в октавных полосах частот [Гц]							
		63	125	250	500	1000	2000	4000	8000
Шум на нагнетании	69	48,0	57,0	62,0	65,0	61,0	57,0	55,0	47,0
Шум через корпус	53	39,0	40,2	39,2	41,2	47,2	46,2	46,2	38,2

Условия испытаний: P_п=355 Па

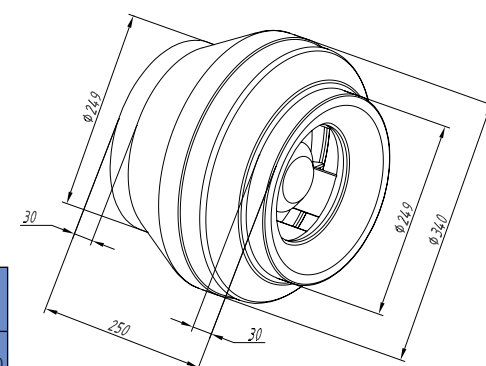


Масса: 4,6 кг
Все размеры даны в мм

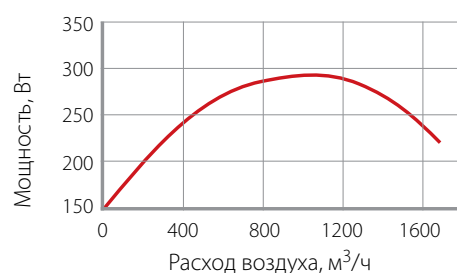
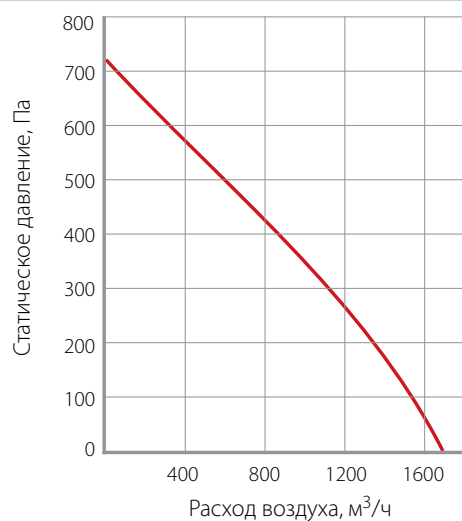


Режим работы	Уровень звука [L _{pa} , дБА]	Уровень звуковой мощности [L _{pa} i, дБА] в октавных полосах частот [Гц]							
		63	125	250	500	1000	2000	4000	8000
Шум на нагнетании	70	48,0	56,0	61,0	65,0	64,0	63,0	60,0	53,0
Шум через корпус	53	33,0	36,0	40,0	43,0	48,0	47,0	46,0	38,0

Условия испытаний: P_п=380 Па

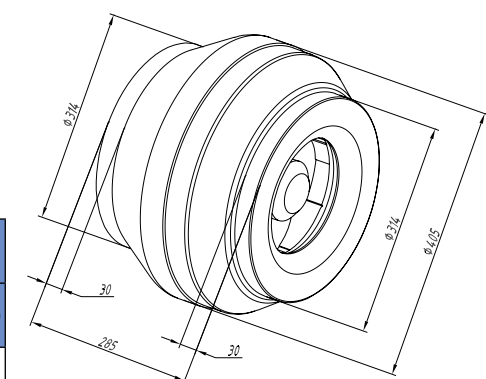


Масса: 5,0 кг
Все размеры даны в мм



Режим работы	Уровень звука [L _{pa} , дБА]	Уровень звуковой мощности [L _{pa} i, дБА] в октавных полосах частот [Гц]							
		63	125	250	500	1000	2000	4000	8000
Шум на нагнетании	70	46,0	54,0	58,0	63,0	63,0	67,0	59,0	57,0
Шум через корпус	55	36,0	38,0	40,0	46,0	49,0	50,0	46,0	38,0

Условия испытаний: P_п=355 Па



Масса: 6,6 кг
Все размеры даны в мм

ОБОРУДОВАНИЕ ДЛЯ ПРЯМОУГОЛЬНЫХ КАНАЛОВ

Вентиляторы WNP 40-20 и WNP 50-25



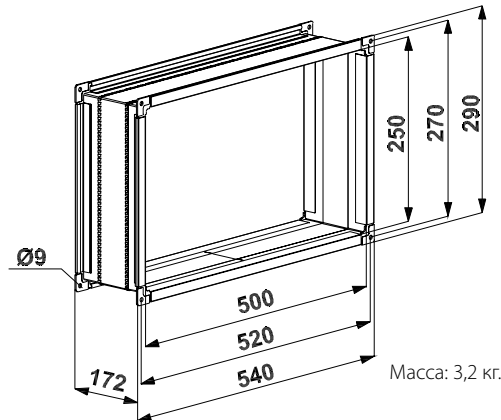
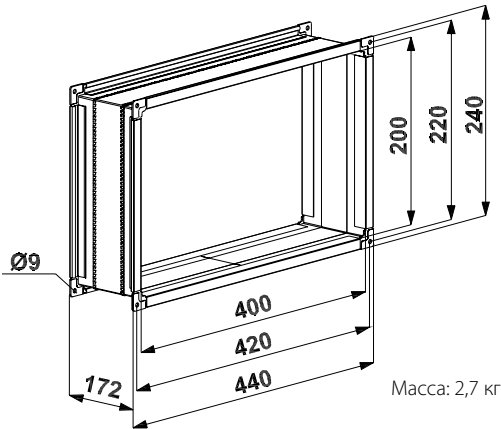
- Широкий модельный ряд вентиляторов в каждом типоразмере.
- Высокая эксплуатационная надёжность.
- Минимальное электропотребление.
- Корпус вентиляторов и съёмная сервисная панель из оцинкованного стального листа.
- Лёгкое пластиковое рабочее колесо с назад загнутыми лопатками, установленное непосредственно на валу асинхронного трёхфазного электродвигателя.
- Надёжная защита от перегрева электродвигателя встроенными термоконтактами.
- Класс изоляции: IP 54.
- Рабочий диапазон температуры перемещаемого воздуха от –30 до +40 °С.
- Получение любых характеристик при помощи частотного преобразователя.
- Монтаж в любом положении.

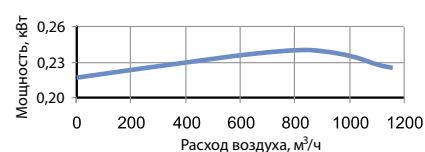
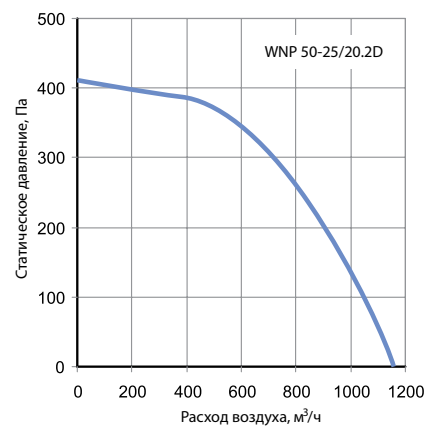
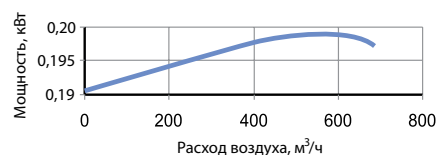
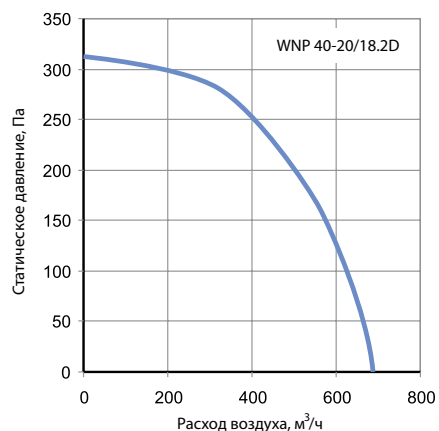
Типоразмер	Обозначение вентилятора	Макс. расход воздуха, м³/ч	Макс. статическое давление, Па	Обороты двигателя, об/мин	Напряжение электродвигателя, В	Установленная мощность двигателя, кВт	Номинальный ток, А
40-20	WNP 40-20/18.2D	710	315	2710	3x230/3x400	0,25	0,71
50-25	WNP 50-25/20.2D	1150	411	2710	3x230/3x400	0,25	0,71
	WNP 50-25/22.2D	1620	527	2760	3x230/3x400	0,55	1,42

Гибкие вставки WG 40-20 и WG 50-25



- Предотвращение передачи вибрации от вентилятора к воздуховоду и герметизация стыка.
- Два фланца из оцинкованного стального листа соединённые между собой изолирующим материалом (винил).
- Монтаж в любом положении.
- В качестве несущей конструкции в системе не используется.



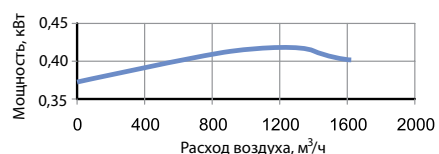
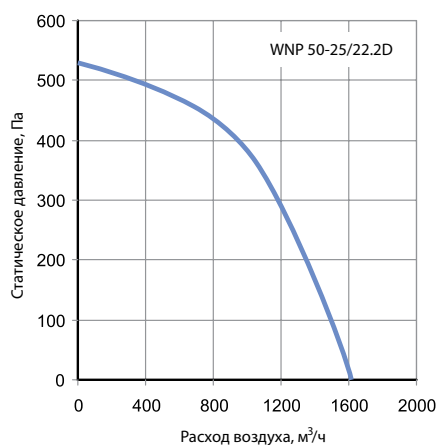


Режим работы, Па	Уровень звука L, дБА	Уровень звуковой мощности (L, дБА) в октавных полосах частот, Гц							
		63	125	250	500	1000	2000	4000	8000
Шум на всасывании	66,0	38,7	50,6	54,9	62,4	59,8	57,8	52,8	46,7
Шум на нагнетании	69,0	41,8	53,4	57,9	65,3	62,9	61	55,7	49,6
Шум через корпус	60,3	32,3	44,9	52,4	55,3	54,9	51	48,7	41,6

Условия испытаний: Pст=260 Па.

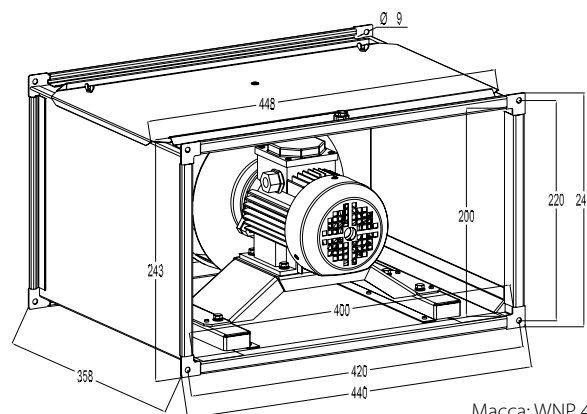
Режим работы, Па	Уровень звука L, дБА	Уровень звуковой мощности (L, дБА) в октавных полосах частот, Гц							
		63	125	250	500	1000	2000	4000	8000
Шум на всасывании	68,1	40,6	52,8	57,3	64,6	61,8	59,9	54,9	48,8
Шум на нагнетании	71,0	43,6	55,7	60,1	67,6	64,6	62,7	57,9	51,7
Шум через корпус	62,3	34,1	47,2	54,6	57,6	56,6	52,7	50,9	43,7

Условия испытаний: Pст=310 Па.

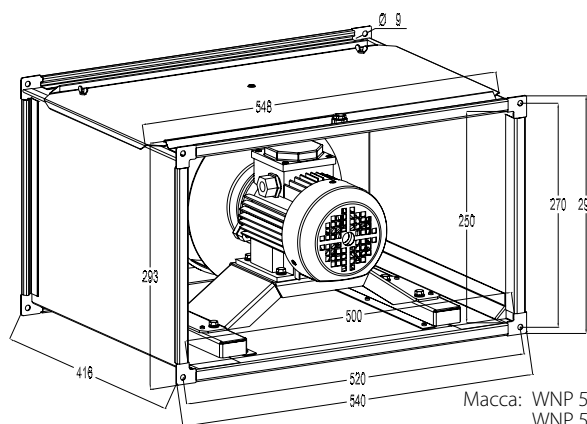


Режим работы, Па	Уровень звука L, дБА	Уровень звуковой мощности (L, дБА) в октавных полосах частот, Гц							
		63	125	250	500	1000	2000	4000	8000
Шум на всасывании	72,8	44,2	56,1	59,5	66,9	65,2	67,3	65,2	60,2
Шум на нагнетании	76,0	47,5	59	62,9	70,2	68,2	70,4	68,2	63,2
Шум через корпус	67,4	38	50,5	57,4	60,2	60,2	60,4	61,2	55,2

Условия испытаний: Pст=400 Па.



Масса: WNP 40-20/18-2D – 14,5 кг.



Масса: WNP 50-25/20-2D – 18 кг.
WNP 50-25/22-2D – 19,5 кг.

ОБОРУДОВАНИЕ ДЛЯ ПРЯМОУГОЛЬНЫХ КАНАЛОВ

Вентиляторы WNP 50-30



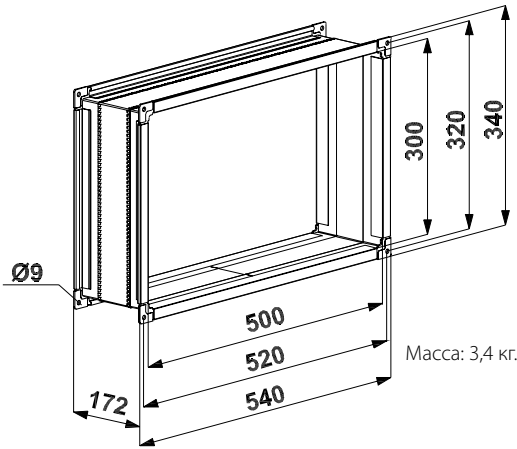
- Широкий модельный ряд вентиляторов в каждом типоразмере.
- Высокая эксплуатационная надёжность.
- Минимальное электропотребление.
- Корпус вентиляторов и съёмная сервисная панель из оцинкованного стального листа.
- Лёгкое пластиковое рабочее колесо с назад загнутыми лопатками, установленное непосредственно на валу асинхронного трёхфазного электродвигателя.
- Надёжная защита от перегрева электродвигателя встроенными термоконтактами.
- Класс изоляции: IP 54.
- Рабочий диапазон температуры перемещаемого воздуха от –30 до +40 °С.
- Получение любых характеристик при помощи частотного преобразователя.
- Монтаж в любом положении.

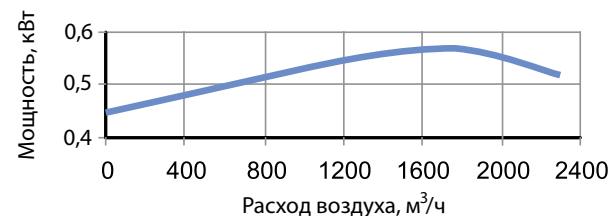
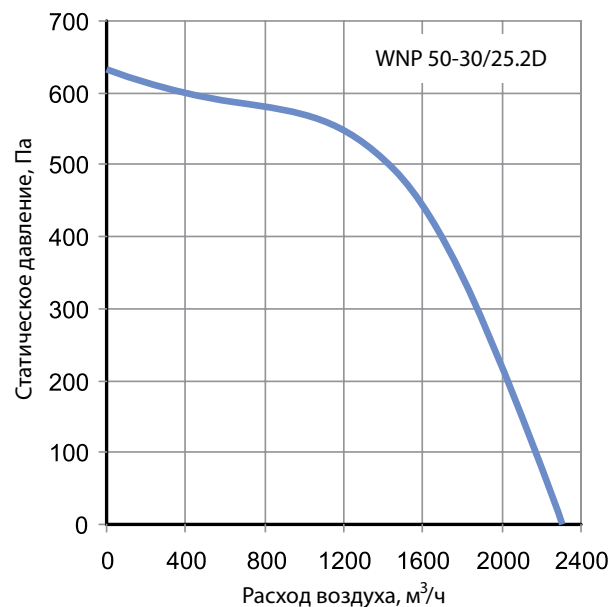
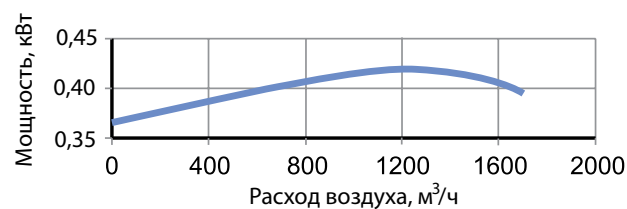
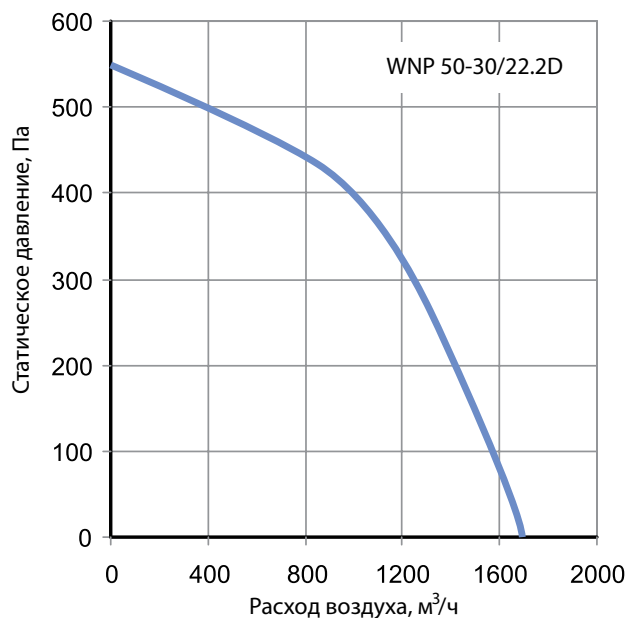
Типоразмер	Обозначение вентилятора	Макс. расход воздуха, м³/ч	Макс. статическое давление, Па	Обороты двигателя, об/мин	Напряжение электродвигателя, В	Установленная мощность двигателя, кВт	Номинальный ток, А
50-30	WNP 50-30/22.2D	1620	550	2760	3x230/3x400	0,55	1,42
	WNP 50-30/25.2D	2295	633	2730	3x230/3x400	0,75	1,83

Гибкие вставки WG 50-30



- Предотвращение передачи вибрации от вентилятора к воздуховоду и герметизация стыка.
- Два фланца из оцинкованного стального листа соединённые между собой изолирующим материалом (винил).
- Монтаж в любом положении.
- В качестве несущей конструкции в системе не используется.



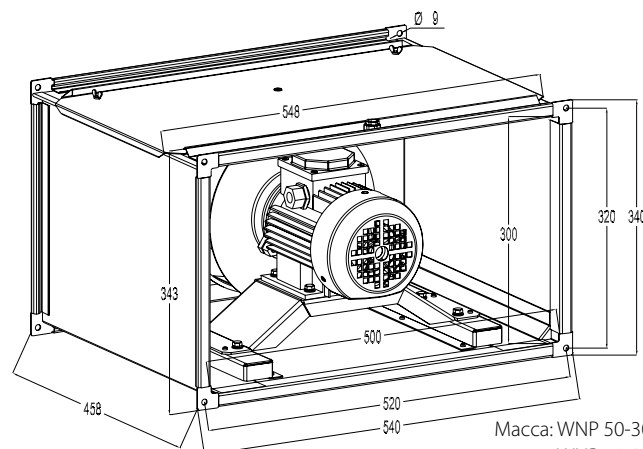


Режим работы, Па	Уровень звука L, дБА	Уровень звуковой мощности (L, дБА) в октавных полосах частот, Гц							
		63	125	250	500	1000	2000	4000	8000
Шум на всасывании	72,0	43,4	55,3	58,7	66,3	64,4	66,3	64,1	59,1
Шум на нагнетании	75,0	46,3	58,3	61,6	69,2	67,2	69,4	67,2	62,3
Шум через корпус	66,4	36,8	49,8	56,1	59,2	59,2	59,4	60,2	54,3

Условия испытаний: Pст=400 Па.

Режим работы, Па	Уровень звука L, дБА	Уровень звуковой мощности (L, дБА) в октавных полосах частот, Гц							
		63	125	250	500	1000	2000	4000	8000
Шум на всасывании	78,0	44,1	56,1	64,6	68,8	73,2	73,3	69,1	63
Шум на нагнетании	80,9	46,9	58,8	67,6	71,8	76,1	76,1	72	66,2
Шум через корпус	71,5	37,4	49,3	61,1	60,8	67,1	65,1	64	57,2

Условия испытаний: Pст=550 Па.



Масса: WNP 50-30/22-2D – 25,5 кг.
WNP 50-30/25-2D – 27,7 кг.

ОБОРУДОВАНИЕ ДЛЯ ПРЯМОУГОЛЬНЫХ КАНАЛОВ

Вентиляторы WNP 60-30



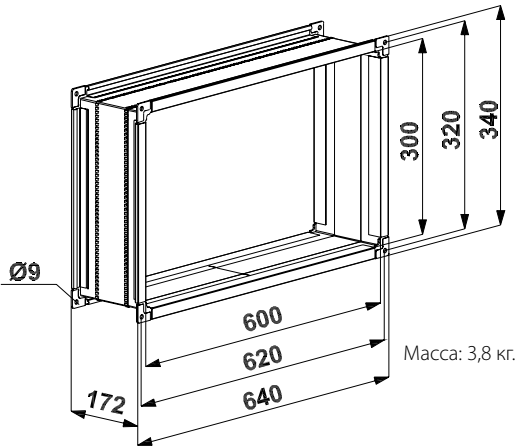
- Широкий модельный ряд вентиляторов в каждом типоразмере.
- Высокая эксплуатационная надёжность.
- Минимальное электропотребление.
- Корпус вентиляторов и съёмная сервисная панель из оцинкованного стального листа.
- Лёгкое пластиковое рабочее колесо с назад загнутыми лопатками, установленное непосредственно на валу асинхронного трёхфазного электродвигателя.
- Надёжная защита от перегрева электродвигателя встроенными термоконтактами.
- Класс изоляции: IP 54.
- Рабочий диапазон температуры перемещаемого воздуха от –30 до +40 °С.
- Получение любых характеристик при помощи частотного преобразователя.
- Монтаж в любом положении.

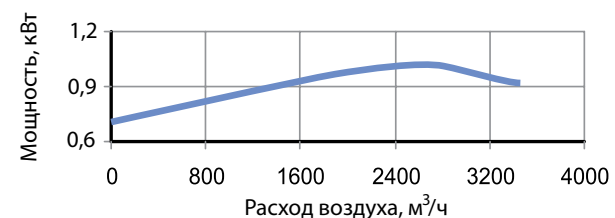
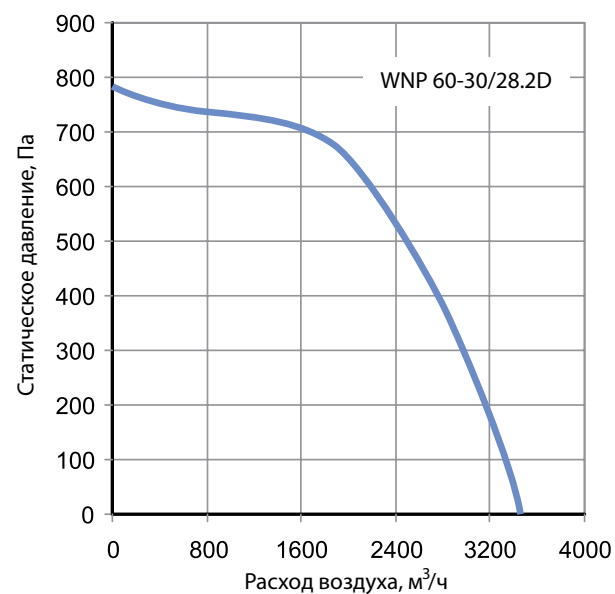
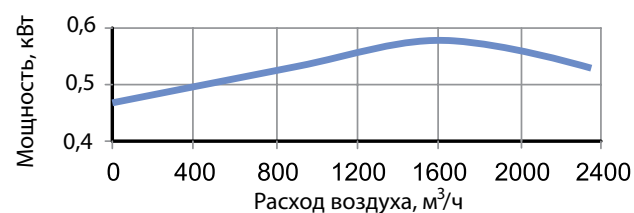
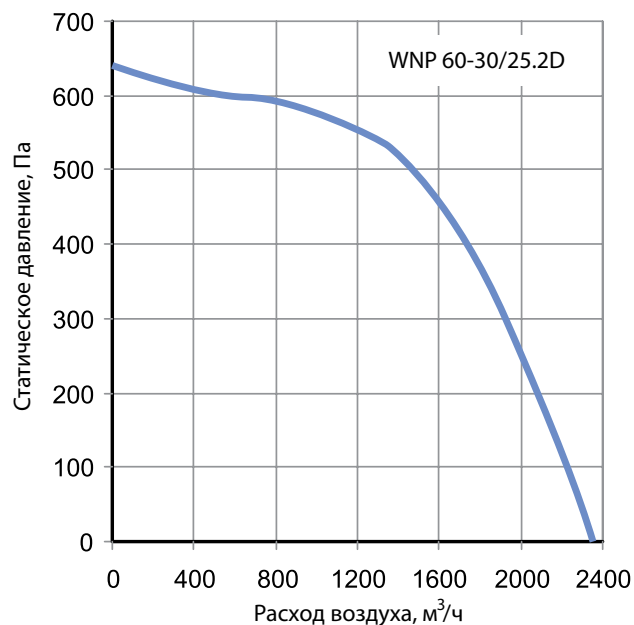
Типоразмер	Обозначение вентилятора	Макс. расход воздуха, м³/ч	Макс. статическое давление, Па	Обороты двигателя, об/мин	Напряжение электродвигателя, В	Установленная мощность двигателя, кВт	Номинальный ток, А
60-30	WNP 60-30/25.2D	2295	633	2730	3x230/3x400	0,75	1,83
	WNP 60-30/28.2D	3425	783	2770	3x230/3x400	1,1	2,51

Гибкие вставки WG 60-30



- Предотвращение передачи вибрации от вентилятора к воздуховоду и герметизация стыка.
- Два фланца из оцинкованного стального листа соединённые между собой изолирующим материалом (винил).
- Монтаж в любом положении.
- В качестве несущей конструкции в системе не используется.



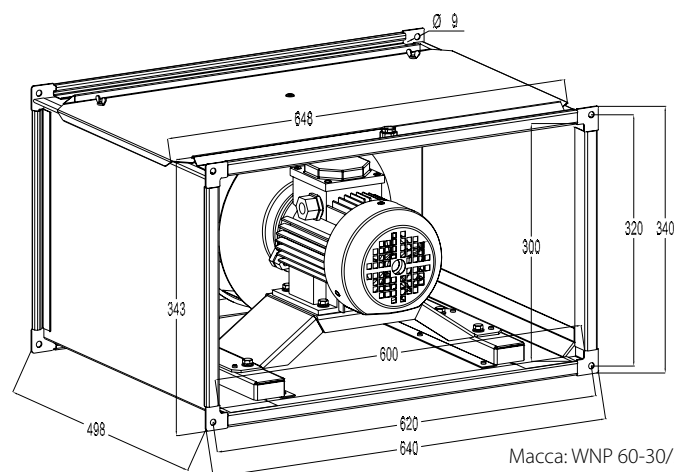


Режим работы, Па	Уровень звука L, дБА	Уровень звуковой мощности (L, дБА) в октавных полосах частот, Гц							
		63	125	250	500	1000	2000	4000	8000
Шум на всасывании	77,0	43,2	54,8	63,4	68	72,3	72,1	68,3	62,2
Шум на нагнетании	80,0	46	58,1	66,5	71	75,2	75,2	71,1	64,9
Шум через корпус	70,5	36,5	48,6	60	60	66,2	64,2	63,1	55,9

Условия испытаний: Рст=550 Па.

Режим работы, Па	Уровень звука L, дБА	Уровень звуковой мощности (L, дБА) в октавных полосах частот, Гц							
		63	125	250	500	1000	2000	4000	8000
Шум на всасывании	79,9	49,1	60,8	69,6	71,9	73,9	75,2	70,2	66,1
Шум на нагнетании	83,1	52,2	64,1	72,5	75,1	77,1	78,5	73	69,1
Шум через корпус	72,6	42,7	53,6	65	63,1	67,1	66,5	64	59,1

Условия испытаний: Рст=640 Па.



Масса: WNP 60-30/25-2D – 31 кг.
WNP 60-30/28-2D – 37 кг.

ОБОРУДОВАНИЕ ДЛЯ ПРЯМОУГОЛЬНЫХ КАНАЛОВ

Вентиляторы WNP 60-35



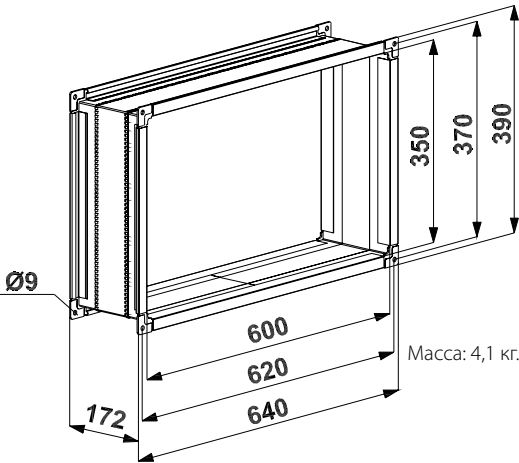
- Широкий модельный ряд вентиляторов в каждом типоразмере.
- Высокая эксплуатационная надёжность.
- Минимальное электропотребление.
- Корпус вентиляторов и съёмная сервисная панель из оцинкованного стального листа.
- Лёгкое пластиковое рабочее колесо с назад загнутыми лопатками, установленное непосредственно на валу асинхронного трёхфазного электродвигателя.
- Надёжная защита от перегрева электродвигателя встроенными термоконтактами.
- Класс изоляции: IP 54.
- Рабочий диапазон температуры перемещаемого воздуха от –30 до +40 °С.
- Получение любых характеристик при помощи частотного преобразователя.
- Монтаж в любом положении.

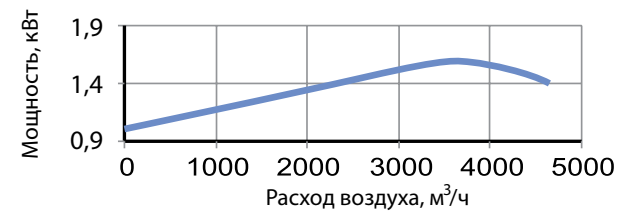
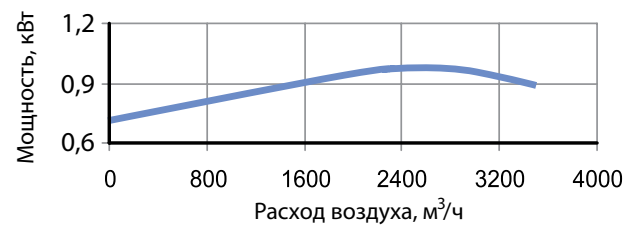
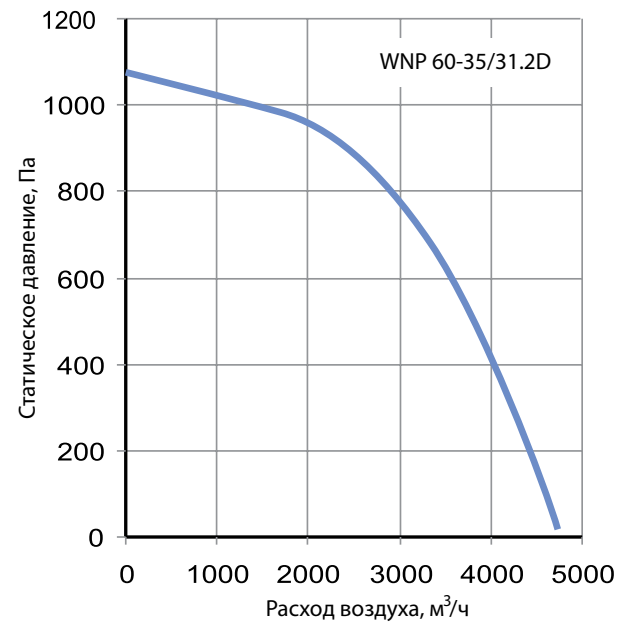
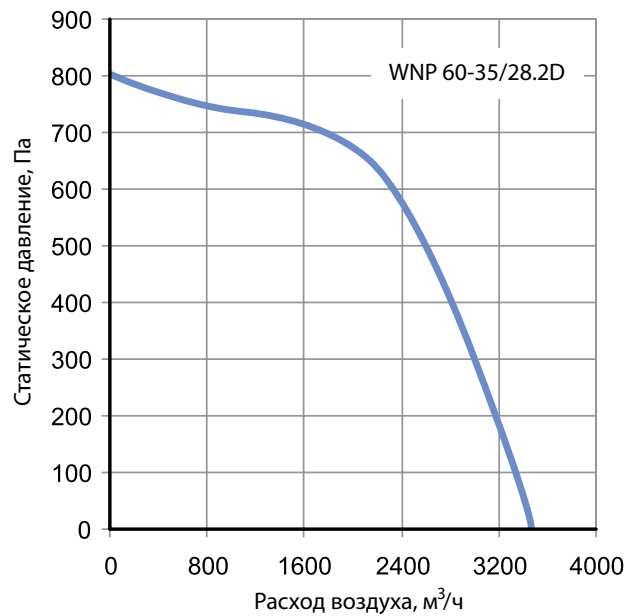
Типоразмер	Обозначение вентилятора	Макс. расход воздуха, м³/ч	Макс. статическое давление, Па	Обороты двигателя, об/мин	Напряжение электродвигателя, В	Установленная мощность двигателя, кВт	Номинальный ток, А
60-35	WNP 60-35/28.2D	3450	803	2770	3x230/3x400	1,1	2,51
	WNP 60-35/31.2D	4750	1075	2800	3x230/3x400	1,5	3,32

Гибкие вставки WG 60-35



- Предотвращение передачи вибрации от вентилятора к воздуховоду и герметизация стыка.
- Два фланца из оцинкованного стального листа соединённые между собой изолирующим материалом (винил).
- Монтаж в любом положении.
- В качестве несущей конструкции в системе не используется.



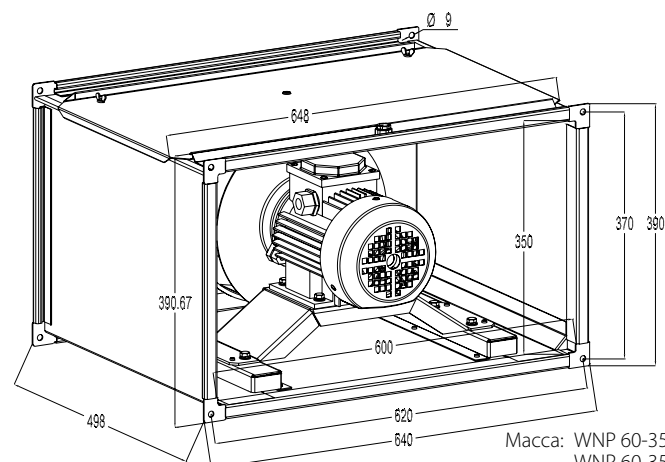


Режим работы, Па	Уровень звука L, дБА	Уровень звуковой мощности (L, дБА) в октавных полосах частот, Гц							
		63	125	250	500	1000	2000	4000	8000
Шум на всасывании	78,9	48,2	60,1	68,6	70,8	73	74,2	69,1	64,9
Шум на нагнетании	82,0	51,1	62,9	71,6	74,1	76,3	77,2	72,2	68
Шум через корпус	71,7	41,6	52,4	64,1	62,1	66,3	65,2	63,2	58

Условия испытаний: Рст=640 Па.

Режим работы, Па	Уровень звука L, дБА	Уровень звуковой мощности (L, дБА) в октавных полосах частот, Гц							
		63	125	250	500	1000	2000	4000	8000
Шум на всасывании	83,5	54	65	70,6	76	77,1	79,6	73,2	68,9
Шум на нагнетании	86,5	57,3	68,1	73,5	79	80,1	82,5	76,1	72,3
Шум через корпус	75,8	47,8	57,6	66	67	70,1	70,5	67,1	62,3

Условия испытаний: Рст=840 Па.



Масса: WNP 60-35/28-2D – 39 кг.
WNP 60-35/31-2D – 39,5 кг.

ОБОРУДОВАНИЕ ДЛЯ ПРЯМОУГОЛЬНЫХ КАНАЛОВ

Вентиляторы WNP 70-40



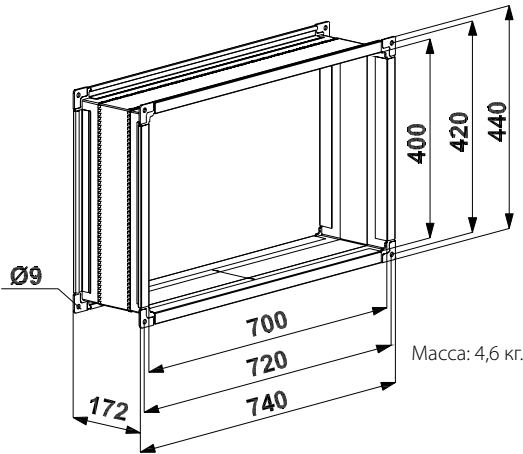
- Широкий модельный ряд вентиляторов в каждом типоразмере.
- Высокая эксплуатационная надёжность.
- Минимальное электропотребление.
- Корпус вентиляторов и съёмная сервисная панель из оцинкованного стального листа.
- Лёгкое пластиковое рабочее колесо с назад загнутыми лопатками, установленное непосредственно на валу асинхронного трёхфазного электродвигателя.
- Надёжная защита от перегрева электродвигателя встроенными термоконтактами.
- Класс изоляции: IP 54.
- Рабочий диапазон температуры перемещаемого воздуха от –30 до +40 °С.
- Получение любых характеристик при помощи частотного преобразователя.
- Монтаж в любом положении.

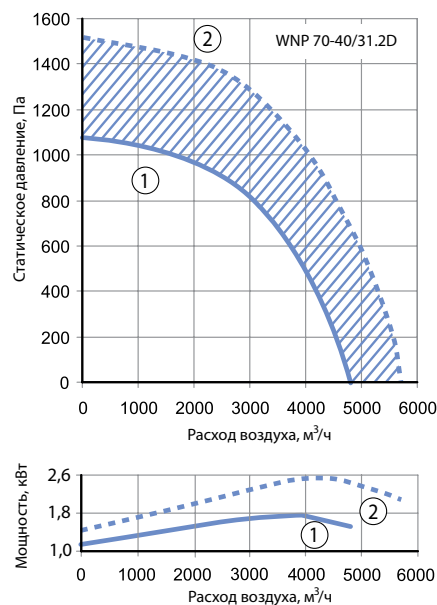
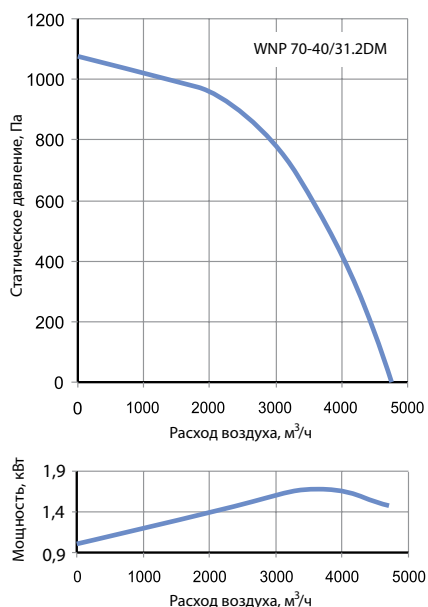
Типоразмер	Обозначение вентилятора	Макс. расход воздуха, м³/ч	Макс. статическое давление, Па	Обороты двигателя, об/мин	Напряжение электродвигателя, В	Установленная мощность двигателя, кВт	Номинальный ток, А
70-40	WNP 70-40/31.2DM	4750	1075	2800	3x230/3x400	1,5	3,32
	WNP 70-40/31.2D	5710	1515	2840	3x230/3x400	2,2	4,61
	WNP 70-40/35.2D	6900	1350	2840	3x230/3x400	3,0	6,1

Гибкие вставки WG 70-40



- Предотвращение передачи вибрации от вентилятора к воздуховоду и герметизация стыка.
- Два фланца из оцинкованного стального листа соединённые между собой изолирующим материалом (винил).
- Монтаж в любом положении.
- В качестве несущей конструкции в системе не используется.





1 — характеристика на номинальных оборотах без использования частотного регулятора ($n_{nom}=2840 \text{ мин}^{-1}$)

2 — характеристика на максимальных оборотах при использовании частотного регулятора ($n_{max}=3420 \text{ мин}^{-1}$)

заштрихованная область — область характеристик при использовании частотного регулятора ($n_{nom} < n < n_{max}$)

Режим работы, Па	Уровень звука L, дБА	Уровень звуковой мощности (L, дБА) в октавных полосах частот, Гц							
		63	125	250	500	1000	2000	4000	8000
Шум на всасывании	82,4	53,1	63,9	69,7	74,9	76	78,3	72,1	68,2
Шум на нагнетании	85,4	56,2	67,1	72,4	77,8	79,1	81,4	75,1	71,2
Шум через корпус	74,7	46,7	56,6	64,9	65,8	69,1	69,4	66,1	61,2

Условия испытаний: Рст=840 Па.

Для характеристики 1

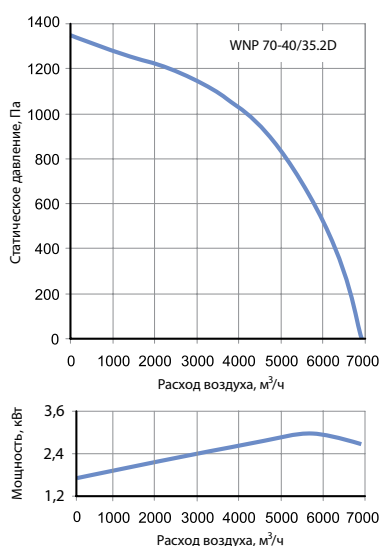
Режим работы, Па	Уровень звука L, дБА	Уровень звуковой мощности (L, дБА) в октавных полосах частот, Гц							
		63	125	250	500	1000	2000	4000	8000
Шум на всасывании	82,5	53,3	64,1	69,8	74,8	76,3	78,3	72,3	68,1
Шум на нагнетании	85,5	56,1	67,3	72,5	77,9	79,2	81,5	75,1	70,9
Шум через корпус	74,8	46,6	56,8	65	65,9	69,2	69,5	66,1	60,9

Условия испытаний: Рст=840 Па.

Для характеристики 2

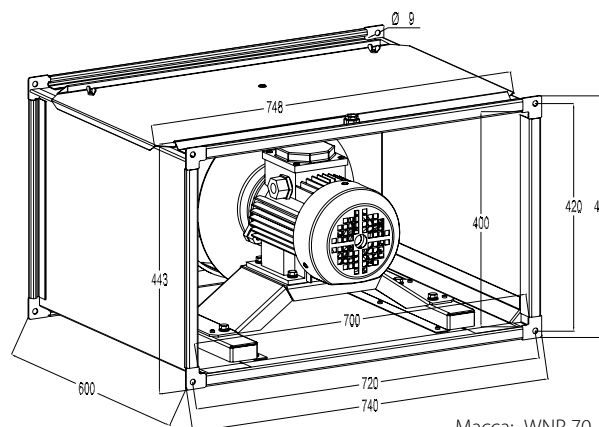
Режим работы, Па	Уровень звука L, дБА	Уровень звуковой мощности (L, дБА) в октавных полосах частот, Гц							
		63	125	250	500	1000	2000	4000	8000
Шум на всасывании	87,2	57,9	69	74,4	79,6	80,8	83,1	76,8	72,9
Шум на нагнетании	90,5	61,4	72	77,6	83,3	84,2	86,3	80,4	76,3
Шум через корпус	79,8	51,9	61,5	70,1	71,3	74,2	74,3	71,4	66,3

Условия испытаний: Рст=1300 Па.



Режим работы, Па	Уровень звука L, дБА	Уровень звуковой мощности (L, дБА) в октавных полосах частот, Гц							
		63	125	250	500	1000	2000	4000	8000
Шум на всасывании	87,0	56,6	64,3	72	78,4	79,5	83,8	78,6	72,2
Шум на нагнетании	89,9	59,3	67,4	74,7	81,4	82,4	86,7	81,3	75,6
Шум через корпус	78,1	49,8	55,9	66,2	68,4	71,4	73,7	71,3	64,6

Условия испытаний: Рст=1145 Па.



Масса: WNP 70-40/31.2DM – 47 кг.
WNP 70-40/31.2D – 51 кг.
WNP 70-40/35.2D – 52,5 кг.

ОБОРУДОВАНИЕ ДЛЯ ПРЯМОУГОЛЬНЫХ КАНАЛОВ

Вентиляторы WNP 80-50



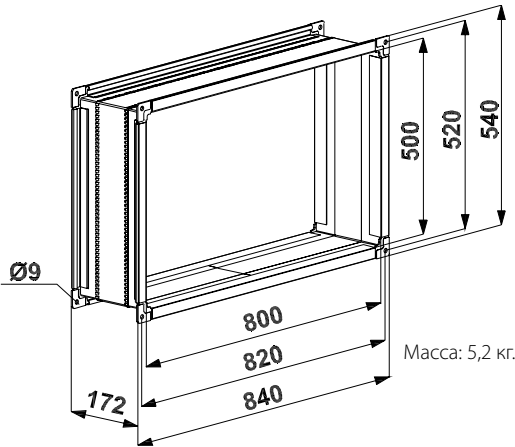
- Широкий модельный ряд вентиляторов в каждом типоразмере.
- Высокая эксплуатационная надёжность.
- Минимальное электропотребление.
- Корпус вентиляторов и съёмная сервисная панель из оцинкованного стального листа.
- Лёгкое пластиковое рабочее колесо с назад загнутыми лопатками, установленное непосредственно на валу асинхронного трёхфазного электродвигателя.
- Надёжная защита от перегрева электродвигателя встроенными термоконтактами.
- Класс изоляции: IP 54.
- Рабочий диапазон температуры перемещаемого воздуха от –30 до +40 °С.
- Получение любых характеристик при помощи частотного преобразователя.
- Монтаж в любом положении.

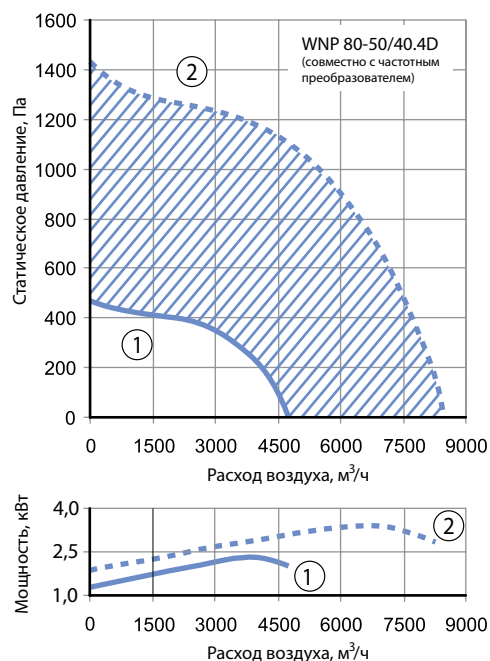
Типоразмер	Обозначение вентилятора	Макс. расход воздуха, м³/ч	Макс. статическое давление, Па	Обороты двигателя, об/мин	Напряжение электродвигателя, В	Установленная мощность двигателя, кВт	Номинальный ток, А
80-50	WNP 80-50/35.2D	7480	1365	2840	3x230/3x400	3,0	6,1
	WNP 80-50/40.4D	8450	1420	1420	3x230/3x400	3,0	6,47

Гибкие вставки WG 80-50

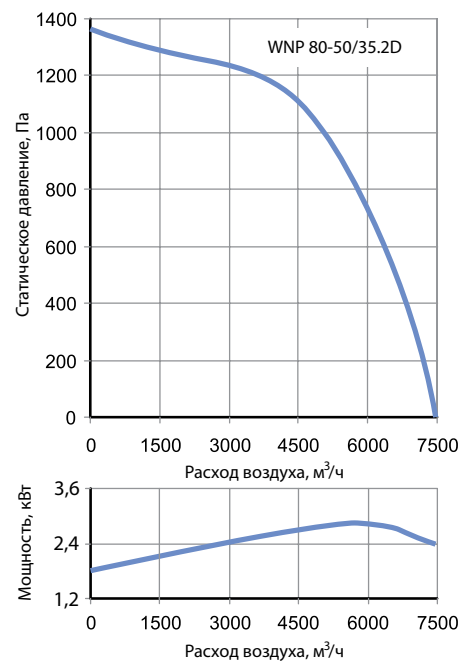


- Предотвращение передачи вибрации от вентилятора к воздуховоду и герметизация стыка.
- Два фланца из оцинкованного стального листа соединённые между собой изолирующим материалом (винил).
- Монтаж в любом положении.
- В качестве несущей конструкции в системе не используется.





1 — характеристика на номинальных оборотах без использования частотного регулятора (n ном=1410 мин⁻¹)
2 — характеристика на максимальных оборотах при использовании частотного регулятора (n max=2489 мин⁻¹)
заштрихованная область — область характеристик при использовании частотного регулятора (n ном < n < n max)



Режим работы, Па	Уровень звука L, дБА	Уровень звуковой мощности (L, дБА) в октавных полосах частот, Гц							
		63	125	250	500	1000	2000	4000	8000
Шум на всасывании	86,1	55,4	63,3	71,1	77,2	78,7	82,9	77,3	71,3
Шум на нагнетании	88,9	58,7	66,5	73,8	80,3	81,6	85,5	80,4	74,3
Шум через корпус	77,1	49,2	55	65,3	67,3	70,6	72,5	70,4	63,3

Условия испытаний: Pст=1145 Па.

Для характеристики 1

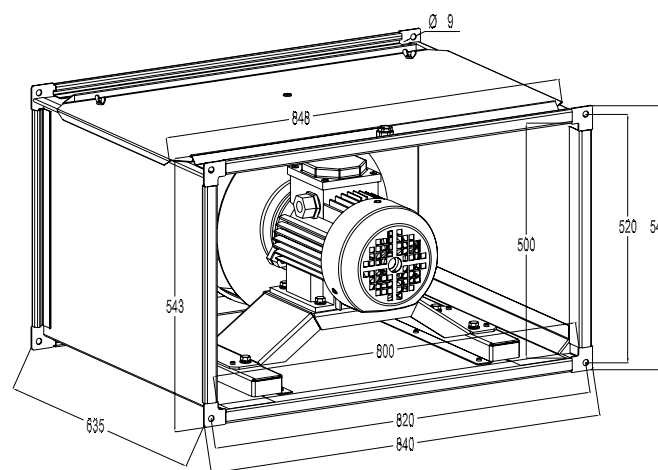
Режим работы, Па	Уровень звука L, дБА	Уровень звуковой мощности (L, дБА) в октавных полосах частот, Гц							
		63	125	250	500	1000	2000	4000	8000
Шум на всасывании	73,0	49	51,1	60,5	63,9	69,1	66,5	64,4	58,2
Шум на нагнетании	76,0	52	53,9	63,5	67,2	72,1	69,4	67,4	61,1
Шум через корпус	65,3	42,5	42,9	55,5	54,7	61,6	56,9	57,9	50,6

Условия испытаний: Pст=350 Па.

Для характеристики 2

Режим работы, Па	Уровень звука L, дБА	Уровень звуковой мощности (L, дБА) в октавных полосах частот, Гц							
		63	125	250	500	1000	2000	4000	8000
Шум на всасывании	86,1	60,5	62,3	72,9	76	81,5	81,7	76,2	71,4
Шум на нагнетании	88,9	63,3	65,2	75,5	79,1	84,1	84,5	79,1	74,3
Шум через корпус	76,9	53,8	53,2	66,5	65,6	72,6	71	68,6	62,8

Условия испытаний: Pст=1100 Па.



Масса: WNP 80-50/40.4D – 70 кг.
WNP 80-50/35.2D – 60,5 кг.

ОБОРУДОВАНИЕ ДЛЯ ПРЯМОУГОЛЬНЫХ КАНАЛОВ

Вентиляторы WNP 90-50



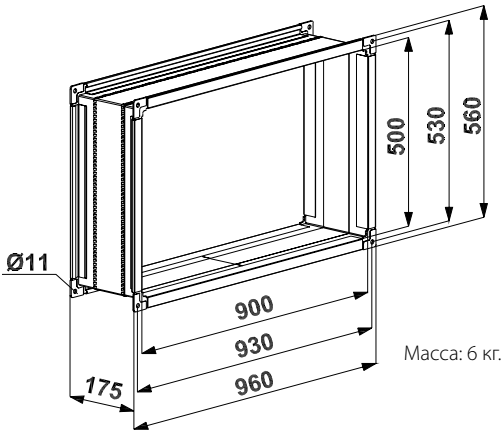
- Широкий модельный ряд вентиляторов в каждом типоразмере.
- Высокая эксплуатационная надёжность.
- Минимальное электропотребление.
- Корпус вентиляторов и съёмная сервисная панель из оцинкованного стального листа.
- Лёгкое пластиковое рабочее колесо с назад загнутыми лопатками, установленное непосредственно на валу асинхронного трёхфазного электродвигателя.
- Надёжная защита от перегрева электродвигателя встроенными термоконтактами.
- Класс изоляции: IP 54.
- Рабочий диапазон температуры перемещаемого воздуха от –30 до +40 °С.
- Получение любых характеристик при помощи частотного преобразователя.
- Монтаж в любом положении.

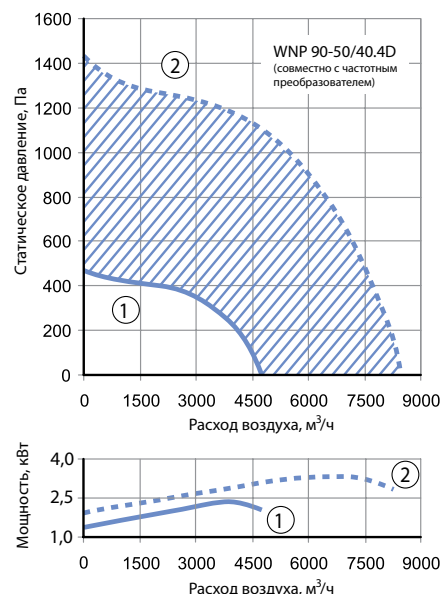
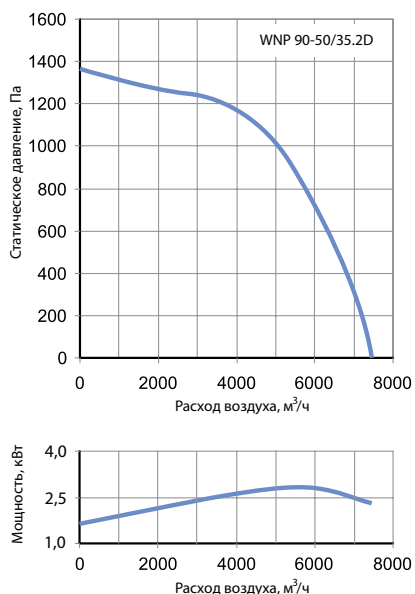
Типоразмер	Обозначение вентилятора	Макс. расход воздуха, м³/ч	Макс. статическое давление, Па	Обороты двигателя, об/мин	Напряжение электродвигателя, В	Установленная мощность двигателя, кВт	Номинальный ток, А
90-50	WNP 90-50/35.2D	7480	1365	2840	3x230/3x400	3,0	6,1
	WNP 90-50/40.2D	9800	1690	2880	3x400/3x690	5,5	10,53
	WNP 90-50/40.4D	8450	1420	1420	3x230/3x400	3,0	6,47

Гибкие вставки WG 90-50



- Предотвращение передачи вибрации от вентилятора к воздуховоду и герметизация стыка.
- Два фланца из оцинкованного стального листа соединённые между собой изолирующим материалом (винил).
- Монтаж в любом положении.
- В качестве несущей конструкции в системе не используется.





1 — характеристика на номинальных оборотах без использования частотного регулятора ($n_{nom}=1410$ мин⁻¹)
2 — характеристика на максимальных оборотах при использовании частотного регулятора ($n_{max}=2489$ мин⁻¹)
заштрихованная область — область характеристик при использовании частотного регулятора ($n_{nom} < n < n_{max}$)

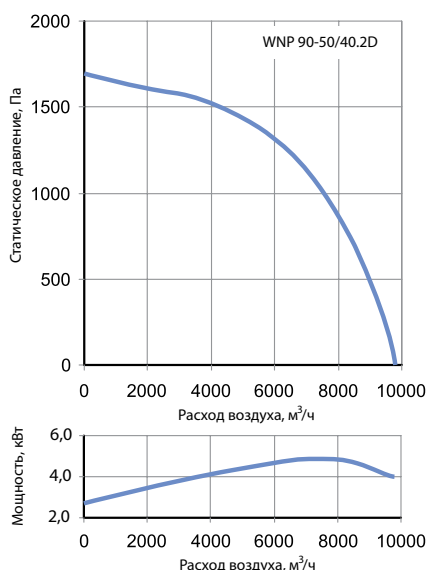
Режим работы, Па	Уровень звука L, дБА	Уровень звуковой мощности (L, дБА) в октавных полосах частот, Гц							
		63	125	250	500	1000	2000	4000	8000
Шум на всасывании	86,0	60,3	62,1	72,9	76,3	81,1	81,6	76,5	71,3
Шум на нагнетании	89,1	63,5	65,4	75,8	79,1	84,5	84,7	79,2	74,4
Шум через корпус	76,6	54	52,9	66,3	65,1	72,5	70,7	68,2	62,4

Условия испытаний: Рст=1145 Па.

Для характеристики 1

Режим работы, Па	Уровень звука L, дБА	Уровень звуковой мощности (L, дБА) в октавных полосах частот, Гц							
		63	125	250	500	1000	2000	4000	8000
Шум на всасывании	73,1	49	51	60,6	64,1	69,3	66,6	64,1	58,1
Шум на нагнетании	76,0	52,1	53,9	63,5	66,9	72,3	69,3	67,3	60,9
Шум через корпус	65,3	42,6	42,9	55,5	54,4	61,8	56,8	57,8	50,4

Условия испытаний: Рст=350 Па.



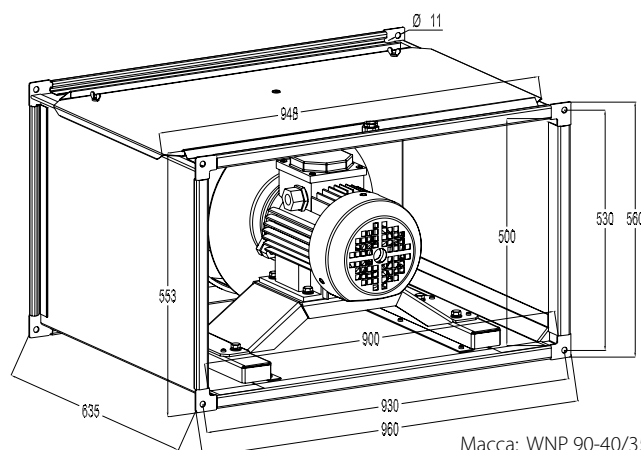
Для характеристики 2

Режим работы, Па	Уровень звука L, дБА	Уровень звуковой мощности (L, дБА) в октавных полосах частот, Гц							
		63	125	250	500	1000	2000	4000	8000
Шум на всасывании	86,0	60,3	62,1	72,9	76,3	81,1	81,6	76,5	71,3
Шум на нагнетании	89,1	63,5	65,4	75,8	79,1	84,5	84,7	79,2	74,4
Шум через корпус	76,6	54	52,9	66,3	65,1	72,5	70,7	68,2	62,4

Условия испытаний: Рст=1130 Па.

Режим работы, Па	Уровень звука L, дБА	Уровень звуковой мощности (L, дБА) в октавных полосах частот, Гц							
		63	125	250	500	1000	2000	4000	8000
Шум на всасывании	90,9	67,1	69,2	78,7	81,9	87	84,5	82,3	76
Шум на нагнетании	94,0	70	71,9	81,5	85,1	90,4	87,4	85	79,2
Шум через корпус	80,8	60,5	58,4	71	70,1	77,4	72,4	73	66,2

Условия испытаний: Рст=1145 Па.



Масса: WNP 90-40/35.2D – 65,5 кг.
WNP 90-50/40.2D – 78 кг.
WNP 90-50/40.4D – 75 кг.

ОБОРУДОВАНИЕ ДЛЯ ПРЯМОУГОЛЬНЫХ КАНАЛОВ

Вентиляторы WNP 100-50



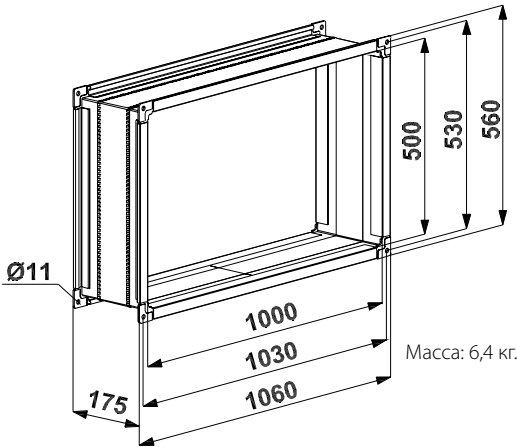
- Широкий модельный ряд вентиляторов в каждом типоразмере.
- Высокая эксплуатационная надёжность.
- Минимальное электропотребление.
- Корпус вентиляторов и съёмная сервисная панель из оцинкованного стального листа.
- Лёгкое пластиковое рабочее колесо с назад загнутыми лопатками, установленное непосредственно на валу асинхронного трёхфазного электродвигателя.
- Надёжная защита от перегрева электродвигателя встроенными термоконтактами.
- Класс изоляции: IP 54.
- Рабочий диапазон температуры перемещаемого воздуха от –30 до +40 °С.
- Получение любых характеристик при помощи частотного преобразователя.
- Монтаж в любом положении.

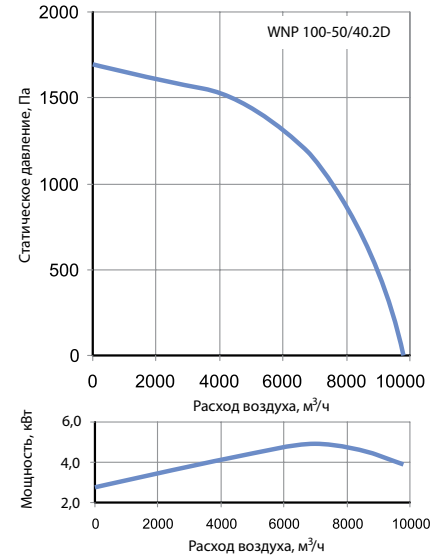
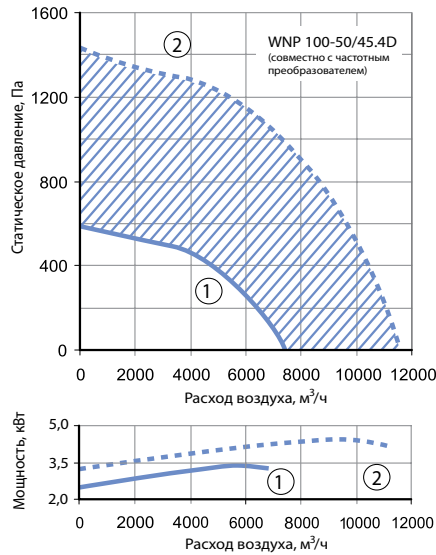
Типоразмер	Обозначение вентилятора	Макс. расход воздуха, м³/ч	Макс. статическое давление, Па	Обороты двигателя, об/мин	Напряжение электродвигателя, В	Установленная мощность двигателя, кВт	Номинальный ток, А
100-50	WNP 100-50/40.2D	9800	1690	2880	3x400/3x690	5,5	10,53
	WNP 100-50/45.4D	11550	1425	1430	3x400/3x690	4,0	8,26

Гибкие вставки WG 100-50



- Предотвращение передачи вибрации от вентилятора к воздуховоду и герметизация стыка.
- Два фланца из оцинкованного стального листа соединённые между собой изолирующим материалом (винил).
- Монтаж в любом положении.
- В качестве несущей конструкции в системе не используется.





Для характеристики 1

Режим работы, Па	Уровень звука L, дБА	Уровень звуковой мощности (L, дБА) в октавных полосах частот, Гц							
		63	125	250	500	1000	2000	4000	8000
Шум на всасывании	78,5	47,7	55,6	67,2	69,7	73,8	73,1	69	64,6
Шум на нагнетании	81,5	51	58,9	70,3	72,6	77	75,9	72	67,6
Шум через корпус	69,7	41,5	46,9	61,3	59,1	65,5	62,4	61,5	56,1

Условия испытаний: $P_{ст}=480 \text{ Па}$.

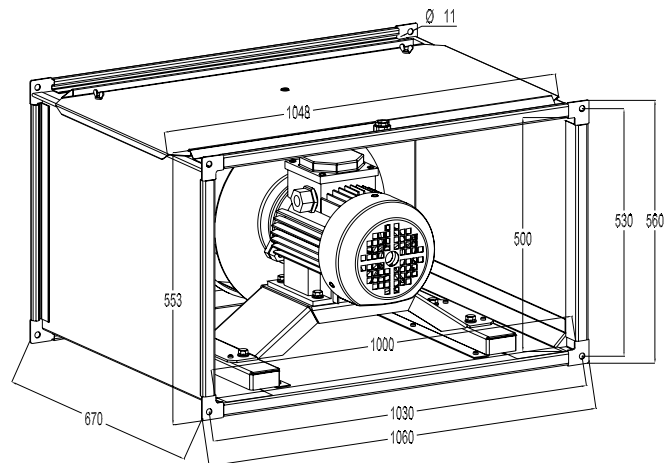
Для характеристики 2

Режим работы, Па	Уровень звука L, дБА	Уровень звуковой мощности (L, дБА) в октавных полосах частот, Гц							
		63	125	250	500	1000	2000	4000	8000
Шум на всасывании	88,6	57,3	63	76,8	79,1	83,4	84,6	78	73,9
Шум на нагнетании	91,5	60,1	66,3	79,8	81,8	86,1	87,4	81,3	77,2
Шум через корпус	79,5	50,6	54,3	70,8	68,3	74,6	73,9	70,8	65,7

Условия испытаний: $P_{ст}=1160 \text{ Па}$.

Режим работы, Па	Уровень звука L, дБА	Уровень звуковой мощности (L, дБА) в октавных полосах частот, Гц							
		63	125	250	500	1000	2000	4000	8000
Шум на всасывании	90,9	67,2	68,9	78,4	82	87,2	84,2	82	75,9
Шум на нагнетании	94,0	70,1	72,3	81,6	85	90,3	87,5	85,2	79
Шум через корпус	80,8	60,6	58,8	71,1	70	77,3	72,5	73,2	66

Условия испытаний: $P_{ст}=1450 \text{ Па}$.



Масса: WNP 100-50/45.4D – 87 кг.
WNP 100-50/40.2D – 85,5 кг.

ОБОРУДОВАНИЕ ДЛЯ ПРЯМОУГОЛЬНЫХ КАНАЛОВ

Вентиляторы KW 30... и KW 40...



- Наружное исполнение.
- Длительный ресурс безотказной работы (более 50 000 часов).
- Рабочее колесо с назад загнутыми лопатками.
- Корпус из оцинкованного стального листа.
- Однофазные и трёхфазные электродвигатели с внешним ротором и с высоким омическим сопротивлением.
- Надёжная защита от перегрева электродвигателя встроенными термоконтактами.
- Класс изоляции: IP54.
- Рабочий диапазон температуры перемещаемого воздуха: от –30 до +40 °С.
- Получение любых характеристик при помощи частотного или трансформаторного регулятора.
- Монтаж на крышах плоского и косого типа в горизонтальном положении. Ось вращения двигателя в вертикальном положении.

Обозначение вентилятора	Макс. расход воздуха, м³/ч	Макс. полное давление, Па	Обороты при макс КПД, об/мин	Напряжение эл. двигателя, В	Макс. мощность, кВт	Ток макс, А	Уровень звука при макс КПД, dB	Макс. допустимая температура	Масса, кг
KW 30/22-2E	1050	470	2730	220	0,17	0,71	79	40 °С	6,4
KW 40/31-4D	1561	246	1360	380	0,18	0,39	65	40 °С	15,0
KW 40/32-4D	1561	246	1390	380	0,14	0,68	64	40 °С	17,4

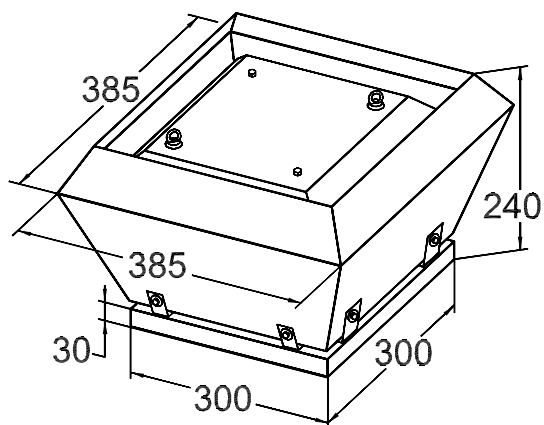
Вентиляторы KW 56...



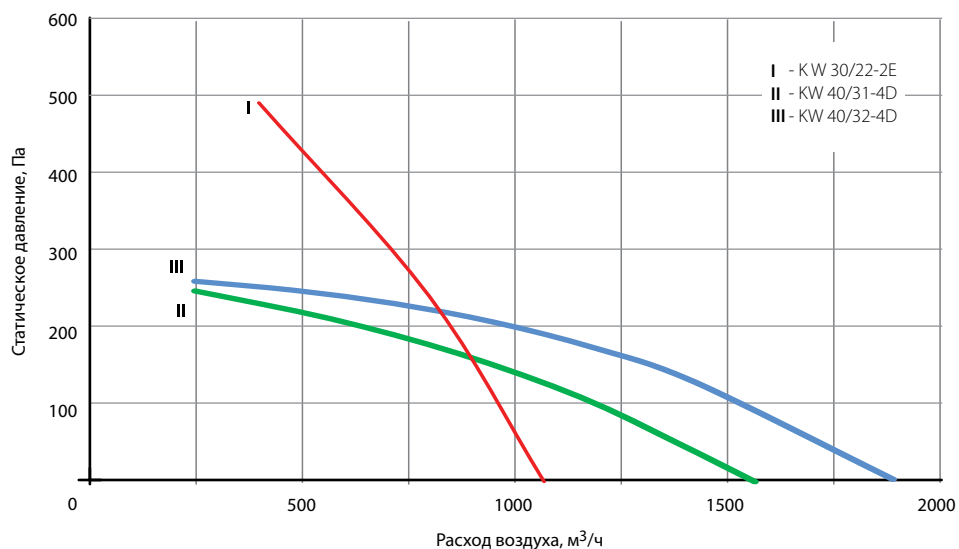
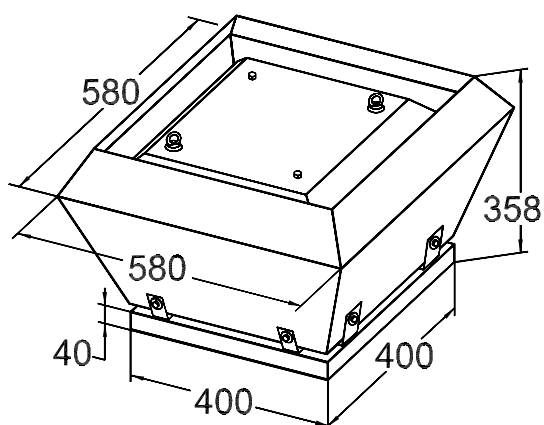
- Наружное исполнение.
- Длительный ресурс безотказной работы (более 50 000 часов).
- Рабочее колесо с назад загнутыми лопатками.
- Корпус из оцинкованного стального листа.
- Однофазные и трёхфазные электродвигатели с внешним ротором и с высоким омическим сопротивлением.
- Надёжная защита от перегрева электродвигателя встроенными термоконтактами.
- Класс изоляции: IP54.
- Рабочий диапазон температуры перемещаемого воздуха: от –30 до +40 °С.
- Получение любых характеристик при помощи частотного или трансформаторного регулятора.
- Монтаж на крышах плоского и косого типа в горизонтальном положении. Ось вращения двигателя в вертикальном положении.

Обозначение вентилятора	Макс расход воздуха, м³/ч	Макс полное давление, Па	Обороты при макс КПД, об/мин	Напряжение эл. двигателя, В	Макс. мощность, кВт	Ток макс, А	Уровень звука при макс КПД, dB	Макс. допустимая температура	Масса, кг
KW 56/35-4D	2700	338	1330	380	0,266	0,5	68	40 °С	30,4
KW 56/35-4E	2900	340	1360	220	0,31	1,45	69	40 °С	29,6
KW 56/40-4D	4050	400	1340	380	0,54	1,1	70	40 °С	30,8
KW 56/40-4E	4050	395	1350	220	0,54	2,5	71	40 °С	29,8

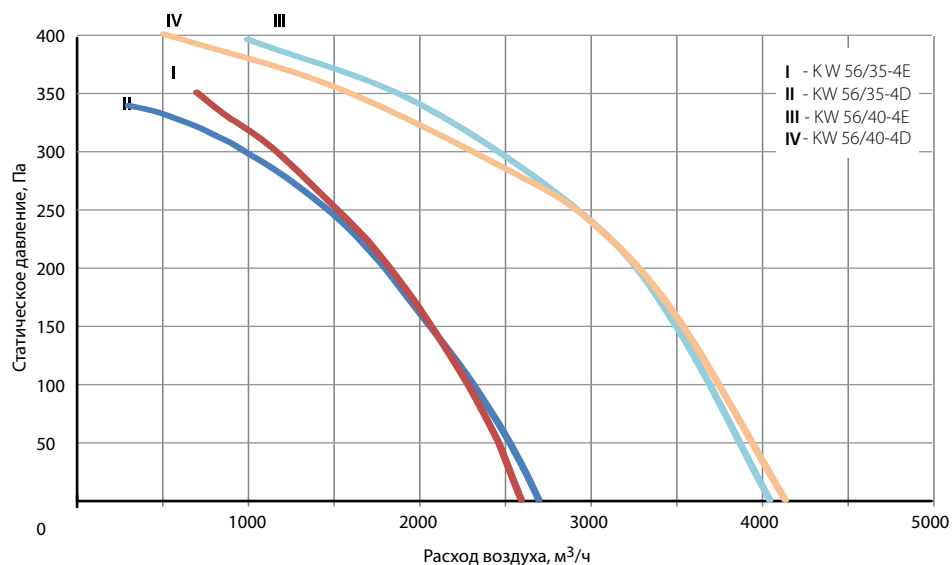
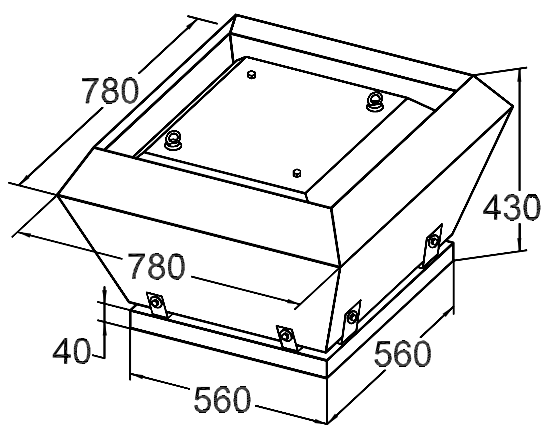
KW 30/22-2E



KW 40/31-4D, KW 40/32-4D



KW 56/35-4D, KW 56/35-4E,
KW 56/40-4D, KW 56/40-4E



ОБОРУДОВАНИЕ ДЛЯ ПРЯМОУГОЛЬНЫХ КАНАЛОВ

Вентиляторы KW 63...



- Наружное исполнение.
- Длительный ресурс безотказной работы (более 50 000 часов).
- Рабочее колесо с назад загнутыми лопатками.
- Корпус из оцинкованного стального листа.
- Однофазные и трёхфазные электродвигатели с внешним ротором и с высоким омическим сопротивлением.
- Надёжная защита от перегрева электродвигателя встроенными термодатчиками.
- Класс изоляции: IP54.
- Рабочий диапазон температуры перемещаемого воздуха: от –30 до +40 °С.
- Получение любых характеристик при помощи частотного или трансформаторного регулятора.
- Монтаж на крышах плоского и косого типа в горизонтальном положении. Ось вращения двигателя в вертикальном положении.

Обозначение вентилятора	Макс. расход воздуха, м³/ч	Макс. полное давление, Па	Обороты при макс КПД, об/мин	Напряжение эл. двигателя, В	Макс. мощность, кВт	Ток макс, А	Уровень звука при макс КПД, dB	Макс. допустимая температура	Масса, кг
KW 63/45-4E	5400	462	1230	220	0,9	4,1	74	40 °С	40,5
KW 63/45-4D	5600	450	1220	380	0,74	1,45	74	40 °С	40,0
KW 63/50-4D	7800	600	1340	380	1,6	3	78	40 °С	40,7
KW 63/50-6D	5019	291	850	380	0,65	1,45	67	40 °С	48,4

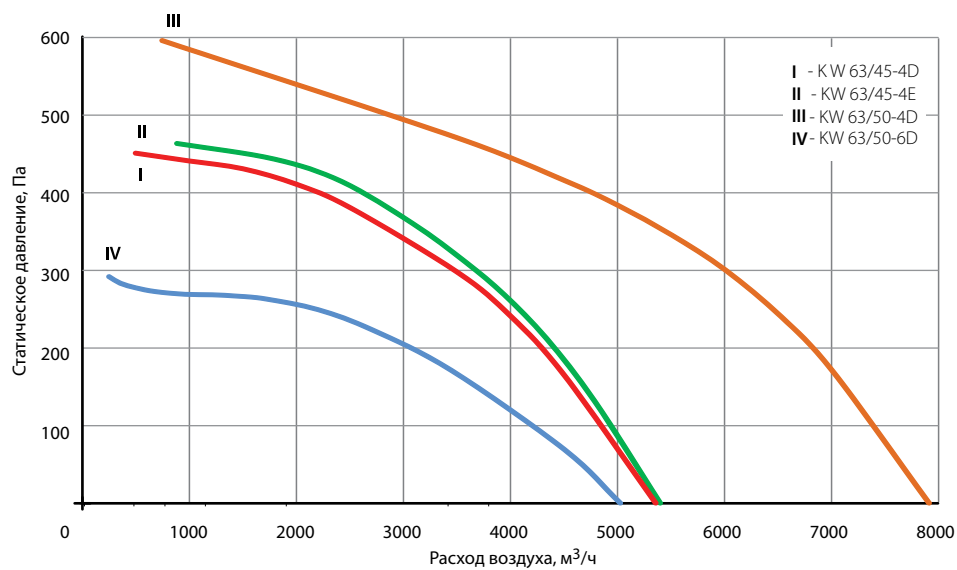
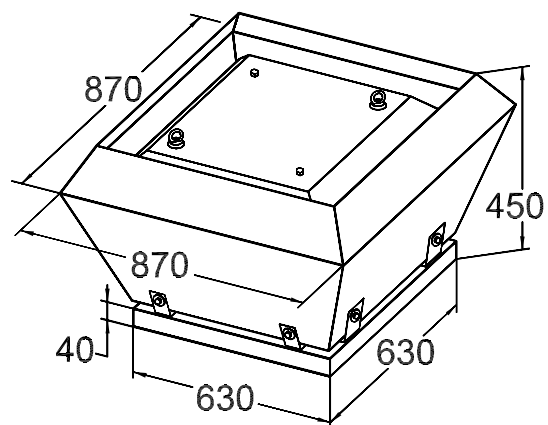
Вентиляторы KW 90...



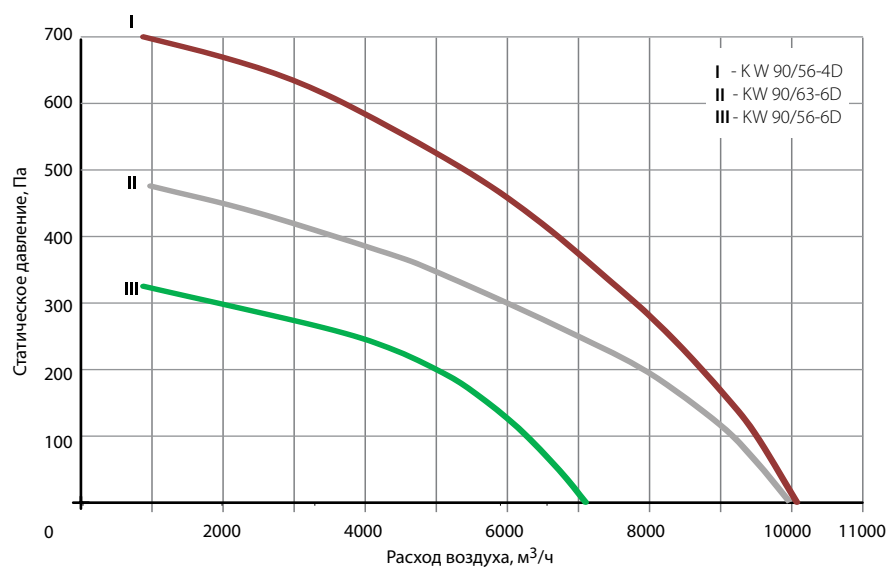
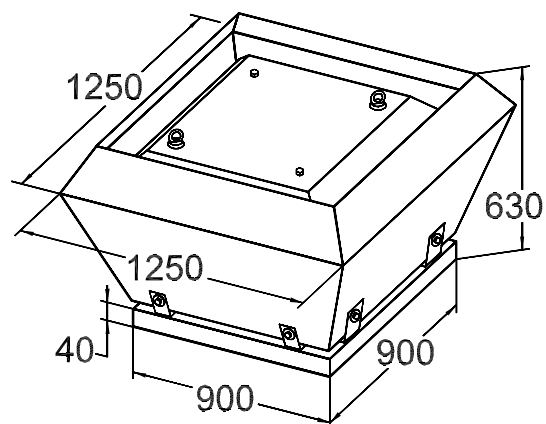
- Наружное исполнение.
- Длительный ресурс безотказной работы (более 50 000 часов).
- Рабочее колесо с назад загнутыми лопатками.
- Корпус из оцинкованного стального листа.
- Трёхфазные электродвигатели с внешним ротором и с высоким омическим сопротивлением.
- Надёжная защита от перегрева электродвигателя встроенными термодатчиками.
- Класс изоляции: IP54.
- Рабочий диапазон температуры перемещаемого воздуха: от –30 до +40 °С.
- Получение любых характеристик при помощи частотного или трансформаторного регулятора.
- Монтаж на крышах плоского и косого типа в горизонтальном положении. Ось вращения двигателя в вертикальном положении.

Обозначение вентилятора	Макс. расход воздуха, м³/ч	Макс. полное давление, Па	Обороты при макс КПД, об/мин	Напряжение эл. двигателя, В	Макс. мощность, кВт	Ток макс, А	Уровень звука при макс КПД, dB	Макс. допустимая температура	Масса, кг
KW 90/56-4D	10100	700	1230	380	2,2	3,8	79	40 °С	77,0
KW 90/56-6D	7130	323	830	380	0,78	1,55	69	40 °С	70,0
KW 90/63-6D	10150	430	870	380	1,05	2,2	77	40 °С	78,0

KW 63/45-4E, KW 63/45-4D,
KW 63/50-4E, KW 63/50-6D



KW 90/56-4D, KW 90/56-6D, KW 90/63-6D



ОБОРУДОВАНИЕ ДЛЯ ПРЯМОУГОЛЬНЫХ КАНАЛОВ

Вентиляторы KW 94...



- Наружное исполнение.
- Длительный ресурс безотказной работы (более 50 000 часов).
- Корпус из оцинкованного стального листа.
- Надёжная защита от перегрева электро-двигателя встроенными термоконтактами.
- Класс изоляции: IP54.
- Рабочий диапазон температуры перемещаемого воздуха: от –40 до +40 °С.
- Получение любых характеристик при помощи частотного регулятора.
- Монтаж на крышах плоского и косого типа в горизонтальном положении. Ось вращения двигателя в вертикальном положении.

Обозначение вентилятора	Макс. расход воздуха, м ³ /ч	Макс. Полное давление, Па	Обороты при макс КПД, об/мин	Напряжение эл. двигателя, В	Макс. мощность, кВт	Ток макс, А	Уровень звука при макс КПД, dB	Макс. допустимая температура	Масса, кг
KW 94/56-4D	13750	940	1400	380	3	6,7	82	40°C	155
KW 94/63-4D	19950	1175	1430	380	5,5	11,7	85	40°C	205
KW 94/63-6D	12777	500	940	380	2,2	5,6	77	40°C	185

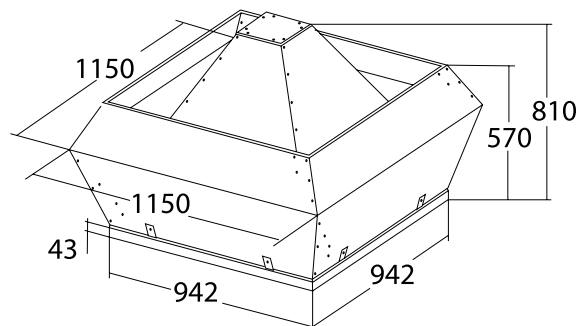
Вентиляторы KW 100...



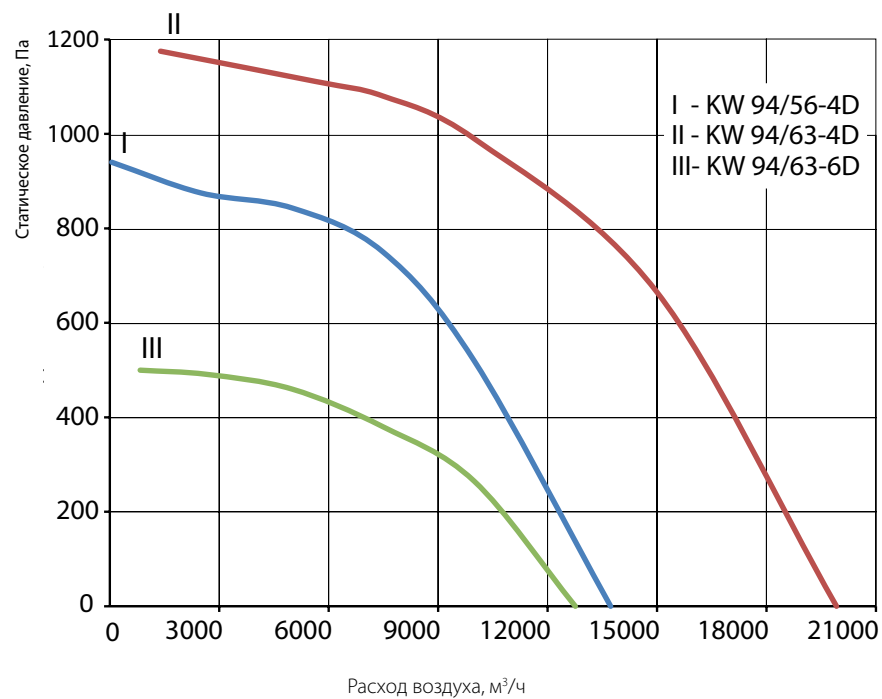
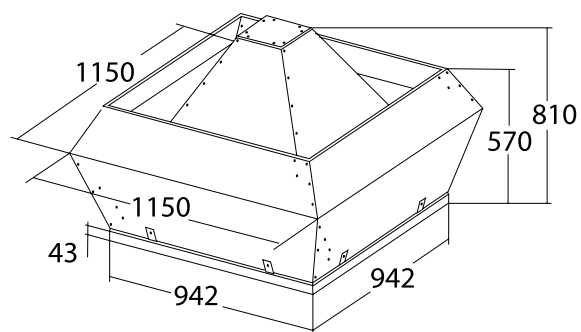
- Наружное исполнение.
- Длительный ресурс безотказной работы (более 50 000 часов).
- Корпус из оцинкованного стального листа.
- Надёжная защита от перегрева электро-двигателя встроенными термоконтактами.
- Класс изоляции: IP54.
- Рабочий диапазон температуры перемещаемого воздуха: от –40 до +40 °С.
- Получение любых характеристик при помощи частотного регулятора.
- Монтаж на крышах плоского и косого типа в горизонтальном положении. Ось вращения двигателя в вертикальном положении.

Обозначение вентилятора	Макс. расход воздуха, м ³ /ч	Макс. полное давление, Па	Обороты при макс КПД, об/мин	Напряжение эл. двигателя, В	Макс. мощность, кВт	Ток макс, А	Уровень звука при макс КПД, dB	Макс. допустимая температура	Масса, кг
KW 100/71-6D	18462	625	940	380	2,2	5,6	79	40°C	225

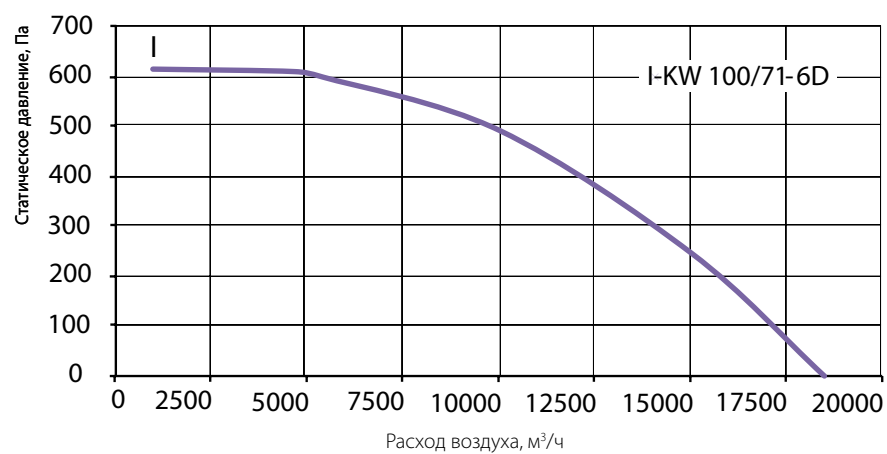
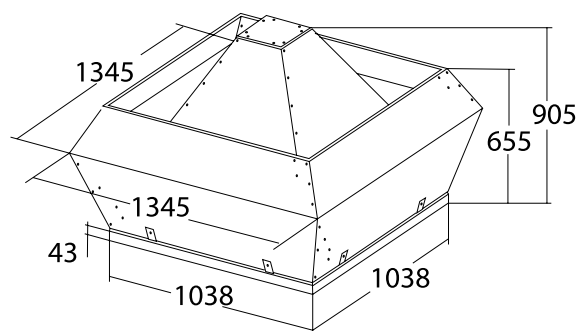
KW 94/56-4D



KW 94/63-4D, KW 94/63-6D



KW 100/71-6D



ПРОЕКТНЫЙ ИНСТИТУТ РЕКОНСТРУКЦИИ И СТРОИТЕЛЬСТВА
ОБЪЕКТОВ НЕФТИ И ГАЗА
ЗАО «ПИРС»

Лаборатория экологического мониторинга и контроля
отдела экологических изысканий

Уникальный номер записи об аккредитации в реестре аккредитованных лиц: РОСС RU.0001.21AY45
Дата внесения в реестр сведений об аккредитованном лице: 25.12.2013 г.

Юридический адрес: Россия, 644033, г. Омск, ул. Красный путь, д. 153 к. 2
Адрес места осуществления деятельности: Россия, 644033, г. Омск, ул. Красный путь, д. 153 к. 2
Телефон: (3812)69-18-89 доб. 1915, факс (3812)69-18-38, e-mail: oirgas@pirlsogas.ru
ОКПО 23660383, ОГРН 1025500507603, ИНН КПП 5507063015/550101001



УТВЕРЖДАЮ
Начальник лаборатории
экологического мониторинга и
контроля
Войтов К.М.
« 01 » сентября 2021 г.

ПРОТОКОЛ ИЗМЕРЕНИЙ ШУМА
№ Ш-32/09-21

Наименование проекта: «ПАО «ГМК «Норильский никель». АО «Кольская ГМК». Строительство комплекса «обжиг-выщелачивание-электроэкстракция»

Полное наименование организации-заказчика: Закрытое акционерное общество «Проектный институт реконструкции и строительства объектов нефти и газа» (ЗАО «ПИРС»)

Юридический и фактический адрес (место нахождения) заказчика: 644033, Омская обл., г. Омск, ул. Красный Путь, д. 153, корп. 2.

Идентификационный номер налогоплательщика (ИНН): 5507003015

Основной государственный регистрационный номер (ОГРН) заказчика: 1025500507603

Основной документ заявки на проведение исследований: 87/07 от 09.07.2021 г.

Место проведения измерений: Российская федерация, Мурманская область, г. Мончегорск, площадка Мончегорск АО «Кольская ГМК»

Дата и время проведения измерений: 8⁰⁰ 14.07.2021 г. 0⁵⁵ 15.07.2021 г.

Цель проведения измерений: исследование и оценка шумовых характеристик при инженерно-экологических изысканиях
Основные источники шума, описание режима их работы и характер, создаваемого ими шума: транспорт, спецтехника. Характер шума – непостоянный колеблющийся

Сведения об применяемых средствах измерений:

Тип средства измерения	Заводской номер/ Инвентарный номер	Реквизиты свидетельства о поверке			Основная погрешность измерения	Диапазоны значений пределов измерений
		Номер	Срок действия до	Наименование органа, выдавшего свидетельство		
Анализатор шума и вибрации «Ассистент»	090912/ 00003312	С-В3/09-02- 2021/362498 15	08.02.2022	ФБУ «Омский ЦСМ»	Звук±0,7дБ	Уровень звука (21-150) дБ
Калибратор акустический «Защита-К»	85115/ АГ844	594664	01.09.2021	ФБУ «Новосибирский ЦСМ»	УЗД±0,25 дБ	Номинальные (заданные) значения УЗД отн. 20 мкПа (94,114) дБ
Дальномер лазерный Leica Disto A5	1064842300/ АГ216	189747	03.12.2021	ФБУ «Омский ЦСМ»	для расстояний менее 30 м ± 2 мм; для расстояний более 30 м ± 10 мм	Расстояние (0,05-200) м
Измеритель параметров микроклимата, тип «Метеоскоп-М»	51512/ АГ361	С-В3/23-04- 2021/600175 49	22.04.2023	ФБУ «Омский ЦСМ»	1. Относительная влажность ± 3%; 2. Температура воздуха ±0,2 °С; 3. Скорость движения воздуха ±(0,05+0,05)В; 4. Давление ±0,13кПа;	1 Влажность (3-97) % 2. Температура (от минус 20 до плюс 45)°С. 3. Скорость воздушного потока (0,1-20) м/с 4. Давление (600-825) мм рт.ст.
Измеритель влажности и температуры ИВТМ-7 М ₂	51342/ АД1177	С-В3/18-01- 2021/330335 81	17.01.2022	ООО НПК «Эталон-Тест»	Относительная влажность ±2,0%; Температура воздуха ±0,2 °С	Относительная влажность (3-97)% Температура воздуха (от минус 20 до 45)°С.

Метод измерений, ссылка на нормативный документ: ГОСТ 23337-2014 «Шум. Методы измерения шума на селитебной территории и в помещениях жилых и общественных зданий»

Климатические условия при проведении измерений: Температура воздуха: +11,0...+12,0 °С; Влажность воздуха: 64,0-69,0 %.

Атмосферное давление: 738,0-737,0 мм рт.ст. Скорость движения воздуха: 1,9-4,8 м/с.

Протокол № Ш-32/09-21

Результаты относятся только к испытательной пробе (образцу) или измерению.

Настоящий протокол не может быть полностью или частично воспроизведен или тиражирован без разрешения лаборатории, выдавшей протокол.

Настоящий протокол составлен в двух экземплярах

Результаты измерений шума:

Контрольная точка № Ш-21-851 автостоянка рядом с КПП14.07.2021 8⁰⁰–8¹⁵

Величины	Характер шума – колеблющийся	
	Эквивалентный уровень звука, дБА	Максимальный уровень звука. дБА
Измеренные уровни звука	43,3	50,8
	40,3	47,1
	40,4	40,3
Средний по замерам уровень звука	41,6	47,8
Коррекция K:		
K ₁	0	0
K ₂	0	0
K ₃	0	0
K ₄	0	0
K ₅	0	0
Откорректированный средний уровень звука	41,6	47,8
Расширенная неопределенность измерений	1,2	3,2
Оценочный уровень звука	42,8	51,0

Контрольная точка № Ш-21-85114.07.2021 23⁰⁰–23¹⁵

Величины	Характер шума – колеблющийся	
	Эквивалентный уровень звука, дБА	Максимальный уровень звука. дБА
Измеренные уровни звука	39,5	46,0
	39,6	42,9
	39,5	49,4
Средний по замерам уровень звука	39,5	46,9
Коррекция K:		
K ₁	0	0
K ₂	0	0
K ₃	0	0
K ₄	0	0
K ₅	0	0
Откорректированный средний уровень звука	39,5	46,9
Расширенная неопределенность измерений	0,7	2,0
Оценочный уровень звука	40,2	48,9

Контрольная точка № Ш-21-852 асфальтированная площадка, граничащая с автомобильным проездом14.07.2021 8²⁰–8³⁵

Величины	Характер шума – колеблющийся	
	Эквивалентный уровень звука, дБА	Максимальный уровень звука. дБА
Измеренные уровни звука	43,5	46,8
	39,3	42,7
	44,5	41,2
Средний по замерам уровень звука	42,9	44,2
Коррекция К:		
К ₁	0	0
К ₂	0	0
К ₃	0	0
К ₄	0	0
К ₅	0	0
Откорректированный средний уровень звука	42,9	44,2
Расширенная неопределенность измерений	1,7	1,8
Оценочный уровень звука	44,6	46,0

Контрольная точка № Ш-21-85214.07.2021 23²⁰–23³⁵

Величины	Характер шума – колеблющийся	
	Эквивалентный уровень звука, дБА	Максимальный уровень звука. дБА
Измеренные уровни звука	43,2	47,4
	43,4	45,5
	41,5	51,6
Средний по замерам уровень звука	42,8	48,9
Коррекция К:		
К ₁	0	0
К ₂	0	0
К ₃	0	0
К ₄	0	0
К ₅	0	0
Откорректированный средний уровень звука	42,8	48,9
Расширенная неопределенность измерений	0,9	1,9
Оценочный уровень звука	43,7	50,8

Контрольная точка № Ш-21-853 плановый отвал, находящийся за железнодорожным переездом14.07.2021 8⁴⁰–8⁵⁵

Величины	Характер шума – колеблющийся	
	Эквивалентный уровень звука, дБА	Максимальный уровень звука, дБА
Измеренные уровни звука	42,8	41,9
	42,3	50,5
	45,2	49,5
Средний по замерам уровень звука	43,6	48,6
Коррекция K:		
K ₁	0	0
K ₂	0	0
K ₃	0	0
K ₄	0	0
K ₅	0	0
Откорректированный средний уровень звука	43,6	48,6
Расширенная неопределенность измерений	1,1	2,8
Оценочный уровень звука	44,7	51,4

Контрольная точка № Ш-21-85314.07.2021 23⁴⁰–23⁵⁵

Величины	Характер шума – колеблющийся	
	Эквивалентный уровень звука, дБА	Максимальный уровень звука, дБА
Измеренные уровни звука	39,4	44,1
	45,6	50,9
	44,4	45,2
Средний по замерам уровень звука	43,8	47,8
Коррекция K:		
K ₁	0	0
K ₂	0	0
K ₃	0	0
K ₄	0	0
K ₅	0	0
Откорректированный средний уровень звука	43,8	47,8
Расширенная неопределенность измерений	2,0	2,2
Оценочный уровень звука	45,8	50,0

Контрольная точка № Ш-21-854 асфальтированная площадка у главного корпуса14.07.2021 9⁰⁰-9¹⁵

Величины	Характер шума – колеблющийся	
	Эквивалентный уровень звука, дБА	Максимальный уровень звука. дБА
Измеренные уровни звука	40,0	45,7
	43,4	46,9
	39,6	44,5
	41,4	45,8
Средний по замерам уровень звука		
Коррекция K:		
K ₁	0	0
K ₂	0	0
K ₃	0	0
K ₄	0	0
K ₅	0	0
Откорректированный средний уровень звука	41,4	45,8
Расширенная неопределенность измерений	1,4	1,0
Оценочный уровень звука	42,8	46,8

Контрольная точка № Ш-21-85415.07.2021 0⁰⁰-0¹⁵

Величины	Характер шума – колеблющийся	
	Эквивалентный уровень звука, дБА	Максимальный уровень звука. дБА
Измеренные уровни звука	43,7	46,9
	39,5	50,0
	43,1	45,6
	42,5	47,9
Средний по замерам уровень звука		
Коррекция K:		
K ₁	0	0
K ₂	0	0
K ₃	0	0
K ₄	0	0
K ₅	0	0
Откорректированный средний уровень звука	42,5	47,9
Расширенная неопределенность измерений	1,5	1,5
Оценочный уровень звука	44,0	49,4

Контрольная точка № Ш-21-855 автодорога рядом со старой свалкой

14.07.2021 9²⁰–9³⁵

Величины	Характер шума – колеблющийся	
	Эквивалентный уровень звука, дБА	Максимальный уровень звука. дБА
Измеренные уровни звука	43,0	46,9
	41,4	50,0
	39,1	45,6
	41,4	47,9
Средний по замерам уровень звука		
Коррекция К:		
K ₁	0	0
K ₂	0	0
K ₃	0	0
K ₄	0	0
K ₅	0	0
Откорректированный средний уровень звука	41,4	47,9
Расширенная неопределенность измерений	1,3	1,5
Оценочный уровень звука	42,7	49,4

Контрольная точка № Ш-21-855

15.07.2021 0²⁰–0³⁵

Величины	Характер шума – колеблющийся	
	Эквивалентный уровень звука, дБА	Максимальный уровень звука. дБА
Измеренные уровни звука	43,0	50,9
	41,4	46,8
	39,1	44,9
	41,4	48,3
Средний по замерам уровень звука		
Коррекция К:		
K ₁	0	0
K ₂	0	0
K ₃	0	0
K ₄	0	0
K ₅	0	0
Откорректированный средний уровень звука	41,4	48,3
Расширенная неопределенность измерений	1,3	1,9
Оценочный уровень звука	42,7	50,2


Контрольная точка № Ш-21-856 выровненный пустырь, находящийся за пределами промышленной площадки14.07.2021 9⁴⁰–9⁵⁵

Величины	Характер шума – колеблющийся	
	Эквивалентный уровень звука, дБА	Максимальный уровень звука. дБА
Измеренные уровни звука	42,2	44,7
	41,8	51,5
	45,8	46,5
Средний по замерам уровень звука	43,7	48,6
Коррекция К:		
K ₁	0	0
K ₂	0	0
K ₃	0	0
K ₄	0	0
K ₅	0	0
Откорректированный средний уровень звука	43,7	48,6
Расширенная неопределенность измерений	1,5	2,2
Оценочный уровень звука	45,2	50,8


Контрольная точка № Ш-21-85615.07.2021 0⁴⁰–0⁵⁵

Величины	Характер шума – колеблющийся	
	Эквивалентный уровень звука, дБА	Максимальный уровень звука. дБА
Измеренные уровни звука	41,8	44,4
	40,1	45,0
	45,0	46,3
Средний по замерам уровень звука	42,8	45,3
Коррекция К:		
K ₁	0	0
K ₂	0	0
K ₃	0	0
K ₄	0	0
K ₅	0	0
Откорректированный средний уровень звука	42,8	45,3
Расширенная неопределенность измерений	1,6	0,9
Оценочный уровень звука	44,4	46,2

Специалист организации, проводивший измерения:

Должность	Фамилия И.О.	Подпись
Руководитель бригады ОЭИ ЗАО «ПИРС»	Киселев А.С.	

Специалист организации, оформивший протокол:

Должность	Фамилия И.О.	Подпись
Начальник лаборатории экологического мониторинга и контроля ЗАО «ПИРС»	Войтов К.М.	

Конец документа



ПРИЛОЖЕНИЕ Т

[illegible]

Определение уровня звукового давления в точке РТ-11. Северо-западная граница СЗЗ															
Наименование величин и их описание	Ссылка	Расчётные уровни в октавных полосах со среднестатистическими частотами, Гц												L _a , дБА	
		31,5	63	125	250	500	1000	2000	4000	8000					
1	2	3	4	5	6	7	8	9	10	11	12	13			
ИШ-1. Проезд грузового автотранспорта (доставка товара)															
Источники: линейный, протяжённость = 226,24 м. По положениям ГОСТ 31295-2 разбит на серию точечных эквивалентных источников. Количество эквивалентных источников: 8. Расчёт эквивалентных источников шума:															
Октавные уровни удельной звуковой мощности источника днём, Lw, дБ/м															
Октавные уровни удельной звуковой мощности источника ночью, Lw, дБ/м	исходные данные	0	62,6	56,2	53,2	50,4	50,5	46,8	41,9	33,9					
Уровни звукового давления от источника ИШ-1. Проезд грузового автотранспорта (доставка товара), зне(1) в расчётной точке днём, дБ	φ-нв(1)[10]	0	0	0	0	0	0	0	0	0					
Уровни звукового давления от источника ИШ-1. Проезд грузового автотранспорта (доставка товара), зне(1) в расчётной точке ночью, дБ	φ-нв(1)[10]	0	0	0	0	0	0	0	0	0					
Уровни звукового давления от источника ИШ-1. Проезд грузового автотранспорта (доставка товара), зне(2) в расчётной точке днём, дБ	φ-нв(1)[10]	0	0	0	0	0	0	0	0	0					
Уровни звукового давления от источника ИШ-1. Проезд грузового автотранспорта (доставка товара), зне(2) в расчётной точке ночью, дБ	φ-нв(1)[10]	0	0	0	0	0	0	0	0	0					
Уровни звукового давления от источника ИШ-1. Проезд грузового автотранспорта (доставка товара), зне(3) в расчётной точке днём, дБ	φ-нв(1)[10]	0	0	0	0	0	0	0	0	0					
Уровни звукового давления от источника ИШ-1. Проезд грузового автотранспорта (доставка товара), зне(3) в расчётной точке ночью, дБ	φ-нв(1)[10]	0	0	0	0	0	0	0	0	0					
Уровни звукового давления от источника ИШ-1. Проезд грузового автотранспорта (доставка товара), зне(4) в расчётной точке днём, дБ	φ-нв(1)[10]	0	0	0	0	0	0	0	0	0					
Уровни звукового давления от источника ИШ-1. Проезд грузового автотранспорта (доставка товара), зне(4) в расчётной точке ночью, дБ	φ-нв(1)[10]	0	0	0	0	0	0	0	0	0					
Уровни звукового давления от источника ИШ-1. Проезд грузового автотранспорта (доставка товара), зне(5) в расчётной точке днём, дБ	φ-нв(1)[10]	0	0	0	0	0	0	0	0	0					
Уровни звукового давления от источника ИШ-1. Проезд грузового автотранспорта (доставка товара), зне(5) в расчётной точке ночью, дБ	φ-нв(1)[10]	0	0	0	0	0	0	0	0	0					
Уровни звукового давления от источника ИШ-1. Проезд грузового автотранспорта (доставка товара), зне(6) в расчётной точке днём, дБ	φ-нв(1)[10]	0	0	0	0	0	0	0	0	0					
Уровни звукового давления от источника ИШ-1. Проезд грузового автотранспорта (доставка товара), зне(6) в расчётной точке ночью, дБ	φ-нв(1)[10]	0	0	0	0	0	0	0	0	0					
Уровни звукового давления от источника ИШ-1. Проезд грузового автотранспорта (доставка товара), зне(7) в расчётной точке днём, дБ	φ-нв(1)[10]	0	0	0	0	0	0	0	0	0					
Уровни звукового давления от источника ИШ-1. Проезд грузового автотранспорта (доставка товара), зне(7) в расчётной точке ночью, дБ	φ-нв(1)[10]	0	0	0	0	0	0	0	0	0					
Уровни звукового давления от источника ИШ-1. Проезд грузового автотранспорта (доставка товара), зне(8) в расчётной точке днём, дБ	φ-нв(1)[10]	0	0	0	0	0	0	0	0	0					
Уровни звукового давления от источника ИШ-1. Проезд грузового автотранспорта (доставка товара), зне(8) в расчётной точке ночью, дБ	φ-нв(1)[10]	0	0	0	0	0	0	0	0	0					
Суммарные уровни звукового давления от линейного источника ИШ-1. Проезд грузового автотранспорта (доставка товара) в расчётной точке днём, дБ	φ-нв(19)[1]	0	0	0	0	0	0	0	0	0	4,1				
Суммарные уровни звукового давления от линейного источника ИШ-1. Проезд грузового автотранспорта (доставка товара) в расчётной точке ночью, дБ	φ-нв(19)[1]	0	0	0	0	0	0	0	0	0	0				
ИШ-2. Проезд грузового автотранспорта (доставка сырья и продуктов для столовой)															
Источники: линейный, протяжённость = 226,24 м. По положениям ГОСТ 31295-2 разбит на серию точечных эквивалентных источников. Количество эквивалентных источников: 8. Расчёт эквивалентных источников шума:															
Октавные уровни удельной звуковой мощности источника днём, Lw, дБ/м	исходные данные	0	62,6	56,2	53,2	50,4	50,5	46,8	41,9	33,9					
Октавные уровни удельной звуковой мощности источника ночью, Lw, дБ/м	исходные данные	0	0	0	0	0	0	0	0	0					
Уровни звукового давления от источника ИШ-2. Проезд грузового автотранспорта (доставка сырья и продуктов для столовой), зне(1) в расчётной точке днём, дБ	φ-нв(1)[10]	0	0	0	0	0	0	0	0	0					
Уровни звукового давления от источника ИШ-2. Проезд грузового автотранспорта (доставка сырья и продуктов для столовой), зне(1) в расчётной точке ночью, дБ	φ-нв(1)[10]	0	0	0	0	0	0	0	0	0					
Уровни звукового давления от источника ИШ-2. Проезд грузового автотранспорта (доставка сырья и продуктов для столовой), зне(2) в расчётной точке днём, дБ	φ-нв(1)[10]	0	0	0	0	0	0	0	0	0					
Уровни звукового давления от источника ИШ-2. Проезд грузового автотранспорта (доставка сырья и продуктов для столовой), зне(2) в расчётной точке ночью, дБ	φ-нв(1)[10]	0	0	0	0	0	0	0	0	0					
Уровни звукового давления от источника ИШ-2. Проезд грузового автотранспорта (доставка сырья и продуктов для столовой), зне(3) в расчётной точке днём, дБ	φ-нв(1)[10]	0	0	0	0	0	0	0	0	0					
Уровни звукового давления от источника ИШ-2. Проезд грузового автотранспорта (доставка сырья и продуктов для столовой), зне(3) в расчётной точке ночью, дБ	φ-нв(1)[10]	0	0	0	0	0	0	0	0	0					
Уровни звукового давления от источника ИШ-2. Проезд грузового автотранспорта (доставка сырья и продуктов для столовой), зне(4) в расчётной точке днём, дБ	φ-нв(1)[10]	0	0	0	0	0	0	0	0	0					
Уровни звукового давления от источника ИШ-2. Проезд грузового автотранспорта (доставка сырья и продуктов для столовой), зне(4) в расчётной точке ночью, дБ	φ-нв(1)[10]	0	0	0	0	0	0	0	0	0					
Уровни звукового давления от источника ИШ-2. Проезд грузового автотранспорта (доставка сырья и продуктов для столовой), зне(5) в расчётной точке днём, дБ	φ-нв(1)[10]	0	0	0	0	0	0	0	0	0					
Уровни звукового давления от источника ИШ-2. Проезд грузового автотранспорта (доставка сырья и продуктов для столовой), зне(5) в расчётной точке ночью, дБ	φ-нв(1)[10]	0	0	0	0	0	0	0	0	0					
Уровни звукового давления от источника ИШ-2. Проезд грузового автотранспорта (доставка сырья и продуктов для столовой), зне(6) в расчётной точке днём, дБ	φ-нв(1)[10]	0	0	0	0	0	0	0	0	0					
Уровни звукового давления от источника ИШ-2. Проезд грузового автотранспорта (доставка сырья и продуктов для столовой), зне(6) в расчётной точке ночью, дБ	φ-нв(1)[10]	0	0	0	0	0	0	0	0	0					
Уровни звукового давления от источника ИШ-2. Проезд грузового автотранспорта (доставка сырья и продуктов для столовой), зне(7) в расчётной точке днём, дБ	φ-нв(1)[10]	0	0	0	0	0	0	0	0	0					
Уровни звукового давления от источника ИШ-2. Проезд грузового автотранспорта (доставка сырья и продуктов для столовой), зне(7) в расчётной точке ночью, дБ	φ-нв(1)[10]	0	0	0	0	0	0	0	0	0					
Уровни звукового давления от источника ИШ-2. Проезд грузового автотранспорта (доставка сырья и продуктов для столовой), зне(8) в расчётной точке днём, дБ	φ-нв(1)[10]	0	0	0	0	0	0	0	0	0					
Уровни звукового давления от источника ИШ-2. Проезд грузового автотранспорта (доставка сырья и продуктов для столовой), зне(8) в расчётной точке ночью, дБ	φ-нв(1)[10]	0	0	0	0	0	0	0	0	0					
Суммарные уровни звукового давления от линейного источника ИШ-2. Проезд грузового автотранспорта (доставка сырья и продуктов для столовой) в расчётной точке днём, дБ	φ-нв(19)[1]	0	0	0	0	0	0	0	0	0	0				
Суммарные уровни звукового давления от линейного источника ИШ-2. Проезд грузового автотранспорта (доставка сырья и продуктов для столовой) в расчётной точке ночью, дБ	φ-нв(19)[1]	0	0	0	0	0	0	0	0	0	0				

1													2	3	4	5	6	7	8	9	10	11	12	13																																																																																																																																																																																																																																																																																																																																																																																																																																																																																																																																																																																																																																					
Суммарные уровни звукового давления от линейного источника ИШ-4. Проезд грузового автотранспорта (доставка канцелярии, мебели, почты и прочего) в расчётной точке днём, дБ													Ф-ла [19] [1]	0	0	0	0	0	0	0	0	0	0	0	4,1																																																																																																																																																																																																																																																																																																																																																																																																																																																																																																																																																																																																																																				
Суммарные уровни звукового давления от линейного источника ИШ-4. Проезд грузового автотранспорта (доставка канцелярии, мебели, почты и прочего) в расчётной точке ночью, дБ													Ф-ла [19] [1]	0	0	0	0	0	0	0	0	0	0	0	0																																																																																																																																																																																																																																																																																																																																																																																																																																																																																																																																																																																																																																				
Источник шума: ИШ-5. Проведение погрузо-разгрузочных работ, координаты источника (х,у,z), м = [7013.39;457.118;1.00]													исходные данные	0	83,5	81,5	76,5	74,5	71,5	66,5	62,5	54,5																																																																																																																																																																																																																																																																																																																																																																																																																																																																																																																																																																																																																																							
Уровни звуковой мощности источника днём, лw, дБ													исходные данные	0																																																																																																																																																																																																																																																																																																																																																																																																																																																																																																																																																																																																																																															
Уровни звуковой мощности максимального звука источника днём, lwx, дБ													исходные данные	0	95,5	93,5	88,5	86,5	83,5	78,5	74,5	66,5																																																																																																																																																																																																																																																																																																																																																																																																																																																																																																																																																																																																																																							
Уровни звуковой мощности источника ночью, лw, дБ													исходные данные	0	0	0	0	0	0	0	0	0	0	0	0																																																																																																																																																																																																																																																																																																																																																																																																																																																																																																																																																																																																																																				
Уровни звуковой мощности максимального звука источника ночью, lwx, дБ													исходные данные	0	0	0	0	0	0	0	0	0	0	0	0																																																																																																																																																																																																																																																																																																																																																																																																																																																																																																																																																																																																																																				
Поправка на телесный угол DQ, дБ													$\Omega = 12,57$	0	0	0	0	0	0	0	0	0	0	0	0																																																																																																																																																																																																																																																																																																																																																																																																																																																																																																																																																																																																																																				
Показатель направленности источника DI, дБ													исходные данные	0	0	0	0	0	0	0	0	0	0	0	0																																																																																																																																																																																																																																																																																																																																																																																																																																																																																																																																																																																																																																				
Поправка на направленность источника DC, дБ													Dc	0	0	0	0	0	0	0	0	0	0	0	0																																																																																																																																																																																																																																																																																																																																																																																																																																																																																																																																																																																																																																				
Затухание из-за геометрической дивергенции Adiv, дБ													расстояние = 3428,49 м	Ф-ла [7] [10]	84,7																																																																																																																																																																																																																																																																																																																																																																																																																																																																																																																																																																																																																																														
Коэффициент затухания звука в атмосфере α , дБ/км													Ta=20,°C Pa=10133,0Па hcm=70%	Ф-ла [5] [9]	0,02	0,09	0,33	1,12	2,79	4,98	9,04	23,09	77,63																																																																																																																																																																																																																																																																																																																																																																																																																																																																																																																																																																																																																																						
Учет затухания звука в атмосфере Aatm, дБ													$G_{\alpha} = 0$ $h_{\alpha} = 1м$	Ф-ла [8] [10]	0,1	0,3	1,1	3,9	9,6	17,1	31	79,1	266,2																																																																																																																																																																																																																																																																																																																																																																																																																																																																																																																																																																																																																																						
Снижение поверхностью земли возле источника As, дБ													$G_{\alpha} = 0$ $h_{\alpha} = 1м$	Ф-ла таб.3 [10]	-1,5	-1,5	-1,5	-1,5	-1,5	-1,5	-1,5	-1,5	-1,5	-1,5																																																																																																																																																																																																																																																																																																																																																																																																																																																																																																																																																																																																																																					
Снижение поверхностью земли возле приёмника At, дБ													$G_{\alpha} = 0$ $h_{\alpha} = 1,3м$	Ф-ла таб.3 [10]	-1,5	-1,5	-1,5	-1,5	-1,5	-1,5	-1,5	-1,5	-1,5	-1,5																																																																																																																																																																																																																																																																																																																																																																																																																																																																																																																																																																																																																																					
Снижение поверхностью земли в средней зоне, Apt, дБ													$G_m = 0$	Ф-ла таб.3 [10]	-2,9	-2,9	-2,9	-2,9	-2,9	-2,9	-2,9	-2,9	-2,9	-2,9																																																																																																																																																																																																																																																																																																																																																																																																																																																																																																																																																																																																																																					
Суммарное снижение поверхностью земли на траектории распространения звука Aeq, дБ													Ф-ла [9] [10]	-5,9	-5,9	-5,9	-5,9	-5,9	-5,9	-5,9	-5,9	-5,9	-5,9	-5,9																																																																																																																																																																																																																																																																																																																																																																																																																																																																																																																																																																																																																																					
Снижение уровня звукового давления из-за влияния застройки между источником шума и расчётной точкой																																																																																																																																																																																																																																																																																																																																																																																																																																																																																																																																																																																																																																																													
Траектория над экраном													Длина звуковой волны для среднегометрической частоты октавной полосы, λ , м	10,79	5,4	2,72	1,36	0,68	0,34	0,17	0,09	0,04																																																																																																																																																																																																																																																																																																																																																																																																																																																																																																																																																																																																																																							
													Критерий наличия экранирования в горизонтальной плоскости	Горизонтальный размер экрана, $\lambda_{\text{гор}} = 13,82$ м	дА	дА	дА	дА	дА	дА	дА	дА	дА	дА	дА	дА	дА	дА	дА	дА	дА	дА	дА	дА	дА	дА	дА	дА	дА	дА	дА	дА	дА	дА	дА	дА	дА	дА	дА	дА	дА	дА	дА	дА	дА	дА	дА	дА	дА	дА	дА	дА	дА	дА	дА	дА	дА	дА	дА	дА	дА	дА	дА	дА	дА	дА	дА	дА	дА	дА	дА	дА	дА	дА	дА	дА	дА	дА	дА	дА	дА	дА	дА	дА	дА	дА	дА	дА	дА	дА	дА	дА	дА	дА	дА	дА	дА	дА	дА	дА	дА	дА	дА	дА	дА	дА	дА	дА	дА	дА	дА	дА	дА	дА	дА	дА	дА	дА	дА	дА	дА	дА	дА	дА	дА	дА	дА	дА	дА	дА	дА	дА	дА	дА	дА	дА	дА	дА	дА	дА	дА	дА	дА	дА	дА	дА	дА	дА	дА	дА	дА	дА	дА	дА	дА	дА	дА	дА	дА	дА	дА	дА	дА	дА	дА	дА	дА	дА	дА	дА	дА	дА	дА	дА	дА	дА	дА	дА	дА	дА	дА	дА	дА	дА	дА	дА	дА	дА	дА	дА	дА	дА	дА	дА	дА	дА	дА	дА	дА	дА	дА	дА	дА	дА	дА	дА	дА	дА	дА	дА	дА	дА	дА	дА	дА	дА	дА	дА	дА	дА	дА	дА	дА	дА	дА	дА	дА	дА	дА	дА	дА	дА	дА	дА	дА	дА	дА	дА	дА	дА	дА	дА	дА	дА	дА	дА	дА	дА	дА	дА	дА	дА	дА	дА	дА	дА	дА	дА	дА	дА	дА	дА	дА	дА	дА	дА	дА	дА	дА	дА	дА	дА	дА	дА	дА	дА	дА	дА	дА	дА	дА	дА	дА	дА	дА	дА	дА	дА	дА	дА	дА	дА	дА	дА	дА	дА	дА	дА	дА	дА	дА	дА	дА	дА	дА	дА	дА	дА	дА	дА	дА	дА	дА	дА	дА	дА	дА	дА	дА	дА	дА	дА	дА	дА	дА	дА	дА	дА	дА	дА	дА	дА	дА	дА	дА	дА	дА	дА	дА	дА	дА	дА	дА	дА	дА	дА	дА	дА	дА	дА	дА	дА	дА	дА	дА	дА	дА	дА	дА	дА	дА	дА	дА	дА	дА	дА	дА	дА	дА	дА	дА	дА	дА	дА	дА	дА	дА	дА	дА	дА	дА	дА	дА	дА	дА	дА	дА	дА	дА	дА	дА	дА	дА	дА	дА	дА	дА	дА	дА	дА	дА	дА	дА	дА	дА	дА	дА	дА	дА	дА	дА	дА	дА	дА	дА	дА	дА	дА	дА	дА	дА	дА	дА	дА	дА	дА	дА	дА	дА	дА	дА	дА	дА	дА	дА	дА	дА	дА	дА	дА	дА	дА	дА	дА	дА	дА	дА	дА	дА	дА	дА	дА	дА	дА	дА	дА	дА	дА	дА	дА	дА	дА	дА	дА	дА	дА	дА	дА	дА	дА	дА	дА	дА	дА	дА	дА	дА	дА	дА	дА	дА	дА	дА	дА	дА	дА	дА	дА	дА	дА	дА	дА	дА	дА	дА	дА	дА	дА	дА	дА	дА	дА	дА	дА	дА	дА	дА	дА	дА	дА	дА	дА	дА	дА	дА	дА	дА	дА	дА	дА	дА	дА	дА	дА	дА	дА	дА	дА	дА	дА	дА	дА	дА	дА	дА	дА	дА	дА	дА	дА	дА	дА	дА	дА	дА	дА	дА	дА	дА	дА	дА	дА	дА	дА	дА	дА	дА	дА	дА	дА	дА	дА	дА	дА	дА	дА	дА	дА	дА	дА	дА	дА	дА	дА	дА	дА	дА	дА	дА	дА	дА	дА	дА	дА	дА	дА	дА	дА	дА	дА	дА	дА	дА	дА	дА	дА	дА	дА	дА	дА	дА	дА	дА	дА	дА	дА	дА	дА	дА	дА	дА	дА	дА	дА	дА	дА	дА	дА	дА	дА	дА	дА	дА	дА	дА	дА	дА

Таблица 1. Расчеты уровней звукового давления

1													2	3	4	5	6	7	8	9	10	11	12	13																		
Траектория слева от экрана													Снижение U_{3D} , Абат, дБ	Ф-м [12] [10]	4,8	4,8	4,8	4,8	4,8	4,8	4,8	4,8	4,8	4,8	4,8	4,8																
													Промежуточные точки	$R_{\alpha} \times d_{\alpha} \times z_{\alpha}$ (675; 42; 715) (2,70)	дБ = 303,38 м													дБ = 312,91 м			дБ = 313,00 м											
													Константа С2, учитывающая эффект отражения от земли возле экрана	20	20	20	20	20	20	20	20	20	20	20	20	20	20	20	20													
													Константа С3 (дифракция на экранах)	Ф-м [15] [10]	1	1	1	1	1	1	1	1	1	1	1	1	1	1	1													
													$K_{\text{экв}}$ (влияние метеослоев)	Ф-м [18] [10]	1	1	1	1	1	1	1	1	1	1	1	1	1	1	1													
													D_{α} , дБ	Ф-м [14] [10]	4,8	4,8	4,8	4,8	4,8	4,8	4,8	4,8	4,8	4,8	4,8	4,8	4,8	4,8	4,8													
													Снижение U_{3D} , Абат, дБ	Ф-м [13] [10]	4,8	4,8	4,8	4,8	4,8	4,8	4,8	4,8	4,8	4,8	4,8	4,8	4,8	4,8	4,8													
													Промежуточные точки	$R_{\alpha} \times d_{\alpha} \times z_{\alpha}$ (691; 43; 512) (2,1)	дБ = 14,39 м													дБ = 295,02 м			дБ = 313,56 м											
													Константа С2, учитывающая эффект отражения от земли возле экрана	20	20	20	20	20	20	20	20	20	20	20	20	20	20	20	20													
													Константа С3 (дифракция на экранах)	Ф-м [15] [10]	3	3	3	3	3	3	3	3	3	3	3	3	3	3	3													
Траектория справа от экрана													$K_{\text{экв}}$ (влияние метеослоев)	Ф-м [18] [10]	1	1	1	1	1	1	1	1	1	1	1	1	1	1	1	1	1											
													D_{α} , дБ	Ф-м [14] [10]	36,3	39,3	42,3	45,3	48,3	51,3	54,3	57,3	60,3	63,3	66,3	69,3	72,3	75,3	78,3													
													Снижение U_{3D} , Абат, дБ	Ф-м [13] [10]	36,3	39,3	42,3	45,3	48,3	51,3	54,3	57,3	60,3	63,3	66,3	69,3	72,3	75,3	78,3													
													Эк-сумма (Абат, дБ)													1,8	1,8	1,8	1,8	1,8	1,8	1,8	1,8	1,8	1,8	1,8	1,8	1,8	1,8	1,8	1,8	
													Общее снижение уровня звука препятствием Абат, дБ																													
													Уровни звукового давления от источника ИШ-3. Проведение погру- ратруженных работ в расчётной точке днём, дБ																													
													Уровни звукового давления от источника ИШ-3. Проведение погру- ратруженных работ в расчётной точке ночью, дБ																													
													Уровни звукового давления от источника ИШ-3. Проведение погру- ратруженных работ в расчётной точке ночью, дБ																													
													Уровни звукового давления от источника ИШ-3. Проведение погру- ратруженных работ в расчётной точке ночью, дБ																													
													Уровни звукового давления от источника ИШ-3. Проведение погру- ратруженных работ в расчётной точке ночью, дБ																													

1													2												
Поправка на направленность источника Dc, дБ													Dc												
Затухание из-за геометрической дивергенции Adiv, дБ													Ф-ла (7) [10]												
Коэффициент затухания звука в атмосфере α, дБ/м													Ф-ла (5) [9]												
Учет затухания звука в атмосфере Aatm, дБ													Ф-ла (8) [10]												
Снижение поверхностью земли возле источника As, дБ													Ф-ла таб.3 [10]												
Снижение поверхностью земли возле приемника At, дБ													Ф-ла таб.3 [10]												
Снижение поверхностью земли в средней зоне, Ап, дБ													Ф-ла таб.3 [10]												
Суммарное снижение поверхностью земли на траектории распространения звука АΣг, дБ													Ф-ла [9] [10]												
Снижение уровня звукового давления из-за влияния застройки между источником шума и расчетной точкой													10,79												
Длина звуковой волны для среднегеометрической частоты октавной полосы, λ, м													10,79												
Критерий палачия экранирования в горизонтальной плоскости													λ												
Промежуточные тоны													Ф-ла (15) [10]												
Константа С2, учитывающая эффект отражения от земли возле экрана													Ф-ла (18) [10]												
Константа С3 (дифракция на экране)													Ф-ла (14) [10]												
Критерий экранирования Kэк													Ф-ла (12) [10]												
Снижение уровня звукового давления из-за влияния застройки между источником шума и расчетной точкой													Ф-ла (13) [10]												
Промежуточные тоны													Ф-ла (15) [10]												
Константа С2, учитывающая эффект отражения от земли возле экрана													Ф-ла (18) [10]												
Константа С3 (дифракция на экране)													Ф-ла (14) [10]												
Критерий экранирования Kэк													Ф-ла (12) [10]												
Снижение уровня звукового давления из-за влияния застройки между источником шума и расчетной точкой													Ф-ла (13) [10]												
Промежуточные тоны													Ф-ла (15) [10]												
Константа С2, учитывающая эффект отражения от земли возле экрана													Ф-ла (18) [10]												
Константа С3 (дифракция на экране)													Ф-ла (14) [10]												
Критерий экранирования Kэк													Ф-ла (12) [10]												
Снижение уровня звукового давления из-за влияния застройки между источником шума и расчетной точкой													Ф-ла (13) [10]												
Промежуточные тоны													Ф-ла (15) [10]												
Константа С2, учитывающая эффект отражения от земли возле экрана													Ф-ла (18) [10]												
Константа С3 (дифракция на экране)													Ф-ла (14) [10]												
Критерий экранирования Kэк													Ф-ла (12) [10]												
Снижение уровня звукового давления из-за влияния застройки между источником шума и расчетной точкой													Ф-ла (13) [10]												
Промежуточные тоны													Ф-ла (15) [10]												
Константа С2, учитывающая эффект отражения от земли возле экрана													Ф-ла (18) [10]												
Константа С3 (дифракция на экране)													Ф-ла (14) [10]												
Критерий экранирования Kэк													Ф-ла (12) [10]												
Снижение уровня звукового давления из-за влияния застройки между источником шума и расчетной точкой													Ф-ла (13) [10]												
Промежуточные тоны													Ф-ла (15) [10]												
Константа С2, учитывающая эффект отражения от земли возле экрана													Ф-ла (18) [10]												
Константа С3 (дифракция на экране)													Ф-ла (14) [10]												
Критерий экранирования Kэк													Ф-ла (12) [10]												
Снижение уровня звукового давления из-за влияния застройки между источником шума и расчетной точкой													Ф-ла (13) [10]												
Промежуточные тоны													Ф-ла (15) [10]												
Константа С2, учитывающая эффект отражения от земли возле экрана													Ф-ла (18) [10]												
Константа С3 (дифракция на экране)													Ф-ла (14) [10]												
Критерий экранирования Kэк													Ф-ла (12) [10]												
Снижение уровня звукового давления из-за влияния застройки между источником шума и расчетной точкой													Ф-ла (13) [10]												
Промежуточные тоны													Ф-ла (15) [10]												
Константа С2, учитывающая эффект отражения от земли возле экрана													Ф-ла (18) [10]												
Константа С3 (дифракция на экране)													Ф-ла (14) [10]												
Критерий экранирования Kэк													Ф-ла (12) [10]												
Снижение уровня звукового давления из-за влияния застройки между источником шума и расчетной точкой													Ф-ла (13) [10]												
Промежуточные тоны													Ф-ла (15) [10]												
Константа С2, учитывающая эффект отражения от земли возле экрана													Ф-ла (18) [10]												
Константа С3 (дифракция на экране)													Ф-ла (14) [10]												
Критерий экранирования Kэк													Ф-ла (12) [10]												
Снижение уровня звукового давления из-за влияния застройки между источником шума и расчетной точкой													Ф-ла (13) [10]												
Промежуточные тоны													Ф-ла (15) [10]												
Константа С2, учитывающая эффект отражения от земли возле экрана													Ф-ла (18) [10]												
Константа С3 (дифракция на экране)													Ф-ла (14) [10]												
Критерий экранирования Kэк													Ф-ла (12) [10]												
Снижение уровня звукового давления из-за влияния застройки между источником шума и расчетной точкой													Ф-ла (13) [10]												
Промежуточные тоны													Ф-ла (15) [10]												
Константа С2, учитывающая эффект отражения от земли возле экрана													Ф-ла (18) [10]												
Константа С3 (дифракция на экране)													Ф-ла (14) [10]												
Критерий экранирования Kэк													Ф-ла (12) [10]												
Снижение уровня звукового давления из-за влияния застройки между источником шума и расчетной точкой													Ф-ла (13) [10]												
Промежуточные тоны													Ф-ла (15) [10]												
Константа С2, учитывающая эффект отражения от земли возле экрана													Ф-ла (18) [10]												
Константа С3 (дифракция на экране)													Ф-ла (14) [10]												
Критерий экранирования Kэк													Ф-ла (12) [10]												
Снижение уровня звукового давления из-за влияния застройки между источником шума и расчетной точкой													Ф-ла (13) [10]												
Промежуточные тоны													Ф-ла (15) [10]												
Константа С2, учитывающая эффект отражения от земли возле экрана													Ф-ла (18) [10]												
Константа С3 (дифракция на экране)													Ф-ла (14) [10]												
Критерий экранирования Kэк													Ф-ла (12) [10]												
Снижение уровня звукового давления из-за влияния застройки между источником шума и расчетной точкой													Ф-ла (13) [10]												
Промежуточные тоны													Ф-ла (15) [10]												
Константа С2, учитывающая эффект отражения от земли возле экрана													Ф-ла (18) [10]												
Константа С3 (дифракция на экране)													Ф-ла (14) [10]												
Критерий экранирования Kэк													Ф-ла (12) [10]												
Снижение уровня звукового давления из-за влияния застройки между источником шума и расчетной точкой													Ф-ла (13) [10]												
Промежуточные тоны													Ф-ла (15) [10]												
Константа С2, учитывающая эффект отражения от земли возле экрана													Ф-ла (18) [10]												
Константа С3 (дифракция на экране)													Ф-ла (14) [10]												
Критерий экранирования Kэк													Ф-ла (12) [10]												
Снижение уровня звукового давления из-за влияния застройки между источником шума и расчетной точкой													Ф-ла (13) [10]												
Промежуточные тоны													Ф-ла (15) [10]												
Константа С2, учитывающая эффект отражения от земли возле экрана													Ф-ла (18) [10]												
Константа С3 (дифракция на экране)													Ф-ла (14) [10]												
Критерий экранирования Kэк													Ф-ла (12) [10]												
Снижение уровня звукового давления из-за влияния застройки между источником шума и расчетной точкой													Ф-ла (13) [10]												
Промежуточные тоны													Ф-ла (15) [10]												
Константа С2, учитывающая эффект отражения от земли возле экрана													Ф-ла (18) [10]												
Константа С3 (дифракция на экране)													Ф-ла (14) [10]												
Критерий экранирования Kэк													Ф-ла (12) [10]												
Снижение уровня звукового давления из-за влияния застройки между источником шума и расчетной точкой													Ф-ла (13) [10]												
Промежуточные тоны													Ф-ла (15) [10]												
Константа С2, учитывающая эффект отражения от земли возле экрана													Ф-ла (18) [10]												
Константа С3 (дифракция на экране)													Ф-ла (14) [10]												
Критерий экранирования Kэк													Ф-ла (12) [10]												
Снижение уровня звукового давления из-за влияния застройки между источником шума и расчетной точкой													Ф-ла (13) [10]												
Промежуточные тоны													Ф-ла (15) [10]												
Константа С2, учитывающая эффект отражения от земли возле экрана													Ф-ла (18) [10]												
Константа С3 (дифракция на экране)													Ф-ла (14) [10]												
Критерий экранирования Kэк													Ф-ла (12) [10]												
Снижение уровня звукового давления из-за влияния застройки между источником шума и расчетной точкой													Ф-ла (13) [10]												
Промежуточные тоны													Ф-ла (15) [10]												
Константа С2, учитывающая эффект отражения от земли возле экрана													Ф-ла (18) [10]												
Константа С3 (дифракция на экране)													Ф-ла (14) [10]												
Критерий экранирования Kэк													Ф-ла (12) [10]												
Снижение уровня звукового давления из-за влияния застройки между источником шума и расчетной точкой													Ф-ла (13) [10]												
Промежуточные тоны													Ф-ла (15) [10]												
Константа С2, учитывающая эффект отражения от земли возле экрана													Ф-ла (18) [10]												
Константа С3 (дифракция на экране)													Ф-ла (14) [10]												
Критерий экранирования Kэк													Ф-ла (12) [10]												
Снижение уровня звукового давления из-за влияния застройки между источником шума и расчетной точкой													Ф-ла (13) [10]												
Промежуточные тоны													Ф-ла (15) [10]												
Константа С2, учитывающая эффект отражения от земли возле экрана													Ф-ла (18) [10]												
Константа С3 (дифракция на экране)													Ф-ла (14) [10]												
Критерий экранирования Kэк													Ф-ла (12) [10]												
Снижение уровня звукового давления из-за влияния застройки между источником шума и расчетной точкой													Ф-ла (13) [10]												
Промежуточные тоны													Ф-ла (15) [10]												
Константа С2, учитывающая эффект отражения от земли возле экрана													Ф-ла (18) [10]												
Константа С3 (дифракция на экране)													Ф-ла (14) [10]												
Критерий экранирования Kэк													Ф-ла (12) [10]												
Снижение уровня звукового давления из-за влияния застройки между источником шума и расчетной точкой													Ф-ла (13) [10]												
Промежуточные тоны													Ф-ла (15) [10]												
Константа С2, учитывающая эффект отражения от земли возле экрана													Ф-ла (18) [10]												
Константа С3 (дифракция на экране)													Ф-ла (14) [10]												
Критерий экранирования Kэк													Ф-ла (12) [10]												
Снижение уровня звукового давления из-за влияния застройки между источником шума и расчетной точкой													Ф-ла (13) [10]												
Промежуточные тоны													Ф-ла (15) [10]												
Константа С2, учитывающая эффект отражения от земли возле экрана													Ф-ла (18) [10]												
Константа С3 (дифракция на экране)													Ф-ла (14) [10]												
Критерий экранирования Kэк													Ф-ла (12) [10]												
Снижение уровня звукового давления из-за влияния застройки между источником шума и расчетной точкой													Ф-ла (13) [10]												
Промежуточные тоны													Ф-ла (15) [10]												
Константа С2, учитывающая эффект отражения от земли возле экрана													Ф-ла (18) [10]												
Константа С3 (дифракция на экране)													Ф-ла (14) [10]												
Критерий экранирования Kэк													Ф-ла (12) [10]												
Снижение уровня звукового давления из-за влияния застройки между источником шума и расчетной точкой													Ф-ла (13) [10]												
Промежуточные тоны													Ф-ла (15) [10]												
Константа С2, учитывающая эффект отражения от земли возле экрана													Ф-ла (18) [10]												
Константа С3 (дифракция на экране)													Ф-ла (14) [10]												
Критерий экранирования Kэк													Ф-ла (12) [10]												
Снижение уровня звукового давления из-за влияния застройки между источником шума и расчетной точкой													Ф-ла (13) [10]												
Промежуточные тоны													Ф-ла (15) [10]												
Константа С2, учитывающая эффект отражения от земли возле экрана													Ф-ла (18) [10]												
Константа С3 (дифракция на экране)													Ф-ла (14) [10]												
Критерий экранирования Kэк													Ф-ла (12) [10]												
Снижение уровня звукового давления из-за влияния застройки между источником шума и расчетной точкой													Ф-ла (13) [10]												
Промежуточные тоны													Ф-ла (15) [10]												
Константа С2, учитывающая эффект отражения от земли возле экрана													Ф-ла (18) [10]												
Константа С3 (дифракция на экране)													Ф-ла (14) [10]												
Критерий экранирования Kэк													Ф-ла (12) [10]												
Снижение уровня звукового давления из-за влияния застройки между источником шума и расчетной точкой													Ф-ла (13) [10]												
Промежуточные тоны													Ф-ла (15) [10]												
Константа С2, учитывающая эффект отражения от земли возле экрана													Ф-ла (18) [10]												
Константа С3 (дифракция на экране)													Ф-ла (14) [10]												
Критерий экранирования Kэк													Ф-ла (12) [10]												
Снижение уровня звукового давления из-за влияния застройки между источником шума и расчетной точкой													Ф-ла (13) [10]												
Промежуточные тоны													Ф-ла (15) [10]												
Константа С2, учитывающая эффект отражения от земли возле экрана													Ф-ла (18) [10]												
Константа С3 (дифракция на экране)													Ф-ла (14) [10]												
Критерий экранирования Kэк													Ф-ла (12) [10]												
Снижение уровня звукового давления из-за влияния застройки между источником шума и расчетной точкой													Ф-ла (13) [10]												
Промежуточные тоны													Ф-ла (15) [10]												
Константа С2, учитывающая эффект отражения от земли возле экрана													Ф-ла (18) [10]												
Константа С3 (дифракция на экране)													Ф-ла (14) [10]												
Критерий экранирования Kэк													Ф-ла (12) [10]												
Снижение уровня звукового давления из-за влияния застройки между источником шума и расчетной точкой													Ф-ла (13) [10]												
Промежуточные тоны													Ф-ла (15) [10]												
Константа С2, учитывающая эффект отражения от земли возле экрана													Ф-ла (18) [10]												
Константа С3 (дифракция на экране)													Ф-ла (14) [10]												
Критерий экранирования Kэк													Ф-ла (12) [10]												
Снижение уровня звукового давления из-за влияния застройки между источником шума и расчетной точкой													Ф-ла (13) [10]												
Промежуточные тоны													Ф-ла (15) [10]												
Константа С2, учитывающая эффект отражения от земли возле экрана													Ф-ла (18) [10]												
Константа С3 (дифракция на экране)													Ф-ла (14) [10]												
Критерий экранирования Kэк													Ф-ла (12) [10]												
Снижение уровня звукового давления из-за влияния застройки между источником шума и расчетной точкой													Ф-ла (13) [10]												
Промежуточные тоны													Ф-ла (15) [10]												
Константа С2, учитывающая эффект отражения от земли возле экрана													Ф-ла (18) [10]												
Константа С3 (дифракция на экране)													Ф-ла (14) [10]												
Критерий экранирования Kэк													Ф-ла (12) [10]												
Снижение уровня звукового давления из-за влияния застройки между источником шума и расчетной точкой													Ф-ла (13) [10]												
Промежуточные тоны													Ф-ла (15) [10]												
Константа С2, учитывающая эффект отражения от земли возле экрана													Ф-ла (18) [10]												
Константа С3 (дифракция на экране)													Ф-ла (14) [10]												
Критерий экранирования Kэк													Ф-ла (12) [10]												
Снижение уровня звукового давления из-за влияния застройки между источником шума и расчетной точкой													Ф-ла (13) [10]												
Промежуточные тоны													Ф-ла (15) [10]												
Константа С2, учитывающая эффект отражения от земли возле экрана													Ф-ла (18) [10]												
Константа С3 (дифракция на экране)													Ф-ла (14) [10]												
Критерий экранирования Kэк													Ф-ла (12) [10]												
Снижение уровня звукового давления из-за влияния застройки между источником шума и расчетной точкой													Ф-ла (13) [10]												
Промежуточные тоны													Ф-ла (15) [10]												
Константа С2, учитывающая эффект отражения от земли возле экрана													Ф-ла (18) [10]												
Константа С3 (дифракция на экране)													Ф-ла (14) [10]												
Критерий экранирования Kэк													Ф-ла (12) [10]												
Снижение уровня звукового давления из-за влияния застройки между источником шума и расчетной точкой													Ф-ла (13) [10]												
Промежуточные тоны													Ф-ла (15) [10]												
Константа С2, учитывающая эффект отражения от земли возле экрана													Ф-ла (18) [10]												
Константа С3 (дифракция на экране)													Ф-ла (14) [10]												
Критерий экранирования Kэк													Ф-ла (12) [10]												
Снижение уровня звукового давления из-за влияния застройки между источником шума и расчетной точкой													Ф-ла (13) [10]												
Промежуточные тоны													Ф-ла (15) [10]												
Константа С2, учитывающая эффект отражения от земли возле экрана													Ф-ла (18) [10]												
Константа С3 (дифракция на экране)													Ф-ла (14) [10]												
Критерий экранирования Kэк													Ф-ла (12) [10]												
Снижение уровня звукового давления из-за влияния застройки между источником шума и расчетной точкой													Ф-ла (13) [10]												
Промежуточные тоны													Ф-ла (15) [10]												
Константа С2, учитывающая эффект отражения от земли возле экрана													Ф-ла (18) [10]												
Константа С3 (дифракция на экране)													Ф-ла (14) [10]												
Критерий экранирования Kэк													Ф-ла (12) [10]												
Снижение уровня звукового давления из-за влияния застройки между источником шума и расчетной точкой													Ф-ла (13) [10]												
Промежуточные тоны													Ф-ла (15) [10]												
Константа С2, учитывающая эффект отражения от земли возле экрана													Ф-ла (18) [10]												
Константа С3 (дифракция на экране)													Ф-ла (14) [10]												
Критерий экранирования Kэк													Ф-ла (12) [10]												
Снижение уровня звукового давления из-за влияния застройки между источником шума и расчетной точкой													Ф-ла (13) [10]												
Промежуточные тоны													Ф-ла (15) [10]												
Константа С2, учитывающая эффект отражения от земли возле экрана													Ф-ла (18) [10]												
Константа С3 (дифракция на экране)													Ф-ла (14) [10]												
Критерий экранирования Kэк													Ф-ла (12) [10]												
Снижение уровня звукового давления из-за влияния застройки между источником шума и расчетной точкой													Ф-ла (13) [10]												
Промежуточные тоны													Ф-ла (15) [10]												
Константа С2, учитывающая эффект отражения от земли возле экрана													Ф-ла (18) [10]												
Константа С3 (дифракция на экране)													Ф-ла (14) [10]												
Критерий экранирования Kэк													Ф-ла (12) [10]												
Снижение уровня звукового давления из-за влияния застройки между источником шума и расчетной точкой													Ф-ла (13) [10]												
Промежуточные тоны													Ф-ла (15) [10]												
Константа С2, учитывающая эффект отражения от земли возле экрана													Ф-ла (18) [10]												
Константа С3 (дифракция на экране)													Ф-ла (14) [10]												
Критерий экранирования Kэк													Ф-ла (12) [10]												
Снижение уровня звукового давления из-за влияния застройки между источником шума и расчетной точкой													Ф-ла (13) [10]												
Промежуточные тоны													Ф-ла (15) [10]												
Константа С2, учитывающая эффект отражения от земли возле экрана													Ф-ла (18) [10]												
Константа С3 (дифракция на экране)													Ф-ла (14) [10]												
Критерий экранирования Kэк													Ф-ла (12) [10]												
Снижение уровня звукового давления из-за влияния застройки между источником шума и расчетной точкой													Ф-ла (13) [10]												
Промежуточные тоны													Ф-ла (15) [10]												
Константа С2, учитывающая эффект отражения от земли возле экрана													Ф-ла (18) [10]												
Константа С3 (дифракция на экране)													Ф-ла (14) [10]												
Критерий экранирования Kэк													Ф-ла (12) [10]												
Снижение уровня звукового давления из-за влияния застройки между источником шума и расчетной точкой													Ф-ла (13) [10]												
Промежуточные тоны													Ф-ла (15) [10]												
Константа С2, учитывающая эффект отражения от земли возле экрана													Ф-ла (18) [10]												
Константа С3 (дифракция на экране)													Ф-ла (14) [10]												
Критерий экранирования Kэк													Ф-ла (12) [10]												
Снижение уровня звукового давления из-за влияния застройки между источником шума и расчетной точкой													Ф-ла (13) [10]												
Промежуточные тоны													Ф-ла (15) [10]												
Константа С2, учитывающая эффект отражения от земли возле экрана													Ф-ла (18) [10]												
Константа С3 (дифракция на экране)													Ф-ла (14) [10]												
Критерий экранирования Kэк													Ф-ла (12) [10]												
Снижение уровня звукового давления из-за влияния застройки между источником шума и расчетной точкой													Ф-ла (13) [10]												
Промежуточные тоны													Ф-ла (15) [10]												
Константа С2, учитывающая эффект отражения от земли возле экрана													Ф-ла (18) [10]												
Константа С3 (дифракция на экране)													Ф-ла (14) [10]												
Критерий экранирования Kэк													Ф-ла (12) [10]												
Снижение уровня звукового давления из-за влияния застройки между источником шума и расчетной точкой													Ф-ла (13) [10]												
Промежуточные тоны													Ф-ла (15) [10]												
Константа С2, учитывающая эффект отражения от земли возле экрана													Ф-ла (18) [10]												
Константа С3 (дифракция на экране)													Ф-ла (14) [10]												
Критерий экранирования Kэк													Ф-ла (12) [10]												
Снижение уровня звукового давления из-за влияния застройки между источником шума и расчетной точкой													Ф-ла (13) [10]												
Промежуточные тоны													Ф-ла (15) [10]												
Константа С2, учитывающая эффект отражения от земли возле экрана													Ф-ла (18) [10]												
Константа С3 (дифракция на экране)													Ф-ла (14) [10]												
Критерий экранирования Kэк													Ф-ла (12) [10]												
Снижение уровня звукового давления из-за влияния застройки между источником шума и расчетной точкой													Ф-ла (13) [10]												
Промежуточные тоны													Ф-ла (15) [10]												
Константа С2, учитывающая эффект отражения от земли возле экрана													Ф-ла (18) [10]												
Константа С3 (дифрак																									

1			2			3	4	5	6	7	8	9	10	11	12	13						
Длина звуковой волны для среднегеометрической частоты октавной полосы, λ, м																						
Промежуточные точки: Константа С2, учитывающая эффект отражения от земли возле экрана			Р _{экв,2,7} = (P _{экв,2,7} / 10) * 10,33, дБ		R _{экв,2,7} = (R _{экв,2,7} / 10) * 10,33, дБ		d _г = 2883,6 м		d _г = 3112,44 м		e = 0,06 м		z = -0,06 м									
			20		20		20		20		20		20		20							
			1		1		1		1		1		1		1		1					
			1		1		1		1		1		1		1		1					
			0		4,5		4,1		3,4		1,4		0		0		0		0			
Препятствие справа от трассы ИШ-РТ			Ф-ла [14] [10]		Ф-ла [13] [10]		0		4,5		4,1		3,4		1,4		0		0		0	
			Ф-ла [14] [10]		Ф-ла [13] [10]		0		4,5		4,1		3,4		1,4		0		0		0	
			Ф-ла [14] [10]		Ф-ла [13] [10]		0		4,5		4,1		3,4		1,4		0		0		0	
			Ф-ла [14] [10]		Ф-ла [13] [10]		0		4,5		4,1		3,4		1,4		0		0		0	
			Ф-ла [14] [10]		Ф-ла [13] [10]		0		4,5		4,1		3,4		1,4		0		0		0	
* отрицательное значение с означает прохождение траектории вблизи здания, в этом случае дополнительно производится учёт снижения подстилающей поверхности (м/мин)																						
Уровни звукового давления от источника ИШ-12. ПО1.1 в расчётной точке днём, дБ																						
Уровни звукового давления от источника ИШ-12. ПО1.1 в расчётной точке ночью, дБ																						
Источник шума: ИШ-13. ПО2, координаты источника (х,у,z), м = [7056,09,4651,95,3,00]																						
Уровни звуковой мощности источника днём, Lw, дБ																						
Уровни звуковой мощности источника ночью, Lw, дБ																						
Поправка на телесный угол DΣ, дБ																						
Показатель направленности источника Di, дБ																						
Поправка на направленности источника Dс, дБ																						
Затухание из-за геометрической дивергенции, ΔLг, дБ																						
Коэффициент затухания звука в атмосфере α, дБ/км																						
Учет затухания звука в атмосфере ΔLатм, дБ																						
Снижение поверхностью земли возле источника ΔLз, дБ																						
Снижение поверхностью земли возле приёмника ΔLп, дБ																						
Снижение поверхностью земли в средней зоне, ΔLпс, дБ																						
Снижение поверхностью земли на траектории распространения звука ΔLт, дБ																						
Снижение уровня звукового давления из-за влияния застройки между источником шума и расчётной точкой																						
Длина звуковой волны для среднегеометрической частоты октавной полосы, λ, м																						
Промежуточные точки: Константа С2, учитывающая эффект отражения от земли возле экрана			Р _{экв,2,7} = (P _{экв,2,7} / 10) * 10,33, дБ		R _{экв,2,7} = (R _{экв,2,7} / 10) * 10,33, дБ		d _г = 7,20 м		d _г = 3422,32 м		e = 3,36 м		z = 7,07 м									
			20		20		20		20		20		20		20		20					
			1		1		1,1		1,2		1,6		2,3		2,8		2,9		3			
			0,3		0,3		0,3		0,3		0,3		0,3		0,3		0,3		0,3			
			8,4		10,3		12,8		16		20,1		24,5		25		25		25		25	
Траектория над экраном			Ф-ла [12] [10]		Ф-ла [12] [10]		8,4		10,3		12,8		16		20,1		24,5		25		25	
			Ф-ла [12] [10]		Ф-ла [12] [10]		8,4		10,3		12,8		16		20,1		24,5		25		25	
			Ф-ла [12] [10]		Ф-ла [12] [10]		8,4		10,3		12,8		16		20,1		24,5		25		25	
			Ф-ла [12] [10]		Ф-ла [12] [10]		8,4		10,3		12,8		16		20,1		24,5		25		25	
			Ф-ла [12] [10]		Ф-ла [12] [10]		8,4		10,3		12,8		16		20,1		24,5		25		25	
Уровни звукового давления от источника ИШ-13. ПО2 в расчётной точке днём, дБ																						
Уровни звукового давления от источника ИШ-13. ПО2 в расчётной точке ночью, дБ																						
Источник шума: ИШ-17. ПО6, координаты источника (х,у,z), м = [7021,74,4634,14,4,50]																						
Уровни звуковой мощности источника днём, Lw, дБ																						
Уровни звуковой мощности источника ночью, Lw, дБ																						

1																	2	3	4	5	6	7	8	9	10	11	12	13				
Уровни звукового давления от источника ИШ-3. Проезд рикскапера по территории контейнерной площадки, эка(1,7) в расчётной точке ночью, дБ																	Ф-ка(9)[0]	0	0	17,2	11,4	2,4	0	0	0	0	0	6	11,3			
Суммарные уровни звукового давления от линейного источника ИШ-3. Проезд рикскапера по территории контейнерной площадки в расчётной точке днём, дБ																	Ф-ка(9)[1]	0	0	30,9	25,1	15,9	0	0	0	0	0	19,7	19,7			
Суммарные уровни звукового давления от линейного источника ИШ-3. Проезд рикскапера по территории контейнерной площадки в расчётной точке ночью, дБ																	Ф-ка(9)[1]	0	0	30,9	25,1	15,9	0	0	0	0	0	19,7	19,7			
ИШ-10. Проведение погрузо-разгрузочных работ																																
Источники площадной, площадь = 6751,16 м. По положению ГОСТ 31295-2 разбит на серию точечных эквивалентных источников. Количество эквивалентных источников: 1. Расчёт эквивалентных источников шума:																																
Октавные уровни удельной звуковой мощности источника днём, Lw, дБ/м2																	исходные данные		0	65,7	63,7	58,7	56,7	53,7	48,7	44,7	36,7					
Октавные уровни удельной звуковой мощности источника ночью, Lw, дБ/м2																	исходные данные		0	65,7	63,7	58,7	56,7	53,7	48,7	44,7	36,7					
Уровни звукового давления от источника ИШ-10. Проведение погрузо-разгрузочных работ_эка(1) в расчётной точке днём, дБ																	Ф-ка(9)[0]	0	22,7	19,8	12	4	0	0	0	0	0	7,9	10,9			
Уровни звукового давления от источника ИШ-10. Проведение погрузо-разгрузочных работ_эка(1) в расчётной точке ночью, дБ																	Ф-ка(9)[0]	0	22,7	19,8	12	4	0	0	0	0	0	7,9	10,9			
Суммарные уровни звукового давления от площадного источника ИШ-10. Проведение погрузо-разгрузочных работ в расчётной точке днём, дБ																	Ф-ка(9)[1]	0	22,7	19,8	12	4	0	0	0	0	0	7,9	10,9			
Суммарные уровни звукового давления от площадного источника ИШ-10. Проведение погрузо-разгрузочных работ в расчётной точке ночью, дБ																	Ф-ка(9)[1]	0	22,7	19,8	12	4	0	0	0	0	0	7,9	10,9			
ИШ-11. Шум от трансформаторов АБК																																
Источники площадной, площадь = 12,04 м. По положению ГОСТ 31295-2 разбит на серию точечных эквивалентных источников. Количество эквивалентных источников: 1. Расчёт эквивалентных источников шума:																																
Октавные уровни удельной звуковой мощности источника днём, Lw, дБ/м2																	исходные данные		0	56	54	58	58	41	30	26	18					
Октавные уровни удельной звуковой мощности источника ночью, Lw, дБ/м2																	исходные данные		0	56	54	58	58	41	30	26	18					
Уровни звукового давления от источника ИШ-11. Шум от трансформаторов АБК_эка(1) в расчётной точке днём, дБ																	Ф-ка(9)[0]	0	0	0	0	0	0	0	0	0	0	0	0	0	0	0
Уровни звукового давления от источника ИШ-11. Шум от трансформаторов АБК_эка(1) в расчётной точке ночью, дБ																	Ф-ка(9)[0]	0	0	0	0	0	0	0	0	0	0	0	0	0	0	0
Суммарные уровни звукового давления от площадного источника ИШ-11. Шум от трансформаторов АБК в расчётной точке днём, дБ																	Ф-ка(9)[1]	0	0	0	0	0	0	0	0	0	0	0	0	0	0	0
Суммарные уровни звукового давления от площадного источника ИШ-11. Шум от трансформаторов АБК в расчётной точке ночью, дБ																	Ф-ка(9)[1]	0	0	0	0	0	0	0	0	0	0	0	0	0	0	0
Источники шума: ИШ-12. ПОЛ1. координаты источника (х,у,z), м=[7030,78,4659,06,3,00]																																
Уровни звуковой мощности источника днём, Lw, дБ																	исходные данные		0	0	72,1	69,6	68,2	64	61,8	59	54,1					
Уровни звуковой мощности источника ночью, Lw, дБ																	исходные данные		0	0	72,1	69,6	68,2	64	61,8	59	54,1					
Поправка на телесный угол Dα, дБ																	Ω = 12,57	10lg(π/Ω)	0	0	0	0	0	0	0	0	0	0	0	0	0	0
Показатель направленности источника D1, дБ																	исходные данные		0	0	0	0	0	0	0	0	0	0	0	0	0	0
Поправка на направленность источника Dα, дБ																	Dα = Dα		0	0	0	0	0	0	0	0	0	0	0	0	0	0
Затухание из-за геометрической дивергенции Adiv, дБ																	расстояние = 3400,75 м		81,6													
Коэффициент затухания звука в атмосфере α, дБ/км																	Т=20,0 °C Р=101,33,кПа hотп=70%		0,02	0,09	0,33	1,12	2,79	4,98	9,04	23,09	77,63					
Учет затухания звука в атмосфере Aatm, дБ																	Ф-ка(8) [10]		0,1	0,3	1,1	3,8	9,5	16,9	30,7	78,5	264					
Снижение поверхность земли возле источника Aз, дБ																	Gз=0 hз=3м		-1,5	-1,5	-1,5	-1,5	-1,5	-1,5	-1,5	-1,5	-1,5	-1,5	-1,5	-1,5	-1,5	
Снижение поверхность земли возле приёмника Aп, дБ																	Gп=0 hп=15м		-1,5	-1,5	-1,5	-1,5	-1,5	-1,5	-1,5	-1,5	-1,5	-1,5	-1,5	-1,5	-1,5	
Снижение поверхность земли в средней зоне, Aсп, дБ																	Gсп=0		-2,9	-2,9	-2,9	-2,9	-2,9	-2,9	-2,9	-2,9	-2,9	-2,9	-2,9	-2,9	-2,9	
Суммарное снижение поверхность земли на траектории распространения звука Aсг, дБ																	Ф-ка(8) [10]		-5,9	-5,9	-5,9	-5,9	-5,9	-5,9	-5,9	-5,9	-5,9	-5,9	-5,9	-5,9	-5,9	
Снижение уровня звукового давления из-за влияниястройки между источником шума и расчётной точкой																																

1		2		3	4	5	6	7	8	9	10	11	12	13
Препятствие справа от трассы ИШ-РТ	Константа С ₂ , учитывающая эффект отражения от земли возле экрана													
	Константа С ₃ (дифракция на краях)		Ф-ла [15] [10]											
	K _{пом} (влияние метеороусловий)		Ф-ла [18] [10]											
	Dz, дБ		0 4,3 3,9 2,7 0 0 0 0 0 0 0 0 0 0											
	Снижение УЗД, Абвг, дБ		Ф-ла [13] [10]											
* отрицательное значение с означает просхождение траектории обилии экрана, в этом случае дополнительно производится учет снижения подставляющей поверхностью (м.ч.мине)														
Уровни звукового давления от источника ИШ-21. В01.2 в расчётной точке днём, дБ														
Ф-ла [9]														
Уровни звукового давления от источника ИШ-21. В01.2 в расчётной точке ночью, дБ														
Ф-ла [9]														
Источник шума: ИШ-22. В02, координаты источника (х,у,z), м = [7055;77;4651;16;3;00]														
исходные данные														
0 0 72,1 69,6 68,2 64 61,8 59 54,1														
исходные данные														
0 0 72,1 69,6 68,2 64 61,8 59 54,1														
Поправка на телесный угол D0, дБ														
Ω = 6,28 104(4+7/2)														
3 3 3 3 3 3 3 3 3 3 3 3 3 3														
Показатель направленности источника D1, дБ														
[17] -5 -5 -5 -5 -5 -5 -5 -5 -5 -5 -5 -5 -5														
Поправка на направленность источника Dc, дБ														
Dc D0 + D1 -2 -2 -2 -2 -2 -2 -2 -2 -2 -2 -2 -2 -2														
Загугание из-за геометрической дивергенции, Абвг, дБ														
расстояние = 3426,47 м 81,7														
Ф-ла [5] [9]														
0,02 0,09 0,33 1,12 2,79 4,98 9,04 23,09 77,63														
Коэффициент загугания звука в атмосфере α, дБ/км														
Ф-ла [8] [10]														
0,1 0,3 1,1 3,9 9,6 17,1 31 79,1 266														
Учет загугания звука в атмосфере Аатм, дБ														
Gs = 0 hs = 3м Ф-ла таб.3 [10] -1,5 -1,5 -1,5 -1,5 -1,5 -1,5 -1,5 -1,5 -1,5 -1,5 -1,5 -1,5														
Снижение поверхностью земли возле источника Аs, дБ														
Gr = 0 Ф-ла таб.3 [10] -1,5 -1,5 -1,5 -1,5 -1,5 -1,5 -1,5 -1,5 -1,5 -1,5 -1,5 -1,5														
Снижение поверхностью земли возле приёмника Аг, дБ														
Gr = 0 Ф-ла таб.3 [10] -1,5 -1,5 -1,5 -1,5 -1,5 -1,5 -1,5 -1,5 -1,5 -1,5 -1,5 -1,5														
Снижение поверхностью земли в средней зоне, Ап, дБ														
Gm = 0 Ф-ла таб.3 [10] -2,9 -2,9 -2,9 -2,9 -2,9 -2,9 -2,9 -2,9 -2,9 -2,9 -2,9 -2,9														
Суммарное снижение поверхностью земли на траектории распространения звука Абг, дБ														
Ф-ла [8] [10] -5,9 -5,9 -5,9 -5,9 -5,9 -5,9 -5,9 -5,9 -5,9 -5,9 -5,9 -5,9														
Снижение уровня звукового давления из-за влияния застройки между источником шума и расчётной точкой														
Длина звуковой волны для среднегеометрической частоты октавной полосы, λ, м														
10,79 5,4 2,72 1,36 0,68 0,34 0,17 0,09 0,04														
Промежуточные тона:														
РФ,х,у,z = [7055;67;4651;21;10;20] (Р705;67;4651;21;10;20) dz = 7,20 м dz = 3415,92 м dz = 10,46 м z = 7,10 м														
Константа С ₂ , учитывающая эффект отражения от земли возле экрана														
20 20 20 20 20 20 20 20 20 20 20 20 20 20														
Константа С ₃ (дифракция на краях)														
Ф-ла [15] [10] 1 1,1 1,3 1,9 2,5 2,9 3 3 3 3 3 3 3														
K _{пом} (влияние метеороусловий)														
Ф-ла [18] [10] 0,3 0,3 0,3 0,3 0,3 0,3 0,3 0,3 0,3 0,3 0,3 0,3 0,3														
Dz, дБ (с учётом отражения эффективности экранов 25 дБ)														
Ф-ла [14] [10] 8,4 10,6 13,7 17,9 22 25 25 25 25 25 25 25 25														
Ф-ла [12] [10] 8,4 10,6 13,7 17,9 22 25 25 25 25 25 25 25 25														
Снижение УЗД, Абвг, дБ														
Ф-ла [9]														
0 0 0 0 0 0 0 0 0 0 0 0 0 0														
Уровни звукового давления от источника ИШ-22. В02 в расчётной точке днём, дБ														
Ф-ла [9]														
Уровни звукового давления от источника ИШ-22. В02 в расчётной точке ночью, дБ														
Ф-ла [9]														
Источник шума: ИШ-26. В06, координаты источника (х,у,z), м = [7032;72;4621;39;11;20]														
исходные данные														
0 92,6 91 87,3 83,1 79,1 74,9 71,5 68,4														
исходные данные														
0 92,6 91 87,3 83,1 79,1 74,9 71,5 68,4														
Поправка на телесный угол D0, дБ														
Ω = 6,28 104(4+7/2)														
3 3 3 3 3 3 3 3 3 3 3 3 3 3														
Показатель направленности источника D1, дБ														
[17] -5 -5 -5 -5 -5 -5 -5 -5 -5 -5 -5 -5 -5														

1			2		3	4	5	6	7	8	9	10	11	12	13	
Показатель направленности источника D1, дБ			[17]		-5	-5	-5	-5	-5	-5	-5	-5	-5	-5		
Поправка на направленность источника Dc, дБ			D01 + Dc		-2	-2	-2	-2	-2	-2	-2	-2	-2	-2		
Запушение из-за геометрической дивергенции, Адв, дБ			Ф-ла [7] [10]		81,6											
Коэффициент затухания звука в атмосфере α, дБ/км			Т=20,°C Р=101,33,кПа hотм=70%		0,02	0,09	0,33	1,12	2,79	4,98	9,04	23,09	77,63			
Учет затухания звука в атмосфере Аатм, дБ			Ф-ла [8] [10]		0,1	0,3	1,1	3,8	9,5	16,9	30,7	78,5	264,1			
Снижение поверхность земли возле источника Аз, дБ			Gs = 0 hs = 3м		-1,5	-1,5	-1,5	-1,5	-1,5	-1,5	-1,5	-1,5	-1,5	-1,5		
			Gr = 0 hr = 1,5м		-1,5	-1,5	-1,5	-1,5	-1,5	-1,5	-1,5	-1,5	-1,5	-1,5	-1,5	
Снижение поверхность земли возле приёмника Аг, дБ			Gm = 0		-2,9	-2,9	-2,9	-2,9	-2,9	-2,9	-2,9	-2,9	-2,9	-2,9		
Суммарное снижение поверхность земли на траектории распространения звука Абг, дБ			Ф-ла [9] [10]		-5,9	-5,9	-5,9	-5,9	-5,9	-5,9	-5,9	-5,9	-5,9	-5,9		
Снижение уровня звукового давления из-за влияния застройки между источником шума и расчётной точкой																
Длина звуковой волны для среднегеометрической частоты октавной полосы, λ, м			Промежуточные тона:		10,79	5,4	2,72	1,36	0,68	0,34	0,17	0,09	0,04			
			Константа С2, учитывающая эффект отражения от земли возле экрана		20	20	20	20	20	20	20	20	20	20	20	
			Константа С3 (дифракция на краях)		1	1	1	1	1	1	1	1	1	1	1	
			Kпом (влияние метеороусловий)		1	1	1	1	1	1	1	1	1	1	1	
			Dz, дБ		0	4,1	3,3	0,9	0	0	0	0	0	0	0	
			Снижение УЗД, Абг, дБ		0	4,1	3,3	0,9	0	0	0	0	0	0	0	
* отрицательное значение с означает просхождение траектории обилии экрана, в этом случае дополнительно производится учет снижения подставляющей поверхностью (м.ч.мине)																
Уровни звукового давления от источника ИШ-20. В01.1 в расчётной точке днём, дБ			Ф-ла [9] [10]		0	0	0	0	0	0	0	0	0	0	0	
Уровни звукового давления от источника ИШ-20. В01.1 в расчётной точке ночью, дБ			Ф-ла [9] [10]		0	0	0	0	0	0	0	0	0	0	0	
Источник шума: ИШ-21. В01.2, координаты источника (х,у,z), м = [7030;55;4657;94;3;00]																
Уровни звуковой мощности источника днём, лw, дБ			исходные данные		0	0	70,1	66,6	66,2	63	65,8	58	58,1			
Уровни звуковой мощности источника ночью, лw, дБ			исходные данные		0	0	70,1	66,6	66,2	63	65,8	58	58,1			
Поправка на телесный угол D0, дБ			Ω = 6,28		3	3	3	3	3	3	3	3	3	3		
Показатель направленности источника D1, дБ			угол равености = 90,0°		[17]					-5	-5	-5	-5	-5	-5	
Поправка на направленность источника Dc, дБ			Dc		D01 + Dc					-2	-2	-2	-2	-2	-2	
Запушение из-за геометрической дивергенции, Адв, дБ			Ф-ла [7] [10]		81,6											
Коэффициент затухания звука в атмосфере α, дБ/км			Т=20,°C Р=101,33,кПа hотм=70%		0,02	0,09	0,33	1,12	2,79	4,98	9,04	23,09	77,63			
Учет затухания звука в атмосфере Аатм, дБ			Ф-ла [8] [10]		0,1	0,3	1,1	3,8	9,5	16,9	30,7	78,5	264			
Снижение поверхность земли возле источника Аз, дБ			Gs = 0 hs = 3м		-1,5	-1,5	-1,5	-1,5	-1,5	-1,5	-1,5	-1,5	-1,5	-1,5		
Снижение поверхность земли возле приёмника Аг, дБ			Gr = 0 hr = 1,5м		-1,5	-1,5	-1,5	-1,5	-1,5	-1,5	-1,5	-1,5	-1,5	-1,5		
Снижение поверхность земли в средней зоне, Ап, дБ			Gm = 0		-2,9	-2,9	-2,9	-2,9	-2,9	-2,9	-2,9	-2,9	-2,9	-2,9		
Суммарное снижение поверхность земли на траектории распространения звука Абг, дБ			Ф-ла [9] [10]		-5,9	-5,9	-5,9	-5,9	-5,9	-5,9	-5,9	-5,9	-5,9	-5,9		
Снижение уровня звукового давления из-за влияния застройки между источником шума и расчётной точкой																
Длина звуковой волны для среднегеометрической частоты октавной полосы, λ, м			Промежуточные тона:		10,79	5,4	2,72	1,36	0,68	0,34	0,17	0,09	0,04			
Уровни звуковой мощности источника днём, лw, дБ			РФ,х,у,z = [7030;55;4657;94;3;00] (Р7030;55;4657;94;3;00)		10,79	5,4	2,72	1,36	0,68	0,34	0,17	0,09	0,04			

1		2	3	4	5	6	7	8	9	10	11	12	13
Запущание из-за геометрической дивергенции, Adiv, дБ		расстояние = 3402,16 м	81,6										
Коэффициент затухания звука в атмосфере α, дБ/км		Ta=20,°C P=101,33,кПа hотн=70%	Ф-ла (5) [9]	0,02	0,09	0,33	1,12	2,79	4,98	9,04	23,09	77,63	
Учет затухания звука в атмосфере Aatm, дБ			Ф-ла (8) [10]	0,1	0,3	1,1	3,8	9,5	16,9	30,8	78,5	264,1	
Снижение поверхность земли возле источника As, дБ		Gs = 0 hs = 3м	Ф-ла таб.3 [10]	-1,5	-1,5	-1,5	-1,5	-1,5	-1,5	-1,5	-1,5	-1,5	
Снижение поверхность земли возле приёмника At, дБ		Gr = 0 ht = 1,5м	Ф-ла таб.3 [10]	-1,5	-1,5	-1,5	-1,5	-1,5	-1,5	-1,5	-1,5	-1,5	
Снижение поверхность земли в средней зоне, Aсп, дБ		Gm = 0	Ф-ла таб.3 [10]	-2,9	-2,9	-2,9	-2,9	-2,9	-2,9	-2,9	-2,9	-2,9	
Суммарное снижение поверхность земли на траектории распространения звука Aсв, дБ			Ф-ла (9) [10]	-5,9	-5,9	-5,9	-5,9	-5,9	-5,9	-5,9	-5,9	-5,9	
Снижение уровня звукового давления из-за влияния застройки между источником шума и расчётной точкой													
Длина звуковой волны для среднегеометрической частоты октавной полосы, λ, м			10,79	5,4	2,72	1,36	0,68	0,34	0,17	0,09	0,04		
Промежуточные точки:		RfKx,z,λ = (893,33,461,42,2,96)	d01 = 80,06 м dR = 332,59 м e = 0,00 м										
Константа C2, учитывающая эффект отражения от земли возле здания			20	20	20	20	20	20	20	20	20	20	
Константа C3 (дифракция на краяхах)			1	1	1	1	1	1	1	1	1	1	
Kmin (влияние метеоусловий)			1	1	1	1	1	1	1	1	1	1	
Dz, дБ			3,2	0,6	0	0	0	0	0	0	0	0	
Снижение UЗД, Aзв, дБ			3,2	0,6	0	0	0	0	0	0	0	0	
* отрицательное значение с означает просхождение траектории вблизи здания, в этом случае дополнительно производится учёт снижения подстилающей поверхности (ок. мин)													
Уровни звукового давления от источника ИШ-39, 102 в расчётной точке днём, дБ		Ф-ла(14) [9]	0	0	0	0	0	0	0	0	0	0	0
Уровни звукового давления от источника ИШ-39, 102 в расчётной точке ночью, дБ		Ф-ла(14) [9]	0	0	0	0	0	0	0	0	0	0	0
Источник шума: ИШ-40, 103, координаты источника (х,у,z), м = [7027,86,4650,56,3,00]													
Уровни звуковой мощности источника днём, Lw, дБ		исходные данные	0	76,6	75	71,3	67,1	63,1	58,9	55,5	52,4		
Уровни звуковой мощности источника ночью, Lw, дБ		исходные данные	0	76,6	75	71,3	67,1	63,1	58,9	55,5	52,4		
Поправка на телесный угол D0, дБ		Ω = 12,57	10,6(47,0)										
Показатель направленности источника Di, дБ		исходные данные	0	0	0	0	0	0	0	0	0	0	0
Поправка на направленность источника Dc, дБ		Dc	D0 + Di										
Запущание из-за геометрической дивергенции, Adiv, дБ		расстояние = 3402,25 м	81,6										
Коэффициент затухания звука в атмосфере α, дБ/км		Ta=20,°C P=101,33,кПа hотн=70%	Ф-ла (5) [9]	0,02	0,09	0,33	1,12	2,79	4,98	9,04	23,09	77,63	
Учет затухания звука в атмосфере Aatm, дБ			Ф-ла (8) [10]	0,1	0,3	1,1	3,8	9,5	16,9	30,8	78,5	264,1	
Снижение поверхность земли возле источника As, дБ		Gs = 0 hs = 3м	Ф-ла таб.3 [10]	-1,5	-1,5	-1,5	-1,5	-1,5	-1,5	-1,5	-1,5	-1,5	
Снижение поверхность земли возле приёмника At, дБ		Gr = 0 ht = 1,5м	Ф-ла таб.3 [10]	-1,5	-1,5	-1,5	-1,5	-1,5	-1,5	-1,5	-1,5	-1,5	
Снижение поверхность земли в средней зоне, Aсп, дБ		Gm = 0	Ф-ла таб.3 [10]	-2,9	-2,9	-2,9	-2,9	-2,9	-2,9	-2,9	-2,9	-2,9	
Суммарное снижение поверхность земли на траектории распространения звука Aсв, дБ			Ф-ла (9) [10]	-5,9	-5,9	-5,9	-5,9	-5,9	-5,9	-5,9	-5,9	-5,9	
Снижение уровня звукового давления из-за влияния застройки между источником шума и расчётной точкой													
Длина звуковой волны для среднегеометрической частоты октавной полосы, λ, м			10,79	5,4	2,72	1,36	0,68	0,34	0,17	0,09	0,04		
Промежуточные точки:		RfKx,z,λ = (893,33,461,42,2,96)	d01 = 80,11 м dR = 332,59 м e = 0,00 м										
Константа C2, учитывающая эффект отражения от земли возле здания			20	20	20	20	20	20	20	20	20	20	
Константа C3 (дифракция на краяхах)			1	1	1	1	1	1	1	1	1	1	

1		2	3	4	5	6	7	8	9	10	11	12	13
Снижение поверхностью земли возле источника Аз, дБ	Gс = 0 hс = 3м		Ф-ль таб.3 [10]	-1,5	-1,5	-1,5	-1,5	-1,5	-1,5	-1,5	-1,5	-1,5	-1,5
	Gг = 0 hг = 1,5м		Ф-ль таб.3 [10]	-1,5	-1,5	-1,5	-1,5	-1,5	-1,5	-1,5	-1,5	-1,5	-1,5
Снижение поверхностью земли в средней зоне, Ап дБ	Gм = 0		Ф-ль таб.3 [10]	-2,9	-2,9	-2,9	-2,9	-2,9	-2,9	-2,9	-2,9	-2,9	-2,9
Суммарное снижение поверхностью земли на траектории распространения звука Агв, дБ			Ф-ль (9) [10]	-5,9	-5,9	-5,9	-5,9	-5,9	-5,9	-5,9	-5,9	-5,9	-5,9
Снижение уровня звукового давления из-за влияния застройки между источником шума и расчётной точкой													
Длина звуковой волны для среднегеометрической частоты октавной полосы, λ, м			10,79	5,4	2,72	1,36	0,68	0,34	0,17	0,09	0,04		
Препятствие слева от трассы ИШ-РТ	Промежуточные точки:	РfKx,z,λ = (893,33,461,42,2,96)	d0 = 80,10 м e = 332,59 м e = 0,00 м										
	Константа С2, учитывающая эффект отражения от земли возле здания		20 20 20 20 20 20 20 20 20 20 20										
	Константа С3 (инфракрасная зона)		Ф-ль (15) [10] 1 1 1 1 1 1 1 1 1 1 1										
	Kмех (влияние метеорологии)		Ф-ль (16) [10] 1 1 1 1 1 1 1 1 1 1 1										
	Dз, дБ		Ф-ль (14) [10] 3,6 2 0 0 0 0 0 0 0 0 0										
Снижение УЗД, Азвг, дБ			Ф-ль (13) [10] 3,6 2 0 0 0 0 0 0 0 0 0										
* отрицательное значение г. означает просхождение траектории вблизи здания, в этом случае дополнение учитывается с учётом снижения подстилающей поверхностью (см.инше)													
Уровни звукового давления от источника ИШ-37, K01 в расчётной точке днём, дБ			Ф-ль (9) [10] 0 0 0 0 0 0 0 0 0 0 0										
Уровни звукового давления от источника ИШ-37, K01 в расчётной точке ночью, дБ			Ф-ль (9) [10] 0 0 0 0 0 0 0 0 0 0 0										
Источник шума: ИШ-38, B17, координаты источника (х,у,z), м = [7051,90,4646,20,10,30]													
Уровни звуковой мощности источника днём, Lw, дБ			исходные данные 0 0 69,1 70,6 69,2 66 55,8 57 43,1										
Уровни звуковой мощности источника ночью, Lw, дБ			исходные данные 0 0 69,1 70,6 69,2 66 55,8 57 43,1										
Поправка на телесный угол D0, дБ			10,lg(4πr²) 3 3 3 3 3 3 3 3 3 3 3										
Показатель направленности источника D1, дБ			[17] -5 -5 -5 -5 -5 -5 -5 -5 -5 -5 -5										
Поправка на направленность источника Dс, дБ			D21 - D8 -2 -2 -2 -2 -2 -2 -2 -2 -2 -2 -2										
Запушение из-за геометрической дивергенции, Адив, дБ			Ф-ль (7) [10] 81,7										
Коэффициент затухания звука в атмосфере α, дБ/км			Ф-ль (5) [9] 0,02 0,09 0,33 1,12 2,79 4,98 9,04 25,09 77,63										
Учет затухания звука в атмосфере Аатм, дБ			Ф-ль (8) [10] 0,1 0,3 1,1 3,9 9,6 17,1 31 79,1 265,9										
Снижение поверхностью земли возле источника Аз, дБ			Gс = 0 hс = 0,3м -1,5 -1,5 -1,5 -1,5 -1,5 -1,5 -1,5 -1,5 -1,5 -1,5										
Снижение поверхностью земли возле препятствия Аг, дБ			Gг = 0 hг = 1,5м -1,5 -1,5 -1,5 -1,5 -1,5 -1,5 -1,5 -1,5 -1,5 -1,5										
Снижение поверхностью земли в средней зоне, Ап дБ			Gм = 0 -3 -3 -3 -3 -3 -3 -3 -3 -3 -3 -3										
Суммарное снижение поверхностью земли на траектории распространения звука Агв, дБ			Ф-ль (9) [10] -6 -6 -6 -6 -6 -6 -6 -6 -6 -6 -6										
Уровни звукового давления от источника ИШ-38, B17 в расчётной точке днём, дБ			Ф-ль (9) [10] 0 0 0 0 0 0 0 0 0 0 0										
Уровни звукового давления от источника ИШ-38, B17 в расчётной точке ночью, дБ			Ф-ль (9) [10] 0 0 0 0 0 0 0 0 0 0 0										
Источник шума: ИШ-39, K02, координаты источника (х,у,z), м = [7027,98,4650,98,3,00]													
Уровни звуковой мощности источника днём, Lw, дБ			исходные данные 0 76,6 75 71,3 67,1 63,1 58,9 55,5 52,4										
Уровни звуковой мощности источника ночью, Lw, дБ			исходные данные 0 76,6 75 71,3 67,1 63,1 58,9 55,5 52,4										
Поправка на телесный угол D0, дБ			10,lg(4πr²) 0 0 0 0 0 0 0 0 0 0 0										
Показатель направленности источника D1, дБ			исходные данные 0 0 0 0 0 0 0 0 0 0 0										
Поправка на направленность источника Dс, дБ			D21 - D8 0 0 0 0 0 0 0 0 0 0 0										

1													2																																																																																																																																																																																																																																																																																																																																																																																																																																																																																																																																																																																																																																																																																																																																																																																																											
Источник шума: ИШ-2. Ворота ОРФ, координаты источника (х,у,z), м =[6497.61;5107.58;2.00]																																																																																																																																																																																																																																																																																																																																																																																																																																																																																																																																																																																																																																																																																																																																																																																																																								
Уровни звуковой мощности источника днём, Lw, дБ													исходные данные																																																																																																																																																																																																																																																																																																																																																																																																																																																																																																																																																																																																																																																																																																																																																																																																											
исходные данные													0	95,4	98,8	98,7	94,4	91,3	87,2	83,9	79,3																																																																																																																																																																																																																																																																																																																																																																																																																																																																																																																																																																																																																																																																																																																																																																																																			
Уровни звуковой мощности источника ночью, Lw, дБ													исходные данные																																																																																																																																																																																																																																																																																																																																																																																																																																																																																																																																																																																																																																																																																																																																																																																																											
исходные данные													0	95,4	98,8	98,7	94,4	91,3	87,2	83,9	79,3																																																																																																																																																																																																																																																																																																																																																																																																																																																																																																																																																																																																																																																																																																																																																																																																			
Поправка на телесный угол Dα, дБ													10lg(4πΩ)																																																																																																																																																																																																																																																																																																																																																																																																																																																																																																																																																																																																																																																																																																																																																																																																											
Ω = 6,28													3																																																																																																																																																																																																																																																																																																																																																																																																																																																																																																																																																																																																																																																																																																																																																																																																											
Показатель направленности источника D1, дБ													исходные данные																																																																																																																																																																																																																																																																																																																																																																																																																																																																																																																																																																																																																																																																																																																																																																																																											
исходные данные													0	0	0	0	0	0	0	0	0	0	0	0	0	0	0	0	0	0	0	0	0																																																																																																																																																																																																																																																																																																																																																																																																																																																																																																																																																																																																																																																																																																																																																																																							
Поправка на направленность источника Dα, дБ													Dα + D1																																																																																																																																																																																																																																																																																																																																																																																																																																																																																																																																																																																																																																																																																																																																																																																																											
Dα													3																																																																																																																																																																																																																																																																																																																																																																																																																																																																																																																																																																																																																																																																																																																																																																																																											
Загугание из-за геометрической дивергенции, Δdлв, дБ													φ-ла (7) [10]																																																																																																																																																																																																																																																																																																																																																																																																																																																																																																																																																																																																																																																																																																																																																																																																											
расстояние = 2721,69 м													79,7																																																																																																																																																																																																																																																																																																																																																																																																																																																																																																																																																																																																																																																																																																																																																																																																											
Коэффициент загугания звука в атмосфере α, дБ/км													φ-ла (5) [9]																																																																																																																																																																																																																																																																																																																																																																																																																																																																																																																																																																																																																																																																																																																																																																																																											
Tа=20,°C Р=10133,3Па hотн=70%													0,02																																																																																																																																																																																																																																																																																																																																																																																																																																																																																																																																																																																																																																																																																																																																																																																																											
Учет загугания звука в атмосфере Δαтм, дБ													0,1																																																																																																																																																																																																																																																																																																																																																																																																																																																																																																																																																																																																																																																																																																																																																																																																											
Ω = 6,28													10lg(4πΩ)																																																																																																																																																																																																																																																																																																																																																																																																																																																																																																																																																																																																																																																																																																																																																																																																											
Показатель направленности источника D1, дБ													исходные данные																																																																																																																																																																																																																																																																																																																																																																																																																																																																																																																																																																																																																																																																																																																																																																																																											
исходные данные													-1,5	-1,5	-1,5	-1,5	-1,5	-1,5	-1,5	-1,5	-1,5	-1,5	-1,5	-1,5	-1,5	-1,5	-1,5	-1,5	-1,5	-1,5	-1,5	-1,5	-1,5	-1,5	-1,5	-1,5	-1,5	-1,5	-1,5	-1,5	-1,5	-1,5	-1,5	-1,5	-1,5	-1,5	-1,5	-1,5	-1,5	-1,5	-1,5	-1,5	-1,5	-1,5	-1,5	-1,5	-1,5	-1,5	-1,5	-1,5	-1,5	-1,5	-1,5	-1,5	-1,5	-1,5	-1,5	-1,5	-1,5	-1,5	-1,5	-1,5	-1,5	-1,5	-1,5	-1,5	-1,5	-1,5	-1,5	-1,5	-1,5	-1,5	-1,5	-1,5	-1,5	-1,5	-1,5	-1,5	-1,5	-1,5	-1,5	-1,5	-1,5	-1,5	-1,5	-1,5	-1,5	-1,5	-1,5	-1,5	-1,5	-1,5	-1,5	-1,5	-1,5	-1,5	-1,5	-1,5	-1,5	-1,5	-1,5	-1,5	-1,5	-1,5	-1,5	-1,5	-1,5	-1,5	-1,5	-1,5	-1,5	-1,5	-1,5	-1,5	-1,5	-1,5	-1,5	-1,5	-1,5	-1,5	-1,5	-1,5	-1,5	-1,5	-1,5	-1,5	-1,5	-1,5	-1,5	-1,5	-1,5	-1,5	-1,5	-1,5	-1,5	-1,5	-1,5	-1,5	-1,5	-1,5	-1,5	-1,5	-1,5	-1,5	-1,5	-1,5	-1,5	-1,5	-1,5	-1,5	-1,5	-1,5	-1,5	-1,5	-1,5	-1,5	-1,5	-1,5	-1,5	-1,5	-1,5	-1,5	-1,5	-1,5	-1,5	-1,5	-1,5	-1,5	-1,5	-1,5	-1,5	-1,5	-1,5	-1,5	-1,5	-1,5	-1,5	-1,5	-1,5	-1,5	-1,5	-1,5	-1,5	-1,5	-1,5	-1,5	-1,5	-1,5	-1,5	-1,5	-1,5	-1,5	-1,5	-1,5	-1,5	-1,5	-1,5	-1,5	-1,5	-1,5	-1,5	-1,5	-1,5	-1,5	-1,5	-1,5	-1,5	-1,5	-1,5	-1,5	-1,5	-1,5	-1,5	-1,5	-1,5	-1,5	-1,5	-1,5	-1,5	-1,5	-1,5	-1,5	-1,5	-1,5	-1,5	-1,5	-1,5	-1,5	-1,5	-1,5	-1,5	-1,5	-1,5	-1,5	-1,5	-1,5	-1,5	-1,5	-1,5	-1,5	-1,5	-1,5	-1,5	-1,5	-1,5	-1,5	-1,5	-1,5	-1,5	-1,5	-1,5	-1,5	-1,5	-1,5	-1,5	-1,5	-1,5	-1,5	-1,5	-1,5	-1,5	-1,5	-1,5	-1,5	-1,5	-1,5	-1,5	-1,5	-1,5	-1,5	-1,5	-1,5	-1,5	-1,5	-1,5	-1,5	-1,5	-1,5	-1,5	-1,5	-1,5	-1,5	-1,5	-1,5	-1,5	-1,5	-1,5	-1,5	-1,5	-1,5	-1,5	-1,5	-1,5	-1,5	-1,5	-1,5	-1,5	-1,5	-1,5	-1,5	-1,5	-1,5	-1,5	-1,5	-1,5	-1,5	-1,5	-1,5	-1,5	-1,5	-1,5	-1,5	-1,5	-1,5	-1,5	-1,5	-1,5	-1,5	-1,5	-1,5	-1,5	-1,5	-1,5	-1,5	-1,5	-1,5	-1,5	-1,5	-1,5	-1,5	-1,5	-1,5	-1,5	-1,5	-1,5	-1,5	-1,5	-1,5	-1,5	-1,5	-1,5	-1,5	-1,5	-1,5	-1,5	-1,5	-1,5	-1,5	-1,5	-1,5	-1,5	-1,5	-1,5	-1,5	-1,5	-1,5	-1,5	-1,5	-1,5	-1,5	-1,5	-1,5	-1,5	-1,5	-1,5	-1,5	-1,5	-1,5	-1,5	-1,5	-1,5	-1,5	-1,5	-1,5	-1,5	-1,5	-1,5	-1,5	-1,5	-1,5	-1,5	-1,5	-1,5	-1,5	-1,5	-1,5	-1,5	-1,5	-1,5	-1,5	-1,5	-1,5	-1,5	-1,5	-1,5	-1,5	-1,5	-1,5	-1,5	-1,5	-1,5	-1,5	-1,5	-1,5	-1,5	-1,5	-1,5	-1,5	-1,5	-1,5	-1,5	-1,5	-1,5	-1,5	-1,5	-1,5	-1,5	-1,5	-1,5	-1,5	-1,5	-1,5	-1,5	-1,5	-1,5	-1,5	-1,5	-1,5	-1,5	-1,5	-1,5	-1,5	-1,5	-1,5	-1,5	-1,5	-1,5	-1,5	-1,5	-1,5	-1,5	-1,5	-1,5	-1,5	-1,5	-1,5	-1,5	-1,5	-1,5	-1,5	-1,5	-1,5	-1,5	-1,5	-1,5	-1,5	-1,5	-1,5	-1,5	-1,5	-1,5	-1,5	-1,5	-1,5	-1,5	-1,5	-1,5	-1,5	-1,5	-1,5	-1,5	-1,5	-1,5	-1,5	-1,5	-1,5	-1,5	-1,5	-1,5	-1,5	-1,5	-1,5	-1,5	-1,5	-1,5	-1,5	-1,5	-1,5	-1,5	-1,5	-1,5	-1,5	-1,5	-1,5	-1,5	-1,5	-1,5	-1,5	-1,5	-1,5	-1,5	-1,5	-1,5	-1,5	-1,5	-1,5	-1,5	-1,5	-1,5	-1,5	-1,5	-1,5	-1,5	-1,5	-1,5	-1,5	-1,5	-1,5	-1,5	-1,5	-1,5	-1,5	-1,5	-1,5	-1,5	-1,5	-1,5	-1,5	-1,5	-1,5	-1,5	-1,5	-1,5	-1,5	-1,5	-1,5	-1,5	-1,5	-1,5	-1,5	-1,5	-1,5	-1,5	-1,5	-1,5	-1,5	-1,5	-1,5	-1,5	-1,5	-1,5	-1,5	-1,5	-1,5	-1,5	-1,5	-1,5	-1,5	-1,5	-1,5	-1,5	-1,5	-1,5	-1,5	-1,5	-1,5	-1,5	-1,5	-1,5	-1,5	-1,5	-1,5	-1,5	-1,5	-1,5	-1,5	-1,5	-1,5	-1,5	-1,5	-1,5	-1,5	-1,5	-1,5	-1,5	-1,5	-1,5	-1,5	-1,5	-1,5	-1,5	-1,5	-1,5	-1,5	-1,5	-1,5	-1,5	-1,5	-1,5	-1,5	-1,5	-1,5	-1,5	-1,5	-1,5	-1,5	-1,5	-1,5	-1,5	-1,5	-1,5	-1,5	-1,5	-1,5	-1,5	-1,5	-1,5	-1,5	-1,5	-1,5	-1,5	-1,5	-1,5	-1,5	-1,5	-1,5	-1,5	-1,5	-1,5	-1,5	-1,5	-1,5	-1,5	-1,5	-1,5	-1,5	-1,5	-1,5	-1,5	-1,5	-1,5	-1,5	-1,5	-1,5	-1,5	-1,5	-1,5	-1,5	-1,5	-1,5	-1,5	-1,5	-1,5	-1,5	-1,5	-1,5	-1,5	-1,5	-1,5	-1,5	-1,5	-1,5	-1,5	-1,5	-1,5	-1,5	-1,5	-1,5	-1,5	-1,5	-1,5	-1,5	-1,5	-1,5	-1,5	-1,5	-1,5	-1,5	-1,5	-1,5	-1,5	-1,5	-1,5	-1,5	-1,5	-1,5	-1,5	-1,5	-1,5	-1,5	-1,5	-1,5	-1,5	-1,5	-1,5	-1,5	-1,5	-1,5	-1,5	-1,5	-1,5	-1,5	-1,5	-1,5	-1,5	-1,5	-1,5	-1,5	-1,5	-1,5	-1,5	-1,5	-1,5	-1,5	-1,5	-1,5	-1,5	-1,5	-1,5	-1,5	-1,5	-1,5	-1,5	-1,5	-1,5	-1,5	-1,5	-1,5	-1,5	-1,5	-1,5	-1,5	-1,5	-1,5	-1,5	-1,5	-1,5	-1,5	-1,5	-1,5	-1,5	-1,5	-1,5	-1,5	-1,5	-1,5	-1,5	-1,5	-1,5	-1,5	-1,5	-1,5	-1,5	-1,5	-1,5	-1,5	-1,5	-1,5	-1,5	-1,5	-1,5	-1,5	-1,5	-1,5	-1,5	-1,5	-1,5	-1,5	-1,5	-1,5	-1,5	-1,5	-1,5	-1,5	-1,5	-1,5	-1,5	-1,5	-1,5	-1,5	-1,5	-1,

1		2		3	4	5	6	7	8	9	10	11	12	13
Уровни звукового давления от минимого источника ИШ-12. Глушитель №2_ин.(1) в расчётной точке днём, дБ		Ф=н[3][10]		0	24,6	24,6	19,8	20,6	5,8	0	0	0	19	19
Уровни звукового давления от минимого источника ИШ-12. Глушитель №2_ин.(1) в расчётной точке ночью, дБ		Ф=н[3][10]		0	0	0	0	0	0	0	0	0	19	19
Уровни звукового давления от источника ИШ-12. Глушитель №2 в расчётной точке днём, дБ		Ф=н[3][10]		0	28,1	28,1	23,3	24,2	9,3	0	0	0	22,6	22,6
Уровни звукового давления от источника ИШ-12. Глушитель №2 в расчётной точке ночью, дБ		Ф=н[3][10]		0	28,1	28,1	23,3	24,2	9,3	0	0	0	22,6	22,6
Источники шума: ИШ-13. Воздушные трубы КВО, координаты источника (x,y,z), м=[6910.17;4699.30;13.00]														
Уровни звуковой мощности источника днём, лw, дБ		исходные данные		0	119,9	119	112,5	107	102,7	98,4	93,6	89,3		
Уровни звуковой мощности источника ночью, лw, дБ		исходные данные		0	119,9	119	112,5	107	102,7	98,4	93,6	89,3		
Поправка на телесный угол D2, дБ		Ω = 6,28		3	3	3	3	3	3	3	3	3	3	3
Показатель направленности источника D1, дБ		угол равенств = 90,2 °		-5	-5	-5	-5	-5	-5	-5	-5	-5	-5	-5
Поправка на направленность источника Dc, дБ		Dc		-2	-2	-2	-2	-2	-2	-2	-2	-2	-2	-2
Затухание из-за геометрической дивергенции, Адв, дБ		расстояние = 327,56 м		81,3										
Коэффициент затухания звука в атмосфере α, дБ/км		T=20,°C P=10133,Па hотн=70%		0,02	0,09	0,33	1,12	2,79	4,98	9,04	23,09	77,63		
Учет затухания звука в атмосфере Аатм, дБ		Ф=л [8] [10]		0,1	0,3	1,1	3,7	9,1	16,3	29,6	75,6	254,3		
Снижение поверхность земли возле источника Аз, дБ		Gz=0 hz=13м		-1,5	-1,5	-1,5	-1,5	-1,5	-1,5	-1,5	-1,5	-1,5	-1,5	-1,5
Снижение поверхность земли возле приёмника Аг, дБ		Gr=0 hr=1,5м		-1,5	-1,5	-1,5	-1,5	-1,5	-1,5	-1,5	-1,5	-1,5	-1,5	-1,5
Снижение поверхность земли в средней зоне, Ап дБ		Gm=0		-2,6	-2,6	-2,6	-2,6	-2,6	-2,6	-2,6	-2,6	-2,6	-2,6	-2,6
Смазочное снижение поверхность земли на траектории распространения звука Аг, дБ		Ф=л [9] [10]		-5,6	-5,6	-5,6	-5,6	-5,6	-5,6	-5,6	-5,6	-5,6	-5,6	-5,6
Уровни звукового давления прямого звука от источника ИШ-13. Воздушные трубы КВО в расчётной точке днём, дБ		Ф=н[3][10]		0	41,9	40,2	31,1	20,2	8,7	0	0	0	27,3	27,3
Уровни звукового давления прямого звука от источника ИШ-13. Воздушные трубы КВО в расчётной точке ночью, дБ		Ф=н[3][10]		0	41,9	40,2	31,1	20,2	8,7	0	0	0	27,3	27,3
Расчёт отражённого звука														
Уровни звукового давления от минимого источника ИШ-13. Воздушные трубы КВО_ин.(1) в расчётной точке днём, дБ		Ф=н[3][10]		0	41	39,3	30,2	19,2	7,7	0	0	0	26,3	26,3
Уровни звукового давления от минимого источника ИШ-13. Воздушные трубы КВО_ин.(1) в расчётной точке ночью, дБ		Ф=н[3][10]		0	0	0	0	0	0	0	0	0	26,3	26,3
Уровни звукового давления от источника ИШ-13. Воздушные трубы КВО в расчётной точке днём, дБ		Ф=н[3][10]		0	44,5	42,8	33,7	22,7	11,3	0	0	0	29,8	29,8
Уровни звукового давления от источника ИШ-13. Воздушные трубы КВО в расчётной точке ночью, дБ		Ф=н[3][10]		0	44,5	42,8	33,7	22,7	11,3	0	0	0	29,8	29,8
Источники шума: ИШ-14. Глушитель №2, координаты источника (x,y,z), м=[6810.17;4739.73;11.00]														
Уровни звуковой мощности источника днём, лw, дБ		исходные данные		0	115,7	111,1	109	115	125,5	126,5	121,7	108,7		
Уровни звуковой мощности источника ночью, лw, дБ		исходные данные		0	115,7	111,1	109	115	125,5	126,5	121,7	108,7		
Поправка на телесный угол D2, дБ		Ω = 6,28		3	3	3	3	3	3	3	3	3	3	3
Показатель направленности источника D1, дБ		угол равенств = 90,2 °		-5	-5	-5	-5	-5	-5	-5	-5	-5	-5	-5
Поправка на направленность источника Dc, дБ		Dc		-2	-2	-2	-2	-2	-2	-2	-2	-2	-2	-2
Затухание из-за геометрической дивергенции, Адв, дБ		расстояние = 316,59 м		81										
Коэффициент затухания звука в атмосфере α, дБ/км		T=20,°C P=10133,Па hотн=70%		0,02	0,09	0,33	1,12	2,79	4,98	9,04	23,09	77,63		
Учет затухания звука в атмосфере Аатм, дБ		Ф=л [8] [10]		0,1	0,3	1,1	3,6	8,8	15,8	28,6	73,1	246		
Снижение поверхность земли возле источника Аз, дБ		Gz=0 hz=11м		-1,5	-1,5	-1,5	-1,5	-1,5	-1,5	-1,5	-1,5	-1,5	-1,5	-1,5
Снижение поверхность земли возле приёмника Аг, дБ		Gr=0 hr=1,5м		-1,5	-1,5	-1,5	-1,5	-1,5	-1,5	-1,5	-1,5	-1,5	-1,5	-1,5

[illegible]

1		2	3	4	5	6	7	8	9	10	11	12	13
Показатель направленности источника Di, дБ		исходные данные											
Поправка на направленность источника Dc, дБ		Dc = Di											
Затухание из-за геометрической дивергенции, Адв, дБ		расстояние = 3296,31 м											
Коэффициент затухания звука в атмосфере α, дБ/км		Tair=20, °C Pair=1013,3Па hотн=70%											
Учет затухания звука в атмосфере Аатт, дБ		φ-ла [5] [9]											
Снижение поверхностью земли возле источника Аз, дБ		φ-ла [8] [10]											
Снижение поверхностью земли возле приёмника Аг, дБ		φ-ла таб.3 [10]											
Снижение поверхностью земли в средней зоне, Ап, дБ		φ-ла таб.3 [10]											
Суммарное снижение поверхностью земли на траектории распространения звука Абг, дБ		φ-ла таб.3 [10]											
Уровни звукового давления от источника ИШ-18. Газовые трубы в расчётной точке днём, дБ		φ-ла [9] [10]											
Уровни звукового давления от источника ИШ-18. Газовые трубы в расчётной точке ночью, дБ		φ-ла [9] [10]											
Источник шума: ИШ-19. Трансформатор ЦН, координаты источника (х,у,z), м = [6579,68;4036,16;9,00]		φ-ла [9] [10]											
Уровни звуковой мощности источника днём, Lw, дБ		исходные данные											
Уровни звуковой мощности источника ночью, Lw, дБ		исходные данные											
Поправка на телесный угол DΩ, дБ		Ω = 6,28											
Показатель направленности источника Di, дБ		исходные данные											
Поправка на направленность источника Dc, дБ		Dc = Di											
Затухание из-за геометрической дивергенции, Адв, дБ		расстояние = 3388,81 м											
Коэффициент затухания звука в атмосфере α, дБ/км		Tair=20, °C Pair=1013,3Па hотн=70%											
Учет затухания звука в атмосфере Аатт, дБ		φ-ла [5] [9]											
Снижение поверхностью земли возле источника Аз, дБ		φ-ла таб.3 [10]											
Снижение поверхностью земли возле приёмника Аг, дБ		φ-ла таб.3 [10]											
Снижение поверхностью земли в средней зоне, Ап, дБ		φ-ла таб.3 [10]											
Суммарное снижение поверхностью земли на траектории распространения звука Абг, дБ		φ-ла таб.3 [10]											
Снижение уровня звукового давления из-за влияния застройки между источником шума и расчётной точкой		φ-ла [9] [10]											
Длина звуковой волны для среднегеометрической частоты октавной полосы, λ, м		10,79											
Критерий наличия экранирования в горизонтальной плоскости		Высота λ											
Промежуточные тонны:		Rсхх,у,z,l = (6562,78;6511,12;618,80)											
Константа С2, учитывающая эффект отражения от земли возле экрана		20											
Константа С3 (дифракция на краях)		1,6											
Kотн (влияние метеорологии)		0											
Dz, дБ		4,9											
Снижение УЗД, Абг, дБ		4,9											
Промежуточные тонны:		Rсхх,у,z,l = (6046,47;6046,15;8,88)											
Константа С2, учитывающая эффект отражения от земли возле экрана		20											

1															2															3															4															5															6															7															8															9															10															11															12															13																																																																																																																																																																																																																																																																																																																																																																																																																																																																																																																																																																																																																																																																																																																																																																																																																																																																																																																																																																																																																																																																																																																																																																																																																																																																																																																																																																																																																																																																																																																																																																																																																																																																																																																																																																																																																																																																																																																																																																																																																																																																																																																																																																																																																																																																																																																																																																																																																																																																																																																																																																																																																																																																																																																																																																																																																																																																																																																																																																																																																																																																																																																																																																																																																																																																																																																																																																																																																																																																																																																																																																																																																																																																																																																																																																																																																																																																																																																																																																																																																																																																																																																																																																																																																																																																																																																																																																																																																																																																																																																																																																																																																							
Трансформаторная подстанция от здания															Dz, дБ															Ф-ла [14] [10]															7,1															8,5															10,5															12,9															15,6															18,4															21,3															24,3															27,2																																																																																																																																																																																																																																																																																																																																																																																																																																																																																																																																																																																																																																																																																																																																																																																																																																																																																																																																																																																																																																																																																																																																																																																																																																																																																																																																																																																																																																																																																																																																																																																																																																																																																																																																																																																																																																																																																																																																																																																																																																																																																																																																																																																																																																																																																																																																																																																																																																																																																																																																																																																																																																																																																																																																																																																																																																																																																																																																																																																																																																																																																																																																																																																																																																																																																																																																																																																																																																																																																																																																																																																																																																																																																																																																																																																																																																																																																																																																																																																																																																																																																																																																																																																																																																																																																																																																																																																																																																																																																																																																																																																																																																						
															Снижение УЗД, Абг, дБ															Ф-ла [13] [10]															7,1															8,5															10,5															12,9															15,6															18,4															21,3															24,3															27,2																																																																																																																																																																																																																																																																																																																																																																																																																																																																																																																																																																																																																																																																																																																																																																																																																																																																																																																																																																																																																																																																																																																																																																																																																																																																																																																																																																																																																																																																																																																																																																																																																																																																																																																																																																																																																																																																																																																																																																																																																																																																																																																																																																																																																																																																																																																																																																																																																																																																																																																																																																																																																																																																																																																																																																																																																																																																																																																																																																																																																																																																																																																																																																																																																																																																																																																																																																																																																																																																																																																																																																																																																																																																																																																																																																																																																																																																																																																																																																																																																																																																																																																																																																																																																																																																																																																																																																																																																																																																																																																																																																																																																																						
																														Промежуточные тонны:															Ф-ла [13] [10]															7,1															8,5															10,5															12,9															15,6															18,4															21,3															24,3															27,2																																																																																																																																																																																																																																																																																																																																																																																																																																																																																																																																																																																																																																																																																																																																																																																																																																																																																																																																																																																																																																																																																																																																																																																																																																																																																																																																																																																																																																																																																																																																																																																																																																																																																																																																																																																																																																																																																																																																																																																																																																																																																																																																																																																																																																																																																																																																																																																																																																																																																																																																																																																																																																																																																																																																																																																																																																																																																																																																																																																																																																																																																																																																																																																																																																																																																																																																																																																																																																																																																																																																																																																																																																																																																																																																																																																																																																																																																																																																																																																																																																																																																																																																																																																																																																																																																																																																																																																																																																																																																																																																																																																																																							
Трансформаторная подстанция от здания															Р-фактор [10] (6943,06;4638,62;12,07)															Ф-ла [13] [10]															7,1															8,5															10,5															12,9															15,6															18,4															21,3															24,3															27,2																																																																																																																																																																																																																																																																																																																																																																																																																																																																																																																																																																																																																																																																																																																																																																																																																																																																																																																																																																																																																																																																																																																																																																																																																																																																																																																																																																																																																																																																																																																																																																																																																																																																																																																																																																																																																																																																																																																																																																																																																																																																																																																																																																																																																																																																																																																																																																																																																																																																																																																																																																																																																																																																																																																																																																																																																																																																																																																																																																																																																																																																																																																																																																																																																																																																																																																																																																																																																																																																																																																																																																																																																																																																																																																																																																																																																																																																																																																																																																																																																																																																																																																																																																																																																																																																																																																																																																																																																																																																																																																																																																																																																																						
															Константа С2, учитывающая эффект отражения от земли возле экрана															Ф-ла [13] [10]															7,1															8,5															10,5															12,9															15,6															18,4															21,3															24,3															27,2																																																																																																																																																																																																																																																																																																																																																																																																																																																																																																																																																																																																																																																																																																																																																																																																																																																																																																																																																																																																																																																																																																																																																																																																																																																																																																																																																																																																																																																																																																																																																																																																																																																																																																																																																																																																																																																																																																																																																																																																																																																																																																																																																																																																																																																																																																																																																																																																																																																																																																																																																																																																																																																																																																																																																																																																																																																																																																																																																																																																																																																																																																																																																																																																																																																																																																																																																																																																																																																																																																																																																																																																																																																																																																																																																																																																																																																																																																																																																																																																																																																																																																																																																																																																																																																																																																																																																																																																																																																																																																																																																																																																																																						
															Константа С3 (дифракция на краях)															Ф-ла [13] [10]															7,1															8,5															10,5															12,9															15,6															18,4															21,3															24,3															27,2																																																																																																																																																																																																																																																																																																																																																																																																																																																																																																																																																																																																																																																																																																																																																																																																																																																																																																																																																																																																																																																																																																																																																																																																																																																																																																																																																																																																																																																																																																																																																																																																																																																																																																																																																																																																																																																																																																																																																																																																																																																																																																																																																																																																																																																																																																																																																																																																																																																																																																																																																																																																																																																																																																																																																																																																																																																																																																																																																																																																																																																																																																																																																																																																																																																																																																																																																																																																																																																																																																																																																																																																																																																																																																																																																																																																																																																																																																																																																																																																																																																																																																																																																																																																																																																																																																																																																																																																																																																																																																																																																																																																																																						
Трансформаторная подстанция от здания															K-фактор (влияние метеорологии)															Ф-ла [13] [10]															7,1															8,5															10,5															12,9															15,6															18,4															21,3															24,3															27,2																																																																																																																																																																																																																																																																																																																																																																																																																																																																																																																																																																																																																																																																																																																																																																																																																																																																																																																																																																																																																																																																																																																																																																																																																																																																																																																																																																																																																																																																																																																																																																																																																																																																																																																																																																																																																																																																																																																																																																																																																																																																																																																																																																																																																																																																																																																																																																																																																																																																																																																																																																																																																																																																																																																																																																																																																																																																																																																																																																																																																																																																																																																																																																																																																																																																																																																																																																																																																																																																																																																																																																																																																																																																																																																																																																																																																																																																																																																																																																																																																																																																																																																																																																																																																																																																																																																																																																																																																																																																																																																																																																																																																																						
															Dz, дБ															Ф-ла [13] [10]															7,1															8,5															10,5															12,9															15,6															18,4															21,3															24,3															27,2																																																																																																																																																																																																																																																																																																																																																																																																																																																																																																																																																																																																																																																																																																																																																																																																																																																																																																																																																																																																																																																																																																																																																																																																																																																																																																																																																																																																																																																																																																																																																																																																																																																																																																																																																																																																																																																																																																																																																																																																																																																																																																																																																																																																																																																																																																																																																																																																																																																																																																																																																																																																																																																																																																																																																																																																																																																																																																																																																																																																																																																																																																																																																																																																																																																																																																																																																																																																																																																																																																																																																																																																																																																																																																																																																																																																																																																																																																																																																																																																																																																																																																																																																																																																																																																																																																																																																																																																																																																																																																																																																																																																																																						
															Снижение УЗД, Абг, дБ															Ф-ла [13] [10]															7,1															8,5															10,5															12,9															15,6															18,4															21,3															24,3															27,2																																																																																																																																																																																																																																																																																																																																																																																																																																																																																																																																																																																																																																																																																																																																																																																																																																																																																																																																																																																																																																																																																																																																																																																																																																																																																																																																																																																																																																																																																																																																																																																																																																																																																																																																																																																																																																																																																																																																																																																																																																																																																																																																																																																																																																																																																																																																																																																																																																																																																																																																																																																																																																																																																																																																																																																																																																																																																																																																																																																																																																																																																																																																																																																																																																																																																																																																																																																																																																																																																																																																																																																																																																																																																																																																																																																																																																																																																																																																																																																																																																																																																																																																																																																																																																																																																																																																																																																																																																																																																																																																																																																																																																						
Общее снижение уровня звука препятствием Абг, дБ															Экранирование (Абг, дБ)															2,9															3,7															4,7															6,1															7,8															9,9															12,4															15,1															17,9																																																																																																																																																																																																																																																																																																																																																																																																																																																																																																																																																																																																																																																																																																																																																																																																																																																																																																																																																																																																																																																																																																																																																																																																																																																																																																																																																																																																																																																																																																																																																																																																																																																																																																																																																																																																																																																																																																																																																																																																																																																																																																																																																																																																																																																																																																																																																																																																																																																																																																																																																																																																																																																																																																																																																																																																																																																																																																																																																																																																																																																																																																																																																																																																																																																																																																																																																																																																																																																																																																																																																																																																																																																																																																																																																																																																																																																																																																																																																																																																																																																																																																																																																																																																																																																																																																																																																																																																																																																																																																																																																																																																																																																					
															Уровни звукового давления от источника ИШ-16. Клапан кислородных баллонов в расчётной точке днём, дБ															Ф-ла [13] [10]															0															29,3															26,5															16,1															3,3															0															0															0															0															0															12,9															12,9																																																																																																																																																																																																																																																																																																																																																																																																																																																																																																																																																																																																																																																																																																																																																																																																																																																																																																																																																																																																																																																																																																																																																																																																																																																																																																																																																																																																																																																																																																																																																																																																																																																																																																																																																																																																																																																																																																																																																																																																																																																																																																																																																																																																																																																																																																																																																																																																																																																																																																																																																																																																																																																																																																																																																																																																																																																																																																																																																																																																																																																																																																																																																																																																																																																																																																																																																																																																																																																																																																																																																																																																																																																																																																																																																																																																																																																																																																																																																																																																																																																																																																																																																																																																																																																																																																																																																																																																																																																																																																																																																																																									
															Уровни звукового давления от источника ИШ-16. Клапан кислородных баллонов в расчётной точке ночью, дБ															Ф-ла [13] [10]															0															29,3															26,5															16,1															3,3															0															0															0															0															0															12,9															12,9																																																																																																																																																																																																																																																																																																																																																																																																																																																																																																																																																																																																																																																																																																																																																																																																																																																																																																																																																																																																																																																																																																																																																																																																																																																																																																																																																																																																																																																																																																																																																																																																																																																																																																																																																																																																																																																																																																																																																																																																																																																																																																																																																																																																																																																																																																																																																																																																																																																																																																																																																																																																																																																																																																																																																																																																																																																																																																																																																																																																																																																																																																																																																																																																																																																																																																																																																																																																																																																																																																																																																																																																																																																																																																																																																																																																																																																																																																																																																																																																																																																																																																																																																																																																																																																																																																																																																																																																																																																																																																																																																																																									
Источник шума: ИШ-17. Нагнетатель камеры всаса, координаты источника (х,у,z), м =[6886,47;4708,84;1,00]																																																																																																																																																																																																																																																																																																																																																																																																																																																																																																																																																																																																																																																																																																																																																																																																																																																																																																																																																																																																																																																																																																																																																																																																																																																																																																																																																																																																																																																																																																																																																																																																																																																																																																																																																																																																																																																																																																																																																																																																																																																																																																																																																																																																																																																																																																																																																																																																																																																																																																																																																																																																																																																																																																																																																																																																																																																																																																																																																																																																																																																																																																																																																																																																																																																																																																																																																																																																																																																																																																																																																																																																																																																																																																																																																																																																																																																																																																																																																																																																																																																																																																																																																																																																																																																																																																																																																																																																																																																																																																																																																																																																																																																																																																																																																																																																											

1															2		3	4	5	6	7	8	9	10	11	12	13																																	
Траектория слева от экрана	Константа С2, учитывающая эффект отражения от земли возле экрана																	20	20	20	20	20	20	20	20	20	20	20																																
	Константа С3 (дифракция на краяхах)																	1,7	2,3	2,8	2,9	3	3	3	3	3	3	3	3																															
	K _{тот} (влияние метеословий)																	Ф-ла (18) [10]																																										
	Dz, дБ																	1	1	1	1	1	1	1	1	1	1	1																																
	Снижение УЗД, Ават, дБ																	14,7	18,9	22,5	25,7	28,8	31,8	34,8	37,8	40,8																																		
Траектория справа от экрана	Промежуточные тоны: Р _Ф хУ, дБ = 86(1,10,409,11,3,10) (861,10,409,11,3,10)																	14,7	18,9	22,5	25,7	28,8	31,8	34,8	37,8	40,8																																		
	Константа С2, учитывающая эффект отражения от земли возле экрана																	Ф-ла (15) [10]																																										
	Константа С3 (дифракция на краяхах)																	2,9	3	3	3	3	3	3	3	3	3	3	3																															
	K _{тот} (влияние метеословий)																	1	1	1	1	1	1	1	1	1	1	1																																
	Dz, дБ																	34,3	37,4	40,4	43,4	46,4	49,5	52,5	55,5	58,5																																		
Общее снижение уровня звука прилегающим Ават, дБ	Снижение УЗД, Ават, дБ																	34,3	37,4	40,4	43,4	46,4	49,5	52,5	55,5	58,5																																		
	Эк-стумма(Ават...) 4,5																	5	5,6	6,4	7,7	9,5	11,7	14,3	17																																			
	Уровни звукового давления от источника ИШ-20. Трансформатор ЦЭН в расчётной точке днём, дБ																	0	31,5	29,2	19,2	6,7	0	0	0	0	0	15,8	15,8																															
	Уровни звукового давления от источника ИШ-20. Трансформатор ЦЭН в расчётной точке ночью, дБ																	0	31,5	29,2	19,2	6,7	0	0	0	0	0	15,8	15,8																															
	Источник шума: ИШ-21. Трансформатор ЦЭН, координаты источника (х,у,г), м =[6585;10,4033;99,9,00]																																																											
Траектория над экраном	Уровни звуковой мощности источника днём, лм, дБ																	исходные данные											0	109,7	108,8	102,3	96,8	92,5	88,2	83,4	79,1																							
	Уровни звуковой мощности источника ночью, лм, дБ																	исходные данные											0	109,7	108,8	102,3	96,8	92,5	88,2	83,4	79,1																							
	Поправка на телесный угол Ω, дБ																	Ω = 6,28											3	3	3	3	3	3	3	3	3																							
	Показатель направленности источника D _г , дБ																	исходные данные											0	0	0	0	0	0	0	0	0																							
	Поправка на направленность источника D _с , дБ																	D _с + D _г											3	3	3	3	3	3	3	3	3																							
	Затухание из-за геометрической дивергенции, Адв, дБ																	Ф-ла (7) [10]											81,6																															
	Коэффициент затухания звука в атмосфере α, дБ/км																	Ф-ла (5) [9]											0,02	0,09	0,33	1,12	2,79	4,98	9,04	23,09	77,63																							
	Учет затухания звука в атмосфере Аатм, дБ																	Ф-ла (8) [10]											0,1	0,3	1,1	3,8	9,5	16,9	30,7	78,4	263,5																							
	Снижение поверхностью земли возле источника Аз, дБ																	G _с = 0 H _г = 9м											-1,5	-1,5	-1,5	-1,5	-1,5	-1,5	-1,5	-1,5	-1,5																							
	Снижение поверхностью земли возле приёмника Аг, дБ																	G _г = 0 H _г = 1,5м											-1,5	-1,5	-1,5	-1,5	-1,5	-1,5	-1,5	-1,5	-1,5																							
Снижение поверхностью земли в средней зоне, Ап дБ																	G _м = 0											-2,7	-2,7	-2,7	-2,7	-2,7	-2,7	-2,7	-2,7	-2,7																								
Суммарное снижение поверхностью земли на траектории распространения звука Агг, дБ																	Ф-ла (9) [10]											-5,7	-5,7	-5,7	-5,7	-5,7	-5,7	-5,7	-5,7	-5,7																								
Снижение уровня звукового давления из-за влияния застройки между источником шума и расчётной точкой																																																												
Длина звуковой волны для среднегеометрической частоты октавной полосы λ, м																	10,79											5,4	2,72	1,36	0,68	0,34	0,17	0,09	0,04																									
Критерий наличия экранирования в горизонтальной плоскости																	Выр λλ											дБ	дБ	дБ	дБ	дБ	дБ	дБ	дБ	дБ																								
Промежуточные тоны: Р _Ф хУ, дБ = 86(1,10,409,11,3,10) (861,10,409,11,3,10)																	45,1 + 24,70 м											дБ = 330(4,73) м											дБ = 46,93 м											дБ = 2,06 м										
Константа С2, учитывающая эффект отражения от земли возле экрана																	20											20	20	20	20	20	20	20	20	20	20	20	20	20	20																			
Константа С3 (дифракция на краяхах)																	Ф-ла (15) [10]											1,7	2,3	2,8	2,9	3	3	3	3	3	3	3	3	3																				
K _{тот} (влияние метеословий)																	Ф-ла (18) [10]											0	0	0	0	0	0	0	0	0	0	0	0	0																				
Dz, дБ																	Ф-ла (14) [10]											4,9	5,2	5,7	6,5	7,8	9,6	11,8	14,4	17,1																								
Снижение УЗД, Ават, дБ																	Ф-ла (12) [10]											4,9	5,2	5,7	6,5	7,8	9,6	11,8	14,4	17,1																								

1																2	3	4	5	6	7	8	9	10	11	12	13
Траектория слева от экрана	Константа С3 (дифракция на краяхах)		Ф-ла (15) [10]		1,7	2,3	2,8	2,9	3	3	3	3	3	3													
	K _{тот} (влияние метеосуловий)		Ф-ла (18) [10]		1	1	1	1	1	1	1	1	1	1	1	1											
	Dz, дБ		Ф-ла (14) [10]		14,8	19	22,6	25,8	28,9	31,9	34,9	37,9	40,9														
	Снижение УЗД, Абг, дБ		Ф-ла (13) [10]		14,8	19	22,6	25,8	28,9	31,9	34,9	37,9	40,9														
	Промежуточные тоны: Р _Ф хУ, дБ = 86(1,10,409,11,3,10) Константа С2, учитывающая эффект отражения от земли возле экрана		Ф-ла (13) [10]		20	20	20	20	20	20	20	20	20	20	20	20											
Траектория справа от экрана	Константа С3 (дифракция на краяхах)		Ф-ла (15) [10]		2,9	3	3	3	3	3	3	3	3	3	3	3											
	K _{тот} (влияние метеосуловий)		Ф-ла (18) [10]		1	1	1	1	1	1	1	1	1	1	1	1											
	Dz, дБ		Ф-ла (14) [10]		34,4	37,5	40,5	43,5	46,5	49,5	52,5	55,5	58,5														
	Снижение УЗД, Абг, дБ		Ф-ла (13) [10]		34,4	37,5	40,5	43,5	46,5	49,5	52,5	55,5	58,5														
	Эк-стумма(Абгг, дБ)		Эк-стумма(Абгг, дБ)		4,5	5	5,6	6,5	7,8	9,6	11,9	14,4	17,2														
Общее снижение уровня звука препятствием Абгг, дБ					Ф-ла(19) [10]		0	27,7	25,3	15,3	2,8	0	0	0	0	11,8	11,8	11,8									
Уровни звукового давления от источника ИШ-19. Трансформатор ЦЭН в расчётной точке днём, дБ					Ф-ла(19) [10]		0	27,7	25,3	15,3	2,8	0	0	0	0	11,8	11,8	11,8									
Уровни звукового давления от источника ИШ-19. Трансформатор ЦЭН в расчётной точке ночью, дБ					Ф-ла(19) [10]		0	27,7	25,3	15,3	2,8	0	0	0	0	11,8	11,8	11,8									
Источник шума: ИШ-20. Трансформатор ЦЭН, координаты источника (х,у,г), м =[6582,74,4034;88,9,00]																											
Уровни звуковой мощности источника днём, лм, дБ					исходные данные		0	109,7	108,8	102,3	96,8	92,5	88,2	83,4	79,1												
Уровни звуковой мощности источника ночью, лм, дБ					исходные данные		0	109,7	108,8	102,3	96,8	92,5	88,2	83,4	79,1												
Поправка на телесный угол Ω, дБ					Ω = 6,28		3	3	3	3	3	3	3	3	3	3	3	3	3								
Показатель направленности источника Dг, дБ					исходные данные		0	0	0	0	0	0	0	0	0	0	0	0	0								
Поправка на направленность источника Dс, дБ					Dс + Dг		3	3	3	3	3	3	3	3	3	3	3	3	3								
Затухание из-за геометрической дивергенции Адв, дБ					Ф-ла (7) [10]		81,6																				
Коэффициент затухания звука в атмосфере α, дБ/км					Ф-ла (5) [9]		0,02	0,09	0,33	1,12	2,79	4,98	9,04	23,09	77,63												
Учет затухания звука в атмосфере Аатм, дБ					Ф-ла (8) [10]		0,1	0,3	1,1	3,8	9,5	16,9	30,7	78,3	263,3												
Снижение поверхностью земли возле источника Аз, дБ					Gс = 0 Hг = 9м		-1,5	-1,5	-1,5	-1,5	-1,5	-1,5	-1,5	-1,5	-1,5	-1,5	-1,5	-1,5	-1,5								
Снижение поверхностью земли возле приёмника Аг, дБ					Gг = 0 Hг = 1,5м		-1,5	-1,5	-1,5	-1,5	-1,5	-1,5	-1,5	-1,5	-1,5	-1,5	-1,5	-1,5	-1,5								
Снижение поверхностью земли в средней зоне, Ап дБ					Gм = 0		-2,7	-2,7	-2,7	-2,7	-2,7	-2,7	-2,7	-2,7	-2,7	-2,7	-2,7	-2,7	-2,7								
Суммарное снижение поверхностью земли на траектории распространения звука Абг, дБ					Ф-ла (9) [10]		-5,7	-5,7	-5,7	-5,7	-5,7	-5,7	-5,7	-5,7	-5,7	-5,7	-5,7	-5,7	-5,7								
Снижение уровня звукового давления из-за влияния застройки между источником шума и расчётной точкой																											
Длина звуковой волны для среднегеометрической частоты октавной полосы λ, м					10,79		5,4	2,72	1,36	0,68	0,34	0,17	0,09	0,04													
Критерий наличия экранирования в горизонтальной плоскости					Выр λλ		дБ	дБ	дБ	дБ	дБ	дБ	дБ	дБ	дБ	дБ	дБ	дБ	дБ								
Промежуточные тоны: Р _Ф хУ, дБ = 86(1,10,409,11,3,10) Константа С2, учитывающая эффект отражения от земли возле экрана					Ф-ла (15) [10]		20	20	20	20	20	20	20	20	20	20	20	20	20								
Константа С3 (дифракция на краяхах)					Ф-ла (15) [10]		1,6	2,3	2,8	2,9	3	3	3	3	3	3	3	3	3								
K _{тот} (влияние метеосуловий)					Ф-ла (18) [10]		0	0	0	0	0	0	0	0	0	0	0	0	0								
Dz, дБ					Ф-ла (14) [10]		4,9	5,2	5,7	6,5	7,8	9,5	11,7	14,3	17												
Снижение УЗД, Абг, дБ					Ф-ла (12) [10]		4,9	5,2	5,7	6,5	7,8	9,5	11,7	14,3	17												
Промежуточные тоны: Р _Ф хУ, дБ = 86(1,10,409,11,3,10) Константа С2, учитывающая эффект отражения от земли возле экрана					Ф-ла (15) [10]		20	20	20	20	20	20	20	20	20	20	20	20	20								
Траектория над экраном																											

1			2			3	4	5	6	7	8	9	10	11	12	13
Уровни звуковой мощности источника ночью, Lw, дБ			исходные данные			0	102,9	102	95,5	90	85,7	81,4	76,6	72,3		
Поправка на телесный угол DΣ, дБ			10lg(4πΩ)			3	3	3	3	3	3	3	3	3		
Показатель направленности источника Di, дБ			исходные данные			0	0	0	0	0	0	0	0	0	0	0
Поправка на направленность источника Dc, дБ			DΣ + Di			3	3	3	3	3	3	3	3	3		
Заглушение из-за геометрической дивергенции, Adiv, дБ			φ-ла (7) [10]			79,4										
Коэффициент затухания звука в атмосфере α, дБ/км	T=20,°C P=101,33кПа hотн=70%		φ-ла (5) [9]			0,02	0,09	0,33	1,12	2,79	4,98	9,04	23,09	77,63		
Учет затухания звука в атмосфере Aатм, дБ			φ-ла (8) [10]			0,1	0,2	0,9	3	7,3	13,1	23,8	60,7	204,2		
Снижение поверхности земли возле источника As, дБ	Gс = 0 hs = 2м		φ-ла таб.3 [10]			-1,5	-1,5	-1,5	-1,5	-1,5	-1,5	-1,5	-1,5	-1,5		
	Gr = 0 hr = 1,5м		φ-ла таб.3 [10]			-1,5	-1,5	-1,5	-1,5	-1,5	-1,5	-1,5	-1,5	-1,5		
Снижение поверхности земли в средней зоне, Ап дБ	Gп = 0		φ-ла таб.3 [10]			-2,9	-2,9	-2,9	-2,9	-2,9	-2,9	-2,9	-2,9	-2,9		
Суммарное снижение поверхности земли на траектории распространения звука Aср, дБ			φ-ла (9) [10]			-5,9	-5,9	-5,9	-5,9	-5,9	-5,9	-5,9	-5,9	-5,9		
Уровни звукового давления прямого звука от источника ИШ-29. Шум проникающий через окна насосной градирни в расчётной точке днём, дБ			φ-ла [3] [10]			0	32,2	30,6	22	12,2	0	0	0	0	17,9	17,9
Уровни звукового давления прямого звука от источника ИШ-29. Шум проникающий через окна насосной градирни в расчётной точке ночью, дБ			φ-ла [3] [10]			0	32,2	30,6	22	12,2	0	0	0	0	17,9	17,9
Расчёт отражённого звука																
Уровни звукового давления от местного источника ИШ-29. Шум проникающий через окна насосной градирни_ин.(1) в расчётной точке днём, дБ	исходные данные			φ-ла [3] [10]			0	31,2	29,6	21,1	11,2	0	0	0	17	17
Уровни звукового давления от местного источника ИШ-29. Шум проникающий через окна насосной градирни_ин.(1) в расчётной точке ночью, дБ			φ-ла [3] [10]			0	0	0	0	0	0	0	0	0	17	17
Уровни звукового давления от источника ИШ-29. Шум проникающий через окна насосной градирни в расчётной точке днём, дБ			φ-ла [3] [10]			0	34,7	33,2	24,6	14,7	0	0	0	0	20,5	20,5
Уровни звукового давления от источника ИШ-29. Шум проникающий через окна насосной градирни в расчётной точке ночью, дБ			φ-ла [3] [10]			0	34,7	33,2	24,6	14,7	0	0	0	0	20,5	20,5
Источники шума: ИШ-33. Шум проникающий через ворота, координаты источника (х,у,z), м			=[7719,47;5445,02;2,00]													
Уровни звуковой мощности источника днём, Lw, дБ			исходные данные			0	103,3	102,4	95,9	90,4	86,1	81,8	77	72,7		
Уровни звуковой мощности источника ночью, Lw, дБ			исходные данные			0	103,3	102,4	95,9	90,4	86,1	81,8	77	72,7		
Поправка на телесный угол DΣ, дБ			10lg(4πΩ)			3	3	3	3	3	3	3	3	3		
Показатель направленности источника Di, дБ			исходные данные			0	0	0	0	0	0	0	0	0	0	0
Поправка на направленность источника Dc, дБ			DΣ + Di			3	3	3	3	3	3	3	3	3		
Заглушение из-за геометрической дивергенции, Adiv, дБ			φ-ла (7) [10]			82,5										
Коэффициент затухания звука в атмосфере α, дБ/км	T=20,°C P=101,33кПа hотн=70%		φ-ла (5) [9]			0,02	0,09	0,33	1,12	2,79	4,98	9,04	23,09	77,63		
Учет затухания звука в атмосфере Aатм, дБ			φ-ла (8) [10]			0,1	0,3	1,3	4,2	10,5	18,8	34,1	87,1	292,7		
Снижение поверхности земли возле источника As, дБ	Gс = 0 hs = 2м		φ-ла таб.3 [10]			-1,5	-1,5	-1,5	-1,5	-1,5	-1,5	-1,5	-1,5	-1,5		
	Gr = 0 hr = 1,5м		φ-ла таб.3 [10]			-1,5	-1,5	-1,5	-1,5	-1,5	-1,5	-1,5	-1,5	-1,5		
Снижение поверхности земли в средней зоне, Ап дБ	Gп = 0		φ-ла таб.3 [10]			-2,9	-2,9	-2,9	-2,9	-2,9	-2,9	-2,9	-2,9	-2,9		
Суммарное снижение поверхности земли на траектории распространения звука Aср, дБ			φ-ла (9) [10]			-5,9	-5,9	-5,9	-5,9	-5,9	-5,9	-5,9	-5,9	-5,9		
Снижение уровня звукового давления из-за влияния застройки между источником шума и расчётной точкой																
Длина звуковой волны для среднегеометрической частоты октавной полосы λ, м						10,79	5,4	2,72	1,36	0,68	0,34	0,17	0,09	0,04		
Критерий наличия экранирования в горизонтальной плоскости	Горизонтальный размер здания, λпр > λ, м			да			да	да	да	да	да	да	да	да	да	да
	Промежуточные значения: Pн < 0,1 = (889,5; 5,632; 8,11; 23) Pн < 0,1 = (717,83; 3445,57; 5,86) (889,5; 5,632; 8,11; 23)			да			да	да	да	да	да	да	да	да	да	да

1			2		3	4	5	6	7	8	9	10	11	12	13	
Траектория справа от здания	Константа C ₂ , учитывающая эффект экранирования от земли возле здания				20	20	20	20	20	20	20	20	20	20		
	Константа C ₃ (дифракция на кровле)				1	1	1	1	1	1	1	1	1	1		
	K _{пол} (важные метеорологии)				1	1	1	1	1	1	1	1	1	1		
	D _z , дБ				7,7	9,4	11,6	14,2	16,9	19,8	22,7	25,7	28,7			
	Снижение A _{дв} , дБ				7,7	9,4	11,6	14,2	16,9	19,8	22,7	25,7	28,7			
Общие снижение уровня звука препятствием A _{авг} , дБ					2,6	3,3	3,9	4,3	4,5	4,6	4,7	4,7	4,8			
Уровни звукового давления прямого звука от источника ИШ-27. Шум от 3-х секционной градирни в расчётной точке днём, дБ					0	36,3	34,2	25,3	15,2	5	0	0	0	21,5	21,5	
Уровни звукового давления прямого звука от источника ИШ-27. Шум от 3-х секционной градирни в расчётной точке ночью, дБ					0	36,3	34,2	25,3	15,2	5	0	0	0	21,5	21,5	
Расчёт отражённого звука																
Уровни звукового давления от местного источника ИШ-27. Шум от 3-х секционной градирни_ин.(1) в расчётной точке днём, дБ					0	0	0	25	14,5	4	0	0	0	17,7	17,7	
Уровни звукового давления от местного источника ИШ-27. Шум от 3-х секционной градирни_ин.(1) в расчётной точке ночью, дБ					0	0	0	0	0	0	0	0	0	17,7	17,7	
Уровни звукового давления от источника ИШ-27. Шум от 3-х секционной градирни в расчётной точке днём, дБ					0	36,3	34,2	28,1	17,9	7,5	0	0	0	23	23	
Уровни звукового давления от источника ИШ-27. Шум от 3-х секционной градирни в расчётной точке ночью, дБ					0	36,3	34,2	28,1	17,9	7,5	0	0	0	23	23	
Источник шума: ИШ-28. Шум от 3-х секционной градирни, координаты источника (х,у,z), м =[6187,40;4858,08;12,50]																
Уровни звуковой мощности источника днём, Lw, дБ					исходные данные		0	102,9	102	95,5	90	85,7	81,4	76,6	72,3	
Уровни звуковой мощности источника ночью, Lw, дБ					исходные данные		0	102,9	102	95,5	90	85,7	81,4	76,6	72,3	
Поправка на телесный угол D _Σ , дБ					10lg(4πΩ)		3	3	3	3	3	3	3	3	3	
Показатель направленности источника D _i , дБ					исходные данные		0	0	0	0	0	0	0	0	0	0
Поправка на направленность источника D _c , дБ					D _c		3	3	3	3	3	3	3	3	3	
Заглушение из-за геометрической дивергенции A _{div} , дБ					φ-ла (7) [10]		79,2									
Коэффициент затухания звука в атмосфере α, дБ/км	T=20,°C P=101,33кПа hотн=70%				φ-ла (5) [9]		0,02	0,09	0,33	1,12	2,79	4,98	9,04	23,09	77,63	
Учет затухания звука в атмосфере A _{атм} , дБ					φ-ла (8) [10]		0,1	0,2	0,9	2,9	7,2	12,8	23,3	59,4	199,9	
Снижение поверхностью земли возле источника A _з , дБ	G _с = 0 h _с = 0,1м				φ-ла таб.3 [10]		-1,5	-1,5	-1,5	-1,5	-1,5	-1,5	-1,5	-1,5	-1,5	
	G _г = 0 h _г = 1,5м				φ-ла таб.3 [10]		-1,5	-1,5	-1,5	-1,5	-1,5	-1,5	-1,5	-1,5	-1,5	
Снижение поверхностью земли в средней зоне, A _п дБ	G _п = 0				φ-ла таб.3 [10]		-2,9	-2,9	-2,9	-2,9	-2,9	-2,9	-2,9	-2,9	-2,9	
Суммарное снижение поверхностью земли на траектории распространения звука A _{ср} , дБ					φ-ла (9) [10]		-5,9	-5,9	-5,9	-5,9	-5,9	-5,9	-5,9	-5,9	-5,9	
Уровни звукового давления прямого звука от источника ИШ-28. Шум от 3-х секционной градирни в расчётной точке днём, дБ					φ-ла [3] [10]		0	32,4	30,9	22,3	12,6	0	0	0	18,2	18,2
Уровни звукового давления прямого звука от источника ИШ-28. Шум от 3-х секционной градирни в расчётной точке ночью, дБ					φ-ла [3] [10]		0	32,4	30,9	22,3	12,6	0	0	0	18,2	18,2
Расчёт отражённого звука																
Уровни звукового давления от местного источника ИШ-28. Шум от 3-х секционной градирни_ин.(1) в расчётной точке днём, дБ					φ-ла [3] [10]		0	0	0	17,7	7,4	0	0	0	10,3	10,3
Уровни звукового давления от местного источника ИШ-28. Шум от 3-х секционной градирни_ин.(1) в расчётной точке ночью, дБ					φ-ла [3] [10]		0	0	0	0	0	0	0	0	10,3	10,3
Уровни звукового давления от источника ИШ-28. Шум от 3-х секционной градирни в расчётной точке днём, дБ					φ-ла [3] [10]		0	32,4	30,9	23,6	13,7	0	0	0	18,9	18,9
Уровни звукового давления от источника ИШ-28. Шум от 3-х секционной градирни в расчётной точке ночью, дБ					φ-ла [3] [10]		0	32,4	30,9	23,6	13,7	0	0	0	18,9	18,9
Источник шума: ИШ-29. Шум проникающий через окна наосной градирни, координаты источника (х,у,z), м =[6210,70;4793,24;2,00]																
Уровни звуковой мощности источника днём, Lw, дБ					исходные данные		0	102,9	102	95,5	90	85,7	81,4	76,6	72,3	

1			2			3			4			5			6			7			8			9			10			11			12			13					
Уровни звукового давления от минного источника ИШ-34. Вытяжка РМЦ, Пенцастрой_ин(1) в расчётной точке днём, дБ			Ф-ла(8)[10]			0			28,5			26,3			17,9			7,4			0			0			0			0			13,7			13,7					
			Ф-ла(8)[10]			0			0			0			0			0			0			0			0			0			0			13,7			13,7		
			Ф-ла(8)[10]			0			32			30,1			21,5			11			0			0			0			0			17,4			17,4					
			Ф-ла(8)[10]			0			32			30,1			21,5			11			0			0			0			0			17,4			17,4					
			Ф-ла(8)[10]			0			32			30,1			21,5			11			0			0			0			0			17,4			17,4					
Источники шума: ИШ-36. Вентиляция на фасаде депо, координаты источника (х,у,z), м =[6962,49;6202,57;1,50]			исходные данные			0			95,9			88,5			83			78,7			74,4			69,6			65,3														
Уровни звуковой мощности источника днём, лw, дБ			исходные данные			0			95,9			88,5			83			78,7			74,4			69,6			65,3														
Уровни звуковой мощности источника ночью, лw, дБ			исходные данные			0			95,9			88,5			83			78,7			74,4			69,6			65,3														
Поправка на телесный угол Ω, дБ			Ω = 6,28			3			3			3			3			3			3			3			3			3			3			3					
Показатель направленности источника Di, дБ			исходные данные			0			0			0			0			0			0			0			0			0			0			0					
Поправка на направленность источника Dc, дБ			Dc			3			3			3			3			3			3			3			3			3			3			3					
Затухание из-за геометрической дивергенции Adiv, дБ			расстояние = 2920,77 м			Ф-ла (7) [10]			80,3																																
Коэффициент затухания звука в атмосфере α, дБ/км			Tair=20,°C P=10133Па hотн.=70%			Ф-ла (5) [9]			0,02			0,09			0,33			1,12			2,79			4,98			9,04			23,09			77,63								
Учет затухания звука в атмосфере Aatm, дБ						Ф-ла (8) [10]			0,1			0,3			1			3,3			8,2			14,5			26,4			67,4			226,7								
Снижение поверхностью земли возле источника Δz, дБ			Gz = 0 Hг = 1,5м			Ф-ла таб.3 [10]			-1,5			-1,5			-1,5			-1,5			-1,5			-1,5			-1,5			-1,5			-1,5			-1,5					
Снижение поверхностью земли возле приёмника Δг, дБ			Gr = 0 Hг = 1,5м			Ф-ла таб.3 [10]			-1,5			-1,5			-1,5			-1,5			-1,5			-1,5			-1,5			-1,5			-1,5			-1,5					
Снижение поверхностью земли в средней зоне, Δп, дБ			Gm = 0			Ф-ла таб.3 [10]			-2,9			-2,9			-2,9			-2,9			-2,9			-2,9			-2,9			-2,9			-2,9			-2,9					
Суммарное снижение поверхностью земли на траектории распространения звука Aзг, дБ						Ф-ла (9) [10]			-5,9			-5,9			-5,9			-5,9			-5,9			-5,9			-5,9			-5,9			-5,9			-5,9					
Уровни звукового давления прямого звука от источника ИШ-36. Вентиляция на фасаде депо в расчётной точке днём, дБ			Ф-ла(8)[10]			0			24,2			22,6			13,8			0			0			0			0			0			9,3			9,3					
Уровни звукового давления прямого звука от источника ИШ-36. Вентиляция на фасаде депо в расчётной точке ночью, дБ			Ф-ла(8)[10]			0			24,2			22,6			13,8			0			0			0			0			0			9,3			9,3					
Расчёт отражённого звука																																									
Уровни звукового давления от минного источника ИШ-36. Вентиляция на фасаде депо_ин(1) в расчётной точке днём, дБ			Ф-ла(8)[10]			0			23,3			21,6			12,8			0			0			0			0			0			8,3			8,3					
			Ф-ла(8)[10]			0			0			0			0			0			0			0			0			0			8,3			8,3					
			Ф-ла(8)[10]			0			26,8			25,2			16,4			0			0			0			0			0			11,8			11,8					
			Ф-ла(8)[10]			0			26,8			25,2			16,4			0			0			0			0			0			11,8			11,8					
			Ф-ла(8)[10]			0			26,8			25,2			16,4			0			0			0			0			0			11,8			11,8					
Источники шума: ИШ-37. Вытяжка наждачного станка (Пенцастрой), координаты источника (х,у,z), м =[7102,73;6231,84;2,00]			исходные данные			0			91,6			94,5			90,3			84,6			85,6			76,8			67,2			60,8											
Уровни звуковой мощности источника днём, лw, дБ			исходные данные			0			91,6			94,5			90,3			84,6			85,6			76,8			67,2			60,8											
Уровни звуковой мощности источника ночью, лw, дБ			исходные данные			0			91,6			94,5			90,3			84,6			85,6			76,8			67,2			60,8											
Поправка на телесный угол Ω, дБ			Ω = 6,28			3			3			3			3			3			3			3			3			3			3			3					
Показатель направленности источника Di, дБ			исходные данные			0			0			0			0			0			0			0			0			0			0			0					
Поправка на направленность источника Dc, дБ			Dc			3			3			3			3			3			3			3			3			3			3			3					
Затухание из-за геометрической дивергенции Adiv, дБ			расстояние = 3060,33 м			Ф-ла (7) [10]			80,7																																
Коэффициент затухания звука в атмосфере α, дБ/км			Tair=20,°C P=10133Па hотн.=70%			Ф-ла (5) [9]			0,02			0,09			0,33			1,12			2,79			4,98			9,04			23,09			77,63								
Учет затухания звука в атмосфере Aatm, дБ						Ф-ла (8) [10]			0,1			0,3			1			3,4			8,5			15,2			27,7			70,7			237,6								
Снижение поверхностью земли возле источника Δz, дБ			Gz = 0 Hг = 2м			Ф-ла таб.3 [10]			-1,5			-1,5			-1,5			-1,5			-1,5			-1,5			-1,5			-1,5			-1,5			-1,5					
Снижение поверхностью земли возле приёмника Δг, дБ			Gr = 0 Hг = 1,5м			Ф-ла таб.3 [10]			-1,5			-1,5			-1,5			-1,5			-1,5			-1,5			-1,5			-1,5			-1,5			-1,5					

1		2		3	4	5	6	7	8	9	10	11	12	13	
Показатель направленности источника D _и , дБ	исходные данные														
		исходные данные													
Поправка на направленность источника D _с , дБ	D _с	D _с + D _и													
		80,6													
Затухание из-за геометрической дивергенции, A _{дв} , дБ	расстояние = 3008,34 м	φ-ла [7] [10]													
		T=20,2°C P=1013,33 гПа hотн=70%													
Коэффициент затухания звука в атмосфере α, дБ/км	φ-ла [5] [9]	0,02													
		0,09													
Учет затухания звука в атмосфере A _{атм} , дБ	φ-ла [8] [10]	0,1													
		0,3													
Снижение поверхностью земли возле источника A _з , дБ	φ-ла таб.3 [10]	-1,5													
		-1,5													
Снижение поверхностью земли возле приёмника A _г , дБ	φ-ла таб.3 [10]	-1,5													
		-1,5													
Снижение поверхностью земли в средней зоне, A _п , дБ	φ-ла таб.3 [10]	-2,9													
		-2,9													
Смоделированное снижение поверхности земли на траектории распространения звука A _{бг} , дБ	φ-ла [9] [10]	-5,9													
		-5,9													
Снижение уровня звукового давления из-за влияния застройки между источником шума и расчётной точкой															
Траектория над экраном	Длина звуковой волны для среднегеометрической частоты октавной полосы, λ, м	10,79	5,4	2,72	1,36	0,68	0,34	0,17	0,09	0,04					
	Критерий наличия экранирования в горизонтальной плоскости	Выр > λ	да	да	да	да	да	да	да	да	да	да	да	да	
	Промежуточные точки:	R _{экх,з,д} = 8933,57,6279,66,1,38	φ-ла [14] [10]												
		Константа C _э , учитывающая эффект отражения от земли возле экрана	20	20	20	20	20	20	20	20	20	20	20	20	20
	Константа C ₃ (дифракция на краяхах)	φ-ла (15) [10]	1	1	1	1	1	1	1	1	1	1	1	1	
		K _{экв} (влияние метеоусловий)	φ-ла (18) [10]	0	0	0	0	0	0	0	0	0	0	0	0
	D _з , дБ	φ-ла [14] [10]	4,8	4,8	4,8	4,8	4,8	4,8	4,8	4,8	4,8	4,8	4,8	4,8	4,8
		Снижение γ _{зд} , A _{абг} , дБ	φ-ла (12) [10]	4,8	4,8	4,8	4,8	4,8	4,8	4,8	4,8	4,8	4,8	4,8	4,8
	Промежуточные точки:	R _{экх,з,д} = 8933,57,6279,66,1,38	φ-ла [14] [10]												
		Константа C _э , учитывающая эффект отражения от земли возле экрана	20	20	20	20	20	20	20	20	20	20	20	20	20
	Константа C ₃ (дифракция на краяхах)	φ-ла (15) [10]	1	1	1	1	1	1	1	1	1	1	1	1	1
		K _{экв} (влияние метеоусловий)	φ-ла (18) [10]	1	1	1	1	1	1	1	1	1	1	1	1
	D _з , дБ	φ-ла [14] [10]	4,8	4,8	4,8	4,8	4,8	4,8	4,8	4,8	4,8	4,8	4,8	4,8	4,8
		Снижение γ _{зд} , A _{абг} , дБ	φ-ла (13) [10]	4,8	4,8	4,8	4,8	4,8	4,8	4,8	4,8	4,8	4,8	4,8	4,8
	Промежуточные точки:	R _{экх,з,д} = 8933,57,6279,66,1,38	φ-ла [14] [10]												
Константа C _э , учитывающая эффект отражения от земли возле экрана		20	20	20	20	20	20	20	20	20	20	20	20	20	
Константа C ₃ (дифракция на краяхах)	φ-ла (15) [10]	1	1	1	1	1	1	1	1	1	1	1	1	1	
	K _{экв} (влияние метеоусловий)	φ-ла (18) [10]	1	1	1	1	1	1	1	1	1	1	1	1	
D _з , дБ	φ-ла [14] [10]	13,4	16,1	18,9	21,8	24,8	27,8	30,8	33,8	36,8					
	Снижение γ _{зд} , A _{абг} , дБ	φ-ла (13) [10]	13,4	16,1	18,9	21,8	24,8	27,8	30,8	33,8	36,8				
Общее снижение уровня звука препятствием A _{абг} , дБ	Эк. сумма (A _{абг} ...)	1,5	1,6	1,7	1,7	1,7	1,7	1,8	1,8	1,8	1,8				
	Уровни звукового давления от источника ИШ-40, Вытяжка (Печенгастрой) в расчётной точке днём, дБ	φ-ла [10] [10]	0	24,9	32,3	31,8	14,6	0	0	0	0	24,3	24,3	24,3	
Уровни звукового давления от источника ИШ-40, Вытяжка (Печенгастрой) в расчётной точке ночью, дБ	φ-ла [10] [10]	0	24,9	32,3	31,8	14,6	0	0	0	0	24,3	24,3	24,3	24,3	
	Источники шума: ИШ-41, Вытяжка кузнечно-котельного участка (Печенгастрой), координаты источника (х,у,г), м = [7004,34,6307,56,2,00]														
Уровни звуковой мощности источника днём, L _в , дБ	исходные данные	0	98,4	105,6	108,6	96,4	90,9	80	75	67,8					
	исходные данные	0	98,4	105,6	108,6	96,4	90,9	80	75	67,8					

1		2		3	4	5	6	7	8	9	10	11	12	13
Снижение поверхностью земли возле источника Aз, дБ	φ-ла [15] [10]	-1,5	-1,5	-1,5	-1,5	-1,5	-1,5	-1,5	-1,5	-1,5	-1,5	-1,5	-1,5	-1,5
Снижение поверхностью земли возле приёмника Aг, дБ	φ-ла [16] [10]	-1,5	-1,5	-1,5	-1,5	-1,5	-1,5	-1,5	-1,5	-1,5	-1,5	-1,5	-1,5	-1,5
Снижение поверхностью земли в средней зоне, Ап, дБ	φ-ла [17] [10]	-2,9	-2,9	-2,9	-2,9	-2,9	-2,9	-2,9	-2,9	-2,9	-2,9	-2,9	-2,9	-2,9
Суммарное снижение поверхностно земли на траектории распространения звука Агр, дБ	φ-ла [9] [10]	-5,9	-5,9	-5,9	-5,9	-5,9	-5,9	-5,9	-5,9	-5,9	-5,9	-5,9	-5,9	-5,9
Снижение уровня звукового давления из-за влияния застройки между источником шума и расчётной точкой														
Длина звуковой волны для среднегеометрической частоты октавной полосы, λ, м	10,79	5,4	2,72	1,36	0,68	0,34	0,17	0,09	0,04					
Критерий наличия экранирования в горизонтальной плоскости	Выр > λ	да	да	да	да	да	да	да	да	да	да	да	да	да
Траектория над экраном	Промежуточные точки:	Rэкх,з,д = (8955,89,6285,55,12,38) (8955,89,6285,55,12,38)	φ-ла [14] [10]	20	20	20	20	20	20	20	20	20	20	20
Траектория слева от экрана	Промежуточные точки:	Rэкх,з,д = (7079,86,6291,54,2,01) (7079,86,6291,54,2,01)	φ-ла [15] [10]	1	1,1	1,5	2,1	2,7	2,9	3	3	3	3	3
Траектория справа от экрана	Промежуточные точки:	Rэкх,з,д = (8983,88,6271,62,1,99) (8983,88,6271,62,1,99)	φ-ла [16] [10]	0	0	0	0	0	0	0	0	0	0	0
Траектория слева от экрана	Промежуточные точки:	Rэкх,з,д = (7079,86,6291,54,2,01) (7079,86,6291,54,2,01)	φ-ла [17] [10]	20	20	20	20	20	20	20	20	20	20	20
Траектория справа от экрана	Промежуточные точки:	Rэкх,з,д = (8983,88,6271,62,1,99) (8983,88,6271,62,1,99)	φ-ла [18] [10]	2,6	2,9	3	3	3	3	3	3	3	3	3
Траектория слева от экрана	Промежуточные точки:	Rэкх,з,д = (7079,86,6291,54,2,01) (7079,86,6291,54,2,01)	φ-ла [19] [10]	1	1	1	1	1	1	1	1	1	1	1
Траектория справа от экрана	Промежуточные точки:	Rэкх,з,д = (8983,88,6271,62,1,99) (8983,88,6271,62,1,99)	φ-ла [20] [10]	31,4	34,8	37,9	40,9	44	47	50	53	56	56	56
Траектория слева от экрана	Промежуточные точки:	Rэкх,з,д = (7079,86,6291,54,2,01) (7079,86,6291,54,2,01)	φ-ла [21] [10]	20	20	20	20	20	20	20	20	20	20	20
Траектория справа от экрана	Промежуточные точки:	Rэкх,з,д = (8983,88,6271,62,1,99) (8983,88,6271,62,1,99)	φ-ла [22] [10]	2,6	2,9	3	3	3	3	3	3	3	3	3
Траектория слева от экрана	Промежуточные точки:	Rэкх,з,д = (7079,86,6291,54,2,01) (7079,86,6291,54,2,01)	φ-ла [23] [10]	31,4	34,8	37,9	40,9	44	47	50	53	56	56	56
Траектория справа от экрана	Промежуточные точки:	Rэкх,з,д = (8983,88,6271,62,1,99) (8983,88,6271,62,1,99)	φ-ла [24] [10]	20	20	20	20	20	20	20	20	20	20	20
Траектория слева от экрана	Промежуточные точки:	Rэкх,з,д = (7079,86,6291,54,2,01) (7079,86,6291,54,2,01)	φ-ла [25] [10]	1	1	1	1	1	1	1	1	1	1	1
Траектория справа от экрана	Промежуточные точки:	Rэкх,з,д = (8983,88,6271,62,1,99) (8983,88,6271,62,1,99)	φ-ла [26] [10]	1	1	1	1	1	1	1	1	1	1	1
Траектория слева от экрана	Промежуточные точки:	Rэкх,з,д = (7079,86,6291,54,2,01) (7079,86,6291,54,2,01)	φ-ла [27] [10]	5,5	6,2	7,2	8,8	10,8	13,2	15,9	18,8	21,7	21,7	21,7
Траектория справа от экрана	Промежуточные точки:	Rэкх,з,д = (8983,88,6271,62,1,99) (8983,88,6271,62,1,99)	φ-ла [28] [10]	5,5	6,2	7,2	8,8	10,8	13,2	15,9	18,8	21,7	21,7	21,7
Траектория слева от экрана	Промежуточные точки:	Rэкх,з,д = (7079,86,6291,54,2,01) (7079,86,6291,54,2,01)	φ-ла [29] [10]	20	20	20	20	20	20	20	20	20	20	20
Траектория справа от экрана	Промежуточные точки:	Rэкх,з,д = (8983,88,6271,62,1,99) (8983,88,6271,62,1,99)	φ-ла [30] [10]	2,6	2,9	3	3	3	3	3	3	3	3	3
Траектория слева от экрана	Промежуточные точки:	Rэкх,з,д = (7079,86,6291,54,2,01) (7079,86,6291,54,2,01)	φ-ла [31] [10]	31,4	34,8	37,9	40,9	44	47	50	53	56	56	56
Траектория справа от экрана	Промежуточные точки:	Rэкх,з,д = (8983,88,6271,62,1,99) (8983,88,6271,62,1,99)	φ-ла [32] [10]	20	20	20	20	20	20	20	20	20	20	20
Траектория слева от экрана	Промежуточные точки:	Rэкх,з,д = (7079,86,6291,54,2,01) (7079,86,6291,54,2,01)	φ-ла [33] [10]	1	1	1	1	1	1	1	1	1	1	1
Траектория справа от экрана	Промежуточные точки:	Rэкх,з,д = (8983,88,6271,62,1,99) (8983,88,6271,62,1,99)	φ-ла [34] [10]	1	1	1	1	1	1	1	1	1	1	1
Траектория слева от экрана	Промежуточные точки:	Rэкх,з,д = (7079,86,6291,54,2,01) (7079,86,6291,54,2,01)	φ-ла [35] [10]	5,5	6,2	7,2	8,8	10,8	13,2	15,9	18,8	21,7	21,7	21,7
Траектория справа от экрана	Промежуточные точки:	Rэкх,з,д = (8983,88,6271,62,1,99) (8983,88,6271,62,1,99)	φ-ла [36] [10]	5,5	6,2	7,2	8,8	10,8	13,2	15,9	18,8	21,7	21,7	21,7
Траектория слева от экрана	Промежуточные точки:	Rэкх,з,д = (7079,86,6291,54,2,01) (7079,86,6291,54,2,01)	φ-ла [37] [10]	20	20	20	20	20	20	20	20	20	20	20
Траектория справа от экрана	Промежуточные точки:	Rэкх,з,д = (8983,88,6271,62,1,99) (8983,88,6271,62,1,99)	φ-ла [38] [10]	2,6	2,9	3	3	3	3	3	3	3	3	3
Траектория слева от экрана	Промежуточные точки:	Rэкх,з,д = (7079,86,6291,54,2,01) (7079,86,6291,54,2,01)	φ-ла [39] [10]	31,4	34,8	37,9	40,9	44	47	50	53	56	56	56
Траектория справа от экрана	Промежуточные точки:	Rэкх,з,д = (8983,88,6271,62,1,99) (8983,88,6271,62,1,99)	φ-ла [40] [10]	20	20	20	20	20	20	20	20	20	20	20
Траектория слева от экрана	Промежуточные точки:	Rэкх,з,д = (7079,86,6291,54,2,01) (7079,86,6291,54,2,01)	φ-ла [41] [10]	1	1	1	1	1	1	1	1	1	1	1
Траектория справа от экрана	Промежуточные точки:	Rэкх,з,д = (8983,88,6271,62,1,99) (8983,88,6271,62,1,99)	φ-ла [42] [10]	1	1	1	1	1	1	1	1	1	1	1
Траектория слева от экрана	Промежуточные точки:	Rэкх,з,д = (7079,86,6291,54,2,01) (7079,86,6291,54,2,01)	φ-ла [43] [10]	5,5	6,2	7,2	8,8	10,8	13,2	15,9	18,8	21,7	21,7	21,7
Траектория справа от экрана	Промежуточные точки:	Rэкх,з,д = (8983,88,6271,62,1,99) (8983,88,6271,62,1,99)	φ-ла [44] [10]	5,5	6,2	7,2	8,8	10,8	13,2	15,9	18,8	21,7	21,7	21,7
Траектория слева от экрана	Промежуточные точки:	Rэкх,з,д = (7079,86,6291,54,2,01) (7079,86,6291,54,2,01)	φ-ла [45] [10]	20	20	20	20	20	20	20	20	20	20	20
Траектория справа от экрана	Промежуточные точки:	Rэкх,з,д = (8983,88,6271,62,1,99) (8983,88,6271,62,1,99)	φ-ла [46] [10]	2,6	2,9	3	3	3	3	3	3	3	3	3
Траектория слева от экрана	Промежуточные точки:	Rэкх,з,д = (7079,86,6291,54,2,01) (7079,86,6291,54,2,01)	φ-ла [47] [10]	31,4	34,8	37,9	40,9	44	47	50	53	56	56	56
Траектория справа от экрана	Промежуточные точки:	Rэкх,з,д = (8983,88,6271,62,1,99) (8983,88,6271,62,1,99)	φ-ла [48] [10]	20	20	20	20	20	20	20	20	20	20	20
Траектория слева от экрана	Промежуточные точки:	Rэкх,з,д = (7079,86,6291,54,2,01) (7079,86,6291,54,2,01)	φ-ла [49] [10]	1	1	1	1	1	1	1	1	1	1	1
Траектория справа от экрана	Промежуточные точки:	Rэкх,з,д = (8983,88,6271,62,1,99) (8983,88,6271,62,1,99)	φ-ла [50] [10]	1	1	1	1	1	1	1	1	1	1	1
Траектория слева от экрана	Промежуточные точки:	Rэкх,з,д = (7079,86,6291,54,2,01) (7079,86,6291,54,2,01)	φ-ла [51] [10]	5,5	6,2	7,2	8,8	10,8	13,2	15,9	18,8	21,7	21,7	21,7
Траектория справа от экрана	Промежуточные точки:	Rэкх,з,д = (8983,88,6271,62,1,99) (8983,88,6271,62,1,99)	φ-ла [52] [10]	5,5	6,2	7,2	8,8	10,8	13,2	15,9	18,8	21,7	21,7	21,7
Траектория слева от экрана	Промежуточные точки:	Rэкх,з,д = (7079,86,6291,54,2,01) (7079,86,6291,54,2,01)	φ-ла [53] [10]	20	20	20	20	20	20	20	20	20	20	20
Траектория справа от экрана	Промежуточные точки:	Rэкх,з,д = (8983,88,6271,62,1,99) (8983,88,6271,62,1,99)	φ-ла [54] [10]	2,6	2,9	3	3	3	3	3	3	3	3	3
Траектория слева от экрана	Промежуточные точки:	Rэкх,з,д = (7079,86,6291,54,2,01) (7079,86,6291,54,2,01)	φ-ла [55] [10]	31,4	34,8	37,9	40,9	44	47	50	53	56	56	56
Траектория справа от экрана	Промежуточные точки:	Rэкх,з,д = (8983,88,6271,62,1,99) (8983,88,6271,62,1,99)	φ-ла [56] [10]	20	20	20	20	20	20	20	20	20	20	20
Траектория слева от экрана	Промежуточные точки:	Rэкх,з,д = (7079,86,6291,54,2,01) (7079,86,6291,54,2,01)	φ-ла [57] [10]	1	1	1	1	1	1	1	1	1	1	1
Траектория справа от экрана	Промежуточные точки:	Rэкх,з,д = (8983,88,6271,62,1,99) (8983,88,6271,62,1,99)	φ-ла [58] [10]	1	1	1	1	1	1	1	1	1	1	1
Траектория слева от экрана	Промежуточные точки:	Rэкх,з,д = (7079,86,6291,54,2,01) (7079,86,6291,54,2,01)	φ-ла [59] [10]	5,5	6,2	7,2	8,8	10,8	13,2	15,9	18,8	21,7	21,7	21,7
Траектория справа от экрана	Промежуточные точки:	Rэкх,з,д = (8983,88,6271,62,1,99) (8983,88,6271,62,1,99)	φ-ла [60] [10]	5,5	6,2	7,2	8,8	10,8	13,2	15,9	18,8	21,7	21,7	21,7
Траектория слева от экрана	Промежуточные точки:	Rэкх,з,д = (7079,86,6291,54,2,01) (7079,86,6291,54,2,01)	φ-ла [61] [10]	20	20	20	20	20	20	20	20	20	20	20
Траектория справа от экрана	Промежуточные точки:	Rэкх,з,д = (8983,88,6271,62,1,99) (8983,88,6271,62,1,99)	φ-ла [62] [10]	2,6	2,9	3	3	3	3	3	3	3	3	3
Траектория слева от экрана	Промежуточные точки:	Rэкх,з,д = (7079,86,6291,54,2,01) (7079,86,6291,54,2,01)												

1		2										3									
Уровни звуковой мощности источника ночью, Lw, dB		исходные данные										0 94 95,3 95,2 98,7 103,4 102 100 95,9									
Поправка на телесный угол D _L , dB		Ω = 6,28										3 3 3 3 3 3 3 3 3 3									
Показатель направленности источника D _i , dB		исходные данные										0 0 0 0 0 0 0 0 0 0									
Поправка на направленность источника D _s , dB		D _s										3 3 3 3 3 3 3 3 3 3									
Затухание из-за геометрической дивергенции A _{div} , dB		φ-ла (7) [10]										80,4									
Коэффициент затухания звука в атмосфере α, дБ/км		φ-ла (5) [9]										0,02									
Учет затухания звука в атмосфере A _{atm} , dB		φ-ла (8) [10]										0,1									
Снижение поверхностью земли возле источника A _s , dB		φ-ла таб.3 [10]										-1,5									
Снижение поверхностью земли возле приёмника A _r , dB		φ-ла таб.3 [10]										-1,5									
Снижение поверхностью земли возле приёмника A _r , dB		φ-ла таб.3 [10]										-1,5									
Снижение поверхностью земли в средней зоне, A _п dB		φ-ла таб.3 [10]										-2,9									
Суммарное снижение поверхностью земли на траектории распространения звука A _{вз} , dB		φ-ла (9) [10]										-5,9									
Снижение уровня звукового давления из-за влияния застройки между источником шума и расчётной точкой		10,79										5,4									
Длина звуковой волны для среднегеометрической частоты октавной полосы λ, м		10,79										5,4									
Критерий наличия экранирования в горизонтальной плоскости		Выср > λ										да									
Траектория над экраном		Горизонтальный размер экрана, Выпр > λ										да									
		Промежуточные точки										φ-ла (15) [10]									
		Константа C ₂ , учитывающая эффект отражения от земли возле экрана										20									
		Константа C ₃ (дифракция на краяхах)										1									
		K _{вн} (влияние метеорологии)										φ-ла (18) [10]									
Траектория слева от экрана		D _z , dB										0									
		Снижение U _{зд} , A _{вз} , dB										4,8									
		Промежуточные точки										φ-ла (12) [10]									
		Константа C ₂ , учитывающая эффект отражения от земли возле экрана										20									
		Константа C ₃ (дифракция на краяхах)										1									
Траектория справа от экрана		K _{вн} (влияние метеорологии)										φ-ла (18) [10]									
		D _z , dB										10									
		Снижение U _{зд} , A _{вз} , dB										10									
		Промежуточные точки										φ-ла (13) [10]									
		Константа C ₂ , учитывающая эффект отражения от земли возле экрана										20									
Общее снижение уровня звука препятствием A _{вз} , dB		K _{вн} (влияние метеорологии)										φ-ла (15) [10]									
		D _z , dB										1									
		Снижение U _{зд} , A _{вз} , dB										11,6									
		Эк. суммарн. (A _{вз} ...) [1]										3									
		Уровни звукового давления от источника ИШ-42. Оборудование пневмоколеса в расчётной точке днём, dB										Ф-ла [9] [10]									
Уровни звукового давления от источника ИШ-42. Оборудование пневмоколеса в расчётной точке ночью, dB		Уровни звукового давления от источника ИШ-42. Оборудование пневмоколеса в расчётной точке днём, dB										0									
		Уровни звукового давления от источника ИШ-42. Оборудование пневмоколеса в расчётной точке ночью, dB										Ф-ла [9] [10]									
		Уровни звукового давления от источника ИШ-42. Оборудование пневмоколеса в расчётной точке ночью, dB										0									
		Уровни звукового давления от источника ИШ-42. Оборудование пневмоколеса в расчётной точке ночью, dB										0									
		Уровни звукового давления от источника ИШ-42. Оборудование пневмоколеса в расчётной точке ночью, dB										0									
Расчёт отражённого звука		Уровни звукового давления от источника ИШ-42. Оборудование пневмоколеса в расчётной точке днём, dB										Ф-ла [9] [10]									
Уровни звуковой мощности источника ночью, Lw, dB		исходные данные										0 94 95,3 95,2 98,7 103,4 102 100 95,9									

1		2										3										4										5										6										7										8										9										10										11										12										13																																																																																																																																																																																																																																																																																																																																																																																																																																																																																																																																																																																																																																																																																																																																																																																																																																																																																																																																																																																																																																																																																																																																																																																																																																																																																																																																																																																																																																																																																																																																																																																																																																																																																																																																																																																																																																																																																																																																																																																																																																																																																																																																																																																																																																																																																																																																																																																																																																																																																																																																																																																																																																																																																																																																																																																																																																																																																																																																																																																																																																																																																																																																																																																																																																																																																																																																																																																																																																																																																																																																																																																																																																																																																																																																																																																																																																																																																																																																																																																																																																																																																																																																																																																																																																																																																																																																																																																																																																																																																																																																																																																																																																																																																																																																																																																																																																																																																																																																																																																																																																																																																																																																																																																																																																																																																							
Поправка на телесный угол Ω, дБ		Ω = 6,28										10,44(7)										3										3										3										3										3										3										3										3										3										3										3										3										3										3										3										3										3										3										3										3										3										3										3										3										3										3										3										3										3										3										3										3										3										3										3										3										3										3										3										3										3										3										3										3										3										3										3										3										3										3										3										3										3										3										3										3										3										3										3										3										3										3										3										3										3										3										3										3										3										3										3										3										3										3										3										3										3										3										3										3										3										3										3										3										3										3										3										3										3										3										3										3										3										3										3										3										3										3										3										3										3										3										3										3										3										3										3										3										3										3										3										3										3										3										3										3										3										3										3										3										3										3										3										3										3										3										3										3										3										3										3										3										3										3										3										3										3										3										3										3										3										3										3										3										3										3										3										3										3										3										3										3										3										3										3										3										3										3										3										3										3										3										3										3										3										3										3										3										3										3										3										3										3										3										3										3										3										3										3										3										3										3										3										3										3										3										3										3										3										3										3										3										3										3										3										3										3										3										3										3										3										3										3										3										3										3										3										3										3										3										3										3										3										3										3										3										3										3										3										3										3										3										3										3										3										3										3										3										3										3										3										3										3										3										3										3										3										3										3										3										3										3										3										3										3										3										3										3										3										3										3										3										3										3										3										3										3										3										3										3										3										3										3										3										3										3										3										3										3										3										3										3										3										3										3										3										3										3										3										3										3										3										3										3										3										3										3										3										3										3										3										3										3										3										3										3										3										3										3										3										3										3										3										3										3										3										3										3										3										3										3										3										3										3										3										3										3										3										3										3										3										3										3										3										3										3										3										3										3										3										3										3										3										3										3										3										3										3										3										3										3										3										3										3										3										3										3										3										3										3										3										3										3										3										3										3										3										3										3										3										3										3										3										3										3										3										3										3										3										3										3										3										3										3										3										3										3										3										3										3										3										3										3										3										3										3										3										3										3										3										3										3										3										3										3										3										3										3										3										3										3										3										3										3										3										3										3										3										3										3										3										3										3										3										3										3										3										3										3										3										3										3										3										3										3										3										3										3										3										3										3										3										3										3										3										3										3										3										3										3										3										3										3										3										3										3										3										3										3										3										3										3										3										3										3										3										3										3										3										3										3										3										3										3										3										3										3										3										3										3										3										3										3										3										3										3										3										3										3										3										3										3										3										3										3										3										3										3										3										3										3										3										3										3										3										3										3										3										3										3										3										3										3										3										3										3										3										3										3										3										3										3										3										3										3										3										3									

1		2		3	4	5	6	7	8	9	10	11	12	13
Источник шума: ИШ-56. П1 водогрейной котельной, координаты источника (х,у,z), м =[6696.66;5429.35;13.00]														
Уровни звуковой мощности источника днём, Lw, дБ		исходные данные												
		исходные данные												
Уровни звуковой мощности источника ночью, Lw, дБ		исходные данные												
		исходные данные												
Поправка на телесный угол Δα, дБ		10lg(4πr²)												
Показатель направленности источника Di, дБ		исходные данные												
Поправка на направленность источника Dα, дБ		Dα + Di												
Затухание из-за геометрической дивергенции, Adiv, дБ		расстояние = 278,777 м												
Коэффициент затухания звука в атмосфере α, дБ/км		T=20,°C Pa=10133,3гПа hотп=7,0%												
Учет затухания звука в атмосфере Aатм, дБ		φ-α (7) [10]												
Снижение поверхностью земли возле источника Aз, дБ		0,02 0,09 0,33 1,12 2,79 4,98 9,04 23,09 77,63												
Снижение поверхностью земли возле приёмника Aп, дБ		φ-α (8) [10]												
Снижение поверхностью земли в приёмной зоне, Aзп, дБ		0,1 0,2 0,9 3,1 7,8 13,9 25,2 64,4 216,4												
Снижение поверхностью земли в средней зоне, Aсп, дБ		φ-α таб.3 [10]												
Суммарное снижение поверхности земли на траектории распространения звука Aзп, дБ		φ-α таб.3 [10]												
Снижение поверхности земли в средней зоне, Aсп, дБ		φ-α таб.3 [10]												
Суммарное снижение поверхности земли на траектории распространения звука Aзп, дБ		φ-α таб.3 [10]												
Снижение поверхности земли в средней зоне, Aсп, дБ		φ-α таб.3 [10]												
Суммарное снижение поверхности земли на траектории распространения звука Aзп, дБ		φ-α таб.3 [10]												
Снижение поверхности земли в средней зоне, Aсп, дБ		φ-α таб.3 [10]												
Суммарное снижение поверхности земли на траектории распространения звука Aзп, дБ		φ-α таб.3 [10]												
Снижение поверхности земли в средней зоне, Aсп, дБ		φ-α таб.3 [10]												
Суммарное снижение поверхности земли на траектории распространения звука Aзп, дБ		φ-α таб.3 [10]												
Снижение поверхности земли в средней зоне, Aсп, дБ		φ-α таб.3 [10]												
Суммарное снижение поверхности земли на траектории распространения звука Aзп, дБ		φ-α таб.3 [10]												
Снижение поверхности земли в средней зоне, Aсп, дБ		φ-α таб.3 [10]												
Суммарное снижение поверхности земли на траектории распространения звука Aзп, дБ		φ-α таб.3 [10]												
Снижение поверхности земли в средней зоне, Aсп, дБ		φ-α таб.3 [10]												
Суммарное снижение поверхности земли на траектории распространения звука Aзп, дБ		φ-α таб.3 [10]												
Снижение поверхности земли в средней зоне, Aсп, дБ		φ-α таб.3 [10]												
Суммарное снижение поверхности земли на траектории распространения звука Aзп, дБ		φ-α таб.3 [10]												
Снижение поверхности земли в средней зоне, Aсп, дБ		φ-α таб.3 [10]												
Суммарное снижение поверхности земли на траектории распространения звука Aзп, дБ		φ-α таб.3 [10]												
Снижение поверхности земли в средней зоне, Aсп, дБ		φ-α таб.3 [10]												
Суммарное снижение поверхности земли на траектории распространения звука Aзп, дБ		φ-α таб.3 [10]												
Снижение поверхности земли в средней зоне, Aсп, дБ		φ-α таб.3 [10]												
Суммарное снижение поверхности земли на траектории распространения звука Aзп, дБ		φ-α таб.3 [10]												
Снижение поверхности земли в средней зоне, Aсп, дБ		φ-α таб.3 [10]												
Суммарное снижение поверхности земли на траектории распространения звука Aзп, дБ		φ-α таб.3 [10]												
Снижение поверхности земли в средней зоне, Aсп, дБ		φ-α таб.3 [10]												
Суммарное снижение поверхности земли на траектории распространения звука Aзп, дБ		φ-α таб.3 [10]												
Снижение поверхности земли в средней зоне, Aсп, дБ		φ-α таб.3 [10]												
Суммарное снижение поверхности земли на траектории распространения звука Aзп, дБ		φ-α таб.3 [10]												
Снижение поверхности земли в средней зоне, Aсп, дБ		φ-α таб.3 [10]												
Суммарное снижение поверхности земли на траектории распространения звука Aзп, дБ		φ-α таб.3 [10]												
Снижение поверхности земли в средней зоне, Aсп, дБ		φ-α таб.3 [10]												
Суммарное снижение поверхности земли на траектории распространения звука Aзп, дБ		φ-α таб.3 [10]												
Снижение поверхности земли в средней зоне, Aсп, дБ		φ-α таб.3 [10]												
Суммарное снижение поверхности земли на траектории распространения звука Aзп, дБ		φ-α таб.3 [10]												
Снижение поверхности земли в средней зоне, Aсп, дБ		φ-α таб.3 [10]												
Суммарное снижение поверхности земли на траектории распространения звука Aзп, дБ		φ-α таб.3 [10]												
Снижение поверхности земли в средней зоне, Aсп, дБ		φ-α таб.3 [10]												
Суммарное снижение поверхности земли на траектории распространения звука Aзп, дБ		φ-α таб.3 [10]												
Снижение поверхности земли в средней зоне, Aсп, дБ		φ-α таб.3 [10]												
Суммарное снижение поверхности земли на траектории распространения звука Aзп, дБ		φ-α таб.3 [10]												
Снижение поверхности земли в средней зоне, Aсп, дБ		φ-α таб.3 [10]												
Суммарное снижение поверхности земли на траектории распространения звука Aзп, дБ		φ-α таб.3 [10]												
Снижение поверхности земли в средней зоне, Aсп, дБ		φ-α таб.3 [10]												
Суммарное снижение поверхности земли на траектории распространения звука Aзп, дБ		φ-α таб.3 [10]												
Снижение поверхности земли в средней зоне, Aсп, дБ		φ-α таб.3 [10]												
Суммарное снижение поверхности земли на траектории распространения звука Aзп, дБ		φ-α таб.3 [10]												
Снижение поверхности земли в средней зоне, Aсп, дБ		φ-α таб.3 [10]												
Суммарное снижение поверхности земли на траектории распространения звука Aзп, дБ		φ-α таб.3 [10]												
Снижение поверхности земли в средней зоне, Aсп, дБ		φ-α таб.3 [10]												
Суммарное снижение поверхности земли на траектории распространения звука Aзп, дБ		φ-α таб.3 [10]												
Снижение поверхности земли в средней зоне, Aсп, дБ		φ-α таб.3 [10]												
Суммарное снижение поверхности земли на траектории распространения звука Aзп, дБ		φ-α таб.3 [10]												
Снижение поверхности земли в средней зоне, Aсп, дБ		φ-α таб.3 [10]												
Суммарное снижение поверхности земли на траектории распространения звука Aзп, дБ		φ-α таб.3 [10]												
Снижение поверхности земли в средней зоне, Aсп, дБ		φ-α таб.3 [10]												
Суммарное снижение поверхности земли на траектории распространения звука Aзп, дБ		φ-α таб.3 [10]												
Снижение поверхности земли в средней зоне, Aсп, дБ		φ-α таб.3 [10]												
Суммарное снижение поверхности земли на траектории распространения звука Aзп, дБ		φ-α таб.3 [10]												
Снижение поверхности земли в средней зоне, Aсп, дБ		φ-α таб.3 [10]												
Суммарное снижение поверхности земли на траектории распространения звука Aзп, дБ		φ-α таб.3 [10]												
Снижение поверхности земли в средней зоне, Aсп, дБ		φ-α таб.3 [10]												
Суммарное снижение поверхности земли на траектории распространения звука Aзп, дБ		φ-α таб.3 [10]												
Снижение поверхности земли в средней зоне, Aсп, дБ		φ-α таб.3 [10]												
Суммарное снижение поверхности земли на траектории распространения звука Aзп, дБ		φ-α таб.3 [10]												
Снижение поверхности земли в средней зоне, Aсп, дБ		φ-α таб.3 [10]												
Суммарное снижение поверхности земли на траектории распространения звука Aзп, дБ		φ-α таб.3 [10]												
Снижение поверхности земли в средней зоне, Aсп, дБ		φ-α таб.3 [10]												
Суммарное снижение поверхности земли на траектории распространения звука Aзп, дБ		φ-α таб.3 [10]												
Снижение поверхности земли в средней зоне, Aсп, дБ		φ-α таб.3 [10]												
Суммарное снижение поверхности земли на траектории распространения звука Aзп, дБ		φ-α таб.3 [10]												
Снижение поверхности земли в средней зоне, Aсп, дБ		φ-α таб.3 [10]												
Суммарное снижение поверхности земли на траектории распространения звука Aзп, дБ		φ-α таб.3 [10]												
Снижение поверхности земли в средней зоне, Aсп, дБ		φ-α таб.3 [10]												
Суммарное снижение поверхности земли на траектории распространения звука Aзп, дБ		φ-α таб.3 [10]												
Снижение поверхности земли в средней зоне, Aсп, дБ		φ-α таб.3 [10]												
Суммарное снижение поверхности земли на траектории распространения звука Aзп, дБ		φ-α таб.3 [10]												
Снижение поверхности земли в средней зоне, Aсп, дБ		φ-α таб.3 [10]												
Суммарное снижение поверхности земли на траектории распространения звука Aзп, дБ		φ-α таб.3 [10]												
Снижение поверхности земли в средней зоне, Aсп, дБ		φ-α таб.3 [10]												
Суммарное снижение поверхности земли на траектории распространения звука Aзп, дБ		φ-α таб.3 [10]												
Снижение поверхности земли в средней зоне, Aсп, дБ		φ-α таб.3 [10]												
Суммарное снижение поверхности земли на траектории распространения звука Aзп, дБ		φ-α таб.3 [10]												
Снижение поверхности земли в средней зоне, Aсп, дБ		φ-α таб.3 [10]												
Суммарное снижение поверхности земли на траектории распространения звука Aзп, дБ		φ-α таб.3 [10]												
Снижение поверхности земли в средней зоне, Aсп, дБ		φ-α таб.3 [10]												
Суммарное снижение поверхности земли на траектории распространения звука Aзп, дБ		φ-α таб.3 [10]												
Снижение поверхности земли в средней зоне, Aсп, дБ		φ-α таб.3 [10]												
Суммарное снижение поверхности земли на траектории распространения звука Aзп, дБ		φ-α таб.3 [10]												
Снижение поверхности земли в средней зоне, Aсп, дБ		φ-α таб.3 [10]												
Суммарное снижение поверхности земли на траектории распространения звука Aзп, дБ		φ-α таб.3 [10]												
Снижение поверхности земли в средней зоне, Aсп, дБ		φ-α таб.3 [10]												
Суммарное снижение поверхности земли на траектории распространения звука Aзп, дБ		φ-α таб.3 [10]												
Снижение поверхности земли в средней зоне, Aсп, дБ		φ-α таб.3 [10]												
Суммарное снижение поверхности земли на траектории распространения звука Aзп, дБ		φ-α таб.3 [10]												
Снижение поверхности земли в средней зоне, Aсп, дБ		φ-α таб.3 [10]												
Суммарное снижение поверхности земли на траектории распространения звука Aзп, дБ		φ-α таб.3 [10]												
Снижение поверхности земли в средней зоне, Aсп, дБ		φ-α таб.3 [10]												
Суммарное снижение поверхности земли на траектории распространения звука Aзп, дБ		φ-α таб.3 [10]												
Снижение поверхности земли в средней зоне, Aсп, дБ		φ-α таб.3 [10]												
Суммарное снижение поверхности земли на траектории распространения звука Aзп, дБ		φ-α таб.3 [10]												
Снижение поверхности земли в средней зоне, Aсп, дБ		φ-α таб.3 [10]												
Суммарное снижение поверхности земли на траектории распространения звука Aзп, дБ		φ-α таб.3 [10]												
Снижение поверхности земли в средней зоне, Aсп, дБ		φ-α таб.3 [10]												
Суммарное снижение поверхности земли на траектории распространения звука Aзп, дБ		φ-α таб.3 [10]												
Снижение поверхности земли в средней зоне, Aсп, дБ		φ-α таб.3 [10]												
Суммарное снижение поверхности земли на траектории распространения звука Aзп, дБ		φ-α таб.3 [10]												
Снижение поверхности земли в средней зоне, Aсп, дБ		φ-α таб.3 [10]												
Суммарное снижение поверхности земли на траектории распространения звука Aзп, дБ		φ-α таб.3 [10]												
Снижение поверхности земли в средней зоне, Aсп, дБ		φ-α таб.3 [10]												
Суммарное снижение поверхности земли на траектории распространения звука Aзп, дБ		φ-α таб.3 [10]												
Снижение поверхности земли в средней зоне, Aсп, дБ		φ-α таб.3 [10]												
Суммарное снижение поверхности земли на траектории распространения звука Aзп, дБ		φ-α таб.3 [10]												
Снижение поверхности земли в средней зоне, Aсп, дБ		φ-α таб.3 [10]												
Суммарное снижение поверхности земли на траектории распространения звука Aзп, дБ		φ-α таб.3 [10]												
Снижение поверхности земли в средней зоне, Aсп, дБ		φ-α таб.3 [10]												
Суммарное снижение поверхности земли на траектории распространения звука Aзп, дБ		φ-α таб.3 [10]												
Снижение поверхности земли в средней зоне, Aсп, дБ		φ-α таб.3 [10]												
Суммарное снижение поверхности земли на траектории распространения звука Aзп, дБ		φ-α таб.3 [10]												
Снижение поверхности земли в средней зоне, Aсп, дБ		φ-α таб.3 [10]												
Суммарное снижение поверхности земли на траектории распространения звука Aзп, дБ		φ-α таб.3 [10]												
Снижение поверхности земли в средней зоне, Aсп, дБ		φ-α таб.3 [10]												
Суммарное снижение поверхности земли на траектории распространения звука Aзп, дБ		φ-α таб.3 [10]												
Снижение поверхности земли в средней зоне, Aсп, дБ		φ-α таб.3 [10]												
Суммарное снижение поверхности земли на траектории распространения звука Aзп, дБ		φ-α таб.3 [10]												
Снижение поверхности земли в средней зоне, Aсп, дБ		φ-α таб.3 [10]												
Суммарное снижение поверхности земли на траектории распространения звука Aзп, дБ		φ-α таб.3 [10]												
Снижение поверхности земли в средней зоне, Aсп, дБ		φ-α таб.3 [10]												
Суммарное снижение поверхности земли на траектории распространения звука Aзп, дБ		φ-α таб.3 [10]												
Снижение поверхности земли в средней зоне, Aсп, дБ		φ-α таб.3 [10]												
Суммарное снижение поверхности земли на траектории распространения звука Aзп, дБ		φ-α таб.3 [10]												
Снижение поверхности земли в средней зоне, Aсп, дБ		φ-α таб.3 [10]												
Суммарное снижение поверхности земли на траектории распространения звука Aзп, дБ		φ-α таб.3 [10]												
Снижение поверхности земли в средней зоне, Aсп, дБ		φ-α таб.3 [10]												
Суммарное снижение поверхности земли на траектории распространения звука Aзп, дБ		φ-α таб.3 [10]												
Снижение поверхности земли в средней зоне, Aсп, дБ		φ-α таб.3 [10]												
Суммарное снижение поверхности земли на траектории распространения звука Aзп, дБ		φ-α таб.3 [10]												
Снижение поверхности земли в средней зоне, Aсп, дБ		φ-α таб.3 [10]												
Суммарное снижение поверхности земли на траектории распространения звука Aзп, дБ		φ-α таб.3 [10]												
Снижение поверхности земли в средней зоне, Aсп, дБ		φ-α таб.3 [10]												
Суммарное снижение поверхности земли на траектории распространения звука Aзп, дБ		φ-α таб.3 [10]												
Снижение поверхности земли в средней зоне, Aсп, дБ		φ-α таб.3 [10]												
Суммарное снижение поверхности земли на траектории распространения звука Aзп, дБ		φ-α таб.3 [10]												
Снижение поверхности земли в средней зоне, Aсп, дБ		φ-α таб.3 [10]												
Суммарное снижение поверхности земли на траектории распространения звука Aзп, дБ		φ-α таб.3 [10]												
Снижение поверхности земли в средней зоне, Aсп, дБ		φ-α таб.3 [10]												
Суммарное снижение поверхности земли на траектории распространения звука Aзп, дБ		φ-α таб.3 [10]												
Снижение поверхности земли в средней зоне, Aсп, дБ		φ-α таб.3 [10]												
Суммарное снижение поверхности земли на траектории распространения звука Aзп, дБ		φ-α таб.3 [10]												
Снижение поверхности земли в средней зоне, Aсп, дБ		φ-α таб.3 [10]												
Суммарное снижение поверхности земли на траектории распространения звука Aзп, дБ		φ-α таб.3 [10]												
Снижение поверхности земли в средней зоне, Aсп, дБ		φ-α таб.3 [10]												
Суммарное снижение поверхности земли на траектории распространения звука Aзп, дБ		φ-α таб.3 [10]												
Снижение поверхности земли в средней зоне, Aсп, дБ		φ-α таб.3 [10]												
Суммарное снижение поверхности земли на траектории распространения звука Aзп, дБ		φ-α таб.3 [10]												
Снижение поверхности земли в средней зоне, Aсп, дБ		φ-α таб.3 [10]												
Суммарное снижение поверхности земли на траектории распространения звука Aзп, дБ		φ-α таб.3 [10]												
Снижение поверхности земли в средней зоне, Aсп, дБ		φ-α таб.3 [10]												
Суммарное снижение поверхности земли на траектории распространения звука Aзп, дБ		φ-α таб.3 [10]												
Снижение поверхности земли в средней зоне, Aсп, дБ		φ-α таб.3 [10]												
Суммарное снижение поверхности земли на траектории распространения звука Aзп, дБ		φ-α таб.3 [10]												
Снижение поверхности земли в средней зоне, Aсп, дБ		φ-α таб.3 [10]												
Суммарное снижение поверхности земли на траектории распространения звука Aзп, дБ		φ-α таб.3 [10]												
Снижение поверхности земли в средней зоне, Aсп, дБ		φ-α таб.3 [10]												
Суммарное снижение поверхности земли на траектории распространения звука Aзп, дБ		φ-α таб.3 [10]												
Снижение поверхности земли в средней зоне, Aсп, дБ		φ-α таб.3 [10]												
Суммарное снижение поверхности земли на траектории распространения звука Aзп, дБ		φ-α таб.3 [10]												
Снижение поверхности земли в средней зоне, Aсп, дБ		φ-α таб.3 [10]												
Суммарное снижение поверхности земли на траектории распространения звука Aзп, дБ		φ-α таб.3 [10]												
Снижение поверхности земли в средней зоне, Aсп, дБ		φ-α таб.3 [10]												
Суммарное снижение поверхности земли на траектории распространения звука Aзп, дБ		φ-α таб.3 [10]												
Снижение поверхности земли в средней зоне, Aсп, дБ		φ-α таб.3 [10]												
Суммарное снижение поверхности земли на траектории распространения звука Aзп, дБ		φ-α таб.3 [10]												
Снижение поверхности земли в средней зоне, Aсп, дБ		φ-α таб.3 [10]												
Суммарное снижение поверхности земли на траектории распространения звука Aзп, дБ		φ-α таб.3 [10]												
Снижение поверхности земли в средней зоне, Aсп, дБ		φ-α таб.3 [10]												
Суммарное снижение поверхности земли на траектории распространения звука Aзп, дБ		φ-α таб.3 [10]												
Снижение поверхности земли в средней зоне, Aсп, дБ		φ-α таб.3 [10]												
Суммарное снижение поверхности земли на траектории распространения звука Aзп, дБ		φ-α таб.3 [10]												
Снижение поверхности земли в средней зоне, Aсп, дБ		φ-α таб.3 [10]												
Суммарное снижение поверхности земли на траектории распространения звука Aзп, дБ		φ-α таб.3 [10]												
Снижение поверхности земли в средней зоне, Aсп, дБ		φ-α таб.3 [10]												
Суммарное снижение поверхности земли на траектории распространения звука Aзп, дБ		φ-α таб.3 [10]												
Снижение поверхности земли в средней зоне, Aсп, дБ		φ-α таб.3 [10]												
Суммарное снижение поверхности земли на траектории распространения звука Aзп, дБ		φ-α таб.3 [10]												
Снижение поверхности земли в средней зоне, Aсп, дБ		φ-α таб.3 [10]												
Суммарное снижение поверхности земли на траектории распространения звука Aзп, дБ		φ-α таб.3 [10]												
Снижение поверхности земли в средней зоне, Aсп, дБ		φ-α таб.3 [10]												
Суммарное снижение поверхности земли на траектории распространения звука Aзп, дБ		φ-α таб.3 [10]												
Снижение поверхности земли в средней зоне, Aсп, дБ		φ-α таб.3 [10]												
Суммарное снижение поверхности земли на траектории распространения звука Aзп, дБ		φ-α таб.3 [10]												
Снижение поверхности земли в средней зоне, Aсп, дБ		φ-α таб.3 [10]												
Суммарное снижение поверхности земли на траектории распространения звука Aзп, дБ		φ-α таб.3 [10]												
Снижение поверхности земли в средней зоне, Aсп, дБ		φ-α таб.3 [10]												
Суммарное снижение поверхности земли на траектории распространения звука Aзп, дБ		φ-α таб.3 [10]												
Снижение поверхности земли в средней зоне, Aсп, дБ		φ-α таб.3 [10]												
Суммарное снижение поверхности земли на траектории распространения звука Aзп, дБ		φ-α таб.3 [10]												
Снижение поверхности земли в средней зоне, Aсп, дБ		φ-α таб.3 [10]												
Суммарное снижение поверхности земли на траектории распространения звука Aзп, дБ		φ-α таб.3 [10]												
Снижение поверхности земли в средней зоне, Aсп, дБ		φ-α таб.3 [10]												
Суммарное снижение поверхности земли на траектории распространения звука Aзп, дБ		φ-α таб.3 [10]												
Снижение поверхности земли в средней зоне, Aсп, дБ		φ-α таб.3 [10]												
Суммарное снижение поверхности земли на траектории распространения звука Aзп, дБ		φ-α таб.3 [10]												
Снижение поверхности земли в средней зоне, Aсп, дБ		φ-α таб.3 [10]												
Суммарное снижение поверхности земли на траектории распространения звука Aзп, дБ		φ-α таб.3 [10]												
Снижение поверхности земли в средней зоне, Aсп, дБ		φ-α таб.3 [10]												
Суммарное снижение поверхности земли на траектории распространения звука Aзп, дБ		φ-α таб.3 [10]												
Снижение поверхности земли в средней зоне, Aсп, дБ		φ-α таб.3 [10]												
Суммарное снижение поверхности земли на траектории распространения звука Aзп, дБ		φ-α таб.3 [10]												
Снижение поверхности земли в средней зоне, Aсп, дБ		φ-α таб.3 [10]												
Суммарное снижение поверхности земли на траектории распространения звука Aзп, дБ		φ-α таб.3 [10]												
Снижение поверхности земли в средней зоне, Aсп, дБ		φ-α таб.3 [10]												
Суммарное снижение поверхности земли на траектории распространения звука Aзп, дБ		φ-α таб.3 [10]												
Снижение поверхности земли в средней зоне, Aсп, дБ		φ-α таб.3 [10]												
Суммарное снижение поверхности земли на траектории распространения звука Aзп, дБ		φ-α таб.3 [10]												
Снижение поверхности земли в средней зоне, Aсп, дБ		φ-α таб.3 [10]												
Суммарное снижение поверхности земли на траектории распространения звука Aзп, дБ		φ-α таб.3 [10]												
Снижение поверхности земли в средней зоне, Aсп, дБ		φ-α таб.3 [10]												
Суммарное снижение поверхности земли на траектории распространения звука Aзп, дБ		φ-α таб.3 [10]												
Снижение поверхности земли в средней зоне, Aсп, дБ		φ-α таб.3 [10]												
Суммарное снижение поверхности земли на траектории распространения звука Aзп, дБ		φ-α таб.3 [10]												
Снижение поверхности земли в средней зоне, Aсп, дБ		φ-α таб.3 [10]												
Суммарное снижение поверхности земли на траектории распространения звука Aзп, дБ		φ-α таб.3 [10]												
Снижение поверхности земли в средней зоне, Aсп, дБ		φ-α таб.3 [10]												
Суммарное снижение поверхности земли на траектории распространения звука Aзп, дБ		φ-α таб.3 [10]												
Снижение поверхности земли в средней зоне, Aсп, дБ		φ-α таб.3 [10]												
Суммарное снижение поверхности земли на траектории распространения звука Aзп, дБ		φ-α таб.3 [10]												
Снижение поверхности земли в средней зоне, Aсп, дБ		φ-α таб.3 [10]												
Суммарное снижение поверхности земли на траектории распространения звука Aзп, дБ		φ-α таб.3 [10]												
Снижение поверхности земли в средней зоне, Aсп, дБ		φ-α таб.3 [10]												
Суммарное снижение поверхности земли на траектории распространения звука Aзп, дБ		φ-α таб.3 [10]												
Снижение поверхности земли в средней зоне, Aсп, дБ		φ-α таб.3 [10]												
Суммарное снижение поверхности земли на траектории распространения звука Aзп, дБ		φ-α таб.3 [10]												
Снижение поверхности земли в средней зоне, Aсп, дБ		φ-α таб.3 [10]												
Суммарное снижение поверхности земли на траектории распространения звука Aзп, дБ		φ-α таб.3 [10]												
Снижение поверхности земли в средней зоне, Aсп, дБ		φ-α таб.3 [10]												
Суммарное снижение поверхности земли на траектории распространения звука Aзп, дБ		φ-α таб.3 [10]												
Снижение поверхности земли в средней зоне, Aсп, дБ		φ-α таб.3 [10]												
Суммарное снижение поверхности земли на траектории распространения звука Aзп, дБ		φ-α таб.3 [10]												
Снижение поверхности земли в средней зоне, Aсп, дБ		φ-α таб.3 [10]												
Суммарное снижение поверхности земли на траектории распространения звука Aзп, дБ		φ-α таб.3 [10]												
Снижение поверхности земли в средней зоне, Aсп, дБ		φ-α таб.3 [10]												
Суммарное снижение поверхности земли на траектории распространения звука Aзп, дБ		φ-α таб.3 [10]												
Снижение поверхности земли в средней зоне, Aсп, дБ		φ-α таб.3 [10]												
Суммарное снижение поверхности земли на траектории распространения звука Aзп, дБ		φ-α таб.3 [10]												
Снижение поверхности земли в средней зоне, Aсп, дБ		φ-α таб.3 [10]												
Суммарное снижение поверхности														

1													2	3	4	5	6	7	8	9	10	11	12	13	
Снижение поверхностью земли возле приёмника Аг, дБ													Gr=0 H=1.5м	-1,5	-1,5	-1,5	-1,5	-1,5	-1,5	-1,5	-1,5	-1,5	-1,5	-1,5	
Снижение поверхностью земли в средней зоне, Ап дБ													Gr=0 H=1.5м	-2,6	-2,6	-2,6	-2,6	-2,6	-2,6	-2,6	-2,6	-2,6	-2,6	-2,6	
Суммарное снижение поверхностью земли на траектории распространения звука Азг, дБ													Gr=0 H=1.5м	-5,6	-5,6	-5,6	-5,6	-5,6	-5,6	-5,6	-5,6	-5,6	-5,6	-5,6	
Уровни звукового давления прямого звука от источника ИШ-54. В5													Gr=0 H=1.5м	0	12,5	12,8	10,6	0	0	0	0	0	0	3,2	3,2
Уровни звукового давления в расчётной точке Дг, дБ													Gr=0 H=1.5м	0	12,5	12,8	10,6	0	0	0	0	0	0	0	3,2
Уровни звукового давления в расчётной точке Дг, дБ													Gr=0 H=1.5м	0	12,5	12,8	10,6	0	0	0	0	0	0	0	3,2
Уровни звукового давления в расчётной точке Дг, дБ													Gr=0 H=1.5м	0	12,5	12,8	10,6	0	0	0	0	0	0	0	3,2
Уровни звукового давления в расчётной точке Дг, дБ													Gr=0 H=1.5м	0	12,5	12,8	10,6	0	0	0	0	0	0	0	3,2
Уровни звукового давления в расчётной точке Дг, дБ													Gr=0 H=1.5м	0	12,5	12,8	10,6	0	0	0	0	0	0	0	3,2
Уровни звукового давления в расчётной точке Дг, дБ													Gr=0 H=1.5м	0	12,5	12,8	10,6	0	0	0	0	0	0	0	3,2
Уровни звукового давления в расчётной точке Дг, дБ													Gr=0 H=1.5м	0	12,5	12,8	10,6	0	0	0	0	0	0	0	3,2
Уровни звукового давления в расчётной точке Дг, дБ													Gr=0 H=1.5м	0	12,5	12,8	10,6	0	0	0	0	0	0	0	3,2
Уровни звукового давления в расчётной точке Дг, дБ													Gr=0 H=1.5м	0	12,5	12,8	10,6	0	0	0	0	0	0	0	3,2
Уровни звукового давления в расчётной точке Дг, дБ													Gr=0 H=1.5м	0	12,5	12,8	10,6	0	0	0	0	0	0	0	3,2
Уровни звукового давления в расчётной точке Дг, дБ													Gr=0 H=1.5м	0	12,5	12,8	10,6	0	0	0	0	0	0	0	3,2
Уровни звукового давления в расчётной точке Дг, дБ													Gr=0 H=1.5м	0	12,5	12,8	10,6	0	0	0	0	0	0	0	3,2
Уровни звукового давления в расчётной точке Дг, дБ													Gr=0 H=1.5м	0	12,5	12,8	10,6	0	0	0	0	0	0	0	3,2
Уровни звукового давления в расчётной точке Дг, дБ													Gr=0 H=1.5м	0	12,5	12,8	10,6	0	0	0	0	0	0	0	3,2
Уровни звукового давления в расчётной точке Дг, дБ													Gr=0 H=1.5м	0	12,5	12,8	10,6	0	0	0	0	0	0	0	3,2
Уровни звукового давления в расчётной точке Дг, дБ													Gr=0 H=1.5м	0	12,5	12,8	10,6	0	0	0	0	0	0	0	3,2
Уровни звукового давления в расчётной точке Дг, дБ													Gr=0 H=1.5м	0	12,5	12,8	10,6	0	0	0	0	0	0	0	3,2
Уровни звукового давления в расчётной точке Дг, дБ													Gr=0 H=1.5м	0	12,5	12,8	10,6	0	0	0	0	0	0	0	3,2
Уровни звукового давления в расчётной точке Дг, дБ													Gr=0 H=1.5м	0	12,5	12,8	10,6	0	0	0	0	0	0	0	3,2
Уровни звукового давления в расчётной точке Дг, дБ													Gr=0 H=1.5м	0	12,5	12,8	10,6	0	0	0	0	0	0	0	3,2
Уровни звукового давления в расчётной точке Дг, дБ													Gr=0 H=1.5м	0	12,5	12,8	10,6	0	0	0	0	0	0	0	3,2
Уровни звукового давления в расчётной точке Дг, дБ													Gr=0 H=1.5м	0	12,5	12,8	10,6	0	0	0	0	0	0	0	3,2
Уровни звукового давления в расчётной точке Дг, дБ													Gr=0 H=1.5м	0	12,5	12,8	10,6	0	0	0	0	0	0	0	3,2
Уровни звукового давления в расчётной точке Дг, дБ													Gr=0 H=1.5м	0	12,5	12,8	10,6	0	0	0	0	0	0	0	3,2
Уровни звукового давления в расчётной точке Дг, дБ													Gr=0 H=1.5м	0	12,5	12,8	10,6	0	0	0	0	0	0	0	3,2
Уровни звукового давления в расчётной точке Дг, дБ													Gr=0 H=1.5м	0	12,5	12,8	10,6	0	0	0	0	0	0	0	3,2
Уровни звукового давления в расчётной точке Дг, дБ													Gr=0 H=1.5м	0	12,5	12,8	10,6	0	0	0	0	0	0	0	3,2
Уровни звукового давления в расчётной точке Дг, дБ													Gr=0 H=1.5м	0	12,5	12,8	10,6	0	0	0	0	0	0	0	3,2
Уровни звукового давления в расчётной точке Дг, дБ													Gr=0 H=1.5м	0	12,5	12,8	10,6	0	0	0	0	0	0	0	3,2
Уровни звукового давления в расчётной точке Дг, дБ													Gr=0 H=1.5м	0	12,5	12,8	10,6	0	0	0	0	0	0	0	3,2
Уровни звукового давления в расчётной точке Дг, дБ													Gr=0 H=1.5м	0	12,5	12,8	10,6	0	0	0	0	0	0	0	3,2
Уровни звукового давления в расчётной точке Дг, дБ													Gr=0 H=1.5м	0	12,5	12,8	10,6	0	0	0	0	0	0	0	3,2
Уровни звукового давления в расчётной точке Дг, дБ													Gr=0 H=1.5м	0	12,5	12,8	10,6	0	0	0	0	0	0	0	3,2
Уровни звукового давления в расчётной точке Дг, дБ													Gr=0 H=1.5м	0	12,5	12,8	10,6	0	0	0	0	0	0	0	3,2
Уровни звукового давления в расчётной точке Дг, дБ													Gr=0 H=1.5м	0	12,5	12,8	10,6	0	0	0	0	0	0	0	3,2
Уровни звукового давления в расчётной точке Дг, дБ													Gr=0 H=1.5м	0	12,5	12,8	10,6	0	0	0	0	0	0	0	3,2
Уровни звукового давления в расчётной точке Дг, дБ													Gr=0 H=1.5м	0	12,5	12,8	10,6	0	0	0	0	0	0	0	3,2
Уровни звукового давления в расчётной точке Дг, дБ													Gr=0 H=1.5м	0	12,5	12,8	10,6	0	0	0	0	0	0	0	3,2
Уровни звукового давления в расчётной точке Дг, дБ													Gr=0 H=1.5м	0	12,5	12,8	10,6	0	0	0	0	0	0	0	3,2
Уровни звукового давления в расчётной точке Дг, дБ													Gr=0 H=1.5м	0	12,5	12,8	10,6	0	0	0	0	0	0	0	3,2
Уровни звукового давления в расчётной точке Дг, дБ													Gr=0 H=1.5м	0	12,5	12,8	10,6	0	0	0	0	0	0	0	3,2
Уровни звукового давления в расчётной точке Дг, дБ													Gr=0 H=1.5м	0	12,5	12,8	10,6	0	0	0	0	0	0	0	3,2
Уровни звукового давления в расчётной точке Дг, дБ													Gr=0 H=1.5м	0	12,5	12,8	10,6	0	0	0	0	0	0	0	3,2
Уровни звукового давления в расчётной точке Дг, дБ													Gr=0 H=1.5м	0	12,5	12,8	10,6	0	0	0	0	0	0	0	3,2
Уровни звукового давления в расчётной точке Дг, дБ													Gr=0 H=1.5м	0	12,5	12,8	10,6	0	0	0	0	0	0	0	3,2
Уровни звукового давления в расчётной точке Дг, дБ													Gr=0 H=1.5м	0	12,5	12,8	10,6	0	0	0	0	0	0	0	3,2
Уровни звукового давления в расчётной точке Дг, дБ													Gr=0 H=1.5м	0	12,5	12,8	10,6	0	0	0	0	0	0	0	3,2

1			2			3	4	5	6	7	8	9	10	11	12	13		
Длина звуковой волны для среднегеометрической частоты октавной полосы, λ, м																		
Препятствие справа от трассы ИШ-РТ	Промежуточные точки	Р _{экв,дБ} = 160,4-120,4+20,11,80	Р _{экв,дБ} = 160,4-120,4+20,11,80			R _{нз} = 51,51 м			R _{нз} = 2610,46 м			r = 0,00 м			r = 0,53 м			
	Константа С2, учитывающая эффект отражения от земли возле здания					20			20	20	20	20	20	20				
	Константа С3 (дифракция на кровле)					Ф-ла (15) [10]			1	1	1	1	1	1	1			
	K _{пол} (плотные метеоусловия)					Ф-ла (18) [10]			1	1	1	1	1	1	1			
	Dz, дБ					Ф-ла (14) [10]			0	0,1	0	0	0	0	0	0		
Снижение УЗД, Абв, дБ			Ф-ла (13) [10]			0	0,1	0	0	0	0	0	0	0	0	0		
* Усредненное значение с учетом прослоения траектории облета здания, в том случае, если снижение подстилающей поверхности (см. ниже)																		
Уровни звукового давления прямого звука от источника ИШ-61. В1 маузогласной №2 в расчётной точке днём, ДБ																		
Уровни звукового давления прямого звука от источника ИШ-61. В1 маузогласной №2 в расчётной точке ночью, ДБ																		
Расчёт отражённого звука																		
Уровни звукового давления от минимального источника ИШ-61. В1 маузогласной №2, мин. (1) в расчётной точке днём, ДБ																		
Уровни звукового давления от минимального источника ИШ-61. В1 маузогласной №2, мин. (1) в расчётной точке ночью, ДБ																		
Уровни звукового давления от источника ИШ-61. В1 маузогласной №2 в расчётной точке днём, ДБ																		
Уровни звукового давления от источника ИШ-61. В1 маузогласной №2 в расчётной точке ночью, ДБ																		
Источники шума: ИШ-62. П1 маузогласной №4, координаты источника (х,у,z), м = [6526,67;5331,73;7,65]																		
Уровни звуковой мощности источника днём, Лw, дБ																		
Уровни звуковой мощности источника ночью, Лw, дБ																		
Поправка на телесный угол DQ, дБ																		
Показатель направленности источника D1, дБ																		
Поправка на направленность источника Dc, дБ																		
Затухание из-за геометрической дивергенции, Адв, дБ																		
Коэффициент затухания звука в атмосфере α, дБ/км																		
Учет затухания звука в атмосфере Аатм, дБ																		
Снижение поверхностью земли возле источника Аз, дБ																		
Снижение поверхностью земли возле приёмника Аг, дБ																		
Снижение поверхностью земли в средней зоне, Ап, дБ																		
Суммарное снижение поверхностью земли на траектории распространения звука Абг, дБ																		
Уровни звукового давления прямого звука от источника ИШ-62. П1 маузогласной №4 в расчётной точке днём, ДБ																		
Уровни звукового давления прямого звука от источника ИШ-62. П1 маузогласной №4 в расчётной точке ночью, ДБ																		
Расчёт отражённого звука																		
Уровни звукового давления от минимального источника ИШ-62. П1 маузогласной №4, мин. (1) в расчётной точке днём, ДБ																		
Уровни звукового давления от минимального источника ИШ-62. П1 маузогласной №4, мин. (1) в расчётной точке ночью, ДБ																		
Уровни звукового давления от источника ИШ-62. П1 маузогласной №4 в расчётной точке днём, ДБ																		
Уровни звукового давления от источника ИШ-62. П1 маузогласной №4 в расчётной точке ночью, ДБ																		
Источники шума: ИШ-63. П3 маузогласной №4, координаты источника (х,у,z), м = [6530,01;5340,03;7,65]																		

1			2	3	4	5	6	7	8	9	10	11	12	13		
Коэффициент затухания звука в атмосфере α, дБ/км	Т _в =20,°C Р _в =101,33,кПа h _в =770м			Ф-ла (9) [9]	0,02	0,09	0,33	1,12	2,79	4,98	9,04	23,09	77,63			
	Учет затухания звука в атмосфере А _{атм} , дБ			Ф-ла (8) [10]	0,1	0,2	0,9	3	7,4	13,2	24,1	61,4	206,6			
Снижение поверхностью земли возле источника А _з , дБ			G _з =0 h _з =12м	Ф-ла таб.3 [10]	-1,5	-1,5	-1,5	-1,5	-1,5	-1,5	-1,5	-1,5	-1,5	-1,5		
Снижение поверхностью земли возле приёмника А _г , дБ			G _г =0 h _г =1,5м	Ф-ла таб.3 [10]	-1,5	-1,5	-1,5	-1,5	-1,5	-1,5	-1,5	-1,5	-1,5	-1,5		
Снижение поверхностью земли в средней зоне, А _п , дБ			G _п =0	Ф-ла таб.3 [10]	-2,5	-2,5	-2,5	-2,5	-2,5	-2,5	-2,5	-2,5	-2,5	-2,5		
Суммарное снижение поверхностью земли на траектории распространения звука А _{зг} , дБ			Ф-ла (9) [10]	-5,5	-5,5	-5,5	-5,5	-5,5	-5,5	-5,5	-5,5	-5,5	-5,5	-5,5		
Снижение уровня звукового давления из-за влияния застройки между источником шума и расчётной точкой																
Длина звуковой волны для среднегеометрической частоты октавной полосы, λ, м			10,79	5,4	2,72	1,36	0,68	0,34	0,17	0,09	0,04					
Препятствие справа от трассы ИШ-РТ	Промежуточные точки	Р _{экв,дБ} = 160,4-120,4+20,11,80	d _в = 59,90 м			d _г = 2610,46 м			r = 0,00 м							
	Константа С2, учитывающая эффект отражения от земли возле здания		20			20	20	20	20	20	20	20	20	20		
	Константа С3 (дифракция на кровле)		Ф-ла (15) [10]			1	1	1	1	1	1	1	1	1		
	K _{пол} (плотные метеоусловия)		Ф-ла (18) [10]			1	1	1	1	1	1	1	1	1		
	D _z , дБ		Ф-ла (14) [10]			0	0	0	3,1	0,5	0	0	0	0		
Снижение УЗД, А _{зг} , дБ			Ф-ла (13) [10]			0	0	0	3,1	0,5	0	0	0	0		
* Усредненное значение с учетом прослоения траектории облёта здания, в этом случае. Дополнительно производится учет снижения подстилающей поверхностью (см. ниже)																
Уровни звукового давления прямого звука от источника ИШ-60. П1 маузогласной №2, мин. (1) в расчётной точке днём, дБ			Ф-ла(9) [10]			0	0	0	7,9	0	0	0	0	0		
Уровни звукового давления прямого звука от источника ИШ-60. П1 маузогласной №2 в расчётной точке ночью, дБ			Ф-ла(9) [10]			0	0	0	7,9	0	0	0	0	0		
Расчёт отражённого звука																
Уровни звукового давления от минимального источника ИШ-60. П1 маузогласной №2, мин. (1) в расчётной точке днём, дБ			Ф-ла(9) [10]			0	0	0	0	0	0	0	0	0		
Уровни звукового давления от минимального источника ИШ-60. П1 маузогласной №2, мин. (1) в расчётной точке ночью, дБ			Ф-ла(9) [10]			0	0	0	0	0	0	0	0	0		
Уровни звукового давления от источника ИШ-60. П1 маузогласной №2 в расчётной точке днём, дБ			Ф-ла(9) [10]			0	0	0	7,9	0	0	0	0	0		
Уровни звукового давления от источника ИШ-60. П1 маузогласной №2 в расчётной точке ночью, дБ			Ф-ла(9) [10]			0	0	0	7,9	0	0	0	0	0		
Источники шума: ИШ-61. В1 маузогласной №2, координаты источника (х,у,z), м = [6663,34;5818,16;12,00]																
Уровни звуковой мощности источника днём, Лw, дБ			исходные данные			0	68,2	71,2	84,4	79,6	77,6	70,6	67,6	58,6		
Уровни звуковой мощности источника ночью, Лw, дБ			исходные данные			0	68,2	71,2	84,4	79,6	77,6	70,6	67,6	58,6		
Поправка на телесный угол DQ, дБ			10lg(4+πQ)			3	3	3	3	3	3	3	3	3		
Показатель направленности источника D1, дБ			исходные данные			0	0	0	0	0	0	0	0	0		
Поправка на направленность источника Dc, дБ			Dc			3	3	3	3	3	3	3	3	3		
Затухание из-за геометрической дивергенции, Адв, дБ			расстояние = 2651,44 м			Ф-ла (7) [10]			79,5							
Коэффициент затухания звука в атмосфере α, дБ/км			Т _в =20,°C Р _в =101,33,кПа h _в =770м			0,02	0,09	0,33	1,12	2,79	4,98	9,04	23,09	77,63		
Учет затухания звука в атмосфере А _{атм} , дБ			Ф-ла (8) [10]			0,1	0,2	0,9	3	7,4	13,2	24,1	61,4	206,6		
Снижение поверхностью земли возле источника А _з , дБ			G _з =0 h _з =12м	Ф-ла таб.3 [10]	-1,5	-1,5	-1,5	-1,5	-1,5	-1,5	-1,5	-1,5	-1,5	-1,5	-1,5	
Снижение поверхностью земли возле приёмника А _г , дБ			G _г =0 h _г =1,5м	Ф-ла таб.3 [10]	-1,5	-1,5	-1,5	-1,5	-1,5	-1,5	-1,5	-1,5	-1,5	-1,5	-1,5	
Снижение поверхностью земли в средней зоне, А _п , дБ			G _п =0	Ф-ла таб.3 [10]	-2,5	-2,5	-2,5	-2,5	-2,5	-2,5	-2,5	-2,5	-2,5	-2,5	-2,5	
Суммарное снижение поверхностью земли на траектории распространения звука А _{зг} , дБ			Ф-ла (9) [10]	-5,5	-5,5	-5,5	-5,5	-5,5	-5,5	-5,5	-5,5	-5,5	-5,5	-5,5	-5,5	
Снижение уровня звукового давления из-за влияния застройки между источником шума и расчётной точкой																

1			2			3	4	5	6	7	8	9	10	11	12	13	
Длина звуковой волны для среднегеометрической частоты октавной полосы, λ, м						10,79	5,4	2,72	1,36	0,68	0,34	0,17	0,09	0,04			
Критерий наличия экранирования в горизонтальной плоскости						Выр>λ			да	да	да	да	да	да	да		
Траектория над экраном	Промежуточные точки:	Rэк,х,λ = (6790,44;751,99;26,46)	Rэк,х,λ = (6790,44;751,99;26,46)			dэк = 3129,31 м			e = 0,00 м								
		Константа С2, учитывающая эффект отражения от земли возле экрана					20	20	20	20	20	20	20	20	20		
	Константа С3 (дифракция на краях)		Ф-ла (15) [10]			1	1	1	1	1	1	1	1	1	1		
	Kмн (влияние метеосуровой)		Ф-ла (18) [10]			0	0	0	0	0	0	0	0	0	0		
	Dz, дБ		Ф-ла (14) [10]			4,8	4,8	4,8	4,8	4,8	4,8	4,8	4,8	4,8	4,8		
	Снижение 93Д, Абзг, дБ		Ф-ла (12) [10]			4,8	4,8	4,8	4,8	4,8	4,8	4,8	4,8	4,8	4,8		
	Промежуточные точки:	Rэк,х,λ = (6806,59;4708,06;26,46)	Rэк,х,λ = (6812,76;4730,12;25,94)			dэк = 3132,58 м			e = 59,42 м								
		Константа С2, учитывающая эффект отражения от земли возле экрана					20	20	20	20	20	20	20	20	20	20	
	Константа С3 (дифракция на краях)		Ф-ла (15) [10]			1,6	2,2	2,7	2,9	3	3	3	3	3	3	3	
	Kмн (влияние метеосуровой)		Ф-ла (18) [10]			1	1	1	1	1	1	1	1	1	1	1	
Dz, дБ		Ф-ла (14) [10]			14,1	18,3	22,1	25,3	28,4	31,4	34,4	37,5	40,5	40,5			
Снижение 93Д, Абзг, дБ		Ф-ла (13) [10]			14,1	18,3	22,1	25,3	28,4	31,4	34,4	37,5	40,5	40,5			
Траектория слева от экрана	Промежуточные точки:	Rэк,х,λ = (6821,60;4734,06;26,46)	Rэк,х,λ = (6821,60;4734,06;26,46)			dэк = 3138,42 м			e = 65,51 м								
		Константа С2, учитывающая эффект отражения от земли возле экрана					20	20	20	20	20	20	20	20	20	20	
	Константа С3 (дифракция на краях)		Ф-ла (15) [10]			1	1	1	1	1	1	1	1	1	1		
	Kмн (влияние метеосуровой)		Ф-ла (18) [10]			1	1	1	1	1	1	1	1	1	1		
	Dz, дБ		Ф-ла (14) [10]			11,8	14,3	17,1	19,9	22,9	25,9	28,9	31,9	34,9			
	Снижение 93Д, Абзг, дБ		Ф-ла (13) [10]			11,8	14,3	17,1	19,9	22,9	25,9	28,9	31,9	34,9			
	Зн суммы (Абзг, λ)		Ф-ла (13) [10]			3,6	4,1	4,4	4,6	4,7	4,7	4,7	4,8	4,8			
	Общее снижение уровня звука препятствием Абзг, дБ		Ф-ла (13) [10]			0	14,5	18,4	11,7	7,3	0	0	0	0	8	8	
	Уровни звукового давления от источника ИШ-71. Крышный АЗС в расчётной точке днём, дБ		Ф-ла (13) [10]			0	14,5	18,4	11,7	7,3	0	0	0	0	0	8	8
	Уровни звукового давления от источника ИШ-71. Крышный АЗС в расчётной точке ночью, дБ		Ф-ла (13) [10]			0	14,5	18,4	11,7	7,3	0	0	0	0	0	8	8
Источник шума: ИШ-72. Крышный АЗС. координаты источника (х,у,z), м = [6833,26;4712,71;26,50]																	
Уровни звуковой мощности источника днём, лм, дБ						исходные данные			0	91	96	92	93	90	84	76	72
Уровни звуковой мощности источника ночью, лм, дБ						исходные данные			0	91	96	92	93	90	84	76	72
Поправка на телесный угол Ω, дБ						Ω = 6,28			3	3	3	3	3	3	3	3	
Показатель направленности источника Д, дБ						исходные данные			0	0	0	0	0	0	0	0	0
Поправка на направленность источника Дс, дБ						Dс = 0			3	3	3	3	3	3	3	3	
Затухание из-за геометрической дивергенции, Адв, дБ						расстояние r = 320,22 м			81,1								
Коэффициент затухания звука в атмосфере α, дБ/м						T=20, °C P=1013,25 гПа h=770 м			Ф-ла (5) [9]								
Учет затухания звука в атмосфере Аатм, дБ						Gs = 0 hs = 0,3 м Gr = 0 hr = 1,5 м Gm = 0			Ф-ла (8) [10]								
Снижение поверхностью земли возле источника Аз, дБ						Ф-ла таб.3 [10]			-1,5	-1,5	-1,5	-1,5	-1,5	-1,5	-1,5	-1,5	-1,5
Снижение поверхностью земли возле приёмника Аг, дБ						Ф-ла таб.3 [10]			-1,5	-1,5	-1,5	-1,5	-1,5	-1,5	-1,5	-1,5	-1,5
Снижение поверхностью земли в средней зоне, Ап, дБ						Ф-ла таб.3 [10]			-3	-3	-3	-3	-3	-3	-3	-3	-3
Суммарное снижение поверхности земли на траектории распространения звука Абг, дБ						Ф-ла (8) [10]			-6	-6	-6	-6	-6	-6	-6	-6	-6

1			2			3	4	5	6	7	8	9	10	11	12	13	
Уровни звуковой мощности максимального звука источника ночью, Лмх, дБ			исходные данные			0	0	0	0	0	0	0	0	0	0		
			Поправка на телесный угол Ω, дБ			10,64(-7,0)	3	3	3	3	3	3	3	3	3	3	
Показатель направленности источника Д, дБ			исходные данные			0	0	0	0	0	0	0	0	0	0		
Поправка на направленность источника Дс, дБ			Дс			3	3	3	3	3	3	3	3	3	3		
Затухание из-за геометрической дивергенции, Адв, дБ			Ф-ла (7) [10]			81											
Коэффициент затухания звука в атмосфере α, дБ/км			Ф-ла (5) [9]			0,02	0,09	0,33	1,12	2,79	4,98	9,04	23,09	77,63			
Учет затухания звука в атмосфере Аатм, дБ			Ф-ла (8) [10]			0,1	0,3	1,1	3,5	8,8	15,7	28,5	72,9	245,2			
Снижение поверхностью земли возле источника Аз, дБ			Ф-ла таб.3 [10]			-1,5	-1,5	-1,5	-1,5	-1,5	-1,5	-1,5	-1,5	-1,5	-1,5		
Снижение поверхностью земли возле приёмника Аг, дБ			Ф-ла таб.3 [10]			-1,5	-1,5	-1,5	-1,5	-1,5	-1,5	-1,5	-1,5	-1,5	-1,5		
Снижение поверхностью земли в средней зоне, Ап, дБ			Ф-ла таб.3 [10]			-3	-3	-3	-3	-3	-3	-3	-3	-3	-3		
Суммарное снижение поверхностью земли на траектории распространения звука Абг, дБ			Ф-ла (9) [10]			-6	-6	-6	-6	-6	-6	-6	-6	-6	-6		
Снижение уровня звукового давления из-за влияния застройки между источником шума и расчётной точкой																	
Траектория над экраном			Промежуточные точки:			10,79	5,4	2,72	1,36	0,68	0,34	0,17	0,09	0,04			
			Ф-ла (14) [10]			d _{эк} = 3723 м			d _{эк} = 3120,70 м			e = 0,00 м					
			Константа С ₂ , учитывающая эффект отражения от земли возле экрана			20	20	20	20	20	20	20	20	20	20	20	
			Константа С ₃ (дифракция на краях)			1	1	1	1	1	1	1	1	1	1	1	
			K _{мн} (влияние метеослоуций)			0	0	0	0	0	0	0	0	0	0	0	
Дс, дБ			Ф-ла (14) [10]			4,8	4,8	4,8	4,8	4,8	4,8	4,8	4,8	4,8	4,8		
Снижение УЗД, Абзг, дБ			Ф-ла (12) [10]			4,8	4,8	4,8	4,8	4,8	4,8	4,8	4,8	4,8	4,8		
Уровни звукового давления от источника ИШ-70. БЗХ сварочной мастерской в расчётной точке днём, дБ			Ф-ла (13) [10]			0	0	0	0	0	0	0	0	0	0		
Уровни звукового давления от источника ИШ-70. БЗХ сварочной мастерской в расчётной точке ночью, дБ			Ф-ла (13) [10]			0	0	0	0	0	0	0	0	0	0		
Источники шума: ИШ-71. Крышный АЗС. координаты источника (х,у,г), м = [6825,66;4715,24;26,50]																	
Уровни звуковой мощности источника днём, Лм, дБ			исходные данные			0	91	96	92	93	90	84	76	72			
			исходные данные			0	91	96	92	93	90	84	76	72			
Поправка на телесный угол Ω, дБ			10,64(-7,0)			3	3	3	3	3	3	3	3	3			
Показатель направленности источника Д, дБ			исходные данные			0	0	0	0	0	0	0	0	0	0		
Поправка на направленность источника Дс, дБ			Дс			3	3	3	3	3	3	3	3	3	3		
Затухание из-за геометрической дивергенции, Адв, дБ			Ф-ла (7) [10]			81,1											
Коэффициент затухания звука в атмосфере α, дБ/км			Ф-ла (5) [9]			0,02	0,09	0,33	1,12	2,79	4,98	9,04	23,09	77,63			
Учет затухания звука в атмосфере Аатм, дБ			Ф-ла (8) [10]			0,1	0,3	1,1	3,6	8,9	15,9	28,9	73,7	248			
Снижение поверхностью земли возле источника Аз, дБ			Ф-ла таб.3 [10]			-1,5	-1,5	-1,5	-1,5	-1,5	-1,5	-1,5	-1,5	-1,5	-1,5		
Снижение поверхностью земли возле приёмника Аг, дБ			Ф-ла таб.3 [10]			-1,5	-1,5	-1,5	-1,5	-1,5	-1,5	-1,5	-1,5	-1,5	-1,5		
Снижение поверхностью земли в средней зоне, Ап, дБ			Ф-ла таб.3 [10]			-3	-3	-3	-3	-3	-3	-3	-3	-3	-3		
Суммарное снижение поверхностью земли на траектории распространения звука Абг, дБ			Ф-ла (9) [10]			-6	-6	-6	-6	-6	-6	-6	-6	-6	-6		
Снижение уровня звукового давления из-за влияния застройки между источником шума и расчётной точкой																	

1		2		3	4	5	6	7	8	9	10	11	12	13
Суммарное снижение поверхностно земли на траектории распространения звука Авг, дБ		Ф-эл (9) [10]		-6	-6	-6	-6	-6	-6	-6	-6	-6	-6	
Снижение уровня звукового давления из-за влияния застройки между источником шума и расчетной точкой														
Длина звуковой волны для среднегеометрической частоты октавной полосы λ, м														
Горизонтальный размер здания, λ _{гор} = 2,87 м		λ _{гор} > λ		Δλ	Δλ	Δλ	Δλ	Δλ	Δλ	Δλ	Δλ	Δλ	Δλ	
Промежуточные точки:		R _{нр,х,λ} = (961,38;4758,82;26,40)		R _{нр,х,λ} = (961,38;4758,82;26,40)		R _{нр,х,λ} = (961,38;4758,82;26,40)		R _{нр,х,λ} = (961,38;4758,82;26,40)		R _{нр,х,λ} = (961,38;4758,82;26,40)		R _{нр,х,λ} = (961,38;4758,82;26,40)		
Константа С2, учитывающая эффект отражения от земли волле здания		20		20		20		20		20		20		± 0,00 м
Константа С3 (дифракция на кровлях)		Ф-эл (15) [10]		1		1		1		1		1		1
K _{нр} (влияние метеослоев)		Ф-эл (18) [10]		0		0		0		0		0		0
Dz, дБ		Ф-эл (14) [10]		4,8		4,8		4,8		4,8		4,8		4,8
Снижение УЗД, Абвг, дБ		Ф-эл (12) [10]		4,8		4,8		4,8		4,8		4,8		4,8
Промежуточные точки:		R _{нр,х,λ} = (861,78;4751,12;25,40)		Δλ = 20,86 м		Δλ = 21,22-57 м		Δλ = 21,22-57 м		Δλ = 21,22-57 м		Δλ = 21,22-57 м		± 0,78 м
Константа С2, учитывающая эффект отражения от земли волле здания		20		20		20		20		20		20		20
Константа С3 (дифракция на кровлях)		Ф-эл (15) [10]		1,8		2,4		2,8		3		3		3
K _{нр} (влияние метеослоев)		Ф-эл (18) [10]		1		1		1		1		1		1
Dz, дБ		Ф-эл (14) [10]		15,1		19,2		22,7		25,8		28,9		31,9
Снижение УЗД, Абвг, дБ		Ф-эл (13) [10]		15,1		19,2		22,7		25,8		28,9		31,9
Промежуточные точки:		R _{нр,х,λ} = (861,78;4751,12;25,40)		Δλ = 18,58 м		Δλ = 3197,19 м		Δλ = 3197,19 м		Δλ = 3197,19 м		Δλ = 3197,19 м		± 0,77 м
Константа С2, учитывающая эффект отражения от земли волле здания		20		20		20		20		20		20		20
Константа С3 (дифракция на кровлях)		Ф-эл (15) [10]		1		1		1		1		1		1
K _{нр} (влияние метеослоев)		Ф-эл (18) [10]		1		1		1		1		1		1
Dz, дБ		Ф-эл (14) [10]		11,4		13,9		16,6		19,4		22,4		25,3
Снижение УЗД, Абвг, дБ		Ф-эл (13) [10]		11,4		13,9		16,6		19,4		22,4		25,3
Общее снижение уровня звукового давления Абвг, дБ		Эн-суммар Абвг-λ		3,6		4,1		4,4		4,6		4,7		4,7
Уровни звукового давления от источника ИШ-73. Крайний ЭЗКС в расчётном точке днем, дБ		Ф-эл(9)[10]		0		14,4		18,3		11,6		7,2		0
Уровни звукового давления от источника ИШ-73. Крайний ЭЗКС в расчётном точке ночью, дБ		Ф-эл(9)[10]		0		14,4		18,3		11,6		7,2		0

Источник шума: ИШ-74. Крышный АЗС, координаты источника (x,y,z), m=[6847.04,4707.93,26.50]

Уровни звуковой мощности источника $L_{w, ДБ}$	исходные данные	0	91	96	92	93	90	84	76	72
Уровни звуковой мощности источника ночью, $L_{w, ДБ}$	исходные данные	0	91	96	92	93	90	84	76	72
Поправка на телесный угол Ω , ДБ	$\Omega = 6,28$	3	3	3	3	3	3	3	3	3
Показатель направленности источника D_i , ДБ	исходные данные	0	0	0	0	0	0	0	0	0
Поправка на направленность источника D_c , ДБ	$D_i + D_c$	3	3	3	3	3	3	3	3	3
Затухание из-за геометрической дивергенции, A_{div} , ДБ	расстояние = 321,638 м	81,1								
Коэффициент затухания звука в атмосфере α , ДБ/км	$T_a = 20,0^\circ C$ $P_a = 1013,25 Па$ $h_{atm} = 700 м$	0,02	0,09	0,33	1,12	2,79	4,98	9,04	23,09	77,63
Учет затухания звука в атмосфере A_{atm} , ДБ	$\Phi = \alpha S [9]$	0,1	0,3	1,1	3,6	9	16	29,1	74,3	249,7
Снижение поверхности земли возле источника A_z , ДБ	$G_z = 0$ $H_z = 0,1 м$	-1,5	-1,5	-1,5	-1,5	-1,5	-1,5	-1,5	-1,5	-1,5
Снижение поверхностью земли возле приемника A_g , ДБ	$G_g = 0$ $H_g = 1,5 м$	-4,5	-4,5	-1,5	-4,5	-4,5	-4,5	-1,5	-4,5	-4,5

1		2		3	4	5	6	7	8	9	10	11	12	13
Снижение уровня звукового давления из-за влияния застройки между источником шума и расчётной точкой														
Длина звуковой волны для среднегометрической частоты октавной полосы, λ, м				10,79	5,4	2,72	1,36		0,68	0,34	0,17	0,09	0,04	
Горизонтальный размер здания, м														
Бьер > λ				Да	Да	Да	Да	Да	Да	Да	Да	Да	Да	
Горизонтальная плоскости														
Промежуточные тонкие: $R_{\text{фн}, \text{д}1} = (9761,00; 7538,26; 40)$														
Константа С2, учитывающая эффект отражения от земли возле здания														
Ф-на (15) [100]				20	20	20	20	20	20	20	20	20	20	
Константа С3 (дифракция на кровле)														
Ф-на (15) [100]				1	1	1	1	1	1	1	1	1	1	
K _{мет} (влияние метеорологии)														
Ф-на (18) [100]				0	0	0	0	0	0	0	0	0	0	
Dz, дБ				4,8	4,8	4,8	4,8	4,8	4,8	4,8	4,8	4,8	4,8	
Снижение УЗД, Абвг, дБ														
Промежуточные тонкие: $R_{\text{фн}, \text{д}1} = (9751,78; 7470,11; 25,86)$														
Константа С2, учитывающая эффект отражения от земли возле здания														
Ф-на (15) [100]				20	20	20	20	20	20	20	20	20	20	
Константа С3 (дифракция на кровле)														
Ф-на (15) [100]				1,7	2,3	2,8	2,9	3	3	3	3	3	3	
K _{мет} (влияние метеорологии)														
Ф-на (18) [100]				1	1	1	1	1	1	1	1	1	1	
Dz, дБ				14,6	18,8	22,4	25,6	28,6	31,7	34,7	37,7	40,7		
Снижение УЗД, Абвг, дБ														
Промежуточные тонкие: $R_{\text{фн}, \text{д}1} = (9828,93; 7471,15; 26,40)$														
Константа С2, учитывающая эффект отражения от земли возле здания														
Ф-на (15) [100]				20	20	20	20	20	20	20	20	20	20	
Константа С3 (дифракция на кровле)														
Ф-на (15) [100]				1	1	1	1	1	1	1	1	1	1	
K _{мет} (влияние метеорологии)														
Ф-на (18) [100]				1	1	1	1	1	1	1	1	1	1	
Dz, дБ				11,6	14,1	16,8	19,7	22,6	25,6	28,6	31,6	34,6		
Снижение УЗД, Абвг, дБ														
Промежуточные тонкие: $R_{\text{фн}, \text{д}1} = (8428,29; 6705,11; 26,40)$														
Константа С2, учитывающая эффект отражения от земли возле здания														
Ф-на (15) [100]				3,6	4,1	4,4	4,6	4,7	4,7	4,7	4,8	4,8		
Константа С3 (дифракция на кровле)														
Ф-на (18) [100]				1	1	1	1	1	1	1	1	1	1	
K _{мет} (влияние метеорологии)														
Ф-на (14) [100]				11,6	14,1	16,8	19,7	22,6	25,6	28,6	31,6	34,6		
Dz, дБ														
Снижение УЗД, Абвг, дБ														
Промежуточные тонкие: $R_{\text{фн}, \text{д}1} = (8428,29; 6705,11; 26,40)$														
Константа С2, учитывающая эффект отражения от земли возле здания														
Ф-на (15) [100]				1	1	1	1	1	1	1	1	1	1	
Константа С3 (дифракция на кровле)														
Ф-на (18) [100]				1	1	1	1	1	1	1	1	1	1	
K _{мет} (влияние метеорологии)														
Ф-на (14) [100]				11,6	14,1	16,8	19,7	22,6	25,6	28,6	31,6	34,6		
Dz, дБ														
Снижение УЗД, Абвг, дБ														
Промежуточные тонкие: $R_{\text{фн}, \text{д}1} = (8428,29; 6705,11; 26,40)$														
Константа С2, учитывающая эффект отражения от земли возле здания														
Ф-на (15) [100]				3,6	4,1	4,4	4,6	4,7	4,7	4,7	4,8	4,8		
Константа С3 (дифракция на кровле)														
Ф-на (18) [100]				0	14,4	18,4	11,7	7,2	0	0	0	0	8	8
Уровни звукового давления от источника ИШ-72. Крышный АЗКС с расчётной точкой днём, дБ														
Уровни звукового давления от источника ИШ-72. Крышный АЗКС с расчётной точкой ночью, дБ				0	14,4	18,4	11,7	7,2	0	0	0	0	8	8

Источник шума: ИШ-73. Крышный АЗС, координаты источника (x,y,z), m = [6840.99, 4710.18, 26.50]

[illegible]

1		2		3	4	5	6	7	8	9	10	11	12	13
Снижение поверхности земли возле приёмника Аг, дБ	Gг = 0 Hг = 1,5м	Ф-ла таб.3 [10]		-1,5	-1,5	-1,5	-1,5	-1,5	-1,5	-1,5	-1,5	-1,5	-1,5	-1,5
		Ф-ла таб.3 [10]		-3	-3	-3	-3	-3	-3	-3	-3	-3	-3	-3
		Суммарное снижение поверхности земли на траектории распространения звука Абг, дБ		Ф-ла (9) [10]		-6	-6	-6	-6	-6	-6	-6	-6	-6
		Снижение уровня звукового давления из-за влияния застройки между источником шума и расчётной точкой												
Длина звуковой волны для среднегеометрической частоты октавной полосы, λ, м		10,79		5,4	2,72	1,36	0,68	0,34	0,17	0,09	0,04			
Критерий наличия экранирования в горизонтальной плоскости	Горизонтальный размер экрана, λэк = 29,39 м	λэк > λ		ДА	ДА	ДА	ДА	ДА	ДА	ДА	ДА	ДА	ДА	ДА
		Промежуточные точки:		Rэкх,λ = (6762,17;4737,36;40) (6762,17;4737,36;40)		dг = 104,58 м		dг = 318,69 м		e = 0,00 м		z = 0,00 м		
		Константа С2, учитывающая эффект отражения от земли возле экрана		20		20	20	20	20	20	20	20	20	20
		Константа С3 (дифракция на краяхах)		Ф-ла (15) [10]		1	1	1	1	1	1	1	1	1
Траектория над экраном	Kэк (влияние метеословий)	Ф-ла (18) [10]		0	0	0	0	0	0	0	0	0	0	0
		Dz, дБ		Ф-ла (14) [10]		4,8	4,8	4,8	4,8	4,8	4,8	4,8	4,8	4,8
		Снижение УЗД, Абвг, дБ		Ф-ла (12) [10]		4,8	4,8	4,8	4,8	4,8	4,8	4,8	4,8	4,8
		Промежуточные точки:		Rэкх,λ = (6841,5;4679,19;36,40) (6841,5;4679,19;36,40)		dг = 20,81 м		dг = 312,57 м		e = 88,69 м		z = 8,80 м		
		Константа С2, учитывающая эффект отражения от земли возле экрана		20		20	20	20	20	20	20	20	20	20
		Константа С3 (дифракция на краяхах)		Ф-ла (15) [10]		1,9	2,6	2,9	3	3	3	3	3	3
Траектория слева от экрана	Kэк (влияние метеословий)	Ф-ла (18) [10]		1	1	1	1	1	1	1	1	1	1	1
		Dz, дБ		Ф-ла (14) [10]		15,4	19,4	22,8	25,9	28,9	31,9	34,9	37,9	40,9
		Снижение УЗД, Абвг, дБ		Ф-ла (13) [10]		15,4	19,4	22,8	25,9	28,9	31,9	34,9	37,9	40,9
		Промежуточные точки:		Rэкх,λ = (6848,76;4732,36;40) (6848,76;4732,36;40)		dг = 18,71 м		dг = 320,41 м		e = 0,00 м		z = 5,83 м		
		Константа С2, учитывающая эффект отражения от земли возле экрана		20		20	20	20	20	20	20	20	20	20
		Константа С3 (дифракция на краяхах)		Ф-ла (15) [10]		1	1	1	1	1	1	1	1	1
Траектория справа от экрана	Kэк (влияние метеословий)	Ф-ла (18) [10]		1	1	1	1	1	1	1	1	1	1	1
		Dz, дБ		Ф-ла (14) [10]		11,4	13,9	16,6	19,5	22,4	25,4	28,4	31,4	34,4
		Снижение УЗД, Абвг, дБ		Ф-ла (13) [10]		11,4	13,9	16,6	19,5	22,4	25,4	28,4	31,4	34,4
		Промежуточные точки:		Rэкх,λ = (6848,76;4732,36;40) (6848,76;4732,36;40)		dг = 18,71 м		dг = 320,41 м		e = 0,00 м		z = 5,83 м		
		Константа С2, учитывающая эффект отражения от земли возле экрана		20		20	20	20	20	20	20	20	20	20
		Константа С3 (дифракция на краяхах)		Ф-ла (15) [10]		1	1	1	1	1	1	1	1	1
Общее снижение уровня звука препятствием Абвг, дБ		Эк-сумма (Абвг,λ)		3,6	4,1	4,4	4,6	4,7	4,7	4,7	4,8	4,8		
Уровни звукового давления от источника ИШ-75. Крышный АЗКС в расчётной точке днём, дБ		Ф-ла(9) [10]		0	14,4	18,3	11,6	7,1	0	0	0	0	7,9	7,9
Уровни звукового давления от источника ИШ-75. Крышный АЗКС в расчётной точке ночью, дБ		Ф-ла(9) [10]		0	14,4	18,3	11,6	7,1	0	0	0	0	7,9	7,9
Источники шума: ИШ-76. Крышный АЗКС, координаты источника (х,у,z), м = [6859,27;4702,73;26,50]														
Уровни звуковой мощности источника днём, лм, дБ		исходные данные		0	91	96	92	93	90	84	76	72		
Уровни звуковой мощности источника ночью, лм, дБ		исходные данные		0	91	96	92	93	90	84	76	72		
Поправка на телесный угол Dα, дБ		Ω = 6,28		3	3	3	3	3	3	3	3	3	3	3
Показатель направленности источника D1, дБ		исходные данные		0	0	0	0	0	0	0	0	0	0	0
Поправка на направленности источника Dα, дБ		Dα + D1		3	3	3	3	3	3	3	3	3	3	3
Затухание из-за геометрической дивергенции, Адв, дБ		Ф-ла (7) [10]		81,2										
Коэффициент затухания звука в атмосфере α, дБ/км		Ф-ла (5) [9]		0,02	0,09	0,33	1,12	2,79	4,98	9,04	23,09	77,63		
Учет затухания звука в атмосфере Аатм, дБ		Ф-ла (8) [10]		0,1	0,3	1,1	3,6	9	16,1	29,2	74,6	250,7		

1		2		3	4	5	6	7	8	9	10	11	12	13	
Снижение поверхностью земли в средней зоне, Ап дБ		Ф-ла таб.3 [10]		-3	-3	-3	-3	-3	-3	-3	-3	-3	-3	-3	
Суммарное снижение поверхности земли на траектории распространения звука Абг, дБ		Ф-ла (9) [10]		-6	-6	-6	-6	-6	-6	-6	-6	-6	-6	-6	
Снижение уровня звукового давления из-за влияния застройки между источником шума и расчётной точкой															
Длина звуковой волны для среднегеометрической частоты октавной полосы, λ, м				10,79	5,4	2,72	1,36	0,68	0,34	0,17	0,09	0,04			
Критерий наличия экранирования в горизонтальной плоскости		Горизонтальный размер экрана, λэк = 29,28 м		λэк > λ	да	да	да	да	да	да	да	да	да	да	
		Промежуточные точки:	Rэк(х,λ) = (6761,94;4753,26;40) (6761,94;4753,26;40)	Rэк(х,λ) = (6761,94;4753,26;40)	dэк = 97,60 м	dэк = 318,78 м	e = 0,00 м	e = 0,00 м	e = 0,00 м	e = 0,00 м	e = 0,00 м	e = 0,00 м	e = 0,00 м	e = 0,00 м	
Травектория над экраном		Константа С2, учитывающая эффект отражения от земли возле экрана		20	20	20	20	20	20	20	20	20	20	20	
		Константа С1 (дифракция на краяхах)		Ф-ла (15) [10]		1	1	1	1	1	1	1	1	1	
		Kэк (влияние метеосусловий)		Ф-ла (18) [10]		0	0	0	0	0	0	0	0	0	
		Dz, дБ		Ф-ла (14) [10]		4,8	4,8	4,8	4,8	4,8	4,8	4,8	4,8	4,8	
		Снижение УЗД, Абвг, дБ		Ф-ла (12) [10]		4,8	4,8	4,8	4,8	4,8	4,8	4,8	4,8	4,8	
Травектория слева от экрана		Промежуточные точки:	Rэк(х,λ) = (6871,78;4693,76;40) (6871,78;4693,76;40)	Rэк(х,λ) = (6871,78;4693,76;40)	dэк = 21,00 м	dэк = 312,57 м	e = 81,78 м	e = 8,86 м							
		Константа С2, учитывающая эффект отражения от земли возле экрана		20	20	20	20	20	20	20	20	20	20	20	
		Константа С1 (дифракция на краяхах)		Ф-ла (15) [10]		1,9	2,5	2,8	3	3	3	3	3	3	
		Kэк (влияние метеосусловий)		Ф-ла (18) [10]		1	1	1	1	1	1	1	1	1	
		Dz, дБ		Ф-ла (14) [10]		15,3	19,4	22,8	25,9	29	32	35	38	41	
Травектория справа от экрана		Снижение УЗД, Абвг, дБ	Ф-ла (13) [10]		15,3	19,4	22,8	25,9	29	32	35	38	41		
		Промежуточные точки:	Rэк(х,λ) = (6842,33;4725,82;40) (6842,33;4725,82;40)	Rэк(х,λ) = (6842,33;4725,82;40)	dэк = 18,48 м	dэк = 3203,54 м	e = 0,00 м	e = 5,66 м							
		Константа С2, учитывающая эффект отражения от земли возле экрана		20	20	20	20	20	20	20	20	20	20	20	
		Константа С1 (дифракция на краяхах)		Ф-ла (15) [10]		1	1	1	1	1	1	1	1	1	
		Kэк (влияние метеосусловий)		Ф-ла (18) [10]		1	1	1	1	1	1	1	1	1	
Общее снижение уровня звука препятствием Абвг, дБ		Dz, дБ		Ф-ла (14) [10]		11,3	13,8	16,5	19,4	22,3	25,3	28,3	31,3	34,3	
		Снижение УЗД, Абвг, дБ		Ф-ла (13) [10]		11,3	13,8	16,5	19,4	22,3	25,3	28,3	31,3	34,3	
		Эк-сумм(Абвг,λ)		3,6		4,1	4,4	4,6	4,7	4,7	4,7	4,8	4,8		
		Уровни звукового давления от источника ИШ-74. Крышный АЗКС в расчётной точке днём, дБ		Ф-ла(9) [10]		0	14,4	18,3	11,6	7,2	0	0	0	0	8
		Уровни звукового давления от источника ИШ-74. Крышный АЗКС в расчётной точке ночью, дБ		Ф-ла(9) [10]		0	14,4	18,3	11,6	7,2	0	0	0	0	8
Источники шума: ИШ-75. Крышный АЗКС, координаты источника (х,у,z), м = [6853,36;4705,12;26,50]															
Уровни звуковой мощности источника днём, лм, дБ				исходные данные	0	91	96	92	93	90	84	76	72		
Уровни звуковой мощности источника ночью, лм, дБ				исходные данные	0	91	96	92	93	90	84	76	72		
Поправка на телесный угол Dα, дБ				Ω = 6,28	3	3	3	3	3	3	3	3	3		
Показатель направленности источника D1, дБ				исходные данные	0	0	0	0	0	0	0	0	0		
Поправка на направленность источника Dα, дБ				Dα + D1	3	3	3	3	3	3	3	3	3		
Затухание из-за геометрической дивергенции, Адв, дБ				Ф-ла (7) [10]	81,2										
Коэффициент затухания звука в атмосфере α, дБ/км				Тем=20,°C Pат=10133,0Па Влаж=70%	0,02	0,09	0,33	1,12	2,79	4,98	9,04	23,09	77,63		
Учет затухания звука в атмосфере Атм, дБ				Ф-ла (8) [10]	0,1	0,3	1,1	3,6	9	16	29,1	74,4	250,2		
Снижение поверхностью земли возле источника Аз, дБ				Ф-ла таб.3 [10]	-1,5	-1,5	-1,5	-1,5	-1,5	-1,5	-1,5	-1,5	-1,5	-1,5	

1		2		3	4	5	6	7	8	9	10	11	12	13
Снижение поверхности земли возле приёмника Аг, дБ	Gr = 0 Hг = 1,5м		Ф-ла таб.3 [10]	-1,5		-1,5	-1,5	-1,5	-1,5	-1,5	-1,5	-1,5	-1,5	-1,5
	Gr = 0			-2,8		-2,8	-2,8	-2,8	-2,8	-2,8	-2,8	-2,8	-2,8	-2,8
Суммарное снижение поверхности земли на траектории распространения звука Абг, дБ		Ф-ла (9) [10]		-5,8		-5,8	-5,8	-5,8	-5,8	-5,8	-5,8	-5,8	-5,8	-5,8
Снижение уровня звукового давления из-за влияния застройки между источником шума и расчётной точкой														
Длина звуковой волны для среднегеометрической частоты октавной полосы, λ, м		10,79		5,4	2,72	1,36	0,68	0,34	0,17	0,09	0,04			
Траектория над экраном	Промежуточные тоны:	Рф,к,у,д = (6918,50;4227,06;7,75)	65 ± 19,11 м		dф = 35,9; 0,2 м		e = 0,00 м							
	Константа С2, учитывающая эффект отражения от земли возле экрана		20		20	20	20	20	20	20	20	20	20	20
	Константа С3 (дифракция на краяхах)		Ф-ла (15) [10]		1	1	1	1	1	1	1	1	1	1
	Kсум (влияние метеорологии)		Ф-ла (18) [10]		0		0	0	0	0	0	0	0	0
	Dз, дБ		Ф-ла (14) [10]		4,8	4,8	4,8	4,8	4,8	4,8	4,8	4,8	4,8	4,8
Снижение УЗД, Абг, дБ		Ф-ла (12) [10]		4,8	4,8	4,8	4,8	4,8	4,8	4,8	4,8	4,8	4,8	4,8
Уровни звукового давления от источника ИШ-80. П2 наполнительная азота в расчётной точке днём, дБ		Ф-ла(9)[10]		0		0	0	0	0	0	0	0	0	0
Уровни звукового давления от источника ИШ-80. П2 наполнительная азота в расчётной точке ночью, дБ		Ф-ла(9)[10]		0		0	0	0	0	0	0	0	0	0
Источник шума: ИШ-81. П3 склад наполненных и порожних баллонов, координаты источника (х,у,г), м=[6940,74;4233,40;7,75]														
Уровни звуковой мощности источника днём, Лв, дБ		исходные данные		0	71	71,1	79,2	72,5	70,8	68,8	60,8	51,8		
Уровни звуковой мощности источника ночью, Лв, дБ		исходные данные		0	71	71,1	79,2	72,5	70,8	68,8	60,8	51,8		
Поправка на телесный угол DΔ, дБ		Δ = 6,28		10dφ/(πr ²)		3	3	3	3	3	3	3	3	3
Показатель направленности источника D1, дБ		исходные данные		0		0	0	0	0	0	0	0	0	0
Поправка на направленность источника Dс, дБ		Dс		DΔ + D1		3	3	3	3	3	3	3	3	3
Заглушение из-за геометрической дифракции, Δдв, дБ														
Коэффициент затухания звука в атмосфере α, дБ/км		Темп. °С Р=1013,3 гПа hотп=70%		0,02		0,09	0,33	1,12	2,79	4,98	9,04	23,09	77,63	
Учет затухания звука в атмосфере Аатм, дБ		Ф-ла (8) [10]		0,1		0,3	1,2	4	9,9	17,7	32,1	81,9	275,6	
Снижение поверхности земли возле источника Аз, дБ		Gr = 0 Hг = 7,8м		-1,5		-1,5	-1,5	-1,5	-1,5	-1,5	-1,5	-1,5	-1,5	-1,5
Снижение поверхности земли возле приёмника Аг, дБ		Gr = 0 Hг = 1,5м		-1,5		-1,5	-1,5	-1,5	-1,5	-1,5	-1,5	-1,5	-1,5	-1,5
Снижение поверхности земли в средней зоне, Ап, дБ		Gr = 0		-2,8		-2,8	-2,8	-2,8	-2,8	-2,8	-2,8	-2,8	-2,8	-2,8
Суммарное снижение поверхности земли на траектории распространения звука Абг, дБ		Ф-ла (9) [10]		-5,8		-5,8	-5,8	-5,8	-5,8	-5,8	-5,8	-5,8	-5,8	-5,8
Снижение уровня звукового давления из-за влияния застройки между источником шума и расчётной точкой														
Длина звуковой волны для среднегеометрической частоты октавной полосы, λ, м		10,79		5,4	2,72	1,36	0,68	0,34	0,17	0,09	0,04			
Траектория над экраном	Промежуточные тоны:	Рф,к,у,д = (6918,50;4227,06;7,75)	65 ± 19,17 м		dф = 35,9; 0,31 м		e = 0,00 м							
	Константа С2, учитывающая эффект отражения от земли возле экрана		20		20	20	20	20	20	20	20	20	20	20
	Константа С3 (дифракция на краяхах)		Ф-ла (15) [10]		1	1	1	1	1	1	1	1	1	1
	Kсум (влияние метеорологии)		Ф-ла (18) [10]		0		0	0	0	0	0	0	0	0
	Dз, дБ		Ф-ла (14) [10]		4,8	4,8	4,8	4,8	4,8	4,8	4,8	4,8	4,8	4,8
Снижение УЗД, Абг, дБ		Ф-ла (12) [10]		4,8	4,8	4,8	4,8	4,8	4,8	4,8	4,8	4,8	4,8	4,8
Уровни звукового давления от источника ИШ-81. П3 склад наполненных и порожних баллонов в расчётной точке днём, дБ		Ф-ла(9)[10]		0		0	0	0	0	0	0	0	0	0
Уровни звукового давления от источника ИШ-81. П3 склад наполненных и порожних баллонов в расчётной точке ночью, дБ		Ф-ла(9)[10]		0		0	0	0	0	0	0	0	0	0

1																				2	3	4	5	6	7	8	9	10	11	12	13																																																																																																																																																																																																																																																																																																																																																																																																																										
Суммарное снижение поверхности земли на траектории распространения звука Абг, дБ																				Ф-м (9) [10]									-5,8	-5,8	-5,8	-5,8	-5,8	-5,8	-5,8																																																																																																																																																																																																																																																																																																																																																																																																																						
Снижение уровня звукового давления из-за влияния застройки между источником шума и расчётной точкой																																																																																																																																																																																																																																																																																																																																																																																																																																																									
Длина звуковой волны для среднегеометрической частоты октавной полосы, λ, м																				10/79	5/4	2/72	1/36	0,68	0,34	0,17	0,09	0,04																																																																																																																																																																																																																																																																																																																																																																																																																													
																				Промежуточные точки:		Ф-м (14) =		Ф-м (15) =		Ф-м (16) =		Ф-м (17) =		Ф-м (18) =		Ф-м (19) =		Ф-м (20) =																																																																																																																																																																																																																																																																																																																																																																																																																							
																				Рэкв,дБ =		Rэкв,дБ =		Rэкв,дБ =		Rэкв,дБ =		Rэкв,дБ =		Rэкв,дБ =		Rэкв,дБ =		Rэкв,дБ =																																																																																																																																																																																																																																																																																																																																																																																																																							
																				[6915,14,4002,76,6,93]		[6915,14,4002,76,6,93]		[6915,14,4002,76,6,93]		[6915,14,4002,76,6,93]		[6915,14,4002,76,6,93]		[6915,14,4002,76,6,93]		[6915,14,4002,76,6,93]		[6915,14,4002,76,6,93]																																																																																																																																																																																																																																																																																																																																																																																																																							
																				Константа С2, учитывающая эффект отражения от земли возле здания		20		20		20		20		20		20		20		20																																																																																																																																																																																																																																																																																																																																																																																																																					
Препятствие справа от трассы ИШ-РТ																				Константа С3 (дифракция на кровле)		1		1		1		1		1		1		1																																																																																																																																																																																																																																																																																																																																																																																																																							
																				Kволн (влияние метеорологии)		1		1		1		1		1		1		1																																																																																																																																																																																																																																																																																																																																																																																																																							
																				Dz, дБ		0		4,5		4,2		3,5		1,8		0		0																																																																																																																																																																																																																																																																																																																																																																																																																							
																				Снижение УЗД, Абг, дБ		Ф-м (13) [10]		0		4,5		4,2		3,5		1,8		0																																																																																																																																																																																																																																																																																																																																																																																																																							
* отрицательное значение означает просхождение траектории обогн здания, в этом случае дополнительно производится расчёт снижения подстилающей поверхности (по м.ш.м.)																																																																																																																																																																																																																																																																																																																																																																																																																																																									
Уровни звукового давления от источника ИШ-83, П5 помещение прилегающего красоя в расчётной точке днём, дБ																				Ф-м(9) [10]																				0	0	0	0	0	0	0	0	0																																																																																																																																																																																																																																																																																																																																																																																																									
Уровни звукового давления от источника ИШ-83, П5 помещение прилегающего красоя в расчётной точке ночью, дБ																				Ф-м(9) [10]																				0	0	0	0	0	0	0	0	0																																																																																																																																																																																																																																																																																																																																																																																																									
Источники шума: ИШ-84, Б2 помещения окраски, координаты источника (х,у,г), м = [6919,18,4229,57,7,75]																																																																																																																																																																																																																																																																																																																																																																																																																																																									
Уровни звуковой мощности источника днём, Лв, дБ																				исходные данные																				0	5/7,5	64	76,5	68	70,2	68,2	60,2	51,2																																																																																																																																																																																																																																																																																																																																																																																																									
Уровни звуковой мощности максимального звука источника днём, Лвх, дБ																				исходные данные																				0	57,5	64	76,5	68	70,2	68,2	60,2	51,2																																																																																																																																																																																																																																																																																																																																																																																																									
Уровни звуковой мощности источника ночью, Лв, дБ																				исходные данные																				0	0	0	0	0	0	0	0	0	0	0	0																																																																																																																																																																																																																																																																																																																																																																																																						
Уровни звуковой мощности максимального звука источника ночью, Лвх, дБ																				исходные данные																				0	0	0	0	0	0	0	0	0	0	0	0																																																																																																																																																																																																																																																																																																																																																																																																						
Поправка на телесный угол D0, дБ																				Ω = 6,28																				10lg(4πr²/D²)																				3	3	3	3	3	3	3	3	3																																																																																																																																																																																																																																																																																																																																																																																					
Показатель направленности источника D1, дБ																				исходные данные																				0																				0	0	0	0	0	0	0	0																																																																																																																																																																																																																																																																																																																																																																																						
Поправка на направленность источника Dc, дБ																				Dc																				D02 = Dc																				3	3	3	3	3	3	3	3	3																																																																																																																																																																																																																																																																																																																																																																																					
Заглушение из-за геометрической дивергенции, Абв, дБ																				расстояние = 393,413 м.																				Ф-м (7) [10]																				82																																																																																																																																																																																																																																																																																																																																																																																													
Коэффициент заглушения звука в атмосфере α, дБ/м																				Т=20,°С Р=1013,25Па Плот.=1,20кг/м³																				Ф-м (12) [9]																				0,02	0,09	0,33	1,12	2,79	4,98	9,04	23,09	77,63																																																																																																																																																																																																																																																																																																																																																																																					
Учет заглушения звука в атмосфере Аатм, дБ																				Гs = 0 Rn = 78м																				Ф-м (8) [10]																				0,1	0,3	1,2	4	9,9	17,6	31,9	81,6	274,4																																																																																																																																																																																																																																																																																																																																																																																					
Снижение поверхность земли возле источника Аз, дБ																				Gs = 0 Rn = 78м																				Ф-м таб.3 [10]																				-1,5	-1,5	-1,5	-1,5	-1,5	-1,5	-1,5	-1,5	-1,5	-1,5	-1,5	-1,5																																																																																																																																																																																																																																																																																																																																																																																		
Снижение поверхность земли возле приёмника Аг, дБ																				Gr = 0 Rn = 1,5м																				Ф-м таб.3 [10]																				-1,5	-1,5	-1,5	-1,5	-1,5	-1,5	-1,5	-1,5	-1,5	-1,5	-1,5																																																																																																																																																																																																																																																																																																																																																																																			
Снижение поверхность земли в средней зоне, Ап дБ																				Gm = 0																				Ф-м таб.3 [10]																				-2,8	-2,8	-2,8	-2,8	-2,8	-2,8	-2,8	-2,8	-2,8	-2,8	-2,8																																																																																																																																																																																																																																																																																																																																																																																			
Суммарное снижение поверхность земли на траектории распространения звука Абг, дБ																				Ф-м (9) [10]																				-5,8																				-5,8	-5,8	-5,8	-5,8	-5,8	-5,8	-5,8	-5,8	-5,8	-5,8																																																																																																																																																																																																																																																																																																																																																																																				
Снижение уровня звукового давления из-за влияния застройки между источником шума и расчётной точкой																																																																																																																																																																																																																																																																																																																																																																																																																																																									
Длина звуковой волны для среднегеометрической частоты октавной полосы, λ, м																				10/79																				5/4																				2/72																				1/36																				0,68																				0,34																				0,17																				0,09																				0,04																																																																																																																																																																																																																																																																					
Препятствие слева от трассы ИШ-РТ																				Промежуточные точки:		Рэкв,дБ =		Rэкв,дБ =		Rэкв,дБ =		Rэкв,дБ =		Rэкв,дБ =		Rэкв,дБ =		Rэкв,дБ =		Rэкв,дБ =		Rэкв,дБ =		Rэкв,дБ =		Rэкв,дБ =		Rэкв,дБ =		Rэкв,дБ =		Rэкв,дБ =		Rэкв,дБ =		Rэкв,дБ =		Rэкв,дБ =		Rэкв,дБ =		Rэкв,дБ =		Rэкв,дБ =		Rэкв,дБ =		Rэкв,дБ =		Rэкв,дБ =		Rэкв,дБ =		Rэкв,дБ =		Rэкв,дБ =		Rэкв,дБ =		Rэкв,дБ =		Rэкв,дБ =		Rэкв,дБ =		Rэкв,дБ =		Rэкв,дБ =		Rэкв,дБ =		Rэкв,дБ =		Rэкв,дБ =		Rэкв,дБ =		Rэкв,дБ =		Rэкв,дБ =		Rэкв,дБ =		Rэкв,дБ =		Rэкв,дБ =		Rэкв,дБ =		Rэкв,дБ =		Rэкв,дБ =		Rэкв,дБ =		Rэкв,дБ =		Rэкв,дБ =		Rэкв,дБ =		Rэкв,дБ =		Rэкв,дБ =		Rэкв,дБ =		Rэкв,дБ =		Rэкв,дБ =		Rэкв,дБ =		Rэкв,дБ =		Rэкв,дБ =		Rэкв,дБ =		Rэкв,дБ =		Rэкв,дБ =		Rэкв,дБ =		Rэкв,дБ =		Rэкв,дБ =		Rэкв,дБ =		Rэкв,дБ =		Rэкв,дБ =		Rэкв,дБ =		Rэкв,дБ =		Rэкв,дБ =		Rэкв,дБ =		Rэкв,дБ =		Rэкв,дБ =		Rэкв,дБ =		Rэкв,дБ =		Rэкв,дБ =		Rэкв,дБ =		Rэкв,дБ =		Rэкв,дБ =		Rэкв,дБ =		Rэкв,дБ =		Rэкв,дБ =		Rэкв,дБ =		Rэкв,дБ =		Rэкв,дБ =		Rэкв,дБ =		Rэкв,дБ =		Rэкв,дБ =		Rэкв,дБ =		Rэкв,дБ =		Rэкв,дБ =		Rэкв,дБ =		Rэкв,дБ =		Rэкв,дБ =		Rэкв,дБ =		Rэкв,дБ =		Rэкв,дБ =		Rэкв,дБ =		Rэкв,дБ =		Rэкв,дБ =		Rэкв,дБ =		Rэкв,дБ =		Rэкв,дБ =		Rэкв,дБ =		Rэкв,дБ =		Rэкв,дБ =		Rэкв,дБ =		Rэкв,дБ =		Rэкв,дБ =		Rэкв,дБ =		Rэкв,дБ =		Rэкв,дБ =		Rэкв,дБ =		Rэкв,дБ =		Rэкв,дБ =		Rэкв,дБ =		Rэкв,дБ =		Rэкв,дБ =		Rэкв,дБ =		Rэкв,дБ =		Rэкв,дБ =		Rэкв,дБ =		Rэкв,дБ =		Rэкв,дБ =		Rэкв,дБ =		Rэкв,дБ =		Rэкв,дБ =		Rэкв,дБ =		Rэкв,дБ =		Rэкв,дБ =		Rэкв,дБ =		Rэкв,дБ =		Rэкв,дБ =		Rэкв,дБ =		Rэкв,дБ =		Rэкв,дБ =		Rэкв,дБ =		Rэкв,дБ =		Rэкв,дБ =		Rэкв,дБ =		Rэкв,дБ =		Rэкв,дБ =		Rэкв,дБ =		Rэкв,дБ =		Rэкв,дБ =		Rэкв,дБ =		Rэкв,дБ =		Rэкв,дБ =		Rэкв,дБ =		Rэкв,дБ =		Rэкв,дБ =		Rэкв,дБ =		Rэкв,дБ =		Rэкв,дБ =		Rэкв,дБ =		Rэкв,дБ =		Rэкв,дБ =		Rэкв,дБ =		Rэкв,дБ =		Rэкв,дБ =		Rэкв,дБ =		Rэкв,дБ =		Rэкв,дБ =		Rэкв,дБ =		Rэкв,дБ =		Rэкв,дБ =		Rэкв,дБ =		Rэкв,дБ =		Rэкв,дБ =		Rэкв,дБ =		Rэкв,дБ =		Rэкв,дБ =		Rэкв,дБ =		Rэкв,дБ =		Rэкв,дБ =		Rэкв,дБ =		Rэкв,дБ =		Rэкв,дБ =		Rэкв,дБ =		Rэкв,дБ =		Rэкв,дБ =		Rэкв,дБ =		Rэкв,дБ =		Rэкв,дБ =		Rэкв,дБ =		Rэкв,дБ =		Rэкв,дБ =		Rэкв,дБ =		Rэкв,дБ =		Rэкв,дБ =		Rэкв,дБ =		Rэкв,дБ =		Rэкв,дБ =		Rэкв,дБ =		Rэкв,дБ =		Rэкв,дБ =		Rэкв,дБ =		Rэкв,дБ =		Rэкв,дБ =		Rэкв,дБ =		Rэкв,дБ =		Rэкв,дБ =		Rэкв,дБ =		Rэкв,дБ =		Rэкв,дБ =		Rэкв,дБ =		Rэкв,дБ =		Rэкв,дБ =		Rэкв,дБ =		Rэкв,дБ =		Rэкв,дБ =		Rэкв,дБ =	

[illegible]

1		2		3	4	5	6	7	8	9	10	11	12	13
Снижение звукового давления от источника ИШ-84, 82 помещения окраски в расчётной точке ночью, ДБ		Г _с = 0 R _п = 1,5м		-1,5	-1,5	-1,5	-1,5	-1,5	-1,5	-1,5	-1,5	-1,5	-1,5	
Снижение звукового давления от источника ИШ-85, 83 помещения окраски в расчётной точке ночью, ДБ		Г _с = 0		-2,9	-2,9	-2,9	-2,9	-2,9	-2,9	-2,9	-2,9	-2,9	-2,9	
Снижение звукового давления от источника ИШ-86, 84 помещения окраски в расчётной точке ночью, ДБ		Г _с = 0		-5,9	-5,9	-5,9	-5,9	-5,9	-5,9	-5,9	-5,9	-5,9	-5,9	
Снижение звукового давления от источника ИШ-87, 85 помещения окраски в расчётной точке ночью, ДБ														
Снижение звукового давления от источника ИШ-88, 86 помещения окраски в расчётной точке ночью, ДБ														
Снижение звукового давления от источника ИШ-89, 87 помещения окраски в расчётной точке ночью, ДБ														
Снижение звукового давления от источника ИШ-90, 88 помещения окраски в расчётной точке ночью, ДБ														
Снижение звукового давления от источника ИШ-91, 89 помещения окраски в расчётной точке ночью, ДБ														
Снижение звукового давления от источника ИШ-92, 90 помещения окраски в расчётной точке ночью, ДБ														
Снижение звукового давления от источника ИШ-93, 91 помещения окраски в расчётной точке ночью, ДБ														
Снижение звукового давления от источника ИШ-94, 92 помещения окраски в расчётной точке ночью, ДБ														
Снижение звукового давления от источника ИШ-95, 93 помещения окраски в расчётной точке ночью, ДБ														
Снижение звукового давления от источника ИШ-96, 94 помещения окраски в расчётной точке ночью, ДБ														
Снижение звукового давления от источника ИШ-97, 95 помещения окраски в расчётной точке ночью, ДБ														
Снижение звукового давления от источника ИШ-98, 96 помещения окраски в расчётной точке ночью, ДБ														
Снижение звукового давления от источника ИШ-99, 97 помещения окраски в расчётной точке ночью, ДБ														
Снижение звукового давления от источника ИШ-100, 98 помещения окраски в расчётной точке ночью, ДБ														
Снижение звукового давления от источника ИШ-101, 99 помещения окраски в расчётной точке ночью, ДБ														
Снижение звукового давления от источника ИШ-102, 100 помещения окраски в расчётной точке ночью, ДБ														
Снижение звукового давления от источника ИШ-103, 101 помещения окраски в расчётной точке ночью, ДБ														
Снижение звукового давления от источника ИШ-104, 102 помещения окраски в расчётной точке ночью, ДБ														
Снижение звукового давления от источника ИШ-105, 103 помещения окраски в расчётной точке ночью, ДБ														
Снижение звукового давления от источника ИШ-106, 104 помещения окраски в расчётной точке ночью, ДБ														
Снижение звукового давления от источника ИШ-107, 105 помещения окраски в расчётной точке ночью, ДБ														
Снижение звукового давления от источника ИШ-108, 106 помещения окраски в расчётной точке ночью, ДБ														
Снижение звукового давления от источника ИШ-109, 107 помещения окраски в расчётной точке ночью, ДБ														
Снижение звукового давления от источника ИШ-110, 108 помещения окраски в расчётной точке ночью, ДБ														
Снижение звукового давления от источника ИШ-111, 109 помещения окраски в расчётной точке ночью, ДБ														
Снижение звукового давления от источника ИШ-112, 110 помещения окраски в расчётной точке ночью, ДБ														
Снижение звукового давления от источника ИШ-113, 111 помещения окраски в расчётной точке ночью, ДБ														
Снижение звукового давления от источника ИШ-114, 112 помещения окраски в расчётной точке ночью, ДБ														
Снижение звукового давления от источника ИШ-115, 113 помещения окраски в расчётной точке ночью, ДБ														
Снижение звукового давления от источника ИШ-116, 114 помещения окраски в расчётной точке ночью, ДБ														
Снижение звукового давления от источника ИШ-117, 115 помещения окраски в расчётной точке ночью, ДБ														
Снижение звукового давления от источника ИШ-118, 116 помещения окраски в расчётной точке ночью, ДБ														
Снижение звукового давления от источника ИШ-119, 117 помещения окраски в расчётной точке ночью, ДБ														
Снижение звукового давления от источника ИШ-120, 118 помещения окраски в расчётной точке ночью, ДБ														
Снижение звукового давления от источника ИШ-121, 119 помещения окраски в расчётной точке ночью, ДБ														
Снижение звукового давления от источника ИШ-122, 120 помещения окраски в расчётной точке ночью, ДБ														
Снижение звукового давления от источника ИШ-123, 121 помещения окраски в расчётной точке ночью, ДБ														
Снижение звукового давления от источника ИШ-124, 122 помещения окраски в расчётной точке ночью, ДБ														
Снижение звукового давления от источника ИШ-125, 123 помещения окраски в расчётной точке ночью, ДБ														
Снижение звукового давления от источника ИШ-126, 124 помещения окраски в расчётной точке ночью, ДБ														
Снижение звукового давления от источника ИШ-127, 125 помещения окраски в расчётной точке ночью, ДБ														
Снижение звукового давления от источника ИШ-128, 126 помещения окраски в расчётной точке ночью, ДБ														
Снижение звукового давления от источника ИШ-129, 127 помещения окраски в расчётной точке ночью, ДБ														
Снижение звукового давления от источника ИШ-130, 128 помещения окраски в расчётной точке ночью, ДБ														
Снижение звукового давления от источника ИШ-131, 129 помещения окраски в расчётной точке ночью, ДБ														
Снижение звукового давления от источника ИШ-132, 130 помещения окраски в расчётной точке ночью, ДБ														
Снижение звукового давления от источника ИШ-133, 131 помещения окраски в расчётной точке ночью, ДБ														
Снижение звукового давления от источника ИШ-134, 132 помещения окраски в расчётной точке ночью, ДБ														
Снижение звукового давления от источника ИШ-135, 133 помещения окраски в расчётной точке ночью, ДБ														
Снижение звукового давления от источника ИШ-136, 134 помещения окраски в расчётной точке ночью, ДБ														
Снижение звукового давления от источника ИШ-137, 135 помещения окраски в расчётной точке ночью, ДБ														
Снижение звукового давления от источника ИШ-138, 136 помещения окраски в расчётной точке ночью, ДБ														
Снижение звукового давления от источника ИШ-139, 137 помещения окраски в расчётной точке ночью, ДБ														
Снижение звукового давления от источника ИШ-140, 138 помещения окраски в расчётной точке ночью, ДБ														
Снижение звукового давления от источника ИШ-141, 139 помещения окраски в расчётной точке ночью, ДБ														
Снижение звукового давления от источника ИШ-142, 140 помещения окраски в расчётной точке ночью, ДБ														
Снижение звукового давления от источника ИШ-143, 141 помещения окраски в расчётной точке ночью, ДБ														
Снижение звукового давления от источника ИШ-144, 142 помещения окраски в расчётной точке ночью, ДБ														
Снижение звукового давления от источника ИШ-145, 143 помещения окраски в расчётной точке ночью, ДБ														
Снижение звукового давления от источника ИШ-146, 144 помещения окраски в расчётной точке ночью, ДБ														
Снижение звукового давления от источника ИШ-147, 145 помещения окраски в расчётной точке ночью, ДБ														
Снижение звукового давления от источника ИШ-148, 146 помещения окраски в расчётной точке ночью, ДБ														
Снижение звукового давления от источника ИШ-149, 147 помещения окраски в расчётной точке ночью, ДБ														
Снижение звукового давления от источника ИШ-150, 148 помещения окраски в расчётной точке ночью, ДБ														
Снижение звукового давления от источника ИШ-151, 149 помещения окраски в расчётной точке ночью, ДБ														
Снижение звукового давления от источника ИШ-152, 150 помещения окраски в расчётной точке ночью, ДБ														
Снижение звукового давления от источника ИШ-153, 151 помещения окраски в расчётной точке ночью, ДБ														
Снижение звукового давления от источника ИШ-154, 152 помещения окраски в расчётной точке ночью, ДБ														
Снижение звукового давления от источника ИШ-155, 153 помещения окраски в расчётной точке ночью, ДБ														
Снижение звукового давления от источника ИШ-156, 154 помещения окраски в расчётной точке ночью, ДБ														
Снижение звукового давления от источника ИШ-157, 155 помещения окраски в расчётной точке ночью, ДБ														
Снижение звукового давления от источника ИШ-158, 156 помещения окраски в расчётной точке ночью, ДБ														
Снижение звукового давления от источника ИШ-159, 157 помещения окраски в расчётной точке ночью, ДБ														
Снижение звукового давления от источника ИШ-160, 158 помещения окраски в расчётной точке ночью, ДБ														
Снижение звукового давления от источника ИШ-161, 159 помещения окраски в расчётной точке ночью, ДБ														
Снижение звукового давления от источника ИШ-162, 160 помещения окраски в расчётной точке ночью, ДБ														
Снижение звукового давления от источника ИШ-163, 161 помещения окраски в расчётной точке ночью, ДБ														
Снижение звукового давления от источника ИШ-164, 162 помещения окраски в расчётной точке ночью, ДБ														
Снижение звукового давления от источника ИШ-165, 163 помещения окраски в расчётной точке ночью, ДБ														
Снижение звукового давления от источника ИШ-166, 164 помещения окраски в расчётной точке ночью, ДБ														
Снижение звукового давления от источника ИШ-167, 165 помещения окраски в расчётной точке ночью, ДБ														
Снижение звукового давления от источника ИШ-168, 166 помещения окраски в расчётной точке ночью, ДБ														
Снижение звукового давления от источника ИШ-169, 167 помещения окраски в расчётной точке ночью, ДБ														
Снижение звукового давления от источника ИШ-170, 168 помещения окраски в расчётной точке ночью, ДБ														
Снижение звукового давления от источника ИШ-171, 169 помещения окраски в расчётной точке ночью, ДБ														
Снижение звукового давления от источника ИШ-172, 170 помещения окраски в расчётной точке ночью, ДБ														
Снижение звукового давления от источника ИШ-173, 171 помещения окраски в расчётной точке ночью, ДБ														
Снижение звукового давления от источника ИШ-174, 172 помещения окраски в расчётной точке ночью, ДБ														
Снижение звукового давления от источника ИШ-175, 173 помещения окраски в расчётной точке ночью, ДБ														
Снижение звукового давления от источника ИШ-176, 174 помещения окраски в расчётной точке ночью, ДБ														
Снижение звукового давления от источника ИШ-177, 175 помещения окраски в расчётной точке ночью, ДБ														
Снижение звукового давления от источника ИШ-178, 176 помещения окраски в расчётной точке ночью, ДБ														
Снижение звукового давления от источника ИШ-179, 177 помещения окраски в расчётной точке ночью, ДБ														
Снижение звукового давления от источника ИШ-180, 178 помещения окраски в расчётной точке ночью, ДБ														
Снижение звукового давления от источника ИШ-181, 179 помещения окраски в расчётной точке ночью, ДБ														
Снижение звукового давления от источника ИШ-182, 180 помещения окраски в расчётной точке ночью, ДБ														
Снижение звукового давления от источника ИШ-183, 181 помещения окраски в расчётной точке ночью, ДБ														
Снижение звукового давления от источника ИШ-184, 182 помещения окраски в расчётной точке ночью, ДБ														
Снижение звукового давления от источника ИШ-185, 183 помещения окраски в расчётной точке ночью, ДБ														
Снижение звукового давления от источника ИШ-186, 184 помещения окраски в расчётной точке ночью, ДБ														
Снижение звукового давления от источника ИШ-187, 185 помещения окраски в расчётной точке ночью, ДБ														
Снижение звукового давления от источника ИШ-188, 186 помещения окраски в расчётной точке ночью, ДБ														
Снижение звукового давления от источника ИШ-189, 187 помещения окраски в расчётной точке ночью, ДБ														
Снижение звукового давления от источника ИШ-190, 188 помещения окраски в расчётной точке ночью, ДБ														
Снижение звукового давления от источника ИШ-191, 189 помещения окраски в расчётной точке ночью, ДБ														
Снижение звукового давления от источника ИШ-192, 190 помещения окраски в расчётной точке ночью, ДБ														
Снижение звукового давления от источника ИШ-193, 191 помещения окраски в расчётной точке ночью, ДБ														
Снижение звукового давления от источника ИШ-194, 192 помещения окраски в расчётной точке ночью, ДБ														
Снижение звукового давления от источника ИШ-195, 193 помещения окраски в расчётной точке ночью, ДБ														
Снижение звукового давления от источника ИШ-196, 194 помещения окраски в расчётной точке ночью, ДБ														
Снижение звукового давления от источника ИШ-197, 195 помещения окраски в расчётной точке ночью, ДБ														
Снижение звукового давления от источника ИШ-198, 196 помещения окраски в расчётной точке ночью, ДБ														
Снижение звукового давления от источника ИШ-199, 197 помещения окраски в расчётной точке ночью, ДБ														
Снижение звукового давления от источника ИШ-200, 198 помещения окраски в расчётной точке ночью, ДБ														
Снижение звукового давления от источника ИШ-201, 199 помещения окраски в расчётной точке ночью, ДБ														
Снижение звукового давления от источника ИШ-202, 200 помещения окраски в расчётной точке ночью, ДБ														
Снижение звукового давления от источника ИШ-203, 201 помещения окраски в расчётной точке ночью, ДБ														
Снижение звукового давления от источника ИШ-204, 202 помещения окраски в расчётной точке ночью, ДБ														
Снижение звукового давления от источника ИШ-205, 203 помещения окраски в расчётной точке ночью, ДБ														
Снижение звукового давления от источника ИШ-206, 204 помещения окраски в расчётной точке ночью, ДБ														
Снижение звукового давления от источника ИШ-207, 205 помещения окраски в расчётной точке ночью, ДБ														
Снижение звукового давления от источника ИШ-208, 206 помещения окраски в расчётной точке ночью, ДБ														
Снижение звукового давления от источника ИШ-209, 207 помещения окраски в расчётной точке ночью, ДБ														
Снижение звукового давления от источника ИШ-210, 208 помещения окраски в расчётной точке ночью, ДБ														
Снижение звукового давления от источника ИШ-211, 209 помещения окраски в расчётной точке ночью, ДБ														
Снижение звукового давления от источника ИШ-212, 210 помещения окраски в расчётной точке ночью, ДБ														
Снижение звукового давления от источника ИШ-213, 211 помещения окраски в расчётной точке ночью, ДБ														
Снижение звукового давления от источника ИШ-214, 212 помещения окраски в расчётной точке ночью, ДБ														
Снижение звукового давления от источника ИШ-215, 213 помещения окраски в расчётной точке ночью, ДБ														
Снижение звукового давления от источника ИШ-216, 214 помещения окраски в расчётной точке ночью, ДБ														
Снижение звукового давления от источника ИШ-217, 215 помещения окраски в расчётной точке ночью, ДБ														
Снижение звукового давления от источника ИШ-218, 216 помещения окраски в расчётной точке ночью, ДБ														
Снижение звукового давления от источника ИШ-219, 217 помещения окраски в расчётной точке ночью, ДБ														
Снижение звукового давления от источника ИШ-220, 218 помещения окраски в расчётной точке ночью, ДБ														
Снижение звукового давления от источника ИШ-221, 219 помещения окраски в расчётной точке ночью, ДБ														
Снижение звукового давления от источника ИШ-222, 220 помещения окраски в расчётной точке ночью, ДБ														
Снижение звукового давления от источника ИШ-223, 221 помещения окраски в расчётной точке ночью, ДБ														
Снижение звукового давления от источника ИШ-224, 222 помещения окраски в расчётной точке ночью, ДБ														
Снижение звукового давления от источника ИШ-225, 223 помещения окраски в расчётной точке ночью, ДБ														
Снижение звукового давления от источника ИШ-226, 224 помещения окраски в расчётной точке ночью, ДБ														
Снижение звукового давления от источника ИШ-227, 225 помещения окраски в расчётной точке ночью, ДБ														
Снижение звукового давления от источника ИШ-228, 226 помещения окраски в расчётной точке ночью, ДБ														
Снижение звукового давления от источника ИШ-229, 227 помещения окраски в расчётной точке ночью, ДБ														
Снижение звукового давления от источника ИШ-230, 228 помещения окраски в расчётной точке ночью, ДБ														
Снижение звукового давления от источника ИШ-231, 229 помещения окраски в расчётной точке ночью, ДБ														
Снижение звукового давления от источника ИШ-232, 230 помещения окраски в расчётной точке ночью, ДБ														
Снижение звукового давления от источника ИШ-233, 231 помещения окраски в расчётной точке ночью, ДБ														
Снижение звукового давления от источника ИШ-234, 232 помещения окраски в расчётной точке ночью, ДБ														
Снижение звукового давления от источника ИШ-235, 233 помещения окраски в расчётной точке ночью, ДБ														
Снижение звукового давления от источника ИШ-236, 234 помещения окраски в расчётной точке ночью, ДБ														
Снижение звукового давления от источника ИШ-237, 235 помещения окраски в расчётной точке ночью, ДБ														
Снижение звукового давления от источника ИШ-238, 236 помещения окраски в расчётной точке ночью, ДБ														
Снижение звукового давления от источника ИШ-239, 237 помещения окраски в расчётной точке ночью, ДБ														
Снижение звукового давления от источника ИШ-240, 238 помещения окраски в расчётной точке ночью, ДБ														
Снижение звукового давления от источника ИШ-241, 239 помещения окраски в расчётной точке ночью, ДБ														
Снижение звукового давления от источника ИШ-242, 240 помещения окраски в расчётной точке ночью, ДБ														
Снижение звукового давления от источника ИШ-243, 241 помещения окраски в расчётной точке ночью, ДБ														
Снижение звукового давления от источника ИШ-244, 242 помещения окраски в расчётной точке ночью, ДБ														
Снижение звукового давления от источника ИШ-245, 243 помещения окраски в расчётной точке ночью, ДБ														
Снижение звукового давления от источника ИШ-246, 244 помещения окраски в расчётной точке ночью, ДБ														
Снижение звукового давления от источника ИШ-247, 245 помещения окраски в расчётной точке ночью, ДБ														
Снижение звукового давления от источника ИШ-248, 246 помещения окраски в расчётной точке ночью, ДБ														
Снижение звукового давления от источника ИШ-249, 247 помещения окраски в расчётной точке ночью, ДБ														
Снижение звукового давления от источника ИШ-250, 248 помещения окраски в расчётной точке ночью, ДБ														
Снижение звукового давления от источника ИШ-251, 249 помещения окраски в расчётной точке ночью, ДБ														
Снижение звукового давления от источника ИШ-252, 250 помещения окраски в расчётной точке ночью, ДБ														
Снижение звукового давления от источника ИШ-253, 251 помещения окраски в расчётной точке ночью, ДБ														
Снижение звукового давления от источника ИШ-254, 252 помещения окраски в расчётной точке ночью, ДБ														
Снижение звукового давления от источника ИШ-255, 253 помещения окраски в расчётной точке ночью, ДБ														
Снижение звукового давления от источника ИШ-256, 254 помещения окраски в расчётной точке ночью, ДБ														
Снижение звукового давления от источника ИШ-257, 255 помещения окраски в расчётной точке ночью, ДБ														
Снижение звукового давления от источника ИШ-258, 256 помещения окраски в расчётной точке ночью, ДБ														
Снижение звукового давления от источника ИШ-259, 257 помещения окраски в расчётной точке ночью, ДБ														
Снижение звукового давления от источника ИШ-260, 258 помещения окраски в расчётной точке ночью, ДБ														
Снижение звукового давления от источника ИШ-261, 259 помещения окраски в расчётной точке ночью, ДБ														
Снижение звукового давления от источника ИШ-262, 260 помещения окраски в расчётной точке ночью, ДБ														
Снижение звукового давления от источника ИШ-263, 261 помещения окраски в расчётной точке ночью, ДБ														
Снижение звукового давления от источника ИШ-264, 262 помещения окраски в расчётной точке ночью, ДБ														
Снижение звукового давления от источника ИШ-265, 263 помещения окраски в расчётной точке ночью, ДБ														
Снижение звукового давления от источника ИШ-266, 264 помещения окраски в расчётной точке ночью, ДБ														
Снижение звукового давления от источника ИШ-267, 265 помещения окраски в расчётной точке ночью, ДБ														
Снижение звукового давления от источника ИШ-268, 266 помещения окраски в расчётной точке ночью, ДБ														
Снижение звукового давления от источника ИШ-269, 267 помещения окраски в расчётной точке ночью, ДБ														
Снижение звукового давления от источника ИШ-270, 268 помещения окраски в расчётной точке ночью, ДБ														
Снижение звукового давления от источника ИШ-271, 269 помещения окраски в расчётной точке ночью, ДБ														
Снижение звукового давления от источника ИШ-272, 270 помещения окраски в расчётной точке ночью, ДБ														
Снижение звукового давления от источника ИШ-273, 271 помещения окраски в расчётной точке ночью, ДБ														
Снижение звукового давления от источника ИШ-274, 272 помещения окраски в расчётной точке ночью, ДБ														
Снижение звукового давления от источника ИШ-275, 273 помещения окраски в расчётной точке ночью, ДБ														
Снижение звукового давления от источника ИШ-276, 274 помещения окраски в расчётной точке ночью, ДБ														
Снижение звукового давления от источника ИШ-277, 275 помещения окраски в расчётной точке ночью, ДБ														
Снижение звукового давления от источника ИШ-278, 276 помещения окраски в расчётной точке ночью, ДБ														
Снижение звукового давления от источника ИШ-279, 277 помещения окраски в расчётной точке ночью, ДБ														
Снижение звукового давления от источника ИШ-280, 278 помещения окраски в расчётной точке ночью, ДБ														
Снижение звукового давления от источника ИШ-281, 279 помещения окраски в расчётной точке ночью, ДБ														
Снижение звукового давления от источника ИШ-282, 280 помещения окраски в расчётной точке ночью, ДБ														
Снижение звукового давления от источника ИШ-283, 281 помещения окраски в расчётной точке ночью, ДБ														
Снижение звукового давления от источника ИШ-284, 282 помещения окраски в расчётной точке ночью, ДБ														
Снижение звукового давления от источника ИШ-285, 283 помещения окраски в расчётной точке ночью, ДБ														
Снижение звукового давления от источника ИШ-286, 284 помещения окраски в расчётной точке ночью, ДБ														
Снижение звукового давления от источника ИШ-287, 285 помещения окраски в расчётной точке ночью, ДБ														
Снижение звукового давления от источника ИШ-288, 286 помещения окраски в расчётной точке ночью, ДБ														
Снижение звукового давления от источника ИШ-289, 287 помещения окраски в расчётной точке ночью, ДБ														
Снижение звукового давления от источника ИШ-290, 288 помещения окраски в расчётной точке ночью, ДБ														
Снижение звукового давления от источника ИШ-291, 289 помещения окраски в расчётной точке ночью, ДБ														
Снижение звукового давления от источника ИШ-292, 290 помещения окраски в расчётной точке ночью, ДБ														
Снижение звукового давления от источника ИШ-293, 291 помещения окраски в расчётной точке ночью, ДБ														
Снижение звукового давления от источника ИШ-294, 292 помещения окраски в расчётной точке ночью, ДБ														
Снижение звукового давления от источника ИШ-295, 293 помещения окраски в расчётной точке ночью, ДБ														
Снижение звукового давления от источника ИШ-296, 294 помещения окраски в расчётной точке ночью, ДБ														
Снижение звукового давления от источника ИШ-297, 295 помещения окраски в расчётной точке ночью, ДБ														
Снижение звукового давления от источника ИШ-298, 296 помещения окраски в расчётной точке ночью, ДБ														
Снижение звукового давления от источника ИШ-299, 297 помещения окраски в расчётной точке ночью, ДБ														
Снижение звукового давления от источника ИШ-300, 298 помещения окраски в расчётной точке ночью, ДБ														
Снижение звукового давления от источника ИШ-301, 299 помещения окраски в расчётной точке ночью, ДБ														
Снижение звукового давления от источника ИШ-302, 300 помещения окраски в расчётной точке ночью, ДБ														
Снижение звукового давления от источника ИШ-303, 301 помещения окраски в расчётной точке ночью, ДБ														
Снижение звукового давления от источника ИШ-304, 302 помещения окраски в расчётной точке ночью, ДБ														
Снижение звукового давления от источника ИШ-305, 303 помещения окраски в расчётной точке ночью, ДБ														
Снижение звукового давления от источника ИШ-306, 304 помещения окраски в расчётной точке ночью, ДБ														
Снижение звукового давления от источника ИШ-307, 305 помещения окраски в расчётной точке ночью, ДБ														
Снижение звукового давления от источника ИШ-308, 306 помещения окраски в расчётной точке ночью, ДБ														
Снижение звукового давления от источника ИШ-309, 307 помещения окраски в расчётной точке ночью, ДБ														
Снижение звукового давления от источника ИШ-310, 308 помещения окраски в расчётной точке ночью, ДБ														
Снижение звукового давления от источника ИШ-311, 309 помещения окраски в расчётной точке ночью, ДБ														
Снижение звукового давления от источника ИШ-312, 310 помещения окраски в расчётной точке ночью, ДБ														
Снижение звукового давления от источника ИШ-313, 311 помещения окраски в расчётной точке ночью, ДБ														
Снижение звукового давления от источника ИШ-314, 312 помещения окраски в расчётной точке ночью, ДБ														
Снижение звукового давления от источника ИШ-315, 313 помещения окраски в расчётной точке ночью, ДБ														
Снижение звукового давления от источника ИШ-316, 314 помещения окраски в расчётной точке ночью, ДБ														
Снижение звукового давления от источника ИШ-317, 315 помещения окраски в расчётной точке ночью, ДБ														
Снижение звукового давления от источника ИШ-318, 316 помещения окраски в расчётной точке ночью, ДБ														
Снижение звукового давления от источника ИШ-319, 317 помещения окраски в расчётной точке ночью, ДБ														
Снижение звукового давления от источника ИШ-320, 318 помещения окраски в расчётной точке ночью, ДБ														
Снижение звукового давления от источника ИШ-321, 319 помещения окраски в расчётной точке ночью, ДБ														
Снижение звукового давления от источника ИШ-322, 320 помещения окраски в расчётной точке ночью, ДБ														
Снижение звукового давления от источника ИШ-323, 321 помещения окраски в расчётной точке ночью, ДБ														
Снижение звукового давления от источника ИШ-324, 322 помещения окраски в расчётной точке ночью, ДБ														
Снижение звукового давления от источника ИШ-325, 323 помещения окраски в расчётной точке ночью, ДБ														
Снижение звукового давления от источника ИШ-326, 324 помещения окраски в расчётной точке ночью, ДБ														
Снижение звукового давления от источника ИШ-327, 325 помещения окраски в расчётной точке ночью, ДБ														
Снижение звукового давления от источника ИШ-328, 326 помещения окраски в расчётной точке ночью, ДБ														
Снижение звукового давления от источника ИШ-329, 327 помещения окраски в расчётной точке ночью, ДБ														
Снижение звукового давления от источника ИШ-330, 328 помещения окраски в расчётной точке ночью, ДБ														
Снижение звукового давления от источника ИШ-331, 329 помещения окраски в расчётной точке ночью, ДБ														
Снижение звукового давления от источника ИШ-332, 330 помещения окраски в расчётной точке ночью, ДБ														
Снижение звукового давления от источника ИШ-333, 331 помещения окраски в расчётной точке ночью, ДБ														
Снижение звукового давления от источника ИШ-334, 332 помещения окраски в расчётной точке ночью, ДБ														
Снижение звукового давления от источника ИШ-335, 333 помещения окраски в расчётной точке ночью, ДБ														
Снижение звукового давления от источника ИШ-336, 334 помещения окраски в расчётной точке ночью, ДБ														
Снижение звукового давления от источника ИШ-337, 335 помещения окраски в расчётной точке ночью, ДБ														
Снижение звукового давления от источника ИШ-338, 336 помещения окраски в расчётной точке ночью, ДБ														
Снижение звукового давления от источника ИШ-339, 337 помещения окраски в расчётной точке ночью, ДБ														
Снижение звукового давления от источника ИШ-340, 338 помещения окраски в расчётной точке ночью, ДБ														
Снижение звукового давления от источника ИШ-341, 339 помещения окраски в расчётной точке ночью, ДБ														
Снижение звукового давления от источника ИШ-342, 340 помещения окраски в расчётной точке ночью, ДБ														
Снижение звукового давления от источника ИШ-343, 341 помещения окраски в расчётной точке ночью, ДБ														
Снижение звукового давления от источника ИШ-344, 342 помещения окраски в расчётной точке ночью, ДБ														
Снижение звукового давления от источника ИШ-345, 343 помещения окраски в расчётной точке ночью, ДБ														
Снижение звукового давления от источника ИШ-346, 344 помещения окраски в расчётной точке ночью, ДБ														
Снижение звукового давления от источника ИШ-347, 345 помещения окраски в расчётной точке ночью, ДБ														
Снижение звукового давления от источника ИШ-348, 346 помещения окраски в расчётной точке ночью, ДБ														
Снижение звукового давления от источника ИШ-349, 347 помещения окраски в расчётной точке ночью, ДБ														
Снижение звукового давления от источника ИШ-350, 348 помещения окраски в														

1		2		3	4	5	6	7	8	9	10	11	12	13
Источник шума: ИШ-99, П4 ВДСм2, координаты источника (х,у,z), м =[6539.55;4385.57;14.50]														
Уровни звуковой мощности источника днём, Лw, дБ	исходные данные	0	58	62	74,5	68	62	53	48	37				
	исходные данные	0	58	62	74,5	68	62	53	48	37				
Поправка на телесный угол Dα, дБ	Ω = 6,28	3	3	3	3	3	3	3	3	3	3	3	3	3
Показатель направленности источника Di, дБ	исходные данные	0	0	0	0	0	0	0	0	0	0	0	0	0
Поправка на направленность источника Dα, дБ	Dα = Di	3	3	3	3	3	3	3	3	3	3	3	3	3
Затухание из-за геометрической дивергенции, Adiv, дБ	расстояние = 3335,93 м	φ-α (7) [10]												
Коэффициент затухания звука в атмосфере α, дБ/км	Ta=20,°C Pa=10133,3Па hотн=70%	0,02	0,09	0,33	1,12	2,79	4,98	9,04	23,09	77,63				
Учет затухания звука в атмосфере Aатм, дБ	φ-α (8) [10]	0,1	0,3	1,1	3,5	8,8	15,6	28,3	72,4	243,5				
Снижение поверхностью земли возле источника Aз, дБ	Gα = 0 hα = 14,5м	-1,5	-1,5	-1,5	-1,5	-1,5	-1,5	-1,5	-1,5	-1,5	-1,5	-1,5	-1,5	-1,5
Снижение поверхностью земли возле приёмника Aг, дБ	Gα = 0 hα = 1,5м	-1,5	-1,5	-1,5	-1,5	-1,5	-1,5	-1,5	-1,5	-1,5	-1,5	-1,5	-1,5	-1,5
Снижение поверхностью земли в средней зоне, Aсп, дБ	Gm = 0	-2,5	-2,5	-2,5	-2,5	-2,5	-2,5	-2,5	-2,5	-2,5	-2,5	-2,5	-2,5	-2,5
Суммарное снижение поверхностью земли на траектории распространения звука Aзг, дБ	φ-α (9) [10]	-5,5	-5,5	-5,5	-5,5	-5,5	-5,5	-5,5	-5,5	-5,5	-5,5	-5,5	-5,5	-5,5
Уровни звукового давления от источника ИШ-99, П4 ВДСм2 в расчётной точке днём, дБ	φ-α(9)[10]	0	0	0	0	0	0	0	0	0	0	0	0	0
Уровни звукового давления от источника ИШ-99, П4 ВДСм2 в расчётной точке ночью, дБ	φ-α(9)[10]	0	0	0	0	0	0	0	0	0	0	0	0	0
Источник шума: ИШ-100, П5 ВДСм2, координаты источника (х,у,z), м =[6536.56;4377.49;14.50]														
Уровни звуковой мощности источника днём, Лw, дБ	исходные данные	0	50	54	66,5	57	54	50	40	29				
	исходные данные	0	50	54	66,5	57	54	50	40	29				
Поправка на телесный угол Dα, дБ	Ω = 6,28	3	3	3	3	3	3	3	3	3	3	3	3	3
Показатель направленности источника Di, дБ	исходные данные	0	0	0	0	0	0	0	0	0	0	0	0	0
Поправка на направленность источника Dα, дБ	Dα = Di	3	3	3	3	3	3	3	3	3	3	3	3	3
Затухание из-за геометрической дивергенции, Adiv, дБ	расстояние = 3338,45 м	φ-α (7) [10]												
Коэффициент затухания звука в атмосфере α, дБ/км	Ta=20,°C Pa=10133,3Па hотн=70%	0,02	0,09	0,33	1,12	2,79	4,98	9,04	23,09	77,63				
Учет затухания звука в атмосфере Aатм, дБ	φ-α (8) [10]	0,1	0,3	1,1	3,5	8,8	15,6	28,4	72,5	243,6				
Снижение поверхностью земли возле источника Aз, дБ	Gα = 0 hα = 14,5м	-1,5	-1,5	-1,5	-1,5	-1,5	-1,5	-1,5	-1,5	-1,5	-1,5	-1,5	-1,5	-1,5
Снижение поверхностью земли возле приёмника Aг, дБ	Gα = 0 hα = 1,5м	-1,5	-1,5	-1,5	-1,5	-1,5	-1,5	-1,5	-1,5	-1,5	-1,5	-1,5	-1,5	-1,5
Снижение поверхностью земли в средней зоне, Aсп, дБ	Gm = 0	-2,5	-2,5	-2,5	-2,5	-2,5	-2,5	-2,5	-2,5	-2,5	-2,5	-2,5	-2,5	-2,5
Суммарное снижение поверхностью земли на траектории распространения звука Aзг, дБ	φ-α (9) [10]	-5,5	-5,5	-5,5	-5,5	-5,5	-5,5	-5,5	-5,5	-5,5	-5,5	-5,5	-5,5	-5,5
Уровни звукового давления от источника ИШ-100, П5 ВДСм2 в расчётной точке днём, дБ	φ-α(9)[10]	0	0	0	0	0	0	0	0	0	0	0	0	0
Уровни звукового давления от источника ИШ-100, П5 ВДСм2 в расчётной точке ночью, дБ	φ-α(9)[10]	0	0	0	0	0	0	0	0	0	0	0	0	0
Источник шума: ИШ-101, П1 лаб.корпуса, координаты источника (х,у,z), м =[6932.23;4395.78;8.30]														
Уровни звуковой мощности источника днём, Лw, дБ	исходные данные	0	65	70	83,3	77,5	72	68	56	47				
	исходные данные	0	65	70	83,3	77,5	72	68	56	47				
Поправка на телесный угол Dα, дБ	Ω = 6,28	3	3	3	3	3	3	3	3	3	3	3	3	3

1			2		3	4	5	6	7	8	9	10	11	12	13
Снижение поверхностью земли в средней зоне, Aп дБ	Gm = 0	Ф-таб.3 [10]	-2,5	-2,5	-2,5	-2,5	-2,5	-2,5	-2,5	-2,5	-2,5	-2,5	-2,5	-2,5	-2,5
Суммарное снижение поверхностью земли на траектории распространения звука Aзг, дБ	Ф-таб. (9) [10]	-5,5	-5,5	-5,5	-5,5	-5,5	-5,5	-5,5	-5,5	-5,5	-5,5	-5,5	-5,5	-5,5	-5,5
Уровни звукового давления от источника ИШ-96, П1 ВДСм2 в расчётной точке днём, дБ	Ф-таб.3[10]	0	0	0	0	0	0	0	0	0	0	0	0	0	0
Уровни звукового давления от источника ИШ-96, П1 ВДСм2 в расчётной точке ночью, дБ	Ф-таб.3[10]	0	0	0	0	0	0	0	0	0	0	0	0	0	0
Источники шума: ИШ-97, П2 ВДСм2, координаты источника (х,у,z), м =[6528.62;4358.18;14.50]															
Уровни звуковой мощности источника днём, Lw, дБ	исходные данные	0	50	54	66,5	57	54	50	40	29					
Уровни звуковой мощности источника ночью, Lw, дБ	исходные данные	0	50	54	66,5	57	54	50	40	29					
Поправка на телесный угол Dα, дБ	Ω = 6,28	3	3	3	3	3	3	3	3	3					
Показатель направленности источника Di, дБ	исходные данные	0	0	0	0	0	0	0	0	0					
Поправка на направленность источника Dα, дБ	Dα = 0	3	3	3	3	3	3	3	3	3					
Затухание из-за геометрической дивергенции, Adiv, дБ	расстояние = 3143,93 м	Ф-таб. (7) [10]													
Коэффициент затухания звука в атмосфере α, дБ/км	Ta=20,°C Pa=10133,3гПа hотн=70%	0,02	0,09	0,33	1,12	2,79	4,98	9,04	23,09	77,63					
Учет затухания звука в атмосфере Aатм, дБ	Ф-таб. (8) [10]	0,1	0,3	1,1	3,5	8,8	15,6	28,4	72,6	244,1					
Снижение поверхностью земли возле источника Aз, дБ	Gα = 0 hα = 14,5м	-1,5	-1,5	-1,5	-1,5	-1,5	-1,5	-1,5	-1,5	-1,5					
Снижение поверхностью земли возле приёмника Aг, дБ	Gα = 0 hα = 1,5м	-1,5	-1,5	-1,5	-1,5	-1,5	-1,5	-1,5	-1,5	-1,5					
Снижение поверхностью земли в средней зоне, Aп дБ	Gm = 0	-2,5	-2,5	-2,5	-2,5	-2,5	-2,5	-2,5	-2,5	-2,5					
Суммарное снижение поверхностью земли на траектории распространения звука Aзг, дБ	Ф-таб. (9) [10]	-5,5	-5,5	-5,5	-5,5	-5,5	-5,5	-5,5	-5,5	-5,5					
Уровни звукового давления от источника ИШ-97, П2 ВДСм2 в расчётной точке днём, дБ	Ф-таб.3[10]	0	0	0	0	0	0	0	0	0					
Уровни звукового давления от источника ИШ-97, П2 ВДСм2 в расчётной точке ночью, дБ	Ф-таб.3[10]	0	0	0	0	0	0	0	0	0					
Источники шума: ИШ-98, П3 ВДСм2, координаты источника (х,у,z), м =[6527.58;4354.59;14.50]															
Уровни звуковой мощности источника днём, Lw, дБ	исходные данные	0	50	54	66,5	57	54	50	40	29					
Уровни звуковой мощности источника ночью, Lw, дБ	исходные данные	0	50	54	66,5	57	54	50	40	29					
Поправка на телесный угол Dα, дБ	Ω = 6,28	3	3	3	3	3	3	3	3	3					
Показатель направленности источника Di, дБ	исходные данные	0	0	0	0	0	0	0	0	0					
Поправка на направленность источника Dα, дБ	Dα = 0	3	3	3	3	3	3	3	3	3					
Затухание из-за геометрической дивергенции, Adiv, дБ	расстояние = 3145,31 м	Ф-таб. (7) [10]													
Коэффициент затухания звука в атмосфере α, дБ/км	Ta=20,°C Pa=10133,3гПа hотн=70%	0,02	0,09	0,33	1,12	2,79	4,98	9,04	23,09	77,63					
Учет затухания звука в атмосфере Aатм, дБ	Ф-таб. (8) [10]	0,1	0,3	1,1	3,5	8,8	15,7	28,4	72,6	244,2					
Снижение поверхностью земли возле источника Aз, дБ	Gα = 0 hα = 14,5м	-1,5	-1,5	-1,5	-1,5	-1,5	-1,5	-1,5	-1,5	-1,5					
Снижение поверхностью земли возле приёмника Aг, дБ	Gα = 0 hα = 1,5м	-1,5	-1,5	-1,5	-1,5	-1,5	-1,5	-1,5	-1,5	-1,5					
Снижение поверхностью земли в средней зоне, Aп дБ	Gm = 0	-2,5	-2,5	-2,5	-2,5	-2,5	-2,5	-2,5	-2,5	-2,5					
Суммарное снижение поверхностью земли на траектории распространения звука Aзг, дБ	Ф-таб. (9) [10]	-5,5	-5,5	-5,5	-5,5	-5,5	-5,5	-5,5	-5,5	-5,5					
Уровни звукового давления от источника ИШ-98, П3 ВДСм2 в расчётной точке днём, дБ	Ф-таб.3[10]	0	0	0	0	0	0	0	0	0					
Уровни звукового давления от источника ИШ-98, П3 ВДСм2 в расчётной точке ночью, дБ	Ф-таб.3[10]	0	0	0	0	0	0	0	0	0					

1		2	3	4	5	6	7	8	9	10	11	12	13
Поправка на телесный угол Ω , дБ		$\Omega = 6,28$ $100(4-z/70)$	3	3	3	3	3	3	3	3	3	3	
Поправка на направленности источника D_i , дБ		исходные данные	0	0	0	0	0	0	0	0	0	0	
Поправка на направленность источника D_s , дБ		$D_s = D_i$	3	3	3	3	3	3	3	3	3	3	
Затушение из-за геометрической дивергенции A_{div} , дБ		расстояние = 345,662 м	81,8										
Коэффициент затухания звука в атмосфере α , дБ/км		$T=20,^{\circ}C$ $P=1013,3$ Па $h_{atm}=270\%$	0,02	0,09	0,33	1,12	2,79	4,98	9,04	23,09	77,63		
Учет затухания звука в атмосфере A_{atm} , дБ		$\alpha_s = 0$ $h_s = 8,3$ м α_{s-0} $h_{s-0} = 1,5$ м	0,1	0,3	1,2	3,9	9,6	17,2	31,2	79,8	268,3		
Снижение поверхностью земли возле источника A_s , дБ			-1,5	-1,5	-1,5	-1,5	-1,5	-1,5	-1,5	-1,5	-1,5	-1,5	
Снижение поверхностью земли возле приемника A_r , дБ			-1,5	-1,5	-1,5	-1,5	-1,5	-1,5	-1,5	-1,5	-1,5	-1,5	
Снижение поверхностью земли в средней зоне, $A_{пз}$, дБ		$G_{пз} = 0$	-2,7	-2,7	-2,7	-2,7	-2,7	-2,7	-2,7	-2,7	-2,7	-2,7	
Суммарное снижение поверхности земли на траектории распространения звука $A_{гб}$, дБ			-5,7	-5,7	-5,7	-5,7	-5,7	-5,7	-5,7	-5,7	-5,7	-5,7	
Снижение уровня звукового давления из-за влияниястройки между источником шума и расчетной точкой													
Длина звуковой волны для среднегеометрической частоты октавной полосы, λ , м			10,79	5,4	2,72	1,36	0,68	0,34	0,17	0,09	0,04		
Критерий наличия экранирования в горизонтальной плоскости		Горизонтальный размер экрана, $b_{гор} = \lambda$	да	да	да	да	да	да	да	да	да	да	
Промежуточные данные:		$R_{фид, дБ} =$ (65,93; 36,49; 43,97; 16,50)	$d_{гс} = 44500$ м										
Константа C_2 , учитывающая эффект отражения от земли возле здания			20	20	20	20	20	20	20	20	20	20	
Константа C_3 (дифракция на крышах)		$\Phi_{пл} (15) [10]$	1	1,1	1,3	1,9	2,5	2,9	3	3	3	3	
$K_{зем}$ (влияние метеослоения)		$\Phi_{пл} (18) [10]$	0	0	0	0	0	0	0	0	0	0	
D_z , дБ		$\Phi_{пл} (14) [10]$	4,8	4,8	4,8	4,8	4,8	4,8	4,8	4,8	4,8	4,8	
Снижение $УД_{дл}$, $A_{дл}$, дБ		$\Phi_{пл} (12) [10]$	4,8	4,8	4,8	4,8	4,8	4,8	4,8	4,8	4,8	4,8	
Промежуточные данные:		$R_{фид, дБ} =$ (69,94; 24,40; 43,7; 8,6)	$d_{гс} = 2463,9$ м										
Константа C_2 , учитывающая эффект отражения от земли возле здания			20	20	20	20	20	20	20	20	20	20	
Константа C_3 (дифракция на крышах)		$\Phi_{пл} (15) [10]$	2,5	2,8	3	3	3	3	3	3	3	3	
$K_{зем}$ (влияние метеослоения)		$\Phi_{пл} (18) [10]$	1	1	1	1	1	1	1	1	1	1	
D_z , дБ		$\Phi_{пл} (14) [10]$	20,5	24	27,2	30,2	33,2	36,3	39,3	42,3	45,3		
Снижение $УД_{дл}$, $A_{дл}$, дБ		$\Phi_{пл} (13) [10]$	20,5	24	27,2	30,2	33,2	36,3	39,3	42,3	45,3		
Промежуточные данные:		$R_{фид, дБ} =$ (69,97; 24,40; 43,9; 23,809)	$d_{гс} = 19,07$ м										
Константа C_2 , учитывающая эффект отражения от земли возле здания			20	20	20	20	20	20	20	20	20	20	
Константа C_3 (дифракция на крышах)		$\Phi_{пл} (15) [10]$	2,5	2,8	3	3	3	3	3	3	3	3	
$K_{зем}$ (влияние метеослоения)		$\Phi_{пл} (18) [10]$	1	1	1	1	1	1	1	1	1	1	
D_z , дБ		$\Phi_{пл} (14) [10]$	20,9	24,4	27,5	30,5	33,6	36,6	39,6	42,6	45,6		
Снижение $УД_{дл}$, $A_{дл}$, дБ		$\Phi_{пл} (13) [10]$	20,9	24,4	27,5	30,5	33,6	36,6	39,6	42,6	45,6		
Общее снижение уровня звука прелетствием $A_{взл}$, дБ													
Уровни звукового давления от источника ИШ-102. ПЗ лоб. корпуса в расчетной точке днём, дБ													
Уровни звукового давления от источника ИШ-102. ПЗ лоб. корпуса в расчетной точке ночью, дБ													
Источник шума: ИШ-103. П1 электродвиг. корпуса, координаты источника $(x_{шз2})$, м = [6934,81; 4377,49; 12,65]													
Уровни звуковой мощности источника днём, L_{w} , дБ													
Уровни звуковой мощности источника ночью, L_{w} , дБ													

1		2	3	4	5	6	7	8	9	10	11	12	13
Показатель направленности источника D1, ДБ		исходные данные	0	0	0	0	0	0	0	0	0	0	
Поправка на направленность источника Dc, ДБ		Dc	0	3	3	3	3	3	3	3	3	3	
Защитное из-за геометрической дивергенции, Адв, ДБ		расстояние = 345,113 м	81,8										
Коэффициент затухания звука в атмосфере α, ДБ/м		Температура воздуха Тв = 20,3 °С Влажность воздуха Нв = 70%	0,02	0,09	0,33	1,12	2,79	4,98	9,04	23,09	77,63		
Учет затухания звука в атмосфере Аатм, ДБ		Ф-ла (5) [9]											
Снижение поверхностью земли возле источника Аз, ДБ		Ф-ла (8) [10]	0,1	0,3	1,2	3,9	9,6	17,2	31,2	79,7	267,9		
Снижение поверхностью земли возле приемника Аг, ДБ		Ф-ла таб.3 [10] Gs = 0 Hs = 6,3 м	-1,5	-1,5	-1,5	-1,5	-1,5	-1,5	-1,5	-1,5	-1,5	-1,5	
Снижение поверхностью земли возле приемника Аг, ДБ		Ф-ла таб.3 [10] Gr = 0 Hr = 1,5 м	-1,5	-1,5	-1,5	-1,5	-1,5	-1,5	-1,5	-1,5	-1,5	-1,5	
Снижение поверхностью земли в средней зоне, Ап ДБ		Ф-ла таб.3 [10] Gm = 0	-2,7	-2,7	-2,7	-2,7	-2,7	-2,7	-2,7	-2,7	-2,7	-2,7	
Суммарное снижение поверхности земли на траектории распространения звука Агт, ДБ		Ф-ла (9) [10]	-5,7	-5,7	-5,7	-5,7	-5,7	-5,7	-5,7	-5,7	-5,7	-5,7	
Снижение уровня звукового давления из-за влияния застройкой между источником шума и расчетной точкой													
Длина звуковой волны для среднегеометрической частоты октавной полосы, λ, м		10/79	5,4	2,72	1,36	0,68	0,34	0,17	0,09	0,04			
Критерий наличия экранирования в горизонтальной плоскости		Горизонтальный размер экрана, ширина bпр = 39,06 м	да	да	да	да	да	да	да	да	да	да	
Траектория над экраном		Промежуточные точки:	R1(x,y,z) = (653,39,4643,05,16,50) R2(x,y,z) = (654,67,4646,92,16,50) Ди = 2908,26 м z = 0,11 м										
		Константа С2, учитывающая эффект отражения от земли возле экрана	20										
		Константа С3 (инфракрасная зона)	1										
		Ксн (влияние метеорологии)	Ф-ла (15) [10] Ф-ла (18) [10] Ф-ла (14) [10] Ф-ла (12) [10]										
		Снижение УЗД, Азат, ДБ	4,8										
Траектория слева от экрана		Промежуточные точки:	R1(x,y,z) = (694,26,4433,47,57) R2(x,y,z) = (693,16,4505,76,73,7) Ди = 3000,68 м z = 2,334 м										
		Константа С2, учитывающая эффект отражения от земли возле экрана	20										
		Константа С3 (инфракрасная зона)	2,5										
		Ксн (влияние метеорологии)	Ф-ла (15) [10] Ф-ла (18) [10] Ф-ла (14) [10] Ф-ла (13) [10]										
		Снижение УЗД, Азат, ДБ	20,5										
Траектория справа от экрана		Промежуточные точки:	R1(x,y,z) = (693,2,46,4396,13,8,30) R2(x,y,z) = (684,23,46,45,90,23,8,0,1) Ди = 0,2 м Ди = 3300,47 м z = 2,624 м										
		Константа С2, учитывающая эффект отражения от земли возле экрана	20										
		Константа С3 (инфракрасная зона)	2,6										
		Ксн (влияние метеорологии)	Ф-ла (15) [10] Ф-ла (18) [10] Ф-ла (14) [10] Ф-ла (13) [10]										
		Снижение УЗД, Азат, ДБ	21										
Общее снижение уровня звука препятствием Азат, ДБ		Экранирующая Азат, ДБ	4,6	4,7	4,7	4,7	4,8	4,8	4,8	4,8	4,8		
Уровни звукового давления от источника ИШ-101, П1 лоб.корпуса в расчетной точке днШ, ДБ		Ф-ла(9)[10]	0	0	0	1,7	0	0	0	0	0	0	0
Уровни звукового давления от источника ИШ-101, П1 лоб.корпуса в расчетной точке нощ, ДБ		Ф-ла(9)[10]	0	0	0	1,7	0	0	0	0	0	0	0
Источник шума: ИШ-102, П2 лоб.корпуса, координаты источника (х,у,z), м =[6937,40,4393,67,8,30]													
Уровни звуковой мощности источника днШ, лш, ДБ		исходные данные	0	65	70	83,3	77,5	72	68	58	47		
Уровни звуковой мощности источника нощ, лш, ДБ		исходные данные	0	65	70	83,3	77,5	72	68	58	47		

1	Уровни звуковой мощности источника днём, Lw, дБ	2	исходные данные	3	4	5	6	7	8	9	10	11	12	13	
				0	69	74	74,5	74	72	69	64	55			
				исходные данные	0	69	74	74,5	74	72	69	64	55		
				10lg(d²/r²)	3	3	3	3	3	3	3	3	3	3	
				исходные данные	0	0	0	0	0	0	0	0	0	0	
				D21 • D1	3	3	3	3	3	3	3	3	3	3	
				расстояние z = 346,73 м	81,8										
				T=20, °C P=101333Па Плот=7,99%	0,02	0,09	0,33	1,12	2,79	4,98	9,04	23,09	77,63		
				Ф-ля (5) [9]											
				Коэффициент затухания звука в атмосфере α, дБ/км											
2	Уровни звуковой мощности источника ночью, Lw, дБ	3	исходные данные	0	69	74	74,5	74	72	69	64	55			
				исходные данные	0	69	74	74,5	74	72	69	64	55		
				10lg(d²/r²)	3	3	3	3	3	3	3	3	3	3	
				исходные данные	0	0	0	0	0	0	0	0	0	0	
				D21 • D1	3	3	3	3	3	3	3	3	3	3	
				расстояние z = 346,73 м	81,8										
				T=20, °C P=101333Па Плот=7,99%	0,02	0,09	0,33	1,12	2,79	4,98	9,04	23,09	77,63		
				Ф-ля (5) [9]											
				Коэффициент затухания звука в атмосфере α, дБ/км											
				3	Уровни звуковой мощности источника днём, Lw, дБ	4	исходные данные	0	69	74	74,5	74	72	69	64
исходные данные	0	69	74					74,5	74	72	69	64	55		
10lg(d²/r²)	3	3	3					3	3	3	3	3	3	3	
исходные данные	0	0	0					0	0	0	0	0	0	0	
D21 • D1	3	3	3					3	3	3	3	3	3	3	
расстояние z = 346,73 м	81,8														
T=20, °C P=101333Па Плот=7,99%	0,02	0,09	0,33					1,12	2,79	4,98	9,04	23,09	77,63		
Ф-ля (5) [9]															
Коэффициент затухания звука в атмосфере α, дБ/км															
4	Уровни звуковой мощности источника ночью, Lw, дБ	5	исходные данные					0	69	74	74,5	74	72	69	64
				исходные данные	0	69	74	74,5	74	72	69	64	55		
				10lg(d²/r²)	3	3	3	3	3	3	3	3	3	3	
				исходные данные	0	0	0	0	0	0	0	0	0	0	
				D21 • D1	3	3	3	3	3	3	3	3	3	3	
				расстояние z = 346,73 м	81,8										
				T=20, °C P=101333Па Плот=7,99%	0,02	0,09	0,33	1,12	2,79	4,98	9,04	23,09	77,63		
				Ф-ля (5) [9]											
				Коэффициент затухания звука в атмосфере α, дБ/км											
				5	Уровни звуковой мощности источника днём, Lw, дБ	6	исходные данные	0	69	74	74,5	74	72	69	64
исходные данные	0	69	74					74,5	74	72	69	64	55		
10lg(d²/r²)	3	3	3					3	3	3	3	3	3	3	
исходные данные	0	0	0					0	0	0	0	0	0	0	
D21 • D1	3	3	3					3	3	3	3	3	3	3	
расстояние z = 346,73 м	81,8														
T=20, °C P=101333Па Плот=7,99%	0,02	0,09	0,33					1,12	2,79	4,98	9,04	23,09	77,63		
Ф-ля (5) [9]															
Коэффициент затухания звука в атмосфере α, дБ/км															
6	Уровни звуковой мощности источника ночью, Lw, дБ	7	исходные данные					0	69	74	74,5	74	72	69	64
				исходные данные	0	69	74	74,5	74	72	69	64	55		
				10lg(d²/r²)	3	3	3	3	3	3	3	3	3	3	
				исходные данные	0	0	0	0	0	0	0	0	0	0	
				D21 • D1	3	3	3	3	3	3	3	3	3	3	
				расстояние z = 346,73 м	81,8										
				T=20, °C P=101333Па Плот=7,99%	0,02	0,09	0,33	1,12	2,79	4,98	9,04	23,09	77,63		
				Ф-ля (5) [9]											
				Коэффициент затухания звука в атмосфере α, дБ/км											
				7	Уровни звуковой мощности источника днём, Lw, дБ	8	исходные данные	0	69	74	74,5	74	72	69	64
исходные данные	0	69	74					74,5	74	72	69	64	55		
10lg(d²/r²)	3	3	3					3	3	3	3	3	3	3	
исходные данные	0	0	0					0	0	0	0	0	0	0	
D21 • D1	3	3	3					3	3	3	3	3	3	3	
расстояние z = 346,73 м	81,8														
T=20, °C P=101333Па Плот=7,99%	0,02	0,09	0,33					1,12	2,79	4,98	9,04	23,09	77,63		
Ф-ля (5) [9]															
Коэффициент затухания звука в атмосфере α, дБ/км															
8	Уровни звуковой мощности источника ночью, Lw, дБ	9	исходные данные					0	69	74	74,5	74	72	69	64
				исходные данные	0	69	74	74,5	74	72	69	64	55		
				10lg(d²/r²)	3	3	3	3	3	3	3	3	3	3	
				исходные данные	0	0	0	0	0	0	0	0	0	0	
				D21 • D1	3	3	3	3	3	3	3	3	3	3	
				расстояние z = 346,73 м	81,8										
				T=20, °C P=101333Па Плот=7,99%	0,02	0,09	0,33	1,12	2,79	4,98	9,04	23,09	77,63		
				Ф-ля (5) [9]											
				Коэффициент затухания звука в атмосфере α, дБ/км											
				9	Уровни звуковой мощности источника днём, Lw, дБ	10	исходные данные	0	69	74	74,5	74	72	69	64
исходные данные	0	69	74					74,5	74	72	69	64	55		
10lg(d²/r²)	3	3	3					3	3	3	3	3	3	3	
исходные данные	0	0	0					0	0	0	0	0	0	0	
D21 • D1	3	3	3					3	3	3	3	3	3	3	
расстояние z = 346,73 м	81,8														
T=20, °C P=101333Па Плот=7,99%	0,02	0,09	0,33					1,12	2,79	4,98	9,04	23,09	77,63		
Ф-ля (5) [9]															
Коэффициент затухания звука в атмосфере α, дБ/км															
10	Уровни звуковой мощности источника ночью, Lw, дБ	11	исходные данные					0	69	74	74,5	74	72	69	64
				исходные данные	0	69	74	74,5	74	72	69	64	55		
				10lg(d²/r²)	3	3	3	3	3	3	3	3	3	3	
				исходные данные	0	0	0	0	0	0	0	0	0	0	
				D21 • D1	3	3	3	3	3	3	3	3	3	3	
				расстояние z = 346,73 м	81,8										
				T=20, °C P=101333Па Плот=7,99%	0,02	0,09	0,33	1,12	2,79	4,98	9,04	23,09	77,63		
				Ф-ля (5) [9]											
				Коэффициент затухания звука в атмосфере α, дБ/км											
				11	Уровни звуковой мощности источника днём, Lw, дБ	12	исходные данные	0	69	74	74,5	74	72	69	64
исходные данные	0	69	74					74,5	74	72	69	64	55		
10lg(d²/r²)	3	3	3					3	3	3	3	3	3	3	
исходные данные	0	0	0					0	0	0	0	0	0	0	
D21 • D1	3	3	3					3	3	3	3	3	3	3	
расстояние z = 346,73 м	81,8														
T=20, °C P=101333Па Плот=7,99%	0,02	0,09	0,33					1,12	2,79	4,98	9,04	23,09	77,63		
Ф-ля (5) [9]															
Коэффициент затухания звука в атмосфере α, дБ/км															
12	Уровни звуковой мощности источника ночью, Lw, дБ	13	исходные данные					0	69	74	74,5	74	72	69	64
				исходные данные	0	69	74	74,5	74	72	69	64	55		
				10lg(d²/r²)	3	3	3	3	3	3	3	3	3	3	
				исходные данные	0	0	0	0	0	0	0	0	0	0	
				D21 • D1	3	3	3	3	3	3	3	3	3	3	
				расстояние z = 346,73 м	81,8										
				T=20, °C P=101333Па Плот=7,99%	0,02	0,09	0,33	1,12	2,79	4,98	9,04	23,09	77,63		
				Ф-ля (5) [9]											
				Коэффициент затухания звука в атмосфере α, дБ/км											
				13	Уровни звуковой мощности источника днём, Lw, дБ	14	исходные данные	0	69	74	74,5	74	72	69	64
исходные данные	0	69	74					74,5	74	72	69	64	55		
10lg(d²/r²)	3	3	3					3	3	3	3	3	3	3	
исходные данные	0	0	0					0	0	0	0	0	0	0	
D21 • D1	3	3	3					3	3	3	3	3	3	3	
расстояние z = 346,73 м	81,8														
T=20, °C P=101333Па Плот=7,99%	0,02	0,09	0,33					1,12	2,79	4,98	9,04	23,09	77,63		
Ф-ля (5) [9]															
Коэффициент затухания звука в атмосфере α, дБ/км															
14	Уровни звуковой мощности источника ночью, Lw, дБ	15	исходные данные					0	69	74	74,5	74	72	69	64
				исходные данные	0	69	74	74,5	74	72	69	64	55		
				10lg(d²/r²)	3	3	3	3	3	3	3	3	3	3	
				исходные данные	0	0	0	0	0	0	0	0	0	0	
				D21 • D1	3	3	3	3	3	3	3	3	3	3	
				расстояние z = 346,73 м	81,8										
				T=20, °C P=101333Па Плот=7,99%	0,02	0,09	0,33	1,12	2,79	4,98	9,04	23,09	77,63		
				Ф-ля (5) [9]											
				Коэффициент затухания звука в атмосфере α, дБ/км											
				15	Уровни звуковой мощности источника днём, Lw, дБ	16	исходные данные	0	69	74	74,5	74	72	69	64
исходные данные	0	69	74					74,5	74	72	69	64	55		
10lg(d²/r²)	3	3	3					3	3	3	3	3	3	3	
исходные данные	0	0	0					0	0	0	0	0	0	0	
D21 • D1	3	3	3					3	3	3	3	3	3	3	
расстояние z = 346,73 м	81,8														
T=20, °C P=101333Па Плот=7,99%	0,02	0,09	0,33					1,12	2,79	4,98	9,04	23,09	77,63		
Ф-ля (5) [9]															
Коэффициент затухания звука в атмосфере α, дБ/км															
16	Уровни звуковой мощности источника ночью, Lw, дБ	17	исходные данные					0	69	74	74,5	74	72	69	64
				исходные данные	0	69	74	74,5	74	72	69	64	55		
				10lg(d²/r²)	3	3	3	3	3	3	3	3	3	3	
				исходные данные	0	0	0	0	0	0	0	0	0	0	
				D21 • D1	3	3	3	3	3	3	3	3	3	3	
				расстояние z = 346,73 м	81,8										
				T=20, °C P=101333Па Плот=7,99%	0,02	0,09	0,33	1,12	2,79	4,98	9,04	23,09	77,63		
				Ф-ля (5) [9]											
				Коэффициент затухания звука в атмосфере α, дБ/км											
				17	Уровни звуковой мощности источника днём, Lw, дБ	18	исходные данные	0	69	74	74,5	74	72	69	64
исходные данные	0	69	74					74,5	74	72	69	64	55		
10lg(d²/r²)	3	3	3					3	3	3	3	3	3	3	
исходные данные	0	0	0					0	0	0	0	0	0	0	
D21 • D1	3	3	3					3							

[illegible]

1													2	3	4	5	6	7	8	9	10	11	12	13								
Суммарное снижение поверхности земли на траектории распространения звука АБГ, дБ													Ф-ла (9) [10]	-5,6	-5,6	-5,6	-5,6	-5,6	-5,6	-5,6	-5,6	-5,6	-5,6	-5,6								
Снижение уровня звукового давления из-за влияния застройки между источником шума и расчетной точкой													10,79	5,4	2,72	1,36	0,68	0,34	0,17	0,09	0,04											
Длина звуковой волны для среднегеометрической частоты октавной полосы, λ, м													Промежуточные точки:		Ф-ла (8) ±		Ф-ла (8) ±															
													(6545,86;46394,1;6,50)		(6545,86;46394,1;6,50)		(6545,86;46394,1;6,50)															
Критерий наличия экранирования в горизонтальной плоскости													Выр > λ		Выр > λ		Выр > λ															
Траектории над экраном													Промежуточные точки:		Ф-ла (8) ±		Ф-ла (8) ±															
													(6545,86;46394,1;6,50)		(6545,86;46394,1;6,50)		(6545,86;46394,1;6,50)															
													Константа С2, учитывающая эффект отражения от земли возле экрана		20		20		20		20		20		20		20					
													Константа С3 (дифракция на краяхах)		Ф-ла (15) [10]		1		1,1		1,3		1,9		2,5		2,9		3		3	
													K _{мн} (линейные метеоусловия)		Ф-ла (18) [10]		0		0		0		0		0		0		0			
													Dz, дБ		Ф-ла (14) [10]		4,8		4,8		4,8		4,8		4,8		4,8		4,8			
													Снижение УЗД, Азвг, дБ		Ф-ла (12) [10]		4,8		4,8		4,8		4,8		4,8		4,8		4,8			
Уровни звукового давления от источника ИШ-105. П5 электрорежм.корпуса в расчетной точке днём, дБ													Промежуточные точки:		Ф-ла (8) ±		Ф-ла (8) ±															
													(6545,86;46394,1;6,50)		(6545,86;46394,1;6,50)		(6545,86;46394,1;6,50)															
Уровни звукового давления от источника ИШ-105. П5 электрорежм.корпуса в расчетной точке ночью, дБ													Константа С2, учитывающая эффект отражения от земли возле экрана		20		20		20		20		20		20		20					
													Константа С3 (дифракция на краяхах)		Ф-ла (15) [10]		1		1,1		1,3		1,9		2,5		2,9		3			
													K _{мн} (линейные метеоусловия)		Ф-ла (18) [10]		0		0		0		0		0		0					
													Dz, дБ		Ф-ла (14) [10]		4,8		4,8		4,8		4,8		4,8		4,8					
													Снижение УЗД, Азвг, дБ		Ф-ла (12) [10]		4,8		4,8		4,8		4,8		4,8		4,8					
Источники шума: ИШ-107. В1 пл14, координаты источника (X,Y,Z), м = (6939,02;4363,90;12,75)													исходные данные		0		63		70		80		83		86		83		76		64	
Уровни звуковой мощности источника днём, лв, дБ													исходные данные		0		63		70		80		83		86		83		76		64	
Поправка на телесный угол Ω, дБ													Ω = 6,28		10,6(4+0,1)		3		3		3		3		3		3		3			
Поправка на направленности источника Di, дБ													исходные данные		0		0		0		0		0		0		0		0			
Поправка на направленности источника Dc, дБ													Di + Di		3		3		3		3		3		3		3		3			
Затухание из-за геометрической дивергенции Adiv, дБ													Ф-ла (7) [10]		81,8																	
Коэффициент затухания звука в атмосфере α, дБ/км													Ф-ла (5) [9]		0,02		0,09		0,33		1,12		2,79		4,98		9,04		23,09		77,63	
Учет затухания звука в атмосфере Aатм, дБ													Ф-ла (8) [10]		0,1		0,3		1,2		3,9		9,7		17,3		31,4		80,2		269,7	
Снижение поверхности земли возле источника Аз, дБ													Гс = 0 Нз = 0,1м		-1,5		-1,5		-1,5		-1,5		-1,5		-1,5		-1,5		-1,5			
Снижение поверхности земли возле приемника Аг, дБ													Гс = 0 Нг = 1,5м		-1,5		-1,5		-1,5		-1,5		-1,5		-1,5		-1,5		-1,5			
Снижение поверхности земли в средней зоне, Ап, дБ													Гс = 0		-3		-3		-3		-3		-3		-3		-3		-3			
Суммарное снижение поверхности земли на траектории распространения звука АБГ, дБ													Ф-ла (9) [10]		-6		-6		-6		-6		-6		-6		-6		-6			
Снижение уровня звукового давления из-за влияния застройки между источником шума и расчетной точкой													10,79	5,4	2,72	1,36	0,68	0,34	0,17	0,09	0,04											
Длина звуковой волны для среднегеометрической частоты октавной полосы, λ, м													Промежуточные точки:		Ф-ла (8) ±		Ф-ла (8) ±															
													(6545,86;46394,1;6,50)		(6545,86;46394,1;6,50)		(6545,86;46394,1;6,50)															
Критерий наличия экранирования в горизонтальной плоскости													Выр > λ		Выр > λ		Выр > λ															
Траектории над экраном													Промежуточные точки:		Ф-ла (8) ±		Ф-ла (8) ±															
													(6545,86;46394,1;6,50)		(6545,86;46394,1;6,50)		(6545,86;46394,1;6,50)															
													Константа С2, учитывающая эффект отражения от земли возле экрана		20		20		20		20		20		20		20		20			
													Константа С3 (дифракция на краяхах)		Ф-ла (15) [10]		1,2		1,6		2,3		2,7		2,9		3		3			
													K _{мн} (линейные метеоусловия)		Ф-ла (18) [10]		0		0		0		0		0		0					
													Dz, дБ		Ф-ла (14) [10]		4,8		4,8		4,8		4,8		4,8		4,8					
													Снижение УЗД, Азвг, дБ		Ф-ла (12) [10]		4,8		4,8		4,8		4,8		4,8		4,8					
Источники шума: ИШ-107. В1 пл14, координаты источника (X,Y,Z), м = (6939,02;4363,90;12,75)													исходные данные		0		63		70		80		83		86		83		76		64	
Уровни звуковой мощности источника днём, лв, дБ													исходные данные		0		63		70		80		83		86		83		76		64	
Поправка на телесный угол Ω, дБ													Ω = 6,28		10,6(4+0,1)		3		3		3		3		3		3		3			
Поправка на направленности источника Di, дБ													исходные данные		0		0		0		0		0		0		0		0			
Поправка на направленности источника Dc, дБ													Di + Di		3		3		3		3		3		3		3		3			
Затухание из-за геометрической дивергенции Adiv, дБ													Ф-ла (7) [10]		81,8																	
Коэффициент затухания звука в атмосфере α, дБ/км													Ф-ла (5) [9]		0,02		0,09		0,33		1,12		2,79		4,98		9,04		23,09		77,63	
Учет затухания звука в атмосфере Aатм, дБ													Ф-ла (8) [10]		0,1		0,3		1,2		3,9		9,7		17,3		31,4		80,2		269,7	
Снижение поверхности земли возле источника Аз, дБ													Гс = 0 Нз = 0,1м		-1,5		-1,5		-1,5		-1,5		-1,5		-1,5		-1,5		-1,5			
Снижение поверхности земли возле приемника Аг, дБ													Гс = 0 Нг = 1,5м		-1,5		-1,5		-1,5		-1,5		-1,5		-1,5		-1,5		-1,5			
Снижение поверхности земли в средней зоне, Ап, дБ													Гс = 0		-3		-3		-3		-3		-3		-3		-3		-3			
Суммарное снижение поверхности земли на траектории распространения звука АБГ, дБ													Ф-ла (9) [10]		-6		-6		-6		-6		-6		-6		-6		-6			
Снижение уровня звукового давления из-за влияния застройки между источником шума и расчетной точкой													10,79	5,4	2,72	1,36	0,68	0,34	0,17	0,09	0,04											
Длина звуковой волны для среднегеометрической частоты октавной полосы, λ, м													Промежуточные точки:		Ф-ла (8) ±		Ф-ла (8) ±															
													(6545,86;46394,1;6,50)		(6545,86;46394,1;6,50)		(6545,86;46394,1;6,50)															
Критерий наличия экранирования в горизонтальной плоскости													Выр > λ		Выр > λ		Выр > λ															
Траектории над экраном													Промежуточные точки:		Ф-ла (8) ±		Ф-ла (8) ±															
													(6545,86;46394,1;6,50)		(6545,86;46394,1;6,50)		(6545,86;46394,1;6,50)															
													Константа С2, учитывающая эффект отражения от земли возле экрана		20		20		20		20		20		20		20		20			
													Константа С3 (дифракция на краяхах)		Ф-ла (15) [10]		1,2		1,6		2,3		2,7		2,9		3		3			
													K _{мн} (линейные метеоусловия)		Ф-ла (18) [10]		0		0		0		0		0		0					
													Dz, дБ		Ф-ла (14) [10]		4,8		4,8		4,8		4,8		4,8		4,8					
													Снижение УЗД, Азвг, дБ		Ф-ла (12) [10]		4,8		4,8		4,8		4,8		4,8		4,8					
Источники шума: ИШ-107. В1 пл14, координаты источника (X,Y,Z), м = (6939,02;4363,90;12,75)													исходные данные		0		63		70		80		83		86		83		76		64	
Уровни звуковой мощности источника днём, лв, дБ													исходные данные		0		63		70		80		83		86		83		76		64	
Поправка на телесный угол Ω, дБ													Ω = 6,28		10,6(4+0,1)		3		3		3		3		3		3		3			
Поправка на направленности источника Di, дБ													исходные данные		0		0		0		0		0		0		0		0			
Поправка на направленности источника Dc, дБ													Di + Di		3		3		3		3		3		3		3		3			
Затухание из-за геометрической дивергенции Adiv, дБ													Ф-ла (7) [10]		81,8																	
Коэффициент затухания звука в атмосфере α, дБ/км													Ф-ла (5) [9]		0,02		0,09		0,33		1,12		2,79		4,98		9,04		23,09		77,63	
Учет затухания звука в атмосфере Aатм, дБ													Ф-ла (8) [10]		0,1		0,3		1,2		3,9		9,7		17,3		31,4		80,2		269,7	
Снижение поверхности земли возле источника Аз, дБ													Гс = 0 Нз = 0,1м		-1,5		-1,5		-1,5		-1,5		-1,5		-1,5		-1,5		-1,5			
Снижение поверхности земли возле приемника Аг, дБ													Гс = 0 Нг = 1,5м		-1,5		-1,5		-1,5		-1,5		-1,5		-1,5		-1,5		-1,5			
Снижение поверхности земли в средней зоне, Ап, дБ													Гс = 0		-3		-3		-3		-3		-3		-3		-3		-3			
Суммарное снижение поверхности земли на траектории распространения звука АБГ, дБ													Ф-ла (9) [10]		-6		-6		-6		-6		-6		-6		-6		-6			
Снижение уровня звукового давления из-за влияния застройки между источником шума и расчетной точкой													10,79	5,4	2,72	1,36	0,68	0,34	0,17	0,09	0,04											
Длина звуковой волны для среднегеометрической частоты октавной полосы, λ, м													Промежуточные точки:		Ф-ла (8) ±		Ф-ла (8) ±															
													(6545,86;46394,1;6,50)		(6545,86;46394,1;6,50)		(6545,86;46394,1;6,50)															
Критерий наличия экранирования в горизонтальной плоскости													Выр > λ		Выр > λ		Выр > λ															
Траектории над экраном													Промежуточные точки:		Ф-ла (8) ±		Ф-ла (8) ±															
													(6545,86;46394,1;6,50)		(6545,86;46394,1;6,50)		(6545,86;46394,1;6,50)															
													Константа С2, учитывающая эффект отражения от земли возле экрана		20		20		20		20		20		20		20		20			
													Константа С3 (дифракция на краяхах)		Ф-ла (15) [10]		1,2		1,6		2,3		2,7		2,9		3		3			
													K _{мн} (линейные метеоусловия)		Ф-ла (18) [10]		0		0		0		0		0		0					
													Dz, дБ		Ф-ла (14) [10]		4,8		4,8		4,8		4,8		4,8		4,8					
													Снижение УЗД, Азвг, дБ		Ф-ла (12) [10]		4,8		4,8		4,8		4,8		4,8		4,8					
Источники шума: ИШ-107. В1 пл14, координаты источника (X,Y,Z), м = (6939,02;4363,90;12,75)													исходные данные		0		63		70		80		83		86		83		76		64	
Уровни звуковой мощности источника днём, лв, дБ													исходные данные		0		63		70		80		83		86		83		76		64	
Поправка на телесный угол Ω, дБ													Ω = 6,28		10,6(4+0,1)		3		3		3		3		3		3		3			
Поправка на направленности источника Di, дБ													исходные данные		0		0		0		0		0		0		0		0			
Поправка на направленности источника Dc, дБ													Di + Di		3		3		3		3		3		3		3		3			
Затухание из-за геометрической дивергенции Adiv, дБ													Ф-ла (7) [10]		81,8																	
Коэффициент затухания звука в атмосфере α, дБ/км													Ф-ла (5) [9]		0,02		0,09		0,33		1,12		2,79		4,98		9,04		23,09		77,63	
Учет затухания звука в атмосфере Aатм, дБ													Ф-ла (8) [10]		0,1		0,3		1,2		3,9		9,7		17,3		31,4		80,2		269,7	
Снижение поверхности земли возле источника Аз, дБ													Гс = 0 Нз = 0,1м		-1,5		-1,5		-1,5		-1,5		-1,5		-1,5		-1,5		-1,5			
Снижение поверхности земли возле приемника Аг, дБ													Гс = 0 Нг = 1,5м		-1,5		-1,5		-1,5		-1,5		-1,5		-1,5		-1,5		-1,5			
Снижение поверхности земли в средней зоне, Ап, дБ													Гс = 0		-3		-3		-3		-3		-3		-3		-3		-3			
Суммарное снижение поверхности земли на траектории распространения звука АБГ, дБ													Ф-ла (9) [10]		-6		-6		-6		-6		-6		-6		-6		-6			
Снижение уровня звукового давления из-за влияния застройки между источником шума и расчетной точкой													10,79	5,4	2,72	1,36	0,68	0,34	0,17	0,09	0,04											
Длина звуковой волны для среднегеометрической частоты октавной полосы, λ, м													Промежуточные точки:		Ф-ла (8) ±		Ф-ла (8) ±															
													(6545,86;46394,1;6,50)		(6545,86;46394,1;6,50)		(6545,86;46394,1;6,50)															
Критерий наличия экранирования в горизонтальной плоскости													Выр > λ		Выр > λ		Выр > λ															
Траектории над экраном													Промежуточные точки:		Ф-ла (8) ±		Ф-ла (8) ±															
													(6545,86;46394,1;6,50)		(6545,86;46394,1;6,50)		(6545,86;46394,1;6,50)															
													Константа С2, учитывающая эффект отражения от земли возле экрана		20		20		20		20		20									

1		2											
Снижение УЗД, Абвг, дБ		Ф-ла [13] [10]											
Общее снижение уровня звука препятствием Абвг, дБ		Эк. шумов (Абвг, г)											
Уровни звукового давления прямого звука от источника ИШ-114. П1 пт14 в расчётной точке днём, дБ		Ф-ла [13] [10]											
Уровни звукового давления прямого звука от источника ИШ-114. П1 пт14 в расчётной точке ночью, дБ		Ф-ла [13] [10]											
Расчёт отражённого звука													
Уровни звукового давления от минимого источника ИШ-114. П1 пт14_мн.(1) в расчётной точке днём, дБ		Ф-ла [13] [10]											
Уровни звукового давления от минимого источника ИШ-114. П1 пт14_мн.(1) в расчётной точке ночью, дБ		Ф-ла [13] [10]											
Уровни звукового давления от источника ИШ-114. П1 пт14 в расчётной точке днём, дБ		Ф-ла [13] [10]											
Уровни звукового давления от источника ИШ-114. П1 пт14 в расчётной точке ночью, дБ		Ф-ла [13] [10]											
Источники шума: ИШ-115. П2 пт14, координаты источника (х,у,z), м =[6946,49;5323,42;4,60]													
Уровни звуковой мощности источника днём, Лw, дБ		исходные данные											
Уровни звуковой мощности источника ночью, Лw, дБ		исходные данные											
Поправка на телесный угол DГ, дБ		Ω = 6,28											
Показатель направленности источника DГ, дБ		исходные данные											
Поправка на направленность источника Dс, дБ		DГ + Dс											
Затухание из-за геометрической дивергенции, Адв, дБ		расстояние = 3058,11 м											
Коэффициент затухания звука в атмосфере α, дБ/км		Т=20,°С Р=1013,33Па hотн=70%											
Учет затухания звука в атмосфере Аатм, дБ		Ф-ла [8] [10]											
Снижение поверхностью земли возле источника Аз, дБ		Gс = 0 hс = 0,1 м											
Снижение поверхностью земли возле приёмника Аг, дБ		Gг = 0 hг = 1,5 м											
Снижение поверхностью земли в средней зоне, Ап, дБ		Gм = 0											
Суммарное снижение поверхности земли на траектории распространения звука Абг, дБ		Ф-ла [9] [10]											
Снижение уровня звукового давления из-за влияния застройки между источником шума и расчётной точкой													
Длина звуковой волны для среднегеометрической частоты октавной полосы, λ, м		10,79											
Промежуточные тоны:		Рэкв,д,г = (8973,64;5347,63;14,46)											
Константа С2, учитывающая эффект отражения от земли возле экрана		dв = 39,10 м hв = 2981,63 м hг = 38,67 м z = 1,29 м											
Константа С3 (дифракция на краяхах)		Ф-ла [15] [10]											
Кэкв (влияние метеосусловий)		Ф-ла [18] [10]											
Dг, дБ		Ф-ла [14] [10]											
Снижение УЗД, Абвг, дБ		Ф-ла [12] [10]											
Промежуточные тоны:		Рэкв,д,г = (6857,65;502,09;4,58)											
Константа С2, учитывающая эффект отражения от земли возле экрана		dв = 24984 м hв = 2823,19 м hг = 332,00 м z = 347,69 м											
Константа С3 (дифракция на краяхах)		Ф-ла [15] [10]											
Кэкв (влияние метеосусловий)		Ф-ла [18] [10]											
Dз, дБ		Ф-ла [14] [10]											
Снижение УЗД, Абвг, дБ		Ф-ла [13] [10]											

1		2											
Снижение УЗД, Абвг, дБ	Ф-ла [14] [10]	33	36,1	39,1	42,2	45,2	48,2	51,2	54,2	57,2			
	Ф-ла [13] [10]	33	36,1	39,1	42,2	45,2	48,2	51,2	54,2	57,2			
	Эк-шумов (Абвг, д)		4,8	4,8	4,8	4,8	4,8	4,8	4,8	4,8	4,8	4,8	
	Ф-на [9] [10]		0	0	0	0	0	0	0	0	0	0	0
	Ф-на [9] [10]		0	0	0	0	0	0	0	0	0	0	0
	Расчёт отражённого звука												
	Ф-на [9] [10]		0	0	0	0	0	0	0	0	0	0	0
	Ф-на [9] [10]		0	0	0	0	0	0	0	0	0	0	0
	Ф-на [9] [10]		0	0	0	0	0	0	0	0	0	0	0
	Ф-на [9] [10]		0	0	0	0	0	0	0	0	0	0	0
	Источники шума: ИШ-114. П1 пт14, координаты источника (х,у,г), м =[6944,66;5317,59;4,60]												
	исходные данные		0	69	77	88	91	92	87	80	68		
	исходные данные		0	69	77	88	91	92	87	80	68		
	12 = 6,28		3	3	3	3	3	3	3	3	3	3	3
	исходные данные		0	0	0	0	0	0	0	0	0	0	0
	Dс + Dг		3	3	3	3	3	3	3	3	3	3	3
	Т=20,°С Р=10133,3Па hотн=70%		0,02	0,09	0,33	1,12	2,79	4,98	9,04	23,09	77,63		
	Ф-ла [8] [10]		0,1	0,3	1	3,4	8,5	15,2	27,6	70,6	237,4		
	Gс = 0 hс = 0,1м		-1,5	-1,5	-1,5	-1,5	-1,5	-1,5	-1,5	-1,5	-1,5	-1,5	-1,5
	Gг = 0 hг = 1,5м		-1,5	-1,5	-1,5	-1,5	-1,5	-1,5	-1,5	-1,5	-1,5	-1,5	-1,5
	Gм = 0		-3	-3	-3	-3	-3	-3	-3	-3	-3	-3	-3
	Ф-ла [9] [10]		-6	-6	-6	-6	-6	-6	-6	-6	-6	-6	-6
	Снижение уровня звукового давления из-за влияния застройки между источником шума и расчётной точкой												
	Промежуточные тоны:		Рэкв,д,г = (6908,12;5339,34;4,46)	dв = 39,56 м dг = 2981,26 м hг = 38,66 м z = 1,27 м									
Константа С2, учитывающая эффект отражения от земли возле экрана		20	20	20	20	20	20	20	20	20	20	20	
Константа С3 (дифракция на краяхах)		1,3	1,8	2,5	2,8	3	3	3	3	3	3	3	
Kэкв (влияние метеосусловий)		0	0	0	0	0	0	0	0	0	0	0	
Dс, дБ		4,8	4,8	4,9	5	5,2	5,5	6,2	7,3	8,8			
Ф-ла [12] [10]		4,8	4,8	4,9	5	5,2	5,5	6,2	7,3	8,8			
Промежуточные тоны:		Рэкв,д,г = (6857,65;502,09;4,43)	dв = 2833,19 м dг = 341,48 м z = 341,48 м										
Константа С2, учитывающая эффект отражения от земли возле экрана		20	20	20	20	20	20	20	20	20	20	20	
Константа С3 (дифракция на краяхах)		2,9	3	3	3	3	3	3	3	3	3	3	
Kэкв (влияние метеосусловий)		1	1	1	1	1	1	1	1	1	1	1	
Dс, дБ		32,6	35,7	38,8	41,8	44,8	47,8	50,8	53,8	56,8			

Траектория слева от экрана

Траектория над жарном	1	2	3	4	5	6	7	8	9	10	11	12	13
	Константа С1 (дифракция на громмах)	Ф-ла (15) [10]	1,2	1,6	2,3	2,7	2,9	3	3	3	3		
	K _{гн} (влияние метеоусловий)	Ф-ла (18) [10]	0	0	0	0	0	0	0	0	0	0	0
	Dz, дБ	Ф-ла (14) [10]	4,8	4,8	4,8	4,8	4,8	4,8	4,8	4,8	4,8	4,8	4,8
	Снижение УЗД, Азв, дБ	Ф-ла (12) [10]	4,8	4,8	4,8	4,8	4,8	4,8	4,8	4,8	4,8	4,8	4,8
	Уровни звукового давления от источника ИШ-119. ПВ АБК А и Э УРЭ в расчётной точке днём, дБ	Ф-ла(4) [10]	0	0	0	0	0	0	0	0	0	0	0
	Уровни звукового давления от источника ИШ-119. ПВ АБК А и Э УРЭ в расчётной точке ночью, дБ	Ф-ла(4) [10]	0	0	0	0	0	0	0	0	0	0	0
Источник шума: ИШ-120. П2 РП8, координаты источника (х,у,z), м = [6742,35;5208,75; 3,60]													
Траектория над жарном	Уровни звуковой мощности источника днём, Лw, дБ	исходные данные	0	71	71,1	79,2	72,5	70,7	68,7	60,7	51,7		
	Уровни звуковой мощности источника ночью, Лw, дБ	исходные данные	0	71	71,1	79,2	72,5	70,7	68,7	60,7	51,7		
	Поправка на телесный угол Ω, дБ	Ω = 6,28	3	3	3	3	3	3	3	3	3		
	Показатель направленности источника Di, дБ	исходные данные	0	0	0	0	0	0	0	0	0		
	Поправка на направленность источника Dc, дБ	Dc	3	3	3	3	3	3	3	3	3		
	Затухание из-за геометрической дивергенции, Адв, дБ	расстояние = 390,42 м											
	Коэффициент затухания звука в атмосфере α, дБ/км	T=20,°C P=1013,33 гПа Плот.=1,20 кг/м³	0,02	0,09	0,33	1,12	2,79	4,98	9,04	23,09	77,63		
	Учет затухания звука в атмосфере Аатм, дБ	Ф-ла (8) [10]	0,1	0,3	1	3,3	8,1	14,5	26,3	67,1	225,6		
	Снижение поверхностью земли возле источника Аз, дБ	Gz = 0 Hз = 3,6 м	-1,5	-1,5	-1,5	-1,5	-1,5	-1,5	-1,5	-1,5	-1,5		
	Снижение поверхностью земли возле приемника Аг, дБ	Gг = 0 Hг = 1,5 м	-1,5	-1,5	-1,5	-1,5	-1,5	-1,5	-1,5	-1,5	-1,5		
Траектория над жарном	Снижение поверхностью земли в средней зоне, Ап дБ	Gm = 0	-2,8	-2,8	-2,8	-2,8	-2,8	-2,8	-2,8	-2,8	-2,8		
	Суммарное снижение поверхностью земли на траектории распространения звука Азг, дБ	Ф-ла (9) [10]	-5,8	-5,8	-5,8	-5,8	-5,8	-5,8	-5,8	-5,8	-5,8		
	Снижение уровня звукового давления из-за влияния застройки между источником шума и расчётной точкой												
	Длина звуковой волны для среднегеометрической частоты октавной полосы, λ, м	Промежуточные точки: F _н х _г ,λ, l = [676,82;52,08;17,20]	10,79	5,4	2,72	1,36	0,68	0,34	0,17	0,09	0,04		
	Константа С2, учитывающая эффект отражения от земли возле здания	Ф-ла (15) [10]	2,0	2,0	2,0	2,0	2,0	2,0	2,0	2,0	2,0		
	Константа С3 (дифракция на громмах)	Ф-ла (15) [10]	2,1	2,7	2,9	3	3	3	3	3	3		
	K _{гн} (влияние метеоусловий)	Ф-ла (18) [10]	0,3	0,3	0,3	0,3	0,3	0,3	0,3	0,3	0,3		
	Dz, дБ (с учётом отражения эффективности здания, 25 дБ)	Ф-ла (14) [10]	11	14,3	17,4	20,4	23,4	25	25	25	25		
	Снижение УЗД, Азв, дБ	Ф-ла (12) [10]	11	14,3	17,4	20,4	23,4	25	25	25	25		

1		2		3	4	5	6	7	8	9	10	11	12	13
Поправка на направленность источника Dc, дБ		Dc	D0 + Di											
Затухание из-за геометрической дивергенции, Адв, дБ		расстояние = 288,835 м	Ф-n(7) [10]											
Коэффициент затухания звука в атмосфере α, дБ/км		Tair=20°C P=101.33, дПа hотн=-70%	Ф-n(5) [9]	0,02	0,09	0,33	1,12	2,79	4,98	9,04	23,09	77,63		
Учет затухания звука в атмосфере Aatm, дБ			Ф-n(8) [10]	0,1	0,3	1	3,4	8,3	14,9	27	69	232		
			Ф-n(таб.3) [10]	-1,5	-1,5	-1,5	-1,5	-1,5	-1,5	-1,5	-1,5	-1,5	-1,5	
		Gn = 0 hs = 12м	Ф-n(таб.3) [10]	-1,5	-1,5	-1,5	-1,5	-1,5	-1,5	-1,5	-1,5	-1,5	-1,5	
		Gn = 0 hs = 15м	Ф-n(таб.3) [10]	-1,5	-1,5	-1,5	-1,5	-1,5	-1,5	-1,5	-1,5	-1,5	-1,5	
		Gm = 0	Ф-n(таб.3) [10]	-2,6	-2,6	-2,6	-2,6	-2,6	-2,6	-2,6	-2,6	-2,6	-2,6	
Суммарное снижение поверхности земли на траектории распространения звука Agr, дБ			Ф-n(9) [10]	-5,6	-5,6	-5,6	-5,6	-5,6	-5,6	-5,6	-5,6	-5,6	-5,6	
Снижение уровня звукового давления из-за влияния застройки между источником шума и расчетной точкой														
Длина звуковой волны для среднегеометрической частоты октавной полосы λ, м		10,79	5,4	2,72	1,36	0,68	0,34	0,17	0,09	0,04				
Промежуточные данные:		Rk(x,y,z) = (6453,37;40482,6;16,50)	Rk(x,y,z) = (6613,17;40482,6;11,6;50)											
Константа Cз, учитывающая эффект отражения от земли возле здания		20	20	20	20	20	20	20	20	20	20	20	20	20
Константа Cд (дифракция на кровле)		Ф-n(15) [10]	1	1,1	1,4	2	2,6	2,9	3	3	3	3	3	3
Kмат (Влияние метеоусловий)		Ф-n(18) [10]	0,3	0,3	0,3	0,3	0,3	0,3	0,3	0,3	0,3	0,3	0,3	0,3
Dг, дБ (с учётом ограничения эффективности экранов: 25 дБ)		Ф-n(14) [10]	7,4	9,3	12,3	16,3	20,3	23,6	25	25	25	25	25	25
Снижение UЗД, ΔAvт, дБ		Ф-n(12) [10]	7,4	9,3	12,3	16,3	20,3	23,6	25	25	25	25	25	25
Уровни звукового давления от источника ИШ-118. П1 АВК ЦСП в расчётной точке днём, дБ		Ф-n(43) [10]	0	0	0	0	0	0	0	0	0	0	0	0
Уровни звукового давления от источника ИШ-118. П1 АВК ЦСП в расчётной точке ночью, дБ		Ф-n(43) [10]	0	0	0	0	0	0	0	0	0	0	0	0
Источник шума: ИШ-119. П8 АВК А и Э УРЭ, координаты источника (х,у,г), М = [6990,79;432,22;12,05]														
Уровни звуковой мощности источника днём, Lw, дБ		исходные данные	0	53	57	69,8	64,5	67,5	65,5	57,5	48,5			
Уровни звуковой мощности источника ночью, Lw, дБ		исходные данные	0	53	57	69,8	64,5	67,5	65,5	57,5	48,5			
Поправка на телесный угол Ω2, дБ		Ω = 6,28	10,46(-9/1)	3	3	3	3	3	3	3	3	3	3	3
Показатель направленности источника Di, дБ		исходные данные	0	0	0	0	0	0	0	0	0	0	0	0
Поправка на направленность источника Dс, дБ		Dc	D0 + Di	3	3	3	3	3	3	3	3	3	3	3
Затухание из-за геометрической дивергенции, Адв, дБ		расстояние = 354,051 м	Ф-n(7) [10]											
Коэффициент затухания звука в атмосфере α, дБ/км		Tair=20°C P=101.33, дПа hотн=-70%	Ф-n(5) [9]	0,02	0,09	0,33	1,12	2,79	4,98	9,04	23,09	77,63		
Учет затухания звука в атмосфере Aatm, дБ			Ф-n(8) [10]	0,1	0,3	1,2	4	9,9	17,6	32	81,7	274,9		
		Gn = 0 hs = 12м	Ф-n(таб.3) [10]	-1,5	-1,5	-1,5	-1,5	-1,5	-1,5	-1,5	-1,5	-1,5	-1,5	
		Gn = 0 hs = 15м	Ф-n(таб.3) [10]	-1,5	-1,5	-1,5	-1,5	-1,5	-1,5	-1,5	-1,5	-1,5	-1,5	
		Gm = 0	Ф-n(таб.3) [10]	-2,6	-2,6	-2,6	-2,6	-2,6	-2,6	-2,6	-2,6	-2,6	-2,6	
Суммарное снижение поверхности земли на траектории распространения звука Agr, дБ			Ф-n(9) [10]	-5,6	-5,6	-5,6	-5,6	-5,6	-5,6	-5,6	-5,6	-5,6	-5,6	
Снижение уровня звукового давления из-за влияния застройки между источником шума и расчетной точкой														
Длина звуковой волны для среднегеометрической частоты октавной полосы λ, м		10,79	5,4	2,72	1,36	0,68	0,34	0,17	0,09	0,04				
Промежуточные данные:		Rk(x,y,z) = (6444,37;40481,7;16,50)	Rk(x,y,z) = (6615,37;40482,6;11,6;50)											
Константа Cз, учитывающая эффект отражения от земли возле здания		20	20	20	20	20	20	20	20	20	20	20	20	20

1			2			3	4	5	6	7	8	9	10	11	12	13
Поправка на направленность источника Dc, дБ			Dc	Dc + Di			82									
Затухание из-за геометрической дивергенции, Адв, дБ			расстояние = 3564,83 м	Ф-ла (7) [10]												
Коэффициент затухания звука в атмосфере α, дБ/км			T=20, °C P=101333 Па hотн=70%	Ф-ла (5) [9]			0,02	0,09	0,33	1,12	2,79	4,98	9,04	23,09	77,63	
Учет затухания звука в атмосфере Аатм, дБ				Ф-ла (8) [10]			0,1	0,3	1,2	4	9,9	17,7	32,2	82,3	276,7	
Снижение поверхности земли возле источника Аз, дБ			Gз = 0 hз = 0,1 м	Ф-ла таб.3 [10]			-1,5	-1,5	-1,5	-1,5	-1,5	-1,5	-1,5	-1,5	-1,5	
Снижение поверхности земли возле приемника Аг, дБ			Gг = 0 hг = 1,5 м	Ф-ла таб.3 [10]			-1,5	-1,5	-1,5	-1,5	-1,5	-1,5	-1,5	-1,5	-1,5	
Снижение поверхности земли в средней зоне, Ап, дБ			Gп = 0	Ф-ла таб.3 [10]			-3	-3	-3	-3	-3	-3	-3	-3	-3	
Суммарное снижение поверхностью земли на траектории распространения звука АБг, дБ				Ф-ла (9) [10]			-6	-6	-6	-6	-6	-6	-6	-6	-6	
Снижение уровня звукового давления из-за влияния застройки между источником шума и расчетной точкой																
Длина звуковой волны для среднегеометрической частоты октавной полосы, λ, м			10,79	5,4	2,72	1,36	0,68	0,34	0,17	0,09	0,04					
			Промежуточные тоны:	РФ4х,2,1 = (8213,34;4893,54;3,30) dг = 20/7,17 м			dг = 20/7,17 м			dг = 20/7,17 м			dг = 20/7,17 м			
			Константа С2, учитывающая эффект отражения от земли возле здания	20	20	20	20	20	20	20	20	20	20	20	20	20
			Константа С3 (дифракция на кровлях)	Ф-ла (15) [10]			3	3	3	3	3	3	3	3	3	3
			K _{ши} (влияние метеосудов)	Ф-ла (18) [10]			0	0	0	0	0	0	0	0	0	0
			Dz, дБ	Ф-ла (14) [10]			4,8	4,8	4,8	4,8	4,8	4,8	4,8	4,8	4,8	4,8
			Снижение УЗД, Аатм, дБ	Ф-ла (12) [10]			4,8	4,8	4,8	4,8	4,8	4,8	4,8	4,8	4,8	4,8
Уровни звукового давления от источника ИШ-126, Б31 электроремонт, АБк в расчетной точке дБ			Ф-ла(9) [10]			0	0	0	0	0	0	0	0	0	0	0
Уровни звукового давления от источника ИШ-126, Б31 электроремонт, АБк в расчетной точке ночью, дБ			Ф-ла(9) [10]			0	0	0	0	0	0	0	0	0	0	0
Источники шума: ИШ-127, В6 электроремонт, пом. отжига проводов, координаты источника (х,у,г), м = [6987;38;4343;57;12;75]																
Уровни звуковой мощности источника дБм, Лв, дБ			исходные данные	0	52,5	56,5	66,7	59,7	55,5	55,5	49,5	40,5				
Уровни звуковой мощности источника ночью, Лв, дБ			исходные данные	0	52,5	56,5	66,7	59,7	55,5	55,5	49,5	40,5				
Поправка на телесный угол Ω, дБ			Ω = 6,28	10g(4+Ω)			3	3	3	3	3	3	3	3	3	3
Показатель направленности источника Di, дБ			исходные данные	0	0	0	0	0	0	0	0	0	0	0	0	0
Поправка на направленность источника Dc, дБ			Dc	Dc + Di			3	3	3	3	3	3	3	3	3	3
Затухание из-за геометрической дивергенции, Адв, дБ			расстояние = 3525,89 м	Ф-ла (7) [10]			81,9									
Коэффициент затухания звука в атмосфере α, дБ/км			T=20, °C P=101333 Па hотн=70%	Ф-ла (5) [9]			0,02	0,09	0,33	1,12	2,79	4,98	9,04	23,09	77,63	
Учет затухания звука в атмосфере Аатм, дБ				Ф-ла (8) [10]			0,1	0,3	1,2	4	9,8	17,6	31,9	81,4	273,7	
Снижение поверхности земли возле источника Аз, дБ			Gз = 0 hз = 0,1 м	Ф-ла таб.3 [10]			-1,5	-1,5	-1,5	-1,5	-1,5	-1,5	-1,5	-1,5	-1,5	-1,5
Снижение поверхности земли возле приемника Аг, дБ			Gг = 0 hг = 1,5 м	Ф-ла таб.3 [10]			-1,5	-1,5	-1,5	-1,5	-1,5	-1,5	-1,5	-1,5	-1,5	-1,5
Снижение поверхности земли в средней зоне, Ап, дБ			Gп = 0	Ф-ла таб.3 [10]			-3	-3	-3	-3	-3	-3	-3	-3	-3	-3
Суммарное снижение поверхностью земли на траектории распространения звука АБг, дБ				Ф-ла (9) [10]			-6	-6	-6	-6	-6	-6	-6	-6	-6	-6
Снижение уровня звукового давления из-за влияния застройки между источником шума и расчетной точкой																
Длина звуковой волны для среднегеометрической частоты октавной полосы, λ, м			10,79	5,4	2,72	1,36	0,68	0,34	0,17	0,09	0,04					
			Промежуточные тоны:	РФ4х,2,1 = (8213,34;4893,54;3,30) dг = 20/7,17 м			dг = 20/7,17 м			dг = 20/7,17 м			dг = 20/7,17 м			
			Константа С2, учитывающая эффект отражения от земли возле здания	20	20	20	20	20	20	20	20	20	20	20	20	20
			Константа С3 (дифракция на кровлях)	Ф-ла (15) [10]			3	3	3	3	3	3	3	3	3	3
			K _{ши} (влияние метеосудов)	Ф-ла (18) [10]			0	0	0	0	0	0	0	0	0	0
			Dz, дБ	Ф-ла (14) [10]			4,8	4,8	4,8	4,8	4,8	4,8	4,8	4,8	4,8	4,8
			Снижение УЗД, Аатм, дБ	Ф-ла (12) [10]			4,8	4,8	4,8	4,8	4,8	4,8	4,8	4,8	4,8	4,8
Уровни звукового давления от источника ИШ-126, Б31 электроремонт, АБк в расчетной точке дБ			Ф-ла(9) [10]			0	0	0	0	0	0	0	0	0	0	0
Уровни звукового давления от источника ИШ-126, Б31 электроремонт, АБк в расчетной точке ночью, дБ			Ф-ла(9) [10]			0	0	0	0	0	0	0	0	0	0	0
Источники шума: ИШ-127, В6 электроремонт, пом. отжига проводов, координаты источника (х,у,г), м = [6987;38;4343;57;12;75]																
Уровни звуковой мощности источника дБм, Лв, дБ			исходные данные	0	52,5	56,5	66,7	59,7	55,5	55,5	49,5	40,5				
Уровни звуковой мощности источника ночью, Лв, дБ			исходные данные	0	52,5	56,5	66,7	59,7	55,5	55,5	49,5	40,5				
Поправка на телесный угол Ω, дБ			Ω = 6,28	10g(4+Ω)			3	3	3	3	3	3	3	3	3	3
Показатель направленности источника Di, дБ			исходные данные	0	0	0	0	0	0	0	0	0	0	0	0	0
Поправка на направленность источника Dc, дБ			Dc	Dc + Di			3	3	3	3	3	3	3	3	3	3
Затухание из-за геометрической дивергенции, Адв, дБ			расстояние = 3525,89 м	Ф-ла (7) [10]			81,9									
Коэффициент затухания звука в атмосфере α, дБ/км			T=20, °C P=101333 Па hотн=70%	Ф-ла (5) [9]			0,02	0,09	0,33	1,12	2,79	4,98	9,04	23,09	77,63	
Учет затухания звука в атмосфере Аатм, дБ				Ф-ла (8) [10]			0,1	0,3	1,2	4	9,8	17,6	31,9	81,4	273,7	
Снижение поверхности земли возле источника Аз, дБ			Gз = 0 hз = 0,1 м	Ф-ла таб.3 [10]			-1,5	-1,5	-1,5	-1,5	-1,5	-1,5	-1,5	-1,5	-1,5	-1,5
Снижение поверхности земли возле приемника Аг, дБ			Gг = 0 hг = 1,5 м	Ф-ла таб.3 [10]			-1,5	-1,5	-1,5	-1,5	-1,5	-1,5	-1,5	-1,5	-1,5	-1,5
Снижение поверхности земли в средней зоне, Ап, дБ			Gп = 0	Ф-ла таб.3 [10]			-3	-3	-3	-3	-3	-3	-3	-3	-3	-3
Суммарное снижение поверхностью земли на траектории распространения звука АБг, дБ				Ф-ла (9) [10]			-6	-6	-6	-6	-6	-6	-6	-6	-6	-6
Снижение уровня звукового давления из-за влияния застройки между источником шума и расчетной точкой																
Длина звуковой волны для среднегеометрической частоты октавной полосы, λ, м			10,79	5,4	2,72	1,36	0,68	0,34	0,17	0,09	0,04					
			Промежуточные тоны:	РФ4х,2,1 = (8213,34;4893,54;3,30) dг = 20/7,17 м			dг = 20/7,17 м			dг = 20/7,17 м			dг = 20/7,17 м			
			Константа С2, учитывающая эффект отражения от земли возле здания	20	20	20	20	20	20	20	20	20	20	20	20	20
			Константа С3 (дифракция на кровлях)	Ф-ла (15) [10]			3	3	3	3	3	3	3	3	3	3
			K _{ши} (влияние метеосудов)	Ф-ла (18) [10]			0	0	0	0	0	0	0	0	0	0
			Dz, дБ	Ф-ла (14) [10]			4,8	4,8	4,8	4,8	4,8	4,8	4,8	4,8	4,8	4,8
			Снижение УЗД, Аатм, дБ	Ф-ла (12) [10]			4,8	4,8	4,8	4,8	4,8	4,8	4,8	4,8	4,8	4,8
Уровни звукового давления от источника ИШ-126, Б31 электроремонт, АБк в расчетной точке дБ			Ф-ла(9) [10]			0	0	0	0	0	0	0	0	0	0	0
Уровни звукового давления от источника ИШ-126, Б31 электроремонт, АБк в расчетной точке ночью, дБ			Ф-ла(9) [10]			0	0	0	0	0	0	0	0	0	0	0
Источники шума: ИШ-127, В6 электроремонт, пом. отжига проводов, координаты источника (х,у,г), м = [6987;38;4343;57;12;75]																
Уровни звуковой мощности источника дБм, Лв, дБ			исходные данные	0	52,5	56,5	66,7	59,7	55,5	55,5	49,5	40,5				
Уровни звуковой мощности источника ночью, Лв, дБ			исходные данные	0	52,5	56,5	66,7	59,7	55,5	55,5	49,5	40,5				
Поправка на телесный угол Ω, дБ			Ω = 6,28	10g(4+Ω)			3	3	3	3	3	3	3	3	3	3
Показатель направленности источника Di, дБ			исходные данные	0	0	0	0	0	0	0	0	0	0	0	0	0
Поправка на направленность источника Dc, дБ			Dc	Dc + Di			3	3	3	3	3	3	3	3	3	3
Затухание из-за геометрической дивергенции, Адв, дБ			расстояние = 3525,89 м	Ф-ла (7) [10]			81,9									
Коэффициент затухания звука в атмосфере α, дБ/км			T=20, °C P=101333 Па hотн=70%	Ф-ла (5) [9]			0,02	0,09	0,33	1,12	2,79	4,98	9,04	23,09	77,63	
Учет затухания звука в атмосфере Аатм, дБ				Ф-ла (8) [10]			0,1	0,3	1,2	4	9,8	17,6	31,9	81,4	273,7	
Снижение поверхности земли возле источника Аз, дБ			Gз = 0 hз = 0,1 м	Ф-ла таб.3 [10]			-1,5	-1,5	-1,5	-1,5	-1,5	-1,5	-1,5	-1,5	-1,5	-1,5
Снижение поверхности земли возле приемника Аг, дБ			Gг = 0 hг = 1,5 м	Ф-ла таб.3 [10]			-1,5	-1,5	-1,5	-1,5	-1,5	-1,5	-1,5	-1,5	-1,5	-1,5
Снижение поверхности земли в средней зоне, Ап, дБ			Gп = 0	Ф-ла таб.3 [10]			-3	-3	-3	-3	-3	-3	-3	-3	-3	-3
Суммарное снижение поверхностью земли на траектории распространения звука АБг, дБ				Ф-ла (9) [10]			-6	-6	-6	-6	-6	-6	-6	-6	-6	-6
Снижение уровня звукового давления из-за влияния застройки между источником шума и расчетной точкой																
Длина звуковой волны для среднегеометрической частоты октавной полосы, λ, м			10,79	5,4	2,72	1,36	0,68	0,34	0,17	0,09	0,04					
			Промежуточные тоны:	РФ4х,2,1 = (8213,34;4893,54;3,30) dг = 20/7,17 м			dг = 20/7,17 м			dг = 20/7,17 м			dг = 20/7,17 м			
			Константа С2, учитывающая эффект отражения от земли возле здания	20	20	20	20	20	20	20	20	20	20	20	20	20
			Константа С3 (дифракция на кровлях)	Ф-ла (15) [10]			3	3	3	3	3	3	3	3	3	3
			K _{ши} (влияние метеосудов)	Ф-ла (18) [10]			0	0	0	0	0	0	0	0	0	0
			Dz, дБ	Ф-ла (14) [10]			4,8	4,8	4,8	4,8	4,8	4,8	4,8	4,8	4,8	4,8
			Снижение УЗД, Аатм, дБ	Ф-ла (12) [10]			4,8	4,8	4,8	4,8	4,8	4,8	4,8	4,8	4,8	4,8
Уровни звукового давления от источника ИШ-126, Б31 электроремонт, АБк в расчетной точке дБ			Ф-ла(9) [10]			0	0	0	0	0	0	0	0	0	0	0
Уровни звукового давления от источника ИШ-126, Б31 электроремонт, АБк в расчетной точке ночью, дБ			Ф-ла(9) [10]			0	0	0	0	0	0	0	0	0	0	0
Источники шума: ИШ-127, В6 электроремонт, пом. отжига проводов, координаты источника (х,у,г), м = [6987;38;4343;57;12;75]																
Уровни звуковой мощности источника дБм, Лв, дБ			исходные данные	0	52,5	56,5	66,7	59,7	55,5	55,5	49,5	40,5				
Уровни звуковой мощности источника ночью, Лв, дБ			исходные данные	0	52,5	56,5	66,7	59,7	55,5	55,5	49,5	40,5				
Поправка на телесный угол Ω, дБ			Ω = 6,28	10g(4+Ω)			3	3	3	3	3	3	3	3	3	3
Показатель направленности источника Di, дБ			исходные данные	0	0	0	0	0	0	0	0	0	0	0	0	0
Поправка на направленность источника Dc, дБ			Dc	Dc + Di			3	3	3	3	3	3	3	3	3	3
Затухание из-за геометрической дивергенции, Адв, дБ			расстояние = 3525,89 м	Ф-ла (7) [10]			81,9									
Коэффициент затухания звука в атмосфере α, дБ/км			T=20, °C P=101333 Па hотн=70%	Ф-ла (5) [9]			0,02	0,09	0,33	1,12	2,79	4,98	9,04	23,09	77,63	
Учет затухания звука в атмосфере Аатм, дБ				Ф-ла (8) [10]			0,1	0,3	1,2	4	9,8	17,6	31,9	81,4	273,7	
Снижение поверхности земли возле источника Аз, дБ			Gз = 0 hз = 0,1 м	Ф-ла таб.3 [10]			-1,5	-1,5	-1,5	-1,5	-1,5	-1,5	-1,5	-1,5	-1,5	-1,5
Снижение поверхности земли возле приемника Аг, дБ			Gг = 0 hг = 1,5 м	Ф-ла таб.3 [10]			-1,5	-1,5	-1,5	-1,5	-1,5	-1,5	-1,5	-1,5	-1,5	-1,5
Снижение поверхности земли в средней зоне, Ап, дБ			Gп = 0	Ф-ла таб.3 [10]			-3	-3	-3	-3	-3	-3	-3	-3	-3	-3
Суммарное снижение поверхностью земли на траектории распространения звука АБг, дБ				Ф-ла (9) [10]			-6	-6	-6	-6	-6	-6	-6	-6	-6	-6
Снижение уровня звукового давления из-за влияния застройки между источником шума и расчетной точкой																
Длина звуковой волны для среднегеометрической частоты октавной полосы, λ, м			10,79	5,4	2,72	1,36	0,68	0,34	0,17	0,09	0,04					
			Промежуточные тоны:	РФ4х,2,1 = (8213,34;4893,54;3,30) dг = 20/7,17 м			dг = 20/7,17 м			dг = 20/7,17 м			dг = 20/7,17 м			
			Константа С2, учитывающая эффект отражения от земли возле здания	20	20	20	20	20	20	20	20	20	20	20	20	20
			Константа С3 (дифракция на кровлях)	Ф-ла (15) [10]			3	3	3	3	3	3	3	3	3	3
			K _{ши} (влияние метеосудов)	Ф-ла (18) [10]			0	0	0	0	0	0	0	0	0	0
			Dz, дБ	Ф-ла (14) [10]			4,8	4,8	4,8	4,8	4,8	4,8	4,8	4,8	4,8	

1			2			3	4	5	6	7	8	9	10	11	12	13		
Препятствие слева от трассы ИШ-РТ			Константа С3 (дифракция на кровлях)	Ф-ла (15) [10]			1	1	1	1	1	1	1	1	1	1		
			K _{ши} (влияние метеосудов)	Ф-ла (18) [10]			1	1	1	1	1	1	1	1	1	1	1	
			Dz, дБ	Ф-ла (14) [10]			4,5	4,3	3,8	2,6	0	0	0	0	0	0	0	0
			Снижение УЗД, Абгг, дБ	Ф-ла (13) [10]			4,5	4,3	3,8	2,6	0	0	0	0	0	0	0	0
* Исходные значения с помощью программного обеспечения: траектория обхода здания, в этом случае дополнительно указывается угол симметрии подстилающей поверхности (см. ниже)																		
Уровни звукового давления от источника ИШ-124, В1 ЦСП в расчетной точке днбм, дБ			Ф-ла(9) [10]	0			0	0	0	0	0	0	0	0	0	0		
Уровни звукового давления от источника ИШ-124, В1 ЦСП в расчетной точке ночью, дБ			Ф-ла(9) [10]	0			0	0	0	0	0	0	0	0	0	0		
Источники шума: ИШ-125, В1 ЦСП, бытовые помещения, координаты источника (х,у,г), м =[6505;10;4582;93;16;60]																		
Уровни звуковой мощности источника днбм, Лв, дБ			исходные данные	0			53,8	58	70	64	58	54	48	41				
Уровни звуковой мощности источника ночью, Лв, дБ			исходные данные	0			53,8	58	70	64	58	54	48	41				
Поправка на телесный угол Ω, дБ			Ω = 6,28	10g(4+Ω)			3	3	3	3	3	3	3	3	3	3		
Показатель направленности источника Di, дБ			исходные данные	0			0	0	0	0	0	0	0	0	0	0		
Поправка на направленность источника Dc, дБ			Dc	Dc + Di			3	3	3	3	3	3	3	3	3	3		
Загугание из-за геометрической дивергенции, Адв, дБ			расстояние = 2992,20 м	Ф-ла (7) [10]			80,5											
Коэффициент загугания звука в атмосфере α, дБ/км			T=20,°C P=101333 Па hотн=70%	Ф-ла (5) [9]			0,02	0,09	0,33	1,12	2,79	4,98	9,04	23,09	77,63			
Учет загугания звука в атмосфере Аатм, дБ				Ф-ла (8) [10]			0,1	0,3	1	3,4	8,4	14,9	27	69,1	232,3			
Снижение поверхностью земли возле источника Аз, дБ			Gз = 0 hз = 0,1м	Ф-ла таб.3 [10]			-1,5	-1,5	-1,5	-1,5	-1,5	-1,5	-1,5	-1,5	-1,5	-1,5		
Снижение поверхностью земли возле приемника Аг, дБ			Gг = 0 hг = 1,5м	Ф-ла таб.3 [10]			-1,5	-1,5	-1,5	-1,5	-1,5	-1,5	-1,5	-1,5	-1,5	-1,5		
Снижение поверхностью земли в средней зоне, Ап, дБ			Gп = 0	Ф-ла таб.3 [10]			-3	-3	-3	-3	-3	-3	-3	-3	-3	-3		
Суммарное снижение поверхностью земли на траектории распространения звука Абг, дБ				Ф-ла (9) [10]			-6	-6	-6	-6	-6	-6	-6	-6	-6	-6		
Снижение уровня звукового давления из-за влияния аэроэи между источником шума и расчетной точкой																		
Препятствие снизу от трассы ИШ-РТ			Длина звуковой волны для среднегеометрической частоты октавной полосы, λ, м	10,79			5,4	2,72	1,36	0,68	0,34	0,17	0,09	0,04				
			Промежуточные точки	Р _ф (х,у,г) = [6188;0,9;4801,8;1,8;0]			651 + 351,32 м			dгг = 2606,94 м			ε = 0,00 м					
			Константа С2, учитывающая эффект отражения от земли возле здания	20			20	20	20	20	20	20	20	20	20	20	20	20
			Константа С3 (дифракция на кровлях)	Ф-ла (15) [10]			1	1	1	1	1	1	1	1	1	1	1	1
K _{ши} (влияние метеосудов)			Ф-ла (18) [10]			1	1	1	1	1	1	1	1	1	1	1		
Dz, дБ			Ф-ла (14) [10]			4,6	4,5	4,2	3,6	1,9	0	0	0	0	0	0		
Снижение УЗД, Абгг, дБ			Ф-ла (12) [10]			4,6	4,5	4,2	3,6	1,9	0	0	0	0	0	0		
* Исходные значения с помощью программного обеспечения: траектория обхода здания, в этом случае дополнительно указывается угол симметрии подстилающей поверхности (см. ниже)																		
Уровни звукового давления от источника ИШ-125, В1 ЦСП, бытовые помещения в расчетной точке днбм, дБ			Ф-ла(9) [10]	0			0	0	0	0	0	0	0	0	0	0		
Уровни звукового давления от источника ИШ-125, В1 ЦСП, бытовые помещения в расчетной точке ночью, дБ			Ф-ла(9) [10]	0			0	0	0	0	0	0	0	0	0	0		
Источники шума: ИШ-126, Б31 электромонтаж, АБК, координаты источника (х,у,г), м =[7045;16;4361;0;5;8,40]																		
Уровни звуковой мощности источника днбм, Лв, дБ			исходные данные	0			42,5	44,5	53,7	46,7	44,5	48,5	42,5	33,5				
Уровни звуковой мощности источника ночью, Лв, дБ			исходные данные	0			42,5	44,5	53,7	46,7	44,5	48,5	42,5	33,5				
Поправка на телесный угол Ω, дБ			Ω = 6,28	10g(4+Ω)			3	3	3	3	3	3	3	3	3	3		
Показатель направленности источника Di, дБ			исходные данные	0			0	0	0	0	0	0	0	0	0	0		

1			2			3	4	5	6	7	8	9	10	11	12	13	
Затухание из-за геометрической дивергенции, Азвг, дБ			расстояние = 350,96 м Т=20,0 °C Р=1013,33 Па hотн=270к			82											
Коэффициент затухания звука в атмосфере α, дБ/км			Ф-ла (5) [9]			0,02	0,09	0,33	1,12	2,79	4,98	9,04	23,09	77,63			
Учет затухания звука в атмосфере Аатм, дБ			Ф-ла (8) [10]			0,1	0,3	1,2	4	9,9	17,6	31,9	81,5	274,1			
Снижение поверхностью земли возле источника Аз, дБ			Gз = 0 hз = 0,1 м			-1,5	-1,5	-1,5	-1,5	-1,5	-1,5	-1,5	-1,5	-1,5			
Снижение поверхностью земли возле приёмника Аг, дБ			Gг = 0 hг = 1,5 м			-1,5	-1,5	-1,5	-1,5	-1,5	-1,5	-1,5	-1,5	-1,5			
Снижение поверхностью земли в средней зоне, Ап, дБ			Gп = 0			-3	-3	-3	-3	-3	-3	-3	-3	-3			
Суммарное снижение поверхности земли на траектории распространения звука Азг, дБ			Ф-ла (9) [10]			-6	-6	-6	-6	-6	-6	-6	-6	-6			
Снижение уровня звукового давления из-за влияния застройки между источником шума и расчётной точкой																	
Длина звуковой волны для среднегометрической частоты октавной полосы, λ, м			10/79			5,4	2,72	1,36	0,68	0,34	0,17	0,09	0,04				
Промежуточные тонсы			Р _{экв} х д _г = (65,8; 71,4; 87,0; 16,16; 50)			d _г = 52,82 м		d _г = 29,92; 36 м		φ = 10,82 м		z = 0,03 м					
Константа С2, учитывающая эффект отражения от земли возле здания			20			20	20	20	20	20	20	20	20	20			
Константа С3 (дифракция на краяхах)			Ф-ла (15) [10]			1	1,1	1,3	1,9	2,5	2,9	3	3	3			
K _{экв} (влияние метеословий)			Ф-ла (18) [10]			0	0	0	0	0	0	0	0	0			
Dz, дБ			Ф-ла (14) [10]			4,8	4,8	4,8	4,8	4,8	4,8	4,8	4,8	4,8			
Снижение УЗД, Азвг, дБ			Ф-ла (12) [10]			4,8	4,8	4,8	4,8	4,8	4,8	4,8	4,8	4,8			
Уровни звукового давления от источника ИШ-129. В3, электроремонт, пом.откижки проводов в расчётной точке днём, дБ			Ф-на(9) [10]			0	0	0	0	0	0	0	0	0	0	0	
Уровни звукового давления от источника ИШ-129. В3, электроремонт, пом.откижки проводов в расчётной точке ночью, дБ			Ф-на(9) [10]			0	0	0	0	0	0	0	0	0	0	0	
Источник шума: ИШ-130. В5 электроремонт, пом.откижки проводов, координаты источника (х,у,z), м =[6986,44;4341,42;1,2;75]																	
Уровни звуковой мощности источника днём, лв, дБ			исходные данные			0	56,1	58,5	66,5	59,7	59	59	51	40			
Уровни звукой мощности источника ночью, лв, дБ			исходные данные			0	56,1	58,5	66,5	59,7	59	59	51	40			
Поправка на телесный угол [Dz], дБ			Ω = 6,28			3	3	3	3	3	3	3	3	3			
Показатель направленности источника Dн, дБ			исходные данные			0	0	0	0	0	0	0	0	0			
Поправка на направленность источника Dс, дБ			Dс			3	3	3	3	3	3	3	3	3			
Затухание из-за геометрической дивергенции, Азвг, дБ			расстояние = 352,53 м Т=20,0 °C Р=1013,33 Па hотн=270к			81,9											
Коэффициент затухания звука в атмосфере α, дБ/км			Ф-ла (5) [9]			0,02	0,09	0,33	1,12	2,79	4,98	9,04	23,09	77,63			
Учет затухания звука в атмосфере Аатм, дБ			Ф-ла (8) [10]			0,1	0,3	1,2	4	9,8	17,6	31,9	81,4	273,8			
Снижение поверхностью земли возле источника Аз, дБ			Gз = 0 hз = 0,1 м			-1,5	-1,5	-1,5	-1,5	-1,5	-1,5	-1,5	-1,5	-1,5			
Снижение поверхностью земли возле приёмника Аг, дБ			Gг = 0 hг = 1,5 м			-1,5	-1,5	-1,5	-1,5	-1,5	-1,5	-1,5	-1,5	-1,5			
Снижение поверхностью земли в средней зоне, Ап, дБ			Gп = 0			-3	-3	-3	-3	-3	-3	-3	-3	-3			
Суммарное снижение поверхности земли на траектории распространения звука Азг, дБ			Ф-ла (9) [10]			-6	-6	-6	-6	-6	-6	-6	-6	-6			
Снижение уровня звукового давления из-за влияния застройки между источником шума и расчётной точкой																	
Длина звуковой волны для среднегометрической частоты октавной полосы, λ, м			10/79			5,4	2,72	1,36	0,68	0,34	0,17	0,09	0,04				
Промежуточные тонсы			Р _{экв} х д _г = (65,8; 67,4; 82,0; 16,16; 50)			d _г = 52,82 м		d _г = 29,92; 37 м		φ = 10,86 м		z = 0,03 м					
Константа С2, учитывающая эффект отражения от земли возле здания			20			20	20	20	20	20	20	20	20	20			
Константа С3 (дифракция на краяхах)			Ф-ла (15) [10]			1	1,1	1,4	1,9	2,5	2,9	3	3	3			

Траектория над экраном	Константа С3 (дифракция на краяхах)		Ф-ла (15) [10]		1	1,1	1,3	1,9	2,5	2,9	3	3	3		
	K _{экв} (влияние метеосусловий)		Ф-ла (18) [10]		0	0	0	0	0	0	0	0	0		
	Dz, дБ		Ф-ла (14) [10]		4,8	4,8	4,8	4,8	4,8	4,8	4,8	4,8	4,8		
	Снижение УЗД, Азвг, дБ		Ф-ла (12) [10]		4,8	4,8	4,8	4,8	4,8	4,8	4,8	4,8	4,8		
Уровни звукового давления от источника ИШ-127. В6 электроремонт, пом. откижки проводов в расчётной точке днём, дБ	Ф-н4(9) [100]		0		0	0	0	0	0	0	0	0	0	0	0
	Ф-н4(9) [100]		0		0	0	0	0	0	0	0	0	0	0	0
Источник шума: ИШ-128. В2, электроремонт, пом.откига проводов, координаты источника (х,у,з), м = [6989.72,4342.61,12.75]															
Уровни звуковой мощности источника днём, лw, дБ	исходные данные		0		69,1	71,5	79,5	72,7	72	67	64	55			
	исходные данные		0		69,1	71,5	79,5	72,7	72	67	64	55			
	Ω = 6,28		10,6(4-71)		3	3	3	3	3	3	3	3			
	Показатель направленности источника D _н , дБ		исходные данные		0		0	0	0	0	0	0	0		
Поправка на направленность источника Dc, дБ	Dc		Dc + D _н		3	3	3	3	3	3	3	3			
	расстояние = 35263,7 м		Ф-ла (7) [10]		82										
	T _в =20,3° Р _в =10,10 мПа В _в =70%		Ф-ла (5) [9]		0,02	0,09	0,33	1,12	2,79	4,98	9,04	23,09	77,63		
	Коэффициент затухания звука в атмосфере α, дБ/км		Ф-ла (8) [10]		0,1	0,3	1,2	4	9,8	17,6	31,9	81,5	273,9		
Учит затухания звука в атмосфере A _{атм} , дБ	G _в = 0 h _в = 0,1 м		Ф-ла таб.3 [10]		-1,5	-1,5	-1,5	-1,5	-1,5	-1,5	-1,5	-1,5	-1,5		
	G _в = 0 h _в = 1,5 м		Ф-ла таб.3 [10]		-1,5	-1,5	-1,5	-1,5	-1,5	-1,5	-1,5	-1,5	-1,5		
	G _п = 0		Ф-ла таб.3 [10]		-3	-3	-3	-3	-3	-3	-3	-3	-3		
	Суммарное снижение поверхности земли на траектории распространения звука A _{зг} , дБ		Ф-ла (9) [10]		-6	-6	-6	-6	-6	-6	-6	-6	-6		
Снижение уровня звукового давления из-за влияния застройки между источником шума и расчётной точкой															
Траектория над экраном	Промежуточные точки:		Р _в (х,у,з) = (6549.50,4632.46,16.50)		10,79	5,4	2,72	1,36	0,68	0,34	0,17	0,09	0,04		
	Константа С2, учитывающая эффект отражения от земли возле экрана		Ф _в (х,у,з) = 10,83 м		z = 0,03 м										
	Константа С3 (дифракция на краяхах)		Ф-ла (15) [10]		20	20	20	20	20	20	20	20	20		
	K _{экв} (влияние метеосусловий)		Ф-ла (18) [10]		1	1,1	1,3	1,9	2,5	2,9	3	3	3		
Уровни звукового давления от источника ИШ-128. В2, электроремонт, пом.откижки проводов в расчётной точке днём, дБ	Dz, дБ		Ф-ла (14) [10]		4,8	4,8	4,8	4,8	4,8	4,8	4,8	4,8	4,8		
	Снижение УЗД, Азвг, дБ		Ф-ла (12) [10]		4,8	4,8	4,8	4,8	4,8	4,8	4,8	4,8	4,8		
	Ф-н4(9) [100]		0		0	0	0	0	0	0	0	0	0	0	0
	Ф-н4(9) [100]		0		0	0	0	0	0	0	0	0	0	0	0
Источник шума: ИШ-129. В3, электроремонт, пом.откига проводов, координаты источника (х,у,з), м = [6992.31,4341.84,12.75]															
Уровни звуковой мощности источника днём, лw, дБ	исходные данные		0		61,1	63,5	71,5	61,7	64	64	56	47			
	исходные данные		0		61,1	63,5	71,5	61,7	64	64	56	47			
	Ω = 6,28		10,6(4-71)		3	3	3	3	3	3	3	3			
	Показатель направленности источника D _н , дБ		исходные данные		0		0	0	0	0	0	0	0		
Поправка на направленность источника Dc, дБ	Dc		Dc + D _н		3	3	3	3	3	3	3	3			
	расстояние = 35263,7 м		Ф-ла (7) [10]		82										

Технические характеристики	1																								
	2																								
	3																								
	4																								
K _{шум} (влияние метеосудовий)	Ф-ла (18) [10]																								
	Ф-ла (14) [10]																								
	Ф-ла (13) [10]																								
Снижение УЗД, Авар, дБ																									
Общее снижение уровня звука прилетствием Авар, дБ																									
Уровни звукового давления от источника ИШ-131. В7 электроремонт, столлярная мастерская в расчётной точке днём, дБ																									
Уровни звукового давления от источника ИШ-131. В7 электроремонт, столлярная мастерская в расчётной точке ночью, дБ																									

Источники шума: ИШ-132. В13 электроремонт, пом. откармливания эл. двигателей, координаты источника (х,у,г), м = [6991.89; 4339.89; 12.75]

Уровни звуковой мощности источника днём, лм, ДБ													
Уровни звуковой мощности источника ночью, лм, ДБ													
Поправка на телесный угол Ω, ДБ													
Показатель направленности источника Д1, ДБ													
Поправка на направленность источника Дс, ДБ													
Затухание из-за геометрической дивергенции, Адв, ДБ													
Коэффициент затухания звука в атмосфере α, дБ/км													
Учет затухания звука в атмосфере Аатм, ДБ													
Снижение поверхностью земли возле источника Аз, ДБ													
Снижение поверхностью земли возле приёмника Аг, ДБ													
Снижение поверхностью земли в средней зоне, Ат, ДБ													
Суммарное снижение поверхностью земли на траектории распространения звука АБг, ДБ													

Снижение уровня звукового давления из-за влияния застройки между источником шума и расчётной точкой

Длина звуковой волны для среднегеометрической частоты октавной полосы, λ, м														
Траектория над экраном	Промежуточные точки:		Ф _{ФЧХ} , дБ* (65,9; 16,48;31,6;16,5)		Ф _{ФЧХ} , дБ* (65,9; 16,48;31,6;16,5)		dФ = 2090,68 м		dФ = 3302,21 м		dФ = 3284 м		z = 0,03 м	
			Константа С ₂ , учитывающая эффект отражения от земли возле экрана		20		20		20		20		20	
			Константа С ₃ (дифракция на краяхах)		1		1,1		1,3		1,9		2,5	
			K _{шум} (вспышки метеослучай)		Ф _ш (15) [10]		Ф _ш (18) [10]		Ф _ш (14) [10]		Ф _ш (12) [10]		Ф _ш (12) [10]	
			Dz, дБ		4,8		4,8		4,8		4,8		4,8	
			Снижение УЗД, Авар, дБ		4,8		4,8		4,8		4,8		4,8	
Уровни звукового давления от источника ИШ-132. В13 электроремонт, пом. откармливания эл. двигателей в расчётной точке днём, дБ														
Уровни звукового давления от источника ИШ-132. В13 электроремонт, пом. откармливания эл. двигателей в расчётной точке ночью, дБ														

Источники шума: ИШ-133. В15 электроремонт, камера обесшумливания, координаты источника (х,у,г), м = [6988.82; 4339.33; 12.75]

Уровни звуковой мощности источника днём, лм, ДБ													
Уровни звуковой мощности источника ночью, лм, ДБ													
Поправка на телесный угол Ω, ДБ													
Показатель направленности источника Д1, ДБ													
Поправка на направленность источника Дс, ДБ													

Технические характеристики	1																								
	2																								
	3																								
	4																								
К _{шум} (вспышка метеоусловий)	Ф-ла (18) [10]																								
	Ф-ла (14) [10]																								
	Ф-ла (12) [10]																								
Снижение УЗД, Авар, дБ																									
Уровни звукового давления от источника ИШ-130. В5 электроремонт, котельная в расчётной точке днём, дБ																									
Уровни звукового давления от источника ИШ-130. В5 электроремонт, котельная в расчётной точке ночью, дБ																									

Источники шума: ИШ-131. В7 электроремонт, столлярная мастерская, координаты источника (х,у,г), м = [6989.10; 4340.86; 12.75]

Уровни звуковой мощности источника днём, лм, ДБ													
Уровни звуковой мощности источника ночью, лм, ДБ													
Поправка на телесный угол Ω, ДБ													
Показатель направленности источника Д1, ДБ													
Поправка на направленность источника Дс, ДБ													
Затухание из-за геометрической дивергенции, Адв, ДБ													
Коэффициент затухания звука в атмосфере α, дБ/км													
Учет затухания звука в атмосфере Аатм, ДБ													
Снижение поверхностью земли возле источника Аз, ДБ													
Снижение поверхностью земли возле приёмника Аг, ДБ													
Снижение поверхностью земли в средней зоне, Ат, ДБ													
Суммарное снижение поверхностью земли на траектории распространения звука АБг, ДБ													

Снижение уровня звукового давления из-за влияния застройки между источником шума и расчётной точкой

Длина звуковой волны для среднегеометрической частоты октавной полосы, λ, м													
Критерий наличия экранирования в горизонтальной плоскости	Горизонтальный размер экрана, λ _{гр} = 29,89 м												
	Промежуточные точки:												
	Константа С2, учитывающая эффект отражения от земли возле экрана												
	Константа С3 (дифракция на краяхах)												
	K _{шум} (вспышка метеороусловий)												
	D _ш , дБ												
Траектория над экраном	Снижение УЗД, Авар, дБ												
	Промежуточные точки:												
	Константа С2, учитывающая эффект отражения от земли возле экрана												
	Константа С3 (дифракция на краяхах)												
	K _{шум} (вспышка метеороусловий)												
	D _ш , дБ												
Траектория слева от экрана	Снижение УЗД, Авар, дБ												
	Промежуточные точки:												
	Константа С2, учитывающая эффект отражения от земли возле экрана												
	Константа С3 (дифракция на краяхах)												

Технические характеристики

1		2											
Уровни звуковой мощности источника дБм, Lw, дБ		исходные данные											
Уровни звуковой мощности источника ночью, Lw, дБ		исходные данные											
Поправка на телесный угол DO, дБ		10lg(4/π)											
Показатель направленности источника DI, дБ		Ω = 6,28											
Поправка на направленность источника DC, дБ		DC											
Затухание из-за геометрической дивергенции, Adiv, дБ		расстояние = 3338,29 м											
Коэффициент затухания звука в атмосфере α, дБ/км		Tair=20,°C P=1013,3гПа hотн=70%											
Учет затухания звука в атмосфере Aatm, дБ		Ф-м (7) [10]											
Снижение поверхностью земли возле источника As, дБ		Ф-м (5) [9]											
Снижение поверхностью земли возле приемника At, дБ		Ф-м (8) [10]											
Снижение поверхностью земли в средней зоне, Ап, дБ		Ф-м таб.3 [10]											
Суммарное снижение поверхности земли на траектории распространения звука Абг, дБ		Ф-м таб.3 [10]											
Снижение поверхности земли в средней зоне, Ап, дБ		Ф-м таб.3 [10]											
Суммарное снижение поверхности земли на траектории распространения звука Абг, дБ		Ф-м (9) [10]											
Снижение уровня звукового давления из-за влияния застройки между источником шума и расчетной точкой		80,5											
Длина звуковой волны для среднегеометрической частоты октавной полосы, λ, м		10,79											
Критерий наличия экранирования в горизонтальной плоскости		Выр > λ											
Промежуточные точки		РФКх,у,д = (604,09,4059,53,12,80)											
Константа С2, учитывающая эффект отражения от земли возле экрана		С2 = 3316,06 м											
Константа С3 (дифракция на краяхах)		Ф-м (15) [10]											
Км (влияние метеословий)		Ф-м (18) [10]											
Dz, дБ		Ф-м (14) [10]											
Снижение УЗД, Абг, дБ		Ф-м (12) [10]											
Промежуточные точки		РФКх,у,д = (604,09,4059,53,12,80)											
Константа С2, учитывающая эффект отражения от земли возле экрана		С2 = 3316,06 м											
Константа С3 (дифракция на краяхах)		Ф-м (15) [10]											
Км (влияние метеословий)		Ф-м (18) [10]											
Dz, дБ		Ф-м (14) [10]											
Снижение УЗД, Абг, дБ		Ф-м (13) [10]											
Промежуточные точки		РФКх,у,д = (604,09,4059,53,12,80)											
Константа С2, учитывающая эффект отражения от земли возле экрана		С2 = 3412,23 м											
Константа С3 (дифракция на краяхах)		Ф-м (15) [10]											
Км (влияние метеословий)		Ф-м (18) [10]											
Dz, дБ		Ф-м (14) [10]											
Снижение УЗД, Абг, дБ		Ф-м (13) [10]											
Промежуточные точки		РФКх,у,д = (604,09,4059,53,12,80)											
Константа С2, учитывающая эффект отражения от земли возле экрана		С2 = 3412,23 м											
Константа С3 (дифракция на краяхах)		Ф-м (15) [10]											
Км (влияние метеословий)		Ф-м (18) [10]											
Dz, дБ		Ф-м (14) [10]											
Снижение УЗД, Абг, дБ		Ф-м (13) [10]											
Промежуточные точки		РФКх,у,д = (604,09,4059,53,12,80)											
Константа С2, учитывающая эффект отражения от земли возле экрана		С2 = 3412,23 м											
Константа С3 (дифракция на краяхах)		Ф-м (15) [10]											
Км (влияние метеословий)		Ф-м (18) [10]											
Dz, дБ		Ф-м (14) [10]											
Снижение УЗД, Абг, дБ		Ф-м (13) [10]											
Промежуточные точки		РФКх,у,д = (604,09,4059,53,12,80)											
Константа С2, учитывающая эффект отражения от земли возле экрана		С2 = 3412,23 м											
Константа С3 (дифракция на краяхах)		Ф-м (15) [10]											
Км (влияние метеословий)		Ф-м (18) [10]											
Dz, дБ		Ф-м (14) [10]											
Снижение УЗД, Абг, дБ		Ф-м (13) [10]											
Промежуточные точки		РФКх,у,д = (604,09,4059,53,12,80)											
Константа С2, учитывающая эффект отражения от земли возле экрана		С2 = 3412,23 м											
Константа С3 (дифракция на краяхах)		Ф-м (15) [10]											
Км (влияние метеословий)		Ф-м (18) [10]											
Dz, дБ		Ф-м (14) [10]											
Снижение УЗД, Абг, дБ		Ф-м (13) [10]											
Промежуточные точки		РФКх,у,д = (604,09,4059,53,12,80)											
Константа С2, учитывающая эффект отражения от земли возле экрана		С2 = 3412,23 м											
Константа С3 (дифракция на краяхах)		Ф-м (15) [10]											
Км (влияние метеословий)		Ф-м (18) [10]											
Dz, дБ		Ф-м (14) [10]											
Снижение УЗД, Абг, дБ		Ф-м (13) [10]											
Промежуточные точки		РФКх,у,д = (604,09,4059,53,12,80)											
Константа С2, учитывающая эффект отражения от земли возле экрана		С2 = 3412,23 м											
Константа С3 (дифракция на краяхах)		Ф-м (15) [10]											
Км (влияние метеословий)		Ф-м (18) [10]											
Dz, дБ		Ф-м (14) [10]											
Снижение УЗД, Абг, дБ		Ф-м (13) [10]											
Промежуточные точки		РФКх,у,д = (604,09,4059,53,12,80)											
Константа С2, учитывающая эффект отражения от земли возле экрана		С2 = 3412,23 м											
Константа С3 (дифракция на краяхах)		Ф-м (15) [10]											
Км (влияние метеословий)		Ф-м (18) [10]											
Dz, дБ		Ф-м (14) [10]											
Снижение УЗД, Абг, дБ		Ф-м (13) [10]											
Промежуточные точки		РФКх,у,д = (604,09,4059,53,12,80)											
Константа С2, учитывающая эффект отражения от земли возле экрана		С2 = 3412,23 м											
Константа С3 (дифракция на краяхах)		Ф-м (15) [10]											
Км (влияние метеословий)		Ф-м (18) [10]											
Dz, дБ		Ф-м (14) [10]											
Снижение УЗД, Абг, дБ		Ф-м (13) [10]											
Промежуточные точки		РФКх,у,д = (604,09,4059,53,12,80)											
Константа С2, учитывающая эффект отражения от земли возле экрана		С2 = 3412,23 м											
Константа С3 (дифракция на краяхах)		Ф-м (15) [10]											
Км (влияние метеословий)		Ф-м (18) [10]											
Dz, дБ		Ф-м (14) [10]											
Снижение УЗД, Абг, дБ		Ф-м (13) [10]											
Промежуточные точки		РФКх,у,д = (604,09,4059,53,12,80)											
Константа С2, учитывающая эффект отражения от земли возле экрана		С2 = 3412,23 м											
Константа С3 (дифракция на краяхах)		Ф-м (15) [10]											
Км (влияние метеословий)		Ф-м (18) [10]											
Dz, дБ		Ф-м (14) [10]											
Снижение УЗД, Абг, дБ		Ф-м (13) [10]											
Промежуточные точки		РФКх,у,д = (604,09,4059,53,12,80)											
Константа С2, учитывающая эффект отражения от земли возле экрана		С2 = 3412,23 м											
Константа С3 (дифракция на краяхах)		Ф-м (15) [10]											
Км (влияние метеословий)		Ф-м (18) [10]											
Dz, дБ		Ф-м (14) [10]											
Снижение УЗД, Абг, дБ		Ф-м (13) [10]											
Промежуточные точки		РФКх,у,д = (604,09,4059,53,12,80)											
Константа С2, учитывающая эффект отражения от земли возле экрана		С2 = 3412,23 м											
Константа С3 (дифракция на краяхах)		Ф-м (15) [10]											
Км (влияние метеословий)		Ф-м (18) [10]											
Dz, дБ		Ф-м (14) [10]											
Снижение УЗД, Абг, дБ		Ф-м (13) [10]											
Промежуточные точки		РФКх,у,д = (604,09,4059,53,12,80)											
Константа С2, учитывающая эффект отражения от земли возле экрана		С2 = 3412,23 м											
Константа С3 (дифракция на краяхах)		Ф-м (15) [10]											
Км (влияние метеословий)		Ф-м (18) [10]											
Dz, дБ		Ф-м (14) [10]											
Снижение УЗД, Абг, дБ		Ф-м (13) [10]											
Промежуточные точки		РФКх,у,д = (604,09,4059,53,12,80)											
Константа С2, учитывающая эффект отражения от земли возле экрана		С2 = 3412,23 м											
Константа С3 (дифракция на краяхах)		Ф-м (15) [10]											
Км (влияние метеословий)		Ф-м (18) [10]											
Dz, дБ		Ф-м (14) [10]											
Снижение УЗД, Абг, дБ		Ф-м (13) [10]											
Промежуточные точки		РФКх,у,д = (604,09,4059,53,12,80)											
Константа С2, учитывающая эффект отражения от земли возле экрана		С2 = 3412,23 м											
Константа С3 (дифракция на краяхах)		Ф-м (15) [10]											
Км (влияние метеословий)		Ф-м (18) [10]											
Dz, дБ		Ф-м (14) [10]											
Снижение УЗД, Абг, дБ		Ф-м (13) [10]											
Промежуточные точки		РФКх,у,д = (604,09,4059,53,12,80)											
Константа С2, учитывающая эффект отражения от земли возле экрана		С2 = 3412,23 м											
Константа С3 (дифракция на краяхах)		Ф-м (15) [10]											
Км (влияние метеословий)		Ф-м (18) [10]											
Dz, дБ		Ф-м (14) [10]											
Снижение УЗД, Абг, дБ		Ф-м (13) [10]											
Промежуточные точки		РФКх,у,д = (604,09,4059,53,12,80)											
Константа С2, учитывающая эффект отражения от земли возле экрана		С2 = 3412,23 м											
Константа С3 (дифракция на краяхах)		Ф-м (15) [10]											
Км (влияние метеословий)		Ф-м (18) [10]											
Dz, дБ		Ф-м (14) [10]											
Снижение УЗД, Абг, дБ		Ф-м (13) [10]											
Промежуточные точки		РФКх,у,д = (604,09,4059,53,12,80)											
Константа С2, учитывающая эффект отражения от земли возле экрана		С2 = 3412,23 м											
Константа С3 (дифракция на краяхах)		Ф-м (15) [10]											
Км (влияние метеословий)		Ф-м (18) [10]											
Dz, дБ		Ф-м (14) [10]											
Снижение УЗД, Абг, дБ		Ф-м (13) [10]											
Промежуточные точки		РФКх,у,д = (604,09,4059,53,12,80)											
Константа С2, учитывающая эффект отражения от земли возле экрана		С2 = 3412,23 м											
Константа С3 (дифракция на краяхах)		Ф-м (15) [10]											
Км (влияние метеословий)		Ф-м (18) [10]											
Dz, дБ		Ф-м (14) [10]											
Снижение УЗД, Абг, дБ		Ф-м (13) [10]											
Промежуточные точки		РФКх,у,д = (604,09,4059,53,12,80)											
Константа С2, учитывающая эффект отражения от земли возле экрана		С2 = 3412,23 м											
Константа С3 (дифракция на краяхах)		Ф-м (15) [10]											
Км (влияние метеословий)		Ф-м (18) [10]											
Dz, дБ		Ф-м (14) [10]											
Снижение УЗД, Абг, дБ		Ф-м (13) [10]											
Промежуточные точки		РФКх,у,д = (604,09,4059,53,12,80)											
Константа С2, учитывающая эффект отражения от земли возле экрана		С2 = 3412,23 м											
Константа С3 (дифракция на краяхах)		Ф-м (15) [10]											
Км (влияние метеословий)		Ф-м (18) [10]											
Dz, дБ		Ф-м (14) [10]											
Снижение УЗД, Абг, дБ		Ф-м (13) [10]											
Промежуточные точки		РФКх,у,д = (604,09,4059,53,12,80)											
Константа С2, учитывающая эффект отражения от земли возле экрана		С2 = 3412,23 м											
Константа С3 (дифракция на краяхах)		Ф-м (15) [10]											
Км (влияние метеословий)		Ф-м (18) [10]											
Dz, дБ		Ф-м (14) [10]											
Снижение УЗД, Абг, дБ		Ф-м (13) [10]											
Промежуточные точки		РФКх,у,д = (604,09,4059,53,12,80)											
Константа С2, учитывающая эффект отражения от земли возле экрана		С2 = 3412,23 м											
Константа С3 (дифракция на краяхах)		Ф-м (15) [10]											
Км (влияние метеословий)		Ф-м (18) [10]											
Dz, дБ		Ф-м (14) [10]											
Снижение УЗД, Абг, дБ		Ф-м (13) [10]											
Промежуточные точки		РФКх,у,д = (604,09,4059,53,12,80)											
Константа С2, учитывающая эффект отражения от земли возле экрана		С2 = 3412,23 м											
Константа С3 (дифракция на краяхах)		Ф-м (15) [10]											
Км (влияние метеословий)		Ф-м (18) [10]											
Dz, дБ		Ф-м (14) [10]											
Снижение УЗД, Абг, дБ		Ф-м (13) [10]											
Промежуточные точки		РФКх,у,д = (604,09,4059,53,12,80)											
Константа С2, учитывающая эффект отражения от земли возле экрана		С2 = 3412,23 м											
Константа С3 (дифракция на краяхах)		Ф-м (15) [10]											
Км (влияние метеословий)		Ф-м (18) [10]											
Dz, дБ		Ф-м (14) [10]											
Снижение УЗД, Абг, дБ		Ф-м (13) [10]											
Промежуточные точки		РФКх,у,д = (604,09,4059,53,12,80)											
Константа С2, учитывающая эффект отражения от земли возле экрана		С2 = 3412,23 м											
Константа С3 (дифракция на краяхах)		Ф-м (15) [10]											
Км (влияние метеословий)		Ф-м (18) [10]											
Dz, дБ		Ф-м (14) [10]											
Снижение УЗД, Абг, дБ		Ф-м (13) [10]											
Промежуточные точки		РФКх,у,д = (604,09,4059,53,12,80)											
Константа С2, учитывающая эффект отражения от земли возле экрана		С2 = 3412,23 м											
Константа С3 (дифракция на краяхах)		Ф-м (15) [10]											
Км (влияние метеословий)		Ф-м (18) [10]											
Dz, дБ		Ф-м (14) [10]											
Снижение УЗД, Абг, дБ		Ф-м (13) [10]											
Промежуточные точки		РФКх,у,д = (604,09,4059,53,12,80)											
Константа С2, учитывающая эффект отражения от земли возле экрана		С2 = 3412,23 м											
Константа С3 (дифракция на краяхах)		Ф-м (15) [10]											
Км (влияние метеословий)		Ф-м (18) [10]											
Dz, дБ		Ф-м (14) [10]											
Снижение УЗД, Абг, дБ		Ф-м (13) [10]											
Промежуточные точки		РФКх,у,д = (604,09,4059,53,12,80)											
Константа С2, учитывающая эффект отражения от земли возле экрана		С2 = 3412,23 м											
Константа С3 (дифракция на краяхах)		Ф-м (15) [10]											
Км (влияние метеословий)		Ф-м (18) [10]											
Dz, дБ		Ф-м (14) [10]											
Снижение УЗД, Абг, дБ		Ф-м (13) [10]											
Промежуточные точки		РФКх,у,д = (604,09,4059,53,12,80)											
Константа С2, учитывающая эффект отражения от земли возле экрана		С2 = 3412,23 м											
Константа С3 (дифракция на краяхах)		Ф-м (15) [10]											
Км (влияние метеословий)		Ф-м (18) [10]											
Dz, дБ		Ф-м (14) [10]											
Снижение УЗД, Абг, дБ		Ф-м (13) [10]											
Промежуточные точки		РФКх,у,д = (604,09,4059,53,12,80)											
Константа С2, учитывающая эффект отражения от земли возле экрана		С2 = 3412,23 м											
Константа С3 (дифракция на краяхах)		Ф-м (15) [10]											
Км (влияние метеословий)		Ф-м (18) [10]											
Dz, дБ		Ф-м (14) [10]											
Снижение УЗД, Абг, дБ		Ф-м (13) [10]											
Промежуточные точки		РФКх,у,д = (604,09,4059,53,12,80)											
Константа С2, учитывающая эффект отражения от земли возле экрана		С2 = 3412,23 м											
Константа С3 (дифракция на краяхах)		Ф-м (15) [10]											
Км (влияние метеословий)		Ф-м (18) [10]											
Dz, дБ		Ф-м (14) [10]											
Снижение УЗД, Абг, дБ		Ф-м (13) [10]											
Промежуточные точки		РФКх,у,д = (604,09,4059,53,12,80)											
Константа С2, учитывающая эффект отражения от земли возле экрана		С2 = 3412,23 м											
Константа С3 (дифракция на краяхах)		Ф-м (15) [10]											
Км (влияние метеословий)		Ф-м (18) [10]											
Dz, дБ		Ф-м (14) [10]											
Снижение УЗД, Абг, дБ		Ф-м (13) [10]											
Промежуточные точки		РФКх,у,д = (604,09,4059,53,12,80)											
Константа С2, учитывающая эффект отражения от земли возле экрана		С2 = 3412,23 м											
Константа С3 (дифракция на краяхах)		Ф-м (15) [10]											
Км (влияние метеословий)		Ф-м (18) [10]											
Dz, дБ		Ф-м (14) [10]											
Снижение УЗД, Абг, дБ		Ф-м (13) [10]											
Промежуточные точки		РФКх,у,д = (604,09,4059,53,12,80)											
Константа С2, учитывающая эффект отражения от земли возле экрана		С2 = 3412,23 м											
Константа С3 (дифракция на краяхах)		Ф-м (15) [10]											
Км (влияние метеословий)		Ф-м (18) [10]											
Dz, дБ		Ф-м (14) [10]											
Снижение УЗД, Абг, дБ		Ф-м (13) [10]											
Промежуточные точки		РФКх,у,д = (604,09,4059,53,12,80)											
Константа С2, учитывающая эффект отражения от земли возле экрана		С2 = 3412,23 м											
Константа С3 (дифракция на краяхах)		Ф-м (15) [10]											
Км (влияние метеословий)		Ф-м (18) [10]											
Dz, дБ		Ф-м (14) [10]											
Снижение УЗД, Абг, дБ		Ф-м (13) [10]											
Промежуточные точки		РФКх,у,д = (604,09,4059,53,12,80)											
Константа С2, учитывающая эффект отражения от земли возле экрана		С2 = 3412,23 м											
Константа С3 (дифракция на краяхах)		Ф-м (15) [10]											
Км (влияние метеословий)		Ф-м (18) [10]											
Dz, дБ		Ф-м (14) [10]											
Снижение УЗД, Абг, дБ		Ф-м (13) [10]											
Промежуточные точки		РФКх,у,д = (604,09,4059,53,12,80)											
Константа С2, учитывающая эффект отражения от земли возле экрана		С2 = 3412,23 м											
Константа С3 (дифракция на краяхах)		Ф-м (15) [10]											
Км (влияние метеословий)		Ф-м (18) [10]											
Dz, дБ		Ф-м (14) [10]											
Снижение УЗД, Абг, дБ		Ф-м (13) [10]											
Промежуточные точки		РФКх,у,д = (604,09,4059,53,12,80)											
Константа С2, учитывающая эффект отражения от земли возле экрана		С2 = 3412,23 м											
Константа С3 (дифракция на краяхах)		Ф-м (15) [10]											
Км (влияние метеословий)		Ф-м (18) [10]											
Dz, дБ		Ф-м (14) [10]											
Снижение УЗД, Абг, дБ		Ф-м (13) [10]											
Промежуточные точки		РФКх,у,д = (604,09,4059,53,12,80)											
Константа С2, учитывающая эффект отражения от земли возле экрана		С2 = 3412,23 м											
Константа С3 (дифракция на краяхах)													

1																2															
Учет затухания звука в атмосфере Азтп, дБ																Ф-ла (8) [10]															
Снижение поперечностью земли возле источника Аэ, дБ																Ф-лы таб.3 [10]															
Г _с =0 Н _с =2м																															
Снижение поперечностью земли возле приёмника Мг, дБ																Ф-лы таб.3 [10]															
Г _р =0 Н _р =1,5м																															
Снижение поперечностью земли в средней зоне, Ап дБ																Ф-лы таб.3 [10]															
Суммарное снижение поперечностью земли на траектории распространения звука Аэг, дБ																Ф-ла (9) [10]															
Снижение уровня звукового давления из-за влияниястройки между источником шума и расчетной точкой																															
Длина звуковой волны для среднегеометрической частоты октавной полосы, λ, м																1079 5А 272 1,36 0,68 0,34 0,17 0,09 0,04															
Промежуточные точки:																Р _{фквх,дБ} = (695,64;52,68;36,19;20)															
Константа С ₂ , учитывающая эффект отражения от земли возле экрана																695+18,55% d _н =2797,66м φ=±15,33°m z=1839 м															
Константа С ₃ (дифракция на краяхах)																20 20 20 20 20 20 20 20 20 20 20 20 20 20 20 20															
K _{зем} (влияние метеоусловий)																2,8 3 3 3 3 3 3 3 3 3 3 3 3 3 3 3															
D _л , дБ (с учетом ограничения эффективности экранов, 25 дБ)																0,4 0,4 0,4 0,4 0,4 0,4 0,4 0,4 0,4 0,4 0,4 0,4 0,4 0,4 0,4															
Снижение УЗД, Абв, дБ																15,7 18,7 21,6 24,6 25 25 25 25 25 25 25 25 25 25 25 25															
Уровни звукового давления от источника ИШ-142. Ворот ПМО-2 в расчётной точке днём, дБ																Ф-ла(12) [10]															
Уровни звукового давления от источника ИШ-142. Ворот ПМО-2 в расчётной точке ночью, дБ																Ф-ла(13) [10]															
Источник шума: ИШ-143. Ворот мастерских слесарей, координаты источника (х,y,z), м =[6810,63;52,02;41,2;00]																															
Уровни звуковой мощности источника днём, Lw, дБ																исходные данные															
Уровни звуковой мощности источника ночью, Lw, дБ																исходные данные															
Поправка на телесный угол Dα, дБ																Ω = 6,28 108(d²/r²)3															
Показатель направленности источника Di, дБ																исходные данные															
Поправка на направленность источника Dc, дБ																Dα ± Di															
Затухание из-за геометрической дивергенции, Адбv, дБ																φ-ла (7) [10]															
Коэффициент затухания звука в атмосфере α, дБ/км																Т=20 °C P=1013,3Па h=0,-270% 0,02 0,09 0,33 1,12 2,79 4,98 9,04 23,09 77,63															
Учет затухания звука в атмосфере Аатп, дБ																Ф-ла (8) [10]															
Снижение поперечностью земли возле источника Аэ, дБ																Г _с =0 Н _с =2м Ф-лы таб.3 [10]															
Снижение поперечностью земли возле приёмника Мг, дБ																Г _р =0 Н _р =1,5м Ф-лы таб.3 [10]															
Снижение поперечностью земли в средней зоне, Ап дБ																Gm=0 Ф-лы таб.3 [10]															
Суммарное снижение поперечностью земли на траектории распространения звука Аэг, дБ																Ф-ла (9) [10]															
Снижение уровня звукового давления из-за влияниястройки между источником шума и расчетной точкой																															
Длина звуковой волны для среднегеометрической частоты октавной полосы, λ, м																1079 5А 272 1,36 0,68 0,34 0,17 0,09 0,04															
Промежуточные точки:																Р _{фквх,дБ} = (674,86;52,68;35,18;20)															
Константа С ₂ , учитывающая эффект отражения от земли возле экрана																695+17,27% d _н =2797,70м φ=±10,19°m z=187 м															
Константа С ₃ (дифракция на краяхах)																20 20 20 20 20 20 20 20 20 20 20 20 20 20 20 20															
K _{зем} (влияние метеоусловий)																2,1 2,7 2,9 3 3 3 3 3 3 3 3 3 3 3 3 3															
D _л , дБ																0 0 0 0 0 0 0 0 0 0 0 0 0 0 0 0															
Снижение УЗД, Абв, дБ																4,8 4,8 4,8 4,8 4,8 4,8 4,8 4,8 4,8 4,8 4,8 4,8 4,8 4,8 4,8															
Уровни звукового давления от источника ИШ-143. Ворот мастерских слесарей, координаты источника (х,y,z), м =[6810,63;52,02;41,2;00]																															
Уровни звуковой мощности источника днём, Lw, дБ																исходные данные															
Уровни звуковой мощности источника ночью, Lw, дБ																исходные данные															
Поправка на телесный угол Dα, дБ																Ω = 6,28 108(d²/r²)3															
Показатель направленности источника Di, дБ																исходные данные															
Поправка на направленность источника Dc, дБ																Dα ± Di															
Затухание из-за геометрической дивергенции, Адбv, дБ																φ-ла (7) [10]															
Коэффициент затухания звука в атмосфере α, дБ/км																Т=20 °C P=1013,3Па h=0,-270% 0,02 0,09 0,33 1,12 2,79 4,98 9,04 23,09 77,63															
Учет затухания звука в атмосфере Аатп, дБ																Ф-ла (8) [10]															
Снижение поперечностью земли возле источника Аэ, дБ																Г _с =0 Н _с =2м Ф-лы таб.3 [10]															
Снижение поперечностью земли возле приёмника Мг, дБ																Г _р =0 Н _р =1,5м Ф-лы таб.3 [10]															
Снижение поперечностью земли в средней зоне, Ап дБ																Gm=0 Ф-лы таб.3 [10]															
Суммарное снижение поперечностью земли на траектории распространения звука Аэг, дБ																Ф-ла (9) [10]															
Снижение уровня звукового давления из-за влияниястройки между источником шума и расчетной точкой																															
Длина звуковой волны для среднегеометрической частоты октавной полосы, λ, м																1079 5А 272 1,36 0,68 0,34 0,17 0,09 0,04															
Промежуточные точки:																Р _{фквх,дБ} = (674,86;52,68;35,18;20)															
Константа С ₂ , учитывающая эффект отражения от земли возле экрана																695+17,27% d _н =2797,70м φ=±10,19°m z=187 м															
Константа С ₃ (дифракция на краяхах)																20 20 20 20 20 20 20 20 20 20 20 20 20 20 20 20															
K _{зем} (влияние метеоусловий)																2,1 2,7 2,9 3 3 3 3 3 3 3 3 3 3 3 3 3															
D _л , дБ																0 0 0 0 0 0 0 0 0 0 0 0 0 0 0 0															
Снижение УЗД, Абв, дБ																4,8 4,8 4,8 4,8 4,8 4,8 4,8 4,8 4,8 4,8 4,8 4,8 4,8 4,8 4,8															
Уровни звукового давления от источника ИШ-143. Ворот мастерских слесарей, координаты источника (х,y,z), м =[6810,63;52,02;41,2;00]																															
Уровни звуковой мощности источника днём, Lw, дБ																исходные данные															
Уровни звуковой мощности источника ночью, Lw, дБ																исходные данные															
Поправка на телесный угол Dα, дБ																Ω = 6,28 108(d²															

1														2													
Трансформаторная подстанция Электростанция	Длина звуковой волны для среднегеометрической частоты октавной полосы, λ, м	Горизонтальный размер экрана, λпр = 373,48 м												λпр > λ													
		Премагнитующие токаны												Rфн(д)в * (6940,325514449,20,53)													
		Rфн(д)в * (6646,635299,84,19,50)												dδ ± 12,55 м													
		dδ = 2797,68 м												e = 315,40 м													
		z = 112,28 м																									
Трансформаторная подстанция Электростанция	Константа C2, учитывающая эффект отражения от земли возле экрана	Ф-лн [15] [100]												2,8													
		Ф-ла [18] [100]												0,3													
		Ф-ла [14] [100]												14,1													
		Ф-лн [12] [100]												14,1													
		dδ ± 41,85 м												dδ = 2823,20 м													
		e = 420,81 м												z = 175,50 м													
Трансформаторная подстанция Электростанция	Константа C3 (инфракрасия на громокол)	Ф-лн [15] [100]												2,9													
		Ф-ла [18] [100]												1													
		Ф-ла [14] [100]												29,7													
		Ф-лн [12] [100]												29,7													
		Rфн(д)в * (7092,54052,9,9,8,00)												Rфн(д)в * (6841,43,509,15,27,1)													
		dδ ± 331,63 м												dδ = 2995,03 м													
		e = 134,07 м												z = 352,38 м													
Трансформаторная подстанция Электростанция	Dz, дБ	Ф-ла [14] [100]												32													
		Ф-ла [12] [100]												32													
		Ф-ла [15] [100]												2,4													
		Ф-ла [18] [100]												1													
		Ф-ла [14] [100]												32													
		Ф-ла [12] [100]												32													
		Ф-ла [15] [100]												2,4													
		Ф-ла [18] [100]												1													
		Ф-ла [14] [100]												32													
		Ф-ла [12] [100]												32													
Трансформаторная подстанция Электростанция	Общее снижение уровня звука прилегающим Азвг, дБ	Эксплуатационный расчет												13,9													
		Эксплуатационный расчет												13,9													
		Ф-на[13][100]												0													
		Ф-на[13][100]												0													
		Ф-на[13][100]												0													
		Ф-на[13][100]												0													
		Ф-на[13][100]												0													
		Ф-на[13][100]												0													
		Ф-на[13][100]												0													
		Ф-на[13][100]												0													
Трансформаторная подстанция Электростанция	Уровни звукового давления от минного источника ИШ-141. Ононо ГМО-2, ин.(1) в расчётной точке днём, дБ	Ф-на[13][100]												0													
		Ф-на[13][100]												0													
		Ф-на[13][100]												0													
		Ф-на[13][100]												0													
		Ф-на[13][100]												0													
		Ф-на[13][100]												0													
		Ф-на[13][100]												0													
		Ф-на[13][100]												0													
		Ф-на[13][100]												0													
		Ф-на[13][100]												0													
Трансформаторная подстанция Электростанция	Уровни звукового давления от минного источника ИШ-141. Ононо ГМО-2, ин.(1) в расчётной точке ночью, дБ	Ф-на[13][100]												0													
		Ф-на[13][100]												0													
		Ф-на[13][100]												0													
		Ф-на[13][100]												0													
		Ф-на[13][100]												0													
		Ф-на[13][100]												0													
		Ф-на[13][100]												0													
		Ф-на[13][100]												0													
		Ф-на[13][100]												0													
		Ф-на[13][100]												0													
Трансформаторная подстанция Электростанция	Уровни звукового давления от минного источника ИШ-141. Ононо ГМО-2, ин.(1) в расчётной точке ночью, дБ	Ф-на[13][100]												0													
		Ф-на[13][100]												0													
		Ф-на[13][100]												0													
		Ф-на[13][100]												0													
		Ф-на[13][100]												0													
		Ф-на[13][100]												0													
		Ф-на[13][100]												0													
		Ф-на[13][100]												0													
		Ф-на[13][100]												0													
		Ф-на[13][100]												0													
Трансформаторная подстанция Электростанция	Источники шума: ИШ-142. Ворота ГМО-2, координаты источника (х,y,z), М = {6935,84;5133,00;2,00}	Ф-на[13][100]												0													
		Ф-на[13][100]												0													
		Ф-на[13][100]												0													
		Ф-на[13][100]												0													
		Ф-на[13][100]												0													
		Ф-на[13][100]												0													
		Ф-на[13][100]												0													
		Ф-на[13][100]												0													
		Ф-на[13][100]												0													
		Ф-на[13][100]												0													
Трансформаторная подстанция Электростанция	Уровни звуковой мощности источника днём, лw, дБ	исходные данные												0													
		исходные данные												0													
		10,64+0(-)												3													
		исходные данные												0													
		исходные данные												0													
		исходные данные												0													
		исходные данные												0													
		исходные данные												0													
		исходные данные												0													
		исходные данные												0													
Трансформаторная подстанция Электростанция	Уровни звуковой мощности источника ночью, лw, дБ	исходные данные												0													
		исходные данные												0													
		10,64+0(-)												3													
		исходные данные												0													
		исходные данные												0													
		исходные данные												0													
		исходные данные												0													
		исходные данные												0													
		исходные данные												0													
		исходные данные												0													
Трансформаторная подстанция Электростанция	Показатель направленности источника Dн, дБ	исходные данные												0													
		исходные данные												0													
		10,64+0(-)												3													
		исходные данные												0													
		исходные данные												0													
		исходные данные												0													
		исходные данные												0													
		исходные данные												0													
		исходные данные												0													
		исходные данные												0													
Трансформаторная подстанция Электростанция	Показатель направленности источника Dс, дБ	исходные данные												0													
		исходные данные												0													
		10,64+0(-)												3													
		исходные данные												0													
		исходные данные												0													
		исходные данные												0													
		исходные данные												0													
		исходные данные												0													
		исходные данные												0													
		исходные данные												0													
Трансформаторная подстанция Электростанция	Расчёт ограждающего шума	исходные данные												0													
		исходные данные												0													
		10,64+0(-)												3													
		исходные данные												0													
		исходные данные												0													
		исходные данные												0													
		исходные данные												0													
		исходные данные												0													
		исходные данные												0													
		исходные данные												0													
Трансформаторная подстанция Электростанция	Уровни звукового давления от минного источника ИШ-141. Ононо ГМО-2, ин.(1) в расчётной точке днём, дБ	Ф-на[13][100]												0													
		Ф-на[13][100]												0													
		Ф-на[13][100]												0													
		Ф-на[13][100]												0													
		Ф-на[13][100]												0													
		Ф-на[13][100]												0													
		Ф-на[13][100]												0													
		Ф-на[13][100]												0													
		Ф-на[13][100]												0													
		Ф-на[13][100]												0													
Трансформаторная подстанция Электростанция	Уровни звукового давления от минного источника ИШ-141. Ононо ГМО-2, ин.(1) в расчётной точке ночью, дБ	Ф-на[13][100]												0													
		Ф-на[13][100]												0													
		Ф-на[13][100]												0													
		Ф-на[13][100]												0													
		Ф-на[13][100]												0													
		Ф-на[13][100]												0													
		Ф-на[13][100]												0													
		Ф-на[13][100]												0													
		Ф-на[13][100]												0													
		Ф-на[13][100]												0													
Трансформаторная подстанция Электростанция	Источники шума: ИШ-142. Ворота ГМО-2, координаты источника (х,y,z), М = {6935,84;5133,00;2,00}	Ф-на[13][100]												0													
		Ф-на[13][100]												0													
		Ф-на[13][100]												0													
		Ф-на[13][100]												0													
		Ф-на[13][100]												0													
		Ф-на[13][100]												0													
		Ф-на[13][100]												0													
		Ф-на[13][100]												0													
		Ф-на[13][100]												0													
		Ф-на[13][100]												0													
Трансформаторная подстанция Электростанция	Уровни звуковой мощности источника днём, лw, дБ	исходные данные												0													
		исходные данные												0													
		10,64+0(-)												3													
		исходные данные												0													
		исходные данные												0													
		исходные данные												0													
		исходные данные												0													
		исходные данные												0													
		исходные данные												0													
		исходные данные												0													
Трансформаторная подстанция Электростанция	Уровни звуковой мощности источника ночью, лw, дБ	исходные данные												0													
		исходные данные												0													
		10,64+0(-)												3													
		исходные данные												0													
		исходные данные												0													
		исходные данные												0													
		исходные данные												0													
		исходные данные												0													
		исходные данные												0													
		исходные данные												0													
Трансформаторная подстанция Электростанция	Показатель направленности источника Dн, дБ	исходные данные												0													
		исходные данные												0													
		10,64+0(-)												3													
		исходные данные												0													
		исходные данные												0													
		исходные данные												0													
		исходные данные												0													
		исходные данные												0													
		исходные данные												0													
		исходные данные												0													
Трансформаторная подстанция Электростанция	Показатель направленности источника Dс, дБ	исходные данные												0													
		исходные данные												0													
		10,64+0(-)												3													
		исходные данные												0													
		исходные данные												0													
		исходные данные												0													
		исходные данные												0													
		исходные данные												0													
		исходные данные												0													
		исходные данные												0													
Трансформаторная подстанция Электростанция	Расчёт ограждающего шума	исходные данные												0													
		исходные данные												0													
		10,64+0(-)												3													
		исходные данные												0													
		исходные данные												0													
		исходные данные												0													
		исходные данные												0													
		исходные данные												0													
		исходные данные												0													
		исходные данные												0													
Трансформаторная подстанция Электростанция	Уровни звукового давления от минного источника ИШ-141. Ононо ГМО-2, ин.(1) в расчётной точке днём, дБ	Ф-на[13][100]												0													
		Ф-на[13][100]												0													
		Ф-на[13][100]												0													
		Ф-на[13][100]												0													
		Ф-на[13][100]												0													
		Ф-на[13][100]												0													
		Ф-на[13][100]												0													
		Ф-на[13][100]												0													
		Ф-на[13][100]												0													
		Ф-на[13][100]												0													
Трансформаторная подстанция Электростанция	Уровни звукового давления от минного источника ИШ-141. Ононо ГМО-2, ин.(1) в расчётной точке ночью, дБ	Ф-на[13][100]												0													
		Ф-на[13][100]												0													
		Ф-на[13][100]												0													
		Ф-на[13][100]												0													
		Ф-на[13][100]												0													
		Ф-на[13][100]												0													
		Ф-на[13][100]												0													
		Ф-на[13][100]												0													
		Ф-на[13][100]												0													
		Ф-на[13][100]												0													
Трансформаторная подстанция Электростанция	Источники шума: ИШ-142. Ворота ГМО-2, координаты источника (х,y,z), М = {6935,84;5133,00;2,00}	Ф-на[13][100]												0													
		Ф-на[13][100]												0													
		Ф-на[13][100]												0													
		Ф-на[13][100]												0													
		Ф-на[13][100]												0													
		Ф-на[13][100]												0													
		Ф-на[13][100]												0													
		Ф-на[13][100]												0													
		Ф-на[13][100]												0													
		Ф-на[13][100]												0													
Трансформаторная подстанция Электростанция	Уровни звуковой мощности источника днём, лw, дБ	исходные данные												0													
		исходные данные												0													
		10,64+0(-)												3													
		исходные данные												0													
		исходные данные												0													
		исходные данные												0													
		исходные данные												0													
		исходные данные												0													
		исходные данные												0													
		исходные данные												0													
Трансформаторная подстанция Электростанция	Уровни звуковой мощности источника ночью, лw, дБ	исходные данные												0													
		исходные данные												0													
		10,64+0(-)												3													
		исходные данные												0													
		исходные данные												0													
		исходные данные												0													
		исходные данные												0													
		исходные данные												0													
		исходные данные												0													
		исходные данные												0													
Трансформаторная подстанция Электростанция	Показатель направленности источника Dн, дБ	исходные данные												0													
		исходные данные												0													
		10,64+0(-)												3													
		исходные данные												0													
		исходные данные												0													
		исходные данные												0													
		исходные данные												0													
		исходные данные												0													
		исходные данные												0													
		исходные данные												0													
Трансформаторная подстанция Электростанция	Показатель направленности источника Dс, дБ	исходные данные												0													
		исходные данные												0													
		10,64+0(-)												3													
		исходные данные												0													
		исходные данные												0													
		исходные данные												0													
		исходные данные												0													
		исходные данные												0													
		исходные данные												0													
		исходные данные												0													
Трансформаторная подстанция Электростанция	Расчёт ограждающего шума	исходные данные												0													
		исходные данные												0													
		10,64+0(-)												3													
		исходные данные												0													
		исходные данные												0													
		исходные данные												0													
		исходные данные												0													
		исходные данные												0													
		исходные данные												0													
		исходные данные												0													
Трансформаторная подстанция Электростанция	Уровни звукового давления от минного источника ИШ-141. Ононо ГМО-2, ин.(1) в расчётной точке днём, дБ	Ф-на[13][100]												0													
		Ф-на[13][100]												0													
		Ф-на[13][100]												0													
		Ф-на[13][100]												0													
		Ф-на[13][100]												0													
		Ф-на[13][100]												0													
		Ф-на[13][100]												0													
		Ф-на[13][100]												0													
		Ф-на[13][100]												0													
		Ф-на[13][100]												0													
Трансформаторная подстанция Электростанция	Уровни звукового давления от минного источника ИШ-141. Ононо ГМО-2, ин.(1) в расчётной точке ночью, дБ	Ф-на[13][100]												0													
		Ф-на[13][100]												0													
		Ф-на[13][100]												0													
		Ф-на[13][100]												0													
		Ф-на[13][100]												0													
		Ф-на[13][100]												0													
		Ф-на[13][100]												0													
		Ф-на[13][100]												0													
		Ф-на[13][100]												0													
		Ф-на[13][100]												0													
Трансформаторная подстанция Электростанция	Источники шума: ИШ-142. Ворота ГМО-2, координаты источника (х,y,z), М = {6935,84;5133,00;2,00}	Ф-на[13][100]												0													
		Ф-на[13][100]												0													
		Ф-на[13][100]												0													
		Ф-на[13][100]												0													
		Ф-на[13][100]												0													
		Ф-на[13][100]												0													
		Ф-на[13][100]												0													
		Ф-на[13][100]												0													
		Ф-на[13][100]												0													
		Ф-на[13][100]												0													
Трансформаторная подстанция Электростанция	Уровни звуковой мощности источника днём, лw, дБ	исходные данные												0													
		исходные данные												0													
		10,64+0(-)												3													
		исходные данные												0													
		исходные данные												0													
		исходные данные												0													
		исходные данные												0													
		исходные данные												0													
		исходные данные												0</													

1		2		3	4	5	6	7	8	9	10	11	12	13	
Снижение поверхностью земли приближена Аг, дБ		Gr = 0 m = 1,5m		-1,5	-1,5	-1,5	-1,5	-1,5	-1,5	-1,5	-1,5	-1,5	-1,5		
Снижение поверхностью земли в средней зоне, Атп дБ		Gm = 0		-2,4	-2,4	-2,4	-2,4	-2,4	-2,4	-2,4	-2,4	-2,4	-2,4		
Суммарное снижение поверхности земли на траектории распространения звука Азг, дБ				-5,4	-5,4	-5,4	-5,4	-5,4	-5,4	-5,4	-5,4	-5,4	-5,4		
Снижение уровня звукового давления из-за влияния застройки между источником шума и расчетной точкой															
Длина звуковой волны для среднегометрической частоты октавной полосы, λ, м				10/79	5,4	2,72	1,36	0,68	0,34	0,17	0,09	0,04			
Критерий палачия экранирования в горизонтальной плоскости				Горизонтальный размер экрана, lпр = 137,50 м		lпр > λ									
Траектория над экраном				Промежуточные точки	Факт-дБ + (6650,09/21,93/19,10)										
				Константа С2, учитывающая аффект отражения от земли воле экрана	Факт-дБ + (6650,09/21,93/19,10)										
				Константа С3 (дифракция на краяхах)	Ф-ла (15) [10]		1	1	1	1	1	1	1	1	1
				Kзем (влияние метеослоуций)	Ф-ла (18) [10]		0	0	0	0	0	0	0	0	0
				Dz, дБ	Ф-ла (14) [10]		4,8	4,8	4,8	4,8	4,8	4,8	4,8	4,8	4,8
Снижение УЗД, Абзг, дБ				Ф-ла (12) [10]		4,8	4,8	4,8	4,8	4,8	4,8	4,8	4,8		
Траектория слева от экрана				Промежуточные точки	Факт-дБ + (6642,22/20,52/18,44)										
				Константа С2, учитывающая аффект отражения от земли воле экрана	Факт-дБ + (6642,22/20,52/18,44)										
				Константа С3 (дифракция на краяхах)	Ф-ла (15) [10]		1	1,1	1,3	1,9	2,5	2,9	3	3	3
				Kзем (влияние метеослоуций)	Ф-ла (18) [10]		1	1	1	1	1	1	1	1	1
				Dz, дБ	Ф-ла (14) [10]		11,1	13,8	17,3	21,7	25,9	29,4	32,6	35,6	38,6
Снижение УЗД, Абзг, дБ				Ф-ла (12) [10]		11,1	13,8	17,3	21,7	25,9	29,4	32,6	35,6	38,6	
Траектория справа от экрана				Промежуточные точки	Факт-дБ + (6797,49/24,22/18,54)										
				Константа С2, учитывающая аффект отражения от земли воле экрана	Факт-дБ + (6797,49/24,22/18,54)										
				Константа С3 (дифракция на краяхах)	Ф-ла (15) [10]		1,3	1,9	2,5	2,9	3	3	3	3	3
				Kзем (влияние метеослоуций)	Ф-ла (18) [10]		1	1	1	1	1	1	1	1	1
				Dz, дБ	Ф-ла (14) [10]		16,5	20,9	25	28,5	31,7	34,7	37,8	40,8	43,8
Снижение УЗД, Абзг, дБ				Ф-ла (12) [10]		16,5	20,9	25	28,5	31,7	34,7	37,8	40,8	43,8	
Общее снижение уровня звука препятствием Абзг, дБ				Эк-сумм-дБ-Абзг, дБ		3,6	4,2	4,5	4,7	4,7	4,8	4,8	4,8	4,8	
Уровни звукового давления от источника ИШ-145. Окно ГМО-2 в расчетной точке днем, дБ				Ф-н[9] [10]		0	11,6	11,3	9,8	0	0	0	0	2,3	2,3
Уровни звукового давления от источника ИШ-145. Окно ГМО-2 в расчетной точке ночью, дБ				Ф-н[9] [10]		0	11,6	11,3	9,8	0	0	0	0	2,3	2,3
Источники шума: ИШ-146. Окно электролизного туления, координаты источника (х,у,г), м = [6973,56;5227,21;10,00]															
Уровни звуковой мощности источника днем, Lw, дБ				исходные данные		0	84,2	92,3	82,2	70,7	58,9	48,9	40	36,5	
Уровни звуковой мощности источника ночью, Lw, дБ				исходные данные		0	84,2	92,3	82,2	70,7	58,9	48,9	40	36,5	
Поправка на телесный угол Ω, дБ				Ω = 6,28		3	3	3	3	3	3	3	3	3	3
Показатель направленности источника D, дБ				исходные данные		0	0	0	0	0	0	0	0	0	0
Поправка на направленность источника Dc, дБ				Dc		3	3	3	3	3	3	3	3	3	3
Затухание из-за геометрической дивергенции, Адв, дБ				Ф-л [7] [10]		80,9									
Коэффициент затухания звука в атмосфере α, дБ/км				Т=20, °C Р=1013,3Па hотп>70%		0,02	0,09	0,33	1,12	2,79	4,98	9,04	23,09	77,63	
Учет затухания звука в атмосфере Аатм, дБ				Ф-л (8) [10]		0,1	0,3	1	3,5	8,7	15,5	28,2	71,9	241,8	

1		2		3	4	5	6	7	8	9	10	11	12	13
Уровни звукового давления от источника ИШ-143. Ворот мастерских снеслав в расчётной точке днём, дБ		Ф-нш(100)		0	0	0	0	0	0	0	0	0	0	0
Уровни звукового давления от источника ИШ-143. Ворот мастерских снеслав в расчётной точке ночью, дБ		Ф-нш(100)		0	0	0	0	0	0	0	0	0	0	0
Источники шума: ИШ-144. Окно ГМО-2, координаты источника (х,у,z), м ±(6898,64;51,67;97,15;00)														
Уровни звуковой мощности источника днём, Лw, дБ				исходные данные										
Уровни звуковой мощности источника ночью, Лw, дБ				исходные данные										
Поправка на телесный угол Dα, дБ				10·lg(α/π)										
Показатель направленности источника Di, дБ				исходные данные										
Поправка на направленность источника Dα, дБ				Dα = Di										
Запувание из-за геометрической дивергенции, Адв, дБ				расстояние = 3065,80 м										
Коэффициент затухания звука в атмосфере α, дБ/км				Тем=20 °C Р=101,33,гПа hотп=70%										
Учет затухания звука в атмосфере Аатм, дБ				Ф-нш (8) [10]										
Снижение поверхностью земли возле источника Аз, дБ				Ф-нш таб.3 [10]										
Снижение поверхностью земли возле приёмника Аr, дБ				Ф-нш таб.3 [10]										
Снижение поверхностью земли в средней зоне, Ап дБ				Ф-нш таб.3 [10]										
Суммарное снижение поверхности земли на траектории распространения звука Азг, дБ				Ф-нш (9) [10]										
Снижение уровня звукового давления из-за влияния застройки между источником шума и расчётной точкой														
Длина звуковой волны для среднегеометрической частоты октавной полосы, λ, м				10,79										
Промежуточные точки:				Ред(λ,z) = (607,6; 36,2; 67,5; 19,10) Ф-нш(12) ± 10 (66,8; 87,2; 66,4; 18,10) Константа С1, учитывающая эффект отражения от земли возле здания										
Константа С1 (дифракция на кровле)				Ф-нш (15) [10]										
K _{зем} (валение метеорологий)				Ф-нш (18) [10]										
Dz, дБ				Ф-нш (14) [10]										
Снижение уЗД, Азг, дБ				Ф-нш (12) [10]										
Уровни звукового давления от источника ИШ-144. Окно ГМО-2 в расчётной точке днём, дБ				Ф-нш(100)										
Уровни звукового давления от источника ИШ-144. Окно ГМО-2 в расчётной точке ночью, дБ				Ф-нш(100)										
Источники шума: ИШ-145. Окно ГМО-2, координаты источника (х,у,z), м ±(6900,70;51,72;96,20;00)														
Уровни звуковой мощности источника днём, Лw, дБ				исходные данные										
Уровни звуковой мощности источника ночью, Лw, дБ				исходные данные										
Поправка на телесный угол Dα, дБ				10·lg(α/π)										
Показатель направленности источника Di, дБ				исходные данные										
Поправка на направленность источника Dα, дБ				Dα = Di										
Запувание из-за геометрической дивергенции, Адв, дБ				расстояние = 3065,94 м										
Коэффициент затухания звука в атмосфере α, дБ/км				Тем=20 °C Р=101,33,гПа hотп=70%										
Учет затухания звука в атмосфере Аатм, дБ				Ф-нш (8) [10]										
Снижение поверхностью земли возле источника Аз, дБ				Ф-нш таб.3 [10]										

1		2		3	4	5	6	7	8	9	10	11	12	13
Снижение поверхностью земли возле источника Аз, дБ	Gr = 0 Pr = 0,6м	Ф-ла таб.3 [100]	-1,5	-1,5	-1,5	-1,5	-1,5	-1,5	-1,5	-1,5	-1,5	-1,5	-1,5	-1,5
	Gr = 0 Pr = 1,5м	Ф-ла таб.3 [100]	-1,5	-1,5	-1,5	-1,5	-1,5	-1,5	-1,5	-1,5	-1,5	-1,5	-1,5	-1,5
	Gr = 0 Pr = 1,5м	Ф-ла таб.3 [100]	-1,5	-1,5	-1,5	-1,5	-1,5	-1,5	-1,5	-1,5	-1,5	-1,5	-1,5	-1,5
	Gr = 0 Pr = 1,5м	Ф-ла таб.3 [100]	-1,5	-1,5	-1,5	-1,5	-1,5	-1,5	-1,5	-1,5	-1,5	-1,5	-1,5	-1,5
Снижение поверхностью земли в средней зоне, Ап дБ	Gm = 0	Ф-ла таб.3 [100]	-2,7	-2,7	-2,7	-2,7	-2,7	-2,7	-2,7	-2,7	-2,7	-2,7	-2,7	-2,7
	Суммарное снижение поверхности земли на траектории распространения звука Азг, дБ	Ф-ла [9] [10]	-5,7	-5,7	-5,7	-5,7	-5,7	-5,7	-5,7	-5,7	-5,7	-5,7	-5,7	-5,7
Снижение уровня звукового давления из-за влияния застройки между источником шума и расчетной точкой														
Траектория над жарном	Длина звуковой волны для среднегеометрической частоты октавной полосы, λ, м	10,79	5,4	2,72	1,36	0,68	0,34	0,17	0,09	0,04				
	Горизонтальный размер жарна, λпр = 57,04 м	λпр > λ												
	Промежуточные тонкие	Prф,λ d, λ = (894,90;547,3;26,15;13)	61,5	71,55 м	dλ = 289,45 м	дλ = 20,51 м	дλ = 20,51 м	дλ = 20,51 м	дλ = 20,51 м	дλ = 20,51 м	дλ = 20,51 м	дλ = 20,51 м	дλ = 20,51 м	дλ = 20,51 м
	Константа С2, учитывающая эффект отражения от земли возле жарна	20	20	20	20	20	20	20	20	20	20	20	20	20
	Константа С3 (дифракция на краяхах)	1,1	1,4	2	2,6	2,9	3	3	3	3	3	3	3	3
	Kин (влияние метеорологии)	0	0	0	0	0	0	0	0	0	0	0	0	0
	Dz, дБ	4,8	4,8	4,8	4,8	4,8	4,8	4,8	4,8	4,8	4,8	4,8	4,8	4,8
	Снижение УЗД, Абзг, дБ	4,8	4,8	4,8	4,8	4,8	4,8	4,8	4,8	4,8	4,8	4,8	4,8	4,8
	Промежуточные тонкие	Prф,λ d, λ = (894,90;547,3;26,15;13)	61,5	71,55 м	dλ = 289,45 м	дλ = 20,51 м	дλ = 20,51 м	дλ = 20,51 м	дλ = 20,51 м	дλ = 20,51 м	дλ = 20,51 м	дλ = 20,51 м	дλ = 20,51 м	дλ = 20,51 м
	Константа С2, учитывающая эффект отражения от земли возле жарна	20	20	20	20	20	20	20	20	20	20	20	20	20
Траектория слева от жарна	Промежуточные тонкие	Prф,λ d, λ = (894,90;547,3;26,15;13)	61,5	71,55 м	dλ = 289,45 м	дλ = 20,51 м	дλ = 20,51 м	дλ = 20,51 м	дλ = 20,51 м	дλ = 20,51 м	дλ = 20,51 м	дλ = 20,51 м	дλ = 20,51 м	дλ = 20,51 м
	Константа С3 (дифракция на краяхах)	1	1	1	1	1	1	1	1	1	1	1	1	1
	Kин (влияние метеорологии)	1	1	1	1	1	1	1	1	1	1	1	1	1
	Dz, дБ	5,6	6,2	7,3	8,9	11	13,5	16,2	19	21,9				
	Снижение УЗД, Абзг, дБ	5,6	6,2	7,3	8,9	11	13,5	16,2	19	21,9				
	Промежуточные тонкие	Prф,λ d, λ = (894,90;547,3;26,15;13)	61,5	71,55 м	dλ = 289,45 м	дλ = 20,51 м	дλ = 20,51 м	дλ = 20,51 м	дλ = 20,51 м	дλ = 20,51 м	дλ = 20,51 м	дλ = 20,51 м	дλ = 20,51 м	дλ = 20,51 м
	Константа С2, учитывающая эффект отражения от земли возле жарна	20	20	20	20	20	20	20	20	20	20	20	20	20
	Константа С3 (дифракция на краяхах)	1	1	1	1	1	1	1	1	1	1	1	1	1
	Kин (влияние метеорологии)	1	1	1	1	1	1	1	1	1	1	1	1	1
	Dz, дБ	5,6	6,2	7,3	8,9	11	13,5	16,2	19	21,9				
Траектория справа от жарна	Промежуточные тонкие	Prф,λ d, λ = (894,90;547,3;26,15;13)	61,5	71,55 м	dλ = 289,45 м	дλ = 20,51 м	дλ = 20,51 м	дλ = 20,51 м	дλ = 20,51 м	дλ = 20,51 м	дλ = 20,51 м	дλ = 20,51 м	дλ = 20,51 м	дλ = 20,51 м
	Константа С2, учитывающая эффект отражения от земли возле жарна	20	20	20	20	20	20	20	20	20	20	20	20	20
	Константа С3 (дифракция на краяхах)	1,1	1,4	2	2,6	2,9	3	3	3	3	3	3	3	3
	Kин (влияние метеорологии)	1	1	1	1	1	1	1	1	1	1	1	1	1
	Dz, дБ	16	19,8	24,2	28,3	31,8	34,9	37,9	40,9	44				
	Снижение УЗД, Абзг, дБ	16	19,8	24,2	28,3	31,8	34,9	37,9	40,9	44				
	Промежуточные тонкие	Prф,λ d, λ = (894,90;547,3;26,15;13)	61,5	71,55 м	dλ = 289,45 м	дλ = 20,51 м	дλ = 20,51 м	дλ = 20,51 м	дλ = 20,51 м	дλ = 20,51 м	дλ = 20,51 м	дλ = 20,51 м	дλ = 20,51 м	дλ = 20,51 м
	Константа С2, учитывающая эффект отражения от земли возле жарна	20	20	20	20	20	20	20	20	20	20	20	20	20
	Константа С3 (дифракция на краяхах)	2	2,4	2,8	3,3	3,8	4,2	4,5	4,6	4,7				
	Общее снижение уровня звука представлением Абзг, дБ	2	2,4	2,8	3,3	3,8	4,2	4,5	4,6	4,7				
Уровни звукового давления от источника ИШ-151, жр ЭО, помещение резки никеля в расчетной точке днём, дБ	Ф-ла [3] [10]	0	11,6	13,3	13,2	10	4,5	0	0	0	10,4	10,4	10,4	10,4
	Уровни звукового давления от источника ИШ-151, жр ЭО, помещение резки никеля в расчетной точке ночью, дБ	Ф-ла [3] [10]	0	11,6	13,3	13,2	10	4,5	0	0	0	10,4	10,4	10,4
Источник шума: ИШ-152. Онон ЭО, помещение резки никеля, координаты источника (х,у,г), м = [7051;40;5457;69;10;00]														
Уровни звуковой мощности источника днём, Лw, дБ	исходные данные	0	88,2	90,6	85,5	79,9	79,5	67,3	61,4	59,5				
	исходные данные	0	88,2	90,6	85,5	79,9	79,5	67,3	61,4	59,5				
	исходные данные	3	3	3	3	3	3	3	3	3	3	3	3	3
	исходные данные	0	0	0	0	0	0	0	0	0	0	0	0	0
Уровни звуковой мощности источника ночью, Лw, дБ	исходные данные	0	88,2	90,6	85,5	79,9	79,5	67,3	61,4	59,5				
	исходные данные	0	88,2	90,6	85,5	79,9	79,5	67,3	61,4	59,5				
	исходные данные	3	3	3	3	3	3	3	3	3	3	3	3	3
	исходные данные	0	0	0	0	0	0	0	0	0	0	0	0	0
Поправка на телесный угол Dα, дБ	исходные данные	0	0	0	0	0	0	0	0	0	0	0	0	0
	исходные данные	0	0	0	0	0	0	0	0	0	0	0	0	0
	исходные данные	0	0	0	0	0	0	0	0	0	0	0	0	0
	исходные данные	0	0	0	0	0	0	0	0	0	0	0	0	0
Показатель направленности источника Dλ, дБ	исходные данные	0	0	0	0	0	0	0	0	0	0	0	0	0
	исходные данные	0	0	0	0	0	0	0	0	0	0	0	0	0
	исходные данные	0	0	0	0	0	0	0	0	0	0	0	0	0
	исходные данные	0	0	0	0	0	0	0	0	0	0	0	0	0
Поправка на направленность источника Dγ, дБ	исходные данные	0	0	0	0	0	0	0	0	0	0	0	0	0
	исходные данные	0	0	0	0	0	0	0	0	0	0	0	0	0
	исходные данные	0	0	0	0	0	0	0	0	0	0	0	0	0
	исходные данные	0	0	0	0	0	0	0	0	0	0	0	0	0
Заглушение из-за геометрической дивергенции Абзг, дБ	исходные данные	0	0	0	0	0	0	0	0	0	0	0	0	0
	исходные данные	0	0	0	0	0	0	0	0	0	0	0	0	0
	исходные данные	0	0	0	0	0	0	0	0	0	0	0	0	0
	исходные данные	0	0	0	0	0	0	0	0	0	0	0	0	0
Коэффициент затухания звука в атмосфере α, дБ/км	исходные данные	0	0	0	0	0	0	0	0	0	0	0	0	0
	исходные данные	0	0	0	0	0	0	0	0	0	0	0	0	0
	исходные данные	0	0	0	0	0	0	0	0	0	0	0	0	0
	исходные данные	0	0	0	0	0	0	0	0	0	0	0	0	0

[illegible]

1		2	3	4	5	6	7	8	9	10	11	12	13			
Коэффициент затухания звука в атмосфере α, дБ/км	Тем-20,°С Рн=10133Па hотн=770%	Ф-н(5)[9]	0,02	0,09	0,33	1,12	2,79	4,98	9,04	23,09	77,63					
		Ф-н(8)[10]														
Учет затухания звука в атмосфере Аатм, дБ		Ф-н(8)[10]	0,1	0,3	1,1	3,5	8,8	15,7	28,4	72,6	244,3					
Снижение поверхностью земли возле источника Аз, дБ	Gz=0 hг= 3м	Ф-н таб.3 [10]	-1,5	-1,5	-1,5	-1,5	-1,5	-1,5	-1,5	-1,5	-1,5	-1,5				
		Ф-н таб.3 [10]	-1,5	-1,5	-1,5	-1,5	-1,5	-1,5	-1,5	-1,5	-1,5	-1,5				
Снижение поверхностью земли возле приёмника Аг, дБ	Gг=0 hг= 1,5м	Ф-н таб.3 [10]	-2,9	-2,9	-2,9	-2,9	-2,9	-2,9	-2,9	-2,9	-2,9	-2,9				
		Ф-н таб.3 [10]	-2,9	-2,9	-2,9	-2,9	-2,9	-2,9	-2,9	-2,9	-2,9	-2,9				
Суммарное снижение поверхности земли на траектории распространения звука Азг, дБ		Ф-н(9)[10]	-5,9	-5,9	-5,9	-5,9	-5,9	-5,9	-5,9	-5,9	-5,9					
Снижение уровня звукового давления из-за влияния застройки между источником шума и расчетной точкой																
Длина звуковой волны для среднегеометрической частоты октавной полосы, λ, м																
Траектория над экраном	Промежуточные точки	Рххх,λ,г = [987,13,379,4,4,20]	10,79	5,4	2,72	1,36	0,68	0,34	0,17	0,09	0,04					
	Константа С2, учитывающая эффект отражения от земли возле экрана	Ф-н(4)г = [99,34,67,385,08,5,0]	dгв = 1,23 м dгв = 309,93 м e = 52,68 м z = 0,97 м													
	Константа С1 (дифракция на краяхах)	Ф-н(15)[10]	1,5	2,1	2,7	2,9	3	3	3	3	3					
	Kсис (влияние метеоситуаций)	Ф-н(18)[10]	0,3	0,3	0,3	0,3	0,3	0,3	0,3	0,3	0,3					
	Dг, дБ (с учетом ограничения эффективности экрана: 25 дБ)	Ф-н(14)[10]	5,8	7,1	9,3	11,7	14,4	17,2	20	23	25					
Уровни звукового давления от источника ИШ-153. Оно раскорректировано в расчетной точке днм, дБ		Снижение УЗД, Азг, дБ	Ф-н(12)[10]	5,8	7,1	9,3	11,7	14,4	17,2	20	23	25				
Уровни звукового давления от источника ИШ-153. Оно раскорректировано в расчетной точке днм, дБ		Ф-н(9)[10]	0	11,7	6,7	0	0	0	0	0	0	0	0	0		
Уровни звукового давления от источника ИШ-153. Оно раскорректировано в расчетной точке нм, дБ		Ф-н(9)[10]	0	11,7	6,7	0	0	0	0	0	0	0	0	0		
Источники шума: ИШ-154. Ворота РСХ, координаты источника (х,у,z), м = [5961,37,3809,59,2,00]																
Уровни звуковой мощности источника днм, лм, дБ		исходные данные	0	81,4	75,8	68,1	58,9	53,9	50,7	47,3	43,2					
Уровни звуковой мощности источника нм, лм, дБ		исходные данные	0	81,4	75,8	68,1	58,9	53,9	50,7	47,3	43,2					
Поправка на телесный угол Dг, дБ	Ω = 6,28	10g(4+g/2)	3	3	3	3	3	3	3	3	3	3				
		исходные данные	0	0	0	0	0	0	0	0	0	0	0			
Поправка на направленность источника Dг, дБ		Dг	3	3	3	3	3	3	3	3	3	3				
Затухание из-за геометрической дивергенции, Аdiv, дБ		расстояние = 3330,28 м	80,9													
Коэффициент затухания звука в атмосфере α, дБ/км	Тем-20,°С Рн=10133Па hотн=770%	Ф-н(5)[9]	0,02	0,09	0,33	1,12	2,79	4,98	9,04	23,09	77,63					
		Ф-н(8)[10]	0,1	0,3	1	3,5	8,7	15,6	28,3	72,3	243					
Учет затухания звука в атмосфере Аатм, дБ		Ф-н таб.3 [10]	-1,5	-1,5	-1,5	-1,5	-1,5	-1,5	-1,5	-1,5	-1,5	-1,5				
Снижение поверхностью земли возле источника Аз, дБ	Gz=0 hг= 2м	Ф-н таб.3 [10]	-1,5	-1,5	-1,5	-1,5	-1,5	-1,5	-1,5	-1,5	-1,5	-1,5				
		Ф-н таб.3 [10]	-1,5	-1,5	-1,5	-1,5	-1,5	-1,5	-1,5	-1,5	-1,5	-1,5	-1,5			
Снижение поверхностью земли возле приёмника Аг, дБ	Gг=0 hг= 1,5м	Ф-н таб.3 [10]	-2,9	-2,9	-2,9	-2,9	-2,9	-2,9	-2,9	-2,9	-2,9	-2,9	-2,9			
		Ф-н таб.3 [10]	-2,9	-2,9	-2,9	-2,9	-2,9	-2,9	-2,9	-2,9	-2,9	-2,9	-2,9			
Суммарное снижение поверхности земли на траектории распространения звука Азг, дБ		Ф-н(9)[10]	-5,9	-5,9	-5,9	-5,9	-5,9	-5,9	-5,9	-5,9	-5,9	-5,9	-5,9			
Снижение уровня звукового давления из-за влияния застройки между источником шума и расчетной точкой																
Длина звуковой волны для среднегеометрической частоты октавной полосы, λ, м																
Траектория над экраном	Промежуточные точки	Рххх,λ,г = [959,08,3838,33,4,50]	10,79	5,4	2,72	1,36	0,68	0,34	0,17	0,09	0,04					
	Константа С2, учитывающая эффект отражения от земли возле экрана	Ф-н(4)г = [99,34,67,385,08,5,0]	dгв = 36,46 м dгв = 309,91 м e = 0,00 м z = 0,09 м													
	Константа С1 (дифракция на краяхах)	Ф-н(15)[10]	20	20	20	20	20	20	20	20	20	20				
	Kсис (влияние метеоситуаций)	Ф-н(18)[10]	1	1	1	1	1	1	1	1	1	1				
	Dг, дБ (с учетом ограничения эффективности экрана: 25 дБ)	Ф-н(14)[10]	0	0	0	0	0	0	0	0	0	0	0	0	0	
Затухание из-за геометрической дивергенции, Аdiv, дБ		расстояние = 3330,28 м	80,9													
Коэффициент затухания звука в атмосфере α, дБ/км	Тем-20,°С Рн=10133Па hотн=770%	Ф-н(5)[9]	0,02	0,09	0,33	1,12	2,79	4,98	9,04	23,09	77,63					
		Ф-н(8)[10]	0,1	0,3	1	3,5	8,7	15,6	28,3	72,3	243					
Учет затухания звука в атмосфере Аатм, дБ		Ф-н таб.3 [10]	-1,5	-1,5	-1,5	-1,5	-1,5	-1,5	-1,5	-1,5	-1,5	-1,5				
Снижение поверхностью земли возле источника Аз, дБ	Gz=0 hг= 2м	Ф-н таб.3 [10]	-1,5	-1,5	-1,5	-1,5	-1,5	-1,5	-1,5	-1,5	-1,5	-1,5				
		Ф-н таб.3 [10]	-1,5	-1,5	-1,5	-1,5	-1,5	-1,5	-1,5	-1,5	-1,5	-1,5	-1,5			
Снижение поверхностью земли возле приёмника Аг, дБ	Gг=0 hг= 1,5м	Ф-н таб.3 [10]	-2,9	-2,9	-2,9	-2,9	-2,9	-2,9	-2,9	-2,9	-2,9	-2,9	-2,9			
		Ф-н таб.3 [10]	-2,9	-2,9	-2,9	-2,9	-2,9	-2,9	-2,9	-2,9	-2,9	-2,9	-2,9			
Суммарное снижение поверхности земли на траектории распространения звука Азг, дБ		Ф-н(9)[10]	-5,9	-5,9	-5,9	-5,9	-5,9	-5,9	-5,9	-5,9	-5,9	-5,9	-5,9			
Снижение уровня звукового давления из-за влияния застройки между источником шума и расчетной точкой																
Длина звуковой волны для среднегеометрической частоты октавной полосы, λ, м																
Траектория над экраном	Промежуточные точки	Рххх,λ,г = [959,08,3838,33,4,50]	10,79	5,4	2,72	1,36	0,68	0,34	0,17	0,09	0,04					
	Константа С2, учитывающая эффект отражения от земли возле экрана	Ф-н(4)г = [99,34,67,385,08,5,0]	dгв = 36,46 м dгв = 309,91 м e = 0,00 м z = 0,09 м													
	Константа С1 (дифракция на краяхах)	Ф-н(15)[10]	20	20	20	20	20	20	20	20	20	20				
	Kсис (влияние метеоситуаций)	Ф-н(18)[10]	1	1	1	1	1	1	1	1	1	1				
	Dг, дБ (с учетом ограничения эффективности экрана: 25 дБ)	Ф-н(14)[10]	0	0	0	0	0	0	0	0	0	0	0	0	0	
Затухание из-за геометрической дивергенции, Аdiv, дБ		расстояние = 3330,28 м	80,9													
Коэффициент затухания звука в атмосфере α, дБ/км	Тем-20,°С Рн=10133Па hотн=770%	Ф-н(5)[9]	0,02	0,09	0,33	1,12	2,79	4,98	9,04	23,09	77,63					
		Ф-н(8)[10]	0,1	0,3	1	3,5	8,7	15,6	28,3	72,3	243					
Учет затухания звука в атмосфере Аатм, дБ		Ф-н таб.3 [10]	-1,5	-1,5	-1,5	-1,5	-1,5	-1,5	-1,5	-1,5	-1,5	-1,5				
Снижение поверхностью земли возле источника Аз, дБ	Gz=0 hг= 2м	Ф-н таб.3 [10]	-1,5	-1,5	-1,5	-1,5	-1,5	-1,5	-1,5	-1,5	-1,5	-1,5				
		Ф-н таб.3 [10]	-1,5	-1,5	-1,5	-1,5	-1,5	-1,5	-1,5	-1,5	-1,5	-1,5	-1,5			
Снижение поверхностью земли возле приёмника Аг, дБ	Gг=0 hг= 1,5м	Ф-н таб.3 [10]	-2,9	-2,9	-2,9	-2,9	-2,9	-2,9	-2,9	-2,9	-2,9	-2,9	-2,9			
		Ф-н таб.3 [10]	-2,9	-2,9	-2,9	-2,9	-2,9	-2,9	-2,9	-2,9	-2,9	-2,9	-2,9			
Суммарное снижение поверхности земли на траектории распространения звука Азг, дБ		Ф-н(9)[10]	-5,9	-5,9	-5,9	-5,9	-5,9	-5,9	-5,9	-5,9	-5,9	-5,9	-5,9			
Снижение уровня звукового давления из-за влияния застройки между источником шума и расчетной точкой																
Длина звуковой волны для среднегеометрической частоты октавной полосы, λ, м																
Траектория над экраном	Промежуточные точки	Рххх,λ,г = [959,08,3838,33,4,50]	10,79	5,4	2,72	1,36	0,68	0,34	0,17	0,09	0,04					
	Константа С2, учитывающая эффект отражения от земли возле экрана	Ф-н(4)г = [99,34,67,385,08,5,0]	dгв = 36,46 м dгв = 309,91 м e = 0,00 м z = 0,09 м													
	Константа С1 (дифракция на краяхах)	Ф-н(15)[10]	20	20	20	20	20	20	20	20	20	20				
	Kсис (влияние метеоситуаций)	Ф-н(18)[10]	1	1	1	1	1	1	1	1	1	1				
	Dг, дБ (с учетом ограничения эффективности экрана: 25 дБ)	Ф-н(14)[10]	0	0	0	0	0	0	0	0	0	0	0	0	0	
Затухание из-за геометрической дивергенции, Аdiv, дБ		расстояние = 3330,28 м	80,9													
Коэффициент затухания звука в атмосфере α, дБ/км	Тем-20,°С Рн=10133Па hотн=770%	Ф-н(5)[9]	0,02	0,09	0,33	1,12	2,79	4,98	9,04	23,09	77,63					
		Ф-н(8)[10]	0,1	0,3	1	3,5	8,7	15,6	28,3	72,3	243					
Учет затухания звука в атмосфере Аатм, дБ		Ф-н таб.3 [10]	-1,5	-1,5	-1,5	-1,5	-1,5	-1,5	-1,5	-1,5	-1,5	-1,5				
Снижение поверхностью земли возле источника Аз, дБ	Gz=0 hг= 2м	Ф-н таб.3 [10]	-1,5	-1,5	-1,5	-1,5	-1,5	-1,5	-1,5	-1,5	-1,5	-1,5				
		Ф-н таб.3 [10]	-1,5	-1,5	-1,5	-1,5	-1,5	-1,5	-1,5	-1,5	-1,5	-1,5	-1,5			
Снижение поверхностью земли возле приёмника Аг, дБ	Gг=0 hг= 1,5м	Ф-н таб.3 [10]	-2,9	-2,9	-2,9	-2,9	-2,9	-2,9	-2,9	-2,9	-2,9	-2,9	-2,9			
		Ф-н таб.3 [10]	-2,9	-2,9	-2,9	-2,9	-2,9	-2,9	-2,9	-2,9	-2,9	-2,9	-2,9			
Суммарное снижение поверхности земли на траектории распространения звука Азг, дБ		Ф-н(9)[10]	-5,9	-5,9	-5,9	-5,9	-5,9	-5,9	-5,9	-5,9	-5,9	-5,9	-5,9			
Снижение уровня звукового давления из-за влияния застройки между источником шума и расчетной точкой																
Длина звуковой волны для среднегеометрической частоты октавной полосы, λ, м																
Траектория над экраном	Промежуточные точки	Рххх,λ,г = [959,08,3838,33,4,50]	10,79	5,4	2,72	1,36	0,68	0,34	0,17	0,09	0,04					
	Константа С2, учитывающая эффект отражения от земли возле экрана	Ф-н(4)г = [99,34,67,385,08,5,0]	dгв = 36,46 м dгв = 309,91 м e = 0,00 м z = 0,09 м													
	Константа С1 (дифракция на краяхах)	Ф-н(15)[10]	20	20	20	20	20	20	20	20	20	20				
	Kсис (влияние метеоситуаций)	Ф-н(18)[10]	1	1	1	1	1	1	1	1	1	1				
	Dг, дБ (с учетом ограничения эффективности экрана: 25 дБ)	Ф-н(14)[10]	0	0	0	0	0	0	0	0	0	0	0	0	0	
Затухание из-за геометрической дивергенции, Аdiv, дБ		расстояние = 3330,28 м	80,9													
Коэффициент затухания звука в атмосфере α, дБ/км	Тем-20,°С Рн=10133Па hотн=770%	Ф-н(5)[9]	0,02	0,09	0,33	1,12	2,79	4,98	9,04	23,09	77,63					
		Ф-н(8)[10]	0,1	0,3	1	3,5	8,7	15,6	28,3	72,3	243					
Учет затухания звука в атмосфере Аатм, дБ		Ф-н таб.3 [10]	-1,5	-1,5	-1,5	-1,5	-1,5	-1,5	-1,5	-1,5	-1,5	-1,5				
Снижение поверхностью земли возле источника Аз, дБ	Gz=0 hг= 2м	Ф-н таб.3 [10]	-1,5	-1,5	-1,5	-1,5	-1,5	-1,5	-1,5	-1,5	-1,5	-1,5				
		Ф-н таб.3 [10]	-1,5	-1,5	-1,5	-1,5	-1,5	-1,5	-1,5	-1,5	-1,5	-1,5	-1,5			
Снижение поверхностью земли возле приёмника Аг, дБ	Gг=0 hг= 1,5м	Ф-н таб.3 [10]	-2,9	-2,9	-2,9	-2,9	-2,9	-2,9	-2,9	-2,9	-2,9	-2,9	-2,9			
		Ф-н таб.3 [10]	-2,9	-2,9	-2,9	-2,9	-2,9	-2,9	-2,9	-2,9	-2,9	-2,9	-2,9			
Суммарное снижение поверхности земли на траектории распространения звука Азг, дБ		Ф-н(9)[10]	-5,9	-5,9	-5,9	-5,9	-5,9	-5,9	-5,9	-5,9	-5,9	-5,9	-5,9			
Снижение уровня звукового давления из-за влияния застройки между источником шума и расчетной точкой																
Длина звуковой волны для среднегеометрической частоты октавной полосы, λ, м																
Траектория над экраном	Промежуточные точки	Рххх,λ,г = [959,08,3838,33,4,50]	10,79	5,4	2,72	1,36	0,68	0,34	0,17	0,09	0,04					
	Константа С2, учитывающая эффект отражения от земли возле экрана	Ф-н(4)г = [99,34,67,385,08,5,0]	dгв = 36,46 м dгв = 309,91 м e = 0,00 м z = 0,09 м													
	Константа С1 (дифракция на краяхах)	Ф-н(15)[10]	20	20	20	20	20	20	20	20	20	20				
	Kсис (влияние метеоситуаций)	Ф-н(18)[10]	1	1	1	1	1	1	1	1	1	1				
	Dг, дБ (с учетом ограничения эффективности экрана: 25 дБ)	Ф-н(14)[10]	0	0	0	0	0	0	0	0	0	0	0	0	0	
Затухание из-за геометрической дивергенции, Аdiv, дБ		расстояние = 3330,28 м	80,9													
Коэффициент затухания звука в атмосфере α, дБ/км	Тем-20,°С Рн=10133Па hотн=770%	Ф-н(5)[9]	0,02	0,09	0,33	1,12	2,79	4,98	9,04	23,09	77,63					
		Ф-н(8)[10]	0,1	0,3	1	3,5	8,7	15,6	28,3	72,3	243					
Учет затухания звука в атмосфере Аатм, дБ		Ф-н таб.3 [10]	-1,5	-1,5	-1,5	-1,5	-1,5	-1,5	-1,5	-1,5	-1,5	-1,5				
Снижение поверхностью земли возле источника Аз, дБ	Gz=0 hг= 2м	Ф-н таб.3 [10]	-1,5	-1,5	-1,5	-1,5										

1																	2	3	4	5	6	7	8	9	10	11	12	13											
Траектория над экраном																	Константа С3 (дифракция на краяхах)		Ф-ла (15) [10]		2,3	2,7	2,9	3	3	3	3	3	3	3									
																	K _{кр} (влияние метеословия)		Ф-ла (18) [10]		0,3	0,3	0,3	0,3	0,3	0,3	0,3	0,3	0,3	0,3	0,3	0,3	0,3						
																	Dz, дБ (с учётом ограничения эффективности экрана: 25 дБ)		Ф-ла (14) [10]		13,4	16,9	20,1	23,1	25	25	25	25	25	25	25	25	25						
																	Снижение УЗД, Абг, дБ		Ф-ла (12) [10]		13,4	16,9	20,1	23,1	25	25	25	25	25	25	25	25	25						
																	Промежуточные тоны:		Р _{фкх,дБ} = 8772,3(404,7) дБ (8635,2(404,7) дБ)		Ф-ла (12) [10]		Ф-ла (12) [10]		Ф-ла (12) [10]		Ф-ла (12) [10]		Ф-ла (12) [10]		Ф-ла (12) [10]		Ф-ла (12) [10]		Ф-ла (12) [10]				
Траектория справа от экрана																	Константа С2, учитывающая эффект отражения от земли возле экрана		Ф-ла (15) [10]		2,8	2,9	3	3	3	3	3	3	3	3	3								
																	K _{кр} (влияние метеословия)		Ф-ла (18) [10]		1	1	1	1	1	1	1	1	1	1	1	1	1	1					
																	Dz, дБ		Ф-ла (14) [10]		33,2	36,4	39,5	42,5	45,5	48,5	51,5	54,6	57,6	57,6	57,6	57,6	57,6						
																	Снижение УЗД, Абг, дБ		Ф-ла (13) [10]		33,2	36,4	39,5	42,5	45,5	48,5	51,5	54,6	57,6	57,6	57,6	57,6	57,6						
																	Эн, сумм(Абг, дБ)		Ф-ла (13) [10]		13,4	16,9	20	23	25	25	25	25	25	25	25	25	25	25					
Общее снижение уровня звука препятствием Абг, дБ																	Уровни звукового давления от источника ИШ-164. Окно ГМО, мастерская слесарей в расчётной точке днём, дБ		Ф-ла(13) [10]		0	0	0	0	0	0	0	0	0	0	0	0	0	0	0	0			
																	Уровни звукового давления от источника ИШ-164. Окно ГМО, мастерская слесарей в расчётной точке ночью, дБ		Ф-ла(13) [10]		0	0	0	0	0	0	0	0	0	0	0	0	0	0	0	0	0	0	
																	Источник шума: ИШ-165. Окно ГМО район под светчевыми фильтрами, координаты источника (х,у,г), м = [6653.19;4125.47;18.00]		исходные данные		0	84,2	82,1	70,4	58,2	46,2	37,5	31,1	31,5										
																	Уровни звуковой мощности источника днём, Лв, дБ		исходные данные		0	84,2	82,1	70,4	58,2	46,2	37,5	31,1	31,5										
																	Уровни звуковой мощности источника ночью, Лв, дБ		исходные данные		0	0	0	0	0	0	0	0	0	0	0	0	0	0	0	0	0	0	0
Поправка на направленность источника Dс, дБ																	Dс		Dс2 + Dс		3	3	3	3	3	3	3	3	3	3	3	3	3	3	3	3	3		
																	Затухание из-за геометрической дифракции, Адв, дБ		расстояние = 3386,62 м		Ф-ла (7) [10]													81,6					
																	Коэффициент затухания звука в атмосфере α, дБ/км		Темп, °С Р=1013,3 гПа hотп=70%		Ф-ла (5) [9]		0,02	0,09	0,33	1,12	2,79	4,98	9,04	23,09	77,63								
																	Учет затухания звука в атмосфере Аатм, дБ		Ф-ла (8) [10]		0,1	0,3	1,1	3,8	9,5	16,9	30,6	78,2	262,9										
																	Снижение поверхностью земли возле источника Аз, дБ		Gз = 0 hз = 1,8 м		Ф-ла таб.3 [10]		-1,5	-1,5	-1,5	-1,5	-1,5	-1,5	-1,5	-1,5	-1,5	-1,5	-1,5	-1,5	-1,5	-1,5	-1,5	-1,5	
Снижение поверхностью земли возле приёмника Аг, дБ		Gг = 0 hг = 1,5 м		Ф-ла таб.3 [10]		-1,5	-1,5	-1,5	-1,5	-1,5	-1,5	-1,5	-1,5	-1,5	-1,5	-1,5	-1,5	-1,5	-1,5	-1,5	-1,5																		
Снижение поверхностью земли в средней зоне, Ап, дБ		Gм = 0		Ф-ла таб.3 [10]		-2,5	-2,5	-2,5	-2,5	-2,5	-2,5	-2,5	-2,5	-2,5	-2,5	-2,5	-2,5	-2,5	-2,5	-2,5	-2,5																		
Суммарное снижение поверхности земли на траектории распространения звука Абг, дБ																	Ф-ла (9) [10]		-5,5	-5,5	-5,5	-5,5	-5,5	-5,5	-5,5	-5,5	-5,5	-5,5	-5,5	-5,5	-5,5	-5,5	-5,5	-5,5	-5,5	-5,5			
																	Снижение уровня звукового давления из-за влияния застройки между источником шума и расчётной точкой		Ф-ла (19) [10]		-5,5	-5,5	-5,5	-5,5	-5,5	-5,5	-5,5	-5,5	-5,5	-5,5	-5,5	-5,5	-5,5	-5,5	-5,5	-5,5	-5,5	-5,5	
																	Длина звуковой волны для среднегеометрической частоты октавной полосы, λ, м		Ф-ла (17) [10]		10,79	5,4	2,72	1,36	0,68	0,34	0,17	0,09	0,04										
																	Промежуточные тоны:		Р _{фкх,дБ} = 8692,3(424,3) дБ (8600,2(424,3) дБ)		Ф-ла (12) [10]		Ф-ла (12) [10]		Ф-ла (12) [10]		Ф-ла (12) [10]		Ф-ла (12) [10]		Ф-ла (12) [10]		Ф-ла (12) [10]		Ф-ла (12) [10]		Ф-ла (12) [10]		
																	Константа С2, учитывающая эффект отражения от земли возле экрана		Ф-ла (15) [10]		2,0	2,0	2,0	2,0	2,0	2,0	2,0	2,0	2,0	2,0	2,0	2,0	2,0	2,0	2,0	2,0	2,0	2,0	
Траектория над экраном																	Константа С3 (дифракция на краяхах)		Ф-ла (15) [10]		2,2	2,7	2,9	3	3	3	3	3	3	3	3	3	3	3	3	3			
																	K _{кр} (влияние метеословия)		Ф-ла (18) [10]		0,2	0,2	0,2	0,2	0,2	0,2	0,2	0,2	0,2	0,2	0,2	0,2	0,2	0,2	0,2	0,2	0,2	0,2	
																	Dz, дБ		Ф-ла (14) [10]		5,5	6,4	7,7	9,5	11,8	14,3	17,1	20	22,9										
																	Снижение УЗД, Абг, дБ		Ф-ла (12) [10]		5,5	6,4	7,7	9,5	11,8	14,3	17,1	20	22,9										
																	Эн, сумм(Абг, дБ)		Ф-ла (13) [10]		0	4,4	0,1	0	0	0	0	0	0	0	0	0	0	0	0	0	0	0	0
Уровни звукового давления от источника ИШ-165. Окно ГМО район под светчевыми фильтрами в расчётной точке днём, дБ																	Уровни звукового давления от источника ИШ-165. Окно ГМО район под светчевыми фильтрами в расчётной точке днём, дБ		Ф-ла(13) [10]		0	4,4	0,1	0	0	0	0	0	0	0	0	0	0	0	0	0			
																	Уровни звукового давления от источника ИШ-165. Окно ГМО район под светчевыми фильтрами в расчётной точке ночью, дБ		Ф-ла(13) [10]		0	4,4	0,1	0	0	0	0	0	0	0	0	0	0	0	0	0	0	0	0
																	Источник шума: ИШ-165. Окно ГМО район под светчевыми фильтрами, координаты источника (х,у,г), м = [6653.19;4125.47;18.00]		исходные данные		0	84,2	82,1	70,4	58,2	46,2	37,5	31,1	31,5										
																	Уровни звуковой мощности источника днём, Лв, дБ		исходные данные		0	84,2	82,1	70,4	58,2	46,2	37,5	31,1	31,5										
																	Уровни звуковой мощности источника ночью, Лв, дБ		исходные данные		0	0	0	0	0	0	0	0	0	0	0	0	0	0	0	0	0	0	0

1			2			3	4	5	6	7	8	9	10	11	12	13
Критерий наличия экранирования в горизонтальной плоскости			Ориентальный размер экрана			Вир>λ	дв	дв	дв	дв	дв	дв	дв	дв	дв	дв
			Промежуточные точки	Р _{экв,дБ} = 1708,6(20,1) + 23,09 (20,1) 6(20,1) 23,09(20,1)	дв = 3203,16 м	дв = 13,12 м	дв = 3203,16 м	дв = 3203,16 м	дв = 3203,16 м	дв = 3203,16 м	дв = 3203,16 м	дв = 3203,16 м	дв = 3203,16 м	дв = 3203,16 м	дв = 3203,16 м	дв = 3203,16 м
Траектория над экраном			Константа С2, учитывающая эффект отражения от земли воле экрана	Ф-ла (15) [10]	1,3	1,8	2,4	2,8	3	3	3	3	3	3	3	3
			К _{экв} (влияние метеосусовий)	Ф-ла (18) [10]	0,3	0,3	0,3	0,3	0,3	0,3	0,3	0,3	0,3	0,3	0,3	0,3
			Дз, дБ (с учётом ограничения эффективности экрана: 25 дБ)	Ф-ла (14) [10]	10,6	14,2	18,2	21,8	24,9	25	25	25	25	25	25	25
			Снижение УЗД, Абв, дБ	Ф-ла (12) [10]	10,6	14,2	18,2	21,8	24,9	25	25	25	25	25	25	25
			Промежуточные точки	Р _{экв,дБ} = 1708,6(20,1) + 23,09 (20,1) 6(20,1) 23,09(20,1)	дв = 56,68 м	дв = 2823,20 м	дв = 2823,20 м	дв = 2823,20 м	дв = 2823,20 м	дв = 2823,20 м	дв = 2823,20 м	дв = 2823,20 м	дв = 2823,20 м	дв = 2823,20 м	дв = 2823,20 м	дв = 2823,20 м
			Константа С2, учитывающая эффект отражения от земли воле экрана	Ф-ла (15) [10]	20	20	20	20	20	20	20	20	20	20	20	20
Траектория слева от экрана			Константа С3 (дифракция на краяхах)	Ф-ла (15) [10]	3	3	3	3	3	3	3	3	3	3	3	3
			К _{экв} (влияние метеосусовий)	Ф-ла (18) [10]	1	1	1	1	1	1	1	1	1	1	1	1
			Дз, дБ	Ф-ла (14) [10]	32,2	35,3	38,3	41,3	44,3	47,3	50,3	53,3	56,3	59,3	62,3	65,3
			Снижение УЗД, Абв, дБ	Ф-ла (13) [10]	32,2	35,3	38,3	41,3	44,3	47,3	50,3	53,3	56,3	59,3	62,3	65,3
			Промежуточные точки	Р _{экв,дБ} = 1710,3(20,1) + 23,09 (20,1) 6(20,1) 23,09(20,1)	дв = 1127,75 м	дв = 2996,03 м	дв = 2996,03 м	дв = 2996,03 м	дв = 2996,03 м	дв = 2996,03 м	дв = 2996,03 м	дв = 2996,03 м	дв = 2996,03 м	дв = 2996,03 м	дв = 2996,03 м	дв = 2996,03 м
			Константа С2, учитывающая эффект отражения от земли воле экрана	Ф-ла (15) [10]	2,9	3	3	3	3	3	3	3	3	3	3	3
Траектория справа от экрана			Константа С3 (дифракция на краяхах)	Ф-ла (18) [10]	1	1	1	1	1	1	1	1	1	1	1	1
			К _{экв} (влияние метеосусовий)	Ф-ла (14) [10]	32,4	35,5	38,5	41,5	44,5	47,6	50,6	53,6	56,6	59,6	62,6	65,6
			Дз, дБ	Ф-ла (13) [10]	32,4	35,5	38,5	41,5	44,5	47,6	50,6	53,6	56,6	59,6	62,6	65,6
			Снижение УЗД, Абв, дБ	Эк. суммарн. (Абв., дБ)	10,5	14,2	18,2	21,7	24,8	25	25	25	25	25	25	25
Общее снижение уровня звука при препятствии Абвг, дБ			Уровни звукового давления от источника ИШ-180. Оно компрессорного отделения в расчётной точке днём, дБ	Ф-ла (9) [10]	0	18,5	11,6	0	0	0	0	0	0	0	0	0
			Уровни звукового давления от источника ИШ-180. Оно компрессорного отделения в расчётной точке ночью, дБ	Ф-ла (9) [10]	0	18,5	11,6	0	0	0	0	0	0	0	0	0

Источники шума: ИШ-181. Двери компрессорного отделения, координаты источника (х,у,з), м = [710,113,5049,16,2,00]

Уровни звуковой мощности источника днём, лв, дБ	исходные данные	0	91	84,9	76,7	67,5	62,5	59,3	48,9	37,8		
Уровни звуковой мощности источника ночью, лв, дБ	исходные данные	0	91	84,9	76,7	67,5	62,5	59,3	48,9	37,8		
Поправка на телесный угол ДЗ, дБ	Ω = 6,28	3	3	3	3	3	3	3	3	3	3	3
Показатель направленности источника Д, дБ	исходные данные	0	0	0	0	0	0	0	0	0	0	0
Поправка на направленность источника Дс, дБ	Дс	3	3	3	3	3	3	3	3	3	3	3
Затухание из-за геометрической дифракции, Адв, дБ	расстояние = 3297,82 м	Ф-ла (7) [10]										
Коэффициент затухания звука в атмосфере α, дБ/км	Т _в =20 °С Р _в =101,33 кПа h _в =70%	Ф-ла (5) [9]	0,02	0,09	0,33	1,12	2,79	4,98	9,04	23,09	77,63	
Учет затухания звука в атмосфере Аатм, дБ		Ф-ла (8) [10]	0,1	0,3	1,1	3,7	9,2	16,4	29,8	76,1	256	
Снижение поверхности земли возле источника Аз, дБ	Г _в = 0 h _в = 2м	Ф-ла таб.3 [10]	-1,5	-1,5	-1,5	-1,5	-1,5	-1,5	-1,5	-1,5	-1,5	-1,5
Снижение поверхности земли возле приёмника Аг, дБ	Г _в = 0 h _в = 1,5м	Ф-ла таб.3 [10]	-1,5	-1,5	-1,5	-1,5	-1,5	-1,5	-1,5	-1,5	-1,5	-1,5
Снижение поверхности земли в средней зоне, Ап, дБ	Г _в = 0	Ф-ла таб.3 [10]	-2,9	-2,9	-2,9	-2,9	-2,9	-2,9	-2,9	-2,9	-2,9	-2,9
Суммарное снижение поверхности земли на траектории распространения звука Абг, дБ		Ф-ла (9) [10]	-5,9	-5,9	-5,9	-5,9	-5,9	-5,9	-5,9	-5,9	-5,9	-5,9
Снижение уровня звукового давления из-за влияния застройки между источником шума и расчётной точкой												

1			2			3	4	5	6	7	8	9	10	11	12	13
Поправка на телесный угол ДЗ, дБ			Ω = 6,28	10,4(4,71)	3	3	3	3	3	3	3	3	3	3	3	3
Показатель направленности источника Д, дБ			исходные данные		0	0	0	0	0	0	0	0	0	0	0	0
Поправка на направленность источника Дс, дБ			Дс	Дс + Дс	3	3	3	3	3	3	3	3	3	3	3	3
Затухание из-за геометрической дифракции, Адв, дБ			расстояние = 3203,13 м	Ф-ла (7) [10]	81,1											
Коэффициент затухания звука в атмосфере α, дБ/км			Т _в =20 °С Р _в =101,33 кПа h _в =70%	Ф-ла (5) [9]	0,02	0,09	0,33	1,12	2,79	4,98	9,04	23,09	77,63			
Учет затухания звука в атмосфере Аатм, дБ				Ф-ла (8) [10]	0,1	0,3	1,1	3,6	8,9	15,9	29	73,9	246,7			
			Снижение поверхности земли возле источника Аз, дБ	Ф-ла таб.3 [10]	-1,5	-1,5	-1,5	-1,5	-1,5	-1,5	-1,5	-1,5	-1,5	-1,5	-1,5	-1,5
			Снижение поверхности земли возле приёмника Аг, дБ	Ф-ла таб.3 [10]	-1,5	-1,5	-1,5	-1,5	-1,5	-1,5	-1,5	-1,5	-1,5	-1,5	-1,5	-1,5
			Снижение поверхности земли в средней зоне, Ап, дБ	Ф-ла таб.3 [10]	-2,7	-2,7	-2,7	-2,7	-2,7	-2,7	-2,7	-2,7	-2,7	-2,7	-2,7	-2,7
Суммарное снижение поверхности земли на траектории распространения звука Абг, дБ				Ф-ла (9) [10]	-5,7	-5,7	-5,7	-5,7	-5,7	-5,7	-5,7	-5,7	-5,7	-5,7	-5,7	-5,7
Снижение уровня звукового давления из-за влияния застройки между источником шума и расчётной точкой					10,79	5,4	2,72	1,36	0,68	0,34	0,17	0,09	0,04			
Длина звуковой волны для среднегеометрической частоты октавной полосы λ, м			Промежуточные точки	Р _{экв,дБ} = 1680,7(20,1) + 23,09 (20,1) 6(20,1) 23,09(20,1)	дв = 81,78 м	дв = 3076,89 м	дв = 3076,89 м	дв = 3076,89 м	дв = 3076,89 м	дв = 3076,89 м	дв = 3076,89 м	дв = 3076,89 м	дв = 3076,89 м	дв = 3076,89 м	дв = 3076,89 м	дв = 3076,89 м
Траектория над экраном			Константа С2, учитывающая эффект отражения от земли воле экрана	Ф-ла (15) [10]	20	20	20	20	20	20	20	20	20	20	20	20
			Константа С3 (дифракция на краяхах)	Ф-ла (18) [10]	1,4	2	2,6	2,9	3	3	3	3	3	3	3	3
			К _{экв} (влияние метеосусовий)	Ф-ла (14) [10]	0	0	0	0	0	0	0	0	0	0	0	0
			Дз, дБ	Ф-ла (12) [10]	4,8	4,9	5	5,3	5,8	6,6	7,8	9,6	11,9			
			Снижение УЗД, Абв, дБ	Ф-ла (9) [10]	0	0	0	0	0	0	0	0	0	0	0	0
Уровни звукового давления от источника ИШ-179. Она сушильно-абсорбционного отделения в расчётной точке днём, дБ			Уровни звукового давления от источника ИШ-179. Она сушильно-абсорбционного отделения в расчётной точке ночью, дБ	Ф-ла (9) [10]	0	0	0	0	0	0	0	0	0	0	0	0
Источники шума: ИШ-180. Оно компрессорного отделения, координаты источника (х,у,з), м = [705,786,5091,24,10,00]			Уровни звуковой мощности источника днём, лв, дБ	исходные данные	0	105,5	103,4	91,7	79,5	67,5	58,8	52,4	52,8			
			Уровни звуковой мощности источника ночью, лв, дБ	исходные данные	0	105,5	103,4	91,7	79,5	67,5	58,8	52,4	52,8			
Поправка на телесный угол ДЗ, дБ			Ω = 6,28	10,4(4,71)	3	3	3	3	3	3	3	3	3	3	3	3
Показатель направленности источника Д, дБ			исходные данные		0	0	0	0	0	0	0	0	0	0	0	0
Поправка на направленность источника Дс, дБ			Дс	Дс + Дс	3	3	3	3	3	3	3	3	3	3	3	3
Затухание из-за геометрической дифракции, Адв, дБ			расстояние = 3242,03 м	Ф-ла (7) [10]	81,2											
Коэффициент затухания звука в атмосфере α, дБ/км			Т _в =20 °С Р _в =101,33 кПа h _в =70%	Ф-ла (5) [9]	0,02	0,09	0,33	1,12	2,79	4,98	9,04	23,09	77,63			
Учет затухания звука в атмосфере Аатм, дБ				Ф-ла (8) [10]	0,1	0,3	1,1	3,6	9	16,1	29,3	74,8	251,7			
			Снижение поверхности земли возле источника Аз, дБ	Ф-ла таб.3 [10]	-1,5	-1,5	-1,5	-1,5	-1,5	-1,5	-1,5	-1,5	-1,5	-1,5	-1,5	-1,5
			Снижение поверхности земли возле приёмника Аг, дБ	Ф-ла таб.3 [10]	-1,5	-1,5	-1,5	-1,5	-1,5	-1,5	-1,5	-1,5	-1,5	-1,5	-1,5	-1,5
			Снижение поверхности земли в средней зоне, Ап, дБ	Ф-ла таб.3 [10]	-2,7	-2,7	-2,7	-2,7	-2,7	-2,7	-2,7	-2,7	-2,7	-2,7	-2,7	-2,7
Суммарное снижение поверхности земли на траектории распространения звука Абг, дБ				Ф-ла (9) [10]	-5,7	-5,7	-5,7	-5,7	-5,7	-5,7	-5,7	-5,7	-5,7	-5,7	-5,7	-5,7
Снижение уровня звукового давления из-за влияния застройки между источником шума и расчётной точкой																
Длина звуковой волны для среднегеометрической частоты октавной полосы λ, м					10,79	5,4	2,72	1,36	0,68	0,34	0,17	0,09	0,04			

1			2			3	4	5	6	7	8	9	10	11	12	13
Длина звуковой волны для среднегеометрической частоты октавной полосы, λ, м			Ω = 6,28			log(4π/λ)			3	3	3	3	3	3	3	3
Показатель направленности источника D1, dB			исходные данные			исходные данные			0	0	0	0	0	0	0	0
Поправка на направленность источника Dc, dB			Dc			Dc + Di			3	3	3	3	3	3	3	3
Затухание из-за геометрической дивергенции, Adiv, dB			расстояние = 32316,15 м			φ-ла (7) [10]			81,1							
Коэффициент затухания звука в атмосфере α, дБ/км			Tair=20 °C Pair=10133,3Па hотн.=70%			φ-ла (5) [9]			0,02	0,09	0,33	1,12	2,79	4,98	9,04	23,09
Учет затухания звука в атмосфере Aatm, dB						φ-ла (8) [10]			0,1	0,3	1,1	3,6	9	16	29,1	74,2
Снижение поверхности земли возле источника As, dB			Gs = 0 Hs = 2м			φ-ла таб.3 [10]			-1,5	-1,5	-1,5	-1,5	-1,5	-1,5	-1,5	-1,5
Снижение поверхности земли возле приёмника At, dB			Gr = 0 Hr = 1,5м			φ-ла таб.3 [10]			-1,5	-1,5	-1,5	-1,5	-1,5	-1,5	-1,5	-1,5
Снижение поверхности земли в средней зоне, Atp, dB			Gm = 0			φ-ла таб.3 [10]			-2,9	-2,9	-2,9	-2,9	-2,9	-2,9	-2,9	-2,9
Суммарное снижение поверхности земли на траектории распространения звука Aср, dB			φ-ла (9) [10]			φ-ла (9) [10]			-5,9	-5,9	-5,9	-5,9	-5,9	-5,9	-5,9	-5,9
Снижение уровня звукового давления из-за влияния застройки между источником шума и расчётной точкой																
Длина звуковой волны для среднегеометрической частоты октавной полосы, λ, м						10,79			5,4	2,72	1,36	0,68	0,34	0,17	0,09	0,04
Промежуточные точки:			RφKxλ,z,1 = (6656,51327,53,15,10)			φ-ла таб.3 = (6656,51327,53,15,10)			Dz = 103,58 м			Dφ = 2782,71 м			φ = 331,6 м	
Константа C2, учитывающая эффект отражения от земли возле здания			20			20			20	20	20	20	20	20	20	20
Константа C3 (дифракция на кровле)			φ-ла (15) [10]			φ-ла (15) [10]			2,9	3	3	3	3	3	3	3
Kотн. (влияние метеослоя)			φ-ла (18) [10]			φ-ла (18) [10]			0	0	0	0	0	0	0	0
Dz, dB			φ-ла (14) [10]			φ-ла (14) [10]			4,8	4,8	4,8	4,8	4,8	4,9	5	5,2
Снижение UЗД, Adiv, dB			φ-ла (12) [10]			φ-ла (12) [10]			4,8	4,8	4,8	4,8	4,8	4,9	5	5,2
Уровни звукового давления от источника ИШ-183. Дверь склада кислоты в расчётной точке днём, dB			φ-ла(9) [10]			φ-ла(9) [10]			0	0	0	0	0	0	0	0
Уровни звукового давления от источника ИШ-183. Дверь склада кислоты в расчётной точке ночью, dB			φ-ла(9) [10]			φ-ла(9) [10]			0	0	0	0	0	0	0	0
Источники шума: ИШ-195. Дверь гмо-1, участок сульфатизации, координаты источника (х,у,z), м = [7156,49;5280,59;2,00]																
Уровни звуковой мощности источника днём, Lw, dB			исходные данные			0			46,2	46,9	44,1	43,4	45,4	47,7	38,9	26,5
Уровни звуковой мощности источника ночью, Lw, dB			исходные данные			0			46,2	46,9	44,1	43,4	45,4	47,7	38,9	26,5
Поправка на телесный угол DQ, dB			Ω = 6,28			log(4π/λ)			3	3	3	3	3	3	3	3
Показатель направленности источника D1, dB			исходные данные			исходные данные			0	0	0	0	0	0	0	0
Поправка на направленность источника Dc, dB			Dc			Dc + Di			3	3	3	3	3	3	3	3
Затухание из-за геометрической дивергенции, Adiv, dB			расстояние = 3271,04 м			φ-ла (7) [10]			81,3							
Коэффициент затухания звука в атмосфере α, дБ/км			Tair=20 °C Pair=10133,3Па hотн.=70%			φ-ла (5) [9]			0,02	0,09	0,33	1,12	2,79	4,98	9,04	23,09
Учет затухания звука в атмосфере Aatm, dB						φ-ла (8) [10]			0,1	0,3	1,1	3,7	9,1	16,3	29,6	75,5
Снижение поверхности земли возле источника As, dB			Gs = 0 Hs = 2м			φ-ла таб.3 [10]			-1,5	-1,5	-1,5	-1,5	-1,5	-1,5	-1,5	-1,5
Снижение поверхности земли возле приёмника At, dB			Gr = 0 Hr = 1,5м			φ-ла таб.3 [10]			-1,5	-1,5	-1,5	-1,5	-1,5	-1,5	-1,5	-1,5
Снижение поверхности земли в средней зоне, Atp, dB			Gm = 0			φ-ла таб.3 [10]			-2,9	-2,9	-2,9	-2,9	-2,9	-2,9	-2,9	-2,9
Суммарное снижение поверхности земли на траектории распространения звука Aср, dB			φ-ла (9) [10]			φ-ла (9) [10]			-5,9	-5,9	-5,9	-5,9	-5,9	-5,9	-5,9	-5,9
Снижение уровня звукового давления из-за влияния застройки между источником шума и расчётной точкой																
Длина звуковой волны для среднегеометрической частоты октавной полосы, λ, м						10,79			5,4	2,72	1,36	0,68	0,34	0,17	0,09	0,04

1			2			3	4	5	6	7	8	9	10	11	12	13		
Длина звуковой волны для среднегеометрической частоты октавной полосы, λ, м																		
Промежуточные точки:			RφKxλ,z,1 = (7100,86504927,26,15) (9779,51841,15,27,00)			dλ = 24,15 м			dφ = 332,61 м			z = 23,89 м						
Константа C2, учитывающая эффект отражения от земли возле здания			20			20	20	20	20	20	20	20	20	20	20	20		
Константа C3 (дифракция на кровле)			φ-м (15) [10]			2,9	3	3	3	3	3	3	3	3	3	3		
K _{мет} (влияние метеослоя)			φ-м (18) [10]			0,3	0,3	0,3	0,3	0,3	0,3	0,3	0,3	0,3	0,3	0,3		
Dz, dB (с учётом ограничения эффективности здания: 25 дБ)			φ-м (14) [10]			16,6	19,6	22,5	25	25	25	25	25	25	25	25		
Снижение UЗД, Adiv, dB			φ-м (12) [10]			16,6	19,6	22,5	25	25	25	25	25	25	25	25		
Уровни звукового давления от источника ИШ-181. Двери компрессорного отделения в расчётной точке днём, dB			φ-м(9) [10]			0	0	0	0	0	0	0	0	0	0	0		
Уровни звукового давления от источника ИШ-181. Двери компрессорного отделения в расчётной точке ночью, dB			φ-м(9) [10]			0	0	0	0	0	0	0	0	0	0	0		
Источник шума: ИШ-182. Оно склада кислоты, координаты источника (х,у,z), м = [7037,75;5152,38;5,00]																		
Уровни звуковой мощности источника днём, Lw, dB			исходные данные			0	83,8	85,9	75,8	64,3	52,5	42,5	33,6	30				
Уровни звуковой мощности источника ночью, Lw, dB			исходные данные			0	83,8	85,9	75,8	64,3	52,5	42,5	33,6	30				
Поправка на телесный угол DQ, dB			Ω = 6,28			10·lg(4π/λ)			3	3	3	3	3	3	3	3		
Показатель направленности источника D1, dB			исходные данные			исходные данные			0	0	0	0	0	0	0	0		
Поправка на направленность источника Dc, dB			Dc			DQ1 + Dc			3	3	3	3	3	3	3	3		
Затухание из-за геометрической дивергенции, Adiv, dB			расстояние = 3201,23 м			φ-м (7) [10]			81,1									
Коэффициент затухания звука в атмосфере α, дБ/км			T _{воз} = 20 °C P _{воз} = 101,33 Па h _{отн} = 70%			φ-м (5) [9]			0,02	0,09	0,33	1,12	2,79	4,98	9,04	23,09	77,63	
Учет затухания звука в атмосфере Aatm, dB						φ-м (8) [10]			0,1	0,3	1,1	3,6	8,9	15,9	28,9	73,9	246,5	
Снижение поверхностью земли возле источника As, dB			G _с = 0 H _с = 5м			φ-м таб.3 [10]			-1,5	-1,5	-1,5	-1,5	-1,5	-1,5	-1,5	-1,5	-1,5	
Снижение поверхностью земли возле приёмника At, dB			G _р = 0 H _р = 1,5м			φ-м таб.3 [10]			-1,5	-1,5	-1,5	-1,5	-1,5	-1,5	-1,5	-1,5	-1,5	
Снижение поверхностью земли в средней зоне, Atp, dB			G _м = 0			φ-м таб.3 [10]			-2,8	-2,8	-2,8	-2,8	-2,8	-2,8	-2,8	-2,8	-2,8	
Суммарное снижение поверхности земли на траектории распространения звука Aср, dB			φ-м (9) [10]			φ-м (9) [10]			-5,8	-5,8	-5,8	-5,8	-5,8	-5,8	-5,8	-5,8	-5,8	
Снижение уровня звукового давления из-за влияния застройки между источником шума и расчётной точкой																		
Длина звуковой волны для среднегеометрической частоты октавной полосы, λ, м																		
Промежуточные точки:			RφKxλ,z,1 = (6955,6753837,20,55) (6656,553309,45,19,30)			dλ = 40,10 м			dφ = 2782,07 м			φ = 331,69 м			z = 4,2 м			
Константа C2, учитывающая эффект отражения от земли возле здания			20			20	20	20	20	20	20	20	20	20	20	20		
Константа C3 (дифракция на кровле)			φ-м (15) [10]			2,9	3	3	3	3	3	3	3	3	3	3		
K _{мет} (влияние метеослоя)			φ-м (18) [10]			0	0	0	0	0	0	0	0	0	0	0		
Dz, dB			φ-м (14) [10]			4,8	4,8	4,8	4,8	4,8	4,9	4,9	5,1	5,4				
Снижение UЗД, Adiv, dB			φ-м (12) [10]			4,8	4,8	4,8	4,8	4,8	4,9	4,9	5,1	5,4				
Уровни звукового давления от источника ИШ-182. Оно склада кислоты в расчётной точке днём, dB			φ-м(9) [10]			0	6,5	7,8	0	0	0	0	0	0	0	0		
Уровни звукового давления от источника ИШ-182. Оно склада кислоты в расчётной точке ночью, dB			φ-м(9) [10]			0	6,5	7,8	0	0	0	0	0	0	0	0		
Источник шума: ИШ-183. Дверь склада кислоты, координаты источника (х,у,z), м = [7063,44;5178,69;2,00]			исходные данные			0	70,1	68,2	61,6	53,1	48,3	43,8	30,9	15,8				
Уровни звуковой мощности источника днём, Lw, dB			исходные данные			0	70,1	68,2	61,6	53,1	48,3	43,8	30,9	15,8				

1																2		3	4	5	6	7	8	9	10	11	12	13					
Травектория справа от экрана	Промежуточные точки:		РнKx,z(1) = (7183.00,3388.71,4.89)		РнKx,z(2) = (8941.53,2915.15,4.79)		d0 = 38.39 м		d0 = 38.39 м		d0 = 38.39 м		d0 = 38.39 м		d0 = 38.39 м		d0 = 38.39 м		d0 = 38.39 м		d0 = 38.39 м												
	Константа C2, учитывающая эффект ограничения от земли возле экрана		20		20		20		20		20		20		20		20		20		20												
	Константа C3 (дифракция на краяхах)		Ф-ла (15) [10]		2,8		3		3		3		3		3		3		3		3												
	K _{мет} (влияние метеороусловий)		Ф-ла (18) [10]		1		1		1		1		1		1		1		1		1												
	Dz, дБ		Ф-ла (14) [10]		24,9		28,1		31,1		34,1		37,1		40,1		43,1		46,1		49,1												
	Снижение УЗД, Авар, дБ		Ф-ла (13) [10]		24,9		28,1		31,1		34,1		37,1		40,1		43,1		46,1		49,1												
Общее снижение уровня звука препятствием Авар, дБ																Эн-сумма (Авар...) 4,7		4,7		4,8		4,8		4,8		4,8		4,8		4,8			
Уровни звукового давления от источника ИШ-196. Окно, участок выщелачивания в расчётной точке днём, дБ																Ф-ла(9)[10]		0		16,4		15,2		2,5		0		0		0		0,6	
Уровни звукового давления от источника ИШ-196. Окно, участок выщелачивания в расчётной точке ночью, дБ																Ф-ла(9)[10]		0		16,4		15,2		2,5		0		0		0		0,6	
Источники шума: ИШ-197. Дверь гмо-2 участок получения серебра, координаты источника (х,y,z), м=[7179,10,5335,29,2,00]																																	
Уровни звуковой мощности источника днём, лм, дБ			исходные данные		0		70,8		68,9		62,3		53,8		49		44,5		31,6		16,5												
Уровни звуковой мощности источника ночью, лм, дБ			исходные данные		0		70,8		68,9		62,3		53,8		49		44,5		31,6		16,5												
Поправка на телесный угол D0, дБ			Ω = 6,28		3		3		3		3		3		3		3		3		3												
Показатель направленности источника D1, дБ			исходные данные		0		0		0		0		0		0		0		0		0												
Поправка на направленность источника Dc, дБ			D0 + D1		3		3		3		3		3		3		3		3		3												
Затухание из-за геометрической дивергенции, Адв, дБ			расстояние = 327,634 м		84,3																												
Коэффициент затухания звука в атмосфере α, дБ/км			Т _а =20,°C Р _а =10133,МПа hотн=70%		0,02		0,09		0,33		1,12		2,79		4,98		9,04		23,09		77,63												
Учет затухания звука в атмосфере Аатм, дБ			Ф-ла (8) [10]		0,1		0,3		1,1		3,7		9,1		16,3		29,6		75,6		254,4												
Снижение поверхностью земли возле источника Аз, дБ			G _з = 0 H _з = 2м		-1,5		-1,5		-1,5		-1,5		-1,5		-1,5		-1,5		-1,5		-1,5												
Снижение поверхностью земли возле приёмника Ат, дБ			G _т = 0 H _т = 1,5м		-1,5		-1,5		-1,5		-1,5		-1,5		-1,5		-1,5		-1,5		-1,5												
Снижение поверхностью земли в средней зоне, Ат, дБ			G _{пл} = 0		-2,9		-2,9		-2,9		-2,9		-2,9		-2,9		-2,9		-2,9		-2,9												
Суммарное снижение поверхностью земли на траектории распространения звука Авг, дБ			Ф-ла (9) [10]		-5,9		-5,9		-5,9		-5,9		-5,9		-5,9		-5,9		-5,9		-5,9												
Снижение уровня звукового давления из-за влияния застройки между источником шума и расчётной точкой																																	
Длина звуковой волны для среднегеометрической частоты октавной полосы, λ, м			10,79		5,4		2,72		1,36		0,68		0,34		0,17		0,09		0,04														
Травектория над экраном	Промежуточные точки:		РнKx,z(1) = (7145.06,5344.13,10.00)		РнKx,z(2) = (8989.86,5392.46,20.93)		d0 = 31.78 м		d0 = 31.78 м		d0 = 31.78 м		d0 = 31.78 м		d0 = 31.78 м		d0 = 31.78 м		d0 = 31.78 м		d0 = 31.78 м												
	Константа C2, учитывающая эффект ограничения от земли возле экрана		20		20		20		20		20		20		20		20		20		20												
	Константа C3 (дифракция на краяхах)		Ф-ла (15) [10]		2,5		2,9		3		3		3		3		3		3		3												
	K _{мет} (влияние метеороусловий)		Ф-ла (18) [10]		0		0		0		0		0		0		0		0		0												
	Dz, дБ		Ф-ла (14) [10]		4,8		4,9		5,1		5,3		5,8		6,7		8		9,8		12,1												
	Снижение УЗД, Авар, дБ		Ф-ла (12) [10]		4,8		4,9		5,1		5,3		5,8		6,7		8		9,8		12,1												
Уровни звукового давления от источника ИШ-197. Дверь гмо-2 участок получения серебра в расчётной точке днём, дБ			Ф-ла(9)[10]		0		0		0		0		0		0		0		0		0												
Уровни звукового давления от источника ИШ-197. Дверь гмо-2 участок получения серебра в расчётной точке ночью, дБ			Ф-ла(9)[10]		0		0		0		0		0		0		0		0		0												
Источники шума: ИШ-198. Дверь селенового отделения, координаты источника (х,y,z), м=[7169,20,5310,74,2,00]																																	
Уровни звуковой мощности источника днём, лм, дБ			исходные данные		0		75,6		71,2		64,6		55,4		50,7		46,3		33,6		19,6												
Уровни звуковой мощности источника ночью, лм, дБ			исходные данные		0		75,6		71,2		64,6		55,4		50,7		46,3		33,6		19,6												

1			2		3	4	5	6	7	8	9	10	11	12	13	
Травектория над экраном	Промежуточные точки:	РнKx,z(1) = (702.81,5326.84,20.55)	РнKx,z(2) = (8968.71,5341.04,20.93)		d0 = 152,07 м		d0 = 152,07 м		d0 = 152,07 м		d0 = 152,07 м		d0 = 152,07 м		d0 = 152,07 м	
	Константа C2, учитывающая эффект ограничения от земли возле экрана	20		20	20	20	20	20	20	20	20	20	20	20	20	20
	Константа C3 (дифракция на краяхах)	Ф-ла (15) [10]		1,4	2	2,6	2,9	3	3	3	3	3	3	3	3	3
	K _{нот} (влияние метеороусловий)	Ф-ла (18) [10]		0	0	0	0	0	0	0	0	0	0	0	0	0
	Dz, дБ	Ф-ла (14) [10]		4,8	4,8	4,8	4,8	4,8	4,8	4,8	4,8	4,8	4,8	4,8	4,8	4,8
	Снижение УЗД, Авар, дБ	Ф-ла (12) [10]		4,8	4,8	4,8	4,8	4,8	4,8	4,8	4,8	4,8	4,8	4,8	4,8	4,8
Уровни звукового давления от источника ИШ-195. Дверь гмо-1, участок сульфатизации в расчётной точке днём, дБ			Ф-ла(9)[10]		0	0	0	0	0	0	0	0	0	0	0	0
Уровни звукового давления от источника ИШ-195. Дверь гмо-1, участок сульфатизации в расчётной точке ночью, дБ			Ф-ла(9)[10]		0	0	0	0	0	0	0	0	0	0	0	0
Источники шума: ИШ-196. Окно, Масток выщелачивания, координаты источника (х,y,z), м=[7167,04,5305,57,5,00]																
Уровни звуковой мощности источника днём, лм, дБ			исходные данные		0	93,9	93,5	83,4	71,2	59,5	49,6	40,9	38,4			
Уровни звуковой мощности источника ночью, лм, дБ			исходные данные		0	93,9	93,5	83,4	71,2	59,5	49,6	40,9	38,4			
Поправка на телесный угол D0, дБ			Ω = 6,28		3	3	3	3	3	3	3	3	3	3	3	3
Показатель направленности источника D1, дБ			исходные данные		0	0	0	0	0	0	0	0	0	0	0	0
Поправка на направленность источника Dc, дБ			D0 + D1		3	3	3	3	3	3	3	3	3	3	3	3
Затухание из-за геометрической дивергенции, Адв, дБ			расстояние = 327,55 м		84,3											
Коэффициент затухания звука в атмосфере α, дБ/км			Т _а =20,°C Р _а =10133,МПа hотн=70%		0,02	0,09	0,33	1,12	2,79	4,98	9,04	23,09	77,63			
Учет затухания звука в атмосфере Аатм, дБ			Ф-ла (8) [10]		0,1	0,3	1,1	3,7	9,1	16,3	29,6	75,6	254,1			
Снижение поверхностью земли возле источника Аз, дБ			G _з = 0 H _з = 5м		-1,5	-1,5	-1,5	-1,5	-1,5	-1,5	-1,5	-1,5	-1,5	-1,5	-1,5	-1,5
Снижение поверхностью земли возле приёмника Ат, дБ			G _т = 0 H _т = 1,5м		-1,5	-1,5	-1,5	-1,5	-1,5	-1,5	-1,5	-1,5	-1,5	-1,5	-1,5	-1,5
Снижение поверхностью земли в средней зоне, Ат, дБ			G _{пл} = 0		-2,8	-2,8	-2,8	-2,8	-2,8	-2,8	-2,8	-2,8	-2,8	-2,8	-2,8	-2,8
Суммарное снижение поверхностью земли на траектории распространения звука Авг, дБ			Ф-ла (9) [10]		-5,8	-5,8	-5,8	-5,8	-5,8	-5,8	-5,8	-5,8	-5,8	-5,8	-5,8	-5,8
Снижение уровня звукового давления из-за влияния застройки между источником шума и расчётной точкой																
Длина звуковой волны для среднегеометрической частоты октавной полосы, λ, м			10,79		5,4	2,72	1,36	0,68	0,34	0,17	0,09	0,04				
Травектория над экраном	Промежуточные точки:	РнKx,z(1) = (702.81,5326.84,20.55)	РнKx,z(2) = (8977.99,5346.72,20.93)		d0 = 152,38 м		d0 = 152,38 м		d0 = 152,38 м		d0 = 152,38 м		d0 = 152,38 м		d0 = 152,38 м	
	Константа C2, учитывающая эффект ограничения от земли возле экрана	20		20	20	20	20	20	20	20	20	20	20	20	20	20
	Константа C3 (дифракция на краяхах)	Ф-ла (15) [10]		1,4	2	2,6	2,9	3	3	3	3	3	3	3	3	3
	K _{нот} (влияние метеороусловий)	Ф-ла (18) [10]		0	0	0	0	0	0	0	0	0	0	0	0	0
	Dz, дБ	Ф-ла (14) [10]		4,8	4,8	4,8	4,8	4,8	4,8	4,8	4,8	4,8	4,8	4,8	4,8	4,8
	Снижение УЗД, Авар, дБ	Ф-ла (12) [10]		4,8	4,8	4,8	4,8	4,8	4,8	4,8	4,8	4,8	4,8	4,8	4,8	4,8
Уровни звукового давления от источника ИШ-195. Дверь гмо-1, участок сульфатизации в расчётной точке днём, дБ			Ф-ла(9)[10]		0	0	0	0	0	0	0	0	0	0	0	0
Уровни звукового давления от источника ИШ-195. Дверь гмо-1, участок сульфатизации в расчётной точке ночью, дБ			Ф-ла(9)[10]		0	0	0	0	0	0	0	0	0	0	0	0
Источники шума: ИШ-196. Окно, Масток выщелачивания, координаты источника (х,y,z), м=[7167,04,5305,57,5,00]																
Уровни звуковой мощности источника днём, лм, дБ			исходные данные		0	93,9	93,5	83,4	71,2	59,5	49,6	40,9	38,4			

[illegible][illegible]

1															2		3	4	5	6	7	8	9	10	11	12	13																																																																																																																																																																																																																																																																																																																																																																																																																																																																																																																																																																																																																																																																																																																																																																																																																																																																																																														
Траектория над экраном																	Константа С2, учитывающая эффект отражения от земли возле экрана		20	20	20	20	20	20	20	20	20	20																																																																																																																																																																																																																																																																																																																																																																																																																																																																																																																																																																																																																																																																																																																																																																																																																																																																																																													
																	Константа С3 (дифракция на краяхах)		2,6	2,9	3	3	3	3	3	3	3	3	3	3																																																																																																																																																																																																																																																																																																																																																																																																																																																																																																																																																																																																																																																																																																																																																																																																																																																																																																											
																	K _{мет} (влияние метеорологий)		0,3	0,3	0,3	0,3	0,3	0,3	0,3	0,3	0,3	0,3	0,3	0,3																																																																																																																																																																																																																																																																																																																																																																																																																																																																																																																																																																																																																																																																																																																																																																																																																																																																																																											
																	D _г , дБ (с учётом отражения эффективности экрана: 25 дБ)		11,2	14,1	16,9	19,8	22,8	25	25	25	25	25	25	25																																																																																																																																																																																																																																																																																																																																																																																																																																																																																																																																																																																																																																																																																																																																																																																																																																																																																																											
Уровни звукового давления от источника ИШ-212. Вороты баллононаполнительной в расчётной точке днём, дБ																	Снижение УЗД, Абг, дБ		11,2	14,1	16,9	19,8	22,8	25	25	25	25	25																																																																																																																																																																																																																																																																																																																																																																																																																																																																																																																																																																																																																																																																																																																																																																																																																																																																																																													
																	Ф-ла [10]		0	0	0	0	0	0	0	0	0	0	0	0	0	0	0	0	0	0	0																																																																																																																																																																																																																																																																																																																																																																																																																																																																																																																																																																																																																																																																																																																																																																																																																																																																																																				
Уровни звукового давления от источника ИШ-212. Вороты баллононаполнительной в расчётной точке ночью, дБ																	Ф-ла [10]		0	0	0	0	0	0	0	0	0	0	0	0	0	0	0	0	0	0	0																																																																																																																																																																																																																																																																																																																																																																																																																																																																																																																																																																																																																																																																																																																																																																																																																																																																																																				
																	Ф-ла [10]		0	0	0	0	0	0	0	0	0	0	0	0	0	0	0	0	0	0	0	0	0	0	0	0	0	0	0	0	0	0	0	0	0																																																																																																																																																																																																																																																																																																																																																																																																																																																																																																																																																																																																																																																																																																																																																																																																																																																																																						
Источник шума: ИШ-214. Вороты машинного зала очитных, координаты источника (х,у,г), м = [7756,35;5645,18;2,00]																																																																																																																																																																																																																																																																																																																																																																																																																																																																																																																																																																																																																																																																																																																																																																																																																																																																																																																																									
Уровни звуковой мощности источника днём, Лв, дБ																	исходные данные		0	68	61,9	51,1	39	30,7	20,7	11,8	10,2																																																																																																																																																																																																																																																																																																																																																																																																																																																																																																																																																																																																																																																																																																																																																																																																																																																																																																														
																	исходные данные		0	68	61,9	51,1	39	30,7	20,7	11,8	10,2																																																																																																																																																																																																																																																																																																																																																																																																																																																																																																																																																																																																																																																																																																																																																																																																																																																																																																														
Уровни звуковой мощности источника ночью, Лв, дБ																	Ω = 6,28		3	3	3	3	3	3	3	3	3	3	3	3																																																																																																																																																																																																																																																																																																																																																																																																																																																																																																																																																																																																																																																																																																																																																																																																																																																																																																											
																	исходные данные		0	0	0	0	0	0	0	0	0	0	0	0	0	0	0	0	0	0	0	0	0	0	0	0	0	0	0	0	0	0	0	0	0	0	0	0	0	0	0	0	0	0	0	0	0	0	0	0	0	0	0	0	0	0	0	0	0	0	0	0	0	0	0	0	0	0	0	0	0	0	0	0	0	0	0	0	0	0	0	0	0	0	0	0	0	0	0	0	0	0	0	0	0	0	0	0	0	0	0	0	0	0	0	0	0	0	0	0	0	0	0	0	0	0	0	0	0	0	0	0	0	0	0	0	0	0	0	0	0	0	0	0	0	0	0	0	0	0	0	0	0	0	0	0	0	0	0	0	0	0	0	0	0	0	0	0	0	0	0	0	0	0	0	0	0	0	0	0	0	0	0	0	0	0	0	0	0	0	0	0	0	0	0	0	0	0	0	0	0	0	0	0	0	0	0	0	0	0	0	0	0	0	0	0	0	0	0	0	0	0	0	0	0	0	0	0	0	0	0	0	0	0	0	0	0	0	0	0	0	0	0	0	0	0	0	0	0	0	0	0	0	0	0	0	0	0	0	0	0	0	0	0	0	0	0	0	0	0	0	0	0	0	0	0	0	0	0	0	0	0	0	0	0	0	0	0	0	0	0	0	0	0	0	0	0	0	0	0	0	0	0	0	0	0	0	0	0	0	0	0	0	0	0	0	0	0	0	0	0	0	0	0	0	0	0	0	0	0	0	0	0	0	0	0	0	0	0	0	0	0	0	0	0	0	0	0	0	0	0	0	0	0	0	0	0	0	0	0	0	0	0	0	0	0	0	0	0	0	0	0	0	0	0	0	0	0	0	0	0	0	0	0	0	0	0	0	0	0	0	0	0	0	0	0	0	0	0	0	0	0	0	0	0	0	0	0	0	0	0	0	0	0	0	0	0	0	0	0	0	0	0	0	0	0	0	0	0	0	0	0	0	0	0	0	0	0	0	0	0	0	0	0	0	0	0	0	0	0	0	0	0	0	0	0	0	0	0	0	0	0	0	0	0	0	0	0	0	0	0	0	0	0	0	0	0	0	0	0	0	0	0	0	0	0	0	0	0	0	0	0	0	0	0	0	0	0	0	0	0	0	0	0	0	0	0	0	0	0	0	0	0	0	0	0	0	0	0	0	0	0	0	0	0	0	0	0	0	0	0	0	0	0	0	0	0	0	0	0	0	0	0	0	0	0	0	0	0	0	0	0	0	0	0	0	0	0	0	0	0	0	0	0	0	0	0	0	0	0	0	0	0	0	0	0	0	0	0	0	0	0	0	0	0	0	0	0	0	0	0	0	0	0	0	0	0	0	0	0	0	0	0	0	0	0	0	0	0	0	0	0	0	0	0	0	0	0	0	0	0	0	0	0	0	0	0	0	0	0	0	0	0	0	0	0	0	0	0	0	0	0	0	0	0	0	0	0	0	0	0	0	0	0	0	0	0	0	0	0	0	0	0	0	0	0	0	0	0	0	0	0	0	0	0	0	0	0	0	0	0	0	0	0	0	0	0	0	0	0	0	0	0	0	0	0	0	0	0	0	0	0	0	0	0	0	0	0	0	0	0	0	0	0	0	0	0	0	0	0	0	0	0	0	0	0	0	0	0	0	0	0	0	0	0	0	0	0	0	0	0	0	0	0	0	0	0	0	0	0	0	0	0	0	0	0	0	0	0	0	0	0	0	0	0	0	0	0	0	0	0	0	0	0	0	0	0	0	0	0	0	0	0	0	0	0	0	0	0	0	0	0	0	0	0	0	0	0	0	0	0	0	0	0	0	0	0	0	0	0	0	0	0	0	0	0	0	0	0	0	0	0	0	0	0	0	0	0	0	0	0	0	0	0	0	0	0	0	0	0	0	0	0	0	0	0	0	0	0	0	0	0	0	0	0	0	0	0	0	0	0	0	0	0	0	0	0	0	0	0	0	0	0	0	0	0	0	0	0	0	0	0	0	0	0	0	0	0	0	0	0	0	0	0	0	0	0	0	0

1			2	3	4	5	6	7	8	9	10	11	12	13	
Общее снижение уровня звука препятствием Абгт, дБ			Снижение УЗД, Абгт, дБ		23,4	26,4	29,4	32,4	35,4	38,4	41,4	44,4	47,4		
			Экспонента (Абгт, β)		4,7	4,7	4,8	4,8	4,8	4,8	4,8	4,8	4,8	4,8	
			Ф-лаβ[10]		0	19,1	25,2	30,5	24,1	12,5	0	0	0	24,8	24,8
			Ф-лаβ[10]		0	0	0	0	0	0	0	0	0	0	0
Источники шума: ИШ-211. Вороты ВДС №2, координаты источника (х,у,г), м =[6531,99;4366,11;2,00]															
Уровни звуковой мощности источника днём, лв, дБ			исходные данные		0	97,1	86,8	74,4	61,6	53,1	44,4	38	40,4		
Уровни звуковой мощности источника ночью, лв, дБ			исходные данные		0	97,1	86,8	74,4	61,6	53,1	44,4	38	40,4		
Поправка на телесный угол DС, дБ			Ω = 6,28		3	3	3	3	3	3	3	3	3		
Показатель направленности источника D1, дБ			исходные данные		0	0	0	0	0	0	0	0	0		
Поправка на направленность источника DС, дБ			DС		3	3	3	3	3	3	3	3	3		
Затухание из-за геометрической дивергенции, Адв, дБ			расстояние = 3441,73 м		80,9										
Коэффициент затухания звука в атмосфере α, дБ/км			Тем-20, °С Р=101,33,кПа hотн=70%		0,02	0,09	0,33	1,12	2,79	4,98	9,04	23,09	77,63		
Учет затухания звука в атмосфере Аатм, дБ			Ф-ла [8] [10]		0,1	0,3	1,1	3,5	8,8	15,6	28,4	72,5	243,9		
Снижение поверхностью земли возле источника Аз, дБ			Gс = 0 hс = 2м		-1,5	-1,5	-1,5	-1,5	-1,5	-1,5	-1,5	-1,5	-1,5		
Снижение поверхностью земли возле приёмника Аг, дБ			Gг = 0 hг = 1,5м		-1,5	-1,5	-1,5	-1,5	-1,5	-1,5	-1,5	-1,5	-1,5		
Снижение поверхностью земли в средней зоне, Ап, дБ			Gм = 0		-2,9	-2,9	-2,9	-2,9	-2,9	-2,9	-2,9	-2,9	-2,9		
Суммарное снижение поверхностью земли на траектории распространения звука Абг, дБ			Ф-ла [9] [10]		-5,9	-5,9	-5,9	-5,9	-5,9	-5,9	-5,9	-5,9	-5,9		
Уровни звукового давления от источника ИШ-211. Вороты ВДС №2 в расчётной точке днём, ДБ			Ф-лаβ[10]		0	24,8	13,7	0	0	0	0	0	0	1,1	
Уровни звукового давления от источника ИШ-211. Вороты ВДС №2 в расчётной точке ночью, ДБ			Ф-лаβ[10]		0	24,8	13,7	0	0	0	0	0	0	1,1	
Источники шума: ИШ-212. Вороты баллононаполнительной, координаты источника (х,у,г), м =[6928,87;4202,59;2,00]															
Уровни звуковой мощности источника днём, лв, дБ			исходные данные		0	86,1	75,8	63,4	50,6	42,1	44,4	38	40,4		
Уровни звуковой мощности источника ночью, лв, дБ			исходные данные		0	86,1	75,8	63,4	50,6	42,1	44,4	38	40,4		
Поправка на телесный угол DС, дБ			Ω = 6,28		3	3	3	3	3	3	3	3	3		
Показатель направленности источника D1, дБ			исходные данные		0	0	0	0	0	0	0	0	0		
Поправка на направленность источника DС, дБ			DС		3	3	3	3	3	3	3	3	3		
Затухание из-за геометрической дивергенции, Адв, дБ			расстояние = 3557,72 м		82										
Коэффициент затухания звука в атмосфере α, дБ/км			Тем-20, °С Р=101,33,кПа hотн=70%		0,02	0,09	0,33	1,12	2,79	4,98	9,04	23,09	77,63		
Учет затухания звука в атмосфере Аатм, дБ			Ф-ла [8] [10]		0,1	0,3	1,2	4	9,9	17,7	32,2	82,1	276,2		
Снижение поверхностью земли возле источника Аз, дБ			Gс = 0 hс = 2м		-1,5	-1,5	-1,5	-1,5	-1,5	-1,5	-1,5	-1,5	-1,5		
Снижение поверхностью земли возле приёмника Аг, дБ			Gг = 0 hг = 1,5м		-1,5	-1,5	-1,5	-1,5	-1,5	-1,5	-1,5	-1,5	-1,5		
Снижение поверхностью земли в средней зоне, Ап, дБ			Gм = 0		-2,9	-2,9	-2,9	-2,9	-2,9	-2,9	-2,9	-2,9	-2,9		
Суммарное снижение поверхностью земли на траектории распространения звука Абг, дБ			Ф-ла [9] [10]		-5,9	-5,9	-5,9	-5,9	-5,9	-5,9	-5,9	-5,9	-5,9		
Снижение уровня звукового давления из-за влияниястройки между источником шума и расчётной точкой															
Длина звуковой волны для среднегеометрической частоты октавной полосы, λ, м			РёАх,λ,λ = (6928,84;4202,75;7,5)		10,79	5,4	2,72	1,36	0,68	0,34	0,17	0,09	0,04		
Промежуточные точки:			РёАх,λ,λ = (6928,84;4202,75;7,5)		dВ = 5,76м dВ = 3381,84 м dВ = 17667 м										

1													2	3	4	5	6	7	8	9	10	11	12	13
Траектория над экраном													Константа C1 (дифракция на краяха) $K_{\text{край}}$ (влияние метеосостояния)	Ф-ла (15) [10]	2,8	3	3	3	3	3	3	3	3	
														Ф-ла (18) [10]	0	0	0	0	0	0	0	0	0	
													Dz, дБ	Ф-ла (14) [10]	4,8	4,8	4,8	4,8	4,8	4,8	4,8	4,8	4,8	
													Снижение УЗД, Азв, дБ	Ф-ла (12) [10]	4,8	4,8	4,8	4,8	4,8	4,8	4,8	4,8	4,8	
Уровни звукового давления от источника ИШ-216. Ворот насосной 3 подъёма в расчётной точке днём, дБ													Ф-ла [9] [10]	0	0	0	0	0	0	0	0	0	0	0
Уровни звукового давления от источника ИШ-216. Ворот насосной 3 подъёма в расчётной точке ночью, дБ													Ф-ла [9] [10]	0	0	0	0	0	0	0	0	0	0	0
Источники шума: ИШ-217. Ворот насосной оборотного водоснабжения №3, координаты источника (х,у,г), м = [7080,38;5109,67;2,00]													исходные данные	0	78,3	72,2	61,4	49,3	41	31	22,1	20,5		
Уровни звуковой мощности источника днём, лм, дБ													исходные данные	0	78,3	72,2	61,4	49,3	41	31	22,1	20,5		
Уровни звуковой мощности источника ночью, лм, дБ													исходные данные	0	78,3	72,2	61,4	49,3	41	31	22,1	20,5		
Поправка на телесный угол DCL, дБ													$\Omega = 6,28$	10q(4+q/2)	3	3	3	3	3	3	3	3	3	
Показатель направленности источника D1, дБ														исходные данные	0	0	0	0	0	0	0	0	0	0
Поправка на направленность источника Dc, дБ													Dc	DD + Di	3	3	3	3	3	3	3	3	3	
Затухание из-за геометрической дивергенции, Адв, дБ													расстояние = 3256,29 м	Ф-ла (7) [10]	81,3									
Коэффициент затухания звука в атмосфере α , дБ/км													Ta=20,°C Pa=10133,4Па hотн=770%	Ф-ла (5) [9]	0,02	0,09	0,33	1,12	2,79	4,98	9,04	23,09	77,63	
Учет затухания звука в атмосфере Аатм, дБ														Ф-ла (8) [10]	0,1	0,3	1,1	3,7	9,1	16,2	29,4	76,2	232,8	
Снижение поверхностью земли возле источника Аз, дБ													Gs = 0 hs = 2м	Ф-ла таб.3 [10]	-1,5	-1,5	-1,5	-1,5	-1,5	-1,5	-1,5	-1,5	-1,5	
Снижение поверхностью земли возле приёмника Аг, дБ													Gg = 0 hg = 1,5м	Ф-ла таб.3 [10]	-1,5	-1,5	-1,5	-1,5	-1,5	-1,5	-1,5	-1,5	-1,5	
Снижение поверхностью земли в средней зоне, Апл дБ													Gpl = 0	Ф-ла таб.3 [10]	-2,9	-2,9	-2,9	-2,9	-2,9	-2,9	-2,9	-2,9	-2,9	
Суммарное снижение поверхностью земли на траектории распространения звука Азг, дБ														Ф-ла (9) [10]	-5,9	-5,9	-5,9	-5,9	-5,9	-5,9	-5,9	-5,9	-5,9	
Снижение уровня звукового давления из-за влияния застройки между источником шума и расчётной точкой																								
Длина звуковой волны для среднегеометрической частоты октавной полосы, λ , м															10,79	5,4	2,72	1,36	0,68	0,34	0,17	0,09	0,04	
Уровни звуковой мощности источника ночью, лм, дБ													Промежуточные точки: РФ4х,2,1 = [705,9;3117,5;11,5;0] dв = 29,83 м	исходные данные	0	70,3	64,2	53,4	41,3	33	23	14,1	12,5	
Поправка на телесный угол DCL, дБ													$\Omega = 6,28$	10q(4+q/2)	3	3	3	3	3	3	3	3	3	
Показатель направленности источника D1, дБ														исходные данные	0	0	0	0	0	0	0	0	0	0
Поправка на направленность источника Dc, дБ													Dc	DD + Di	3	3	3	3	3	3	3	3	3	
Затухание из-за геометрической дивергенции, Адв, дБ													расстояние = 3256,40 м	Ф-ла (7) [10]	81,3									
Коэффициент затухания звука в атмосфере α , дБ/км													Ta=20,°C Pa=10133,4Па hотн=770%	Ф-ла (5) [9]	0,02	0,09	0,33	1,12	2,79	4,98	9,04	23,09	77,63	
Учет затухания звука в атмосфере Аатм, дБ														Ф-ла (8) [10]	0,1	0,3	1,1	3,7	9,1	16,2	29,4	75,2	252,8	
Снижение поверхностью земли возле источника Аз, дБ													Gs = 0 hs = 2м	Ф-ла таб.3 [10]	-1,5	-1,5	-1,5	-1,5	-1,5	-1,5	-1,5	-1,5	-1,5	
Снижение поверхностью земли возле приёмника Аг, дБ													Gg = 0 hg = 1,5м	Ф-ла таб.3 [10]	-1,5	-1,5	-1,5	-1,5	-1,5	-1,5	-1,5	-1,5	-1,5	
Снижение поверхностью земли в средней зоне, Апл дБ													Gpl = 0	Ф-ла таб.3 [10]	-2,9	-2,9	-2,9	-2,9	-2,9	-2,9	-2,9	-2,9	-2,9	
Суммарное снижение поверхностью земли на траектории распространения звука Азг, дБ														Ф-ла (9) [10]	-5,9	-5,9	-5,9	-5,9	-5,9	-5,9	-5,9	-5,9	-5,9	
Снижение уровня звукового давления из-за влияния застройки между источником шума и расчётной точкой																								
Длина звуковой волны для среднегеометрической частоты октавной полосы, λ , м															10,79	5,4	2,72	1,36	0,68	0,34	0,17	0,09	0,04	
Уровни звуковой мощности источника ночью, лм, дБ													Промежуточные точки: РФ4х,2,1 = [684,0;5154,2;10,5;0] dв = 34,63 м	исходные данные	0	77,3	71,2	60,4	48,3	40	30	21,1	19,5	
Поправка на телесный угол DCL, дБ													$\Omega = 6,28$	10q(4+q/2)	3	3	3	3	3	3	3	3	3	
Показатель направленности источника D1, дБ														исходные данные	0	0	0	0	0	0	0	0	0	0
Поправка на направленность источника Dc, дБ													Dc	DD + Di	3	3	3	3	3	3	3	3	3	

1													2	3	4	5	6	7	8	9	10	11	12	13				
Поправка на направленность источника Dc, дБ													Dc	Dc + Di	3	3	3	3	3	3	3	3	3					
Затухание из-за геометрической дивергенции, Адв, дБ													расстояние = 377,03 м T=20, °C P=101,33, кПа hотн=70%	Ф-ла (7) [10]	82,5													
Коэффициент затухания звука в атмосфере α, дБ/км														Ф-ла (5) [9]	0,02	0,09	0,33	1,12	2,79	4,98	9,04	23,09	77,63					
Учет затухания звука в атмосфере Аатм, дБ														Ф-ла (8) [10]	0,1	0,3	1,3	4,2	10,5	18,8	34,1	87,1	292,9					
Снижение поверхностью земли возле источника Аз, дБ													Gs = 0 hs = 2м	Ф-ла таб.3 [10]	-1,5	-1,5	-1,5	-1,5	-1,5	-1,5	-1,5	-1,5	-1,5					
Снижение поверхностью земли возле приёмника Аг, дБ													Gg = 0 hg = 1,5м	Ф-ла таб.3 [10]	-1,5	-1,5	-1,5	-1,5	-1,5	-1,5	-1,5	-1,5	-1,5					
Снижение поверхностью земли в средней зоне, Апл дБ													Gpl = 0	Ф-ла таб.3 [10]	-2,9	-2,9	-2,9	-2,9	-2,9	-2,9	-2,9	-2,9	-2,9					
Суммарное снижение поверхностью земли на траектории распространения звука Азг, дБ														Ф-ла (9) [10]	-5,9	-5,9	-5,9	-5,9	-5,9	-5,9	-5,9	-5,9	-5,9					
Снижение уровня звукового давления из-за влияния застройки между источником шума и расчётной точкой																												
Длина звуковой волны для среднегеометрической частоты октавной полосы, λ, м															10,79	5,4	2,72	1,36	0,68	0,34	0,17	0,09	0,04					
Траектория над экраном													Промежуточные точки:	РФ4х,2,1 = [729,7;62,5;13,6;23,3]	исходные данные	0	70,3	64,2	53,4	41,3	33	23	14,1	12,5				
													Константа С2, учитывающая эффект ограничения от земли возле экрана	20	20	20	20	20	20	20	20	20	20	20	20	20	20	
													Константа С3 (инфракрасная на экранах)	1,1	1,2	1,7	2,4	2,8	2,9	3	3	3	3	3	3	3	3	
													Kэкв (влияние метеорологии)	Ф-ла (15) [10]														
													Ф-ла (18) [10]	0	0	0	0	0	0	0	0	0	0	0	0	0	0	
Dz, дБ														Ф-ла (14) [10]	4,8	4,8	4,8	4,8	4,8	4,8	4,8	4,8	4,8	4,8				
Снижение УЗД, Абзг, дБ														Ф-ла (12) [10]	4,8	4,8	4,8	4,8	4,8	4,8	4,8	4,8	4,8	4,8				
Уровни звукового давления от источника ИШ-215. Ворот наклонной очистных в расчётной точке днём, дБ														Ф-ла(9) [10]	0	0	0	0	0	0	0	0	0	0	0	0		
Уровни звукового давления от источника ИШ-215. Ворот наклонной очистных в расчётной точке ночью, дБ														Ф-ла(9) [10]	0	0	0	0	0	0	0	0	0	0	0	0		
Источники шума: ИШ-216. Ворот наклонной 3 подъёма, координаты источника (х,у,z), м = [7077,62;5102,27;2,00]																												
Уровни звуковой мощности источника днём, лм, дБ														исходные данные	0	70,3	64,2	53,4	41,3	33	23	14,1	12,5					
Уровни звуковой мощности источника ночью, лм, дБ														исходные данные	0	70,3	64,2	53,4	41,3	33	23	14,1	12,5					
Поправка на телесный угол DCL, дБ													Ω = 6,28	10q(4+q/2)	3	3	3	3	3	3	3	3	3	3				
Показатель направленности источника D1, дБ														исходные данные	0	0	0	0	0	0	0	0	0	0	0			
Поправка на направленность источника Dc, дБ													Dc	Dc + Di	3	3	3	3	3	3	3	3	3	3				
Затухание из-за геометрической дивергенции, Адв, дБ													расстояние = 325,640 м T=20, °C P=101,33, кПа hотн=70%	Ф-ла (7) [10]	81,3													
Коэффициент затухания звука в атмосфере α, дБ/км														Ф-ла (5) [9]	0,02	0,09	0,33	1,12	2,79	4,98	9,04	23,09	77,63					
Учет затухания звука в атмосфере Аатм, дБ														Ф-ла (8) [10]	0,1	0,3	1,1	3,7	9,1	16,2	29,4	75,2	252,8					
Снижение поверхностью земли возле источника Аз, дБ													Gs = 0 hs = 2м	Ф-ла таб.3 [10]	-1,5	-1,5	-1,5	-1,5	-1,5	-1,5	-1,5	-1,5	-1,5					
Снижение поверхностью земли возле приёмника Аг, дБ													Gg = 0 hg = 1,5м	Ф-ла таб.3 [10]	-1,5	-1,5	-1,5	-1,5	-1,5	-1,5	-1,5	-1,5	-1,5					
Снижение поверхностью земли в средней зоне, Апл дБ													Gpl = 0	Ф-ла таб.3 [10]	-2,9	-2,9	-2,9	-2,9	-2,9	-2,9	-2,9	-2,9	-2,9					
Суммарное снижение поверхностью земли на траектории распространения звука Азг, дБ														Ф-ла (9) [10]	-5,9	-5,9	-5,9	-5,9	-5,9	-5,9	-5,9	-5,9	-5,9					
Снижение уровня звукового давления из-за влияния застройки между источником шума и расчётной точкой																												
Длина звуковой волны для среднегеометрической частоты октавной полосы, λ, м															10,79	5,4	2,72	1,36	0,68	0,34	0,17	0,09	0,04					
Траектория над экраном													Промежуточные точки:	РФ4х,2,1 = [650,11;5279,4;20,35]	исходные данные	0	70,3	64,2	53,4	41,3	33	23	14,1	12,5				
													Константа С2, учитывающая эффект ограничения от земли возле экрана	20	20	20	20	20	20	20	20	20	20	20	20	20	20	

1			2		3	4	5	6	7	8	9	10	11	12	13	
Траектория справа от экрана	Константа С2, учитывающая эффект отражения от земли возле экрана		Ф-ла (15) [10]	Ф-ла (18) [10]	20	20	20	20	20	20	20	20	20	20		
	Константа С3 (дифракция на краяхах)				Ф-ла (15) [10]		1	1	1	1	1	1	1	1	1	
	K _{пом} (влияние метеосусловий)				Ф-ла (18) [10]		1	1	1	1	1	1	1	1	1	
	Dz, дБ				Ф-ла (14) [10]		13,6	16,3	19,1	22,1	25	28	31	34	37	
	Снижение УЗД, Азвг, дБ				Ф-ла (13) [10]		13,6	16,3	19,1	22,1	25	28	31	34	37	
Общее снижение уровня звука препятствием Азвг, дБ			Эк.сумма(Азвг_г)		Эк.сумма(Азвг_г)		3,9	4,3	4,5	4,7	4,7	4,7	4,8	4,8		
Уровни звукового давления от источника ИШ-Лп. Б4 ЭО в расчётной точке днём, дБ			Ф-ла(9)[10]		Ф-ла(9)[10]		0	0	0	3,9	0	0	0	0	0	
Уровни звукового давления от источника ИШ-Лп. Б4 ЭО в расчётной точке ночью, дБ			Ф-ла(9)[10]		Ф-ла(9)[10]		0	0	0	3,9	0	0	0	0	0	
Источник шума: ИШ-5п. Б5 ЭО, координаты источника (х,у,г), м =[6722.70;4.203.81;22.50]																
Уровни звуковой мощности источника днём, лw, дБ			исходные данные		0	0	79,5	85	81	76	73	65	58			
Уровни звуковой мощности источника ночью, лw, дБ			исходные данные		0	0	79,5	85	81	76	73	65	58			
Поправка на телесный угол DCL, дБ			Ω = 6,28		10lg(4+Ω)		3	3	3	3	3	3	3	3		
Показатель направленности источника Di, дБ			исходные данные		исходные данные		0	0	0	0	0	0	0	0		
Поправка на направленность источника Dc, дБ			Dc		DCL + Di		3	3	3	3	3	3	3	3		
Затухание из-за геометрической дивергенции, Adiv, дБ			расстояние = 3391,94 м		Ф-ла (7) [10]		81,6									
Коэффициент затухания звука в атмосфере α, дБ/км			Tair=20,°C RH=101,33кПа hотн=70%		Ф-ла (5) [9]		0,02	0,09	0,33	1,12	2,79	4,98	9,04	23,09	77,63	
Учет затухания звука в атмосфере Aatm, дБ			Ф-ла (8) [10]		Ф-ла (8) [10]		0,1	0,3	1,1	3,8	9,5	16,9	30,7	78,3	263,3	
Снижение поверхностью земли возле источника As, дБ			Gs = 0 hs = 0,1м		Ф-ла таб.3 [10]		-1,5	-1,5	-1,5	-1,5	-1,5	-1,5	-1,5	-1,5	-1,5	
Снижение поверхностью земли возле приёмника At, дБ			Gr = 0 hr = 1,5м		Ф-ла таб.3 [10]		-1,5	-1,5	-1,5	-1,5	-1,5	-1,5	-1,5	-1,5	-1,5	
Снижение поверхностью земли в средней зоне, Aп, дБ			Gm = 0		Ф-ла таб.3 [10]		-3	-3	-3	-3	-3	-3	-3	-3	-3	
Суммарное снижение поверхностью земли на траектории распространения звука Азг, дБ			Ф-ла (9) [10]		Ф-ла (9) [10]		-6	-6	-6	-6	-6	-6	-6	-6	-6	
Уровни звукового давления от источника ИШ-5п. Б5 ЭО в расчётной точке днём, дБ			Ф-ла(9)[10]		Ф-ла(9)[10]		0	0	0	8,5	0	0	0	0	0	
Уровни звукового давления от источника ИШ-5п. Б5 ЭО в расчётной точке ночью, дБ			Ф-ла(9)[10]		Ф-ла(9)[10]		0	0	0	8,5	0	0	0	0	0	
Источник шума: ИШ-6п. Б6 ЭО, координаты источника (х,у,г), м =[6718.88;4.177.73;22.50]																
Уровни звуковой мощности источника днём, лw, дБ			исходные данные		0	73	80	78	78	74	68	61	55			
Уровни звуковой мощности источника ночью, лw, дБ			исходные данные		0	73	80	78	78	74	68	61	55			
Поправка на телесный угол DCL, дБ			Ω = 6,28		10lg(4+Ω)		3	3	3	3	3	3	3	3		
Показатель направленности источника Di, дБ			исходные данные		исходные данные		0	0	0	0	0	0	0	0	0	
Поправка на направленность источника Dc, дБ			Dc		DCL + Di		3	3	3	3	3	3	3	3		
Затухание из-за геометрической дивергенции, Adiv, дБ			расстояние = 3404,98 м		Ф-ла (7) [10]		81,6									
Коэффициент затухания звука в атмосфере α, дБ/км			Tair=20,°C RH=101,33кПа hотн=70%		Ф-ла (5) [9]		0,02	0,09	0,33	1,12	2,79	4,98	9,04	23,09	77,63	
Учет затухания звука в атмосфере Aatm, дБ			Ф-ла (8) [10]		Ф-ла (8) [10]		0,1	0,3	1,1	3,8	9,5	16,9	30,8	78,6	264,3	
Снижение поверхностью земли возле источника As, дБ			Gs = 0 hs = 0,1м		Ф-ла таб.3 [10]		-1,5	-1,5	-1,5	-1,5	-1,5	-1,5	-1,5	-1,5	-1,5	
Снижение поверхностью земли возле приёмника At, дБ			Gr = 0 hr = 1,5м		Ф-ла таб.3 [10]		-1,5	-1,5	-1,5	-1,5	-1,5	-1,5	-1,5	-1,5	-1,5	
Снижение поверхностью земли в средней зоне, Aп, дБ			Gm = 0		Ф-ла таб.3 [10]		-3	-3	-3	-3	-3	-3	-3	-3	-3	

1															2													3	4	5	6	7	8	9	10	11	12	13																																																																																																																																																																																																																																																																																																																																																																																																																																																																																																																																																																																																																																																																																																																																																																																																																																																																																																																																																																																																																																																																																																																						
Траектория справа от экрана															Константа С1 (дифракция на краяхах)													2,4	2,8	2,9	3	3	3	3	3	3	3	3																																																																																																																																																																																																																																																																																																																																																																																																																																																																																																																																																																																																																																																																																																																																																																																																																																																																																																																																																																																																																																																																																																																						
															K _{пом} (влияние метеосусловий)													1	1	1	1	1	1	1	1	1	1	1	1	1	1																																																																																																																																																																																																																																																																																																																																																																																																																																																																																																																																																																																																																																																																																																																																																																																																																																																																																																																																																																																																																																																																																																																			
															Dz, дБ													28,9	32,6	35,8	38,8	41,8	44,9	47,9	50,9	53,9																																																																																																																																																																																																																																																																																																																																																																																																																																																																																																																																																																																																																																																																																																																																																																																																																																																																																																																																																																																																																																																																																																																								
															Снижение УЗД, Абзг, дБ													28,9	32,6	35,8	38,8	41,8	44,9	47,9	50,9	53,9																																																																																																																																																																																																																																																																																																																																																																																																																																																																																																																																																																																																																																																																																																																																																																																																																																																																																																																																																																																																																																																																																																																								
															Эк.сумма(Абзг_г)													4	4,3	4,5	4,6	4,7	4,7	4,8	4,8	4,8	4,8																																																																																																																																																																																																																																																																																																																																																																																																																																																																																																																																																																																																																																																																																																																																																																																																																																																																																																																																																																																																																																																																																																																							
Общее снижение уровня звука прелетиством Абзг, дБ															Уровни звукового давления от источника ИШ-Эп. ВЗ ЭО в расчётной точке днём, дБ													Ф-ла(9)[10]													0	0	0	3,2	0	0	0	0	0	0	0	0	0	0	0	0	0	0	0	0	0	0	0	0	0	0	0	0	0	0	0	0	0	0	0	0	0	0	0	0	0	0	0	0	0	0	0	0	0	0	0	0	0	0	0	0	0	0	0	0	0	0	0	0	0	0	0	0	0	0	0	0	0	0	0	0	0	0	0	0	0	0	0	0	0	0	0	0	0	0	0	0	0	0	0	0	0	0	0	0	0	0	0	0	0	0	0	0	0	0	0	0	0	0	0	0	0	0	0	0	0	0	0	0	0	0	0	0	0	0	0	0	0	0	0	0	0	0	0	0	0	0	0	0	0	0	0	0	0	0	0	0	0	0	0	0	0	0	0	0	0	0	0	0	0	0	0	0	0	0	0	0	0	0	0	0	0	0	0	0	0	0	0	0	0	0	0	0	0	0	0	0	0	0	0	0	0	0	0	0	0	0	0	0	0	0	0	0	0	0	0	0	0	0	0	0	0	0	0	0	0	0	0	0	0	0	0	0	0	0	0	0	0	0	0	0	0	0	0	0	0	0	0	0	0	0	0	0	0	0	0	0	0	0	0	0	0	0	0	0	0	0	0	0	0	0	0	0	0	0	0	0	0	0	0	0	0	0	0	0	0	0	0	0	0	0	0	0	0	0	0	0	0	0	0	0	0	0	0	0	0	0	0	0	0	0	0	0	0	0	0	0	0	0	0	0	0	0	0	0	0	0	0	0	0	0	0	0	0	0	0	0	0	0	0	0	0	0	0	0	0	0	0	0	0	0	0	0	0	0	0	0	0	0	0	0	0	0	0	0	0	0	0	0	0	0	0	0	0	0	0	0	0	0	0	0	0	0	0	0	0	0	0	0	0	0	0	0	0	0	0	0	0	0	0	0	0	0	0	0	0	0	0	0	0	0	0	0	0	0	0	0	0	0	0	0	0	0	0	0	0	0	0	0	0	0	0	0	0	0	0	0	0	0	0	0	0	0	0	0	0	0	0	0	0	0	0	0	0	0	0	0	0	0	0	0	0	0	0	0	0	0	0	0	0	0	0	0	0	0	0	0	0	0	0	0	0	0	0	0	0	0	0	0	0	0	0	0	0	0	0	0	0	0	0	0	0	0	0	0	0	0	0	0	0	0	0	0	0	0	0	0	0	0	0	0	0	0	0	0	0	0	0	0	0	0	0	0	0	0	0	0	0	0	0	0	0	0	0	0	0	0	0	0	0	0	0	0	0	0	0	0	0	0	0	0	0	0	0	0	0	0	0	0	0	0	0	0	0	0	0	0	0	0	0	0	0	0	0	0	0	0	0	0	0	0	0	0	0	0	0	0	0	0	0	0	0	0	0	0	0	0	0	0	0	0	0	0	0	0	0	0	0	0	0	0	0	0	0	0	0	0	0	0	0	0	0	0	0	0	0	0	0	0	0	0	0	0	0	0	0	0	0	0	0	0	0	0	0	0	0	0	0	0	0	0	0	0	0	0	0	0	0	0	0	0	0	0	0	0	0	0	0	0	0	0	0	0	0	0	0	0	0	0	0	0	0	0	0	0	0	0	0	0	0	0	0	0	0	0	0	0	0	0	0	0	0	0	0	0	0	0	0	0	0	0	0	0	0	0	0	0	0	0	0	0	0	0	0	0	0	0	0	0	0	0	0	0	0	0	0	0	0	0	0	0	0	0	0	0	0	0	0	0	0	0	0	0	0	0	0	0	0	0	0	0	0	0	0	0	0	0	0	0	0	0	0	0	0	0	0	0	0	0	0	0	0	0	0	0	0	0	0	0	0	0	0	0	0	0	0	0	0	0	0	0	0	0	0	0	0	0	0	0	0	0	0	0	0	0	0	0	0	0	0	0	0	0	0	0	0	0	0	0	0	0	0	0	0	0	0	0	0	0	0	0	0	0	0	0	0	0	0	0	0	0	0	0	0	0	0	0	0	0	0	0	0	0	0	0	0	0	0	0	0	0	0	0	0	0	0	0	0	0	0	0	0	0	0	0	0	0	0	0	0	0	0	0	0	0	0	0	0	0	0	0	0	0	0	0	0	0	0	0	0	0	0	0	0	0	0	0	0	0	0	0	0	0	0	0	0	0	0	0	0	0	0	0	0	0	0	0	0	0	0	0	0	0	0	0	0	0	0	0	0	0	0	0	0	0	0	0	0	0	0	0	0	0	0	0	0	0	0	0	0	0	0	0	0	0	0	0	0	0	0	0	0	0	0	0	0	0	0	0	0	0	0	0	0	0	0	0	0	0	0	0	0	0	0	0	0	0	0	0	0	0	0	0	0	0	0	0	0	0	0	0	0	0	0	0	0	0	0	0	0	0	0	0	0	0	0	0	0	0	0	0	0	0	0	0	0	0	0	0	0	0	0	0	0	0	0	0	0	0	0	0	0	0	0	0	0	0	0	0	0	0

1		2											
Учет затухания звука в атмосфере Аатм, дБ		Ф-ля (8) [10]											
Снижение поверхностью земли возле источника Аз, дБ		Ф-ля таб.2 [10]											
Снижение поверхностью земли возле приемника Аг, дБ		Ф-ля таб.3 [10]											
Снижение поверхностью земли в средней зоне, Ат, дБ		Ф-ля таб.3 [10]											
Суммарное снижение поверхности земли на траектории распространения звука Азг, дБ		Ф-ля таб.3 [10]											
Снижение уровня звукового давления из-за влияния застройки между источником шума и расчетной точкой		Ф-ля (9) [10]											
Длина звуковой волны для среднегеометрической частоты октавной полосы, λ, м		10,79											
Критерий наличия экранирования в горизонтальной плоскости		Вмр > λ											
Траектория над экраном		Промежуточные точки: Р _{экх,у,г,г} = (685,13429,312,22,40) (685,13429,312,22,40) Константа С2, учитывающая эффект отражения от земли возле экрана Константа С3 (дифракция на краях) К _{экв} (влияние метеослоев) Dг, дБ Снижение УЗД, Азат, дБ											
Траектория слева от экрана		Промежуточные точки: Р _{экх,у,г,г} = (673,74433,362,1,30) (673,74433,362,1,30) Константа С2, учитывающая эффект отражения от земли возле экрана Константа С3 (дифракция на краях) К _{экв} (влияние метеослоев) Dг, дБ Снижение УЗД, Азат, дБ											
Траектория справа от экрана		Промежуточные точки: Р _{экх,у,г,г} = (6815,33453,862,22,23) (6815,33453,862,22,23) Константа С2, учитывающая эффект отражения от земли возле экрана Константа С3 (дифракция на краях) К _{экв} (влияние метеослоев) Dг, дБ Снижение УЗД, Азат, дБ											
Общее снижение уровня звука при препятствии Азат, дБ		Эн, сумма(Азат, г)											
Уровни звукового давления от источника ИШ-12п. Воздушная завеса в расчетной точке днём, дБ		Ф-ля(9) [10]											
Уровни звукового давления от источника ИШ-12п. Воздушная завеса в расчетной точке ночью, дБ		Ф-ля(9) [10]											

Источники шума: ИШ-13п. ВЗ электролинейный участок (ВУ), координаты источника (х,у,г), м =[6569,75;4132,19;18,90]

Уровни звуковой мощности источника днём, Lw, дБ	исходные данные	0	84	87	98	92	91	87	86	75		
Уровни звуковой мощности источника ночью, Lw, дБ	исходные данные	0	84	87	98	92	91	87	86	75		
Поправка на телесный угол DГ, дБ	Ω = 6,28	3	3	3	3	3	3	3	3	3		
Показатель направленности источника Dг, дБ	исходные данные	0	0	0	0	0	0	0	0	0		
Поправка на направленность источника Dс, дБ	исходные данные	0	0	0	0	0	0	0	0	0		
Затухание из-за геометрической дивергенции, Адв, дБ	Ф-ля (7) [10]	81,4										

1		2											
Снижение поверхностью земли возле источника Аз, дБ		Ф-ля таб.2 [10]											
Снижение поверхностью земли возле приемника Аг, дБ		Ф-ля таб.3 [10]											
Снижение поверхностью земли в средней зоне, Ат, дБ		Ф-ля таб.3 [10]											
Суммарное снижение поверхности земли на траектории распространения звука Азг, дБ		Ф-ля (9) [10]											
Снижение уровня звукового давления из-за влияния застройки между источником шума и расчетной точкой		Ф-ля (9) [10]											
Длина звуковой волны для среднегеометрической частоты октавной полосы, λ, м		10,79											
Критерий наличия экранирования в горизонтальной плоскости		Вмр > λ											
Траектория над экраном		Промежуточные точки: Р _{экх,у,г,г} = (679,24453,362,22,40) (679,24453,362,22,40) Константа С2, учитывающая эффект отражения от земли возле экрана Константа С3 (дифракция на краях) К _{экв} (влияние метеослоев) Dг, дБ Снижение УЗД, Азат, дБ											
Траектория слева от экрана		Промежуточные точки: Р _{экх,у,г,г} = (679,24453,362,22,40) (679,24453,362,22,40) Константа С2, учитывающая эффект отражения от земли возле экрана Константа С3 (дифракция на краях) К _{экв} (влияние метеослоев) Dг, дБ Снижение УЗД, Азат, дБ											
Траектория справа от экрана		Промежуточные точки: Р _{экх,у,г,г} = (6815,33453,862,22,24) (6815,33453,862,22,24) Константа С2, учитывающая эффект отражения от земли возле экрана Константа С3 (дифракция на краях) К _{экв} (влияние метеослоев) Dг, дБ Снижение УЗД, Азат, дБ											
Общее снижение уровня звука при препятствии Азат, дБ		Эн, сумма(Азат, г)											
Уровни звукового давления от источника ИШ-11п. Воздушная завеса в расчетной точке днём, дБ		Ф-ля(9) [10]											
Уровни звукового давления от источника ИШ-11п. Воздушная завеса в расчетной точке ночью, дБ		Ф-ля(9) [10]											

Источники шума: ИШ-12п. Воздушная завеса, координаты источника (х,у,г), м =[6765,23;4156,75;22,50]

Уровни звуковой мощности источника днём, Lw, дБ	исходные данные	0	89,9	90,7	91,4	91,2	89,7	86,1	81,6	76,9		
Уровни звуковой мощности источника ночью, Lw, дБ	исходные данные	0	89,9	90,7	91,4	91,2	89,7	86,1	81,6	76,9		
Поправка на телесный угол DГ, дБ	Ω = 6,28	3	3	3	3	3	3	3	3	3		
Показатель направленности источника Dг, дБ	исходные данные	0	0	0	0	0	0	0	0	0		
Поправка на направленность источника Dс, дБ	исходные данные	0	0	0	0	0	0	0	0	0		
Затухание из-за геометрической дивергенции, Адв, дБ	Ф-ля (7) [10]	81,8										
Коэффициент затухания звука в атмосфере α, дБ/км	Ф-ля (5) [8]	0,02	0,09	0,33	1,12	2,79	4,98	9,04	23,09	77,63		

1		2		3	4	5	6	7	8	9	10	11	12	13	
Снижение поперечностью земли в средней зоне, Ап дБ		Гп = 0		Ф-ла таб.3 [10]											
Суммарное снижение поверхности земли на траектории распространения звука Абг, дБ		Ф-ла (9) [10]		-6	-6	-6	-6	-6	-6	-6	-6	-6	-6	-6	
Снижение уровня звукового давления из-за влияния застройки между источником шума и расчетной точкой															
Длина звуковой волны для среднегеометрической частоты октавной полосы, λ, м		10,79		5,4	2,72	1,36	0,68	0,34	0,17	0,09	0,04				
Критерий наличия экранирования в горизонтальной плоскости		Горизонтальный размер экрана, bэк = 258,18 м		bэк > λ		да		да		да		да		да	
		Промежуточные точки:		RФх,у,z,λ = (540,46;41,93;7,18;80)		651 ± 60,32 м		dФ = 338,97 м		e ± 0,00 м					
		Константа С2, учитывающая эффект отражения от земли возле экрана		20		20	20	20	20	20	20	20	20	20	
Траектория над экраном		Константа С3 (дифракция на краях)		Ф-ла (15) [10]		1		1	1	1	1	1	1	1	
		Kэк (влияние метеосусловий)		Ф-ла (18) [10]		0		0	0	0	0	0	0	0	
		Dz, дБ		Ф-ла (14) [10]		4,8		4,8	4,8	4,8	4,8	4,8	4,8	4,8	
		Снижение УЗД, Абг, дБ		Ф-ла (12) [10]		4,8		4,8	4,8	4,8	4,8	4,8	4,8	4,8	
		Промежуточные точки:		RФх,у,z,λ = (532,80;40,68;7,18;80)		651 ± 77,76 м		dФ = 320,88 м		e ± 60,34 м					
		Константа С2, учитывающая эффект отражения от земли возле экрана		20		20	20	20	20	20	20	20	20	20	
Траектория слева от экрана		Константа С3 (дифракция на краях)		Ф-ла (15) [10]		2,3		2,7	2,9	3	3	3	3	3	
		Kэк (влияние метеосусловий)		Ф-ла (18) [10]		1		1	1	1	1	1	1	1	
		Dz, дБ		Ф-ла (14) [10]		24,1		27,9	31,1	34,2	37,3	40,3	46,3	49,3	
		Снижение УЗД, Абг, дБ		Ф-ла (13) [10]		24,1		27,9	31,1	34,2	37,3	40,3	46,3	49,3	
		Промежуточные точки:		RФх,у,z,λ = (594,17;41,56;8,19;45)		65 ± 18,843 м		dФ = 941,216 м		e ± 146,31 м					
		Константа С2, учитывающая эффект отражения от земли возле экрана		20		20	20	20	20	20	20	20	20	20	
Траектория справа от экрана		Константа С3 (дифракция на краях)		Ф-ла (15) [10]		2,4		2,8	2,9	3	3	3	3	3	
		Kэк (влияние метеосусловий)		Ф-ла (18) [10]		1		1	1	1	1	1	1	1	
		Dz, дБ		Ф-ла (14) [10]		32,5		36,2	39,4	42,4	45,4	48,5	54,5	57,5	
		Снижение УЗД, Абг, дБ		Ф-ла (13) [10]		32,5		36,2	39,4	42,4	45,4	48,5	54,5	57,5	
		Общее снижение уровня звука препятствием Абзг, дБ		Эк. шумов (Абзг_Э)		4,7		4,7	4,8	4,8	4,8	4,8	4,8	4,8	
		Уровни звукового давления от источника ИШ-22п, Б12 в расчётной точке днём, дБ		Ф-ла(10) [9]		0		3,4	3,6	6	0	0	0	0	0
		Уровни звукового давления от источника ИШ-22п, Б12 в расчётной точке ночью, дБ		Ф-ла(10) [9]		0		3,4	3,6	6	0	0	0	0	0
		Источник шума: ИШ-23п, Б13, координаты источника (х,у,z), м = [6583,08;4110,40;18,90]													
Источники шума: ИШ-23п, Б13, координаты источника (х,у,z), м = [6583,08;4110,40;18,90]															
Уровни звуковой мощности источника днём, лw, дБ		исходные данные													
Уровни звуковой мощности источника ночью, лw, дБ		исходные данные													
Поправка на телесный угол D0, дБ		Ω ± 6,28 10lg(4π/Ω²)													
Показатель направленности источника Д1, дБ		исходные данные													
Поправка на направленность источника Dc, дБ		D0 ± 0													
Поправка на направленность источника Dc, дБ		D0 ± 0													
Поправка на направленность источника Dc, дБ		D0 ± 0													
Поправка на направленность источника Dc, дБ		D0 ± 0													
Поправка на направленность источника Dc, дБ		D0 ± 0													
Поправка на направленность источника Dc, дБ		D0 ± 0													
Поправка на направленность источника Dc, дБ		D0 ± 0													
Поправка на направленность источника Dc, дБ		D0 ± 0													
Поправка на направленность источника Dc, дБ		D0 ± 0													
Поправка на направленность источника Dc, дБ		D0 ± 0													
Поправка на направленность источника Dc, дБ		D0 ± 0													
Поправка на направленность источника Dc, дБ		D0 ± 0													
Поправка на направленность источника Dc, дБ		D0 ± 0													
Поправка на направленность источника Dc, дБ		D0 ± 0													
Поправка на направленность источника Dc, дБ		D0 ± 0													
Поправка на направленность источника Dc, дБ		D0 ± 0													
Поправка на направленность источника Dc, дБ		D0 ± 0													
Поправка на направленность источника Dc, дБ		D0 ± 0													
Поправка на направленность источника Dc, дБ		D0 ± 0													
Поправка на направленность источника Dc, дБ		D0 ± 0													
Поправка на направленность источника Dc, дБ		D0 ± 0													
Поправка на направленность источника Dc, дБ		D0 ± 0													
Поправка на направленность источника Dc, дБ		D0 ± 0													
Поправка на направленность источника Dc, дБ		D0 ± 0													
Поправка на направленность источника Dc, дБ		D0 ± 0													
Поправка на направленность источника Dc, дБ		D0 ± 0													
Поправка на направленность источника Dc, дБ		D0 ± 0													
Поправка на направленность источника Dc, дБ		D0 ± 0													
Поправка на направленность источника Dc, дБ		D0 ± 0													
Поправка на направленность источника Dc, дБ		D0 ± 0													
Поправка на направленность источника Dc, дБ		D0 ± 0													
Поправка на направленность источника Dc, дБ		D0 ± 0													
Поправка на направленность источника Dc, дБ		D0 ± 0													
Поправка на направленность источника Dc, дБ		D0 ± 0													
Поправка на направленность источника Dc, дБ		D0 ± 0													
Поправка на направленность источника Dc, дБ		D0 ± 0													
Поправка на направленность источника Dc, дБ		D0 ± 0													
Поправка на направленность источника Dc, дБ		D0 ± 0													
Поправка на направленность источника Dc, дБ		D0 ± 0													
Поправка на направленность источника Dc, дБ		D0 ± 0													
Поправка на направленность источника Dc, дБ		D0 ± 0													
Поправка на направленность источника Dc, дБ		D0 ± 0													
Поправка на направленность источника Dc, дБ		D0 ± 0													
Поправка на направленность источника Dc, дБ		D0 ± 0													
Поправка на направленность источника Dc, дБ		D0 ± 0													
Поправка на направленность источника Dc, дБ		D0 ± 0													
Поправка на направленность источника Dc, дБ		D0 ± 0													
Поправка на направленность источника Dc, дБ		D0 ± 0													
Поправка на направленность источника Dc, дБ		D0 ± 0													
Поправка на направленность источника Dc, дБ		D0 ± 0													
Поправка на направленность источника Dc, дБ		D0 ± 0													
Поправка на направленность источника Dc, дБ		D0 ± 0													
Поправка на направленность источника Dc, дБ		D0 ± 0													
Поправка на направленность источника Dc, дБ		D0 ± 0													
Поправка на направленность источника Dc, дБ		D0 ± 0													
Поправка на направленность источника Dc, дБ		D													

1		2												
Снижение поверхности земли возле источника Аз, дБ	G _к = 0 h _к = 0,1м	Ф-ла таб.3 [10]	-1,5	-1,5	-1,5	-1,5	-1,5	-1,5	-1,5	-1,5	-1,5	-1,5	-1,5	-1,5
	G _к = 0 h _к = 1,5м	Ф-ла таб.3 [10]	-1,5	-1,5	-1,5	-1,5	-1,5	-1,5	-1,5	-1,5	-1,5	-1,5	-1,5	-1,5
	G _к = 0	Ф-ла таб.3 [10]	-3	-3	-3	-3	-3	-3	-3	-3	-3	-3	-3	-3
Суммарное снижение поверхность земли на траектории распространения звука АБг, дБ		Ф-ла (9) [10]	-6	-6	-6	-6	-6	-6	-6	-6	-6	-6	-6	-6

Снижение уровня звукового давления из-за влияния застройки между источником шума и расчетной точкой														
Длина звуковой волны для среднегеометрической частоты октавной полосы, λ, м														
Критерий наличия экранирования в горизонтальной плоскости														
Траектория над экраном	Горизонтальный размер экрана, b _{эк} = 257,96 м	Промежуточные точки: R _{эк} х _{эк} z _{эк} = (6339,74;4147,87;18,80)	Выр > λ	d _к = 57,65 м	d _к = 328,62 м	d _к = 60,23 м	d _к = 328,61 м	d _к = 328,61 м	d _к = 328,61 м	d _к = 328,61 м	d _к = 328,61 м	d _к = 328,61 м	d _к = 328,61 м	d _к = 328,61 м
Траектория слева от экрана	Горизонтальный размер экрана, b _{эк} = 257,96 м	Промежуточные точки: R _{эк} х _{эк} z _{эк} = (6339,74;4147,87;18,80)	Выр > λ	d _к = 57,65 м	d _к = 328,62 м	d _к = 60,23 м	d _к = 328,61 м	d _к = 328,61 м	d _к = 328,61 м	d _к = 328,61 м	d _к = 328,61 м	d _к = 328,61 м	d _к = 328,61 м	d _к = 328,61 м
Траектория справа от экрана	Горизонтальный размер экрана, b _{эк} = 257,96 м	Промежуточные точки: R _{эк} х _{эк} z _{эк} = (6339,74;4147,87;18,80)	Выр > λ	d _к = 57,65 м	d _к = 328,62 м	d _к = 60,23 м	d _к = 328,61 м	d _к = 328,61 м	d _к = 328,61 м	d _к = 328,61 м	d _к = 328,61 м	d _к = 328,61 м	d _к = 328,61 м	d _к = 328,61 м

Источник шума: ИШ-25п. В15, координаты источника (х,у,z), м = [6658,16;4184,61;18,90]

Уровни звуковой мощности источника днём, Лw, дБ		исходные данные	0	95,2	85,3	78,1	68,9	59,1	51,7	50,5	49,5			
Уровни звуковой мощности источника ночью, Лw, дБ		исходные данные	0	95,2	85,3	78,1	68,9	59,1	51,7	50,5	49,5			
Поправка на телесный угол Ω, дБ		Ω = 6,28	3	3	3	3	3	3	3	3	3	3	3	3
Показатель направленности источника D _н , дБ		исходные данные	0	0	0	0	0	0	0	0	0	0	0	0
Поправка на направленность источника D _с , дБ		D _с	3	3	3	3	3	3	3	3	3	3	3	3
Затухание из-за геометрической дивергенции A _{дв} , дБ		расстояние = 3383,14 м	81,5											
Коэффициент затухания звука в атмосфере α, дБ/км		Т _а =20,°С Р _а =10133,3Па h _{отн} =70%	0,02	0,09	0,33	1,12	2,79	4,98	9,04	23,09	77,63			

1		2		3	4	5	6	7	8	9	10	11	12	13
Снижение поверхность земли возле приемника A_T , дБ	$G_{\text{к}} = 0$ $h_{\text{к}} = 1,5 \text{ м}$	$\Phi_{\text{пр}} \text{ таб.3 [10]}$	-1,5	-1,5	-1,5	-1,5	-1,5	-1,5	-1,5	-1,5	-1,5	-1,5	-1,5	-1,5
Снижение поверхность земли в средней зоне, $A_{\text{п}}$ дБ	$G_{\text{к}} = 0$	$\Phi_{\text{пр}} \text{ таб.3 [10]}$	-3	-3	-3	-3	-3	-3	-3	-3	-3	-3	-3	-3
Суммарное снижение поверхность земли на траектории распространения звука $A_{\text{Бг}}$, дБ		$\Phi_{\text{л}} \text{ (9) [10]}$	-6	-6	-6	-6	-6	-6	-6	-6	-6	-6	-6	-6
Снижение уровня звукового давления из-за влияния на траектории между источником шума и расчетной точкой														

Длина звуковой волны для среднегеометрической частоты октавной полосы, λ, м														
Критерий наличия экранирования в горизонтальной плоскости														
Траектория над экраном	Горизонтальный размер экрана, bэк = 250,75 м	Промежуточные точки: Rэкхэкzэк = (6339,27;4147,87;18,80) Константа С2, учитывающая эффект отражения от земли возле экрана	bпр > λ	dк = 57,65 м	dк = 326,02 м	dк = 57,65 м	dк = 326,02 м	dк = 57,65 м	dк = 326,02 м	dк = 57,65 м	dк = 326,02 м	dк = 57,65 м	dк = 326,02 м	dк = 57,65 м
Траектория слева от экрана	Горизонтальный размер экрана, bэк = 250,75 м	Промежуточные точки: Rэкхэкzэк = (6339,27;4147,87;18,80) Константа С2, учитывающая эффект отражения от земли возле экрана	bпр > λ	dк = 57,65 м	dк = 326,02 м	dк = 57,65 м	dк = 326,02 м	dк = 57,65 м	dк = 326,02 м	dк = 57,65 м	dк = 326,02 м	dк = 57,65 м	dк = 326,02 м	dк = 57,65 м
Траектория справа от экрана	Горизонтальный размер экрана, bэк = 250,75 м	Промежуточные точки: Rэкхэкzэк = (6339,27;4147,87;18,80) Константа С2, учитывающая эффект отражения от земли возле экрана	bпр > λ	dк = 57,65 м	dк = 326,02 м	dк = 57,65 м	dк = 326,02 м	dк = 57,65 м	dк = 326,02 м	dк = 57,65 м	dк = 326,02 м	dк = 57,65 м	dк = 326,02 м	dк = 57,65 м
Траектория над экраном	Горизонтальный размер экрана, bэк = 250,75 м	Промежуточные точки: Rэкхэкzэк = (6339,27;4147,87;18,80) Константа С2, учитывающая эффект отражения от земли возле экрана	bпр > λ	dк = 57,65 м	dк = 326,02 м	dк = 57,65 м	dк = 326,02 м	dк = 57,65 м	dк = 326,02 м	dк = 57,65 м	dк = 326,02 м	dк = 57,65 м	dк = 326,02 м	dк = 57,65 м
Траектория слева от экрана	Горизонтальный размер экрана, bэк = 250,75 м	Промежуточные точки: Rэкхэкzэк = (6339,27;4147,87;18,80) Константа С2, учитывающая эффект отражения от земли возле экрана	bпр > λ	dк = 57,65 м	dк = 326,02 м	dк = 57,65 м	dк = 326,02 м	dк = 57,65 м	dк = 326,02 м	dк = 57,65 м	dк = 326,02 м	dк = 57,65 м	dк = 326,02 м	dк = 57,65 м
Траектория справа от экрана	Горизонтальный размер экрана, bэк = 250,75 м	Промежуточные точки: Rэкхэкzэк = (6339,27;4147,87;18,80) Константа С2, учитывающая эффект отражения от земли возле экрана	bпр > λ	dк = 57,65 м	dк = 326,02 м	dк = 57,65 м	dк = 326,02 м	dк = 57,65 м	dк = 326,02 м	dк = 57,65 м	dк = 326,02 м	dк = 57,65 м	dк = 326,02 м	dк = 57,65 м
Траектория над экраном	Горизонтальный размер экрана, bэк = 250,75 м	Промежуточные точки: Rэкхэкzэк = (6339,27;4147,87;18,80) Константа С2, учитывающая эффект отражения от земли возле экрана	bпр > λ	dк = 57,65 м	dк = 326,02 м	dк = 57,65 м	dк = 326,02 м	dк = 57,65 м	dк = 326,02 м	dк = 57,65 м	dк = 326,02 м	dк = 57,65 м	dк = 326,02 м	dк = 57,65 м
Траектория слева от экрана	Горизонтальный размер экрана, bэк = 250,75 м	Промежуточные точки: Rэкхэкzэк = (6339,27;4147,87;18,80) Константа С2, учитывающая эффект отражения от земли возле экрана	bпр > λ	dк = 57,65 м	dк = 326,02 м	dк = 57,65 м	dк = 326,02 м	dк = 57,65 м	dк = 326,02 м	dк = 57,65 м	dк = 326,02 м	dк = 57,65 м	dк = 326,02 м	dк = 57,65 м
Траектория справа от экрана	Горизонтальный размер экрана, bэк = 250,75 м	Промежуточные точки: Rэкхэкzэк = (6339,27;4147,87;18,80) Константа С2, учитывающая эффект отражения от земли возле экрана	bпр > λ	dк = 57,65 м	dк = 326,02 м	dк = 57,65 м	dк = 326,02 м	dк = 57,65 м	dк = 326,02 м	dк = 57,65 м	dк = 326,02 м	dк = 57,65 м	dк = 326,02 м	dк = 57,65 м
Траектория над экраном	Горизонтальный размер экрана, bэк = 250,75 м	Промежуточные точки: Rэкхэкzэк = (6339,27;4147,87;18,80) Константа С2, учитывающая эффект отражения от земли возле экрана	bпр > λ	dк = 57,65 м	dк = 326,02 м	dк = 57,65 м	dк = 326,02 м	dк = 57,65 м	dк = 326,02 м	dк = 57,65 м	dк = 326,02 м	dк = 57,65 м	dк = 326,02 м	dк = 57,65 м
Траектория слева от экрана	Горизонтальный размер экрана, bэк = 250,75 м	Промежуточные точки: Rэкхэкzэк = (6339,27;4147,87;18,80) Константа С2, учитывающая эффект отражения от земли возле экрана	bпр > λ	dк = 57,65 м	dк = 326,02 м	dк = 57,65 м	dк = 326,02 м	dк = 57,65 м	dк = 326,02 м	dк = 57,65 м	dк = 326,02 м	dк = 57,65 м	dк = 326,02 м	dк = 57,65 м
Траектория справа от экрана	Горизонтальный размер экрана, bэк = 250,75 м	Промежуточные точки: Rэкхэкzэк = (6339,27;4147,87;18,80) Константа С2, учитывающая эффект отражения от земли возле экрана	bпр > λ	dк = 57,65 м	dк = 326,02 м	dк = 57,65 м	dк = 326,02 м	dк = 57,65 м	dк = 326,02 м	dк = 57,65 м	dк = 326,02 м	dк = 57,65 м	dк = 326,02 м	dк = 57,65 м
Траектория над экраном	Горизонтальный размер экрана, bэк = 250,75 м	Промежуточные точки: Rэкхэкzэк = (6339,27;4147,87;18,80) Константа С2, учитывающая эффект отражения от земли возле экрана	bпр > λ	dк = 57,65 м	dк = 326,02 м	dк = 57,65 м	dк = 326,02 м	dк = 57,65 м	dк = 326,02 м	dк = 57,65 м	dк = 326,02 м	dк = 57,65 м	dк = 326,02 м	dк = 57,65 м
Траектория слева от экрана	Горизонтальный размер экрана, bэк = 250,75 м	Промежуточные точки: Rэкхэкzэк = (6339,27;4147,87;18,80) Константа С2, учитывающая эффект отражения от земли возле экрана	bпр > λ	dк = 57,65 м	dк = 326,02 м	dк = 57,65 м	dк = 326,02 м	dк = 57,65 м	dк = 326,02 м	dк = 57,65 м	dк = 326,02 м	dк = 57,65 м	dк = 326,02 м	dк = 57,65 м
Траектория справа от экрана	Горизонтальный размер экрана, bэк = 250,75 м	Промежуточные точки: Rэкхэкzэк = (6339,27;4147,87;18,80) Константа С2, учитывающая эффект отражения от земли возле экрана	bпр > λ	dк = 57,65 м	dк = 326,02 м	dк = 57,65 м	dк = 326,02 м	dк = 57,65 м	dк = 326,02 м	dк = 57,65 м	dк = 326,02 м	dк = 57,65 м	dк = 326,02 м	dк = 57,65 м
Траектория над экраном	Горизонтальный размер экрана, bэк = 250,75 м	Промежуточные точки: Rэкхэкzэк = (6339,27;4147,87;18,80) Константа С2, учитывающая эффект отражения от земли возле экрана	bпр > λ	dк = 57,65 м	dк = 326,02 м	dк = 57,65 м	dк = 326,02 м	dк = 57,65 м	dк = 326,02 м	dк = 57,65 м	dк = 326,02 м	dк = 57,65 м	dк = 326,02 м	dк = 57,65 м
Траектория слева от экрана	Горизонтальный размер экрана, bэк = 250,75 м	Промежуточные точки: Rэкхэкzэк = (6339,27;4147,87;18,80) Константа С2, учитывающая эффект отражения от земли возле экрана	bпр > λ	dк = 57,65 м	dк = 326,02 м	dк = 57,65 м	dк = 326,02 м	dк = 57,65 м	dк = 326,02 м	dк = 57,65 м	dк = 326,02 м	dк = 57,65 м	dк = 326,02 м	dк = 57,65 м
Траектория справа от экрана	Горизонтальный размер экрана, bэк = 250,75 м	Промежуточные точки: Rэкхэкzэк = (6339,27;4147,87;18,80) Константа С2, учитывающая эффект отражения от земли возле экрана	bпр > λ	dк = 57,65 м	dк = 326,02 м	dк = 57,65 м	dк = 326,02 м	dк = 57,65 м	dк = 326,02 м	dк = 57,65 м	dк = 326,02 м	dк = 57,65 м	dк = 326,02 м	dк = 57,65 м
Траектория над экраном	Горизонтальный размер экрана, bэк = 250,75 м	Промежуточные точки: Rэкхэкzэк = (6339,27;4147,87;18,80) Константа С2, учитывающая эффект отражения от земли возле экрана	bпр > λ	dк = 57,65 м	dк = 326,02 м	dк = 57,65 м	dк = 326,02 м	dк = 57,65 м	dк = 326,02 м	dк = 57,65 м	dк = 326,02 м	dк = 57,65 м	dк = 326,02 м	dк = 57,65 м
Траектория слева от экрана	Горизонтальный размер экрана, bэк = 250,75 м	Промежуточные точки: Rэкхэкzэк = (6339,27;4147,87;18,80) Константа С2, учитывающая эффект отражения от земли возле экрана	bпр > λ	dк = 57,65 м	dк = 326,02 м	dк = 57,65 м	dк = 326,02 м	dк = 57,65 м	dк = 326,02 м	dк = 57,65 м	dк = 326,02 м	dк = 57,65 м	dк = 326,02 м	dк = 57,65 м
Траектория справа от экрана	Горизонтальный размер экрана, bэк = 250,75 м	Промежуточные точки: Rэкхэкzэк = (6339,27;4147,87;18,80) Константа С2, учитывающая эффект отражения от земли возле экрана	bпр > λ	dк = 57,65 м	dк = 326,02 м	dк = 57,65 м	dк = 326,02 м	dк = 57,65 м	dк = 326,02 м	dк = 57,65 м	dк = 326,02 м	dк = 57,65 м	dк = 326,02 м	dк = 57,65 м
Траектория над экраном	Горизонтальный размер экрана, bэк = 250,75 м	Промежуточные точки: Rэкхэкzэк = (6339,27;4147,87;18,80) Константа С2, учитывающая эффект отражения от земли возле экрана	bпр > λ	dк = 57,65 м	dк = 326,02 м	dк = 57,65 м	dк = 326,02 м	dк = 57,65 м	dк = 326,02 м	dк = 57,65 м	dк = 326,02 м	dк = 57,65 м	dк = 326,02 м	dк = 57,65 м
Траектория слева от экрана	Горизонтальный размер экрана, bэк = 250,75 м	Промежуточные точки: Rэкхэкzэк = (6339,27;4147,87;18,80) Константа С2, учитывающая эффект отражения от земли возле экрана	bпр > λ	dк = 57,65 м	dк = 326,02 м	dк = 57,65 м	dк = 326,02 м	dк = 57,65 м	dк = 326,02 м	dк = 57,65 м	dк = 326,02 м	dк = 57,65 м	dк = 326,02 м	dк = 57,65 м
Траектория справа от экрана	Горизонтальный размер экрана, bэк = 250,75 м	Промежуточные точки: Rэкхэкzэк = (6339,27;4147,87;18,80) Константа С2, учитывающая эффект отражения от земли возле экрана	bпр > λ	dк = 57,65 м	dк = 326,02 м	dк = 57,65 м	dк = 326,02 м	dк = 57,65 м	dк = 326,02 м	dк = 57,65 м	dк = 326,02 м	dк = 57,65 м	dк = 326,02 м	dк = 57,65 м
Траектория над экраном	Горизонтальный размер экрана, bэк = 250,75 м	Промежуточные точки: Rэкхэкzэк = (6339,27;4147,87;18,80) Константа С2, учитывающая эффект отражения от земли возле экрана	bпр > λ	dк = 57,65 м	dк = 326,02 м	dк = 57,65 м	dк = 326,02 м	dк = 57,65 м	dк = 326,02 м	dк = 57,65 м	dк = 326,02 м	dк = 57,65 м	dк = 326,02 м	dк = 57,65 м
Траектория слева от экрана	Горизонтальный размер экрана, bэк = 250,75 м	Промежуточные точки: Rэкхэкzэк = (6339,27;4147,87;18,80) Константа С2, учитывающая эффект отражения от земли возле экрана	bпр > λ	dк = 57,65 м	dк = 326,02 м	dк = 57,65 м	dк = 326,02 м	dк = 57,65 м	dк = 326,02 м	dк = 57,65 м	dк = 326,02 м	dк = 57,65 м	dк = 326,02 м	dк = 57,65 м
Траектория справа от экрана	Горизонтальный размер экрана, bэк = 250,75 м	Промежуточные точки: Rэкхэкzэк = (6339,27;4147,87;18,80) Константа С2, учитывающая эффект отражения от земли возле экрана	bпр > λ	dк = 57,65 м	dк = 326,02 м	dк = 57,65 м	dк = 326,02 м	dк = 57,65 м	dк = 326,02 м	dк = 57,65 м	dк = 326,02 м	dк = 57,65 м	dк = 326,02 м	dк = 57,65 м
Траектория над экраном	Горизонтальный размер экрана, bэк = 250,75 м	Промежуточные точки: Rэкхэкzэк = (6339,27;4147,87;18,80) Константа С2, учитывающая эффект отражения от земли возле экрана	bпр > λ	dк = 57,65 м	dк = 326,02 м	dк = 57,65 м	dк = 326,02 м	dк = 57,65 м	dк = 326,02 м	dк = 57,65 м	dк = 326,02 м	dк = 57,65 м	dк = 326,02 м	dк = 57,65 м
Траектория слева от экрана	Горизонтальный размер экрана, bэк = 250,75 м	Промежуточные точки: Rэкхэкzэк = (6339,27;4147,87;18,80) Константа С2, учитывающая эффект отражения от земли возле экрана	bпр > λ	dк = 57,65 м	dк = 326,02 м	dк = 57,65 м	dк = 326,02 м	dк = 57,65 м	dк = 326,02 м	dк = 57,65 м	dк = 326,02 м	dк = 57,65 м	dк = 326,02 м	dк = 57,65 м
Траектория справа от экрана	Горизонтальный размер экрана, bэк = 250,75 м	Промежуточные точки: Rэкхэкzэк = (6339,27;4147,87;18,80) Константа С2, учитывающая эффект отражения от земли возле экрана	bпр > λ	dк = 57,65 м	dк = 326,02 м	dк = 57,65 м	dк = 326,02 м	dк = 57,65 м	dк = 326,02 м	dк = 57,65 м	dк = 326,02 м	dк = 57,65 м	dк = 326,02 м	dк = 57,65 м
Траектория над экраном	Горизонтальный размер экрана, bэк = 250,75 м	Промежуточные точки: Rэкхэкzэк = (6339,27;4147,87;18,80) Константа С2, учитывающая эффект отражения от земли возле экрана	bпр > λ	dк = 57,65 м	dк = 326,02 м	dк = 57,65 м	dк = 326,02 м	dк = 57,65 м	dк = 326,02 м	dк = 57,65 м	dк = 326,02 м	dк = 57,65 м	dк = 326,02 м	dк = 57,65 м
Траектория слева от экрана	Горизонтальный размер экрана, bэк = 250,75 м	Промежуточные точки: Rэкхэкzэк = (6339,27;4147,87;18,80) Константа С2, учитывающая эффект отражения от земли возле экрана	bпр > λ	dк = 57,65 м	dк = 326,02 м	dк = 57,65 м	dк = 326,02 м	dк = 57,65 м	dк = 326,02 м	dк = 57,65 м	dк = 326,02 м	dк = 57,65 м	dк = 326,02 м	dк = 57,65 м
Траектория справа от экрана	Горизонтальный размер экрана, bэк = 250,75 м	Промежуточные точки: Rэкхэкzэк = (6339,27;4147,87;18,80) Константа С2, учитывающая эффект отражения от земли возле экрана	bпр > λ	dк = 57,65 м	dк = 326,02 м	dк = 57,65 м	dк = 326,02 м	dк = 57,65 м						

1		2		3	4	5	6	7	8	9	10	11	12	13
Учет затухания звука в атмосфере Азпм, дБ														
Снижение поверхностью земли возле источника Аз, дБ		Г _з = 0 h _з = 0,1 м		-1,5	-1,5	-1,5	-1,5	-1,5	-1,5	-1,5	-1,5	-1,5	-1,5	
Снижение поверхностью земли возле приёмника Аг, дБ		Г _г = 0 h _г = 1,5 м		-1,5	-1,5	-1,5	-1,5	-1,5	-1,5	-1,5	-1,5	-1,5	-1,5	
Снижение поверхностью земли в средней зоне, Ап дБ		G _п = 0		-3	-3	-3	-3	-3	-3	-3	-3	-3	-3	
Суммарное снижение поверхностью земли на траектории распространения звука Азг, дБ				-6	-6	-6	-6	-6	-6	-6	-6	-6	-6	
Снижение уровня звукового давления из-за влияния застройки между источником шума и расчётной точкой														
Длина звуковой волны для среднегеометрической частоты октавной полосы, λ, м				10,79	5,4	2,72	1,36	0,68	0,34	0,17	0,09	0,04		
Промежуточные точки:		R _{фхх} , λ = (6774,52;41932,18;80)		655	32,94 м	d _п = 3208,93 м		e = 2369,5 м		z = 2,21 м				
Константа С ₂ учитывающая эффект отражения от земли возле здания				20	20	20	20	20	20	20	20	20	20	
Константа С ₃ (дифракция на краяхах)		Ф-ла (15) [10]		2,7	2,9	3	3	3	3	3	3	3	3	
K _{зем} (плотные метеоусловия)		Ф-ла (18) [10]		0	0	0	0	0	0	0	0	0	0	
Dz, дБ		Ф-ла (14) [10]		4,9	5,1	5,4	6	7	8,5	10,5	12,9	15,5		
Снижение УЗД, Абз, дБ		Ф-ла (12) [10]		4,9	5,1	5,4	6	7	8,5	10,5	12,9	15,5		
Промежуточные точки:		R _{фхх} , λ = (8815,29;4293,86;7,34)		д _п = 130,73 м	d _п = 3412,22 м	e = 0,00 м		z = 6,637 м						
Константа С ₂ учитывающая эффект отражения от земли возле здания				20	20	20	20	20	20	20	20	20	20	
Константа С ₃ (дифракция на краяхах)		Ф-ла (15) [10]		1	1	1	1	1	1	1	1	1	1	
K _{зем} (плотные метеоусловия)		Ф-ла (18) [10]		1	1	1	1	1	1	1	1	1	1	
Dz, дБ		Ф-ла (14) [10]		21	24	26,9	29,9	32,9	35,9	38,9	41,9	44,9		
Снижение УЗД, Абз, дБ		Ф-ла (13) [10]		21	24	26,9	29,9	32,9	35,9	38,9	41,9	44,9		
Общее снижение уровня звука прилетствием Абзг, дБ		Эн-сумма Абзг-л		4,8	5,1	5,4	6	7	8,5	10,5	12,9	15,5		
Уровни звукового давления от источника ИШ-34п, В1 Насосной № 2 в расчётной точке днём, дБ		Ф-ла (9) [10]		0	19,5	10,3	0	0	0	0	0	0	0	0
Уровни звукового давления от источника ИШ-34п, В1 Насосной № 2 в расчётной точке ночью, дБ		Ф-ла (9) [10]		0	19,5	10,3	0	0	0	0	0	0	0	0
Источник шума: ИШ-35п, В2 насосная №2, координаты источника (х ₁ ,у ₂), м=[6781,38;4154,24;7,45]														
Уровни звуковой мощности источника днём, Лw, дБ		исходные данные		0	83,2	72,1	71,6	65,2	59	54,8	51	42,1		
Уровни звуковой мощности источника ночью, Лw, дБ		исходные данные		0	83,2	72,1	71,6	65,2	59	54,8	51	42,1		
Поправка на телесный угол Ω _т , дБ		Ω = 6,28		3	3	3	3	3	3	3	3	3		
Показатель направленности источника D ₁ , дБ		исходные данные		0	0	0	0	0	0	0	0	0		
Поправка на направленность источника D ₂ , дБ		D ₂ = D ₁		3	3	3	3	3	3	3	3	3		
Затухание из-за геометрической дивергенции, Адв, дБ		расстояние = 346,63 м		81,8										
Коэффициент затухания звука в атмосфере α, дБ/м		Темп-ра Т _{возд} °C Р _{возд} Па h _{отн} =70%		0,02	0,09	0,33	1,12	2,79	4,98	9,04	23,09	77,63		
Учет затухания звука в атмосфере Азпм, дБ		Ф-ла (8) [10]		0,1	0,3	1,2	3,9	9,7	17,3	31,4	80,1	269,3		

[illegible]

1																	2																	3	4	5	6	7	8	9	10	11	12	13																																																																																																																																																																																																																																																																																																																																																																																																																																																																																																																																																																																																																																																																																																																																																																																																																																																																																																																																																																																																																																																																																																																																																																																																																																																																																																																																																																																																																																																																																																																																																																																																																																																																																																																																																																																																																																																																																																																																																																																																																																																																																																																																																																																																																																																																																																																																																																																																																																																																																																																																																																																																																																																																																																																																																																																																																																																																																																																																																																																																																																																																																																																																																																																																																																																																																																																																																																																																																																																																																																																																																																																																																																																																																																																																																																																																																																																																																																																																																																																																																																																																												
Траектория справа от экрана																	Снижение УЗД, Ават, дБ																	Ф-ла (13) [10]																	31,5	34,6	37,6	40,6	43,6	46,6	49,6	52,7	55,7																																																																																																																																																																																																																																																																																																																																																																																																																																																																																																																																																																																																																																																																																																																																																																																																																																																																																																																																																																																																																																																																																																																																																																																																																																																																																																																																																																																																																																																																																																																																																																																																																																																																																																																																																																																																																																																																																																																																																																																																																																																																																																																																																																																																																																																																																																																																																																																																																																																																																																																																																																																																																																																																																																																																																																																																																																																																																																																																																																																																																																																																																																																																																																																																																																																																																																																																																																																																																																																																																																																																																																																																																																																																																																																																																																																																																																																																																																																																																																																																																																																													
																	Промежуточные тонки:																	Р _{экв,дБ} = 88,0-23,4(0,32-0,40) (67,1-74,0) (0,92-1,40)																	Ф _{экв,дБ} = 183,36 м																	Ф _{экв,дБ} = 183,36 м																	Ф _{экв,дБ} = 183,36 м																	Ф _{экв,дБ} = 183,36 м																	Ф _{экв,дБ} = 183,36 м																	Ф _{экв,дБ} = 183,36 м																	Ф _{экв,дБ} = 183,36 м																	Ф _{экв,дБ} = 183,36 м																	Ф _{экв,дБ} = 183,36 м																	Ф _{экв,дБ} = 183,36 м																	Ф _{экв,дБ} = 183,36 м																	Ф _{экв,дБ} = 183,36 м																	Ф _{экв,дБ} = 183,36 м																	Ф _{экв,дБ} = 183,36 м																	Ф _{экв,дБ} = 183,36 м																	Ф _{экв,дБ} = 183,36 м																	Ф _{экв,дБ} = 183,36 м																	Ф _{экв,дБ} = 183,36 м																	Ф _{экв,дБ} = 183,36 м																	Ф _{экв,дБ} = 183,36 м																	Ф _{экв,дБ} = 183,36 м																	Ф _{экв,дБ} = 183,36 м																	Ф _{экв,дБ} = 183,36 м																	Ф _{экв,дБ} = 183,36 м																	Ф _{экв,дБ} = 183,36 м																	Ф _{экв,дБ} = 183,36 м																	Ф _{экв,дБ} = 183,36 м																	Ф _{экв,дБ} = 183,36 м																	Ф _{экв,дБ} = 183,36 м																	Ф _{экв,дБ} = 183,36 м																	Ф _{экв,дБ} = 183,36 м																	Ф _{экв,дБ} = 183,36 м																	Ф _{экв,дБ} = 183,36 м																	Ф _{экв,дБ} = 183,36 м																	Ф _{экв,дБ} = 183,36 м																	Ф _{экв,дБ} = 183,36 м																	Ф _{экв,дБ} = 183,36 м																	Ф _{экв,дБ} = 183,36 м																	Ф _{экв,дБ} = 183,36 м																	Ф _{экв,дБ} = 183,36 м																	Ф _{экв,дБ} = 183,36 м																	Ф _{экв,дБ} = 183,36 м																	Ф _{экв,дБ} = 183,36 м																	Ф _{экв,дБ} = 183,36 м																	Ф _{экв,дБ} = 183,36 м																	Ф _{экв,дБ} = 183,36 м																	Ф _{экв,дБ} = 183,36 м																	Ф _{экв,дБ} = 183,36 м																	Ф _{экв,дБ} = 183,36 м																	Ф _{экв,дБ} = 183,36 м																	Ф _{экв,дБ} = 183,36 м																	Ф _{экв,дБ} = 183,36 м																	Ф _{экв,дБ} = 183,36 м																	Ф _{экв,дБ} = 183,36 м																	Ф _{экв,дБ} = 183,36 м																	Ф _{экв,дБ} = 183,36 м																	Ф _{экв,дБ} = 183,36 м																	Ф _{экв,дБ} = 183,36 м																	Ф _{экв,дБ} = 183,36 м																	Ф _{экв,дБ} = 183,36 м																	Ф _{экв,дБ} = 183,36 м																	Ф _{экв,дБ} = 183,36 м																	Ф _{экв,дБ} = 183,36 м																	Ф _{экв,дБ} = 183,36 м																	Ф _{экв,дБ} = 183,36 м																	Ф _{экв,дБ} = 183,36 м																	Ф _{экв,дБ} = 183,36 м																	Ф _{экв,дБ} = 183,36 м																	Ф _{экв,дБ} = 183,36 м																	Ф _{экв,дБ} = 183,36 м																	Ф _{экв,дБ} = 183,36 м																	Ф _{экв,дБ} = 183,36 м																	Ф _{экв,дБ} = 183,36 м																	Ф _{экв,дБ} = 183,36 м																	Ф _{экв,дБ} = 183,36 м																	Ф _{экв,дБ} = 183,36 м																	Ф _{экв,дБ} = 183,36 м																	Ф _{экв,дБ} = 183,36 м																	Ф _{экв,дБ} = 183,36 м																	Ф _{экв,дБ} = 183,36 м																	Ф _{экв,дБ} = 183,36 м																	Ф _{экв,дБ} = 183,36 м																	Ф _{экв,дБ} = 183,36 м																	Ф _{экв,дБ} = 183,36 м																	Ф _{экв,дБ} = 183,36 м																	Ф _{экв,дБ} = 183,36 м																	Ф _{экв,дБ} = 183,36 м																	Ф _{экв,дБ} = 183,36 м																	Ф _{экв,дБ} = 183,36 м																	Ф _{экв,дБ} = 183,36 м																	Ф _{экв,дБ} = 183,36 м																	Ф _{экв,дБ} = 183,36 м																	Ф _{экв,дБ} = 183,36 м																	Ф _{экв,дБ} = 183,36 м																	Ф _{экв,дБ} = 183,36 м																	Ф _{экв,дБ} = 183,36 м																	Ф _{экв,дБ} = 183,36 м																	Ф _{экв,дБ} = 183,36 м																	Ф _{экв,дБ} = 183,36 м																	Ф _{экв,дБ} = 183,36 м																	Ф _{экв,дБ} = 183,36 м																	Ф _{экв,дБ} = 183,36 м																	Ф _{экв,дБ} = 183,36 м																	Ф _{экв,дБ} = 183,36 м																	Ф _{экв,дБ} = 183,36 м																	Ф _{экв,дБ} = 183,36 м																	Ф _{экв,дБ} = 183,36 м																	Ф _{экв,дБ} = 183,36 м																	Ф _{экв,дБ} = 183,36 м																	Ф _{экв,дБ} = 183,36 м																	Ф _{экв,дБ} = 183,36 м																	Ф _{экв,дБ} = 183,36 м																	Ф _{экв,дБ} = 183,36 м																	Ф _{экв,дБ} = 183,36 м																	Ф _{экв,дБ} = 183,36 м																	Ф _{экв,дБ} = 183,36 м																	Ф _{экв,дБ} = 183,36 м																	Ф _{экв,дБ} = 183,36 м																	Ф _{экв,дБ} = 183,36 м																	Ф _{экв,дБ} = 183,36 м																	Ф _{экв,дБ} = 183,36 м																	Ф _{экв,дБ} = 183,36 м																	Ф _{экв,дБ} = 183,36 м																	Ф _{экв,дБ} = 183,36 м																	Ф _{экв,дБ} = 183,36 м																	Ф _{экв,дБ} = 183,36 м																	Ф _{экв,дБ} = 183,36 м																	Ф _{экв,дБ} = 183,36 м																	Ф _{экв,дБ} = 183,36 м																	Ф _{экв,дБ} = 183,36 м																	Ф _{экв,дБ} = 183,36 м																	Ф _{экв,дБ} = 183,36 м																	Ф _{экв,дБ} = 183,36 м																	Ф _{экв,дБ} = 183,36 м																	Ф _{экв,дБ} = 183,36 м																	Ф _{экв,дБ} = 183,36 м																	Ф _{экв,дБ} = 183,36 м																	Ф _{экв,дБ} = 183,36 м																	Ф _{экв,дБ} = 183,36 м																	Ф _{экв,дБ} = 183,36 м																	Ф _{экв,дБ} = 183,36 м																	Ф _{экв,дБ} = 183,36 м																	Ф _{экв,дБ} = 183,36 м																	Ф _{экв,дБ} = 183,36 м																	Ф _{экв,дБ} = 183,36 м																	Ф _{экв,дБ} = 183,36 м																	Ф _{экв,дБ} = 183,36 м																	Ф _{экв,дБ} = 183,36 м																	Ф _{экв,дБ} = 183,36 м																	Ф _{экв,дБ} = 183,36 м																	Ф _{экв,дБ} = 183,36 м																	Ф _{экв,дБ} = 183,36 м																	Ф _{экв,дБ} = 183,36 м																	Ф _{экв,дБ} = 183,36 м																	Ф _{экв,дБ} = 183,36 м																	Ф _{экв,дБ} = 183,36 м																	Ф _{экв,дБ} = 183,36 м																	Ф _{экв,дБ} = 183,36 м																	Ф _{экв,дБ} = 183,36 м																	Ф _{экв,дБ} = 183,36 м																	Ф _{экв,дБ} = 183,36 м																	Ф _{экв,дБ} = 183,36 м																	Ф _{экв,дБ} = 183,36 м																	Ф _{экв,дБ} = 183,36 м																	Ф _{экв,дБ} = 183,36 м																	Ф _{экв,дБ} = 183,36 м																	Ф _{экв,дБ} = 183,36 м																	Ф _{экв,дБ} = 183,36 м																	Ф _{экв,дБ} = 183,36 м																	Ф _{экв,дБ} = 183,36 м																	Ф _{экв,дБ} = 183,36 м																	Ф _{экв,дБ} = 183,36 м																	Ф _{экв,дБ} = 183,36 м																	Ф _{экв,дБ} = 183,36 м																	Ф _{экв,дБ} = 183,36 м																	Ф _{экв,дБ} = 183,36 м																	Ф _{экв,дБ} = 183,36 м																	Ф _{экв,дБ} = 183,36 м																	Ф _{экв,дБ} = 183,36 м																	Ф _{экв,дБ} = 183,36 м																	Ф _{экв,дБ} = 183,36 м																	Ф _{экв,дБ} = 183,36 м																	Ф _{экв,дБ} = 183,36 м																	Ф _{экв,дБ} = 183,36 м																	Ф _{экв,дБ} = 183,36 м																	Ф _{экв,дБ} = 183,36 м																	Ф _{экв,дБ} = 183,36 м																	Ф _{экв,дБ} = 183,36 м																	Ф _{экв,дБ} = 183,36 м																	Ф _{экв,дБ} = 183,36 м																	Ф _{экв,дБ} = 183,36 м																	Ф _{экв,дБ} = 183,36 м																	Ф _{экв,дБ} = 183,36 м																	Ф _{экв,дБ} = 183,36 м																	Ф _{экв,дБ} = 183,36 м																	Ф _{экв,дБ} = 183,36 м																	Ф _{экв,дБ} = 183,36 м																	Ф _{экв,дБ} = 183,36 м																	Ф _{экв,дБ} = 183,36 м																	Ф _{экв,дБ} = 183,36 м																	Ф _{экв,дБ} = 183,36 м																	Ф _{экв,дБ} = 183,36 м																	Ф _{экв,дБ} = 183,36 м																	Ф _{экв,дБ} = 183,36 м																	Ф _{экв,дБ} = 183,36 м																	Ф _{экв,дБ} = 183,36 м																	Ф _{экв,дБ} = 183,36 м																	Ф _{экв,дБ} = 183,36 м																	Ф _{экв,дБ} = 183,36 м																	Ф _{экв,дБ} = 183,36 м																	Ф _{экв,дБ} = 183,36 м																	Ф _{экв,дБ} = 183,36 м																	Ф _{экв,дБ} = 183,36 м																	Ф _{экв,дБ} = 183,36 м																	Ф _{экв,дБ} = 183,36 м																	Ф _{экв,дБ} = 183,36 м																	Ф _{экв,дБ} = 183,36 м																	Ф _{экв,дБ} = 183,36 м																	Ф _{экв,дБ} = 183,36 м																	Ф _{экв,дБ} = 183,36 м																	Ф _{экв,дБ} = 183,36 м																	Ф _{экв,дБ} = 183,36 м																	Ф _{экв,дБ} = 183,36 м																	Ф _{экв,дБ} = 183,36 м																	Ф _{экв,дБ} = 183,36 м																	Ф _{экв,дБ} = 183,36 м																	Ф _{экв,дБ} = 183,36 м																	Ф _{экв,дБ} = 183,36 м																	Ф _{экв,дБ} = 183,36 м																	Ф _{экв,дБ} =																

1			2			3	4	5	6	7	8	9	10	11	12	13
Уровни звуковой мощности источника ночью, Lw, dB			исходные данные			Ф-н (7) [10]			80,8							
Поправка на телесный угол Ω, дБ			Ω = 6,28			Ф-н (5) [9]			0,02			Ф-н (5) [9]			23,09 77,63	
Показатель направленности источника D1, dB			исходные данные			исходные данные										
Поправка на направленность источника Dc, dB			Dc			Dc + Di										
Затухание из-за геометрической дивергенции, Adiv, dB			расстояние = 3093,23 м			Ф-н (7) [10]										
Коэффициент затухания звука в атмосфере α, дБ/км			Tair=20,3°C Pair=10133,4Па hотн=720к			Ф-н (5) [9]			0,02			Ф-н (5) [9]			23,09 77,63	
Учет затухания звука в атмосфере Aatm, dB						Ф-н (8) [10]			0,1			Ф-н (8) [10]			28 71,5 240,6	
Снижение поверхности земли возле источника As, dB			Gs = 0 hs = 0,1м			Ф-н таб.3 [10]			-1,5			-1,5 -1,5 -1,5 -1,5 -1,5 -1,5				
Снижение поверхности земли возле приемника Ar, dB			Gr = 0 hr = 1,5м			Ф-н таб.3 [10]			-1,5			-1,5 -1,5 -1,5 -1,5 -1,5 -1,5				
Снижение поверхности земли в средней зоне, Atp, dB			Gm = 0			Ф-н таб.3 [10]			-3			-3 -3 -3 -3 -3 -3				
Суммарное снижение поверхности земли на траектории распространения звука Aδr, dB						Ф-н (9) [10]			-6			-6 -6 -6 -6 -6 -6				
Уровни звукового давления прямого звука от источника ИШ-40п, В1 Корпуса выпаривания и суши (КВИС) в расчётной точке днём, dB						Ф-н (9) [10]			0			0 0 0 0 0 0			0 0 0 0 0 0 0,6 0,6	
Уровни звукового давления прямого звука от источника ИШ-40п, В1 Корпуса выпаривания и суши (КВИС) в расчётной точке ночью, dB						Ф-н (9) [10]			0			0 0 0 0 0 0			0 0 0 0 0 0 0,6 0,6	
Расчёт отражённого звука																
Уровни звукового давления от минимого источника ИШ-40п, В1 Корпуса выпаривания и суши (КВИС), min(1) в расчётной точке днём, dB						Ф-н (9) [10]			0			0 0 0 0 0 0			0 0 0 0 0 0 0 0	
Уровни звукового давления от минимого источника ИШ-40п, В1 Корпуса выпаривания и суши (КВИС), min(1) в расчётной точке ночью, dB						Ф-н (9) [10]			0			0 0 0 0 0 0			0 0 0 0 0 0 0 0	
Уровни звукового давления от источника ИШ-40п, В1 Корпуса выпаривания и суши (КВИС) в расчётной точке днём, dB						Ф-н (9) [10]			0			0 0 0 0 0 0			0 0 0 0 0 0 0,6 0,6	
Уровни звукового давления от источника ИШ-40п, В1 Корпуса выпаривания и суши (КВИС) в расчётной точке ночью, dB						Ф-н (9) [10]			0			0 0 0 0 0 0			0 0 0 0 0 0 0,6 0,6	
Источники шума: ИШ-41п, В2 КВИС, координаты источника (х,у,z), м =[6720.35;4681.24;10.10]																
Уровни звуковой мощности источника днём, Lw, dB			исходные данные			исходные данные			0			77,8 84,8 82,8 82,8 78,8 72,8 65,8 59,8				
Уровни звуковой мощности источника ночью, Lw, dB			исходные данные			исходные данные			0			77,8 84,8 82,8 82,8 78,8 72,8 65,8 59,8				
Поправка на телесный угол Ω, дБ			Ω = 6,28			10lg(4/Ω)			3			3 3 3 3 3 3 3 3				
Показатель направленности источника D1, dB			исходные данные			исходные данные			0			0 0 0 0 0 0 0 0				
Поправка на направленность источника Dc, dB			Dc			Dc + Di			3			3 3 3 3 3 3 3 3				
Затухание из-за геометрической дивергенции, Adiv, dB			расстояние = 312,007 м			Ф-н (7) [10]			80,9							
Коэффициент затухания звука в атмосфере α, дБ/км			Tair=20,3°C Pair=10133,4Па hотн=720к			Ф-н (5) [9]			0,02			1,12 2,79 4,98 9,04 23,09 77,63				
Учет затухания звука в атмосфере Aatm, dB						Ф-н (8) [10]			0,1			3,5 8,7 15,5 28,2 72 242,2				
Снижение поверхности земли возле источника As, dB			Gs = 0 hs = 20,3м			Ф-н таб.3 [10]			-1,5			-1,5 -1,5 -1,5 -1,5 -1,5 -1,5				
Снижение поверхности земли возле приемника Ar, dB			Gr = 0 hr = 1,5м			Ф-н таб.3 [10]			-1,5			-1,5 -1,5 -1,5 -1,5 -1,5 -1,5				
Снижение поверхности земли в средней зоне, Atp, dB			Gm = 0			Ф-н таб.3 [10]			-2,7			-2,7 -2,7 -2,7 -2,7 -2,7 -2,7				
Суммарное снижение поверхности земли на траектории распространения звука Aδr, dB						Ф-н (9) [10]			-5,7			-5,7 -5,7 -5,7 -5,7 -5,7 -5,7				
Уровни звукового давления прямого звука от источника ИШ-41п, В2 КВИС в расчётной точке днём, dB						Ф-н (9) [10]			0			0 0 0 0 0 0			0 0 0 0 0 0 0,2 0,2	
Уровни звукового давления прямого звука от источника ИШ-41п, В2 КВИС в расчётной точке ночью, dB						Ф-н (9) [10]			0			0 0 0 0 0 0			0 0 0 0 0 0 0,2 0,2	
Расчёт отражённого звука																
Уровни звукового давления от минимого источника ИШ-41п, В2 КВИС, min(1) в расчётной точке днём, dB						Ф-н (9) [10]			0			0 0 0 0 0 0			0 0 0 0 0 0 0 0	
Уровни звукового давления от минимого источника ИШ-41п, В2 КВИС, min(1) в расчётной точке ночью, dB						Ф-н (9) [10]			0			0 0 0 0 0 0			0 0 0 0 0 0 0 0	
Уровни звукового давления от источника ИШ-41п, В2 КВИС в расчётной точке днём, dB						Ф-н (9) [10]			0			0 0 0 0 0 0			0 0 0 0 0 0 0,2 0,2	
Уровни звукового давления от источника ИШ-41п, В2 КВИС в расчётной точке ночью, dB						Ф-н (9) [10]			0			0 0 0 0 0 0			0 0 0 0 0 0 0,2 0,2	
Источники шума: ИШ-42п, П1 КВИС, координаты источника (х,у,z), м =[6715.76;467.86;5.65]																

1																	2																	3																	4																	5																	6																	7																	8																	9																	10																	11																	12																	13																																																																																																																																																																																																																																																																																																																																																																																																																																																																																																																																																																																																																																																																																																																																																																																																																																																																																																																																																																																																																																																																																																																																																																																																																																																																																																																																																																																																																																																																																																																																																																																																																																																																																																																																																																																																																																																																																																																																																																																																																																																																																																																																																																																																																																																																																																																																																																																																																																																																																																																																																																																																																																																																																																																																																																																																																																																																																																																																																																																																																																																																																																																																																																																																																																		
| | | | | | | | | | | | | | | | | | | | | | | | | | | | | | | | | | | | | | | | | | | | | | | | | | | | | | | | | | | | | | | | | | | | | | | | | | | | | | | | | | | | | | | | | | | | | | | | | | | | | | | | | | | | | | | | | | | | | | | | | | | | | | | | | | | | | | | | | | | | | | | | | | | | | | | | | | | | | | | | | | | | | | | | | | | | | | | | | | | | | | | | | | | | | | | | | | | | | | | | | | | | | | | | | | | | | | | | | | | | | | | | | | | | | | | | | | | | | | | | | | | | | | | | | | | | | | | | | | | | | | | | | | | | | | | | | | | | | | | | | | | | | | | | | | | | | | | | | | | | | | | | | | | | | | | | | | | | | | | | | | | | | | | | | | | | | | | | | | | | | | | | | | | | | | | | | | | | | | | | | | | | | | | | | | | | | | | | | | | | | | | | | | | | | | | | | | | | | | | | | | | | | | | | | | | | | | | | | | | | | | | | | | | | | | |
|--|--|--|--|--|--|--|--|--|--|--|--|--|--|--|--|--|---|--|--|--|--|--|--|--|--|--|--|--|--|--|--|--|--|---|--|--|--|--|--|--|--|--|--|--|--|--|--|--|--|--|---|-----------------|--|--|--|--|--|--|--|--|--|--|--|--|--|--|--|---|--|--|--|--|--|--|--|--|--|--|--|--|--|--|--|--|---|--|--|--|--|--|--|--|--|--|--|--|--|--|--|--|--|---|--|-----------|--|--|--|--|--|--|--|--|--|--|--|--|--|--|---|--|--|--|--|--|--|--|--|--|--|--|--|--|--|--|--|---|--|--|--|--|--|--|--|--|--|--|--|--|--|--|--|--|----|--|--|------|--|--|--|--|--|--|--|--|--|--|--|--|--|----|--|--|--|--|--|--|--|--|--|--|--|--|--|--|--|--|----|--|--|--|--|--|--|--|--|--|--|--|--|--|--|--|--|----|--|--|--|-------|--|--|--|--|--|--|--|--|--|--|--|--|--|--|--|--|--|--|--|--|--|--|--|--|--|--|--|--|--|--|--|--|--|--|--|--|--|--|--|--|--|--|--|--|--|--|--|--|--|--|--|-------|--|--|--|--|--|--|--|--|--|--|--|--|--|--|--|--|--|--|--|--|--|--|--|--|--|--|--|--|--|--|--|--|--|--|--|--|--|--|--|--|--|--|--|--|--|--|--|--|--|--|--|-------|--|--|--|--|--|--|--|--|--|--|--|--|--|--|--|--|--|--|--|--|--|--|--|--|--|--|--|--|--|--|--|--|--|--|--|--|--|--|--|--|--|--|--|--|--|--|--|--|--|--|--|-------|--|--|--|--|--|--|--|--|--|--|--|--|--|--|--|--|--|--|--|--|--|--|--|--|--|--|--|--|--|--|--|--|--|--|--|--|--|--|--|--|--|--|--|--|--|--|--|--|--|--|--|-------|--|--|--|--|--|--|--|--|--|--|--|--|--|--|--|--|--|--|--|--|--|--|--|--|--|--|--|--|--|--|--|--|--|--|--|--|--|--|--|--|--|--|--|--|--|--|--|--|--|--|--|-------|--|--|--|--|--|--|--|--|--|--|--|--|--|--|--|--|--|--|--|--|--|--|--|--|--|--|--|--|--|--|--|--|--|--|--|--|--|--|--|--|--|--|--|--|--|--|--|--|--|--|--|-------|--|--|--|--|--|--|--|--|--|--|--|--|--|--|--|--|--|--|--|--|--|--|--|--|--|--|--|--|--|--|--|--|--|--|--|--|--|--|--|--|--|--|--|--|--|--|--|--|--|--|--|---|--|--|--|--|--|--|--|--|--|--|--|--|--|--|--|--|--|--|--|--|--|--|--|--|--|--|--|--|--|--|--|--|--|--|--|--|--|--|--|--|--|--|--|--|--|--|--|--|--|--|--|---|--|--|--|--|--|--|--|--|--|--|--|--|--|--|--|--|--|--|--|--|--|--|--|--|--|--|--|--|--|--|--|--|--|--|--|--|--|--|--|--|--|--|--|--|--|--|--|--|--|--|--|---|--|--|--|--|--|--|--|--|--|--|--|--|--|--|--|--|--|--|--|--|--|--|--|--|--|--|--|--|--|--|--|--|--|--|--|--|--|--|--|--|--|--|--|--|--|--|--|--|--|--|--|---|--|--|--|--|--|--|--|--|--|--|--|--|--|--|--|--|--|--|--|--|--|--|--|--|--|--|--|--|--|--|--|--|--|--|--|--|--|--|--|--|--|--|--|--|--|--|--|--|--|--|--|---|--|--|--|--|--|--|--|--|--|--|--|--|--|--|--|--|--|--|--|--|--|--|--|--|--|--|--|--|--|--|--|--|--|--|--|--|--|--|--|--|--|--|--|--|--|--|--|--|--|--|--|---|--|--|--|--|--|--|--|--|--|--|--|--|--|--|--|--|--|--|--|--|--|--|--|--|--|--|--|--|--|--|--|--|--|--|--|--|--|--|--|--|--|--|--|--|--|--|--|--|--|--|--|---|--|--|--|--|--|--|--|--|--|--|--|--|--|--|--|--|--|--|--|--|--|--|--|--|--|--|--|--|--|--|--|--|--|--|--|--|--|--|--|--|--|--|--|--|--|--|--|--|--|--|--|---|--|--|--|--|--|--|--|--|--|--|--|--|--|--|--|--|--|--|--|--|--|--|--|--|--|--|--|--|--|--|--|--|--|--|--|--|--|--|--|--|--|--|--|--|--|--|--|--|--|--|--|---|--|--|--|--|--|--|--|--|--|--|--|--|--|--|--|--|--|--|--|--|--|--|--|--|--|--|--|--|--|--|--|--|--|--|--|--|--|--|--|--|--|--|--|--|--|--|--|--|--|--|--|---|--|--|--|--|--|--|--|--|--|--|--|--|--|--|--|--|--|--|--|--|--|--|--|--|--|--|--|--|--|--|--|--|--|--|--|--|--|--|--|--|--|--|--|--|--|--|--|--|--|--|--|---|--|--|--|--|--|--|--|--|--|--|--|--|--|--|--|--|--|--|--|--|--|--|--|--|--|--|--|--|--|--|--|--|--|--|--|--|--|--|--|--|--|--|--|--|--|--|--|--|--|--|--|---|--|--|--|--|--|--|--|--|--|--|--|--|--|--|--|--|--|--|--|--|--|--|--|--|--|--|--|--|--|--|--|--|--|--|--|--|--|--|--|--|--|--|--|--|--|--|--|--|--|--|--|---|--|--|--|--|--|--|--|--|--|--|--|--|--|--|--|--|--|--|--|--|--|--|--|--|--|--|--|--|--|--|--|--|--|--|--|--|--|--|--|--|--|--|--|--|--|--|--|--|--|--|--|---|--|--|--|--|--|--|--|--|--|--|--|--|--|--|--|--|--|--|--|--|--|--|--|--|--|--|--|--|--|--|--|--|--|--|--|--|--|--|--|--|--|--|--|--|--|--|--|--|--|--|--|---|--|--|--|--|--|--|--|--|--|--|--|--|--|--|--|--|--|--|--|--|--|--|--|--|--|--|--|--|--|--|--|--|--|--|--|--|--|--|--|--|--|--|--|--|--|--|--|--|--|--|--|---|--|--|--|--|--|--|--|--|--|--|--|--|--|--|--|--|--|--|--|--|--|--|--|--|--|--|--|--|--|--|--|--|--|--|--|--|--|--|--|--|--|--|--|--|--|--|--|--|--|--|--|---|--|--|--|--|--|--|--|--|--|--|--|--|--|--|--|--|--|--|--|--|--|--|--|--|--|--|--|--|--|--|--|--|--|--|--|--|--|--|--|--|--|--|--|--|--|--|--|--|--|--|--|---|--|--|--|--|--|--|--|--|--|--|--|--|--|--|--|--|--|--|--|--|--|--|--|--|--|--|--|--|--|--|--|--|--|--|--|--|--|--|--|--|--|--|--|--|--|--|--|--|--|--|--|---|--|--|--|--|--|--|--|--|--|--|--|--|--|--|--|--|--|--|--|--|--|--|--|--|--|--|--|--|--|--|--|--|--|--|--|--|--|--|--|--|--|--|--|--|--|--|--|--|--|--|--|---|--|--|--|--|--|--|--|--|--|--|--|--|--|--|--|--|--|--|--|--|--|--|--|--|--|--|--|--|--|--|--|--|--|--|--|--|--|--|--|--|--|--|--|--|--|--|--|--|--|--|--|---|--|--|--|--|--|--|--|--|--|--|--|--|--|--|--|--|--|--|--|--|--|--|--|--|--|--|--|--|--|--|--|--|--|--|--|--|--|--|--|--|--|--|--|--|--|--|--|--|--|--|--|---|--|--|--|--|--|--|--|--|--|--|--|--|--|--|--|--|--|--|--|--|--|--|--|--|--|--|--|--|--|--|--|--|--|--|--|--|--|--|--|--|--|--|--|--|--|--|--|--|--|--|--|---|--|--|--|--|--|--|--|--|--|--|--|--|--|--|--|--|--|--|--|--|--|--|--|--|--|--|--|--|--|--|--|--|--|--|--|--|--|--|--|--|--|--|--|--|--|--|--|--|--|--|--|---|--|--|--|--|--|--|--|--|--|--|--|--|--|--|--|--|--|--|--|--|--|--|--|--|--|--|--|--|--|--|--|--|--|--|--|--|--|--|--|--|--|--|--|--|--|--|--|--|--|--|--|---|--|--|--|--|--|--|--|--|--|--|--|--|--|--|--|--|--|--|--|--|--|--|--|--|--|--|--|--|--|--|--|--|--|--|--|--|--|--|--|--|--|--|--|--|--|--|--|--|--|--|--|---|--|--|--|--|--|--|--|--|--|--|--|--|--|--|--|--|--|--|--|--|--|--|--|--|--|--|--|--|--|--|--|--|--|--|--|--|--|--|--|--|--|--|--|--|--|--|--|--|--|--|--|---|--|--|--|--|--|--|--|--|--|--|--|--|--|--|--|--|--|--|--|--|--|--|--|--|--|--|--|--|--|--|--|--|--|--|--|--|--|--|--|--|--|--|--|--|--|--|--|--|--|--|--|---|--|--|--|--|--|--|--|--|--|--|--|--|--|--|--|--|--|--|--|--|--|--|--|--|--|--|--|--|--|--|--|--|--|--|--|--|--|--|--|--|--|--|--|--|--|--|--|--|--|--|--|---|--|--|--|--|--|--|--|--|--|--|--|--|--|--|--|--|--|--|--|--|--|--|--|--|--|--|--|--|--|--|--|--|--|--|--|--|--|--|--|--|--|--|--|--|--|--|--|--|--|--|--|---|--|--|--|--|--|--|--|--|--|--|--|--|--|--|--|--|--|--|--|--|--|--|--|--|--|--|--|--|--|--|--|--|--|--|--|--|--|--|--|--|--|--|--|--|--|--|--|--|--|--|--|---|--|--|--|--|--|--|--|--|--|--|--|--|--|--|--|--|--|--|--|--|--|--|--|--|--|--|--|--|--|--|--|--|--|--|--|--|--|--|--|--|--|--|--|--|--|--|--|--|--|--|--|---|--|--|--|--|--|--|--|--|--|--|--|--|--|--|--|--|--|--|--|--|--|--|--|--|--|--|--|--|--|--|--|--|--|--|--|--|--|--|--|--|--|--|--|--|--|--|--|--|--|--|--|---|--|--|--|--|--|--|--|--|--|--|--|--|--|--|--|--|--|--|--|--|--|--|--|--|--|--|--|--|--|--|--|--|--|--|--|--|--|--|--|--|--|--|--|--|--|--|--|--|--|--|--|---|--|--|--|--|--|--|--|--|--|--|--|--|--|--|--|--|--|--|--|--|--|--|--|--|--|--|--|--|--|--|--|--|--|--|--|--|--|--|--|--|--|--|--|--|--|--|--|--|--|--|--|---|--|--|--|--|--|--|--|--|--|--|--|--|--|--|--|--|--|--|--|--|--|--|--|--|--|--|--|--|--|--|--|--|--|--|--|--|--|--|--|--|--|--|--|--|--|--|--|--|--|--|--|---|--|--|--|--|--|--|--|--|--|--|--|--|--|--|--|--|--|--|--|--|--|--|--|--|--|--|--|--|--|--|--|--|--|--|--|--|--|--|--|--|--|--|--|--|--|--|--|--|--|--|--|---|--|--|--|--|--|--|--|--|--|--|--|--|--|--|--|--|--|--|--|--|--|--|--|--|--|--|--|--|--|--|--|--|--|--|--|--|--|--|--|--|--|--|--|--|--|--|--|--|--|--|--|---|--|--|--|--|--|--|--|--|--|--|--|--|--|--|--|--|--|--|--|--|--|--|--|--|--|--|--|--|--|--|--|--|--|--|--|--|--|--|--|--|--|--|--|--|--|--|--|--|--|--|--|---|--|--|--|--|--|--|--|--|--|--|--|--|--|--|--|--|--|--|--|--|--|--|--|--|--|--|--|--|--|--|--|--|--|--|--|--|--|--|--|--|--|--|--|--|--|--|--|--|--|--|--|---|--|--|--|--|--|--|--|--|--|--|--|--|--|--|--|--|--|--|--|--|--|--|--|--|--|--|--|--|--|--|--|--|--|--|--|--|--|--|--|--|--|--|--|--|--|--|--|--|--|--|--|---|--|--|--|--|--|--|--|--|--|--|--|--|--|--|--|--|--|--|--|--|--|--|--|--|--|--|--|--|--|--|--|--|--|--|--|--|--|--|--|--|--|--|--|--|--|--|--|--|--|--|--|---|--|--|--|--|--|--|--|--|--|--|--|--|--|--|--|--|--|--|--|--|--|--|--|--|--|--|--|--|--|--|--|--|--|--|--|--|--|--|--|--|--|--|--|--|--|--|--|--|--|--|--|---|--|--|--|--|--|--|--|--|--|--|--|--|--|--|--|--|--|--|--|--|--|--|--|--|--|--|--|--|--|--|--|--|--|--|--|--|--|--|--|--|--|--|--|--|--|--|--|--|--|--|--|---|--|--|--|--|--|--|--|--|--|--|--|--|--|--|--|--|--|--|--|--|--|--|--|--|--|--|--|--|--|--|--|--|--|--|--|--|--|--|--|--|--|--|--|--|--|--|--|--|--|--|--|---|--|--|--|--|--|--|--|--|--|--|--|--|--|--|--|--|--|--|--|--|--|--|--|--|--|--|--|--|--|--|--|--|--|--|--|--|--|--|--|--|--|--|--|--|--|--|--|--|--|--|--|---|--|--|--|--|--|--|--|--|--|--|--|--|--|--|--|--|--|--|--|--|--|--|--|--|--|--|--|--|--|--|--|--|--|--|--|--|--|--|--|--|--|--|--|--|--|--|--|--|--|--|--|---|--|--|--|--|--|--|--|--|--|--|--|--|--|--|--|--|--|--|--|--|--|--|--|--|--|--|--|--|--|--|--|--|--|--|--|--|--|--|--|--|--|--|--|--|--|--|--|--|--|--|--|---|--|--|--|--|--|--|--|--|--|--|--|--|--|--|--|--|--|--|--|--|--|--|--|--|--|--|--|--|--|--|--|--|--|--|--|--|--|--|--|--|--|--|--|--|--|--|--|--|--|--|--|---|--|--|--|--|--|--|--|--|--|--|--|--|--|--|--|--|--|--|--|--|--|--|--|--|--|--|--|--|--|--|--|--|--|--|--|--|--|--|--|--|--|--|--|--|--|--|--|--|--|--|--|---|--|--|--|--|--|--|--|--|--|--|--|--|--|--|--|--|--|--|--|--|--|--|--|--|--|--|--|--|--|--|--|--|--|--|--|--|--|--|--|--|--|--|--|--|--|--|--|--|--|--|--|---|--|--|--|--|--|--|--|--|--|--|--|--|--|--|--|--|--|--|--|--|--|--|--|--|--|--|--|--|--|--|--|--|--|--|--|--|--|--|--|--|--|--|--|--|--|--|--|--|--|--|--|---|--|--|--|--|--|--|--|--|--|--|--|--|--|--|--|--|--|--|--|--|--|--|--|--|--|--|--|--|--|--|--|--|--|--|--|--|--|--|--|--|--|--|--|--|--|--|--|--
--	--	--	---	--	--	--	--	--	--	--	--	--	--	--	--	--	--	--	--	--	--	--	--	--	--	--	--	--	--	--	--	--	--	--	--	--	--	--	--	--	--	--	--	--	--	--	--	--	--	--	--	--	--	--	---	--	--	--	--	--	--	--	--	--	--	--	--	--	--	--	--	--	--	--	--	--	--	--	--	--	--	--	--	--	--	--	--	--	--	--	--	--	--	--	--	--	--	--	--	--	--	--	--	--	--	--	---	--	--	--	--	--	--	--	--	--	--	--	--	--	--	--	--	--	--	--	--	--	--	--	--	--	--	--	--	--	--	--	--	--	--	--	--	--	--	--	--	--	--	--	--	--	--	--	--	--	--	--	---	--	--	--	--	--	--	--	--	--	--	--	--	--	--	--	--	--	--	--	--	--	--	--	--	--	--	--	--	--	--	--	--	--	--	--	--	--	--	--	--	--	--	--	--	--	--	--	--	--	--	--	---	--	--	--	--	--	--	--	--	--	--	--	--	--	--	--	--	--	--	--	--	--	--	--	--	--	--	--	--	--	--	--	--	--	--	--	--	--	--	--	--	--	--	--	--	--	--	--	--	--	--	--	---	--	--	--	--	--	--	--	--	--	--	--	--	--	--	--	--	--	--	--	--	--	--	--	--	--	--	--	--	--	--	--	--	--	--	--	--	--	--	--	--	--	--	--	--	--	--	--	--	--	--	--	---	--	--	--	--	--	--	--	--	--	--	--	--	--	--	--	--	--	--	--	--	--	--	--	--	--	--	--	--	--	--	--	--	--	--	--	--	--	--	--	--	--	--	--	--	--	--	--	--	--	--	--	---	--	--	--	--	--	--	--	--	--	--	--	--	--	--	--	--	--	--	--	--	--	--	--	--	--	--	--	--	--	--	--	--	--	--	--	--	--	--	--	--	--	--	--	--	--	--	--	--	--	--	--	---	--	--	--	--	--	--	--	--	--	--	--	--	--	--	--	--	--	--	--	--	--	--	--	--	--	--	--	--	--	--	--	--	--	--	--	--	--	--	--	--	--	--	--	--	--	--	--	--	--	--	--	---	--	--	--	--	--	--	--	--	--	--	--	--	--	--	--	--	--	--	--	--	--	--	--	--	--	--	--	--	--	--	--	--	--	--	--	--	--	--	--	--	--	--	--	--	--	--	--	--	--	--	--	---	--	--	--	--	--	--	--	--	--	--	--	--	--	--	--	--	--	--	--	--	--	--	--	--	--	--	--	--	--	--	--	--	--	--	--	--	--	--	--	--	--	--	--	--	--	--	--	--	--	--	--	---	--	--	--	--	--	--	--	--	--	--	--	--	--	--	--	--	--	--	--	--	--	--	--	--	--	--	--	--	--	--	--	--	--	--	--	--	--	--	--	--	--	--	--	--	--	--	--	--	--	--	--	---	--	--	--	--	--	--	--	--	--	--	--	--	--	--	--	--	--	--	--	--	--	--	--	--	--	--	--	--	--	--	--	--	--	--	--	--	--	--	--	--	--	--	--	--	--	--	--	--	--	--	--	---	--	--	--	--	--	--	--	--	--	--	--	--	--	--	--	--	--	--	--	--	--	--	--	--	--	--	--	--	--	--	--	--	--	--	--	--	--	--	--	--	--	--	--	--	--	--	--	--	--	--	--	---	--	--	--	--	--	--	--	--	--	--	--	--	--	--	--	--	--	--	--	--	--	--	--	--	--	--	--	--	--	--	--	--	--	--	--	--	--	--	--	--	--	--	--	--	--	--	--	--	--	--	--	---	--	--	--	--	--	--	--	--	--	--	--	--	--	--	--	--	--	--	--	--	--	--	--	--	--	--	--	--	--	--	--	--	--	--	--	--	--	--	--	--	--	--	--	--	--	--	--	--	--	--	--	---	--	--	--	--	--	--	--	--	--	--	--	--	--	--	--	--	--	--	--	--	--	--	--	--	--	--	--	--	--	--	--	--	--	--	--	--	--	--	--	--	--	--	--	--	--	--	--	--	--	--	--	---	--	--	--	--	--	--	--	--	--	--	--	--	--	--	--	--	--	--	--	--	--	--	--	--	--	--	--	--	--	--	--	--	--	--	--	--	--	--	--	--	--	--	--	--	--	--	--	--	--	--	--	---	--	--	--	--	--	--	--	--	--	--	--	--	--	--	--	--	--	--	--	--	--	--	--	--	--	--	--	--	--	--	--	--	--	--	--	--	--	--	--	--	--	--	--	--	--	--	--	--	--	--	--	---	--	--	--	--	--	--	--	--	--	--	--	--	--	--	--	--	--	--	--	--	--	--	--	--	--	--	--	--	--	--	--	--	--	--	--	--	--	--	--	--	--	--	--	--	--	--	--	--	--	--	--	---	--	--	--	--	--	--	--	--	--	--	--	--	--	--	--	--	--	--	--	--	--	--	--	--	--	--	--	--	--	--	--	--	--	--	--	--	--	--	--	--	--	--	--	--	--	--	--	--	--	--	--	---	--	--	--	--	--	--	--	--	--	--	--	--	--	--	--	--	--	--	--	--	--	--	--	--	--	--	--	--	--	--	--	--	--	--	--	--	--	--	--	--	--	--	--	--	--	--	--	--	--	--	--	---	--	--	--	--	--	--	--	--	--	--	--	--	--	--	--	--	--	--	--	--	--	--	--	--	--	--	--	--	--	--	--	--	--	--	--	--	--	--	--	--	--	--	--	--	--	--	--	--	--	--	--	---	--	--	--	--	--	--	--	--	--	--	--	--	--	--	--	--	--	--	--	--	--	--	--	--	--	--	--	--	--	--	--	--	--	--	--	--	--	--	--	--	--	--	--	--	--	--	--	--	--	--	--	---	--	--	--	--	--	--	--	--	--	--	--	--	--	--	--	--	--	--	--	--	--	--	--	--	--	--	--	--	--	--	--	--	--	--	--	--	--	--	--	--	--	--	--	--	--	--	--	--	--	--	--	---	--	--	--	--	--	--	--	--	--	--	--	--	--	--	--	--	--	--	--	--	--	--	--	--	--	--	--	--	--	--	--	--	--	--	--	--	--	--	--	--	--	--	--	--	--	--	--	--	--	--	--	---	--	--	--	--	--	--	--	--	--	--	--	--	--	--	--	--	--	--	--	--	--	--	--	--	--	--	--	--	--	--	--	--	--	--	--	--	--	--	--	--	--	--	--	--	--	--	--	--	--	--	--	---	--	--	--	--	--	--	--	--	--	--	--	--	--	--	--	--	--	--	--	--	--	--	--	--	--	--	--	--	--	--	--	--	--	--	--	--	--	--	--	--	--	--	--	--	--	--	--	--	--	--	--	---	--	--	--	--	--	--	--	--	--	--	--	--	--	--	--	--	--	--	--	--	--	--	--	--	--	--	--	--	--	--	--	--	--	--	--	--	--	--	--	--	--	--	--	--	--	--	--	--	--	--	--	---	--	--	--	--	--	--	--	--	--	--	--	--	--	--	--	--	--	--	--	--	--	--	--	--	--	--	--	--	--	--	--	--	--	--	--	--	--	--	--	--	--	--	--	--	--	--	--	--	--	--	--	---	--	--	--	--	--	--	--	--	--	--	--	--	--	--	--	--	--	--	--	--	--	--	--	--	--	--	--	--	--	--	--	--	--	--	--	--	--	--	--	--	--	--	--	--	--	--	--	--	--	--	--	---	--	--	--	--	--	--	--	--	--	--	--	--	--	--	--	--	--	--	--	--	--	--	--	--	--	--	--	--	--	--	--	--	--	--	--	--	--	--	--	--	--	--	--	--	--	--	--	--	--	--	--	---	--	--	--	--	--	--	--	--	--	--	--	--	--	--	--	--	--	--	--	--	--	--	--	--	--	--	--	--	--	--	--	--	--	--	--	--	--	--	--	--	--	--	--	--	--	--	--	--	--	--	--	---	--	--	--	--	--	--	--	--	--	--	--	--	--	--	--	--	--	--	--	--	--	--	--	--	--	--	--	--	--	--	--	--	--	--	--	--	--	--	--	--	--	--	--	--	--	--	--	--	--	--	--	---	--	--	--	--	--	--	--	--	--	--	--	--	--	--	--	--	--	--	--	--	--	--	--	--	--	--	--	--	--	--	--	--	--	--	--	--	--	--	--	--	--	--	--	--	--	--	--	--	--	--	--	---	--	--	--	--	--	--	--	--	--	--	--	--	--	--	--	--	--	--	--	--	--	--	--	--	--	--	--	--	--	--	--	--	--	--	--	--	--	--	--	--	--	--	--	--	--	--	--	--	--	--	--	---	--	--	--	--	--	--	--	--	--	--	--	--	--	--	--	--	--	--	--	--	--	--	--	--	--	--	--	--	--	--	--	--	--	--	--	--	--	--	--	--	--	--	--	--	--	--	--	--	--	--	--	---	--	--	--	--	--	--	--	--	--	--	--	--	--	--	--	--	--	--	--	--	--	--	--	--	--	--	--	--	--	--	--	--	--	--	--	--	--	--	--	--	--	--	--	--	--	--	--	--	--	--	--	---	--	--	--	--	--	--	--	--	--	--	--	--	--	--	--	--	--	--	--	--	--	--	--	--	--	--	--	--	--	--	--	--	--	--	--	--	--	--	--	--	--	--	--	--	--	--	--	--	--	--	--	---	--	--	--	--	--	--	--	--	--	--	--	--	--	--	--	--	--	--	--	--	--	--	--	--	--	--	--	--	--	--	--	--	--	--	--	--	--	--	--	--	--	--	--	--	--	--	--	--	--	--	--	---	--	--	--	--	--	--	--	--	--	--	--	--	--	--	--	--	--	--	--	--	--	--	--	--	--	--	--	--	--	--	--	--	--	--	--	--	--	--	--	--	--	--	--	--	--	--	--	--	--	--	--	---	--	--	--	--	--	--	--	--	--	--	--	--	--	--	--	--	--	--	--	--	--	--	--	--	--	--	--	--	--	--	--	--	--	--	--	--	--	--	--	--	--	--	--	--	--	--	--	--	--	--	--	---	--	--	--	--	--	--	--	--	--	--	--	--	--	--	--	--	--	--	--	--	--	--	--	--	--	--	--	--	--	--	--	--	--	--	--	--	--	--	--	--	--	--	--	--	--	--	--	--	--	--	--	---	--	--	--	--	--	--	--	--	--	--	--	--	--	--	--	--	--	--	--	--	--	--	--	--	--	--	--	--	--	--	--	--	--	--	--	--	--	--	--	--	--	--	--	--	--	--	--	--	--	--	--	---	--	--	--	--	--	--	--	--	--	--	--	--	--	--	--	--	--	--	--	--	--	--	--	--	--	--	--	--	--	--	--	--	--	--	--	--	--	--	--	--	--	--	--	--	--	--	--	--	--	--	--	---	--	--	--	--	--	--	--	--	--	--	--	--	--	--	--	--	--	--	--	--	--	--	--	--	--	--	--	--	--	--	--	--	--	--	--	--	--	--	--	--	--	--	--	--	--	--	--	--	--	--	--	---	--	--	--	--	--	--	--	--	--	--	--	--	--	--	--	--	--	--	--	--	--	--	--	--	--	--	--	--	--	--	--	--	--	--	--	--	--	--	--	--	--	--	--	--	--	--	--	--	--	--	--	---	--	--	--	--	--	--	--	--	--	--	--	--	--	--	--	--	--	--	--	--	--	--	--	--	--	--	--	--	--	--	--	--	--	--	--	--	--	--	--	--	--	--	--	--	--	--	--	--	--	--	--	---	--	--	--	--	--	--	--	--	--	--	--	--	--	--	--	--	--	--	--	--	--	--	--	--	--	--	--	--	--	--	--	--	--	--	--	--	--	--	--	--	--	--	--	--	--	--	--	--	--	--	--	---	--	--	--	--	--	--	--	--	--	--	--	--	--	--	--	--	--	--	--	--	--	--	--	--	--	--	--	--	--	--	--	--	--	--	--	--	--	--	--	--	--	--	--	--	--	--	--	--	--	--	--	---	--	--	--	--	--	--	--	--	--	--	--	--	--	--	--	--	--	--	--	--	--	--	--	--	--	--	--	--	--	--	--	--	--	--	--	--	--	--	--	--	--	--	--	--	--	--	--	--	--	--	--	---	--	--	--	--	--	--	--	--	--	--	--	--	--	--	--	--	--	--	--	--	--	--	--	--	--	--	--	--	--	--	--	--	--	--	--	--	--	--	--	--	--	--	--	--	--	--	--	--	--	--	--	---	--	--	--	--	--	--	--	--	--	--	--	--	--	--	--	--	--	--	--	--	--	--	--	--	--	--	--	--	--	--	--	--	--	--	--	--	--	--	--	--	--	--	--	--	--	--	--	--	--	--	--	---	--	--	--	--	--	--	--	--	--	--	--	--	--	--	--	--	--	--	--	--	--	--	--	--	--	--	--	--	--	--	--	--	--	--	--	--	--	--	--	--	--	--	--	--	--	--	--	--	--	--	--	---	--	--	--	--	--	--	--	--	--	--	--	--	--	--	--	--	--	--	--	--	--	--	--	--	--	--	--	--	--	--	--	--	--	--	--	--	--	--	--	--	--	--	--	--	--	--	--	--	--	--	--	---	--	--	--	--	--	--	--	--	--	--	--	--	--	--	--	--	--	--	--	--	--	--	--	--	--	--	--	--	--	--	--	--	--	--	--	--	--	--	--	--	--	--	--	--	--	--	--	--	--	--	--	---	--	--	--	--	--	--	--	--	--	--	--	--	--	--	--	--	--	--	--	--	--	--	--	--	--	--	--	--	--	--	--	--	--	--	--	--	--	--	--	--	--	--	--	--	--	--	--	--	--	--	--	---	--	--	--	--	--	--	--	--	--	--	--	--	--	--	--	--	--	--	--	--	--	--	--	--	--	--	--	--	--	--	--	--	--	--	--	--	--	--	--	--	--	--	--	--	--	--	--	--	--	--	--	---	--	--	--	--	--	--	--	--	--	--	--	--	--	--	--	--	--	--	--	--	--	--	--	--	--	--	--	--	--	--	--	--	--	--	--	--	--	--	--	--	--	--	--	--	--	--	--	--	--	--	--	---	--	--	--	--	--	--	--	--	--	--	--	--	--	--	--	--	--	--	--	--	--	--	--	--	--	--	--	--	--	--	--	--	--	--	--	--	--	--	--	--	--	--	--	--	--	--	--	--	--	--	--	---	--	--	--	--	--	--	--	--	--	--	--	--	--	--	--	--	--	--	--	--	--	--	--	--	--	--	--	--	--	--	--	--	--	--	--	--	--	--	--	--	--	--	--	--	--	--	--	--	--	--	--	---	--	--	--	--	--	--	--	--	--	--	--	--	--	--	--	--	--	--	--	--	--	--	--	--	--	--	--	--	--	--	--	--	--	--	--	--	--	--	--	--	--	--	--	--	--	--	--	--	--	--	--	---	--	--	--	--	--	--	--	--	--	--	--	--	--	--	--	--	--	--	--	--	--	--	--	--	--	--	--	--	--	--	--	--	--	--	--	--	--	--	--	--	--	--	--	--	--	--	--	--	--	--	--	---	--	--	--	--	--	--	--	--	--	--	--	--	--	--	--	--	--	--	--	--	--	--	--	--	--	--	--	--	--	--	--	--
--	--	--	--	--	--	--	--	--	--	--	--	--	--	--	--	--	--	--	--	--	--	--	--	--	--	--	--	--	--	--	--	--	--	--	---	--	--	--	--	--	--	--	--	--	--	--	--	--	--	--	--	--	--	--	--	--	--	--	--	--	--	--	--	--	--	--	--	--	--	--	--	--	--	--	--	--	--	--	--	--	--	--	--	--	--	--	---	--	--	--	--	--	--	--	--	--	--	--	--	--	--	--	--	--	--	--	--	--	--	--	--	--	--	--	--	--	--	--	--	--	--	--	--	--	--	--	--	--	--	--	--	--	--	--	--	--	--	--	---	--	--	--	--	--	--	--	--	--	--	--	--	--	--	--	--	--	--	--	--	--	--	--	--	--	--	--	--	--	--	--	--	--	--	--	--	--	--	--	--	--	--	--	--	--	--	--	--	--	--	--	---	--	--	--	--	--	--	--	--	--	--	--	--	--	--	--	--	--	--	--	--	--	--	--	--	--	--	--	--	--	--	--	--	--	--	--	--	--	--	--	--	--	--	--	--	--	--	--	--	--	--	--	---	--	--	--	--	--	--	--	--	--	--	--	--	--	--	--	--	--	--	--	--	--	--	--	--	--	--	--	--	--	--	--	--	--	--	--	--	--	--	--	--	--	--	--	--	--	--	--	--	--	--	--	---	--	--	--	--	--	--	--	--	--	--	--	--	--	--	--	--	--	--	--	--	--	--	--	--	--	--	--	--	--	--	--	--	--	--	--	--	--	--	--	--	--	--	--	--	--	--	--	--	--	--	--	---	--	--	--	--	--	--	--	--	--	--	--	--	--	--	--	--	--	--	--	--	--	--	--	--	--	--	--	--	--	--	--	--	--	--	--	--	--	--	--	--	--	--	--	--	--	--	--	--	--	--	--	---	--	--	--	--	--	--	--	--	--	--	--	--	--	--	--	--	--	--	--	--	--	--	--	--	--	--	--	--	--	--	--	--	--	--	--	--	--	--	--	--	--	--	--	--	--	--	--	--	--	--	--	---	--	--	--	--	--	--	--	--	--	--	--	--	--	--	--	--	--	--	--	--	--	--	--	--	--	--	--	--	--	--	--	--	--	--	--	--	--	--	--	--	--	--	--	--	--	--	--	--	--	--	--	---	--	--	--	--	--	--	--	--	--	--	--	--	--	--	--	--	--	--	--	--	--	--	--	--	--	--	--	--	--	--	--	--	--	--	--	--	--	--	--	--	--	--	--	--	--	--	--	--	--	--	--	---	--	--	--	--	--	--	--	--	--	--	--	--	--	--	--	--	--	--	--	--	--	--	--	--	--	--	--	--	--	--	--	--	--	--	--	--	--	--	--	--	--	--	--	--	--	--	--	--	--	--	--	---	--	--	--	--	--	--	--	--	--	--	--	--	--	--	--	--	--	--	--	--	--	--	--	--	--	--	--	--	--	--	--	--	--	--	--	--	--	--	--	--	--	--	--	--	--	--	--	--	--	--	--	---	--	--	--	--	--	--	--	--	--	--	--	--	--	--	--	--	--	--	--	--	--	--	--	--	--	--	--	--	--	--	--	--	--	--	--	--	--	--	--	--	--	--	--	--	--	--	--	--	--	--	--	---	--	--	--	--	--	--	--	--	--	--	--	--	--	--	--	--	--	--	--	--	--	--	--	--	--	--	--	--	--	--	--	--	--	--	--	--	--	--	--	--	--	--	--	--	--	--	--	--	--	--	--	---	--	--	--	--	--	--	--	--	--	--	--	--	--	--	--	--	--	--	--	--	--	--	--	--	--	--	--	--	--	--	--	--	--	--	--	--	--	--	--	--	--	--	--	--	--	--	--	--	--	--	--	---	--	--	--	--	--	--	--	--	--	--	--	--	--	--	--	--	--	--	--	--	--	--	--	--	--	--	--	--	--	--	--	--	--	--	--	--	--	--	--	--	--	--	--	--	--	--	--	--	--	--	--	---	--	--	--	--	--	--	--	--	--	--	--	--	--	--	--	--	--	--	--	--	--	--	--	--	--	--	--	--	--	--	--	--	--	--	--	--	--	--	--	--	--	--	--	--	--	--	--	--	--	--	--	---	--	--	--	--	--	--	--	--	--	--	--	--	--	--	--	--	--	--	--	--	--	--	--	--	--	--	--	--	--	--	--	--	--	--	--	--	--	--	--	--	--	--	--	--	--	--	--	--	--	--	--	---	--	--	--	--	--	--	--	--	--	--	--	--	--	--	--	--	--	--	--	--	--	--	--	--	--	--	--	--	--	--	--	--	--	--	--	--	--	--	--	--	--	--	--	--	--	--	--	--	--	--	--	---	--	--	--	--	--	--	--	--	--	--	--	--	--	--	--	--	--	--	--	--	--	--	--	--	--	--	--	--	--	--	--	--	--	--	--	--	--	--	--	--	--	--	--	--	--	--	--	--	--	--	--	---	--	--	--	--	--	--	--	--	--	--	--	--	--	--	--	--	--	--	--	--	--	--	--	--	--	--	--	--	--	--	--	--	--	--	--	--	--	--	--	--	--	--	--	--	--	--	--	--	--	--	--	---	--	--	--	--	--	--	--	--	--	--	--	--	--	--	--	--	--	--	--	--	--	--	--	--	--	--	--	--	--	--	--	--	--	--	--	--	--	--	--	--	--	--	--	--	--	--	--	--	--	--	--	---	--	--	--	--	--	--	--	--	--	--	--	--	--	--	--	--	--	--	--	--	--	--	--	--	--	--	--	--	--	--	--	--	--	--	--	--	--	--	--	--	--	--	--	--	--	--	--	--	--	--	--	---	--	--	--	--	--	--	--	--	--	--	--	--	--	--	--	--	--	--	--	--	--	--	--	--	--	--	--	--	--	--	--	--	--	--	--	--	--	--	--	--	--	--	--	--	--	--	--	--	--	--	--	---	--	--	--	--	--	--	--	--	--	--	--	--	--	--	--	--	--	--	--	--	--	--	--	--	--	--	--	--	--	--	--	--	--	--	--	--	--	--	--	--	--	--	--	--	--	--	--	--	--	--	--	---	--	--	--	--	--	--	--	--	--	--	--	--	--	--	--	--	--	--	--	--	--	--	--	--	--	--	--	--	--	--	--	--	--	--	--	--	--	--	--	--	--	--	--	--	--	--	--	--	--	--	--	---	--	--	--	--	--	--	--	--	--	--	--	--	--	--	--	--	--	--	--	--	--	--	--	--	--	--	--	--	--	--	--	--	--	--	--	--	--	--	--	--	--	--	--	--	--	--	--	--	--	--	--	---	--	--	--	--	--	--	--	--	--	--	--	--	--	--	--	--	--	--	--	--	--	--	--	--	--	--	--	--	--	--	--	--	--	--	--	--	--	--	--	--	--	--	--	--	--	--	--	--	--	--	--	---	--	--	--	--	--	--	--	--	--	--	--	--	--	--	--	--	--	--	--	--	--	--	--	--	--	--	--	--	--	--	--	--	--	--	--	--	--	--	--	--	--	--	--	--	--	--	--	--	--	--	--	---	--	--	--	--	--	--	--	--	--	--	--	--	--	--	--	--	--	--	--	--	--	--	--	--	--	--	--	--	--	--	--	--	--	--	--	--	--	--	--	--	--	--	--	--	--	--	--	--	--	--	--	---	--	--	--	--	--	--	--	--	--	--	--	--	--	--	--	--	--	--	--	--	--	--	--	--	--	--	--	--	--	--	--	--	--	--	--	--	--	--	--	--	--	--	--	--	--	--	--	--	--	--	--	---	--	--	--	--	--	--	--	--	--	--	--	--	--	--	--	--	--	--	--	--	--	--	--	--	--	--	--	--	--	--	--	--	--	--	--	--	--	--	--	--	--	--	--	--	--	--	--	--	--	--	--	---	--	--	--	--	--	--	--	--	--	--	--	--	--	--	--	--	--	--	--	--	--	--	--	--	--	--	--	--	--	--	--	--	--	--	--	--	--	--	--	--	--	--	--	--	--	--	--	--	--	--	--	---	--	--	--	--	--	--	--	--	--	--	--	--	--	--	--	--	--	--	--	--	--	--	--	--	--	--	--	--	--	--	--	--	--	--	--	--	--	--	--	--	--	--	--	--	--	--	--	--	--	--	--	---	--	--	--	--	--	--	--	--	--	--	--	--	--	--	--	--	--	--	--	--	--	--	--	--	--	--	--	--	--	--	--	--	--	--	--	--	--	--	--	--	--	--	--	--	--	--	--	--	--	--	--	---	--	--	--	--	--	--	--	--	--	--	--	--	--	--	--	--	--	--	--	--	--	--	--	--	--	--	--	--	--	--	--	--	--	--	--	--	--	--	--	--	--	--	--	--	--	--	--	--	--	--	--	---	--	--	--	--	--	--	--	--	--	--	--	--	--	--	--	--	--	--	--	--	--	--	--	--	--	--	--	--	--	--	--	--	--	--	--	--	--	--	--	--	--	--	--	--	--	--	--	--	--	--	--	---	--	--	--	--	--	--	--	--	--	--	--	--	--	--	--	--	--	--	--	--	--	--	--	--	--	--	--	--	--	--	--	--	--	--	--	--	--	--	--	--	--	--	--	--	--	--	--	--	--	--	--	---	--	--	--	--	--	--	--	--	--	--	--	--	--	--	--	--	--	--	--	--	--	--	--	--	--	--	--	--	--	--	--	--	--	--	--	--	--	--	--	--	--	--	--	--	--	--	--	--	--	--	--	---	--	--	--	--	--	--	--	--	--	--	--	--	--	--	--	--	--	--	--	--	--	--	--	--	--	--	--	--	--	--	--	--	--	--	--	--	--	--	--	--	--	--	--	--	--	--	--	--	--	--	--	---	--	--	--	--	--	--	--	--	--	--	--	--	--	--	--	--	--	--	--	--	--	--	--	--	--	--	--	--	--	--	--	--	--	--	--	--	--	--	--	--	--	--	--	--	--	--	--	--	--	--	--	---	--	--	--	--	--	--	--	--	--	--	--	--	--	--	--	--	--	--	--	--	--	--	--	--	--	--	--	--	--	--	--	--	--	--	--	--	--	--	--	--	--	--	--	--	--	--	--	--	--	--	--	---	--	--	--	--	--	--	--	--	--	--	--	--	--	--	--	--	--	--	--	--	--	--	--	--	--	--	--	--	--	--	--	--	--	--	--	--	--	--	--	--	--	--	--	--	--	--	--	--	--	--	--	---	--	--	--	--	--	--	--	--	--	--	--	--	--	--	--	--	--	--	--	--	--	--	--	--	--	--	--	--	--	--	--	--	--	--	--	--	--	--	--	--	--	--	--	--	--	--	--	--	--	--	--	---	--	--	--	--	--	--	--	--	--	--	--	--	--	--	--	--	--	--	--	--	--	--	--	--	--	--	--	--	--	--	--	--	--	--	--	--	--	--	--	--	--	--	--	--	--	--	--	--	--	--	--	---	--	--	--	--	--	--	--	--	--	--	--	--	--	--	--	--	--	--	--	--	--	--	--	--	--	--	--	--	--	--	--	--	--	--	--	--	--	--	--	--	--	--	--	--	--	--	--	--	--	--	--	---	--	--	--	--	--	--	--	--	--	--	--	--	--	--	--	--	--	--	--	--	--	--	--	--	--	--	--	--	--	--	--	--	--	--	--	--	--	--	--	--	--	--	--	--	--	--	--	--	--	--	--	---	--	--	--	--	--	--	--	--	--	--	--	--	--	--	--	--	--	--	--	--	--	--	--	--	--	--	--	--	--	--	--	--	--	--	--	--	--	--	--	--	--	--	--	--	--	--	--	--	--	--	--	---	--	--	--	--	--	--	--	--	--	--	--	--	--	--	--	--	--	--	--	--	--	--	--	--	--	--	--	--	--	--	--	--	--	--	--	--	--	--	--	--	--	--	--	--	--	--	--	--	--	--	--	---	--	--	--	--	--	--	--	--	--	--	--	--	--	--	--	--	--	--	--	--	--	--	--	--	--	--	--	--	--	--	--	--	--	--	--	--	--	--	--	--	--	--	--	--	--	--	--	--	--	--	--	---	--	--	--	--	--	--	--	--	--	--	--	--	--	--	--	--	--	--	--	--	--	--	--	--	--	--	--	--	--	--	--	--	--	--	--	--	--	--	--	--	--	--	--	--	--	--	--	--	--	--	--	---	--	--	--	--	--	--	--	--	--	--	--	--	--	--	--	--	--	--	--	--	--	--	--	--	--	--	--	--	--	--	--	--	--	--	--	--	--	--	--	--	--	--	--	--	--	--	--	--	--	--	--	---	--	--	--	--	--	--	--	--	--	--	--	--	--	--	--	--	--	--	--	--	--	--	--	--	--	--	--	--	--	--	--	--	--	--	--	--	--	--	--	--	--	--	--	--	--	--	--	--	--	--	--	---	--	--	--	--	--	--	--	--	--	--	--	--	--	--	--	--	--	--	--	--	--	--	--	--	--	--	--	--	--	--	--	--	--	--	--	--	--	--	--	--	--	--	--	--	--	--	--	--	--	--	--	---	--	--	--	--	--	--	--	--	--	--	--	--	--	--	--	--	--	--	--	--	--	--	--	--	--	--	--	--	--	--	--	--	--	--	--	--	--	--	--	--	--	--	--	--	--	--	--	--	--	--	--	---	--	--	--	--	--	--	--	--	--	--	--	--	--	--	--	--	--	--	--	--	--	--	--	--	--	--	--	--	--	--	--	--	--	--	--	--	--	--	--	--	--	--	--	--	--	--	--	--	--	--	--	---	--	--	--	--	--	--	--	--	--	--	--	--	--	--	--	--	--	--	--	--	--	--	--	--	--	--	--	--	--	--	--	--	--	--	--	--	--	--	--	--	--	--	--	--	--	--	--	--	--	--	--	---	--	--	--	--	--	--	--	--	--	--	--	--	--	--	--	--	--	--	--	--	--	--	--	--	--	--	--	--	--	--	--	--	--	--	--	--	--	--	--	--	--	--	--	--	--	--	--	--	--	--	--	---	--	--	--	--	--	--	--	--	--	--	--	--	--	--	--	--	--	--	--	--	--	--	--	--	--	--	--	--	--	--	--	--	--	--	--	--	--	--	--	--	--	--	--	--	--	--	--	--	--	--	--	---	--	--	--	--	--	--	--	--	--	--	--	--	--	--	--	--	--	--	--	--	--	--	--	--	--	--	--	--	--	--	--	--	--	--	--	--	--	--	--	--	--	--	--	--	--	--	--	--	--	--	--	---	--	--	--	--	--	--	--	--	--	--	--	--	--	--	--	--	--	--	--	--	--	--	--	--	--	--	--	--	--	--	--	--	--	--	--	--	--	--	--	--	--	--	--	--	--	--	--	--	--	--	--	---	--	--	--	--	--	--	--	--	--	--	--	--	--	--	--	--	--	--	--	--	--	--	--	--	--	--	--	--	--	--	--	--	--	--	--	--	--	--	--	--	--	--	--	--	--	--	--	--	--	--	--	---	--	--	--	--	--	--	--	--	--	--	--	--	--	--	--	--	--	--	--	--	--	--	--	--	--	--	--	--	--	--	--	--	--	--	--	--	--	--	--	--	--	--	--	--	--	--	--	--	--	--	--	---
--	--	--	--	--	--	--	--	--	--	--	--	--	--	--	--	--	--	--	--	--	--	--	--	--	--	--	--	--	--	--	--	--	--	--	--	--	--	--	--	--	--	--	--	--	--	--	--	--	--	--	---	--	--	--	--	--	--	--	--	--	--	--	--	--	--	--	--	--	--	--	--	--	--	--	--	--	--	--	--	--	--	--	--	--	--	--	--	--	--	--	--	--	--	--	--	--	--	--	--	--	--	--	---	--	--	--	--	--	--	--	--	--	--	--	--	--	--	--	--	--	--	--	--	--	--	--	--	--	--	--	--	--	--	--	--	--	--	--	--	--	--	--	--	--	--	--	--	--	--	--	--	--	--	--	---	--	--	--	--	--	--	--	--	--	--	--	--	--	--	--	--	--	--	--	--	--	--	--	--	--	--	--	--	--	--	--	--	--	--	--	--	--	--	--	--	--	--	--	--	--	--	--	--	--	--	--	---	--	--	--	--	--	--	--	--	--	--	--	--	--	--	--	--	--	--	--	--	--	--	--	--	--	--	--	--	--	--	--	--	--	--	--	--	--	--	--	--	--	--	--	--	--	--	--	--	--	--	--	---	--	--	--	--	--	--	--	--	--	--	--	--	--	--	--	--	--	--	--	--	--	--	--	--	--	--	--	--	--	--	--	--	--	--	--	--	--	--	--	--	--	--	--	--	--	--	--	--	--	--	--	---	--	--	--	--	--	--	--	--	--	--	--	--	--	--	--	--	--	--	--	--	--	--	--	--	--	--	--	--	--	--	--	--	--	--	--	--	--	--	--	--	--	--	--	--	--	--	--	--	--	--	--	---	--	--	--	--	--	--	--	--	--	--	--	--	--	--	--	--	--	--	--	--	--	--	--	--	--	--	--	--	--	--	--	--	--	--	--	--	--	--	--	--	--	--	--	--	--	--	--	--	--	--	--	---	--	--	--	--	--	--	--	--	--	--	--	--	--	--	--	--	--	--	--	--	--	--	--	--	--	--	--	--	--	--	--	--	--	--	--	--	--	--	--	--	--	--	--	--	--	--	--	--	--	--	--	---	--	--	--	--	--	--	--	--	--	--	--	--	--	--	--	--	--	--	--	--	--	--	--	--	--	--	--	--	--	--	--	--	--	--	--	--	--	--	--	--	--	--	--	--	--	--	--	--	--	--	--	---	--	--	--	--	--	--	--	--	--	--	--	--	--	--	--	--	--	--	--	--	--	--	--	--	--	--	--	--	--	--	--	--	--	--	--	--	--	--	--	--	--	--	--	--	--	--	--	--	--	--	--	---	--	--	--	--	--	--	--	--	--	--	--	--	--	--	--	--	--	--	--	--	--	--	--	--	--	--	--	--	--	--	--	--	--	--	--	--	--	--	--	--	--	--	--	--	--	--	--	--	--	--	--	---	--	--	--	--	--	--	--	--	--	--	--	--	--	--	--	--	--	--	--	--	--	--	--	--	--	--	--	--	--	--	--	--	--	--	--	--	--	--	--	--	--	--	--	--	--	--	--	--	--	--	--	---	--	--	--	--	--	--	--	--	--	--	--	--	--	--	--	--	--	--	--	--	--	--	--	--	--	--	--	--	--	--	--	--	--	--	--	--	--	--	--	--	--	--	--	--	--	--	--	--	--	--	--	---	--	--	--	--	--	--	--	--	--	--	--	--	--	--	--	--	--	--	--	--	--	--	--	--	--	--	--	--	--	--	--	--	--	--	--	--	--	--	--	--	--	--	--	--	--	--	--	--	--	--	--	---	--	--	--	--	--	--	--	--	--	--	--	--	--	--	--	--	--	--	--	--	--	--	--	--	--	--	--	--	--	--	--	--	--	--	--	--	--	--	--	--	--	--	--	--	--	--	--	--	--	--	--	---	--	--	--	--	--	--	--	--	--	--	--	--	--	--	--	--	--	--	--	--	--	--	--	--	--	--	--	--	--	--	--	--	--	--	--	--	--	--	--	--	--	--	--	--	--	--	--	--	--	--	--	---	--	--	--	--	--	--	--	--	--	--	--	--	--	--	--	--	--	--	--	--	--	--	--	--	--	--	--	--	--	--	--	--	--	--	--	--	--	--	--	--	--	--	--	--	--	--	--	--	--	--	--	---	--	--	--	--	--	--	--	--	--	--	--	--	--	--	--	--	--	--	--	--	--	--	--	--	--	--	--	--	--	--	--	--	--	--	--	--	--	--	--	--	--	--	--	--	--	--	--	--	--	--	--	---	--	--	--	--	--	--	--	--	--	--	--	--	--	--	--	--	--	--	--	--	--	--	--	--	--	--	--	--	--	--	--	--	--	--	--	--	--	--	--	--	--	--	--	--	--	--	--	--	--	--	--	---	--	--	--	--	--	--	--	--	--	--	--	--	--	--	--	--	--	--	--	--	--	--	--	--	--	--	--	--	--	--	--	--	--	--	--	--	--	--	--	--	--	--	--	--	--	--	--	--	--	--	--	---	--	--	--	--	--	--	--	--	--	--	--	--	--	--	--	--	--	--	--	--	--	--	--	--	--	--	--	--	--	--	--	--	--	--	--	--	--	--	--	--	--	--	--	--	--	--	--	--	--	--	--	---	--	--	--	--	--	--	--	--	--	--	--	--	--	--	--	--	--	--	--	--	--	--	--	--	--	--	--	--	--	--	--	--	--	--	--	--	--	--	--	--	--	--	--	--	--	--	--	--	--	--	--	---	--	--	--	--	--	--	--	--	--	--	--	--	--	--	--	--	--	--	--	--	--	--	--	--	--	--	--	--	--	--	--	--	--	--	--	--	--	--	--	--	--	--	--	--	--	--	--	--	--	--	--	---	--	--	--	--	--	--	--	--	--	--	--	--	--	--	--	--	--	--	--	--	--	--	--	--	--	--	--	--	--	--	--	--	--	--	--	--	--	--	--	--	--	--	--	--	--	--	--	--	--	--	--	---	--	--	--	--	--	--	--	--	--	--	--	--	--	--	--	--	--	--	--	--	--	--	--	--	--	--	--	--	--	--	--	--	--	--	--	--	--	--	--	--	--	--	--	--	--	--	--	--	--	--	--	---	--	--	--	--	--	--	--	--	--	--	--	--	--	--	--	--	--	--	--	--	--	--	--	--	--	--	--	--	--	--	--	--	--	--	--	--	--	--	--	--	--	--	--	--	--	--	--	--	--	--	--	---	--	--	--	--	--	--	--	--	--	--	--	--	--	--	--	--	--	--	--	--	--	--	--	--	--	--	--	--	--	--	--	--	--	--	--	--	--	--	--	--	--	--	--	--	--	--	--	--	--	--	--	---	--	--	--	--	--	--	--	--	--	--	--	--	--	--	--	--	--	--	--	--	--	--	--	--	--	--	--	--	--	--	--	--	--	--	--	--	--	--	--	--	--	--	--	--	--	--	--	--	--	--	--	---	--	--	--	--	--	--	--	--	--	--	--	--	--	--	--	--	--	--	--	--	--	--	--	--	--	--	--	--	--	--	--	--	--	--	--	--	--	--	--	--	--	--	--	--	--	--	--	--	--	--	--	---	--	--	--	--	--	--	--	--	--	--	--	--	--	--	--	--	--	--	--	--	--	--	--	--	--	--	--	--	--	--	--	--	--	--	--	--	--	--	--	--	--	--	--	--	--	--	--	--	--	--	--	---	--	--	--	--	--	--	--	--	--	--	--	--	--	--	--	--	--	--	--	--	--	--	--	--	--	--	--	--	--	--	--	--	--	--	--	--	--	--	--	--	--	--	--	--	--	--	--	--	--	--	--	---	--	--	--	--	--	--	--	--	--	--	--	--	--	--	--	--	--	--	--	--	--	--	--	--	--	--	--	--	--	--	--	--	--	--	--	--	--	--	--	--	--	--	--	--	--	--	--	--	--	--	--	---	--	--	--	--	--	--	--	--	--	--	--	--	--	--	--	--	--	--	--	--	--	--	--	--	--	--	--	--	--	--	--	--	--	--	--	--	--	--	--	--	--	--	--	--	--	--	--	--	--	--	--	---	--	--	--	--	--	--	--	--	--	--	--	--	--	--	--	--	--	--	--	--	--	--	--	--	--	--	--	--	--	--	--	--	--	--	--	--	--	--	--	--	--	--	--	--	--	--	--	--	--	--	--	---	--	--	--	--	--	--	--	--	--	--	--	--	--	--	--	--	--	--	--	--	--	--	--	--	--	--	--	--	--	--	--	--	--	--	--	--	--	--	--	--	--	--	--	--	--	--	--	--	--	--	--	---	--	--	--	--	--	--	--	--	--	--	--	--	--	--	--	--	--	--	--	--	--	--	--	--	--	--	--	--	--	--	--	--	--	--	--	--	--	--	--	--	--	--	--	--	--	--	--	--	--	--	--	---	--	--	--	--	--	--	--	--	--	--	--	--	--	--	--	--	--	--	--	--	--	--	--	--	--	--	--	--	--	--	--	--	--	--	--	--	--	--	--	--	--	--	--	--	--	--	--	--	--	--	--	---	--	--	--	--	--	--	--	--	--	--	--	--	--	--	--	--	--	--	--	--	--	--	--	--	--	--	--	--	--	--	--	--	--	--	--	--	--	--	--	--	--	--	--	--	--	--	--	--	--	--	--	---	--	--	--	--	--	--	--	--	--	--	--	--	--	--	--	--	--	--	--	--	--	--	--	--	--	--	--	--	--	--	--	--	--	--	--	--	--	--	--	--	--	--	--	--	--	--	--	--	--	--	--	---	--	--	--	--	--	--	--	--	--	--	--	--	--	--	--	--	--	--	--	--	--	--	--	--	--	--	--	--	--	--	--	--	--	--	--	--	--	--	--	--	--	--	--	--	--	--	--	--	--	--	--	---	--	--	--	--	--	--	--	--	--	--	--	--	--	--	--	--	--	--	--	--	--	--	--	--	--	--	--	--	--	--	--	--	--	--	--	--	--	--	--	--	--	--	--	--	--	--	--	--	--	--	--	---	--	--	--	--	--	--	--	--	--	--	--	--	--	--	--	--	--	--	--	--	--	--	--	--	--	--	--	--	--	--	--	--	--	--	--	--	--	--	--	--	--	--	--	--	--	--	--	--	--	--	--	---	--	--	--	--	--	--	--	--	--	--	--	--	--	--	--	--	--	--	--	--	--	--	--	--	--	--	--	--	--	--	--	--	--	--	--	--	--	--	--	--	--	--	--	--	--	--	--	--	--	--	--	---	--	--	--	--	--	--	--	--	--	--	--	--	--	--	--	--	--	--	--	--	--	--	--	--	--	--	--	--	--	--	--	--	--	--	--	--	--	--	--	--	--	--	--	--	--	--	--	--	--	--	--	---	--	--	--	--	--	--	--	--	--	--	--	--	--	--	--	--	--	--	--	--	--	--	--	--	--	--	--	--	--	--	--	--	--	--	--	--	--	--	--	--	--	--	--	--	--	--	--	--	--	--	--	---	--	--	--	--	--	--	--	--	--	--	--	--	--	--	--	--	--	--	--	--	--	--	--	--	--	--	--	--	--	--	--	--	--	--	--	--	--	--	--	--	--	--	--	--	--	--	--	--	--	--	--	---	--	--	--	--	--	--	--	--	--	--	--	--	--	--	--	--	--	--	--	--	--	--	--	--	--	--	--	--	--	--	--	--	--	--	--	--	--	--	--	--	--	--	--	--	--	--	--	--	--	--	--	---	--	--	--	--	--	--	--	--	--	--	--	--	--	--	--	--	--	--	--	--	--	--	--	--	--	--	--	--	--	--	--	--	--	--	--	--	--	--	--	--	--	--	--	--	--	--	--	--	--	--	--	---	--	--	--	--	--	--	--	--	--	--	--	--	--	--	--	--	--	--	--	--	--	--	--	--	--	--	--	--	--	--	--	--	--	--	--	--	--	--	--	--	--	--	--	--	--	--	--	--	--	--	--	---	--	--	--	--	--	--	--	--	--	--	--	--	--	--	--	--	--	--	--	--	--	--	--	--	--	--	--	--	--	--	--	--	--	--	--	--	--	--	--	--	--	--	--	--	--	--	--	--	--	--	--	---	--	--	--	--	--	--	--	--	--	--	--	--	--	--	--	--	--	--	--	--	--	--	--	--	--	--	--	--	--	--	--	--	--	--	--	--	--	--	--	--	--	--	--	--	--	--	--	--	--	--	--	---	--	--	--	--	--	--	--	--	--	--	--	--	--	--	--	--	--	--	--	--	--	--	--	--	--	--	--	--	--	--	--	--	--	--	--	--	--	--	--	--	--	--	--	--	--	--	--	--	--	--	--	---	--	--	--	--	--	--	--	--	--	--	--	--	--	--	--	--	--	--	--	--	--	--	--	--	--	--	--	--	--	--	--	--	--	--	--	--	--	--	--	--	--	--	--	--	--	--	--	--	--	--	--	---	--	--	--	--	--	--	--	--	--	--	--	--	--	--	--	--	--	--	--	--	--	--	--	--	--	--	--	--	--	--	--	--	--	--	--	--	--	--	--	--	--	--	--	--	--	--	--	--	--	--	--	---	--	--	--	--	--	--	--	--	--	--	--	--	--	--	--	--	--	--	--	--	--	--	--	--	--	--	--	--	--	--	--	--	--	--	--	--	--	--	--	--	--	--	--	--	--	--	--	--	--	--	--	---	--	--	--	--	--	--	--	--	--	--	--	--	--	--	--	--	--	--	--	--	--	--	--	--	--	--	--	--	--	--	--	--	--	--	--	--	--	--	--	--	--	--	--	--	--	--	--	--	--	--	--	---	--	--	--	--	--	--	--	--	--	--	--	--	--	--	--	--	--	--	--	--	--	--	--	--	--	--	--	--	--	--	--	--	--	--	--	--	--	--	--	--	--	--	--	--	--	--	--	--	--	--	--	---	--	--	--	--	--	--	--	--	--	--	--	--	--	--	--	--	--	--	--	--	--	--	--	--	--	--	--	--	--	--	--	--	--	--	--	--	--	--	--	--	--	--	--	--	--	--	--	--	--	--	--	---	--	--	--	--	--	--	--	--	--	--	--	--	--	--	--	--	--	--	--	--	--	--	--	--	--	--	--	--	--	--	--	--	--	--	--	--	--	--	--	--	--	--	--	--	--	--	--	--	--	--	--	---	--	--	--	--	--	--	--	--	--	--	--	--	--	--	--	--	--	--	--	--	--	--	--	--	--	--	--	--	--	--	--	--	--	--	--	--	--	--	--	--	--	--	--	--	--	--	--	--	--	--	--	---	--	--	--	--	--	--	--	--	--	--	--	--	--	--	--	--	--	--	--	--	--	--	--	--	--	--	--	--	--	--	--	--	--	--	--	--	--	--	--	--	--	--	--	--	--	--	--	--	--	--	--	---	--	--	--	--	--	--	--	--	--	--	--	--	--	--	--	--	--	--	--	--	--	--	--	--	--	--	--	--	--	--	--	--	--	--	--	--	--	--	--	--	--	--	--	--	--	--	--	--	--	--	--	---	--	--	--	--	--	--	--	--	--	--	--	--	--	--	--	--	--	--	--	--	--	--	--	--	--	--	--	--	--	--	--	--	--	--	--	--
--	--	--	--	--	--	--	--	--	--	--	--	--	--	--	---	--	--	--	--	--	--	--	--	--	--	--	--	--	--	--	--	--	--	--	--	--	--	--	--	--	--	--	--	--	--	--	--	--	--	--	--	--	--	--	--	--	--	--	--	--	--	--	--	--	--	--	---	--	--	--	--	--	--	--	--	--	--	--	--	--	--	--	--	--	--	--	--	--	--	--	--	--	--	--	--	--	--	--	--	--	--	--	--	--	--	--	--	--	--	--	--	--	--	--	--	--	--	--	---	--	--	--	--	--	--	--	--	--	--	--	--	--	--	--	--	--	--	--	--	--	--	--	--	--	--	--	--	--	--	--	--	--	--	--	--	--	--	--	--	--	--	--	--	--	--	--	--	--	--	--	---	--	--	--	--	--	--	--	--	--	--	--	--	--	--	--	--	--	--	--	--	--	--	--	--	--	--	--	--	--	--	--	--	--	--	--	--	--	--	--	--	--	--	--	--	--	--	--	--	--	--	--	---	--	--	--	--	--	--	--	--	--	--	--	--	--	--	--	--	--	--	--	--	--	--	--	--	--	--	--	--	--	--	--	--	--	--	--	--	--	--	--	--	--	--	--	--	--	--	--	--	--	--	--	---	--	--	--	--	--	--	--	--	--	--	--	--	--	--	--	--	--	--	--	--	--	--	--	--	--	--	--	--	--	--	--	--	--	--	--	--	--	--	--	--	--	--	--	--	--	--	--	--	--	--	--	---	--	--	--	--	--	--	--	--	--	--	--	--	--	--	--	--	--	--	--	--	--	--	--	--	--	--	--	--	--	--	--	--	--	--	--	--	--	--	--	--	--	--	--	--	--	--	--	--	--	--	--	---	--	--	--	--	--	--	--	--	--	--	--	--	--	--	--	--	--	--	--	--	--	--	--	--	--	--	--	--	--	--	--	--	--	--	--	--	--	--	--	--	--	--	--	--	--	--	--	--	--	--	--																																																																																																																																																																																																																																																																																																																																																																																																																																																																																																																																																																																																																																																																																																																																																																																																																																																																																																																																																																																																																																																																																																																																																																																																																																																																																																																																																																																																																																																																																																																																																																																																																																																																																																																																																																																																																																																																																																																																																																																																																																																																																																																																																																																																																																																																																																																																																																																																																																																																																																																																																																																																																																																																																																																																																																																																																																																																																																																																																																																																	
Уровни звуковой мощности источника ночью, Lw, dB																																																				исходные данные																																																				0																																																				94,1																																																				109,3																																																				106,8																																																				110,9																																																				113,7																																																				109,7																																																				105,7																																																				102,7																																																																																																																																																																																																																																																																																																																																																																																																																																																																																																																																																																																																																																																																																																																																																																																																																																																																																																																																																																																																																																																																																																																																																																																																																																																																																																																																																																																																																																																																																																																																																																																																																																																																																																																																																																																																																																																																																																																																																																																																																																																																																																																																																																																																																																																																																																																																																																																																																																																																																																																																																																																																																																																																																																																																																																																																																																																																																																							
Поправка на телесный угол D1, dB																																																				Ω = 6,28																																																				10lg(4/Ω)																																																				3																																																				3																																																				3																																																				3																																																				3																																																				3																																																				3																																																				3																																																				3																																																				3																																																				3																																																				3																																																				3																																																				3																																																				3																																																				3																																																				3																																																				3																																																				3																																																				3																																																				3																																																				3																																																				3																																																				3																																																				3																																																				3																																																				3																																																				3																																																				3																																																				3																																																				3																																																				3																																																				3																																																				3																																																				3																																																				3																																																				3																																																				3																																																				3																																																				3																																																				3																																																				3																																																				3																																																				3																																																				3																																																				3																																																				3																																																				3																																																				3																																																				3																																																				3																																																				3																																																				3																																																				3																																																				3																																																				3																																																				3																																																				3																																																				3																																																				3																																																																																							
		3																																																				3																																																				3																																																				3																																																				3																																																				3																																																				3																																																				3																																																				3																																																				3																																																				3																																																				3																																																				3																																																				3																																																				3																																																				3																																																				3																																																				3																																																				3																																																				3																																																				3																																																				3																																																				3																																																				3																																																				3																																																				3																																																				3																																																				3																																																				3																																																				3																																																				3																																																				3																																																				3																																																				3																																																				3																																																				3																																																				3																																																				3																																																				3																																																				3																																																				3																																																				3																																																				3																																																				3																																																				3																																																				3																																																				3																																																				3																																																				3																																																				3																																																				3																																																				3																																																				3																																																				3																																																				3																																																				3																																																				3																																																				3																																																				3																																																				3																																																				3																																																				3																																																				3																																																				3																																	
																		3																																																				3																																																				3																																																				3																																																				3																																																				3																																																				3																																																				3																																																				3																																																				3																																																				3																																																				3																																																				3																																																				3																																																				3																																																				3																																																				3																																																				3																																																				3																																																				3																																																				3																																																				3																																																				3																																																				3																																																				3																																																				3																																																				3																																																				3																																																				3																																																				3																																																				3																																																				3																																																				3																																																				3																																																				3																																																				3																																																				3																																																				3																																																				3																																																				3																																																				3																																																				3																																																				3																																																				3																																																				3																																																				3																																																				3																																																				3																																																				3																																																				3																																																				3																																																				3																																																				3																																																				3																																																				3																																																				3																																																				3																																																				3																																																				3																																																				3																																																				3																																																				3																																																				3																																																				3																	
																																		3																																																				3																																																				3																																																				3																																																				3																																																				3																																																				3																																																				3																																																				3																																																				3																																																				3																																																				3																																																				3																																																				3																																																				3																																																				3																																																				3																																																				3																																																				3																																																				3																																																				3																																																				3																																																				3																																																				3																																																				3																																																				3																																																				3																																																				3																																																				3																																																				3																																																				3																																																				3																																																				3																																																				3																																																				3																																																				3																																																				3																																																				3																																																				3																																																				3																																																				3																																																				3																																																				3																																																				3																																																				3																																																				3																																																				3																																																				3																																																				3																																																				3																																																				3																																																				3																																																				3																																																				3																																																				3																																																				3																																																				3																																																				3																																																				3																																																				3																																																				3																																																				3																																																				3																																																				3	
																																																		3																																																				3																																																				3																																																				3																																																				3																																																				3																																																				3																																																				3																																																				3																																																				3																																																				3																																																				3																																																				3																																																				3																																																				3																																																				3																																																				3																																																				3																																																				3																																																				3																																																				3																																																				3																																																				3																																																				3																																																				3																																																				3																																																				3																																																				3																																																				3																																																				3																																																				3																																																				3																																																				3																																																				3																																																				3																																																				3																																																				3																																																				3																																																				3																																																				3																																																				3																																																				3																																																				3																																																				3																																																				3																																																				3																																																				3																																																				3																																																				3																																																				3																																																				3																																																				3																																																				3																																																				3																																																				3																																																				3																																																				3																																																				3																																																				3																																																				3																																																				3																																																				3																																																				3																																					
														3																																																				3																																																				3																																																				3																																																				3																																																				3																																																				3																																																				3																																																																																																																																																																																																																																																																																																																																																																																																																																																																																																																																																																																																																																																																																																																																																																																																																																																																																																																																																																																																																																																																																																																																																																																																																																																																																																																																																																																																																																																																																																																																																																																																																																																																																																																																																																																																																																																																																																																																																																																																																																																																																																																																																																																																																																																																																																																																																																																																																																																																																																																																																																																																																																																																																																																																																																																																																																																																																																																																																																																																																																																					

1		2												
Коэффициент затухания звука в атмосфере α, дБ/км	Тair=20,°C Pair=10133,4Па hотн=70%	φ-на [5] [9]	0,02	0,09	0,33	1,12	2,79	4,98	9,04	23,09	77,63			
		φ-на [8] [10]	0,1	0,3	1	3,5	8,7	15,5	28,1	71,8	241,5			
Учет затухания звука в атмосфере Aatm, дБ		φ-на таб.3 [10]	-1,5	-1,5	-1,5	-1,5	-1,5	-1,5	-1,5	-1,5	-1,5	-1,5		
Снижение поверхностью земли возле источника ΔL, дБ		φ-на таб.3 [10]	-1,5	-1,5	-1,5	-1,5	-1,5	-1,5	-1,5	-1,5	-1,5	-1,5		
Снижение поверхностью земли возле приёмника ΔL, дБ		φ-на таб.3 [10]	-1,5	-1,5	-1,5	-1,5	-1,5	-1,5	-1,5	-1,5	-1,5	-1,5		
Снижение поверхностью земли в средней зоне, ΔL, дБ		φ-на таб.3 [10]	-3	-3	-3	-3	-3	-3	-3	-3	-3	-3		
Суммарное снижение поверхностью земли на траектории распространения звука Aδr, дБ		φ-на [9] [10]	-6	-6	-6	-6	-6	-6	-6	-6	-6	-6		
Уровни звукового давления прямого звука от источника ИШ-52л. В11 КВИС в расчётной точке днём, дБ		φ-наδ[10]	0	19,3	19,1	18,6	13,4	0	0	0	0	13,6	13,6	
Уровни звукового давления прямого звука от источника ИШ-52л. В11 КВИС в расчётной точке ночью, дБ		φ-наδ[10]	0	19,3	19,1	18,6	13,4	0	0	0	0	13,6	13,6	
Расчёт отражённого звука														
Уровни звукового давления от минного источника ИШ-52л. В11 КВИС_мм.(1) в расчётной точке днём, дБ		φ-наδ[10]	0	0	0	0	0	0	0	0	0	0	0	0
Уровни звукового давления от минного источника ИШ-52л. В11 КВИС_мм.(1) в расчётной точке ночью, дБ		φ-наδ[10]	0	0	0	0	0	0	0	0	0	0	0	0
Уровни звукового давления от источника ИШ-52л. В11 КВИС в расчётной точке днём, дБ		φ-наδ[10]	0	19,3	19,1	18,6	13,4	0	0	0	0	13,6	13,6	
Уровни звукового давления от источника ИШ-52л. В11 КВИС в расчётной точке ночью, дБ		φ-наδ[10]	0	19,3	19,1	18,6	13,4	0	0	0	0	13,6	13,6	
Источник шума: ИШ-53л. В12 КВИС, координаты источника (х,у,z), м =[6706;76;4678;35;10;00]														
Уровни звуковой мощности источника днём, Lw, дБ		исходные данные	0	91,5	92	94	94	90	84	77	70			
Уровни звуковой мощности источника ночью, Lw, дБ		исходные данные	0	91,5	92	94	94	90	84	77	70			
Поправка на телесный угол Ω, дБ		10lg(π/Ω)	3	3	3	3	3	3	3	3	3			
Показатель направленности источника D1, дБ		исходные данные	0	0	0	0	0	0	0	0	0			
Поправка на направленность источника Dc, дБ		Dc	3	3	3	3	3	3	3	3	3			
Затухание из-за геометрической дивергенции, Adiv, дБ		расстояние = 310991 м	80,9											
Коэффициент затухания звука в атмосфере α, дБ/км		Tair=20,°C Pair=10133,4Па hотн=70%	0,02	0,09	0,33	1,12	2,79	4,98	9,04	23,09	77,63			
Учет затухания звука в атмосфере Aatm, дБ		φ-на [8] [10]	0,1	0,3	1	3,5	8,7	15,5	28,1	71,8	241,4			
Снижение поверхностью земли возле источника ΔL, дБ		φ-на таб.3 [10]	-1,5	-1,5	-1,5	-1,5	-1,5	-1,5	-1,5	-1,5	-1,5	-1,5		
Снижение поверхностью земли возле приёмника ΔL, дБ		φ-на таб.3 [10]	-1,5	-1,5	-1,5	-1,5	-1,5	-1,5	-1,5	-1,5	-1,5	-1,5		
Снижение поверхностью земли в средней зоне, ΔL, дБ		φ-на таб.3 [10]	-3	-3	-3	-3	-3	-3	-3	-3	-3	-3		
Суммарное снижение поверхностью земли на траектории распространения звука Aδr, дБ		φ-на [9] [10]	-6	-6	-6	-6	-6	-6	-6	-6	-6	-6		
Уровни звукового давления прямого звука от источника ИШ-53л. В12 КВИС в расчётной точке днём, дБ		φ-наδ[10]	0	19,3	19,1	18,6	13,4	0	0	0	13,6	13,6		
Уровни звукового давления прямого звука от источника ИШ-53л. В12 КВИС в расчётной точке ночью, дБ		φ-наδ[10]	0	19,3	19,1	18,6	13,4	0	0	0	13,6	13,6		
Расчёт отражённого звука														
Уровни звукового давления от минного источника ИШ-53л. В12 КВИС_мм.(1) в расчётной точке днём, дБ		φ-наδ[10]	0	0	0	0	0	0	0	0	0	0	0	0
Уровни звукового давления от минного источника ИШ-53л. В12 КВИС_мм.(1) в расчётной точке ночью, дБ		φ-наδ[10]	0	0	0	0	0	0	0	0	0	0	0	0
Уровни звукового давления от источника ИШ-53л. В12 КВИС в расчётной точке днём, дБ		φ-наδ[10]	0	19,3	19,1	18,6	13,4	0	0	0	13,6	13,6		
Уровни звукового давления от источника ИШ-53л. В12 КВИС в расчётной точке ночью, дБ		φ-наδ[10]	0	19,3	19,1	18,6	13,4	0	0	0	13,6	13,6		
Источник шума: ИШ-54л. В13 КВИС, координаты источника (х,у,z), м =[6709;81;4676;14;10;00]														
Уровни звуковой мощности источника днём, Lw, дБ		исходные данные	0	73	80	78	78	74	68	61	55			

1		2												
Уровни звуковой мощности источника ночью, Lw, дБ	исходные данные	0	49,6	68,2	64,5	59,5	72,4	69,2	69,7	64,6				
		10 lg(q²+70)	3	3	3	3	3	3	3	3	3	3	3	
Показатель направленности источника Di, дБ	исходные данные	0	0	0	0	0	0	0	0	0	0	0	0	
Поправка на направленности источника Dc, дБ	Dc = D	3	3	3	3	3	3	3	3	3	3	3	3	
Затухание из-за геометрической дивергенции, Adiv, дБ	расстояние = 314035 м	80,9												
Коэффициент затухания звука в атмосфере α, дБ/км	Tair=20, °C Pair=10133,4Па hотн=70%	0,02	0,09	0,33	1,12	2,79	4,98	9,04	23,09	77,63				
Учет затухания звука в атмосфере Aatm, дБ	φ-на таб.3 [10]	0,1	0,3	1,1	3,5	8,8	15,6	28,4	72,5	243,8				
Снижение поверхностью земли возле источника ΔL, дБ	Gг=0 hг=0,1 м	-1,5	-1,5	-1,5	-1,5	-1,5	-1,5	-1,5	-1,5	-1,5	-1,5	-1,5	-1,5	
Снижение поверхностью земли возле приёмника ΔL, дБ	Gп=0 hп=1,5 м	-1,5	-1,5	-1,5	-1,5	-1,5	-1,5	-1,5	-1,5	-1,5	-1,5	-1,5	-1,5	
Снижение поверхностью земли в средней зоне, ΔL, дБ	Gм=0	-3	-3	-3	-3	-3	-3	-3	-3	-3	-3	-3	-3	
Суммарное снижение поверхностью земли на траектории распространения звука Aδr, дБ	φ-на [9] [10]	-6	-6	-6	-6	-6	-6	-6	-6	-6	-6	-6	-6	
Уровни звукового давления от источника ИШ-50л. В9 КВИС в расчётной точке днём, дБ	φ-наδ[10]	0	0	0	0	0	0	0	0	0	0	0	0	
Уровни звукового давления от источника ИШ-50л. В9 КВИС в расчётной точке ночью, дБ	φ-наδ[10]	0	0	0	0	0	0	0	0	0	0	0	0	
Источник шума: ИШ-51л. В10 КВИС, координаты источника (х,у,z), м =[6712;02;4670;19;10;00]														
Уровни звуковой мощности источника днём, Lw, дБ	исходные данные	0	49,7	68,3	63,1	68,6	72,5	69,3	69,8	64,7				
Уровни звуковой мощности источника ночью, Lw, дБ	исходные данные	0	49,7	68,3	63,1	68,6	72,5	69,3	69,8	64,7				
Поправка на телесный угол D0, дБ	Ω = 6,28	3	3	3	3	3	3	3	3	3	3	3	3	
Показатель направленности источника Di, дБ	исходные данные	0	0	0	0	0	0	0	0	0	0	0	0	
Поправка на направленности источника Dc, дБ	Dc	3	3	3	3	3	3	3	3	3	3	3	3	
Затухание из-за геометрической дивергенции, Adiv, дБ	расстояние = 311863 м	80,9												
Коэффициент затухания звука в атмосфере α, дБ/км	Tair=20, °C Pair=10133,4Па hотн=70%	0,02	0,09	0,33	1,12	2,79	4,98	9,04	23,09	77,63				
Учет затухания звука в атмосфере Aatm, дБ	φ-на таб.3 [10]	0,1	0,3	1	3,5	8,7	15,5	28,2	72	242,1				
Снижение поверхностью земли возле источника ΔL, дБ	Gг=0 hг=0,1 м	-1,5	-1,5	-1,5	-1,5	-1,5	-1,5	-1,5	-1,5	-1,5	-1,5	-1,5	-1,5	
Снижение поверхностью земли возле приёмника ΔL, дБ	Gп=0 hп=1,5 м	-1,5	-1,5	-1,5	-1,5	-1,5	-1,5	-1,5	-1,5	-1,5	-1,5	-1,5	-1,5	
Снижение поверхностью земли в средней зоне, ΔL, дБ	Gм=0	-3	-3	-3	-3	-3	-3	-3	-3	-3	-3	-3	-3	
Суммарное снижение поверхностью земли на траектории распространения звука Aδr, дБ	φ-на [9] [10]	-6	-6	-6	-6	-6	-6	-6	-6	-6	-6	-6	-6	
Уровни звукового давления от источника ИШ-51л. В10 КВИС в расчётной точке днём, дБ	φ-наδ[10]	0	0	0	0	0	0	0	0	0	0	0	0	
Уровни звукового давления от источника ИШ-51л. В10 КВИС в расчётной точке ночью, дБ	φ-наδ[10]	0	0	0	0	0	0	0	0	0	0	0	0	
Источник шума: ИШ-52л. В11 КВИС, координаты источника (х,у,z), м =[6704;89;4673;59;10;00]														
Уровни звуковой мощности источника днём, Lw, дБ	исходные данные	0	91,5	92	94	94	90	84	77	70				
Уровни звуковой мощности источника ночью, Lw, дБ	исходные данные	0	91,5	92	94	94	90	84	77	70				
Поправка на телесный угол D0, дБ	Ω = 6,28	3	3	3	3	3	3	3	3	3	3	3	3	
Показатель направленности источника Di, дБ	исходные данные	0	0	0	0	0	0	0	0	0	0	0	0	
Поправка на направленности источника Dc, дБ	Dc	3	3	3	3	3	3	3	3	3	3	3	3	
Затухание из-за геометрической дивергенции, Adiv, дБ	расстояние = 311076 м	80,9												

1													2																									
Учет затухания звука в атмосфере $A_{атм}$, дБ														$\Phi_{атм}$ (8) [10]	0,1	0,3	1	3,5	8,7	15,4	28	71,6	240,7															
Снижение поверхностью земли возле источника A_z , дБ														$\Phi_{зем}$ таб.3 [10] $G_{зем} = 0$ $h_z = 0,1 \text{ м}$	-1,5	-1,5	-1,5	-1,5	-1,5	-1,5	-1,5	-1,5	-1,5	-1,5	-1,5													
Снижение поверхностью земли возле приёмника A_r , дБ														$\Phi_{зем}$ таб.3 [10] $G_r = 0$ $h_r = 1,5 \text{ м}$	-1,5	-1,5	-1,5	-1,5	-1,5	-1,5	-1,5	-1,5	-1,5	-1,5	-1,5													
Снижение поверхностью земли в средней зоне, $A_{пз}$ дБ														$\Phi_{пз}$ таб.3 [10] $G_{пз} = 0$	-3	-3	-3	-3	-3	-3	-3	-3	-3	-3	-3													
Суммарное снижение поверхностью земли на траектории распространения звука $A_{гг}$, дБ														$\Phi_{гг}$ (9) [10]	-6	-6	-6	-6	-6	-6	-6	-6	-6	-6	-6													
Уровни звукового давления прямого звука от источника ИШ-59п. В18 КВБИС в расчётной точке днём, дБ														$\Phi_{прд}$ (3) [10]	0	22,1	26,2	30,3	24,7	14,7	0	0	0	25,1	25,1													
Уровни звукового давления прямого звука от источника ИШ-59п. В18 КВБИС в расчётной точке ночью, дБ														$\Phi_{ноч}$ (3) [10]	0	22,1	26,2	30,3	24,7	14,7	0	0	0	25,1	25,1													

Расчёт отражённого звука

Уровни звукового давления от минимого источника ИШ-59п. В18 КВБИС, мм.(1) в расчётной точке днём, дБ	Ф-ла(3) [10]	0	21,1	25,2	29,3	23,7	13,7	0	0	0	24,1	24,1
Уровни звукового давления от минимого источника ИШ-59п. В18 КВБИС, мм.(1) в расчётной точке ночью, дБ	Ф-ла(3) [10]	0	0	0	0	0	0	0	0	0	24,1	24,1
Уровни звукового давления от источника ИШ-59п. В18 КВБИС в расчётной точке днём, дБ	Ф-ла(3) [10]	0	24,6	28,7	32,8	27,2	17,2	0	0	0	27,7	27,7
Уровни звукового давления от источника ИШ-59п. В18 КВБИС в расчётной точке ночью, дБ	Ф-ла(3) [10]	0	24,6	28,7	32,8	27,2	17,2	0	0	0	27,7	27,7

ИШ-60п. Воротра ГМУ-1

Источник линейный, протяжённость = 5,44 м. По положениям ГОСТ 31295-2 разбит на серию точечных эквивалентных источников. Количество эквивалентных источников: 1.
Расчёт эквивалентных источников шума:

Оконтные уровни удельной звуковой мощности источника днём, Lw, дБ/м	исходные данные	0	0	103,5	100,5	97,5	97,5	94,5	88,5	0		
Оконтные уровни удельной звуковой мощности источника ночью, Lw, дБ/м	исходные данные	0	0	103,5	100,5	97,5	97,5	94,5	88,5	0		
Уровни звукового давления от источника ИШ-60п. Воротра ГМУ-1, экв(1) в расчётной точке днём, дБ	Ф-ла(3) [10]	0	0	24,8	19	10	2,2	0	0	0	13,9	21,4
Уровни звукового давления от источника ИШ-60п. Воротра ГМУ-1, экв(1) в расчётной точке ночью, дБ	Ф-ла(3) [10]	0	0	24,8	19	10	2,2	0	0	0	13,9	21,4
Суммарные уровни звукового давления от линейного источника ИШ-60п. Воротра ГМУ-1 в расчётной точке днём, дБ	Ф-ла (19) [1]	0	0	24,8	19	10	2,2	0	0	0	13,9	21,4
Суммарные уровни звукового давления от линейного источника ИШ-60п. Воротра ГМУ-1 в расчётной точке ночью, дБ	Ф-ла (19) [1]	0	0	24,8	19	10	2,2	0	0	0	13,9	21,4

ИШ-61п. Дефлектор ГМУ-1

Источник линейный, протяжённость = 2,98 м. По положениям ГОСТ 31295-2 разбит на серию точечных эквивалентных источников. Количество эквивалентных источников: 1.
Расчёт эквивалентных источников шума:

Оконтные уровни удельной звуковой мощности источника днём, Lw, дБ/м	исходные данные	0	0	94,3	91,3	88,3	88,3	85,3	79,3	0		
Оконтные уровни удельной звуковой мощности источника ночью, Lw, дБ/м	исходные данные	0	0	94,3	91,3	88,3	88,3	85,3	79,3	0		
Уровни звукового давления от источника ИШ-61п. Дефлектор ГМУ-1, экв(1) в расчётной точке днём, дБ	Ф-ла(3) [10]	0	0	20,2	20,2	13	0	0	0	0	14,3	23,9
Уровни звукового давления от источника ИШ-61п. Дефлектор ГМУ-1, экв(1) в расчётной точке ночью, дБ	Ф-ла(3) [10]	0	0	20,2	20,2	13	0	0	0	0	14,3	23,9
Суммарные уровни звукового давления от линейного источника ИШ-61п. Дефлектор ГМУ-1 в расчётной точке днём, дБ	Ф-ла (19) [1]	0	0	20,2	20,2	13	0	0	0	0	14,3	23,9
Суммарные уровни звукового давления от линейного источника ИШ-61п. Дефлектор ГМУ-1 в расчётной точке ночью, дБ	Ф-ла (19) [1]	0	0	20,2	20,2	13	0	0	0	0	14,3	23,9

ИШ-62 п. Дефлектор ГМУ-1

Источник линейный, протяжённость = 2,98 м. По положениям ГОСТ 31295-2 разбит на серию точечных эквивалентных источников. Количество эквивалентных источников: 1.
Расчёт эквивалентных источников шума:

Оконтные уровни удельной звуковой мощности источника днём, Lw, дБ/м	исходные данные	0	0	94,3	91,3	88,3	88,3	85,3	79,3	0		
Оконтные уровни удельной звуковой мощности источника ночью, Lw, дБ/м	исходные данные	0	0	94,3	91,3	88,3	88,3	85,3	79,3	0		
Уровни звукового давления от источника ИШ-62 п. Дефлектор ГМУ-1, экв(1) в расчётной точке днём, дБ	Ф-ла(3) [10]	0	0	21,3	19,2	13,2	0	0	0	0	14	23,6
Уровни звукового давления от источника ИШ-62 п. Дефлектор ГМУ-1, экв(1) в расчётной точке ночью, дБ	Ф-ла(3) [10]	0	0	21,3	19,2	13,2	0	0	0	0	14	23,6

1													2	3	4	5	6	7	8	9	10	11	12	13
Учет затухания звука в атмосфере Aатм, дБ													Ф-ла (8) [10]	0,1	0,3	1	3,5	8,7	15,5	28,1	71,9	241,7		
Снижение поверхностью земли возле источника Аз, дБ													Ф-ла таб.3 [10] G _ш = 0 h _ш = 0,1 м	-1,5	-1,5	-1,5	-1,5	-1,5	-1,5	-1,5	-1,5	-1,5	-1,5	
Снижение поверхностью земли возле приёмника Аг, дБ													Ф-ла таб.3 [10] G _г = 0 h _г = 1,5 м	-1,5	-1,5	-1,5	-1,5	-1,5	-1,5	-1,5	-1,5	-1,5	-1,5	
Снижение поверхностью земли в средней зоне, Ап, дБ													Ф-ла таб.3 [10] G _ш = 0	-3	-3	-3	-3	-3	-3	-3	-3	-3	-3	
Суммарное снижение поверхностью земли на траектории распространения звука Азг, дБ													Ф-ла (9) [10]	-6	-6	-6	-6	-6	-6	-6	-6	-6	-6	
Уровни звукового давления от источника ИШ-57п. В16 КВБИС в расчётной точке днём, дБ													Ф-ла(3) [10]	0	0	71	0	0	0	0	0	0	0	0
Уровни звукового давления от источника ИШ-57п. В16 КВБИС в расчётной точке ночью, дБ													Ф-ла(3) [10]	0	0	71	0	0	0	0	0	0	0	0

Источники шума: ИШ-58п. В17 КВБИС, координаты источника (х,у,z), м = [6702;17,4669;34,1000]

Уровни звуковой мощности источника днём, Lw, дБ	исходные данные	0	94,2	105,6	105,2	102	97,8	94	89,1															
Уровни звуковой мощности источника ночью, Lw, дБ	исходные данные	0	94,2	105,6	105,2	102	97,8	94	89,1															
Поправка на телесный угол Dα, дБ	10,6(4-12)	3	3	3	3	3	3	3	3	3	3	3												
Показатель направленности источника D1, дБ	исходные данные	0	0	0	0	0	0	0	0	0	0	0												
Поправка на направленность источника Dс, дБ	Dα + D1	3	3	3	3	3	3	3	3	3	3	3												

80,9

Коэффициент затухания звука в атмосфере α, дБ/км	Тв=20, °С Р=101,33, кПа hотн=70%	Ф-ла (5) [9]	0,02	0,09	0,33	1,12	2,79	4,98	9,04	23,09	77,63		
Учет затухания звука в атмосфере Аатм, дБ		Ф-ла (8) [10]	0,1	0,3	1	3,5	8,7	15,5	28,1	71,8	241,5		
Снижение поверхностью земли возле источника Аз, дБ	Gз = 0 Rз = 0,1 км	Ф-ла таб.3 [10]	-1,5	-1,5	-1,5	-1,5	-1,5	-1,5	-1,5	-1,5	-1,5		
Снижение поверхностью земли возле приёмника Аг, дБ	Gг = 0 Rг = 1,5 км	Ф-ла таб.3 [10]	-1,5	-1,5	-1,5	-1,5	-1,5	-1,5	-1,5	-1,5	-1,5		
Снижение поверхностью земли в средней зоне, Ап, дБ	Gм = 0	Ф-ла таб.3 [10]	-3	-3	-3	-3	-3	-3	-3	-3	-3		
Суммарное снижение поверхностью земли на траектории распространения звука Азг, дБ		Ф-ла (9) [10]	-6	-6	-6	-6	-6	-6	-6	-6	-6		
Уровни звукового давления прямого звука от источника ИШ-58п. В17 КВБИС в расчётной точке днём, дБ		Ф-ла(3)[10]	0	22	26,2	30,2	24,6	14,6	0	0	25,1	25,1	
Уровни звукового давления прямого звука от источника ИШ-58п. В17 КВБИС в расчётной точке ночью, дБ		Ф-ла(3)[10]	0	22	26,2	30,2	24,6	14,6	0	0	25,1	25,1	

Расчёт отражённого звука

Уровни звукового давления от минимого источника ИШ-58п. В17 КВБИС, мм.(1) в расчётной точке днём, дБ	Ф-ла(3) [10]	0	0	0	0	0	0	0	0	0	0	0
Уровни звукового давления от минимого источника ИШ-58п. В17 КВБИС, мм.(1) в расчётной точке ночью, дБ	Ф-ла(3) [10]	0	0	0	0	0	0	0	0	0	0	0
Уровни звукового давления от источника ИШ-58п. В17 КВБИС в расчётной точке днём, дБ	Ф-ла(3) [10]	0	22	26,2	30,2	24,6	14,6	0	0	0	25,1	25,1
Уровни звукового давления от источника ИШ-58п. В17 КВБИС в расчётной точке ночью, дБ	Ф-ла(3) [10]	0	22	26,2	30,2	24,6	14,6	0	0	0	25,1	25,1

1													
Учет затухания звука в атмосфере Азпм, ДБ													
Ф-м [8] [10]													
0,1 0,3 0,9 3,2 7,9 14,1 25,6 65,5 220,1													
Снижение поверхностью земли возле источника Аз, ДБ													
Ф-м таб.3 [10]													
-1,5 -1,5 -1,5 -1,5 -1,5 -1,5 -1,5 -1,5 -1,5													
Снижение поверхностью земли возле приёмника Аг, ДБ													
Ф-м таб.3 [10]													
-1,5 -1,5 -1,5 -1,5 -1,5 -1,5 -1,5 -1,5 -1,5													
Снижение поверхностью земли в средней зоне, Ап ДБ													
Ф-м таб.3 [10]													
-2,4 -2,4 -2,4 -2,4 -2,4 -2,4 -2,4 -2,4 -2,4													
Суммарное снижение поверхностью земли на траектории распространения звука Азг, ДБ													
Ф-м [9] [10]													
-5,4 -5,4 -5,4 -5,4 -5,4 -5,4 -5,4 -5,4 -5,4													
Снижение уровня звукового давления из-за влияния застройки между источником шума и расчётной точкой													
Длина звуковой волны для среднегеометрической частоты октавной полосы λ, м													
10,79 5,4 2,72 1,36 0,68 0,34 0,17 0,09 0,04													
Промежуточные тонсы:													
Р _{экв,λ} = (648,157,921,98,15,54) d ₀ = 89,88 м d ₀ = 27,65-52 м r = 0,07 м													
Константа С ₂ , учитывающая эффект отражения от земли возле здания													
20 20 20 20 20 20 20 20 20													
Константа С ₁ (дифракция на кровлях)													
Ф-м [15] [10]													
1 1 1 1 1 1 1 1 1													
K _{зем} (влияние метеорологии)													
Ф-м [18] [10]													
1 1 1 1 1 1 1 1 1													
Dz, дБ													
Ф-м [14] [10]													
4,6 4,4 3,9 2,9 0 0 0 0 0													
Снижение УЗД, Абзг, дБ													
Ф-м [13] [10]													
4,6 4,4 3,9 2,9 0 0 0 0 0													
Промежуточные тонсы:													
Р _{экв,λ} = (631,321,5009,66,9,80) d ₀ = 56,39 м d ₀ = 27,79-36 м r = 0,07 м													
Константа С ₂ , учитывающая эффект отражения от земли возле здания													
20 20 20 20 20 20 20 20 20													
Константа С ₁ (дифракция на кровлях)													
Ф-м [15] [10]													
1 1 1 1 1 1 1 1 1													
K _{зем} (влияние метеорологии)													
Ф-м [18] [10]													
1 1 1 1 1 1 1 1 1													
Dz, дБ													
Ф-м [14] [10]													
3,8 2,6 0 0 0 0 0 0 0													
Снижение УЗД, Абзг, дБ													
Ф-м [12] [10]													
3,8 2,6 0 0 0 0 0 0 0													
Эк. суммар. Абзг...j													
3,2 0,4 0 0 0 0 0 0 0													
Общее снижение уровня звука препятствием Абзг, ДБ													
Эк. суммар. Абзг...j													
3,2 0,4 0 0 0 0 0 0 0													
Уровни звукового давления от источника ИШ-Зпр. В1 (узел отгрузки концентратов) в расчётной точке днём, ДБ													
Ф-м [3] [10]													
0 0 0 0 0 0 0 0 0													
Уровни звукового давления от источника ИШ-Зпр. В1 (узел отгрузки концентратов) в расчётной точке ночью, ДБ													
Ф-м [3] [10]													
0 0 0 0 0 0 0 0 0													
ИШ-Зпр. Работа погрузчика													
Источники линейный: протяжённость = 57,72 м. По положением ГОСТ 31295-2 разбит на серию точечных эквивалентных источников. Количество эквивалентных источников: 1.													
Расчёт эквивалентных источников шума:													
Октавные уровни удельной звуковой мощности источника днём, Лw, дБ/м													
исходные данные													
0 0 57,8 54,8 51,8 48,8 42,8 0													
Октавные уровни удельной звуковой мощности источника ночью, Лw, дБ/м													
исходные данные													
0 0 57,8 54,8 51,8 48,8 42,8 0													
Уровни звукового давления от источника ИШ-Зпр. Работа погрузчика_эшел(1) в расчётной точке днём, ДБ													
Ф-м [3] [10]													
0 0 0 0 0 0 0 0 0													
Уровни звукового давления от источника ИШ-Зпр. Работа погрузчика_эшел(1) в расчётной точке ночью, ДБ													
Ф-м [3] [10]													
0 0 0 0 0 0 0 0 0													
Суммарные уровни звукового давления от линейного источника ИШ-Зпр. Работа погрузчика в расчётной точке днём, ДБ													
Ф-м [19] [1]													
0 0 0 0 0 0 0 0 0													
Суммарные уровни звукового давления от линейного источника ИШ-Зпр. Работа погрузчика в расчётной точке ночью, ДБ													
Ф-м [19] [1]													
0 0 0 0 0 0 0 0 0													
ИШ-Зпр. Работа ринкстера													
Источники линейный: протяжённость = 150,51 м. По положением ГОСТ 31295-2 разбит на серию точечных эквивалентных источников. Количество эквивалентных источников: 3.													
Расчёт эквивалентных источников шума:													
Октавные уровни удельной звуковой мощности источника днём, Лw, дБ/м													
исходные данные													
0 0 88,1 82,1 82,1 79,1 73,1 0													
Октавные уровни удельной звуковой мощности источника ночью, Лw, дБ/м													
исходные данные													
0 0 88,1 82,1 82,1 79,1 73,1 0													

1		2		3	4	5	6	7	8	9	10	11	12	13
Суммарные уровни звукового давления от линейного источника ИШ-62 п. Дефлектор ГМУ-1 в расчётной точке днём, дБ		Ф-м [10]		0	0	21,3	19,2	13,2	0	0	0	0	14	23,6
Суммарные уровни звукового давления от линейного источника ИШ-62 п. Дефлектор ГМУ-1 в расчётной точке ночью, дБ		Ф-м [10]		0	0	21,3	19,2	13,2	0	0	0	0	14	23,6
ИШ-63 п. Дефлектор ГМУ-1														
Источники: линейный, протяжённость = 2,98 м. По положению ГОСТ 31395-2 разбить на серию точечных эквивалентных источников. Количество эквивалентных источников 1. Расчёт эквивалентных источников шума:														
Оконтурные уровни удельной звуковой мощности источника днём, Лв, дБ/м		исходные данные		0	0	94,3	91,3	88,3	88,3	85,3	79,3	0		
Оконтурные уровни удельной звуковой мощности источника ночью, Лв, дБ/м		исходные данные		0	0	94,3	91,3	88,3	88,3	85,3	79,3	0		
Уровни звукового давления от источника ИШ-63 п. Дефлектор ГМУ-1, экв(1) в расчётной точке днём, дБ		Ф-м[3][10]		0	0	22,1	18,5	12,2	0	0	0	0	13,4	23,2
Уровни звукового давления от источника ИШ-63 п. Дефлектор ГМУ-1, экв(1) в расчётной точке ночью, дБ		Ф-м[3][10]		0	0	22,1	18,5	12,2	0	0	0	0	13,4	23,2
Суммарные уровни звукового давления от линейного источника ИШ-63 п. Дефлектор ГМУ-1 в расчётной точке днём, дБ		Ф-м [10][11]		0	0	22,1	18,5	12,2	0	0	0	0	13,4	23,2
Суммарные уровни звукового давления от линейного источника ИШ-63 п. Дефлектор ГМУ-1 в расчётной точке ночью, дБ		Ф-м [10][11]		0	0	22,1	18,5	12,2	0	0	0	0	13,4	23,2
Источники шума: ИШ-1пр. ПЦ(узел отгрузки концентраторов), координаты источника (х,у,z), м =(6579,73;4988,31;13,00)														
Уровни звуковой мощности источника днём, Лв, дБ		исходные данные		0	59	64	49	30	27	27	27	27	27	
Уровни звуковой мощности источника ночью, Лв, дБ		исходные данные		0	59	64	49	30	27	27	27	27	27	
Поправка на телесный угол Dт, дБ		Ω = 6,28		3	3	3	3	3	3	3	3	3	3	
Показатель направленности источника Dн, дБ		исходные данные		0	0	0	0	0	0	0	0	0	0	
Поправка на направленность источника Dс, дБ		Dс1 + Dн		3	3	3	3	3	3	3	3	3	3	
Загрузка м-из-за геометрической дивергенции, Адв, дБ		расстояние = 2843,20 м		80,1										
Коэффициент затухания звука в атмосфере α, дБ/км		T=20°C P=101,33,кПа hотн.=70%		0,02	0,09	0,33	1,12	2,79	4,98	9,04	23,09	77,63		
Учит затухания звука в атмосфере Аатм, дБ		исходные данные		0,1	0,3	1	3,2	7,9	14,2	25,7	65,8	221,1		
Снижение поверхностью земли вблизи источника Аз, дБ		Gс = 0 hс = 23м		-1,5	-1,5	-1,5	-1,5	-1,5	-1,5	-1,5	-1,5	-1,5	-1,5	
Снижение поверхностью земли вблизи приёмника Аг, дБ		Gг = 0 hг = 1,5м		-1,5	-1,5	-1,5	-1,5	-1,5	-1,5	-1,5	-1,5	-1,5	-1,5	
Снижение поверхностью земли в средней зоне, Асп, дБ		Gм = 0		-2,5	-2,5	-2,5	-2,5	-2,5	-2,5	-2,5	-2,5	-2,5	-2,5	
Суммарное снижение поверхностью земли на траектории распространения звука Агт, дБ		исходные данные		-5,5	-5,5	-5,5	-5,5	-5,5	-5,5	-5,5	-5,5	-5,5	-5,5	
Уровни звукового давления от источника ИШ-1пр. ПЦ(узел отгрузки концентраторов) в расчётной точке днём, дБ		Ф-м[3][10]		0	0	0	0	0	0	0	0	0	0	0
Уровни звукового давления от источника ИШ-1пр. ПЦ(узел отгрузки концентраторов) в расчётной точке ночью, дБ		Ф-м[3][10]		0	0	0	0	0	0	0	0	0	0	0
Источники шума: ИШ-2пр. В1 (узел отгрузки концентраторов), координаты источника (х,у,z), м =(6563,02;4983,98;16,00)														
Уровни звуковой мощности источника днём, Лв, дБ		исходные данные		0	56	56	54	58	59	58	70	61		
Уровни звуковой мощности источника ночью, Лв, дБ		исходные данные		0	56	56	54	58	59	58	70	61		
Поправка на телесный угол Dт, дБ		Ω = 6,28		3	3	3	3	3	3	3	3	3	3	
Показатель направленности источника Dн, дБ		исходные данные		0	0	0	0	0	0	0	0	0	0	
Поправка на направленность источника Dс, дБ		Dс1 + Dн		3	3	3	3	3	3	3	3	3	3	
Загрузка м-из-за геометрической дивергенции, Адв, дБ		расстояние = 2833,33 м		80,1										
Коэффициент затухания звука в атмосфере α, дБ/км		T=20°C P=101,33,кПа hотн.=70%		0,02	0,09	0,33	1,12	2,79	4,98	9,04	23,09	77,63		

1		2										
Траектория слева от экрана	Снижение УЗД, Абв, дБ	Ф-ла (12) [10]	4,8	4,8	4,8	4,8	4,8	4,8	4,8	4,8	4,8	4,8
	Промежуточные точки	Ф-ла (12) = (6529,77; 5050,15; 11,27)	dв = 19,92 м									
	Константа С2, учитывающая эффект отражения от земли возле экрана		20	20	20	20	20	20	20	20	20	20
	Константа С3 (дифракция на экранах)	Ф-ла (15) [10]	1,1	1,3	1,9	2,5	2,9	3	3	3	3	3
	K _{пом} (линейные метеороусовий)	Ф-ла (18) [10]	1	1	1	1	1	1	1	1	1	1
	Dz, дБ	Ф-ла (14) [10]	10,3	13,3	17,4	21,5	25	28,2	31,2	34,2	37,2	37,2
	Снижение УЗД, Абв, дБ	Ф-ла (13) [10]	10,3	13,3	17,4	21,5	25	28,2	31,2	34,2	37,2	37,2
	Промежуточные точки	Ф-ла (12) = (6529,77; 5050,15; 11,27)	dв = 54,34 м									
	Константа С2, учитывающая эффект отражения от земли возле экрана		20	20	20	20	20	20	20	20	20	20
	Константа С3 (дифракция на экранах)	Ф-ла (15) [10]	1	1	1	1	1	1	1	1	1	1
Траектория справа от экрана	K _{пом} (линейные метеороусовий)	Ф-ла (18) [10]	1	1	1	1	1	1	1	1	1	1
	Dz, дБ	Ф-ла (14) [10]	18,7	21,6	24,6	27,6	30,6	33,6	36,6	39,6	42,6	42,6
	Снижение УЗД, Абв, дБ	Ф-ла (13) [10]	18,7	21,6	24,6	27,6	30,6	33,6	36,6	39,6	42,6	42,6
	Общее снижение уровня звука препятствием Абвг, дБ	Эк. сумма (Абвг...)	3,6	4,1	4,5	4,7	4,7	4,7	4,8	4,8	4,8	4,8
	Уровни звукового давления от источника ИШ-9рц, МО1(РСО) в расчётной точке днём, дБ	Ф-ла (9) [10]	0	0	1,7	0	0	0	0	0	0	0
	Уровни звукового давления от источника ИШ-9рц, МО1(РСО) в расчётной точке ночью, дБ	Ф-ла (9) [10]	0	0	1,7	0	0	0	0	0	0	0
	ИШ-10рц, Проезд г/а											
	Источники линейный, протяжённость = 117,80 м. По положению ГОСТ 31295-2 разбит на серии точечных эквивалентных источников. Количество эквивалентных источников: 2. Расчёт эквивалентных источников шума:											
	Оконтные уровни удельной звуковой мощности источника днём, Лв, дБ/м	исходные данные	0	63,8	57,4	54,4	51,6	51,7	48	43,1	35,1	
	Оконтные уровни удельной звуковой мощности источника ночью, Лв, дБ/м	исходные данные	0	61,3	54,9	51,9	49,1	49,2	45,5	40,6	32,6	
Траектория справа от экрана	Уровни звукового давления от источника ИШ-10рц, Проезд г/а, эя(1) в расчётной точке днём, дБ	Ф-ла (9) [10]	0	4,5	0	0	0	0	0	0	0	17,8
	Уровни звукового давления от источника ИШ-10рц, Проезд г/а, эя(1) в расчётной точке ночью, дБ	Ф-ла (9) [10]	0	0	0	0	0	0	0	0	0	17,8
	Уровни звукового давления от источника ИШ-10рц, Проезд г/а, эя(2) в расчётной точке днём, дБ	Ф-ла (9) [10]	0	7,9	0	0	0	0	0	0	0	19,2
	Уровни звукового давления от источника ИШ-10рц, Проезд г/а, эя(2) в расчётной точке ночью, дБ	Ф-ла (9) [10]	0	0	0	0	0	0	0	0	0	19,2
	Суммарные уровни звукового давления от линейного источника ИШ-10рц, Проезд г/а в расчётной точке днём, дБ	Ф-ла (19) [1]	0	9,6	0	0	0	0	0	0	0	19,2
	Суммарные уровни звукового давления от линейного источника ИШ-10рц, Проезд г/а в расчётной точке ночью, дБ	Ф-ла (19) [1]	0	0	0	0	0	0	0	0	0	19,2
	ИШ-11рц, ТП, координаты источника (х,у,z), м = [6529,77; 5050,15; 11,00]											
	Уровни звуковой мощности источника днём, Лв, дБ	исходные данные	0	68,1	66,5	62,8	58,6	54,6	50,4	47	43,9	
	Уровни звуковой мощности источника ночью, Лв, дБ	исходные данные	0	66,1	66,5	62,8	58,6	54,6	50,4	47	43,9	
	Поправка на телесный угол Dх, дБ	Ω = 6,28	3	3	3	3	3	3	3	3	3	
Траектория справа от экрана	Показатель направленности источника D, дБ	исходные данные	0	0	0	0	0	0	0	0	0	
	Поправка на направленность источника Dс, дБ	Dс	3	3	3	3	3	3	3	3	3	
	Загугание из-за геометрической дивергенции, Адв, дБ	расстояние = 2775,76 м										
	Коэффициент загугания звука в атмосфере α, дБ/м	Тв=20,°C Р=10133,4Па hотм=70%	0,02	0,09	0,33	1,12	2,79	4,98	9,04	23,09	77,63	
	Учет загугания звука в атмосфере Аатм, дБ		0,1	0,2	0,9	3,1	7,7	13,7	25	63,7	216,4	
	Снижение поверхности земли возле источника Ас, дБ	Gс = 0 hс = 0,1м	-1,5	-1,5	-1,5	-1,5	-1,5	-1,5	-1,5	-1,5	-1,5	
	Снижение поверхности земли возле приёмника Аг, дБ	Gг = 0 hг = 1,5м	-1,5	-1,5	-1,5	-1,5	-1,5	-1,5	-1,5	-1,5	-1,5	
	Снижение поверхности земли в средней зоне, Ап, дБ	Gп = 0	-2,9	-2,9	-2,9	-2,9	-2,9	-2,9	-2,9	-2,9	-2,9	
	Снижение поверхности земли на траектории распространения звука Абг, дБ	Сп = 0	-5,9	-5,9	-5,9	-5,9	-5,9	-5,9	-5,9	-5,9	-5,9	
	Снижение уровня звукового давления из-за влияния застройки между источником шума и расчётной точкой											

1		2										
Траектория над экраном	Учет загугания звука в атмосфере Аатм, дБ	Ф-ла (8) [10]	0,1	0,2	0,9	3,1	7,8	13,9	25,2	64,3	216,3	
	Снижение поверхностью земли возле источника Ас, дБ	Gс = 0 hс = 0,1м	-1,5	-1,5	-1,5	-1,5	-1,5	-1,5	-1,5	-1,5	-1,5	
	Снижение поверхностью земли возле приёмника Аг, дБ	Gг = 0 hг = 1,5м	-1,5	-1,5	-1,5	-1,5	-1,5	-1,5	-1,5	-1,5	-1,5	
	Снижение поверхности земли в средней зоне, Ап, дБ	Gп = 0	-2,9	-2,9	-2,9	-2,9	-2,9	-2,9	-2,9	-2,9	-2,9	
	Снижение поверхности земли на траектории распространения звука Абг, дБ	Сп = 0	-5,9	-5,9	-5,9	-5,9	-5,9	-5,9	-5,9	-5,9	-5,9	
	Снижение уровня звукового давления из-за влияния застройки между источником шума и расчётной точкой											
	Длина звуковой волны для среднегеометрической частоты октавной полосы, λ, м	10,79	5,4	2,72	1,36	0,68	0,34	0,17	0,09	0,04		
	Промежуточные точки	Ф-ла (12) = (6529,77; 5050,15; 11,27)	dв = 14,33 м									
	Константа С2, учитывающая эффект отражения от земли возле экрана		20	20	20	20	20	20	20	20	20	20
	Константа С3 (дифракция на экранах)	Ф-ла (15) [10]	1,5	2,1	2,7	2,9	3	3	3	3	3	3
Траектория над экраном	K _{пом} (линейные метеороусовий)	Ф-ла (18) [10]	0	0	0	0	0	0	0	0	0	0
	Dz, дБ	Ф-ла (14) [10]	4,8	5	5,3	5,8	6,6	7,9	9,7	11,9	14,5	
	Снижение УЗД, Абв, дБ	Ф-ла (12) [10]	4,8	5	5,3	5,8	6,6	7,9	9,7	11,9	14,5	
	Уровни звукового давления от источника ИШ-9рц, В2(РСО) в расчётной точке днём, дБ	Ф-ла (9) [10]	0	0	0	0	0	0	0	0	0	0
	Уровни звукового давления от источника ИШ-9рц, В2(РСО) в расчётной точке ночью, дБ	Ф-ла (9) [10]	0	0	0	0	0	0	0	0	0	0
	Источники шума: ИШ-9рц, МО1(РСО), координаты источника (х,у,z), м = [6530,19; 5084,43; 18,50]											
	Уровни звуковой мощности источника днём, Лв, дБ	исходные данные	0	68	78	72	73	74	70	70	64	
	Уровни звуковой мощности источника ночью, Лв, дБ	исходные данные	0	68	78	72	73	74	70	70	64	
	Поправка на телесный угол Dх, дБ	Ω = 6,28	3	3	3	3	3	3	3	3	3	
	Показатель направленности источника D, дБ	исходные данные	0	0	0	0	0	0	0	0	0	
Траектория над экраном	Поправка на направленность источника Dс, дБ	Dс	3	3	3	3	3	3	3	3	3	
	Загугание из-за геометрической дивергенции, Адв, дБ	расстояние = 2761,13 м										
	Коэффициент загугания звука в атмосфере α, дБ/м	Тв=20,°C Р=10133,4Па hотм=70%	0,02	0,09	0,33	1,12	2,79	4,98	9,04	23,09	77,63	
	Учет загугания звука в атмосфере Аатм, дБ	Ф-ла (8) [10]	0,1	0,2	0,9	3,1	7,7	13,7	25	63,7	216,4	
	Снижение поверхности земли возле источника Ас, дБ	Gс = 0 hс = 0,1м	-1,5	-1,5	-1,5	-1,5	-1,5	-1,5	-1,5	-1,5	-1,5	
	Снижение поверхности земли возле приёмника Аг, дБ	Gг = 0 hг = 1,5м	-1,5	-1,5	-1,5	-1,5	-1,5	-1,5	-1,5	-1,5	-1,5	
	Снижение поверхности земли в средней зоне, Ап, дБ	Gп = 0	-2,9	-2,9	-2,9	-2,9	-2,9	-2,9	-2,9	-2,9	-2,9	
	Снижение поверхности земли на траектории распространения звука Абг, дБ	Сп = 0	-5,9	-5,9	-5,9	-5,9	-5,9	-5,9	-5,9	-5,9	-5,9	
	Снижение уровня звукового давления из-за влияния застройки между источником шума и расчётной точкой											
	Длина звуковой волны для среднегеометрической частоты октавной полосы, λ, м	10,79	5,4	2,72	1,36	0,68	0,34	0,17	0,09	0,04		

1		2										
Траектория над экраном	Учет загугания звука в атмосфере Аатм, дБ	Ф-ла (8) [10]	0,1	0,2	0,9	3,1	7,8	13,9	25,2	64,3	216,3	
	Снижение поверхностью земли возле источника Ас, дБ	Gс = 0 hс = 0,1м	-1,5	-1,5	-1,5	-1,5	-1,5	-1,5	-1,5	-1,5	-1,5	
	Снижение поверхностью земли возле приёмника Аг, дБ	Gг = 0 hг = 1,5м	-1,5	-1,5	-1,5	-1,5	-1,5	-1,5	-1,5	-1,5	-1,5	
	Снижение поверхности земли в средней зоне, Ап, дБ	Gп = 0	-2,9	-2,9	-2,9	-2,9	-2,9	-2,9	-2,9	-2,9	-2,9	
	Снижение поверхности земли на траектории распространения звука Абг, дБ	Сп = 0	-5,9	-5,9	-5,9	-5,9	-5,9	-5,9	-5,9	-5,9	-5,9	
	Снижение уровня звукового давления из-за влияния застройки между источником шума и расчётной точкой											
	Длина звуковой волны для среднегеометрической частоты октавной полосы, λ, м	10,79	5,4	2,72	1,36	0,68	0,34	0,17	0,09	0,04		
	Промежуточные точки	Ф-ла (12) = (6529,77; 5050,15; 11,27)	dв = 14,33 м									
	Константа С2, учитывающая эффект отражения от земли возле экрана		20	20	20	20	20	20	20	20	20	20
	Константа С3 (дифракция на экранах)	Ф-ла (15) [10]	1,5	2,1	2,7	2,9	3	3	3	3	3	3
Траектория над экраном	K _{пом} (линейные метеороусовий)	Ф-ла (18) [10]	0	0	0	0	0	0	0	0	0	0
	Dz, дБ	Ф-ла (14) [10]	4,8	5	5,3	5,8	6,6	7,9	9,7	11,9	14,5	
	Снижение УЗД, Абв, дБ	Ф-ла (12) [10]	4,8	5	5,3	5,8	6,6	7,9	9,7	11,9	14,5	
	Уровни звукового давления от источника ИШ-9рц, В2(РСО) в расчётной точке днём, дБ	Ф-ла (9) [10]	0	0	0	0	0	0	0	0	0	0
	Уровни звукового давления от источника ИШ-9рц, В2(РСО) в расчётной точке ночью, дБ	Ф-ла (9) [10]	0	0	0	0	0	0	0	0	0	0
	Источники шума: ИШ-9рц, МО1(РСО), координаты источника (х,у,z), м = [6530,19; 5084,43; 18,50]											
	Уровни звуковой мощности источника днём, Лв, дБ	исходные данные	0	68	78	72	73	74	70	70	64	
	Уровни звуковой мощности источника ночью, Лв, дБ	исходные данные	0	68	78	72	73	74	70	70	64	
	Поправка на телесный угол Dх, дБ	Ω = 6,28	3	3	3	3	3	3	3	3	3	
	Показатель направленности источника D, дБ	исходные данные	0	0	0	0	0	0	0	0	0	
Траектория над экраном	Поправка на направленность источника Dс, дБ	Dс	3	3	3	3	3	3	3	3	3	
	Загугание из-за геометрической дивергенции, Адв, дБ	расстояние = 2761,13 м										
	Коэффициент загугания звука в атмосфере α, дБ/м	Тв=20,°C Р=10133,4Па hотм=70%	0,02	0,09	0,33	1,12	2,79	4,98	9,04	23,09	77,63	
	Учет загугания звука в атмосфере Аатм, дБ	Ф-ла (8) [10]	0,1	0,2	0,9	3,1	7,7	13,7	25	63,7	216,4	
	Снижение поверхности земли возле источника Ас, дБ	Gс = 0 hс = 0,1м	-1,5	-1,5	-1,5	-1,5	-1,5	-1,5	-1,5	-1,5	-1,5	
	Снижение поверхности земли возле приёмника Аг, дБ	Gг = 0 hг = 1,5м	-1,5	-1,5	-1,5	-1,5	-1,5	-1,5	-1,5	-1,5	-1,5	
	Снижение поверхности земли в средней зоне, Ап, дБ	Gп = 0	-2,9	-2,9	-2,9	-2,9	-2,9	-2,9	-2,9	-2,9	-2,9	
	Снижение поверхности земли на траектории распространения звука Абг, дБ	Сп = 0	-5,9	-5,9	-5,9	-5,9	-5,9	-5,9	-5,9	-5,9	-5,9	
	Снижение уровня звукового давления из-за влияния застройки между источником шума и расчётной точкой											
	Длина звуковой волны для среднегеометрической частоты октавной полосы, λ, м	10,79	5,4	2,72	1,36	0,68	0,34	0,17	0,09	0,04		

1													2												
Уровни звукового давления от источника ИШ-13рч. ТП в расчётной точке ночью, ДБ													Ф-ла [9] [10]												
ИШ-13рч. Работа рингастера на пл ЦМТО																									
Источники линейный, протяжённость = 91,79 м. По положением ГОСТ 31295-2 разбит на серию точечных эквивалентных источников. Количество эквивалентных источников: 1. Расчет эквивалентных источников шума:																									
Октавные уровни удельной звуковой мощности источника днев, Лw, дБ/м													исходные данные												
Октавные уровни удельной звуковой мощности источника ночью, Лw, дБ/м													исходные данные												
Уровни звукового давления от источника ИШ-13рч. Работа рингастера на пл ЦМТО, жк(1) в расчётной точке днём, ДБ													Ф-ла [9] [10]												
Уровни звукового давления от источника ИШ-13рч. Работа рингастера на пл ЦМТО, жк(1) в расчётной точке ночью, ДБ													Ф-ла [9] [10]												
Суммарные уровни звукового давления от линейного источника ИШ-13рч. Работа рингастера на пл ЦМТО в расчётной точке днём, ДБ													Ф-ла [19] [1]												
Суммарные уровни звукового давления от линейного источника ИШ-13рч. Работа рингастера на пл ЦМТО в расчётной точке ночью, ДБ													Ф-ла [19] [1]												
ИШ-14рч. Проезд г/а																									
Источники линейный, протяжённость = 1579,50 м. По положением ГОСТ 31295-2 разбит на серию точечных эквивалентных источников. Количество эквивалентных источников: 3. Расчет эквивалентных источников шума:																									
Октавные уровни удельной звуковой мощности источника днев, Лw, дБ/м													исходные данные												
Октавные уровни удельной звуковой мощности источника ночью, Лw, дБ/м													исходные данные												
Уровни звукового давления от источника ИШ-14рч. Проезд г/а, эяв(1) в расчётной точке днём, ДБ													Ф-ла [9] [10]												
Уровни звукового давления от источника ИШ-14рч. Проезд г/а, эяв(1) в расчётной точке ночью, ДБ													Ф-ла [9] [10]												
Уровни звукового давления от источника ИШ-14рч. Проезд г/а, эяв(2) в расчётной точке днём, ДБ													Ф-ла [9] [10]												
Уровни звукового давления от источника ИШ-14рч. Проезд г/а, эяв(2) в расчётной точке ночью, ДБ													Ф-ла [9] [10]												
Уровни звукового давления от источника ИШ-14рч. Проезд г/а, эяв(3) в расчётной точке днём, ДБ													Ф-ла [9] [10]												
Уровни звукового давления от источника ИШ-14рч. Проезд г/а, эяв(3) в расчётной точке ночью, ДБ													Ф-ла [9] [10]												
Суммарные уровни звукового давления от линейного источника ИШ-14рч. Проезд г/а в расчётной точке днём, ДБ													Ф-ла [19] [1]												
Суммарные уровни звукового давления от линейного источника ИШ-14рч. Проезд г/а в расчётной точке ночью, ДБ													Ф-ла [19] [1]												
Источники шума: ИШ-0162. Дымовая труба ТЭЦ, координаты источника (х,у,z), м = [6712,43;297;58,80,00]																									

Источники шума: ИШ-0162. Дымовая труба ТЭЦ, координаты источника (х,у,z), м = [6712,43;297;58,80,00]																									
Уровни звуковой мощности источника днев, Лw, дБ													исходные данные												
Уровни звуковой мощности источника ночью, Лw, дБ													исходные данные												
Поправка на телесный угол D0, дБ													Ω = 6,28												
Показатель направленности источника D1, дБ													исходные данные												
Поправка на направленность источника Dc, дБ													Dc												
Затухание из-за геометрической дивергенции, Адв, дБ													Ф-ла [7] [10]												
Коэффициент затухания звука в атмосфере α, дБ/км													Т=20,°C P=1013,3Па hотн=70%												
Учет затухания звука в атмосфере Аатм, дБ													Ф-ла [8] [10]												
Снижение поверхностью земли возле источника Аз, дБ													Gz = 0 hг = 80м												
Снижение поверхностью земли возле приёмника Аг, дБ													Gг = 0 hг = 1,5м												
Снижение поверхностью земли в средней зоне, Аср, дБ													Gm = 0												
80,1																									

1													2																																																																																																																																																																																																																																																																																																																																																																																																																																																																																																																																																																																																																																																																																																																																																																																																																																																																																																																																																																																																																																																																																																																																																																																																																																																																																																																																																																																																																																																																																																																																																																																																																																																																																																																																																																																																																																																																																																																																																																																																																																																																																																																																																																																																																																																																																																																																																																																																																																																																																																																																																																																																																																																																																																																																																																																																																																																																																																																																																																																																																																																																																																																																																																																																																																																																																																																																																																																																																																																																																																																																																																																																																																																																																																																																																																																																																																																																																																																																																																																																																																																																																																																																																																																																																																																																																																																																																																																																																																																																																																																																																																																																																																																																																																																																																																																																																																																																																																																																																																																																																																																																																																																																																																																																																																																																													
Снижение поверхностью земли возле источника Аз, дБ													Gз = 0 hз = 1м																																																																																																																																																																																																																																																																																																																																																																																																																																																																																																																																																																																																																																																																																																																																																																																																																																																																																																																																																																																																																																																																																																																																																																																																																																																																																																																																																																																																																																																																																																																																																																																																																																																																																																																																																																																																																																																																																																																																																																																																																																																																																																																																																																																																																																																																																																																																																																																																																																																																																																																																																																																																																																																																																																																																																																																																																																																																																																																																																																																																																																																																																																																																																																																																																																																																																																																																																																																																																																																																																																																																																																																																																																																																																																																																																																																																																																																																																																																																																																																																																																																																																																																																																																																																																																																																																																																																																																																																																																																																																																																																																																																																																																																																																																																																																																																																																																																																																																																																																																																																																																																																																																																																																																																																																																																																													
Снижение поверхностью земли возле приёмника Аг, дБ													Gг = 0 hг = 1,5м																																																																																																																																																																																																																																																																																																																																																																																																																																																																																																																																																																																																																																																																																																																																																																																																																																																																																																																																																																																																																																																																																																																																																																																																																																																																																																																																																																																																																																																																																																																																																																																																																																																																																																																																																																																																																																																																																																																																																																																																																																																																																																																																																																																																																																																																																																																																																																																																																																																																																																																																																																																																																																																																																																																																																																																																																																																																																																																																																																																																																																																																																																																																																																																																																																																																																																																																																																																																																																																																																																																																																																																																																																																																																																																																																																																																																																																																																																																																																																																																																																																																																																																																																																																																																																																																																																																																																																																																																																																																																																																																																																																																																																																																																																																																																																																																																																																																																																																																																																																																																																																																																																																																																																																																																																																																													
Снижение поверхностью земли в средней зоне, Ап дБ													Gп = 0																																																																																																																																																																																																																																																																																																																																																																																																																																																																																																																																																																																																																																																																																																																																																																																																																																																																																																																																																																																																																																																																																																																																																																																																																																																																																																																																																																																																																																																																																																																																																																																																																																																																																																																																																																																																																																																																																																																																																																																																																																																																																																																																																																																																																																																																																																																																																																																																																																																																																																																																																																																																																																																																																																																																																																																																																																																																																																																																																																																																																																																																																																																																																																																																																																																																																																																																																																																																																																																																																																																																																																																																																																																																																																																																																																																																																																																																																																																																																																																																																																																																																																																																																																																																																																																																																																																																																																																																																																																																																																																																																																																																																																																																																																																																																																																																																																																																																																																																																																																																																																																																																																																																																																																																																																																																													
Суммарное снижение поверхностью земли на траектории распространения звука Азг, дБ													Ф-па [9] [10]																																																																																																																																																																																																																																																																																																																																																																																																																																																																																																																																																																																																																																																																																																																																																																																																																																																																																																																																																																																																																																																																																																																																																																																																																																																																																																																																																																																																																																																																																																																																																																																																																																																																																																																																																																																																																																																																																																																																																																																																																																																																																																																																																																																																																																																																																																																																																																																																																																																																																																																																																																																																																																																																																																																																																																																																																																																																																																																																																																																																																																																																																																																																																																																																																																																																																																																																																																																																																																																																																																																																																																																																																																																																																																																																																																																																																																																																																																																																																																																																																																																																																																																																																																																																																																																																																																																																																																																																																																																																																																																																																																																																																																																																																																																																																																																																																																																																																																																																																																																																																																																																																																																																																																																																																																																																													
Снижение уровня звукового давления из-за влияния застройки между источником шума и расчётной точкой																																																																																																																																																																																																																																																																																																																																																																																																																																																																																																																																																																																																																																																																																																																																																																																																																																																																																																																																																																																																																																																																																																																																																																																																																																																																																																																																																																																																																																																																																																																																																																																																																																																																																																																																																																																																																																																																																																																																																																																																																																																																																																																																																																																																																																																																																																																																																																																																																																																																																																																																																																																																																																																																																																																																																																																																																																																																																																																																																																																																																																																																																																																																																																																																																																																																																																																																																																																																																																																																																																																																																																																																																																																																																																																																																																																																																																																																																																																																																																																																																																																																																																																																																																																																																																																																																																																																																																																																																																																																																																																																																																																																																																																																																																																																																																																																																																																																																																																																																																																																																																																																																																																																																																																																																																																																																										
Длина звуковой волны для среднегеометрической частоты октавной полосы, λ, м													10,79													5,4										2,72										1,36										0,68										0,34										0,17										0,09										0,04																																																																																																																																																																																																																																																																																																																																																																																																																																																																																																																																																																																																																																																																																																																																																																																																																																																																																																																																																																																																																																																																																																																																																																																																																																																																																																																																																																																																																																																																																																																																																																																																																																																																																																																																																																																																																																																																																																																																																																																																																																																																																																																																																																																																																																																																																																																																																																																																																																																																																																																																																																																																																																																																																																																																																																																																																																																																																																																																																																																																																																																																																																																																																																																																																																																																																																																																																																																																																																																																																																																																																																																																																																																																																																																																																																																																																																																																																																																																																																																																																																																																																																																																																																																																																																																																																																																																																																																																																																																																																																																																																																																																																																																																																																																																																																																																																																																																																																																																																																																																																																																																																																																																																																																										
Промежуточные тонки:													Рнхх,у,z = (64837,5;60,63,3;3,70)													d0 = 2,75 м													e = 44,9 м													z = 2,24 м																																																																																																																																																																																																																																																																																																																																																																																																																																																																																																																																																																																																																																																																																																																																																																																																																																																																																																																																																																																																																																																																																																																																																																																																																																																																																																																																																																																																																																																																																																																																																																																																																																																																																																																																																																																																																																																																																																																																																																																																																																																																																																																																																																																																																																																																																																																																																																																																																																																																																																																																																																																																																																																																																																																																																																																																																																																																																																																																																																																																																																																																																																																																																																																																																																																																																																																																																																																																																																																																																																																																																																																																																																																																																																																																																																																																																																																																																																																																																																																																																																																																																																																																																																																																																																																																																																																																																																																																																																																																																																																																																																																																																																																																																																																																																																																																																																																																																																																																																																																																																																																																																																																																																																																																																																						
Константа С2, учитывающая эффект отражения от земли возле здания													20													20													20													20													20													20													20													20													20													20													20																																																																																																																																																																																																																																																																																																																																																																																																																																																																																																																																																																																																																																																																																																																																																																																																																																																																																																																																																																																																																																																																																																																																																																																																																																																																																																																																																																																																																																																																																																																																																																																																																																																																																																																																																																																																																																																																																																																																																																																																																																																																																																																																																																																																																																																																																																																																																																																																																																																																																																																																																																																																																																																																																																																																																																																																																																																																																																																																																																																																																																																																																																																																																																																																																																																																																																																																																																																																																																																																																																																																																																																																																																																																																																																																																																																																																																																																																																																																																																																																																																																																																																																																																																																																																																																																																																																																																																																																																																																																																																																																																																																																																																																																																																																																																																																																																																																																																																																																																																																																																																																																																																																																											
Константа С3 (дифракция на краяхах)													1,4													2													2,6													2,9													3													3													3													3													3													3													3																																																																																																																																																																																																																																																																																																																																																																																																																																																																																																																																																																																																																																																																																																																																																																																																																																																																																																																																																																																																																																																																																																																																																																																																																																																																																																																																																																																																																																																																																																																																																																																																																																																																																																																																																																																																																																																																																																																																																																																																																																																																																																																																																																																																																																																																																																																																																																																																																																																																																																																																																																																																																																																																																																																																																																																																																																																																																																																																																																																																																																																																																																																																																																																																																																																																																																																																																																																																																																																																																																																																																																																																																																																																																																																																																																																																																																																																																																																																																																																																																																																																																																																																																																																																																																																																																																																																																																																																																																																																																																																																																																																																																																																																																																																																																																																																																																																																																																																																																																																																																																																																																																																																											
K _{плн} (планине метеорологий)													Ф-па [15] [10]													0,3													0,3													0,3													0,3													0,3													0,3													0,3													0,3													0,3													0,3													0,3													0,3																																																																																																																																																																																																																																																																																																																																																																																																																																																																																																																																																																																																																																																																																																																																																																																																																																																																																																																																																																																																																																																																																																																																																																																																																																																																																																																																																																																																																																																																																																																																																																																																																																																																																																																																																																																																																																																																																																																																																																																																																																																																																																																																																																																																																																																																																																																																																																																																																																																																																																																																																																																																																																																																																																																																																																																																																																																																																																																																																																																																																																																																																																																																																																																																																																																																																																																																																																																																																																																																																																																																																																																																																																																																																																																																																																																																																																																																																																																																																																																																																																																																																																																																																																																																																																																																																																																																																																																																																																																																																																																																																																																																																																																																																																																																																																																																																																																																																																																																																																																																																																																																																																																	
Dz, дБ (с учётом ограничения эффективности зрания 25 дБ)													Ф-па [18] [10]													6,9													9,3													12,4													15,5													18,4													21,4													24,3													25													25													25													25													25													25													25																																																																																																																																																																																																																																																																																																																																																																																																																																																																																																																																																																																																																																																																																																																																																																																																																																																																																																																																																																																																																																																																																																																																																																																																																																																																																																																																																																																																																																																																																																																																																																																																																																																																																																																																																																																																																																																																																																																																																																																																																																																																																																																																																																																																																																																																																																																																																																																																																																																																																																																																																																																																																																																																																																																																																																																																																																																																																																																																																																																																																																																																																																																																																																																																																																																																																																																																																																																																																																																																																																																																																																																																																																																																																																																																																																																																																																																																																																																																																																																																																																																																																																																																																																																																																																																																																																																																																																																																																																																																																																																																																																																																																																																																																																																																																																																																																																																																																																																																																																																																																																																																																							
Снижение УЗД, Абзг, дБ													Ф-па [12] [10]													6,9													9,3													12,4													15,5													18,4													21,4													24,3													25													25													25													25													25													25													25																																																																																																																																																																																																																																																																																																																																																																																																																																																																																																																																																																																																																																																																																																																																																																																																																																																																																																																																																																																																																																																																																																																																																																																																																																																																																																																																																																																																																																																																																																																																																																																																																																																																																																																																																																																																																																																																																																																																																																																																																																																																																																																																																																																																																																																																																																																																																																																																																																																																																																																																																																																																																																																																																																																																																																																																																																																																																																																																																																																																																																																																																																																																																																																																																																																																																																																																																																																																																																																																																																																																																																																																																																																																																																																																																																																																																																																																																																																																																																																																																																																																																																																																																																																																																																																																																																																																																																																																																																																																																																																																																																																																																																																																																																																																																																																																																																																																																																																																																																																																																																																																																							
Уровни звукового давления от источника ИШ-11рц, тП в расчётной точке днём, дБ													Ф-па [9] [10]													0													0													0													0													0													0													0													0													0													0													0													0													0													0													0													0													0													0													0													0													0													0													0													0													0													0													0													0													0													0													0													0													0													0													0													0													0													0													0													0													0													0													0													0													0													0													0													0													0													0													0													0													0													0													0													0													0													0													0													0													0													0													0													0													0													0													0													0													0													0													0													0													0													0													0													0													0													0													0													0													0													0													0													0													0													0													0													0													0													0													0													0													0													0													0													0													0													0													0													0													0													0													0													0													0													0													0													0													0													0													0													0													0													0													0													0													0													0													0													0													0													0													0													0													0													0													0													0													0													0													0													0													0													0													0													0													0													0													0													0													0													0													0													0													0													0													0													0													0													0													0													0													0													0													0													0													0													0													0													0													0													0													0													0													0													0													0													0													0													0													0													0													0													0													0													0													0													0													0													0													0													0													0													0													0													0													0													0													0													0													0													0													0													0													0													0													0													0													0													0													0													0													0													0													0													0													0													0													0													0													0													0													0													0													0													0													0													0													0													0													0													0													0													0													0													0													0													0													0													0													0													0													0													0													0													0													0													0													0													0													0													0													0													0													0													0													0													0													0													0													0													0													0													0													0													0													0													0													0													0													0													0													0													0													0													0													0													0													0													0													0													0													0													0													0													0													0													0													0													0													0													0													0													0													0													0													0													0													0													0													0													0													0													0													0													0													0													0													0													0													0													0													0													0													0													0													0													0													0													0													0													0													0													0													0													0													0													0													0													0													0													0													0													0													0													0													0													0													0													0													0													0													0													0													0													0													0													0													0													0													0													0													0													0													0													0													0													0													0													0													0													0													0													0													0													0													0													0													0													0													0													0													0													0													0													0													0													0													0													0													0													0													0													0													0													0													0													0													0													0													0													0													0													0													0													0													0													0													0												

1		2	3	4	5	6	7	8	9	10	11	12	13	
Коэффициент затухания звука в атмосфере α, дБ/км	Т=20,°С Р=1013,3Па hотн=70%	Ф-нв [5] [9]	0,02	0,09	0,33	1,12	2,79	4,98	9,04	23,09	77,63			
		Ф-нв [8] [10]	0,1	0,3	1,1	3,7	9,2	16,4	29,8	76	255,6			
		Учет затухания звука в атмосфере Аатм, дБ												
Снижение поверхностью земли возле источника Аз, дБ	Gз = 0 hз = 0,3 м	Ф-нв таб.3 [10]	-1,5	-1,5	-1,5	-1,5	-1,5	-1,5	-1,5	-1,5	-1,5	-1,5		
		Ф-нв таб.3 [10]	-1,5	-1,5	-1,5	-1,5	-1,5	-1,5	-1,5	-1,5	-1,5	-1,5	-1,5	
Снижение поверхностью земли возле приёмника Аг, дБ	Gг = 0 hг = 1,5 м	Ф-нв таб.3 [10]	-3	-3	-3	-3	-3	-3	-3	-3	-3	-3		
		Ф-нв таб.3 [10]	-3	-3	-3	-3	-3	-3	-3	-3	-3	-3	-3	
Снижение поверхностью земли в средней зоне, Ап дБ		Gп = 0	-6	-6	-6	-6	-6	-6	-6	-6	-6	-6		
Суммарное снижение поверхности земли на траектории распространения звука Азг, дБ		Ф-нв [9] [10]												
Снижение уровня звукового давления из-за влияния застройки между источником шума и расчетной точкой														
Длина звуковой волны для среднегеометрической частоты октавной полосы, λ, м			10,79	5,4	2,72	1,36	0,68	0,34	0,17	0,09	0,04			
Критерий наличия экранирования в горизонтальной плоскости	Горизонтальный размер экрана, Вэк > λ	Промежуточные тоны:	Фн(х,у,z,λ) = (700,83,54,9,41,20,53)	дв = 113,57 м	дв = 308,37 м	дв = 46,98 м	дв = 23,49 м	дв = 11,74 м	дв = 5,87 м	дв = 2,94 м	дв = 1,47 м	дв = 0,74 м	дв = 0,37 м	
		Константа С2, учитывающая эффект отражения от земли возле экрана		20	20	20	20	20	20	20	20	20	20	20
Траектория над экраном	Константа С3 (дифракция на краяхах)	Ф-нв [15] [10]	1,4	2	2,6	2,9	3	3	3	3	3	3		
		Ф-нв [18] [10]	0	0	0	0	0	0	0	0	0	0	0	
	Dz, дБ	Ф-нв [14] [10]	4,8	4,8	4,8	4,8	4,8	4,8	4,8	4,8	4,8	4,8	4,8	
		Ф-нв [12] [10]	4,8	4,8	4,8	4,8	4,8	4,8	4,8	4,8	4,8	4,8	4,8	
	Промежуточные тоны:	Фн(х,у,z,λ) = (700,83,54,9,41,20,53)	дв = 213,15 м	дв = 274,04 м	дв = 40,98 м	дв = 20,49 м	дв = 10,24 м	дв = 5,12 м	дв = 2,56 м	дв = 1,28 м	дв = 0,64 м	дв = 0,32 м	дв = 0,16 м	
		Константа С2, учитывающая эффект отражения от земли возле экрана	20	20	20	20	20	20	20	20	20	20	20	20
Траектория слева от экрана	Константа С3 (дифракция на краяхах)	Ф-нв [15] [10]	3	3	3	3	3	3	3	3	3	3		
		Ф-нв [18] [10]	1	1	1	1	1	1	1	1	1	1	1	
	Dz, дБ	Ф-нв [14] [10]	32,7	35,8	38,7	41,8	44,8	47,8	50,8	53,8	56,8			
		Ф-нв [13] [10]	32,7	35,8	38,7	41,8	44,8	47,8	50,8	53,8	56,8			
	Промежуточные тоны:	Фн(х,у,z,λ) = (700,83,54,9,41,20,53)	дв = 113,49 м	дв = 308,48 м	дв = 46,93 м	дв = 23,47 м	дв = 11,73 м	дв = 5,86 м	дв = 2,93 м	дв = 1,46 м	дв = 0,73 м	дв = 0,37 м	дв = 0,18 м	
		Константа С2, учитывающая эффект отражения от земли возле экрана	20	20	20	20	20	20	20	20	20	20	20	20
Траектория справа от экрана	Константа С3 (дифракция на краяхах)	Ф-нв [15] [10]	1,4	2	2,6	2,9	3	3	3	3	3	3		
		Ф-нв [18] [10]	1	1	1	1	1	1	1	1	1	1	1	
	Dz, дБ	Ф-нв [14] [10]	10,9	14,7	18,6	21,9	25	28,1	31,1	34,1	37,1			
		Ф-нв [13] [10]	10,9	14,7	18,6	21,9	25	28,1	31,1	34,1	37,1			
Общее снижение уровня звука препятствием Азг, дБ		Эк-сумм(Азг_г)	3,8	4,3	4,6	4,7	4,7	4,8	4,8	4,8	4,8			
Уровни звукового давления от источника ИШв-6 шум. ПВЗ выгляжка в расчётной точке днём, дБ		Ф-нв [9] [10]	0	2	0	5,2	0	0	0	0	0	0	0	
Уровни звукового давления от источника ИШв-6 шум. ПВЗ выгляжка в расчётной точке ночью, дБ		Ф-нв [9] [10]	0	2	0	5,2	0	0	0	0	0	0	0	
Источник шума: ИШв-7 шум. ПВА приток, координаты источника (х1,у1,z1), м = [7193,43,5369,74,10,50]														
Уровни звуковой мощности источника днём, лм, дБ		исходные данные	0	64	62	61	57	51	46	39	34			
Уровни звуковой мощности источника ночью, лм, дБ		исходные данные	0	64	62	61	57	51	46	39	34			
Поправка на телесный угол Ω, дБ		Ω = 6,28	3	3	3	3	3	3	3	3	3	3		
Показатель направленности источника D1, дБ		исходные данные	0	0	0	0	0	0	0	0	0	0	0	
Поправка на направленность источника D2, дБ		исходные данные	3	3	3	3	3	3	3	3	3	3		

Трансформаторная подстанция	1	2												
			Константа С3 (дифракция на экраны)											
			1,4 2 2,6 2,9 3 3 3 3 3 3 3 3											
			K _{тот} (влияние метеословий)											
			0 0 0 0 0 0 0 0 0 0 0 0											
			Dz, dB											
			4,8 4,8 4,8 4,8 4,8 4,8 4,8 4,8 4,8 4,8 4,8											
			Снижение УЗД, Абат, dB											
			4,8 4,8 4,8 4,8 4,8 4,8 4,8 4,8 4,8 4,8 4,8											
			Промежуточные токи: R _{тот} , мВ = (700,82,51,92,65,11,15,43)											
			0,00 = 215,54 мВ d _{тот} = 2724,04 мВ φ = 669,9 мВ τ = 304,40 мВ											
			Константа С2, учитывающая эффект отражения от земли воле экран											
			20 20 20 20 20 20 20 20 20 20 20 20											
Трансформаторная подстанция	1	2												
			Константа С3 (дифракция на экраны)											
			3 3 3 3 3 3 3 3 3 3 3 3											
			K _{тот} (влияние метеословий)											
			1 1 1 1 1 1 1 1 1 1 1 1											
			Dz, dB											
			32,7 35,7 38,7 41,7 44,7 47,7 50,7 53,8 56,8											
			Снижение УЗД, Абат, dB											
			32,7 35,7 38,7 41,7 44,7 47,7 50,7 53,8 56,8											
			Промежуточные токи: R _{тот} , мВ = (700,82,51,92,65,17,53)											
			0,00 = 164,74 мВ d _{тот} = 3086,48 мВ φ = 66,02 мВ τ = 4,20 мВ											
			Константа С2, учитывающая эффект отражения от земли воле экран											
			20 20 20 20 20 20 20 20 20 20 20 20											
Трансформаторная подстанция	1	2												
			Константа С3 (дифракция на экраны)											
			1,4 2 2,6 2,9 3 3 3 3 3 3 3 3											
			K _{тот} (влияние метеословий)											
			1 1 1 1 1 1 1 1 1 1 1 1											
			Dz, dB											
			11,4 15,3 19,2 22,6 25,7 28,7 31,7 34,7 37,7											
			Снижение УЗД, Абат, dB											
			11,4 15,3 19,2 22,6 25,7 28,7 31,7 34,7 37,7											
			Общее снижение уровня звука прилетствием Абат, dB											
			3,9 4,4 4,6 4,7 4,7 4,8 4,8 4,8 4,8 4,8											
			Уровни звукового давления от источника ИШ-8 жму, ПВ4 Вытяжка в расчётной точке днём, dB											
			Ф-ш4(8)[10]											
0 1,9 0 5,2 0 0 0 0 0 0 0 0														
Уровни звукового давления от источника ИШ-8 жму, ПВ4 Вытяжка в расчётной точке ночью, dB														
Ф-ш4(8)[10]														
0 1,9 0 5,2 0 0 0 0 0 0 0 0														

Источник шума: ИШ-15хму, координаты источника (x,y,z), м = [7194,31,5372.47,8.00]

[illegible]

Снижение уровня звукового давления и из-за влияния застройки между источником шума и расчетной точкой

[illegible]

Источник шума: ИШв-8 хму. ПВ4 вытяжка, координаты источника (x,y,z), м = [7208.11, 5374.80, 18.60]

[illegible]

Снижение уровня звукового давления и из-за влияния застройки между источником шума и расчетной точкой

Длина звуковой волны для среднегеометрической частоты октавной полосы, λ, м													
Критерий наличия экранирования в горизонтальной плоскости	Горизонтальный размер экрана, l _{гор} = 241,56 м		l _{гор} > λ		10,79	5А	2,72	1,36	0,68	0,34	0,17	0,09	0,04
	Прямонаправленные лучи: Р _{прям} (θ) = [7048,99·λ ^{-0,011} ·20,55] · (7005,42·λ ^{-0,012} ·44·20,55)	Р _{прям} (θ) = 46,94 м	dA = 364,52 м dB = 3082,61 м	e = 46,94 м	z = 0,03 м	20	20	20	20	20	20	20	20
Константа С ₂ , учитывающая эффект отражения от земли возле экрана		20	20	20	20	20	20	20	20	20	20	20	20

1																																																																																																																																																																																																																																																																																																																																																																																																																																																																																																																																																																																																																																																																																																																																																																																																																																																																																																																																																																																																																																																																																																																																																																																																																																																																																																																																																																																																																																																																																																																																																																																																																																																																																																																																																																																																																																																																																																																																																																																																																																																																																																																										
Суммарное снижение поверхности земли на траектории распространения звука Авг, дБ			2			3			4			5			6			7			8			9			10			11			12			13																																																																																																																																																																																																																																																																																																																																																																																																																																																																																																																																																																																																																																																																																																																																																																																																																																																																																																																																																																																																																																																																																																																																																																																																																																																																																																																																																																																																																																																																																																																																																																																																																																																																																																																																																																																																																																																																																																																																																																																																																																																																																						
			Ф-ла [9] [10]			-5,7			-5,7			-5,7			-5,7			-5,7			-5,7			-5,7			-5,7			-5,7			-5,7																																																																																																																																																																																																																																																																																																																																																																																																																																																																																																																																																																																																																																																																																																																																																																																																																																																																																																																																																																																																																																																																																																																																																																																																																																																																																																																																																																																																																																																																																																																																																																																																																																																																																																																																																																																																																																																																																																																																																																																																																																																																																									
Снижение уровня звукового давления из-за влияния застройки между источником шума и расчетной точкой																																																																																																																																																																																																																																																																																																																																																																																																																																																																																																																																																																																																																																																																																																																																																																																																																																																																																																																																																																																																																																																																																																																																																																																																																																																																																																																																																																																																																																																																																																																																																																																																																																																																																																																																																																																																																																																																																																																																																																																																																																																																																																																										
Траектория над экраном																																	Длина звуковой волны для среднегеометрической частоты октавной полосы, λ, м										10,79			5,4			2,72			1,36			0,68			0,34			0,17			0,09			0,04																																																																																																																																																																																																																																																																																																																																																																																																																																																																																																																																																																																																																																																																																																																																																																																																																																																																																																																																																																																																																																																																																																																																																																																																																																																																																																																																																																																																																																																																																																																																																																																																																																																																																																																																																																																																																																																																																																																																																																																																																																																							
																																	Промежуточные точки:										Ф-ла (4) = (7191,12;5354,90;20,55)										Ф-ла (4) = (879,11;5354,90;20,55)										Ф-ла (4) = (879,11;5354,90;20,55)										Ф-ла (4) = (879,11;5354,90;20,55)										Ф-ла (4) = (879,11;5354,90;20,55)										Ф-ла (4) = (879,11;5354,90;20,55)										Ф-ла (4) = (879,11;5354,90;20,55)										Ф-ла (4) = (879,11;5354,90;20,55)										Ф-ла (4) = (879,11;5354,90;20,55)										Ф-ла (4) = (879,11;5354,90;20,55)										Ф-ла (4) = (879,11;5354,90;20,55)										Ф-ла (4) = (879,11;5354,90;20,55)										Ф-ла (4) = (879,11;5354,90;20,55)										Ф-ла (4) = (879,11;5354,90;20,55)										Ф-ла (4) = (879,11;5354,90;20,55)										Ф-ла (4) = (879,11;5354,90;20,55)										Ф-ла (4) = (879,11;5354,90;20,55)										Ф-ла (4) = (879,11;5354,90;20,55)										Ф-ла (4) = (879,11;5354,90;20,55)										Ф-ла (4) = (879,11;5354,90;20,55)										Ф-ла (4) = (879,11;5354,90;20,55)										Ф-ла (4) = (879,11;5354,90;20,55)										Ф-ла (4) = (879,11;5354,90;20,55)										Ф-ла (4) = (879,11;5354,90;20,55)										Ф-ла (4) = (879,11;5354,90;20,55)										Ф-ла (4) = (879,11;5354,90;20,55)										Ф-ла (4) = (879,11;5354,90;20,55)										Ф-ла (4) = (879,11;5354,90;20,55)										Ф-ла (4) = (879,11;5354,90;20,55)										Ф-ла (4) = (879,11;5354,90;20,55)										Ф-ла (4) = (879,11;5354,90;20,55)										Ф-ла (4) = (879,11;5354,90;20,55)										Ф-ла (4) = (879,11;5354,90;20,55)										Ф-ла (4) = (879,11;5354,90;20,55)										Ф-ла (4) = (879,11;5354,90;20,55)										Ф-ла (4) = (879,11;5354,90;20,55)										Ф-ла (4) = (879,11;5354,90;20,55)										Ф-ла (4) = (879,11;5354,90;20,55)										Ф-ла (4) = (879,11;5354,90;20,55)										Ф-ла (4) = (879,11;5354,90;20,55)										Ф-ла (4) = (879,11;5354,90;20,55)										Ф-ла (4) = (879,11;5354,90;20,55)										Ф-ла (4) = (879,11;5354,90;20,55)										Ф-ла (4) = (879,11;5354,90;20,55)										Ф-ла (4) = (879,11;5354,90;20,55)										Ф-ла (4) = (879,11;5354,90;20,55)										Ф-ла (4) = (879,11;5354,90;20,55)										Ф-ла (4) = (879,11;5354,90;20,55)										Ф-ла (4) = (879,11;5354,90;20,55)										Ф-ла (4) = (879,11;5354,90;20,55)										Ф-ла (4) = (879,11;5354,90;20,55)										Ф-ла (4) = (879,11;5354,90;20,55)										Ф-ла (4) = (879,11;5354,90;20,55)										Ф-ла (4) = (879,11;5354,90;20,55)										Ф-ла (4) = (879,11;5354,90;20,55)										Ф-ла (4) = (879,11;5354,90;20,55)										Ф-ла (4) = (879,11;5354,90;20,55)										Ф-ла (4) = (879,11;5354,90;20,55)										Ф-ла (4) = (879,11;5354,90;20,55)										Ф-ла (4) = (879,11;5354,90;20,55)										Ф-ла (4) = (879,11;5354,90;20,55)										Ф-ла (4) = (879,11;5354,90;20,55)										Ф-ла (4) = (879,11;5354,90;20,55)										Ф-ла (4) = (879,11;5354,90;20,55)										Ф-ла (4) = (879,11;5354,90;20,55)										Ф-ла (4) = (879,11;5354,90;20,55)										Ф-ла (4) = (879,11;5354,90;20,55)										Ф-ла (4) = (879,11;5354,90;20,55)										Ф-ла (4) = (879,11;5354,90;20,55)										Ф-ла (4) = (879,11;5354,90;20,55)										Ф-ла (4) = (879,11;5354,90;20,55)										Ф-ла (4) = (879,11;5354,90;20,55)										Ф-ла (4) = (879,11;5354,90;20,55)										Ф-ла (4) = (879,11;5354,90;20,55)										Ф-ла (4) = (879,11;5354,90;20,55)										Ф-ла (4) = (879,11;5354,90;20,55)										Ф-ла (4) = (879,11;5354,90;20,55)										Ф-ла (4) = (879,11;5354,90;20,55)										Ф-ла (4) = (879,11;5354,90;20,55)										Ф-ла (4) = (879,11;5354,90;20,55)										Ф-ла (4) = (879,11;5354,90;20,55)										Ф-ла (4) = (879,11;5354,90;20,55)										Ф-ла (4) = (879,11;5354,90;20,55)										Ф-ла (4) = (879,11;5354,90;20,55)										Ф-ла (4) = (879,11;5354,90;20,55)										Ф-ла (4) = (879,11;5354,90;20,55)										Ф-ла (4) = (879,11;5354,90;20,55)										Ф-ла (4) = (879,11;5354,90;20,55)										Ф-ла (4) = (879,11;5354,90;20,55)										Ф-ла (4) = (879,11;5354,90;20,55)										Ф-ла (4) = (879,11;5354,90;20,55)										Ф-ла (4) = (879,11;5354,90;20,55)										Ф-ла (4) = (879,11;5354,90;20,55)										Ф-ла (4) = (879,11;5354,90;20,55)										Ф-ла (4) = (879,11;5354,90;20,55)										Ф-ла (4) = (879,11;5354,90;20,55)										Ф-ла (4) = (879,11;5354,90;20,55)										Ф-ла (4) = (879,11;5354,90;20,55)										Ф-ла (4) = (879,11;5354,90;20,55)										Ф-ла (4) = (879,11;5354,90;20,55)										Ф-ла (4) = (879,11;5354,90;20,55)										Ф-ла (4) = (879,11;5354,90;20,55)										Ф-ла (4) = (879,11;5354,90;20,55)										Ф-ла (4) = (879,11;5354,90;20,55)										Ф-ла (4) = (879,11;5354,90;20,55)										Ф-ла (4) = (879,11;5354,90;20,55)										Ф-ла (4) = (879,11;5354,90;20,55)										Ф-ла (4) = (879,11;5354,90;20,55)										Ф-ла (4) = (879,11;5354,90;20,55)										Ф-ла (4) = (879,11;5354,90;20,55)										Ф-ла (4) = (879,11;5354,90;20,55)										Ф-ла (4) = (879,11;5354,90;20,55)										Ф-ла (4) = (879,11;5354,90;20,55)										Ф-ла (4) = (879,11;5354,90;20,55)										Ф-ла (4) = (879,11;5354,90;20,55)										Ф-ла (4) = (879,11;5354,90;20,55)										Ф-ла (4) = (879,11;5354,90;20,55)										Ф-ла (4) = (879,11;5354,90;20,55)										Ф-ла (4) = (879,11;5354,90;20,55)										Ф-ла (4) = (879,11;5354,90;20,55)										Ф-ла (4) = (879,11;5354,90;20,55)										Ф-ла (4) = (879,11;5354,90;20,55)										Ф-ла (4) = (879,11;5354,90;20,55)										Ф-ла (4) = (879,11;5354,90;20,55)										Ф-ла (4) = (879,11;5354,90;20,55)										Ф-ла (4) = (879,11;5354,90;20,55)										Ф-ла (4) = (879,11;5354,90;20,55)										Ф-ла (4) = (879,11;5354,90;20,55)										Ф-ла (4) = (879,11;5354,90;20,55)										Ф-ла (4) = (879,11;5354,90;20,55)										Ф-ла (4) = (879,11;5354,90;20,55)										Ф-ла (4) = (879,11;5354,90;20,55)										Ф-ла (4) = (879,11;5354,90;20,55)										Ф-ла (4) = (879,11;5354,90;20,55)										Ф-ла (4) = (879,11;5354,90;20,55)										Ф-ла (4) = (879,11;5354,90;20,55)										Ф-ла (4) = (879,11;5354,90;20,55)										Ф-ла (4) = (879,11;5354,90;20,55)										Ф-ла (4) = (879,11;5354,90;20,55)										Ф-ла (4) = (879,11;5354,90;20,55)										Ф-ла (4) = (879,11;5354,90;20,55)										Ф-ла (4) = (879,11;5354,90;20,55)										Ф-ла (4) = (879,11;5354,90;20,55)										Ф-ла (4) = (879,11;5354,90;20,55)										Ф-ла (4) = (879,11;5354,90;20,55)										Ф-ла (4) = (879,11;5354,90;20,55)										Ф-ла (4) = (879,11;5354,90;20,55)										Ф-ла (4) = (879,11;5354,90;20,55)										Ф-ла (4) = (879,11;5354,90;20,55)										Ф-ла (4) = (879,11;5354,90;20,55)										Ф-ла (4) = (879,11;5354,90;20,55)										Ф-ла (4) = (879,11;5354,90;20,55)										Ф-ла (4) = (879,11;5354,90;20,55)										Ф-ла (4) = (879,11;5354,90;20,55)										Ф-ла (4) = (879,11;5354,90;20,55)										Ф-ла (4) = (879,11;5354,90;20,55)										Ф-ла (4) = (879,11;5354,90;20,55)										Ф-ла (4) = (879,11;5354,90;20,55)										Ф-ла (4) = (879,11;5354,90;20,55)										Ф-ла (4) = (879,11;5354,90;20,55)										Ф-ла (4) = (879,11;5354,90;20,55)										Ф-ла (4) = (879,11;5354,90;20,55)										Ф-ла (4) = (879,11;5354,90;20,55)										Ф-ла (4) = (879,11;5354,90;20,55)										Ф-ла (4) = (879,11;5354,90;20,55)										Ф-ла (4) = (879,11;5354,90;20,55)										Ф-ла (4) = (879,11;5354,90;20,55)										Ф-ла (4) = (879,11;5354,90;20,55)										Ф-ла (4) = (879,11;5354,90;20,55)										Ф-ла (4) = (879,11;5354,90;20,55)										Ф-ла (4) = (879,11;5354,90;20,55)										Ф-ла (4) = (879,11;5354,90;20,55)										Ф-ла (4) = (879,11;5354,90;20,55)										Ф-ла (4) = (879,11;5354,90;20,55)										Ф-ла (4) = (879,11;5354,90;20,55)										Ф-ла (4) = (879,11;5354,90;20,55)										Ф-ла (4) = (879,11;5354,90;20,55)										Ф-ла (4) = (879,11;5354,90;20,55)										Ф-ла (4) = (879,11;5354,90;20,55)										Ф-ла (4) = (879,11;5354,90;20,55)										Ф-ла (4) = (879,11;5354,90;20,55)										Ф-ла (4) = (879,11;5354,90;20,55)										Ф-ла (4) = (879,11;5354,90;20,55)										Ф-ла (4) = (879,11;5354,90;20,55)										Ф-ла (4) = (879,11;5354,90;20,55)										Ф-ла (4) = (879,11;5354,90;20,55)										Ф-ла (4) = (879,11;5354,90;20,55)										Ф-ла (4) = (879,11;5354,90;20,55)										Ф-ла (4) = (879,11;5354,90;20,55)										Ф-ла (4) = (879,11;5354,90;20,55)										Ф-ла (4) = (879,11;5354,90;20,55)										Ф-ла (4) = (879,11;5354,90;20,55)										Ф-ла (4) = (879,11;5354,90;20,55)										Ф-ла (4) = (879,11;5354,90;20,55)										Ф-ла (4) = (879,11;5354,90;20,55)										Ф-ла (4) = (879,11;5354,90;20,55)										Ф-ла (4) = (879,11;5354,90;20,55)										Ф-ла (4) = (879,11;5354,90;20,55)										Ф-ла (4) = (879,11;5354,90;20,55)										Ф-ла (4) = (879,11;5354,90;20,55)									

1												
Трассировка слева от экрана												13
Константа С3 (дифракция на экран)	2,3	2,8	2,9	3	3	3	3	3	3	3	3	
$K_{\text{нш}}$ (влияние метеослоев)	1	1	1	1	1	1	1	1	1	1	1	
Dz , дБ	15,1	18,7	21,8	24,8	27,8	30,8	33,8	36,8	39,8			
Снижение УЗД, Абвг, дБ	15,1	18,7	21,8	24,8	27,8	30,8	33,8	36,8	39,8			
Промежуточные точки	$R_{\text{нш}}, \text{км} = (9716,00; 4206,80; 22,40)$		$d_{\text{нш}} = 28,56 \text{ м}$		$d_{\text{нш}} = 3304,81 \text{ м}$		$\phi = 0,00 \text{ м}$		$z = 12,44 \text{ м}$			
Константа С2 (учитывающая эффект отражения от жёсткой земли)	20	20	20	20	20	20	20	20	20	20	20	
Константа С3 (дифракция на экран)	1	1	1	1	1	1	1	1	1	1	1	
$K_{\text{нш}}$ (влияние метеослоев)	1	1	1	1	1	1	1	1	1	1	1	
Dz , дБ	14,2	16,9	19,8	22,7	25,7	28,7	31,7	34,7	37,7			
Снижение УЗД, Абвг, дБ	14,2	16,9	19,8	22,7	25,7	28,7	31,7	34,7	37,7			
Общее снижение уровня звуку представлением Абвг, дБ												
Уровни звукового давления от источника ИШД-1 ЦЭН.ОЗН-2 П5 в расчётной точке днём, дБ												0
Уровни звукового давления от источника ИШД-2 ЦЭН.ОЗН-2 П5 в расчётной точке ночью, дБ												0

Источник шума: ИШв-10. ЦЭН.ОЭН-2 П7, координаты источника (x,y,z), m=[6712.59,4181.30,22.50]

[illegible]

Снижение уровня звукового давления и, за влияния застройки между источником шума и расчетной точкой

Длина звуковой волны для среднегеометрической частоты октавной полосы, λ, м													
Критерий наличия экранирования в горизонтальной плоскости	Горизонтальный размер зерна, λ _{гр} = 2λ / 3, м		λ _{гр} > λ										
	Промежуточные тонкие:	Р _{нр} , λ _{нр} = (6642,23; 42,16; 69,22; 40)	Р _{нр} , λ _{нр} = (6642,23; 42,16; 69,22; 40)										
			Константа С ₂ , учитывающая эффект отражения от земли волеи зерна										
			Константа С ₁ (дифракция на краяхах)										
			K _{кв} (влияние мезострукций)										
Траектория над экраном	D _z , дБ		Ф-ла (14) [10]		4,8	4,8	4,8	4,8	4,8	4,8	4,8	4,8	
	Снижение УЗД, Δλ _{зд} , дБ		Ф-ла (12) [10]		4,8	4,8	4,8	4,8	4,8	4,8	4,8	4,8	
	Промежуточные тонкие:		Р _{нр} , λ _{нр} = (6642,23; 42,16; 69,22; 40)		Δλ = 18-27 м		d _{гр} = 3256-39 м		e = 130,30 м		d = 64 м		

1												
2												
Трансформаторная подстанция от источника	K _{мет} (влияние метроусловий)	Ф-л(18) [10]	1	1	1	1	1	1	1	1	1	1
		Dz, дБ	33,5	36,5	39,5	42,5	45,6	48,6	51,6	54,6	57,6	
	Снижение УЗД, Абгг, дБ	Ф-л(14) [10]	33,5									
		Ф-л(13) [10]	33,5	36,5	39,5	42,5	45,6	48,6	51,6	54,6	57,6	
	Промежуточные точки:	Р _{экв(х,у,z)} = (7178,45,2555,118,63)	86,5 ± 15,39 м	86 ± 2096,03 м	φ = 458,672 м	z = 182,73 м						
		Константа С2, учитывающая эффект отражения от земли возле здания	20	20	20	20	20	20	20	20	20	
	K _{мет} (влияние метроусловий)	Ф-л(15) [10]	2,9	3	3	3	3	3	3	3	3	
		Ф-л(18) [10]	1	1	1	1	1	1	1	1	1	
	Dz, дБ	Ф-л(14) [10]	30	33,1	36	39,1	42,1	45,1	48,1	51,1	54,1	
		Ф-л(13) [10]	30	33,1	36	39,1	42,1	45,1	48,1	51,1	54,1	
Снижение УЗД, Абгг, дБ	Экспонента (Абгг...)	5,1	5,6	6,9	8,9	11,4	14	16,8	19,6	22,6		
	Общее снижение уровня звука при воздействии Абгг, дБ											
Уровни звукового давления от источника ИШ-20хм, Помещение ОТК в расчётной точке днём, дБ	Ф-л(3) [10]	0	0	0	5,8	0	0	0	0	0	0	
	Уровни звукового давления от источника ИШ-20хм, Помещение ОТК в расчётной точке ночью, дБ	Ф-л(3) [10]	0	0	0	5,8	0	0	0	0	0	

Источник шума: ИШв9. ЦЭН.ОЭН-2 П5, координаты источника (x,y,z), м = [6714.17, 4178.30, 22.50]

[illegible]

Снижение уровня звукового давления и 3-за влияния застройки между источником шума и расчетной точкой

[illegible]

1																	2		3	4	5	6	7	8	9	10	11	12	13	
Уровни звукового давления от источника ИШ-11. ЦПУ П1 в расчётной точке днём, дБ																	Ф-ла [9] [10]		0	25,2	19,4	17	14,7	5,9	0	0	0	14,4	14,4	
Уровни звукового давления от источника ИШ-11. ЦПУ П1 в расчётной точке ночью, дБ																	Ф-ла [9] [10]		0	25,2	19,4	17	14,7	5,9	0	0	0	14,4	14,4	
Источник шума: ИШ-12. ЦПУ П2, координаты источника (х,у,г), м = [6488.35; 4172.14; 19.20]																														
Уровни звуковой мощности источника днём, лw, дБ																	исходные данные		0	101	96	96	99	97	95	89	81			
Уровни звуковой мощности источника ночью, лw, дБ																	исходные данные		0	101	96	96	99	97	95	89	81			
Поправка на телесный угол D _Ω , дБ																	Ω = 6.28		3	3	3	3	3	3	3	3	3	3	3	3
Показатель направленности источника D _i , дБ																	исходные данные		0	0	0	0	0	0	0	0	0	0	0	0
Поправка на направленность источника D _c , дБ																	D _c		0	3	3	3	3	3	3	3	3	3	3	3
Загугание из-за геометрической дивергенции A _{div} , дБ																	Ф-ла [7] [10]		81,2											
Коэффициент загугания звука в атмосфере α, дБ/км																	Ф-ла [5] [9]		0.02	0.09	0.33	1.12	2.79	4.98	9.04	23.09	77.63			
Учет загугания звука в атмосфере A _{atm} , дБ																	Ф-ла [8] [10]		0.1	0.3	1.1	3.6	9	16.1	29.2	74.6	250.8			
Снижение поверхности земли возле источника A _z , дБ																	G _z = 0 h _z = 19.2м		-1.5	-1.5	-1.5	-1.5	-1.5	-1.5	-1.5	-1.5	-1.5	-1.5	-1.5	-1.5
Снижение поверхности земли возле приёмника A _г , дБ																	G _г = 0 h _г = 1.5м		-1.5	-1.5	-1.5	-1.5	-1.5	-1.5	-1.5	-1.5	-1.5	-1.5	-1.5	-1.5
Снижение поверхности земли в средней зоне, A _п дБ																	G _п = 0		-2.4	-2.4	-2.4	-2.4	-2.4	-2.4	-2.4	-2.4	-2.4	-2.4	-2.4	-2.4
Суммарное снижение поверхности земли на траектории распространения звука A _{вг} , дБ																	Ф-ла [9] [10]		-5.4	-5.4	-5.4	-5.4	-5.4	-5.4	-5.4	-5.4	-5.4	-5.4	-5.4	-5.4
Снижение уровня звукового давления из-за влияниястройки между источником шума и расчётной точкой																														
Длина звуковой волны для среднегеометрической частоты октавной полосы λ, м																	10.79		5.4	2.72	1.36	0.68	0.34	0.17	0.09	0.04				
Препятствие снизу от трассы ИШ-РТ																	Промежуточные точки:		R _{сх} х, у, г = (6450.33; 4204.44; 18.20)		D _и = 6.4 м		e = 0.00 м							
																	Константа C ₂ , учитывающая эффект отражения от земли возле экрана		20		20	20	20	20	20	20	20	20	20	20
																	Константа C ₃ (дифракция на краяхах)		Ф-ла [15] [10]		1	1	1	1	1	1	1	1	1	1
																	K _{пом} (влияние метеороусловий)		Ф-ла [18] [10]		1	1	1	1	1	1	1	1	1	1
																	D _г , дБ		Ф-ла [14] [10]		4.8	4.7	4.7	4.7	4.5	4.3	3.7	2.3	0	
Снижение поверхности земли в средней зоне, A _п дБ																	Ф-ла [12] [10]		4.8	4.7	4.7	4.7	4.5	4.3	3.7	2.3	0			
* отрицательное значение с означает просхождение траектории влияния экрана, в этом случае дополнительно производится учёт снижения подстилающей поверхностью (см. ниже)																														
Уровни звукового давления от источника ИШ-12. ЦПУ П2 в расчётной точке днём, дБ																	Ф-ла [9] [10]		0	23.2	17.5	15	12.7	3.9	0	0	0	12.4	12.4	
Уровни звукового давления от источника ИШ-12. ЦПУ П2 в расчётной точке ночью, дБ																	Ф-ла [9] [10]		0	23.2	17.5	15	12.7	3.9	0	0	0	12.4	12.4	
Источник шума: ИШ-13. ЦПУ П3, координаты источника (х,у,г), м = [6491.67; 4179.88; 19.20]																														
Уровни звуковой мощности источника днём, лw, дБ																	исходные данные		0	103	98	98	101	99	97	91	83			
Уровни звуковой мощности источника ночью, лw, дБ																	исходные данные		0	103	98	98	101	99	97	91	83			
Поправка на телесный угол D _Ω , дБ																	Ω = 6.28		3	3	3	3	3	3	3	3	3	3	3	
Показатель направленности источника D _i , дБ																	исходные данные		0	0	0	0	0	0	0	0	0	0	0	0
Поправка на направленность источника D _c , дБ																	D _c		3	3	3	3	3	3	3	3	3	3	3	
Загугание из-за геометрической дивергенции A _{div} , дБ																	Ф-ла [7] [10]		81,2											
Коэффициент загугания звука в атмосфере α, дБ/км																	Ф-ла [5] [9]		0.02	0.09	0.33	1.12	2.79	4.98	9.04	23.09	77.63			
Учет загугания звука в атмосфере A _{atm} , дБ																	Ф-ла [8] [10]		0.1	0.3	1.1	3.6	9	16.1	29.2	74.5	250.6			

1			2		3	4	5	6	7	8	9	10	11	12	13	
Траектория слева от экрана	Константа C ₂ , учитывающая эффект отражения от земли возле экрана				20	20	20	20	20	20	20	20	20	20		
	Константа C ₃ (дифракция на краяхах)		Ф-м [15] [10]		2,3	2,8	2,9	3	3	3	3	3	3	3		
	K _{зем} (влияние метеорологии)		Ф-м [18] [10]		1	1	1	1	1	1	1	1	1	1		
	D _г , дБ				15,5	19,1	22,3	25,3	28,3	31,3	34,3	37,3	40,3			
	Снижение УЗД, Абв, дБ		Ф-м [13] [10]		15,5	19,1	22,3	25,3	28,3	31,3	34,3	37,3	40,3			
	Промежуточные точки:	R _{сх} (х,у,г) = (6713,02;4208,01;22,40)	R _{сх} (х,у,г) = (6713,02;4208,01;22,40)		d _{ср} = 26,71 м		d _{ср} = 3381,72 м		e = 0,00 м		z = 15,60 м					
	Константа C ₂ , учитывающая эффект отражения от земли возле экрана				20	20	20	20	20	20	20	20	20	20		
	Константа C ₃ (дифракция на краяхах)		Ф-м [15] [10]		1	1	1	1	1	1	1	1	1	1		
	K _{зем} (влияние метеорологии)		Ф-м [18] [10]		1	1	1	1	1	1	1	1	1	1		
	D _г , дБ				13,5	16,3	19,1	22	25	28	31	34	37			
Траектория справа от экрана	Снижение УЗД, Абв, дБ		Ф-м [13] [10]		13,5	16,3	19,1	22	25	28	31	34	37			
	Общее снижение уровня звука препятствием Абв, дБ		Эксп.данные (Абвг, д)		3,9	4,3	4,5	4,7	4,7	4,7	4,8	4,8	4,8			
	Уровни звукового давления от источника ИШ-10. ЦРН.ОЭН-2 П7 в расчётной точке днём, дБ		Ф-м [9] [10]		0	12,7	6,7	3,9	0	0	0	0	0	0	0	
	Уровни звукового давления от источника ИШ-10. ЦРН.ОЭН-2 П7 в расчётной точке ночью, дБ		Ф-м [9] [10]		0	12,7	6,7	3,9	0	0	0	0	0	0	0	
	Источник шума: ИШ-11. ЦПУ П1, координаты источника (х,у,г), м = [6485.51; 4164.72; 19.20]															
Траектория слева от экрана	Уровни звуковой мощности источника днём, лw, дБ		исходные данные		0	103	98	98	101	99	97	91	83			
	Уровни звуковой мощности источника ночью, лw, дБ		исходные данные		0	103	98	98	101	99	97	91	83			
	Поправка на телесный угол DΩ, дБ		Ω = 6,28		3	3	3	3	3	3	3	3	3			
	Показатель направленности источника Di, дБ		исходные данные		0	0	0	0	0	0	0	0	0			
	Поправка на направленность источника Dc, дБ		Dc		3	3	3	3	3	3	3	3	3			
	Загугание из-за геометрической дивергенции Adiv, дБ		Ф-м [7] [10]		81,2											
	Коэффициент загугания звука в атмосфере α, дБ/км		Ф-м [5] [9]		0,02	0,09	0,33	1,12	2,79	4,98	9,04	23,09	77,63			
	Учет загугания звука в атмосфере Aatm, дБ		Ф-м [8] [10]		0,1	0,3	1,1	3,6	9	16,1	29,2	74,6	251			
	Снижение поверхность земли возле источника Аз, дБ		G _з = 0 R _з = 192 м		-1,5	-1,5	-1,5	-1,5	-1,5	-1,5	-1,5	-1,5	-1,5	-1,5		
	Снижение поверхность земли возле приёмника Аг, дБ		G _г = 0 R _г = 1,5 км		-1,5	-1,5	-1,5	-1,5	-1,5	-1,5	-1,5	-1,5	-1,5	-1,5		
Траектория справа от экрана	Снижение поверхность земли в средней зоне, Ап дБ		G _п = 0		-2,4	-2,4	-2,4	-2,4	-2,4	-2,4	-2,4	-2,4	-2,4	-2,4		
	Суммарное снижение поверхность земли на траектории распространения звука Абг, дБ		Ф-м [9] [10]		-5,4	-5,4	-5,4	-5,4	-5,4	-5,4	-5,4	-5,4	-5,4	-5,4		
	Снижение уровня звукового давления из-за влияния застройки между источником шума и расчётной точкой															
	Длина звуковой волны для среднегогеометрической частоты октавной полосы, λ, м				10,79	5,4	2,72	1,36	0,68	0,34	0,17	0,09	0,04			
	Промежуточные точки:	R _{сх} (х,у,г) = (6448,09;4197,17;18,20)	R _{сх} (х,у,г) = (6448,09;4197,17;18,20)		d _{ср} = 40,54 м		d _{ср} = 3183,75 м		e = 0,00 м		z = 0,00 м					
	Константа C ₂ , учитывающая эффект отражения от земли возле экрана				20	20	20	20	20	20	20	20	20	20		
	Константа C ₃ (дифракция на краяхах)		Ф-м [15] [10]		1	1	1	1	1	1	1	1	1	1		
	K _{зем} (влияние метеорологии)		Ф-м [18] [10]		1	1	1	1	1	1	1	1	1	1		
	D _г , дБ				4,8	4,7	4,7	4,7	4,5	4,3	3,7	2,4	0			
	Снижение УЗД, Абв, дБ		Ф-м [12] [10]		4,8	4,7	4,7	4,5	4,3	3,7	2,4	0				
Примечание: значение с означает прохождение траектории вблизи экрана, в этом случае дополнительное учё снижение подстилающей поверхности (см. приложение 1).																

1													2												
Уровни звукового давления от источника ИШ-14. ЦПУ П6 в расчётной точке днём, дБ													Ф-ла [9] [10]												
Уровни звукового давления от источника ИШ-14. ЦПУ П6 в расчётной точке ночью, дБ													Ф-ла [9] [10]												
Источник шума: ИШ-15. ЦПУ П8, координаты источника (х,у,г), м = [6497.35; 4194.88; 19.20]																									
Уровни звуковой мощности источника днём, лм, дБ													исходные данные												
Уровни звуковой мощности источника ночью, лм, дБ													исходные данные												
Поправка на телесный угол D0, дБ													10lg(4+Г) Г = 6.28												
Показатель направленности источника Д1, дБ													исходные данные												
Поправка на направленность источника Dc, дБ													D0 + D1												
Загугание из-за геометрической дивергенции, Адв, дБ													Ф-ла [7] [10]												
Коэффициент загугания звука в атмосфере α, дБ/км													Тем20, °C Pa=1013.3 гПа hотп=70% 0.02 0.09 0.33 1.12 2.79 4.98 9.04 23.09 77.63												
Учет загугания звука в атмосфере Аатм, дБ													Ф-ла [8] [10] 0.1 0.3 1.1 3.6 9 16 29.1 74.4 250.2												
Снижение поверхности земли возле источника Аз, дБ													Ф-ла таб.3 [10] -1.5 -1.5 -1.5 -1.5 -1.5 -1.5 -1.5 -1.5 -1.5												
Снижение поверхности земли возле приёмника Аг, дБ													Ф-ла таб.3 [10] -1.5 -1.5 -1.5 -1.5 -1.5 -1.5 -1.5 -1.5 -1.5												
Снижение поверхности земли в средней зоне, Атп дБ													Ф-ла таб.3 [10] -2.4 -2.4 -2.4 -2.4 -2.4 -2.4 -2.4 -2.4 -2.4												
Суммарное снижение поверхности земли на траектории распространения звука АБг, дБ													Ф-ла [8] [10] -5.4 -5.4 -5.4 -5.4 -5.4 -5.4 -5.4 -5.4 -5.4												
Снижение уровня звукового давления из-за влияния застройки между источником шума и расчётной точкой													81.2												
Длина звуковой волны для среднегеометрической частоты октавной полосы, λ, м													10.79 5.4 2.72 1.36 0.68 0.34 0.17 0.09 0.04												
Промежуточные тонки:													Рс4х,у,г,1 = (6459.71; 4226.51; 18.20) d0 = 31.73; 19 м z = -0.01 м												
Константа С2, учитывающая эффект отражения от земли возле здания													20 20 20 20 20 20 20 20 20 20 20 20 20 20 20												
Константа С3 (дифракция на краяхах)													Ф-ла (15) [10] 1 1 1 1 1 1 1 1 1 1 1 1 1 1												
Kм (влияние метеорологии)													Ф-ла (18) [10] 1 1 1 1 1 1 1 1 1 1 1 1 1 1												
Dz, дБ													Ф-ла (14) [10] 4.8 4.7 4.7 4.7 4.5 4.3 3.7 2.3 0 0 0 0 0 0												
Снижение УЗД, Абг, дБ													Ф-ла (12) [10] 4.8 4.7 4.7 4.7 4.5 4.3 3.7 2.3 0 0 0 0 0 0												
* отрицательное значение с означает просхождение траектории обьекта здания, в этом случае дополнительно проводится учёт снижения подстилающей поверхности (ок. мин)																									
Уровни звукового давления от источника ИШ-15. ЦПУ П8 в расчётной точке днём, дБ													Ф-ла [9] [10] 0 25.2 19.5 17 14.7 5.9 0 0 0 14.5 14.5												
Уровни звукового давления от источника ИШ-15. ЦПУ П8 в расчётной точке ночью, дБ													Ф-ла [9] [10] 0 25.2 19.5 17 14.7 5.9 0 0 0 14.5 14.5												
Источник шума: ИШ-16. ЦВК В1, координаты источника (х,у,г), м = [6559.73; 4130.14; 18.90]																									
Уровни звуковой мощности источника днём, лм, дБ													исходные данные 0 99 99 99 94 92 89 86 82												
Уровни звуковой мощности источника ночью, лм, дБ													исходные данные 0 99 99 99 94 92 89 86 82												
Поправка на телесный угол D0, дБ													10lg(4+Г) Г = 6.28 3 3 3 3 3 3 3 3 3 3 3 3 3 3												
Показатель направленности источника Д1, дБ													исходные данные 0 0 0 0 0 0 0 0 0 0 0 0 0 0												
Поправка на направленность источника Dc, дБ													D0 + D1 3 3 3 3 3 3 3 3 3 3 3 3 3 3												
Загугание из-за геометрической дивергенции, Адв, дБ													Ф-ла [7] [10] 81.4												
Коэффициент загугания звука в атмосфере α, дБ/км													Тем20, °C Pa=1013.3 гПа hотп=70% 0.02 0.09 0.33 1.12 2.79 4.98 9.04 23.09 77.63												
Учет загугания звука в атмосфере Аатм, дБ													Ф-ла [8] [10] 0.1 0.3 1.1 3.7 9.2 16.5 29.9 76.5 257.1												

1													2		3	4	5	6	7	8	9	10	11	12	13													
Учет затухания звука в атмосфере Aатм, дБ													Ф-ля (8) [10]													0,1	0,3	1,1	3,7	9,3	16,5	30	76,6	257,5				
Снижение поверхностью земли возле источника Аз, дБ													Ф-ля таб.3 [10]													-1,5	-1,5	-1,5	-1,5	-1,5	-1,5	-1,5	-1,5	-1,5	-1,5			
Снижение поверхностью земли возле приёмника Ат, дБ													Ф-ля таб.3 [10]													-1,5	-1,5	-1,5	-1,5	-1,5	-1,5	-1,5	-1,5	-1,5	-1,5			
Снижение поверхностью земли в средней зоне, Асп дБ													Ф-ля таб.3 [10]													-3	-3	-3	-3	-3	-3	-3	-3	-3	-3			
Суммарное снижение поверхностно земли на траектории распространения звука Агр, дБ													Ф-ля (9) [10]													-6	-6	-6	-6	-6	-6	-6	-6	-6	-6			
Снижение уровня звукового давления из-за влияниястройки между источником шума и расчетной точкой																																						
Длина звуковой волны для среднегеометрической частоты октавной полосы, λ, м													10,79												5,4	2,72	1,36	0,68	0,34	0,17	0,09	0,04						
Критерий наличия экранирования в горизонтальной плоскости													Выср > λ												да	да	да	да	да	да	да	да	да					
Траектория над экраном													Промежуточные точки: Rkxk,z,l = (6337,0/414230,18.80) (6337,0/414230,18.80)												dс1 = 30,06 м													
													Константа С2, учитывающая эффект отражения от земли возле экрана												20	20	20	20	20	20	20	20	20	20	20	20	20	20
													Константа С3 (дифракция на краяхах)												1	1	1	1	1	1	1	1	1	1	1	1	1	
													Kсис (влияние метеословий)												0	0	0	0	0	0	0	0	0	0	0	0	0	
													Dz, дБ												4,8	4,8	4,8	4,8	4,8	4,8	4,8	4,8	4,8	4,8	4,8	4,8	4,8	
													Снижение УЗД, Ават, дБ												4,8	4,8	4,8	4,8	4,8	4,8	4,8	4,8	4,8	4,8	4,8	4,8	4,8	
Траектория слева от экрана													Промежуточные точки: Rkxk,z,l = (6324,72/411102,18.80) (6324,72/411102,18.80)												dс1 = 37,06 м													
													Константа С2, учитывающая эффект отражения от земли возле экрана												20	20	20	20	20	20	20	20	20	20	20	20	20	
													Константа С3 (дифракция на краяхах)												1	1	1	1	1	1	1	1	1	1	1	1	1	
													Kсис (влияние метеословий)												1	1	1	1	1	1	1	1	1	1	1	1	1	
													Dz, дБ												15,6	18,5	21,3	24,3	27,3	30,3	33,3	36,3	39,3	39,3	39,3	39,3		
													Снижение УЗД, Ават, дБ												15,6	18,5	21,3	24,3	27,3	30,3	33,3	36,3	39,3	39,3	39,3	39,3		
Траектория справа от экрана													Промежуточные точки: Rkxk,z,l = (6345,17/415683,18.60) (6345,17/415683,18.60)												dс1 = 207,08 м													
													Константа С2, учитывающая эффект отражения от земли возле экрана												20	20	20	20	20	20	20	20	20	20	20	20	20	
													Константа С3 (дифракция на краяхах)												2,4	2,8	2,9	3	3	3	3	3	3	3	3	3	3	
													Kсис (влияние метеословий)												1	1	1	1	1	1	1	1	1	1	1	1	1	
													Dz, дБ												33	36,7	39,9	42,9	46	49	52	55	58	58	58	58		
													Снижение УЗД, Ават, дБ												33	36,7	39,9	42,9	46	49	52	55	58	58	58	58		
Общее снижение уровня звука препятствием Ават, дБ													Эн, сумма (Ават, л)													4,4	4,6	4,7	4,7	4,7	4,8	4,8	4,8	4,8				
Уровни звукового давления от источника ИШ-17. ЦБК 82 в расчётной точке днём, дБ													Ф-ля(8) [10]													0	21,7	20,8	18,1	7,5	0	0	0	0	11,7	11,7		
Уровни звукового давления от источника ИШ-17. ЦБК 82 в расчётной точке ночью, дБ													Ф-ля(9) [10]													0	21,7	20,8	18,1	7,5	0	0	0	0	11,7	11,7		
Источник шума: ИШ-18. ЦБК 83. координаты источника (х,у,г), м =[6559.57;4119.72;18.90]																																						
Уровни звуковой мощности источника днём, лw, дБ													исходные данные												0	99	99	99	94	92	89	86	82					
Уровни звуковой мощности источника ночью, лw, дБ													исходные данные												0	99	99	99	94	92	89	86	82					
Поправка на телесный угол Dα, дБ													10lg(4πr²)												3	3	3	3	3	3	3	3	3	3				
Поправка на направленности источника Dι, дБ													исходные данные												0	0	0	0	0	0	0	0	0	0				
Поправка на направленности источника Dс, дБ													Dα + Dι												3	3	3	3	3	3	3	3	3	3				
Затухание из-за геометрической дивергенции, Adiv, дБ													Ф-ля (7) [10]												81,4													

1		2		3	4	5	6	7	8	9	10	11	12	13									
Снижение поверхностью земли возле источника А5, дБ		G5 = 0 h5 = 0,1 м		-1,5	-1,5	-1,5	-1,5	-1,5	-1,5	-1,5	-1,5	-1,5	-1,5	-1,5									
Снижение поверхностью земли возле приемника А7, дБ		G7 = 0 h7 = 1,5 м		-1,5	-1,5	-1,5	-1,5	-1,5	-1,5	-1,5	-1,5	-1,5	-1,5	-1,5									
Снижение поверхностью земли в средней зоне, А10 дБ		G10 = 0		-3	-3	-3	-3	-3	-3	-3	-3	-3	-3	-3									
Суммарное снижение поверхности земли на траектории распространения звука А8г, дБ				-6	-6	-6	-6	-6	-6	-6	-6	-6	-6	-6									
Снижение уровня звукового давления из-за влияния экранов между источником шума и расчетной точкой																							
Длина звуковой волны для среднегеометрической частоты октавной полосы, λ, м				10,79	5,4	2,72	1,36	0,68	0,34	0,17	0,09	0,04											
Критерий наличия экранирования в горизонтальной плоскости				Выср > λ		да	да	да	да	да	да	да	да	да									
Траектория над экраном				Промежуточные точки:		Rkxk,z,l = (6337,0/414230,33 м) (6337,0/414230,33 м)		dс1 = 27,01 м		dс = 3285,09 м		e = 0,00 м		z = 0,00 м									
				Константа С2, учитывающая эффект отражения от земли возле экрана		20	20	20	20	20	20	20	20	20	20								
				Константа С3 (дифракция на краяхах)		1	1	1	1	1	1	1	1	1	1								
				Kмат (влияние метеословия)		0	0	0	0	0	0	0	0	0	0								
				Dz, дБ		4,8	4,8	4,8	4,8	4,8	4,8	4,8	4,8	4,8	4,8								
				Снижение УЗД, А8гв, дБ		4,8	4,8	4,8	4,8	4,8	4,8	4,8	4,8	4,8	4,8								
Траектория слева от экрана				Промежуточные точки:		Rkxk,z,l = (6320,2/414249,138 м) (6320,2/414249,138 м)		dс1 = 29,98 м		dс = 3293,14 м		e = 0,00 м		z = 1,103 м									
				Константа С2, учитывающая эффект отражения от земли возле экрана		20	20	20	20	20	20	20	20	20	20								
				Константа С3 (дифракция на краяхах)		1	1	1	1	1	1	1	1	1	1								
				Kмат (влияние метеословия)		1	1	1	1	1	1	1	1	1	1								
				Dz, дБ		13,7	16,4	19,2	22,2	25,1	28,1	31,1	34,1	37,2									
				Снижение УЗД, А8гв, дБ		13,7	16,4	19,2	22,2	25,1	28,1	31,1	34,1	37,2									
Траектория справа от экрана				Промежуточные точки:		Rkxk,z,l = (6346,17/415668,19 м) (6346,17/415668,19 м)		dс1 = 206,15 м		dс = 3412,26 м		e = 146,31 м		z = 402,89 м									
				Константа С2, учитывающая эффект отражения от земли возле экрана		20	20	20	20	20	20	20	20	20	20								
				Константа С3 (дифракция на краяхах)		2,4	2,8	2,9	3	3	3	3	3	3	3								
				Kмат (влияние метеословия)		1	1	1	1	1	1	1	1	1	1								
				Dz, дБ		33,1	36,7	39,9	43	46	49	52	55	58,1									
				Снижение УЗД, А8гв, дБ		33,1	36,7	39,9	43	46	49	52	55	58,1									
Общее снижение уровня звука препятствием А8гв, дБ				Экранирующая стена		4,2	4,5	4,6	4,7	4,7	4,8	4,8	4,8										
Уровень звукового давления от источника ИШ-16, ЦВК В.1 в расчетной точке дБм, дБ				Ф-мат(100)		0	21,8	20,8	18,2	7,6	0	0	0	11,8									
Уровень звукового давления от источника ИШ-16, ЦВК В.1 в расчетной точке ночью, дБ				Ф-мат(100)		0	21,8	20,8	18,2	7,6	0	0	0	11,8									
Источник шума: ИШ-17, ЦВК В2, координаты источника (х,у, z), м =(6559,89,4122,72,18,90)																							
Уровень звуковой мощности источника дБм, Вт, дБ															0	99	99	99	94	92	89	86	82
Уровень звуковой мощности источника ночью, Вт, дБ															0	99	99	99	94	92	89	86	82
Поправка на телесный угол DС1, дБ															3	3	3	3	3	3	3	3	3
Показатель направленности источника D1, дБ															исходные данные								
Поправка на направленность источника DС, дБ															3	3	3	3	3	3	3	3	3
Затухание из-за геометрической дивергенции, Адив, дБ															Ф-мат(71) [100]								
Коэффициент затухания звука в атмосфере α, дБ/км															расстояние = 3317,04 м								
															Температура Т=20, °С Влажность Р=101,33 гПа Нормальность Norm = 70%								

1		2		3	4	5	6	7	8	9	10	11	12	13
Запущание из-за геометрической дивергенции, Adiv, дБ	расстояние = 3909,70 м	Ф-ла (7) [10]		80,8										
		Ф-ла (5) [9]		0,02	0,09	0,33	1,12	2,79	4,98	9,04	23,09	77,63		
Коэффициент затухания звука в атмосфере α, дБ/км	Тв=20,°С Рв=101,33 кПа hотм=70%	Ф-ла (8) [10]		0,1	0,3	1	3,5	8,7	15,4	28	71,6	240,6		
		Ф-ла таб.3 [10]		-1,5	-1,5	-1,5	-1,5	-1,5	-1,5	-1,5	-1,5	-1,5		
Учет запущания звука в атмосфере Aatm, дБ	Gв = 0 hв = 0,1 м	Ф-ла таб.3 [10]		-1,5	-1,5	-1,5	-1,5	-1,5	-1,5	-1,5	-1,5	-1,5		
		Ф-ла таб.3 [10]		-1,5	-1,5	-1,5	-1,5	-1,5	-1,5	-1,5	-1,5	-1,5		
Снижение поверхности земли возле источника Aз, дБ	Gг = 0 hг = 1,5 м	Ф-ла таб.3 [10]		-3	-3	-3	-3	-3	-3	-3	-3	-3		
		Ф-ла таб.3 [10]		-3	-3	-3	-3	-3	-3	-3	-3	-3		
Снижение поверхности земли в средней зоне, Апз, дБ	Gм = 0	Ф-ла таб.3 [10]		-6	-6	-6	-6	-6	-6	-6	-6	-6		
		Ф-ла (9) [10]		-6	-6	-6	-6	-6	-6	-6	-6	-6		
Суммарное снижение поверхности земли на траектории распространения звука Aзг, дБ														
Снижение уровня звукового давления из-за влияния застройки между источником шума и расчетной точкой														
Длина звуковой волны для среднегеометрической частоты октавной полосы, λ, м														
Промежуточные тоны:	Рв(х,у,z) = 100х(х+у+з)х(х													

1		2		3	4	5	6	7	8	9	10	11	12	13		
Коэффициент затухания звука в атмосфере α , дБ/км	Температура воздуха в атмосфере t_a , °C $P_a=101,33$ кПа $h_{отм}=70\%$	Ф-ла (5) [9]		0,02	0,09	0,33	1,12	2,79	4,98	9,04	23,09	77,63				
		Ф-ла (8) [10]		0,1	0,3	1,1	3,7	9,3	16,5	30	76,6	257,6				
Учет затухания звука в атмосфере A_{atm} , дБ	$G_a=0$ $h_a=0,1$ м	Ф-ла таб.3 [10]		-1,5	-1,5	-1,5	-1,5	-1,5	-1,5	-1,5	-1,5	-1,5				
		Ф-ла таб.3 [10]		-1,5	-1,5	-1,5	-1,5	-1,5	-1,5	-1,5	-1,5	-1,5				
Снижение поверхности земли возле источника A_z , дБ	$G_m=0$ $h_m=1,5$ м	Ф-ла таб.3 [10]		-3	-3	-3	-3	-3	-3	-3	-3	-3				
		Ф-ла таб.3 [10]		-6	-6	-6	-6	-6	-6	-6	-6	-6	-6			
Снижение уровня звукового давления из-за влияния застройки между источником шума и расчетной точкой																
Длина звуковой волны для среднегеометрической частоты октавной полосы, λ , м		Среднеквадратичный размер экрана, $B_{эк}=242,07$ м		10,79		5,4	2,72	1,36	0,68	0,34	0,17	0,09	0,04			
				дБ	дБ	дБ	дБ	дБ	дБ	дБ	дБ	дБ	дБ	дБ		
Критерий наличия экранирования в горизонтальной плоскости		Промежуточные тоны		$R_{16\lambda/242} = (6536,12/2420,68) \cdot 18,80$		$R_{16\lambda/242} = (6536,12/2420,68) \cdot 18,80$		$R_{16\lambda/242} = (6536,12/2420,68) \cdot 18,80$		$R_{16\lambda/242} = (6536,12/2420,68) \cdot 18,80$		$R_{16\lambda/242} = (6536,12/2420,68) \cdot 18,80$				
		Константа С2, учитывающая эффект отражения от земли возле экрана		20		20	20	20	20	20	20	20	20	20		
Траектория над экраном		Константа С3 (дифракция на экранах)		1		1	1	1	1	1	1	1	1			
		$K_{мет}$ (влияние метеословия)		0		0	0	0	0	0	0	0	0	0		
Траектория слева от экрана		Дс, дБ		4,8		4,8	4,8	4,8	4,8	4,8	4,8	4,8	4,8			
		Снижение $\Delta A_{дл}, дБ$		4,8		4,8	4,8	4,8	4,8	4,8	4,8	4,8	4,8	4,8		
		Промежуточные тоны		$R_{16\lambda/242} = (6532,84/2420,68) \cdot 18,80$		$R_{16\lambda/242} = (6532,84/2420,68) \cdot 18,80$		$R_{16\lambda/242} = (6532,84/2420,68) \cdot 18,80$		$R_{16\lambda/242} = (6532,84/2420,68) \cdot 18,80$		$R_{16\lambda/242} = (6532,84/2420,68) \cdot 18,80$				
		Константа С2, учитывающая эффект отражения от земли возле экрана		20		20	20	20	20	20	20	20	20	20		
		Константа С3 (дифракция на экранах)		1		1	1	1	1	1	1	1	1			
		$K_{мет}$ (влияние метеословия)		1		1	1	1	1	1	1	1	1	1		
		Дс, дБ		16,1		18,9	21,8	24,8	27,8	30,8	33,8	36,8	39,8			
		Снижение $\Delta A_{дл}, дБ$		16,1		18,9	21,8	24,8	27,8	30,8	33,8	36,8	39,8	39,8		
Траектория справа от экрана		Промежуточные тоны		$R_{16\lambda/242} = (6794,17/2420,68) \cdot 19,32$		$R_{16\lambda/242} = (6794,17/2420,68) \cdot 19,32$		$R_{16\lambda/242} = (6794,17/2420,68) \cdot 19,32$		$R_{16\lambda/242} = (6794,17/2420,68) \cdot 19,32$		$R_{16\lambda/242} = (6794,17/2420,68) \cdot 19,32$				
		Константа С2, учитывающая эффект отражения от земли возле экрана		20		20	20	20	20	20	20	20	20	20		
		Константа С3 (дифракция на экранах)		2,4		2,8	2,9	3	3	3	3	3	3			
		$K_{мет}$ (влияние метеословия)		1		1	1	1	1	1	1	1	1	1		
		Дс, дБ		33		36,7	39,9	42,9	46	49	52	55	58			
		Снижение $\Delta A_{дл}, дБ$		33		36,7	39,9	42,9	46	49	52	55	58	58		
Общее снижение уровня звука препятствием $\Delta A_{огр}, дБ$		Ф-ла (13) [10]		4,5		4,6	4,7	4,7	4,7	4,8	4,8	4,8	4,8			
		Экранируем ($\Delta A_{огр}, дБ$)		0		21,6	20,8	18,1	7,5	0	0	0	11,7	11,7		
Уровни звукового давления от источника ИШ-18, ЦВК В3 в расчётной точке днвм, дБ		Ф-ла таб.3 [10]		0		21,6	20,8	18,1	7,5	0	0	0	11,7	11,7		
		Ф-ла таб.3 [10]		0		21,6	20,8	18,1	7,5	0	0	0	11,7	11,7		
Источники шума: ИШ-19, ГМОЗ П5, координаты источника (х2,у2, з) м = [7030.55;5457.60;20.65]																
Уровни звуковой мощности источника днвм, лм, дБ		исходные данные		0	93	88	88	91	89	87	81	73				
Уровни звуковой мощности источника ночью, лм, дБ		исходные данные		0	93	88	88	91	89	87	81	73				
Поправка на телесный угол Ω , дБ		$\Omega = 6,28$		3	3	3	3	3	3	3	3	3				
Показатель направленности источника D_1 , дБ		исходные данные		0	0	0	0	0	0	0	0	0				
Поправка на направленность источника D_c , дБ		Dc		3	3	3	3	3	3	3	3	3				

[illegible]

1		2		3	4	5	6	7	8	9	10	11	12	13
Траектория справа от экрана	Константа C2, учитывающая аффект отражения от земли возле здания	Ф-ла (15) [100]	20	20	20	20	20	20	20	20	20	20	20	
			Ф-ла (15) [100]	1	1	1	1	1	1,2	1,5	2,1	2,7	2,9	
	K _{мат} (плотные метеоусловия)	Ф-ла (18) [100]	1	1	1	1	1	1	1	1	1	1	1	
	Dz, дБ	Ф-ла (14) [100]	10,3	12,7	15,4	18,3	21,6	25,7	30,3	34,2	37,6			
	Снижение УЗД, Абзг, дБ	Ф-ла (13) [100]	10,3	12,7	15,4	18,3	21,6	25,7	30,3	34,2	37,6			
Общее снижение уровня звука представителем Абзг, дБ		Экспунал (Абзг, д)	3,7	4,1	4,4	4,6	4,7	4,7	4,8	4,8	4,8	4,8		
Уровни звукового давления от источника ИШВ-22. ПМО2 В2 в расчётной точке днём, дБ		Ф-на(3) [100]	0	18,7	20,7	20,1	8,8	0	0	0	0	0	15,6	15,6
Уровни звукового давления от источника ИШВ-22. ПМО2 В2 в расчётной точке ночью, дБ		Ф-на(3) [100]	0	18,7	20,7	20,1	8,8	0	0	0	0	0	15,6	15,6
Источник шума: ИШВ-23, ПМО2 В4, координаты источника (х,у,z), м = [7035.38;5445.36;20.65]														
Уровни звуковой мощности источника днём, Лw, дБ	исходные данные	0	73	81	78	74	70	66	61	66				
		исходные данные	0	73	81	78	74	70	66	61	66			
	Поправка на телесный угол DZ, дБ	Ω = 6,28 10,64+α(z)/z	3	3	3	3	3	3	3	3	3	3	3	
		исходные данные	0	0	0	0	0	0	0	0	0	0	0	0
	Поправка на направленность источника Dc, дБ	Dc расстояние = 1107,63 м	3	3	3	3	3	3	3	3	3	3	3	
80,8														
Уровни звуковой мощности источника ночью, Лw, дБ	Заглушение из-за геометрической дифракции, Адв, дБ	Ф-ла (7) [100]	0,02	0,09	0,33	1,12	2,79	4,98	9,04	23,09	77,63			
		Ф-ла (5) [9]	0,1	0,3	1	3,5	8,7	15,5	28,1	71,7	241,3			
	Коэффициент затухания звука в атмосфере α, дБ/км	Ф-ла (8) [100]	-1,5	-1,5	-1,5	-1,5	-1,5	-1,5	-1,5	-1,5	-1,5	-1,5	-1,5	
		Г _н =0 Г _п =0,1 км Г _р =1,5 км	-1,5	-1,5	-1,5	-1,5	-1,5	-1,5	-1,5	-1,5	-1,5	-1,5	-1,5	
	Учет затухания звука в атмосфере Азгт, дБ	Ф-ла (9) [100]	-3	-3	-3	-3	-3	-3	-3	-3	-3	-3	-3	
Суммарное снижение поверхностью земли на траектории распространения звука Азг, дБ		Ф-ла (9) [100]	-6	-6	-6	-6	-6	-6	-6	-6	-6	-6	-6	
Снижение уровня звукового давления из-за влияния застройки между источником шума и расчётной точкой														
Длина звуковой волны для среднегеометрической частоты октавной полосы, λ, м	Промежуточные tones:	Р _{экв,дБ} = [703,38;5451,57;20,58] R _{экв} 13,8x45,13x20,58	86 ± 23,05 м	20	20	20	20	20	20	20	20	20	20	
		Константа C2, учитывающая аффект отражения от земли возле здания	Ф-ла (15) [100]	1	1	1	1	1	1	1	1	1	1	1
	Траектория над экраном	K _{мат} (плотные метеоусловия)	Ф-ла (18) [100]	0	0	0	0	0	0	0	0	0	0	0
		Dz, дБ	Ф-ла (14) [100]	4,8	4,8	4,8	4,8	4,8	4,8	4,8	4,8	4,8	4,8	4,8
	Снижение УЗД, Абзг, дБ	Ф-ла (12) [100]	4,8	4,8	4,8	4,8	4,8	4,8	4,8	4,8	4,8	4,8	4,8	4,8
Уровни звукового давления от источника ИШВ-23. ПМО2 В4 в расчётной точке днём, дБ		Ф-на(3) [100]	0	0	3,3	0	0	0	0	0	0	0	0	0
Уровни звукового давления от источника ИШВ-23. ПМО2 В4 в расчётной точке ночью, дБ		Ф-на(3) [100]	0	0	3,3	0	0	0	0	0	0	0	0	0
Источник шума: ИШВ-24, ПМО2 В5, координаты источника (х,у,z), м = [7035.85;5444.30;20.65]														
Уровни звуковой мощности источника днём, Лw, дБ	исходные данные	0	73	81	78	74	70	66	61	66				
		исходные данные	0	73	81	78	74	70	66	61	66			
	Поправка на телесный угол DZ, дБ	Ω = 6,28 10,64+α(z)/z	3	3	3	3	3	3	3	3	3	3	3	
		исходные данные	0	73	81	78	74	70	66	61	66			
	Уровни звуковой мощности источника ночью, Лw, дБ	исходные данные	0	73	81	78	74	70	66	61	66			

1													2												
Уровни звуковой мощности источника днём, лw, дБ													исходные данные												
Уровни звуковой мощности источника ночью, лw, дБ													исходные данные												
Поправка на телесный угол D _т , дБ													10lg(4πr ²)												
Показатель направленности источника D _п , дБ													исходные данные												
Поправка на направленность источника D _н , дБ													D ₀ + D _п												
Затухание из-за геометрической дивергенции A _{дв} , дБ													Ф _{пл} (7) [10]												
Коэффициент затухания звука в атмосфере α, дБ/км													Ф _{пл} (5) [9]												
Учет затухания звука в атмосфере A _{атм} , дБ													Ф _{пл} (8) [10]												
Снижение поверхности земли возле источника A _з , дБ													Ф _{пл} таб.3 [10]												
Снижение поверхности земли возле приёмника A _п , дБ													Ф _{пл} таб.3 [10]												
Снижение поверхности земли в средней зоне, A _{пз} , дБ													Ф _{пл} таб.3 [10]												
Суммарное снижение поверхности земли на траектории распространения звука A _{вб} , дБ													Ф _{пл} (9) [10]												
Снижение уровня звукового давления из-за влияния источника шума и расчётной тонкой													81,3												
Длина звуковой волны для среднегеометрической частоты октавной полосы λ, м													10,79												
Критерий наличия экранирования в горизонтальной плоскости													Выр > λ												
Траектория над экраном													Промежуточные точки:												
													R _{экв} x d _п = (6779,52;424651,22;40)												
													Константа C ₂ , учитывающая эффект отражения от земли возле экрана												
													Ф _{пл} (15) [10]												
													K _{экв} (влияние метеосусловий)												
Траектория слева от экрана													Ф _{пл} (18) [10]												
													Ф _{пл} (14) [10]												
													Ф _{пл} (12) [10]												
													Промежуточные точки:												
													R _{экв} x d _п = (6777,82;424403,22;40)												
Траектория справа от экрана													Ф _{пл} (15) [10]												
													K _{экв} (влияние метеосусловий)												
													Ф _{пл} (18) [10]												
													Ф _{пл} (14) [10]												
													Промежуточные точки:												

1													2												
Траектория над экраном													Константа C ₂ , учитывающая эффект отражения от земли возле экрана												
													Ф-м (15) [10]												
													Ф-м (18) [10]												
													Ф-м (14) [10]												
Снижение УЗД, A _{звг} , дБ													Ф-м (12) [10]												
													Ф-м (9) [10]												
Уровни звукового давления от источника ИШв-25. ПМО2 B6 в расчётной точке днём, дБ													Ф-м (13) [10]												
Уровни звукового давления от источника ИШв-25. ПМО2 B6 в расчётной точке ночью, дБ													Ф-м (10) [10]												
Источник шума: ИШв-26. П2, координаты источника (х,у,з), м = [6517,91,4121,44,35,00]													исходные данные												
Уровни звуковой мощности источника днём, лw, дБ													исходные данные												
Уровни звуковой мощности источника ночью, лw, дБ													исходные данные												
Поправка на телесный угол D _т , дБ													10lg(4πr ²)												
Показатель направленности источника D _п , дБ													исходные данные												
Поправка на направленность источника D _н , дБ													D ₀ + D _п												
Затухание из-за геометрической дивергенции A _{дв} , дБ													Ф-м (7) [10]												
Коэффициент затухания звука в атмосфере α, дБ/км													0,02												
													0,09												
													0,33												
													1,12												
Учет затухания звука в атмосфере A _{атм} , дБ													0,1												
Снижение поверхность земли возле источника A _з , дБ													0,1												
													0,3												
Снижение поверхность земли возле приёмника A _п , дБ													0,1												
													0,3												
Снижение поверхность земли в средней зоне, A _{пз} , дБ													0,1												
Снижение поверхность земли в средней зоне, A _{пз} , дБ													0,1												
Снижение поверхность земли в средней зоне, A _{пз} , дБ													0,1												
Снижение поверхность земли в средней зоне, A _{пз} , дБ													0,1												
Снижение поверхность земли в средней зоне, A _{пз} , дБ													0,1												
Снижение поверхность земли в средней зоне, A _{пз} , дБ													0,1												
Снижение поверхность земли в средней зоне, A _{пз} , дБ													0,1												
Снижение поверхность земли в средней зоне, A _{пз} , дБ													0,1												
Снижение поверхность земли в средней зоне, A _{пз} , дБ													0,1												
Снижение поверхность земли в средней зоне, A _{пз} , дБ													0,1												
Снижение поверхность земли в средней зоне, A _{пз} , дБ													0,1												
Снижение поверхность земли в средней зоне, A _{пз} , дБ													0,1												
Снижение поверхность земли в средней зоне, A _{пз} , дБ													0,1												
Снижение поверхность земли в средней зоне, A _{пз} , дБ													0,1												
Снижение поверхность земли в средней зоне, A _{пз} , дБ													0,1												
Снижение поверхность земли в средней зоне, A _{пз} , дБ													0,1												
Снижение поверхность земли в средней зоне, A _{пз} , дБ													0,1												
Снижение поверхность земли в средней зоне, A _{пз} , дБ													0,1												
Снижение поверхность земли в средней зоне, A _{пз} , дБ													0,1												
Снижение поверхность земли в средней зоне, A _{пз} , дБ													0,1												
Снижение поверхность земли в средней зоне, A _{пз} , дБ													0,1												
Снижение поверхность земли в средней зоне, A _{пз} , дБ													0,1												
Снижение поверхность земли в средней зоне, A _{пз} , дБ													0,1												
Снижение поверхность земли в средней зоне, A _{пз} , дБ													0,1												
Снижение поверхность земли в средней зоне, A _{пз} , дБ													0,1												
Снижение поверхность земли в средней зоне, A _{пз} , дБ													0,1												
Снижение поверхность земли в средней зоне, A _{пз} , дБ													0,1												
Снижение поверхность земли в средней зоне, A _{пз} , дБ													0,1												
Снижение поверхность земли в средней зоне, A _{пз} , дБ													0,1												
Снижение поверхность земли в средней зоне, A _{пз} , дБ													0,1												
Снижение поверхность земли в средней зоне, A _{пз} , дБ													0,1												
Снижение поверхность земли в средней зоне, A _{пз} , дБ													0,1												
Снижение поверхность земли в средней зоне, A _{пз} , дБ													0,1												
Снижение поверхность земли в средней зоне, A _{пз} , дБ													0,1												
Снижение поверхность земли в средней зоне, A _{пз} , дБ													0,1												
Снижение поверхность земли в средней зоне, A _{пз} , дБ													0,1												
Снижение поверхность земли в средней зоне, A _{пз} , дБ													0,1												
Снижение поверхность земли в средней зоне, A _{пз} , дБ													0,1												
Снижение поверхность земли в средней зоне, A _{пз} , дБ													0,1												
Снижение поверхность земли в средней зоне, A _{пз} , дБ													0,1												
Снижение поверхность земли в средней зоне, A _{пз} , дБ													0,1												
Снижение поверхность земли в средней зоне, A _{пз} , дБ													0,1												
Снижение поверхность земли в средней зоне, A _{пз} , дБ													0,1												
Снижение поверхность земли в средней зоне, A _{пз} , дБ													0,1												
Снижение поверхность земли в средней зоне, A _{пз} , дБ													0,1												
Снижение поверхность земли в средней зоне, A _{пз} , дБ													0,1												
Снижение поверхность земли в средней зоне, A _{пз} , дБ													0,1												
Снижение поверхность земли в средней зоне, A _{пз} , дБ													0,1												
Снижение поверхность земли в средней зоне, A _{пз} , дБ													0,1												
Снижение поверхность земли в средней зоне, A _{пз} , дБ													0,1												
Снижение поверхность земли в средней зоне, A _{пз} , дБ													0,1												
Снижение поверхность земли в средней зоне, A _{пз} , дБ													0,1												
Снижение поверхность земли в средней зоне, A _{пз} , дБ													0,1												
Снижение поверхность земли в средней зоне, A _{пз} , дБ													0,1												
Снижение поверхность земли в средней зоне, A _{пз} , дБ													0,1												
Снижение поверхность земли в средней зоне, A _{пз} , дБ													0,1												
Снижение поверхность земли в средней зоне, A _{пз} , дБ													0,1												
Снижение поверхность земли в средней зоне, A _{пз} , дБ													0,1												
Снижение поверхность земли в средней зоне, A _{пз} , дБ													0,1												
Снижение поверхность земли в средней зоне, A _{пз} , дБ													0,1												
Снижение поверхность земли в средней зоне, A _{пз} , дБ													0,1												
Снижение поверхность земли в средней зоне, A _{пз} , дБ													0,1												
Снижение поверхность земли в средней зоне, A _{пз} , дБ													0,1												
Снижение поверхность земли в средней зоне, A _{пз} , дБ													0,1												
Снижение поверхность земли в средней зоне, A _{пз} , дБ													0,1												
Снижение поверхность земли в средней зоне, A _{пз} , дБ													0,1												
Снижение поверхность земли в средней зоне, A _{пз} , дБ													0,1												
Снижение поверхность земли в средней зоне, A _{пз} , дБ													0,1												
Снижение поверхность земли в средней зоне, A _{пз} , дБ													0,1												
Снижение поверхность земли в средней зоне, A _{пз} , дБ													0,1												
Снижение поверхность земли в средней зоне, A _{пз} , дБ													0,1												
Снижение поверхность земли в средней зоне, A _{пз} , дБ													0,1												
Снижение поверхность земли в средней зоне, A _{пз} , дБ													0,1												
Снижение поверхность земли в средней зоне, A _{пз} , дБ													0,1												
Снижение поверхность земли в средней зоне, A _{пз} , дБ													0,1												
Снижение поверхность земли в средней зоне, A _{пз} , дБ													0,1												
Снижение поверхность земли в средней зоне, A _{пз} , дБ													0,1												
Снижение поверхность земли в средней зоне, A _{пз} , дБ													0,1												
Снижение поверхность земли в средней зоне, A _{пз} , дБ													0,1												
Снижение поверхность земли в средней зоне, A _{пз} , дБ													0,1												
Снижение поверхность земли в средней зоне, A _{пз} , дБ													0,1												
Снижение поверхность земли в средней зоне, A _{пз} , дБ													0,1												
Снижение поверхность земли в средней зоне, A _{пз} , дБ													0,1												
Снижение поверхность земли в средней зоне, A _{пз} , дБ													0,1												
Снижение поверхность земли в средней зоне, A _{пз} , дБ													0,1												
Снижение поверхность земли в средней зоне, A _{пз} , дБ													0,1												
Снижение поверхность земли в средней зоне, A _{пз} , дБ													0,1												
Снижение поверхность земли в средней зоне,																									

1		2	3	4	5	6	7	8	9	10	11	12	13		
Показатель направленности источника G_i , дБ		исходные данные	0	0	0	0	0	0	0	0	0	0	0		
Поправка на направленность источника D_i , дБ		$D_i = 0$	3	3	3	3	3	3	3	3	3	3	3		
Затухание из-за геометрической дивергенции A_{div} , дБ		расстояние $r = 322,74$ м	80,9												
Коэффициент затухания звука в атмосфере α , дБ/км		$T = 20,2^{\circ}\text{C}$ $P = 101,33$ кПа $\rho_{\text{возд}} = 1,205$	0,02	0,09	0,33	1,12	2,79	4,98	9,04	23,09	77,63				
Учет затухания звука в атмосфере A_{atm} , дБ		$G_s = 0$ $r_{\text{изл}} = 9,6$ м	0,1	0,3	1	3,5	8,7	15,6	28,3	72,2	242,8				
Снижение поверхностью земли возле источника $A_{z, дБ}$		$G_s = 0$ $r_{\text{изл}} = 9,6$ м	-1,5	-1,5	-1,5	-1,5	-1,5	-1,5	-1,5	-1,5	-1,5	-1,5	-1,5		
Снижение поверхностью земли возле приемника $A_{r, дБ}$		$G_r = 0$ $r_{\text{пр}} = 1,5$ м	-1,5	-1,5	-1,5	-1,5	-1,5	-1,5	-1,5	-1,5	-1,5	-1,5	-1,5		
Снижение поверхностью земли в средней зоне, $A_{пз}$, дБ		$G_{пз} = 0$	-2,7	-2,7	-2,7	-2,7	-2,7	-2,7	-2,7	-2,7	-2,7	-2,7	-2,7		
Суммарное снижение поверхности земли на траектории распространения звука $A_{гз}$, дБ			-5,7	-5,7	-5,7	-5,7	-5,7	-5,7	-5,7	-5,7	-5,7	-5,7	-5,7		
Снижение уровня звукового давления из-за влияния застройки между источником шума и расчетной точкой															
Длина звуковой волны для среднегеометрической частоты октавной полосы λ , м			10/79	54	272	1,36	0,68	0,34	0,17	0,09	0,04				
Критерий наличия экранирования в горизонтальной плоскости			Горизонтальный размер здания, $b_{гор} = 411,56$ м		да	да	да	да	да	да	да	да	да		
Траектория над экраном			Промежуточные точки:	$R_{экв, d, l} = 6939,86$ (50,50/131,31/33)	$R_{экв, d, l} = 6939,86$ (50,50/131,31/33)	$b_{гз} = 21,38$ м	$d_{гз} = 3076,89$ м	$e = 47,42$ м	$z = 1895$ м						
			Константа C_2 , учитывающая эффект отражения от земли возле здания			20	20	20	20	20	20	20	20	20	20
			Константа C_1 (дифракция на краяхах)			1,4	2	2,6	2,9	3	3	3	3	3	3
			$K_{экз}$ (плотные метеоусловия)			0,3	0,3	0,3	0,3	0,3	0,3	0,3	0,3	0,3	0,3
			$Dz, дБ$ (с учетом ограничения эффективности экрана: 25 дБ)			12,6	16,7	20,6	24	25	25	25	25	25	25
Траектория слева от экрана			Промежуточные точки:	$R_{экв, d, l} = 6939,86$ (50,50/131,31/33)	$R_{экв, d, l} = 6939,86$ (50,50/131,31/33)	$b_{гз} = 27,50$ м	$d_{гз} = 2823,20$ м	$e = 381,25$ м	$z = 104,62$ м						
			Константа C_2 , учитывающая эффект отражения от земли возле здания			20	20	20	20	20	20	20	20	20	20
			Константа C_1 (дифракция на краяхах)			2,9	3	3	3	3	3	3	3	3	3
			$K_{экз}$ (плотные метеоусловия)			1	1	1	1	1	1	1	1	1	1
			$Dz, дБ$			27,5	30,6	33,6	36,6	39,7	42,7	45,7	48,7	51,7	
Траектория справа от экрана			Промежуточные точки:	$R_{экв, d, l} = 7062,62$ (50,50/131,31/33)	$R_{экв, d, l} = 7062,62$ (50,50/131,31/33)	$b_{гз} = 384,61$ м	$d_{гз} = 2995,03$ м	$e = 140,07$ м	$z = 393,37$ м						
			Константа C_2 , учитывающая эффект отражения от земли возле здания			20	20	20	20	20	20	20	20	20	20
			Константа C_1 (дифракция на краяхах)			2,4	2,8	2,9	3	3	3	3	3	3	3
			$K_{экз}$ (плотные метеоусловия)			1	1	1	1	1	1	1	1	1	1
			$Dz, дБ$			32,5	36,2	39,3	42,4	45,4	48,4	51,5	54,5	57,5	
Общее снижение уровня звука препятствием $A_{взг}$, дБ			Промежуточные точки:	$R_{экв, d, l} = 7062,62$ (50,50/131,31/33)	$R_{экв, d, l} = 7062,62$ (50,50/131,31/33)	$b_{гз} = 384,61$ м	$d_{гз} = 2995,03$ м	$e = 140,07$ м	$z = 393,37$ м						
			Константа C_2 , учитывающая эффект отражения от земли возле здания			20	20	20	20	20	20	20	20	20	20
			Константа C_1 (дифракция на краяхах)			2,4	2,8	2,9	3	3	3	3	3	3	3
			$K_{экз}$ (плотные метеоусловия)			1	1	1	1	1	1	1	1	1	1
			$Dz, дБ$			32,5	36,2	39,3	42,4	45,4	48,4	51,5	54,5	57,5	
Суммарное снижение уровня звука препятствием $A_{взг}$, дБ			12,4	16,4	20,3	23,7	24,8	24,9	25	25	25	25	25		
Уровни звукового давления прямого звука от источника ИШ-6 ОПУ, П1 пом. ЭФ в расчетной точке днём, дБ			$\Phi_{нЭФ}[10]$	0	0	0	0	0	0	0	0	0	0		
Уровни звукового давления прямого звука от источника ИШ-6 ОПУ, П1 пом. ЭФ в расчетной точке ночью, дБ			$\Phi_{нЭФ}[10]$	0	0	0	0	0	0	0	0	0	0		
Расчёт отражённого звука				0	0	0	0	0	0	0	0	0	0		
Уровни звукового давления от минимого источника ИШ-6 ОПУ, П1 пом. ЭФ_мн.[1] в расчетной точке днём, дБ			$\Phi_{нЭФ}[10]$	0	0	0	0	0	0	0	0	0	0		
Уровни звукового давления от минимого источника ИШ-6 ОПУ, П1 пом. ЭФ_мн.[1] в расчетной точке ночью, дБ			$\Phi_{нЭФ}[10]$	0	0	0	0	0	0	0	0	0	0		
Уровни звукового давления от источника ИШ-6 ОПУ, П1 пом. ЭФ в расчетной точке днём, дБ			$\Phi_{нЭФ}[10]$	0	0	0	0	0	0	0	0	0	0		

1												
Уровни звукового давления от источника ИШ-1 ОПУ. Пом. электрофильтов_экс(1) в расчётной точке днём, дБ	2	3	4	5	6	7	8	9	10	11	12	13
Уровни звукового давления от источника ИШ-1 ОПУ. Пом. электрофильтов_экс(1) в расчётной точке ночью, дБ	44,7	44,5	26,8	13,9	7,7	0	0	0	0	19,5	19,5	
Суммарные уровни звукового давления от площадного источника ИШ-1 ОПУ. Пом. электрофильтов в расчётной точке днём, дБ	44,7	44,5	26,8	13,9	7,7	0	0	0	0	19,5	19,5	
Суммарные уровни звукового давления от площадного источника ИШ-1 ОПУ. Пом. электрофильтов в расчётной точке ночью, дБ	44,7	44,5	26,8	13,9	7,7	0	0	0	0	19,5	19,5	
Суммарные уровни звукового давления от площадного источника ИШ-2 ОПУ. Пом. электрофильтов в расчётной точке днём, дБ	44,7	44,5	26,8	13,9	7,7	0	0	0	0	19,5	19,5	
Суммарные уровни звукового давления от площадного источника ИШ-2 ОПУ. Пом. электрофильтов в расчётной точке ночью, дБ	44,7	44,5	26,8	13,9	7,7	0	0	0	0	19,5	19,5	
ИШ-2 ОПУ. Пом. мастерской												
Источники площадной, площадь = 19,94 м. По положением ГОСТ 31295-2 разбит на серию точечных эквивалентных источников. Количество эквивалентных источников: 1.												
Расчет эквивалентных источников шума:												
Октавные уровни удельной звуковой мощности источника ночью, Лв, дБ/м2	исходные данные	97,3	97,3	71,5	61,7	49,9	45,8	44,1	39,2	66,9		
Октавные уровни удельной звуковой мощности источника днём, Лв, дБ/м2	исходные данные	97,3	97,3	71,5	61,7	49,9	45,8	44,1	39,2	66,9		
Уровни звукового давления от источника ИШ-2 ОПУ. Пом. мастерской_экс(1) в расчётной точке днём, дБ	44,7	44,5	26,8	13,9	7,7	0	0	0	0	19,5	19,5	
Уровни звукового давления от источника ИШ-2 ОПУ. Пом. мастерской_экс(1) в расчётной точке ночью, дБ	44,7	44,5	26,8	13,9	7,7	0	0	0	0	19,5	19,5	
Суммарные уровни звукового давления от площадного источника ИШ-2 ОПУ. Пом. мастерской в расчётной точке днём, дБ	44,7	44,5	26,8	13,9	7,7	0	0	0	0	19,5	19,5	
Суммарные уровни звукового давления от площадного источника ИШ-2 ОПУ. Пом. мастерской в расчётной точке ночью, дБ	44,7	44,5	26,8	13,9	7,7	0	0	0	0	19,5	19,5	
ИШ-3 ОПУ. Пом. мастерской												
Источники площадной, площадь = 24,85 м. По положением ГОСТ 31295-2 разбит на серию точечных эквивалентных источников. Количество эквивалентных источников: 1.												
Расчет эквивалентных источников шума:												
Октавные уровни удельной звуковой мощности источника ночью, Лв, дБ/м2	исходные данные	103,9	106,9	92,9	58,6	72,5	68,8	64,6	56,6	99,2		
Октавные уровни удельной звуковой мощности источника днём, Лв, дБ/м2	исходные данные	103,9	106,9	92,9	58,6	72,5	68,8	64,6	56,6	99,2		
Уровни звукового давления от источника ИШ-3 ОПУ. Пом. мастерской_экс(1) в расчётной точке днём, дБ	44,7	44,5	26,8	13,9	7,7	0	0	0	0	19,5	19,5	
Уровни звукового давления от источника ИШ-3 ОПУ. Пом. мастерской_экс(1) в расчётной точке ночью, дБ	44,7	44,5	26,8	13,9	7,7	0	0	0	0	19,5	19,5	
Суммарные уровни звукового давления от площадного источника ИШ-3 ОПУ. Пом. мастерской в расчётной точке днём, дБ	44,7	44,5	26,8	13,9	7,7	0	0	0	0	19,5	19,5	
Суммарные уровни звукового давления от площадного источника ИШ-3 ОПУ. Пом. мастерской в расчётной точке ночью, дБ	44,7	44,5	26,8	13,9	7,7	0	0	0	0	19,5	19,5	
ИШ-4 ОПУ. Пом. дымососа												
Источники площадной, площадь = 225,57 м. По положением ГОСТ 31295-2 разбит на серию точечных эквивалентных источников. Количество эквивалентных источников: 1.												
Расчет эквивалентных источников шума:												
Октавные уровни удельной звуковой мощности источника ночью, Лв, дБ/м2	исходные данные	73,7	76,7	62,7	55,2	42,2	38,5	37	26,9	56,9		
Октавные уровни удельной звуковой мощности источника днём, Лв, дБ/м2	исходные данные	73,7	76,7	62,7	55,2	42,2	38,5	37	26,9	56,9		
Уровни звукового давления от источника ИШ-4 ОПУ. Пом. дымососа_экс(1) в расчётной точке днём, дБ	44,7	44,5	26,8	13,9	7,7	0	0	0	0	19,5	19,5	
Уровни звукового давления от источника ИШ-4 ОПУ. Пом. дымососа_экс(1) в расчётной точке ночью, дБ	44,7	44,5	26,8	13,9	7,7	0	0	0	0	19,5	19,5	
Суммарные уровни звукового давления от площадного источника ИШ-4 ОПУ. Пом. дымососа в расчётной точке днём, дБ	44,7	44,5	26,8	13,9	7,7	0	0	0	0	19,5	19,5	
Суммарные уровни звукового давления от площадного источника ИШ-4 ОПУ. Пом. дымососа в расчётной точке ночью, дБ	44,7	44,5	26,8	13,9	7,7	0	0	0	0	19,5	19,5	
Источник шума: ИШ-6 ОПУ. П1 пом. ЭФ, координаты источника (х,у,z), м = [693378;5090;30;9;60]												
Источники площадной, площадь = 225,57 м. По положением ГОСТ 31295-2 разбит на серию точечных эквивалентных источников. Количество эквивалентных источников: 1.												

[illegible]

1														
Уровни звукового давления от источника ИШ-6 ОПУ. П1 пом. ЭФ в расчётной точке ночью, дБ		2		3	4	5	6	7	8	9	10	11	12	13
Ф-нш[100]		Ф-нш[100]		0	0	0	0	0	0	0	0	0	0	0
Источник шума: ИШ-7 ОПУ. П2 пом. ЭФ, координаты источника (х1,у1,z1), м =[6935.29;5093.32;9.60]														
Уровни звуковой мощности источника днём, лw, дБ		исходные данные		76,4	78,5	87,5	87,7	86	86	83	77	76		
Уровни звуковой мощности источника ночью, лw, дБ		исходные данные		76,4	78,5	87,5	87,7	86	86	83	77	76		
Поправка на телесный угол Dз, дБ		10,6(4-7/3)		3	3	3	3	3	3	3	3	3		
Показатель направленности источника D1, дБ		исходные данные		0	0	0	0	0	0	0	0	0		
Поправка на направленность источника Dc, дБ		Dc		3	3	3	3	3	3	3	3	3		
Затухание из-за геометрической дивергенции, Адв, дБ		Ф-лв (7) [10]		80,9										
Коэффициент затухания звука в атмосфере α, дБ/км		Т=20,0 °C P=101.33,4Па H=0-700м		0,02	0,09	0,33	1,12	2,79	4,98	9,04	23,09	77,63		
Учет затухания звука в атмосфере Аатм, дБ		Ф-лв (8) [10]		0,1	0,3	1	3,5	8,7	15,6	28,3	72,2	242,8		
Снижение поверхность земли возле источника Аз, дБ		Gz = 0 Hз = 9,6м		-1,5	-1,5	-1,5	-1,5	-1,5	-1,5	-1,5	-1,5	-1,5		
Снижение поверхность земли возле приемника Аг, дБ		Gg = 0 Hг = 1,5м		-1,5	-1,5	-1,5	-1,5	-1,5	-1,5	-1,5	-1,5	-1,5		
Снижение поверхность земли в средней зоне, Ап дБ		Gm = 0		-2,7	-2,7	-2,7	-2,7	-2,7	-2,7	-2,7	-2,7	-2,7		
Суммарное снижение поверхность земли на траектории распространения звука Агв, дБ		Ф-лв (9) [10]		-5,7	-5,7	-5,7	-5,7	-5,7	-5,7	-5,7	-5,7	-5,7		
Снижение уровня звукового давления из-за влияния застройки между источником шума и расчётной точкой														
Территория над жилым	Длина звуковой волны для среднегеометрической частоты октавной полосы, λ, м	10,79		5,4	2,72	1,36	0,68	0,34	0,17	0,09	0,04			
	Горизонтальный размер экрана, lэкp = λ, м	lэкp = λ												
	Промежуточные тонны:	Рrхfхd1 = 6932.03;5094.67;31.35		20	20	20	20	20	20	20	20	20		
	Константа С2, учитывающая эффект отражения от земли возле здания	Ф-лв (15) [10]		1,4	2	2,6	2,9	3	3	3	3	3		
	Константа С3 (инфракрасная на громах)	Ф-лв (18) [10]		0,3	0,3	0,3	0,3	0,3	0,3	0,3	0,3	0,3		
	Кзв (линейные метеоусловия)	Ф-лв (14) [10]		12,5	16,6	20,5	23,9	25	25	25	25	25		
	Dz, дБ (с учётом, ограничения аффективности здания, Zs, дБ)	Ф-лв (12) [10]		12,5	16,6	20,5	23,9	25	25	25	25	25		
	Снижение УЗД, Абв, дБ	Промежуточные тонны:		Рrхfхd1 = 6932.03;5094.67;31.35	20	20	20	20	20	20	20	20		
	Константа С2, учитывающая эффект отражения от земли возле здания	Ф-лв (15) [10]		1,4	2	2,6	2,9	3	3	3	3	3		
	Константа С3 (инфракрасная на громах)	Ф-лв (18) [10]		0,3	0,3	0,3	0,3	0,3	0,3	0,3	0,3	0,3		
Территория слева от экрана	Кзв (линейные метеоусловия)	Ф-лв (14) [10]		12,5	16,6	20,5	23,9	25	25	25	25	25		
	Dz, дБ	Ф-лв (12) [10]		12,5	16,6	20,5	23,9	25	25	25	25	25		
	Снижение УЗД, Абв, дБ	Промежуточные тонны:		Рrхfхd1 = 6932.03;5094.67;31.35	20	20	20	20	20	20	20	20		
	Константа С2, учитывающая эффект отражения от земли возле здания	Ф-лв (15) [10]		1,4	2	2,6	2,9	3	3	3	3	3		
	Константа С3 (инфракрасная на громах)	Ф-лв (18) [10]		0,3	0,3	0,3	0,3	0,3	0,3	0,3	0,3	0,3		
	Кзв (линейные метеоусловия)	Ф-лв (14) [10]		12,5	16,6	20,5	23,9	25	25	25	25	25		
	Dz, дБ	Ф-лв (12) [10]		12,5	16,6	20,5	23,9	25	25	25	25	25		
	Снижение УЗД, Абв, дБ	Промежуточные тонны:		Рrхfхd1 = 6932.03;5094.67;31.35	20	20	20	20	20	20	20	20		
	Константа С2, учитывающая эффект отражения от земли возле здания	Ф-лв (15) [10]		1,4	2	2,6	2,9	3	3	3	3	3		
	Константа С3 (инфракрасная на громах)	Ф-лв (18) [10]		0,3	0,3	0,3	0,3	0,3	0,3	0,3	0,3	0,3		
Территория справа от экрана	Кзв (линейные метеоусловия)	Ф-лв (14) [10]		12,5	16,6	20,5	23,9	25	25	25	25	25		
	Dz, дБ	Ф-лв (12) [10]		12,5	16,6	20,5	23,9	25	25	25	25	25		
	Снижение УЗД, Абв, дБ	Промежуточные тонны:		Рrхfхd1 = 6932.03;5094.67;31.35	20	20	20	20	20	20	20	20		
	Константа С2, учитывающая эффект отражения от земли возле здания	Ф-лв (15) [10]		1,4	2	2,6	2,9	3	3	3	3	3		
	Константа С3 (инфракрасная на громах)	Ф-лв (18) [10]		0,3	0,3	0,3	0,3	0,3	0,3	0,3	0,3	0,3		
	Кзв (линейные метеоусловия)	Ф-лв (14) [10]		12,5	16,6	20,5	23,9	25	25	25	25	25		
	Dz, дБ	Ф-лв (12) [10]		12,5	16,6	20,5	23,9	25	25	25	25	25		
	Снижение УЗД, Абв, дБ	Промежуточные тонны:		Рrхfхd1 = 6932.03;5094.67;31.35	20	20	20	20	20	20	20	20		
	Константа С2, учитывающая эффект отражения от земли возле здания	Ф-лв (15) [10]		1,4	2	2,6	2,9	3	3	3	3	3		
	Константа С3 (инфракрасная на громах)	Ф-лв (18) [10]		0,3	0,3	0,3	0,3	0,3	0,3	0,3	0,3	0,3		
Общее снижение уровня звука препятствием Абвг, дБ														
Эк, суммар. Абвг, дБ		12,3		16,3	20,2	23,6	24,8	24,9	25	25	25			

1																2		3	4	5	6	7	8	9	10	11	12	13																												
Травектория слева от экрана																		Константа С2, учитывающая эффект отражения от земли возле экрана		20	20	20	20	20	20	20	20	20	20	20	20	20	20	20																						
																		Константа С3 (дифракция на краяхах)		Ф-ла (15) [10]		2,9	3	3	3	3	3	3	3	3	3	3	3	3	3																					
																		K _{зем} (влияние метеосусловий)		Ф-ла (18) [10]		1	1	1	1	1	1	1	1	1	1	1	1	1																						
																		Dz, дБ		Ф-ла (14) [10]		26,6	29,7	32,7	35,7	38,7	41,7	44,7	47,7	50,8																										
																		Снижение УЗД, Абвг, дБ		Ф-ла (13) [10]		26,6	29,7	32,7	35,7	38,7	41,7	44,7	47,7	50,8																										
Травектория справа от экрана																		Промежуточные тоны:		Р _{нххх,дБ} = (7082,90,5452,91,11,13) (6841,4355,91,15,10,09)		dн = 403,33 м		dн = 298,04 м		dн = 144,07 м		r = 42,73 м																												
																		Константа С2, учитывающая эффект отражения от земли возле экрана				20	20	20	20	20	20	20	20	20	20	20	20	20	20																					
																		Константа С3 (дифракция на краяхах)		Ф-ла (15) [10]		2,4	2,8	2,9	3	3	3	3	3	3	3	3	3	3	3																					
																		K _{зем} (влияние метеосусловий)		Ф-ла (18) [10]		1	1	1	1	1	1	1	1	1	1	1	1	1	1																					
																		Dz, дБ		Ф-ла (14) [10]		32,7	36,4	39,6	42,6	45,7	48,7	51,7	54,7	57,7																										
Общее снижение уровня звука препятствием Абвг, дБ																		Снижение УЗД, Абвг, дБ		Ф-ла (13) [10]		32,7	36,4	39,6	42,6	45,7	48,7	51,7	54,7	57,7																										
																		Эк-стумм(Абвг_г)				15	18	21	23,9	24,8	24,9	24,9	25	25																										
																		Уровни звукового давления прямого звука от источника ИШ-9 ОПУ, Преобр. станция в расчётной точке днём, дБ		Ф-ла(9) [10]		0	0	0	0	0	0	0	0	0	0	0	0	0	0	0	0																			
																		Уровни звукового давления прямого звука от источника ИШ-9 ОПУ, Преобр. станция в расчётной точке ночью, дБ		Ф-ла(9) [10]		0	0	0	0	0	0	0	0	0	0	0	0	0	0	0	0																			
																		Расчёт отражённого звука																																						
Уровни звуковой мощности источника ИШ-9 ОПУ, Преобр. станция_мн(1) в расчётной точке днём, дБ		Ф-ла(9) [10]		0	0	0	5	0	0	0	0	0	0	0	0	0	0																			0	0																			
Уровни звукового давления от минимального источника ИШ-9 ОПУ, Преобр. станция_мн(1) в расчётной точке днём, дБ		Ф-ла(9) [10]		0	0	0	0	0	0	0	0	0	0	0	0	0	0																			0	0																			
Уровни звукового давления от минимального источника ИШ-9 ОПУ, Преобр. станция_мн(1) в расчётной точке ночью, дБ		Ф-ла(9) [10]		0	0	0	0	0	0	0	0	0	0	0	0	0	0																			0	0																			
Уровни звукового давления от источника ИШ-9 ОПУ, Преобр. станция в расчётной точке днём, дБ		Ф-ла(9) [10]		0	0	0	5	0	0	0	0	0	0	0	0	0	0																			0	0																			
Уровни звукового давления от источника ИШ-9 ОПУ, Преобр. станция в расчётной точке ночью, дБ																		Ф-ла(9) [10]		0	0	0	5	0	0	0	0	0	0	0	0	0	0	0	0	0	0																			
																		Источник шума: ИШ-10 ОПУ, П5 ЭФ, координаты источника (х,у,z), м =[6926,50,5070,92,11,20]																																						
																																				Уровни звуковой мощности источника днём, Лw, дБ		исходные данные		73,3	75,3	84,3	84,5	82,8	82,8	79,8	79,8	73,8	72,8							
																																				Уровни звуковой мощности источника ночью, Лw, дБ		исходные данные		73,3	75,3	84,3	84,5	82,8	82,8	79,8	79,8	73,8	72,8							
																																				Поправка на телесный угол Dх, дБ		Ω = 6,28		3	3	3	3	3	3	3	3	3	3	3	3	3	3	3	3	3
Показатель направленности источника D1, дБ																																				исходные данные		0	0	0	0	0	0	0	0	0	0	0	0	0	0	0	0	0	0	
																		Поправка на направленность источника Dс, дБ		Dс		3	3	3	3	3	3	3	3	3	3	3	3	3	3	3	3	3																		
																		Затухание из-за геометрической дивергенции, Адв, дБ		расстояние = 312,807 м		80,9																																		
																		Коэффициент затухания звука в атмосфере α, дБ/км		Т _а =20 °С Р _а =1013,3 Па hотн=70%		0,02	0,09	0,33	1,12	2,79	4,98	9,04	23,09	77,63																										
																		Учет затухания звука в атмосфере Аатм, дБ																		Ф-ла (8) [10]		0,1	0,3	1	3,5	8,7	15,6	28,3	72,2	242,8										
Снижение поверхности земли возле источника Аз, дБ		G _с = 0 h _с = 11,2 м		-1,5	-1,5	-1,5	-1,5	-1,5	-1,5	-1,5	-1,5	-1,5	-1,5	-1,5	-1,5	-1,5	-1,5																			-1,5	-1,5	-1,5																		
Снижение поверхности земли возле приёмника Аг, дБ		G _г = 0 h _г = 1,5 м		-1,5	-1,5	-1,5	-1,5	-1,5	-1,5	-1,5	-1,5	-1,5	-1,5	-1,5	-1,5	-1,5	-1,5																			-1,5	-1,5	-1,5																		
Снижение поверхности земли в средней зоне, Ап, дБ		G _м = 0		-2,6	-2,6	-2,6	-2,6	-2,6	-2,6	-2,6	-2,6	-2,6	-2,6	-2,6	-2,6	-2,6	-2,6																			-2,6	-2,6	-2,6																		
Суммарное снижение поверхности земли на траектории распространения звука Абг, дБ																																				Ф-ла (9) [10]		-5,6	-5,6	-5,6	-5,6	-5,6	-5,6	-5,6	-5,6	-5,6	-5,6	-5,6	-5,6	-5,6	-5,6	-5,6	-5,6	-5,6	-5,6	
																		Снижение уровня звукового давления из-за влияния застройки между источником шума и расчётной точкой																																						
																																				Длина звуковой волны для среднегеометрической частоты октавной полосы, λ, м		10,79		5,4	2,72	1,36	0,68	0,34	0,17	0,09	0,04									
																																				Критерий наличия экранирования в горизонтальной плоскости		Выр> λ		да	да	да	да	да	да	да	да	да	да	да	да	да	да	да	да	да
																																				Промежуточные тоны:		Р _{нххх,дБ} = (6923,2651,18,30,40)		dн = 20,38 м		dн = 279,26 м		dн = 323,57 м		dн = 174,6 м										

1																2		3	4	5	6	7	8	9	10	11	12	13			
Травектория справа от экрана	Константа С2, учитывающая эффект отражения от земли возле экрана																		20	20	20	20	20	20	20	20	20	20	20		
	Константа С3 (дифракция на краяхах)																		Ф-ла (15) [10]		2,4	2,8	2,9	3	3	3	3	3	3	3	3
	K _{зем} (влияние метеосусловий)																		Ф-ла (18) [10]		1	1	1	1	1	1	1	1	1	1	
	Dz, дБ																		Ф-ла (14) [10]		32,4	36,1	39,3	42,3	45,4	48,4	51,4	54,4	57,4		
	Снижение YЗД, Абзг, дБ																		Ф-ла (13) [10]		32,4	36,1	39,3	42,3	45,4	48,4	51,4	54,4	57,4		
Общее снижение уровня звука препятствием Абзг, дБ																Эк-стумм (Абзг_г)		12,5	16,5	20,4	23,8	24,8	24,9	25	25	25	25				
Уровни звукового давления прямого звука от источника ИШ-8 ОПУ, ПЗ КТП в расчётной точке днём, дБ																Ф-на(9) [10]		0	0	0	0	0	0	0	0	0	0	0			
Уровни звукового давления прямого звука от источника ИШ-8 ОПУ, ПЗ КТП в расчётной точке ночью, дБ																Ф-на(9) [10]		0	0	0	0	0	0	0	0	0	0	0			
Расчёт отражённого звука																															
Уровни звукового давления от минимого источника ИШ-8 ОПУ, ПЗ КТП_мн(1) в расчётной точке днём, дБ																Ф-на(9) [10]		0	0	0	0	0	0	0	0	0	0	0			
Уровни звукового давления от минимого источника ИШ-8 ОПУ, ПЗ КТП_мн(1) в расчётной точке ночью, дБ																Ф-на(9) [10]		0	0	0	0	0	0	0	0	0	0	0			
Уровни звукового давления от источника ИШ-8 ОПУ, ПЗ КТП в расчётной точке днём, дБ																Ф-на(9) [10]		0	0	0	0	0	0	0	0	0	0	0			
Уровни звукового давления от источника ИШ-8 ОПУ, ПЗ КТП в расчётной точке ночью, дБ																Ф-на(9) [10]		0	0	0	0	0	0	0	0	0	0	0			
Источник шума: ИШ-9 ОПУ, Преобр. станция, координаты источника (х,у,z), м =[6925.67,5071.20,11.20]																															
Уровни звуковой мощности источника днём, Лw, дБ																исходные данные		79,4	72,4	79,4	87,6	85,9	82,9	79,9	73,9	72,9					
Уровни звуковой мощности источника ночью, Лw, дБ																исходные данные		79,4	72,4	79,4	87,6	85,9	82,9	79,9	73,9	72,9					
Поправка на телесный угол Dх, дБ																Ω = 6,28		3	3	3	3	3	3	3	3	3	3				
Показатель направленности источника D1, дБ																исходные данные		0	0	0	0	0	0	0	0	0	0				
Поправка на направленность источника Dc, дБ																Dα1 + Dα		3	3	3	3	3	3	3	3	3	3				
Запуание из-за геометрической дивергенции, Адв, дБ																расстояние = 3127,20 м		80,9													
Коэффициент затухания звука в атмосфере α, дБ/км																Тем-20,°С Р-ат101,33,дПа hотп=70%		0,02	0,09	0,33	1,12	2,79	4,98	9,04	23,09	77,63					
Учет затухания звука в атмосфере Аатм, дБ																Ф-ла (8) [10]		0,1	0,3	1	3,5	8,7	15,6	28,3	72,2	242,8					
Снижение поверхностью земли возле источника Аз, дБ																Gз = 0 hз = 11,2 м		-1,5	-1,5	-1,5	-1,5	-1,5	-1,5	-1,5	-1,5	-1,5	-1,5				
Снижение поверхностью земли возле приёмника Аг, дБ																Gг = 0 hг = 1,5 м		-1,5	-1,5	-1,5	-1,5	-1,5	-1,5	-1,5	-1,5	-1,5	-1,5				
Снижение поверхностью земли в средней зоне, Ап дБ																Gп = 0		-2,6	-2,6	-2,6	-2,6	-2,6	-2,6	-2,6	-2,6	-2,6	-2,6				
Суммарное снижение поверхности земли на траектории распространения звука Абг, дБ																Ф-ла (9) [10]		-5,6	-5,6	-5,6	-5,6	-5,6	-5,6	-5,6	-5,6	-5,6	-5,6				
Снижение уровня звукового давления из-за влияния устройств между источником шума и расчётной точкой																															
Длина звуковой волны для среднегеометрической частоты октавной полосы λ, м																10,79		5,4	2,72	1,36	0,68	0,34	0,17	0,09	0,04						
Критерий наличия экранирования в горизонтальной плоскости																Горизонтальный размер экрана, Wгг = 411,4 м		дз		дз	дз	дз	дз	дз	дз	дз	дз				
Промежуточные точки:																Р _н (х,у,z) = (6923,65,5072,65,31,13) Р _н (х,у,z) = (6923,24,5138,33,10,40)		20,27 м		dвг = 2769,26 м		n = 3258 м		z = 1821 м							
Константа С2, учитывающая эффект отражения от земли возле экрана																20		20	20	20	20	20	20	20	20	20	20				
Константа С3 (дифракция на краяхах)																Ф-ла (15) [10]		2,8	3	3	3	3	3	3	3	3	3				
K _{зем} (влияние метеосусловий)																Ф-ла (18) [10]		0,3	0,3	0,3	0,3	0,3	0,3	0,3	0,3	0,3	0,3				
Dz, дБ (с учётом ограничения эффективности экрана: 25 дБ)																Ф-ла (14) [10]		15,4	18,4	21,3	24,3	25	25	25	25	25	25				
Снижение YЗД, Абзг, дБ																Ф-ла (12) [10]		15,4	18,4	21,3	24,3	25	25	25	25	25	25				
Промежуточные точки:																Р _н (х,у,z) = (6921,35,5065,78,11,19) Р _н (х,у,z) = (6923,38,5031,32,10,34)		dвг = 6,94 м		dвг = 2832,21 м		n = 3812,25 м		z = 8420 м							
Травектория над экраном																															

1		2	3	4	5	6	7	8	9	10	11	12	13							
Снижение поверхность земли в средней зоне, Ап дБ		Gm = 0	-2,7	-2,7	-2,7	-2,7	-2,7	-2,7	-2,7	-2,7	-2,7	-2,7								
Суммарное снижение поверхность земли на траектории распространения звука Азг, дБ			-5,7	-5,7	-5,7	-5,7	-5,7	-5,7	-5,7	-5,7	-5,7	-5,7								
Снижение уровня звукового давления из-за влияния застройки между источником шума и расчётной точкой																				
Траектория над экраном		Длина звуковой волны для среднегеометрической частоты октавной полосы, λ, м	10,79	5,4	2,72	1,36	0,68	0,34	0,17	0,09	0,04									
			Промежуточные тонкие:		Рэкв,λ,дБ = (6014,50/51,013)31,33 (6019,51/51,013)31,35		Rэкв,λ,дБ = 651 + 24,79 м		dэкв = 3120,06 м		e = ± 88 м		z = ± 2179 м							
			Константа С2, учитывающая эффект отражения от земли возле экрана				20		20		20		20							
			Константа С1 (дифракция на краяхах)		Ф-ла (15) [10]		1		1,1		1,2		2,3		2,7		2,9		3	
			Kэкв (влияние метеосостояния)		Ф-ла (18) [10]		0,3		0,3		0,3		0,3		0,3		0,3		0,3	
Дс, дБ (с учётом ограничения эффективности экрана: 25 дБ)		Ф-ла (14) [10]		11,9		14,5		17,4		20,9		25		25		25		25		
		Ф-ла (12) [10]		11,9		14,5		17,4		20,9		25		25		25		25		
		Снижение УЗД, Азг, дБ																		
Уровни звукового давления от источника ИШ-11 ОПУ, ПБ ПСУ2 в расчётной точке днём, дБ		Ф-на(1) [40]	0	0	0	0	0	0	0	0	0	0	0							
Уровни звукового давления от источника ИШ-11 ОПУ, ПБ ПСУ2 в расчётной точке ночью, дБ		Ф-на(1) [40]	0	0	0	0	0	0	0	0	0	0	0							
Источник шума: ИШ-12 ОПУ. Преобр. подстанция, координаты источника (х,у,z), м = [6927 46;5064 0;50 50]																				
Уровни звуковой мощности источника днём, Лw, дБ		исходные данные	61	64	73	73	71	71	68	62	61									
Уровни звуковой мощности источника ночью, Лw, дБ		исходные данные	61	64	73	73	71	71	68	62	61									
Поправка на телесный угол Ω2, дБ		Ω = 6,28	3	3	3	3	3	3	3	3	3									
Показатель направленности источника D1, дБ		исходные данные	0	0	0	0	0	0	0	0	0									
Поправка на направленность источника Dc, дБ		Dc	3	3	3	3	3	3	3	3	3									
Затухание из-за геометрической дивергенции, Адв, дБ		расстояние = 313,651 м	80,9																	
Коэффициент затухания звука в атмосфере α, дБ/км		Температура Т = 101,33 дПа, влажность = 70%	0,02	0,09	0,33	1,12	2,79	4,98	9,04	23,09	77,63									
Учет затухания звука в атмосфере Азп, дБ		Gс = 0 Hс = 10,5 м	0,1	0,3	1	3,5	8,7	15,6	28,3	72,3	243,1									
Снижение поверхность земли возле источника А2, дБ		Gс = 0 Hс = 10,5 м	-1,5	-1,5	-1,5	-1,5	-1,5	-1,5	-1,5	-1,5	-1,5									
Снижение поверхность земли возле приёмника Аг, дБ		Gг = 0 Hг = 1,5 м	-1,5	-1,5	-1,5	-1,5	-1,5	-1,5	-1,5	-1,5	-1,5									
Снижение поверхность земли в средней зоне, Ап дБ		Gm = 0	-2,9	-2,9	-2,9	-2,9	-2,9	-2,9	-2,9	-2,9	-2,9									
Суммарное снижение поверхность земли на траектории распространения звука Азг, дБ		Ф-ла (9) [10]	-5,9	-5,9	-5,9	-5,9	-5,9	-5,9	-5,9	-5,9	-5,9									
Снижение уровня звукового давления из-за влияния застройки между источником шума и расчётной точкой																				
Траектория над экраном		Длина звуковой волны для среднегеометрической частоты октавной полосы, λ, м	10,79	5,4	2,72	1,36	0,68	0,34	0,17	0,09	0,04									
			Промежуточные тонкие:		Рэкв,λ,дБ = (6021,16/51,013)31,35 (6021,16/51,013)31,35		Rэкв,λ,дБ = 651 + 31,50 м		dэкв = 2799,25 м		e = ± 326,13 м		z = ± 2239 м							
			Константа С2, учитывающая эффект отражения от земли возле экрана				20		20		20		20							
			Константа С1 (дифракция на краяхах)		Ф-ла (15) [10]		2,8		3		3		3							
			Kэкв (влияние метеосостояния)		Ф-ла (18) [10]		0,3		0,3		0,3		0,3							
Дс, дБ (с учётом ограничения эффективности экрана: 25 дБ)		Ф-ла (14) [10]		16,5		19,5		22,5		25		25								
		Ф-ла (12) [10]		16,5		19,5		22,5		25		25								
		Снижение УЗД, Азг, дБ																		
Уровни звукового давления от источника ИШ-12 ОПУ, Преобр. подстанция в расчётной точке днём, дБ		Ф-на(1) [40]	0	0	0	0	0	0	0	0	0	0	0							
Уровни звукового давления от источника ИШ-12 ОПУ, Преобр. подстанция в расчётной точке ночью, дБ		Ф-на(1) [40]	0	0	0	0	0	0	0	0	0	0	0							

1														2		3	4	5	6	7	8	9	10	11	12	13
Транектория над экраном	Константа С2, учитывающая эффект ограничения от земли возле экрана	Ф-на (15) [100]	2,8	3	3	3	3	3	3	3	3	3	3	3	3	3	3	3	3							
		Ф-на (12) [100]	15,2	18,1	21	24	25	25	25	25	25	25	25	25	25	25	25	25	25							
	K _{мет} (влияние метеоусловий)	Ф-на (12) [100]	15,2	18,1	21	24	25	25	25	25	25	25	25	25	25	25	25	25	25							
		Ф-на (14) [100]	15,2	18,1	21	24	25	25	25	25	25	25	25	25	25	25	25	25	25							
	Dz, дБ (с учётом ограничения эффективности антенн 25 дБ)	Ф-на (12) [100]	15,2	18,1	21	24	25	25	25	25	25	25	25	25	25	25	25	25	25							
		Ф-на (14) [100]	15,2	18,1	21	24	25	25	25	25	25	25	25	25	25	25	25	25	25							
	Промежуточные тонкие	Ф-на (12) [100]	15,2	18,1	21	24	25	25	25	25	25	25	25	25	25	25	25	25	25							
		Ф-на (14) [100]	15,2	18,1	21	24	25	25	25	25	25	25	25	25	25	25	25	25	25							
	Константа С2, учитывающая эффект ограничения от земли возле экрана	Ф-на (15) [100]	2,9	3	3	3	3	3	3	3	3	3	3	3	3	3	3	3	3							
		Ф-на (12) [100]	1	1	1	1	1	1	1	1	1	1	1	1	1	1	1	1	1							
K _{мет} (влияние метеоусловий)	Ф-на (12) [100]	26,5	29,7	32,7	35,7	38,7	41,7	44,7	47,7	50,7																
	Ф-на (14) [100]	26,5	29,7	32,7	35,7	38,7	41,7	44,7	47,7	50,7																
Промежуточные тонкие	Ф-на (12) [100]	26,5	29,7	32,7	35,7	38,7	41,7	44,7	47,7	50,7																
	Ф-на (14) [100]	26,5	29,7	32,7	35,7	38,7	41,7	44,7	47,7	50,7																
Константа С2, учитывающая эффект ограничения от земли возле экрана	Ф-на (15) [100]	2,4	2,8	2,9	3	3	3	3	3	3	3	3	3	3	3	3	3	3								
	Ф-на (12) [100]	1	1	1	1	1	1	1	1	1	1	1	1	1	1	1	1	1								
K _{мет} (влияние метеоусловий)	Ф-на (12) [100]	32,7	36,4	39,6	42,6	45,6	48,7	51,7	54,7	57,7																
	Ф-на (14) [100]	32,7	36,4	39,6	42,6	45,6	48,7	51,7	54,7	57,7																
Промежуточные тонкие	Ф-на (12) [100]	32,7	36,4	39,6	42,6	45,6	48,7	51,7	54,7	57,7																
	Ф-на (14) [100]	32,7	36,4	39,6	42,6	45,6	48,7	51,7	54,7	57,7																
Общее снижение уровня звука приравняем Δвзг, дБ	Эксплуат. Δвзг, дБ	14,8	17,8	20,7	23,7	26,8	29,9	33,0	36,1	39,2																
	Уровни звукового давления прямого звука от источника ИШ-10 ОПУ, П5 ЭФ в расчётной точке дБм, дБ	Ф-на(3)[100]	0	0	0	0	0	0	0	0	0	0	0	0	0	0	0	0	0							
Уровни звукового давления прямого звука от источника ИШ-10 ОПУ, П5 ЭФ в расчётной точке дБм, дБ	Ф-на(3)[100]	0	0	0	0	0	0	0	0	0	0	0	0	0	0	0	0	0	0							
	Ф-на(3)[100]	0	0	0	0	0	0	0	0	0	0	0	0	0	0	0	0	0	0							
Расчёт отражённого звука	Уровни звукового давления от минимого источника ИШ-10 ОПУ, П5 ЭФ_мин(1) в расчётной точке дБм, дБ	Ф-на(3)[100]	0	0	4,6	1,9	0	0	0	0	0	0	0	0	0	0	0	0	0							
	Уровни звукового давления от минимого источника ИШ-10 ОПУ, П5 ЭФ_мин(1) в расчётной точке дБм, дБ	Ф-на(3)[100]	0	0	0	0	0	0	0	0	0	0	0	0	0	0	0	0	0							
Уровни звукового давления от источника ИШ-10 ОПУ, П5 ЭФ в расчётной точке дБм, дБ	Ф-на(3)[100]	0	0	4,6	1,9	0	0	0	0	0	0	0	0	0	0	0	0	0	0							
	Уровни звукового давления от источника ИШ-10 ОПУ, П5 ЭФ в расчётной точке дБм, дБ	Ф-на(3)[100]	0	0	4,6	1,9	0	0	0	0	0	0	0	0	0	0	0	0	0							
Источник шума: ИШ-11 ОПУ, ПС6 УЗ, координаты источника (х,у,з), м = [6936 94 5100 34,7 20]	исходные данные	63,3	66	75	75,1	73,2	73,2	70,2	64,2	63,1																
	исходные данные	63,3	66	75	75,1	73,2	73,2	70,2	64,2	63,1																
Уровни звуковой мощности источника дБм, дБ	исходные данные	63,3	66	75	75,1	73,2	73,2	70,2	64,2	63,1																
	исходные данные	63,3	66	75	75,1	73,2	73,2	70,2	64,2	63,1																
Поправка на телесный угол Ω, дБ	Ω = 6,28	3	3	3	3	3	3	3	3	3	3	3	3	3	3	3	3	3	3							
	Показатель направленности источника D _г , дБ	0	0	0	0	0	0	0	0	0	0	0	0	0	0	0	0	0	0							
Поправка на направленность источника D _с , дБ	D _с	3	3	3	3	3	3	3	3	3	3	3	3	3	3	3	3	3	3							
	расстояние = 31264,4 м	Ф-на (7) [100]																								
Коэффициент затухания звука в атмосфере α, дБ/км	Температура Т=20,0 °C	0,02	0,09	0,33	1,12	2,79	4,98	9,04	23,09	77,63																
	Влажность воздуха h=72,0%	Ф-на (5) [9]																								
Учет затухания звука в атмосфере Δα _{атм} , дБ	Ф-на (8) [10]	0,1	0,3	1	3,5	8,7	15,6	28,3	72,2	242,7																
	Снижение поверхности земли возле приёмника А _г , дБ	-1,5	-1,5	-1,5	-1,5	-1,5	-1,5	-1,5	-1,5	-1,5	-1,5	-1,5	-1,5	-1,5	-1,5	-1,5	-1,5	-1,5	-1,5							
Снижение поверхности земли возле приёмника А _с , дБ	Ф-на таб.3 [100]	-1,5	-1,5	-1,5	-1,5	-1,5	-1,5	-1,5	-1,5	-1,5	-1,5	-1,5	-1,5	-1,5	-1,5	-1,5	-1,5	-1,5	-1,5							
	Ф-на таб.3 [100]	-1,5	-1,5	-1,5	-1,5	-1,5	-1,5	-1,5	-1,5	-1,5	-1,5	-1,5	-1,5	-1,5	-1,5	-1,5	-1,5	-1,5	-1,5							

1													2	3	4	5	6	7	8	9	10	11	12	13												
Суммарное снижение поверхностью земли на траектории распространения звука Авг, дБ													Ф-ла (9) [10]	-4,8	-4,8	-4,8	-4,8	-4,8	-4,8	-4,8	-4,8	-4,8	-4,8	-4,8												
Снижение уровня звукового давления из-за влияния застройки между источником шума и расчетной точкой													10,79	5,4	2,72	1,36	0,68	0,34	0,17	0,09	0,04															
Длина звуковой волны для среднегеометрической частоты octave'ной полосы, λ, м																																				
Препятствие снизу от трассы ИШ-РТ	Промежуточные точки:		Р-к-х,у,z=1 (6621.01;5139.09;30.40)		Р-к-х,у,z=1 (6621.01;5139.09;30.40)		Р-к-х,у,z=1 (6621.01;5139.09;30.40)		Р-к-х,у,z=1 (6621.01;5139.09;30.40)		Р-к-х,у,z=1 (6621.01;5139.09;30.40)		Р-к-х,у,z=1 (6621.01;5139.09;30.40)		Р-к-х,у,z=1 (6621.01;5139.09;30.40)		Р-к-х,у,z=1 (6621.01;5139.09;30.40)		Р-к-х,у,z=1 (6621.01;5139.09;30.40)		Р-к-х,у,z=1 (6621.01;5139.09;30.40)															
	Константа С2, учитывающая эффект отражения от земли возле здания		20		20		20		20		20		20		20		20		20		20															
	Константа С3 (дифракция на кровле)		1		1		1		1		1		1		1		1		1		1															
	Ф-ла (15) [10]		1		1		1		1		1		1		1		1		1		1															
	Ф-ла (18) [10]		1		1		1		1		1		1		1		1		1		1		1													
Уровни звукового давления от источника ИШ-14 ОПУ, В3 мастерская в расчетной точке днём, дБ													Ф-ла (18) [10]	4,7	4,6	4,4	3,9	2,9	0	0	0	0	0													
Уровни звукового давления от источника ИШ-14 ОПУ, В3 мастерская в расчетной точке ночью, дБ													Ф-ла (14) [10]	4,7	4,6	4,4	3,9	2,9	0	0	0	0	0													
Источники шума: ИШ-15 ОПУ, В4 ПСУ-1, координаты источника (х,у,z), м = [6936.39;5058.82;16.00]													Ф-ла (12) [10]	4,7	4,6	4,4	3,9	2,9	0	0	0	0	0													
Уровни звуковой мощности источника днём, лw, дБ													исходные данные	63,5	63,9	71,9	69,5	65,6	59,1	58,1	52,1	0	0	0												
Уровни звуковой мощности источника ночью, лw, дБ													исходные данные	63,5	63,9	71,9	69,5	65,6	59,1	58,1	52,1	0	0	0												
Поправка на телесный угол DQ, дБ													Ω = 6,28	3	3	3	3	3	3	3	3	3	3	3												
Поправка на направленности источника D1, дБ													исходные данные	0	0	0	0	0	0	0	0	0	0	0												
Поправка на направленность источника Dc, дБ													DQ + D1	3	3	3	3	3	3	3	3	3	3	3												
Затухание из-за геометрической дивергенции, Adiv, дБ													Ф-ла (7) [10]	80,9																						
Траектория над экраном	Промежуточные точки:		Р-к-х,у,z=1 (6921.44;5066.09;31.35)		Р-к-х,у,z=1 (6921.44;5066.09;31.35)		Р-к-х,у,z=1 (6921.44;5066.09;31.35)		Р-к-х,у,z=1 (6921.44;5066.09;31.35)		Р-к-х,у,z=1 (6921.44;5066.09;31.35)		Р-к-х,у,z=1 (6921.44;5066.09;31.35)		Р-к-х,у,z=1 (6921.44;5066.09;31.35)		Р-к-х,у,z=1 (6921.44;5066.09;31.35)		Р-к-х,у,z=1 (6921.44;5066.09;31.35)		Р-к-х,у,z=1 (6921.44;5066.09;31.35)															
	Константа С2, учитывающая эффект отражения от земли возле здания		20		20		20		20		20		20		20		20		20		20															
	Константа С3 (дифракция на кровле)		2,8		3		3		3		3		3		3		3		3		3															
	Ф-ла (15) [10]		0,3		0,3		0,3		0,3		0,3		0,3		0,3		0,3		0,3		0,3															
	Ф-ла (18) [10]		16,6		19,6		22,5		25		25		25		25		25		25		25		25													
Уровни звукового давления от источника ИШ-13 ОПУ, Преобр подстанции в расчетной точке днём, дБ													Ф-ла (15) [10]	0	0	0	0	0	0	0	0	0	0													
Уровни звукового давления от источника ИШ-13 ОПУ, Преобр подстанции в расчетной точке ночью, дБ													Ф-ла (14) [10]	0	0	0	0	0	0	0	0	0	0													
Источники шума: ИШ-14 ОПУ, В3 мастерская, координаты источника (х,у,z), м = [6927.87;5063.36;39.00]													Ф-ла (12) [10]	16,6	19,6	22,5	25	25	25	25	25	25	25	25												
Уровни звуковой мощности источника днём, лw, дБ													исходные данные	61,5	70,5	71	69,6	68,4	64,4	57,4	56,4															
Уровни звуковой мощности источника ночью, лw, дБ													исходные данные	61,5	70,5	71	69,6	68,4	64,4	57,4	56,4															
Поправка на телесный угол DQ, дБ													Ω = 6,28	3	3	3	3	3	3	3	3	3	3	3												
Поправка на направленности источника D1, дБ													исходные данные	0	0	0	0	0	0	0	0	0	0	0												
Поправка на направленность источника Dc, дБ													DD + D1	3	3	3	3	3	3	3	3	3	3	3												
Затухание из-за геометрической дивергенции, Adiv, дБ													Ф-ла (7) [10]	80,9																						
Траектория над экраном	Промежуточные точки:		Р-к-х,у,z=1 (8921.44;5066.09;31.35)		Р-к-х,у,z=1 (8921.44;5066.09;31.35)		Р-к-х,у,z=1 (8921.44;5066.09;31.35)		Р-к-х,у,z=1 (8921.44;5066.09;31.35)		Р-к-х,у,z=1 (8921.44;5066.09;31.35)		Р-к-х,у,z=1 (8921.44;5066.09;31.35)		Р-к-х,у,z=1 (8921.44;5066.09;31.35)		Р-к-х,у,z=1 (8921.44;5066.09;31.35)		Р-к-х,у,z=1 (8921.44;5066.09;31.35)		Р-к-х,у,z=1 (8921.44;5066.09;31.35)															
	Константа С2, учитывающая эффект отражения от земли возле здания		20		20		20		20		20		20		20		20		20		20															
	Константа С3 (дифракция на кровле)		2,8		3		3		3		3		3		3		3		3		3															
	Ф-ла (15) [10]		0,3		0,3		0,3		0,3		0,3		0,3		0,3		0,3		0,3		0,3															
	Ф-ла (18) [10]		16,6		19,6		22,5		25		25		25		25		25		25		25		25													
Уровни звукового давления от источника ИШ-13 ОПУ, Преобр подстанции в расчетной точке днём, дБ													Ф-ла (15) [10]	0	0	0	0	0	0	0	0	0	0													
Уровни звукового давления от источника ИШ-13 ОПУ, Преобр подстанции в расчетной точке ночью, дБ													Ф-ла (14) [10]	0	0	0	0	0	0	0	0	0	0													
Источники шума: ИШ-14 ОПУ, В3 мастерская, координаты источника (х,у,z), м = [6927.87;5063.36;39.00]													Ф-ла (12) [10]	16,6	19,6	22,5	25	25	25	25	25	25	25	25												
Уровни звуковой мощности источника днём, лw, дБ													исходные данные	61,5	70,5	71	69,6	68,4	64,4	57,4	56,4															
Уровни звуковой мощности источника ночью, лw, дБ													исходные данные	61,5	70,5	71	69,6	68,4	64,4	57,4	56,4															

1		2															3	4	5	6	7	8	9	10	11	12	13
Снижение уровня звукового давления из-за влияния застройкой между источником шума и расчетной точкой																											
Длина звуковой волны для среднегеометрической частоты октавной полосы, λ, м		Промежуточные тоны:		R _{экв,2,1} = (6922,57,50693,31,33) (6922,57,50693,31,33) Константа C ₂ , учитывающая эффект отражения от земли возле экрана		10,79	5,4	2,72	1,36	0,68	0,34	0,17	0,09	0,04													
		d _н = 30,70 м		d _н = 2799,25 м		e = 33,62 м																					
Травектория над экраном		Константа C ₃ (дифракция на краяхах)		Ф-нλ (15) [10]		2,8	3	3	3	3	3	3	3	3	3												
		K _{мет} (влияние метеороусловий)		Ф-нλ (18) [10]		0	0	0	0	0	0	0	0	0	0	0											
Уровни звукового давления от источника ИШ-18 ОПУ, В7 ЭФ в расчётной точке днём, дБ		D _т , дБ		Ф-нλ (14) [10]		5,3	5,7	6,5	7,8	9,5	11,8	14,3	17,1	19,9													
		Снижение УЗД, ΔA _ш , дБ		Ф-нλ (12) [10]		5,3	5,7	6,5	7,8	9,5	11,8	14,3	17,1	19,9													
Уровни звукового давления от источника ИШ-18 ОПУ, В7 ЭФ в расчётной точке ночью, дБ		Ф-нλ(9) [10]		0		0	0	0	0	0	0	0	0	0	0	0	0	0	0	0	0						
		Ф-нλ(9) [10]		0		0	0	0	0	0	0	0	0	0	0	0	0	0	0	0	0						
Источники шума: ИШ-19 ОПУ, В8 ЭФ, координаты источника (х,у,z), м = [6960,58,5069,00,16,40]																											
Уровни звуковой мощности источника днём, L _w , дБ		исходные данные		63		66	75	75	75	73	73	70	64	63													
		исходные данные		63		66	75	75	75	73	73	70	64	63													
Поправка на телесный угол D _т , дБ		Ω = 6,28		3		3	3	3	3	3	3	3	3	3	3												
		исходные данные		0		0	0	0	0	0	0	0	0	0	0	0											
Поправка на направленности источника D _с , дБ		D _с		3		3	3	3	3	3	3	3	3	3	3												
		расстояние = 3160,28 м		Ф-нλ [7] [10]		81																					
Коэффициент затухания звука в атмосфере α, дБ/км		T _в =20, °C P _в =10133,Па h _{отн} =70%		Ф-нλ [5] [9]		0,02	0,09	0,33	1,12	2,79	4,98	9,04	23,09	77,63													
		Учет затухания звука в атмосфере A _{атм} , дБ		Ф-нλ [8] [10]		0,1	0,3	1,1	3,6	8,8	15,7	28,6	73	245,3													
Снижение поверхностью земли возле источника A _з , дБ		G _с = 0 h _с = 16,4 м		Ф-нλ таб.3 [10]		-1,5	-1,5	-1,5	-1,5	-1,5	-1,5	-1,5	-1,5	-1,5	-1,5												
		G _с = 0 h _с = 1,5 м		Ф-нλ таб.3 [10]		-1,5	-1,5	-1,5	-1,5	-1,5	-1,5	-1,5	-1,5	-1,5	-1,5	-1,5											
Снижение поверхностью земли в средней зоне, A _{пз} , дБ		G _п = 0		Ф-нλ таб.3 [10]		-2,5	-2,5	-2,5	-2,5	-2,5	-2,5	-2,5	-2,5	-2,5	-2,5	-2,5											
		Суммарное снижение поверхностью земли на траектории распространения звука A _{бг} , дБ		Ф-нλ [9] [10]		-5,5	-5,5	-5,5	-5,5	-5,5	-5,5	-5,5	-5,5	-5,5	-5,5	-5,5	-5,5										
Снижение уровня звукового давления из-за влияния застройкой между источником шума и расчетной точкой																											
Длина звуковой волны для среднегеометрической частоты октавной полосы, λ, м		Промежуточные тоны:		R _{экв,2,1} = (6922,57,50693,31,33) (6922,57,50693,31,33) Константа C ₂ , учитывающая эффект отражения от земли возле экрана		10,79	5,4	2,72	1,36	0,68	0,34	0,17	0,09	0,04													
		d _н = 30,72 м		d _н = 2799,32 м		e = 33,53 м																					
Травектория над экраном		Константа C ₃ (дифракция на краяхах)		Ф-нλ (15) [10]		2,8	3	3	3	3	3	3	3	3	3												
		K _{мет} (влияние метеороусловий)		Ф-нλ (18) [10]		0	0	0	0	0	0	0	0	0	0	0											
Уровни звукового давления от источника ИШ-19 ОПУ, В8 ЭФ в расчётной точке днём, дБ		D _т , дБ		Ф-нλ (14) [10]		5,3	5,8	6,7	8	9,9	12,2	14,8	17,6	20,5													
		Снижение УЗД, ΔA _ш , дБ		Ф-нλ (12) [10]		5,3	5,8	6,7	8	9,9	12,2	14,8	17,6	20,5													
Уровни звукового давления от источника ИШ-19 ОПУ, В8 ЭФ в расчётной точке ночью, дБ		Ф-нλ(9) [10]		0		0	0	0	0	0	0	0	0	0	0	0	0	0	0	0	0						
		Ф-нλ(9) [10]		0		0	0	0	0	0	0	0	0	0	0	0	0	0	0	0	0						
Источники шума: ИШ-20 ОПУ, В9 пом ЭФ, координаты источника (х,у,z), м = [6964,30,5077,93,16,40]																											
Уровни звуковой мощности источника днём, L _w , дБ		исходные данные		63		66	75	75	75	73	73	70	64	63													

1		2		3	4	5	6	7	8	9	10	11	12	13	
Уровни звуковой мощности источника днём, Lw, дБ		исходные данные		49,5	41,7	49,7	51,6	49,8	43,3	42,3	36,3	40,3			
Уровни звуковой мощности источника ночью, Lw, дБ		исходные данные		49,5	41,7	49,7	51,6	49,8	43,3	42,3	36,3	40,3			
Поправка на телесный угол Dт, дБ		Ω = 6,28		3	3	3	3	3	3	3	3	3	3		
Показатель направленности источника Di, дБ		исходные данные		0	0	0	0	0	0	0	0	0	0		
Поправка на направленность источника Dс, дБ		Dс		3	3	3	3	3	3	3	3	3	3		
Затухание из-за геометрической дивергенции Adiv, дБ		расстояние = 3128,37 м		80,9											
Коэффициент затухания звука в атмосфере α, дБ/км		Температура воздуха Тв = 20,0 °С Рв = 101,33 кПа hотн = 70%		φнλ [9]		0,02	0,09	0,33	1,12	2,79	4,98	9,04	23,09	77,63	
Учет затухания звука в атмосфере Aатм, дБ		φнλ [9] [10]		0,1		0,3	1	3,5	8,7	15,6	28,3	72,2	242,9		
Снижение поверхностью земли возле источника Аз, дБ		Gс = 0 hс = 16,4 м		φнλ таб.3 [10]		-1,5	-1,5	-1,5	-1,5	-1,5	-1,5	-1,5	-1,5	-1,5	
Снижение поверхностью земли возле приёмника Ап, дБ		Gс = 0 hс = 1,5 м		φнλ таб.3 [10]		-1,5	-1,5	-1,5	-1,5	-1,5	-1,5	-1,5	-1,5	-1,5	
Снижение поверхностью земли в средней зоне, Апз, дБ		Gп = 0		φнλ таб.3 [10]		-2,8	-2,8	-2,8	-2,8	-2,8	-2,8	-2,8	-2,8	-2,8	
Суммарное снижение поверхностью земли на траектории распространения звука Абг, дБ		φнλ [9] [10]		-5,8		-5,8	-5,8	-5,8	-5,8	-5,8	-5,8	-5,8	-5,8	-5,8	
Снижение уровня звукового давления из-за влияния застройки между источником шума и расчетной точкой															
Траектория над экраном		Промежуточные тоны:		10,79	5,4	2,72	1,36	0,68	0,34	0,17	0,09	0,04			
		Рв(х,у,z) = (694,0;509,8;21,3) (802,2;531,1;33,1;35)		dс = 25,75 м		dв = 3008,60 м		e = 83,39 м		z = 213,7 м					
		Константа Сз, учитывающая эффект отражения от земли возле экрана		20		20		20		20		20		20	
		Константа Сд (дифракция на краяхах)		1,3		1,7		2,4		2,9		3		3	
		Kсд (влияние метеорологии)		φнλ [15] [10]		0,3		0,3		0,3		0,3		0,3	
Уровни звукового давления от источника ИШ-17 ОПУ, В6 с/ч в расчётной точке днём, дБ		Dс, дБ (с учётом ограничения эффективности экрана 25 дБ)		φнλ [18] [10]		0,3		0,3		0,3		0,3		0,3	
		Снижение AзД, Aатм, дБ		12,5		16,4		20,6		24,3		25		25	
		φнλ [14] [10]		12,5		16,4		20,6		24,3		25		25	
Уровни звукового давления от источника ИШ-17 ОПУ, В6 с/ч в расчётной точке ночью, дБ		φнλ [10]		0		0		0		0		0		0	
Уровни звукового давления от источника ИШ-17 ОПУ, В6 с/ч в расчётной точке ночью, дБ		φнλ [10]		0		0		0		0		0		0	
Источник шума: ИШ-18 ОПУ, В7 ЭФ: координаты источника (х,у,z), м = (6956,46;5054,84;16,40)															
Уровни звуковой мощности источника днём, Lw, дБ		исходные данные		63	66	75	75	73	73	70	64	63			
Уровни звуковой мощности источника ночью, Lw, дБ		исходные данные		63	66	75	75	73	73	70	64	63			
Поправка на телесный угол Dт, дБ		Ω = 6,28		3	3	3	3	3	3	3	3	3	3		
Показатель направленности источника Di, дБ		исходные данные		0	0	0	0	0	0	0	0	0	0		
Поправка на направленность источника Dс, дБ		Dс		3	3	3	3	3	3	3	3	3	3		
Затухание из-за геометрической дивергенции Adiv, дБ		расстояние = 3163,84 м		81											
Коэффициент затухания звука в атмосфере α, дБ/км		Температура воздуха Тв = 20,0 °С Рв = 101,33 кПа hотн = 70%		φнλ [9]		0,02	0,09	0,33	1,12	2,79	4,98	9,04	23,09	77,63	
Учет затухания звука в атмосфере Aатм, дБ		φнλ [9] [10]		0,1		0,3	1,1	3,6	8,8	15,7	28,6	73	245,5		
Снижение поверхностью земли возле источника Аз, дБ		Gс = 0 hс = 16,4 м		φнλ таб.3 [10]		-1,5	-1,5	-1,5	-1,5	-1,5	-1,5	-1,5	-1,5	-1,5	
Снижение поверхностью земли возле приёмника Ап, дБ		Gс = 0 hс = 1,5 м		φнλ таб.3 [10]		-1,5	-1,5	-1,5	-1,5	-1,5	-1,5	-1,5	-1,5	-1,5	
Снижение поверхностью земли в средней зоне, Апз, дБ		Gп = 0		φнλ таб.3 [10]		-2,5	-2,5	-2,5	-2,5	-2,5	-2,5	-2,5	-2,5	-2,5	
Суммарное снижение поверхностью земли на траектории распространения звука Абг, дБ		φнλ [9] [10]		-5,5		-5,5	-5,5	-5,5	-5,5	-5,5	-5,5	-5,5	-5,5	-5,5	

1		2	3	4	5	6	7	8	9	10	11	12	13	
Поправка на телесный угол Ω, дБ	Ω = 6,28		10lg(4πr ²)	3	3	3	3	3	3	3	3	3		
	Показатель направленности источника Di, дБ		исходные данные	0	0	0	0	0	0	0	0	0		
	Поправка на направленность источника Dc, дБ		Dci = Di	3	3	3	3	3	3	3	3	3		
Затухание из-за геометрической дивергенции, Adiv, дБ		расстояние r = 3165,76 м	81											
Коэффициент затухания звука в атмосфере α, дБ/км	Температура воздуха Tair=20, °C Рис10133,0гПа полн-70%		Ф-ла (5) [9]	0,02	0,09	0,33	1,12	2,79	4,98	9,04	23,09	77,63		
	Учет затухания звука в атмосфере Aatm, дБ		Ф-ла (8) [10]	0,1	0,3	1,1	3,6	8,8	15,8	28,6	73,1	245,8		
	Снижение поверхностью земли возле источника As, дБ		Ф-ла таб.3 [10]	-1,5	-1,5	-1,5	-1,5	-1,5	-1,5	-1,5	-1,5	-1,5		
Снижение поверхностью земли возле приёмника Ar, дБ	Gr = 0 hs = 143 м		Ф-ла таб.3 [10]	-1,5	-1,5	-1,5	-1,5	-1,5	-1,5	-1,5	-1,5	-1,5		
	Gr = 0 hr = 1,5 м		Ф-ла таб.3 [10]	-2,6	-2,6	-2,6	-2,6	-2,6	-2,6	-2,6	-2,6	-2,6		
	Суммарное снижение поверхности земли на траектории распространения звука Aδr, дБ		Ф-ла (9) [10]	-5,6	-5,6	-5,6	-5,6	-5,6	-5,6	-5,6	-5,6	-5,6		
Снижение уровня звукового давления из-за влияния застройке между источником шума и расчётной точкой														
Траектория над экраном	Длина звуковой волны для среднегеометрической частоты октавной полосы, λ, м		10,79	5,4	2,72	1,36	0,68	0,34	0,17	0,09	0,04			
	Промежуточные тонкие:	Rэкх,2,1 = (688,13509241,31,35)	Ф-ла таб.2 [10]		0,1 ± 46,96 м		0,1 ± 3078,97 м		0,1 ± 47,60 м		0,1 ± 3,48 м			
		Константа C2, учитывающая эффект отражения от земли возле экрана	20	20	20	20	20	20	20	20	20	20		
	Константа C3 (дифракция на краях)		Ф-ла (15) [10]	1,4	2	2,6	2,9	3	3	3	3	3		
	Kэкв (плотные метеорологий)		Ф-ла (18) [10]	0	0	0	0	0	0	0	0	0		
	Dг, дБ		Ф-ла (14) [10]	5	5,4	6,3	7,6	9,4	11,6	14,2	16,9	19,8		
	Снижение УЗД, Aδг, дБ		Ф-ла (12) [10]	5	5,4	6,3	7,6	9,4	11,6	14,2	16,9	19,8		
	Уровни звукового давления от источника ИШ-23 ОПУ, B12 в расчётной точке днём, дБ		Ф-ла(3)[10]	0	0	0	0	0	0	0	0	0	0	0
	Уровни звукового давления от источника ИШ-23 ОПУ, B12 в расчётной точке ночью, дБ		Ф-ла(3)[10]	0	0	0	0	0	0	0	0	0	0	0
Уровни звукового давления в расчётной точке														
Суммарные уровни звукового давления в расчётной точке от всех источников шума днём, Lрт, дБ		Ф-ла (19) [1]	45,2	51,1	49,1	44	38,3	36,1	23,2	0	0	41,2	41,6	
Суммарные уровни звукового давления в расчётной точке от всех источников шума ночью, Lрт, дБ		Ф-ла (19) [1]	45,2	51,1	48,5	42,9	37,5	36	23,2	0	0	40,7	41	
Допускаемые УЗД, днём, Lдоп, дБ	Граница санитарно-защитных зон	Таблица 5.35 [23]	90	75	66	59	54	50	47	45	44	55	70	
	Граница санитарно-защитных зон	Таблица 5.35 [23]	83	67	57	49	44	40	37	35	33	45	60	
Превышение днём, дБ			-44,8	-25,9	-16,9	-15	-15,7	-13,9	-23,8	-45	-44	-13,8	-28,4	
Превышение ночью, дБ			-37,8	-15,9	-8,5	-6,1	-6,5	-4	-13,8	-35	-33	-4,3	-19	

Итоговые результаты определения уровней звукового давления в точке РТ-1. Рабочий кабинет административно-управленческого персонала в здании Управления комбината (Корпус № 1), расположенного на территории действующего АО «Кольская ГМК»												
Источник шума	Характеристика	Уровни звукового давления, дБ, в октавных полосах, со среднегеометрическими частотами, Гц									La, дБА	Lмакс, дБА
		31,5	63	125	250	500	1000	2000	4000	8000		
1	2	3	4	5	6	7	8	9	10	11	12	13
ИШ-1. Проезд грузового автотранспорта (доставка товаров)	Уровни звукового давления от источника в расчётной точке днём	0	40,2	33,7	31,3	28,5	28,7	24,5	17,5	0	32,5	47,3
ИШ-2. Проезд грузового автотранспорта (доставка сырья и продуктов для столовой)	Уровни звукового давления от источника в расчётной точке днём	0	40,2	33,9	31,3	28,5	28,6	24,5	17,5	0	32,5	47,1
ИШ-3. Проведение погрузо-разгрузочных работ	Уровни звукового давления от источника в расчётной точке днём	0	20,5	15,3	7,2	2,2	0	0	0	0	4,2	18,9
ИШ-4. Проезд грузового автотранспорта (доставка канцелярии, мебели, почты и прочего)	Уровни звукового давления от источника в расчётной точке днём	0	40,2	33,7	31,3	28,5	28,6	24,5	17,5	0	32,5	47,1
ИШ-5. Проведение погрузо-разгрузочных работ	Уровни звукового давления от источника в расчётной точке днём	0	20,1	14,8	6,6	1,8	0	0	0	0	3,7	18,6
ИШ-6. Проезд мусоровоза к мусороуборочной площадке	Уровни звукового давления от источника в расчётной точке днём	0	40,2	33,7	31,3	28,5	28,7	24,5	17,5	0	32,5	47,3
ИШ-7. Проведение мусороуборочных работ	Уровни звукового давления от источника в расчётной точке днём	0	36,9	28,7	22,5	15,9	11,8	17,1	9,3	0	22,2	34,2
ИШ-8. Проезд грузового автотранспорта (вывоз контейнеров с контейнерной площадки)	Уровни звукового давления от источника в расчётной точке днём	0	27,5	18,8	12,4	0	0	0	0	0	7,5	21,8
ИШ-9. Проезд ричстакера по территории контейнерной площадки	Уровни звукового давления от источника в расчётной точке днём	0	0	48,7	42,8	36,5	33	33,7	23,8	0	40,8	40,8
ИШ-10. Проведение погрузо-разгрузочных работ	Уровни звукового давления от источника в расчётной точке днём	0	41,5	37	28,7	23,2	16,6	7,3	0	0	26,1	29,1
ИШ-11. Шум от трансформаторов АБК	Уровни звукового давления от источника в расчётной точке днём	0	25,6	23,6	27,5	27,4	10,2	0	0	0	25,5	25,5
ИШ-12. П01.1	Уровни звукового давления от источника в расчётной точке днём	0	0	25,3	22,8	21,2	16,8	14,3	10,3	0	22,9	22,9
ИШ-13. П02	Уровни звукового давления от источника в расчётной точке днём	0	0	17,3	13,1	11,9	7,3	8,1	0	0	14,1	14,1
ИШ-17. П06	Уровни звукового давления от источника в расчётной точке днём	0	21,4	23,2	24,2	22,8	23,7	22,2	16,6	6,5	28,1	28,1
ИШ-18. П07	Уровни звукового давления от источника в расчётной точке днём	0	0	23,1	20,5	18,9	14,5	11,8	7,5	0	20,5	20,5
ИШ-19. П08	Уровни звукового давления от источника в расчётной точке днём	0	21,9	23,7	19,5	21,6	16,3	16,6	13,2	5,1	23,4	23,4
ИШ-20. В01.1	Уровни звукового давления от источника в расчётной точке днём	0	0	24,1	21,5	19	11,6	6	0	0	19,2	19,2
ИШ-21. В01.2	Уровни звукового давления от источника в расчётной точке днём	0	0	21,3	17,7	17,1	13,7	16,2	7,2	0	20,8	20,8
ИШ-22. В02	Уровни звукового давления от источника в расчётной точке днём	0	0	15,8	11,8	8,3	1,6	0	0	0	8,8	8,8
ИШ-26. В06	Уровни звукового давления от источника в расчётной точке днём	0	36,9	34,7	30,6	25,8	21	16	9,2	0	27,9	27,9
ИШ-27. В07	Уровни звукового давления от источника в расчётной точке днём	0	32,2	30,2	26	21,2	16,2	10,4	3,3	0	23,1	23,1
ИШ-28. В08	Уровни звукового давления от источника в расчётной точке днём	0	0	19,6	16	15,5	12	14,4	5,2	0	19,1	19,1
ИШ-29. В09	Уровни звукового давления от источника в расчётной точке днём	0	0	16,2	13,3	11,4	6,4	2,8	0	0	12,4	12,4
ИШ-30. В10	Уровни звукового давления от источника в расчётной точке днём	0	0	13,2	14,3	12,3	8,3	0	0	0	12,8	12,8
ИШ-31. В11	Уровни звукового давления от источника в расчётной точке днём	0	0	13,2	11,3	10,3	4,3	0	0	0	10,1	10,1
ИШ-32. В12	Уровни звукового давления от источника в расчётной точке днём	0	0	13,1	11,2	10,3	4,2	0	0	0	10	10
ИШ-33. В13	Уровни звукового давления от источника в расчётной точке днём	0	38,5	36,9	33,1	28,7	24,6	19,9	15,1	6,6	30,9	30,9
ИШ-34. В14	Уровни звукового давления от источника в расчётной точке днём	0	31,6	29,6	25,5	20,8	16	10,5	3,6	0	22,8	22,8
ИШ-35. В15	Уровни звукового давления от источника в расчётной точке днём	0	0	14,5	12,4	11,3	5,4	1,3	0	0	11,7	11,7
ИШ-36. В16	Уровни звукового давления от источника в расчётной точке днём	0	0	16,4	15,7	11	7,4	0	0	0	12,5	12,5
ИШ-37. К01	Уровни звукового давления от источника в расчётной точке днём	0	30,6	29	25,2	20,8	16,6	12	7,3	0	23	23
ИШ-38. В17	Уровни звукового давления от источника в расчётной точке днём	0	0	14,6	15,7	13,8	10	0	0	0	14,3	14,3
ИШ-39. К02	Уровни звукового давления от источника в расчётной точке днём	0	29,1	27,5	23,7	19,4	15,2	10,6	5,9	0	21,6	21,6
ИШ-40. К03	Уровни звукового давления от источника в расчётной точке днём	0	29,1	27,5	23,7	19,3	15,1	10,6	5,8	0	21,5	21,5

1	2	3	4	5	6	7	8	9	10	11	12	13
ИШ-1. Ворота ОРФ	Уровни звукового давления от источника в расчётной точке днём	0	17,6	15,3	8,3	4,6	0	0	0	0	5,1	5,1
ИШ-2. Ворота ОРФ	Уровни звукового давления от источника в расчётной точке днём	0	13,7	15,7	14,7	9,1	4,4	0	0	0	10,7	10,7
ИШ-3. Магистраль подачи воздуха	Уровни звукового давления от источника в расчётной точке днём	0	3,2	1,7	10,6	17,9	17,6	11	2,6	0	20,4	20,4
ИШ-4. Дверь коллекторной ТЭЦ	Уровни звукового давления от источника в расчётной точке днём	0	0	0	0	0	1,4	3,1	0	0	6,1	6,1
ИШ-5. Фасад ТЭЦ, паропроводы	Уровни звукового давления от источника в расчётной точке днём	0	4,7	0	0	0	0,4	7,8	0	0	9,6	9,6
ИШ-6. Ворота бойлерной котельной	Уровни звукового давления от источника в расчётной точке днём	0	0	0	0	0	0	0	0	0	0	0
ИШ-7. Ворота котельной	Уровни звукового давления от источника в расчётной точке днём	0	4,3	0	0	0	0	0	0	0	0	0
ИШ-8. Оконный проём котельной	Уровни звукового давления от источника в расчётной точке днём	0	13,3	8,2	0	0	0	0	0	0	0	0
ИШ-9. Фасад ТЭЦ	Уровни звукового давления от источника в расчётной точке днём	0	3,3	0,9	0,1	0	0	0	0	0	0	0
ИШ-10. Оконный проём котельной	Уровни звукового давления от источника в расчётной точке днём	0	0	0	0	0	0	0	0	0	0	0
ИШ-11. Ворота КВО	Уровни звукового давления от источника в расчётной точке днём	0	20,9	15,5	12,5	14,6	24,3	14,6	10,6	1,6	25,3	25,3
ИШ-12. Глушитель №1	Уровни звукового давления от источника в расчётной точке днём	0	45,1	45,6	42,9	48,2	39	37,2	26,7	8,6	47	47
ИШ-13. Воздушные трубы КВО	Уровни звукового давления от источника в расчётной точке днём	0	63,3	60,6	51,9	43,7	36,3	28,7	21,2	10,1	48,5	48,5
ИШ-14. Глушитель №2	Уровни звукового давления от источника в расчётной точке днём	0	56,9	51,9	49,2	54,2	63,2	61,8	52,1	25,2	66,4	66,4
ИШ-15. Нагнетатель камеры всаса	Уровни звукового давления от источника в расчётной точке днём	0	29,6	26,5	19,2	13	8,1	2,8	0	0	16,3	16,3
ИШ-16. Клапан кислородных баллонов	Уровни звукового давления от источника в расчётной точке днём	0	40,2	35,9	32,1	25,2	19,3	12,8	3,7	0	27,9	27,9
ИШ-17. Нагнетатель камеры всаса	Уровни звукового давления от источника в расчётной точке днём	0	52,9	48,8	38,5	29,8	22,9	17,1	10	0	36,1	36,1
ИШ-18. Газовые трубы	Уровни звукового давления от источника в расчётной точке днём	0	27,3	25	16,1	6,8	0	0	0	0	12,3	12,3
ИШ-19. Трансформатор ЦЭН	Уровни звукового давления от источника в расчётной точке днём	0	25,8	21,8	11,7	4	0	0	0	0	9	9
ИШ-20. Трансформатор ЦЭН	Уровни звукового давления от источника в расчётной точке днём	0	29,7	25,7	15,6	7,9	1,7	0	0	0	13,2	13,2
ИШ-21. Трансформатор ЦЭН	Уровни звукового давления от источника в расчётной точке днём	0	29,7	25,7	15,6	7,9	1,7	0	0	0	13,2	13,2
ИШ-22. Трансформатор ЦЭН	Уровни звукового давления от источника в расчётной точке днём	0	29,1	25,3	15,2	5,2	0	0	0	0	12,1	12,1
ИШ-23. Трансформатор ЦЭН	Уровни звукового давления от источника в расчётной точке днём	0	29,1	25,3	15,2	5,2	0	0	0	0	12,1	12,1
ИШ-24. Трансформатор ЦЭН	Уровни звукового давления от источника в расчётной точке днём	0	33,3	30	20,2	10,4	0,5	0	0	0	17	17
ИШ-25. Трансформатор ЦЭН	Уровни звукового давления от источника в расчётной точке днём	0	25,9	25,1	15	5,1	0	0	0	0	11,7	11,7
ИШ-26. Шум о т3-х секционной градирни	Уровни звукового давления от источника в расчётной точке днём	0	44,4	41,7	32,7	23,6	15,2	5	0	0	29,2	29,2
ИШ-27. Шум от 3-х секционной градирни	Уровни звукового давления от источника в расчётной точке днём	0	36,3	32,4	23,3	13,7	6,4	0	0	0	19,9	19,9
ИШ-28. Шум от 3-х секционной градирни	Уровни звукового давления от источника в расчётной точке днём	0	28,7	24,7	14,5	4,1	0	0	0	0	11,5	11,5
ИШ-29. Шум проникающий через окна насосной градирни	Уровни звукового давления от источника в расчётной точке днём	0	40	38,3	30,4	22,4	14,8	5,2	0	0	26,6	26,6
ИШ-33. Шум проникающий через ворота	Уровни звукового давления от источника в расчётной точке днём	0	26,3	22,3	12,1	2	0	0	0	0	9,2	9,2
ИШ-34. Вытяжка РМЦ, Печенгастрой	Уровни звукового давления от источника в расчётной точке днём	0	12,7	9,2	1,4	0	0	0	0	0	0	0
ИШ-36. Вентиляция на фасаде депо	Уровни звукового давления от источника в расчётной точке днём	0	14	9,8	0	0	0	0	0	0	0	0
ИШ-37. Вытяжка наждачного станка (Печенгастрой)	Уровни звукового давления от источника в расчётной точке днём	0	5,1	4,7	0	0	0	0	0	0	0	0
ИШ-38. Вытяжка (Печенгастрой)	Уровни звукового давления от источника в расчётной точке днём	0	0	0	0	0	0	0	0	0	0	0
ИШ-39. Вытяжка (Печенгастрой)	Уровни звукового давления от источника в расчётной точке днём	0	15,2	18,8	12,8	4,3	0	0	0	0	7,7	7,7
ИШ-40. Вытяжка (Печенгастрой)	Уровни звукового давления от источника в расчётной точке днём	0	10	15,3	16	1,2	0	0	0	0	8,4	8,4
ИШ-41. Вытяжка кузнечно-котельного участка (Печенгастрой)	Уровни звукового давления от источника в расчётной точке днём	0	15,4	20,3	18,4	0,9	0	0	0	0	11,1	11,1
ИШ-42. Оборудование пневмомолота	Уровни звукового давления от источника в расчётной точке днём	0	8,7	6,7	2,9	3,5	4,7	0	0	0	6,5	6,5
ИШ-43. Вытяжка линии резки нержавеющей стали	Уровни звукового давления от источника в расчётной точке днём	0	0	0	0	0	0	0	0	0	0	0

1	2	3	4	5	6	7	8	9	10	11	12	13
ИШ-44. Сеть циклонов пескоструйного участка	Уровни звукового давления от источника в расчётной точке днём	0	15,2	21,8	9,1	3,1	0,9	0	0	0	8,5	8,5
ИШ-45. Приток здания химводоподготовки	Уровни звукового давления от источника в расчётной точке днём	0	0	0	0	0	0	0	0	0	0	0
ИШ-46. В4 здания химводоподготовки	Уровни звукового давления от источника в расчётной точке днём	0	0	0	0	0	0	0	0	0	0	0
ИШ-47. В5 здания химводоподготовки	Уровни звукового давления от источника в расчётной точке днём	0	0	0	0	0	0	0	0	0	0	0
ИШ-48. П5 энергетической котельной	Уровни звукового давления от источника в расчётной точке днём	0	1,6	2,5	9	12	6,4	0	0	0	11,2	11,2
ИШ-50. П2 ТЭЦ и котельная, спортивно-оздоровительный комплекс	Уровни звукового давления от источника в расчётной точке днём	0	0	0	0	0	0	0	0	0	0	0
ИШ-51. В1 зданий ТЭЦ и котельной	Уровни звукового давления от источника в расчётной точке днём	0	0	0	0	0	0	0	0	0	0	0
ИШ-53. В4 химлаборатория	Уровни звукового давления от источника в расчётной точке днём	0	0,7	0,2	0	0	0	0	0	0	0	0
ИШ-54. В5 химлаборатории	Уровни звукового давления от источника в расчётной точке днём	0	1,1	0	0	0	0	0	0	0	0	0
ИШ-55. П1 водогрейной котельной	Уровни звукового давления от источника в расчётной точке днём	0	0	0	0	0	0	0	0	0	0	0
ИШ-56. П1 водогрейной котельной	Уровни звукового давления от источника в расчётной точке днём	0	0	0	0	0	0	0	0	0	0	0
ИШ-57. В1 водогрейной котельной	Уровни звукового давления от источника в расчётной точке днём	0	0	0	0	0	0	0	0	0	0	0
ИШ-58. П1 мазутонасосной №1	Уровни звукового давления от источника в расчётной точке днём	0	0	0	0	0	0	0	0	0	0	0
ИШ-59. В1 мазутонасосной №1	Уровни звукового давления от источника в расчётной точке днём	0	0	0	0	0	0	0	0	0	0	0
ИШ-60. П1 мазутонасосной №2	Уровни звукового давления от источника в расчётной точке днём	0	0	0	0	0	0	0	0	0	0	0
ИШ-61. В1 мазутонасосной №2	Уровни звукового давления от источника в расчётной точке днём	0	0	0	0	0	0	0	0	0	0	0
ИШ-62. П1 мазутонасосной №4	Уровни звукового давления от источника в расчётной точке днём	0	0	0	5,9	2	0	0	0	0	1,1	1,1
ИШ-63. П3 мазутонасосной №4	Уровни звукового давления от источника в расчётной точке днём	0	0	0	0	0	0	0	0	0	0	0
ИШ-64. В1 мазутонасосной №4	Уровни звукового давления от источника в расчётной точке днём	0	0	0	6,7	3,5	0	0	0	0	2,3	2,3
ИШ-65. В2 мазутонасосной №4	Уровни звукового давления от источника в расчётной точке днём	0	0	0	0	0	0	0	0	0	0	0
ИШ-66. П5 КВО женская преддушевая	Уровни звукового давления от источника в расчётной точке днём	0	0	0	5,1	1,5	1,7	0	0	0	4,2	4,2
ИШ-67. П6 КВО мужской гардероб	Уровни звукового давления от источника в расчётной точке днём	0	0	0	0	0	0	0	0	0	0	0
ИШ-68. П9 КВО приемок блока КА-15	Уровни звукового давления от источника в расчётной точке днём	0	0	0	0	0	0	0	0	0	0	0
ИШ-69. П 11 склад КВО	Уровни звукового давления от источника в расчётной точке днём	0	13,2	9,9	7,5	5,2	2,9	0	0	0	6,6	6,6
ИШ-70. В24 сварочной мастерской	Уровни звукового давления от источника в расчётной точке днём	0	0	0	0	0	0	0	0	0	0	0
ИШ-71. Крышный АЗКС	Уровни звукового давления от источника в расчётной точке днём	0	23,1	25	18,1	18,3	14,7	7,7	0	0	19,4	19,4
ИШ-72. Крышный АЗКС	Уровни звукового давления от источника в расчётной точке днём	0	23,4	25,3	18,4	18,6	15	8,1	0	0	19,7	19,7
ИШ-73. Крышный АЗКС	Уровни звукового давления от источника в расчётной точке днём	0	23,7	25,6	18,6	18,9	15,3	8,4	0	0	20	20
ИШ-74. Крышный АЗКС	Уровни звукового давления от источника в расчётной точке днём	0	23,9	25,8	18,8	19,1	15,5	8,6	0	0	20,2	20,2
ИШ-75. Крышный АЗКС	Уровни звукового давления от источника в расчётной точке днём	0	24,2	26	19,1	19,4	15,7	8,9	0	0	20,4	20,4
ИШ-76. Крышный АЗКС	Уровни звукового давления от источника в расчётной точке днём	0	24,4	26,3	19,3	19,6	16	9,2	0	0	20,7	20,7
ИШ-77. В1 КРП 3 зал	Уровни звукового давления от источника в расчётной точке днём	0	0	1,3	15,3	13	7,9	0	0	0	13,1	13,1
ИШ-78. В2 КРП 3 зал	Уровни звукового давления от источника в расчётной точке днём	0	0	0	2,5	0	0	0	0	0	0	0
ИШ-79. П1 помещения приготовления краски, окраски и сушки баллонов	Уровни звукового давления от источника в расчётной точке днём	0	0	4,2	17,1	13,5	9,9	0	0	0	14,4	14,4
ИШ-80. П2 дополнительная азота	Уровни звукового давления от источника в расчётной точке днём	0	0	0	1,5	0	0	0	0	0	0	0
ИШ-81. П3 склад наполненных и порожних баллонов	Уровни звукового давления от источника в расчётной точке днём	0	8	7,9	15,3	7,4	3,9	0	0	0	10	10
ИШ-82. П4 бытовые помещения	Уровни звукового давления от источника в расчётной точке днём	0	0	0	0	10	0	0	0	0	6,8	6,8
ИШ-83. П5 помещение приготовления краски	Уровни звукового давления от источника в расчётной точке днём	0	0	0	0	0	0	0	0	0	0	0
ИШ-84. В2 помещения окраски	Уровни звукового давления от источника в расчётной точке днём	0	0	0,8	12,7	3	3,5	0	0	0	7,6	7,6

1	2	3	4	5	6	7	8	9	10	11	12	13
ИШ-85. В3 помещения сушки баллонов	Уровни звукового давления от источника в расчётной точке днём	0	0	0	2,3	0	0	0	0	0	0	0
ИШ-86. В3-1 баллононаполнительная станция	Уровни звукового давления от источника в расчётной точке днём	0	22,4	20,6	26	17,6	7,8	0	0	0	19,6	19,6
ИШ-87. В3-2 баллононаполнительной станции	Уровни звукового давления от источника в расчётной точке днём	0	22,3	21,9	29,1	22,6	14,4	7,8	0	0	23,8	23,8
ИШ-88. В3-3 баллононаполнительная станция	Уровни звукового давления от источника в расчётной точке днём	0	24,5	24,2	31,6	25,5	17,9	12	0	0	26,6	26,6
ИШ-96. П1 ВДС№2	Уровни звукового давления от источника в расчётной точке днём	0	0	0	0	0	0	0	0	0	0	0
ИШ-97. П2 ВДС№2	Уровни звукового давления от источника в расчётной точке днём	0	0	0	0	0	0	0	0	0	0	0
ИШ-98. П3 ВДС№2	Уровни звукового давления от источника в расчётной точке днём	0	0	0	0	0	0	0	0	0	0	0
ИШ-99. П4 ВДС№2	Уровни звукового давления от источника в расчётной точке днём	0	0	0	0	0	0	0	0	0	0	0
ИШ-100. П5 ВДС№2	Уровни звукового давления от источника в расчётной точке днём	0	0	0	0	0	0	0	0	0	0	0
ИШ-101. П1 лаб.корпуса	Уровни звукового давления от источника в расчётной точке днём	0	4,4	9,3	22,2	15,8	9,5	4	0	0	17,3	17,3
ИШ-102. П2 лаб.корпуса	Уровни звукового давления от источника в расчётной точке днём	0	4,4	11,6	24,5	18,1	11,7	6,2	0	0	19,6	19,6
ИШ-103. П1 электрорем.корпуса	Уровни звукового давления от источника в расчётной точке днём	0	8,4	13,3	26,3	19,9	13,6	8	0	0	21,4	21,4
ИШ-104. П3 электрорем.корпуса	Уровни звукового давления от источника в расчётной точке днём	0	14,9	19,8	21,6	20,5	17,7	13,1	0	0	22,1	22,1
ИШ-106. В10 электрорем.корпуса	Уровни звукового давления от источника в расчётной точке днём	0	17,6	21,7	32,3	21,6	12,8	7,2	0	0	25,2	25,2
ИШ-105. П5 электрорем.корпуса	Уровни звукового давления от источника в расчётной точке днём	0	14,9	19,8	21,7	20,5	17,6	13,1	0	0	22,1	22,1
ИШ-107. В1 пп14	Уровни звукового давления от источника в расчётной точке днём	0	3,8	10,6	20,3	22,6	24,7	20,1	7,6	0	27,4	27,4
ИШ-108. В2 пп14	Уровни звукового давления от источника в расчётной точке днём	0	3,7	10,6	20,2	22,6	24,7	20,1	7,6	0	27,3	27,3
ИШ-111. В3 пп14	Уровни звукового давления от источника в расчётной точке днём	0	0	0	0	0	0,1	0	0	0	0,1	0,1
ИШ-112. В4 пп14	Уровни звукового давления от источника в расчётной точке днём	0	0	0	0	0	0	0	0	0	0	0
ИШ-113. В5 пп14	Уровни звукового давления от источника в расчётной точке днём	0	0	0	0	0	0	0	0	0	0	0
ИШ-114. П1 пп14	Уровни звукового давления от источника в расчётной точке днём	0	0	0	4,7	6,7	6,4	0	0	0	8,5	8,5
ИШ-115. П2 пп14	Уровни звукового давления от источника в расчётной точке днём	0	0	0	4,6	6,6	6,3	0	0	0	8,4	8,4
ИШ-116. П3 пп14	Уровни звукового давления от источника в расчётной точке днём	0	0	0	4,5	6,5	6,2	0	0	0	8,3	8,3
ИШ-117. П1 РП8	Уровни звукового давления от источника в расчётной точке днём	0	0	0	0	0	0	0	0	0	0	0
ИШ-118. П1 АБК ЦСП	Уровни звукового давления от источника в расчётной точке днём	0	0	0	0	0	0	0	0	0	0	0
ИШ-119. П8 АБК А и Э УРЭ	Уровни звукового давления от источника в расчётной точке днём	0	0	0	5,8	0	0	0	0	0	0	0
ИШ-120. П2 РП8	Уровни звукового давления от источника в расчётной точке днём	0	0	0	0	0	0	0	0	0	0	0
ИШ-122. В1 РП8 аккумуляторная	Уровни звукового давления от источника в расчётной точке днём	0	0	0	0	0	0	0	0	0	0	0
ИШ-123. В1 лаб.корпуса	Уровни звукового давления от источника в расчётной точке днём	0	10,8	13,6	25,2	18,5	10,7	0	0	0	19,6	19,6
ИШ-124. В1 ЦСП	Уровни звукового давления от источника в расчётной точке днём	0	0	0	0	0	0	0	0	0	0	0
ИШ-125. В1 ЦСП, бытовые помещения	Уровни звукового давления от источника в расчётной точке днём	0	0	0	0	0	0	0	0	0	0	0
ИШ-126. В31 электроремонт, АБК	Уровни звукового давления от источника в расчётной точке днём	0	0	0	0	0	0	0	0	0	0	0
ИШ-127. В6 электроремонт, пом. отжига проводов	Уровни звукового давления от источника в расчётной точке днём	0	0	0	5,1	0	0	0	0	0	0	0
ИШ-128. В2, электроремонт, пом.отжига проводов	Уровни звукового давления от источника в расчётной точке днём	0	9,1	10,9	17,7	9	5,6	0	0	0	12	12
ИШ-129. В3, электроремонт, пом.отжига проводов	Уровни звукового давления от источника в расчётной точке днём	0	1	2,8	9,6	0	0	0	0	0	1,1	1,1
ИШ-130. В5 электроремонт, пом.отжига проводов	Уровни звукового давления от источника в расчётной точке днём	0	0	0	5	0	0	0	0	0	0	0
ИШ-131. В7 электроремонт, столярная мастерская	Уровни звукового давления от источника в расчётной точке днём	0	18,3	22,4	25,3	22,9	18,8	16	1,8	0	24,4	24,4
ИШ-132. В13 электроремонт, пом. отмачивания эл.двигателей	Уровни звукового давления от источника в расчётной точке днём	0	0	0	5,6	0	0	0	0	0	0	0
ИШ-133. В15 электроремонт, камера обеспыливания	Уровни звукового давления от источника в расчётной точке днём	0	27,3	31,2	32,1	23,5	14,9	8,2	0	0	26,1	26,1

1	2	3	4	5	6	7	8	9	10	11	12	13
ИШ-134. электроремонт, пом. разборки и мойки эл.двиг	Уровни звукового давления от источника в расчётной точке днём	0	19,3	24,2	29,9	30,2	18,3	10,6	0	0	28,6	28,6
ИШ-135. В18 электроремонт, пом.отмачивания двигателей	Уровни звукового давления от источника в расчётной точке днём	0	12,4	16,2	21,9	23,2	18,3	10,7	0	0	23,1	23,1
ИШ-136. В35 РП-70	Уровни звукового давления от источника в расчётной точке днём	0	0	5,3	5,7	6,3	0	0	0	0	4,2	4,2
ИШ-137. В36 РП-70	Уровни звукового давления от источника в расчётной точке днём	0	0	5,3	5,7	6,2	0	0	0	0	4,2	4,2
ИШ-138. В37 РП-70	Уровни звукового давления от источника в расчётной точке днём	0	0	5,3	5,7	6,3	0	0	0	0	4,2	4,2
ИШ-139. В38 РП-70	Уровни звукового давления от источника в расчётной точке днём	0	0	5,1	5,5	6,1	0	0	0	0	4,1	4,1
ИШ-140. гидрометаллургическое отд.ЦЭН	Уровни звукового давления от источника в расчётной точке днём	0	14,8	6,8	9,8	13,3	9,1	3,9	0	0	13,6	13,6
ИШ-141. Окно ГМО-2	Уровни звукового давления от источника в расчётной точке днём	0	26,1	25,1	12,6	0	0	0	0	0	10,6	10,6
ИШ-142. Ворота ГМО-2	Уровни звукового давления от источника в расчётной точке днём	0	9	0	0	0	0	0	0	0	0	0
ИШ-143. Ворота мастерских слесарей	Уровни звукового давления от источника в расчётной точке днём	0	0	0	0	0	0	0	0	0	0	0
ИШ-144. Окно ГМО-2	Уровни звукового давления от источника в расчётной точке днём	0	0	0	0	0	0	0	0	0	0	0
ИШ-145. Окно ГМО-2	Уровни звукового давления от источника в расчётной точке днём	0	10,5	8,3	7,2	0	0	0	0	0	0	0
ИШ-146. Окно электролизного отделения	Уровни звукового давления от источника в расчётной точке днём	0	9,5	14,5	0	0	0	0	0	0	0	0
ИШ-147. Окно ЭО, помещение электролиза ванн	Уровни звукового давления от источника в расчётной точке днём	0	0	0	0	0	0	0	0	0	0	0
ИШ-148. Окно ЭО, пробоотборочная	Уровни звукового давления от источника в расчётной точке днём	0	0	0	0	0	0	0	0	0	0	0
ИШ-149. Ворота ЭО, помещение резки никеля	Уровни звукового давления от источника в расчётной точке днём	0	0	0	0	0	0	0	0	0	0	0
ИШ-151. ЖР ЭО, помещение резки никеля	Уровни звукового давления от источника в расчётной точке днём	0	3,4	4,3	6,3	9,8	9,7	5,1	0	0	12,7	12,7
ИШ-152. Окно ЭО, помещение резки никеля	Уровни звукового давления от источника в расчётной точке днём	0	6	6	0	0	0	0	0	0	0	0
ИШ-153. Окно расходный склад хлора	Уровни звукового давления от источника в расчётной точке днём	0	10	4,8	0	0	0	0	0	0	0	0
ИШ-154. Ворота РСХ	Уровни звукового давления от источника в расчётной точке днём	0	1,2	0	0	0	0	0	0	0	0	0
ИШ-155. Окно компрессорной	Уровни звукового давления от источника в расчётной точке днём	0	14,8	12,2	0	0	0	0	0	0	0	0
ИШ-156. Окно ГМО ЦЭН-2, район Fe-очистки	Уровни звукового давления от источника в расчётной точке днём	0	17,8	17	3,5	0	0	0	0	0	2,3	2,3
ИШ-157. Ворота ГМО ЦЭН-2, район Fe-очистки	Уровни звукового давления от источника в расчётной точке днём	0	11,1	6,1	0	0	0	0	0	0	0	0
ИШ-158. Окно ГМО ЦЭН-2, район Со-очистки	Уровни звукового давления от источника в расчётной точке днём	0	12,9	18,1	5	0	0	0	0	0	3,1	3,1
ИШ-159. Ворота ГМО ЦЭН-2, район Со-очистки	Уровни звукового давления от источника в расчётной точке днём	0	14,8	13,3	3,5	0	0	0	0	0	0	0
ИШ-160. Окно ГМО ЦЭН-2, район Си-очистки	Уровни звукового давления от источника в расчётной точке днём	0	19,1	20,9	7,5	0	0	0	0	0	6	6
ИШ-161. Окно ГМО концентратный передел	Уровни звукового давления от источника в расчётной точке днём	0	23,2	25	11,6	0	0	0	0	0	10,2	10,2
ИШ-162. Окно ГМО, концентратный передел	Уровни звукового давления от источника в расчётной точке днём	0	22	21,2	18,2	3,7	0	0	0	0	11,5	11,5
ИШ-163. Окно ГМО карбонатный передел	Уровни звукового давления от источника в расчётной точке днём	0	20,4	19,7	6,2	0	0	0	0	0	4,9	4,9
ИШ-164. Окно ГМО, мастерская слесарей	Уровни звукового давления от источника в расчётной точке днём	0	14,5	15,6	7,3	0	0	0	0	0	2,3	2,3
ИШ-165. Окно ГМО район под свечевыми фильтрами	Уровни звукового давления от источника в расчётной точке днём	0	10,7	5,8	0	0	0	0	0	0	0	0
ИШ-166. Окно ГМО район репульпаторов	Уровни звукового давления от источника в расчётной точке днём	0	0	0	0	0	0	0	0	0	0	0
ИШ-167. Окно ГМО проход у пачуков	Уровни звукового давления от источника в расчётной точке днём	0	9,2	8,6	0	0	0	0	0	0	0	0
ИШ-168. ЦПУ, машинный зал	Уровни звукового давления от источника в расчётной точке днём	0	8,6	6,8	0	0	0	0	0	0	0	0
ИШ-169. Ворота ЦПУ, машинный зал	Уровни звукового давления от источника в расчётной точке днём	0	8,2	0	0	0	0	0	0	0	0	0
ИШ-170. ЖР ЦПУ, калориферный зал	Уровни звукового давления от источника в расчётной точке днём	0	13,3	11,9	9,8	0,6	0	0	0	0	3,6	3,6
ИШ-171. Окно ЦПУ. Слесарная мастерская	Уровни звукового давления от источника в расчётной точке днём	0	0	0	0	0	0	0	0	0	0	0
ИШ-172. Ворота участка дробления	Уровни звукового давления от источника в расчётной точке днём	0	0,8	0	0	0	0	0	0	0	0	0
ИШ-173. Окно участка дробления	Уровни звукового давления от источника в расчётной точке днём	0	19	17	7,4	15,1	5,6	0	0	0	13,2	13,2

1	2	3	4	5	6	7	8	9	10	11	12	13
ИШ-174. Окно обжигового отделения	Уровни звукового давления от источника в расчётной точке днём	0	18,1	12,9	0	0	0	0	0	0	0	0
ИШ-175. Окно обжигового отделения	Уровни звукового давления от источника в расчётной точке днём	0	19,8	16	3,1	0	0	0	0	0	1,7	1,7
ИШ-176. Окно отделения пылеулавливания	Уровни звукового давления от источника в расчётной точке днём	0	36,3	33	15,9	0	0	0	0	0	18,1	18,1
ИШ-177. Двери промывного отделения	Уровни звукового давления от источника в расчётной точке днём	0	25,7	21,9	12,9	0	0	0	0	0	8,7	8,7
ИШ-178. Двери сушильно-абсорбционного отделения	Уровни звукового давления от источника в расчётной точке днём	0	19,4	17,1	9,7	0	0	0	0	0	4,4	4,4
ИШ-179. Окна сушильно-абсорбционного отделения	Уровни звукового давления от источника в расчётной точке днём	0	0	0	0	0	0	0	0	0	0	0
ИШ-180. Окно компрессорного отделения	Уровни звукового давления от источника в расчётной точке днём	0	28,1	24	11,3	0,6	0	0	0	0	10,1	10,1
ИШ-181. Двери компрессорного отделения	Уровни звукового давления от источника в расчётной точке днём	0	27,7	19,2	8,2	0	0	0	0	0	6,4	6,4
ИШ-182. Окно склада кислоты	Уровни звукового давления от источника в расчётной точке днём	0	6,8	5,9	0	0	0	0	0	0	0	0
ИШ-183. Дверь склада кислоты	Уровни звукового давления от источника в расчётной точке днём	0	0	0	0	0	0	0	0	0	0	0
ИШ-195. Дверь гмо-1, участок сульфатизации	Уровни звукового давления от источника в расчётной точке днём	0	0	0	0	0	0	0	0	0	0	0
ИШ-196. Окно, участок выщелачивания	Уровни звукового давления от источника в расчётной точке днём	0	13,5	10,6	0	0	0	0	0	0	0	0
ИШ-197. Дверь гмо-2 участок получения серебра	Уровни звукового давления от источника в расчётной точке днём	0	0	0	0	0	0	0	0	0	0	0
ИШ-198. Дверь селенового отделения	Уровни звукового давления от источника в расчётной точке днём	0	0	0	0	0	0	0	0	0	0	0
ИШ-199. Окно отделения газочистки	Уровни звукового давления от источника в расчётной точке днём	0	0	0	0	0	0	0	0	0	0	0
ИШ-200. Проезд поездов по ж/д путям	Уровни звукового давления от источника в расчётной точке днём	0	0	12,7	3,4	0	0	0	0	0	0	6,8
ИШ-201. Проезд поездов по ж/д путям	Уровни звукового давления от источника в расчётной точке днём	0	0	15	6,5	0	0	0	0	0	1,4	13,7
ИШ-203. Работа бульдозера	Уровни звукового давления от источника в расчётной точке днём	0	0	41,1	37,1	29,7	29,1	20,8	0	0	33,9	33,9
ИШ-205. Работа погрузчика	Уровни звукового давления от источника в расчётной точке днём	0	0	56,1	52,7	45,9	47,1	41,4	27	0	50,9	50,9
ИШ-206. Работа погрузчика	Уровни звукового давления от источника в расчётной точке днём	0	0	56,2	52,7	45,9	47,1	41,5	27	0	51	51
ИШ-207. Вытяжка (Имандра)	Уровни звукового давления от источника в расчётной точке днём	0	24,5	28,6	41,7	37,8	29,6	21,9	0	0	37,8	37,8
ИШ-208. Вытяжка (Имандра)	Уровни звукового давления от источника в расчётной точке днём	0	34	39,2	44,6	40,8	32,8	25,3	5,9	0	40,9	40,9
ИШ-209. Вытяжка (Имандра)	Уровни звукового давления от источника в расчётной точке днём	0	37,8	44,7	52,1	50,5	45	40,2	23,6	0	50,9	50,9
ИШ-211. Ворота ВДС №2	Уровни звукового давления от источника в расчётной точке днём	0	17	3,6	0	0	0	0	0	0	0	0
ИШ-212. Ворота баллононаполнительной	Уровни звукового давления от источника в расчётной точке днём	0	12,4	0	0	0	0	0	0	0	0	0
ИШ-214. Ворота машинного зала очистных	Уровни звукового давления от источника в расчётной точке днём	0	0	0	0	0	0	0	0	0	0	0
ИШ-215. Ворота насосной очистных	Уровни звукового давления от источника в расчётной точке днём	0	5,6	0	0	0	0	0	0	0	0	0
ИШ-216. Ворота насосной 3 подъёма	Уровни звукового давления от источника в расчётной точке днём	0	0	0	0	0	0	0	0	0	0	0
ИШ-217. Ворота насосной оборотного водоснабжения №3	Уровни звукового давления от источника в расчётной точке днём	0	1,3	0	0	0	0	0	0	0	0	0
ИШ-218. Ворота насосной оборотного водоснабжения №1	Уровни звукового давления от источника в расчётной точке днём	0	5,4	0	0	0	0	0	0	0	0	0
ИШ-219. Ворота мастерских ОВС и ВО	Уровни звукового давления от источника в расчётной точке днём	0	0	0	0	0	0	0	0	0	0	0
ИШ-220. Ворота ПП-70	Уровни звукового давления от источника в расчётной точке днём	0	0	0	0	0	0	0	0	0	0	0
ИШ-221. Окно лабораторного корпуса	Уровни звукового давления от источника в расчётной точке днём	0	0	0	0	0	0	0	0	0	0	0
ИШ-222. Окно электроремонтного корпуса	Уровни звукового давления от источника в расчётной точке днём	0	0	0	0	0	0	0	0	0	0	0
ИШ-1п. В1 экстракционное отделение (ЭО)	Уровни звукового давления от источника в расчётной точке днём	0	21,9	29,2	20,9	14,9	9,6	2,3	0	0	18,1	18,1
ИШ-2п. В2 ЭО	Уровни звукового давления от источника в расчётной точке днём	0	25,8	34,1	25,9	18,9	12,5	4,3	0	0	22,5	22,5
ИШ-3п. В3 ЭО	Уровни звукового давления от источника в расчётной точке днём	0	0	4,7	6,9	0	0	0	0	0	0	0
ИШ-4п. В4 ЭО	Уровни звукового давления от источника в расчётной точке днём	0	0	7,5	9,8	1,8	0	0	0	0	3,4	3,4
ИШ-5п. В5 ЭО	Уровни звукового давления от источника в расчётной точке днём	0	0	8,3	10,6	2,7	0	0	0	0	4,2	4,2

1	2	3	4	5	6	7	8	9	10	11	12	13
ИШ-6п. В6 ЭО	Уровни звукового давления от источника в расчётной точке днём	0	4,3	8,8	3,6	0	0	0	0	0	0	0
ИШ-7п. В7 ЭО	Уровни звукового давления от источника в расчётной точке днём	0	23,4	21,2	20	16,1	7,8	0	0	0	16,4	16,4
ИШ-8п. П8	Уровни звукового давления от источника в расчётной точке днём	0	8,8	7,9	6,5	2,4	0	0	0	0	2,1	2,1
ИШ-9п. Воздушная завеса	Уровни звукового давления от источника в расчётной точке днём	0	28,2	32,6	32,3	31	28,2	22	8,7	0	32,5	32,5
ИШ-10п. Воздушная завеса	Уровни звукового давления от источника в расчётной точке днём	0	29	32,3	32,4	31,2	28,3	22,2	9	0	32,6	32,6
ИШ-11п. Воздушная завеса	Уровни звукового давления от источника в расчётной точке днём	0	28,7	31,9	32,1	30,9	29,6	23,4	9,9	0	33,1	33,1
ИШ-12п. Воздушная завеса	Уровни звукового давления от источника в расчётной точке днём	0	28,6	31,8	32	30,7	29,4	23,2	9,7	0	33	33
ИШ-13п. В3 электролизный участок (ЭУ)	Уровни звукового давления от источника в расчётной точке днём	0	11,5	11,7	19,3	9,1	3,5	0	0	0	12,6	12,6
ИШ-14п. В4	Уровни звукового давления от источника в расчётной точке днём	0	0	0	0	0	0	0	0	0	0	0
ИШ-15п. В15	Уровни звукового давления от источника в расчётной точке днём	0	3,6	8,7	0	0	0	0	0	0	0	0
ИШ-16п. В6	Уровни звукового давления от источника в расчётной точке днём	0	3,9	10,2	0	0	0	0	0	0	0	0
ИШ-17п. В7	Уровни звукового давления от источника в расчётной точке днём	0	0	0	6,8	0	0	0	0	0	0	0
ИШ-18п. В8	Уровни звукового давления от источника в расчётной точке днём	0	0	5,1	8,6	0	0	0	0	0	0,3	0,3
ИШ-19п. В9	Уровни звукового давления от источника в расчётной точке днём	0	0	0	0	0	0	0	0	0	0	0
ИШ-20п. В10	Уровни звукового давления от источника в расчётной точке днём	0	0	0	0	0	0	0	0	0	0	0
ИШ-21п В11	Уровни звукового давления от источника в расчётной точке днём	0	8,9	7,2	8,8	4,6	0	0	0	0	4,1	4,1
ИШ-22п. В12	Уровни звукового давления от источника в расчётной точке днём	0	8,9	7,2	8,8	4,6	0	0	0	0	4,1	4,1
ИШ-23п. В13	Уровни звукового давления от источника в расчётной точке днём	0	8,9	7,1	8,7	4,6	0	0	0	0	4,1	4,1
ИШ-24п. В14	Уровни звукового давления от источника в расчётной точке днём	0	8,9	7,2	8,8	4,6	0	0	0	0	4,1	4,1
ИШ-25п. В15	Уровни звукового давления от источника в расчётной точке днём	0	22,5	9,7	0	0	0	0	0	0	0	0
ИШ-26п. В16	Уровни звукового давления от источника в расчётной точке днём	0	0	6,8	8,4	1,3	0	0	0	0	2,3	2,3
ИШ-28п. Воздушная завеса	Уровни звукового давления от источника в расчётной точке днём	0	15,1	13,1	10,4	6	0	0	0	0	6	6
ИШ-29п. Воздушная завеса	Уровни звукового давления от источника в расчётной точке днём	0	15,1	13,1	10,4	6	0	0	0	0	6	6
ИШ-30п. В1 Насосной № 1	Уровни звукового давления от источника в расчётной точке днём	0	38,7	30,6	23	15	6,2	0	0	0	19,7	19,7
ИШ-31п. В2 насосная №1	Уровни звукового давления от источника в расчётной точке днём	0	24,1	12,8	11,9	4,7	0	0	0	0	6,7	6,7
ИШ-32п. В3 насосная № 1	Уровни звукового давления от источника в расчётной точке днём	0	55,7	48,5	39,9	31	22,2	14,8	4,5	0	36,8	36,8
ИШ-33п. П1 насосная № 1	Уровни звукового давления от источника в расчётной точке днём	0	4	14,9	0	0	0	0	0	0	0	0
ИШ-34п. В1 Насосной № 2	Уровни звукового давления от источника в расчётной точке днём	0	39,3	31,2	24,3	16,1	6,3	0	0	0	20,5	20,5
ИШ-35п. В2 насосная №2	Уровни звукового давления от источника в расчётной точке днём	0	19	7,7	8,8	0	0	0	0	0	1,4	1,4
ИШ-36п. В3 насосная № 2	Уровни звукового давления от источника в расчётной точке днём	0	56,2	49	41,2	32	22,9	14,8	0	0	37,6	37,6
ИШ-37п. П1 насосная № 2	Уровни звукового давления от источника в расчётной точке днём	0	0	9,7	0	0	0	0	0	0	0	0
ИШ-38п. В5 ГМУ	Уровни звукового давления от источника в расчётной точке днём	0	24,3	30,5	32,6	30,8	29,4	22,1	9,9	0	32,9	32,9
ИШ-39п. ЖД пути	Уровни звукового давления от источника в расчётной точке днём	0	0	16,1	9,3	2,2	0	0	0	0	4,8	4,8
ИШ-40п. В1 Корпуса выпаривания и сушки (КВИС)	Уровни звукового давления от источника в расчётной точке днём	0	5	8,9	4,9	4	0	0	0	0	2,7	2,7
ИШ-41п. В2 КВИС	Уровни звукового давления от источника в расчётной точке днём	0	4,4	8,3	4	2,8	0	0	0	0	1,6	1,6
ИШ-42п. П1 КВИС	Уровни звукового давления от источника в расчётной точке днём	0	8,7	7,6	12,3	13,8	8,7	0	0	0	13,6	13,6
ИШ-43п. В3 КВИС	Уровни звукового давления от источника в расчётной точке днём	0	1,2	5,1	0,3	0	0	0	0	0	0	0
ИШ-44п. П2 КВИС	Уровни звукового давления от источника в расчётной точке днём	0	2,3	2,3	6,3	6,3	1,1	0	0	0	6	6
ИШ-45п. В4 КВИС	Уровни звукового давления от источника в расчётной точке днём	0	0	0	0	0	0	0	0	0	0	0

1	2	3	4	5	6	7	8	9	10	11	12	13
ИШ-46п. В5 КВИС	Уровни звукового давления от источника в расчётной точке днём	0	0	0	0	5,9	0	0	0	0	2,7	2,7
ИШ-47п. В6 КВИС	Уровни звукового давления от источника в расчётной точке днём	0	0	0	0	5,2	0	0	0	0	2	2
ИШ-48п. В7 КВИС	Уровни звукового давления от источника в расчётной точке днём	0	8,7	12,6	10	6,5	0	0	0	0	6	6
ИШ-49п. В8 КВИС	Уровни звукового давления от источника в расчётной точке днём	0	8,6	12,6	7,4	3,9	0	0	0	0	3,8	3,8
ИШ-50п. В9 КВИС	Уровни звукового давления от источника в расчётной точке днём	0	0	0	0	0	0	0	0	0	0	0
ИШ-51п. В10 КВИС	Уровни звукового давления от источника в расчётной точке днём	0	0	0	0	0	0	0	0	0	0	0
ИШ-52п. В11 КВИС	Уровни звукового давления от источника в расчётной точке днём	0	18,9	16,3	16,1	15,3	10,4	2,9	0	0	15,6	15,6
ИШ-53п. В12 КВИС	Уровни звукового давления от источника в расчётной точке днём	0	18,9	16,3	16,2	15,3	10,4	3	0	0	15,7	15,7
ИШ-54п. В13 КВИС	Уровни звукового давления от источника в расчётной точке днём	0	0,5	4,4	0,3	0	0	0	0	0	0	0
ИШ-55п. В14 КВИС	Уровни звукового давления от источника в расчётной точке днём	0	1,1	5	0,2	0	0	0	0	0	0	0
ИШ-56п. В15 КВИС	Уровни звукового давления от источника в расчётной точке днём	0	0,9	7,4	3,6	0	0	0	0	0	0	0
ИШ-57п. В16 КВИС	Уровни звукового давления от источника в расчётной точке днём	0	1	5	0,1	0	0	0	0	0	0	0
ИШ-58п. В17 КВИС	Уровни звукового давления от источника в расчётной точке днём	0	22,2	24	27,7	26,4	22,3	16,6	8,1	0	27,3	27,3
ИШ-59п. В18 КВИС	Уровни звукового давления от источника в расчётной точке днём	0	0	0	0	0	0	0	0	0	0	0
ИШ-60п. Ворота ГМУ-1	Уровни звукового давления от источника в расчётной точке днём	0	0	38	33,7	25,8	24,4	14,8	0	0	29,9	37,3
ИШ-61п. Дефлектор1 ГМУ-1	Уровни звукового давления от источника в расчётной точке днём	0	0	14,4	7,4	0,3	0	0	0	0	2,9	13,5
ИШ-62 п. Дефлектор ГМУ-1	Уровни звукового давления от источника в расчётной точке днём	0	0	14,4	7,4	0,3	0	0	0	0	2,9	13
ИШ-63 п. Дефлектор ГМУ-1	Уровни звукового давления от источника в расчётной точке днём	0	0	14,5	7,5	0,3	0	0	0	0	3	13,1
ИШ-1рц. П1(узел отгрузки концентратов)	Уровни звукового давления от источника в расчётной точке днём	0	0	0	0	0	0	0	0	0	0	0
ИШ-2рц. В1 (узел отгрузки концентратов)	Уровни звукового давления от источника в расчётной точке днём	0	0	0	0	0	0	0	0	0	0	0
ИШ-3рц. Работа погрузчика	Уровни звукового давления от источника в расчётной точке днём	0	0	0,3	0	0	0	0	0	0	0	17,6
ИШ-4рц. Работа ричстакера	Уровни звукового давления от источника в расчётной точке днём	0	0	29,8	36,2	31,3	28,8	21,8	5,3	0	33,4	33,4
ИШ-5рц. П1(РСО)	Уровни звукового давления от источника в расчётной точке днём	0	0	0	0	0	0	0	0	0	0	0
ИШ-6рц. В1 (РСО)	Уровни звукового давления от источника в расчётной точке днём	0	1,3	0	0	0	0	0	0	0	0	0
ИШ-7рц. П2(РСО)	Уровни звукового давления от источника в расчётной точке днём	0	0	0	0	0	0	0	0	0	0	0
ИШ-8рц. В2(РСО)	Уровни звукового давления от источника в расчётной точке днём	0	0	0	0	0	0	0	0	0	0	0
ИШ-9рц. МО1(РСО)	Уровни звукового давления от источника в расчётной точке днём	0	0	0	0	0	0	0	0	0	0	0
ИШ-10рц. Проезд г/а	Уровни звукового давления от источника в расчётной точке днём	0	7,4	2,9	0	0	0	0	0	0	0	21,6
ИШ-11рц. ТП	Уровни звукового давления от источника в расчётной точке днём	0	0	0	0	0	0	0	0	0	0	0
ИШ-12рц. ТП	Уровни звукового давления от источника в расчётной точке днём	0	0	0	0	0	0	0	0	0	0	0
ИШ-13рц. Работа ричстакера на пл ЦМТО	Уровни звукового давления от источника в расчётной точке днём	0	0	34,4	30,4	24,2	21,2	14,6	0	0	27,1	27,1
ИШ-14рц. Проезд г/а	Уровни звукового давления от источника в расчётной точке днём	0	39,3	32,9	29,6	26,2	27,3	22,9	16,6	0	31	60,1
ИШ-0162. Дымовая труба ТЭЦ	Уровни звукового давления от источника в расчётной точке днём	0	3,9	2	5,7	3,8	0	0	0	0	2,3	2,3
ИШ-0163. Дымовая труба	Уровни звукового давления от источника в расчётной точке днём	0	0	0	0	0	0	0	0	0	0	0
ИШ-0164. Дымовая труба	Уровни звукового давления от источника в расчётной точке днём	0	0	0	0	0	7,3	0	0	0	7,3	7,3
ИШв-1 хму. ПВ1 приток	Уровни звукового давления от источника в расчётной точке днём	0	0	0	0	0	0	0	0	0	0	0
ИШв-2 хму. ПВ1 вытяжка	Уровни звукового давления от источника в расчётной точке днём	0	0	0	2,6	0	0	0	0	0	0	0
ИШв-3 хму. ПВ2 приток	Уровни звукового давления от источника в расчётной точке днём	0	0	0	0	0	0	0	0	0	0	0
ИШв-4 хму. ПВ2 вытяжка	Уровни звукового давления от источника в расчётной точке днём	0	0	0	2,1	0	0	0	0	0	0	0

1	2	3	4	5	6	7	8	9	10	11	12	13
ИШв-5 хму. ПВ3 приток	Уровни звукового давления от источника в расчётной точке днём	0	0	0	0	0	0	0	0	0	0	0
ИШв-6 хму. ПВ3 вытяжка	Уровни звукового давления от источника в расчётной точке днём	0	6,8	2,8	7,4	0	0	0	0	0	0	0
ИШв-7 хму. ПВ4 приток	Уровни звукового давления от источника в расчётной точке днём	0	0	0	0	0	0	0	0	0	0	0
ИШв-8 хму. ПВ4 вытяжка	Уровни звукового давления от источника в расчётной точке днём	0	7	3	7,6	0	0	0	0	0	0	0
ИШ-15хму	Уровни звукового давления от источника в расчётной точке днём	0	11,5	11,1	0,2	0	0	0	0	0	0	0
ИШ-16хму. Участок измельчения ПНТП	Уровни звукового давления от источника в расчётной точке днём	0	10,2	5,2	0	0	0	0	0	0	0	0
ИШ-17хму. Участок дробления и измельчения сплава	Уровни звукового давления от источника в расчётной точке днём	0	28,8	26,6	14,1	0	0	0	0	0	12,2	12,2
ИШ-18хму	Уровни звукового давления от источника в расчётной точке днём	0	27,7	20,5	6,1	0	0	0	0	0	6,8	6,8
ИШ-19хму. Механическая мастерская	Уровни звукового давления от источника в расчётной точке днём	0	28,2	21	6,6	0	0	0	0	0	7,2	7,2
ИШ-20хму. Помещение ОТК	Уровни звукового давления от источника в расчётной точке днём	0	0	0	17,9	0	0	0	0	0	9,3	9,3
ИШв9. ЦЭН.ОЭН-2 П5	Уровни звукового давления от источника в расчётной точке днём	0	21,1	13,5	10,3	9,4	3	0	0	0	9,3	9,3
ИШв-10. ЦЭН.ОЭН-2 П7	Уровни звукового давления от источника в расчётной точке днём	0	21	13,4	10,2	9,3	2,9	0	0	0	9,2	9,2
ИШв-11. ЦПУ П1	Уровни звукового давления от источника в расчётной точке днём	0	27	19,1	17,7	16,2	9,3	2,4	0	0	16,3	16,3
ИШв-12. ЦПУ П2	Уровни звукового давления от источника в расчётной точке днём	0	25	17,1	15,6	14,2	7,4	0,5	0	0	14,3	14,3
ИШв-13. ЦПУ П3	Уровни звукового давления от источника в расчётной точке днём	0	27	19,1	17,6	16,2	9,4	2,6	0	0	16,3	16,3
ИШв-14. ЦПУ П6	Уровни звукового давления от источника в расчётной точке днём	0	27	19,1	17,6	16,2	9,4	2,7	0	0	16,3	16,3
ИШв-15. ЦПУ П8	Уровни звукового давления от источника в расчётной точке днём	0	26,9	19	17,5	16,1	9,5	2,9	0	0	16,2	16,2
ИШв-16. ЦВК В1	Уровни звукового давления от источника в расчётной точке днём	0	26,9	24,2	20,8	11,6	5	0	0	0	15,3	15,3
ИШв-17. ЦВК В2	Уровни звукового давления от источника в расчётной точке днём	0	26,9	24,1	20,7	11,5	4,9	0	0	0	15,3	15,3
ИШв-18. ЦВК В3	Уровни звукового давления от источника в расчётной точке днём	0	26,9	24,1	20,7	11,5	4,9	0	0	0	15,3	15,3
ИШв-19. ГМО2 П5	Уровни звукового давления от источника в расчётной точке днём	0	15,3	7,2	3,6	4,9	1,2	0	0	0	5,2	5,2
ИШв-20. ГМО2 П7	Уровни звукового давления от источника в расчётной точке днём	0	15,4	7,3	3,7	4,9	1,2	0	0	0	5,3	5,3
ИШв -21. ГМО2 В1	Уровни звукового давления от источника в расчётной точке днём	0	22,2	20,1	10,5	7,8	5,1	0,1	0	0	10,7	10,7
ИШв-22. ГМО2 В2	Уровни звукового давления от источника в расчётной точке днём	0	17,4	25,3	15,7	7,9	5,3	0,3	0	0	13,3	13,3
ИШв-23. ГМО2 В4	Уровни звукового давления от источника в расчётной точке днём	0	0	0,7	0	0	0	0	0	0	0	0
ИШв-24. ГМО2 В5	Уровни звукового давления от источника в расчётной точке днём	0	0	0,7	0	0	0	0	0	0	0	0
ИШв-25. ГМО2 В6	Уровни звукового давления от источника в расчётной точке днём	0	0	0,7	0	0	0	0	0	0	0	0
ИШв-26. П2	Уровни звукового давления от источника в расчётной точке днём	0	28,2	21,7	19,2	18,6	12,2	4,2	0	0	18,5	18,5
ИШв -27. В1-В3	Уровни звукового давления от источника в расчётной точке днём	0	27,3	28,8	28,3	20,7	15,3	6,3	0	0	23,2	23,2
ИШв-28. П2	Уровни звукового давления от источника в расчётной точке днём	0	21,9	14,1	10,8	9,8	3,4	0	0	0	9,8	9,8
ИШв -29. В1-В2,В8	Уровни звукового давления от источника в расчётной точке днём	0	8,9	21,2	20,8	5,8	0,4	0	0	0	13,6	13,6
ИШ-24 ОПУ. В13	Уровни звукового давления от источника в расчётной точке днём	0	0	0	0	0	0	0	0	0	0	0
ИШв-30. П1	Уровни звукового давления от источника в расчётной точке днём	0	20,9	13,1	11,2	10	2,4	0	0	0	9,6	9,6
ИШв-30. В3-В6	Уровни звукового давления от источника в расчётной точке днём	0	0	2,1	0,8	0	0	0	0	0	0	0
ИШв-32. П1	Уровни звукового давления от источника в расчётной точке днём	0	0	3,9	0	0	0	0	0	0	0	0
ИШ-1 ОПУ. Пом. электрофильтров	Уровни звукового давления от источника в расчётной точке днём	61,1	60,9	43,8	43,9	28,2	21,9	17,7	0	11,9	38,8	38,8
ИШ-2 ОПУ. Пом. мастерской	Уровни звукового давления от источника в расчётной точке днём	39,4	36,2	7,3	0	0	0	0	0	0	10,4	10,4
ИШ-3 ОПУ. Пом. мастеской	Уровни звукового давления от источника в расчётной точке днём	46,8	46,6	29,5	0	13,6	7,5	0	0	9,3	22	22
ИШ-4 ОПУ. Пом. дымососа	Уровни звукового давления от источника в расчётной точке днём	25,9	25,7	8,6	0	0	0	0	0	0	1	1

1	2		3	4	5	6	7	8	9	10	11	12	13
ИШ-6 ОПУ. П1 пом. ЭФ	Уровни звукового давления от источника в расчётной точке днём		3,8	5,2	11,1	9,1	6,6	5,8	0	0	0	8,7	8,7
ИШ-7 ОПУ. П2 пом. ЭФ	Уровни звукового давления от источника в расчётной точке днём		3,8	5,2	11,1	9	6,6	5,7	0	0	0	8,6	8,6
ИШ-8 ОПУ. П3 КТП	Уровни звукового давления от источника в расчётной точке днём		9,2	0	0,2	8,8	6,3	0	0	0	0	4,9	4,9
ИШ-9 ОПУ. Преобр. станция	Уровни звукового давления от источника в расчётной точке днём		16,7	9,9	14,1	19,1	14,3	8,3	0	0	0	15	15
ИШ-10 ОПУ. П5 ЭФ	Уровни звукового давления от источника в расчётной точке днём		10,7	12,8	19,1	16	11,2	8,2	0	0	0	13,1	13,1
ИШ-11 ОПУ. П6 ПСУ2	Уровни звукового давления от источника в расчётной точке днём		0	0	0	0	0	0	0	0	0	0	0
ИШ-12 ОПУ. Преобр. подстанция	Уровни звукового давления от источника в расчётной точке днём		0,5	1,2	7,5	4,3	0	0	0	0	0	0	0
ИШ-13 ОПУ. Преобр подстанция	Уровни звукового давления от источника в расчётной точке днём		0,5	1,2	7,5	4,3	0	0	0	0	0	0	0
ИШ-14 ОПУ. В3 мастерская	Уровни звукового давления от источника в расчётной точке днём		0	0	3,5	1	0	0	0	0	0	0	0
ИШ-15 ОПУ. В4 ПСУ-1	Уровни звукового давления от источника в расчётной точке днём		0	0	0	0	0	0	0	0	0	0	0
ИШ-17 ОПУ. В6 с/у	Уровни звукового давления от источника в расчётной точке днём		0	0	0	0	0	0	0	0	0	0	0
ИШ-18 ОПУ. В7 ЭФ	Уровни звукового давления от источника в расчётной точке днём		0	0	0	0	0	0	0	0	0	0	0
ИШ-19 ОПУ. В8 ЭФ	Уровни звукового давления от источника в расчётной точке днём		0	0	0	0	0	0	0	0	0	0	0
ИШ-20 ОПУ. В9 пом ЭФ	Уровни звукового давления от источника в расчётной точке днём		0	0	0	0	0	0	0	0	0	0	0
ИШ-21 ОПУ. В10 пом ЭФ	Уровни звукового давления от источника в расчётной точке днём		0	0	0	0	0	0	0	0	0	0	0
ИШ-22 ОПУ. В11	Уровни звукового давления от источника в расчётной точке днём		0	0	0	0	0	0	0	0	0	0	0
ИШ-23 ОПУ. В12	Уровни звукового давления от источника в расчётной точке днём		0	0	0	0	0	0	0	0	0	0	0
Суммарные уровни звукового давления в расчётной точке от всех источников шума днём, Lрт, дБ			61,3	67,1	64,2	59,8	57,7	63,5	61,9	52,1	25,8	67	68
Изоляция помещением проникающего звука, дБ			10	10	10	12	14	16	18	18	18	14	14
Суммарные уровни звукового давления в помещении днём, Lпом, дБ			51,3	57,1	54,2	47,8	43,7	47,5	43,9	34,1	7,8	50,8	51,7
Допускаемые УЗД днём, Lдоп, дБ	Рабочие помещения административно-управленческого персонала производственных предприятий, лабораторий, помещения для	Табл. 1[3]	93	79	70	63	58	55	52	50	49	60	75
Превышение днём, дБ			-41,7	-21,9	-15,8	-15,2	-14,3	-7,5	-8,1	-15,9	-41,2	-9,2	-23,3

Итоговые результаты определения уровней звукового давления в точке РТ-2. Рабочий кабинет АБК, расположенный на 2 этаже и окнами ориентированный на северо-запад												
Источник шума	Характеристика	Уровни звукового давления, дБ, в октавных полосах, со среднегеометрическими частотами, Гц									L _a , дБА	L _{макс} , дБА
		31,5	63	125	250	500	1000	2000	4000	8000		
1	2	3	4	5	6	7	8	9	10	11	12	13
ИШ-1. Проезд грузового автотранспорта (доставка товаров)	Уровни звукового давления от источника в расчётной точке днём	0	51,6	45,4	42,4	39,8	40	36,2	31,1	21,9	44,1	64,6
	Уровни звукового давления от источника в расчётной точке ночью	0	0	0	0	0	0	0	0	0	0	0
ИШ-2. Проезд грузового автотранспорта (доставка сырья и продуктов для столовой)	Уровни звукового давления от источника в расчётной точке днём	0	51,8	45,4	42,4	39,7	40	36,2	31	21,9	44	64,6
	Уровни звукового давления от источника в расчётной точке ночью	0	0	0	0	0	0	0	0	0	0	0
ИШ-3. Проведение погрузо-разгрузочных работ	Уровни звукового давления от источника в расчётной точке днём	0	28,3	23,2	15,2	11	8,9	0	0	0	14	26,5
	Уровни звукового давления от источника в расчётной точке ночью	0	0	0	0	0	0	0	0	0	0	0
ИШ-4. Проезд грузового автотранспорта (доставка канцелярии, мебели, почты и прочего)	Уровни звукового давления от источника в расчётной точке днём	0	51,7	45,3	42,3	39,7	39,9	36,2	31	21,7	44	64,5
	Уровни звукового давления от источника в расчётной точке ночью	0	0	0	0	0	0	0	0	0	0	0
ИШ-5. Проведение погрузо-разгрузочных работ	Уровни звукового давления от источника в расчётной точке днём	0	27,8	22,7	14,6	10,6	8,6	0	0	0	13,6	26,1
	Уровни звукового давления от источника в расчётной точке ночью	0	0	0	0	0	0	0	0	0	0	0
ИШ-6. Проезд мусоровоза к мусороуборочной площадке	Уровни звукового давления от источника в расчётной точке днём	0	51,6	45,4	42,4	39,8	40	36,2	31,1	21,9	44,1	64,6
	Уровни звукового давления от источника в расчётной точке ночью	0	0	0	0	0	0	0	0	0	0	0
ИШ-7. Проведение мусороуборочных работ	Уровни звукового давления от источника в расчётной точке днём	0	45,1	37	31,1	25	26,4	20,9	16,2	2,6	30,8	42,8
	Уровни звукового давления от источника в расчётной точке ночью	0	0	0	0	0	0	0	0	0	0	0
ИШ-8. Проезд грузового автотранспорта (вывоз контейнеров с контейнерной площадки)	Уровни звукового давления от источника в расчётной точке днём	0	19,9	2,3	0	0	0	0	0	0	0	9,2
	Уровни звукового давления от источника в расчётной точке ночью	0	19,9	2,3	0	0	0	0	0	0	0	9,2
ИШ-9. Проезд ричстакера по территории контейнерной площадки	Уровни звукового давления от источника в расчётной точке днём	0	0	39,9	33,4	26,7	24,1	18,3	0,5	0	30,5	30,5
	Уровни звукового давления от источника в расчётной точке ночью	0	0	39,9	33,4	26,7	24,1	18,3	0,5	0	30,5	30,5
ИШ-10. Проведение погрузо-разгрузочных работ	Уровни звукового давления от источника в расчётной точке днём	0	31,5	25,6	16,8	11,1	6,7	0,1	0	0	14,9	17,9
	Уровни звукового давления от источника в расчётной точке ночью	0	31,5	25,6	16,8	11,1	6,7	0,1	0	0	14,9	17,9
ИШ-11. Шум от трансформаторов АБК	Уровни звукового давления от источника в расчётной точке днём	0	35	33	37	36,9	20,2	8,7	4,3	0	35,1	35,1
	Уровни звукового давления от источника в расчётной точке ночью	0	35	33	37	36,9	20,2	8,7	4,3	0	35,1	35,1
ИШ-12. П01.1	Уровни звукового давления от источника в расчётной точке днём	0	0	32,9	30,4	28,9	25,1	22,7	19,3	12,1	31	31
	Уровни звукового давления от источника в расчётной точке ночью	0	0	32,9	30,4	28,9	25,1	22,7	19,3	12,1	31	31
ИШ-13. П02	Уровни звукового давления от источника в расчётной точке днём	0	0	8,3	2	0,6	0	0	0	0	0	0
	Уровни звукового давления от источника в расчётной точке ночью	0	0	8,3	2	0,6	0	0	0	0	0	0
ИШ-17. П06	Уровни звукового давления от источника в расчётной точке днём	0	42,6	44,5	45,5	44,3	45,5	44,3	40,2	35,6	50,2	50,2
	Уровни звукового давления от источника в расчётной точке ночью	0	42,6	44,5	45,5	44,3	45,5	44,3	40,2	35,6	50,2	50,2
ИШ-18. П07	Уровни звукового давления от источника в расчётной точке днём	0	0	44,4	41,9	40,5	36,3	34,1	31,1	25,7	42,5	42,5
	Уровни звукового давления от источника в расчётной точке ночью	0	0	44,4	41,9	40,5	36,3	34,1	31,1	25,7	42,5	42,5
ИШ-19. П08	Уровни звукового давления от источника в расчётной точке днём	0	13,3	11,7	4,7	5,4	0	0	0	0	3,9	3,9
	Уровни звукового давления от источника в расчётной точке ночью	0	13,3	11,7	4,7	5,4	0	0	0	0	3,9	3,9
ИШ-20. В01.1	Уровни звукового давления от источника в расчётной точке днём	0	0	32,9	30,3	27,9	21	15,6	13	5,3	28,4	28,4
	Уровни звукового давления от источника в расчётной точке ночью	0	0	32,9	30,3	27,9	21	15,6	13	5,3	28,4	28,4
ИШ-21. В01.2	Уровни звукового давления от источника в расчётной точке днём	0	0	29,4	25,9	25,4	22,5	25,2	16,8	14,7	29,7	29,7

1	2	3	4	5	6	7	8	9	10	11	12	13
ИШ-21. В01.2	Уровни звукового давления от источника в расчётной точке ночью	0	0	29,4	25,9	25,4	22,5	25,2	16,8	14,7	29,7	29,7
ИШ-22. В02	Уровни звукового давления от источника в расчётной точке днём	0	0	8,5	3,2	0,9	0	0	0	0	0,2	0,2
	Уровни звукового давления от источника в расчётной точке ночью	0	0	8,5	3,2	0,9	0	0	0	0	0,2	0,2
ИШ-26. В06	Уровни звукового давления от источника в расчётной точке днём	0	47,3	43,4	37,4	31,1	26,6	22,1	17,7	12,6	34,5	34,5
	Уровни звукового давления от источника в расчётной точке ночью	0	47,3	43,4	37,4	31,1	26,6	22,1	17,7	12,6	34,5	34,5
ИШ-27. В07	Уровни звукового давления от источника в расчётной точке днём	0	37,3	33,1	26,6	19,4	15,5	10,5	6,5	1,4	23,5	23,5
	Уровни звукового давления от источника в расчётной точке ночью	0	37,3	33,1	26,6	19,4	15,5	10,5	6,5	1,4	23,5	23,5
ИШ-28. В08	Уровни звукового давления от источника в расчётной точке днём	0	0	16,8	11,9	10,4	6,8	8,9	0	0	13,7	13,7
	Уровни звукового давления от источника в расчётной точке ночью	0	0	16,8	11,9	10,4	6,8	8,9	0	0	13,7	13,7
ИШ-29. В09	Уровни звукового давления от источника в расчётной точке днём	0	0	28,8	23,6	19,3	14,1	11,8	8,9	3,5	21,7	21,7
	Уровни звукового давления от источника в расчётной точке ночью	0	0	28,8	23,6	19,3	14,1	11,8	8,9	3,5	21,7	21,7
ИШ-30. В10	Уровни звукового давления от источника в расчётной точке днём	0	0	25,6	24,4	20,1	16	5,7	6,7	0	21,7	21,7
	Уровни звукового давления от источника в расчётной точке ночью	0	0	25,6	24,4	20,1	16	5,7	6,7	0	21,7	21,7
ИШ-31. В11	Уровни звукового давления от источника в расчётной точке днём	0	0	25,5	21,2	18	11,8	8,5	1,6	0	19,2	19,2
	Уровни звукового давления от источника в расчётной точке ночью	0	0	25,5	21,2	18	11,8	8,5	1,6	0	19,2	19,2
ИШ-32. В12	Уровни звукового давления от источника в расчётной точке днём	0	0	25,1	20,9	17,6	11,5	8,3	1,3	0	18,9	18,9
	Уровни звукового давления от источника в расчётной точке ночью	0	0	25,1	20,9	17,6	11,5	8,3	1,3	0	18,9	18,9
ИШ-33. В13	Уровни звукового давления от источника в расчётной точке днём	0	37,9	34,6	29,4	24	19,6	14,6	9,3	0,1	26,7	26,7
	Уровни звукового давления от источника в расчётной точке ночью	0	37,9	34,6	29,4	24	19,6	14,6	9,3	0,1	26,7	26,7
ИШ-34. В14	Уровни звукового давления от источника в расчётной точке днём	0	34,9	30,7	24,2	17	13,1	7,5	3,2	0	21	21
	Уровни звукового давления от источника в расчётной точке ночью	0	34,9	30,7	24,2	17	13,1	7,5	3,2	0	21	21
ИШ-35. В15	Уровни звукового давления от источника в расчётной точке днём	0	0	25,5	21,6	18,7	12,2	7,8	0,8	0	19,5	19,5
	Уровни звукового давления от источника в расчётной точке ночью	0	0	25,5	21,6	18,7	12,2	7,8	0,8	0	19,5	19,5
ИШ-36. В16	Уровни звукового давления от источника в расчётной точке днём	0	0	28,6	25,6	18,6	13,3	5,2	0	0	21,1	21,1
	Уровни звукового давления от источника в расчётной точке ночью	0	0	28,6	25,6	18,6	13,3	5,2	0	0	21,1	21,1
ИШ-37. К01	Уровни звукового давления от источника в расчётной точке днём	0	41,7	40,1	36,4	32,1	28,3	24	20,2	15,4	34,5	34,5
	Уровни звукового давления от источника в расчётной точке ночью	0	41,7	40,1	36,4	32,1	28,3	24	20,2	15,4	34,5	34,5
ИШ-38. В17	Уровни звукового давления от источника в расчётной точке днём	0	0	12,9	11,4	7,1	3,6	0	0	0	8,5	8,5
	Уровни звукового давления от источника в расчётной точке ночью	0	0	12,9	11,4	7,1	3,6	0	0	0	8,5	8,5
ИШ-39. К02	Уровни звукового давления от источника в расчётной точке днём	0	39,8	38,2	34,5	30,2	26,4	22,1	18,2	13,4	32,6	32,6
	Уровни звукового давления от источника в расчётной точке ночью	0	39,8	38,2	34,5	30,2	26,4	22,1	18,2	13,4	32,6	32,6
ИШ-40. К03	Уровни звукового давления от источника в расчётной точке днём	0	39,9	38,3	34,6	30,3	26,5	22,2	18,4	13,6	32,7	32,7
	Уровни звукового давления от источника в расчётной точке ночью	0	39,9	38,3	34,6	30,3	26,5	22,2	18,4	13,6	32,7	32,7
ИШ-1. Ворота ОРФ	Уровни звукового давления от источника в расчётной точке днём	0	25,9	23	13,4	6,7	0	0	0	0	10,4	10,4
	Уровни звукового давления от источника в расчётной точке ночью	0	25,9	23	13,4	6,7	0	0	0	0	10,4	10,4
ИШ-2. Ворота ОРФ	Уровни звукового давления от источника в расчётной точке днём	0	15,7	15,3	13,5	7,7	2,9	0	0	0	9,4	9,4
	Уровни звукового давления от источника в расчётной точке ночью	0	15,7	15,3	13,5	7,7	2,9	0	0	0	9,4	9,4
ИШ-3. Магистраль подачи воздуха	Уровни звукового давления от источника в расчётной точке днём	0	16,1	16,5	25,2	30,4	27,6	17,9	5,4	0	30,9	30,9
	Уровни звукового давления от источника в расчётной точке ночью	0	16,1	16,5	25,2	30,4	27,6	17,9	5,4	0	30,9	30,9

1	2	3	4	5	6	7	8	9	10	11	12	13
ИШ-4. Дверь коллекторной ТЭЦ	Уровни звукового давления от источника в расчётной точке днём	0	0	0	0	0	0	0,7	0	0	1,9	1,9
	Уровни звукового давления от источника в расчётной точке ночью	0	0	0	0	0	0	0,7	0	0	1,9	1,9
ИШ-5. Фасад ТЭЦ, паропроводы	Уровни звукового давления от источника в расчётной точке днём	0	6,9	0,6	0	0	0	5,3	0	0	6,6	6,6
	Уровни звукового давления от источника в расчётной точке ночью	0	6,9	0,6	0	0	0	5,3	0	0	6,6	6,6
ИШ-6. Ворота бойлерной котельной	Уровни звукового давления от источника в расчётной точке днём	0	0	0	0	0	0	0	0	0	0	0
	Уровни звукового давления от источника в расчётной точке ночью	0	0	0	0	0	0	0	0	0	0	0
ИШ-7. Ворота котельной	Уровни звукового давления от источника в расчётной точке днём	0	11,2	7	0,3	0	0	0	0	0	0	0
	Уровни звукового давления от источника в расчётной точке ночью	0	11,2	7	0,3	0	0	0	0	0	0	0
ИШ-8. Оконный проём котельной	Уровни звукового давления от источника в расчётной точке днём	0	17,3	12,5	4,6	0,7	0	0	0	0	1,8	1,8
	Уровни звукового давления от источника в расчётной точке ночью	0	17,3	12,5	4,6	0,7	0	0	0	0	1,8	1,8
ИШ-9. Фасад ТЭЦ	Уровни звукового давления от источника в расчётной точке днём	0	3,8	0	0	0	0	0	0	0	0	0
	Уровни звукового давления от источника в расчётной точке ночью	0	3,8	0	0	0	0	0	0	0	0	0
ИШ-10. Оконный проём котельной	Уровни звукового давления от источника в расчётной точке днём	0	0	0	0	0	0	0	0	0	0	0
	Уровни звукового давления от источника в расчётной точке ночью	0	0	0	0	0	0	0	0	0	0	0
ИШ-11. Ворота КВО	Уровни звукового давления от источника в расчётной точке днём	0	38,2	35,3	33,1	36,7	46,4	36,6	32,4	23,3	47,3	47,3
	Уровни звукового давления от источника в расчётной точке ночью	0	38,2	35,3	33,1	36,7	46,4	36,6	32,4	23,3	47,3	47,3
ИШ-12. Глушитель №1	Уровни звукового давления от источника в расчётной точке днём	0	35,4	33,6	28,6	35,7	24,7	21,4	9,6	0	33,9	33,9
	Уровни звукового давления от источника в расчётной точке ночью	0	35,4	33,6	28,6	35,7	24,7	21,4	9,6	0	33,9	33,9
ИШ-13. Воздушные трубы КВО	Уровни звукового давления от источника в расчётной точке днём	0	58,2	54,9	45,9	37,7	30,8	25,3	16,5	3,1	42,8	42,8
	Уровни звукового давления от источника в расчётной точке ночью	0	58,2	54,9	45,9	37,7	30,8	25,3	16,5	3,1	42,8	42,8
ИШ-14. Глушитель №2	Уровни звукового давления от источника в расчётной точке днём	0	47,2	39,9	35,1	38,3	46,2	44,6	35,3	8,6	49,4	49,4
	Уровни звукового давления от источника в расчётной точке ночью	0	47,2	39,9	35,1	38,3	46,2	44,6	35,3	8,6	49,4	49,4
ИШ-15. Нагнетатель камеры всаса	Уровни звукового давления от источника в расчётной точке днём	0	43,6	39,6	29,4	25,6	19,2	11,7	0	0	28,3	28,3
	Уровни звукового давления от источника в расчётной точке ночью	0	43,6	39,6	29,4	25,6	19,2	11,7	0	0	28,3	28,3
ИШ-16. Клапан кислородных баллонов	Уровни звукового давления от источника в расчётной точке днём	0	63	62,1	55,5	49,8	45,3	40,6	34,3	24,3	52,8	52,8
	Уровни звукового давления от источника в расчётной точке ночью	0	63	62,1	55,5	49,8	45,3	40,6	34,3	24,3	52,8	52,8
ИШ-17. Нагнетатель камеры всаса	Уровни звукового давления от источника в расчётной точке днём	0	48	43,4	33,9	26	19,9	14	6,4	0	31,3	31,3
	Уровни звукового давления от источника в расчётной точке ночью	0	48	43,4	33,9	26	19,9	14	6,4	0	31,3	31,3
ИШ-18. Газовые трубы	Уровни звукового давления от источника в расчётной точке днём	0	29,8	28,5	21,2	14,1	7,8	0	0	0	17,5	17,5
	Уровни звукового давления от источника в расчётной точке ночью	0	29,8	28,5	21,2	14,1	7,8	0	0	0	17,5	17,5
ИШ-19. Трансформатор ЦЭН	Уровни звукового давления от источника в расчётной точке днём	0	28,2	24,2	14,2	4,8	0	0	0	0	11,2	11,2
	Уровни звукового давления от источника в расчётной точке ночью	0	28,2	24,2	14,2	4,8	0	0	0	0	11,2	11,2
ИШ-20. Трансформатор ЦЭН	Уровни звукового давления от источника в расчётной точке днём	0	32,1	28,1	18,1	8,7	2,8	0	0	0	15,3	15,3
	Уровни звукового давления от источника в расчётной точке ночью	0	32,1	28,1	18,1	8,7	2,8	0	0	0	15,3	15,3
ИШ-21. Трансформатор ЦЭН	Уровни звукового давления от источника в расчётной точке днём	0	32,1	28,1	18,1	8,7	2,8	0	0	0	15,3	15,3
	Уровни звукового давления от источника в расчётной точке ночью	0	32,1	28,1	18,1	8,7	2,8	0	0	0	15,3	15,3
ИШ-22. Трансформатор ЦЭН	Уровни звукового давления от источника в расчётной точке днём	0	29,4	32,4	23,2	14	4,5	0	0	0	19,5	19,5
	Уровни звукового давления от источника в расчётной точке ночью	0	29,4	32,4	23,2	14	4,5	0	0	0	19,5	19,5
ИШ-23. Трансформатор ЦЭН	Уровни звукового давления от источника в расчётной точке днём	0	29,3	32,3	23,2	14	4,5	0	0	0	19,4	19,4

1	2	3	4	5	6	7	8	9	10	11	12	13
ИШ-47. В5 здания химводоподготовки	Уровни звукового давления от источника в расчётной точке днём	0	0	0	0	0,4	0	0	0	0	0	0
	Уровни звукового давления от источника в расчётной точке ночью	0	0	0	0	0	0	0	0	0	0	0
ИШ-48. П5 энергетической котельной	Уровни звукового давления от источника в расчётной точке днём	0	13,8	17,5	26,4	29,5	23,7	15,3	0	0	28,9	28,9
	Уровни звукового давления от источника в расчётной точке ночью	0	0	0	0	0	0	0	0	0	0	0
ИШ-50. П2 ТЭЦ и котельная, спортивно-оздоровительный комплекс	Уровни звукового давления от источника в расчётной точке днём	0	0	0	0	0	0	0	0	0	0	0
	Уровни звукового давления от источника в расчётной точке ночью	0	0	0	0	0	0	0	0	0	0	0
ИШ-51. В1 зданий ТЭЦ и котельной	Уровни звукового давления от источника в расчётной точке днём	0	0	0	0	0	0	0	0	0	0	0
	Уровни звукового давления от источника в расчётной точке ночью	0	0	0	0	0	0	0	0	0	0	0
ИШ-53. В4 химлаборатория	Уровни звукового давления от источника в расчётной точке днём	0	1,4	0	0	0	0	0	0	0	0	0
	Уровни звукового давления от источника в расчётной точке ночью	0	0	0	0	0	0	0	0	0	0	0
ИШ-54. В5 химлаборатории	Уровни звукового давления от источника в расчётной точке днём	0	3,1	1	0	0	0	0	0	0	0	0
	Уровни звукового давления от источника в расчётной точке ночью	0	0	0	0	0	0	0	0	0	0	0
ИШ-55. П1 водогрейной котельной	Уровни звукового давления от источника в расчётной точке днём	0	0	0	0	0	0	0	0	0	0	0
	Уровни звукового давления от источника в расчётной точке ночью	0	0	0	0	0	0	0	0	0	0	0
ИШ-56. П1 водогрейной котельной	Уровни звукового давления от источника в расчётной точке днём	0	0	0	0	0	0	0	0	0	0	0
	Уровни звукового давления от источника в расчётной точке ночью	0	0	0	0	0	0	0	0	0	0	0
ИШ-57. В1 водогрейной котельной	Уровни звукового давления от источника в расчётной точке днём	0	0	0	0	0	0	0	0	0	0	0
	Уровни звукового давления от источника в расчётной точке ночью	0	0	0	0	0	0	0	0	0	0	0
ИШ-58. П1 мазутонасосной №1	Уровни звукового давления от источника в расчётной точке днём	0	0	1,7	11,9	2,6	0	0	0	0	4,8	4,8
	Уровни звукового давления от источника в расчётной точке ночью	0	0	1,7	11,9	2,6	0	0	0	0	4,8	4,8
ИШ-59. В1 мазутонасосной №1	Уровни звукового давления от источника в расчётной точке днём	0	0	0	11,3	3,2	0	0	0	0	4,6	4,6
	Уровни звукового давления от источника в расчётной точке ночью	0	0	0	11,3	3,2	0	0	0	0	4,6	4,6
ИШ-60. П1 мазутонасосной №2	Уровни звукового давления от источника в расчётной точке днём	0	0	1,6	11,9	2,5	0	0	0	0	4,8	4,8
	Уровни звукового давления от источника в расчётной точке ночью	0	0	1,6	11,9	2,5	0	0	0	0	4,8	4,8
ИШ-61. В1 мазутонасосной №2	Уровни звукового давления от источника в расчётной точке днём	0	0	0	11,3	3,1	0	0	0	0	4,5	4,5
	Уровни звукового давления от источника в расчётной точке ночью	0	0	0	11,3	3,1	0	0	0	0	4,5	4,5
ИШ-62. П1 мазутонасосной №4	Уровни звукового давления от источника в расчётной точке днём	0	10,7	11,5	17	10,5	3,8	0	0	0	11,8	11,8
	Уровни звукового давления от источника в расчётной точке ночью	0	10,7	11,5	17	10,5	3,8	0	0	0	11,8	11,8
ИШ-63. П3 мазутонасосной №4	Уровни звукового давления от источника в расчётной точке днём	0	0	3,7	7,9	6	4,3	0	0	0	7,4	7,4
	Уровни звукового давления от источника в расчётной точке ночью	0	0	3,7	7,9	6	4,3	0	0	0	7,4	7,4
ИШ-64. В1 мазутонасосной №4	Уровни звукового давления от источника в расчётной точке днём	0	9,7	11,6	17,8	12	5,3	0	0	0	12,9	12,9
	Уровни звукового давления от источника в расчётной точке ночью	0	9,7	11,6	17,8	12	5,3	0	0	0	12,9	12,9
ИШ-65. В2 мазутонасосной №4	Уровни звукового давления от источника в расчётной точке днём	0	0	0	0	0	0	0	0	0	0	0
	Уровни звукового давления от источника в расчётной точке ночью	0	0	0	0	0	0	0	0	0	0	0
ИШ-66. П5 КВО женская преддушевая	Уровни звукового давления от источника в расчётной точке днём	0	0	0	0	0	6,9	0	0	0	6,9	6,9
	Уровни звукового давления от источника в расчётной точке ночью	0	0	0	0	0	6,9	0	0	0	6,9	6,9
ИШ-67. П6 КВО мужской гардероб	Уровни звукового давления от источника в расчётной точке днём	0	0	0	6,7	3,8	4,8	0	0	0	6,8	6,8
	Уровни звукового давления от источника в расчётной точке ночью	0	0	0	6,7	3,8	4,8	0	0	0	6,8	6,8
ИШ-68. П9 КВО приемная блока КА-15	Уровни звукового давления от источника в расчётной точке днём	0	0	0	7,2	4,3	5,3	0	0	0	7,3	7,3

1	2	3	4	5	6	7	8	9	10	11	12	13
ИШ-68. П2 КВО приямки блока ПЧ-23	Уровни звукового давления от источника в расчётной точке ночью	0	0	0	7,2	4,3	5,3	0	0	0	7,3	7,3
ИШ-69. П 11 склад КВО	Уровни звукового давления от источника в расчётной точке днём	0	13,1	10,8	9,4	7,7	6,1	0	0	0	9,3	9,3
	Уровни звукового давления от источника в расчётной точке ночью	0	13,1	10,8	9,4	7,7	6,1	0	0	0	9,3	9,3
ИШ-70. В24 сварочной мастерской	Уровни звукового давления от источника в расчётной точке днём	0	0	0	0	0	0	0	0	0	0	0
	Уровни звукового давления от источника в расчётной точке ночью	0	0	0	0	0	0	0	0	0	0	0
ИШ-71. Крышный АЗКС	Уровни звукового давления от источника в расчётной точке днём	0	31,9	34,9	28,3	26,3	20	11,1	0	0	27	27
	Уровни звукового давления от источника в расчётной точке ночью	0	31,9	34,9	28,3	26,3	20	11,1	0	0	27	27
ИШ-72. Крышный АЗКС	Уровни звукового давления от источника в расчётной точке днём	0	32,1	35,1	28,6	26,6	20,3	11,4	0,4	0	27,2	27,2
	Уровни звукового давления от источника в расчётной точке ночью	0	32,1	35,1	28,6	26,6	20,3	11,4	0,4	0	27,2	27,2
ИШ-73. Крышный АЗКС	Уровни звукового давления от источника в расчётной точке днём	0	32,4	35,4	28,9	26,9	20,7	11,7	0,8	0	27,5	27,5
	Уровни звукового давления от источника в расчётной точке ночью	0	32,4	35,4	28,9	26,9	20,7	11,7	0,8	0	27,5	27,5
ИШ-74. Крышный АЗКС	Уровни звукового давления от источника в расчётной точке днём	0	32,6	35,6	29,1	27,2	20,9	11,9	1,2	0	27,8	27,8
	Уровни звукового давления от источника в расчётной точке ночью	0	32,6	35,6	29,1	27,2	20,9	11,9	1,2	0	27,8	27,8
ИШ-75. Крышный АЗКС	Уровни звукового давления от источника в расчётной точке днём	0	32,9	35,9	29,4	27,4	21,2	12,2	1,5	0	28,1	28,1
	Уровни звукового давления от источника в расчётной точке ночью	0	32,9	35,9	29,4	27,4	21,2	12,2	1,5	0	28,1	28,1
ИШ-76. Крышный АЗКС	Уровни звукового давления от источника в расчётной точке днём	0	33,2	36,2	29,7	27,8	21,6	12,6	2	0	28,4	28,4
	Уровни звукового давления от источника в расчётной точке ночью	0	33,2	36,2	29,7	27,8	21,6	12,6	2	0	28,4	28,4
ИШ-77. В1 КРП 3 зал	Уровни звукового давления от источника в расчётной точке днём	0	3,3	6,4	21,8	20,7	16,6	7	0,1	0	21,2	21,2
	Уровни звукового давления от источника в расчётной точке ночью	0	3,3	6,4	21,8	20,7	16,6	7	0,1	0	21,2	21,2
ИШ-78. В2 КРП 3 зал	Уровни звукового давления от источника в расчётной точке днём	0	13,2	17,2	27,7	24,6	21,9	17,7	8,9	0	26,7	26,7
	Уровни звукового давления от источника в расчётной точке ночью	0	13,2	17,2	27,7	24,6	21,9	17,7	8,9	0	26,7	26,7
ИШ-79. П1 помещения приготовления краски, окраски и сушки баллонов	Уровни звукового давления от источника в расчётной точке днём	0	0	0	4,8	0	0	0	0	0	0	0
	Уровни звукового давления от источника в расчётной точке ночью	0	0	0	4,8	0	0	0	0	0	0	0
ИШ-80. П2 наполнительная азота	Уровни звукового давления от источника в расчётной точке днём	0	0	0	0	0	0	0	0	0	0	0
	Уровни звукового давления от источника в расчётной точке ночью	0	0	0	0	0	0	0	0	0	0	0
ИШ-81. П3 склад наполненных и порожних баллонов	Уровни звукового давления от источника в расчётной точке днём	0	0	0	1,9	0	0	0	0	0	0	0
	Уровни звукового давления от источника в расчётной точке ночью	0	0	0	1,9	0	0	0	0	0	0	0
ИШ-82. П4 бытовые помещения	Уровни звукового давления от источника в расчётной точке днём	0	0	0	0	0	0	0	0	0	0	0
	Уровни звукового давления от источника в расчётной точке ночью	0	0	0	0	0	0	0	0	0	0	0
ИШ-83. П5 помещение приготовления краски	Уровни звукового давления от источника в расчётной точке днём	0	0	0	0	0	0	0	0	0	0	0
	Уровни звукового давления от источника в расчётной точке ночью	0	0	0	0	0	0	0	0	0	0	0
ИШ-84. В2 помещения окраски	Уровни звукового давления от источника в расчётной точке днём	0	0	0	0,3	0	0	0	0	0	0	0
	Уровни звукового давления от источника в расчётной точке ночью	0	0	0	0	0	0	0	0	0	0	0
ИШ-85. В3 помещения сушки баллонов	Уровни звукового давления от источника в расчётной точке днём	0	0	0	0	0	0	0	0	0	0	0
	Уровни звукового давления от источника в расчётной точке ночью	0	0	0	0	0	0	0	0	0	0	0
ИШ-86. В3-1 баллононаполнительная станция	Уровни звукового давления от источника в расчётной точке днём	0	15,7	12,7	17,4	8,8	0,2	0	0	0	11,1	11,1
	Уровни звукового давления от источника в расчётной точке ночью	0	15,7	12,7	17,4	8,8	0,2	0	0	0	11,1	11,1
ИШ-87. В3-2 баллононаполнительной станции	Уровни звукового давления от источника в расчётной точке днём	0	14,7	11,7	16,5	7,9	0	0	0	0	9,8	9,8
	Уровни звукового давления от источника в расчётной точке ночью	0	14,7	11,7	16,5	7,9	0	0	0	0	9,8	9,8

1	2	3	4	5	6	7	8	9	10	11	12	13
ИШ-88. ВЗ-3 баллононаполнительная станция	Уровни звукового давления от источника в расчётной точке днём	0	17,5	14,6	19,3	10,7	0	0	0	0	12,6	12,6
	Уровни звукового давления от источника в расчётной точке ночью	0	17,5	14,6	19,3	10,7	0	0	0	0	12,6	12,6
ИШ-96. П1 ВДС№2	Уровни звукового давления от источника в расчётной точке днём	0	6,6	10,5	10,5	8,1	0	0	0	0	6,9	6,9
	Уровни звукового давления от источника в расчётной точке ночью	0	6,6	10,5	10,5	8,1	0	0	0	0	6,9	6,9
ИШ-97. П2 ВДС№2	Уровни звукового давления от источника в расчётной точке днём	0	0	0	1,2	0	0	0	0	0	0	0
	Уровни звукового давления от источника в расчётной точке ночью	0	0	0	1,2	0	0	0	0	0	0	0
ИШ-98. ПЗ ВДС№2	Уровни звукового давления от источника в расчётной точке днём	0	0	0	1,1	0	0	0	0	0	0	0
	Уровни звукового давления от источника в расчётной точке ночью	0	0	0	1,1	0	0	0	0	0	0	0
ИШ-99. П4 ВДС№2	Уровни звукового давления от источника в расчётной точке днём	0	0	0	9,5	2,1	0	0	0	0	3,1	3,1
	Уровни звукового давления от источника в расчётной точке ночью	0	0	0	9,5	2,1	0	0	0	0	3,1	3,1
ИШ-100. П5 ВДС№2	Уровни звукового давления от источника в расчётной точке днём	0	0	0	1,4	0	0	0	0	0	0	0
	Уровни звукового давления от источника в расчётной точке ночью	0	0	0	1,4	0	0	0	0	0	0	0
ИШ-101. П1 лаб.корпуса	Уровни звукового давления от источника в расчётной точке днём	0	7,6	14,6	27,6	21,4	15,3	10,2	0	0	22,9	22,9
	Уровни звукового давления от источника в расчётной точке ночью	0	7,6	14,6	27,6	21,4	15,3	10,2	0	0	22,9	22,9
ИШ-102. П2 лаб.корпуса	Уровни звукового давления от источника в расчётной точке днём	0	6,2	12,2	23	14,1	5,2	0	0	0	16,4	16,4
	Уровни звукового давления от источника в расчётной точке ночью	0	6,2	12,2	23	14,1	5,2	0	0	0	16,4	16,4
ИШ-103. П1 электрорем.корпуса	Уровни звукового давления от источника в расчётной точке днём	0	9,1	13,6	26,1	19,2	12,4	6,3	0	0	20,8	20,8
	Уровни звукового давления от источника в расчётной точке ночью	0	9,1	13,6	26,1	19,2	12,4	6,3	0	0	20,8	20,8
ИШ-104. ПЗ электрорем.корпуса	Уровни звукового давления от источника в расчётной точке днём	0	15,1	19,3	18,8	16,8	12,8	6,9	0	0	17,8	17,8
	Уровни звукового давления от источника в расчётной точке ночью	0	15,1	19,3	18,8	16,8	12,8	6,9	0	0	17,8	17,8
ИШ-106. В10 электрорем.корпуса	Уровни звукового давления от источника в расчётной точке днём	0	15,4	17,2	25,3	12,1	0,6	0	0	0	17,6	17,6
	Уровни звукового давления от источника в расчётной точке ночью	0	15,4	17,2	25,3	12,1	0,6	0	0	0	17,6	17,6
ИШ-105. П5 электрорем.корпуса	Уровни звукового давления от источника в расчётной точке днём	0	14,7	18,7	17,9	15,5	11,1	4,9	0	0	16,5	16,5
	Уровни звукового давления от источника в расчётной точке ночью	0	14,7	18,7	17,9	15,5	11,1	4,9	0	0	16,5	16,5
ИШ-107. В1 пп14	Уровни звукового давления от источника в расчётной точке днём	0	0	3,8	10,7	10,4	9,8	3,5	0	0	12,9	12,9
	Уровни звукового давления от источника в расчётной точке ночью	0	0	3,8	10,7	10,4	9,8	3,5	0	0	12,9	12,9
ИШ-108. В2 пп14	Уровни звукового давления от источника в расчётной точке днём	0	0	2,3	9,3	8,9	8,3	3,3	0	0	11,6	11,6
	Уровни звукового давления от источника в расчётной точке ночью	0	0	2,3	9,3	8,9	8,3	3,3	0	0	11,6	11,6
ИШ-111. В3 пп14	Уровни звукового давления от источника в расчётной точке днём	0	0	0	0	0	0	0	0	0	0	0
	Уровни звукового давления от источника в расчётной точке ночью	0	0	0	0	0	0	0	0	0	0	0
ИШ-112. В4 пп14	Уровни звукового давления от источника в расчётной точке днём	0	0	0	0	0	0	0	0	0	0	0
	Уровни звукового давления от источника в расчётной точке ночью	0	0	0	0	0	0	0	0	0	0	0
ИШ-113. В5 пп14	Уровни звукового давления от источника в расчётной точке днём	0	0	0	1,8	0,7	0	0	0	0	0	0
	Уровни звукового давления от источника в расчётной точке ночью	0	0	0	1,8	0,7	0	0	0	0	0	0
ИШ-114. П1 пп14	Уровни звукового давления от источника в расчётной точке днём	0	0	0	5,4	4,5	6,3	0	0	0	7,8	7,8
	Уровни звукового давления от источника в расчётной точке ночью	0	0	0	5,4	4,5	6,3	0	0	0	7,8	7,8
ИШ-115. П2 пп14	Уровни звукового давления от источника в расчётной точке днём	0	0	0	5,5	4,4	6,2	0	0	0	7,7	7,7
	Уровни звукового давления от источника в расчётной точке ночью	0	0	0	5,5	4,4	6,2	0	0	0	7,7	7,7
ИШ-116. ПЗ пп14	Уровни звукового давления от источника в расчётной точке днём	0	0	0	5,4	4,3	3,7	0	0	0	6,2	6,2

1	2	3	4	5	6	7	8	9	10	11	12	13
ИШ-110. П2 ПП8	Уровни звукового давления от источника в расчётной точке ночью	0	0	0	5,4	4,3	3,7	0	0	0	6,2	6,2
ИШ-117. П1 РП8	Уровни звукового давления от источника в расчётной точке днём	0	0	0	0	0	0	0	0	0	0	0
	Уровни звукового давления от источника в расчётной точке ночью	0	0	0	0	0	0	0	0	0	0	0
ИШ-118. П1 АБК ЦСП	Уровни звукового давления от источника в расчётной точке днём	0	0	0	9,1	0	3,9	0	0	0	5,5	5,5
	Уровни звукового давления от источника в расчётной точке ночью	0	0	0	9,1	0	3,9	0	0	0	5,5	5,5
ИШ-119. П8 АБК А и Э УРЭ	Уровни звукового давления от источника в расчётной точке днём	0	0	0	0	0	0	0	0	0	0	0
	Уровни звукового давления от источника в расчётной точке ночью	0	0	0	0	0	0	0	0	0	0	0
ИШ-120. П2 РП8	Уровни звукового давления от источника в расчётной точке днём	0	0	0	0	0	0	0	0	0	0	0
	Уровни звукового давления от источника в расчётной точке ночью	0	0	0	0	0	0	0	0	0	0	0
ИШ-122. В1 РП8 аккумуляторная	Уровни звукового давления от источника в расчётной точке днём	0	0	0	0	0	0	0	0	0	0	0
	Уровни звукового давления от источника в расчётной точке ночью	0	0	0	0	0	0	0	0	0	0	0
ИШ-123. В1 лаб.корпуса	Уровни звукового давления от источника в расчётной точке днём	0	7,5	8,2	17,4	8,2	0	0	0	0	10,4	10,4
	Уровни звукового давления от источника в расчётной точке ночью	0	7,5	8,2	17,4	8,2	0	0	0	0	10,4	10,4
ИШ-124. В1 ЦСП	Уровни звукового давления от источника в расчётной точке днём	0	0	0	13,7	7	0	0	0	0	7,5	7,5
	Уровни звукового давления от источника в расчётной точке ночью	0	0	0	13,7	7	0	0	0	0	7,5	7,5
ИШ-125. В1 ЦСП, бытовые помещения	Уровни звукового давления от источника в расчётной точке днём	0	0	0	10	2,8	0	0	0	0	3,6	3,6
	Уровни звукового давления от источника в расчётной точке ночью	0	0	0	10	2,8	0	0	0	0	3,6	3,6
ИШ-126. В31 электроремонт, АБК	Уровни звукового давления от источника в расчётной точке днём	0	0	0	0	0	0	0	0	0	0	0
	Уровни звукового давления от источника в расчётной точке ночью	0	0	0	0	0	0	0	0	0	0	0
ИШ-127. В6 электроремонт, пом. отжига проводов	Уровни звукового давления от источника в расчётной точке днём	0	0	0	0	0	0	0	0	0	0	0
	Уровни звукового давления от источника в расчётной точке ночью	0	0	0	0	0	0	0	0	0	0	0
ИШ-128. В2, электроремонт, пом.отжига проводов	Уровни звукового давления от источника в расчётной точке днём	0	1,4	0,9	5,7	0	0	0	0	0	0	0
	Уровни звукового давления от источника в расчётной точке ночью	0	1,4	0,9	5,7	0	0	0	0	0	0	0
ИШ-129. В3, электроремонт, пом.отжига проводов	Уровни звукового давления от источника в расчётной точке днём	0	0	0	0	0	0	0	0	0	0	0
	Уровни звукового давления от источника в расчётной точке ночью	0	0	0	0	0	0	0	0	0	0	0
ИШ-130. В5 электроремонт, пом.отжига проводов	Уровни звукового давления от источника в расчётной точке днём	0	0	0	0	0	0	0	0	0	0	0
	Уровни звукового давления от источника в расчётной точке ночью	0	0	0	0	0	0	0	0	0	0	0
ИШ-131. В7 электроремонт, столярная мастерская	Уровни звукового давления от источника в расчётной точке днём	0	10,4	12,1	12,9	9	5,7	5,5	0	0	11,8	11,8
	Уровни звукового давления от источника в расчётной точке ночью	0	10,4	12,1	12,9	9	5,7	5,5	0	0	11,8	11,8
ИШ-132. В13 электроремонт, пом. отмачивания эл.двигателей	Уровни звукового давления от источника в расчётной точке днём	0	0	0	0	0	0	0	0	0	0	0
	Уровни звукового давления от источника в расчётной точке ночью	0	0	0	0	0	0	0	0	0	0	0
ИШ-133. В15 электроремонт, камера обеспыливания	Уровни звукового давления от источника в расчётной точке днём	0	19,4	20,9	19,7	9,4	1,6	0	0	0	13,4	13,4
	Уровни звукового давления от источника в расчётной точке ночью	0	19,4	20,9	19,7	9,4	1,6	0	0	0	13,4	13,4
ИШ-134. электроремонт, пом. разборки и мойки эл.двиг	Уровни звукового давления от источника в расчётной точке днём	0	12,2	14,3	17,1	14,7	0,9	0	0	0	13,6	13,6
	Уровни звукового давления от источника в расчётной точке ночью	0	12,2	14,3	17,1	14,7	0,9	0	0	0	13,6	13,6
ИШ-135. В18 электроремонт, пом.отмачивания двигателей	Уровни звукового давления от источника в расчётной точке днём	0	5,4	6,6	9,4	8	1	0	0	0	7,5	7,5
	Уровни звукового давления от источника в расчётной точке ночью	0	5,4	6,6	9,4	8	1	0	0	0	7,5	7,5
ИШ-136. В35 РП-70	Уровни звукового давления от источника в расчётной точке днём	0	1,4	12,4	13,8	15	4,9	0	0	0	13,4	13,4
	Уровни звукового давления от источника в расчётной точке ночью	0	1,4	12,4	13,8	15	4,9	0	0	0	13,4	13,4

1	2	3	4	5	6	7	8	9	10	11	12	13
ИШ-137. В36 РП-70	Уровни звукового давления от источника в расчётной точке днём	0	1,2	12,3	13,7	15	4,9	0	0	0	13,4	13,4
	Уровни звукового давления от источника в расчётной точке ночью	0	1,2	12,3	13,7	15	4,9	0	0	0	13,4	13,4
ИШ-138. В37 РП-70	Уровни звукового давления от источника в расчётной точке днём	0	1,3	5,4	6	6,8	0	0	0	0	4,7	4,7
	Уровни звукового давления от источника в расчётной точке ночью	0	1,3	5,4	6	6,8	0	0	0	0	4,7	4,7
ИШ-139. В38 РП-70	Уровни звукового давления от источника в расчётной точке днём	0	1,3	10,6	11,4	12,3	1,4	0	0	0	10,7	10,7
	Уровни звукового давления от источника в расчётной точке ночью	0	1,3	10,6	11,4	12,3	1,4	0	0	0	10,7	10,7
ИШ-140. гидрометаллургическое отд.ЦЭН	Уровни звукового давления от источника в расчётной точке днём	0	24,2	18,9	24,5	30,5	28	21,8	7,1	0	31,5	31,5
	Уровни звукового давления от источника в расчётной точке ночью	0	24,2	18,9	24,5	30,5	28	21,8	7,1	0	31,5	31,5
ИШ-141. Окно ГМО-2	Уровни звукового давления от источника в расчётной точке днём	0	32,8	32,4	19,1	3,9	0	0	0	0	17,7	17,7
	Уровни звукового давления от источника в расчётной точке ночью	0	32,8	32,4	19,1	3,9	0	0	0	0	17,7	17,7
ИШ-142. Ворота ГМО-2	Уровни звукового давления от источника в расчётной точке днём	0	21,2	14,3	2,1	0	0	0	0	0	0,8	0,8
	Уровни звукового давления от источника в расчётной точке ночью	0	21,2	14,3	2,1	0	0	0	0	0	0,8	0,8
ИШ-143. Ворота мастерских слесарей	Уровни звукового давления от источника в расчётной точке днём	0	0	0	0	0	0	0	0	0	0	0
	Уровни звукового давления от источника в расчётной точке ночью	0	0	0	0	0	0	0	0	0	0	0
ИШ-144. Окно ГМО-2	Уровни звукового давления от источника в расчётной точке днём	0	0	0	0	0	0	0	0	0	0	0
	Уровни звукового давления от источника в расчётной точке ночью	0	0	0	0	0	0	0	0	0	0	0
ИШ-145. Окно ГМО-2	Уровни звукового давления от источника в расчётной точке днём	0	15,5	13,5	11,3	0	0	0	0	0	3,9	3,9
	Уровни звукового давления от источника в расчётной точке ночью	0	15,5	13,5	11,3	0	0	0	0	0	3,9	3,9
ИШ-146. Окно электролизного отделения	Уровни звукового давления от источника в расчётной точке днём	0	21,4	27,5	14,7	0	0	0	0	0	12,6	12,6
	Уровни звукового давления от источника в расчётной точке ночью	0	21,4	27,5	14,7	0	0	0	0	0	12,6	12,6
ИШ-147. Окно ЭО, помещение электролиза ванн	Уровни звукового давления от источника в расчётной точке днём	0	11,9	7,6	0	0	0	0	0	0	0	0
	Уровни звукового давления от источника в расчётной точке ночью	0	11,9	7,6	0	0	0	0	0	0	0	0
ИШ-148. Окно ЭО, пробоотборочная	Уровни звукового давления от источника в расчётной точке днём	0	0	0	0	0	0	0	0	0	0	0
	Уровни звукового давления от источника в расчётной точке ночью	0	0	0	0	0	0	0	0	0	0	0
ИШ-149. Ворота ЭО, помещение резки никеля	Уровни звукового давления от источника в расчётной точке днём	0	0	0	0	0	0	0	0	0	0	0
	Уровни звукового давления от источника в расчётной точке ночью	0	0	0	0	0	0	0	0	0	0	0
ИШ-151. ЖР ЭО, помещение резки никеля	Уровни звукового давления от источника в расчётной точке днём	0	3,8	3,6	4,5	8,6	7,6	0,1	0	0	10,4	10,4
	Уровни звукового давления от источника в расчётной точке ночью	0	3,8	3,6	4,5	8,6	7,6	0,1	0	0	10,4	10,4
ИШ-152. Окно ЭО, помещение резки никеля	Уровни звукового давления от источника в расчётной точке днём	0	6,1	5,4	0	0	0	0	0	0	0	0
	Уровни звукового давления от источника в расчётной точке ночью	0	6,1	5,4	0	0	0	0	0	0	0	0
ИШ-153. Окно расходный склад хлора	Уровни звукового давления от источника в расчётной точке днём	0	19,4	15,7	1,2	0	0	0	0	0	1,2	1,2
	Уровни звукового давления от источника в расчётной точке ночью	0	19,4	15,7	1,2	0	0	0	0	0	1,2	1,2
ИШ-154. Ворота РСХ	Уровни звукового давления от источника в расчётной точке днём	0	9,1	1,6	0	0	0	0	0	0	0	0
	Уровни звукового давления от источника в расчётной точке ночью	0	9,1	1,6	0	0	0	0	0	0	0	0
ИШ-155. Окно компрессорной	Уровни звукового давления от источника в расчётной точке днём	0	23,6	18,7	3,6	0	0	0	0	0	4,3	4,3
	Уровни звукового давления от источника в расчётной точке ночью	0	23,6	18,7	3,6	0	0	0	0	0	4,3	4,3
ИШ-156. Окно ГМО ЦЭН-2, район Fe-очистки	Уровни звукового давления от источника в расчётной точке днём	0	25,2	25,6	13	0	0	0	0	0	11	11
	Уровни звукового давления от источника в расчётной точке ночью	0	25,2	25,6	13	0	0	0	0	0	11	11
ИШ-157. Ворота ГМО ЦЭН-2, район Fe-	Уровни звукового давления от источника в расчётной точке днём	0	13,1	7,9	0	0	0	0	0	0	0	0

1	2	3	4	5	6	7	8	9	10	11	12	13
очистки	Уровни звукового давления от источника в расчётной точке ночью	0	13,1	7,9	0	0	0	0	0	0	0	0
ИШ-158. Окно ГМО ЦЭН-2, район Со- очистки	Уровни звукового давления от источника в расчётной точке днём	0	21,5	26,3	17,8	0,8	0	0	0	0	12,9	12,9
	Уровни звукового давления от источника в расчётной точке ночью	0	21,5	26,3	17,8	0,8	0	0	0	0	12,9	12,9
ИШ-159. Ворота ГМО ЦЭН-2, район Со- очистки	Уровни звукового давления от источника в расчётной точке днём	0	21,3	20	10,6	0	0	0	0	0	6,4	6,4
	Уровни звукового давления от источника в расчётной точке ночью	0	21,3	20	10,6	0	0	0	0	0	6,4	6,4
ИШ-160. Окно ГМО ЦЭН-2, район Си- очистки	Уровни звукового давления от источника в расчётной точке днём	0	27,7	29,2	20,3	6,6	0	0	0	0	15,9	15,9
	Уровни звукового давления от источника в расчётной точке ночью	0	27,7	29,2	20,3	6,6	0	0	0	0	15,9	15,9
ИШ-161. Окно ГМО концентратный передел	Уровни звукового давления от источника в расчётной точке днём	0	31,9	35,8	24,4	10,7	0	0	0	0	21,5	21,5
	Уровни звукового давления от источника в расчётной точке ночью	0	31,9	35,8	24,4	10,7	0	0	0	0	21,5	21,5
ИШ-162. Окно ГМО, концентратный передел	Уровни звукового давления от источника в расчётной точке днём	0	25,7	24,9	21,3	7,2	0	0	0	0	14,7	14,7
	Уровни звукового давления от источника в расчётной точке ночью	0	25,7	24,9	21,3	7,2	0	0	0	0	14,7	14,7
ИШ-163. Окно ГМО карбонатный передел	Уровни звукового давления от источника в расчётной точке днём	0	27,5	28,4	16,3	0	0	0	0	0	13,8	13,8
	Уровни звукового давления от источника в расчётной точке ночью	0	27,5	28,4	16,3	0	0	0	0	0	13,8	13,8
ИШ-164. Окно ГМО, мастерская слесарей	Уровни звукового давления от источника в расчётной точке днём	0	20,6	22,4	14,7	0,3	0	0	0	0	9,6	9,6
	Уровни звукового давления от источника в расчётной точке ночью	0	20,6	22,4	14,7	0,3	0	0	0	0	9,6	9,6
ИШ-165. Окно ГМО район под свечевыми фильтрами	Уровни звукового давления от источника в расчётной точке днём	0	17,7	14,6	1	0	0	0	0	0	0,1	0,1
	Уровни звукового давления от источника в расчётной точке ночью	0	17,7	14,6	1	0	0	0	0	0	0,1	0,1
ИШ-166. Окно ГМО район репульпаторов	Уровни звукового давления от источника в расчётной точке днём	0	7,5	8,9	0	0	0	0	0	0	0	0
	Уровни звукового давления от источника в расчётной точке ночью	0	7,5	8,9	0	0	0	0	0	0	0	0
ИШ-167. Окно ГМО проход у пачуков	Уровни звукового давления от источника в расчётной точке днём	0	16,1	17,3	5,7	0	0	0	0	0	2,9	2,9
	Уровни звукового давления от источника в расчётной точке ночью	0	16,1	17,3	5,7	0	0	0	0	0	2,9	2,9
ИШ-168. ЦПУ, машинный зал	Уровни звукового давления от источника в расчётной точке днём	0	17,5	18,3	10,7	0	0	0	0	0	5,3	5,3
	Уровни звукового давления от источника в расчётной точке ночью	0	17,5	18,3	10,7	0	0	0	0	0	5,3	5,3
ИШ-169. Ворота ЦПУ, машинный зал	Уровни звукового давления от источника в расчётной точке днём	0	17,9	8,6	0	0	0	0	0	0	0	0
	Уровни звукового давления от источника в расчётной точке ночью	0	17,9	8,6	0	0	0	0	0	0	0	0
ИШ-170. ЖР ЦПУ, калориферный зал	Уровни звукового давления от источника в расчётной точке днём	0	20,9	20,4	18,6	13,2	6	0	0	0	14,3	14,3
	Уровни звукового давления от источника в расчётной точке ночью	0	20,9	20,4	18,6	13,2	6	0	0	0	14,3	14,3
ИШ-171. Окно ЦПУ. Слесарная мастерская	Уровни звукового давления от источника в расчётной точке днём	0	2,7	3	0	0	0	0	0	0	0	0
	Уровни звукового давления от источника в расчётной точке ночью	0	0	0	0	0	0	0	0	0	0	0
ИШ-172. Ворота участка дробления	Уровни звукового давления от источника в расчётной точке днём	0	0	0	0	0	0	0	0	0	0	0
	Уровни звукового давления от источника в расчётной точке ночью	0	0	0	0	0	0	0	0	0	0	0
ИШ-173. Окно участка дробления	Уровни звукового давления от источника в расчётной точке днём	0	29,9	29,3	20,4	10,6	3,1	0	0	0	16,6	16,6
	Уровни звукового давления от источника в расчётной точке ночью	0	29,9	29,3	20,4	10,6	3,1	0	0	0	16,6	16,6
ИШ-174. Окно обжигового отделения	Уровни звукового давления от источника в расчётной точке днём	0	19,3	14,3	0	0	0	0	0	0	0	0
	Уровни звукового давления от источника в расчётной точке ночью	0	19,3	14,3	0	0	0	0	0	0	0	0
ИШ-175. Окно обжигового отделения	Уровни звукового давления от источника в расчётной точке днём	0	17,9	13,2	0,5	0	0	0	0	0	0	0
	Уровни звукового давления от источника в расчётной точке ночью	0	17,9	13,2	0,5	0	0	0	0	0	0	0
ИШ-176. Окно отделения пылеулавливания	Уровни звукового давления от источника в расчётной точке днём	0	44,7	43,2	28,3	14,1	0	0	0	0	28,4	28,4
	Уровни звукового давления от источника в расчётной точке ночью	0	44,7	43,2	28,3	14,1	0	0	0	0	28,4	28,4

1	2	3	4	5	6	7	8	9	10	11	12	13
ИШ-177. Двери промывного отделения	Уровни звукового давления от источника в расчётной точке днём	0	24,9	21,6	12,6	0	0	0	0	0	8,3	8,3
	Уровни звукового давления от источника в расчётной точке ночью	0	24,9	21,6	12,6	0	0	0	0	0	8,3	8,3
ИШ-178. Двери сушильно-абсорбционного отделения	Уровни звукового давления от источника в расчётной точке днём	0	19,1	17	10,1	0	0	0	0	0	4,5	4,5
	Уровни звукового давления от источника в расчётной точке ночью	0	19,1	17	10,1	0	0	0	0	0	4,5	4,5
ИШ-179. Окна сушильно-абсорбционного отделения	Уровни звукового давления от источника в расчётной точке днём	0	0	0	0	0	0	0	0	0	0	0
	Уровни звукового давления от источника в расчётной точке ночью	0	0	0	0	0	0	0	0	0	0	0
ИШ-180. Окно компрессорного отделения	Уровни звукового давления от источника в расчётной точке днём	0	26,7	21,3	8,2	0	0	0	0	0	7,3	7,3
	Уровни звукового давления от источника в расчётной точке ночью	0	26,7	21,3	8,2	0	0	0	0	0	7,3	7,3
ИШ-181. Двери компрессорного отделения	Уровни звукового давления от источника в расчётной точке днём	0	18,2	7,9	0	0	0	0	0	0	0	0
	Уровни звукового давления от источника в расчётной точке ночью	0	18,2	7,9	0	0	0	0	0	0	0	0
ИШ-182. Окно склада кислоты	Уровни звукового давления от источника в расчётной точке днём	0	7,5	6,4	0	0	0	0	0	0	0	0
	Уровни звукового давления от источника в расчётной точке ночью	0	7,5	6,4	0	0	0	0	0	0	0	0
ИШ-183. Дверь склада кислоты	Уровни звукового давления от источника в расчётной точке днём	0	0	0	0	0	0	0	0	0	0	0
	Уровни звукового давления от источника в расчётной точке ночью	0	0	0	0	0	0	0	0	0	0	0
ИШ-195. Дверь гмо-1, участок сульфатизации	Уровни звукового давления от источника в расчётной точке днём	0	0	0	0	0	0	0	0	0	0	0
	Уровни звукового давления от источника в расчётной точке ночью	0	0	0	0	0	0	0	0	0	0	0
ИШ-196. Окно, участок выщелачивания	Уровни звукового давления от источника в расчётной точке днём	0	15,3	10,7	0	0	0	0	0	0	0	0
	Уровни звукового давления от источника в расчётной точке ночью	0	15,3	10,7	0	0	0	0	0	0	0	0
ИШ-197. Дверь гмо-2 участок получения серебра	Уровни звукового давления от источника в расчётной точке днём	0	0	0	0	0	0	0	0	0	0	0
	Уровни звукового давления от источника в расчётной точке ночью	0	0	0	0	0	0	0	0	0	0	0
ИШ-198. Дверь селенового отделения	Уровни звукового давления от источника в расчётной точке днём	0	0	0	0	0	0	0	0	0	0	0
	Уровни звукового давления от источника в расчётной точке ночью	0	0	0	0	0	0	0	0	0	0	0
ИШ-199. Окно отделения газочистки	Уровни звукового давления от источника в расчётной точке днём	0	0	0	0	0	0	0	0	0	0	0
	Уровни звукового давления от источника в расчётной точке ночью	0	0	0	0	0	0	0	0	0	0	0
ИШ-200. Проезд поездов по ж/д путям	Уровни звукового давления от источника в расчётной точке днём	0	0	26,5	21,4	14,7	9,6	0	0	0	17,3	20,3
	Уровни звукового давления от источника в расчётной точке ночью	0	0	26,5	21,4	14,7	9,6	0	0	0	17,3	20,3
ИШ-201. Проезд поездов по ж/д путям	Уровни звукового давления от источника в расчётной точке днём	0	0	24,6	19,7	12,8	7,3	0	0	0	15,4	21,3
	Уровни звукового давления от источника в расчётной точке ночью	0	0	24,6	19,7	12,8	7,3	0	0	0	15,4	21,3
ИШ-203. Работа бульдозера	Уровни звукового давления от источника в расчётной точке днём	0	0	36,3	31,8	26,2	22,9	14,2	0	0	28,7	28,7
	Уровни звукового давления от источника в расчётной точке ночью	0	0	0	0	0	0	0	0	0	0	0
ИШ-205. Работа погрузчика	Уровни звукового давления от источника в расчётной точке днём	0	0	50,6	46,6	42	40,1	34,7	17,8	0	44,9	44,9
	Уровни звукового давления от источника в расчётной точке ночью	0	0	0	0	0	0	0	0	0	0	0
ИШ-206. Работа погрузчика	Уровни звукового давления от источника в расчётной точке днём	0	0	50,6	46,6	42	40,1	34,7	17,8	0	44,9	44,9
	Уровни звукового давления от источника в расчётной точке ночью	0	0	0	0	0	0	0	0	0	0	0
ИШ-207. Вытяжка (Имандра)	Уровни звукового давления от источника в расчётной точке днём	0	28,6	32,9	44,3	40,9	33,2	25,9	6,5	0	40,9	40,9
	Уровни звукового давления от источника в расчётной точке ночью	0	0	0	0	0	0	0	0	0	0	0
ИШ-208. Вытяжка (Имандра)	Уровни звукового давления от источника в расчётной точке днём	0	35,9	42	48,5	45,9	39,4	33,4	16,2	0	46,1	46,1
	Уровни звукового давления от источника в расчётной точке ночью	0	0	0	0	0	0	0	0	0	0	0
ИШ-209. Вытяжка (Имандра)	Уровни звукового давления от источника в расчётной точке днём	0	41,4	48,3	57,4	55,9	50,7	46,8	31,5	0	56,5	56,5

1	2	3	4	5	6	7	8	9	10	11	12	13
ИШ-200. Вытяжка (гипотетич.)	Уровни звукового давления от источника в расчётной точке ночью	0	0	0	0	0	0	0	0	0	0	0
ИШ-211. Ворота ВДС №2	Уровни звукового давления от источника в расчётной точке днём	0	19,1	5,7	0	0	0	0	0	0	0	0
	Уровни звукового давления от источника в расчётной точке ночью	0	19,1	5,7	0	0	0	0	0	0	0	0
ИШ-212. Ворота баллононаполнительной	Уровни звукового давления от источника в расчётной точке днём	0	11,8	0	0	0	0	0	0	0	0	0
	Уровни звукового давления от источника в расчётной точке ночью	0	11,8	0	0	0	0	0	0	0	0	0
ИШ-214. Ворота машинного зала очистных	Уровни звукового давления от источника в расчётной точке днём	0	0	0	0	0	0	0	0	0	0	0
	Уровни звукового давления от источника в расчётной точке ночью	0	0	0	0	0	0	0	0	0	0	0
ИШ-215. Ворота насосной очистных	Уровни звукового давления от источника в расчётной точке днём	0	0	0	0	0	0	0	0	0	0	0
	Уровни звукового давления от источника в расчётной точке ночью	0	0	0	0	0	0	0	0	0	0	0
ИШ-216. Ворота насосной 3 подъёма	Уровни звукового давления от источника в расчётной точке днём	0	0	0	0	0	0	0	0	0	0	0
	Уровни звукового давления от источника в расчётной точке ночью	0	0	0	0	0	0	0	0	0	0	0
ИШ-217. Ворота насосной обратного водоснабжения №3	Уровни звукового давления от источника в расчётной точке днём	0	1	0	0	0	0	0	0	0	0	0
	Уровни звукового давления от источника в расчётной точке ночью	0	1	0	0	0	0	0	0	0	0	0
ИШ-218. Ворота насосной обратного водоснабжения №1	Уровни звукового давления от источника в расчётной точке днём	0	5,1	0	0	0	0	0	0	0	0	0
	Уровни звукового давления от источника в расчётной точке ночью	0	5,1	0	0	0	0	0	0	0	0	0
ИШ-219. Ворота мастерских ОВС и ВО	Уровни звукового давления от источника в расчётной точке днём	0	0	0	0	0	0	0	0	0	0	0
	Уровни звукового давления от источника в расчётной точке ночью	0	0	0	0	0	0	0	0	0	0	0
ИШ-220. Ворота ПП-70	Уровни звукового давления от источника в расчётной точке днём	0	0	0	0	0	0	0	0	0	0	0
	Уровни звукового давления от источника в расчётной точке ночью	0	0	0	0	0	0	0	0	0	0	0
ИШ-221. Окно лабораторного корпуса	Уровни звукового давления от источника в расчётной точке днём	0	0	0	0	0	0	0	0	0	0	0
	Уровни звукового давления от источника в расчётной точке ночью	0	0	0	0	0	0	0	0	0	0	0
ИШ-222. Окно электроремонтного корпуса	Уровни звукового давления от источника в расчётной точке днём	0	0	0	0	0	0	0	0	0	0	0
	Уровни звукового давления от источника в расчётной точке ночью	0	0	0	0	0	0	0	0	0	0	0
ИШ-1п. В1 экстракционное отделение (ЭО)	Уровни звукового давления от источника в расчётной точке днём	0	27	35,1	27,4	22	17	10	0	0	24,7	24,7
	Уровни звукового давления от источника в расчётной точке ночью	0	27	35,1	27,4	22	17	10	0	0	24,7	24,7
ИШ-2п. В2 ЭО	Уровни звукового давления от источника в расчётной точке днём	0	31	40,1	32,5	26	20,1	12	0	0	29,1	29,1
	Уровни звукового давления от источника в расчётной точке ночью	0	31	40,1	32,5	26	20,1	12	0	0	29,1	29,1
ИШ-3п. В3 ЭО	Уровни звукового давления от источника в расчётной точке днём	0	0	10,5	13,3	5,8	0	0	0	0	7	7
	Уровни звукового давления от источника в расчётной точке ночью	0	0	10,5	13,3	5,8	0	0	0	0	7	7
ИШ-4п. В4 ЭО	Уровни звукового давления от источника в расчётной точке днём	0	0	16,4	21	15,3	7,9	0,9	0	0	16,3	16,3
	Уровни звукового давления от источника в расчётной точке ночью	0	0	16,4	21	15,3	7,9	0,9	0	0	16,3	16,3
ИШ-5п. В5 ЭО	Уровни звукового давления от источника в расчётной точке днём	0	0	16,6	20,8	14,7	6,9	0	0	0	15,7	15,7
	Уровни звукового давления от источника в расчётной точке ночью	0	0	16,6	20,8	14,7	6,9	0	0	0	15,7	15,7
ИШ-6п. В6 ЭО	Уровни звукового давления от источника в расчётной точке днём	0	10,4	17	14	12,3	5,9	0	0	0	12,3	12,3
	Уровни звукового давления от источника в расчётной точке ночью	0	10,4	17	14	12,3	5,9	0	0	0	12,3	12,3
ИШ-7п. В7 ЭО	Уровни звукового давления от источника в расчётной точке днём	0	29,4	29,2	29,9	27,8	20,9	10,6	0	0	27,6	27,6
	Уровни звукового давления от источника в расчётной точке ночью	0	29,4	29,2	29,9	27,8	20,9	10,6	0	0	27,6	27,6
ИШ-8п. П8	Уровни звукового давления от источника в расчётной точке днём	0	17,6	17,7	17,2	13,7	8,7	2,6	0	0	14,8	14,8
	Уровни звукового давления от источника в расчётной точке ночью	0	17,6	17,7	17,2	13,7	8,7	2,6	0	0	14,8	14,8

1	2	3	4	5	6	7	8	9	10	11	12	13
ИШ-9п. Воздушная завеса	Уровни звукового давления от источника в расчётной точке днём	0	33,1	33,8	34,1	34,7	32	26,3	14,6	0	36	36
	Уровни звукового давления от источника в расчётной точке ночью	0	33,1	33,8	34,1	34,7	32	26,3	14,6	0	36	36
ИШ-10п. Воздушная завеса	Уровни звукового давления от источника в расчётной точке днём	0	33,3	33,9	34,2	33,2	30,6	24,9	13,3	0	34,8	34,8
	Уровни звукового давления от источника в расчётной точке ночью	0	33,3	33,9	34,2	33,2	30,6	24,9	13,3	0	34,8	34,8
ИШ-11п. Воздушная завеса	Уровни звукового давления от источника в расчётной точке днём	0	33	33,6	33,9	34,4	31,8	26,1	14,2	0	35,8	35,8
	Уровни звукового давления от источника в расчётной точке ночью	0	33	33,6	33,9	34,4	31,8	26,1	14,2	0	35,8	35,8
ИШ-12п. Воздушная завеса	Уровни звукового давления от источника в расчётной точке днём	0	32,8	33,5	33,8	34,3	31,6	25,9	13,9	0	35,7	35,7
	Уровни звукового давления от источника в расчётной точке ночью	0	32,8	33,5	33,8	34,3	31,6	25,9	13,9	0	35,7	35,7
ИШ-13п. В3 электролизный участок (ЭУ)	Уровни звукового давления от источника в расчётной точке днём	0	19,5	21,9	31,7	23,5	19,4	10,6	0	0	26,2	26,2
	Уровни звукового давления от источника в расчётной точке ночью	0	19,5	21,9	31,7	23,5	19,4	10,6	0	0	26,2	26,2
ИШ-14п. В4	Уровни звукового давления от источника в расчётной точке днём	0	0	0	6,4	5,9	0	0	0	0	3,9	3,9
	Уровни звукового давления от источника в расчётной точке ночью	0	0	0	6,4	5,9	0	0	0	0	3,9	3,9
ИШ-15п. В15	Уровни звукового давления от источника в расчётной точке днём	0	11,6	18,8	10,3	5,7	1,4	0	0	0	8,2	8,2
	Уровни звукового давления от источника в расчётной точке ночью	0	11,6	18,8	10,3	5,7	1,4	0	0	0	8,2	8,2
ИШ-16п. В6	Уровни звукового давления от источника в расчётной точке днём	0	11,8	20,6	14,4	11	7,1	0,8	0	0	12,9	12,9
	Уровни звукового давления от источника в расчётной точке ночью	0	11,8	20,6	14,4	11	7,1	0,8	0	0	12,9	12,9
ИШ-17п. В7	Уровни звукового давления от источника в расчётной точке днём	0	0	9,3	19,3	15,3	11,3	4,2	0	0	16,6	16,6
	Уровни звукового давления от источника в расчётной точке ночью	0	0	9,3	19,3	15,3	11,3	4,2	0	0	16,6	16,6
ИШ-18п. В8	Уровни звукового давления от источника в расчётной точке днём	0	0	15,3	21,2	16,9	13,5	7,6	0	0	18,6	18,6
	Уровни звукового давления от источника в расчётной точке ночью	0	0	15,3	21,2	16,9	13,5	7,6	0	0	18,6	18,6
ИШ-19п. В9	Уровни звукового давления от источника в расчётной точке днём	0	0	0	2,4	0,9	0	0	0	0	0	0
	Уровни звукового давления от источника в расчётной точке ночью	0	0	0	2,4	0,9	0	0	0	0	0	0
ИШ-20п. В10	Уровни звукового давления от источника в расчётной точке днём	0	0	0	4,3	3,1	0	0	0	0	1,3	1,3
	Уровни звукового давления от источника в расчётной точке ночью	0	0	0	4,3	3,1	0	0	0	0	1,3	1,3
ИШ-21п. В11	Уровни звукового давления от источника в расчётной точке днём	0	16,7	17,4	21,6	20	16,7	7,7	0	0	20,9	20,9
	Уровни звукового давления от источника в расчётной точке ночью	0	16,7	17,4	21,6	20	16,7	7,7	0	0	20,9	20,9
ИШ-22п. В12	Уровни звукового давления от источника в расчётной точке днём	0	16,7	17,4	21,6	20	16,7	7,7	0	0	20,9	20,9
	Уровни звукового давления от источника в расчётной точке ночью	0	16,7	17,4	21,6	20	16,7	7,7	0	0	20,9	20,9
ИШ-23п. В13	Уровни звукового давления от источника в расчётной точке днём	0	16,7	17,4	21,6	20	16,7	7,7	0	0	20,9	20,9
	Уровни звукового давления от источника в расчётной точке ночью	0	16,7	17,4	21,6	20	16,7	7,7	0	0	20,9	20,9
ИШ-24п. В14	Уровни звукового давления от источника в расчётной точке днём	0	16,7	17,4	21,6	20	16,7	7,7	0	0	20,9	20,9
	Уровни звукового давления от источника в расчётной точке ночью	0	16,7	17,4	21,6	20	16,7	7,7	0	0	20,9	20,9
ИШ-25п. В15	Уровни звукового давления от источника в расчётной точке днём	0	28,7	16,5	6,4	0	0	0	0	0	5,4	5,4
	Уровни звукового давления от источника в расчётной точке ночью	0	28,7	16,5	6,4	0	0	0	0	0	5,4	5,4
ИШ-26п. В16	Уровни звукового давления от источника в расчётной точке днём	0	0	13,9	16,2	9,6	4,1	0	0	0	11,2	11,2
	Уровни звукового давления от источника в расчётной точке ночью	0	0	13,9	16,2	9,6	4,1	0	0	0	11,2	11,2
ИШ-28п. Воздушная завеса	Уровни звукового давления от источника в расчётной точке днём	0	23,1	23,3	22,7	20,1	15,4	6,9	0	0	20,9	20,9
	Уровни звукового давления от источника в расчётной точке ночью	0	23,1	23,3	22,7	20,1	15,4	6,9	0	0	20,9	20,9
ИШ-29п. Воздушная завеса	Уровни звукового давления от источника в расчётной точке днём	0	23,1	23,3	22,8	20,3	15,7	7,3	0	0	21,1	21,1

1	2	3	4	5	6	7	8	9	10	11	12	13
ИШ-30п. В1 Насосной № 1	Уровни звукового давления от источника в расчётной точке ночью	0	23,1	23,3	22,8	20,3	15,7	7,3	0	0	21,1	21,1
ИШ-30п. В1 Насосной № 1	Уровни звукового давления от источника в расчётной точке днём	0	43,5	35,4	27,9	20,1	11,6	0	0	0	24,6	24,6
	Уровни звукового давления от источника в расчётной точке ночью	0	43,5	35,4	27,9	20,1	11,6	0	0	0	24,6	24,6
ИШ-31п. В2 насосная №1	Уровни звукового давления от источника в расчётной точке днём	0	28,8	17,6	16,8	9,7	0	0	0	0	11,6	11,6
	Уровни звукового давления от источника в расчётной точке ночью	0	28,8	17,6	16,8	9,7	0	0	0	0	11,6	11,6
ИШ-32п. В3 насосная № 1	Уровни звукового давления от источника в расчётной точке днём	0	60,4	53,3	44,8	36,1	27,5	20,6	11,9	0	41,7	41,7
	Уровни звукового давления от источника в расчётной точке ночью	0	60,4	53,3	44,8	36,1	27,5	20,6	11,9	0	41,7	41,7
ИШ-33п. П1 насосная № 1	Уровни звукового давления от источника в расчётной точке днём	0	8,8	19,7	0	0	0	0	0	0	3,6	3,6
	Уровни звукового давления от источника в расчётной точке ночью	0	8,8	19,7	0	0	0	0	0	0	3,6	3,6
ИШ-34п. В1 Насосной № 2	Уровни звукового давления от источника в расчётной точке днём	0	43	34,9	26	18	8,7	0	0	0	23,3	23,3
	Уровни звукового давления от источника в расчётной точке ночью	0	43	34,9	26	18	8,7	0	0	0	23,3	23,3
ИШ-35п. В2 насосная №2	Уровни звукового давления от источника в расчётной точке днём	0	27	17,3	16,8	9,1	0	0	0	0	11,1	11,1
	Уровни звукового давления от источника в расчётной точке ночью	0	27	17,3	16,8	9,1	0	0	0	0	11,1	11,1
ИШ-36п. В3 насосная № 2	Уровни звукового давления от источника в расчётной точке днём	0	59,8	52,7	42,8	33,9	25,2	18,6	5,7	0	40,5	40,5
	Уровни звукового давления от источника в расчётной точке ночью	0	59,8	52,7	42,8	33,9	25,2	18,6	5,7	0	40,5	40,5
ИШ-37п. П1 насосная № 2	Уровни звукового давления от источника в расчётной точке днём	0	4,5	17,9	0	0	0	0	0	0	1,9	1,9
	Уровни звукового давления от источника в расчётной точке ночью	0	4,5	17,9	0	0	0	0	0	0	1,9	1,9
ИШ-38п. В5 ГМУ	Уровни звукового давления от источника в расчётной точке днём	0	32,5	41,5	46,5	47,8	49,5	43,5	32,5	2,5	51,9	51,9
	Уровни звукового давления от источника в расчётной точке ночью	0	32,5	41,5	46,5	47,8	49,5	43,5	32,5	2,5	51,9	51,9
ИШ-39п. ЖД пути	Уровни звукового давления от источника в расчётной точке днём	0	0	29,7	23,6	15,5	16,9	6	0	0	21	21
	Уровни звукового давления от источника в расчётной точке ночью	0	0	29,7	23,6	15,5	16,9	6	0	0	21	21
ИШ-40п. В1 Корпуса выпаривания и сушки (КВИС)	Уровни звукового давления от источника в расчётной точке днём	0	26,4	33,4	32,7	32,1	27,4	20,1	4,4	0	32,5	32,5
	Уровни звукового давления от источника в расчётной точке ночью	0	26,4	33,4	32,7	32,1	27,4	20,1	4,4	0	32,5	32,5
ИШ-41п. В2 КВИС	Уровни звукового давления от источника в расчётной точке днём	0	25,7	32,6	32	31,7	27	19,6	8,3	0	32	32
	Уровни звукового давления от источника в расчётной точке ночью	0	25,7	32,6	32	31,7	27	19,6	8,3	0	32	32
ИШ-42п. П1 КВИС	Уровни звукового давления от источника в расчётной точке днём	0	29,6	32,6	38,9	39	34,1	29,6	17,5	0	39,4	39,4
	Уровни звукового давления от источника в расчётной точке ночью	0	29,6	32,6	38,9	39	34,1	29,6	17,5	0	39,4	39,4
ИШ-43п. В3 КВИС	Уровни звукового давления от источника в расчётной точке днём	0	16,5	22,6	19,8	20,4	15,4	6,9	0	0	20,5	20,5
	Уровни звукового давления от источника в расчётной точке ночью	0	16,5	22,6	19,8	20,4	15,4	6,9	0	0	20,5	20,5
ИШ-44п. П2 КВИС	Уровни звукового давления от источника в расчётной точке днём	0	17,7	19,8	25,9	27,3	21,9	16,4	4	0	27,2	27,2
	Уровни звукового давления от источника в расчётной точке ночью	0	17,7	19,8	25,9	27,3	21,9	16,4	4	0	27,2	27,2
ИШ-45п. В4 КВИС	Уровни звукового давления от источника в расчётной точке днём	0	0	7,2	2,4	8,3	9,9	7	3,5	0	13,6	13,6
	Уровни звукового давления от источника в расчётной точке ночью	0	0	7,2	2,4	8,3	9,9	7	3,5	0	13,6	13,6
ИШ-46п. В5 КВИС	Уровни звукового давления от источника в расчётной точке днём	0	7,1	11,8	18,3	28,2	20	16,1	9	0	26,9	26,9
	Уровни звукового давления от источника в расчётной точке ночью	0	7,1	11,8	18,3	28,2	20	16,1	9	0	26,9	26,9
ИШ-47п. В6 КВИС	Уровни звукового давления от источника в расчётной точке днём	0	10,6	15,6	22,3	31,8	24,1	20,8	14,2	0	30,8	30,8
	Уровни звукового давления от источника в расчётной точке ночью	0	10,6	15,6	22,3	31,8	24,1	20,8	14,2	0	30,8	30,8
ИШ-48п. В7 КВИС	Уровни звукового давления от источника в расчётной точке днём	0	27,9	34,9	32,6	32,2	27,6	20,4	9,4	0	32,7	32,7
	Уровни звукового давления от источника в расчётной точке ночью	0	27,9	34,9	32,6	32,2	27,6	20,4	9,4	0	32,7	32,7

1	2	3	4	5	6	7	8	9	10	11	12	13
ИШв-8 хму. ПВ4 вытяжка	Уровни звукового давления от источника в расчётной точке днём	0	14	12,7	20	12,6	9,9	1,8	0	0	15,4	15,4
	Уровни звукового давления от источника в расчётной точке ночью	0	14	12,7	20	12,6	9,9	1,8	0	0	15,4	15,4
ИШ-15хму	Уровни звукового давления от источника в расчётной точке днём	0	12,2	11,9	0	0	0	0	0	0	0	0
	Уровни звукового давления от источника в расчётной точке ночью	0	12,2	11,9	0	0	0	0	0	0	0	0
ИШ-16хму. Участок измельчения ПНТП	Уровни звукового давления от источника в расчётной точке днём	0	5,9	0,5	0	0	0	0	0	0	0	0
	Уровни звукового давления от источника в расчётной точке ночью	0	5,9	0,5	0	0	0	0	0	0	0	0
ИШ-17хму. Участок дробления и измельчения сплава	Уровни звукового давления от источника в расчётной точке днём	0	24,6	22	8,9	0	0	0	0	0	7,5	7,5
	Уровни звукового давления от источника в расчётной точке ночью	0	24,6	22	8,9	0	0	0	0	0	7,5	7,5
ИШ-18хму	Уровни звукового давления от источника в расчётной точке днём	0	23,5	15,9	0,8	0	0	0	0	0	2,2	2,2
	Уровни звукового давления от источника в расчётной точке ночью	0	23,5	15,9	0,8	0	0	0	0	0	2,2	2,2
ИШ-19хму. Механическая мастерская	Уровни звукового давления от источника в расчётной точке днём	0	24	16,4	1,4	0	0	0	0	0	2,7	2,7
	Уровни звукового давления от источника в расчётной точке ночью	0	24	16,4	1,4	0	0	0	0	0	2,7	2,7
ИШ-20хму. Помещение ОТК	Уровни звукового давления от источника в расчётной точке днём	0	1,9	3,6	24,7	0	0	0	0	0	16,2	16,2
	Уровни звукового давления от источника в расчётной точке ночью	0	1,9	3,6	24,7	0	0	0	0	0	16,2	16,2
ИШв9. ЦЭН.ОЭН-2 П5	Уровни звукового давления от источника в расчётной точке днём	0	27,4	21,9	21	22,3	17,9	12	0	0	22,7	22,7
	Уровни звукового давления от источника в расчётной точке ночью	0	27,4	21,9	21	22,3	17,9	12	0	0	22,7	22,7
ИШв-10. ЦЭН.ОЭН-2 П7	Уровни звукового давления от источника в расчётной точке днём	0	27,4	21,9	21	22,3	17,9	11,9	0	0	22,7	22,7
	Уровни звукового давления от источника в расчётной точке ночью	0	27,4	21,9	21	22,3	17,9	11,9	0	0	22,7	22,7
ИШв-11. ЦПУ П1	Уровни звукового давления от источника в расчётной точке днём	0	36,2	30,9	31,3	32,5	28,1	22,1	4,5	0	32,9	32,9
	Уровни звукового давления от источника в расчётной точке ночью	0	36,2	30,9	31,3	32,5	28,1	22,1	4,5	0	32,9	32,9
ИШв-12. ЦПУ П2	Уровни звукового давления от источника в расчётной точке днём	0	34,3	29	29,3	30,5	26,1	20	2,4	0	30,9	30,9
	Уровни звукового давления от источника в расчётной точке ночью	0	34,3	29	29,3	30,5	26,1	20	2,4	0	30,9	30,9
ИШв-13. ЦПУ П3	Уровни звукового давления от источника в расчётной точке днём	0	36,3	31	31,4	32,5	28,1	21,9	4,3	0	32,9	32,9
	Уровни звукового давления от источника в расчётной точке ночью	0	36,3	31	31,4	32,5	28,1	21,9	4,3	0	32,9	32,9
ИШв-14. ЦПУ П6	Уровни звукового давления от источника в расчётной точке днём	0	36,4	31,1	31,4	32,5	28	21,8	4,2	0	32,8	32,8
	Уровни звукового давления от источника в расчётной точке ночью	0	36,4	31,1	31,4	32,5	28	21,8	4,2	0	32,8	32,8
ИШв-15. ЦПУ П8	Уровни звукового давления от источника в расчётной точке днём	0	36,5	31,2	31,4	32,5	27,9	21,7	4,1	0	32,8	32,8
	Уровни звукового давления от источника в расчётной точке ночью	0	36,5	31,2	31,4	32,5	27,9	21,7	4,1	0	32,8	32,8
ИШв-16. ЦВК В1	Уровни звукового давления от источника в расчётной точке днём	0	34,7	34,4	33,6	27	22,7	15,7	1,4	0	29,4	29,4
	Уровни звукового давления от источника в расчётной точке ночью	0	34,7	34,4	33,6	27	22,7	15,7	1,4	0	29,4	29,4
ИШв-17. ЦВК В2	Уровни звукового давления от источника в расчётной точке днём	0	34,6	34,3	33,5	27	22,7	15,7	1,5	0	29,4	29,4
	Уровни звукового давления от источника в расчётной точке ночью	0	34,6	34,3	33,5	27	22,7	15,7	1,5	0	29,4	29,4
ИШв-18. ЦВК В3	Уровни звукового давления от источника в расчётной точке днём	0	34,6	34,3	33,5	27	22,7	15,8	1,5	0	29,3	29,3
	Уровни звукового давления от источника в расчётной точке ночью	0	34,6	34,3	33,5	27	22,7	15,8	1,5	0	29,3	29,3
ИШв-19. ГМО2 П5	Уровни звукового давления от источника в расчётной точке днём	0	27	21,5	20,2	20,8	15,4	8,1	0	0	20,8	20,8
	Уровни звукового давления от источника в расчётной точке ночью	0	27	21,5	20,2	20,8	15,4	8,1	0	0	20,8	20,8
ИШв-20. ГМО2 П7	Уровни звукового давления от источника в расчётной точке днём	0	27	21,5	20,2	20,8	15,4	8	0	0	20,8	20,8
	Уровни звукового давления от источника в расчётной точке ночью	0	27	21,5	20,2	20,8	15,4	8	0	0	20,8	20,8
ИШв-21. ГМО2 В1	Уровни звукового давления от источника в расчётной точке днём	0	33,9	34,5	27,2	23,8	19,7	12,1	0	0	25,7	25,7

1	2	3	4	5	6	7	8	9	10	11	12	13
ИШВ-21. ГМО2 В1	Уровни звукового давления от источника в расчётной точке ночью	0	33,9	34,5	27,2	23,8	19,7	12,1	0	0	25,7	25,7
ИШВ-22. ГМО2 В2	Уровни звукового давления от источника в расчётной точке днём	0	29	39,5	32,2	23,7	19,4	12	0	0	28,3	28,3
	Уровни звукового давления от источника в расчётной точке ночью	0	29	39,5	32,2	23,7	19,4	12	0	0	28,3	28,3
ИШВ-23. ГМО2 В4	Уровни звукового давления от источника в расчётной точке днём	0	7,1	14,6	10,2	3,7	0	0	0	0	5,2	5,2
	Уровни звукового давления от источника в расчётной точке ночью	0	7,1	14,6	10,2	3,7	0	0	0	0	5,2	5,2
ИШВ-24. ГМО2 В5	Уровни звукового давления от источника в расчётной точке днём	0	7,1	14,6	10,2	3,7	0	0	0	0	5,2	5,2
	Уровни звукового давления от источника в расчётной точке ночью	0	7,1	14,6	10,2	3,7	0	0	0	0	5,2	5,2
ИШВ-25. ГМО2 В6	Уровни звукового давления от источника в расчётной точке днём	0	7,1	14,6	10,2	3,7	0	0	0	0	5,2	5,2
	Уровни звукового давления от источника в расчётной точке ночью	0	7,1	14,6	10,2	3,7	0	0	0	0	5,2	5,2
ИШВ-26. П2	Уровни звукового давления от источника в расчётной точке днём	0	31,3	26	25,4	27,2	23,7	18,8	2,8	0	28,1	28,1
	Уровни звукового давления от источника в расчётной точке ночью	0	31,3	26	25,4	27,2	23,7	18,8	2,8	0	28,1	28,1
ИШВ-27. В1-В3	Уровни звукового давления от источника в расчётной точке днём	0	30,4	33,2	34,6	29,4	26,8	21	8,1	0	31,8	31,8
	Уровни звукового давления от источника в расчётной точке ночью	0	30,4	33,2	34,6	29,4	26,8	21	8,1	0	31,8	31,8
ИШВ-28. П2	Уровни звукового давления от источника в расчётной точке днём	0	29,9	24,6	23,7	25,2	20,9	15	0	0	25,6	25,6
	Уровни звукового давления от источника в расчётной точке ночью	0	29,9	24,6	23,7	25,2	20,9	15	0	0	25,6	25,6
ИШВ-29. В1-В2,В8	Уровни звукового давления от источника в расчётной точке днём	0	17	31,6	33,8	21,2	17,9	12,1	0	0	27,1	27,1
	Уровни звукового давления от источника в расчётной точке ночью	0	17	31,6	33,8	21,2	17,9	12,1	0	0	27,1	27,1
ИШ-24 ОПУ. В13	Уровни звукового давления от источника в расчётной точке днём	0	0	1,4	0	0	0	0	0	0	0	0
	Уровни звукового давления от источника в расчётной точке ночью	0	0	1,4	0	0	0	0	0	0	0	0
ИШВ-30. П1	Уровни звукового давления от источника в расчётной точке днём	0	28,9	23,5	23,8	25,2	21	15	0	0	25,6	25,6
	Уровни звукового давления от источника в расчётной точке ночью	0	28,9	23,5	23,8	25,2	21	15	0	0	25,6	25,6
ИШВ-30. В3-В6	Уровни звукового давления от источника в расчётной точке днём	0	1,9	12,5	14,8	3,2	0	0	0	0	7,5	7,5
	Уровни звукового давления от источника в расчётной точке ночью	0	1,9	12,5	14,8	3,2	0	0	0	0	7,5	7,5
ИШВ-32. П1	Уровни звукового давления от источника в расчётной точке днём	0	0	8,5	0	0	0	0	0	0	0	0
	Уровни звукового давления от источника в расчётной точке ночью	0	0	8,5	0	0	0	0	0	0	0	0
ИШ-1 ОПУ. Пом. электрофильтров	Уровни звукового давления от источника в расчётной точке днём	70,3	72,7	60,2	50,9	35,2	28	21,9	0	1,7	49,6	49,6
	Уровни звукового давления от источника в расчётной точке ночью	70,3	72,7	60,2	50,9	35,2	28	21,9	0	1,7	49,6	49,6
ИШ-2 ОПУ. Пом. мастерской	Уровни звукового давления от источника в расчётной точке днём	48,9	48,2	21,1	9,4	0	0	0	0	0	22,3	22,3
	Уровни звукового давления от источника в расчётной точке ночью	48,9	48,2	21,1	9,4	0	0	0	0	0	22,3	22,3
ИШ-3 ОПУ. Пом. мастеской	Уровни звукового давления от источника в расчётной точке днём	49,3	49,4	32,5	0	5,1	0	0	0	0	24,2	24,2
	Уровни звукового давления от источника в расчётной точке ночью	49,3	49,4	32,5	0	5,1	0	0	0	0	24,2	24,2
ИШ-4 ОПУ. Пом. дымососа	Уровни звукового давления от источника в расчётной точке днём	27,8	27,9	11	0,2	0	0	0	0	0	3	3
	Уровни звукового давления от источника в расчётной точке ночью	27,8	27,9	11	0,2	0	0	0	0	0	3	3
ИШ-6 ОПУ. П1 пом. ЭФ	Уровни звукового давления от источника в расчётной точке днём	15,6	17,5	26,1	25,4	22	19,6	12,8	0	0	24	24
	Уровни звукового давления от источника в расчётной точке ночью	15,6	17,5	26,1	25,4	22	19,6	12,8	0	0	24	24
ИШ-7 ОПУ. П2 пом. ЭФ	Уровни звукового давления от источника в расчётной точке днём	15,6	17,5	26,1	25,3	22	19,6	12,7	0	0	23,9	23,9
	Уровни звукового давления от источника в расчётной точке ночью	15,6	17,5	26,1	25,3	22	19,6	12,7	0	0	23,9	23,9
ИШ-8 ОПУ. П3 КТП	Уровни звукового давления от источника в расчётной точке днём	18,6	11,2	17,7	25,1	21,8	16,3	12,5	0	0	22,7	22,7
	Уровни звукового давления от источника в расчётной точке ночью	18,6	11,2	17,7	25,1	21,8	16,3	12,5	0	0	22,7	22,7

1		2		3	4	5	6	7	8	9	10	11	12	13
ИШ-9 ОПУ. Преобр. станция	Уровни звукового давления от источника в расчётной точке днём			19,6	12,2	18,6	25,9	22,6	17,4	10,8	0	0	23,3	23,3
	Уровни звукового давления от источника в расчётной точке ночью			19,6	12,2	18,6	25,9	22,6	17,4	10,8	0	0	23,3	23,3
ИШ-10 ОПУ. П5 ЭФ	Уровни звукового давления от источника в расчётной точке днём			13,5	15,1	23,5	22,8	19,5	17,3	10,7	0	0	21,6	21,6
	Уровни звукового давления от источника в расчётной точке ночью			13,5	15,1	23,5	22,8	19,5	17,3	10,7	0	0	21,6	21,6
ИШ-11 ОПУ. П6 ПСУ2	Уровни звукового давления от источника в расчётной точке днём			0,3	5,3	13,7	12,7	8,9	6,2	0	0	0	10,4	10,4
	Уровни звукового давления от источника в расчётной точке ночью			0,3	5,3	13,7	12,7	8,9	6,2	0	0	0	10,4	10,4
ИШ-12 ОПУ. Преобр. подстанция	Уровни звукового давления от источника в расчётной точке днём			0	2,3	10	8	3,2	0	0	0	0	3,3	3,3
	Уровни звукового давления от источника в расчётной точке ночью			0	2,3	10	8	3,2	0	0	0	0	3,3	3,3
ИШ-13 ОПУ. Преобр подстанция	Уровни звукового давления от источника в расчётной точке днём			0	2,3	10	8	3,2	0	0	0	0	3,3	3,3
	Уровни звукового давления от источника в расчётной точке ночью			0	2,3	10	8	3,2	0	0	0	0	3,3	3,3
ИШ-14 ОПУ. В3 мастерская	Уровни звукового давления от источника в расчётной точке днём			0	3,4	14,9	15	12,9	10,7	0	0	0	14,2	14,2
	Уровни звукового давления от источника в расчётной точке ночью			0	3,4	14,9	15	12,9	10,7	0	0	0	14,2	14,2
ИШ-15 ОПУ. В4 ПСУ-1	Уровни звукового давления от источника в расчётной точке днём			1,1	1,3	9	6	1,1	0	0	0	0	1,3	1,3
	Уровни звукового давления от источника в расчётной точке ночью			1,1	1,3	9	6	1,1	0	0	0	0	1,3	1,3
ИШ-17 ОПУ. В6 с/у	Уровни звукового давления от источника в расчётной точке днём			0	0	0	0	0	0	0	0	0	0	0
	Уровни звукового давления от источника в расчётной точке ночью			0	0	0	0	0	0	0	0	0	0	0
ИШ-18 ОПУ. В7 ЭФ	Уровни звукового давления от источника в расчётной точке днём			0	0	4,8	1,7	0	0	0	0	0	0	0
	Уровни звукового давления от источника в расчётной точке ночью			0	0	4,8	1,7	0	0	0	0	0	0	0
ИШ-19 ОПУ. В8 ЭФ	Уровни звукового давления от источника в расчётной точке днём			0	0	4,7	1,7	0	0	0	0	0	0	0
	Уровни звукового давления от источника в расчётной точке ночью			0	0	4,7	1,7	0	0	0	0	0	0	0
ИШ-20 ОПУ. В9 пом ЭФ	Уровни звукового давления от источника в расчётной точке днём			0	0	4,6	1,6	0	0	0	0	0	0	0
	Уровни звукового давления от источника в расчётной точке ночью			0	0	4,6	1,6	0	0	0	0	0	0	0
ИШ-21 ОПУ. В10 пом ЭФ	Уровни звукового давления от источника в расчётной точке днём			0	0	4,8	1,8	0	0	0	0	0	0	0
	Уровни звукового давления от источника в расчётной точке ночью			0	0	4,8	1,8	0	0	0	0	0	0	0
ИШ-22 ОПУ. В11	Уровни звукового давления от источника в расчётной точке днём			0	0	1,8	0	0	0	0	0	0	0	0
	Уровни звукового давления от источника в расчётной точке ночью			0	0	1,8	0	0	0	0	0	0	0	0
ИШ-23 ОПУ. В12	Уровни звукового давления от источника в расчётной точке днём			0	0	1,6	0	0	0	0	0	0	0	0
	Уровни звукового давления от источника в расчётной точке ночью			0	0	1,6	0	0	0	0	0	0	0	0
Суммарные уровни звукового давления в расчётной точке от всех источников шума днём, Лрт, дБ				70,4	73,9	66,4	62,3	59,5	56,9	52,6	44,7	37,2	62,1	71,2
Изоляция помещением проникающего звука, дБ				10	10	10	12	14	16	18	18	18	14	14
Суммарные уровни звукового давления в помещении днём, Лпом, дБ				60,4	63,9	56,4	50,3	45,5	40,9	34,6	26,7	19,2	48,2	57,3
Допускаемые УЗД днём, Лдоп, дБ	Рабочие помещения административно-управленческого персонала производственных предприятий, лабораторий, помещения для		Табл. 1[3]	93	79	70	63	58	55	52	50	49	60	75
Превышение днём, дБ				-32,6	-15,1	-13,6	-12,7	-12,5	-14,1	-17,4	-23,3	-29,8	-11,8	-17,7

1	2	3	4	5	6	7	8	9	10	11	12	13
ИШ-4. Дверь коллекторной ТЭЦ	Уровни звукового давления от источника в расчётной точке днём	0	0	0	0	0	0	0	0	0	0	0
	Уровни звукового давления от источника в расчётной точке ночью	0	0	0	0	0	0	0	0	0	0	0
ИШ-5. Фасад ТЭЦ, паропроводы	Уровни звукового давления от источника в расчётной точке днём	0	0	0	0	0	0	0	0	0	0	0
	Уровни звукового давления от источника в расчётной точке ночью	0	0	0	0	0	0	0	0	0	0	0
ИШ-6. Ворота бойлерной котельной	Уровни звукового давления от источника в расчётной точке днём	0	0	0	0	0	0	0	0	0	0	0
	Уровни звукового давления от источника в расчётной точке ночью	0	0	0	0	0	0	0	0	0	0	0
ИШ-7. Ворота котельной	Уровни звукового давления от источника в расчётной точке днём	0	0	0	0	0	0	0	0	0	0	0
	Уровни звукового давления от источника в расчётной точке ночью	0	0	0	0	0	0	0	0	0	0	0
ИШ-8. Оконный проём котельной	Уровни звукового давления от источника в расчётной точке днём	0	5	0	0	0	0	0	0	0	0	0
	Уровни звукового давления от источника в расчётной точке ночью	0	5	0	0	0	0	0	0	0	0	0
ИШ-9. Фасад ТЭЦ	Уровни звукового давления от источника в расчётной точке днём	0	10,5	7,8	4,1	0	0	0	0	0	0	0
	Уровни звукового давления от источника в расчётной точке ночью	0	10,5	7,8	4,1	0	0	0	0	0	0	0
ИШ-10. Оконный проём котельной	Уровни звукового давления от источника в расчётной точке днём	0	0	0	0	0	0	0	0	0	0	0
	Уровни звукового давления от источника в расчётной точке ночью	0	0	0	0	0	0	0	0	0	0	0
ИШ-11. Ворота КВО	Уровни звукового давления от источника в расчётной точке днём	0	1,4	0	0	0	0	0	0	0	0	0
	Уровни звукового давления от источника в расчётной точке ночью	0	1,4	0	0	0	0	0	0	0	0	0
ИШ-12. Глушитель №1	Уровни звукового давления от источника в расчётной точке днём	0	20,5	20,2	14,4	13,2	0	0	0	0	12,2	12,2
	Уровни звукового давления от источника в расчётной точке ночью	0	20,5	20,2	14,4	13,2	0	0	0	0	12,2	12,2
ИШ-13. Воздушные трубы КВО	Уровни звукового давления от источника в расчётной точке днём	0	37,1	35,1	25	12,1	0	0	0	0	21,6	21,6
	Уровни звукового давления от источника в расчётной точке ночью	0	37,1	35,1	25	12,1	0	0	0	0	21,6	21,6
ИШ-14. Глушитель №2	Уровни звукового давления от источника в расчётной точке днём	0	33	27,3	21,7	20,3	21,2	1,7	0	0	23,5	23,5
	Уровни звукового давления от источника в расчётной точке ночью	0	33	27,3	21,7	20,3	21,2	1,7	0	0	23,5	23,5
ИШ-15. Нагнетатель камеры всаса	Уровни звукового давления от источника в расчётной точке днём	0	13,4	7,5	0	0	0	0	0	0	0	0
	Уровни звукового давления от источника в расчётной точке ночью	0	13,4	7,5	0	0	0	0	0	0	0	0
ИШ-16. Клапан кислородных баллонов	Уровни звукового давления от источника в расчётной точке днём	0	19,5	13,8	0,2	0	0	0	0	0	0	0
	Уровни звукового давления от источника в расчётной точке ночью	0	19,5	13,8	0,2	0	0	0	0	0	0	0
ИШ-17. Нагнетатель камеры всаса	Уровни звукового давления от источника в расчётной точке днём	0	31,9	29,9	19,9	7	0	0	0	0	16,4	16,4
	Уровни звукового давления от источника в расчётной точке ночью	0	31,9	29,9	19,9	7	0	0	0	0	16,4	16,4
ИШ-18. Газовые трубы	Уровни звукового давления от источника в расчётной точке днём	0	21,2	19	8,3	0	0	0	0	0	5,1	5,1
	Уровни звукового давления от источника в расчётной точке ночью	0	21,2	19	8,3	0	0	0	0	0	5,1	5,1
ИШ-19. Трансформатор ЦЭН	Уровни звукового давления от источника в расчётной точке днём	0	25	22,2	11	0	0	0	0	0	8,2	8,2
	Уровни звукового давления от источника в расчётной точке ночью	0	25	22,2	11	0	0	0	0	0	8,2	8,2
ИШ-20. Трансформатор ЦЭН	Уровни звукового давления от источника в расчётной точке днём	0	28,9	26,1	14,9	0	0	0	0	0	12,1	12,1
	Уровни звукового давления от источника в расчётной точке ночью	0	28,9	26,1	14,9	0	0	0	0	0	12,1	12,1
ИШ-21. Трансформатор ЦЭН	Уровни звукового давления от источника в расчётной точке днём	0	28,9	26,1	14,9	0	0	0	0	0	12,1	12,1
	Уровни звукового давления от источника в расчётной точке ночью	0	28,9	26,1	14,9	0	0	0	0	0	12,1	12,1
ИШ-22. Трансформатор ЦЭН	Уровни звукового давления от источника в расчётной точке днём	0	24,6	22,4	11,8	0	0	0	0	0	8,5	8,5
	Уровни звукового давления от источника в расчётной точке ночью	0	24,6	22,4	11,8	0	0	0	0	0	8,5	8,5
ИШ-23. Трансформатор ЦЭН	Уровни звукового давления от источника в расчётной точке днём	0	22,9	20,1	9	0	0	0	0	0	6,1	6,1

